Switzerland. Meteorologische Centralanstalt.

ANNALEN

der

SCHWEIZERISCHEN METEOROLOGISCHEN ZENTRALANSTALT

1955

Zweiundneunzigster Jahrgang

City-Druck AG, Zürich 1
St. Peterstraße 10
1956

96470
96471

Inhalt

Vorwort . . . . . Pag. III
Verzeichnis der schweizerischen meteorologischen Literatur im Jahre 1955 . . . . . Pag. IV
Legende zu «Tägliche Beobachtungen» . . . . . Pag. VI

Tägliche Beobachtungen

der Stationen: Bern, Neuchâtel, Altdorf, Genève, Zürich, Chasseron, Bever, Sion, Lugano, Basel, Säntis und St. Gotthard nebst ergänzenden Witterungsnotizen . . . . . Pag. 1—7
Jungfraujoch: Tägliche Lufttemperaturen . . . . . Pag. 7
Tägliche Maxima und Minima und stündliche Monatsmittel der Lufttemperatur von Zürich und Säntis . . . . . Pag. 78—7
Temperaturextreme von 7 Normal-Stationen . . . . . Pag. 80—8

Monats- und Jahres-Übersichten der meteorologischen Beobachtungen sämtlicher Stationen » 85—14

	Pag.
Aarau	104 u. 105
Adelboden	130
Airolo	134
Allerheiligenberg	128
Altdorf I	96 u. 97
Altdorf II	98 u. 99
Altstätten	90 u. 91
Andermatt	127
Arosa	116 u. 117
Auen (Linthal)	92 u. 93
Baden	86 u. 87
Basel (Binningen)	98 u. 99
Bâle-Mulhouse	139 u. 145
Beatenberg	108 u. 109
Bellinzona	122 u. 123
Bern	106 u. 107, 140
Bever	118 u. 119
Beznau	104 u. 105
Biel	102 u. 103
Bivio	133
Bosco-Gurin	120 u. 121
Braggio	120 u. 121
Brévine, la	127
Brè Monte (ob Lugano)	135
Buffalora (Ofenpass)	118 u. 119
Cernier	127
Chasseron	100 u. 101
Château d'Oex	130
Chaumont	100 u. 101
Chaux-de-Fonds, la	100 u. 101
Chippis	114 u. 115
Chur	114 u. 115
Comprovasco	135
Davos-Platz	116 u. 117
Disentis	116 u. 117
Ebnat	124
Einsiedeln	94 u. 95
Elm	92 u. 93
Engelberg	96 u. 97
Fescoggia	135
Frauenfeld	88 u. 89
Fribourg	106 u. 107
Genève	110 u. 111
Genève-Cointrin	141
Glarus	92 u. 93
Göschenen	98 u. 99
Grächen	132
Grand-St-Bernard	112 u. 113
Grimsel	110 u. 111
Grindelwald	129
Grono	134
Gurtnellen	127
Gütsch ob Andermatt	138
Guttannen	108 u. 109
Haidenhaus	88 u. 89
Hallau	104 u. 105
Heiden	90 u. 91
Heiligenschwendi	129
Interlaken	108 u. 109
Jungfraujoch	110 u. 111
Kreuzlingen	88 u. 89
Langenbruck	102 u. 103
Langnau i. E.	106 u. 107
Lausanne	110 u. 111
Leukerbad	131
Leysin	112 u. 113
Locarno-Aeroporto	144
Locarno-Monti	122 u. 123
Locarno-Muralto	122 u. 123
Lohn	106 u. 107
Lugano	122 u. 123
Lungern	126
Luzern	94 u. 95
Marsens	131
Meiringen	108 u. 109
Mezzana	135
Montana	114 u. 115
Montreux-Clarens	112 u. 113
Muri (Aargau)	124
Neuchâtel	100 u. 101
Oberiberg	94 u. 95
Olten I	128
Olten II	104 u. 105
Pilatus-Kulm	96 u. 97
Plateau Rosà (Testa Grigia)	143 u. 146
Platta (Medels)	116 u. 117
Ragaz, Bad	92 u. 93
Reckingen	114 u. 115
Rheinfelden	128
Rigi-Kaltbad	126
Rigi-Kulm	94 u. 95
Rochers de Naye	131
Romont	131
Rorschach	124
Rougemont	130
Saanen	130
Saas-Fee	132
Säntis	90 u. 91
Sargans	90 u. 91
Sarnen	96 u. 97
Schaffhausen	129
Schiers	133
Schuls	118 u. 119
Schwäbrig (ob Gais)	124
Seewis	133
Sils-Maria	133
Sion	112 u. 113
Sion-Aérodrôme	142
Soleil Mont	128
Solothurn	102 u. 103
Splügen (Dorf)	120 u. 121
Sta. Maria (Münstertal)	134
St. Gallen	88 u. 89
St. Gotthard	98 u. 99
St. Moritz	120 u. 121
Thun	129
Tschiertschen	133
Vättis	125
Vicosoprano	134
Walchwil	126
Wald (Faltigberg)	125
Waienstadtberg	125
Weggis	126
Weissenstein	102 u. 103
Weissfluhjoch	118 u. 119
Werthenstein	125
Winterthur	86 u. 87
Zermatt	133
Zürich-BG	86 u. 87
Zürich-Kloten	137
Zürich-MZA	86 u. 87

Anhang: Ergänzende Beobachtungen und Abhandlungen.

Nr. 1. M. Grütter. Übersicht über den Witterungsverlauf in der Schweiz im Jahre 1955.
Nr. 2. J. Rieker. Liste des chutes de grêle en Suisse pendant l'année 1955.
Nr. 3. Ergebnisse der Niederschlagsmessungen im Jahre 1955.
Ergebnisse der im Alpengebiet aufgestellten Totalisatoren für das hydrologische Jahr 1954/55.
M. Grütter. Die Niederschläge des Jahres 1955.
Nr. 4. Ergebnisse der Registrierungen der Sonnenscheinautographen im Jahre 1955.
Nr. 5. M. Grütter und E. Peter. Jahresbericht des Erdbebendienstes 1955.
Nr. 6. Aerologische Station Payerne. Radiosondierungen 1955.
Nr. 7. Agrarmeteorologische Beobachtungen:
Verdunstung in mm Wasserhöhe von Zürich, Château d'Oex und Pregassona.
Bodentemperaturen von Zürich und Pregassona.
B. Primault. Cinq ans d'observations phénologiques systématiques en Suisse.
Nr. 8. E. Nagel. La relation entre la nébulosité et la durée d'insolation et ses conséquences pour la climatologie appliquée de la Suisse.
J. Lugeon et P. Ackermann. Les anomalies du réseau aérologique européen. (anschließend an Anhang Nr. 6)

Vorwort

Auf Beginn des Jahres 1955 wurden zwei neue meteorologische Stationen errichtet: Olten erhielt mit Rücksicht auf den bevorstehenden Rücktritt der bisherigen Stationsinhaber eine Parallelstation (Gaswerk), um den zukünftigen Beobachtungen einen möglichst guten Anschluß an die seit 1864 für diesen Ort bestehende Reihe zu gewährleisten. Wegen Erweiterung des Beobachtungsprogramms, hauptsächlich zwecks Föhnuntersuchungen, wurde auch in Altdorf eine zweite, mit Registrierinstrumenten ausgerüstete Station eingerichtet (Eidg. Armeemagazine). Infolge Wegzuges des Beobachters ging im März die meteorologische Station Allaman ein. Auf Ende des Jahres gab Herr Lehrer D. Ineichen in Werthenstein altershalber die von ihm vor 25 Jahren aus eigenen Mitteln gegründete und stets vorbildlich betreute meteorologische Station auf; er wird sie jedoch als Regenmeßstation weiterführen.

Das synoptische Netz erfuhr eine Erweiterung in dem Sinne, daß die meteorologischen Dienste Italiens, bzw. Frankreichs in verdankenswerter Weise ihr Einverständnis dazu gaben, daß die Beobachtungsergebnisse der grenznahen Stationen Plateau Rosà (Testa Grigia) und Aéroport Bâle-Mulhouse in unseren Annalen veröffentlicht werden. Im vorliegenden Band sind die Ergebnisse von 1954 nachgetragen.

Starken Zuwachs erfuhren die uns zugehenden Niederschlagsbeobachtungen. Seit Jahresbeginn erhalten wir von der Etzelwerk AG Altendorf Messungen vom Sihlsee (Ost) und von der Abteilung Hydrologie an der ETH solche einer zweiten Station am Sihlsee (West) sowie aus dem Wägital von Innertal (zwei Meßstellen), Rempen und Siebnen. Hiezu kamen im Laufe des Jahres aus Kraftwerkbaugebieten im Wallis Salanfe, Dixence, Cleuson (EOS Lausanne), Barberine Château d'eau, Le Châtelard (Usine de Barberine CFF) und Simplon-Bleike (Consortium Gabi), ferner Melchtal (CKW Luzern). Für die Überlassung dieser Beobachtungsresultate möchten wir hiemit allen beteiligten Institutionen bestens danken. Weiterhin wurden neue Regenmeßstationen eröffnet auf dem Dornhof bei Zuzgen (W. Moroff), in Schuders (Fam. Keßler) zur Stützung der geologischen Untersuchungen von Herrn Dr. Stauber in den dortigen Rutschgebieten und in Zernez (Ch. Minsch), womit eine längst bestehende Lücke im Engadin geschlossen werden konnte. Der bisher beim Eigergletscher stehende Regenmesser wurde nach der Kleinen Scheidegg versetzt (Stationspersonal). Aufgehoben wurden die Posten Herisau-Gemeindehaus und Bivio (an beiden Orten bestehen bereits neuere Stationen); Willerzell und Vordertal mußten wegen Alterserkrankung der Beobachter (G. Neidhart und Frau R. Mächler) aufgegeben werden.

Bestand:	1. Januar	31. Dezember
Meteorologische Stationen (Klimatologischer Dienst)	129	128
Meteorologische Stationen (Synoptischer Dienst)	9	9
Regenmeßstationen	309	315

Beobachterwechsel (* mit Stationsverlegung, † Todesfälle, E = Wechsel auf Ende 1955):

Meteorologische Stationen:	bisher	neu
* St. Moritz	Dr. J. Tuena	Ch. Christen
* Beatenberg (E)	K. Lüthi	W. Dettwyler-Oeri
Regenmeßstationen:	**bisher**	**neu**
Ascona	P. G. Mallepell	Br. Ph. Amberg
Bellelay (E)	Ch. Wälti	G. Sudan
Biasca (E)	N. Strozzi	G. Moro
* Flawil	W. Weber-Weber	Wasserwerk
Ricken	J. Ricklin	B. Ricklin
Zug	H. Hegglin	A. Christen
Zweisimmen (E)	D. Bertholet †	Frau Stalder-Topfel

Im Laufe des Jahres 1956 wurde eine allgemeine Revision der Stationskoordinaten in Angriff genommen. Die sich ergebenden Korrekturen konnten für die meisten meteorologischen Stationen bereits im vorliegenden Band berücksichtigt werden, für die Regenmeßstationen im Anhang Nr. 3 jedoch erst zum kleinsten Teil.

Zürich, im Dezember 1956.

Der Direktor der
Schweizerischen Meteorologischen Zentralanstalt:

Jean Lugeon

Verzeichnis der 1955 erschienenen oder sich auf dieses Jahr beziehenden schweizerischen meteorologischen und seismologischen Literatur

Abkürzungen: NG = Naturforschende Gesellschaft. — SNG = Schweizerische Naturforschende Gesellschaft.

Dieses Verzeichnis führt die im vorliegenden Bande publizierten Arbeiten nicht nochmals auf (s. Inhaltsverzeichnis S. II)

a) *Meteorologie*

Schweizerische Meteorologische Zentralanstalt: Annalen der . . ., 1955, Jg. 92. — Zürich 1956.

Schweizerische Meteorologische Zentralanstalt: Ergebnisse der täglichen Niederschlagsmessungen auf den meteorologischen und Regenmeß-Stationen der Schweiz im Jahre 1955. — Zürich 1956.

Schweizerische Meteorologische Zentralanstalt: Meteorologische Monatsberichte, Januar—Dezember 1955. [Verf. von] M[ax] Grütter [Januar—September], [ab Oktober von] M[ax] Schüepp. — Zürich 1955; je 1 S.

Schweizerische Meteorologische Zentralanstalt: Wetterbericht der . . . = Bulletin de la Station Centrale Suisse de Météorologie, Jg. 75, Nr. 1—365. — Zürich 1955; erscheint täglich.

Eidg. Institut für Schnee- und Lawinenforschung: Bericht über die Tätigkeit des Eidg. Institutes für Schnee- und Lawinenforschung Weißfluhjoch/Davos 1953—1954, von Dr. M. de Quervain. — Schweiz. ZS f. Forstwesen (6/7): 1—8, Bern 1955.

Eidg. Institut für Schnee- und Lawinenforschung: Schnee und Lawinen in den Schweizer Alpen, Winter 1953/54. Winterbericht . . . Nr. 18; 128 S. — Davos-Platz 1955.

Eidg. Volkswirtschaftsdepartement, Abt. f. Landwirtschaft: Schlußbericht der Eidg. Kommission zum Studium der Hagelbildung und der Hagelabwehr über den Großversuch Nr. 1 zur Bekämpfung des Hagels auf der Magadinoebene (Tessin) 1948 bis 1952. — Landwirtschaftliches Jahrbuch der Schweiz 69 (3): 269—290, Bern 1955.

Eidg. Volkswirtschaftsdepartement, Abt. f. Landwirtschaft, Stations fédérales d'essais agricoles, Lausanne: Rapport d'activité 1954. Chap. 2, 21, Année météorologique; 23, Dates phénologiques et culturales — Rendement des cultures. — Annuaire agricole de la Suisse 56: 605—611, 625—631, Berne 1955.

Observatoire cantonal de Neuchâtel: Observations météorologiques faites en 1955 à l'Observatoire . . . par Walter Schuler. — Bull. Soc. Neuchât. Sc. Nat. 79: 119—140, 1956.

Observatoire de Genève: Résumés météorologiques 1954. — Arch. des sciences 8, Genève 1955.

Observatoire météorologique de Lausanne, Champ-de-l'Air: Résumés mensuels 1955. — Lausanne, Obs. mét. cant. vaud., 1955/[56]; 12 p.

Service de statistique, Bienne: Les observations météorologiques. — Chronique statistique de la ville de Bienne 1954, 27: 9—11, Bienne 1955.

Ackermann, Paul; Lugeon, Jean: Radio-Meteorologie. — Techn. Mitteil. PTT (8): 1—16, Bern 1955.

Ackermann, Paul: s. auch Lugeon, Jean.

Ambrosetti, Fl[avio]: Precipitazioni intense al margine meridionale delle Alpi. — Geof. pura e appl. 30: 222—236, Milano 1955.

Ambühl, E[rnst]: Temperatur- und Schneeverhältnisse im Sommer (Juni—September) auf dem Jungfraujoch 3578/3350 m. — Verh. SNG 1955: 119—120, Aarau 1955.

A[shford], O[liver] M[artin]: Mise en valeur des ressources hydrauliques. — Bulletin de l'OMM 4(4): 161—165, Genève 1955.

Aubert de la Rüe, E[dgar]: Man and the winds. Transl. by M. E. Thompson. 206 S. — London, Hutchinson's scientific and technical publications, 1955.

Berger, K[arl]: Die Meßeinrichtungen für die Blitzforschung auf dem Monte San Salvatore. — Bull. Schweiz. Elektrotechn. Ver. 46(5): 193—201, Zürich 1955.

Berger, K[arl]: Resultate der Blitzmessungen der Jahre 1947 . . . 1954 auf dem Monte San Salvatore. — Bull. Schweiz. Elektrotechn. Ver. 46: 405—424, Zürich 1955.

Bider, Max: Ergebnisse der Registrierungen der Zahl der Kondensationskerne in Basel und seiner nächsten Umgebung. — Geof. pura e appl. 31: 147—161, Milano 1955.

Bider, M[ax]: Statistische Untersuchungen über die Hagelhäufigkeit in der Schweiz und ihre Beziehungen zur Großwetterlage. — Arch. Met. Geoph. Biokl. B 6(1/2): 66—90, Wien 1955.

Bider, M[ax]: Zwei Jahre Strahlungsmessungen in Basel mit dem Bellani-Luzimeter. — Verh. SNG 1955: 111—112, Aarau 1955.

Blomgren, Walter E.: Meßstation für Niederschläge mit Radiomeldung. — Schweiz. Bauzeitung 73(12): 320, Zürich 1955.

Bouët, Max: Profil hypsométrique du faîte des Alpes centrales. — Geogr. Helvet. 10: 213—216, Bern 1955.

Bourke, P. M. Austin: The forecasting from weather data of potato blight and other plant diseases and pests. — Secretariat WMO, Technical note No. 10, 48 p., Geneva 1955.

Braun, Arnold. F.: Der Einfluß der Witterung auf die Reichweite von Radargeräten. — Albiswerk-Berichte 6(2), 7(1), 24 S., Zürich 1954/55.

Brunner-Hagger, William: Beziehungen zwischen Sonnentätigkeit, kosmischer Strahlung, Meteorströmen und Zürcher Niederschlägen. — Verh. SNG 1955: 112—114, Aarau 1955.

Burger, Hans: Einfluß des Waldes auf den Stand der Gewässer, VI. Mitteilung: Der Wasserhaushalt in der Valle di Melera in den Jahren 1944/45—1953/54. — Mitteil. Schweiz. Anstalt f. d. forstl. Versuchswesen 31(2): 493—555, Zürich 1955.

Decoster, M.; Schüepp, W[alter]; Vander Elst, N.: Le rayonnement sur des plans verticaux à Léopoldville (Congo belge). — Serv. mét. du Congo belge, Publication nº 7, 20 p., 16 tabl. et 14 graph., Léopoldville 1955.

Drotschmann, H[ugo]: Technische Klima-Daten für die Schweiz. Schweiz. Blätter für Heizung und Lüftung 22: 53—70, Zürich 1955.

Du Pasquier, Pierre: La météorologie. — Suisse horlogère (éd. internat. française) 70: 21—22, La Chaux-de-Fonds 1955.

Ehrenberg, Wolfgang: Oberflächenfärbung als Energiequelle. — Technische Rundschau 47(54): 9—13, Bern 1955.

Eichenberger, W[illy]: Le nouveau bulletin de la Station centrale suisse de météorologie. — Aéro-Revue suisse 30: 82—86, Berne 1955.

Essenwanger, O.: s. Schneider-Carius, K.

Flohn, H[ermann]: Tropical circulation patterns. — Secretariat WMO, Technical note No. 9, 12 p., Geneva 1955.

Fritzsche, R[obert]: Standorts- und Bodenwahl bei der Erstellung von Obstanlagen. — Schweiz. Zeitschr. f. Obst- und Weinbau 64(21): 409—417, Bern 1955.

Gaßmann, F[ritz]: Ernst Wanner, 1900—1955. [Nekrolog.]

Georgi, J[ohannes]: Entgegnung zu den vorstehenden Bemerkungen. [Siehe unter Schüepp, W.: Bemerkungen . . .] — Geof. pura e appl. 30: 182—184, Milano 1955.

Gockel, P[aula]: Das meteorologische Jahr 1955. — Bull. Soc. Fribourg. Sc. Nat. 45: 215—217, Fribourg 1956.

Godson, W[arren] L[ehman]: Atmospheric radiation. Current investigation and problems. — Secretariat WMO, Technical note No. 8, 32 p., Geneva 1955.

Godson, W[arren] L[ehman]: The relative accuracy of rawins and contour-measured winds in relation to performance criteria. — Secretariat WMO, Technical note No. 15, 6 p., Geneva 1955.

Godson, W[arren] L[ehman]: Superadiabatic lapse rate in the upper air. — Secretariat WMO, Technical note No. 16, 3 p., Geneva 1955.

Grütter, Max: s. Schweiz. Met. Zentralanstalt, Meteorologische Monatsberichte.

Güller, A[lfred]: Über Windrichtung und Windstärken in den Alpen. — Schweizer Aero-Revue 30: 394—398, Bern 1955.

Guéniat, Ed[mond]: Esquisse climatérique de Porrentruy. — Rec. d'ét. et de trav. scientif. publ. à l'occ. de la 135e sess. de la SHSN: 241—248, Porrentruy 1955.

Häfelin, J[ohann]: Die Gliederung der Schweiz in Wetterprognosenbezirke. — Geogr. Helv. 10: 12—15, Bern 1955.

Häfelin, J[ohann]; Lotmar, R[uth]: Ein Beitrag zur Frage der biotropen Wirkung atmosphärischer Fronten. — Verh. SNG 1955: 114—115, Aarau 1955.

Häfelin, J[ohann]: s. auch Lotmar, R[uth].

[Heller], A[lfred]: Die Lösung der Gleichungen der Luftbewegungen unserer Erde führt zu besserem Verständnis der atmosphärischen Vorgänge. — Schweiz. Aero-Revue 30: 47—48, Bern 1955.

Hügin, F.: s. Verzar, F[ritz].

Israel, H[ans]; Kasemir, H. W.; Wienert, K.: Luftelektrische Tagesgänge und Massenaustausch im Hochgebirge der Alpen. Die luftelektrischen Verhältnisse am Jungfraujoch, 3472 m, II; Vergleichsmessungen zwischen Jungfraujoch und Sonnblick. — Arch. Met. Geof. Biokl., Ser. A, 8: 72—94, Wien 1955.

Kasemir, H. W.: s. Israel, H[ans].

Kasser, P[eter]; Schweizer, W[olfgang]: Voraussage der globalen Sommerabflußmenge der Rhone bei Porte du Scex auf Grund von Winterniederschlag und Winterabfluß. — Wasser- und Energiewirtschaft 47: 104—107, Zürich 1955.

Kuhn, Walter: Der Firnzuwachs pro 1954/55 in einigen schweizerischen Firngebieten. XLII. Bericht. — Vierteljahresschr. NG Zürich 100(4): 277—281, Zürich 1955.

Kuhn, W[alter]: Mißlungener, aber interessanter Beitrag eines Zürcher Naturforschers zur Theorie der Wolkenbildung. — Vierteljahresschr. NG Zürich 100: 214—216, 1955.

Lotmar, R[uth]; Häfelin, J[ohann]: Über den Einfluß der Witterung auf den Schwefelstoffwechsel von Kaninchen. — Arch. Met. Geoph. Biokl., Ser. B, 7(1): 133—145, Wien 1955.

Lotmar, R[uth]: s. auch Häfelin, J[ohann].

Lugeon, Jean; Ackermann, Paul: Homogénéité du réseau européen de radiosondages. — Secrétariat de l'OMM, Note technique nº 14, 11 p. + 7 fig., Genève 1955.

Lugeon, Jean: s. auch Ackermann, Paul.

Massion, W.: s. Verzar, F[ritz].

Mercanton, P[aul] L[ouis]: La glaciation du Valais et ses variations dans les temps modernes. — Cours d'eau et énergie 47(5—7: 100—103, Zurich 1955.
Mercanton, Paul Louis: Nouvelles observations de trombes sur le lac Léman. — Bull. soc. vaud. sc. nat. 66(289): 155—160, Lausanne 1955.
Mörikofer, W[alter]: Gesichtspunkte der Kurortklimatologie. — Wetter u. Leben 7(8/11): 264—267, Wien 1955.
Mörikofer, Walter: L'homme et le milieu atmosphérique. — Bull. OMM 4(1): 24—28, Genève 1955.
Montandon, Frédéric: Les grandes catastrophes causées par les forces de la nature dans l'année 1953. — Rev. pr. l'étude des calamités 14(32): 117—119, Genève 1955.
Montandon, Frédéric: Les grandes catastrophes causées par les forces de la nature en 1954 et 1955. — Revue pour l'étude des calamités 15(33): 59—65, Genève 1955.
Müller, Hans K.: Vom Wesen und Werden des Wetters. — 4 Fasz. Basel, Genossenschaftliches Seminar [Freidorf/Muttenz], Fernkurse, 1955.
Nagel, Erich: Die Sonnenscheinverhältnisse in der Schweiz. — Verh. SNG 1955: 117—119, Aarau 1955.
Nyberg, Alfred: Hygromètres perfectionnés pour radiosondes. — Bulletin OMM 4: 6—7, Genève 1955.
[Organisation météorologique mondiale] = World meteorological organization: Artificial control of clouds and hydrometeors. — Secretariat WMO, Technical note No. 13, 76 p., Geneva 1955.
[Organisation météorologique mondiale] = World meteorological organization: Atmospheric techniques. — Secretariat WMO, Technical note No. 12, 42 p., Geneva 1955.
Organisation météorologique mondiale, OMM: Liste internationale de navires sélectionnés et supplémentaires. — OMM nº 47. TP. 18, 181 p., Genève 1955.
[Organisation météorologique mondiale] = World meteorological organization: Methods of observation at sea. Part II — Air temperature and humidity, atmospheric pressure, cloud height, wind, rainfall and visibility. — Secretariat WMO, Technical note No. 2, 35 p., Geneva 1955.
Pardé, Maurice: Sur quelques grandes crues de l'été 1954. — Rev. pr. l'étude des calamités 14(32): 37—76, Genève 1955.
Peyer, E[rnst]: Der Frost im Weinberg. — Schweiz. Zeitschr. f. Obst- und Weinbau 64(23): 447—449, Bern 1955.
Primault, B[ernard]: De l'influence de la pression atmosphérique sur l'apparition de la fièvre aphteuse. — Schweiz. Archiv f. Tierheilkunde 97(9): 412—422, Zürich 1955.
Primault, B[ernard]: De l'observation du temps à la prévision météorologique. — Alpe, neige, roc, Rev. alpine internationale (9): 25—32, Berne 1955.
Primault, B[ernard] Du climat des étables ouvertes. — Sillon romand 57(39): 2—3, 7, Lausanne 14 janvier 1955.
Primault, B[ernard]: Über die Schwierigkeiten der Wetterprognose im Gebirge. — Berg, Schnee, Fels, Internat. Alpinisten Zeitschr., (1): 25—34, Bern 1955.
Pruppacher, Hans Rudolf; Sänger, Raymund: Mechanismus der Vereisung unterkühlter Wassertropfen durch disperse Keimsubstanzen. I und II. — Zeitschr. f. angew. Math. und Phys. 6(5): 407 bis 417 und 6(6): 485—493, Basel 1955.
Quervain, M[arcel] de: s. Eidg. Institut für Schnee- und Lawinenforschung.
Robertson, G[eorge]: The standardization of the measurement of evaporation as a climatic factor. — Secretariat WMO, Technical note No. 11, 10 p., Geneva 1955.
R[ubiato], J[osé] M[aria]: Recherches sur la zone tropicale humide. Bulletin de l'OMM 4(4): 156—160, Genève 1955.
Sänger, R[aymund]: Vom Wettermachen. — Die Schweiz. Offiz. Reisezeitschrift der Schweiz. Zentrale f. Verkehrsförderung 28 (10): 12, Bern 1955.
Sänger, Raymund; Spring, Fritz: Durchgang von Explosionswellen durch unterkühlte Wolken. — Zeitschr. f. angew. Math. und Phys. 6(1): 75—76, Basel 1955.
Sänger, Raymund: s. auch Pruppacher, Hans Rudolf.
Schaufelberger, Paul: Eignen sich die Regenfaktoren Langs zur exakten Klassifikation der tropischen Böden? — Petermanns geogr. Mitt. 99: 99—106, Gotha 1955.
Schaufelberger, P[aul]: El factor de Lang y su aplicación en Colombia. — Centro nac. invest. café, B. Inf. 6: 160—169, Chinchina 1955.
Schaufelberger, P[aul]: Vierzig Jahre Regenfaktor. — Vierteljahrsschr. NG Zürich 100: 194—201, Zürich 1955.
Schellenberg, A[lfred]: Beobachtungen in den Weinbergen im gewitterreichen Sommer 1955. — Schweiz. Zeitschr. f. Obst- und Weinbau 64(16): 303—307, Bern 1955.
Schellenberg, A[lfred]: Frostschäden vom 22./23. Mai in zürcherischen Weinbergen. — Schweiz. Zeitschr. f. Obst- u. Weinbau 64 (12): 211—212, Bern 1955.
Schneider-Carius, K.; Essenwanger, O.: Eigentümlichkeiten der Niederschlagsverhältnisse im Norden und Süden der Schweizer Alpen, dargestellt durch die Niederschlagswahrscheinlichkeit von Basel, St. Gotthard und Lugano. — Arch. Met. Geoph. Biokl., Ser. B. 7(1): 32—48, Wien 1955.
Schüepp, Max: Begriffe und Definitionen in der Witterungsklimatologie. — Verh. SNG 1955: 115—116, Aarau 1955.
Schüepp, Max: s. auch Schweiz. Meteorologische Zentralanstalt, Meteorologische Monatsberichte.
Schüepp, W[alter]: Bemerkungen zu J. Georgi's meteorologischer Solarkonstanten. — Geof. pura e appl. 30: 179—181, Milano 1955.
Schüepp, Walter: Le rayonnement solaire à Stanleyville, Congo belge. — Acad. royale d. sc. coloniales, Cl. d. sc. nat. et méd., Mémoires, nouvelle sér. 2(1): 1—50, Bruxelles 1955.
Schüepp, W[alter]: Zur Analyse von Luftdruckvariogrammen. — Arch. Met. Geoph. Biokl. Ser. A, 8(1): 1—24, Wien 1955.
Schüepp, W[alter]: s. auch Decoster, M.
Schuler, Walter: s. Observatoire cantonal de Neuchâtel.
Schweizer, W[olfgang]: s. Kasser, P[eter].
Senti, A[nton]; Waidele, Marie: Vom Wetter und Klima von Rheinfelden. — Rheinfelder Neujahrsblatt 1956: 31—42, [1955].
Sneyers, R.: Sur une généralisation de l'indice de similitude de M. Bouët. — Arch. Met. Geoph. Biokl., Ser. A, 8(1): 121—130, Wien 1955.
Spreng, H[ans]: Die zukünftige Produktionsrichtung im schweizerischen Obstbau. — Schweiz. Zeitschr. f. Obst- u. Weinbau 64(17): 319, 331, Bern 1955.
Spring, Fritz: s. Sänger, Raymund.
Thams, J[ohann] C[hristian]: La diversité des climats. — Die Schweiz, Offiz. Reisezeitschr. der Schweiz. Zentrale f. Verkehrsförderung 28(10): 11—12, Bern 1955.
Thams, J[ohann] C[hristian]: Zur Bestimmung der Sonnenscheindauer in einem stark kupierten Gelände. — Arch. Met. Geoph. Biokl., Ser. B, 6(4): 417—430, Wien 1955.
Thams, J[ohann] C[hristian]; Zenone, E[leno]: Osservazioni sui venti di monte et di valle nel Piano di Magadino, Svizzera sudalpina. — Geof. pura e appl. 30: 185—194, Milano 1955.
Uttinger, Heinrich: Beidseitig begrenzte Kollektive in der Klimatologie. Ein Beitrag zur klimatologischen Statistik. — Verh. SNG 1955: 116—117, Aarau 1955.
Vander Elst, N.: s. Decoster, M.
Verkholantzeff-Wegener, Antonie: Der Umkehreffekt von Götz. Messungen des Zenith-Himmelslichtes mit dem Multiplier. — Arch. Met. Geoph. Biokl., Ser. B. 7(1): 96—116, Wien 1955.
Verzar, Fritz: Continuous record of atmospheric condensation nuclei and of their retention in the respiratory tract. — Geof. pura e appl. 31: 183—190, Milano 1955.
Verzar, F[ritz]; Hügin, F.; Massion, W.: Zurückhaltung atmosphärischer Kondensationskerne in den Atemwegen. — Pflügers Arch. 261: 218—233, Bonn 1955.
Vogel, W[alter]: Der Einfluß der Witterung auf den Ausflug und die Ovarialentwicklung des Maikäfers. — Schweiz. landwirtschaftl. Jahrbuch 69(8): 971—1000, Bern 1955.
Waidele, Marie: s. Senti, A[nton].
Walser, E[mil]: Niederschlag und Abfluß im Rhonegebiet oberhalb des Genfersees. — Wasser- und Energiewirtschaft 47(5—7): 94 bis 99, Zürich 1955.
Walthard, K[arl], M[ax]: Klimatotherapie in den schweizerischen Alpentälern. — Zeitschr. f. angew. Bäder- u. Klimaheilkunde (2): 213—221, Stuttgart 1955.
Weber, F[ritz]: Warmes und kaltes Klima als begrenzende Faktoren für die Leistungen unserer Haustiere. — Schweiz. Landwirtschaftl. Monatshefte 33(6): 223—234, Bern-Bümpliz 1955.
Weil, Roger: Zur Frage des Einflusses des Höhenklimas auf Hühnermalaria bei Blutinokulation mit Plasmodium gallinaceum Brumpt. — Acta tropica 12: 53—66, Basel 1955.
Wieland, W.: Eine neue Methode der Kondensationskernzählung. — Geof. pura e appl. 30: 137—143, Milano 1955.
Wienert, K.: s. Israel, H[ans].
Zenone, E[leno]: s. Thams, J[ohann] C[ristian].
Zingg, Th[eodor]: Meteorologie. — Winterbericht des Eidg. Institutes f. Schnee- und Lawinenforschung (18): 5—27, Davos-Platz 1955.
Zingg, Th[eodor]: Wetter und Lawinenkatastrophen. — Die Alpen 31: 77—84, Bern 1955.

b) Seismologie und Erdmagnetismus

Montandon, Frédéric: Les grandes catastrophes causées par les forces de la nature en 1954 et 1955. — Rev. pr. l'ét. des calamités 15(33): 59—65, Genève 1955.
Montandon, Frédéric: Sur la fréquence des séismes destructeurs et sur leur prévision hypothétique. — Rev. pr. l'ét. des calamités 15(33): 42—50, Genève 1955.
Photiadès, Alexandre: La leçon des récents séismes en Grèce. — Rev. pr. l'ét. des calamités 15(33): 3—7, Genève 1955.
Rothé, J.-P.: Tableau de la séismicité du globe pendant les années 1953/1954. — Rev. pr. l'ét. des calamités 15(33): 8—41, Genève 1955.
Wanner, Ernst†: Die Lage der Erdbebenherde im Mittelwallis. — Eclogae geol. Helv. 48(2): 245—255, Basel 1955.
Weber, Max: Die Bestimmung einer beliebig gekrümmten Schichtgrenze aus seismischen Reflexionsmessungen. — Geofis. pura e appl. 32: 7—11, Milano 1955.
Weber, Max: Die Laufzeitfläche einer mehrfach reflektierten Wellenfront in einem inhomogenen Körper mit beliebig gekrümmter Oberfläche. — Geofis. pura e appl. 32: 12—18, Milano 1955.
Weber, Max: Zur Interpretation von seismischen Refraktionsmessungen. — Geofis. pura e appl. 30: 27—32, Milano 1955.

Eidgenössische Meteorologische Kommission 1955

Prof. Dr. Ch. Borel, Gymnasium, La Chaux-de-Fonds, Präsident
Prof. Dr. h. c. A. Kreis, Chur, Vizepräsident
Prof. Dr. Fr. Gaßmann. ETH, Zürich
Dr. Gottfried von Meiß, Zürich
Dr. Max Bider, Astronomisch-Meteorologische Anstalt, Basel
Prof. Dr. S. Bays, Universität, Fribourg
Prof. Dr. Max Schürer, Universität, Bern

Tägliche Beobachtungen

der Stationen:

Bern, Neuchâtel, Altdorf, Genève, Zürich, Chasseron, Bever, Sion, Lugano, Basel, Säntis und St. Gotthard

im Jahre 1955

Für die Bezeichnung der Hydrometeore und anderer Phänomene werden folgende international vereinbarte Symbole (Wien 1873. Warschau 1935) verwendet:

● = Regen	⊼ = Gewitter	↙ = starker Wind
❟ = Nebelregen	⊼ = Wetterleuchten	↙ = Sturm
✳ = Schnee	⊤ = Donner	◌ = Sonnenhof
← = Eisnadeln	≡ = Nebel	☾ = Mondhof
▽ = Regenschauer	⌓ = Tau	⊕ = Sonnenring (Halo)
▽ = Schneeschauer	⌴ = Reif	☾ = Mondring (Halo)
▽ = Regen- und Schneeschauer	⋁ = Rauhreif	◠ = Regenbogen
△ = Graupeln, Riesel	∾ = Glatteis	⩚ = Nordlicht
▲ = Hagel	⊹ = Schneetreiben	⊠ = Schneedecke

Das Zeichen * kennzeichnet interpolierte Daten. Die Windstärken sind in der sechsteiligen (halben) Beaufortskala ausgedrückt. Die Tages- und Monatsmittel der Temperatur werden in diesem Abschnitt aus den drei Terminbeobachtungen nach der Formel $M = 1/3\ (7.30 + 13.30 + 21.30)$ berechnet. Im Abschnitt der Monats- und Jahresübersichten wird dagegen die Formel $M = 1/4\ (7.30 + 13.30 + 2 \cdot 21.30)$ verwendet.

In der Spalte «Witterung» bedeuten die Abkürzungen: fl = Flocken, tr = Tropfen. Gewitter werden mit dem Symbol ⊼ oder, wenn vom Beobachter ausdrücklich als Ferngewitter gemeldet, mit (⊼) ohne jede Zeitangabe bezeichnet. Die näheren Angaben sind den «Ergänzenden Witterungsnotizen» auf Seite 73 ff zu entnehmen. Das Gleiche gilt auch für die Symbole Donner ⊤ und Ferndonner (⊤).

Die Intensität der einzelnen Erscheinungen wird durch eine dem Symbol als Exponent beigefügte ° als schwach und ² als stark bezeichnet. Das Zeichen ⊠ bedeutet, daß mehr als die Hälfte der Bodenfläche in der Umgebung der Station an dem betreffenden Tage mit Schnee bedeckt war.

Alle Zeitangaben beziehen sich auf *mitteleuropäische Zeit. Vom Jahrgang 1918 an ist die 24-Stundenzählung* durchgeführt. Außerdem werden folgende Abkürzungen verwendet: a (ante meridiem) = vormittags, p (post meridiem) = nachmittags, n = nachts, fr = früh, mtg = mittags, abd = abends, ztw = zeitweise, mU = mit Unterbrechungen. Die römischen Ziffern geben an, daß das betreffende Phänomen um die Zeit des ersten (I), bzw. zweiten (II) oder dritten (III) Beobachtungstermins beobachtet worden ist, die arabischen Zahlen bedeuten die bürgerlichen Zeitstunden.

λ bezeichnet die geographische Länge in Graden von Greenwich, β die geographische Breite, H_b die Höhe des Stationsbarometers über dem Meer in Metern, H die Höhe der Station (des Regenmessers) über der Meeresfläche, G ist die Korrektion, welche an den Luftdruckdaten für deren Reduktion auf die Normalschwere (45° Breite und das Meeresniveau) noch anzubringen ist, h_r die Höhe des oberen Randes des Regenmessers über dem Erdboden. Die Stationen, bei denen die Höhe (des Barometergefäßes) bis auf den Dezimeter angegeben ist, sind an das schweizerische Präzisionsnivellement angeschlossen. Alle Höhen sind auf Pierre du Niton 373.6 m (neuer Wert) bezogen.

Die Schwerekorrektionen (G) sind vom Jahrgang 1936 an auf Grund neuer Berechnungen von Herrn Professor Niethammer, Basel, eingesetzt worden.

Auf dem Chasseron erfolgten die Abendbeobachtungen um 20.30 Uhr.

ERRATA

1953/54

Seite 81, bzw. 80 und 81. *Neuchâtel:* Die Temperaturminima sind vom August 1953 bis Ende 1954 gemäß untenstehender Tabelle zu korrigieren.

Seite 83, bzw. 82 und 83. *Neuchâtel:* Die Temperaturmaxima sind vom August 1953 bis Ende 1954 durchgängig um 0.3° herabzusetzen.

1954

Seite 81 *Lugano:* Dezember 25. –1.4, 26. –1.2 (Monatsmittel stimmt)

Seite 3/7 *Martina:* Jahressumme 828 (nicht 800)

1955

Seite 114 *Chur:* Lufttemperatur Oktober, Mittel 8.3 (nicht 8.5)

Temperatur-Minima

Neuchâtel

	1953					1954											
	VIII	IX	X	XI	XII	I	II	III	IV	V	VI	VII	VIII	IX	X	XI	XII
1	14.4	13.0	10.7	2.3	1.6	–6.7	–12.6	–0.7	3.5	4.6	10.8	12.2	11.2	12.6	7.2	3.6	2.8
2	11.9	13.7	8.5	5.1	1.2	–6.2	*–13.4*	–0.8	3.7	7.2	*7.4*	10.5	12.9	14.9	8.3	5.0	0.8
3	11.8	16.1	9.8	4.2	0.7	–6.9	–11.4	2.0	7.4	3.8	8.5	9.8	15.1	12.6	10.2	7.0	1.9
4	9.8	13.8	12.3	0.0	0.8	–9.1	–12.0	3.1	6.1	3.1	12.0	10.8	15.0	13.5	9.1	5.4	0.1
5	9.4	12.5	9.8	3.7	1.5	–6.1	–11.1	–0.1	3.8	4.5	12.3	9.6	14.0	14.0	4.6	1.9	3.0
6	16.2	13.2	4.9	4.0	2.1	–6.4	–10.0	–1.4	0.7	*1.8*	14.5	11.3	14.4	12.1	9.2	3.9	1.9
7	15.3	11.9	4.3	1.1	1.8	–6.6	–9.8	*–4.5*	0.2	7.1	8.1	7.9	12.4	14.0	5.3	6.0	1.2
8	11.6	11.0	4.1	0.0	0.9	–8.3	–5.9	–3.2	3.5	5.7	8.5	*6.1*	10.7	13.6	5.3	9.9	0.7
9	14.3	13.5	4.7	1.2	1.4	–7.4	–3.0	–2.1	4.1	7.2	12.7	7.0	14.9	13.9	4.2	8.7	0.0
10	12.4	12.3	*1.8*	1.0	3.0	–4.5	–0.9	–1.7	3.3	6.7	10.3	9.0	11.9	10.7	4.5	5.9	–0.3
11	13.9	8.1	2.8	0.5	3.5	–1.2	1.3	–1.1	1.8	10.6	10.2	11.1	12.0	15.1	4.9	4.0	1.2
12	15.0	10.1	5.4	1.3	2.1	0.8	–1.6	0.0	–0.9	10.5	10.8	11.6	8.4	12.7	3.3	1.1	1.1
13	16.6	9.1	7.7	0.2	0.0	–0.1	–0.1	0.8	1.0	10.2	12.2	13.6	10.9	9.5	4.0	3.9	–0.4
14	17.8	7.6	8.7	0.1	–0.9	0.3	–1.9	3.2	2.9	11.3	11.4	11.4	12.9	10.9	*2.3*	2.2	0.7
15	15.1	7.7	10.8	1.2	0.3	1.2	–1.1	1.8	2.5	8.1	11.1	13.9	11.7	11.0	3.8	0.4	2.3
16	16.2	13.5	9.1	*–1.7*	–1.0	5.3	0.5	0.9	0.6	9.5	13.6	10.9	10.7	8.0	4.4	–1.5	3.7
17	14.4	12.3	10.0	4.7	–0.8	5.0	–1.2	4.1	–1.1	9.2	11.4	9.1	*8.7*	13.6	3.8	*–2.2*	0.1
18	12.7	13.3	12.0	2.8	–1.1	–1.6	–2.3	4.9	0.8	8.5	11.3	16.0	11.0	12.5	5.3	–0.8	–1.0
19	12.0	13.3	11.4	2.6	–1.2	–4.0	–3.0	6.9	–0.7	5.9	13.3	12.4	14.3	12.7	6.0	–0.2	–0.4
20	12.3	9.3	11.4	0.9	0.8	0.5	–1.8	4.9	*–1.7*	4.6	14.2	10.4	14.7	14.6	9.8	–1.9	–1.4
21	12.4	8.1	11.6	1.1	0.8	2.9	–0.4	2.6	3.2	5.6	15.2	10.5	11.8	9.4	6.1	–1.5	*–1.5*
22	11.4	9.8	9.7	0.6	0.0	0.6	–3.8	1.6	1.8	4.1	16.3	12.1	10.0	7.1	7.9	–2.0	1.5
23	10.1	*7.2*	8.1	–1.0	–0.4	–2.9	–3.2	2.6	1.8	6.6	15.7	13.0	10.2	4.7	6.5	–1.3	2.6
24	8.7	9.4	8.4	–1.2	–0.6	–6.9	–2.7	4.7	3.2	3.9	15.3	11.5	9.2	3.9	7.1	1.5	–1.3
25	13.6	10.8	7.4	–1.3	1.8	–8.5	3.2	0.4	3.9	4.7	15.7	13.3	9.7	10.1	6.7	3.7	–0.7
26	12.5	11.3	8.7	0.1	–2.0	–6.8	2.4	0.9	6.4	8.3	18.0	18.6	9.9	10.1	3.0	5.9	3.4
27	11.2	12.0	7.1	0.8	–2.5	–8.6	2.8	4.8	5.9	10.0	12.3	19.2	10.8	10.9	4.9	6.0	4.5
28	9.8	11.5	7.8	–0.3	–1.3	–8.5	0.0	–0.3	3.6	11.2	10.8	16.9	10.6	11.5	8.9	4.3	0.8
29	8.7	8.1	5.8	–1.0	–0.1	–4.2	—	3.4	6.6	12.7	9.5	12.2	11.3	4.4	6.8	3.7	–0.3
30	*6.8*	9.4	3.5	1.0	–3.2	–7.9	—	1.8	8.1	8.5	10.5	11.6	10.3	*1.4*	7.8	1.2	0.1
31	12.3	—	*1.8*	—	*–4.1*	*–11.2*	—	5.6	—	9.4	—	9.1	11.7	—	6.0	—	–1.0
Mittel	12.6	11.1	7.7	1.1	0.2	–4.0	–3.7	1.5	2.9	7.3	12.1	11.7	11.7	10.9	6.0	2.8	0.8

$\lambda = 7°\,26'$, $\beta = 46°\,57'$,
$H_b = 572.2$ m, $G = 0.00$ mm.

Bern

Januar 1955
Beobachter: *Meteorologisches Observatorium*

Tag	Lufttemperatur					Luftdruck			Relative Feuchtigkeit			Windrichtung und Stärke			Bewölkung			Niederschlag	Witterung
	7^{30}	13^{30}	21^{30}	Mittel	Abweich. vom Normalst	7^{30}	13^{30}	21^{30}	7^{30}	13^{30}	21^{30}	7^{30}	13^{30}	21^{30}	7^{30}	13^{30}	21^{30}		
1	−1.9	−1.4	−2.9	−2.1	−0.5	714.4	714.1	713.6	68	65	66	ENE 2	ENE 2	NE 2	9	10	9	0.0	
2	−4.7	−4.5	−5.8	−5.0	−3.4	712.0	711.2	711.2	90	85	93	NE 1	NE 1	NE 1	10*	10*	10*	3.0	✳ 5–22
3	−6.2	−4.7	−4.4	−5.1	−3.5	710.1	709.1	709.4	95	90	97	NE 1	NNE 1	NNE 1	10*	10*	10*	10.6	✳ 3¼–22¼
4	−4.9	−3.2	−3.6	−3.9	−2.2	709.7	710.7	712.3	97	85	95	NE 1	NNE 0	NE 0	10	10	10	.	
5	−4.2	−3.6	−3.2	−3.7	−2.0	712.8	712.3	710.7	100	94	97	NE 0	E 1	NE 0	10	10	10	.	≡ 22½–n
6	−4.0	−0.8	−1.8	−2.2	−0.5	708.5	708.0	707.5	98	84	98	E 1	NE 0	N 0	10	10	10	0.1	≡ n–7
7	−3.7	−2.4	−2.9	−3.0	−1.2	705.5	703.9	703.2	100	95	97	NE 0	NNE 0	N 0	10	10	10	.	≡ 2¾–7¾, 7¾–10, 12¼–13
8	−4.6	−3.2	−2.1	−3.3	−1.5	703.7	704.7	707.4	98	92	96	W 0	W 0	SE 1	10	10	10	1.1	≡ 2–3
9	−1.6	1.0	0.2	−0.1	1.7	707.2	706.1	706.6	96	85	88	SE 0	NE 0	W 0	10*	10	10	0.3	✳ 4¼–8, 10–11¼
10	−1.8	−0.1	−2.4	−1.4	0.4	706.5	706.9	706.2	94	84	95	SW 1	SW 1	ESE 1	10	10	10	4.5	
11	0.6	3.4	9.2	4.4	6.2	703.0	700.9	701.5	98	98	86	SE 1	SE 0	WSW 2	10●	10●	9●	25.8	● 1½–24, ∼ I
12	8.4	11.2	11.4	10.3	12.1	701.1	698.0	698.2	92	75	69	WSW 1	SW 2	WSW 3	10●	10●	9●	22.2	● 0–24 mU, ⌿ a–n mU
13	4.5	5.5	4.6	4.9	6.7	705.9	705.6	702.0	89	90	100	W 1	NE 0	NE 1	9	10	10●	14.9	● 0–6¼, 14½–24
14	9.8	8.6	8.7	9.0	10.8	701.1	700.0	702.8	76	86	96	WSW 2	WSW 3	W 2	10●	10●	10●	20.5	● 0–1½, 4¼–22½, ⌿ n–n
15	1.8	4.3	5.8	4.0	5.8	709.2	708.1	706.3	94	85	96	NE 1	WSW 0	SW 0	10	10	7	2.2	● 15–15¾, ▽ 18–18¼
16	9.2	8.2	8.7	8.7	10.5	701.7	698.5	**693.4**	91	96	**64**	W 2	SW 1	WSW 2	10●	10●	4	17.8	● 4½–14¼, 17–17½, 22¾–24
17	0.4	0.0	−0.4	0.0	1.7	703.4	703.6	699.4	94	90	95	WSW 2	NW 1	NE 1	10	10*	10*	20.5	● 0–2¼, ● ✳ 3¼–3¾, ✳ 6½–15 mU.
18	−2.0	0.7	−4.8	−2.0	−0.3	696.0	703.8	709.2	100	75	86	N 0	WNW 1	SSW 0	10*	8	0	7.0	✳ 0–10¾ [20½–24
19	−10.5	−4.0	−6.4	−6.9	−5.2	709.6	708.0	707.9	94	67	88	S 0	E 0	S 0	0	6	9	.	
20	−6.0	−0.5	−1.7	−2.7	−1.1	708.1	709.6	712.1	94	72	86	NE 0	E 0	WSW 0	10	9	10	0.9	✳ 23¼–24
21	−1.0	2.0	1.0	0.7	2.3	714.0	712.5	710.1	98	87	96	S 0	NW 0	W 0	10	9	10●	2.8	✳ 0–1½, ◕ 5¼–6¼, ● 20½–24, ⊕ 12¾
22	1.2	4.2	2.6	2.7	4.3	705.7	704.8	705.1	100	93	100	SE 0	SE 0	E 0	10	10	10≡	0.2	◕ 0–0½, ● 0½–9½ mU, 13¼–13¾, ✳
23	2.0	4.2	3.2	3.1	4.6	707.2	708.9	712.9	100	95	93	E 0	NE 2	ENE 2	10	10	9	.	≡ 0–5, 8–9 [≡ 19¾–24
24	0.8	0.8	−0.4	0.4	1.9	715.1	716.0	**716.7**	99	95	98	NE 2	NE 1	NE 1	10	10	10	.	
25	0.1	1.5	−0.6	0.3	1.7	716.3	715.3	714.5	89	79	97	S 0	W 0	NE 0	10	8	10	.	≡ 23½–24, ⌴ III
26	−2.8	−0.6	−2.1	−1.8	−0.4	714.1	713.0	711.9	93	99	98	S 0	NE 0	SE 0	10≡	10≡	10≡	.	≡ 0–24, ⌴ I
27	−2.4	0.7	−1.0	−0.9	0.4	710.2	709.1	709.1	96	89	100	NE 0	NE 1	W 0	10≡	8	10≡	.	≡ 1–2¾, 3¼–12, 16¼–24
28	−2.2	0.1	−1.1	−1.1	0.2	709.3	709.6	710.9	98	95	100	W 0	NE 0	NE 0	10≡	8≡	10≡	.	≡ 0–14, 16¼–24
29	−2.6	1.8	−1.4	−0.7	0.5	711.0	711.2	711.3	100	85	100	SW 0	NE 0	W 0	10≡	5	10≡	.	≡ 0–11¼, 16¾–24, ⌴ I
30	−2.9	2.3	0.0	−0.2	0.9	710.9	710.5	709.6	100	85	99	W 0	NW 0	NE 0	9≡	9	10≡	.	≡ 0–11, 17½–24, ⌴ I
31	−1.0	2.9	2.2	1.4	2.5	707.2	705.0	704.5	97	86	94	E 0	NE 0	NW 0	10≡	8	10	0.1	≡ 0–10½
																		Summe	
Mittel	−1.0	1.1	0.3	0.1	–	708.1	707.7	707.7	95	86	92				9.6	9.3	9.2	154.5	

$\lambda = 6°\,57'$, $\beta = 47°\,0'$,
$H_b = 487.3$ m, $G = 0.02$ mm.

Neuchâtel

Januar 1955
Beobachter: *Observatorium*

1	−1.9	−0.8	−2.9	−1.9	−1.4	722.4	722.0	722.1	67	64	**63**	NE 3	NE 3	NE 2	9	3	0	0.1	⌿ n–13¾
2	−4.0	−3.6	−5.1	−4.2	−3.7	719.9	719.2	719.5	82	76	88	NE 2	NE 2	NE 2	10*	10*	10*	4.6	✳ fl n–19½, 19½–22
3	−5.2	−4.4	−3.7	−4.4	−3.8	718.3	717.3	717.5	95	95	95	NE 2	NE 2	NE 2	10*	10*	10*	17.6	✳ 2¾–22½
4	−3.3	−1.9	−2.9	−2.7	−2.1	717.8	718.7	720.4	89	84	90	NE 2	NE 1	NE 0	10	10	10	.	
5	−3.4	−2.4	−2.8	−2.9	−2.3	720.8	720.3	718.8	93	92	94	NE 0	NE 0	NE 0	10	10	10	.	
6	−3.0	−1.4	−1.0	−1.8	−1.1	716.4	716.0	715.3	96	92	92	NE 0	NE 0	NE 0	10	10	10	.	
7	−2.6	−2.0	−2.5	−2.4	−1.7	713.2	711.1	710.9	96	90	92	NE 0	NE 1	NE 1	10	10	10	.	
8	−3.2	−2.8	−2.2	−2.7	−2.0	711.5	712.7	715.5	94	87	94	NE 0	NE 0	NE 0	10	10	10	.	
9	−1.0	0.4	0.0	−0.2	0.5	714.8	713.9	714.2	94	89	91	NE 0	NE 1	NE 0	10*	10	10	0.0	✳ fl 7½
10	−0.4	0.3	0.4	0.1	0.8	714.7	714.7	713.9	93	86	88	NE 0	SW 1	W 1	10	9	10	4.8	
11	3.5	5.6	0.8	6.3	7.0	710.2	707.9	708.8	97	97	86	SW 2	SW 3	SW 2	10●	10●	10●	26.4	● 1–23¾
12	8.0	9.0	**10.3**	9.1	9.8	708.0	705.4	705.5	96	96	75	SW 2	SW 3	SW 4	10●	10●	9	17.6	● 3¾–20¼, 22½–24, ⌿ n–n, ⌿ III
13	4.2	5.6	9.0	6.3	7.0	713.2	713.0	709.1	78	75	97	NW 2	E 1	W 3	4	10	10	18.1	● 0 3¼, 15¼ 24, ⌿ 20–n
14	10.0	7.7	8.7	8.8	9.5	707.8	707.3	709.9	77	92	88	SW 3	SW 3	SW 2	10	10●	10●	23.7	● 0–0½, 5¼–6½, 8–21½, ⌿ n–17¼
15	2.6	4.2	8.5	5.1	5.7	717.5	716.3	714.0	83	76	96	NE 1	NE 0	W 2	10	10	10●	7.3	● 10¾–24 mU
16	8.5	8.2	7.5	8.1	8.7	708.8	705.4	**700.9**	93	94	86	W 1	SW 2	SW 3	10●	10●	10●	23.2	● 0–3¾ mU, 3¾–17, 19¾–24, ⌿ p–n
17	0.2	1.3	−0.1	0.5	1.1	711.2	711.3	706.7	96	70	79	SW 3	SW 2	NE 2	10*	9	10	21.0	● 0–6, ✳ 6–10½ mU, 21½–24,
18	−1.3	0.8	−3.4	−1.3	−0.7	702.7	711.6	717.1	96	71	72	NE 0	SW 2	W 1	10*	8	2	1.3	✳ 0–9¼ [⌿ n–a
19	−8.3	−4.2	−5.4	−6.0	−5.5	717.8	716.3	715.9	89	82	88	N 0	NE 0	NE 0	0	8	8	.	≡ n–½ mU
20	−4.3	−1.9	−1.4	−2.5	−2.0	716.2	717.7	720.1	91	80	92	NE 0	NE 0	NE 0	10	10	10*	2.5	✳ 19½–24
21	−1.0	0.7	0.6	0.1	0.6	722.0	720.7	717.9	96	93	96	NE 0	NE 0	NE 0	10	10	10●	8.6	✳ 0–0¼, ● 20¼–24
22	0.9	2.8	2.3	2.0	2.4	713.2	712.3	712.8	98	97	96	NE 0	NE 0	NE 0	10●	10●≡	10	1.6	● 0–1½, ≡ a–13½
23	3.7	5.4	4.4	4.5	4.9	714.8	716.6	720.5	98	94	93	NE 2	NE 2	NE 2	10	10	10	0.2	▽ 5¼, ● 9–11
24	2.1	2.4	0.6	1.7	2.0	723.2	723.8	**725.0**	88	86	86	NE 3	NE 2	NE 1	10	10	10	.	⌿ n–a
25	0.7	1.9	0.8	1.1	1.4	724.2	723.4	722.6	86	81	91	NW 1	SW 0	NE 0	10	7	10	.	
26	−0.4	0.0	−1.0	−0.5	−0.3	722.1	721.1	720.0	93	93	96	NE 0	E 0	NE 0	10	10	10	.	
27	−1.7	0.2	−0.8	−0.8	−0.6	718.2	717.1	718.3	94	86	96	NE 0	NE 0	NE 0	10	10	10	.	
28	−0.9	0.2	−0.4	−0.4	−0.3	717.2	717.7	718.6	96	96	97	NE 0	NE 0	NE 0	10≡	10≡	10≡	0.1	≡ n–n
29	−0.4	0.5	−0.1	0.0	0.1	719.0	719.3	719.3	97	98	98	N 0	E 0	W 0	10≡	10≡	10≡	0.2	≡ n–n
30	−0.4	0.7	0.3	0.2	0.2	718.5	718.7	717.5	98	98	98	W 0	S 1	SW 0	10≡	10≡	10≡	0.2	≡ n–n
31	−0.2	1.9	1.9	1.2	1.2	714.9	712.9	712.0	98	95	96	NE 0	E 0	NE 0	10≡	10≡	10	.	≡ n–13¾
																		Summe	
Mittel	−0.1	1.1	1.0	0.7	–	715.8	715.5	715.5	92	87	90				9.5	9.5	9.3	179.1	

Januar 1955
Beobachter: *Frl. H. Nager*

Altdorf

$\lambda = 8° 39'$, $\beta = 46° 53'$,
$H_b = 456.3$ m, $G = -0.05$ mm.

Tag	Lufttemperatur					Luftdruck			Relative Feuchtigkeit			Windrichtung und Stärke			Bewölkung			Niederschlag	Witterung
	7^{30}	13^{30}	21^{30}	Mittel	Abweich. vom Normalst	7^{30}	13^{30}	21^{30}	7^{30}	13^{30}	21^{30}	7^{30}	13^{30}	21^{30}	7^{30}	13^{30}	21^{30}		
1	−0.6	0.4	−1.8	−0.7	−0.9	726.2	725.1	724.3	55	50	97	S 0	S 0	SE 0	10	10	5	.	
2	−2.9	−0.8	0.9	−0.9	−1.1	722.8	721.4	722.2	61	61	35	E 0	N 0	SE 2	8	8	10	.	
3	0.2	6.6	−0.1	2.2	2.1	721.5	718.0	719.8	60	75	70	N 1	E 2	NE 0	10	10	10	.	
4	−0.5	0.3	−0.1	−0.1	−0.2	720.8	721.2	722.1	83	80	85	N 0	NW 0	N 0	10	10	10≡	.	≡ p-n
5	0.1	0.9	0.6	0.5	0.4	723.4	722.2	720.9	87	87	88	N 0	NE 0	N 0	10	10	10	.	
6	0.3	1.7	1.2	1.1	1.0	719.2	718.6	717.7	92	89	92	NE 0	NW 0	N 0	10	10	10	.	
7	1.1	1.7	0.3	1.0	0.9	715.7	713.4	712.9	93	96	87	N 0	NW 0	NW 0	10	10	10	.	
8	0.8	1.1	0.8	0.9	0.8	714.1	714.7	717.5	87	85	86	N 0	N 0	N 0	10	10	10	.	
9	0.8	2.4	1.7	1.6	1.5	717.6	716.3	716.9	90	79	88	N 0	N 0	NW 0	10	10	10	.	
10	−0.8	2.7	0.8	0.9	0.8	717.1	716.8	716.4	85	82	90	E 0	NW 0	NW 0	6	4	10	2.3	● n (10/11.)
11	1.2	6.9	6.4	4.8	4.7	713.0	709.7	711.7	98	90	100	S 0	S 0	SE 0	10●	10●	10●	40.1	● n-n
12	6.2	7.2	7.4	6.9	6.7	711.0	707.5	708.1	100	98	100	E 0	N 0	E 0	10●	10●	10	29.7	● n-n mU
13	4.4	5.4	4.8	4.9	4.7	715.9	715.9	713.9	94	85	96	E 0	NE 0	NW 0	10●	10●	10●	15.9	● n-n mU
14	8.3	9.8	7.4	8.5	8.3	711.8	708.5	711.7	78	74	96	E 0	NE 0	NW 0	10●	10●	10●	14.1	● n-n mU
15	4.3	7.0	6.8	6.0	5.8	720.3	717.9	715.9	90	73	90	W 0	SW 0	NW 1	10	10	10	0.6	● 16–16½
16	12.2	10.4	8.0	10.2	10.0	710.2	706.8	702.8	43	76	63	SE 2	NW 0	NW 1	9	9	8	2.2	● n (16./17.)
17	5.2	2.3	1.2	2.9	2.7	710.6	712.9	709.5	51	73	85	N 3	W 3	NW 0	10●	10*	10	9.2	● n-8¾, ✶ 8¾-p, ⛈ n-p
18	0.9	2.0	−2.0	0.3	0.0	705.2	712.1	719.8	100	83	71	E 0	SE 0	E 0	10*	10	3	8.4	✶ n-a
19	−5.5	−1.2	−5.3	−4.0	4.3	720.6	718.6	718.9	70	67	80	E 0	E 0	E 0	3	2	5	.	
20	−3.0	0.0	−0.2	−1.1	1.4	718.6	720.3	722.7	90	82	82	E 0	W 0	W 0	10	8	10	.	
21	−0.1	2.7	1.0	1.2	0.9	724.6	723.3	720.4	97	82	95	W 0	W 0	SE 0	10	4	10	.	
22	2.3	4.1	2.3	2.9	2.5	715.6	714.2	715.3	99	84	100	W 0	W 0	E 0	10	10	7	0.5	● tr a-p mU
23	2.0	3.5	2.9	2.8	2.4	718.5	720.0	724.0	98	98	100	W 0	W 0	E 0	10	10	10	.	
24	3.1	3.8	2.7	3.2	2.8	726.3	726.5	727.1	97	82	80	W 0	W 0	NW 0	10	10	10	.	
25	0.8	3.0	−0.7	1.0	0.5	727.1	726.4	725.5	77	73	89	E 0	NW 0	E 0	10	0	3	.	
26	−1.3	0.5	−0.8	−0.5	−1.0	724.8	723.9	722.4	93	87	90	E 0	SE 0	E 0	10≡	10≡	10	.	≡ n-p
27	0.3	2.4	0.1	0.9	0.3	720.6	719.3	719.3	96	84	94	N 0	NW 1	E 0	10	7	5	.	
28	0.2	1.2	−0.4	0.3	−0.3	719.6	720.7	721.6	100	98	100	NE 0	NW 0	NW 0	10≡	10≡	10≡	.	≡ n-n
29	−1.2	1.4	−0.2	0.0	−0.7	721.7	721.9	722.-	99	99	100	NW 0	SE 0	S 0	10≡	10≡	10≡	0.2	☽ n (29./30.), ≡ n-n
30	0.2	1.5	1.2	1.0	0.3	722.0	721.1	719.6	99	96	99	NW 0	NW 0	NW 1	10	10	10	.	
31	11.2	13.2	12.4	12.3	11.5	716.6	714.9	714.7	39	57	57	SE 2	SE 3	SE 2	8	9	10	.	⛈ n-n mU
																		Summe	
Mittel	1.6	3.4	1.9	2.3	–	718.5	717.7	718.0	84	82	87				9.5	8.7	8.9	123.2	

Januar 1955
Beobachter: *Observatorium*

Genève

$\lambda = 6° 9'$, $\beta = 46° 12'$,
$H_b = 405.0$ m, $G = -0.03$ mm.

1	0.1	0.2	1.0	0.4	0.1	729.0	730.9	731.2	71	73	93	NNE 1	NNE 1	NNE 1	10	10	10	.	
2	−0.7	−2.6	−3.0	−2.1	−2.4	729.4	728.7	728.8	96	87	96	NNE 1	NNE 1	NNE 1	10*	10*	10*	6.0	✶ n-n
3	−2.7	−1.8	−1.2	−1.9	−2.2	724.9	723.4	723.0	96	96	96	NNE 1	NE 1	NE 1	10	10	10	7.0	✶ n-n mU
4	−1.2	1.0	−1.0	−0.4	−0.6	725.8	726.3	727.1	96	88	92	NE 0	NE 0	NE 0	10	6	10	.	
5	−1.4	−0.6	−1.2	−1.1	−1.3	728.3	727.1	726.0	96	92	96	NE 0	NE 0	NE 0	10	10	10	.	
6	−1.0	1.0	0.7	0.2	0.0	723.9	723.0	722.4	100	85	88	E 1	NE 0	NE 0	10	10	10	.	
7	0.6	1.6	0.4	0.9	0.7	719.8	717.3	717.8	88	89	92	NE 0	NE 0	NE 0	10	10	10	.	
8	0.0	0.5	0.2	0.2	0.0	720.1	720.6	723.2	92	86	92	E 0	NNE 1	NNE 1	10	10	10	0.0	▽ n (8/9.)
9	0.0	1.8	0.7	0.8	0.6	722.5	721.3	721.5	92	93	94	SW 1	NNE 1	E 0	10	10	10	.	
10	0.5	1.7	0.7	1.0	0.8	722.7	722.1	721.6	90	85	96	E 0	NE 0	E 0	10	10	10	12.2	
11	4.4	7.6	11.4	7.8	7.6	719.2	717.4	718.7	93	80	80	NNE 1	SW 2	SW 3	10●	10●	10	10.2	● 1½-7½, 9¾-20, ⛈ a-n
12	10.4	12.1	13.0	11.8	11.6	716.8	715.0	715.6	82	88	88	SW 3	SW 2	SW 3	10●	10●	10	12.4	● 4¼-13¾, 16½-17¼, ⛈ n-n
13	9.8	10.0	12.5	10.8	10.0	721.3	720.5	717.5	76	62	71	SW 1	SW 1	SW 3	10	10	10●	14.6	● 2–5, 16–24, ⛈ p-n
14	12.0	12.0	10.0	11.3	11.1	717.2	716.1	718.6	70	67	86	W 1	SW 3	SW 1	10	10●	10●	11.0	● 0–3¾, 10¾–23 mU, ⚿ 4,
15	10.2	8.0	10.2	9.5	9.2	724.8	725.0	721.3	84	91	95	NNE 1	NNE 1	NE 1	9	10	9	6.7	● 15½–16¾, 18–19¼ [⛈ II
16	11.3	12.0	11.0	11.4	11.1	717.8	713.7	710.0	93	87	90	S 1	SW 3	SW 4	9	10	10●	15.7	● 4¾-11¾ mU, 15½-16¾, 21-24, ⛈ a-n,
17	4.0	6.4	1.5	4.0	3.7	720.2	718.1	713.-	61	60	94	SSW 1	W 1	NE 1	9	9	10	14.7	● 0-1, 3-3¼, ✶● 19½-24 mU [⛈ III
18	3.0	2.7	−0.6	1.7	1.4	713.5	720.8	724.3	98	64	61	NNE 1	NNE 1	NNE 1	10●	9	0	0.0	● ✶ 0–7½, ▽ 14¾
19	−3.0	−0.4	−0.8	−1.4	−1.8	724.8	723.7	723.1	87	70	73	E 1	NNE 1	NNE 1	0	5	10	0.1	
20	−0.6	0.7	0.2	0.1	−0.3	724.5	724.9	727.2	90	87	96	NE 1	NNE 1	NE 1	10	10	10	8.1	✶fl 6, 18–24 mU
21	0.6	2.2	1.6	1.5	1.1	729.0	727.6	724.8	92	82	93	NNE 0	ESE 1	E 1	10	10	10	10.8	✶ 0-2, ● 18½-21¼, 23¾-24
22	4.6	5.6	6.0	5.4	4.9	720.1	719.0	719.6	93	94	94	NE 1	NNE 1	E 0	10	10	10	0.9	● 0–6½, 11–11½
23	5.4	5.0	6.9	5.8	5.3	721.8	723.1	726.8	84	87	85	NNE 1	NNE 1	NNE 1	10	10	10	.	
24	4.1	4.2	3.5	3.9	3.3	730.9	730.7	732.1	83	77	71	NNE 1	NE 1	NNE 1	10	10	10	.	
25	2.8	3.9	1.0	2.6	2.0	731.6	730.5	730.0	80	78	93	NNE 1	NNE 1	NNE 1	10	9	2	.	
26	1.0	1.7	1.2	1.3	0.6	729.1	727.9	727.0	85	82	93	NNE 1	NNE 1	NE 1	10	9	10	.	
27	0.2	1.1	−0.4	0.3	−0.4	725.1	724.6	724.0	88	90	100	NE 1	NNE 1	NNE 1	10	2	10≡	.	≡ p-n
28	0.0	0.9	1.2	0.7	−0.1	724.9	725.2	725.8	100	100	100	ENE 0	ENE 0	ENE 0	10≡	10≡	10≡	.	≡ n-n
29	−0.6	0.0	0.5	0.0	−0.8	726.4	727.1	726.4	100	96	100	E 0	ENE 0	ENE 0	10≡	10	10≡	.	≡ n-a, p-n
30	−1.2	1.3	1.5	0.5	−0.4	725.7	725.8	724.8	100	100	100	E 0	ENE 0	E 0	10≡	10	10≡	.	≡ n-n mU
31	1.3	5.0	3.3	3.2	2.2	722.0	719.4	719.2	100	87	100	E 0	E 1	E 1	10	9	10	0.0	
																		Summe	
Mittel	2.4	3.4	3.0	2.9	—	723.7	723.1	723.0	89	84	90				9.6	9.3	9.4	130.4	

$\lambda = 8°\ 34'$, $\beta = 47°\ 23'$,
$H_b = 569.4$ m, $G = 0.03$ mm

Zürich

Januar 1955
Beobachter: *Meteorologische Zentralanstalt*

Tag	Lufttemperatur					Luftdruck			Relative Feuchtigkeit			Windrichtung und Stärke			Bewölkung			Niederschlag	Witterung
	7^{30}	13^{30}	21^{30}	Mittel	Abweich. vom Normalst	7^{30}	13^{30}	21^{30}	7^{30}	13^{30}	21^{30}	7^{30}	13^{30}	21^{30}	7^{30}	13^{30}	21^{30}		
1	−2.9	−1.4	−3.7	−2.7	−1.1	715.7	715.1	714.5	78	68	74	NNE 1	NNE 1	NE 2	9*	8	10	0.0	✳fl 7½
2	−5.9	−4.4	−5.9	−5.4	−3.8	712.7	711.8	712.3	81	72	82	NE 2	NNE 2	NNE 2	9	9	9	0.0	
3	−6.8	−3.2	−5.1	−5.0	−3.4	711.4	709.6	710.1	87	66	79	NNE 1	NNE 2	NNE 2	10	10	10	3.5	● 23–24
4	−5.3	−3.4	−4.1	−4.3	−2.6	710.4	711.5	712.5	92	91	95	NNE 2	NNE 1	NNW 1	9	10	10	0.1	● 0–3, ∽² n–n
5	−3.5	−2.5	−3.7	−3.2	−1.5	713.0	712.5	710.9	95	97	99	ENE 1	N 0	NNE 1	10	10	10	.	∽² n–n
6	−4.3	−2.3	−2.5	−3.0	−1.3	709.1	708.5	707.9	100	92	93	ENE 1	NE 1	NNE 1	10≡	10	10	.	≡ n–8, a mU
7	−4.2	−3.7	−3.1	−3.7	−2.0	705.8	703.6	703.0	100	96	95	NNE 1	NNE 2	NW 1	10≡	10	10	.	≡ n–10
8	−4.0	−3.9	−3.1	−3.7	−1.9	703.8	704.9	707.4	100	100	100	NW 1	WSW 1	SW 1	10≡	10	10	1.0	≡ n–a mU
9	−1.9	0.2	−0.6	−0.8	1.0	707.6	706.3	706.7	100	95	97	S 1	SW 1	NNE 0	10≡*	10≡*	10	1.3	✳ 6–14, ≡ n–14½
10	−1.0	−0.1	−0.9	−0.7	1.1	706.7	706.4	705.6	95	86	88	WSW 1	SW 1	SSW 1	10	10	9	9.1	
11	1.6	5.0	8.8	5.1	6.9	701.6	699.3	700.3	100	97	95	SSW 1	S 1	SSW 2	10●	10●	10●	**25.4**	● 2¼–9¾, 15¼–24, ≡ a mU, ∽ a,
12	9.1	6.9	**10.4**	8.8	10.6	700.0	696.9	696.5	86	95	84	SSW 3	SSW 2	SW 3	10●	10●	10●	17.9	● n–n mU, ∽ n–n [p–n mU
13	2.3	1.8	0.7	1.6	3.4	705.8	706.4	701.9	86	80	100	WSW 2	WNW 1	NNW 1	9	10	10●	20.3	● 0–3, 18–24, ✳ 15–18
14	9.0	8.3	8.1	8.5	3.4	700.0	698.1	701.6	75	84	95	SW 3	SSW 3	SW 2	10●	10●	10	22.5	● 0–1¾, 7¼–23 mU, ∽ 1½–20½
15	0.1	1.9	5.9	2.6	4.4	709.9	708.2	705.7	96	85	90	NNE 1	SW 1	S 1	10	10	10●	0.1	● 15¾–24
16	9.3	8.5	7.3	8.4	10.2	700.6	697.8	**692.4**	80	95	71	SSW 2	SSW 1	SSW 2	10●	10●	3	15.1	● 7½–15¼
17	−0.9	1.2	−1.5	−0.4	1.4	701.8	703.2	699.8	96	70	70	WSW 3	WSW 2	SSE 1	10*	7	10	11.8	✳ 0¼–3, 6¼–8½, 11¼–11¾, ∽ 9–9½
18	−2.7	1.4	−2.9	−1.4	0.3	695.1	702.6	708.6	100	71	67	W 1	WSW 2	SSW 2	10≡*	7	9	8.2	✳ 1¾–10½, ≡ n–10
19	−5.9	0.9	−7.8	−4.3	−2.6	709.8	708.3	708.1	82	**53**	84	S 1	NE 1	WNW 1	1	2	0	.	
20	−8.6	−1.4	−3.9	−4.6	−2.9	708.3	710.1	712.2	92	59	82	NE 1	SSW 1	NNW 1	2	9	10	.	⌴ l
21	−2.7	5.1	0.0	0.8	2.5	714.4	712.7	710.1	94	**53**	89	SSE 1	NE 1	W 1	10	4	10	5.7	● 23¾–24
22	1.7	6.7	2.4	3.6	5.3	705.5	704.5	705.3	100	77	100	SSE 0	SSW 1	NE 0	10≡●	9	9	2.4	● 0–0½, 7½–12, ≡ n–12
23	2.2	3.3	1.4	2.3	3.9	707.6	709.8	714.0	100	97	100	NE 1	NE 1	NNE 1	10≡	10	10◑≡	0.1	◑ 21½, ≡ n–10¼, 17½–n
24	−0.6	−0.4	−0.5	−0.5	1.1	715.8	716.6	**717.0**	100	97	95	NNE 2	NNE 1	NNE 1	10	10	10	.	
25	−1.0	0.3	−0.9	−0.5	1.1	716.7	715.9	714.6	96	83	94	ENE 1	S 1	NE 1	10	10	10	.	
26	−2.3	−0.4	−2.4	−1.7	−0.1	714.2	713.2	712.2	100	87	100	S 1	SW 1	N 1	10≡	10	10≡	0.0	≡ n–10, 21½–n
27	−3.0	−0.8	−1.3	−1.7	−0.2	710.6	709.4	709.1	99	100	97	ENE 1	NNE 1	ENE 1	10≡	5	0	0.0	≡ n–12½
28	−2.5	−1.3	−1.3	−1.7	−0.2	709.4	710.0	710.9	100	100	100	S 1	SSW 1	SW 1	10≡	10≡	10≡	0.0	≡ n–n, ⌴ l
29	−2.5	−0.8	−1.1	−1.5	0.0	711.1	711.3	711.2	99	100	100	WSW 1	SW 1	SSW 1	10≡	10≡	10≡	0.0	≡ n–n, ⌴ l
30	−2.7	−0.5	−1.5	−1.6	−0.2	710.9	710.8	710.6	100	100	100	ESE 1	WSW 0	ENE 1	10≡	10≡	10≡	.	≡⋁ n–n
31	−2.9	2.3	0.9	0.1	1.5	707.2	705.5	704.3	99	88	100	NE 1	NE 1	WNW 1	10≡	9	10	.	≡⋁ n–12
																		Summe	
Mittel	−1.4	0.8	−0.4	−0.3	—	708.1	707.8	707.6	94	85	91				9.3	9.0	9.0	144.5	

$\lambda = 6°\ 32'$, $\beta = 46°\ 51'$
$H_b = 1588$ m, $G = -0{,}13$ mm

Chasseron

Januar 1955
Beobachter: *J. Liardon*

1	−11.0	−10.8	−12.0	−11.3	—	626.6	626.4	626.2	97	97	97	ESE 2	ESE 1	ESE 2	0	10≡	0	.	≡ 11¾–13½ mU
2	**−13.4**	−13.0	−11.8	−12.7	—	624.0	623.4	623.9	97	94	94	NNE 1	ESE 1	ESE 1	10≡	9	10≡*	2.1	✳ n–n mU, ≡ n–8, 15–n
3	−9.0	−6.2	−4.0	−6.4	—	622.9	622.7	623.5	96	100	100	ESE 2	ESE 2	ESE 2	10≡*	10≡*	10≡*	1.2	✳ n–n
4	−1.8	1.8	2.0	0.7	—	624.4	625.9	627.0	100	67	70	ESE 1	ESE 2	ESE 1	9	8	7	.	
5	1.2	3.0	1.0	1.7	—	627.5	627.5	626.1	70	60	68	ESE 1	ESE 0	ESE 1	6	6	5	.	
6	2.2	2.0	1.2	1.8	—	624.2	624.1	623.5	63	66	78	ESE 1	ESE 1	E 1	9	9	9	.	
7	0.2	3.8	3.0	2.3	—	621.2	619.5	619.2	76	52	51	E 1	ESE 1	SSE 0	8	7	8	.	
8	2.0	−0.2	−2.0	−0.1	—	619.2	620.3	622.2	56	67	**23**	NNW 0	N 1	N 1	6	4	8	.	
9	−3.8	−4.2	−2.0	−3.3	—	621.8	620.8	621.5	98	100	26	W 1	SW 1	NW 1	8	4	1	.	
10	−0.4	1.6	−0.8	0.1	—	622.1	622.7	622.4	25	44	40	SE 0	WSW 2	WSW 3	1	2	4	18.0	● n (10./11.), ∽ III
11	1.8	3.1	3.1	2.7	—	619.2	618.1	618.0	100	100	100	SW 4	SW 3	WNW 6	10●≡	10●≡	10●≡	**54.0**	●≡ n–n, ∽ n–n, ∽ III
12	2.0	3.6	2.8	2.8	—	618.2	615.5	615.2	100	100	100	WSW 4	WNW 8	W 7	10●≡	10●≡	10●≡	48.0	●≡ n–n, ∽ n–n
13	−3.0	−1.0	4.0	0.0	—	621.3	622.0	618.9	100	100	100	WNW 3	W 2	SW 7	10◑≡	10≡	10●≡	18.0	◑ n–9½, ● 12½–n mU, ≡ n–n *)
14	2.0	1.2	2.8	2.0	—	618.2	617.4	618.4	100	100	100	W 4	W 5	WNW 5	10●≡	10●≡	10●≡	39.0	● ≡ n–n, ∽ n–n
15	1.2	1.2	5.2	2.5	—	625.2	625.0	624.6	95	100	100	SW 1	S 2	W 4	9	9	10●≡	24.0	● 15–n, ≡ 12½–14 mU, 15–n, *)
16	1.8	1.4	−0.2	1.0	—	618.5	616.0	618.4	100	100	100	NW 5	WSW 2	WSW 1	10●≡	10●≡	10*≡	28.0	● ≡ n–14, ● ✳ ≡ 15–n, *)
17	−7.0	−7.6	−6.6	−7.1	—	617.8	617.3	615.3	98	99	100	NNW 4	W 2	S 1	10*≡	10*≡	10*≡	12.0	✳ ≡ n–14½, 17 n, ⋁ n–n, *)
18	−4.6	−8.2	−10.4	−7.7	—	**611.0**	618.1	622.1	100	93	96	W 3	NW 2	NNW 2	10*≡	10*≡	4	1.0	✳ ≡ n–10, 12½–18 mU, ∽ l
19	−12.0	−8.8	−6.8	−9.2	—	622.7	621.8	622.0	90	34	42	E 1	E 2	S 1	1	6	4	.	
20	−5.2	−3.4	−3.4	−4.0	—	622.6	624.1	626.2	90	92	100	SE 1	SE 1	S 1	10	10	10*	5.0	✳ 16¾–n, ≡ 10–12½ mU, *)
21	−1.6	−1.6	−10.0	−4.4	—	628.6	627.7	625.8	100	99	100	W 1	WSW 1	SSW 3	10≡	6	10	12.0	● ✳ n (21./22.), ≡ n–7¾, 7¾–12
22	0.6	0.0	0.4	0.3	—	622.0	621.3	621.5	100	100	89	WSW 1	WSW 2	WSW 0	10●≡	10●≡	4	3.0	● ✳ ≡ n–15½ [mU, ∽ III
23	−0.2	0.0	−0.4	−0.2	—	622.8	623.5	623.2	100	100	100	E 2	E 2	E 2	10◑≡	10◑≡	10◑≡	5.0	◑ ≡ n–n, ⋁ III
24	−3.0	−1.4	−1.4	−1.9	—	628.9	630.2	**630.6**	100	96	56	E 2	E 2	E 2	1	3	1	.	≡ n–7¾, ⋁ l
25	1.2	3.2	2.0	2.1	—	630.0	**630.6**	629.9	58	48	48	W 1	WSW 1	SW 1	3	2	2	.	
26	0.4	3.4	0.4	1.4	—	629.2	628.8	627.6	38	46	46	E 1	E 1	E 1	3	4	6	.	
27	3.6	**5.8**	4.4	4.6	—	626.2	626.2	626.1	42	46	49	SE 2	SE 2	SE 1	7	6	7	.	
28	5.2	5.1	3.2	4.5	—	626.1	626.8	627.4	45	39	45	E 1	N 0	NNE 1	4	4	1	.	
29	3.4	5.4	3.8	4.2	—	627.3	627.8	627.8	58	60	68	SSW 0	SSW 0	WSW 0	1	0	3	.	
30	1.4	2.0	1.8	1.7	—	626.9	626.8	626.2	70	70	93	S 1	SSW 1	SSW 0	5	9	6	.	
31	0.8	2.2	3.4	2.1	—	623.6	622.0	621.9	73	61	57	SE 2	SE 2	SE 1	3	7	7	.	
																		Summe	
Mittel	−1.5	−0.5	−0.9	−1.0	—	623.2	623.2	623.4	82	78	75				6.9	7.2	6.7	270.3	

*) **13.** mU, ⋁ l, ∽ n–n mU, ∽ III
15. ⋁ l, ∽ III
16. ∽ n–n, ∽ l
17. ∽ n–a
20. 16¾–n

Januar 1955
Beobachter: *Stationspersonal Rh. B.*

Bever

$\lambda = 9° 53'$, $\beta = 46° 33'$,
$H_b = 1711.8$ m, $G = -0.23$ mm

Tag	Lufttemperatur 7³⁰	13³⁰	21³⁰	Mittel	Abweich. vom Normalst	Luftdruck 7³⁰	13³⁰	21³⁰	Relative Feuchtigkeit 7³⁰	13³⁰	21³⁰	Windrichtung und Stärke 7³⁰	13³⁰	21³⁰	Bewölkung 7³⁰	13³⁰	21³⁰	Niederschlag	Witterung
1	-26.0	-15.7	-19.9	-20.5	-10.9	619.1	617.1	617.5	95	95	90	SW 0	S 0	S 0	0	2	1	.	
2	-21.8	-14.0	-20.0	-18.6	-9.0	617.6	616.3	618.6	94	80	95	SW 0	SW 0	S 0	4	5	6	.	
3	-17.1	-9.6	-7.2	-11.3	-1.6	619.2	618.8	619.0	98	91	100	SW 0	SW 0	SW 0	10	10	10	8.8	✳fl n-n, n (3./4.)
4	-6.2	0.2	-3.0	-3.0	6.7	619.4	619.8	620.8	100	90	99	SW 0	SW 0	SW 0	10	10	9	.	
5	-11.6	-2.7	-9.6	-8.0	1.7	621.0	620.6	621.0	95	66	98	SW 0	SW 0	SW 0	1	4	8	.	
6	-3.9	1.0	-5.0	-2.6	7.2	618.5	617.5	617.4	97	84	100	SW 0	SW 0	SW 0	9	10	10≡	.	≡ p-n
7	-5.0	3.2	-4.6	-2.1	7.7	615.5	613.4	613.1	100	60	100	SW 0	S 0	SW 0	9	6	9	.	
8	-10.8	-0.2	-8.2	-6.4	3.4	612.3	611.8	613.2	95	60	100	SW 0	SW 0	SW 0	0	1	10	.	
9	-5.2	0.0	-7.8	-4.3	5.5	612.4	611.9	612.8	98	79	97	SW 0	SW 0	SW 0	9	9	0	.	
10	-16.6	-4.2	-15.7	-12.2	2.3	614.6	614.6	615.5	96	55	95	S 0	SW 0	S 0	0	0	0	.	
11	-5.8	-0.7	-1.8	-2.8	7.1	612.6	611.4	610.8	87	75	100	S 0	NE 0	SW 1	10	10	10*	16.5	✳ 20-n, ● n (11./12.)
12	-1.6	3.0	2.0	1.1	11.0	610.1	608.2	608.4	96	76	89	SW 0	SW 2	W 0	3	10	10	.	
13	1.0	5.8	3.6	3.5	13.4	611.8	612.5	611.8	90	39	74	NE 0	W 0	SW 1	10	1	10	.	
14	0.3	4.0	1.6	2.0	11.8	611.3	608.9	611.3	99	68	92	SW 0	SW 0	W 0	10	5	10	1.9	✳ 8-a, ● 22-n
15	-3.6	0.8	0.6	-0.7	9.1	616.1	616.8	617.2	92	73	60	N 0	S 0	SW 0	2	5	3	.	
16	-0.2	2.2	-1.2	0.3	10.1	613.9	609.5	605.5	87	90	94	SW 0	W 1	SW 1	10	10●	10	6.6	✳fl 8-13, 18-n mU,
17	-3.6	-4.6	-13.6	-7.3	2.5	607.2	607.9	607.0	60	57	88	SW 0	W 1	SW 0	9	1	5	0.6	✳ n (17./18.) [● 13-14½
18	-6.8	-1.4	-14.0	-7.4	2.3	603.8	605.6	612.2	96	56	60	NW 0	SW 2	SW 0	10	7	2	1.4	✣ a-p
19	-24.4	-9.8	-21.0	-18.4	-8.7	614.9	614.2	616.6	94	46	90	SW 0	SW 0	SW 0	0	1	0	.	
20	-15.8	-7.2	-12.2	-11.7	-2.0	615.3	616.4	618.6	86	47	91	SW 0	W 0	W 0	8	2	8	.	
21	-15.2	-3.6	-9.6	-9.5	0.1	620.8	620.0	619.0	89	55	94	SW 0	SW 0	SW 0	4	1	9	.	
22	-6.6	1.3	-3.4	-2.9	6.7	615.7	613.4	614.0	100	51	100	SW 0	SW 0	SW 0	10	8	9	.	
23	-5.8	1.0	-10.2	-5.0	4.5	616.1	616.9	620.3	95	58	100	W 0	SW 0	W 0	10≡	1	0	.	≡ n-a
24	-15.4	-0.3	-14.8	-10.2	-0.8	622.9	623.1	624.6	95	54	93	SW 0	SW 0	SW 0	0	0	0	.	
25	-18.6	-1.8	-16.1	-12.2	-2.8	624.0	622.4	623.1	95	42	90	SW 0	SW 0	SW 0	0	0	0	.	
26	-19.2	-2.4	-14.5	-12.0	-2.7	622.5	622.9	622.4	96	45	94	SW 0	SW 0	S 0	0	1	1	.	
27	-13.2	-1.4	-8.7	-7.8	1.4	622.0	620.2	620.4	97	61	97	SW 0	SW 0	SW 0	1	5	4	.	
28	-13.4	1.6	-10.6	-7.5	1.7	619.5	618.7	620.2	95	55	98	SW 0	SW 0	SW 0	0	3	0	.	
29	-14.6	1.4	-10.6	-7.9	1.2	620.0	620.0	621.0	98	50	98	SW 0	SW 0	W 0	0	0	0	.	
30	-15.6	3.1	-4.6	-5.7	3.3	620.6	620.1	620.5	98	50	95	SW 0	SW 0	SW 0	0	3	8	.	
31	-7.5	2.6	-1.6	-2.2	6.7	619.1	617.8	617.2	98	70	95	SW 0	SW 0	SW 0	6	9	10	.	
																		Summe	
Mittel	-10.6	-1.6	-8.4	-6.9	—	616.4	615.7	616.5	94	64	92				5.0	4.5	5.5	35.8	

Januar 1955
Beobachter: *Couvent des Capucins*

Sion

$\lambda = 7° 21'$, $\beta = 46° 14'$,
$H_b = 548.6$ m, $G = -0.11$ mm.

1	-0.8	1.1	-0.7	-0.1	0.7	716.2	715.3	715.7	75	59	65	W 0	E 1	E 1	10	2	10	.	
2	-2.8	-1.6	-1.6	-2.0	-1.1	714.5	713.9	715.3	92	83	78	ENE 0	ENE 0	E 0	10	10	9	0.9	✳ 7½-11½
3	-3.8	0.6	1.3	-0.6	0.3	715.8	714.8	713.0	97	77	60	ENE 1	ENE 0	E 1	10*	10	9	1.2	✳ 4¼-8¼
4	2.9	6.2	-1.0	2.7	3.6	712.6	712.9	715.4	70	65	98	E 0	E 0	SW 0	10	10	0	.	
5	-2.6	3.9	0.8	0.7	1.7	715.4	714.4	713.9	100	82	94	SSW 0	SSW 0	WSW 0	2	7	6	.	
6	5.2	3.7	0.0	3.0	4.0	711.7	710.5	710.5	60	82	99	WSW 1	WSW 1	WSW 0	9	10	7	.	
7	-1.6	2.5	0.4	0.4	1.4	707.9	705.4	705.6	100	90	99	WSW 0	WSW 1	WSW 0	10≡	6	6	.	≡ 5-11
8	-0.5	0.2	0.6	0.1	1.1	706.2	707.4	710.8	100	100	95	WSW 0	WSW 0	WSW 0	10≡	10≡	10≡	.	≡ n-n
9	0.3	1.9	1.6	1.3	2.3	710.4	709.1	709.7	96	85	83	WSW 0	WSW 0	WSW 0	9	6	10	.	
10	-1.8	3.2	0.6	0.7	1.7	710.6	710.7	712.0	93	57	63	WSW 1	WSW 0	WSW 0	0	2	8	5.0	
11	0.8	2.0	2.0	1.6	2.6	708.9	706.4	706.1	100	96	100	ENE 1	ENE 1	ENE 0	10*	10	10●	36.4	✳ 5-12½, ● 13-13½, 13¾-24
12	4.2	5.5	6.4	5.4	6.4	705.8	703.3	703.2	100	98	97	ENE 0	ENE 0	ENE 0	10●	10●≡	10●≡	34.7	● 0-24, a-n
13	6.8	8.3	6.3	7.1	8.1	707.5	708.8	707.8	95	81	100	WSW 0	WSW 1	WSW 0	10●	10	10●	21.4	● 0-8¾, 17¼-24
14	5.4	7.5	6.1	6.3	7.2	706.4	705.8	706.2	100	89	84	SE 1	SE 0	SE 0	10●≡	10●	10●÷	21.5	● 0-24, ≡ n-a, p-n
15	6.4	9.1	6.9	7.5	8.4	711.4	712.3	712.0	81	74	96	SE 1	WSW 0	WSW 1	10	10	10	0.5	● 0-4½, 15-17¾, 19¾-20½
16	6.9	6.9	5.2	6.3	7.2	705.8	703.1	699.5	87	97	95	WSW 1	WSW 0	WNW 0	10	10●	4	15.7	● 8¾-14¾, 17¾-19, 20, 22¾-24
17	3.2	6.2	0.9	3.4	4.2	706.2	705.7	702.9	72	45	97	W 3	WSW 1	W 0	10	7	10*	10.0	● 0-2½, ✳ 19¾-24, ⌐
18	0.5	2.7	-2.2	0.3	1.1	696.2	704.0	711.6	100	73	63	WNW 0	W 2	W 0	10*	8	0	5.3	✳ 0-10¾
19	-6.6	-3.8	-3.3	-4.5	-3.8	714.3	712.4	711.6	70	57	65	W 0	WNW 1	NW 0	0	8	0	.	
20	-1.8	3.5	0.8	0.8	1.5	711.2	712.4	715.1	70	51	86	WNW 0	WNW 1	NW 0	8	5	10	.	
21	0.2	4.6	3.1	2.6	3.2	717.1	715.7	714.7	92	65	85	NW 0	NW 0	NW 0	8	9	10●	6.5	● 20½-24
22	2.2	5.8	4.1	4.0	4.6	710.3	707.9	707.9	100	79	92	NW 0	NW 1	NW 0	10●	7	10	0.7	● 0-8¾
23	1.3	4.9	2.6	2.9	3.4	709.5	710.8	714.7	100	85	96	NW 1	NW 1	NW 1	5	5	4	.	
24	0.0	2.2	1.1	1.1	1.5	717.3	717.6	719.2	100	95	100	NW 0	WNW 1	WNW 1	1	10	10≡	.	≡ p-n
25	-3.4	3.8	0.8	0.4	0.8	719.4	718.0	717.8	100	64	71	WNW 0	WNW 0	WNW	10≡	0	0	.	≡ n-a
26	-2.6	5.4	1.2	1.3	1.6	717.3	715.4	715.3	80	42	72	WNW 1	ENE 0	WNW 1	0	0	0	.	
27	3.0	12.0	8.6	7.9	8.1	714.3	712.4	711.8	69	44	60	WNW 0	ENE 0	NW 1	4	5	8	.	
28	3.2	10.4	1.0	4.9	5.0	712.4	712.5	713.7	82	56	100	NNW 1	NNW 1	NNW	5	1	0	.	
29	0.4	7.9	1.2	3.2	3.2	714.3	714.0	714.4	90	55	90	NNW 0	NNW 0	NNW 0	0	0	0	.	
30	0.9	9.3	6.0	5.4	5.3	714.4	713.5	713.1	76	44	59	NNW 1	NNW 0	NNW 0	4	9	4	.	
31	5.8	12.9	8.0	8.9	8.7	711.6	708.8	708.5	61	43	57	NNW 0	NNW 0	ENE 0	10	7	9	.	
																		Summe	
Mittel	1.0	4.8	2.2	2.7	—	711.4	710.8	711.2	87	71	84				7.2	6.9	6.6	159.8	

$\lambda = 8°\,57'$, $\beta = 46°\,0'$,
$H_b = 276.2$ m, $G = -0.01$ mm.

Lugano

Januar 1955
Beobachter: *G. Vicari*

Tag	Lufttemperatur					Luftdruck			Relative Feuchtigkeit			Windrichtung und Stärke			Bewölkung			Niederschlag	Witterung
	7^{30}	13^{30}	21^{30}	Mittel	Abweich. vom Normalst	7^{30}	13^{30}	21^{30}	7^{30}	13^{30}	21^{30}	7^{30}	13^{30}	21^{30}	7^{30}	13^{30}	21^{30}		
1	1.2	1.8	0 4	1.1	−0.6	739 8	739.8	740.2	91	87	93	N 1	S 1	N 1	10	10*	10	1.1	✳fl 11½–14½, n (1./2.)
2	−1.2	−0.8	−2 0	−1.3	−2.9	740 5	740.7	743.1	97	99	100	N 1	N 1	W 1	10*	10*	10	3.8	✳ n–7½, 10½–15½, ⌙l ✳
3	−1 2	0.6	−0.6	−0.4	−2.0	743.3	742.1	742.1	92	84	100	NW 1	S 1	— 0	10*	10*	10*	11.2	✳ 7–n ✳
4	0.2	1.8	1.6	1.2	−0.4	741.5	741.5	741.3	100	92	99	N 1	N 1	W 1	10*	10	10	0.2	✳ n–9½ ✳
5	2.0	4.8	3.4	3.4	1.8	740.4	740.6	740.1	99	83	96	W 1	N 1	N 1	10	10	10	1.3	☽ a mU, n (5./6.) ✳
6	3.2	5.2	4.2	4 2	2.7	739.0	737.8	737.4	99	99	99	N 1	N 1	— 0	10☽	10☽	10	17 5	● ☽ 6½–n mU
7	3.2	5.2	4 8	4 4	2 9	734.4	732 7	731.2	100	98	99	N 1	N 1	NW 1	10☽	10●	10☽	6.3	☽ n–7½, ☽ ● 8–n
8	4.8	10.6	6.2	7.2	5.7	729.0	728.7	730 4	99	66	94	N 1	S 1	N 1	10	4	6	.	
9	2.0	5.8	4 4	4.1	2.6	73 .4	730.4	731.4	97	91	98	N 1	S 1	N 1	2	10≡	10	.	≡ a–p
10	1.0	6.4	1.4	2.9	1.4	732.1	732.5	734.0	97	73	96	N 1	S 1	N 1	9	0	9	.	
11	2.2	6.4	2.8	3.8	2.4	732.1	729.7	728.9	86	68	91	N 1	S 1	N 1	10	9	8	.	
12	1.4	7.6	4 4	4.5	3.1	728.1	726.5	726.5	95	63	84	N 1	S 1	SE 1	10	9	8	0.0	●tr 18½
13	1.6	12 4	5.2	6.4	5.0	726 3	727.9	729 3	98	57	96	N 1	S 1	S 1	0	0	10	.	
14	4.4	7.4	4.6	5.5	4.1	728.9	727.0	726.7	94	79	98	NW 1	S 1	W 1	10	8	9	.	
15	13.2	11.2	5 4	9.9	8.5	73 .2	732.9	737.2	33	51	93	N 2	SE 1	N 1	0	8	10	0.2	☽ n (15 /16)
16	5.2	5.4	4.2	4 9	3.5	733.6	729.1	723.8	99	99	98	N 1	NE 1	S 1	10☽	10☽●	10	12.0	☽ ● n–19½
17	2.6	11.2	3 8	5 9	4.4	723.2	724.0	725.0	96	31	44	N 1	N 2	N 1	1	3	10	.	
18	4.2	9.2	4.4	5 9	4.4	721.7	**721.5**	730.5	61	59	**28**	N 1	SE 1	N 2	10	0	0	0.3	● 10¾–11½
19	−0.8	7.4	−0.6	2 0	0.5	735.5	736.5	737.5	42	36	51	N 1	SE 1	NW 1	0	1	5	.	⌙l
20	−1.2	6.4	1.0	2.1	0.5	737.0	737.0	738.3	68	45	67	NW 1	SE 1	N 1	9	6	10	.	⌙l
21	−0.8	7.4	2.2	2.9	1.3	740.8	740.5	739.7	65	49	70	N 1	SSE 1	N 1	0	9	10	.	⌙l
22	0.6	5.2	2.2	2.7	1.1	736 7	734.4	734.2	79	54	75	N 1	S 1	N 1	10	9	10	.	⌙l
23	1.2	5.4	1.4	2.7	1.1	734 9	737.1	739.1	80	58	82	N 1	S 1	N 1	7	8	0	.	
24	−1.4	8.4	0.8	2.6	0.9	742.4	743 8	**745 1**	90	54	84	N 1	S 1	N 1	0	0	0	.	⌙l
25	−1.2	7.6	0.6	2.3	0.6	744.8	743.2	743 8	94	63	88	N 1	S 1	N 1	0	0	0	.	⌙l
26	−1.6	8.0	1.4	2.6	0.9	743.1	742.5	742.2	94	54	81	N 1	SE 1	NW 1	0	0	10	.	⌙l
27	1.4	6.8	4.8	4.3	2.5	741.8	740.1	739.4	86	64	78	NNW 1	SE 1	S 1	10	10	10	.	⌙l
28	4.0	10.4	4 4	6.3	4.5	738.0	736.5	738.3	91	61	77	N 1	S 1	N 1	10	5	0	.	
29	2.2	11.2	3.8	5.7	3.8	738.4	738.3	739.2	95	60	87	N 1	S 1	N 1	0	0	0	.	
30	1.8	10.4	6.6	6.3	4.4	739.7	739 7	740.2	98	58	99	N 1	S 1	— 0	1	1	10	0.1	☽ n (30 /31.)
31	6.2	7.4	6.2	6.6	4.6	738.8	737.9	736.8	100	95	98	S 1	— 0	— 0	10≡	10≡	10☽	8.9	☽ n·n, ● n (31./1.), ≡ n–13½
																		Summe	
Mittel	2.0	6 9	3.0	4 0	–	735.7	735 2	735.9	88	69	85				6.4	6.1	7.6	62.9	

$\lambda = 7°\,35'$, $\beta = 47°\,33'$,
$H_b = 317.3$ m, $G = 0.11$ mm.

Basel

Januar 1955
Beobachter: *Astronom.-Meteorol. Anstalt*

1	−4.6	0.9	−1.1	−1.6	−1.1	739.3	738.7	737.9	94	65	65	NE 0	NE 1	NNE 0	1	7	10	0.0	✳fl a
2	−4.6	−2.9	−4.2	−3.9	−3.4	736.8	735.7	735 8	90	73	72	NW 1	ESE 1	ENE 1	9	10	10	0.0	✳fl p, △ 21
3	−3.6	−3.4	−2.2	−3.1	−2.5	735.1	733.5	733.3	72	71	71	ENE 0	NNW 1	E 1	10	10	10	0.4	
4	−3.3	−0.4	−2.0	−1.9	−1.3	734.1	734.3	735.4	89	71	78	NNW 1	ENE 1	ENE 1	7	10	10	.	● 0½–1¾, ∼l
5	−2.2	−0.3	−2.6	−1.7	−1.1	735.4	735.2	733.8	81	69	82	E 2	E 2	ESE 2	4	10	4	.	∼l
6	−2.8	−2.2	−2.5	−2.5	−1.9	732.0	731.8	731.6	85	91	96	E 1	NW 0	WNW 0	10	10●	10	0.4	● 10½–11¼, 13½–13¾
7	−3.5	−3 9	−3.4	−3.6	−3.0	729.9	728.0	726.8	96	97	96	NW 1	WNW 1	NW 0	10	10≡*	10	0.0	✳fl 13½–17, ≡ 10¾–p
8	−3.4	−3 0	−2.5	−3.0	−2.4	727.4	728.6	731.1	96	97	96	NNW 0	NW 1	N 0	10*	10≡	10*	0.5	✳fl a, p, ≡ a–p
9	−1.9	0.1	−0.3	−0.7	−0.1	730.9	729.7	729.9	96	96	96	E 1	E 0	E 0	10*	10	10	0.9	✳ 3¼–3¾, 6¾–7¾ ✳
10	−2.0	1.9	−1.5	−0.5	0.1	729 6	729.5	728.7	97	93	92	SE 1	ESE 1	ESE 1	2≡	3	0	6.6	≡ n–a
11	3.1	11.6	11.5	8.7	9.3	723.2	721.0	721.8	96	70	83	E 1	SW 2	WSW 2	10●	10	8	17 6	● 0¾–10¾ mU, 14¾–18¼, 22–24
12	7.2	5.7	**12.0**	8.3	8.9	722.0	718.9	717.7	97	96	78	SW 1	NE 1	WSW 3	10●≡	10●	10●	20 0	● ¼–14, 16½–18¼, 2 ¾–24, *)
13	1.9	2.8	1.7	2.1	2.7	729.3	729.6	723.9	82	72	100	W 1	NE 1	SE 1	4	10	10●	18.0	● 0–4, 22¾–23¾, ✳ ● 16¼–21¾
14	11.6	11.1	7.0	9.9	10.5	722.0	720.0	725.4	64	64	85	WSW 2	SSW 3	NW 2	10●	10●	10	7.8	● 1½–2½, 7¼–8¼, 10¼–2 ¾ mU,
15	−0.8	4.8	3.9	2.6	3.1	733.7	730.8	727.6	92	82	88	NW 1	ENE 2	ESE 2	9	8	10	1.4	[↙ n–n mU
16	11.4	9 2	10.4	10.3	10.8	722.9	720.2	**713 9**	81	94	**57**	WSW 3	E 1	SSW 2	10●	10●	0	3.2	● 1¾–2, 4¼–13½ mU, *)
17	0.4	3.1	0.0	1.2	1.7	725.7	726.7	722.5	89	64	76	W 2	WSW 1	ESE 1	6	7	10	6.0	● 2½–3, 5¼–9 mU, ✳ 9½–11¾,*)
18	−2.1	2.1	−1.4	−0.5	0.0	718.5	726.1	731.6	97	70	66	NNW 0	W 2	WSW 2	10*	1	0	0.3	✳ 1¾–9, 9½–11 ✳
19	−5 4	0.4	−5.2	−3.4	−3.0	732.7	731.6	731.1	88	61	74	ESE 1	E 1	E 1	0	3	0	.	✳
20	−5.2	−0.7	−0.7	−2.2	−1.8	731.3	732.7	734.5	80	69	68	ENE 1	E 1	E 1	8	10	10	.	✳
21	−1.0	2.3	1.9	1.1	1.5	736.5	735.2	731.9	78	72	90	E 1	ESE 1	E 1	10	8	10	4.0	● 22¾–24 ✳
22	2.4	4.8	3.0	3.4	3.7	727.6	726.9	727.5	94	87	94	E 2	E 1	ESE 1	10●	10	0	0.4	● 1¾–10 mU, 14½–15, ≡ 23–24
23	2.4	2.6	2.4	2.5	2.8	731.0	733.1	736.7	100	100	100	W 0	WNW 1	W 1	10≡	10≡	10≡	0.1	☽ 22¾–24, ≡ 0–24
24	0.8	1.8	0.4	1.0	1.2	739.0	739.9	**740.1**	100	85	89	WNW 1	ENE 1	ENE 1	10≡	10	10	.	☽ 0–⌓¼, 1¾–4¾, ≡ 0–11
25	−0.6	2.8	−0.2	0.7	0 9	739.7	738.7	737.3	96	84	81	W 0	NNE 1	ENE 1	10	9	0	.	
26	−1.2	4.9	−0.2	1.2	1.3	736.3	735.1	734.5	90	69	89	E 1	E 1	ENE 1	0	4	0	.	⌙l
27	−0.5	7.1	−1.6	1.7	1.8	732.8	731.8	732.0	84	61	96	E 1	ESE 1	NW 0	9	5	10≡	.	≡ 17½–24
28	−2.1	3.4	−1.0	0.1	0.1	732.2	732.6	733.3	97	80	95	NW 0	E 1	E 1	7≡	4	0	.	≡ 0–8, ⌙l
29	−2.2	5.7	−0.9	0.9	−0.1	733.2	733.3	733.3	96	71	93	E 2	SE 1	E 1	4	0	0	.	⌙l
30	−2.4	3.0	0.2	0.3	0.2	733 3	733.0	732.2	95	83	92	ESE 1	E 1	ESE 1	10	8	8	.	⌙l
31	−1.2	3.4	2.9	1.7	1.5	730.1	728.3	726.9	94	80	86	E 1	E 1	E 0	7	10	10	.	⌙l
																		Summe	
Mittel	−0.5	2.5	0.8	0.9	–	731.1	730.7	730.3	90	79	85				7.6	8.0	6.8	87.6	

*) 12. 7¼–9¾, ↙ p–n 16. 17–17¼, 23½–23¾, ↙ n–a 17. ↙ 0¾–1¼

Januar 1955
Beobachter: *Observatorium*

Säntis

$\lambda = 9° 20'$, $\beta = 47° 15'$,
$H_b = 2500.1$ m, $G = -0.27$ mm.

Tag	Lufttemperatur					Luftdruck			Relative Feuchtigkeit			Windrichtung und Stärke			Bewölkung			Niederschlag	Witterung
	7^{30}	13^{30}	21^{30}	Mittel	Abweich. vom Normalst	7^{30}	13^{30}	21^{30}	7^{30}	13^{30}	21^{30}	7^{30}	13^{30}	21^{30}	7^{30}	13^{30}	21^{30}		
1	-17.4	-16 9	-18.8	-17.7	-9.6	557.1	556.6	555.7	98	98	94	NNE 3	NNE 1	ESE 1	10≡	10≡	10≡	0.9	✳ 13¾-17½, ≡ 5¾-8¼, 12¾-n
2	-18.9	-16 8	-15 8	-17.2	-9 0	553.9	553 9	555.2	98	82	9 ›	S 2	SSE 2	S 2	0	9	10	.	≡ n-5½, ⊕ II
3	-11.5	-7.4	-5.8	-8.2	0.0	556.5	556.8	557.8	86	72	89	E 2	SSW 2	SW 3	10	10	10	1.2	✳ 10½-17¾
4	-4.2	-2.2	-3.7	-3 4	4.8	558.8	559.9	560 7	90	86	82	SW 3	SW 2	S 2	9	9	3	0.0	✳ fl 12¼-12¾
5	-4.1	-2.5	-3.3	-3.3	5.0	560.9	560.7	559.3	76	74	71	N 1	SE 2	ESE 2	2	3	10	.	⌔ III
6	-4.7	-1.3	-4.3	-3 4	4.9	557.9	558.1	557.2	72	73	92	WSW 3	WSW 2	S 3	7	10	10	.	⊕ 12-15½, ⌔ III
7	-4.2	-2.8	-4.3	-3.8	4 5	555.6	554.4	553 5	8 ›	75	80	S 3	SE 3	S 3	5	8	8	.	
8	-5 0	-2.6	-5.9	-4.5	3.9	553.1	553.4	554 0	80	69	9 ›	SW 1	NNW 1	WSW 2	3	3	3	.	
9	-6.7	-5.9	-7.3	-6.6	1.8	554.2	553.2	553 5	99	98	97	W 2	W 2	W 3	10≡	10≡*	10≡	2.5	✳ 8¾-19¼. ≡ n-9¼, 11¼-n, ⋁ I
10	-9.2	-5.8	-5.6	-6.9	1.5	554.4	555.0	555.0	75	51	33	W 3	WSW 3	WSW 4	1	4	10	0.9	✳ n (10./11), ⌿ III
11	-3.0	-2.4	-2.4	-2.6	5 8	551.6	551.1	551.3	100	100	100	W 5	W 5	W 5	10=*	10≡	10≡	6 5.3	✳ n-11, 15¼-20, ≡⋁⌿ n-n,*)
12	-3.1	-2.7	-2.6	-2.8	5.7	550.6	549.3	547.8	100	100	100	W 5	WSW 4	W 5	10≡*	10≡*	10≡*	80 4	✳ n-n mU, ≡ ⫩ ⌿ ⋁ n-n
13	-8 0	-5.7	-2.1	-5.3	3 2	552.4	554.0	551.0	100	100	100	W 4	W 5	W 5	10≡*	10≡	10≡*	21.5	✳ n-8, 14½-n. ≡ ⌿ n-n,*)
14	-4.2	-3.8	-4.1	-4.0	4.5	551.1	549.3	551.0	100	98	10›	WSW 5	WSW 5	W 5	10≡*	10≡	10≡*	33.5	✳ 6¾-11, 15-17 mU, 20½-n, *)
15	-11.0	-5.3	-0 1	-5.5	3.1	556.4	556.5	556.7	77	100	100	W 3	W 5	W 5	10	10≡	10≡	.	≡ 8¼-13½, 14¼-n, ⋁ 17-19. ⌿ a-n
16	-1.8	-3 1	-4.8	-3.2	5 4	553.8	550 8	546.2	97	100	10›	SSW 2	SW 3	SW 3	9	10≡*	9	19.2	⛉ 8-9. ✳ fl 13-13½, 14¾-17¼, *)
17	-12.5	-14.4	-13.7	-13 5	-4 9	545 9	548 4	547.1	100	93	92	WSW 5	NW 3	WSW 3	10≡*	10≡*	10	22.6	✳ n-19. ≡ n-20¾, ⫩ n-n, *)
18	-8.8	-13.4	-17.5	-13.2	-4 5	543 5	546.9	551.3	93	100	98	WNW 3	W 4	W 4	10≡*	10≡	10≡	5.7	✳ n-11¾, 15-17, ≡ n-n,
19	-18.3	-13.9	-11.3	-14.5	-5 8	553.3	553 9	554 1	78	60	54	SW 2	SW 2	W 3	0	1	1	.	[⫩ ⌿ 7½-n
20	-10.3	-5.8	-7.0	-7.7	1.0	555.2	557.0	558.8	60	75	99	SW 1	SW 1	SW 1	7	9	10	.	
21	-7.8	-5.4	-6.2	-6.5	2.3	560.5	560.2	558.7	95	90	83	SW 2	SW 3	SW 2	9	5	10	7.4	✳ n (21 /22.)
22	-3.2	-3.4	-4.2	-3.6	5.2	555.3	554.7	555.3	100	100	96	W 3	W 3	NE 2	10≡*	10≡*	10	6.6	✳ n-7½, 9-16½, ≡ n-18¾
23	-4.4	-4.0	-5 1	-4.5	4.3	556 9	558.6	561.0	98	97	94	NE 3	NE 3	NNE 3	1	1	0	.	≡ n-6¾, 8½-10¼ mU
24	-6.0	-4.9	-4.4	-5.1	3.7	562.3	563.3	564 0	67	58	52	NE 3	NE 3	NE 2	1	1	0	.	
25	-3.5	-2.3	-2.2	-2.7	6.2	563.5	563.4	562.7	44	35	35	NE 2	NE 2	SSE 2	1	1	0	.	
26	-3.4	-2.1	-4.3	-3.3	5.6	562.1	562.0	561.3	38	33	69	WNW 2	SW 2	S 2	1	3	1	.	
27	-1.6	-0 1	-1.7	-1.1	7.8	561.0	561.0	560.4	68	76	78	S 1	SW 3	SSW 3	9	3	6	.	
28	-1.9	-0.2	-3.4	-1.8	7.2	559.9	56›.4	561.0	71	66	78	NW 2	ESE 1	ENE 2	1	1	1	.	
29	-3.4	-0.8	-3.0	-2.4	6.6	560.5	561.0	561.2	77	68	71	E 2	S 2	SE 1	1	0	0	.	
30	-3.6	-0.7	-2.6	-2.3	6.7	560 3	560.5	559.8	72	70	66	WSW 2	SW 2	ESE 1	1	9	10	.	⊕ II
31	-5.0	-2.6	-3.8	-3.8	5.3	557.3	556.9	556.1	81	79	88	S 3	SSW 4	SSW 3	2	9	10	.	⌿ II
Mittel	-6 8	-5.2	-5.8	-5.9		556.0	556.2	556 1	83	80	83				5.8	6.7	7.2	Summe 207.7	

*) 11. ⫩ 6½-12, 15½-20½ 13. ⫩ 7-9½, 12-n, ⋁ 15-n 14. ≡⌿ n-n, ⫩ 8-n, ⋁ 14-n 16. ≡ 12¾-13¾, 15-18, 19-21 17. ⌿ n-n mU

Januar 1955
Beobachter: *E. Chiesa*

St. Gotthard (Hospiz)

$\lambda = 8° 34'$, $\beta = 46° 33'$,
$H_b = 2095$ m, $G = -0.25$ mm.

1	-15.0	-9.5	-16 7	-13 7	-6.7	587.9	587.3	587.0	94	95	95	NW 2	NW 2	NW 3	0	10	10≡	0.0	≡ 13-n mU, ⋁ n-n, ⌿ III
2	-14.8	-13 3	-15 2	-14 4	-7 3	585.4	585.6	586.0	93	95	93	SE 2	SE 2	SE 3	10*≡	10*	10*	0.0	✳ fl n-n, ≡ n-a, ⌿ III
3	-13.8	-11.0	-10 8	-11.9	-4.8	588.3	588.4	588.1	94	95	95	SE 2	SE 2	SE 2	10*	10*	10*	1.6	✳ n-n mU
4	-6.2	-3.0	-3.5	-4.2	2 9	589.2	590.1	590.4	98	97	9›	SE 1	SE 0	SE 1	10*	10≡	10≡	1.7	✳ n-7½, 17½-n mU, ≡ a-n
5	-5.2	-1.0	-3.0	-3.1	4.0	590.0	590.9	590.4	96	80	98	SE 0	SE 0	SE 1	10≡	10	10*≡	2.1	✳ 21-n, ≡ n-8½, 16¾-n
6	-3 9	-1.8	-4.0	-3.2	3 9	589.1	588.2	587.9	90	88	97	SE 2	SE 1	SE 2	10*≡	10*≡	10*≡	3.7	✳ ≡ n-n mU
7	-3 4	-2.1	-2.6	-2.7	4.5	583.8	584.2	584.1	98	95	97	SE 2	SE 2	SE 1	10*≡	10*≡	10*≡	9.0	✳ ≡ n-n mU
8	-2.4	-1.8	-4.8	-3 0	4.2	583.1	582.6	582.9	95	80	85	SE 1	SE 0	NW 1	10	0	0	.	
9	-6.4	-1 9	-4.6	-4.3	2 9	583.6	583.0	583.2	96	71	63	NW 2	NW 0	SE 1	10	6	0	.	
10	-6.8	-2.5	-6.0	-5.1	2.1	583.8	584.9	585.2	51	31	70	NW 1	NW 1	SE 1	0	0	9	0.4	✳ n (10./11.)
11	-6.1	-2.0	-4.6	-4.2	3.0	583.6	582.6	581.7	96	75	9›	SE 1	SE 0	SE 1	10*	10*≡	10*≡	27.6	✳ n-n mU, ≡ a-n
12	-0.9	0.8	-1.1	-0.4	6.8	582.0	580.6	580.1	95	90	96	SE 0	SE 1	SE 0	10*	10*≡	10*≡	31.7	✳ n-n, ≡ a-n mU
13	-4.9	-1.8	-0.4	-2.4	4 9	582.2	584.3	583.7	98	96	83	NW 2	NW 1	SE 1	10*≡	10*≡	10*≡	26.3	✳ ≡ n n mU
14	-1.7	1.8	-2.0	-0 6	6.7	582.5	581.4	580.9	90	84	92	SE 1	SE 0	SE 0	10*	10	10*≡	30.4	✳ n-a, 14½-n, ≡ p-n
15	-5.6	-1.0	-2.1	-2.9	4.4	586.1	587.2	587.8	89	70	92	NW 2	NW 0	SE 1	10≡	6	10*≡	2.6	✳ 15¾-n, ≡ n-8½, 15¾-n
16	-4.0	-3.2	-3.9	-3 7	3.6	584.6	582.8	578.5	92	91	87	SE 2	SE 2	SE 2	10≡	10≡	10	.	≡ n p
17	-8.8	-9 3	-11.0	-9 7	-2.4	577.8	578.5	578.3	92	90	87	NW 2	NW 1	NW 3	10≡	10≡	10*≡	35.4	✳ 14½-n, ≡ n-n mU, ⌿ ⫩ 15¾-n
18	-8.9	-9.0	-13.5	-10.5	-3 2	574.4	577.0	579.4	91	89	78	SE 2	NW 3	NW 3	10*■	10≡	3	21.2	✳⫩ n-a, ≡ n-p, ⌿ a-n
19	-16.4	-10.7	-15.5	-14.2	-6.8	584.0	584.9	585.0	82	42	44	NW 0	SE 2	SE 1	0	0	3	.	
20	-12.2	-7.0	-6.4	-8.5	-1.1	585.0	586.4	587.0	40	44	36	SE 1	SE 0	NW 1	3	0	3	.	
21	-6.1	-3.0	-3 5	-4.2	3.2	590.0	59›.4	590.0	84	72	78	NW 1	SE 1	SE 1	0	3	10*	2.9	✳ 21½-n
22	-6 8	-2.0	-4.3	-4.4	3.0	586 0	584.7	583.8	79	54	86	SE 2	SE 0	SE 0	10	6	10	.	
23	-4.2	-1.4	-6.7	-4.1	3.3	585.0	587.1	587.7	90	70	82	NW 1	NW 1	NW 1	3	0	0	.	
24	-7.2	-1.7	-6.3	-5.1	2.3	591.1	592.6	592.6	85	76	53	SE 0	SE 1	SE 1	0	0	0	.	
25	-7.2	-3.4	-7.0	-5.9	1.5	593.0	593.1	592.8	41	47	45	SE 1	SE 1	SE 1	0	0	0	.	
26	-8.6	-3.0	-7.8	-6.5	1.0	592.2	592.5	592.0	40	53	57	SE 0	SE 1	SE 1	0	0	0	.	
27	-6.5	1.0	-6.2	-3.9	3.6	591.6	591.3	591.3	84	62	87	SE 1	SE 1	SE 1	6	9	0	.	
28	-4 4	-1.6	-5.9	-4.0	3.5	590.0	590.2	590.1	90	80	87	SE 0	SE 0	SE 0	0	0	0	.	
29	-6.0	-1.1	-6.7	-4.6	2.9	590.1	590.6	590 6	82	77	88	SE 0	SE 1	SE 0	0	0	0	.	
30	-3.3	-0.4	-5.5	-3.1	4 4	590.5	91.0	590.2	94	79	98	SE 1	SE 2	SE 2	9	6	10≡	.	≡ 17½-n
31	-4.7	-3.4	-3.6	-3.9	3.6	589.1	588.5	587.6	99	97	98	SE 2	SE 2	SE 3	10≡	10≡	10*≡	18.5	✳ 9¼-n mU, ≡ n-n,
Mittel	-6.9	-3.5	-6.3	-5.6	—	586.3	586.5	586.3	85	76	82				6.5	6.0	6.4	Summe 215.1	[V I, ⌿ III

$\lambda = 7°\,26'$, $\beta = 46°\,57'$,
$H_b = 572.2$ m, $G = 0.00$ mm.

Bern

Februar 1955
Beobachter: *Meteorologisches Observatorium*

Tag	Lufttemperatur					Luftdruck			Relative Feuchtigkeit			Windrichtung und Stärke			Bewölkung			Niederschlag	Witterung
	7^{30}	13^{30}	21^{30}	Mittel	Abweich. vom Normalst	7^{30}	13^{30}	21^{30}	7^{30}	13^{30}	21^{30}	7^{30}	13^{30}	21^{30}	7^{30}	13^{30}	21^{30}		
1	0 1	6.5	3.0	3 2	4.2	701 9	701.2	700.7	100	74	94	NE 0	N 0	NW 0	10	9	10	.	≡ 6¾–10¾, △ III
2	0.8	8.4	6.0	5.1	6.1	700.6	700.6	701.0	98	6 ›	85	SE 0	W 0	W 1	10	5	9	1.2	≡ a, Ψ fr. ⌴ |
3	3.9	6.6	2.8	4.4	5.3	701.3	701.7	703.0	95	77	91	SW 0	WSW 1	SE 0	10●	8	9	1.8	● 4¾–11¾ mU, ♁ 15½–15¾
4	3.6	6.2	5 3	5.0	5.8	699.5	702.9	703 8	85	81	75	S 0	WSW 3	W 1	10●	9	10●	7.6	● 5¼–12¾, 15–16¼, 21¼–24, ⌿ II
5	6.2	7.0	5.7	6.3	7.0	700.8	701.7	701.5	80	65	67	WSW 3	WSW 3	WSW 2	5	9	9	4.4	● 0-6¾, 10½–17¼ mU, ⌿ n-p
6	1.8	1.1	1.7	1.5	2.1	699.1	702.1	711.5	97	96	91	ENE 0	NW 0	NW 0	10●	10*	10*	11.3	● 2-8, ✶ 8-16¼ 21¼-22, 23½-24
7	0.1	2.2	1.0	1.1	1.7	**715.0**	714.5	712.3	91	78	95	E 0	SW 0	SW 0	10	7	10	5.5	✶● 17¾-19¼, 21-22½, ● 23-24, ⊕a
8	7.0	9.7	9 9	8.9	9.4	710.9	711.7	707.6	93	82	85	W 1	WSW 1	WSW 3	10●	10	10●	18 3	● 0 5½, 7¼ 8½, 16¼–24, ⌿ III
9	4.7	5.2	2.6	4.2	4.6	708.9	708.6	707.6	74	76	93	WSW 1	WSW 1	WSW 2	9	9●	10●*	6.7	●0-1¼, 10-21, ●✶ 21-21¾, ♁ 23¾-23¾
10	3.5	2.2	0.6	2.1	2.4	703 8	705.1	708.7	88	80	70	WSW 2	WSW 1	WSW 1	10●	9	10	7.3	● 2¼-3. 6¼-10¾, ●✶ 10¾-12½
11	-2.7	1.6	-2.0	-1.0	-0.8	709.9	710.5	709.4	95	55	82	SE 0	SSE 1	SE 0	1	3	0	.	[✶ 22¾–23¾ ✳
12	-4 6	-0.9	-2.2	-2.6	-2.5	707.3	706 9	706.9	82	81	96	SSE 0	SE 0	S 0	3	10*	8	0.7	✶ 10¾–16¼ mU ✳
13	-1.0	1.3	-2.0	-0.6	-0.6	707.1	706.4	706.5	74	55	80	SW 1	WSW 2	W 0	9	6	9	3.8	♁ 13½-13¾, 17½-18¾, 19¼-19¾ ✳
14	-4 6	-1.9	-6.8	-4.4	-4.5	708.0	709.7	711.1	93	77	85	W 1	SW 1	SW 0	8	9*	0	2.1	✶ 0-2¾, 9½–11 ✳
15	-8.8	-1.8	-1.7	-4.1	-4.3	708.7	707.1	705.9	87	56	69	SE 0	SE 0	S 0	9	9	10	.	⊕ ✳
16	-2.4	3 6	-1.3	0.0	-0.3	704.2	701.8	699.1	79	55	83	S 0	WNW 1	SE 0	10	3	0	0.0	✶ 7¾–9½ ✳
17	-1.8	-0 3	-1.4	-1.2	-1.6	694.5	692.0	692 2	84	92	100	S 0	W 0	NNE 0	10	10*	10*	14.1	✶ 8¾–24 ✳
18	-2.4	0.8	-4.6	-2.1	-2.6	693.5	696 7	697.3	95	74	99	N 1	SW 0	NE 0	10*	9	0	0.8	✶ 6–11¼ ✳
19	**-10.2**	-3.6	-0.5	-4.8	-5.4	6 2.8	**690 3**	695.5	96	91	75	E 0	WSW 1	WSW 2	9	10	9	0.8	✶ 11½–13½, 17–18. ≡ 11½–12 ✳
20	-3.4	-2.1	-3.5	-3.0	-3.7	697.2	699 8	705.5	73	86	87	SE 0	WSW 2	WSW 2	9	10	10*	2.2	✶ 8½–8¾, 11-11¾, 16½–24 ✳
21	-4.6	-2.5	1.0	-2.0	-2.8	707.6	705.5	705.2	79	91	95	SW 0	SE 0	W 2	10	10*	10	10.8	✶ 0-1½, 8¼-16¼, 19-20½, 21¾-22¼ ✳
22	0.7	6.2	1.0	2.6	1.7	706.8	707.6	707.3	99	70	97	SW 0	WNW 1	NE 1	10*	9	4	0.2	● 0-2½, ✶● 4-6¼, ✶ 6¾-8. *) ✳
23	-0.9	2.5	1.0	0.9	-0.1	7 4.5	703.2	701.1	100	86	98	NE 0	NNE 1	NE 0	10≡	10	10	7.3	☽ 15¼–18¼, ● 18¼–20¾,*) ✳
24	0 8	5.3	1.2	2.4	1.3	701.1	701.5	700 9	98	71	99	S 0	ENE 0	E 0	10●	8	0	0.1	✶● 0-1½. ● 5¾-8¼ mU ✳
25	0.5	1.7	0.4	0.9	-0.3	700.9	701.1	701.6	98	87	95	NE 0	NE 1	N 1	10≡☽	10	10	0.0	☽ ≡ 5–8¼ ✳
26	0.5	3 9	-0.4	1.3	-0.1	702.4	703.1	704 6	92	67	95	NE 0	NE 0	NE 1	10	2	6	0.0	△ a ✳
27	-0.3	0.6	-1 8	-0.5	-2.0	706.1	707.2	709.4	91	79	90	SE 0	ENE 1	NE 2	10	10	10	.	⌴ | ✳
28	-4.3	-3.9	-3.9	-4.0	-5.6	710.6	711.2	713.2	73	65	68	NE 1	NE 3	NE 3	10	10	10	0.0	✶ 14½–17, ⌿ a-n ✳
Mittel	-0.6	2.3	0.4	0.7	—	703 7	704 0	704.7	89	75	87				9.0	8.3	7.6	Summe 107.0	

*) **22.** ≡ 23½-24 **23.** ✶ 22¾-24, ≡ 0-1¾, 4-11½

$\lambda = 6°\,57'$, $\beta = 47°\,0'$,
$H_b = 487.3$ m, $G = 0.02$ mm.

Neuchâtel

Februar 1955
Beobachter: *Observatorium*

1	0.4	2 9	2 0	1.8	1.7	709 1	7 8.4	708.1	96	99	95	E 0	S 0	E 0	10	10≡	10	0.1	≡ 8–15
2	1.4	3 7	5 6	3.6	3.5	708.0	707.9	708.5	100	99	97	W 0	SE 0	SW 1	10≡	6	10●	4.0	● 17¼–21½, ≡ n-13
3	4.6	6.4	5 4	5.5	5.3	708 6	708.9	710 6	89	84	83	SW 3	SW 2	SW 2	10	10●	10●	9.7	● 1½–5, 13½–14¾, 21½-22, *)
4	4.0	6.0	4 4	4.8	4.5	706.6	710.3	711.2	92	84	90	SW 3	SW 4	SW 4	10●	9	10●	18 3	● 3¼–16¼ mU, 20½–24, *)
5	7.2	6.4	6.0	6.5	6.2	707.7	707.9	708.7	62	70	68	SW 4	SW 4	SW 3	9●	10●	9	8.2	● 0-5¼, 7½-11, 13½-18½ mU,*)
6	1.2	2.4	3 2	2.3	1.9	706.2	709.7	719.2	96	98	71	NW 0	N 0	N 0	10*	10●	10	7.3	● ✶ 2¾–13½
7	-0.3	3 9	2.2	1 9	1.4	**723 1**	722 6	720.3	72	73	96	NE 0	S 1	SW 4	4	8	10●	11.4	● 17¼–24, ⌿ III
8	5.9	**8.2**	8.6	7.6	7.1	718.6	719 4	715.8	96	92	96	W 2	SW 1	SW 4	10●	10	10●	**27 6**	● 0-8¾, 16-24, ⌿ III
9	4 6	6.0	3.3	4.6	4.0	716.6	716.4	715 3	81	74	92	SW 2	SW 2	SW 2	8	10	10●	2.8	● 0-5, 10½, 15¾-16¼, 20-21¾
10	3.3	3.2	1.4	2.6	1.9	711.3	712 5	716 6	92	62	68	SW 3	NW 3	W 1	10●	3	8	3.7	● 1¾–2¾, 7½–12, ⌿ n-p
11	-2.6	3.4	-1.4	-0.2	-1.0	717.8	718.4	717.3	90	55	75	NW 0	SE 1	NW 0	6	5	0	.	
12	-4.8	1.0	0.6	-1.1	-1.9	714 9	714.5	714.6	95	73	67	NW 0	E 0	W 2	2	4	2	.	
13	0.1	4.6	-2.5	0.7	-0.2	714 6	713 7	714.4	72	**46**	82	SW 2	SW 3	W 0	8	6	8	1.1	✶ 17-19¼, 23¾-24, ⌿ n-p mU
14	-2.8	-1.4	-4 0	-2.7	-3.7	716.2	717.8	719.0	75	69	65	W 1	W 2	NW 2	10	9	0	0.2	✶ 8½–8¾ ✳
15	-5 1	-0.4	-0 4	-2.0	-3.1	716.6	715.0	713.4	79	67	91	W 1	SW 2	W 1	9	8	10*	0.1	✶ 20¼-21¾ ✳
16	0.1	3.1	1.4	1.5	0.3	711.4	709.4	706.0	55	56	62	SW 2	SW 2	W 1	10	7	0	.	✳
17	-2.4	0 3	-1.3	-1.1	-2.3	701.4	699 1	699 5	90	84	96	NW 0	NE 0	NE 0	9	10	10	2.9	✶ 14¼–17½
18	-1.6	2.9	-2.1	-0.3	-1.6	700.9	7 4 0	704.8	96	75	86	NE 0	S 1	NE 0	10	3	0	.	✳
19	-4.6	-2.2	-0.5	-2.4	-3.8	699 8	**698.2**	703.5	98	94	85	NE 1	W 1	W 2	10	10*	10	3.9	✶ 11¼–21½ ✳
20	-1.2	-1.5	-2.7	-1.8	-3.3	704 7	707.5	713.4	67	88	90	W 1	SW 2	SW 2	10	10*	10*	2.5	✶ 9¼–24 mU ✳
21	-2.0	-1.5	1.0	-0.8	-2.4	715.2	712.9	713.2	76	100	99	SW 3	SW 3	SW 4	10	10*	10*	14.7	✶ 8¼–21½, ⌿ n-n ✳
22	3.0	5.5	2.0	3 7	2.0	714.2	715.4	716.9	81	69	85	SW 3	SW 2	NE 1	10●	10●	2	0.2	● 0½–7½ mU, 13½, ⌿ n-a ✳
23	0.6	2.6	0 9	1 4	-0.4	712.0	710.6	708.7	98	93	100	NE 0	E 0	NE 0	10	10●	10*	11.6	● ✶ 12¼–24 ✳
24	0.5	5.3	0.6	2.1	0.2	708.7	708.8	708.0	100	88	96	NE 0	S 1	E 0	10*	6	7	2.2	● ✶ 0-1, ✶ 6½–8¼, *) ✳
25	1.0	2.4	1.3	1.6	-0.4	708 2	708.5	709.4	96	86	87	NE 1	NE 1	NE 0	10	10	10	.	[9¼–9½, 22¼–23
26	0.7	3 9	1.4	2.0	-0.1	709.9	710.7	712.6	93	31	87	NE 0	NE 0	NE 2	10	10	10	.	
27	0.0	0.8	-0.4	0.1	-2.1	713 8	715.0	717.1	89	85	87	NE 1	E 1	NE 2	10	10	10	.	
28	-2.7	0.3	-2.7	-1.7	-4.0	718.5	719.0	721.1	63	55	74	NE 2	NE 3	NE 3	8	3	10	.	⌿ n-n
Mittel	0.3	2.8	1.2	1.4	—	711.2	711.5	712.4	85	79	85				9.0	8.1	7.7	Summe 132.5	

*) **3.** ⌿ n-n mU **4.** ⌿ n-n **5.** 22½–23¾, ⌿ n-n

Februar 1955
Beobachter: *Frl. H. Nager*

Altdorf

$\lambda = 8° 39'$, $\beta = 46° 53'$,
$H_b = 456.3$ m, $G = -0.05$ mm.

Tag	Lufttemperatur 7³⁰	13³⁰	21³⁰	Mittel	Abweich. vom Normalst	Luftdruck 7³⁰	13³⁰	21³⁰	Relative Feuchtigkeit 7³⁰	13³⁰	21³⁰	Windrichtung und Stärke 7³⁰	13³⁰	21³⁰	Bewölkung 7³⁰	13³⁰	21³⁰	Niederschlag	Witterung
1	12.7	13 8	12.8	13 1	12.3	711.8	710.9	710.8	37	37	37	S 1	S 3	SE 2	8	8	8	.	↙ n-n mU
2	5.7	8.9	4.7	6.4	5.5	710.0	710.1	710.7	76	60	75	W 0	NW 0	NW 0	10	6	7	.	
3	4.0	5.7	2.1	3 9	2 9	711.3	711 6	713 3	86	90	9 ›	E 0	NW 0	SE 0	10	10●	1	2.9	● 12–18½
4	4.4	6 9	5.5	5.6	4.6	709.6	712.1	712.8	71	87	70	SW 1	SE 0	SE 0	7	10●	10	3.0	● a-p, n (4./5.)
5	6.9	7.3	3.9	6.0	4.9	710.0	710.6	710.4	86	67	66	W 0	SW 0	NE 0	10●	10	6	0.4	● n-a
6	3.7	3.3	3.5	3.5	2.3	709 2	711.5	721.6	74	95	70	E 0	NW 0	NW 2	10	10●	10	8.7	● n-21 mU, ✳ n (6./7.)
7	2.0	4.7	2 8	3 2	2.0	**725.2**	724.3	722.1	72	50	80	N 0	NE 0	SE 0	10	9	10●	14.8	● 20–n
8	3.2	8.3	5.3	5.6	4.3	719.9	721.0	716.8	100	83	97	SE 0	SE 1	SE 0	10	10	10●	**36.7**	● n-16 mU, 16–n
9	4.2	6.6	4.4	5.1	3.7	718 5	717.8	716.8	92	71	85	NE 0	E 1	SE 1	10	10	10●	4.8	● n-n mU
10	2.6	2.2	2 3	2.4	1.0	713.3	713.9	718.1	96	86	45	SE 0	N 4	NW 2	10●	10*●	10	11.9	● n-a, ● ✳ ⸙ a-p, ✳ p
11	-3.1	1.8	-1.7	-1.0	-2.5	720.8	720.8	720 5	65	52	60	E 0	E 0	E 0	3	2	2	.	✳
12	-4.0	2.5	-0.4	-0.6	-2.2	717 4	716.2	717.5	74	54	70	E 0	NW 1	NW 0	3	5	10	3.5	✳ n (12./13.)
13	-1 2	2.0	-0 9	0.0	-1.6	717.7	716.1	716 2	90	63	90	E 0	NE 0	SE 0	10	4	10*	10.6	✳ 16¼ n ✳
14	-1.8	-0.4	-4 4	-2.2	-3 9	717 6	719 1	721.9	75	56	71	NE 0	N 2	NE 0	10*	10	8	0.6	▽ n-a mU ✳
15	-5.5	-0.4	-1.2	-2.4	-4.2	719.4	717.2	716.0	96	50	75	E 0	E 0	E 0	10	10	8	.	✳
16	-2.1	2.0	-1.1	-0.4	-2.3	713.6	711.3	709.0	77	64	70	E 0	NW 0	E 0	10	3	2	.	✳
17	-1.2	0.9	0.7	0.1	-1.8	703.7	701.4	702.3	76	93	96	E 0	N 1	NW 0	10	10*	10	8.4	✳ a-p, n (17./18.) ✳
18	-0 4	0.9	-4.4	-1.3	-3.3	702.8	707.0	707.6	87	75	76	N 0	NW 0	E 0	10*	10	0	2.7	✳ n-a ✳
19	-5 5	-0.7	-0.2	-2.1	-4.2	702.2	**6 9 4**	704.9	90	76	90	E 1	NW 2	E 1	5	10*	10	2.5	✳ a-p mU ✳
20	-2.2	1.7	-1.2	-0.6	-2.8	707.3	708.2	714.4	87	60	57	SE 0	NW 1	NW 2	10	10	10*	0.2	✳fl p-n mU ✳
21	-1.8	0.0	0.4	-0.5	-2.7	718.0	715.1	715.7	55	86	96	S 0	NW 0	E 0	10	10*	10*	13.6	✳ 12-n ✳
22	0.8	3.3	0 1	1.4	-0.9	717.1	718.3	717.0	100	93	96	NW 0	NW 0	E 0	10*	8	2	3.0	✳ n-a, ✳● a ✳
23	1.5	3.2	2.8	2.5	0.1	714.6	712.9	711.1	96	79	88	NE 0	NW 1	NW 0	10	10	10	.	✳
24	1.3	5.3	1.4	2.7	0.2	710.8	711.2	710.7	92	70	85	SE 0	NW 0	SE 0	10	5	0	.	✳
25	1.4	3.0	2.1	2.2	-0.4	710.9	711.0	711.7	85	76	85	SE 0	NW 1	NW 0	10	10	10	.	✳
26	1.4	4.3	2 5	2.7	-0.1	712.6	713.1	715.0	89	76	84	NW 0	NW 1	SE 0	10	8	10	.	✳
27	-0.7	3.1	1.1	1.2	-1.7	717.4	717.8	719.4	76	66	76	NE 0	NW 1	NW 1	7	8	10	0.3	✳ n (27./28.) ✳
28	-0.7	-1.7	-1.1	-1.2	-4.2	720.8	722.0	724.1	76	68	70	N 0	NW 1	NE 0	10	10	10	.	✳
Mittel	0 9	3 5	1.5	2 0	—	713.7	713 6	714.6	81	71	77				9.0	8.4	7.6	Summe 129.2	

*) 3. ≡⸙ n-n, ⸗ 18¾, ⋁ 8–n 7. 16¾–n 9. ⋁ 6½–n

Februar 1955
Beobachter: *Observatoire*

Genève

$\lambda = 6° 9'$, $\beta = 46° 12'$,
$H_b = 405.0$ m, $G = -0.03$ mm.

Tag	Lufttemperatur 7³⁰	13³⁰	21³⁰	Mittel	Abweich. vom Normalst	Luftdruck 7³⁰	13³⁰	21³⁰	Relative Feuchtigkeit 7³⁰	13³⁰	21³⁰	Windrichtung und Stärke 7³⁰	13³⁰	21³⁰	Bewölkung 7³⁰	13³⁰	21³⁰	Niederschlag	Witterung
1	0.8	6.0	3.1	3.3	2.3	716.5	715.5	714.9	100	75	93	E 0	ENE 1	E 0	2	3	3	.	
2	1.6	7.4	6.5	5 2	4.1	716.3	715.1	716.1	100	88	88	E 0	SSW 1	SSW 1	10	10	10	3.4	● 16¾–18¼
3	5.7	7.5	6.1	6.4	5.2	716.4	716.5	719.0	85	72	87	SW 1	SW 2	SW 2	10	3	10	2.9	● 1¾–6, 20¼–20¾
4	7.0	9.0	6.6	7.5	6 3	717 4	720.8	718.9	85	63	79	SW 2	SW 1	SW 2	10●	9	10	13.3	● 3–4¼, 6¾–7½, 9–13, 20–23¼
5	8.4	8.7	6.8	8.0	6.7	718.2	718.0	717 5	57	49	74	SW 2	SSW 1	SW 1	9	8	10	15.2	● 1–5¾, 12¾–13½, 22¾–24
6	2 6	1.8	3.8	2.7	1.3	717.7	718.3	726.9	93	85	80	SSW 1	S 1	E 1	10●	10	2	11.0	● 0–3¾, ✳ 8¾–13 ✳
7	-0.2	5.0	2 6	2.5	1.1	**730 6**	730.4	729.1	89	71	93	E 1	S 1	S 1	1	10	10●	11.0	● 19½–24
8	6.6	11 4	**11 6**	9.9	8.4	720.9	727.2	726 2	97	87	87	NE 0	SSE 1	S 2	10●	10	10	20.0	● 0–7½, 21¾–24
9	4.8	8.4	6 1	6.4	4.8	726 0	724 8	723.5	90	70	72	E 0	S 1	S 1	10	10	10	0.2	● 22½
10	5.2	4.2	3.2	4.2	2.6	720.8	721.5	724.6	75	65	72	S 1	S 1	E 0	10	4	5	.	
11	-1.6	3.4	-0.4	0.5	-1.2	725.9	725.2	724.4	94	80	70	NNE 1	NNE 1	NNE 1	0	2	0	.	
12	-1.9	2.2	2.0	0.8	-1.0	722.6	721.8	721 1	94	89	74	NE 1	NNE 1	SSE 1	9	2	10	0.2	▽ 9–13½ mU, ✳ 21–22 mU
13	0.4	3.5	0.0	1.3	-0.6	722 7	721.6	722.3	88	74	88	SSE 1	SE 1	SE 1	4	8	4	3.0	▽ 16¾, 23–24
14	-1.6	-0.8	-4.4	-2.3	-4 2	724 8	725.5	726 8	94	84	92	E 0	NNE 1	E 0	10	2	2	.	✳
15	-6.0	1.6	-1.2	-1.9	-3.9	724.5	722.1	721.4	92	81	86	E 0	E 0	E 0	1	1	1	.	✳
16	-2.6	3.5	0.4	0.4	-1.7	719.9	716.3	713.8	87	**40**	88	S 1	S 1	S 0	8	1	0	0.2	✳
17	-0.4	1.2	1.0	0.6	-1.6	708.5	706.5	706.9	98	100	96	SE 1	E 1	E 0	10*	10*	10*	**26.3**	✳ 7¼–24 ✳
18	0.2	3.0	-0.6	0.9	-1.3	710 1	711.5	712.0	96	66	89	S 0	S 0	S 0	10	0	0	3.0	✳ n (18./19.) ✳
19	-3.0	0.2	0.8	-0.7	-3.0	**704 3**	706.0	711.8	87	93	92	SE 1	S 1	S 1	10	10	10	0.2	▽ p, n (19./20.) ✳
20	-0.6	-1.0	-1.6	-1.1	-3.5	713 8	718.6	719.5	89	88	92	S 1	S 1	S 1	9	10	10	0.3	▽ a, n (20./21.) ✳
21	-2.1	2.6	3.1	1.2	-1.3	723.7	721.6	722.2	79	56	81	SW 1	S 1	S 1	10	10	10	11.5	✳ p ✳
22	4.6	8.0	4.2	5.6	3.0	722.4	723.0	721.7	68	59	87	WSW 1	SSW 1	W 1	9	6	4	.	✳
23	2.0	5.0	2.0	3.0	0.4	719 0	718.8	716.2	96	93	98	SW 1	SW 1	SW 1	10	8	10	20.0	● 15–1⁸½, ✳ 18½–n ✳
24	3.0	5.8	4.0	4.3	1.6	716 4	716.1	715.7	89	83	97	NE 1	NE 1	N 1	4	4	10	7.2	● p–n mU ✳
25	2.4	4.8	3.0	3.4	0.6	715.3	715.6	716.5	89	71	80	ENE 1	NNE 1	NE 1	10	9	10	.	
26	1.8	5.2	4.2	3.7	0.8	717.3	717.9	718.7	93	72	80	NE 1	NNE 1	NE 1	10	3	10	.	
27	2.2	3.6	1.8	2.5	-0.6	720.6	721.5	723 4	82	73	71	NE 1	NNE 1	NNE 1	10	9	10	.	
28	-0.2	0.2	-0.8	-0.3	-3.5	726.0	725.8	727.2	85	74	77	NE 1	NE 1	NE 1	10	10	10	0.0	
Mittel	1.4	4.3	2.6	2.8	—	719.3	719.4	719.9	88	75	84				8.1	6.5	7.2	Summe 148.9	

$\lambda = 8°\ 34'$, $\beta = 47°\ 23'$,
$H_b = 569.4$ m, $G = 0.03$ mm

Zürich

Februar 1955
Beobachter: *Meteorologische Zentralanstalt*

Tag	Lufttemperatur					Luftdruck			Relative Feuchtigkeit			Windrichtung und Stärke			Bewölkung			Niederschlag	Witterung
	7^{30}	13^{30}	21^{30}	Mittel	Abweich. vom Normalwert	7^{30}	13^{30}	21^{30}	7^{30}	13^{30}	21^{30}	7^{30}	13^{30}	21^{30}	7^{30}	13^{30}	21^{30}		
1	1.6	10.3	4.3	5 4	6.7	701.5	700.2	700.5	92	**50**	97	NE 1	ENE 1	NE 1	9	9	10	.	
2	1.9	9.1	3.9	5.0	6.2	699.9	700.2	700.8	99	64	94	ENE 1	S 1	SSE 1	9	1	9	0.0	
3	4.7	4.9	1.8	3.8	5.0	700.9	701.6	702.5	95	99	98	W 1	S 1	SSW 1	10	9	2	1.4	● 8¾–9¾, 16¾–17
4	2.5	6.9	5.8	5.1	6.2	698.6	700.9	702.9	90	71	58	SE 1	SW 4	SSW 1	9	10●	10	4.2	● 11½-12, 13½, 16-16½, 23¾-24, *)
5	6.7	6.0	5.1	5.9	6.9	699.2	700.4	699.8	64	70	75	SW 4	SW 2	WSW 2	3	10△	10	4.0	● 0-2¾, 5-5¾, 9¼-9½, 14¾-16, *)
6	1.7	0.7	0.4	0.9	1.8	699.2	701.9	711.4	98	99	89	SSE 1	NW 1	NW 1	10●*	10*≡	5	8.0	●✳ 6¾–9, ✳ 9-16½, ≡ 13-16½
7	0.0	3.0	1.2	1.4	2.2	**715.2**	714.4	711.5	78	56	89	SW 1	SSE 1	SSW 2	10	9	10*	5.5	✳ 19–19¾, 21½, 23¾–24
8	7.4	**10.5**	9.7	9.2	9.9	709.4	710.7	705.4	81	60	86	SSW 3	WSW 2	SSW 4	10	10	10●	**24.8**	● 0–5¼, 16¼–24, ⛆ n-n mU
9	3.5	5.9	3.1	4.2	4.8	707.8	707.5	706.6	84	66	93	SW 2	SW 2	SW 2	10	9	10	7.6	● 0–1¾, 9½–10¾, 16½–20½ mU
10	3.3	0.1	−1.5	0.6	1.1	702.1	703.7	708.0	84	98	85	SW 3	WSW 2	WSW 2	10●	10*≡	1	7.5	● 3¼–4¼, 7¼-7¾, ●✳ 8¾-16¼, [⛆ n-a, ≡ a-p
11	−3.0	2.0	−2.1	−1.0	−0.6	709.8	710.5	709.6	94	57	84	WNW 1	SSW 1	SSW 1	9	6	0	.	
12	−4.6	−0.6	−2.5	−2.6	−2.3	707.1	706.7	706.8	86	70	91	SSE 1	S 1	WSW 0	3	7	8	0.5	✳ 15–16¾, ⌙ I
13	−1.2	1.7	−2.2	−0.6	−0.4	706.6	706.1	705.9	86	57	95	SSW 1	SW 2	SW 2	10	6	10*	1.1	✳ 19¾–23¼
14	−3.9	−1.3	−4.7	−3.3	−3.2	707.8	709.3	711.1	89	67	61	WSW 1	W 2	SSW 2	10	9*	7	0.0	✳ 5–5¼, ✳fl 8-9½, 13½
15	−4.8	0.4	−2.2	−2.2	−2.2	708.0	706.4	705.6	64	**50**	92	NNE 2	S 2	W 1	10	10	10*	0.1	✳ 20¾–24
16	−1.7	1.2	−1.3	−0.6	−0.7	703.4	701.5	698.4	73	78	91	WSW 1	S 1	WNW 1	10*	5	9	0.2	✳ 0–1¼, ✳fl 7½
17	−2.0	0.2	−1.3	−1.0	−1.2	693.6	691.5	692.1	78	88	96	SW 1	S 1	WNW 1	10	10*	10*	8.6	✳ 12½–23¾
18	−3.3	0.5	−4.5	−2.4	−2.7	692.9	696.7	697.3	95	61	99	NNW 1	WNW 1	SSE 1	10*≡	10	0	3.2	✳ 2¾–11¼, ≡ n-a
19	**−7.8**	−5.3	−0.4	−4.5	−4.9	692 7	**689.5**	694.8	98	90	70	NE 1	W 1	SW 3	10≡	10	9	0.0	≡ n-a mU, ⛆ 17–23½
20	−1.8	0.7	−4.5	−1.9	−2.4	697.0	698.5	703.8	62	63	99	SW 2	WSW 2	SW ≡	9	8	10*≡	3.0	✳ 14¾-17¾, 20-23¼, ≡p-n, ⛆ 17¾
21	−3.6	−2.7	0.5	−1.9	−2.5	707.3	705.4	704.8	66	94	94	SSW 1	S 1	SSW 2	10	10*≡	10*	11.6	✳ 0–2¼, 10–19¾, ▽ 21½,*)
22	1.8	2.9	0.3	1.7	1.0	706.2	708.0	707.9	92	92	99	SW 2	SSW 1	SE 1	10●	10●	0≡	3.7	● 0–8, ✳● 8-15¾, ▽ 16¼,
23	−0.1	5.2	0.2	1.8	1.0	704.7	703.2	701.2	99	72	99	NE 1	NNE 2	NE 1	10≡	10	10	3.1	≡ n-9 [≡ 18-n
24	0.6	6.5	0.5	2.5	1.6	700.5	701.4	700.9	98	72	99	WSW 1	SSW 1	NNE 2	10≡	9	10≡	0.2	✳ 0¾–3¼, ≡ n-11, p-n
25	0.1	0.7	−1.3	−0.2	−1.2	700.7	701.1	701.8	98	88	91	NNE 1	N 1	NNE 2	10	10	10	0.1	≡ n-6¼
26	−2.6	−1.1	−1.7	−1.8	−2.9	702.7	703.5	705.6	98	89	95	NNE 1	NNE 1	NNE 1	10	10	10	.	
27	−2.1	−0.5	−3.1	−1.9	−3.1	706.3	707.7	710.2	98	80	85	N 1	N 1	NNE 1	10	10	10	0.0	
28	−6.1	−3.4	−4.5	−4.7	−6.0	711.7	712.3	714.4	74	68	72	NNE 1	NE 2	NE 2	10	10	10	.	
Mittel	−0.5	2.3	0.0	0.6	—	703.3	703.6	704.3	86	74	88				9.3	8.8	7.9	Summe 98.4	

*) **4.** ⛆ 9¾-20, **5.** △ 13¼-13½, ⛆ 1-9 **21.** ● 23-24, ⛆ 20, ≡ a-p

$\lambda = 6°\ 32'$, $\beta = 46°\ 51'$
$H_b = 1588$ m, $G = -0{,}13$ mm

Chasseron

Februar 1955
Beobachter: *J. Liardon*

1	2.0	**4.6**	2.4	3.0	—	618.8	618.7	618.4	64	58	63	ESE 1	WNW 0	SE 1	6	7	7	.	
2	−1.6	2.0	−1.2	−0.3	—	617.7	618.0	617.8	100	86	100	NW 0	SSE 0	SSW 1	8	7	10≡	6.0	✳ 15–19, ≡ 11–12½ mU, 14–n
3	−2.4	−2.0	−3.0	−2.5	—	617.4	618.0	619.1	100	100	98	SSW 2	W 2	**WSW 2**	10*≡	10≡	7	3.8	✳ n-11½, ≡ n-11, 11-15 mU
4	−2.4	−2.0	−2.4	−2.3	—	625.2	618.6	620.0	100	100	100	WSW 4	NNW 6	SSE 3	10*≡	10*≡	10*≡	10.8	✳≡ n-n, ⛆ n-n mU, ⛆ III
5	−2.4	−3.0	−3.0	−2.8	—	616.8	617.3	616.8	100	100	100	WSW 5	W 4	WNW 5	10*≡	10*≡	10*≡	8.0	✳≡ n-n, ⛆ n-n mU
6	−3.6	−4.4	−5.8	−4.6	—	614.6	618.0	624.9	100	100	100	S 2	WNW 2	WNW 3	10*≡	10*≡	10*≡	8.2	✳≡ n-n, ⛆ III
7	−9.4	−6.2	−3.0	−6.2	—	628.8	**628.9**	627.4	100	100	100	N 0	W 1	WSW 4	6	6	10*≡	30.0	✳ 16½-22, ●22-n, ≡ 16½-n, ⛆ III
8	2.0	2.0	3.0	2.3	—	626.2	628.4	624.9	100	100	100	WNW 5	WNW 4	WNW 6	10●≡	10●≡	10●≡	**35.2**	● ≡ n-n, ⛆ n-n mU
9	−3.4	−3.0	−3.4	−3.3	—	624.6	624.0	622.4	100	100	100	NNW 3	N 2	WNW 3	10*≡	10*≡	10*≡	5.7	✳ ≡ n-n, ⛆ n-n mU
10	−3.6	−6.8	−8.2	−6.2	—	619.3	619.6	622.5	100	100	100	NNW 2	WNW 3	WNW 2	10*≡	10*≡	10*≡	4.0	✳ ≡ n-n, ⛆ II
11	−10.8	−8.0	−10.0	−9.6	—	623.6	624.6	623.5	100	98	90	NW 1	NW 0	NW 0	5	5	4	.	
12	−8.0	−6.6	−8.0	−7.5	—	620.9	620.9	620.5	100	99	100	SW 2	W 2	W 2	5	4	10*≡	0.6	✳ ≡ 19-n
13	−9.2	−8.0	−10.4	−9.2	—	620 8	620.5	619.6	100	100	100	W 1	W 2	WNW 2	10*≡	7	10*≡	3.7	✳≡ n-11, 15½-17, 21½-n
14	−12.0	−10.5	**−13.4**	−12.0	—	621.2	621.6	623.9	100	98	100	WNW 1	WNW 1	**WNW 1**	10*≡	10*≡	5	0.0	✳≡ n-15, 15-18½ mU
15	−11.2	−8.6	−8.6	−9.5	—	621.6	621.0	620.6	100	72	100	W 1	WSW 2	W 1	7	7	10*≡	1.6	✳≡ 19-n
16	−7.8	−5.2	−7.1	−6.7	—	618.5	617.4	615.0	100	100	98	WNW 1	WNW 1	**WSW 1**	10≡	6	3	.	≡ n-11¼
17	−5.6	−6.6	−6.4	−6.2	—	610.2	608.2	608.5	86	84	74	WSW 1	W 0	W 0	7	9	10	2.8	✳ 14-17
18	−10.0	−7.2	−5.4	−7.5	—	609.0	612.0	612.6	100	80	**22**	WNW 0	W 0	SSE 1	10	4	3	.	≡ n-10, 10-10½ mU
19	−8.0	−6.6	−9.0	−7.9	—	607.5	**606.5**	610.3	60	100	100	SE 2	S 2	**WNW 4**	6	10*≡	10*≡	1.7	✳ 11-15, 16¾-n, ≡ 11-n mU, ⛆ III
20	−10.4	−10.4	−11.2	−10.7	—	611.5	613.4	617.6	100	100	100	W 2	WNW 5	WNW 5	10*≡	10*≡	10*≡	8.5	✳ ≡ n-n, ⛆ a-n
21	−11.4	−7.8	−4.4	−7.9	—	620.7	619.5	620.1	100	100	100	SSE 2	S 4	SSW 4	10*≡	10*≡	10*≡	3.6	✳ ≡ n-n, ⛆ a-n
22	−4.4	−2.4	−2.8	−3.2	—	621.7	623.4	623.1	100	100	100	SSW 3	SSW 2	SSW 1	10*≡	10≡	4	1.0	✳ n-11½, ≡ n-14½, ⛆ I
23	−3.2	−2.0	−3.0	−2.7	—	620.3	619.2	617.2	85	94	100	E 1	SE 1	SE 2	9	10*≡	10*≡	3.9	✳ 11-n, ≡ 13-n
24	−2.8	−0.4	−3.0	−2.1	—	616.7	617.6	617.0	100	100	100	W 2	W 1	ESE 1	10*	5	5	0.0	✳ n-7½, ≡ n-7
25	−4.0	−2.2	−3.2	−3.1	—	616.5	616.9	617.1	96	70	73	ESE 1	ESE 1	ESE 0	4	5	4	.	
26	−5.2	−3.4	−3.6	−4.1	—	617.6	618.8	620.0	100	94	98	WNW 0	NNE 0	— 0	5	7	4	.	≡ n-7, 10¾-11½ mU
27	−5.4	−4.2	−8.2	−5.9	—	620.7	621.7	622.6	100	100	100	NNE 0	NNW 1	E 1	10≡	4	10≡	.	≡ 7-9½, 9½-12 mU, 15½-n
28	−10.4	−9.8	−12.2	−10.8	—	622.9	623.7	624.0	93	88	96	NE 1	E 2	ESE 3	5	4	10*≡	0.0	✳fl ≡ 15½-n, ⛆ p-n
Mittel	−5.9	−4.6	−5.5	−5.3	—	619.0	619.2	619.5	96	94	93				8.3	7.8	8.1	Summe 139.1	

Februar 1955
Beobachter: *Stationspersonal Rh. B.*

Bever

$\lambda = 9° 53'$, $\beta = 46° 33'$,
$H_b = 1711.8$ m, $G = -0.23$ mm

Tag	Lufttemperatur					Luftdruck			Relative Feuchtigkeit			Windrichtung und Stärke			Bewölkung			Niederschlag	Witterung
	7^{30}	13^{30}	21^{30}	Mittel	Abweich. vom Normalst	7^{30}	13^{30}	21^{36}	7^{30}	13^{30}	21^{30}	7^{30}	13^{30}	21^{30}	7^{30}	13^{30}	21^{30}		
1	-3.1	1.6	-1.6	-1.0	7.9	614.9	613.3	613.0	100	85	100	S 0	SW 0	SW 0	9	10	10	1.0	✳fl 9–n mU
2	-3.0	1.0	-2.2	-1.4	7.4	610.7	610.1	611.0	97	94	96	E 0	SW 0	SW 0	9	10*	10*	1.4	✳p–n mU
3	-2.4	0.7	-3.3	-1.7	7.0	609.9	609.3	611.2	97	82	97	SW 0	SW 0	W 0	9	10	9	)	✳a
4	-9.2	0.0	-7.6	-5.6	3.0	609.6	609.8	612.9	93	60	93	S 0	S 1	SW 0	9	4	5		
5	-1.7	0.0	-8.0	-3.2	5.3	608.8	608.8	608.7	69	66	79	SW 1	NW 1	W 0	10	10	3	2.2	
6	-10.4	-2.6	-4.8	-5.9	2.5	608.0	607.9	613.9	86	82	84	SW 0	SW 0	NW 0	8	1	1	)	✳fl a
7	-11.1	-4.6	-6.0	-7.2	1.1	614.0	618.4	**618.8**	88	44	71	S 0	W 0	W 0	3	10	10	13.7	✳n (7./8.)
8	-5.9	3.2	-0.8	-1.2	7.0	616.8	618.6	615.0	98	49	98	NE 1	SW 1	W 0	10	10	10*	11.8	✳n–n mU
9	-2.4	-0.1	-5.4	-2.6	5.5	613.4	613.9	613.0	62	52	97	NW 0	W 0	E 0	10	9	9	.	
10	-9.1	-3.2	-8.2	-6.8	1.2	610.4	608.1	611.2	96	90	95	SW 0	W 0	SW 0	10	10	10	)	✳fl a, p
11	-15.4	-7.1	-22.0	-14.8	-6.9	613.8	615.4	615.6	89	45	93	SW 0	SW 0	SW 0	5	0	1		
12	-24.3	-6.7	-19.9	-17.0	-9.2	614.4	613.3	613.6	94	54	96	SW 0	SW 1	SW 0	0	6	0		
13	-22.6	-4.7	-20.0	-15.8	-8.1	612.6	611.0	610.5	95	42	90	SW 0	SW 0	NW 0	2	2	3	14.8	
14	-17.9	-9.2	-19.2	-15.4	-7.8	610.4	610.1	614.2	94	51	86	SW 0	S 0	SW 0	8	9	5		
15	-21.1	-6.0	-16.6	-14.6	-7.0	612.9	611.6	611.6	94	44	84	SW 0	SW 0	SW 0	8	2	5		
16	-20.4	-0.3	-14.0	-11.6	-4.1	609.3	607.9	606.9	96	**35**	80	SW 0	W 0	SW 0	1	1	0	)	✳n (16./17.)
17	-11.0	-4.5	-4.6	-6.7	0.7	603.5	601.4	600.8	98	92	99	SW 0	SW 0	NE 0	10	10*	10*	10.0	✳n–n mU
18	-5.3	-4.8	-19.3	-9.8	-2.5	600.0	602.3	605.9	98	91	91	N 0	SE 0	E 0	10*	10	2	9.5	✳n–a
19	-19.9	-6.2	-6.5	-10.9	-3.7	604.4	**599.6**	600.8	89	97	98	SW 0	N 1	SW 0	6	10	10	5.5	✳p, n (19./20.)
20	-15.3	-8.2	-11.6	-11.7	-4.6	602.5	603.0	606.9	93	74	86	SW 0	NW 0	N 0	8	10	10	.	
21	-15.5	-8.4	-8.6	-10.8	-3.8	612.2	612.6	612.6	88	86	88	NE 0	SW 1	W 0	7	10	10	6.0	✳14–17
22	-13.0	1.0	-10.1	-7.4	-0.5	613.5	614.8	615.3	95	58	88	S 0	SW 1	SW 0	8	1	3	.	
23	-8.0	1.0	-4.1	-3.7	3.1	614.5	613.1	610.7	98	58	99	SW 0	SE 0	S 0	8	10	10	0.0	✳p
24	-8.4	1.4	-8.8	-5.3	1.4	610.0	609.6	610.0	97	72	98	SW 0	SW 0	SW 0	6	5	1	.	
25	-14.6	0.9	-7.6	-7.1	-0.5	609.9	609.0	609.0	96	53	96	SW 0	S 0	SW 0	1	9	5	.	
26	-7.8	-0.5	-11.2	-6.5	0.0	607.6	609.0	612.1	98	52	87	SW 0	W 0	S 0	9	8	0	.	
27	-18.2	-3.9	-5.9	-9.3	-2.9	612.7	612.5	613.6	97	51	96	SW 0	NE 0	NE 0	6	10	10	0.0	✳fl p
28	-7.8	-1.4	-10.2	-6.5	-0.2	613.7	614.4	616.6	90	58	95	NE 0	NE 1	NE 0	10	2	1	.	
Mittel	-11.6	-2.6	-9.6	-7.9	—	610.5	610.3	611.3	92	65	91				7.1	7.1	5.8	Summe 75.9	

Februar 1955
Beobachter: *Couvent des Capucins*

Sion

$\lambda = 7° 21'$, $\beta = 46° 14'$,
$H_b = 548.6$ m, $G = -0.11$ mm.

1	6.0	8.7	8.4	7.7	7.4	706.0	704.3	704.6	63	44	57	ENE 0	E 2	ENE 0	3	8	3	.	
2	6.0	10.4	5.0	7.1	6.7	703.6	703.1	703.9	66	55	84	ENE 2	ENE 0	WSW 0	4	4	6	.	
3	3.7	6.0	3.0	4.2	3.7	704.7	705.0	707.3	91	94	82	E 0	WSW 0	ENE 0	10●	10●	7	3.9	● 7¼–9¼, 11½–14¼
4	1.6	1.9	4.1	2.5	1.9	705.6	706.9	709.1	100	98	90	NNE 0	NNE 1	ENE 2	10●	10*	10●	25.4	● 5¾–8¼, 21–24, ✳ 11½–17
5	1.2	5.0	3.8	3.3	2.6	705.4	706.0	705.8	100	86	89	ENE 0	W 0	WNW 0	10*	10	10●	8.0	✳ 0–8, ● 9½–10, 21¼–24, tr 18½
6	1.0	1.1	2.2	1.4	0.6	702.3	703.6	712.6	99	96	80	NNW 0	WNW 1	W 2	10●*	10*	7	9.3	● ✳ 0–2¼, 4–14¾
7	-1.0	4.1	0.9	1.3	0.4	717.3	**717.7**	717.1	82	61	98	W 0	W 1	W 2	0	7	10●	35.8	● ✳ 18¼–20¾, ● 21–24 mU
8	2.7	5.6	5.7	4.7	3.7	714.4	714.6	712.8	98	96	100	W 0	W 0	W 0	10●	10	10●	**56.5**	● ✳ 0–3, ● 3–24 mU
9	4.0	9.0	5.3	6.1	5.0	712.5	711.8	710.6	95	57	72	WSW 2	WSW 2	WSW 1	10●	3	10●	0.4	● 0–7¾, 21½
10	3.1	4.9	1.8	3.3	2.1	707.8	706.8	711.1	90	70	56	WSW 0	WSW 3	WSW 2	10	10●	10	0.9	● 7¼–7½, ▽ 13½–14¼, ↙	
11	-2.4	2.4	-0.9	-0.3	-1.6	713.4	713.3	713.0	66	50	60	WSW 0	WSW 0	WSW 1	0	0	0	.	
12	-4.0	1.9	0.0	-0.7	-2.1	712.1	710.5	710.2	61	**41**	52	WSW 1	E 1	ESE 1	2	5	0	.	
13	-2.2	2.1	-0.6	-0.2	-1.7	710.7	709.3	708.8	90	65	86	ESE 0	ESE 1	W 2	10	5	2	.	⌐|
14	-2.2	1.0	-3.2	-1.5	-3.1	710.7	716.2	714.3	85	54	75	WSW 0	WSW 2	W 1	8	6	0	.	⌐|
15	-4.8	1.2	-1.3	-1.6	-3.3	712.8	710.1	709.7	72	44	60	W 0	W 1	W 0	10	2	0	.	
16	-3.0	4.2	-0.2	0.3	-1.5	708.2	705.4	702.8	86	45	63	W 0	W 1	W 0	6	0	0	3.6	
17	-2.0	0.0	-0.1	-0.7	-2.6	698.1	694.2	694.5	97	95	100	NE 0	NE 0	NE 0	10*	10*	10*	30.0	✳ 7¼–24
18	-0.3	2.5	-2.1	0.0	-2.0	694.8	699.0	700.9	95	70	83	W 0	WSW 1	WNW 1	10*	3	0	0.4	✳ 0–8½
19	-6.5	-0.3	-0.1	-2.3	-4.5	696.9	**693.8**	698.3	76	93	85	NE 1	W 0	W 2	8	10*	2	1.1	✳ 12¾–14
20	-4.3	0.2	-2.2	-2.1	-4.4	700.6	702.3	708.0	84	65	71	NNE 0	WSW 2	WSW 2	9	10	10	0.2	✳fl 15, 21
21	-3.0	-3.4	-3.0	-3.1	-5.5	711.3	712.1	710.4	58	95	99	WSW 0	ENE 2	ENE 0	10	10*	10*	12.3	✳ 10¼–24
22	-2.2	3.7	1.6	1.0	-1.5	710.6	711.4	711.0	97	75	93	ENE 0	ENE 0	ENE 0	10	5	3	.	
23	3.4	8.7	3.8	5.3	2.7	708.8	706.1	705.1	65	46	80	ENE 0	E 0	WNW 1	10	10	3	.	
24	2.2	6.2	2.8	3.7	1.0	703.9	703.9	703.4	75	60	80	NE 1	NE 0	WNW 0	7	3	2	.	
25	-1.9	6.8	1.6	2.2	-0.6	703.9	703.3	704.2	89	52	90	NE 0	NE 0	WNW 0	3	8	3	.	
26	0.4	6.3	1.9	2.9	-0.1	705.7	705.6	707.5	91	59	74	W 0	W 1	W 1	10	2	0	.	
27	-1.7	4.0	1.0	1.1	-2.0	709.2	708.8	710.5	71	53	85	ENE 1	ENE 0	W 2	5	7	7	0.3	
28	-1.2	2.9	-0.8	0.3	-2.9	711.7	711.7	714.4	95	66	74	W 0	WSW 1	WSW 0	10	8	8	.	● 5½–6¼
Mittel	-0.3	3.8	1.4	1.6	—	707.2	707.1	707.9	84	67	79				7.7	6.6	5.1	Summe 188.1	

$\lambda = 8°\,57'$, $\beta = 46°\,0'$,
$H_b = 276.2$ m, $G = -0.01$ mm.

Lugano

Februar 1955
Beobachter: *G. Vicari*

Tag	Lufttemperatur					Luftdruck			Relative Feuchtigkeit			Windrichtung und Stärke			Bewölkung			Niederschlag	Witterung
	7^{30}	13^{30}	21^{30}	Mittel	Abweich. vom Normalst	7^{30}	13^{30}	21^{30}	7^{30}	13^{30}	21^{30}	7^{30}	13^{30}	21^{30}	7^{30}	13^{30}	21^{30}		
1	6.0	6.4	5.8	6.1	4.0	734.0	733.0	731.4	99	97	98	NE 1	S 1	W 1	10	10	10	20.7	◔ ● n–n
2	5.2	7.4	6.4	6.3	4.1	728.8	728.5	728.9	99	86	96	N 1	N 1	— 0	10	10	10	12.6	● n–12½
3	6.2	7.4	6.2	6.6	4.4	728.1	727.8	728.7	99	94	99	SW 1	W 1	NNW 1	10	10	10	4.4	◔ ● n–19½ mU
4	3.4	9.8	5.2	6.1	3.8	728.4	728.6	729.6	96	64	78	SE 1	ESE 1	N 1	10	9	1	.	
5	3.2	12.4	4.6	6.7	4.3	727.6	726.5	726.3	85	46	92	W 1	S 1	SE 1	10	8	0	.	
6	2.2	6.0	9.2	5.8	3.3	724.9	725.8	729.9	73	75	31	NNW 1	— 0	N 2	10	10	5	.	
7	7.2	10.6	5.8	7.9	5.4	737.1	738.8	**738.9**	32	**26**	74	NNE 2	NNW 2	N 1	1	9	10	.	
8	4.2	9.4	7.4	7.0	4.4	737.1	736.3	733.3	80	61	80	N 1	S 1	SW 1	10	9	10	2.2	● n (8./9.)
9	10.4	12.8	6.6	9.9	7.2	730.7	730.8	730.3	44	58	45	N 2	S 1	N 1	10	0	0	.	
10	3.2	**13.8**	6.4	7.8	5.0	728.1	725.8	729.5	68	44	41	W 1	SE 1	N 2	1	6	0	.	
11	1.4	9.6	2.2	4.4	1.5	734.7	735.4	735.8	42	33	46	N 1	E 1	W 1	0	0	0	.	
12	−0.2	6.2	0.8	2.3	−0.7	735.8	735.3	734.2	58	42	62	NW 1	S 1	NNW 1	10	10	0	.	⌊
13	−1.8	7.2	0.0	1.8	−1.3	732.8	731.1	729.5	75	48	58	N 1	S 1	N 1	3	5	0	.	⌊⌊
14	1.8	6.4	−0.2	2.7	−0.5	730.0	731.5	734.5	35	29	38	NNE 1	NNE 2	N 1	0	0	0	.	⌊⌊
15	−2.8	7.4	0.4	1.7	−1.6	734.6	733.4	732.2	53	39	53	N 1	S 1	NW 1	1	2	0	.	⌊
16	−2.8	8.4	1.0	2.2	−1.1	729.4	727.4	725.6	68	41	58	N 1	S 1	N 1	0	0	3	.	⌊
17	1.2	0.8	0.0	0.7	−2.7	722.4	719.5	718.1	75	95	100	SSW 1	— 0	N 1	10	10*	10	14.6	✳ 8–13½, ● ◔ 13½–n
18	1.0	4.8	0.2	2.0	−1.5	715.7	717.7	721.8	100	75	85	N 1	S 1	NW 1	10*	8	0	4.8	✳ ● n–12 ✳
19	0.8	0.2	−1.4	−0.1	−3.7	722.3	**715.6**	718.5	72	99	98	E 1	— 0	— 0	10	10*	10	**27.4**	✳ 7½–19 ✳
20	−2.8	3.8	0.2	0.4	−3.4	720.4	721.1	725.7	86	64	44	N 1	W 1	N 2	10	8	6	.	⌊ ✳
21	−2.2	4.8	−1.2	0.5	−3.4	733.4	734.1	733.6	45	38	68	W 1	NW 1	N 1	0	10	10	.	⌊ ✳
22	**−3.8**	10.4	3.6	3.4	−0.6	734.3	734.7	736.0	79	40	92	N 1	S 1	NW 1	1	0	10	5.3	● n (22./23.), ⌊ ✳
23	2.2	3.4	1.6	2.4	−1.8	734.9	733.4	731.1	99	86	99	NNW 1	— 0	N 1	10	10	10	19.0	● n–n ✳
24	2.0	4.8	3.2	3.3	−1.0	729.4	729.1	728.9	99	85	99	N 1	S 1	— 0	10	10	10	0.7	◔ n–8½, 18–21 ✳
25	2.4	4.6	2.8	3.3	−1.1	728.6	728.7	727 3	96	91	99	— 0	S 1	W 1	10	10	10	3.0	◔ ● 12–n mU ✳
26	2.2	9.8	5.2	5.7	1.1	725.3	726.5	730.4	98	57	95	NW 1	S 1	S 1	10	0	10	0.1	◔ n (26./27.)
27	3.2	6.4	3.4	4.3	−0.4	732.3	731.4	730.8	84	63	82	NW 1	SSW 1	N 1	10	9	1	.	
28	2.8	3.2	2.4	2.8	−2.1	731.8	734.4	736.8	91	88	97	NW 1	S 1	S 1	10	10	10	.	●tr 13½–14
Mittel	2.0	7.1	3.1	4.1	—	729.8	729.4	729.9	76	63	75				7.0	6.9	5.6	Summe 114.8	

$\lambda = 7°\,35'$, $\beta = 47°\,33'$,
$H_b = 317.3$ m, $G = 0.11$ mm.

Basel

Februar 1955
Beobachter: *Astronom.-Meteorol. Anstalt*

Tag																			
1	1.6	6.2	2.1	3.3	3.1	724.9	724.0	723.7	91	74	94	NE 0	WNW 0	WSW 1	9	9	10	.	
2	−0.2	8.8	6.6	5.1	4.8	723.5	723.4	723.2	100	68	87	SW 0	E 0	E 1	10≡	7	10	1.5	≡ 3–9¾
3	4.3	8.4	3.4	5.4	5.1	723.2	723.3	724.6	92	67	87	E 1	WNW 1	E 1	9	9	10	0.2	● 4¼–5½, 14½–14¾
4	6.8	8.3	7.6	7.6	7.2	719.8	722.7	724.7	68	78	62	SSW 3	WSW 4	SSW 2	8	3	10	8.1	● 6¼–15¼ mU, 22¾–23¾, ◠13¾, ◞ n-n
5	8.0	9.7	3.5	7.1	6.6	721.0	722.3	722.7	60	61	90	WSW 3	W 4	**SW** 0	4	3	10	9.8	● 0¾–9¼ mU, 13¼, 14–14¼, 20–22¼, *)
6	3.3	4.0	2.2	3.2	2.7	722.2	725.2	734.5	97	92	93	SE 0	WNW 1	SW 1	10●	10●	10	5.0	● 0¼–2¾, 6–13½, 15¼–15¾, 23–24
7	−1.1	5.7	1.3	2.0	1.4	**738.2**	737.4	734.0	93	61	96	SSW 0	ESE 1	E 1	3	8	10	3.2	✳ 17¼–23 mU
8	10.2	11.3	**11.6**	11.0	10.3	732.7	733.4	728.2	73	67	79	W 2	W 2	WSW 4	10	10	10●	**15.1**	● 0–5½, 9–11, 16¼–24, ◞ III
9	5.8	7.3	4.7	5.9	5.2	731.1	731.0	730.4	**82**	65	76	WSW 1	W 2	WSW 1	7	6	8	2.3	● 0–1, 14¾–18¾ mU, ◠ II
10	5.2	4.9	1.0	3.7	2.9	725.5	727.3	731.5	77	62	84	WSW 2	WNW 3	WNW 0	10●	8	5	1.4	✳ ● 2–2¾, 7¼–12 mU, ✳ 14¼–15¾, [◞ II
11	−1.0	4.1	−1.7	0.5	−0.4	732.9	733.5	733.1	90	50	88	SE 0	WNW 1	WNW 0	10	6	6	.	⌊]
12	−4.3	3.9	0.0	−0.1	−1.1	730.9	729.9	729.7	89	54	70	ESE 1	E 0	SW 1	1	2	8	.	⌊
13	−0.6	5.4	−1.3	1.2	0.2	730.0	729.2	730.4	83	**45**	84	SW 0	WSW 2	WSW 1	8	7	10	*1.9	✳ 14¾, 16¼–19¾
14	−2.4	−0.4	−6.0	−2.9	−4.0	731.3	733.0	734.2	86	50	66	W 1	WNW 2	S 1	10*	7	0	*0.5	✳ 5¼–12½ mU ✳
15	−5.8	4.0	−0.2	−0.7	−1.9	731.6	729.2	730.1	69	57	98	E 1	WSW 1	N 0	8	10	10*	*3.5	✳ 20¾–24 ✳
16	−0.8	1.7	−0.2	0.2	−1.1	726.5	725.3	722.1	97	88	93	N 0	N 0	WSW 1	10*	10	7	*1.0	✳ 0–11 mU ✳
17	−5.4	0.6	−1.0	−1.9	−3.2	717.1	715.1	715.4	97	81	88	ESE 1	E 0	WNW 1	8	10	10	.	≡ 7¾–9, ⋁⌊
18	−2.3	3.0	−2.5	−0.6	−2.0	716.6	719.3	719.7	85	54	89	WNW 1	WNW 0	E 1	10	4	0	.	
19	−4.8	−1.5	1.2	−1.7	−3.2	715.0	**712.1**	717.5	91	78	76	E 1	ENE 1	WSW 2	7	10	10	*0.0	✳fl 17½–18
20	−0.6	0.1	−2.4	−1.0	−2.6	719.8	721.8	727.1	72	79	95	SW 0	W 1	W 2	10	9	10*	*0.3	▽ 11½–16 mU, 21½
21	−2.8	−0.5	2.2	−0.4	−2.0	730.3	728.0	726.8	78	97	97	E 1	ESE 1	WSW 1	10	10*	10●	*9.3	✳ 11¼–19, ● 21–23½ mU ✳
22	1.9	3.6	2.2	2.9	1.2	728.6	730.5	730.4	91	95	91	E 1	ESE 1	ENE 1	10●	10≡	0	2.8	● 2–16 mU, ≡ 13–14 ✳
23	0.2	1.2	0.7	0.7	−1.1	728.4	727.0	724.6	99	94	97	NW 0	NNE 1	WNW 0	10≡	10≡	10≡	5.5	≡ 4½–15¼, 16¾–24 ✳
24	0.9	7.2	2.2	3.4	1.5	723.4	723.7	723.9	98	74	98	E 0	E 1	W 0	10≡	3	10	2.7	≡ 0–3, 7¼–11, 21¾–24 ✳
25	0.3	2.4	1.3	1.3	−0.7	724.0	724.1	724.8	98	87	78	WNW 1	NW 1	ESE 1	10≡	10	10	.	≡ 0–12
26	−0.1	1.3	−1.0	0.1	−2.0	725.5	726.7	728.2	87	76	88	ENE 1	NW 0	NW 1	10	10	10	.	
27	−0.9	−0.4	−1.7	−1.0	−3.2	729.5	731.1	733.6	92	90	89	NW 0	NW 1	NW 1	10	10	10	.	
28	**−7.0**	0.3	−1.9	−2.9	−5.2	735.9	736.2	738.0	95	57	59	WNW 1	NNW 1	ENE 2	10	6	10	.	⌊
Mittel	0.3	4.0	1.2	1.8	—	726.4	726.6	727.4	87	71	85				8.6	7.8	8.4	Summe 74.1	

*) 5. ◠ 17½, ◞ n-n

Februar 1955
Beobachter: *Observatorium*

Säntis

$\lambda = 9° 20'$, $\beta = 47° 15'$,
$H_b = 2500.1$ m, $G = -0.27$ mm.

Tag	Lufttemperatur					Luftdruck			Relative Feuchtigkeit			Windrichtung und Stärke			Bewölkung			Niederschlag	Witterung
	7^{30}	13^{30}	21^{30}	Mittel	Abweich. vom Normalst	7^{30}	13^{30}	21^{30}	7^{30}	13^{30}	21^{30}	7^{30}	13^{30}	21^{30}	7^{30}	13^{30}	21^{30}		
1	-4.0	**-2.4**	-4.2	-3.5	5.6	554.4	553.4	553.3	85	84	86	S 3	S 4	S 3	6	9	10	.	⛈ 13½–16½
2	-4.6	-2.7	-5.8	-4.4	4.7	551.6	551.5	551.4	97	88	95	SE 2	SW 3	SW 3	6	3	2	.	
3	-6.7	-5.4	-10.2	-7.4	1.8	550.6	551.0	551.4	100	95	84	SSW 2	W 2	W 4	10≡*	10≡*	2	2.2	✳fl 6¾–9½, 11½–17 mU, *)
4	-7.6	-7.0	-9.5	-8.0	1.2	549.0	549.5	552.1	100	100	97	W 4	W 5	W 4	10≡*	10≡	9	11.8	✳ 6¾–7½, 9-12, 17-19, ▽13¾-16, *)
5	-7.0	-9.0	-9.9	-8.6	0.6	548.1	548.1	548.6	100	100	100	W 6	W 5	W 4	10≡*	10≡*	10≡	11.0	✳ n-7½, ▽12½-17, ≡ ⛈ n-n
6	-9.1	-5.0	-11.2	-8.4	0.8	548.2	549.1	555.6	100	96	95	W 2	WSW 2	SW 1	10≡*	10≡*	10≡*	25.2	✳ ≡ n-n
7	-15.0	-13.0	-7.2	-11.7	-2.5	558.1	**558.7**	556.8	98	98	100	WNW 3	WSW 3	W 5	10≡	10	10≡	26.1	✳ 8½-9, n (7./8.), ≡ n-7½, *)
8	-4.6	-4.8	-2.8	-4.1	5.1	556.6	**558.7**	554.2	100	100	100	W 5	W 5	W 6	10≡*	10≡	10≡*	**52.7**	✳ n-12, 16½-n, ≡ ⛈ ⋁ ⛈ n-n*)
9	-9.4	-9.4	-9.8	-9.5	-0.3	553.6	554.3	553.3	100	100	100	W 4	W 4	W 3	10≡*	10≡*	10≡*	44.0	✳ n-8½, 12-n, ▽ 9-11½, *)
10	-10.6	-10.2	-15.5	-12.1	-2.9	549.5	549.5	551.3	100	100	97	W 3	NW 2	WNW 4	10≡*	10≡*	10≡*	25.9	✳ ≡ ⛈ ⋁ n-n, ⛈ a-n mU
11	-17.6	-15.0	-16.7	-16.4	-7.2	552.8	553.8	553.6	98	97	85	WSW 3	WSW 3	W 3	10≡	10≡	0	1.1	✳fl 11½-12½, ≡ n-15½, 17-17¾
12	-14.9	-11.8	-14.1	-13.6	-4.4	551.7	552.1	551.8	88	82	100	WSW 3	SW 3	SW 3	5	9	10	3.0	✳ 19½-n mU
13	-16.0	-14.0	-15.8	-15.3	-6.1	550.9	550.7	549.7	99	100	100	WSW 3	WSW 3	WSW 2	10≡*	10≡*	10≡*	13.1	✳ ≡ n-n
14	-18.5	-17.9	**-19.6**	-18.7	-9.6	549.9	551.1	552.5	99	99	98	WNW 3	NW 3	SW 3	10≡*	10≡*	10≡*	7.7	✳ ≡ n-n
15	-17.9	-15.4	-15.2	-16.2	-7.1	551.0	550.5	550.2	95	87	98	WSW 4	WSW 4	SW 4	10	10	10≡	.	≡ 19¾-n, ⛈ ⛈ n-n
16	-14.3	-11.7	-13.4	-13.1	-4.0	548.1	548.2	545.7	98	97	98	WSW 4	WSW 3	SW 4	10≡*	10≡*	2	2.5	✳ 7¼–14, ≡ n-17, ⛈ n-n mU
17	-11.6	-7.1	-9.0	-9.2	-0.2	543.3	541.8	541.6	81	100	98	S 4	WSW 3	SW 2	9	10≡*	10≡*	9.6	✳ 10-n, ≡ 8½-n, ⛈ l
18	-9.1	-12.8	-13.6	-11.8	-2.8	541.1	543.2	545.5	100	98	**73**	WNW 2	W 4	SSW 2	10≡*	10≡*	0	3.8	✳ n-14¾, ≡ n-16, ⛈ p
19	-12.0	-8.8	-15.1	-12.0	-3.0	542.9	540.0	**539.8**	75	96	100	SSE 3	S 3	WSW 5	1	10	10≡	1.8	✳14¼-17¼, ≡13½-n, ⛈ 8-n, ⛈ p-n
20	-17.0	-16.2	-18.9	-17.4	-8.5	542.9	543.5	546.3	95	93	92	WSW 3	W 4	WSW 5	4	10≡*	10≡*	3.1	✳ 8¼-n, ≡ n-6, 7¾-n, ⛈ p-n mU
21	-19.2	-12.4	-10.2	-13.9	-5.0	550.2	550.6	550.1	91	98	100	SW 3	W 4	W 5	10≡	10≡*	10≡	5.4	✳ 8-17, ≡ n-n, ⛈ ⛈ 11-n, ⛈ III
22	-9.4	-8.1	-8.3	-8.6	0.2	552.4	554.6	556.0	100	100	100	W 5	W 4	WSW 3	10≡	10≡*	10≡	3.8	✳ 7¾-16½, ≡ ⋁ n-n, ⛈ ⛈ n-17
23	-8.4	-4.9	-6.9	-6.7	2.1	553.8	553.2	550.8	90	81	94	SW 3	SW 3	SW 4	9	10	10	0.0	✳fl 20½-n mU, ⛈ III
24	-7.6	-4.6	-8.1	-6.8	1.9	549.9	550.6	550.6	87	83	95	SW 2	SW 2	S 2	3	9	1	0.0	✳fl 16–16½
25	-9.8	-6.1	-8.7	-8.2	0.4	549.6	549.9	549.8	86	77	100	S 2	SW 3	SE 2	9	9	10≡*	0.3	✳fl 17¾-n, ≡ 17½-n
26	-10.9	-9.8	-11.0	-10.6	-2.0	549.1	550.1	552.0	98	96	96	WSW 2	W 3	WSW 3	8	10≡*	0	0.4	✳ 11¾–13½ mU, ≡ 11–21¼
27	-11.1	-9.8	-12.1	-11.0	-2.5	552.4	553.4	554.1	87	82	94	SE 1	NE 2	NNE 3	2	8	2	.	
28	-12.4	-11.7	-9.0	-11.0	-2.6	554.1	555.0	557.0	100	94	86	NNE 3	NE 3	ENE 2	10≡	9	0	.	≡ n-12½, ⋁ n-10½
Mittel	-11.3	-9.5	-11.1	-10.6	—	550.2	550.6	550.9	94	94	95				8.3	9.3	7.1	Summe 254.5	

*) **3.** ≡ 5¾–20½, ⛈ p-n **4.** ≡ n–8½, 9¼–20¾, ⋁ 12–20, ⛈ n-n **7.** ≡ 8½–12, 19½–n, ⛈ p-n **8.** ⛕ 23¼ **9.** ≡ ⛈ ⋁ ⛈ n-n

Februar 1955
Beobachter: *E. Chiesa*

St. Gotthard (Hospiz)

$\lambda = 8° 34'$, $\beta = 46° 38'$,
$H_b = 2095$ m, $G = -0.25$ mm.

1	-3.7	-2.8	-3.6	-3.4	4.1	585.2	584.2	583.2	98	98	97	SE 2	SE 1	SE 2	10*≡	10*≡	10*≡	**30.2**	✳ ≡ ⛈ n-n
2	-3.4	-1.6	-3.3	-2.8	4.7	581.5	581.5	581.2	98	89	98	SE 1	SE 0	SE 1	10*≡	10≡	10*≡	25.4	✳ n-a, 18½-n, ≡ n-n
3	-4.0	-2.2	-6.8	-4.3	3.2	580.9	580.6	580.8	98	79	94	SE 1	SE 1	NW 1	10*≡	10*≡	0	5.2	✳ ≡ n-19¼
4	-6.4	-4.2	-7.4	-6.0	1.5	580.3	580.8	582.6	95	77	73	SE 2	SE 1	NW 1	10≡	10*≡	10	19.1	✳ a-p, n (4./5.), ≡ n-p
5	-5.7	-4.5	-7.0	-5.7	1.8	580.3	580.3	579.9	97	86	84	SE 2	SE 0	SE 1	10*≡	10*≡	10≡	5.9	✳ ≡ n-n mU
6	-6.6	-3.4	-9.7	-6.6	0.9	578.2	578.6	580.8	92	76	94	SE 1	SE 0	NW 4	10*≡	10*≡	10≡	5.4	✳ n-p, ≡ n-n, ⛈ ⛈ III
7	-11.0	-7.0	-8.1	-8.7	-1.2	587.5	589.0	588.8	92	79	94	NW 3	NW 1	SE 1	10≡	3	10*≡	25.9	✳ 17¾-n, ≡ n-a, p-n, ⛈ l
8	-2.0	-2.0	**-1.2**	-1.7	5.8	587.6	**589.5**	586.8	80	87	96	NW 2	NW 3	SE 0	10*≡	10*≡	10*≡	29.5	✳ ≡ n-n, ⛈ ⋁ II
9	-7.0	-5.2	-7.2	-6.5	0.9	584.3	584.9	583.5	98	97	98	NW 2	NW 2	NW 2	10	10≡	10*	7.6	✳ 16¼-n, ≡ a-p mU
10	-7.4	-6.5	-12.0	-8.6	-1.2	580.8	579.7	580.9	98	97	76	SE 1	NW 1	NW 4	10*	10*	10*	12.3	✳ n-n, ⛈ ⛈ III
11	-15.4	-11.6	-13.8	-13.6	-6.2	583.2	584.8	584.5	73	70	63	NW 2	NW 1	SE 1	0	0	0	.	
12	-15.1	-9.7	-12.2	-12.3	-4.9	583.7	583.5	582.9	67	66	73	SE 1	SE 1	SE 1	0	9	10	0.0	✳fl 17¾
13	-13.6	-11.3	-14.0	-13.0	-5.6	581.9	581.4	580.3	75	65	74	NW 1	NW 0	NW 1	6	0	10	2.0	✳ 19¾-n mU
14	-15.4	-13.8	**-16.6**	-15.3	-8.0	580.1	581.2	582.9	76	75	72	NW 3	NW 3	NW 3	10≡	10	10	.	≡ n-a, ⛈ n-n
15	-14.8	-8.7	-11.0	-11.5	-4.2	582.3	582.4	581.4	55	56	64	NW 1	SE 1	NW 1	9	6	10	.	
16	-12.3	-9.0	-12.0	-11.1	-3.8	579.6	579.0	577.3	78	76	80	NW 1	NW 1	SE 1	3	0	0	.	
17	-9.8	-7.8	-6.1	-7.9	-0.7	573.7	571.5	570.9	78	92	98	SE 1	SE 1	SE 2	10	10*	10■	8.1	✳ 10¾-n mU, ≡ p-n mU
18	-9.8	-10.7	-12.0	-10.8	-3.6	569.9	572.6	574.7	95	91	71	NW 1	NW 3	NW 1	10	10≡	0	2.4	✳ a, ≡ n-p, ⛈ II
19	-9.8	-6.7	-9.6	-8.7	-1.6	573.8	**569.5**	571.2	75	78	75	SE 1	SE 0	NW 2	10	10≡	10*≡	10.2	✳ 8¼-n mU, ≡ a-p mU
20	-14.5	-11.8	-15.0	-13.8	-6.8	573.3	573.5	576.0	68	75	78	NW 1	NW 1	NW 3	0	6	10	2.7	✳ n (20./21.), ⛈ III
21	-14.2	-10.7	-10.3	-11.7	-4.7	580.9	582.1	582.3	90	94	93	NW 2	SE 1	SE 1	10*≡	10*■	10*≡	21.3	✳ ≡ n-n
22	-7.9	-2.7	-6.0	-5.5	1.4	583.3	585.0	585.9	98	98	98	SE 0	NW 0	SE 0	10*≡	6	10	3.4	✳ ≡ n-12
23	-6.2	-4.2	-5.3	-5.2	1.7	584.4	583.4	581.6	97	96	100	**SE** 1	SE 1	SE 2	10*	10*≡	10*≡	19.4	✳ n-n, ≡ a-n
24	-5.4	-2.4	-5.0	-4.3	2.5	580.5	580.3	580.4	97	98	100	SE 2	SE 0	SE 1	10≡	10≡	10*≡	3.2	✳ 18¼-n, ≡ n-n
25	-6.2	-4.6	-5.4	-5.4	1.3	579.7	579.5	579.3	95	97	95	SE 1	SE 2	SE 1	10≡	10*≡	10*■	10.2	✳ 9¼-n mU, ≡ n-n
26	-10.6	-7.0	-10.3	-9.3	2.6	578.7	579.8	581.5	95	95	92	NW 2	NW 2	NW 1	9	10	0	.	
27	-11.2	-8.4	-9.8	-9.8	-3.2	581.7	582.4	583.0	60	82	98	NW 1	NW 1	NW 2	0	9	10≡	8.2	✳ n (27./28.), ≡ 17¼-n
28	-12.0	-10.6	-11.0	-11.2	-4.6	583.3	584.1	586.1	96	73	**44**	NW 1	NW 2	NW 1	10≡	6	0	.	≡ ⋁ n-a
Mittel	-9.3	-6.8	-9.0	-8.4	—	580.7	580.9	581.1	86	84	85				8.1	8.0	7.9	Summe 257.6	

$\lambda = 7°\,26'$, $\beta = 46°\,57'$,
$H_b = 572.2$ m, $G = 0.00$ mm.

Bern

März 1955
Beobachter: *Meteorologisches Observatorium*

Tag	Lufttemperatur					Luftdruck			Relative Feuchtigkeit			Windrichtung und Stärke						Bewölkung			Niederschlag	Witterung
	7^{30}	13^{30}	21^{30}	Mittel	Abweich. vom Normalst	7^{30}	13^{30}	21^{30}	7^{30}	13^{30}	21^{30}	7^{30}		13^{30}		21^{30}		7^{30}	13^{30}	21^{30}		
1	−4.2	−2.3	−3.0	−3.2	−4.9	712.0	710.5	711.0	72	67	73	ENE	2	NE	2	ENE	2	10	10	10	0.0	✳fl 7½–9½
2	−3.4	−2.1	−4.3	−3.3	−5.1	711.6	713.4	715.5	81	70	81	NE	1	NNE	2	N	1	10	9	0	.	
3	−4.2	−1.5	−3.1	−2.9	−4.8	717.3	717.7	718.4	81	69	79	NE	0	N	0	NE	0	10	2	0	.	
4	−6.4	3.8	0.7	−0.6	−2.7	**718.8**	717.7	715.7	95	56	81	SE	1	SW	0	SW	0	10≡	8	1	.	≡ 7½–9
5	−1.4	1.2	−1.9	−0.7	−2.9	711.5	708.4	704.7	70	56	87	N	0	NW	1	SE	0	5	7	9	0.0	⛆ 11¾–12, 13½–13¾, 14¼
6	−4.6	0.4	−3.1	−2.4	−4.7	701.6	701.1	701.5	85	56	92	E	0	NE	1	ENE	0	2	9	9	0.0	⛆ 12–12½, 13¾–14¾, ☂ III
7	−7.5	−0.1	−2.2	−3.3	−5.7	701.3	701 5	701.0	88	50	66	SE	0	NE	0	NE	0	2	1	9	.	
8	−4.3	2.4	−0.1	−0.7	−3.2	699.1	698 5	699.0	75	46	73	S	0	W	1	WNW	0	8	10	5	.	
9	−5.0	3.0	0.4	−0.5	−3.2	701.0	701.6	703.4	90	47	69	SE	0	NE	2	NE	2	1	5	9	0.0	
10	−0.2	0.4	0.4	0.2	−2.6	704.0	705.7	707.8	90	80	78	NE	1	ENE	3	ENE	2	10	10*	10	0.3	△ 2¾–7, ✳fl 8¼–19½, ☄ II
11	−1.9	−2.5	−3.2	−2.5	−5.4	708.1	709.0	709.4	80	81	96	ENE	2	NE	2	NE	1	10	10	9*	0.0	✳fl 18–22¾
12	−3 8	−1.0	−2.6	−2.5	−5.5	711.3	710.5	712.5	91	74	86	NNE	1	N	1	NNE	0	10	8	0	.	
13	−5.5	3.2	1.0	−0.4	−3.6	713.0	712.6	712.7	99	61	84	S	0	E	0	E	0	9	0	0	.	⌊
14	−3.4	6.0	0.3	1.0	−2.3	713.2	713.0	715.4	99	55	88	E	0	NE	1	NE	2	0	0	0	.	
15	−2.3	4.2	1.7	1.2	−2.2	715.8	715.5	716.2	94	60	55	NE	0	NNE	1	NE	0	9	1	0	.	
16	−2.5	8.0	3.2	2.9	−0.7	715.3	713.2	711.3	92	43	77	SE	0	SE	0	S	0	3	2	0	.	⌊
17	−0.6	8.1	−0.5	2.3	−1.4	707.6	706.7	710.6	89	54	67	SE	0	W	1	SE	1	9	9	1	.	
18	−5.0	2.0	−1.4	−1.5	−5.3	711.1	711.4	711.0	87	52	63	S	0	NNW	1	S	0	2	6	0	.	⌊
19	−4.8	4.2	1.0	0.1	−3.9	708.9	706.8	706.5	83	44	65	SE	0	W	1	SW	1	0	5	1	.	⌊
20	−0.8	4.5	1.5	1.7	−2.4	706.4	705.9	701.9	93	61	75	NNE	1	NE	2	NE	1	7	2	10	.	
21	−0.2	7.8	6.9	4.8	0.6	**697.8**	698.4	702.6	94	74	96	NE	0	NW	1	W	1	10	4	10●	0.8	● 20¾–23
22	6.0	13.0	6.4	8.5	4.1	707.1	708.7	713.3	90	49	89	S	0	WSW	2	SW	1	9	7	9	2.9	⛆ 20–21
23	3.7	12.9	8.2	8.3	3.8	714.7	715.1	715.0	95	50	93	S	0	WSW	0	NE	0	1	10	9	0.6	⛆ 2½, ● 14¾–18¼ mU
24	4.9	**19.1**	13.4	12.5	7.9	714.3	713.4	714.0	88	**41**	59	S	1	WSW	1	NW	0	9	9	7	.	
25	7.6	17.6	12.8	12.7	7.9	713.2	711.8	709.7	82	46	75	S	0	W	1	SE	0	9	10	4	.	
26	8.1	18.1	11.2	12.5	7.6	709.1	708.6	709.1	83	45	98	W	0	W	1	WNW	1	9	9	10●	8.5	● 11¾–12¼, 15¾–24 mU
27	9.0	16.3	9.8	11.7	6.7	708.9	708.6	709.7	96	44	90	SW	0	W	1	SE	0	6	8	9	3.0	⛆ 16¾, 17¾, 18¼, ● 19–21
28	8.0	4.0	3.2	5.1	−0.1	709.3	710.1	709.0	95	95	99	N	1	NE	2	NNE	1	10●	10●	10●	**12.4**	⛆ 1¼, ● 7¼–24 mU
29	1.4	2.5	1.0	1.6	−3.7	708.4	710.3	711.8	100	94	95	NE	1	NE	1	NE	1	10●	10●	10*	1.5	● 0–0¼, 3¾–9¾, 11½–15¾,
30	−0.3	2.8	1.4	1.3	−4.1	711.0	710.9	709.8	86	64	63	NE	1	ENE	2	ENE	2	9	9	9	.	[✳ 11–11½, 18¾–21½
31	−1.4	2.3	0.2	0.4	−5.2	707.9	707.6	708.3	80	70	79	NE	1	NE	2	ENE	1	9	8	0	.	
																					Summe	
Mittel	−0.8	5.1	1.9	2.1	—	709.4	709.2	709.6	88	60	80							6.7	6.7	5.5	30.0	

$\lambda = 6°\,57'$, $\beta = 47°\,0'$,
$H_b = 487.3$ m, $G = 0.02$ mm.

Neuchâtel

März 1955
Beobachter: *Observatorium*

Tag	7^{30}	13^{30}	21^{30}	Mittel	Abweich. vom Normalst	7^{30}	13^{30}	21^{30}	7^{30}	13^{30}	21^{30}	7^{30}		13^{30}		21^{30}		7^{30}	13^{30}	21^{30}		
1	−3.6	−1.6	−2.1	−2.4	−4.8	720.0	718.7	719.0	78	67	73	NE	3	NE	4	NE	3	10*	10	10	0.0	✳fl 7½–9½, ☄ n–n, ☄ II
2	−2.8	0.2	−1.0	−1.2	−3.7	719.8	721.6	723.3	77	66	70	NE	2	E	3	NE	3	10	8	0	.	☄ n–n
3	−3.1	1.0	−2.4	−1.5	−4.2	725.4	725.8	726.4	74	66	79	NE	2	SE	1	NE	0	10	3	0	.	
4	−5.7	4.3	3.2	0.6	−2.2	**726.7**	725.9	723.5	95	66	77	NE	0	S	1	W	1	2	5	3	.	⋁
5	−1.2	1.6	−0.9	−0.2	−3.1	719.7	716.7	712.3	77	64	67	E	1	N	2	E	1	6	7	9	0.1	✳ 10¾–11½
6	−3.7	1.2	−3.2	−1.9	−5.0	708.8	708.5	709.0	85	60	85	NE	0	NE	1	N	0	7	9	0	0.2	✳ 14½–18½ mU
7	−3.5	2.2	−0.7	−0.7	−3.9	708.4	708.7	708.1	93	59	62	N	0	SE	1	NE	0	10	2	10	.	
8	−2.0	2.7	0.7	0.5	−2.8	706.3	705.8	706.6	80	61	91	NE	0	SW	1	SW	1	10	10	10	.	
9	−2.2	6.3	1.8	2.0	−1.5	708.2	709.2	711.3	92	50	70	N	0	E	2	NE	3	9	2	10	0.1	☄ p–n
10	0.7	1.6	1.4	1.2	−2.4	711.4	713.3	715.7	91	77	79	NE	3	NE	3	NE	4	10	10	10	0.2	✳fl 1–11 mU, ☄ n–n, ☄ III
11	−0.9	−1.0	−2.4	−1.4	−5.1	716.1	716.8	717.5	78	76	87	NE	3	NE	3	NE	3	10	10	10*	0.3	✳ 18–21¾, ☄ n–n
12	−2.7	1.2	−0.7	−0.7	−4.6	719.3	719.9	720.7	85	70	76	NE	2	E	2	NE	1	10	7	0	.	
13	−4.8	4.9	2.2	0.8	−3.2	720.9	720.5	720.7	95	64	75	NE	0	E	1	NE	1	3	2	0	.	⌊
14	−2.4	8.2	2.2	2.7	−1.4	721.3	721.0	723.2	92	58	75	NE	0	E	0	NE	2	2	1	0	.	⌊
15	−2.0	7.5	3.5	3.0	−1.3	724.0	723.4	724.1	88	51	55	NE	2	E	2	NE	1	8	1	0	.	
16	−2.0	8.9	6.2	4.4	0.0	723.3	721.4	718.9	90	49	57	NE	0	S	1	W	1	2	1	0	.	
17	2.6	8.3	0.0	3.6	−0.9	715.2	714.3	718.5	83	49	70	SW	1	W	2	N	2	8	10	0	.	
18	−2.1	3.8	0.2	0.6	−4.1	718.9	719.5	718.7	82	47	51	N	0	SW	2	NW	2	9	4	0	.	
19	−3.4	7.8	3.3	2.6	−2.2	716.6	714.4	713.9	78	**43**	56	W	0	SW	2	SW	2	1	3	0	.	
20	0.2	7.4	3.8	3.8	−1.1	714.1	712.6	709.3	79	49	62	NE	2	E	2	NE	2	9	2	10	0.5	✳ 22¾–24
21	0.8	8.4	6.3	5.2	0.1	**704.5**	705.8	709.8	81	76	97	NE	0	SW	3	W	1	10	8	10●	2.5	✳ 0–0¼, 10¼–10¾, ● 18¼–21½, ☄ II
22	6.4	11.2	6.6	8.1	2.9	714.5	716.8	720.9	87	64	85	SW	0	SW	2	W	2	9	10	8	2.6	● 19¾–20¼
23	4.7	10.9	7.8	7.8	2.5	722.4	722.8	722.9	93	65	97	SE	0	SW	1	N	0	2	10	10	2.0	● 0¾–2¼, 14¾–18
24	4.2	**18.3**	12.9	11.8	6.3	721.9	721.1	721.4	100	45	67	NW	0	SW	2	W	1	10≡	8	7	.	≡ 7–9
25	8.0	15.8	12.0	11.9	6.3	720.8	719.4	717.1	92	58	74	E	0	SW	1	SW	0	8	10	0	.	
26	9.7	16.8	10.8	12.4	6.7	716.5	716.0	716.5	73	49	97	SW	1	SW	1	N	0	3	9	10●	**11.9**	● 16–22¾
27	8.1	15.7	9.4	11.1	5.2	716.1	715.9	717.0	95	62	89	SE	0	SW	1	SW	0	5	7	5	1.6	● 18¼–20¼, ⛥ 17½
28	7.8	4.8	3.6	5.4	−0.6	716.8	718.1	717.1	98	87	90	NW	0	NE	2	NE	2	10	10●	10●	6.4	● 6¼–23 mU
29	2.1	2.6	1.7	2.1	−4.0	716.0	718.1	719.8	96	93	89	NE	2	NE	2	NE	2	10	10	10	0.8	● 3¾–5½, 5½–10¼ mU, 16¼–18
30	0.4	2.6	2.0	1.7	−4.6	718.4	718.8	717.0	79	63	57	NE	3	NE	4	NE	4	3	10	2	.	☄ n–n
31	−0.2	4.2	2.2	2.1	−4.3	715.7	715.3	716.3	74	62	69	NE	2	NE	3	NE	2	9	8	0	.	☄ n–n
																					Summe	
Mittel	0.2	6.1	2.9	3.1	—	717.0	717.0	717.3	86	62	75							7.3	6.7	5.0	29.2	

März 1955
Beobachter: *Frl. H. Nager*

Altdorf

$\lambda = 8° 39'$, $\beta = 46° 53'$,
$H_b = 456.3$ m, $G = -0.05$ mm.

Tag	Lufttemperatur					Luftdruck			Relative Feuchtigkeit			Windrichtung und Stärke			Bewölkung			Niederschlag	Witterung
	7^{30}	13^{30}	21^{30}	Mittel	Abweich. vom Normalst	7^{30}	13^{30}	21^{30}	7^{30}	13^{30}	21^{30}	7^{30}	13^{30}	21^{30}	7^{30}	13^{30}	21^{30}		
1	−1.2	0.2	0.0	−0.3	−3.4	722.8	721.7	721.6	64	53	66	N o	N o	NW o	10	10	10	.	
2	−0.7	0.5	−0.4	−0.2	−3.5	722.3	723.5	726.5	63	65	70	E o	NW 1	N o	10	10	10	.	
3	−0.7	1.7	−1.3	−0.1	−3.5	727.7	727.9	729.0	70	64	78	E 1	NW 1	E o	10	7	8	.	
4	−2.1	3.8	0.7	0.8	−2.7	729.2	727.7	725.4	80	56	74	E o	NW o	E o	7	5	0	3.7	✳ n (4./5.)
5	0.2	1.4	−0.7	0.3	−3.3	721.3	717.9	715.0	80	47	80	N 1	NW o	E o	10*	9	10	1.1	✳ n-a mU
6	−1.7	−0.1	−1.8	−1.2	−5.0	711.4	710.8	711.4	90	69	65	E o	NW 1	E o	10*	10	10	0.7	✳ a mU
7	−5.4	0.1	−1.8	−2.4	−6.3	711.5	710.7	710.8	75	49	70	SE o	NW 1	NW o	3	2	3	.	
8	−4.8	2.3	−0.1	−0.9	−4.9	708.8	707.8	709.1	70	47	65	W o	NW o	SW o	6	7	10	.	
9	−1.8	3.3	2.8	1.4	−2.7	710.8	711.9	713.5	82	57	57	SW o	NW 1	NW 1	7	6	10	.	
10	0.9	4.2	2.4	2.5	−1.8	714.5	715.7	718.5	85	61	73	NE o	W 1	W o	10	10	10	0.0	✳fl n (10./11.)
11	1.8	0.6	0.3	0.9	−3.5	718.5	719.6	720.3	77	74	76	N o	NW o	NW o	10	10	10	.	
12	0.0	2.2	0.8	1.0	−3.5	721.7	722.5	723.7	77	70	77	NW 1	NW 1	NW 2	10	10	10	.	
13	0.1	3.5	0.3	1.3	−3.3	723.3	722.9	724.1	80	72	80	NW o	N o	E o	10	3	5	.	
14	−1.7	5.5	3.3	2.4	−2.4	724.3	724.1	726.7	83	57	70	W o	NW 1	NW 1	2	2	8	.	
15	1.4	4.9	1.7	2.7	−2.2	727.0	726.5	726.7	75	63	70	E o	NW 1	NW o	10	4	7	.	
16	−0.1	7.5	2.3	3.2	−1.8	725.4	723.5	721.8	80	46	70	N o	NE o	N o	8	2	4	.	
17	0.6	8.7	−0.8	2.8	−2.3	718.1	715.0	721.9	78	46	100	NE o	NW 2	N o	4	10	10	8.6	● 16–17¼, ✳ 17¾-n mU
18	−4.7	2.0	0.0	−0.9	−6.1	721.7	720.7	721.6	83	55	66	E o	NW 2	E o	5	8	5	0.0	▽ 15¾
19	−3.1	4.1	0.1	0.4	−5.0	718.2	716.7	716.6	68	40	67	E o	NW o	E o	0	4	3	1.9	✳ n (19./20.)
20	0.3	4.0	7.7	4.0	−1.5	717.3	715.7	711.5	94	69	40	SW o	NW o	E 1	10	3	10	.	
21	10.7	14.3	8.6	11.2	5.6	707.3	707.1	711.8	37	35	40	S 3	SE 2	E 1	10	3	7	.	⸗ n-p mU
22	6.8	12.9	8.8	9.5	3.8	717.8	718.8	722.4	77	55	73	E 1	NW 1	NW 1	10	7	10●	0.5	●tr p, 21¾-n
23	4.3	14.7	9.9	9.6	3.7	725.3	724.2	725.6	85	56	60	E o	NW o	E o	0	8	10	.	
24	7.6	16.5	11.4	11.8	5.8	724.0	724.1	724.7	76	50	59	W o	NW o	E 1	7	0	4	.	
25	8.7	15.3	17.8	13.9	7.8	723.0	722.0	719.3	70	52	39	NE o	NW o	SE 1	5	9	7	.	
26	12.3	16.5	12.8	13.9	7.7	718.7	719.1	718.7	60	53	77	NE o	NE o	NW o	7	8	10	3.2	● n (26./27.)
27	10.7	12.7	10.8	11.4	5.0	718.7	719.0	720.9	86	94	83	E o	W o	SE o	8	9	10	6.1	● 20¼, n (27./28.)
28	8.3	5.5	4.9	6.2	−0.3	719.6	721.1	720.0	97	86	95	W o	NW 1	NW o	10●	10●	10●	7.9	● n-n mU
29	4.2	3.4	2.5	3.4	−3.2	718.2	720.8	722.6	92	96	96	N o	N o	NW o	10●	10●	10●	11.2	● n-n
30	2.2	4.7	2.8	3.2	−3.5	721.8	721.9	720.1	95	60	83	E o	N o	N o	10●*	10	10	0.3	● ✳ n-a
31	2.4	3.7	3.3	3.1	−3.8	718.3	718.2	719.5	76	79	80	NE o	NW o	NW o	10	10	10	.	
																		Summe	
Mittel	1.8	5.8	3.5	3.7	—	719.6	719.3	720.0	78	61	71				7.7	7.0	8.1	45.2	

März 1955
Beobachter: *Observatorium*

Genève

$\lambda = 6° 9'$, $\beta = 46° 12'$,
$H_b = 405.0$ m, $G = -0.03$ mm.

1	−2.0	−0.2	−0.4	−0.9	−4.2	726.4	725.2	725.6	79	78	92	NNE 1	NNE 1	NNE 1	10	10	10	.	
2	−1.0	0.6	−0.2	−0.2	−3.6	726.6	728.3	730.6	96	97	97	NNE 1	NNE 1	NNE 1	10	10	10	.	
3	−0.6	1.2	1.2	0.6	−2.9	732.5	732.9	733.7	96	96	96	NE 1	NNE 1	NE 1	10	3	5	.	
4	−4.2	4.5	1.8	0.7	−3.0	734.4	734.3	732.3	86	62	87	ENE o	ENE 1	NNE 1	0	2	2	.	⌴ l
5	2.2	3.6	1.8	2.5	−1.3	727.5	725.7	721.5	96	97	71	ENE o	NE 1	NNE 1	5	4	3	.	
6	−3.0	−0.8	−0.2	−1.3	−5.2	716.6	716.0	716.0	70	77	85	NNE 1	NNE 1	NNE 1	2	2	0	.	
7	−5.4	2.0	0.8	−0.9	−4.9	716.2	715.1	715.1	85	61	82	NNE o	NNE 1	NNE 1	0	9	9	.	
8	−0.6	3.4	0.2	1.0	−3.1	714.0	713.4	713.2	96	70	93	W 1	SW 1	SW 1	10*	10	8	0.2	✳ 6–12
9	−0.8	3.6	3.2	2.0	−2.3	715.8	716.0	716.5	85	70	89	E o	NNE 1	NNE 1	1	1	1	.	
10	0.7	4.0	2.4	2.4	−2.0	717.7	718.6	722.3	86	73	89	NNE 1	NNE 2	NNE 2	10	9	10	.	
11	1.2	1.8	0.2	1.1	−3.4	722.7	723.3	724.1	81	82	89	NNE 1	NNE 1	NNE 1	10	10	10	.	
12	−0.6	2.5	1.0	1.0	−3.6	725.8	726.2	726.7	85	72	85	NNE 1	NNE 1	NNE 1	10	0	4	.	
13	−3.8	5.0	2.5	1.2	−3.5	726.4	727.0	727.9	87	69	86	E 1	NNE 1	NNE 1	9	1	0	.	
14	−2.4	7.4	4.9	3.3	−1.6	728.3	727.8	729.3	87	55	84	E o	ENE 1	NNE 1	0	0	0	.	
15	0.6	5.2	2.0	2.6	−2.4	731.0	730.7	731.2	92	66	85	NNE 1	NNE 1	E o	10	0	0	.	
16	−1.8	8.4	3.8	3.5	−1.6	730.6	728.4	725.7	92	60	87	ENE o	NNE 1	NNE 1	0	0	0	.	
17	1.2	12.4	3.6	5.7	0.5	723.1	721.8	724.2	94	40	73	NNE 1	S 1	N 1	1	3	6	.	
18	−0.4	5.2	1.1	2.0	−3.3	726.1	726.0	726.3	81	50	88	NNE 1	NNE 1	NNE 1	0	3	0	.	
19	−4.0	8.2	3.5	2.6	−2.9	724.6	721.7	721.1	86	32	87	NNE 1	S 2	NNE 1	0	0	0	.	
20	−1.5	6.8	5.3	3.5	−2.1	720.7	719.3	716.3	92	57	91	NNE 1	NNE 1	S 1	0	2	10	0.3	● 21¾-n mU
21	3.0	10.0	8.8	7.3	1.6	712.5	714.5	717.1	93	89	92	NNE 1	S 1	S 1	10	9	10●	11.5	● n-n mU
22	7.6	11.6	8.2	9.1	3.3	722.9	725.3	729.3	89	83	91	NE 1	S 1	S 1	8	10●	5	3.2	●tr 13½, 19¾–20¼, ◺ 18¾
23	5.2	15 5	9.2	10.0	4.1	730.1	729.6	729.8	94	44	92	NE 1	NNE 1	NNE 1	4	9	3	.	
24	8.8	20.2	16.2	15.1	9.0	728.4	728.7	728.6	76	46	81	ENE 1	S 1	S 1	3	5	2	.	
25	10.4	20.6	16.4	15.8	9.6	728.4	726.5	724.5	72	47	87	E 1	W 1	W 1	2	8	2	.	
26	14.0	19.0	12.2	15.1	8.8	724.2	723.7	724.0	62	92	90	SSW 1	SSW 1	NNE 1	8	10●	10	3.8	● 13-p
27	11.0	13.9	11.0	12.0	5.6	724.0	722.6	724.8	90	75	80	NNE 1	NNE 1	NNE 1	6	8	8	4.2	◺ ▽ 15¾–17½, ◠ 17¾
28	10.6	15.0	6.0	10.5	4.0	724.0	723.6	724.1	82	89	97	S 1	S 1	S 1	8	6	10	2.2	● 18¾–19¼
29	5.4	10.0	4.2	6.5	−0.2	723.2	723.7	725.9	97	74	65	NNE 1	NNE 1	NNE 1	10	5	5	.	● 5–6¾
30	2.4	5.2	4.0	3.9	−2.9	724.9	723.8	723.4	68	59	80	NNE 1	NNE 4	NNE 2	10	10	9	.	⸗ ll
31	2.0	6.2	4.1	4.1	−2.8	722.6	721.6	722.8	64	65	66	NNE 1	NNE 1	NNE 2	7	9	9	0.0	
																		Summe	
Mittel	1.7	7.5	4.5	4.6	—	724.3	723.9	724.3	85	69	86				5.6	5.4	5.2	25.4	

$\lambda = 8° 34'$, $\beta = 47° 23'$,
$H_b = 569.4$ m, $G = 0.03$ mm

Zürich

März 1955
Beobachter: *Meteorologische Zentralanstalt*

Tag	Lufttemperatur 7³⁰	13³⁰	21³⁰	Mittel	Abweich. vom Normalst	Luftdruck 7³⁰	13³⁰	21³⁰	Relative Feuchtigkeit 7³⁰	13³⁰	21³⁰	Windrichtung und Stärke 7³⁰	13³⁰	21³⁰	Bewölkung 7³⁰	13³⁰	21³⁰	Niederschlag	Witterung
1	-4.7	-2.7	-3.5	-3.6	-5.1	713.0	711.9	712.1	81	71	77	ENE 1	NNE 2	NNE 1	10	10	10	0.2	✱ 9-10¼ ⊠
2	-5.0	-2.6	-4.2	-3.9	-5.5	712.9	714.3	716.4	81	67	74	NNE 1	NNE 1	ENE 1	10	9	0	.	⊠
3	-5.9	0.3	-2.9	-2.8	-4.5	718.0	718.2	**718.6**	81	55	79	NNE 1	NNE 1	ENE 1	10	0	0	0.0	⊠
4	-6.1	5.9	2.5	0.8	-1.0	**718.6**	717.5	715.1	93	53	73	SE 1	SSW 1	WSW 1	2	8	8	0.0	≡ 8¾-9¼, ⌴ I ⊠
5	-0.9	0.1	-2.2	-1.0	-2.9	711.5	708.1	704.6	66	67	89	N 1	WSW 2	S 1	8	9✱	9	0.1	✱▽ 13½
6	-3.9	-0.7	-3.3	-2.6	-4.6	701.3	700.8	701.2	98	72	94	NNE 1	NNE 1	N 1	10	10	10	0.4	✱ 16½-17½
7	-6.2	2.4	-2.1	-2.0	-4.2	701.0	701.1	700.6	95	46	60	S 1	NE 1	NE 1	0	0	0	0.0	
8	**-6.8**	2.3	-0.7	-1.7	-4.0	698.6	697.7	698.8	92	49	68	NE 1	WSW 1	SSE 1	1	8	7	0.0	⌴ I
9	-4.4	4.2	-0.4	-0.2	-2.6	700.8	702.0	704.1	86	52	85	ENE 1	NNE 2	NNE 1	1	9	10	0.5	✱ 23-24, ⌴ I
10	-0.1	0.6	-0.2	0.1	-2.4	704.5	706.5	708.8	87	75	75	NE 1	NNE 2	NE 2	10	10	10	0.3	✱ 0-2½, 8½-10¾ ⊠
11	-3.1	-1.9	-4.1	-3.0	-5.7	709.4	709.7	710.4	78	71	87	NNE 1	NE 2	NNE 2	10	10	10✱	0.2	✱fl 17-24 ⊠
12	-4.2	-0.2	-2.6	-2.3	-5.1	711.9	712.4	713.2	84	68	81	NE 2	NNE 2	NNE 2	10	6	0	0.0	⊠
13	-4.9	2.8	-0.1	-0.7	-3.6	713.3	713.0	713.3	95	65	84	NNE 1	NNE 1	NNE 1	10	0	0	0.0	⌴ I
14	-2.8	4.5	-1.1	0.2	-2.8	713.7	714.4	716.6	98	63	85	NE 1	NNE 2	NNE 2	5≡	0	9	0.0	≡ n-a mU, ⌴ I
15	-3.0	6.3	1.4	1.6	-1.6	716.5	716.1	716.7	96	52	53	N 1	NE 1	ENE 1	3	3	0	0.0	
16	-1.7	10.0	4.3	4.2	0.9	715.3	713.2	711.0	91	45	72	ENE 1	SW 1	WNW 1	3	1	0	0.0	≡ a mU
17	0.8	3.1	-2.0	0.6	-2.8	707.6	706.7	710.9	91	75	87	W 1	W 2	S 1	8	10✱	8	1.2	✱ 12¾-18¼, ⌴ I
18	-2.3	2.7	-2.1	-0.6	-4.2	710.4	710.3	711.0	72	46	76	SSW 2	SW 3	S 1	10	8	2	0.1	✱▽ 16-16¼, ↙ 12¼-16¼
19	-3.1	5.3	1.8	1.3	-2.4	708.2	706.5	705.9	72	43	50	SSW 1	SW 2	WSW 1	3	5	1	.	
20	-1.5	4.9	0.2	1.2	-2.6	707.4	705.7	702.2	80	58	71	E 1	NNE 1	NNE 2	10	1	1	.	
21	-0.3	9.9	8.3	6.0	2.0	**697.2**	697.9	701.6	85	54	76	SW 1	SSW 1	SW 2	10	7	10●	2.7	●tr 21½, 22¾-24
22	7.5	14.2	8.0	9.9	5.8	707.3	709.0	712.5	82	56	77	SW 1	WSW 2	SW 4	10	6	10	0.9	● 0-0¾. 14¼-14¾, 16¼, ↙ n-7,
23	4.8	14.0	8.0	8.9	4.7	714.7	714.9	715.1	90	**41**	94	SSW 1	SW 1	E 1	3	9	10	2.2	● 16½-19, 21¾-22 [↙ 16-n
24	10.3	**20.9**	15.3	15.5	11.1	713.6	713.2	713.8	58	**41**	50	S 1	SSW 2	SW 1	9	7	9	.	↙ 13¾-16¼
25	9.7	16.4	14.3	13.5	9.0	713.1	712.1	709.5	74	53	58	S 1	SSW 1	SSW 1	6	10●	9	0.0	●tr 13½, ⌂ I
26	11.7	17.5	11.3	13.5	8.9	709.1	709.1	708.9	62	52	98	S 1	NE 1	S 1	8	9	10●	**12.0**	● 17½-18¾, 19¼-24, ⌂ I
27	10.2	13.7	9.0	11.0	6.2	708.6	708.3	709.4	90	60	96	SSW 1	WSW 2	SSW 1	8	8●	10●	11.5	● 0-0½, 13½-13¾, 19¾-20¼, 20¾-24,*)
28	3.5	2.7	2.7	3.0	-1.9	710.5	711.1	709.7	96	94	90	NNE 2	NNE 2	ENE 1	10●	10●	10	8.6	● 0-4¼, 5½-6¼, 7½-9, 11¼-17¾, 22-24,
29	-0.1	0.6	0.5	0.3	-4.8	708.9	710.9	712.4	99	94	96	NE 1	NNE 1	N 1	10✱	10✱	10✱	2.8	●0-1½, ✱4¾-18, 20-24 [✱ 9-11¼ ⊠
30	-0.9	4.3	0.0	1.1	-4.1	712.0	712.1	710.3	91	65	69	NE 1	ENE 3	ENE 1	8	9	0	.	↙ a-n
31	-1.6	0.9	-0.9	-0.5	-5.9	708.8	708.8	709.0	81	70	88	ENE 2	NNE 2	E 1	10	9	0	0.0	
Mittel	-0.5	5.2	1.8	2.2	—	709.6	709.5	709.8	85	60	78				7.3	6.8	5.9	Summe 43.7	*) 27. ⌐ 13½

$\lambda = 6° 32'$, $\beta = 46° 51'$
$H_b = 1588$ m, $G = -0,13$ mm

Chasseron

März 1955
Beobachter: *J. Liardon*

Tag	Lufttemperatur 7³⁰	13³⁰	21³⁰	Mittel	Abweich. vom Normalst	Luftdruck 7³⁰	13³⁰	21³⁰	Relative Feuchtigkeit 7³⁰	13³⁰	21³⁰	Windrichtung und Stärke 7³⁰	13³⁰	21³⁰	Bewölkung 7³⁰	13³⁰	21³⁰	Niederschlag	Witterung
1	**-14.0**	-11.0	-11.4	-12.1	—	623.3	622.9	623.1	95	95	95	E 3	E 3	E 3	10≡	10≡	10≡	.	≡ n-n, V II, III, ↙ n-n ⊠
2	-11.4	-7.2	-9.6	-9.4	—	624.1	626.0	628.1	100	98	100	E 2	E 2	E 1	3	0	0	.	≡ n-7¾ mU, 18¾-n mU ⊠
3	-3.0	-1.0	-4.4	-2.8	—	630.0	630.9	631.9	62	70	80	WSW 0	W 0	E 0	4	3	0	.	⊠
4	-2.8	-1.2	-4.0	-2.7	—	632.4	**632.6**	630.8	62	88	100	WNW 0	WNW 1	WNW 2	3	5	4	.	⊠
5	-10.2	-9.4	-10.6	-10.1	—	623.8	622.6	619.2	100	100	100	NNW 2	W 1	W 1	10≡	10✱≡	8	0.0	✱fl 10¾-14, ≡ n-n mU ⊠
6	-11.8	-10.4	-11.4	-11.2	—	620.5	615.2	615.7	100	100	95	E 0	NE 0	E 0	6	7	3	0.0	✱ 9-11½, 14-15, ≡ 9-11½ ⊠
7	-11.4	-7.4	-7.2	-8.7	—	614.6	615.3	615.4	70	81	66	SW 1	SW 0	W 0	1	4	9	.	⊠
8	-8.6	-6.6	-7.8	-7.7	—	613.6	**613.5**	614.0	65	86	100	ESE 0	W 0	WNW 0	9	10	4	6.0	✱ 16-19½, ≡ 15½-19½ ⊠
9	-9.0	-6.6	-7.6	-7.7	—	615.0	616.6	617.8	100	73	100	E 1	E 1	ENE 2	2	6	10✱≡	0.0	✱fl ≡ 16-16½, 18½-n ⊠
10	-7.0	-7.2	-7.2	-7.1	—	617.4	618.9	621.1	100	100	100	E 2	E 3	E 3	10✱≡	10✱≡	10✱≡	0.0	✱fl ≡ n-n, ↙ a-n ⊠
11	-9.6	-8.0	-9.8	-9.1	—	621.7	622.2	622.6	100	100	100	ESE 2	E 0	E 1	10✱≡	10≡	10✱≡	0.0	✱ n-8½, ✱fl 18½-n, ⊠
12	-6.0	-2.0	-3.8	-3.9	—	624.1	624.9	626.7	100	100	100	SSE 1	ESE 0	E 1	4	2	2	.	[≡ n-n ⊠
13	-2.2	1.2	-1.0	-0.7	—	627.2	628.1	628.0	55	43	42	N 0	NNW 0	N 0	3	2	2	.	⊠
14	-2.8	-0.4	-4.0	-2.4	—	627.8	628.8	629.3	57	52	75	E 1	NE 1	NE 1	2	0	0	.	⊠
15	-7.0	-0.4	-3.0	-3.5	—	628.9	630.3	631.0	72	**33**	76	E 1	E 1	E 1	4	2	3	.	⊠
16	0.2	3.4	-1.2	0.8	—	630.0	629.6	627.6	38	48	88	E 0	NW 1	NW 1	4	2	3	.	⊠
17	-4.4	-2.8	-10.0	-5.7	—	623.2	623.0	624.2	100	100	98	NW 2	NW 2	N 1	10≡	9	5	0.0	❟ 16-19, ≡ n-11¾, 15-19 ⊠
18	-10.4	-8.2	-10.2	-9.6	—	624.2	625.1	625.2	98	98	94	NW 1	WNW 1	WNW 1	9	8	4	.	≡ n-6¾, 8-16 mU ⊠
19	-10.0	-5.4	-7.0	-7.5	—	622.3	621.8	621.5	90	70	90	WNW 1	W 2	WNW 2	4	5	5	.	⊠
20	-6.8	-1.8	-2.0	-3.5	—	620.9	620.3	617.8	98	73	70	WSW 0	W 0	SSE 2	4	3	6	.	⊠
21	-2.0	-0.4	-0.4	-0.9	—	613.9	615.7	618.7	76	100	100	S 2	SSE 3	W 3	9	10✱≡	10✱≡	6.4	✱ 9½-16¼, ● ✱ 16½-n, *) ⊠
22	0.0	0.6	-0.8	-0.1	—	623.5	626.3	626.2	100	100	100	W 2	W 2	WNW 0	10≡	9	10✱≡	3.4	● ✱ 13½-14, ✱ 19½-n, ≡ n-n ⊠
23	2.4	5.4	6.8	4.9	—	630.9	632.0	632.2	73	45	58	WSW 2	WSW 2	WSW 2	6	9	10	.	[mU, ↙ III ⊠
24	7.6	0.2	9.2	9.0	—	**632.6**	632.3	632.2	56	55	55	WSW 2	W 4	W 3	5	7	6	.	↙ a-n ⊠
25	10.4	**13.0**	12.4	11.9	—	631.8	631.4	628.8	45	40	36	S 1	S 1	S 3	7	9	6	.	↙ III ⊠
26	9.2	10.0	5.0	8.1	—	627.9	627.6	626.9	46	65	100	WSW 4	WSW 1	W 3	5	7	10	**11.8**	● 15½-n mU, ↙ III ⊠
27	4.0	7.6	2.0	4.5	—	626.3	627.1	627.0	100	63	100	WNW 2	W 1	WNW 1	10≡	9	10≡	3.6	● n (27./28.), ≡ n-11½, 18½-n ⊠
28	1.4	1.4	0.8	1.2	—	626.2	626.1	625.2	100	100	100	WNW 0	W 1	WNW 1	10●≡	10●≡	10≡	8.9	● ❟ n-n mU, ≡ n-n ⊠
29	-0.6	-0.8	-5.0	-2.1	—	623.6	625.5	625.9	100	100	100	WNW 3	WNW 1	N 1	10≡	10≡	10≡	.	≡ n-n, ↙ I ⊠
30	-8.2	-6.8	-7.4	-7.5	—	624.0	624.5	623.0	100	100	100	N 2	E 2	E 2	3	10≡	9	.	≡ n-17½ mU ⊠
31	-4.4	0.0	-6.0	-3.5	—	622.2	622.6	623.1	100	100	98	SE 1	SSW 0	E 1	10	3	4	.	≡ n-9 mU ⊠
Mittel	-4.1	-1.7	-3.8	-3.2	—	624.1	624.5	624.5	82	80	88				6.4	6.5	6.2	Summe 40.1	*) 21. ≡ 9-n, ↙ a-n

März 1955
Beobachter: *Stationspersonal Rh. B.*

Bever

$\lambda = 9° 53'$, $\beta = 46° 33'$,
$H_b = 1711.8$ m, $G = -0.23$ mm

Tag	Lufttemperatur					Luftdruck			Relative Feuchtigkeit			Windrichtung und Stärke			Bewölkung			Niederschlag	Witterung
	7^{30}	13^{30}	21^{30}	Mittel	Abweich. vom Normalst	7^{30}	13^{30}	21^{30}	7^{30}	13^{30}	21^{30}	7^{30}	13^{30}	21^{30}	7^{30}	13^{30}	21^{30}		
1	-12.1	-4.0	-11.8	-9 3	-3.1	616.4	615.2	615.9	95	69	90	N o	NE 1	N o	10	o	1	.	
2	-14.4	0.0	-12.4	-8.9	-2.8	617.8	618.3	620.6	97	51	97	NW o	SW o	SW o	10≡	o	o	.	≡ n-9½
3	-17.0	0.7	-14.0	-10.1	-4.2	623.1	622.6	624.3	97	49	93	SW o	SW o	SW o	1	5	o	.	
4	-21.0	2.7	-9.7	-9.3	-3.5	624.4	622.0	620.3	98	40	75	SW o	W o	W o	o	4	5	.	
5	-12.2	-5.9	-10.2	-9.4	-3.8	613.9	611.3	609.0	90	66	65	SW o	W 1	N 1	8	9	7	.	
6	-11.8	-7.1	-16.2	-11.7	-6.2	605.9	606.4	607.3	94	63	92	E o	NE o	SE o	10	10	o	.	
7	-22.1	-3.7	-19 4	-15.1	-9.8	607.9	608.2	609.0	97	40	90	SE o	S o	SW o	3	1	o	.	
8	-26.3	-1.4	-7.9	-11.9	-6.7	606.8	605.7	606.4	98	52	94	SW o	SW o	SW o	o	2	10	4.0	✳ 22-n
9	-10.1	-2.1	-5.6	-5.9	-0.9	606.8	607.4	607.9	96	58	77	NE o	N o	E o	9	10	10	.	
10	-8.9	-1.2	-9 6	-6.6	-1.7	610.1	610.7	614.3	95	69	95	N o	NE 1	NW o	10	7	5	.	
11	-7.6	-0.2	-4.0	-3.9	0.8	614.6	613.8	615.1	93	70	98	SW o	SW o	SW o	10	10	10*	0.3	✳ p-n mU
12	-12.7	0.4	-8.4	-6.9	-2.3	617.8	619.0	620.0	99	55	100	NE o	S o	SW o	6	9	o	.	≡ 7½-9
13	-16.2	3.1	-11.5	-8.2	-3.8	620.0	619.2	619.8	99	87	86	SW o	SW o	SW o	2	o	o	.	
14	-19.1	1.7	-6.5	-8.0	-3.7	619 4	618.6	620.0	100	39	68	SW o	NW 1	S o	o	o	2	.	
15	-18.6	2.6	-8.4	-8.1	-4.0	621.6	620.4	621.6	100	38	70	SW o	NE o	SW o	1	3	o	.	
16	-15.0	4.2	-7.6	-6.1	-2.1	621.5	619.3	618.2	99	45	94	W o	NW o	SW o	3	5	o	.	
17	-15.4	2.6	-6.6	-6.5	-2.6	613.9	611.2	613.2	99	38	91	SW o	SW 2	NW 2	1	4	10*	0.2	✳ 18-21½
18	-20.3	-5.3	-11.3	-12.3	-8.6	614.5	613.9	615.2	93	49	83	SW o	SW 2	NE o	1	7	4	.	⸝ 15
19	-23.6	-4.2	-8.8	-12.2	-8.6	613.9	612.3	612.8	100	60	78	SW o	SW 2	W o	1	1	o	.	
20	-9.0	-0.1	-4.0	-4.4	-1.0	612.0	612.7	612.9	90	60	86	SW o	W 1	SW o	6	o	7	4.1	✳ n (20./21.)
21	-3.8	-0.4	-1.2	-1.8	1.5	610.3	609.2	612.3	100	99	94	SW o	SW o	SW o	10*	10*	10*	4.3	✳ n-n mU
22	-8.9	6.2	-2.2	-1.6	1.5	616.1	617.1	620.5	97	48	92	SW o	SW o	SW o	3	1	o	.	
23	-9.4	6.6	1.9	-0.3	2.7	623.3	623.7	625.3	100	41	82	SW o	SW o	SW o	1	3	5	.	≡ a
24	-4.7	6.9	-1.8	0.1	2.9	624.5	624.2	624.1	97	55	96	SW o	SW 1	SW o	10	6	o	.	
25	-7.0	10.0	0.9	1.3	4.0	624.4	624.1	624.0	100	40	94	SW o	SW o	SW o	2	10	5	.	
26	-4.3	6.1	4.0	1.9	4.4	621.8	620.2	619.4	99	62	93	SW o	S o	W o	4	6	10●	4.1	● 21¼-n
27	1.6	4.9	0.1	2.2	4.6	618.2	617.5	617.8	100	81	98	SW o	SW 1	SW o	10≡	5	2	0.8	● 17-17¾, ≡ n-a
28	-1.6	7.5	0.8	2.2	4.4	617.1	616.2	616.6	100	41	94	SW o	E o	E o	9	3	5	3.4	✳ n (28./29.)
29	0.2	4.2	-0.5	1.3	3.4	614.3	614.8	616.1	99	71	69	SW o	SW 1	N o	9	6	4	.	
30	-5.3	0.2	-4.8	-3.3	-1.4	615.4	615.7	616.3	92	64	89	NE o	E o	NE 1	6	8	9	.	
31	-5.0	2.8	-2.6	-1.6	0.2	614.8	612.9	614.3	87	45	64	E o	NW 1	NE 1	8	2	o	.	
Mittel	-11.7	1.2	-6.4	-5.6	—	616.2	615.6	616.5	97	55	87				5.3	4-7	3.9	Summe 21.2	

März 1955
Beobachter: *Couvent des Capucins*

Sion

$\lambda = 7° 21'$, $\beta = 46° 14'$,
$H_b = 548.6$ m, $G = -0.11$ mm.

1	-1.8	2.5	-1.8	-0.4	-3.7	713.8	711.7	713.2	81	64	77	WSW o	WSW 1	WSW o	10	o	o	.	
2	-1.3	3.2	-1.0	0.3	-3.1	714.2	715.0	717.6	80	64	80	W o	WSW 2	WSW o	10	o	o	.	
3	-4.8	4.6	-0.8	-0.3	-3.9	718.4	718.4	721.0	98	60	90	WSW o	WSW 2	WSW o	o	1	o	.	
4	-3.8	4.6	2.7	1.2	-2.5	721.9	720.2	718.6	96	55	66	WSW o	SSW 1	E 1	o	4	5	.	
5	1.6	3.8	-1.0	1.5	-2.3	712.1	709.9	707.5	83	41	60	WSW 1	WSW 2	WSW 1	10	8	4	.	
6	-5.4	2.8	-2.6	-1.7	-5.7	704.5	703.5	704.1	73	50	60	ENE o	ENE 1	NNE 1	3	o	1	.	
7	-5.8	2.0	-1.1	-1.6	-5.7	705.3	703.9	703.5	69	40	59	NNE 1	NNE 1	W o	o	o	2	.	
8	-4.7	4.1	-0.2	-0.3	-4.6	702.2	700.6	702.0	50	42	75	ENE 1	WSW 1	W o	2	10	8	.	
9	-4.3	4.0	1.1	0.3	-4.1	704.0	703.7	704.7	70	43	63	ENE 1	ENE 1	WNW o	o	4	4	.	
10	-1.8	5.0	1.7	1.6	-3.0	706.4	707.1	709.4	69	54	80	E o	E o	W 1	o	o	o	.	
11	-1.8	6.7	0.5	1.8	-2.9	710.1	709.5	712.8	91	60	83	W o	SW 1	NW 1	1	8	9	.	
12	-1.3	5.9	0.6	1.7	-3.2	713.7	713.3	715.0	96	65	90	WNW o	WSW 2	WSW o	1	3	2	.	
13	-1.8	9.4	4.0	3.9	-1.1	715.8	714.7	715.0	97	86	64	WSW o	WSW o	WNW 1	1	o	o	.	
14	-1.1	9.6	4.1	4.2	-1.0	715.9	714.7	715.8	81	37	62	WNW o	WNW 1	WNW o	o	o	o	.	
15	-0.8	8.2	3.0	3.5	-1.8	717.9	716.9	718.5	89	52	80	ENE o	SSE 2	ENE o	3	2	o	.	
16	-0.6	9.7	4.2	4.4	-1.1	718.3	715.4	714.2	92	46	69	ENE o	ENE 1	WNW 1	2	3	o	.	
17	-0.4	11.8	4.3	5.2	-0.4	711.2	708.4	710.0	90	45	75	W o	W 2	W 3	2	o	8	.	⸝ p-n
18	-1.0	6.7	1.0	2.2	-3.6	713.0	712.5	713.3	75	40	56	WSW o	WSW 2	WSW 1	o	3	1	.	
19	-3.5	5.0	3.2	1.6	-4.3	712.9	710.0	708.8	71	48	55	NNE o	WSW 1	WSW o	o	o	o	.	
20	0.1	8.9	7.0	5.3	-0.8	709.2	706.8	705.5	75	49	50	W 1	W 1	NNE 1	2	1	8	.	
21	5.0	11.4	8.0	8.1	1.8	701.8	703.1	706.0	62	65	70	NNE o	W 1	WSW o	10	10	o	.	
22	6.1	16.2	9.1	10.5	4.1	711.2	712.1	715.9	85	45	86	WSW o	WSW 1	WNW 2	7	7	10	2.4	● 20¾-22¼
23	3.6	15.2	11.2	10.0	3.4	719 1	717.9	718.4	96	40	59	WSW o	S o	NNE o	7	10	8	.	
24	7.1	18.4	13.6	13.0	6.3	718 7	716.6	716.9	75	40	56	NNE o	NNE 1	ENE o	7	7	o	.	
25	7.1	17.6	15.1	13.3	6.4	717.5	715.9	714.5	76	46	53	ENE o	ENE o	ENE 1	7	10	3	.	
26	8.6	18.4	11.8	12.9	5.9	713.6	711.4	713.6	72	45	92	ENE o	ENE 1	NE o	8	7	10●	17.6	● 19-24
27	8.6	16.8	9.6	11.7	4.5	713.3	711.4	713.1	95	51	89	NNE o	NE 1	N o	7	4	10	9.4	● o-3½, 14¾-19
28	7.4	14.7	8.0	10.0	2.7	712.4	715.3	711.4	94	63	91	N o	N 1	W 1	8	8	9	0.8	●tr 9¼, 14-15½
29	5.9	12.6	5.5	8.0	0.5	711.0	710.3	712.0	98	60	80	WSW 1	SW 3	W 1	10	2	8	.	⸝ II
30	3.4	9.1	4.4	5.6	-2.0	712.1	711.0	711.0	84	61	69	W o	WSW 2	WNW 1	10	1	3	.	
31	1.8	10.4	4.4	5.5	-2.3	710.5	708.0	709.5	92	55	78	W o	WSW 2	WNW 2	4	2	o	.	
Mittel	0.6	9.0	4.2	4.6	—	712.3	711.3	712.0	82	50	72				4.2	3.7	3.6	Summe 30.2	

$\lambda = 8°\,57'$, $\beta = 46°\,0'$,
$H_b = 276.2$ m, $G = -0.01$ mm.

Lugano

März 1955
Beobachter: *G. Vicari*

Tag	Lufttemperatur					Luftdruck			Relative Feuchtigkeit			Windrichtung und Stärke			Bewölkung			Niederschlag	Witterung
	7^{30}	13^{30}	21^{30}	Mittel	Abweich. vom Normalst	7^{30}	13^{30}	21^{30}	7^{30}	13^{30}	21^{30}	7^{30}	13^{30}	21^{30}	7^{30}	13^{30}	21^{30}		
1	1.6	9.8	3.2	4.9	−0.1	735.3	734.5	734.3	84	50	83	N 1	S 1	N 1	10	1	1	.	
2	3.6	6.2	5.8	5.2	0.1	737.6	740.0	741.9	82	57	65	NW 1	N 1	N 1	10	10	10	.	
3	2.8	6.8	4.6	4.7	−0.6	745.7	745.7	**746.4**	72	60	66	NW 1	SSE 1	N 1	10	9	8	.	
4	−1.2	8.2	3.2	3.4	−2.0	**746.4**	744.3	740.2	85	48	72	N 1	S 1	N 1	0	6	8	.	⌊ l
5	−0.8	5.8	3.8	2.9	−2.6	733.8	729.9	727.6	91	69	33	N 1	S 1	N 2	4	9	9	.	⌊ l
6	1.2	5.0	0.2	2.1	−3.6	**724.6**	725.2	737.2	85	55	99	S 1	S 1	WNW 1	9	10	10*	5.6	✳ 17½–23½
7	−0.8	5.4	0.2	1.6	−4.2	728.9	729.3	738.7	97	54	67	N 1	S 1	N 1	10	4	0	.	⌊ l ⊠
8	**−3.0**	5.4	3.2	1.9	−4.0	726.2	725.1	725.1	64	43	53	N 1	SE 1	N 1	0	10	10	2.2	✳ ● 21½-n, ⌊ l ⊠
9	0.8	6.0	4.2	3.7	−2.4	726.9	727.3	726.0	94	67	66	N 1	S 1	N 1	10	10	10	.	⊠
10	3.4	7.4	5.2	5.3	−0.9	727.6	729.7	733.0	86	61	92	N 1	S 1	S 1	10	10	10	1.2	● n (10./11.)
11	4.2	5.2	4.2	4.5	−1.8	734.5	735.2	736.7	99	91	96	NNW 1	SSE 1	SW 1	10	10●	10●	6.0	● n–n mU
12	1.8	5.4	4.0	3.7	−2.8	738.1	739.2	740.5	97	88	98	N 1	SE 1	— 0	1	10●	10	4.8	● 12½–20
13	1.2	11.8	5.4	6.1	−0.5	740.3	739.3	738.0	99	51	77	— 0	S 1	N 1	9	0	0	.	
14	0.4	13.8	7.2	7.1	0.4	737.2	736.9	737.0	85	42	73	N 1	S 1	N 1	0	0	0	.	
15	2.8	13.2	6.2	7.4	0.5	740.0	740.3	740.0	63	49	67	N 1	S 1	NNW 1	1	0	0	.	
16	1.8	13.4	6.4	7.2	0.2	740.9	738.9	737.4	93	54	79	N 1	S 1	NNW 1	1	1	5	.	
17	2.0	8.2	5.2	5.1	−2.0	732.6	730.2	727.8	96	71	53	N 1	E 1	N 2	9	10	0	.	
18	4.8	11.0	4.2	6.7	−0.6	733.4	733.0	734.7	25	**23**	27	N 2	NNE 2	N 2	0	1	0	.	↙ p
19	−1.0	9.8	3.2	4.0	−3.4	735.6	734.0	733.6	48	36	60	N 1	SE 1	N 1	1	3	3	.	⌊ l
20	0.4	12.2	6.4	6.3	−1.2	733.0	732.1	732.2	75	41	73	N 1	S 1	W 1	1	3	10	7.3	● n (20./21.), ⌊ l
21	2.4	3.0	2.8	2.7	−5.0	730.7	730.1	731.0	99	99	99	N 1	S 1	N 1	10●	10●	10●	17.0	● ● n–n
22	3.2	15.6	8.4	9.1	1.3	734.3	735.6	739.2	95	48	78	N 1	S 1	N 1	4	1	3	.	
23	4.4	17.8	10.4	10.9	3.0	742.3	742.3	743.8	90	39	72	N 1	S 1	N 1	0	6	0	.	
24	5.6	17.4	11.4	11.5	3.4	743.4	742.9	742.7	89	49	73	N 1	SSE 1	N 1	9	8	10	.	
25	6.6	13.4	10.2	10.1	1.9	742.3	741.6	740 5	93	61	80	WNW 1	S 1	N 1	6	9	5	.	
26	6.8	14.2	11.4	10.8	2.5	739.7	738.7	737.4	93	66	80	— 0	S 1	— 0	8	10	10●	1.7	● 20–n
27	9.2	11.4	11.2	10.6	2.1	735.9	735.2	734.2	98	84	81	S 1	S 1	S 1	10	10	9	.	
28	7.2	**19.4**	10.2	12.3	3.7	734.0	732.6	732.8	87	52	96	N 1	S 1	N 1	0	1	10●	8.9	● 15–16, 18¾-n, ⊠ 18¾
29	9.4	10.2	9.4	9.7	1.0	733.4	733.6	733.7	98	79	88	N 1	S 1	— 0	10	9	9	5.4	● a
30	6.8	7.4	5.2	6.5	−2.4	733.4	735.6	738.2	86	78	94	N 1	S 1	S 1	9	10●	10●	3.3	● 13–n mU
31	5.0	12.2	6.2	7.8	−1.2	735.6	732.5	733.0	77	47	67	NNW 1	S 1	SSE 1	9	4	1	.	
																		Summe	
Mittel	3.0	10.1	5.9	6.3	—	735.6	735.2	736.0	85	58	74				5.8	6.3	6.2	63.4	

$\lambda = 7°\,35'$, $\beta = 47°\,33'$,
$H_b = 317.3$ m, $G = 0.11$ mm.

Basel

März 1955
Beobachter: *Astronom.-Meteorol. Anstalt*

1	−2.5	−0.5	−1.2	−1.4	−3.9	736.9	735.4	735.5	65	58	63	ENE 2	E 2	NE 1	10	8	10	0.0	✳fl 8¼–9½
2	−4.5	2.0	−0.4	−1.0	−3.6	736.3	737.6	739.1	77	50	55	NNW 1	ENE 1	ENE 1	9	0	0	.	
3	−3.0	3.4	−0.8	−0.1	−2.8	741.2	740.9	**741.4**	61	47	60	SE 2	ESE 1	E 0	5	0	0	.	
4	−3.6	7.1	4.3	2.6	−0.2	741.2	739.9	738.4	63	44	73	ESE 1	E 1	NNW 1	3	5	10	.	⌊ l
5	−0.6	3.8	−0.6	0.9	−2.1	735.3	731.7	727.9	73	52	82	SW 0	W 2	S 1	9	6	10	0.0	✳fl 23¼
6	−2.4	1.2	−1.8	−1.0	−4.1	725.2	725.0	724.7	98	61	93	E 1	N 1	WNW 1	8	9	10	0.0	✳fl p
7	**−5.3**	4.2	−1.2	−0.8	−4.0	724.4	724.5	723.8	96	44	55	E 1	ESE 1	ESE 1	0	1	0	.	⌊ l
8	−4.3	4.4	−0.7	−0.2	−3.5	722.8	721.7	721.7	82	45	72	E 1	NNW 1	SW 0	7	5	5	.	⌊ l
9	−4.4	4.4	0.7	0.2	−3.3	724.0	725.2	727.3	92	57	83	SW 0	NW 1	NW 1	2	8	10	0.0	✳fl n (9./10.) ⌊ l
10	0.0	2.3	2.7	1.7	−1.9	728.2	729.9	731.8	89	80	53	NNE 1	N 1	ENE 1	10	10	10	.	
11	−2.3	0.9	−0.3	−0.6	−4.3	733.0	733.3	733.8	81	59	57	NNW 1	ESE 2	ENE 2	10	10	10	.	
12	−2.0	2.9	−0.2	0.2	−3.7	735.2	735.2	735.9	68	57	72	E 2	ESE 2	ESE 1	10	0	0	.	
13	−3.5	6.2	0.7	1.1	−2.9	736.2	735.8	736.1	85	48	77	NE 0	NNE 0	W 1	0	0	0	.	⌊ l
14	−3.6	2.8	2.4	0.5	−3.6	737.2	737.8	739.3	97	70	63	S 0	WNW 1	ESE 2	10=	0	10	.	≡ n–a, ⌊ l
15	−3.0	8.2	1.4	2.2	−2.0	739.8	739.3	739.4	96	40	87	NW 1	NNW 1	SW 1	8	0	0	.	⌊ l
16	−2.1	9.8	3.6	3.8	−0.6	738.4	736.4	734.6	96	46	67	E 1	NW 1	W 1	1	0	0	.	⌊ l
17	1.8	3.2	−3.8	0.4	−4.1	731.7	730.8	733.7	80	76	93	SSW 1	WNW 2	SSW 1	9	10●	0	2.0	●tr 13½, △ 14-14¼, ● 14½-16½,
18	−2.1	4.8	−0.3	0.8	−3.8	734.0	734.1	733.9	87	48	67	SSE 1	WNW 2	WSW 1	9*	4	1	0.0	✳fl 19–19¼ [✳ 16½–18 ⊠
19	−2.8	6.2	3.2	2.2	−2.5	731.6	729.9	729.3	80	**34**	87	SSE 1	WSW 2	WSW 2	3	4	9	2.9	✳fl 9–10, 22½–24
20	−1.8	5.6	2.6	2.1	−2.8	730.9	728.6	724.8	94	51	49	E 1	NNE 1	E 1	7	1	0	4.0	● 0–3 ⊠
21	1.8	14.5	8.8	8.4	3.4	720.1	**719.5**	723.2	75	46	68	ESE 1	WSW 2	SW 2	10●	7	10	0.2	✳ 0¾–2, ● 7½ ⊠
22	7.7	12.6	6.9	9.1	4.0	729.3	731.0	734.8	88	66	86	SSW 0	ESE 1	WSW 1	10	10	10	1.9	● 2½–3¼, 8¼–8¾, 20¼–20¾
23	6.0	14.0	9.4	9.8	4.5	736.4	736.7	736.6	87	53	90	E 1	ESE 1	E 1	4	10●	10	2.1	● 0–0¾, ●tr 13½, 14¾–20¼
24	8.1	21.5	12.0	13.9	8.5	734.9	734.9	735.2	85	44	82	ESE 2	NW 1	SW 0	8	3	1	.	[mU
25	9.7	**21.8**	15.5	15.7	10.2	734.6	732.8	730.5	79	45	56	ESE 1	E 1	ESE 1	7	8	9	.	
26	8.7	16.7	11.7	12.4	6.8	731.0	731.1	731.3	80	56	97	ESE 1	E 1	SE 1	8	10	10●	9.3	● 13–22¾ mU
27	8.7	18.5	10.5	12.6	6.8	731.2	730.3	731.9	96	42	87	WSW 0	WNW 2	WSW 1	8	4	10●	7.9	● 0–0¾, 19¼–24
28	3.1	3.4	4.0	3.5	−2.4	734.1	734.3	733.1	98	90	87	WNW 1	NW 1	ENE 1	10●	10●	10●	**15.4**	● 0–12 mU, 21½
29	0.4	2.0	0.2	0.9	−5.1	732.5	734.2	735.4	100	94	96	WNW 1	WNW 1	SE 1	10*=	10●	0	1.5	● 0¾–1¾, 13½–13¾, ✳ 1½- ⊠
30	0.2	6.4	2.6	3.1	−3.1	735.5	735.2	733.8	96	48	52	NW 1	ENE 2	NNE 1	10	6	0	.	[11½, ≡ n–a
31	−2.6	6.4	2.4	2.1	−4.2	732.4	732.0	732.1	87	54	68	NW 1	E 1	ENE 1	10	9	0	.	⌊ l
																		Summe	
Mittel	0.0	7.1	3.0	3.4	—	732.8	732.4	732.6	85	55	73				7.2	5.4	5.3	47.2	

März 1955
Beobachter: *Observatorium*

Säntis

$\lambda = 9° 20'$, $\beta = 47° 15'$,
$H_b = 2500.1$ m, $G = -0.27$ mm.

Tag	Lufttemperatur					Luftdruck			Relative Feuchtigkeit			Windrichtung und Stärke			Bewölkung			Niederschlag	Witterung
	7³⁰	13³⁰	21³⁰	Mittel	Abweich. vom Normalst	7³⁰	13³⁰	21³⁰	7³⁰	13³⁰	21³⁰	7³⁰	13³⁰	21³⁰	7³⁰	13³⁰	21³⁰		
1	-7.8	-6.3	-8.4	-7.5	0.9	556.1	556.0	556.2	82	56	85	NE 3	ENE 2	NE 2	1	1	0	.	
2	-6.7	-5.6	-7.1	-6.5	1.8	557.4	558.9	560.8	79	77	67	NE 3	NE 3	NE 3	1	0	1	.	
3	-6.8	-5.1	-7.3	-6.4	1.9	561.6	562.8	563.7	56	50	55	ESE 2	NE 2	NE 3	2	1	0	.	
4	-5.8	-3.1	-9.5	-6.1	2.1	563.9	563.8	560.4	49	32	98	ENE 3	W 2	W 4	1	9	10≡	5.3	✳ n (4./5.), ≡ 19¾-n, ☄ III
5	-15.7	-13.2	-16.6	-15.2	-7.1	554.3	551.9	548.8	98	90	94	NW 3	W 2	WNW1	10≡*	10≡*	10≡	8.1	✳ n-9¼, ♁ 12¾-20, ≡ n-n
6	-17.6	-14.5	-17.8	-16.6	-8.5	545.6	545.5	545.9	98	100	98	NNE 2	N 1	SW 2	10≡*	10≡*	0	0.7	✳ n-14, ≡ n-19
7	-17.9	-13.4	-15.2	-15.5	-7.5	545.6	547.2	547.5	96	75	59	WSW2	SW 2	SW 3	1	1	1	.	
8	-13.8	-10.6	-13.6	-12.7	-4.8	545.8	545.5	546.0	50	63	98	S 3	SSW 4	SSE 2	1	2	3	.	☄ II
9	-13.7	-10.4	-13.8	-12.6	-4.7	546.9	548.8	549.6	88	80	98	SSE 2	E 2	NNE 2	3	10	10≡*	.	✳ 20¾-n, ≡ 20-n, ⊕ 10½-16½
10	-10.0	-7.4	-9.8	-9.1	-1.3	550.4	552.3	554.1	81	74	96	ENE 4	NE 4	NE 3	9	9	2	.	≡ 18¾-21, ⊕ 10½-13½, ☄ n-n [mU
11	-7.9	-5.4	-9.3	-7.5	0.2	554.3	554.6	554.9	84	87	99	SE 2	S 2	WSW2	10	10≡	0	0.4	✳ 14-20 mU, ≡ 12¾-21
12	-10.0	-6.2	-7.9	-8.0	-0.3	556.8	558.2	559.3	84	70	82	S 2	S 2	SSW 3	1	1	2	.	
13	-8 2	-4.8	-8.9	-7.3	0.3	559.1	559.9	559.9	71	75	87	WNW2	SW 2	W 3	1	1	0	.	
14	-9.3	-7.6	-11.3	-9.4	-1.9	559.4	560.0	560.7	68	64	89	N 2	W 1	NNW 3	0	1	0	.	
15	-9.4	-6.4	-8.3	-8.0	-0.5	561.0	561.7	562.4	71	44	56	NNE 2	NNE 2	N 3	1	2	1	.	
16	-5.1	-5.9	-8.3	-6.4	1.0	561.6	561.0	558.3	56	67	94	N 2	W 3	W 4	9	4	1	.	☄ p-n
17	-9.6	-9.4	-17.5	-12.2	-4.9	553.3	552.8	553.7	100	98	95	WSW 5	W 4	N 2	10≡	10≡	3	9.1	✳ 14½-20, ≡ n-20¾, ⋁ 11-20,*)
18	-16.8	-15.4	-16.9	-16.4	-9.1	553.1	553.1	554.2	96	95	93	W 3	W 4	WNW2	10≡*	10≡*	10≡	2.1	✳ 6¾-20, ≡ n-n, ☄ II
19	-17.8	-14.7	-13.1	-15.2	-8.0	551.6	551.4	551.1	98	91	98	WSW 3	SW 4	W 5	3	2	10≡	4.1	✳ n (19./20.), ≡ n-12, 20-n,*)
20	-13.9	-11.0	-9.8	-11.6	-4.5	551.7	552.1	551.7	100	98	93	WSW2	W 3	SSW 3	10≡*	2	3	0.7	✳ n-11, ≡ n-12¼
21	-5.7	-2.6	-4.8	-4.4	2.7	549.1	549.9	552.5	91	78	85	SSW 5	SSW 4	SW 3	10	9	10	1.1	☄ n-p, ☄ I
22	-5.2	-3.4	-4.7	-4.4	2.6	556.2	558.8	560.6	100	95	98	WSW 3	SW 3	WSW 4	10≡*	3	10	5.9	✳ 6¾-9, ≡ n-12½, 15½-18, *)
23	-6.7	-1.3	-0.8	-2.9	4.0	562.5	564.8	565.0	85	57	100	WSW 4	WSW 3	SSW 4	1	9	10≡	1.7	✳ 17¼-19½, ≡ 17½-n, ☄ n-n
24	0.4	1.6	0.6	0.9	6.0	565.0	565.5	565.4	88	65	92	SW 3	W 4	W 4	10	8	6	.	☄ a-n [mU
25	1.9	5.5	6.0	4.5	11.3	564.9	566.2	564.7	65	58	42	W 4	W 3	W 3	3	8	5	0.1	♁ 14¼, ☄ I
26	4.8	5.0	-0.3	3.2	9.9	563.2	563.0	561.0	47	54	100	WSW2	WSW2	SW 2	9	10	10≡	8.1	♁ 17¼, 18-18¾, ✳ 18¾-n. ≡ 21-n
27	-1.9	-1.9	-2.8	-2.2	4.5	559.3	559.2	559.1	100	100	100	W 4	W 4	WNW3	10≡	10≡	10≡*	30.8	♁ 10¾-11¾, 14¾, 17¾-18, *)
28	-4.2	-2.7	-5.2	-4.0	2.6	558.6	558.3	557.8	100	100	100	NW 2	W 2	W 2	10≡	10≡*	10≡	9.6	✳ 8¾-10 mU, 10-14½, 16¾-17½*)
29	-5.5	-5.8	-10.0	-7.1	-0.6	555.6	556.3	557.1	100	100	100	W 4	W 4	W 2	10≡*	10≡	10≡	8.9	≡ n-12, ≡ ⋁ n-n, ☄ n-p
30	-14.2	-12.0	-10.7	-12.3	-5.8	555.9	556.7	555.9	94	98	96	NNE 3	NNE 2	S 3	10≡	10≡	1	.	≡ n-9, 11½-20½
31	-7.8	-4.5	-10.6	-7.6	-1.2	554.9	555.1	555.4	91	80	63	WNW2	N 1	N 1	9	8	1	.	
																		Summe	
Mittel	-8.6	-6.4	-8.8	-7.9	—	556.0	556.5	556.6	83	76	87				6.0	6.2	4.8	96.7	

*) **17.** ☄ n-p **19.** ☩ ☄ 8½-13½, ☄ III **22.** ⋁ n-10, ☄ III **27.** ✳ 20½-n, ≡ n-n mU, ☄ n-p, **28.** ≡ n-n, ⋁ n-9

März 1955
Beobachter: *E. Chiesa*

St. Gotthard (Hospiz)

$\lambda = 8° 34'$, $\beta = 46° 33'$,
$H_b = 2095$ m, $G = -0.25$ mm.

1	-9.0	-4.3	-9.7	-7.7	-1.2	585.1	585.0	585.3	70	68	67	NW 1	NW 0	NW 1	0	0	0	.	
2	-7.6	-3.6	-7.2	-6.1	0.3	586.2	586.1	590.0	66	75	100	NW 0	NW 0	SE 0	0	0	10≡	.	≡ 14-n
3	-9.0	-4.6	-10.3	-8.0	-1.6	591.5	592.4	593.0	95	72	89	SE 0	SE 0	NW 0	10≡	6	0	.	≡ n-a
4	-8.2	-4.8	-7.8	-6.9	-0 6	593.3	592.7	590.1	40	43	78	SE 0	NW 2	NW 1	0	3	0	4.2	✳ n (4./5.)
5	-11.9	-11.5	-14.5	-12.6	-6.3	584.5	581.8	578.8	96	90	100	NW 2	NW 3	NW 3	10≡	10≡	10≡	3.3	✳fl ☩ a-n, ≡ n-n, ☄ a-n
6	-15.4	-12.1	-17.2	-14.9	-8.7	575.5	575.5	576.0	90	91	85	NW 2	NW 2	NW 1	10≡	10≡	0	.	≡ n-16¾
7	-16.0	-9.7	-16.4	-14.0	-7.9	576.1	577.6	577.8	84	83	76	SE 0	SE 1	SE 1	3	3	0	.	
8	-16.2	-9.1	-11.6	-12.3	-6.2	576.1	575.9	575.8	47	54	94	SE 0	SE 1	SE 0	0	10	10*	4.6	✳ 15½-n
9	-11.2	-6.4	-10.5	-9.4	-3.4	576.6	578.2	578.9	97	36	96	SE 0	SE 0	NW 2	9	6	10*	4.1	✳ 20½-n
10	-11.0	-8.5	-9.2	-9.6	-3.6	579.1	581.4	583.9	95	92	94	NW 2	NW 2	NW 1	10	6	10≡	.	≡ 15½-n
11	-7.0	-3.2	-6.4	-5.5	0.4	584.1	584.6	584.9	97	92	95	SE 0	SE 0	SE 1	10*≡	10*≡	10*≡	9.2	✳ ≡ n-n
12	-6.2	-3.8	-6.0	-5.3	0.5	587.3	588.3	589.6	96	69	98	SE 0	SE 0	SE 0	9	10≡	10*≡	7.1	✳ 13-n mU, ≡ a-n mU
13	-10.2	-3.7	-8.4	-7.4	-1.6	589.4	589.7	589.6	85	74	75	SE 0	SE 0	NW 1	0	0	0	.	
14	-9.5	-5.4	-7.6	-7.5	-1.8	589.1	589.4	589.6	68	72	95	NW 1	NW 1	NW 3	0	0	10≡	.	≡ ⋁ ☄ p-n
15	-9.9	-5.0	-7.0	-7.3	-1.6	590.2	591.2	591.4	93	35	73	NW 2	NW 1	NW 2	3	0	0	.	
16	-4.8	-1.9	-5.0	-3 9	1.7	591.1	590.8	588.7	45	47	57	NW 1	NW 1	NW 1	3	0	0	.	
17	-5.8	-6.0	-12.5	-8.1	2.6	584.9	583.4	583.4	46	95	97	NW 1	NW 2	NW 4	0	3	10*≡	7.9	✳ ☩ ☄ ≡ 15½-n
18	-16.1	-12.6	-14.2	-14.3	-8.8	583.4	584.3	584.6	89	90	92	NW 2	NW 2	NW 1	10≡	0	0	.	≡ n-9½
19	-16.0	-9.5	-11.8	-12.4	-7.0	583.4	583.0	582.6	73	70	83	SE 1	SE 1	SE 2	0	0	0	.	
20	-10.8	-5.3	-7.1	-7.7	-2.3	582.3	582.5	582.5	84	72	95	SE 0	SE 1	SE 2	3	3	10	3.5	✳ n (20./21.)
21	-5.7	-3.0	-3.6	-4.1	1.2	581.0	582.7	582.8	97	100	98	SE 1	SE 1	SE 1	10*≡	10*≡	10*≡	8.8	✳ ≡ n-n
22	-5.4	-1.0	-2.6	-3.0	2.2	585.4	588.3	590.8	90	78	89	SE 0	NW 0	NW 0	3	0	9	0.5	✳ 16¼-18
23	-6.3	1.7	-1.3	-2.0	3.2	593.1	594.7	596.6	75	50	75	NW 0	SE 0	NW 1	0	3	0	.	
24	-0.7	3.1	-0.4	0.7	5.8	595.0	595.5	595.4	71	64	84	SE 0	SE 1	SE 0	6	3	0	.	
25	2.2	6.7	3.2	4.0	9.1	595.0	595.6	594.7	61	31	72	SE 1	SE 1	SE 0	6	10	9	.	
26	2.7	4.9	1.0	2.9	7.9	592.6	592.0	590.9	70	67	98	SE 1	SE 1	SE 1	6	9	10●≡	4.4	● 21-n, ≡ 19¾-n
27	0.7	6.5	0.8	2.7	7.6	589.4	589.1	588.9	83	67	80	SE 0	SE 0	NW 1	0	10≡	6	1.1	✳ n (27./28.), ≡ 12-16
28	-1.2	1.3	-1.9	-0.6	4.3	588.2	587.8	587.5	98	87	95	NW 1	NW 1	NW 0	6	10≡	10	2.3	✳ 20½-n mU, ≡ 13¾-p mU
29	-1.0	-2.2	-7.8	-3.7	1.1	585.9	586.2	586.7	98	95	98	SE 1	NW 1	NW 2	10≡	10≡	10*≡	1.8	✳ 11½-n mU, ≡ n-n, ⋁ III
30	-8.6	-6.0	-6.1	-6.9	-2.1	585.7	586.1	586.5	95	96	98	NW 2	NW 2	NW 1	10≡	10	10*≡	2.1	✳ 15¼-n, ≡ n-n mU
31	-7.2	-3.4	-6.6	-5.7	-1.0	585.1	584.3	584.6	95	73	97	SE 1	NW 1	NW 2	10	3	10≡	.	≡ 16¼-n
																		Summe	
Mittel	-7.8	-3.9	-7.3	-6.3	—	586.0	586.3	586.5	80	72	88				5.1	5.1	5.9	64.9	

$\lambda = 7°\,26'$, $\beta = 46°\,57'$,
$H_b = 572.2$ m, $G = 0.00$ mm.

Bern

April 1955
Beobachter: *Meteorologisches Observatorium*

Tag	Lufttemperatur					Luftdruck			Relative Feuchtigkeit			Windrichtung und Stärke			Bewölkung			Niederschlag	Witterung
	7^{30}	13^{30}	21^{30}	Mittel	Abweich. vom Normalst	7^{30}	13^{30}	21^{30}	7^{30}	13^{30}	21^{30}	7^{30}	13^{30}	21^{30}	7^{30}	13^{30}	21^{30}		
1	-1.4	6.2	3.4	2.7	-3.0	710.6	712.7	715.3	83	42	71	NE 1	NE 2	NE 1	1	1	0	.	⌴ l
2	0.4	9.4	5.5	5.1	-0.7	715.9	713.9	715.8	85	50	74	E 0	N 1	SW 0	0	0	0	.	
3	1.2	12.4	8.2	7.3	1.3	714.7	714.4	715.6	93	39	68	S 0	NE 0	WSW 1	5	7	2	.	
4	6.2	13.8	10.0	10.0	3.9	716.1	715.8	716.1	80	42	69	S 0	SE 1	SE 0	9	5	9	0.1	● 18¼–20, ⊕ l
5	8.2	13.8	11.4	11.1	4.8	716.0	715.4	714.7	79	49	65	W 0	SW 0	NE 0	9	7	7	0.0	●tr 8–10 mU
6	5.6	16.5	13.4	11.8	5.4	713.5	712.2	712.4	90	34	58	SE 0	NE 1	SE 0	1	1	9	.	
7	10.4	10.0	7.8	9.4	2.8	715.2	717.0	719.3	75	85	96	W 1	W 1	SE 1	10	10●	7	2.0	●tr 8–8¾, 9¾–16½ mU, ⍒ l
8	4.0	12.5	8.4	8.3	1.6	719.0	717.8	717.9	97	50	94	S 0	W 1	W 1	9	10●	10●	7.9	●tr 12¼–16¼ mU, ● 16¼–24,
9	8.0	13.9	10.1	10.7	3.8	717.9	716.9	717.1	99	56	74	S 1	W 1	W 1	10●	7	10	0.2	● 0–8¼ [⍒ ⧋ l
10	8.0	12.0	9.1	9.7	2.7	717.6	717.7	717.3	80	47	55	SW 0	W 2	SW 1	9	6	4	0.6	
11	7.2	10.6	8.0	8.6	1.4	717.7	717.3	718.3	82	69	96	S 0	SW 2	SE 0	10●	10●	10	5.1	●tr 0–2 mU, ● 2–21¼
12	5.8	10.6	7.7	8.0	0.6	719.2	720.5	**721.6**	85	44	56	SW 0	NE 1	ESE 1	7	5	0	.	
13	2.8	13.2	9.3	8.4	0.9	721.3	720.8	719.7	82	40	72	S 0	NE 1	S 0	1	7	1	.	
14	4.4	12.3	6.0	7.6	-0.1	717.0	715.1	715.8	89	47	53	SE 0	NNW 1	NE 0	7	2	6	.	
15	2.2	5.8	2.0	3.3	-4.6	714.2	713.9	715.3	92	60	97	NE 1	NE 1	NE 0	8	6	7	1.3	✳fl a, ⍓ 15½–15¾, ⍒ 17¾, *)
16	1.2	4.6	0.1	2.0	-6.1	714.4	714.6	715.2	96	62	97	NE 0	NE 3	NE 1	8	8*	1	0.7	✳ 5¾–7, ⍒ 10¼–10¾, 12–17½ mU,
17	0.4	3.8	2.2	2.1	-6.2	716.1	717.6	718.9	86	66	73	NE 2	NE 1	NE 1	9	10	1	.	[🌧 ll
18	0.2	10.8	6.4	5.8	-2.7	719.1	717.4	716.3	94	40	46	SE 0	ENE 1	NE 1	0	3	2	.	
19	1.6	8.3	4.4	4.8	-3.8	714.8	713.7	713.2	74	40	50	NE 1	NE 2	NE 0	0	2	0	.	
20	0.7	10.8	7.6	6.4	-2.4	713.0	712.2	712.3	76	36	41	NE 0	NNE 1	S 0	0	1	1	.	
21	1.8	14.1	10.6	8.8	-0.2	713.0	712.4	712.8	82	34	49	NE 0	NE 1	NE 1	0	1	0	.	⌴ l
22	4.2	13.0	9.6	8.9	-0.2	713.1	712.4	712.2	82	42	50	E 0	NNE 1	NE 1	0	1	0	.	
23	4.2	13.8	10.9	9.6	0.3	712.3	710.4	**709.8**	85	48	46	NE 0	N 0	NE 0	0	2	0	.	
24	4.6	16.0	9.6	10.1	0.7	710.4	710.4	712.7	86	**32**	66	SE 0	WSW 2	E 1	1	1	0	.	
25	3.2	11.0	8.3	7.5	-2.1	713.5	713.1	712.4	73	51	46	NE 2	NE 3	NE 0	3	1	0	.	🌧 ll
26	3.6	16.6	13.0	11.1	1.4	712.2	710.7	712.4	79	45	41	SW 0	W 1	SW 0	1	9	9	0.0	⊕ 15½
27	10.1	17.2	13.1	13.5	3.6	713.7	713.6	713.4	74	45	66	SE 0	SW 1	NNW 0	10	7	9	.	●tr 0½–2 mU, 6–6½, ⊕ 15½
28	8.8	20.4	16.5	15.2	5.2	714.5	713.6	713.7	84	45	60	SE 0	W 0	SE 0	1	2	1	.	
29	11.0	**22.0**	17.3	16.8	6.6	714.8	713.5	713.6	83	46	60	S 0	SE 0	S 0	4	3	3	0.9	● 24, ⍒ l
30	14.3	**22.0**	18.3	18.2	7.9	715.5	714.1	713.4	86	42	55	SE 0	NE 1	W 0	7	2	9	.	● 0–0¾, 6¾
Mittel	4.8	12.6	8.9	8.8	—	715.2	714.7	715.1	84	48	65				4.7	4.6	3.9	Summe 18.8	

*) 15. ⍒ 18½–18¾, ✳ ● 19¼–19½, 20½–20¾

$\lambda = 6°\,57'$, $\beta = 47°\,0'$,
$H_b = 487.3$ m, $G = 0.02$ mm.

Neuchâtel

April 1955
Beobachter: *Observatorium*

1	-0.4	9.1	5.4	4.7	-1.8	718.4	720.2	722.9	78	36	53	NE 0	E 2	NE 2	0	0	0	.	
2	3.2	10.9	7.2	7.1	0.4	724.1	722.4	721.7	67	51	59	NE 2	E 1	N 1	0	0	1	.	
3	1.9	11.2	8.8	7.3	0.5	723.5	722.2	723.2	91	51	56	N 0	E 0	NW 1	2	8	2	.	
4	6.9	13.7	10.5	10.4	3.5	723.9	723.6	723.8	76	45	61	S 0	S 1	NW 0	8	8	10	.	
5	8.6	17.0	11.7	12.4	5.3	723.7	723.0	722.5	75	42	62	NW 0	S 1	NE 0	10	1	2	0.1	● 8¾, 9¼–9½
6	6.0	18.2	13.0	12.4	5.2	721.2	719.8	719.9	85	39	61	NE 0	SE 0	SE 0	0	1	8	.	
7	10.2	11.5	9.6	10.4	3.0	722.3	724.8	726.9	73	64	57	NW 4	W 1	NW 2	10	10	3	.	🌧 l
8	4.4	11.7	8.8	8.3	0.8	726.7	725.8	725.8	93	57	91	SW 0	SW 1	W 1	9	10	10●	1.9	● 18–24
9	8.0	14.2	10.1	10.8	3.1	725.5	724.7	724.7	94	60	64	SW 0	S 1	W 2	9	9	3	.	● 0–7
10	7.9	12.9	9.8	10.2	2.4	725.5	724.4	724.8	76	49	49	W 0	SW 1	NW 3	9	6	10	.	
11	8.4	10.2	8.8	9.1	1.1	725.4	725.2	726.1	71	80	94	SW 2	SW 1	SW 1	10	10●	10	**4.3**	● 13–19
12	7.8	11.2	8.6	9.2	1.1	727.2	728.2	**729.3**	67	50	48	NW 0	SE 0	NE 2	9	8	0	.	
13	4.8	15.3	9.4	9.8	1.5	729.2	728.3	727.6	83	46	72	NE 0	SE 1	N 0	1	6	0	.	
14	5.9	14.5	7.0	9.1	0.7	724.7	723.1	723.6	88	34	54	N 0	W 2	NE 0	4	2	3	.	
15	4.3	8.0	1.7	4.7	-3.9	722.0	721.7	723.1	65	50	95	E 1	E 3	N 1	5	9	10	1.3	● 16¾, 19¼–20¾, ● ✳ 21¾–22¼
16	2.8	5.8	1.4	3.3	-5.5	722.4	722.4	723.9	85	55	82	NE 1	E 2	NE 2	3	9	0	0.9	✳ 8¾–21 mU
17	1.4	5.1	3.8	3.4	-5.5	724.1	725.4	726.8	75	61	62	NE 3	NE 3	NE 2	10	10	0	.	🌧 n–n
18	2.9	13.8	6.2	7.6	-1.5	727.0	725.3	724.0	73	38	62	NE 0	E 2	N 1	1	2	0	.	
19	4.1	11.2	6.4	7.2	-2.0	722.4	721.4	720.9	54	34	42	NE 3	NE 3	NE 2	0	0	0	.	🌧 n–p
20	4.2	13.7	9.6	9.2	-0.2	720.7	720.0	719.9	54	**28**	29	NE 2	E 2	NE 1	0	0	0	.	
21	3.2	16.2	9.7	9.7	0.1	720.9	720.1	720.6	71	**28**	50	NE 0	SE 1	N 1	0	0	0	.	
22	5.1	15.9	8.6	9.9	0.2	720.8	719.8	719.7	78	39	64	NE 0	SE 1	N 0	2	2	0	.	
23	5.1	15.4	10.4	10.3	0.4	720.6	718.4	**717.5**	70	41	41	N 0	S 1	N 1	2	2	0	.	
24	5.7	18.7	10.7	11.7	1.7	718.1	717.9	719.5	76	30	51	N 0	S 1	N 4	0	1	0	.	
25	4.8	13.5	9.6	9.3	-0.9	721.5	720.9	720.3	55	48	33	NE 2	NE 2	NE 2	0	0	0	.	
26	4.4	14.6	14.2	11.1	0.7	720.1	718.4	720.0	64	39	33	NE 0	S 0	W 0	0	5	10	.	
27	10.3	19.3	13.7	14.4	3.9	722.3	721.2	720.9	72	33	62	NE 0	S 1	N 0	10	2	0	0.0	●tr 9¾
28	9.0	21.9	16.2	15.7	5.0	722.2	721.3	721.1	81	38	61	NW 0	S 1	N 0	0	1	0	.	
29	10.9	23.7	16.5	17.0	6.2	722.4	721.0	720.8	85	38	62	N 0	S 1	SE 0	0	1	1	.	
30	13.6	**24.7**	19.9	19.4	8.4	723.1	721.8	720.8	70	32	41	SE 0	SE 0	N 1	8	1	1	.	
Mittel	5.8	14.1	9.6	9.8	—	723.1	722.4	722.7	75	44	58				4.1	4.1	2.8	Summe 8.5	

April 1955
Beobachter: *Frl. H. Nager*

Altdorf

$\lambda = 8° 39'$, $\beta = 46° 53'$,
$H_b = 456.3$ m, $G = -0.05$ mm.

Tag	Lufttemperatur 7³⁰	13³⁰	21³⁰	Mittel	Abweich. vom Normalst	Luftdruck 7³⁰	13³⁰	21³⁰	Relative Feuchtigkeit 7³⁰	13³⁰	21³⁰	Windrichtung und Stärke 7³⁰	13³⁰	21³⁰	Bewölkung 7³⁰	13³⁰	21³⁰	Niederschlag	Witterung
1	2.9	6.2	3.8	4.3	−2.7	721.0	723.8	726.7	77	60	82	NW 0	W 0	W 0	10	8	10	.	
2	0.4	8.8	5.6	4.9	−2.2	727.2	724.7	724.7	85	54	75	W 0	NW 0	SE 0	0	0	3	.	
3	2.2	12.5	8.2	7.6	0.3	724.9	723.7	725.8	84	46	74	SE 0	NW 1	NW 0	3	8	10	.	
4	7.0	14.5	8.8	10.1	2.7	726.6	725.5	726.6	87	45	86	NE 0	NW 1	E 0	10	6	10●	1.8	●tr a, 18¾-n
5	7.3	12.2	9.2	9.6	2.1	726.0	725.4	725.8	97	57	75	E 0	NW 0	NW 0	10	10	9	.	
6	7.6	15.8	11.3	11.6	3.0	723.6	722.2	722.7	80	45	55	E 0	NW 0	SE 1	0	0	4	2.1	● n (6./7.)
7	9.2	10.7	8.4	9.4	1.6	725.1	726.9	729.8	95	87	98	SE 0	NW 0	NW 0	10●	10●	10	12.0	● n-p
8	6.2	11.9	8.9	9.0	1.1	729.2	727.7	728.4	100	52	90	S 0	NW 1	NW 0	5	10	10●	11.6	● p-n
9	8.4	11.8	10.1	10.1	2.0	727.7	726.9	727.2	100	66	90	NW 0	NW 0	NW 0	10●	10	10●	14.0	● n-n mU
10	8.0	12.5	9.1	9.9	1.7	727.8	727.6	727.2	97	62	72	W 1	NW 1	N 0	10●	9	5	2.1	● n-a
11	7.4	8.2	7.2	7.6	−0.8	727.9	728.0	728.5	94	95	96	NW 0	W 0	NW 0	10●	10●	10	18.7	● n-n mU
12	8.3	10.3	6.8	8.5	0.0	728.3	730.6	**732.9**	58	45	63	NW 2	NE 2	NE 0	10●	10	5	.	● n-7½
13	3.3	12.3	7.5	7.7	−0.9	731.5	731.1	730.8	80	50	66	E 0	NW 1	NW 0	0	5	0	0.0	● n (13./14.)
14	6.2	11.4	6.0	7.9	−0.9	726.5	724.4	726.5	81	55	65	SE 0	N 2	NW 1	10	7	10●	3.4	▽ 6¾, ● p-n
15	4.9	3.3	2.4	3.5	−5.4	723.8	724.8	725.3	65	90	100	NW 1	NW 2	NE 0	8●	10●	10	5.6	● n-p, ▽ 9
16	2.8	4.1	2.1	3.0	−6.1	724.2	724.5	725.9	82	62	74	N 2	NW 2	N 0	10*	9	4	0.6	✳ n-a mU
17	0.8	6.8	2.2	3.3	−5.9	726.8	727.6	729.7	73	57	80	SE 0	NW 2	NW 0	5	6	7	.	
18	1.9	10.7	5.0	5.9	−3.5	730.0	727.9	727.1	89	53	82	N 0	W 1	NW 0	3	4	10●	1.3	● 20¾-n
19	3.5	9.8	5.6	6.3	−3.2	725.4	723.8	723.9	87	45	57	N 0	NW 2	NW 0	2	7	7	.	
20	2.1	10.2	6.3	6.2	−3.4	723.7	722.5	723.0	77	48	56	N 0	NW 1	NE 0	0	0	0	.	
21	4.3	14.2	9.3	9.3	−0.5	723.1	722.1	723.1	66	**42**	55	E 0	NW 1	N 0	0	0	0	.	
22	4.9	12.8	9.8	9.2	−0.7	723.6	722.2	722.4	89	57	61	SE 0	NW 1	NW 0	2	3	7	.	
23	5.4	12.7	10.2	9.4	−0.7	722.7	720.7	720.3	89	57	65	E 0	N 1	E 1	3	4	4	.	
24	5.4	16.1	12.0	11.2	1.0	720.4	**719.7**	721.9	85	56	50	SE 0	NW 2	NW 1	2	4	10	0.0	●tr p
25	6.3	11.3	7.5	8.4	−1.9	724.0	723.6	723.3	62	58	70	NW 1	N 2	W 0	5	4	0	.	
26	4.9	14.3	12.2	10.5	0.0	722.5	720.5	721.8	83	50	67	NW 0	NW 1	NW 0	0	7	5	.	
27	10.6	16.5	12.4	13.2	2.6	724.2	723.1	724.1	81	49	60	SE 0	NW 1	SE 0	10	7	2	.	
28	9.9	18.2	14.6	14.2	3.5	724.4	723.3	724.2	82	55	55	SE 0	NW 1	E 0	1	0	0	.	
29	11.1	21.5	18.3	17.0	6.1	724.6	723.1	723.5	80	45	43	E 0	NE 1	S 1	0	2	3	.	
30	13.7	**21.7**	16.3	17.2	6.2	725.8	723.4	723.7	64	51	55	E 0	NW 1	SE 0	3	2	3	.	
																		Summe	
Mittel	5.9	12.1	8.6	8.9	—	725.4	724.7	725.6	82	57	71				5.1	5.7	5.9	73.2	

April 1955
Beobachter: *Observatorium*

Genève

$\lambda = 6° 9'$, $\beta = 46° 12'$,
$H_b = 405.0$ m, $G = -0.03$ mm.

1	3.1	8.5	7.2	6.3	−0.7	724.9	726.6	729.0	60	68	88	NNE 2	NNE 3	NNE 1	10	0	0	.	⸗ n-p
2	3.8	10.4	9.0	7.7	0.6	731.1	729.5	728.6	56	70	84	NNE 0	NNE 0	E 0	0	0	2	.	
3	2.6	12.2	11.2	8.7	1.4	730.5	729.6	730.7	86	65	73	NNE 1	NNE 1	NNE 1	0	7	5	.	
4	6.6	15.2	12.6	11.5	4.1	731.3	730.4	729.9	74	38	72	SE 1	NNE 1	NNE 0	0	5	6	.	
5	9.0	15.0	7.4	10.5	2.9	730.5	729.5	728.9	78	42	80	NNE 1	NNE 1	NNE 1	5	4	1	.	
6	7.0	17.0	14.6	12.9	5.2	727.7	726.2	727.3	71	61	74	NNE 1	NNE 1	NNE 1	1	4	7	.	
7	11.4	12.0	8.6	10.7	2.9	730.7	732.7	734.3	85	76	97	S 1	NNE 1	NE 1	10●	10●	9	2.1	● 7½-14 mU
8	5.0	14.9	8.5	9.5	1.5	734.1	733.0	732.8	93	46	94	E 0	ENE 1	NNW 1	0	6	10●	1.3	● 18½-21½
9	8.0	15.0	12.4	11.8	3.7	732.7	731.5	732.0	97	50	61	NE 0	NNE 1	NE 1	10	4	9	.	● 1-3, 6½-7
10	8.6	14.8	12.0	11.8	3.5	731.6	731.2	732.3	92	41	81	NNE 1	NNE 1	NNW 1	4	3	2	.	
11	8.4	16.6	11.0	12.0	3.6	733.6	733.2	733.8	89	77	90	NNW 1	NNW 1	N 0	10	10	9	0.2	● 19¼-20¾
12	7.6	14.0	9.5	10.4	1.9	734.4	734.4	735.5	80	37	53	NNE 1	NNE 2	NNE 1	1	1	0	.	⸗ a-p mU
13	6.6	14.6	10.4	10.5	1.8	**736.3**	734.9	734.0	74	42	75	NNE 1	NNE 1	NNE 0	0	1	0	.	
14	6.0	14.8	9.2	10.0	1.2	732.3	729.1	729.6	70	52	76	NNE 0	NNE 2	NNE 3	1	2	1	.	⸗ a-n
15	6.0	8.6	5.6	6.7	−2.3	728.1	727.5	729.5	58	65	78	NNE 2	NNE 3	NNE 4	0	2	2	.	⸗ n-n, ⸗ III
16	4.0	6.6	3.0	4.5	−4.6	728.7	728.4	728.4	70	62	73	NNE 2	NNE 3	NNE 3	0	0	2	.	⸗ n-n
17	3.2	6.4	6.0	5.1	−4.2	730.8	731.6	732.7	63	65	70	NNE 2	NNE 2	NNE 3	5	3	2	.	⸗ n-n mU
18	3.4	12.4	11.0	8.9	−0.5	733.9	731.5	730.1	69	44	75	NE 0	NNE 2	NNE 0	0	0	0	.	
19	5.6	10.8	10.0	8.8	−0.8	728.5	726.9	727.0	58	44	62	NNE 1	NNE 2	NNE 2	0	0	0	.	
20	4.0	12.0	9.0	8.3	−1.5	728.0	726.9	726.8	67	39	73	NNE 0	NNE 1	NNE 1	0	0	0	.	
21	4.5	13.5	12.6	10.2	0.3	727.8	726.9	727.0	75	52	70	E 0	NNE 1	E 0	0	0	0	.	
22	6.8	15.0	13.0	11.6	1.5	727.7	726.4	726.9	76	35	66	E 0	NNE 1	NNE 1	0	0	0	.	
23	5.6	13.6	13.0	10.7	0.5	727.0	724.6	**724.1**	75	52	88	E 0	NNE 1	E 0	0	0	6	.	
24	6.6	18.0	14.0	12.9	2.5	724.7	725.0	726.3	74	30	65	E 0	NNE 1	NE 2	0	0	0	.	
25	6.8	13.0	9.5	9.8	−0.7	728.1	726.8	726.9	74	62	67	NNE 2	NNE 1	NNE 1	0	0	0	.	
26	6.4	21.0	17.2	14.9	4.2	727.1	725.6	727.3	82	**26**	72	NNE 1	S 2	E 0	0	4	9	.	
27	12.8	18.0	14.0	14.9	4.1	728.4	727.0	728.0	57	28	78	E 0	NNE 1	E 0	9	1	2	.	
28	12.0	17.7	16.0	15.2	4.2	728.3	727.9	728.0	68	50	79	E 0	NNE 1	E 0	0	1	0	.	
29	12.6	20.4	20.0	17.7	6.6	729.4	727.7	728.3	79	48	85	E 0	NNE 1	S 1	0	1	0	.	
30	15.0	**23.2**	20.0	19.4	8.1	730.0	728.9	727.9	60	50	83	NNE 1	S 1	S 1	0	0	0	.	
																		Summe	
Mittel	7.0	14.2	11.2	10.8	—	729.9	729.1	729.5	74	51	76				2.2	2.3	2.8	3.6	

$\lambda = 8°\ 34'$, $\beta = 47°\ 23'$,
$H_b = 569.4$ m, $G = 0.03$ mm

Zürich

April 1955
Beobachter: *Meteorologische Zentralanstalt*

Tag	Lufttemperatur					Luftdruck			Relative Feuchtigkeit			Windrichtung und Stärke			Bewölkung			Niederschlag	Witterung
	7^{30}	13^{30}	21^{30}	Mittel	Abweich. vom Normalst	7^{30}	13^{30}	21^{30}	7^{30}	13^{30}	21^{30}	7^{30}	13^{30}	21^{30}	7^{30}	13^{30}	21^{30}		
1	-1.1	8.5	4.6	4.0	-1.5	711.0	712.8	715.8	79	**36**	65	NE 1	N 1	NNE 1	0	1	9	0.0	⊔ l
2	1.1	11.2	5.5	5.9	0.2	716.8	714.8	714.1	90	44	66	NE 1	NNE 1	ENE 0	1	2	0	.	
3	1.5	12.9	8.6	7.7	1.9	714.6	714.3	715.4	93	46	56	NE 0	SW 1	S 1	5	9	3	0.0	⊔ l
4	7.9	13.7	7.9	9.8	3.8	715.8	715.5	716.3	71	52	90	SSW 1	SW 2	S 1	10	9	10●	1.6	● 21¼-24
5	6.6	12.5	8.1	9.1	3.0	715.8	715.3	715.2	92	54	77	SSE 0	WSW 1	SE 1	9	10	5	.	● 0-1¾, 2¾-3¼
6	7.5	18.5	11.8	12.6	6.3	713.7	712.5	712.7	75	38	55	S 0	WNW 1	SSE 1	1	2	9	1.6	⊿ l
7	8.9	9.3	7.5	8.6	2.2	714.9	716.7	719.3	90	90	97	SSE 1	W 1	SSW 1	10●	10	10●	3.4	● 5¼-9¼, 10½-12¾, 15-18, ●tr 21½
8	6.7	11.5	8.3	8.8	2.2	718.7	717.6	717.3	88	54	96	S 1	WSW 2	SW 1	9	10	10●	**18.3**	● 17½-24
9	8.2	12.5	8.6	9.8	3.1	717.0	716.9	717.3	98	72	80	SW 1	SSW 1	WNW 1	10●	9	10	1.3	● 0-9, ●tr 9-13
10	6.7	12.9	8.6	9.4	2.5	717.7	716.7	716.9	92	52	54	**W** 1	NW 1	WSW 1	8	7	10	0.3	
11	6.3	7.8	8.8	7.6	0.6	717.0	716.9	717.4	86	98	89	**SW** 2	SSW 1	SW 1	10●	10●	10	3.8	● 7¼-7¾, 13-16¼, ☄ 2¾-
12	5.8	11.5	6.6	8.0	0.8	719.0	720.4	**722.5**	82	50	68	W 1	NNW 2	SE 1	9	7	4	0.0	[11¾ mU
13	3.7	12.5	9.4	8.5	1.2	721.7	721.3	719.8	80	46	69	SE 0	SSW 1	SSW 0	2	10	10	.	⊔ l
14	7.5	13.1	4.8	8.5	1.0	716.5	715.2	716.0	77	47	65	SSW 1	WNW 2	NNE 1	9	7	9	0.0	⊿ l, ☄ 13¾-14¼
15	2.3	6.2	1.7	3.4	-4.2	714.5	714.2	715.3	83	60	95	N 1	SSE 1	WNW 1	5	10	10	5.4	● 13¾-14, 18¾-19¼, *)
16	0.8	6.8	-0.1	2.5	-5.3	714.8	714.8	716.1	92	58	97	NNE 1	E 1	N 1	10*	9	10	2.4	✳ 4½-6, 7¼-8¾, ● 15-15¼, *) ⊠
17	0.3	3.8	1.2	1.8	-6.1	717.1	718.4	719 8	89	67	72	NE 1	NNE 2	E 1	10	10	0	0.0	⊿ l
18	1.9	11.4	5.6	6.3	-1.8	719.4	717.8	717.2	78	46	50	SE 0	N 1	ENE 1	6	9	9	0.3	● 18¾-19, ●tr 22¼-24¼
19	2.0	9.5	3.4	5.0	-3.2	715.7	714.7	714.1	69	42	56	NNE 2	NNE 2	ENE 1	0	5	0	.	
20	2.0	11.8	6.3	6.7	-1.7	713.4	713.1	712.8	67	37	47	NE 1	ENE 1	NE 1	0	1	0	.	
21	4.5	16.4	7.6	9.5	1.0	712.9	712.7	713.4	71	**36**	65	E 0	NW 1	ENE 2	0	1	0	.	
22	4.5	13.5	7.3	8.4	-0.3	713.6	713.1	712.5	79	44	64	NNE 1	NE 1	SE 0	1	2	1	.	⊿ l
23	4.4	15.5	9.1	9.7	0.9	712.7	711.2	710.3	74	45	48	NE 1	WNW 1	NW 1	0	1	1	.	⊔ l
24	7.2	15.3	8.3	10.3	1.3	**710.1**	710.1	713.1	72	39	68	WSW 0	W 2	N 1	0	2	5	.	⊿ l, ☄ p
25	2.9	11.8	6.4	7.0	-2.1	714.4	714.3	713.2	71	46	46	NE 1	ENE 1	NE 2	2	1	0	.	
26	4.2	17 6	12.2	11.3	2.1	712.3	710.8	712.5	71	48	42	SSE 1	SW 1	W 1	4	7	9	0.6	⊕ 7½
27	9.3	16.2	11.7	12.4	3.0	714.1	713.8	713.8	88	53	67	S 1	S 1	SSE 0	10	8	0	0.3	● 5-5¼, 6¼-6½, 9½-9¾
28	11.5	21.8	16.2	16.5	7.0	714.4	713.9	714.1	73	39	58	SSE 1	SSW 1	SSW 1	1	2	0	.	
29	13.4	23.9	17.0	18.1	8.5	714.7	713.7	713.5	76	41	55	S 1	W 1	SSE 1	6	2	0	.	
30	15.3	**25.2**	17.3	19.3	9.5	715.5	714.1	713.3	67	45	60	SSW 1	NE 1	SE 1	9	1	2	0.3	
Mittel	5.5	13.2	8.0	8.9	—	715.3	714.9	715.4	80	51	67				5.2	5.8	5.2	Summe 39.6	

*) 15. ✳ 23½-23¾, ⊼ 18¾ 16. ●tr 15¼-17¼, ⊼ 15¼

$\lambda = 6°\ 32'$, $\beta = 46°\ 51'$
$H_b = 1588$ m, $G = -0{,}13$ mm

Chasseron

April 1955
Beobachter: *J. Liardon*

1	-7.2	-2 0	-4 0	-4 4	—	**624.3**	627.6	629.7	75	65	95	E 1	NNE 0	NE 1	4	0	3	.	✳
2	-4.4	3.0	0.2	-0.4	—	630.1	630.5	630.1	88	35	80	E 2	E 0	SE 1	0	2	2	.	✳
3	-0.4	4.4	1.2	1.7	—	630.2	631.0	632.0	98	64	84	WNW 1	WNW 1	WNW 1	5	7	4	.	✳
4	-0.4	5.0	2.4	2.3	—	632.1	632.7	632.5	99	60	63	WNW 1	WNW 1	WNW 1	9	6	9	0.0	≡ 7¾-8 ✳
5	0.6	5.4	6.0	4.0	—	632.2	632.0	631.8	90	70	60	WNW 1	E 0	SE 0	9	4	3	.	✳ 6½-7½ ✳
6	6.0	10.2	8.8	8.3	—	630.7	630.3	631.1	57	53	44	SE 1	SE 0	S 0	3	3	7	.	✳
7	1.2	1.2	-0.4	0.7	—	631.8	633.0	634.8	100	100	100	WNW 2	WNW 3	WNW 1	10≡	10●≡	6	0.0	● II, ≡≡ n-18, 18-n mU, ☄ n-p mU ✳
8	-0.8	2.0	1.6	0.9	—	633.9	634.4	633.9	100	100	100	WNW 1	WNW 1	WNW 2	10≡	10	10●≡	**4.2**	◉ 19-n, ≡ 6¾-8½, 8½-10 mU, 15½-n ✳
9	1.5	4.0	1.2	2.2	—	633.9	634.0	633 5	100	100	100	WNW 1	WNW 1	WNW 2	10≡	10≡	10●≡	0.0	● III, ≡ n-n ✳
10	-1.2	1.8	-0.2	0.1	—	633 3	633.1	633.3	100	90	80	NNW 1	WNW 1	NNW 2	9	6	10	0.6	✳fl 20¾-24 mU, ≡ n-6¾, 6¾-7¼ mU, [23-n, ⋁ n-6¼
11	0.0	2.0	2.0	1.3	—	633.0	633.6	634.0	100	100	100	WNW 2	W 2	NNW 4	10●≡	10●≡	10●≡	1.6	● ≡ n-n, ☄ III
12	1.8	1.4	-0.4	0.9	—	634.3	635.9	636.7	100	77	80	NNW 2	NNW 0	NNE 1	10≡	6	0	.	≡ ⋁ n-9¾
13	4.0	5.0	2.4	3.8	—	636.3	**637.1**	636.4	**26**	67	98	E 1	N 1	NE 1	4	5	5	.	
14	0.8	3.5	-2.4	0.6	—	632.8	632.0	630.8	100	56	80	NNW 2	**W** 0	WNW 1	10≡	4	5	.	≡ n-8½, 8½-9 mU
15	-6.0	-2.5	-4.8	-4.4	—	628.1	628.8	628.6	100	77	100	E 1	N 0	NE 1	6	6	10≡	0.0	✳ 18-18¾, ≡ 18½-n
16	-6.2	-6.4	-6.8	-6.5	—	628.3	628.7	628.4	100	100	100	NNW 1	NNW 1	E 2	10≡	9	10≡	0.8	✳ n-6, 18-n mU, ≡ n-7½, 10-13, 15½-
17	-7.4	-5.2	-5.2	-5.9	—	628.5	630.9	632.4	100	100	100	E 2	E 1	E 1	10≡	10≡	9	.	≡ n-15¾, ⋁ I [16¾, 18-n mU ⊠
18	-3.8	2.0	-0.4	-0.7	—	632.6	634.0	632.4	87	67	80	E 3	NE 0	NNW 1	2	3	4	.	☄ I
19	-3.2	0.2	-2.8	-1.9	—	628.6	629.0	628.5	69	59	63	E 2	E 0	E 2	0	3	2	.	
20	-3.0	2.2	1.2	0.1	—	627.3	628.7	628.7	64	34	44	E 1	E 0	E 1	0	2	2	.	
21	1.6	6.8	3.2	3.9	—	629.2	630.0	629.7	42	57	56	W 0	W 0	W 0	0	0	0	.	
22	1.0	6.2	2.0	3.1	—	629.0	629.4	629.1	87	54	78	E 0	ESE 0	NE 1	0	2	0	.	
23	1.8	7.6	4.0	4.5	—	628.4	628.3	627.7	79	44	44	SSW 1	W 1	NE 0	0	2	2	.	
24	3 4	6.6	1.2	3.7	—	627.6	628.6	629.2	50	46	100	WNW 0	WNW 2	N 1	3	2	4	.	
25	-2.0	2.6	1.4	0.7	—	628.5	629.5	629.1	77	54	54	E 1	E 0	E 1	0	0	0	.	
26	4.6	9.6	4.8	6.3	—	628.5	629.1	629.7	67	45	44	SSW 1	W 2	W 2	0	6	9	.	
27	3.6	8.6	6.4	6.2	—	630.9	631.4	631.6	76	63	80	W 2	W 1	W 0	9	7	5	.	
28	7.6	12.4	10.4	10.1	—	632.0	632.7	633.0	89	64	71	W 1	W 0	NNE 0	4	5	2	.	
29	10.2	**13.4**	11.2	11.6	—	633.3	633.3	633.2	71	58	71	SW 0	E 0	WNW 1	2	3	4	.	
30	9.2	**13.4**	10.2	10.9	—	633.5	633.7	633.2	65	54	56	W 1	SE 0	W 0	6	5	0	0.0	
Mittel	0.4	4.1	1.8	2.1	—	630.8	631.4	631.5	82	67	77				5.2	4.9	4.9	Summe 7.2	

April 1955
Beobachter: *Stationspersonal Rh. B.*

Bever

$\lambda = 9° 53'$, $\beta = 46° 33'$,
$H_b = 1711.8$ m, $G = -0.23$ mm

Tag	Lufttemperatur 7³⁰	13³⁰	21³⁰	Mittel	Abweich. vom Normalst	Luftdruck 7³⁰	13³⁰	21³⁰	Relative Feuchtigkeit 7³⁰	13³⁰	21³⁰	Windrichtung und Stärke 7³⁰	13³⁰	21³⁰	Bewölkung 7³⁰	13³⁰	21³⁰	Niederschlag	Witterung
1	−11.6	1.8	−4.4	−4.7	−3.1	616.0	**615.6**	620.5	98	38	71	S 0	W 1	N 0	2	0	0	.	
2	−12 5	4.0	−6.6	−5.0	−3.5	622.6	621.2	621.7	100	42	88	SW 0	S 0	**SW** 0	0	0	0	.	
3	−10.1	4.2	0.4	−1.8	−0.5	620.5	621.1	623.5	93	42	80	SW 0	N 1	NE 0	1	3	9	.	
4	0.4	3 8	0.0	1.4	2.6	621.8	622.2	621.9	84	55	92	SW 0	E 1	SW 0	9	6	9	1.6	△ 10-p mU
5	−0.6	5.8	2.4	2.5	3.5	622.3	622.1	623.0	97	51	83	SE 0	SW 1	SW 1	10≡	6	8	.	≡ n-a
6	−0.8	8.9	−0.8	2.4	3.3	621.8	621.9	623.4	95	39	92	SW 0	NW 1	SW 0	4	1	0	.	
7	−3.4	8.1	2 4	2.4	3.1	622.5	623.3	625.0	87	55	90	SW 0	NW 2	NW 1	6	9●	9	0.0	●tr 7½-17½ mU
8	1.3	5.8	1.8	3.0	3.6	624.3	624.7	623.6	75	55	91	N 0	NW 2	SW 0	2	7	4	0.0	
9	2.8	7.1	2.6	4.2	4.6	623.1	623.3	623.3	89	60	90	NE 0	NW 1	NW 0	6*	9	10	0.4	✳ 6½-8
10	2.9	5.1	1 6	3.2	3.5	622.4	622.2	622.8	66	44	60	NW 0	W 1	E 0	8	6	5	.	
11	−0.8	5.4	0.5	1.7	1.8	622.3	621.8	622.7	100	60	100	E 0	NW 2	NE 0	10	9	10●*	**11.6**	✳ 8-10, ✳ ● 21-n, ⛈ 11-p
12	−2.2	−0.6	−2.8	−1.9	−2.0	620.4	623.2	**627.2**	99	62	65	NE 0	N 1	N 0	10	10	2	1.9	✳ a, ⛈ 13-14 mU [mU
13	−11.9	6.2	0.6	−1.7	−1.9	627.5	626.0	626.6	100	32	76	S 0	NE 0	N 0	1	1	1	.	⌊
14	0.4	0.3	−3.3	−0.9	−1.3	621.4	620.1	619.3	89	85	59	SW 1	NW 0	NE 1	10*	10*	10	1.0	✳ 7½-p
15	−5.0	−2.6	−4.9	−4.2	−4.8	617.5	617.0	616.0	70	73	63	NE 1	NW 1	NE 0	4	10	10	0.0	⇢ a mU
16	−7.0	−2.1	−7.0	−5.4	−6.1	617.2	617.6	620.5	70	49	65	NE 1	NE 2	NW 0	2	7	9	.	⇢ a-p mU
17	−7.6	2.2	−2.6	−2.7	−3.6	620.5	621.0	623.7	89	50	70	NE 2	NE 1	NE 0	6	4	1	.	
18	−8.7	2.7	−1.3	−2.4	−3.5	623.2	622.2	621.4	97	47	70	S 0	NW 1	NW 0	1	4	10	0.0	✳fl 21-21½ mU
19	−6.2	1.4	−4.5	−3.1	−4.4	620.4	618.6	619.7	72	37	63	NE 1	N 1	NE 0	0	0	0	.	
20	−11.6	3.0	−4.3	−4.3	−5.7	619.3	618.8	620.4	100	32	72	SW 0	NW 2	SW 0	0	0	0	.	
21	−8.7	7.0	−1.8	−1.2	−2.8	620.2	619.8	620.8	93	**30**	77	SW 0	NW 1	W 0	0	0	0	.	
22	−7.4	6.8	−2 2	−0.9	−2.7	619.8	619.4	620.0	98	31	89	SW 0	NW 0	SW 0	0	0	0	.	
23	−5.0	6.2	0.8	0.7	−1.3	619.9	618.7	618.8	97	44	86	SW 0	SW 1	W 0	0	0	0	.	
24	−2.6	8.1	3.1	2.9	0.7	618.4	618.1	618.7	98	33	74	SW 0	NW 0	E 0	3	5	9	.	
25	−0.6	5.8	−2.4	0.9	−1.4	619.1	619.9	621.3	77	41	80	NE 1	SW 1	W 0	1	0	0	.	
26	−6.0	7.1	2.9	1.3	−1.2	621.0	620.5	621.8	92	61	92	SW 0	SW 1	SW 0	0	1	10	.	
27	0.4	9.8	2.0	4.1	1.4	621.7	622.1	623.5	96	41	95	SE 0	NW 1	SW 0	9	7	2	.	
28	−1.2	13.4	3.4	5.2	2.3	624.1	623.5	624.9	100	34	90	SW 0	SE 0	SW 0	0	1	0	.	
29	0.6	14.0	4.6	6.4	3.3	625.3	624.8	625.7	99	43	92	SW 0	SE 0	W 0	0	4	2	.	
30	1.6	**16.1**	5.8	7.8	4.5	625.7	623.8	625.1	99	50	84	SW 0	SW 0	SW 0	0	1	2	.	
Mittel	−4.0	5.5	−0.5	0.3	—	621.4	621.2	622.2	91	47	80				3.5	4.0	4.4	Summe 16.5	

April 1955
Beobachter: *Couvent des Capucins*

Sion

$\lambda = 7° 21'$, $\beta = 46° 14'$,
$H_b = 548.6$ m, $G = -0.11$ mm.

1	3.4	9.1	6.6	6.4	−1.5	712.4	713.3	715.9	83	62	50	W 1	WSW 2	W 0	10	2	0	.	
2	2.2	13.4	7.4	7.7	−0.4	718.5	716.0	716.4	77	35	46	NNE 1	NNE 0	WNW 1	0	0	0	.	
3	2.8	15.0	9.8	9.2	1.0	717.4	716.0	717.5	85	40	50	ENE 0	WSW 1	WSW 0	1	8	5	.	
4	7.9	16.8	11.6	12.1	3.7	718.4	716.6	717.8	70	35	49	WSW 0	WSW 0	ENE 0	6	0	10	.	
5	10.1	16.2	13.0	13.1	4.6	718.0	717.9	716.9	65	48	60	ENE 0	WSW 0	**WSW** 0	6	7	9	.	
6	7.3	19.4	14.7	13.8	5.1	716.6	714.3	715.2	91	40	52	ENE 0	ENE 0	WNW 1	0	1	9	.	
7	10.6	12.9	9 5	10.9	2.1	717.5	718.5	720.6	82	75	75	WSW 1	**WSW** 0	W 0	10■	10	10	1.3	● 7½-10¼, 11¼-11½
8	7.8	16.0	10.1	11.3	2.3	721.4	719.7	720.1	81	45	74	NNE 0	NNE 0	WNW 1	6	10	10	.	
9	10.2	18.1	12.8	13.7	4.6	719.5	717.8	717.3	84	51	71	**WSW** 0	**WSW** 2	WSW 3	8	7	2	.	
10	10.0	16.1	10.7	12.3	3.0	718.8	717.7	718.5	74	44	53	WNW 1	WSW 3	WSW 2	5	2	0	.	⛈ II
11	9.2	14.7	9.2	11.0	1.6	719.9	718.3	720.2	64	54	91	WSW 2	WSW 3	WSW 2	9	10	10●	**1.5**	● 19-22, ⛈ n-n mU
12	8.6	14.4	9.9	11.0	1.4	720.3	720.7	722.0	77	**31**	52	WSW 1	E 1	W 1	10	2	0	.	
13	5.0	15.8	12.2	11.0	1.3	**723.7**	719.6	720.8	77	40	46	NNE 1	W 3	W 0	0	6	0	.	⛈ II
14	7.0	16.8	10.7	11.5	1.6	718.8	716.0	715.9	75	34	41	NNE 1	WSW 2	W 4	9	6	10	.	⛈ p-n, ⛈ III
15	5.6	10.8	5.2	7.2	−2.8	715.5	713.7	715.6	64	37	60	NNE 0	WNW 0	WNW 3	1	6	0	.	⛈ III
16	3.3	8.9	4.2	5.5	−4.7	715.7	714.4	715.3	75	37	54	W 0	WNW 1	WSW 0	2	7	0	.	
17	1.4	11.8	6.0	6.4	−3.9	717.9	716.7	718.8	66	41	70	NNE 0	WSW 2	W 1	1	2	0	.	
18	2.3	13.2	9.6	8.4	−2.1	721.1	717.8	716.8	89	48	55	**W** 0	WSW 2	**WSW** 0	0	0	0	.	
19	5.4	14.9	8.6	9.6	−1.0	716.1	713.4	714.1	74	42	53	NNE 0	WSW 2	WSW 1	0	0	0	.	
20	4.1	14.4	9.2	9.2	−1.6	715.5	713.4	714.4	65	44	56	NNE 0	W 2	W 1	0	0	0	.	
21	5.7	17.2	11.8	11.6	0.7	716.0	714.2	714.2	71	40	46	ENE 1	WSW 1	WSW 1	0	0	0	.	
22	6.5	17.4	11.2	11.7	0.6	715.5	713.4	713.7	70	42	47	NNE 0	WSW 2	WSW 1	0	0	0	.	
23	7.1	17.8	11.6	12.2	1.0	715 3	712.6	**712.3**	70	43	47	NNE 0	WSW 1	W 0	0	1	0	.	
24	7.6	19.8	14.5	14.0	2.6	713 7	**712.3**	713.4	66	35	41	ENE 1	WSW 2	NE 2	3	3	1	.	
25	7.0	16.3	11.2	11.5	0.0	714.9	713.8	714.3	76	53	62	W 1	WNW 2	WNW 1	0	1	0	.	
26	8.0	20.8	16.0	14.9	3.2	715.4	713.1	714.8	76	38	40	NE 1	NE 1	WSW 2	0	6	7	.	
27	12.8	21.4	14.5	16.2	4.4	716.1	715.1	715.7	60	41	54	**WSW** 0	WSW 1	WSW 0	8	3	0	.	
28	11.1	22.8	16.5	16.8	4.8	717.4	715.3	716.4	71	40	54	ENE 0	ENE 1	WSW 1	0	0	0	.	
29	13.1	24.4	18.4	18.6	6.5	717.8	715.4	716.3	71	38	51	NE 0	**NE** 0	WNW 0	0	2	4	.	
30	14.0	**24.7**	18.1	18.9	6.6	718.0	715.9	715.9	67	44	54	ENE 0	SSE 1	W 1	0	2	6	.	
Mittel	7.2	16.4	11.2	11.6	—	717.4	715.8	716.6	74	43	55				3.2	3.5	3.1	Summe 2.8	

$\lambda = 8° 57'$, $\beta = 46° 0'$,
$H_b = 276.2$ m, $G = -0.01$ mm.

Lugano

April 1955
Beobachter: *G. Vicari*

Tag	Lufttemperatur					Luftdruck			Relative Feuchtigkeit			Windrichtung und Stärke			Bewölkung			Niederschlag	Witterung
	7^{30}	13^{30}	21^{30}	Mittel	Abweich. vom Normalst	7^{30}	13^{30}	21^{30}	7^{30}	13^{30}	21^{30}	7^{30}	13^{30}	21^{30}	7^{30}	13^{30}	21^{30}		
1	4.4	14.4	7.2	8.7	−0.4	735.4	735.4	737.8	86	46	66	E 1	S 1	N 1	8	0	0	.	
2	3.2	14.4	8.2	8.6	−0.7	741.9	741.0	740.3	75	49	67	NW 1	S 1	N 1	0	1	0	.	
3	4.8	15.2	8.6	9.5	0.1	739.2	737.5	737.8	82	47	45	N 1	S 1	N 2	7	5	0	.	
4	6.4	17.4	12.4	12.1	2.5	739.3	738.0	738.9	75	46	41	N 1	S 1	N 2	4	5	0	.	
5	8.4	21.4	12.8	14.2	4.5	739.5	737.9	739.0	63	36	49	N 1	S 1	NE 1	1	6	1	.	
6	8.2	19.0	12.2	13.1	3.3	739.8	738.1	739.9	91	44	65	S 1	S 1	N 1	0	0	0	.	
7	9.2	17.8	12.6	13.2	3.2	740.8	741.0	742.3	88	42	59	SE 1	S 1	N 1	10	5	7	.	
8	8.0	18.4	13.4	13.3	3.2	742.6	741.5	741.2	73	47	68	N 1	S 1	N 1	1	1	3	.	
9	8.6	22.4	14.4	15.1	4.9	739.2	737.7	739.1	83	41	77	N 1	S 1	S 1	4	2	10	.	
10	10.4	17.4	15.8	14.5	4.1	740.3	738.3	739.4	88	54	32	— 0	E 1	N 1	10	8	9	.	
11	10.4	21.0	18.2	16.5	6.0	741.0	738.0	737.8	75	43	29	N 1	SSE 1	N 2	4	10	0	.	
12	13.8	18.0	12.4	14.7	4.1	738.9	740.2	744.1	38	30	38	N 1	N 2	N 1	4	0	0	.	
13	7.4	19.4	12.2	13.0	2.2	**744.8**	743.2	742.9	48	39	47	N 1	S 1	N 1	1	0	0	.	
14	8.0	21.4	12.2	13.9	3.0	739.1	735.8	736.3	64	31	31	N 1	NNE 2	N 2	1	1	0	.	
15	9.4	16.4	8.2	11.3	0.3	736.3	735.5	736.8	39	29	37	N 1	N 3	N 2	0	1	0	.	8-13½
16	9.2	15.4	7.2	10.6	−0.6	736.3	735.8	737.2	35	28	33	W 1	N 2	N 2	0	0	0	.	
17	5.2	14.2	9.8	9.7	−1.6	739.1	739.3	741.1	46	39	51	N 1	S 1	N 1	5	9	0	.	
18	4.6	18.4	14.2	12.4	1.0	741.2	737.7	737.7	59	39	34	N 1	SE 1	N 2	1	0	0	.	
19	6.6	16.4	10.4	11.1	−0.5	739 7	737.2	737.6	81	47	71	SSW 1	S 1	E 1	4	1	0	.	
20	8.2	15.8	9.8	11.3	−0.4	739.8	738.7	738.6	63	47	59	S 1	S 1	N 1	9	0	0	.	
21	6.4	19.2	11.4	12.3	0.5	739.5	737.7	737.3	77	46	62	N 1	S 1	SW 1	0	0	0	.	
22	7.4	18.6	12.8	12.9	0.9	738.0	737.3	736.8	76	47	58	NE 1	S 1	N 1	0	0	0	.	
23	10.8	16.8	11.8	13.1	1.0	738.4	736.7	736.4	86	59	68	W 1	S 1	N 1	9	5	3	.	
24	9.4	21.2	16.2	15.6	3.4	736.2	734.0	**733.8**	93	44	35	SE 1	S 1	N 2	0	2	0	.	
25	13.6	25.8	13.2	17.5	5.1	734.3	734.3	737.1	40	**23**	77	S 1	NNE 2	N 1	0	0	0	.	
26	11.4	15.0	12.2	12.9	0.4	740.6	740.6	739.8	75	63	66	S 1	S 1	N 1	10	10	10	.	
27	9.6	21.4	13.2	14.7	2.1	740.3	739.5	740.1	87	48	81	N 1	S 1	N 1	0	1	5	.	
28	11.6	22.8	16.2	16.9	4.1	741.9	740.4	740.7	96	48	60	SW 1	S 1	N 1	5	1	0	.	
29	12.2	24.4	17.6	18.1	5.2	742.1	740.9	740.8	91	39	49	— 0	S 1	N 1	0	0	8	.	
30	13.0	**26.8**	18.4	19.4	6.3	741.7	739.9	739.5	71	37	54	NNE 1	S 1	N 1	0	0	0	.	
																		Summe	
Mittel	8.7	18.9	12.5	13.4	—	739.6	738.3	738.9	71	43	54				3.3	2.5	1.6	0.0	

$\lambda = 7° 35'$, $\beta = 47° 33'$,
$H_b = 317.3$ m, $G = 0.11$ mm.

Basel

April 1955
Beobachter: *Astronom.-Meteorol. Anstalt*

1	−2.0	10.4	4.6	4.3	−2.2	734.5	736.0	738.6	84	39	65	SSW 0	N 1	WNW 1	0	0	10	.	⌊ I
2	0.2	12.2	4.6	5.7	−0.9	739.8	737.5	736.5	92	40	76	SW 0	N 1	SSW 0	0	0	0	.	⌊ I
3	2.6	15.4	8.0	8.7	2.0	737.0	736.7	737.3	79	45	69	ESE 1	NW 1	SSW 1	1	9	8	0.0	● 16½, ⊕ II, ⌊ I
4	9.4	16.3	8.6	11.4	4.5	738.2	738.0	738.2	65	41	85	SSW 1	WNW 2	SSE 1	8	8	10	0.9	● 19¾-20¾, 21½-21¾
5	8.0	15.6	12.3	12.0	5.0	738.3	737.6	736.6	86	55	76	ESE 1	NNW 1	ESE 1	9	8	9	0.0	● 0½, 18¾-19, ◠ 19
6	7.0	21.0	12.4	13.5	6.3	735.6	734.4	734.5	77	27	60	ESE 1	NE 1	WSW 0	1	2	8	0.3	☿ 23
7	10.8	12.0	10.3	11.0	3.7	737.4	739.4	741.9	72	64	63	WSW 2	W 1	WNW 1	10●	9	10	0.0	● 6-7½, 22¼
8	5.8	12.3	9.4	9.2	1.8	741.4	740.4	740.0	87	70	88	E 1	W 1	WSW 1	10	10●	10●	11.2	● 13¾-13¾, 14¾-15, 16-24
9	9.6	14.6	9.0	11.1	3.5	739.7	739.6	740.2	92	60	67	WSW 1	WNW 2	WNW 1	9	9	8	.	● 0-7¼
10	8.2	13.8	9.9	10.6	2.9	740.8	739.4	739.6	91	45	51	WSW 0	WNW 1	W 1	9	7	9	2.0	● 22¼-24
11	8.9	10.0	10.5	9.8	1.9	739.3	739.2	739.8	81	87	81	WSW 1	W 1	SW 1	10●	10●	10	3.0	● 0-3, 6¾-7¾, 9-16¾ mU
12	7.5	11.9	5.5	8.3	0.3	742.1	743.6	**744.7**	79	45	76	W 1	NNW 1	SW 1	9	3	4	.	
13	4.2	14.9	7.8	9.0	0.9	744.6	743.7	742.3	77	44	82	E 1	WNW 1	SSW 1	4	9	5	.	
14	6.9	12.0	7.1	8.7	0.4	739.7	739.0	738.8	84	40	52	NNE 1	NNW 1	NNE 1	9	4	6	.	
15	3.4	9.1	3.9	5.5	−2.9	737.8	737.2	738.6	80	47	87	WNW 1	NNW 2	W 1	2	5	9	0.6	● 17½-18, 19½-19¾
16	3.0	6.0	2.0	3.7	−4.9	738.2	738.2	739.3	87	49	78	NW 1	E 1	E 1	9	10*	2	0.2	● 8½-9¼, ✶ 9¼-10, ✶fl 13½,
17	0.8	7.4	3.7	4.0	−4.7	740.2	741.1	742.3	87	46	60	W 1	N 1	E 1	6	9	3	.	⌊⌊ I [16½-17, 18-18¾
18	0.9	12.9	5.9	6.6	−2.3	742.3	740.7	739.4	84	38	56	SSW 1	NNW 2	WNW 1	4	1	0	.	⌊ I
19	1.5	12.4	4.4	6.1	−2.9	739.0	737.4	736.8	76	31	51	WNW 1	NNW 1	NW 0	0	1	2	.	⌊⌊ I
20	1.0	12.4	5.6	6.3	−2.8	736.6	735.5	735.1	81	28	70	W 0	N 1	SSW 1	0	0	0	.	⌊ I
21	4.2	15.7	7.7	9.2	−0.1	735.6	735.4	735.8	65	**24**	60	SE 0	N 1	WNW 1	0	0	0	.	
22	3.6	13.9	7.1	8.2	−1.2	736.5	735.8	735.8	80	37	54	SSW 0	NW 1	WNW 1	0	1	0	.	
23	3.2	14.8	6.7	8.2	−1.4	735.8	733.8	**732.8**	70	33	53	SW 0	NNW 1	WSW 1	0	0	0	.	
24	6.0	18.6	8.2	10.9	1.2	732.9	**732.8**	735.7	63	26	54	SE 0	WNW 2	NW 1	0	2	0	.	
25	2.4	12.2	3.7	6.1	−3.7	738.0	737.2	736.0	66	37	64	WNW 1	NW 1	SW 1	0	0	0	.	
26	5.9	18.7	11.3	12.0	2.0	734.4	733.1	734.3	51	34	51	ESE 1	E 1	SW 1	1	8	10	0.0	15¾
27	10.8	19.2	11.8	13.9	3.8	735.9	735.7	735.7	77	42	64	SSE 1	W 0	SSW 1	10	9	0	.	tr 5¾-6
28	10.9	23.6	14.8	16.4	6.1	736.1	735.5	735.5	68	35	63	ESE 1	NW 1	S 1	0	1	0	.	
29	14.0	**26.9**	16.8	19.2	8.8	736.4	735.2	735.0	74	34	63	SW 0	S 1	SSW 1	1	1	0	0.0	tr n (29./30.)
30	13.1	25.9	16.9	18.6	8.1	736.9	735.8	735.1	78	31	56	E 1	W 1	S 0	8	1	0	.	
																		Summe	
Mittel	5.7	14.7	8.4	9.6	—	738.0	737.5	737.7	78	42	66				4.3	4.6	4.4	18.2	

April 1955
Beobachter: *Observatorium*

Säntis

$\lambda = 9° 20'$, $\beta = 47° 15'$, $H_b = 2500.1$ m, $G = -0.27$ mm.

Tag	Lufttemperatur 7³⁰	13³⁰	21³⁰	Mittel	Abweich. vom Normalst	Luftdruck 7³⁰	13³⁰	21³⁰	Relative Feuchtigkeit 7³⁰	13³⁰	21³⁰	Windrichtung und Stärke 7³⁰	13³⁰	21³⁰	Bewölkung 7³⁰	13³⁰	21³⁰	Niederschlag	Witterung	
1	-8.9	-8.4	-11.2	-9.5	-3.1	556.3	558.6	561.1	22	20	100	NNE 2	N 1	SSW 1	1	1	0	.		⧆
2	-6.2	-1.2	-5.5	-4.3	2.0	562.2	562.9	562.4	47	27	48	NNE 2	NE 1	WSW 3	0	1	1	.		⧆
3	-6.6	-5.4	-5.6	-5.9	0.3	561.3	562.3	563.2	93	87	100	W 3	W 3	WNW 3	4	8	10≡	2.2	✱ 15-17, n (3./4.), *)	⧆
4	-6.7	-4.6	-5.3	-5.5	0.7	562.2	563.4	563.4	100	100	100	W 3	W 3	NW 3	10≡✱	10≡	10≡✱	21.3	✱ n-9½, 15½-17, 19-n, *)	⧆
5	-5.2	-2.3	-4.5	-4.0	2.1	563.2	563.7	564.4	100	100	100	W 3	W 3	W 3	10≡	10≡	10	6.1	✱ 15½-20, ≡ n-20¾, *)	⧆
6	-3.4	-0.3	-1.4	-1.7	4.3	563.2	563.7	564.2	92	84	85	W 2	W 2	W 2	1	1	1	0.3	✱ n (6./7.)	⧆
7	-1.8	-1.8	-5.8	-3.1	2.8	564.0	564.6	566.0	100	100	100	W 2	W 3	NW 3	10≡✱	10≡✱	10≡✱	25.0	✱ 6¾-n, ≡ 5-n, ⋁ 16-n	⧆
8	-6.4	-3.1	-4.2	-4.6	1.3	565.1	565.3	564.3	100	93	100	W 2	WSW 3	W 4	10≡	10	10≡✱	24.6	✱ 13¾-n, ≡ n-n, ⇸ ⸙ 17-n	⧆
9	-4.0	-0.8	-2.7	-2.5	3.3	564.2	565.5	565.0	100	100	100	W 4	WSW 3	W 3	10≡✱	10≡	10≡	29.7	✱ n-12, 16¾-19, n (9./10.),	⧆
10	-5.8	-5.6	-5.6	-5.7	0.0	564.1	563.6	563.7	100	100	100	W 2	W 2	W 3	10≡	10≡	10≡	12.7	✱ 8-11, 14-15½, ▽̈ 16¾-17½, *)	⧆
11	-5.9	-4.2	-5.2	-5.1	0.5	563.1	563.5	564.0	100	100	100	W 4	W 4	W 4	10≡✱	10≡	10≡	45.8	✱ n-12, 14-20½, ≡ ⸙ n-n, *)	⧆
12	-8.8	-7.8	-9.3	-8.6	-3.1	562.9	565.2	567.7	100	100	96	W 1	N 2	N 1	10≡✱	10≡✱	1	13.2	✱ 6¾-17, ≡ ⋁ n-19	⧆
13	-7.9	-6.8	-5.0	-6.6	-1.2	567.4	568.0	567.6	70	80	95	ENE 2	NW 3	W 2	4	7	7	0.0	≡ 14-18¾, 19¼-21	⧆
14	-5.0	-6.6	-10.7	-7.4	-2.1	563.2	561.5	560.9	100	100	100	W 2	WNW 3	NNE 3	10≡	10≡	10≡✱	8.0	✱ △ 8½-10, ✱ 14-n, *)	⧆
15	-12.0	-9.8	-12.0	-11.3	-6.1	558.5	558.7	559.1	100	100	100	N 2	N 2	NNE 3	10≡✱	10≡✱	10≡✱	5.7	✱ ≡ n-n, ⋁ n-9, 16-n	⧆
16	-13.4	-11.9	-13.2	-12.8	-7.8	557.9	558.5	558.5	100	100	100	N 3	NNE 3	NNE 3	10≡✱	10≡✱	10≡✱	0.0	✱ n-16½, 19-n, *)	⧆
17	-11.8	-9.0	-12.0	-10.9	-6.0	562.5	562.5	564.3	100	97	40	ENE 4	ENE 3	ENE 3	8	5	10	0.0	≡ n-7, ⋁ n-8, ⸙ n-10½	⧆
18	-9.4	-6.8	-9.6	-8.6	-3.8	564.1	563.9	562.4	100	92	100	NE 3	NNW 2	NNW 3	10≡✱	10≡✱	10≡	0.0	✱ 7-7½, 12¾-16, ≡ n-n,	⧆
19	-13.0	-7.4	-12.2	-10.9	-6.3	560.5	560.5	560.0	38	92	90	NNE 3	E 1	S 1	0	7	0	0.0	≡ 17-19½ [⋁ n-7, 17-n	⧆
20	-8.8	-5.8	-7.3	-7.3	-2.5	559.1	560.2	561.1	42	84	86	N 2	W 2	W 2	0	3	3	0.0		⧆
21	-5.0	-4.5	-6.0	-5.2	-0.9	561.0	561.9	561.8	65	80	100	W 2	W 2	W 2	1	1	0	0.0		⧆
22	-6.8	-3.3	-5.9	-5.3	-1.1	560.4	561.2	561.0	100	88	96	W 3	W 3	W 3	3	10≡	4	.	≡ 9-20	⧆
23	-6.1	-2.9	-5.4	-4.8	-0.8	560.1	560.3	560.2	100	97	48	W 3	W 3	W 2	1	10≡	2	.	≡ 9½-17½	⧆
24	-4.8	-3.6	-5.8	-4.7	-0.9	559.2	559.8	560.8	93	84	100	W 3	W 3	WNW 3	9	5	10≡✱	1.7	✱ 20½-n, ≡ n-6½, 18¾-n	⧆
25	-7.8	-5.8	-5.3	-6.3	-2.6	559.8	561.4	562.1	97	71	32	W 3	SW 2	WSW 2	10≡	1	1	.	≡⋁ n-10	⧆
26	-1.7	0.5	-3.8	-1.7	1.8	561.5	562.1	562.7	30	75	85	W 2	WSW 3	WNW 3	3	6	9	0.9	✱ n (26./27.)	⧆
27	-4.6	-1.6	-1.2	-2.5	0.8	562.4	563.9	564.7	100	97	98	W 4	WSW 3	W 3	10≡✱	9	2	0.8	✱ n-8¾, 9½-11, ≡ 4-11. ⸙ I	⧆
28	0.9	4.6	2.2	2.6	5.7	565.4	566.5	567.2	87	69	88	W 2	SW 1	S 1	2	3	0	.		⧆
29	6.0	6.2	3.7	5.3	8.2	567.1	567.5	567.5	60	72	83	SSW 1	SSW 1	S 2	5	1	0	.		⧆
30	4.1	5.4	3.6	4.4	7.1	567.6	567.6	567.2	96	84	94	W 1	SE 1	SW 1	4	4	1	.		⧆
Mittel	-5.9	-3.8	-5.7	-5.1	—	562.3	562.9	563.3	84	86	89				6.2	6.8	5.7	Summe 198.0		

April 1955
Beobachter: *E. Chiesa*

St. Gotthard (Hospiz)

$\lambda = 8° 34'$, $\beta = 46° 33'$, $H_b = 2095$ m, $G = -0.25$ mm.

Tag	Lufttemperatur 7³⁰	13³⁰	21³⁰	Mittel	Abweich. vom Normalst	Luftdruck 7³⁰	13³⁰	21³⁰	Relative Feuchtigkeit 7³⁰	13³⁰	21³⁰	Windrichtung und Stärke 7³⁰	13³⁰	21³⁰	Bewölkung 7³⁰	13³⁰	21³⁰	Niederschlag	Witterung	
1	-8.6	-6.8	-8.0	-7.8	-3.2	585.6	587.8	590.8	75	88	96	NW 1	NW 2	NW 3	0	0	10	.	≡ 14¼-n mU, ⸙ III	⧆
2	-6.6	0.3	-4.2	-3.5	1.0	591.7	592.0	591.7	44	31	42	NW 1	NW 1	NW 0	0	0	0	.		⧆
3	-5.6	-1.1	-2.8	-3.2	1.3	590.7	591.2	592.0	80	80	83	NW 2	NW 2	NW 3	0	9	10	.	⸙ III	⧆
4	-3.6	0.8	-2.9	-1.9	2.5	591.9	592.5	592.4	98	58	98	NW 2	NW 2	NW 3	10≡	6	10	1.0	✱ 16½-n mU, ≡ n-a, ⇸ ⸙ p-n	⧆
5	-2.8	0.5	-1.2	-1.2	3.1	592.5	593.3	593.6	97	98	93	NW 2	NW 2	NW 2	10≡	10	9≡	0.1	✱fl 15½-21 mU, ≡ n-n mU	⧆
6	-1.2	2.3	-0.2	0.3	4.5	592.8	592.8	593.4	72	55	70	NW 0	NW 1	NW 0	0	0	0	.		⧆
7	0.5	-0.4	-3.0	-1.0	3.1	593.2	593.9	595.2	98	97	98	NW 1	NW 1	NW 2	10	10	10≡	4.2	✱ 12¾-n mU, ≡ 8-n mU	⧆
8	-4.0	0.8	-1.0	-1.4	2.6	595.1	595.1	594.6	96	64	98	NW 1	NW 1	NW 1	6	9	10≡✱	2.0	✱ ≡ 15½-n mU	⧆
9	-1.4	0.8	0.2	-0.1	3.7	593.8	594.4	594.3	98	87	99	NW 3	NW 2	NW 1	10✱≡	10≡	10≡,	3.0	✱ n-a, , p-n, ≡ n-n mU	⧆
10	-2.2	-1.3	-3.0	-2.2	1.4	593.7	593.6	593.4	98	95	98	NW 2	NW 1	NW 3	10≡	6	10	2.7	✱ n (10./11.), ≡ n-a, 17½-n *)	⧆
11	-2.8	-0.7	-2.4	-2.0	1.5	593.0	593.4	593.7	95	98	100	NW 2	NW 2	NW 2	10≡	10✱≡	10✱≡	6.6	✱ 12¾-n, ≡ ⇸ n-n	⧆
12	-4.7	-4.0	-6.1	-4.9	-1.6	592.1	594.3	596.8	94	93	91	NW 3	NW 3	NW 3	10✱≡	10≡	0	1.9	✱ n-a, ≡ n-15½, ⸙ n-n	⧆
13	-4.6	-1.1	-3.5	-3.1	0.0	596.8	597.2	596.9	40	52	81	NW 1	NW 2	NW 1	0	0	0	.		⧆
14	-3.3	-2.6	-7.0	-4.3	-1.4	593.3	591.2	590.0	98	98	95	NW 1	NW 2	NW 3	10	10✱≡	10✱≡	1.6	✱ 8¾-n, ≡ a-n, ⸙ ⇸ 14-n	⧆
15	-9.6	-5.7	-8.8	-8.0	-5.3	588.1	588.4	588.6	83	84	95	NW 2	NW 1	NW 3	10✱≡	10≡	10✱≡	1.1	✱ ⸙ ⇸ n-n mU, ≡ n-n	⧆
16	-10.0	-8.0	-10.4	-9.5	-7.0	587.8	587.9	588.8	91	87	94	NW 2	NW 2	NW 2	10≡	9	10≡	1.3	≡ n-n mU, ⇸ 13¼-n	⧆
17	-9.0	-4.9	-6.6	-6.8	-4.5	589.5	591.2	593.3	84	83	98	NW 2	NW 2	NW 2	9	0	10≡	.	≡ 15½-n mU	⧆
18	-8.2	-4.0	-5.0	-5.7	-3.6	593.0	592.9	591.4	82	78	98	NW 2	NW 3	NW 2	0	0	10≡	0.7	⇸ ⸙ p-n, ≡ 18¼-n	⧆
19	-8.1	-4.6	-7.6	-6.8	-4.9	590.1	589.8	589.6	95	96	96	NW 1	NW 1	NW 2	6	0	0	.		⧆
20	-8.6	-2.3	-4.4	-5.1	-3.4	588.9	589.8	590.5	73	45	65	SE 0	NW 1	NW 1	0	0	0	.		⧆
21	-3.2	1.1	-2.2	-1.4	0.1	590.5	593.3	591.0	40	47	86	NW 1	NW 1	NW 1	0	0	0	.		⧆
22	-5.0	0.5	-2.4	-2.3	-1.0	590.3	590.8	590.8	83	64	93	NW 1	NW 1	NW 1	0	0	0	.		⧆
23	-4.2	3.0	-2.0	-1.1	0.0	590.4	590.4	590.1	77	54	85	SE 0	SE 0	NW 0	0	0	0	.		⧆
24	-2.5	2.7	-1.1	-0.3	0.6	589.4	589.6	589.7	78	47	82	SE 0	NW 1	NW 2	0	3	6	.		⧆
25	-5.2	-2.0	-2.8	-3.3	-2.6	589.5	590.9	591.3	96	74	81	NW 2	NW 2	NW 1	10≡	0	0	.	≡ n-9¼	⧆
26	-3.1	4.2	0.2	0.4	0.9	591.5	592.0	592.4	78	67	98	SE 0	SE 1	SE 0	0	6	10≡	.	≡ 18-n mU	⧆
27	0.7	5.5	1.6	2.6	2.9	592.5	593.4	593.9	73	35	97	NW 1	NW 0	NW 0	9	6	0	.		⧆
28	1.1	7.3	2.2	3.5	3.6	594.6	595.2	596.2	81	53	95	SE 0	SE 0	SE 0	0	0	3	.		⧆
29	4.2	9.5	3.8	5.8	5.7	596.1	596.1	596.6	72	35	83	SE 0	SE 0	SE 0	0	6	0	.		⧆
30	4.3	9.5	3.4	5.7	5.4	596.5	596.3	596.0	72	53	85	SE 0	SE 1	SE 0	0	0	0	.		⧆
Mittel	-3.9	0.0	-2.9	-2.3	—	591.8	592.4	592.6	81	70	89				4.7	4.3	5.3	Summe 26.2	*) 10. mU, ⋁ n-a, ⇸ ⸙ p-n	

*) Säntis: **3.** ≡ 7½-11½, 13½-n mU **4.** △▽ 17-17¾, ⇲ 17¼, ≡ n-n, ⋁ n-10½ **5.** ⋁ n-9, 17-20 **9.** ⋁ n-n, ⸙ I **10.** ▽̈ 18-18¾, ≡ n-n ⋁ n-15, 17-n **11.** ⇸ n-12, 14¼-n **14.** ≡ ⇸ n-n, ⋁ n-14, 19-n **16.** ≡ n-17¼, 17¾-n, ⇸⋁ n-n

$\lambda = 7°\,26'$, $\beta = 46°\,57'$,
$H_b = 572.2$ m, $G = 0.00$ mm.

Bern

Mai 1955
Beobachter: *Meteorologisches Observatorium*

Tag	Lufttemperatur					Luftdruck			Relative Feuchtigkeit			Windrichtung und Stärke			Bewölkung			Niederschlag	Witterung
	7³⁰	13³⁰	21³⁰	Mittel	Abweich. vom Normalst	7³⁰	13³⁰	21³⁰	7³⁰	13³⁰	21³⁰	7³⁰	13³⁰	21³⁰	7³⁰	13³⁰	21³⁰		
1	13.5	22.2	18.4	18.0	7.6	714.5	711.4	709.8	75	44	44	S 0	SW 1	W 0	5	5	2	0.0	
2	14.6	19.2	10.2	14.7	4.1	708.8	707.0	709.2	69	48	89	W 1	SW 2	W 2	9	9	8●	7.5	●tr 2–3 mU, 17¼–24 mU
3	8.3	13.0	9.6	10.3	−0.4	710.3	710.0	709.2	85	44	69	SW 0	WNW 1	W 0	9	8	0	.	● 0–1¼
4	7.4	11.8	12.8	10.7	−0.2	708.6	710.2	710.8	79	78	76	S 0	NW 2	WSW 2	8	7	10	1.5	● 10¾–12¾, ⧋ I
5	12.9	19.8	16.4	16.4	5.4	713.1	713.2	714.5	80	48	64	W 1	WSW 3	WSW 0	8	7	4	.	● 0¾–2¾,, ⊕ I, II, ⌿ II
6	13.8	23.2	14 4	17.1	6.0	714.1	710.5	712.6	76	45	97	SE 0	W 1	WSW 1	1	9	10●	11.6	⛆ 18½, 19¼–19½, ● 20¼–24, ⊕ II
7	10.0	14.3	10.3	11.5	0.2	716.3	717.5	720.1	75	38	63	W 1	W 1	NW 0	9	4	5	.	● 0–2 mU
8	7.8	16.4	13.2	12.5	1.1	720.6	718.8	717.9	81	43	69	SE 0	E 1	— 0	1	1	1	.	⧋ I
9	10.5	20.6	16.0	15.7	4.2	716.7	714.3	713.0	79	43	46	SE 0	W 1	SW 0	7	8	2	0.1	⧋ I, ⊕ II
10	13.8	14.7	11.2	13.2	1.5	712.3	711.9	713.6	65	87	82	W 1	W 1	WSW 0	9	9	9	3.5	⛆ 3¾, ● 12½–13¼, 14¼–20¼ mU, ⊕ [6½–7¼
11	10.4	11.2	6.6	9.4	−2.4	712.0	711.2	714.6	93	89	100	SE 0	NW 1	SSE 0	10	10●	10●	15.4	● 1½–2½, 6–6½, 10½–24 mU
12	7.9	12.8	9.6	10.1	−1.8	715.8	715.0	713.3	89	56	80	NE 1	N 1	SW 0	5	5	1	.	● 0–1½
13	8.4	19.8	15.2	14.5	2.4	713.0	711.2	709.6	87	42	45	S 0	W 2	S 0	5	7	4	0.2	⧋ I
14	13.4	12.4	10.7	12.2	0.0	708.3	707.8	707.3	77	84	98	W 1	SW 1	SW 0	10	10●	10●	25.3	● 5½–5¾, 9¾–14¼, 18¼–24
15	8.7	8.4	6.4	7.8	−4.5	706.7	709.0	711.3	95	70	74	WSW 1	SW 1	SW 0	10●	9	9	8.2	● 0–11¾, 22¾–23¾, ⛆ 15¼–15½
16	5.4	12.8	11.4	9.9	−2.5	712.2	711.3	709.3	80	38	58	SW 0	W 2	E 0	7	3	5	.	
17	12.2	12.7	10.6	11.8	−0.8	**706.5**	707.3	708.5	68	97	96	SE 0	SSE 1	SW 1	9	10●	10●	32.8	● 11–13¾, 15–16¼, 17–24
18	5.2	8.4	6.1	6.6	−6.1	710.0	711.3	713.8	93	57	83	W 1	SW 1	W 0	10●	9	9●	1.2	● 0–8¾, 20¾–22½
19	5.8	9.2	8.0	7.7	−5.1	716.5	717.0	717.6	74	46	54	W 1	W 1	W 0	8	7	6	0.0	⛆ 6–6¼, ●tr 15¼–15½
20	7.7	12.3	7.8	9.3	−3.6	718.1	716.8	716.6	72	39	52	SE 0	W 2	N 1	1	7	4	.	⊕ 15½
21	7.2	13.3	9.3	9.9	−3.2	716.3	715.4	714.7	72	38	64	SE 0	W 1	NW 0	6	5	9	2.3	● 20¾–21½, ⛆ 22–22¾
22	6.0	8.7	6.1	6.9	−6.3	718.3	**721.2**	721.1	91	61	75	W 1	ESE 1	NE 1	9	9	0	.	● 0¾–3, 5¼–6¼, 7¼–7½
23	6.0	14.2	11.3	10.5	−2.8	719.6	718.0	716.6	78	45	52	NE 0	N 1	NE 0	0	1	0	.	⧋ I
24	8.7	19.0	15.0	14.2	0.8	715.9	713.7	711.9	76	**32**	50	S 0	W 1	NE 0	3	3	1	.	⧋ I
25	11.8	20.4	13.8	15.3	1.8	711.7	709.5	710.4	74	41	82	E 0	SW 0	E 1	4	8	9	0.1	●tr 19–19¼, 22¾–24
26	12.6	19.6	13.8	15.3	1.6	710.8	709.4	710.1	85	54	85	SE 0	SE 0	E 1	7	7	6	2.4	●tr 0–0¼, 6–6½
27	12.4	13.7	7.6	11.2	−2.6	711.0	711.5	714.2	96	94	95	S 0	SW 1	SE 0	10	10●	6	15.7	● 1¾–3¼, 6–6¾, 8¼–10, 11⅜–
28	7.9	14.9	11.6	11.5	−2.4	713.2	711.7	713.5	95	64	77	SE 0	**W** 1	W 2	9	10	9	0.3	● 19–19¾, ⧋ I [18, Ψ III
29	9.6	12.2	9.4	10.4	−3.6	714.5	714.8	716.0	84	61	93	SW 0	NE 0	NNE 1	8	9	9	1.7	●tr 5¾–6, 12½–12¾, 19¼–20¼
30	8.8	15.1	12.2	12.0	−2.1	716.1	715.8	715.8	87	48	57	N 1	NE 2	NNW 1	5	5	3	.	⧋ I
31	10.7	17.9	13.8	14.1	−0.1	715.6	714.4	713.5	70	41	47	NE 0	NE 1	NE 0	0	1	1	.	⧋ I
																		Summe	
Mittel	9.7	15.0	11.3	12.0	—	713.5	712.8	713.2	81	55	71				6.5	6.8	5.5	129.8	

$\lambda = 6°\,57'$, $\beta = 47°\,0'$,
$H_b = 487.3$ m, $G = 0.02$ mm.

Neuchâtel

Mai 1955
Beobachter: *Observatorium*

1	13.4	24.2	15.8	17.8	6.7	721.1	719.3	717.3	80	35	53	N 0	SE 0	SW 0	3	2	4	0.3	
2	12.7	17.8	9.5	13.3	2.0	716.6	714.2	716.9	86	51	88	SW 0	SW 3	W 0	10	10	10	4.7	● 6¼–7, 14–14½, 16¼–19¾, 22, ⌿ 13½–
3	9.5	14.6	9.3	11.1	−0.3	718.0	717.6	716.5	88	44	71	SE 1	S 1	W 0	6	8	0	.	● 6¼–6½ [16¾
4	7.6	10.8	13.4	10.6	−1.0	716.2	718.0	718.3	83	78	67	N 0	SW 3	SW 2	9	9	10	2.7	● 10–12½, ⌿ 10–n mU
5	12.2	17.7	16.8	15.6	3.9	720.7	720.9	721.8	75	57	61	SW 2	SW 3	W 1	8	8	4	.	● 0¼–1¾, ⌿ II
6	13.9	23.9	14.0	17.3	5.5	721.5	717.9	719.6	79	44	91	N 0	SW 2	SW 2	1	8	10●	3.0	● 17¾–22½, ⛥ 17–17¾, ⌿ 16¾–19¾
7	11.1	14.3	11.6	12.3	0.3	724.0	725.5	727.3	56	37	51	SW 2	W 2	NW 3	8	7	9	.	⌿ 20–23
8	9.0	19.4	11.7	13.4	1.3	728.3	726.5	725.2	78	**28**	48	E 1	E 2	W 0	0	0	0	.	
9	9.8	21.5	15.6	15.6	3.4	724.5	721.9	720.4	88	35	38	S 1	SW 2	W 1	7	8	0	.	⊕ 12½
10	14.6	16.8	13.4	14.9	2.5	719.8	718.7	721.0	49	54	52	SW 2	W 4	SW 1	9	10	10	.	⌿ 12½–18
11	11.6	12.2	8.0	10.6	−1.9	719.5	718.5	722.1	76	63	96	SW 0	W 3	E 0	10	10●	10●	9.3	●tr 11½–15¾, 15¾–23¾, ⌿ 9–
12	7.2	16.5	9.8	11.2	−1.4	723.5	722.7	720.9	94	57	75	NE 2	SE 1	NE 0	9	2	0	.	[15¾
13	8.1	20.2	16.2	14.8	2.0	720.7	718.7	716.8	88	30	50	NE 0	SW 3	SW 0	4	4	9	.	⌿ 11–19
14	13.8	12.5	10.3	12.2	−0.7	715.7	715.3	714.8	59	81	85	SW 3	SW 3	SW 1	10●	10	10●	10.0	●tr 7½, 11¼–16 mU, 16–24,
15	8.0	13.6	7.3	9.6	−3.4	714.5	716.3	719.1	83	56	62	SW 2	SW 2	NW 2	10	8	9	.	● n–7½ [⌿ n–17¼
16	5.9	15.8	12.5	11.4	−1.7	720.2	719.2	716.7	81	41	54	SE 0	S 1	W 0	8	2	10	.	
17	14.6	11.6	10.9	12.4	−0.9	**713.7**	715.0	715.6	45	95	97	W 2	SW 2	SW 1	10	10●	10●	43.3	● 9–24, ⛥ 17¾–18, ⌿ 10–
18	6.2	11.4	6.3	8.0	−5.4	717.4	718.6	721.2	91	43	63	SW 2	SW 3	NW 3	10	8	4	1.4	● 0–6¾, ⌿ n–n mU [13¼
19	5.7	10.9	8.8	8.3	−5.2	724.1	724.7	724 9	69	46	45	W 2	SW 2	NW 3	2	9	3	.	● 3¾–6, ⌿ 18¼–22¼
20	7.6	13.6	8.8	10.0	−3.6	725.9	724.7	724.2	63	50	43	SW 1	S 1	NW 3	1	6	2	0.0	●tr 9, 11½, ⌿ 19–22¾
21	6.4	14.3	9.6	10.1	−3.7	724.1	723.2	722.5	74	47	58	NE 0	S 1	NW 3	2	7	10	0.4	⌿ 17½–21¾
22	6.7	9.8	7.1	7.9	−6.0	726.2	729.1	**728.8**	78	51	58	SE 0	NW 2	N 0	9	6	0	.	● 1, 4–6
23	7.0	16.9	13.0	12.3	−1.7	727.6	725.9	724.1	67	41	39	NE 2	S 1	N 1	0	0	0	.	
24	8.5	20.0	16.4	15.0	0.9	723.7	721.3	719.3	78	34	40	SE 0	SE 0	NE 1	0	0	1	.	
25	10.8	20.9	12.9	14.9	0.7	719.1	717.1	717.9	73	33	86	SE 0	SE 0	N 0	1	7	10	1.1	● 16¼–17¾, ⛥ 15¾–17½, ⌿ 16–17¾, [⊕ II
26	13.2	17.2	11.6	14.0	−0.4	718.3	717.0	717.7	84	60	96	NW 0	NW 2	NW 0	2	9●	7	5.2	● 4–6, 13–14¾, 18¼–20¼
27	13.3	13.3	8.6	11.7	−2.8	718.4	718.8	721.9	94	94	86	SW 2	W 2	W 0	10●	10●	7	13 3	● 0½–1¾, 7¼–8¾, 10½–16
28	8.6	13.9	11.4	11.3	−3.3	721.0	719.4	720.9	94	77	60	W 0	SW 1	NW 3	10	10	9	0.5	● 18–18¾, ⌿ 15–18, 21¼–23¼
29	11.2	14.6	11.5	12.4	−2.3	722.1	722.4	723.5	80	66	75	SW 0	SE 0	NE 2	8	9	8	0.2	⛆ 2, 17¾
30	9.7	17.9	14.2	13.9	−0.9	723.7	723.5	723.2	74	51	48	NE 3	NE 3	NE 2	3	2	0	.	⌿ n–n mU
31	11.9	21.0	15.6	16.2	1.3	723.5	721.9	720.9	56	35	48	NE 2	E 2	NE 2	0	1	0	.	
																		Summe	
Mittel	10.0	16.1	11.7	12.6	—	721.1	720.4	720.7	76	52	64				5.8	6.5	5.7	95.4	

Mai 1955
Beobachter: *Frl. H. Nager*

Altdorf

$\lambda = 8° 39'$, $\beta = 46° 53'$,
$H_b = 456.3$ m, $G = -0.05$ mm.

Tag	Lufttemperatur					Luftdruck			Relative Feuchtigkeit			Windrichtung und Stärke			Bewölkung			Niederschlag	Witterung
	7^{30}	13^{30}	21^{30}	Mittel	Abweich. vom Normalst	7^{30}	13^{30}	21^{30}	7^{30}	13^{30}	21^{30}	7^{30}	13^{30}	21^{30}	7^{30}	13^{30}	21^{30}		
1	13.7	21.6	13.9	16.4	5.2	723.8	720.9	720.3	75	51	57	E o	NW 2	SE o	0	2	4	0.2	● n (1./2.)
2	14 6	20.4	11.2	15.4	4.1	718.5	**715.0**	718.8	85	52	75	SE o	NW 1	NW 2	7	8	10●	**16.5**	● 6½-n, ⚿ 2½
3	9.0	12.7	8.9	10.2	−1.3	720.3	719.8	719.6	91	58	70	S o	NW 1	E o	8	7	0	0.1	●tr a
4	8.4	15.0	10.4	11.3	−0.3	717.9	719.4	719.9	73	52	80	SE o	NW 1	NW o	5	10	6	.	
5	11.8	19.2	14.9	15.3	3.5	723.1	722.5	723.7	85	54	67	W o	NW 2	SW o	7	6	6	.	
6	13.3	**24.7**	17.5	18.5	6.6	724.3	719.9	720.1	75	**35**	73	E o	SE 2	NW 2	0	3	10	6.2	● n (6./7.)
7	12.4	14.6	10.0	12.3	0.2	725.3	727.1	730.2	62	50	85	NE 2	N 1	NW o	10	6	10	2.0	● 12¾, ⛆ p mU
8	10.2	16.3	11.9	12.8	0.6	730.6	728.9	728.1	66	55	75	SE o	W 1	E o	2	o	o	.	
9	9.5	18.7	13.7	13.6	1.3	726.9	723.9	723.2	77	47	69	SE o	NW 1	E o	2	7	o	.	
10	13.5	19.2	11.9	14.9	2.4	721.7	720.6	724.0	66	45	96	E o	W 2	NW o	7	9	10●	9.1	● 17-n
11	11.2	12.8	7.9	10.6	−2.0	722.3	721.0	724.1	99	78	86	E o	NW o	N o	10●	10●	10●	15.0	● n-n
12	8.6	13.7	9.0	10.4	−2.4	726.0	724.2	723.9	86	52	81	NE o	NW 1	E o	8	5	o	.	
13	8.7	17.3	14.5	13.5	0.6	722.9	720.9	719.7	85	51	65	W o	NW 2	SE o	o	4	7	.	
14	12.5	13.7	12.3	12.8	−0.2	717.7	717.2	716.8	85	82	97	SW o	NW 1	NW 2	10	10●	10●	7.0	● 12¾-n
15	10.0	8.3	6.3	8.2	−5.0	716.1	718.9	721.7	94	62	94	N o	NW 2	NW o	10●	10	10●	9.3	● n-n mU
16	6.4	13.3	8.8	9.5	−3.8	722.4	721.5	720.3	92	40	75	W 1	N 1	SW o	5	4	3	.	
17	15.3	14.8	13.6	14.6	1.2	717.0	717.1	717.0	41	43	72	**S** 3	E 2	NW o	7	10	10	1.9	● n (17./18.), ⛈ l
18	9.6	8.4	6.2	8.1	−5.4	718.1	721.6	723.4	73	83	93	NW 1	N o	N o	10●	10●	6	6.4	● n-17
19	6.9	9.7	7.5	8.0	−5.7	716.1	726.9	728.3	80	51	74	E o	NW 1	NW o	9	9	10	2.1	● p-n mU
20	7.7	12.9	9.5	10.0	−3.8	728.4	726.0	726.1	86	43	70	E o	NW 2	E o	7	7	10	0.1	●tr p
21	8.2	12.2	8.9	9.8	−4.1	726.3	725.4	725.1	82	45	66	E o	NW 1	W 1	10	10	9	7.1	●tr a, n (21./22.)
22	7.1	9.4	6.9	7.8	−6.2	727.2	731.6	**732.0**	70	49	73	W 2	N 1	N o	10●	10	5	4.8	● n-a
23	**4.0**	13.5	9.5	9.0	−5.1	730.1	728.5	727.2	75	54	75	E o	NW 2	E o	o	o	2	.	
24	8.2	18.9	13.5	13.5	−0.7	725.9	723.4	722.2	76	42	62	E o	NW 1	E 1	o	o	o	.	
25	11.5	19.6	12.8	14.6	0.3	721.0	719.0	721.7	85	48	99	E o	NW 2	NW o	3	6	10	10.2	● 16¾-n mU, ⚿ 18¾
26	12.8	18.2	12.5	14.5	0.1	720.6	719.6	720.4	86	55	84	E o	N o	NW o	9	7	3	3.8	● 15-20
27	12.3	14.3	9.7	12.1	−2.4	720.5	720.1	724.9	92	87	93	NE o	W o	N o	10●	10●	10	7.9	● n-17¼
28	10.8	17.0	11.8	13.2	−1.4	723.1	720.8	723.1	93	49	98	N o	NW 2	E o	9	8	10●	11.1	● p-n
29	10.7	16.1	10.5	12.4	−2.3	723.8	724.7	726.4	89	59	86	E 2	NW 1	W o	10●	8	10	0.1	● n-a
30	10.2	16.4	12.2	12.9	−1.9	726.4	725.5	725.8	86	57	66	W o	NW 1	N o	7	7	3	.	
31	10.3	18.5	13.1	14.0	−0.9	726.4	723.8	724.0	80	50	61	NE o	NW 1	SE o	o	4	o	.	
																		Summe	
Mittel	10.3	15.5	11.0	12.3	—	723.3	722.4	723.3	80	54	78				6.2	6.7	6.2	120.9	

Mai 1955
Beobachter: *Observatorium*

Genève

$\lambda = 6° 9'$, $\beta = 46° 12'$,
$H_b = 405.0$ m, $G = -0.03$ mm.

1	17.8	**27.4**	22.1	22.4	11.0	727.5	726.7	724.7	63	54	81	SSW 1	SSW 1	SSW 1	3	3	3	0.8	● n (1./2.)
2	19.2	20.2	12.9	17.4	5.8	723.7	722.4	723.5	71	50	88	SSW 1	**W** 1	**S** 1	9	10	10	5.7	● 15¾-20
3	10.8	14.8	13.0	12.9	1.2	725.0	724.7	723.5	70	46	66	NE 1	NNE 1	SE 1	7	5	10	.	
4	11.6	18.4	16.4	15.5	3.6	723.3	725.7	726.1	71	60	83	**SW** 1	SSW 1	SSW 1	10	8	8	3.2	● 10¾-11½, n (4./5.)
5	15.6	**21.6**	16.6	17.9	5.9	727.7	728.7	729.2	78	48	75	SSW 1	SW 1	SW 1	8	4	6	.	
6	13.5	26.4	15.0	18.3	6.1	728.0	723.5	727.3	66	40	78	SW 1	SW 1	SW 1	2	7	o	10.3	● 16-21½, ⛈ 18½
7	13.5	16.1	10.2	13.3	1.0	731.4	731.8	733.6	78	68	72	SW 1	SW 1	E o	o	1	o	.	
8	9.5	17.8	13.0	13.4	0.9	734.1	732.4	731.9	69	**36**	73	E o	SSW 1	S 1	o	3	1	.	
9	9.0	22.6	19.0	16.9	4.3	731.0	728.9	727.8	71	42	76	E o	**S** 1	S 1	3	3	1	.	
10	18.0	21.4	15.0	18.1	5.4	727.0	726.9	727.7	80	44	84	SW 1	SW 1	S 1	8	9	10	.	
11	14.7	19.6	9.0	14.4	1.5	726.7	725.1	729.3	58	53	93	SSE 1	S 1	S 1	10	9	10	19.0	● 15½-19¾, n (11./12.), ◠ 19½
12	9.0	14.3	11.6	11.6	−1.4	730.2	729.5	728.1	78	70	71	NNE 1	NNE 1	E o	5	1	1	.	
13	10.6	21.4	19.2	17.1	4.0	727.8	726.3	724.5	82	38	88	E o	SW 2	SW 1	1	1	8	.	
14	14.8	16.2	13.1	14.7	1.4	724.3	723.7	722.9	76	67	89	S 1	S 2	E o	10	10	10	10.9	● 16¾-n mU
15	10.0	15.2	9.4	11.5	−1.9	**721.1**	724.4	725.0	86	76	76	SSW o	SW 1	SW 1	9	4	3	0.5	● 7¾-8¼
16	7.5	17.6	15.6	13.6	0.1	726.9	725.6	724.1	68	**36**	81	SW 1	SW 1	SW o	2	1	10	.	
17	14.3	15.2	13.0	14.2	0.5	722.2	721.7	723.1	85	87	90	S 1	S 1	S 1	10	10●	10●	**39.4**	● 8½-15, 17-24
18	9.2	14.2	8.1	10.5	−3.3	725.8	726.7	728.6	89	57	89	S 1	SSE 2	S 1	10	4	10	.	● 0-7
19	8.0	14.0	7.0	9.7	−4.2	732.7	732.0	732.7	81	43	71	SSW 1	SW 1	S o	6	3	3	.	
20	7.8	13.6	8.7	10.0	−4.0	733.3	731.6	731.3	66	**36**	76	NNE o	NNE 1	NNE 1	1	3	8	.	
21	7.6	15.0	11.3	11.3	−2.9	731.3	730.9	730.4	85	50	60	NNE 1	NNE 1	E 1	1	3	5	.	
22	9.4	12.6	8.5	10.2	−4.1	734.7	**735.7**	734.9	79	41	66	NNE 1	NNE 1	NNE 1	3	5	o	.	
23	**7.0**	13 4	11.8	10.7	−3.7	734.1	733.8	731.2	60	73	83	NNE 1	NNE 1	NNE 1	o	o	o	.	
24	8.8	17.6	15.4	13.9	−0.6	731.0	728.1	726.2	81	56	83	E o	NNE 1	NNE o	o	1	2	.	
25	12.4	20.0	16.0	16.1	1.4	726.4	724.1	725.1	72	49	89	SSW 1	SSW 1	SW 1	2	9	8	.	
26	16.4	24.4	17.0	19.3	4.5	725.1	723.6	724.8	75	44	78	NNE 1	NW 1	S 1	2	5	10	8.0	● 22¼-n
27	15.4	15.7	11.2	14.1	−0.8	726.6	726.6	728.8	85	82	85	W 1	SSE 2	E o	10●	10	8	12.5	● 7½, 9¾-17¾
28	13.0	18.8	14.2	15.3	0.3	727.9	727.2	728.9	79	60	82	SE o	S 3	S 1	9	9	10	2.0	● 18¾-19¾, ⛈ ll
29	11.6	16.0	14.0	13.9	−1.3	729.4	729.6	729.3	80	57	78	E 1	NNE o	NNE 2	5	6	o	.	
30	11.2	16.0	13.6	13.6	−1.7	730.7	729.7	729.4	85	61	84	NNE 1	NNE 1	NNE 1	10	1	2	.	
31	12.0	17.2	15.5	14.9	−0.5	730.4	729.1	727.8	65	64	79	NNE 1	NNE 1	NNE 1	o	4	5	.	
																		Summe	
Mittel	11.9	17.9	13.4	14.4	—	728.3	727.6	727.8	75	54	80				5.0	4.9	5.5	112.3	

$\lambda = 8°\ 34'$, $\beta = 47°\ 23'$,
$H_b = 569.4$ m, $G = 0.03$ mm

Zürich

Mai 1955
Beobachter: *Meteorologische Zentralanstalt*

Tag	Lufttemperatur					Luftdruck			Relative Feuchtigkeit			Windrichtung und Stärke			Bewölkung			Niederschlag	Witterung
	7³⁰	13³⁰	21³⁰	Mittel	Abweich. vom Normalwert	7³⁰	13³⁰	21³⁰	7³⁰	13³⁰	21³⁰	7³⁰	13³⁰	21³⁰	7³⁰	13³⁰	21³⁰		
1	15.4	24.6	18.3	19.4	9.5	713 6	711.6	709.7	79	40	51	S 1	WSW 1	ESE 1	4	1	7	0.0	● 4¾–5¼
2	15.8	19.5	9.2	14.8	4.7	708.7	**706.5**	708.8	65	54	98	WSW 1	SSW 1	SSW 1	9	8	10	8.1	● 20½–21½, 23¼–24
3	7.9	11.8	8.4	9.4	−0.8	710.4	710.0	709.2	88	61	78	SW 1	SSW 1	SSE 1	10●	8	1	0.6	● 0–2, 7½–8¾
4	8.7	10.7	12.6	10.7	0.3	708.3	710.2	710.7	79	81	71	SSW 1	WSW 2	SW 2	8	10●	10	3.0	● 11¾–14¼ mU
5	13.0	20.4	16.6	16.7	6.1	712.8	712.6	714.0	70	50	60	WSW 2	SW 2	SSW 2	5	5	8	.	● 1¾–2¾, ⌿ n–16 mU
6	15 4	**25.4**	14.5	18.4	7.7	714.2	710.7	711.6	78	39	88	SSW 0	S 1	SSW 3	2	3	10●	12.1	● 18¼–24, ⌅ 18½, ⌿ 18¼–n
7	10.6	14.9	9.8	11.8	0.9	715.9	717.4	720.2	71	49	70	WSW 1	W 2	WNW 1	8	3	9	0.0	● 0–0½, 1¾–2¾, ⌿ n–1¾,
8	9.4	17.8	11.5	12.9	1.9	721.2	719.4	718.0	78	42	70	SSW 1	NNE 1	NNE 1	2	1	1	.	[11½–13½
9	11.9	22.0	17.8	17.2	6.0	716.5	714.3	712.6	67	**34**	48	S 1	WSW 2	SSW 2	3	9	1	.	
10	15.8	15.9	10.1	13.9	2.5	712.0	712.0	713.6	50	69	95	WSW 1	WNW 2	S 1	9	9	10	3.7	● 14½–14¾, 15¾–19¾
11	10.7	9.6	6.6	9.0	−2.5	712.0	711.4	714.5	86	99	100	S 1	WSW 1	S 1	10	10●	10●	19.7	● 12½–23¼
12	7.1	14.4	9.0	10.2	−1.5	716.2	715.2	713.5	91	52	83	NE 1	N 1	NE 1	9	3	0	.	● 1–3¼
13	9.6	20.5	14.9	15.0	3.2	712.7	711.2	709.7	82	42	50	S 1	WSW 2	WNW 1	3	4	5	0.0	⌿ 13¾–17¼
14	13.0	14.9	8.7	12.2	0.3	708.1	707.3	707.6	72	63	98	WSW 1	WSW 3	WSW 1	10	10	10●	11.5	● 9¾–10¾, 20–24, ⌿ 10½–17½
15	8.1	6.8	5.0	6.6	−5.4	706.8	709.3	711.1	97	77	94	S 1	NW 1	S 1	10●	10●	4	8.8	● 0–10, 13–13¾, 14¾–14¾,
16	5.7	13 6	10.0	9.8	2.4	712.3	711.7	709.8	82	41	63	E 1	WSW 2	ESE 1	5	5	4	0.0	[15¾–16¼
17	14.2	13.0	11.2	12.8	0.5	706.7	707.7	707.9	61	86	98	SW 1	WSW 1	S 1	9	10●	10●	25.5	● 13¼–13¾, 16¼–16¾, 19–24
18	6.1	8.1	6.9	7.0	−5.5	709.4	710.7	713.8	91	66	72	WSW 2	SW 2	W 2	10●	10	10	4.7	● 0–10¾, 21¾–22¼, 22¾–24
19	**3.3**	9.4	6.4	6.4	−6.2	716.3	716.7	717.6	93	45	74	S 1	WSW 2	S 1	8	6	8	0.7	● 0–0½, 6¾–7, 10¼–10½, ⌿ 11½
20	6.8	10.2	7.6	8.2	−4.5	718.3	717.2	716.6	64	50	50	W 1	W 1	N 1	1	8	8	.	
21	6.8	14.3	8.8	10.0	−2.9	716.2	715.2	715.4	66	40	57	W 1	WSW 2	WSW 1	1	3	10●	4.5	● 23¼–24
22	4.7	6.9	5.4	5.7	−7.3	717.8	721.1	**721.8**	95	67	82	NW 1	NNW 2	NE 1	10●	9●	7	0.0	● 0¾–2, 7½–8, ●tr 11–13½
23	5.7	14.7	9.5	10.0	−3.2	720.1	718.6	716.8	78	40	60	SSW 1	NNW 1	NE 1	0	1	0	.	
24	9.0	20.3	14.1	14.5	1.2	715.9	714.4	712.3	74	36	45	SSW 1	WSW 1	NE 1	1	1	1	.	
25	11.8	21.1	15.1	16.0	2.6	711.6	709.9	710.7	71	41	67	SSW 1	NW 1	SSW 1	2	9	10	0.0	⊕ 9, ⌿ 19½–20¾
26	14.7	21 7	14.1	16.8	3.2	710.6	709.3	710.2	74	47	70	SSW 1	S 1	S 1	2	3	6	1.3	
27	12.1	13.1	7.6	10.9	−2.8	710.8	710.8	714.2	97	98	87	SSW 1	WSW 1	SSE 1	10	10●	1	**31.2**	● 4½–5½, 9¼–10¼, 13–18¾, *)
28	10.9	17.5	9.4	12.6	−1.2	713.1	711.9	713.3	75	54	95	S 1	SSE 1	SSW 1	9	10	9	7.8	● 15–15½, 18½, 19¾–20¾, 22½–23, *)
29	10.1	11.9	9.3	10.4	−3.5	714.3	714.9	716.9	80	74	98	W 1	ENE 1	ENE 1	6	7	9	0.2	● 3½–4¾
30	8.0	17.7	11.6	12.4	−1.6	716.6	716.3	716.3	90	44	66	NE 1	ENE 2	ENE 1	10	4	0	.	
31	10.1	19.5	12.4	14.0	−0.1	716.2	715.0	713.9	70	39	55	N 1	NNE 1	ENE 1	0	1	1	.	
Mittel	10.1	15.6	10.7	12.1	—	713.4	712.9	713.3	78	55	74				6.0	6.2	6.1	Summe 143.4	

*) **27.** ⌅ 13–13½, ⌿ 15¾–17 **23.** ⌅ 19¾, 20¼–20½

$\lambda = 6°\ 32'$, $\beta = 46°\ 51'$
$H_b = 1588$ m, $G = -0{,}13$ mm

Chasseron

Mai 1955
Beobachter: *J. Liardon*

1	9.2	13 2	11.4	11.3	—	632.1	631.3	629.4	56	56	34	SSW 0	SSE 1	W 2	6	5	7	3.2	● n (1./2.)
2	5.6	5.8	1.8	4.4	—	627.5	626.2	625.2	96	100	100	W 2	W 3	W 3	10	10≡	10●≡	10.4	● 15¾–n, ≡ 13¼–n, ⌿ a–n
3	−1.0	3.6	2.2	1.6	—	626.6	627.3	626.8	100	85	85	WNW 1	W 1	W 0	10≡	9	3	0.0	≡ n–8¾
4	4.6	3.2	5.0	4.3	—	625.8	627.6	629.1	35	100	100	WSW 2	SW 1	WSW 2	9	10☽≡	10☽≡	8.9	● 9¼–12, ☽ 12–n, ≡ 10¼–n
5	3.8	9.8	8.6	7.4	—	630.7	632.2	632.8	100	77	94	W 3	WSW 2	W 2	9	9	6	.	☽ n–6¾, ≡ n–6¾, 7½–12 mU, ⌿ n–a
6	10.2	**15.2**	7.0	10.8	—	632.4	630.8	629.8	84	57	100	SW 1	SW 1	WNW 5	4	5	10	16.1	⊽ n (6./7.), ≡ n (6./7.) mU, ⌿ III
7	0.6	3.8	1.2	1.9	—	631.6	634 3	634.3	100	80	95	WNW 3	WNW 1	WNW 0	10≡	7	4	.	≡ n–9½, ⌿ n–a
8	2.8	7.2	7.8	5.9	—	636.2	**636.4**	635.8	75	55	40	E 1	E 0	E 0	3	2	2	.	
9	9.4	12.2	12.8	11.5	—	634.4	633.6	632.4	30	55	**26**	W 1	S 1	SW 1	6	5	5	.	
10	5.8	5.0	3.2	4.7	—	630.6	630.3	630.6	88	100	98	WNW 2	WNW 3	NNW 3	7	10≡	9	.	≡ 11¾–17¾, ⌿ a–n
11	2.5	2.2	0.2	1.6	—	629.2	628.3	630.0	100	100	100	W 2	WNW 2	NNW 1	10☽≡	10●≡	10☽≡	9.0	⊽ 13½, ☽ 6¾–n, ≡ n–n
12	0.0	5.2	4.6	3.3	—	632.1	631.7	631.0	100	100	88	E 1	— 0	S 0	0	6	5	.	≡ n–7, 8–11
13	5.4	10.4	8.5	8.1	—	630.0	630.1	630.0	60	45	53	W 3	W 2	W 2	4	5	6	.	⌿ n–a
14	4.0	5.2	3.0	4.1	—	626.2	625.8	624.9	100	88	100	W 3	WSW 3	W 3	9	9	10●≡	18.0	●tr a mU, ● ✳ 17–n, *)
15	−1.0	−0.4	−2.0	−1.1	—	**623.5**	625.4	626.8	100	100	100	WNW 3	WNW 2	WNW 2	10*≡	7	9	3.7	● ✳ n–8, 8–11½ mU, *) ⊠
16	−2.5	4.0	6.0	2.5	—	627.8	628.5	627.4	97	71	43	W 2	S 1	WSW 3	9	6	9	.	≡ 8½–9½, ⌿ p–n ⊠
17	9.6	5.0	3 8	6.1	—	625.2	625.3	624.1	58	100	100	S 3	S 3	W 3	9	9	10●	**34.7**	● 8–13, 14–n, ✳ n (17./18.), *)
18	−2.4	−1.6	−2.0	−2.0	—	625.1	**627.5**	628.8	100	100	100	WNW 3	W 2	WNW 3	10*≡	8	10*≡	9.4	✳ n–7½, 18¼–n, ≡ n–9½, 20–n, *) ⊠
19	**−4.0**	−1.6	−2.0	−2.5	—	630.8	632.3	632.9	100	99	78	W 1	W 1	W 1	9	8	8	**2.8**	✳ n–7, 7–12¾ mU, 19¾–20¾, ⊠
20	−1.8	1.8	−1.0	−0.3	—	633.2	633.2	632.3	80	66	68	WNW 1	NW 1	NW 1	6	7	4	.	[≡ n–7¼
21	0.6	4.0	0.0	1.5	—	631.8	631.9	631.0	63	55	100	N 0	NW 1	NNW 2	3	7	10	8.4	⊽ 20–n mU
22	−2.4	2.2	−1.8	−0.7	—	633.1	636.3	636.0	100	100	75	N 2	N 1	N 1	10≡	9	2	.	✳ n–7, ≡ n–11¼
23	−0.4	6.6	5.8	4.0	—	634.5	635.0	634.1	72	60	34	E 2	ESE 0	E 0	2	3	2	.	
24	6.0	10.2	8.6	8.3	—	633.0	632.4	630.9	60	60	50	W 1	SE 0	E 1	2	4	3	.	
25	10.4	11.2	8.0	9.9	—	629.9	629.1	628.8	58	70	63	E 0	SSE 0	WSW 1	4	8	9	3.0	● n (25./26.)
26	6.8	8.6	8.6	8.0	—	629.0	629.1	629.0	70	74	76	W 1	S 1	SSE 0	5	7	9	5.7	● n (26./27.)
27	6.4	5.0	2.2	4.5	—	629.1	628.5	630.9	100	100	100	SW 1	WNW 3	W 3	10●≡	10●≡	6	14.4	● n–16½, ≡ n–16¾, ⌿ a–n
28	2.8	5.5	3.0	3.8	—	630.2	629.9	629.5	100	99	100	W 1	WSW 2	WNW 5	10≡	9☽	10≡	2.0	☽ a–p mU, ≡ n–8, 14¼–17, 19½–n, *)
29	2.2	4.2	2.6	3.0	—	631.0	631.7	632.2	100	88	100	WNW 1	WNW 1	N 1	10≡	9	10≡	2.1	⊽ 19–19¼, ≡ n–9½, 20½–n mU
30	1.2	6.0	5.4	4.2	—	631.7	633.0	633.0	100	78	65	E 2	E 2	E 2	10≡	5	0	.	≡ n–8
31	5.6	9.6	7.0	7.4	—	632.4	633.0	631.7	61	64	54	E 1	E 0	E 1	0	3	2	0.0	
Mittel	3.2	5.9	4.2	4.4	—	630.2	630.6	630.4	82	80	78				7.0	7.1	6.8	Summe 151.8	

*) **14.** ≡ 17½–n, ⌿ n–n **15.** ≡ n–11½, ⌿ n–n mU **17.** ≡ 8–10 mU, 10–13, 14–n, ⌿ n–n **18.** ⌿ n–n mU **28.** ⌿ III

Mai 1955
Beobachter: *Stationspersonal Rh. B.*

Bever

$\lambda = 9° 53'$, $\beta = 46° 33'$,
$H_b = 1711.8$ m, $G = -0.23$ mm

Tag	Lufttemperatur 7³⁰	13³⁰	21³⁰	Mittel	Abweich. vom Normalst	Luftdruck 7³⁰	13³⁰	21³⁰	Relative Feuchtigkeit 7³⁰	13³⁰	21³⁰	Windrichtung und Stärke 7³⁰	13³⁰	21³⁰	Bewölkung 7³⁰	13³⁰	21³⁰	Niederschlag	Witterung
1	1.6	16.7	6.7	8 3	4.8	624.1	622.5	621.7	100	33	80	SW o	W o	NW o	o	1	o	.	⌊
2	1.9	13.6	5.0	6.8	3.2	619.5	617.4	616.9	94	38	95	SW o	SW 2	SW o	o	9	10	9.3	● 18½–19, ✳ n (2./3.)
3	−0.7	6.4	−1.5	1.4	−2.4	616.3	617.3	618.7	97	46	89	NE o	NW o	N o	10*	8	o	0.0	✳ n–8 ⊠
4	−1.8	9.0	4.1	3.8	−0.2	619.1	618.9	620.1	85	49	88	SW o	SW 1	W o	5	10	o	.	
5	3.2	14.3	5.0	7.5	3.3	621.8	623 o	624.7	90	34	81	SW o	SW 2	SW o	5	6	2	.	
6	3.7	14.9	8.2	8.9	4.5	624.6	623.8	622.6	96	49	85	SW o	SW 1	W 1	2	8	10	6.6	● n (6./7.)
7	5.1	6.8	1.8	4.6	0.0	621.1	622.9	625.9	88	66	83	SW o	NW 3	NW o	10	9	10	0.9	● 15–20¾ mU, ✳ 20¾–21¼,
8	2.5	13.7	3.6	6.6	1.8	627.4	626.6	**627.9**	61	26	80	E o	NE o	SW o	o	1	o	.	⌊ | [☂ II
9	−0.2	**16.8**	3.4	6.7	1.7	626.6	625.3	625.2	82	**19**	81	SW o	SW 2	SW o	1	2	o	.	
10	3.2	16.4	8 6	9.4	4.3	623.2	621.0	620.5	84	35	90	SW o	SW 1	SW 1	2	6	5	.	
11	6.2	13.8	3.2	7.7	2.4	620.0	618.1	618.7	87	75	80	NE 1	SW 1	E o	8	6	10●	3.6	● 20½–22, ✳ 22–n
12	3.0	8.8	1.0	4.3	−1.2	621.4	621.9	622.8	68	37	85	NE o	NW 2	NW o	4	o	o	.	
13	0.0	14.6	6.0	6.9	1.3	622.4	620.8	620.6	84	37	96	SW 1	SW o	SW o	o	2	o	.	⌊ |
14	4.9	9.5	5.8	6.7	0.9	619.0	617.5	616.9	82	71	93	SE o	SW 1	S o	4	9	5	6.4	● 18–n mU
15	5.0	−0.3	−0.8	1.3	−4.7	**613.6**	615.5	617.4	95	100	82	W o	N o	E o	10	10●	10*	**25.5**	● 10½–15, ✳ 15–n mU
16	**−3.6**	5.1	1.6	1.0	−5.1	619.4	620.0	621.2	81	44	76	SW o	S o	SW o	2	1	o	.	⊠
17	4.0	7.0	3.0	4.7	−1.6	620.9	619.4	619.6	75	76	100	S 1	SW 2	SW o	8	10●	10●	7.5	● 13½–n mU
18	3.0	6.8	0.2	3.3	−3.1	616.9	616.2	619.2	94	76	90	SW 1	SW o	NE o	10	10	10*	3.8	● a mU, ✳ 21–n mU
19	−0.8	3.0	−0.2	0.7	−5.9	620.1	622.3	623.4	55	46	37	NW o	NW 1	NE 1	3	6	o	.	⊠
20	−1.1	8.7	2.6	3.4	−3.3	623.2	622.2	622.5	80	39	75	S o	SW 1	W o	1	3	8	0.4	✳ n (20./21.)
21	0.8	7.2	0.8	2.9	−4.0	621.9	622.0	621.0	83	40	90	E o	SW 1	NE o	7	3	10*	0.5	✳ 21–n mU
22	−0.6	2.4	−1.8	0.0	−7.0	621.8	624.3	627.2	78	45	65	SW o	W 1	SE o	10	8	o	0.1	✳ a mU
23	−3.1	9.3	1.0	2.4	−4.7	625.9	625.0	625.5	71	27	90	S o	SW 1	SW 1	o	o	o	.	
24	1.4	15.1	3.2	6.6	−0.7	624.4	622.3	622.8	78	52	81	S o	SW o	SW o	o	o	o	.	
25	4.6	13.6	6.4	8.2	0.8	621.8	619.9	620.6	80	49	95	S o	SE 2	SW 1	2	4	9	.	
26	8.6	12.0	6.6	9.1	1.6	620.1	620.0	620.8	77	56	95	SW 1	SW o	SW 2	9	8	10	0.4	● 20½–n mU
27	7.7	10.6	3.3	7.2	−0.5	620.9	620.6	621.9	88	74	97	SW o	SW 2	NE 1	10	10	8	7.5	● 19–n mU
28	1.9	13.5	4.6	6.7	−1.1	621.4	619.8	620.3	93	43	95	E o	SW 1	N o	10≡	8	10	5.5	● 19–20¾, ≡ n–8½
29	3.2	7.2	5.0	5.1	−2.8	620.5	621.9	623.7	77	52	65	SW o	W 1	SW o	10	9	10	.	
30	3.6	11.6	4.3	6.5	−1.5	624.0	623.1	623.9	78	42	64	E 1	N o	N o	2	2	1	.	
31	2.0	13·9	3.2	6.4	−1.7	624.2	621.7	622.7	88	55	86	N o	NW o	NW o	5	4	1	.	
Mittel	2.2	10.4	3.3	5.3	—	621.5	621.1	621.8	83	49	84				4.8	5.6	4.8	Summe 78.0	

Mai 1955
Beobachter: *Couvent des Capucins*

Sion

$\lambda = 7° 21'$, $\beta = 46° 14'$,
$H_b = 548.6$ m, $G = -0.11$ mm.

1	13.8	24.0	17.4	18.4	6.0	716.8	713.9	713.0	71	41	53	ENE o	ENE o	E 1	o	3	1	.	
2	14 2	19.2	13.8	15.7	3.1	712.4	709.8	710.8	75	61	82	ENE o	ESE o	W o	9	10	10●	1.0	● 20–21¾
3	9.8	17.9	10.0	12.6	−0.1	712.7	711.6	712.1	81	40	60	WSW 3	WSW 2	W o	10	6	o	.	☂ n–a
4	8.4	15.8	13.9	12.7	−0.2	712.8	713.4	714.0	75	55	66	ENE o	WSW 2	WSW o	3	10	8	1.8	
5	13.2	23.4	16.0	17.5	4.5	716.3	715.3	717.0	83	45	60	NNW 1	WSW 3	ENE 2	4	3	2	.	● 2¼–4¼, ☂ a–p
6	15.3	24.2	17.5	19.0	5.8	717.6	713.9	714.3	64	34	67	ENE 1	ENE o	W 1	2	7	10●	9.6	● 20½–24, ☂ 19
7	12.5	18.2	11.5	14.1	0.8	717.5	718.1	720.9	67	42	55	WSW 2	WSW 3	W o	10	2	5	.	● o–2¼, 3¾–4¼. ☂ a–p
8	9.7	19 9	13.7	14.4	0.9	**723.0**	720.1	720.5	66	34	58	ENE 1	ENE 1	ENE 1	o	o	o	.	
9	11.8	**24.5**	16.2	17.5	3.9	720.0	716.3	716.1	66	33	54	ENE o	ENE 1	ENE 1	2	8	o	.	
10	13.8	22.3	14.7	16.9	3.1	715.6	713.3	715.5	64	46	86	ENE 1	ENE 1	WSW o	7	9	10●	1.6	● 17¾–22¼
11	13.2	18.0	8.8	13.3	−0.6	714.8	712.9	715.6	66	54	92	WSW 1	WSW 2	W 3	9	9	10●	6.1	● 18–23, ☂ p–n
12	9.4	18.0	13.1	13.5	−0.5	717.7	715.9	715.9	80	45	66	SSW o	WSW 2	W o	2	2	o	.	
13	11.2	21.8	16.3	16.4	2.2	716.0	713.7	712.8	74	48	47	N 1	NNW 1	W o	o	3	5	0.1	
14	12.4	15.7	12.9	13.7	−0.6	712.6	711.7	710.9	80	79	90	W o	NNW 1	WNW o	10	10●	10●	6.3	● tr 7¼, 9¾, 12–16, 20¼–24
15	10.9	13.3	8.6	10.9	−3.5	**709.2**	710.4	714.3	91	52	60	WNW o	W 2	W 1	10●	7	6	0.2	● o–8
16	8.2	18.1	14.2	13.5	−1.1	715.3	713.7	713.3	63	**31**	54	WSW o	W 1	W o	2	o	10	.	
17	14.8	13.4	13.2	13.8	−0.9	712.4	713.1	711.1	50	80	71	ENE o	WSW o	ENE o	8	10●	10	**19.2**	● 12¾–14¾, 22¼–24
18	8.3	11.8	9.3	9.8	−5.0	711.9	712.5	715.3	92	57	56	WNW 1	WSW 3	WSW 1	10●	5	3	3.4	● o–6¾, 7½, 23½–24, ☂ II
19	7.6	13.4	9.1	10.0	−4.9	718.6	718.3	719.2	70	36	50	SSW o	WSW 1	WSW 1	2	3	5	.	● o–1½
20	9.1	16.2	11.3	12.2	−2.9	720.2	717.6	717.2	69	39	52	NNE o	WSW o	SSW 1	3	3	3	.	
21	9.2	17.1	12.0	12.8	−2.4	718.3	716.3	716.3	67	**31**	42	NNE o	WSW 2	W 3	3	3	9	1.7	☂ p–n
22	**7.1**	15.9	8.5	10.5	−4.8	720.4	721.3	722.0	86	61	62	WSW 1	SSW 3	NNW o	9	4	o	.	● 1¾–2¾, 5¾–7½, ☂ II
23	7.4	18.4	12.2	12.7	−2.7	722 o	719.0	718.5	64	44	60	N 1	WSW 2	NNW o	o	o	o	.	
24	10.7	21.9	15.0	15.9	0.4	718 7	715.2	714.3	68	38	56	NE 1	WSW 1	NW 1	o	o	o	.	
25	14.1	23.3	14.4	17.3	1.6	714.8	711.6	713.5	65	41	79	NE 1	NE 1	WSW 3	3	6	10●	2.7	● 21¼–24, ☂ p–n, ☂ 19½
26	12.9	21.0	16.6	16.8	1.0	714.4	712.6	713.1	91	41	66	W o	NW o	W o	9	7	9	2.0	● 0–2¼, 3½–4¾, 6¾–7, 23–23½
27	13.1	19.0	10.8	14.3	−1.6	714.9	713.7	716.5	95	56	86	W o	NW o	SSE 2	10●	10	10●	6.2	● 3¼–3¾, 5¼–8¼, 11½–19¾, tr 20¼–22
28	13.2	19.3	15.0	15.8	−0.2	715.8	713.9	715.5	72	51	57	WSW o	S 1	N 1	10	7	10●	2.6	● 21–21¾, 22½–24
29	13.7	18.2	13.8	15.2	−0.9	716 2	715.5	716.4	68	43	61	SW o	W 2	W o	5	9	o	.	● o–0¾
30	11.5	19.7	14.2	15.1	−1.1	717.8	715.7	716.5	72	50	62	NNE 1	WSW 2	NE 1	o	3	3	.	
31	12.8	21.4	14.2	16.1	−0.2	717.8	715.2	715.7	75	45	67	NE o	W 2	N 1	2	6	2	0.1	
Mittel	11.4	18 9	13.2	14.5	—	716.3	714.7	715.4	73	47	64				5.0	5.3	5.2	Summe 64.6	

$\lambda = 8°\,57'$, $\beta = 46°\,0'$,
$H_b = 276.2$ m, $G = -0.01$ mm.

Lugano

Mai 1955
Beobachter: *G. Vicari*

Tag	Lufttemperatur					Luftdruck			Relative Feuchtigkeit			Windrichtung und Stärke			Bewölkung			Niederschlag	Witterung
	7^{30}	13^{30}	21^{30}	Mittel	Abweich. vom Normalst	7^{30}	13^{30}	21^{30}	7^{30}	13^{30}	21^{30}	7^{30}	13^{30}	21^{30}	7^{30}	13^{30}	21^{30}		
1	13.8	**28.0**	19.6	20.5	7.2	739.6	737.5	735.4	76	41	47	N 1	S 1	N 1	0	1	0	.	
2	13.2	22.8	12.2	16.1	2.7	734.7	732.6	731.7	81	51	93	N 1	S 1	N 1	0	8	10	11.1	⛆ 16½, ● 18¾–20½, ⛥ 18¾–19¼
3	15.4	21.6	14.8	17.3	3.7	730.6	731.3	733.4	35	26	37	N 2	N 2	N 1	0	0	0	.	
4	12.2	14.8	13.4	13.5	−0.2	736.7	737.1	736.6	68	68	66	S 1	W 1	NW 1	10	10	0	.	
5	11.2	23.2	16.6	17.0	3.2	739.2	739.5	740.5	86	47	69	N 1	S 1	N 1	1	4	0	.	
6	13.4	21.6	17.2	17.4	3.4	741.8	741.1	739.2	90	58	75	S 1	S 1	S 1	6	8	10	0.3	● n (6./7.)
7	15.2	23.8	16.4	18.5	4.4	737.9	737.1	740.7	86	47	31	S 1	S 1	N 2	10	4	3	.	
8	11.4	22.8	16.2	16.8	2.6	**746.1**	745.1	745.6	79	44	59	N 1	S 1	N 1	0	0	0	.	
9	11.0	24.4	16.8	17.4	3.0	744.6	741.9	740.8	82	42	59	N 1	S 1	N 1	1	6	0	.	
10	12.0	21.8	17.2	17.0	2.5	739.8	737.2	736.2	81	48	63	N 1	S 1	SW 1	1	7	9	.	
11	13.4	19.2	13.2	15.3	0.7	735.7	734.1	733.7	86	69	96	W 1	SSW 1	NNE 2	2	9	10●	**28.2**	● 14–15, 19–n, ⛥ 18¾–21
12	15.2	21.4	14.8	17.1	2.3	737.3	738.0	740.0	35	49	80	N 2	S 1	S 1	0	0	7	.	
13	12.8	21.2	15.4	16.5	1.6	740.8	738.9	737.6	77	47	72	N 1	S 1	N 1	10	3	1	.	
14	13.8	16.0	14.2	14.7	−0.3	736.4	734.5	733.1	84	81	98	E 1	S 1	N 1	9	10●	10	6.2	● 13–19½, n (14./15.)
15	14.4	12.4	14.2	13.7	−1.5	730.0	**729.5**	732.5	97	88	33	S 1	S 1	N 2	10●	9	1	12.3	● n–13, p mÜ
16	10.8	21.0	13.2	15.0	−0.3	736.6	737.6	738.7	41	35	54	N 1	S 1	N 1	0	0	0	.	
17	11.8	17.0	11.2	13.3	−2.1	739.7	738.8	737.8	73	55	98	NW 1	S 1	N 1	9	10	10●	26.7	● 17½–n
18	10.4	11.2	11.2	10.9	−4.6	734.9	734.7	735.1	99	97	96	N 1	NNW 1	NNW 1	10●	10●	9	14.0	● n–14
19	12.0	18.2	13.2	14.5	−1.2	737.3	739.8	740.4	33	**24**	33	NNE 2	NNE 2	N 1	0	0	0	.	
20	11.4	20.2	12.4	14.7	−1.1	742.9	741.1	740.5	57	44	55	W 1	SSW 1	N 1	9	2	7	.	
21	11.4	21.8	13.6	15.6	−0.4	739.7	738.2	737.2	74	48	69	N 1	S 1	N 1	1	4	10	0.2	● 22–24
22	10.6	19.8	11.4	13.9	−2.2	739.3	741.1	743.9	78	28	31	N 1	NNE 2	NNE 2	0	0	0	.	
23	**9.4**	20.4	13.2	14.3	−1.9	745.7	744.5	743.0	50	48	63	N 1	S 1	N 1	0	0	0	.	
24	13.0	21.4	14.8	16.4	0.0	743.4	740.9	739.2	76	52	63	N 1	S 1	N 1	8	1	0	.	
25	12.8	23.0	16.4	17.4	0.9	739.5	737.3	736 7	81	48	72	E 1	S 1	N 1	5	3	10	0.0	
26	15.2	22.8	16.8	18.3	1.7	737.2	736.2	736.5	92	50	79	— 0	S 1	— 0	10●	5	10	0.2	● 7¼–7½, n (26./27.)
27	15.2	18.4	14.8	16.1	−0.7	738.0	737.4	736.4	92	72	83	N 1	S 1	— 0	10	10	4	0.6	● 18–18½, 19½–20½
28	12.8	23.4	16.4	17.5	0.6	736.4	735.7	734.8	79	53	77	N 1	S 1	N 1	5	1	5	0.6	● 17½–19½
29	18.0	25.2	16.8	20.0	3.0	736.2	736.2	737.9	35	28	35	NNE 1	NNE 2	N 1	0	0	0	.	
30	13.4	22.2	16.2	17.3	0.1	742.1	741.0	741.1	72	52	65	S 1	S 1	N 1	4	4	9	.	
31	15.0	21.4	14.4	16.9	−0.4	741.7	740.2	740.7	74	54	88	S 1	S 1	S 1	10	3	10	3.7	● 20½–21
																		Summe	
Mittel	13.0	20.7	14.8	16.2	—	738.8	737.9	738.0	72	51	66				4.5	4.3	4.7	104.1	

$\lambda = 7°\,35'$, $\beta = 47°\,33'$,
$H_b = 317.3$ m, $G = 0.11$ mm.

Basel

Mai 1955
Beobachter: *Astronom.-Meteorol. Anstalt*

1	15.3	25.2	14.0	18.2	7.5	735.1	733.9	731.8	63	35	69	ESE 1	ESE 0	S 1	8	7●	1	0.0	●tr 13½
2	15.6	18.7	10.2	14.8	4.0	731.1	728.8	730.6	66	59	76	SSW 1	WNW 2	WSW 1	9	10	10	3.7	● 10¼–10¾, 14½–19¾ mU, [22–23, ⛈ 14
3	8.8	16.0	8.4	11.1	0.1	732.9	732.3	732.0	84	38	82	SSW 1	WNW 2	SSW 1	10	7	0	.	
4	8.2	14.8	13.8	12.3	1.2	731.0	731.8	732.4	71	65	63	E 1	SSW 2	SW 1	9	9	10	3.5	● 9¾–12¾
5	15.1	22.5	16.9	18.2	7.0	735.0	734.9	735.7	65	49	55	W 1	SE 1	W 1	7	5	4	.	● 0–1¼, 2¾
6	16.4	**28.9**	16.0	20.4	9.0	735.7	731.8	732.9	58	**28**	64	E 1	SSW 3	WSW 1	2	4	10	2.9	● 18–20¼, ⛈ a–p, 17
7	10.8	13.7	8.4	11.0	−0.5	738.7	740.4	742.7	70	48	79	W 1	WSW 2	SW 1	9	9	8	0.0	●tr 19¾, ⛈ 13
8	8.8	19.7	14.0	14.2	2.5	743.6	741.4	739.5	74	40	53	E 1	SE 1	SE 1	1	0	1	.	
9	11.3	25.4	13.3	16.7	4.9	738.0	735.4	734.0	67	37	61	ESE 1	NW 1	S 0	3	9	1	.	
10	16.3	14.2	12.9	14.5	2.6	734.2	734.8	735.2	54	67	59	W 1	WNW 2	WSW 1	9	10	9	0.2	
11	11.9	10.4	7.8	10.0	−2.1	734.3	734.1	737.2	85	88	93	S 0	NW 1	NW 0	10	10●	10	11.7	● 5–5¼, 9¼–18, 20¼–23 mU
12	6.4	15.3	8.1	9.9	−2.3	739.0	738.4	736.1	94	48	77	NW 1	NW 1	NE 0	10	7	3	.	
13	8.8	21.2	13.3	14.5	2.1	735.1	733.3	731.1	76	46	61	ESE 1	NW 1	S 1	7	8	9	0.0	
14	14.4	16.7	10.0	13.7	1.2	730.2	728.9	729.6	65	63	89	W 1	SSW 1	SW 1	10	9	10	5.5	● 2¼, 5–5¼, 12¾–13, 15¼–18¾ mU, *)
15	8.9	11.4	8.2	9.5	−3.1	729.2	731.3	733.3	83	55	64	WSW 1	NW 1	W 1	10	9	9	3.5	● 0–2, 3¾–4, 5½–6½, 11¾, *)
16	7.0	13.8	10.1	10.3	−2.5	734.7	734.2	732.6	69	54	69	E 1	E 1	S 1	6	8	10	.	
17	12.3	14.0	11.4	12.6	−0.3	**728.1**	728.7	729.2	65	81	86	E 1	SSW 1	SSE 2	10	10●	10●	**32.2**	● 9½–23
18	7.6	12.2	5.1	8.3	−4.7	731.2	733.3	736.4	80	44	82	WNW 1	WNW 2	SW 1	10	9	10	0.2	● 0¼–0½, 2½–5¼, 10¼, 16¼–
19	6.6	11.8	5.0	7.8	−5.4	739.0	739.5	739.9	74	37	78	W 1	WSW 2	SSW 1	9	7	0	0.0	⛆ 10, 10⅞ [16½, ⛈ 0½
20	7.2	13.8	5.7	8.9	−4.4	741.0	740.0	739.2	70	42	64	E 0	WNW 2	W 1	3	3	3	.	
21	7.2	15.3	7.9	10.1	−3.3	738.9	738.1	737.9	61	41	88	E 1	W 2	WSW 1	1	6	10	1.8	● 21½, 22½–24
22	7.1	13.4	**4.7**	8.4	−5.1	741.5	744.0	**744.1**	84	52	55	NNW 1	WNW 1	SSW 1	9	6	1	.	● 2–3¾, 5¼–6¼
23	5.9	16.2	8.5	10.2	−3.5	743.1	741.0	739.1	71	42	74	ESE 1	ENE 1	NNW 0	0	0	0	.	
24	9.9	21.2	12.8	14.6	0.8	738.2	736.3	734.6	63	33	64	E 1	WNW 1	SW 1	1	2	0	.	
25	11.7	23.5	13.0	16.1	2.2	734.1	732.0	732.3	70	38	88	E 1	E 1	ESE 1	2	7	9	2.7	● 18½–19¾, ⛥ 18¼–19¼, *)
26	14.6	23.8	13.5	17.3	3.3	732.4	731.7	732.1	75	42	85	ESE 1	WSW 1	SW 1	1	7	7	2.1	●tr 14¼
27	13.3	15.3	9.2	12.6	−1.5	732.5	732.8	735.5	91	80	83	ESE 1	WSW 1	SE 1	10	10●	2	5.8	● 3¼–4, 11–12¾, *)
28	8.7	14.8	10.7	11.4	−2.8	735.3	733.9	735.8	91	70	89	E 1	ESE 1	WSW 1	10	10	9	4.0	● 13¾–15, 16¾, 18¼–19, 20–20¼, *)
29	11.8	14.2	11.4	12.5	−1.8	736.6	737.4	739.0	76	63	86	SSW 0	WNW 2	ESE 1	7	9	8	.	
30	8.8	19.9	12.8	13.8	−0.6	739.3	738.2	738.6	89	31	65	WNW 1	NE 1	ENE 0	0	3	1	.	
31	12.4	21.0	13.4	15.6	1.1	738.6	737.3	736.0	65	38	60	SSW 0	NNW 1	WNW 0	0	0	1	.	
																		Summe	
Mittel	10.6	17.4	10.7	12.9	—	735.7	735.1	735.4	73	50	73				6.2	6.8	5.7	79.8	

*) 14. 21, 22½–23½ 15. △ 13¾ 25. ⛈ 18¾, ◠ 19¼ 27. ●tr 13½, 15¾–16¼ 28. ◠ 19

Mai 1955
Beobachter: *Observatorium*

Säntis

$\lambda = 9° 20'$, $\beta = 47° 15'$,
$H_b = 2500.1$ m, $G = -0.27$ mm.

Tag	Lufttemperatur					Luftdruck			Relative Feuchtigkeit			Windrichtung und Stärke			Bewölkung			Niederschlag	Witterung
	7^{30}	13^{30}	21^{30}	Mittel	Abweich. vom Normalst	7^{30}	13^{30}	21^{30}	7^{30}	13^{30}	21^{30}	7^{30}	13^{30}	21^{30}	7^{30}	13^{30}	21^{30}		
1	5.0	6.6	3.4	5.0	7.5	566.3	565.8	564.2	83	70	82	NNW 1	S 1	SW 2	4	5	1	1.0	● n (1./2.)
2	0.7	5.9	−2.1	1.5	3.8	561.7	560.5	558.5	100	80	100	W 3	S 2	W 3	10	5	10≡*	**40.1**	▽ 6¼, 17¾-18¾, ●△ 15¾-16½,*)
3	−6.2	−3.2	−5.1	−4.8	−2.7	558.4	558.9	559.5	100	100	98	W 2	W 3	W 3	10≡	10≡	1	3.8	✳ n-7, ▽ 9½-10, 10½-11,*)
4	−1.8	0.0	−0.8	−0.9	1.0	559.4	560.5	561.4	51	72	100	SW 3	W 3	WSW 4	9	10	10■	13.4	▽ 14½-14¾, ≡ 17¼-n, ⌐ III
5	−0.8	2.0	1.9	1.0	2.7	563.0	565.1	566.0	100	89	100	SW 3	SW 3	W 4	10≡	7	10≡	0.2	≡ n-8½, 14½-n mU, ⌐ III
6	2.9	7.2	2.5	4.2	5.8	566.4	565.8	564.1	86	46	100	WSW 3	SW 3	SW 3	4	4	10≡●	20.3	● 20-n mU, ≡ 20¼-n
7	−3.1	−3.4	−5.4	−4.0	−2.6	563.4	564.9	567.3	100	100	100	W 3	W 3	W 2	10≡*	10≡	10≡	5.9	✳ 7-9 mU, ▽ 12¾-13, 15½-
8	−2.1	1.4	2.4	0.6	1.8	568.1	569.2	**569.6**	74	53	26	E 1	S 2	SW 1	1	1	1	•	[15¾, ≡ n-n, ⌐ 10½
9	4.7	**7.7**	5.1	5.8	6.9	568.0	567.9	566.9	**20**	38	48	WSW 2	SW 2	SW 1	3	9	1	.	
10	2.4	5.9	−2.1	2.1	3.0	564.4	564.0	562.5	97	64	100	W 4	WSW 2	W 5	9	9	10≡	17.0	▽ 15¾-16¼, ● 16¾-18½,*)
11	−2.8	−1.4	−4.3	−2.8	−2.0	561.8	560.7	561.9	100	100	100	W 3	W 3	N 3	10≡	10≡*	10■*	13.1	✳ 8½-n, ≡ n-n, ⋁ 15-n
12	−2.3	−1.2	−0.6	−1.4	−0.7	563.1	563.9	564.1	91	87	22	W 1	SW 1	WSW 2	3	3	1	.	≡ n-5½
13	1.6	2.6	1.0	1.7	2.2	563.3	563.7	562.7	38	57	82	W 3	W 3	WSW 3	2	5	6	.	
14	1.3	−1.2	−0.9	−0.3	0.1	560.5	558.5	558.7	82	100	100	WSW 2	W 4	WSW 2	9	10≡*	10≡	23.0	✳fl 7-7¼, ✳ 11½-16, 17¾-19½*)
15	−3.3	−5.6	−9.3	−6.1	−5.8	**555.7**	557.0	558.2	100	100	100	**W** 3	WNW 2	WNW 3	10≡*	10≡*	10≡*	26.1	✳ n-15½, 17-n, ≡⋁ n-n
16	−8.3	−4.4	−3.6	−5.4	−5.2	558.9	560.5	561.0	98	94	85	W 3	SSW 2	SSW 2	4	4	1	0.4	≡ n-6¾, 7¾-12½
17	0.9	2.7	−0.6	1.0	1.0	560.2	560.3	559.7	88	74	93	W 3	SSW 3	S 3	7	10	2	4.0	✳ n (17./18.)
18	−2.0	−7.8	−7.1	−5.6	−5.7	558.1	557.8	560.4	100	100	100	WSW 2	W 4	WSW 4	10≡*	10≡*	10≡*	21.3	✳ n-15, 20¾-n, ≡⋁ n-n,*)
19	**−9.4**	−8.1	−8.2	−8.6	−8.8	560.4	562.0	563.8	100	100	100	WNW 3	W 3	NW 2	10≡*	10≡	10≡	10.9	✳ n-6¾, 8¼-11½ mU, *)
20	−8.4	−5.3	−6.5	−6.7	−7.0	563.4	564.0	563.9	100	92	100	WSW 3	WSW 2	NW 2	10≡	2	10≡*	1.5	▽ 10¼-12 mU, ✳ 17¾-n,*)
21	−7.3	−4.8	−6.7	−6.3	−6.7	562.7	563.0	562.4	100	86	100	NW 2	W 2	WNW 2	5	5	10≡*	16.5	▽ 10-11½ mU, 15½-15¾,*)
22	−7.1	−7.6	−8.9	−7.9	−8.4	562.4	565.5	566.9	100	100	10 ›	NW 2	NW 3	WNW 2	10≡*	10≡*	10≡	21.6	✳ n-14½, ▽ 14½-20 mU, ≡ n-n
23	−4.4	−2.3	−3.0	−3.2	−3.8	566.3	566.8	566.4	69	63	94	WNW 2	WSW 2	WSW 3	2	1	0	.	
24	−1.0	2.8	0.5	0.8	0.1	565.4	565.8	564.7	77	66	85	SW 2	W 2	WSW 2	1	4	1	.	
25	2.1	6.0	0.6	2.9	2.1	563.3	563.3	562.8	85	72	100	W 2	WSW 1	WSW 2	3	9	10≡	3.5	✳ n (25./26.), ≡21-n
26	0.0	5.1	0.9	2.0	1.1	562.3	562.8	562.9	98	78	100	WSW 2	WSW 2	SW 2	10≡	8	10≡	1.7	▽ 18¾, ⌐≡ n-11, 19¼-n
27	0.9	3.7	−4.3	0.1	−0.9	562.5	562.7	562.6	100	91	100	WSW 3	SW 3	W 4	10≡	10≡	10≡	28.9	▽ 5½-5¾, ▽ 8-9¼, 13¾-15¼,*)
28	−3.7	0.0	−2.7	−2.1	−3.2	562.5	562.8	561.9	100	98	100	WSW 3	W 3	W 3	10≡	10≡	10≡*	26.0	▽ 15¾, 16¼-17, ✳ 18¾-n, *)
29	−4.1	−0.7	−2.8	−2.5	−3.7	562.2	563.9	565.3	100	100	100	W 3	WSW 1	NE 2	10≡	10≡	10≡	5.1	✳ n-7, 17¼-19 mU, *)
30	−1.3	−1.4	−2.4	−1.7	−3.0	565.1	566.1	566.2	73	100	100	E 3	N 2	NE 2	1	10≡	10≡	.	≡ 9-n
31	−0.6	1.2	−1.4	−0.3	−1.7	565.3	565.7	564.7	41	94	97	NE 3	N 2	WSW 2	1	10≡	1	.	≡ 12½-14½
Mittel	−1.9	0.1	−2.3	−1.4	—	562.7	563.2	563.3	85	83	91				6.7	7.5	7.0	Summe 305.3	

Mai 1955
Beobachter: *E. Chiesa*

St. Gotthard (Hospiz)

$\lambda = 8° 34'$, $\beta = 46° 33'$,
$H_b = 2095$ m, $G = -0.25$ mm.

1	4.2	10.2	4.1	6.2	5.7	594.9	594.3	593.2	75	72	87	SE 0	SE 0	SE 0	0	0	3	.	
2	4.5	5.4	2.8	4.2	3.6	590.7	589.5	588.1	81	85	96	SE 0	SE 0	SE 0	6	10	10	5.2	● 15¾-16¼
3	−3.2	−0.4	−2.4	−2.0	−2.8	587.1	588.1	589.0	95	96	83	NW 2	NW 2	NW 0	10≡	9	0	.	≡ n-10½
4	−0.2	6.0	1.0	2.3	1.4	589.4	590.4	591.2	61	53	98	SE 1	SE 0	SE 0	6	9	6	.	
5	3.2	9.5	4.0	5.6	4.5	592.8	594.4	595.7	79	**30**	99	SE 0	SE 0	SE 0	6	3	9	.	
6	4.4	8.6	3.4	5.5	4.3	595.9	595.8	593.6	66	74	99	SE 0	SE 0	SE 0	0	9	10●	14.3	● 19¾-n
7	0.8	**2.3**	−2.5	0.2	−1.1	592.8	594.2	593.3	98	53	98	NW 2	NW 2	NW 3	10≡	6	10■	0.7	☽ n-a, ✳fl 15¼-n mU, ≡
8	−3.8	8.9	2.6	2.6	1.2	597.0	598.2	**598.7**	82	34	52	NW 1	NW 0	SE 0	0	0	0	.	[n-a, p-n, ⌐ ⊣ ⋁ p-n
9	2.6	**11.7**	3.9	6.1	4.6	597.7	597.2	596.2	55	38	80	SE 1	SE 1	SE 0	0	6	0	.	
10	4.3	10.7	1.8	5.6	4.0	594.0	593.2	592.7	75	34	98	SE 0	SE 1	NW 2	0	3	10●≡	6.6	● 16½-n, ≡ p-n mU
11	−0.3	5.8	−2.6	1.0	−0.7	591.1	590.3	590.1	97	72	97	NW 2	NW 1	NW 3	10☽≡	10	10*≡	4.4	☽ n-a, ✳ 16¼-n, ≡ n-a, p-n,
12	−3.0	−0.2	0.4	−0.9	−2.7	592.1	593.2	593.3	95	76	69	NW 2	NW 1	NW 0	10■	0	0	.	≡⋁ n-9¾ [⌐ ⊣ p-n
13	1.3	8.4	2.5	4.1	2.2	593.2	593.0	592.3	82	52	95	SE 0	SE 0	SE 1	9	3	10	.	≡ 20¾-n mU
14	2.0	2.5	2.0	2.2	0.2	590.4	588.9	587.9	98	97	96	SE 0	SE 0	SE 0	10☽≡	10●≡	10≡	20.2	☽ n-a, ● 9-n mU, ≡ n-n
15	0.6	−1.6	−5.0	−2.0	−4.1	**585.4**	585.8	587.0	97	98	98	NW 0	NW 2	NW 2	10☽≡	10≡	10≡	2.1	☽ n-7¾, ✳fl 7¾-n mU, ≡ n-n,
16	**−6.7**	1.4	−0.2	−1.8	−4.0	588.7	590.1	591.1	88	66	77	NW 1	SE 1	SE 1	0	0	3	0.7	[⋁ p-n ✳ n (16./17.)
17	0.0	1.3	−1.0	0.1	−2.2	591.1	591.2	590.2	90	96	98	SE 2	SE 2	SE 1	10≡	10*≡	10*≡	27.4	✳ 12¼-n, ≡ n-n mU
18	−0.2	−1.6	−4.6	−2.1	−4.5	587.9	588.1	589.9	93	89	90	SE 1	NW 2	NW 1	10*≡	10*≡	10	3.0	✳ n-p mU, ≡ n-p
19	−6.0	0.5	−5.5	−3.7	−6.2	590.5	592.7	593.7	95	56	93	NW 2	NW 0	NW 1	6	6	0	.	⊣ a mU
20	−6.0	1.8	−3.6	−2.6	−5.2	593.7	593.7	593.6	84	43	99	NW 1	NW 1	NW 2	0	0	10≡	.	≡ 20¼-n, ⌴ l
21	−3.8	1.9	−3.3	−1.7	−4.4	592.7	592.6	592.1	96	57	93	NW 1	NW 1	NW 2	6	6	3	5.0	✳ n (21./22.)
22	−4.6	−4.3	−5.8	−4.9	−7.7	591.6	594.7	596.5	96	90	95	NW 2	NW 2	NW 3	10*≡	10≡	10≡	1.3	✳ n-a, ≡⊣ n-n mU,
23	−3.2	6.3	−0.2	1.0	−1.9	596.2	596.5	596.2	39	42	65	NW 0	SE 0	NW 0	0	0	0	.	[⌐⋁ p-n
24	−0.6	10.0	2.7	4.0	1.0	595.1	594.8	593.8	67	45	98	SE 0	NW 0	SE 0	0	0	10≡	.	≡ 20¼-n
25	3.2	7.7	3.0	4.6	1.5	592.7	592.6	592.2	85	51	97	SE 0	SE 0	SE 0	10	6	10≡	6.4	● 17¾-n mU, ≡ 19½-n mU
26	3.1	8.1	2.8	4.7	1.5	591.7	591.9	592.1	86	66	95	SE 0	SE 0	SE 0	9	10	10	3.3	● 16¾-18, ≡ 18-n mU
27	3.3	5.2	−0.8	2.6	−0.7	592.1	592.2	592.1	97	95	98	SE 0	SE 0	NW 1	10☽≡	10●≡	10≡	**32.2**	☽ n-8, ● 8-p mU, ≡ n-n mU,
28	−0.6	10.0	1.0	3.5	0.1	592.2	591.7	591.6	96	54	100	NW 1	SE 0	NW 1	9	9	10●≡	5.8	● 18½-n, ≡ p-n mU [⋁ III
29	−1.4	1.6	−0.3	0.0	−3.5	591.1	592.5	593.9	96	89	98	NW 1	NW 1	NW 2	10	9	10≡	.	≡ 19¼-n
30	1.7	3.7	1.5	2.3	−1.3	594.1	594.3	594.8	68	62	95	NW 0	NW 1	NW 2	0	3	3	.	
31	2.0	6.7	2.2	3.6	0.0	594.4	594.3	593.9	90	55	85	SE 0	NW 1	NW 1	3	0	0	.	
Mittel	−0.1	4.8	0.1	1.6	—	592.3	592.6	592.6	84	65	91				5.8	5.7	6.7	Summe 138.6	

*) Säntis: **2.** ✳ n (2./3.), ⌐ 16-16½, ≡ 9-11, 14-n **3.** ≡ n-19, ⋁ n-8 **10.** ✳ 18½-20¾, ≡ 14½-n, ⌐ l, ⌐ III **14.** mU, ≡ 11-n, ⌐ a-p **18.** ⌐ a-n **19.** ▽ 7¼-7¾, 13¾-14¼, 14¾-15, 15¾-16¼, 18¼-18½, ≡ n-n **20.** ≡ n-11, 14½-n **21.** 12¼, ✳ 19½-n, ≡ n-11, 17-n **27.** ▽ 11½-11¾, ✳ 15¼-20, ≡ n-6, 6¾-n, ⋁ 16½-n, ⌐ p-n, **28.** ⌐ 18¾, 21-21¼, ≡ n-8¾ mU, 11½-, n, ⋁ 19-n **29.** ▽ 12¾, 14¼-15½, ≡ n-n

$\lambda = 7° 26'$, $\beta = 46° 57'$,
$H_b = 572.2$ m, $G = 0.00$ mm.

Bern

Juni 1955
Beobachter: *Meteorologisches Observatorium*

Tag	Lufttemperatur					Luftdruck			Relative Feuchtigkeit			Windrichtung und Stärke			Bewölkung			Niederschlag	Witterung
	7³⁰	13³⁰	21³⁰	Mittel	Abweich. vom Normalst	7³⁰	13³⁰	21³⁰	7³⁰	13³⁰	21³⁰	7³⁰	13³⁰	21³⁰	7³⁰	13³⁰	21³⁰		
1	9.9	18.6	11.7	13.4	-0.9	712.8	711.2	711.3	75	41	90	NE 0	WNW 1	ESE 1	1	6	4	3.1	● 17¼–17¾, ▽̇ 18¼, 19¼, ⌓ I
2	11.8	20.4	14.8	15.7	1.2	711.4	711.4	712.5	89	**35**	69	SE 0	WNW 1	NE 0	6	5	9	·	● 0½–3, K 0½–0¾
3	11.1	17.1	13.6	13.9	-0.7	712.3	711.1	709.8	87	62	94	NNE 0	ESE 1	NE 1	9	9	10	6.2	● 13¼, 16½–17¼, 20¼–23¼ mU, ⌓ I
4	11.2	14.5	12.4	12.7	-2.0	708.7	709.6	711.1	98	89	97	N 0	WSW 1	SE 0	10●	10●	10●	12.1	● 0¾–24 mU
5	12.3	18.8	15.8	15.6	0.8	711.8	711.1	712.1	93	65	94	E 0	NW 1	ESE 1	8	9	9	0.2	● 18–18½, ⌒ 18½
6	15.4	22.8	20.1	19.4	4.5	711.3	709.7	708.1	82	54	81	SE 0	NNE 1	SE 0	3	8	9	0.1	⌓ I, ⊕ II
7	17.6	18.8	11.8	16.1	1.1	706.5	**704.9**	707.5	92	82	95	SE 1	NW 1	WSW 1	9	9	10●	**44.5**	● 6–7¼, 10¾–12¾, 14½–24, K 15–15¾,
8	11.4	18.0	11.9	13.8	-1.3	707.0	705.6	706.5	88	50	84	SE 1	NW 1	SW 0	4	9	3	0.1	● 0–5¾, ▽̇ 14–14¼, 17½ [⌓ I
9	10.6	14.4	13.0	12.7	-2.5	703.3	701.0	703.3	88	82	70	SW 0	WSW 2	SW 1	9	10	5	9.4	● 12½–12¾, 14–15¾, 23¾–24, ⌓ I
10	9.4	14.5	10.5	11.5	-3.8	706.8	709.3	712.4	93	61	70	SW 2	WSW 2	NNE 0	10●	7	10	1.7	● 5½–8¾
11	8.0	9.2	7.8	8.3	-7.1	713.5	714.6	716.3	94	78	90	N 0	SE 1	SE 0	10●	8	6	0.9	● 4½–10¼, 14¼–14¾, 17–17½, ▽̇ 13½–
12	**6.6**	16.2	11.9	11.6	-3.9	714.6	711.3	709.0	90	51	71	S 0	WSW 1	ESE 0	9	4	10	8.9	● 18¼–18¾, ⌓ I, ⌒ 18½ [13¾
13	11.0	14.8	10.9	12.2	-3.4	709.7	711.8	716.1	94	50	68	WSW 2	WNW 2	SW 1	9	6	9	·	● 0¼–7
14	10.2	16.1	12.8	13.0	-2.7	717.7	717.2	717.2	77	44	65	E 0	NE 1	N 1	5	4	3	·	⌓ I
15	11.9	20.9	17.6	16.8	1.0	717.2	715.9	715.9	87	40	63	NE 0	NE 1	NE 0	6	5	1	·	⌓ I
16	15.4	23.8	20.0	19.7	3.8	715.5	713.8	713.2	79	54	71	S 0	N 0	N 0	0	1	5	0.2	
17	15.0	22.7	17.6	18.4	2.4	714.0	713.4	713.2	93	62	77	ESE 1	SE 1	SE 0	9	10	9	0.1	● 6¼–7, 17¼–18
18	16.0	23.0	18.7	19.2	3.1	712.9	711.9	711.1	84	46	70	SE 0	NE 1	N 1	9	8	7	0.9	▽̇ 18¼, ⊕ 15½
19	18.4	21.6	16.9	19.0	2.8	712.4	711.2	712.2	80	73	93	S 0	W 1	S 0	7	9●	9	4.2	● 2½–5½, 15¼–18, 23¼–23¾,*)
20	16.7	18.6	15.2	16.8	0.5	715.6	716.1	717.4	71	70	94	W 1	SW 1	SE 0	9	9	9	13.5	▽̇ 2–2¼, 9¼–15¼ mU, *)
21	14.8	19.3	15.7	16.6	0.2	716.2	716.2	718.1	97	52	92	S 0	SW 1	NE 0	9	8	9●	0.4	● 0–1¾, 17½–19½ mU, ▽̇ 21½
22	15.1	18.4	15.3	16.3	-0.2	718.8	719.2	**720.2**	83	70	93	SE 0	N 1	SE 0	9	9●	10	8.9	● 9¾–11¾ mU, 13½–15¼, K 13½–14,
23	12.4	20.5	17.6	16.8	0.2	719.4	718.2	717.3	94	49	65	NE 0	NE 1	NE 0	10≡	1	2	·	≡ 5–7½, ⌓ I, Ѱ III [⌒ I
24	14.8	23.8	20.4	19.7	3.1	716.4	715.4	714.4	80	52	70	SE 0	E 1	NE 0	0	1	1	·	⌓ I
25	17.5	**26.1**	17.6	20.4	3.7	715.1	714.3	715.4	77	**35**	79	SE 0	W 1	SE 1	1	4	8	1.0	● 16–16¾, ▽̇ 20½–20¾, Ѱ III
26	16.2	20.8	14.4	17.1	0.3	714.9	713.8	715.1	78	85	94	S 0	SW 1	NE 0	1	9●	9	42.5	● 13¼–14, 17–18½, K 13¼–14, 17–17¾,
27	13.9	19.9	14.6	16.1	-0.8	714.3	713.3	713.5	89	56	95	NE 0	NE 1	E 1	10	5	7	4.3	● 15¾–18¼, ≡ 3½, ⌓ I [⊕ 15½
28	13.7	19.8	16.2	16.6	-0.4	713.0	712.3	712.5	83	59	78	NE 1	NNE 2	NE 0	3	2	1	·	⌓ I
29	14.5	21.5	18.4	18.1	1.1	712.8	711.8	712.4	79	44	70	NE 0	NNE 1	SW 0	1	9	10	0.0	⌓ I, Ѱ 15½
30	15.1	20.1	16.7	17.3	0.2	712.4	712.4	713.4	73	54	74	SW 1	W 1	N 0	10●	7	4	0.0	●tr 5–9, 12½
Mittel	13.3	19.2	15.1	15.9	—	712.9	712.3	712.9	86	58	81				6.5	6.7	6.9	Summe 163.2	

*) **19.** ▽̇ 13, 13¼–13¾ **20.** ● 18½–18¾, 20¼–21, 23¾–24

$\lambda = 6° 57'$, $\beta = 47° 0'$,
$H_b = 487.3$ m, $G = 0.02$ mm.

Neuchâtel

Juni 1955
Beobachter: *Observatorium*

Tag	Lufttemperatur					Luftdruck			Relative Feuchtigkeit			Windrichtung und Stärke			Bewölkung			Niederschlag	Witterung
	7³⁰	13³⁰	21³⁰	Mittel	Abweich. vom Normalst	7³⁰	13³⁰	21³⁰	7³⁰	13³⁰	21³⁰	7³⁰	13³⁰	21³⁰	7³⁰	13³⁰	21³⁰		
1	9.6	17.2	10.6	12.5	-2.5	720.4	718.9	718.7	79	50	60	N 0	SW 0	NW 0	1	9	2	5.4	● 14–18¾ mU
2	11.8	21.8	16.3	16.6	1.4	718.8	718.8	719.9	92	**43**	60	W 0	SE 0	NE 1	2	4	9	·	● 0–1¾
3	12.9	18.6	14.8	15.4	0.1	719.9	718.5	717.1	76	61	78	NE 1	E 2	E 0	9	10	10	9.1	▽̇ 17¼
4	11.3	13.6	13.3	12.7	-2.7	716.2	717.2	718.8	97	97	97	NE 1	NE 0	SW 0	10●	10●	10●	11.5	● 0¼–4¼, 6–21¾
5	13.3	19.9	15.2	16.1	0.6	719.2	718.7	719.3	98	65	87	E 0	S 1	SW 0	8	8	9	0.1	▽̇ 17¾
6	13.8	22.9	19.2	18.6	3.0	718.8	717.3	715.4	94	61	79	E 0	SE 0	SE 0	10	7	10	0.1	≡ n–9 mU
7	17.8	17.7	11.6	15.7	0.0	713.6	711.7	715.2	88	92	96	N 0	SE 0	SW 1	9	10●	10●	**33.7**	● 6½, 7¾–24
8	12.2	16.0	11.6	13.3	-2.5	714.4	713.1	713.8	89	51	78	SW 1	W 2	W 0	2	10●	3	1.0	● 0–3¾, 13½–14¾
9	11.2	13.2	12.4	12.3	-3.6	710.5	**708.5**	711.3	92	89	75	NE 0	SW 1	SW 3	10	10●	10●	8.6	● 11–15¼, 21¼–22, ↙ 12½–n
10	10.7	14.4	10.8	12.0	-4.0	714.2	716.9	719.7	79	60	66	SW 2	W 2	NW 3	10	8	10	·	↙ 14–n
11	10.3	10.1	9.3	9.9	-6.2	721.2	722.5	724.1	71	85	85	E 1	W 1	NE 0	10	10	10	0.5	● 13–13¾
12	**7.7**	15.8	11.9	11.8	-4.4	722.4	719.3	716.6	93	56	79	NE 0	SW 2	SW 0	10	7	10	8.8	● 18–19, 22¼–24, ↙ 16¼–19
13	12.1	14.3	11.6	12.7	-3.6	717.6	719.8	723.5	75	57	62	SW 2	W 3	NW 3	8	9	9	0.2	● 0–4½, ▽̇ 14¾, ↙ n–n mU
14	10.7	18.5	14.7	14.6	-1.8	725.4	724.8	724.8	79	48	57	E 1	SE 0	NE 1	3	2	0	·	
15	12.0	21.8	18.6	17.5	1.0	725.1	723.5	723.3	83	45	53	N 0	SE 0	N 0	9	7	0	·	
16	14.8	25.0	17.1	19.0	2.4	723.1	721.2	720.7	82	50	90	N 0	SE 1	NW 0	0	2	1	0.3	● 18–19
17	16.4	22.9	17.0	18.8	2.1	721.3	720.8	720.7	93	66	84	NW 0	S 0	W 1	9	10	9	1.8	● 14¾–17¾
18	15.8	24.0	20.9	20.2	3.4	720.6	719.5	718.5	90	64	53	NW 0	SE 0	NE 2	10	9	8	1.1	
19	18.0	24.0	18.4	20.1	3.2	719.8	718.7	719.5	94	61	81	NW 0	SE 0	NW 0	8	9	10	6.0	● 1¾–3, 16–16¾, 22½–23¾
20	15.6	18.3	15.8	16.6	-0.4	720.9	721.2	722.3	89	74	91	SW 1	SW 2	W 0	9	10	10	2.0	● 0¾–2¼, 12¾, 14¼–14½, 17¼–18, ▽̇ 8½
21	14.8	22.3	16.2	17.8	0.8	723.9	723.7	725.5	89	59	83	SW 1	S 1	NE 0	9	6	8	0.7	● 6¾, 15¾–16
22	15.8	18.5	16.2	16.8	-0.3	726.4	726.8	**727.9**	93	64	71	NE 0	NW 3	N 0	10●	8	9	2.0	● 4½–9¾
23	16.0	23.8	19.2	19.7	2.5	727.0	725.7	724.6	85	51	67	E 0	E 2	NE 1	10	4	1	·	
24	15.7	25.2	20.4	20.4	3.1	723.9	722.9	721.9	86	56	66	NE 0	SE 0	N 0	3	2	1	·	
25	18.1	**26.3**	18.9	21.1	3.7	722.6	721.6	722.8	87	51	79	N 0	SW 1	NE 0	1	6	2	0.3	● 14½–14¾, K 14¼–16
26	17.1	18.7	16.9	17.6	0.1	722.3	721.4	722.6	89	84	75	NE 0	N 2	NE 1	1	10●	8	0.7	● 13–13¾, K 12–14, ↙ 16–18
27	15.6	21.5	15.7	17.6	0.1	721.9	720.8	721.0	86	66	75	N 0	NE 1	E 0	10	8	3	·	
28	15.8	20.5	18.1	18.1	0.5	720.4	719.9	719.9	83	61	59	E 2	NE 2	NE 1	6	8●	5	0.1	●tr 13½, ▽̇ 17
29	14.8	23.4	19.2	19.1	1.4	720.6	719.5	719.8	87	53	56	NE 1	SE 1	W 1	0	9	9	0.1	
30	16.4	19.5	17.6	17.8	0.0	720.0	720.2	720.5	74	66	63	SW 1	SW 1	N 2	10●	9	0	0.4	● 4¼, 7½–8
Mittel	13.9	19.7	15.6	16.4	—	720.4	719.8	720.3	86	63	73				6.9	7.7	6.5	Summe 94.5	

Juni 1955
Beobachter: *Frl. H. Nager*

Altdorf

$\lambda = 8° 39'$, $\beta = 46° 53'$,
$H_b = 456.3$ m, $G = -0.05$ mm.

Tag	Lufttemperatur					Luftdruck			Relative Feuchtigkeit			Windrichtung und Stärke						Bewölkung			Niederschlag	Witterung
	7^{30}	13^{30}	21^{30}	Mittel	Abweich. vom Normalst	7^{30}	13^{30}	21^{30}	7^{30}	13^{30}	21^{30}	7^{30}		13^{30}		21^{30}		7^{30}	13^{30}	21^{30}		
1	11.1	17.3	11.5	13.3	−1.7	722.6	720.8	722.1	76	46	88	E	o	N	1	NW	o	5	7	10●	27.7	● 15–n
2	9.5	15.9	12.8	12.7	−2.4	721.8	721.7	723.1	94	56	86	E	1	NW	1	E	o	10●	10	8	3.0	● n–a, ⛆ 2½, 4¾
3	11.6	16.3	13.3	13.7	−1.5	722.4	720.8	720.0	90	64	96	E	o	NW	o	NW	o	5	10	10	1.2	● tr a–n mU
4	14.0	15.2	13.5	14.2	−1.1	718.7	719.4	720.6	93	87	100	N	o	NW	o	NW	o	8	9	10●	10.0	● a–n mU
5	12.8	18.9	15.7	15.8	0.4	721.8	720.5	722.4	95	62	95	NE	o	NW	o	NW	o	3	5	10	2.5	● 18–n mU
6	14.8	21.3	20.3	18.8	3.4	721.2	719.1	717.9	93	60	51	N	o	NW	o	SE	1	2	5	7	.	
7	21.4	24.2	17.8	21.1	5.6	715.9	713.1	715.8	49	46	77	W	1	SE	1	NW	2	8	10	10●	36.8	● 17–n, ⛈ 16½–17
8	11.9	18.6	12.1	14.2	−1.4	717.5	714.9	716.2	89	50	86	E	o	N	1	E	o	7	6	3	2.6	⛆ 16–17¾
9	12.7	20.8	12.8	15.4	−0.3	712.2	**709.0**	713.4	74	41	92	NW	1	SE	2	N	o	6	10	10	7.6	● 15–18¼
10	12.3	14.7	10.4	12.5	−3.3	715.3	719.1	722.8	98	62	96	NE	o	NW	o	N	1	10●	8	10	6.0	● n–a mU, 17–18, ⛆ 17–17½
11	9.8	10.3	8.9	9 7	−6.2	722.7	724.5	727.0	76	66	92	N	1	NW	1	E	o	10	10●	10	1.2	● tr n–n mU
12	8 0	14.9	12.5	11.8	−4.1	724.7	721.3	719.8	86	45	92	NE	o	N	o	NW	2	7	5	10●	10.5	● 17–n
13	11.9	15.2	10.5	12.5	−3.5	719.3	720.5	726.0	100	52	85	NW	o	N	3	E	o	10●	8	10	10.3	● n–a mU, ⛈ II
14	11.7	18 9	12.4	14.3	−1.8	727.9	726.7	728.0	72	47	75	NE	o	NW	1	SE	o	7	6	8	0.2	● n (14./15.)
15	12.5	18.3	15.8	15.5	−0.7	727.7	725.8	726.2	92	52	91	S	2	NW	o	NW	o	10●	7	10	0.0	● 6¼–7½
16	13.7	21.9	18.0	17.9	1.6	725.5	723.3	722 9	85	56	75	N	o	N	2	SE	2	0	3	6	.	
17	16.0	20.5	15.2	17.2	0.9	723.9	723.3	723.7	89	56	95	E	o	NW	o	SE	o	8	8	10	5.5	● ⛆ 9–9¾, 18
18	15.9	22.7	22.9	20.5	4.1	723.0	722.3	720.7	97	60	49	SE	o	NW	o	S	2	8	5	o	.	
19	19.8	**24.9**	19.5	21.4	4.9	721.3	720.6	722.2	60	**40**	71	NW	1	S	2	NW	1	4	4	8	0.6	● n (19./20.)
20	17.5	17.8	16.0	17.1	0.5	723.1	723.9	725.5	94	72	95	N	o	NW	2	NW	o	10●	10	10●	8.5	● 7–n mU
21	15.6	20.1	16.0	17.2	0.6	726.6	725.7	728.1	97	55	85	N	o	NW	1	S	o	10	7	10	2.1	● n–n mU
22	15.3	18.4	15.8	16.5	−0.2	728.8	728.8	**730.8**	90	75	95	SE	o	NW	2	SE	o	8	8	10	3.1	● p–n
23	15.7	20.9	17.5	18.0	1.2	730.1	728.2	728.0	97	66	80	NE	o	NW	o	SE	o	8	4	3	.	
24	15.5	22.4	19.3	19.1	2.2	726.1	724.6	724.4	83	65	95	SE	o	NW	1	NE	o	o	o	o	1.1	⛆ 17¼–18
25	17.8	21.7	17.9	19.1	2.2	724.6	724.5	725.5	96	55	87	NE	o	NE	2	N	o	1	10	4	.	
26	16.8	22.2	17.4	18.8	1.8	724.5	723.0	724.4	79	68	83	NE	o	E	o	NW	o	o	7	10	2.8	● ⛆ 15¼–15¾
27	16.4	19.4	15.9	17.2	0.1	723.9	723.4	722.6	90	73	82	N	o	NW	o	NW	o	10	9	8	.	
28	15.0	20.4	16.0	17.1	0.0	723.0	721.6	722.5	80	65	87	W	o	NW	2	SE	o	6	6	4	.	
29	15.0	22.3	16.0	17.8	0.6	722.5	720.5	721.5	82	51	95	E	o	NW	2	SE	o	3	7	10	4.9	● 18½–n mU
30	15.8	17.9	16.1	16.6	−0.7	721.9	722.1	723.6	100	80	95	E	o	N	o	NW	o	10	10	10	2.1	● n (30./1.)
Mittel	14.2	19.1	15.3	16.2	—	722.7	721.8	722.9	86	59	86							6.5	7.1	8.0	Summe 150.3	

Juni 1955
Beobachter: *Observatorium*

Genève

$\lambda = 6° 9'$, $\beta = 46° 12'$,
$H_b = 405.0$ m, $G = -0.03$ mm.

1	12.0	18.7	16.4	15.7	0.2	727.3	725.5	725.7	65	58	81	NE	1	NNE	o	NNE	o	3	2	6	0.1	● n (1./2.)
2	16.0	23.2	18.4	19.2	3.6	726.0	726.2	726.7	71	**42**	92	NE	1	NW	1	NE	o	o	9	9	0.0	● 4½–7½
3	16.6	18.6	16.1	17.1	1.4	726.4	725.8	723.8	66	69	91	NNE	1	SSW	1	S	1	7	10	10	19.8	● 23½–24, ⛆ 23
4	15.0	16.2	14.0	15.1	−0.8	723.0	724.2	725.6	91	68	78	S	1	S	1	S	1	10●	10	10	4.0	● o–3, 7½–9¾, 11–11¾, [14¾–20¼
5	13.4	18.4	16.2	16.0	0.0	726.7	725.8	726.4	84	69	87	NNE	1	NNE	1	NNE	o	9	10	2	.	
6	15.9	21.0	18.3	18.4	2.3	725.3	724.5	723.9	82	61	88	ENE	o	NNE	1	E	o	1	8	2	1.2	● n (6./7.), ≡ 5–6
7	17.6	16.6	12.0	15.4	−0.8	721.3	720.2	722.9	90	94	83	NNE	o	S	2	S	o	10●	10●	10●	**39.0**	● n–n
8	13 8	18.6	14.3	15.6	−0.7	721.4	721.2	721.3	82	56	78	NNE	2	S	2	S	1	2	10	8	0.5	● n (8./9.), ◠ 18½
9	11.1	14.8	13.0	13.0	−3.4	**717.2**	717.5	719.4	93	91	88	E	o	S	2	S	1	10	9	8	16.5	● p–n mU
10	12.8	18.6	14.0	15.1	−1.4	722.7	724.5	726.5	86	59	80	S	1	W	1	SW	1	10	8	9	2.3	● n (10./11.)
11	11.8	16.9	10.1	12.9	−3.7	728.7	730.0	730.3	81	70	85	E	o	NE	o	E	o	8	10	7	.	
12	**9.2**	18.2	12.0	13.1	−3.6	728.9	725.9	724.1	84	55	83	E	o	S	1	S	1	10	9	10	.	
13	15.5	19.2	14.2	16.3	−0.5	725.0	728.0	730.8	74	43	76	E	o	NW	1	ENE	o	5	4	2	.	
14	11.0	18.8	16.2	15.3	−1.6	732.4	731.3	731.6	75	43	77	NNE	o	NNE	1	NNE	1	o	o	1	.	
15	13.6	22.2	20.0	18.6	1.6	731.8	729.9	729.9	80	43	83	NE	1	NNE	1	NE	o	o	1	o	.	
16	17.0	23.4	21.0	20.5	3.4	729.5	728.1	727.9	80	52	73	NNE	o	NNE	1	E	o	o	1	4	3.2	
17	17.0	23.6	18.0	19.5	2.3	728.7	727.4	727.1	94	62	82	NE	1	NE	1	E	1	10	2	5	.	⛆ ⛆ 5½–6½
18	17.0	23.0	23.4	21.1	3.8	727.3	725.1	725.3	90	66	88	E	o	NNE	1	S	1	3	5	10	1.7	⛆ ⛆ 20½
19	19.2	24.0	17.8	20.3	2.9	726.1	726.2	726.7	88	75	78	SW	1	SW	1	SW	o	5	10	10	4.0	● 14–14¾, 19¾–24
20	16.6	22.0	16.1	18.2	0.7	728.7	728.3	730.1	92	62	88	S	o	SSW	2	W	1	10	9	8	6.3	● o–2¾, 7–7½, 9–11¼, 14¾–15½
21	17.2	23.8	16.6	19.2	1.6	730.8	730.7	732.9	68	52	92	E	1	SSE	1	E	o	8	8	6	5.6	⛆ 18¼–18¾
22	17.0	20.2	17.6	18.3	0.7	733.7	**734.2**	734.8	94	64	92	E	o	NNE	1	E	1	10	9	8	.	● 6–7
23	15.4	23.2	20.4	19.7	2.0	733.8	732.2	731.1	75	59	69	NE	1	NNE	1	NNE	o	2	o	o	.	
24	17.6	23.8	22.0	21.1	3.3	730.6	729.1	728.7	67	60	74	E	o	NNE	1	E	o	o	1	2	.	
25	20.0	**25.6**	21.0	22.2	4.3	729.7	728.6	730.0	72	60	82	ENE	o	NNE	1	E	o	2	4	5	.	
26	18.2	25 5	20.6	21.4	3.4	729.8	727.7	729.3	69	58	83	NNE	1	NNE	1	NNE	1	6	9	7	.	
27	16.2	22.2	17.4	18.6	0.5	728.8	726.9	727.5	67	59	86	NE	1	NNE	1	E	o	6	6	5	.	
28	18.4	23.2	19.8	20.5	2.4	727.0	727.7	726.6	67	58	83	NNE	1	NNE	1	NNE	1	1	5	5	.	
29	16.5	23.4	21.2	20.4	2.2	727.5	726.4	727.1	73	61	89	E	o	NNE	1	S	1	1	9	9	.	
30	20.0	22.6	19.2	20.6	2.3	727.3	727.0	727.5	74	60	88	S	1	NNE	1	E	1	9	7	2	.	
Mittel	15.6	21.0	17.2	17.9	—	727.4	726.8	727.4	79	61	83							5.3	6.5	6.0	Summe 104.2	

$\lambda = 8°\ 34'$, $\beta = 47°\ 23'$,
$H_b = 569.4$ m, $G = 0.03$ mm

Zürich

Juni 1955
Beobachter: *Meteorologische Zentralanstalt*

Tag	Lufttemperatur					Luftdruck			Relative Feuchtigkeit			Windrichtung und Stärke			Bewölkung			Niederschlag	Witterung
	7^{30}	13^{30}	21^{30}	Mittel	Abweich. vom Normalst	7^{30}	13^{30}	21^{30}	7^{30}	13^{30}	21^{30}	7^{30}	13^{30}	21^{30}	7^{30}	13^{30}	21^{30}		
1	11.1	19.4	13.1	14.5	0.3	712.8	711.5	711.3	68	**35**	69	NE 1	WSW 1	NNE 1	1	1	10	.	⏢ l
2	13.1	18.7	11.7	14.5	0.2	711.1	712.4	713.2	79	54	76	WSW 1	NNE 2	ENE 1	3	2	7	0.1	⏢ l
3	10.1	20.4	14.4	15.0	0.6	713.0	711.5	710.1	84	44	58	NE 1	NNE 2	NE 2	4	9	10	6.2	⏢ l
4	9.9	12.8	12.2	11.6	−2.9	709.1	710.0	711.5	96	99	98	NE 1	SSW 1	S 1	10●	10●	10●	17.8	● 1½-24, ≡ 16¼-n mU
5	13.9	20.3	15.2	16.5	1.9	712.2	711.4	712.3	87	57	97	S 0	NNE 1	NNE 1	8	9	9	2.1	● 0-1½, 18½-21, ⊕ 9-11
6	13.8	26.0	19.6	19.8	5.1	711.5	709.9	707.9	92	51	81	NNE 0	ENE 1	ESE 1	9	5	9	.	≡ n-7¾
7	21.2	22.0	11.9	18.4	3.6	706.9	704.8	706.5	70	64	97	NE 0	WNW 2	WSW 1	9	9	10●	**33.8**	● 16¾-18, 19½-21, ↖ 16¾-17, *)
8	11.0	19.7	11.6	14.1	−0.8	707.1	705.8	706.5	86	46	82	S 1	SSW 2	SSE 1	9	4	1	0.3	● 0-4¾, 14-16¾, ↖ 15¾, ↙ 15½-16
9	11.5	23.7	13.1	16.1	1.1	703.0	**699.2**	702.9	76	50	78	NE 1	ENE 1	SSW 2	8	9	6	3.4	● 15½-18½, ↙ 15-18, 22¾-n, ⏢ l
10	11.0	13.3	10.0	11.4	−3.6	705.2	709.1	712.9	76	73	76	SW 2	WNW 2	NW 1	10	9	10	4.1	● 8-10½, ↙ n-16¼ mU
11	7.5	7.3	**6.9**	7.2	−7.9	713.5	715.1	716.5	98	92	92	NNE 1	NE 2	SE 1	10●	10●	9	2.9	● 2¾-3¾, 6-14½ mU
12	7.5	17.9	9.5	11.6	−3.6	714.5	711.6	709.8	89	49	94	SW 1	SSW 1	NNE 1	9	7	10	15.3	● 20-21½, 22½-24, ↙ 17¼-20¾
13	10.0	13.3	10.4	11.2	−4.1	709.3	711.4	716.0	87	58	69	WSW 2	W 2	WSW 2	9	7	10	.	● 0-5¾, 6¾-7½
14	10.2	16.1	12.7	13.0	−2.4	718.0	717.8	717.7	73	46	63	NNW 1	NE 1	ENE 1	3	3	9	0.0	⏢ l
15	12.6	22.5	16.2	17.1	1.7	717.2	716.3	716.3	76	42	72	SSW 0	SE 1	NE 1	9	2	2	.	⏢ l
16	15.5	25 9	18.6	20.0	4.5	715.6	714.2	713.5	77	44	80	SSW 1	NNW 1	NNE 1	0	1	4	.	⏢ l
17	16.6	24.5	16.2	19.1	3.5	714.0	713.5	713.8	82	54	97	SSW 1	SW 1	ESE 2	1	10	10●	8.5	● 20¾-24, ↖ 18½-20¼, 20¾-21¼,
18	16.4	23.8	19.1	19.8	4.1	713.2	712.8	711.6	89	52	82	SSE 1	N 1	NNE 1	9	6	9	0.1	[21¾
19	17.0	25.8	16.6	19.8	4.0	712.8	711.2	712.4	87	56	93	WNW 1	NNE 2	WNW 0	8	2	9	0.2	● 16¾-17¼
20	17.4	18.9	14.6	17.0	1.2	713.3	713.7	714.9	82	68	97	SSW 1	SSW 2	SSE 1	9	10	9●	14.5	● 16-19, 20-24
21	15.0	22.0	15.5	17.5	1.6	716.5	716.2	718.1	90	57	88	S 1	SW 1	SSE 1	10	5	8	0.8	● 0-0¼, 3-7
22	15.3	17.5	14.5	15.8	−0.2	718.8	719.4	**720.6**	93	90	99	SSW 0	NE 1	NE 1	10●	10●	10●	2.6	● 6-7½, 13¾-13½, 18½-19¾,
23	14.1	22.7	16.4	17.7	1.6	719.8	718.8	717.8	94	55	75	SSE 1	NNW 1	NE 1	10	1	1	.	[21½-23¾
24	16.1	26.3	21.1	21.2	5.1	716.3	715.3	714.6	80	47	56	ENE 1	NNE 1	NE 1	0	0	0	.	⏢ l
25	17.9	**27.7**	18.1	21.2	5.0	715.1	714.1	715.1	81	46	86	SW 0	W 1	SE 1	0	5	9	0.0	⏢ l
26	17.7	25 1	13.8	18.9	2.6	714.9	713.7	715.4	84	54	99	S 1	NW 1	SSE 1	2	8	10	19.7	⊹ 16½, ● 17-20, ↖ 17, ↙ 17, ⏢ l
27	14.4	15.7	12.7	14.3	−2.0	714.5	714.3	713.8	93	77	91	WNW 1	NNW 2	NE 1	10	10●	5	8.9	● 4½-4¾, 13½-15, ↖ 12¾-14¼
28	13.9	21.6	14.9	16.8	0.4	713.4	712.6	712.7	90	54	81	N 1	NNE 1	NE 1	10	4	8	.	⏢ l
29	14 9	23.8	17.5	18.7	2.2	712.9	711.9	712.2	86	49	70	SSW 1	NNW 1	WNW 1	2	9	10	0.1	⏢ l
30	14.6	19.7	16.8	17.0	0.5	712.4	712.1	713.7	89	61	68	W 2	W 2	WNW 1	10●	8	9	0.4	● 7¼-8½
Mittel	13.7	20.5	14.5	16.2	—	712.9	712.4	713.0	85	58	82				6.7	6.2	7.8	Summe 141.8	

*) 7. ↙ 16¾, ⏢ l

$\lambda = 6°\ 32'$, $\beta = 46°\ 51'$
$H_b = 1588$ m, $G = -0{,}13$ mm

Chasseron

Juni 1955
Beobachter: *J. Liardon*

1	6.4	8 4	8 0	7.6	—	630.4	630.4	629.6	62	74	55	SE 0	SSW 1	WNW 1	6	9	5	2.4	⊹ 12½-15½ mU
2	8.0	11.4	8.0	9.1	—	629.4	630.6	631.0	68	54	100	W 3	**W 2**	WNW 2	5	5	10	.	≡ p-n mU
3	7.8	9.2	8.2	8.4	—	630.4	629.9	628.6	78	78	92	SSW 1	S 1	**S 1**	9	9	10	11.9	⊹ 14-14½, n (3./4.)
4	7.1	7.0	6.0	6.7	—	626.9	628.0	629.0	100	100	100	**S 1**	WNW 2	W 1	10●≡	10●≡	10	13.4	● n-20, ≡ n-19¾
5	5 8	10.4	9.8	8.7	—	629.7	630.2	630.6	100	72	90	SE 1	S 0	SW 1	10≡	7	7	.	≡ 6-7¾
6	10.8	16.0	15.2	14.0	—	630.3	630.3	629.0	82	67	67	SE 1	SE 0	S 1	3	6	9	1.0	● n (6./7.)
7	12.2	10.0	4.0	8.7	—	626.8	624 5	625.5	84	100	100	SW 1	WSW 1	W 1	9●	10●≡	10●≡	**31.6**	● n-9 mU, 9-n, ≡ 9-n
8	3.8	6.4	7.0	5.7	—	625.0	625 0	624.9	98	82	66	S 1	**S 1**	SW 3	3	10●	5	6.0	⊹ 13-13¾, 16¾, ↙ p-n
9	5.4	5.2	4.4	5.0	—	621.8	**620.5**	621 8	90	100	100	ESE 1	S 2	W 3	9	10≡	10●≡	20.8	⊹ 11-15 mU, 19¼-n mU, ≡ 12½-
10	2.5	3.6	1.4	2.5	—	624.6	626.8	628.7	100	100	100	W 1	WNW 2	NNW 2	10●≡	10≡	10≡	1.6	● n-9, ≡ n-n [15½, 19-n
11	**−1.0**	0.0	0.6	−0.1	—	629.5	631.1	632.4	100	100	94	N 1	N 1	NNW 1	10≡	10≡	7	0.0	≡ n-9¾, 12½-13¾
12	1.2	8.0	5.6	4.9	—	630.7	629.5	627.9	86	50	73	SSW 1	WSW 2	WSW 3	8	9	10	18.6	⊹ n (12./13.), ↙ p-n
13	2.4	2.8	2.0	2.4	—	626.4	629.5	632.5	100	100	100	WSW 4	W 3	WNW 2	10≡	9	10●≡	.	⊹ 21½-n, ≡ n-12¾, 20½-n mU,
14	2.4	8.0	6.6	5.7	—	633.6	634.7	635.1	68	81	86	E 1	NE 0	E 0	5	5	4	.	[↙ n-p, ↙ l
15	10.8	15.4	11.4	12.5	—	634.8	635.2	635.3	**30**	55	77	E 1	N 0	NE 1	5	3	3	.	
16	14.6	16.0	13 4	14.7	—	634.2	634.2	633.5	66	64	74	ESE 0	N 0	**ESE 0**	2	4	5	3.3	⊹ 16¾-19 mU, ↖ 17-18¾
17	13.4	12.8	10.2	12.1	—	633.2	633.5	632.8	66	85	98	WNW 1	S 1	E 1	5	6	9	11.2	⊹ 15½-20¼ mU, ↖ 11¾-19½ mU
18	11.2	14.8	13.0	13.0	—	632.1	632.2	631.5	60	80	92	WSW 1	SW 0	SE 1	9	5	6	6.0	● n (18./19)
19	11.2	13.0	9.6	11.3	—	631.7	631.7	631.5	100	94	100	SE 1	S 1	W 1	5	10	10	7.6	● p mU, ⊹ n (19./20.)
20	7.0	8.8	8.0	7.9	—	631 8	632.5	633.2	100	100	94	W 0	WNW 1	WNW 1	10≡	10≡	2	1.4	⊹ n-a mU, ≡ 7-17½
21	7.0	10.6	9.0	8.9	—	634.2	634.9	636.0	100	87	89	W 1	W 0	WNW 0	10≡	9	9	9.0	⊹ 16-17½, ≡ n-a, p
22	8.6	7.2	7.2	7.7	—	636.8	**637.8**	637.8	100	100	88	NNW 1	WNW 1	N 1	10≡	10≡	10≡	10.4	⊹ 6½, ● 14-p, n-17½, 21½-n
23	8.6	13.2	11.4	11.1	—	637.0	637.4	636.4	94	76	76	E 1	E 0	E 1	0	5	4	.	
24	12.0	**17.2**	16.0	15.1	—	635.4	635.7	635.1	88	56	53	E 1	ESE 0	E 0	2	4	5	.	
25	14.0	**17.2**	13.6	14.9	—	634.9	635.2	635.3	67	66	97	W 1	W 1	N 1	3	5	5	.	
26	13.8	12 0	10.0	11.9	—	634.3	634.3	633.9	76	100	90	NNE 0	NNW 1	N 0	4	9	7	0.1	≡ n-12 mU
27	10.8	10.2	8.4	9.8	—	633.0	632.8	632.7	76	100	100	N 0	E 0	E 1	5	10≡	5	2.9	● n (27./28.), ≡ 11-16½
28	9.2	10.4	10.0	9.9	—	631.4	631.7	631.5	83	90	94	E 1	NE 0	N 1	3	6	9	.	
29	10.0	13.0	9.4	10.8	—	631.8	631.7	631.8	88	68	84	ENE 0	**NNE 1**	NW 1	3	6	7	.	
30	7.0	8.8	8.6	8.1	—	630.7	631.9	632.1	100	98	100	N 2	NNW 2	WNW 1	10≡	9	8	0.0	☽ 8-10, ≡ n-11¾
Mittel	8.1	10.2	8.5	8.9	—	631.1	631.5	631.6	84	83	88				6.4	7.7	7.4	Summe 159.2	

Juni 1955
Beobachter: *Stationspersonal Rh. B.*

Bever

$\lambda = 9° 53'$, $\beta = 46° 33'$,
$H_b = 1711.8$ m, $G = -0.23$ mm

Tag	Lufttemperatur 7³⁰	13³⁰	21³⁰	Mittel	Abweich. vom Normalwert	Luftdruck 7³⁰	13³⁰	21³⁰	Relative Feuchtigkeit 7³⁰	13³⁰	21³⁰	Windrichtung und Stärke 7³⁰	13³⁰	21³⁰	Bewölkung 7³⁰	13³⁰	21³⁰	Niederschlag	Witterung
1	5.1	9.4	4.6	6 4	−1.8	621.2	620.2	621.3	80	50	95	S 1	SW 3	NE 0	3	9	10●	5.0	● 17¾-n mU, ⌿ ll
2	2.4	9.0	3.0	4.8	−3.5	619.8	620.9	622.3	98	47	100	SW 0	NW 1	NW 0	10	10	5	.	.
3	1.0	15.6	7.6	8.1	−0.3	621.8	620.9	621.3	100	55	92	N 0	SW 1	SW 0	4	8	10	1.9	● n (3./4.), ≡ n-7
4	8.2	10.1	7.4	8.6	0.1	621.0	619.5	620.8	94	86	93	SW 0	SW 1	SW 0	10	10	10	6.4	● a mU
5	6.2	15.4	9.2	10.3	1.7	621.9	621.3	622.8	89	54	88	SE 0	SW 0	S 0	7	9	9	.	.
6	6.3	18.1	9.4	11.3	2.6	623.0	622.4	622.7	49	52	95	S 0	SW 2	SW 0	9≡	5	6	.	≡ n-8
7	11.8	12.4	9.4	11.2	2.4	620.8	619.4	616.5	82	95	100	SW 0	SW 1	SW 0	10	10●	10●	26.1	● 12¾-n mU
8	9.0	15.0	5.0	9.7	0.8	616.1	614.9	617.3	73	46	97	SW 0	S 0	SW 0	3	6	3	0.1	● 17½-n mU
9	5.4	10.0	5.3	6.9	−2.1	616 4	614.4	614.6	91	73	99	NE 0	NE 0	N 0	9	10	10●	**31.0**	● 8-a, 15-17½, 19½-n mU, ✳ n (9.10.)
10	1.8	7.8	5 6	5.1	−4.0	**614.3**	617.5	619.8	95	94	67	NE 0	SW 0	N 0	8	10●	6	0.0	●tr 13-14 ✳
11	4.2	4.0	2 4	3.5	−5.7	619.0	619.6	622.9	84	84	68	N 1	NW 1	E 0	10	10	6	0.0	●tr 13-p mU
12	**−0.3**	10.1	5.0	4.9	−4.4	622.7	621.1	620.5	85	38	94	SW 0	SW 2	SW 0	0	9	10●	0.2	● 21-n, ⌴ l
13	5.6	11.5	4.1	7.1	−2.3	616.5	618.7	621.9	96	60	84	SW 2	SW 1	N 0	9	8●	4	0.0	● 13½-p mU
14	4.4	11.2	3.2	6.3	−3.2	624 0	624.3	626.0	62	41	79	NW 1	SW 0	E 0	8	1	0	.	.
15	8.0	15.0	9.8	10.9	1.3	626.8	625.1	626.4	60	50	75	NW 2	NW 0	W 0	10	9	7●	0.3	● 21-n
16	7.8	19.3	12.1	13.1	3.4	626.0	624.3	625.1	87	37	94	SW 0	N 0	SW 0	1	1	9	0.3	● n (16./17.)
17	9.8	14.1	8.7	10.9	1.1	624.6	624.2	624.5	85	70	90	SW 0	SW 0	SW 0	5	8	2	0.2	● 13-13¾
18	10.2	17.9	11.0	13.0	3.1	624.1	623.8	625.4	85	49	98	SW 0	SW 1	SW 0	9	6	10●	0.5	● 21-21¾
19	10.0	18.0	10.7	12.9	2.9	625.2	624.5	624.8	94	59	97	W 0	SW 0	SW 0	10	9	10●	1.7	● 16¾-n mU
20	11.2	14.3	10.2	11.9	1.8	623.8	623.3	624.2	87	61	90	S 0	SW 1	SW 0	9	9	10	.	.
21	9.4	14.2	10.6	11.4	1.3	624.9	625.1	627.4	79	60	70	SW 0	W 0	N 0	10	9	5	0.6	● 8-a mU
22	10.0	15.9	9 6	11.8	1.6	627.4	626.8	**628.3**	86	51	98	S 0	SW 0	SW 0	8	7	10	.	⌿ p mU
23	10.6	17.2	9.4	12.4	2.1	627.8	627.2	627.5	82	40	80	NE 0	W 0	N 0	8	1	2	.	.
24	6.2	**21.7**	11.0	13.0	2.6	627.6	625.6	626.0	94	**29**	87	NW 0	E 0	SW 0	0	0	0	.	.
25	10.6	21.2	12.4	14.7	4.3	626.1	625.0	625.7	84	54	76	SW 0	E 0	E 0	1	1	2	.	.
26	10.0	18.6	10.4	13.0	2.5	625.3	624.0	624.7	85	44	96	SW 0	W 1	SW 0	2	7	10●	13.3	● 12¾-12½, 19½-n
27	9.0	12.1	7.7	9.6	−1.0	623.1	622.9	623.1	86	63	88	E 0	NW 1	NE 0	10●	9	6	0.0	● n-8
28	5.2	16.2	10.6	10.7	0.1	622.6	621.3	622.4	96	45	62	SW 0	SW 1	NE 0	10	9	6	.	.
29	6.1	18.1	12.0	12.1	1.4	622.3	621.1	622.5	95	45	61	SE 0	SW 0	NW 1	1	5	10	.	⌓ l
30	10.2	12.8	10.2	11.1	0.3	621.4	621.8	623.3	80	60	76	NE 1	SW 1	NE 0	3	10	10	0.0	●tr 13¾-p mU
Mittel	7.2	14.2	8.3	9.9	—	622.6	622 0	623.1	85	56	86				6.6	7.2	6.9	Summe 87.6	

Juni 1955
Beobachter: *Couvent des Capucins*

Sion

$\lambda = 7° 21'$, $\beta = 46° 14'$,
$H_b = 548.6$ m, $G = -0.11$ mm.

1	12.3	21.1	14.6	16.0	−0.4	715.3	713.4	714.3	71	41	71	NNE 0	W 0	NNE 0	2	8	6	0.5	●tr 20¾, 22½-23¾
2	13 5	24.0	19.2	18.9	2.4	714.3	713.6	714.4	77	**29**	35	NNE 0	WSW 1	N 0	5	7	9	.	.
3	14.5	20.5	15.4	16.8	0.2	714.8	713.3	713.1	71	48	85	W 0	E 0	W 0	9	10	6	0.2	● 11¾-12
4	14.2	19.3	13.8	15.8	−0.9	711.6	712.4	713.9	88	67	100	W 0	W 0	W 0	10	10	10●	4.4	● 9½-10½, 18½-23½
5	14.0	22.0	16 3	17.4	0.6	714.9	713.3	715.0	87	49	89	W 0	SSW 1	W 0	10	9	7	0.4	● 17½-18
6	16.2	26.0	21.7	21.3	4.4	714.7	712.1	711.7	77	40	70	W 0	W 0	W 0	1	7	7	0.1	●tr 21¼
7	21.0	22.6	18 0	20.5	3.5	710.0	706.7	709.4	66	66	95	ENE 0	W 0	W 0	7	10	10●	**19.5**	● 15¼-22½, 23-24
8	14.2	21.2	13.8	16.4	−0.7	710 5	707.9	709.7	78	46	75	WSW 0	S 0	W 1	3	8	6	.	● 0-1¼, 1¾-2½, ●tr 3¾
9	14.8	16.4	12 4	14.5	−2.7	706 9	**704.0**	707.1	66	71	85	W 0	WNW 2	E 1	3	10●	4	5.9	● 13¼-15¼, 18-18½
10	11.4	17.6	12.8	13.9	−3.4	709.6	711.7	713.6	94	54	80	E 0	WSW 2	WSW 2	10●	7	8	0.8	● 5½-7¾
11	**9.2**	14.3	10.1	11.2	−6.1	714.8	715.6	718.0	82	56	68	WSW 2	NNW 2	W 1	10	9	0	.	●tr 4¼, 5¼-7¼
12	**9.2**	20.2	12.0	13.8	−3.6	717.7	714.1	714.3	75	39	80	W 0	SW 0	E 2	9	7	4	0.9	● 17¼-17½
13	13.4	18.8	12.8	15.0	−2.5	712.7	713.5	717.2	84	44	65	ENE 0	W 2	W 2	9●	6	5	0.7	● 6-10, ⌿ a
14	13.6	20.2	15.4	16.4	−1.2	718.5	717.6	718.7	61	47	64	WSW 1	WNW 1	W 0	3	3	1	.	.
15	13.2	23.6	19.2	18.7	1.0	719.4	716.9	717.4	76	48	61	NNW 0	WSW 1	WSW 0	4	5	1	.	.
16	17.4	26.9	20.7	21.7	3.9	717.9	715.2	715.3	72	46	69	WSW 0	WSW 2	WSW 1	0	2	2	.	.
17	19.6	20.4	19.2	19.7	1.8	716.2	716.8	716.8	69	74	95	ENE 0	E 1	WNW 0	7	5	10●	6.6	● 8½-10¼, 18¾-19¾ 20-22¾
18	17.8	26.4	21.5	21.9	4.0	716.1	713.5	713.8	81	51	60	WNW 0	WSW 1	WNW 0	4	6	10	.	●tr l
19	21.2	25.8	19.7	22.2	4.2	715.0	713.6	714.3	62	42	78	NNE 0	SE 1	W 2	4	10	7	.	.
20	17.9	21.3	16.3	18.5	0.4	715.8	715.5	717.3	85	66	94	W 1	WSW 1	WSW 0	10	9	10	2.0	●tr 10½, 14½-15, 18-18¾
21	18.1	24.8	17.2	20.0	1.8	718.3	717.2	719.7	76	46	70	W 0	WSW 2	W 0	4	4	10	.	.
22	16.3	22.0	17.2	18.5	0.2	721.1	720.2	721.3	80	60	75	WSW 0	WSW 1	WSW 2	8	9	6	.	.
23	17.1	25.9	19.8	20.9	2.5	**721.4**	718.9	718.5	77	48	70	WSW 0	WSW 0	W 0	1	1	0	.	.
24	18.0	27.1	21.0	22.0	3.6	719 2	716.6	716.6	75	51	61	N 0	WSW 1	W 0	0	1	1	.	.
25	19 2	**29.9**	20.1	23.1	4.6	717.8	715.8	717.6	68	46	65	NW 1	WSW 1	NNE 1	1	4	2	.	.
26	18.1	26.1	17.8	20.7	2.1	717.4	715.1	717.3	70	52	87	NNE 0	WSW 2	W 1	1	10	10	0.0	●tr 20-20¼
27	16.5	23.1	17.0	18.9	0.2	716.5	714.6	715.5	84	47	80	W 0	WSW 1	W 1	3	7	4	0.5	●tr 17¾, ● 18-18½
28	16.8	25.0	16.3	19.4	0.6	715.3	712.7	714.4	76	50	79	W 0	WSW 2	W 0	1	2	2	.	⌿ a
29	16.0	24.4	20.0	20.1	1.3	715.7	713.4	714.3	76	48	55	W 0	W 1	W 1	1	5	8	.	.
30	18.2	24.0	19.3	20.5	1.6	714.8	714.1	714.7	76	55	58	W 0	WSW 2	WSW 1	10	6	1	.	.
Mittel	15.8	22.7	17.0	18.5	—	715.5	714.0	715.2	76	51	74				5.0	6.6	5.6	Summe 42.5	

$\lambda = 8° 57'$, $\beta = 46° 0'$,
$H_b = 276.2$ m, $G = -0.01$ mm.

Lugano

Juni 1955
Beobachter: *G. Vicari*

Tag	Lufttemperatur 7³⁰	13³⁰	21³⁰	Mittel	Abweich. vom Normalst	Luftdruck 7³⁰	13³⁰	21³⁰	Relative Feuchtigkeit 7³⁰	13³⁰	21³⁰	Windrichtung und Stärke 7³⁰	13³⁰	21³⁰	Bewölkung 7³⁰	13³⁰	21³⁰	Niederschlag	Witterung
1	11.8	22 4	15.2	16.5	−0.9	739.6	737.4	736.9	84	41	61	N 1	S 1	N 1	0	0	3	.	
2	14.0	24.2	17.6	18.6	1.1	736.3	734.6	735.9	74	48	71	NNE 1	S 1	S 1	6	3	5	5.6	● n (2./3.)
3	14 8	21.2	16.2	17.4	−0.3	738.9	738.3	737.2	91	54	81	NNE 1	S 1	N 1	10	9	10	6.4	● 18¾–18½, ● n (3./4.)
4	15.0	14.2	14.2	14.5	−3.3	736.7	737.5	736.5	98	95	98	SW 1	— 0	S 1	10●	10●	10●	18.8	● n–14, 19–n
5	14.8	20.2	17.4	17.5	−0.4	738.0	738.1	738.6	90	68	75	N 1	SSE 1	N 1	9	9	5	.	
6	16.4	25.6	19.4	20.5	2.5	738.4	737.8	737.1	79	51	77	N 1	S 1	— 0	4	1	9	.	
7	17.8	20.4	20.2	19.5	1.3	735.6	733.8	**729.0**	86	88	65	— 0	S 1	E 2	3	9	10●	**53.4**	● 11–12, p–n mU
8	16.2	24.6	16.4	19.1	0.8	729.9	729.8	731.5	54	46	65	NNE 1	S 1	N 1	0	2	6	6.3	●tr 17½, 19–20, n (8./9.), *)
9	14.2	15.4	17.4	15.7	−2.7	732.0	730.5	738.9	95	96	71	W 1	S 1	E 1	10	10●	10●	22.9	● 11–16½, 20½–n, ⌿ 22–24
10	14.4	22.8	18.4	18.5	0.0	730.2	731.2	733.3	83	54	38	W 1	S 1	NNE 2	10	9	4	0.4	⛆ 14, ● ⌿ n (10./11.)
11	15.2	17.4	15.8	16.1	−2.5	734.6	735.7	738.2	74	64	40	N 1	S 1	NNE 2	10	9	0	0.0	⛆ 13¾
12	**11 2**	19.4	16.8	15.8	−3.0	741.0	740.0	737.9	67	54	60	N 1	S 1	N 1	1	8	4	.	
13	14.4	19.8	18.4	17.5	−1.4	735.3	734.7	736.4	83	58	36	N 1	S 1	NNE 2	10	3	0	.	
14	16.4	24 8	17.2	19 5	0.5	740.0	739.4	740.5	41	**32**	56	NNE 2	S 1	N 1	0	0	1	.	
15	14.2	24.8	19.4	19.5	0.4	742.0	740.6	740.8	78	49	69	NE 1	S 1	N 1	0	3	0	.	
16	16.2	25.8	20.8	20 9	1 7	741.8	739.8	739.4	80	53	67	E 1	S 1	N 1	1	0	2	0.2	⛆ n (16./17.)
17	18.2	24.2	19.8	20.7	1.4	740.2	739.2	739.1	86	56	81	N 1	S 1	N 1	9	9	9	2.4	● n (17./18.)
18	18.2	25.8	20.2	21.4	2.0	739.9	739.2	740.1	93	55	71	S 1	N 1	N 1	10	6	3	1.9	● n (18./19.)
19	17.6	24.2	17.8	19.9	0.4	740.8	740.3	740.3	93	93	98	— 0	S 1	— 0	10	10	10●	27.1	● 16–n
20	18.4	21.6	18.2	19.4	−0.2	739 6	739.6	739.9	94	68	82	— 0	S 1	N 1	10	9	0	1.3	⛆ 10, ●tr 21¼, n (20./21.)
21	18.2	26.4	18.4	21.0	1.3	739.9	739.5	742.2	88	52	79	SSW 1	S 1	— 0	5	1	8	0.2	⛆ 18¼, 18¾–19, ◠ 18½–19
22	18.4	25.4	20.2	21.3	1.5	**742.7**	742.1	742.6	78	53	79	— 0	S 1	N 1	1	6	0	.	
23	17.2	27.8	22.2	22.4	2.5	742.6	741.8	740.9	82	44	68	— 0	S 1	N 1	0	0	0	.	
24	19.4	28.2	23.4	23.7	3.7	742.4	740.5	740.5	81	49	67	ESE 1	S 1	N 1	1	0	10	.	
25	20.2	28.2	22.8	23.7	3.6	740.9	739.3	738 6	79	53	71	N 1	S 1	N 1	6	0	0	.	
26	20.2	**29.4**	17.4	22.3	2.1	738.8	737.1	738.8	79	54	95	N 1	S 1	NNE 1	0	1	10●	42.3	● 19½–n, ⛆ 19½–21½, [⌿ 19½–20
27	16.6	26.8	19.2	20.9	0.6	737.3	735.9	736.3	93	46	83	N 1	S 1	— 0	3	1	7	.	
28	17.8	27.2	18.2	21.1	0.7	736.5	735.5	736.8	72	53	95	N 1	S 1	N 1	5	4	10	32.7	● 18¾–21¼, ⛆ 18¾–21,
29	16.0	26.2	20.4	20.9	0.4	736.8	736.0	735.6	79	49	77	N 1	S 1	NNE 1	0	1	7	.	[▲ 19
30	19.8	26.6	20.4	22.3	1.7	736.3	735.0	735.4	82	53	71	N 1	S 1	E 1	9	2	0	.	
Mittel	16.4	23.7	18.7	19.6	—	738.2	737.3	737.8	81	58	72				5.1	4.5	5.1	Summe 221.9	*) 8. ⛆ 1½–2½, ◠19½. ⌿ 3½–5

$\lambda = 7° 35'$, $\beta = 47° 33'$,
$H_b = 317.3$ m, $G = 0.11$ mm.

Basel

Juni 1955
Beobachter: *Astronom.-Meteorol. Anstalt*

1	12.0	22.3	13.8	16.0	1.4	735.3	733.7	732.9	62	**26**	69	ENE 1	NW 1	SSW 0	1	1	5	.	⌓ I
2	13.0	20.2	14.0	15.7	1.0	733.6	734.7	735.0	73	47	57	SSW 0	NW 1	WNW 1	4	1	7	.	
3	13.9	20.9	17.6	17.5	2.7	735.0	733.5	732.1	54	38	50	NW 1	ENE 1	SE 1	6	9	9	0.8	
4	12.4	14.4	14.0	13.6	−1.3	731.3	731.5	733.2	78	91	95	SE 1	E 1	S 0	10	10●	10●	9.4	● 1¼–3, 8¼–15, 15¾–16½, ●tr 21½
5	14.9	21.8	16.5	17.7	2.7	734.0	733.3	733.9	89	54	92	S 1	E 1	NW 0	6	8	10●	5.9	● 0½–3¾, 18–21¾, 22¼–22¾
6	16.7	27.1	19.3	21.0	5.9	733.4	731.5	729.4	84	45	77	E 1	ESE 1	SE 0	1	7	8	.	
7	18.1	17.9	12.1	16.0	0.8	728.9	727.5	728.8	83	90	94	SE 0	NW 1	SSW 1	10	10●	10●	**34.4**	● 11½–13½ mU, 14¾–24
8	16.2	20.3	12.2	16.2	0.9	728.9	728.4	728.0	73	51	89	SSW 0	WNW 1	ENE 1	5	9	0	8.5	● 0–2¼, 13¾–15½, ⛆ 14½–14¾,
9	13.4	16.2	11.8	13.8	−1.6	725.6	**723.4**	724.8	73	73	94	ESE 1	W 1	NW 1	10	10	7	2.9	● 13½, 15–16½ [▲ 14½
10	11.0	13 0	10.5	11.5	−4.0	727.6	732.2	735.3	80	66	82	WSW 2	WNW 2	NNW 1	10●	10	10	0.0	● 5–6¾ mU, ●tr 7½, ⌿ 8½
11	8.6	15.2	8.7	10.8	−4.8	736.2	737.1	738.7	88	52	92	NW 1	NNW 1	ESE 0	10	9	1	0.0	● 16–16¼, 17¾–19
12	**8.4**	18.7	11.4	12.8	−2.9	736.6	733.4	732.3	88	51	83	E 1	NNW 1	NNE 1	9	5	10●	10.7	●tr 12¼, 18½–24 mU
13	11.9	12.9	10.7	11.8	−4.0	732.0	734.3	738.4	71	80	82	W 1	W 2	SSW 1	9	10●	10	1.2	● 0–3¼ 11½–14¾ mU, ⌿ 12¼
14	12.1	18.1	11.9	14.0	−1.9	740.3	740.1	739.6	75	44	83	S 0	W 1	NW 0	4	3	4	.	⌓ I
15	11.9	22.6	15.8	16.8	0.8	739.3	738.7	737.8	79	34	77	E 1	NW 1	SW 1	10	7	0	.	
16	15.4	25.3	18.4	19.7	3.6	737.6	736.0	735.8	72	53	77	E 1	N 1	WNW 1	0	1	3	.	
17	16.4	23.4	17.9	19.2	3.0	736.0	735.3	734.9	79	62	87	SW 0	NW 1	SSW 1	1	9	10●	0.0	●tr 20½–21½ mU
18	18.1	22.9	17.8	19.6	3.3	734.9	734.7	733.3	75	64	90	ENE 0	NE 1	NW 1	8	3	1	1.4	
19	19.3	20.4	17.5	19.1	2.7	734.3	733.5	734.1	90	92	93	WSW 0	WNW 2	S 1	7	10●	9	24.8	● 3¾–5, 13¼–13¾, 16¾–19¼, 23¾–24, *)
20	17.4	22.2	16.5	18.7	2.2	734.9	735.4	736.5	92	59	87	SE 1	WNW 1	SSW 1	7	7	8	.	● 0–5 mU
21	17.4	17.6	16.7	17.2	0.6	738.1	738.6	739.8	80	86	88	E 0	S 1	SSW 1	9	7	6	3.0	● 11–11¾, 12¾–13¼, 18¼–19, ◠ 19
22	16.0	19.3	15.0	16.8	0.1	740.8	741.6	741.7	89	68	88	E 0	NW 1	S 1	10	10	10	3.7	● 14–14¾
23	14.2	24.2	17.1	18.5	1.8	**741.8**	740.6	739.4	93	52	88	ESE 1	**NNE** 1	NNW 0	8	4	0	,	≡ 3–5¼
24	17.2	28.0	19.6	21.6	4.8	738.2	736.9	736.0	76	51	90	E 1	SW 1	NNW 0	0	0	0	.	
25	19.7	**29.0**	17.8	22.2	5.3	736.5	735.6	736.7	72	47	82	E 1	NNW 1	ESE 1	0	4	4	.	
26	16.5	25.4	15.3	19.1	2.1	736.8	736.0	737.1	91	62	94	SW 1	NW 1	SW 0	4≡	6	8	11.7	● 15¾–17¾, ⛆ 16, ▲ 16–17,
27	14.8	23.0	16.6	18.1	1.0	736.7	735.9	735.5	94	62	76	SSW 0	NNW 1	ESE 1	10	5	10	.	[⌿ 15¾, ≡ 7–7½
28	16.4	21.9	15.9	18.1	1.0	735.6	734.8	734.5	81	61	93	SE 1	WNW 1	SE 0	3	6	2	1.5	● 15½–15¾
29	15.7	23.8	17.5	19.0	1.8	734.9	734.0	734.0	80	49	73	SE 0	WNW 1	SSW 1	0	9	10	0.6	● 5–6½
30	16.3	18.9	15.6	16.9	−0.4	734.2	734.6	735.5	87	69	76	WNW 1	NW 1	SW 1	8	9	1	.	
Mittel	14.8	20.9	15.2	17.0	—	735.0	734.6	734.8	80	59	83				6.0	6.6	6.1	Summe 120.5	*) 19. ⛆ 12¾–13¾, ▲ 13¾–13½, ⌿ 13¾

Juni 1955
Beobachter: *Observatorium*

Säntis

$\lambda = 9°\,20'$, $\beta = 47°\,15'$,
$H_b = 2500.1$ m, $G = -0.27$ mm.

Tag	Lufttemperatur					Luftdruck			Relative Feuchtigkeit			Windrichtung und Stärke			Bewölkung			Niederschlag	Witterung
	7^{30}	13^{30}	21^{30}	Mittel	Abweich. vom Normalst	7^{30}	13^{30}	21^{30}	7^{30}	13^{30}	21^{30}	7^{30}	13^{30}	21^{30}	7^{30}	13^{30}	21^{30}		
1	1.0	2.2	-1.3	0.6	-0.9	562.8	562.9	562.3	68	74	99	WNW 2	W 3	W 2	1	4	10≡	.	≡ 21–n
2	-1.4	-1.6	-1.5	-1.5	-3.1	561.3	563.0	564.0	100	100	100	W 3	NW 3	W 2	10≡	10≡	8	7.7	⛆ 9¾–10, 10¾–12 mU, *)
3	0.0	5.0	1.4	2.1	0.4	563.6	564.0	562.9	100	72	98	W 2	WSW 1	SW 3	10≡	6	9	1.3	⛆ 15¾–16, ≡ n–11, 11–16 mU
4	2.4	5.1	1.6	3.0	1.2	561.8	562.3	563.1	93	91	100	SSW 2	SW 2	W 2	10●	10≡●	10≡●	11.5	● 7-14, 19-n, ☂ 14-19, ≡ 12-n
5	1.7	7.4	2 9	4.0	2.1	563.8	564.6	565.3	100	78	97	WSW 1	SSW 2	SSW 2	9	10≡	10●	2.4	⛆ 19½–19¾, ● 20½-n mU*)
6	4.6	10.6	7.8	7.7	5.7	565.1	565.6	564.7	91	70	72	SW 2	SSW 1	SW 3	6	7	4	.	≡ n–7, ⊕ 16½
7	8.6	8.1	2.3	6.3	4.2	563.4	561.1	558.8	70	88	100	WSW 2	SSE 3	WSW 2	9	10	10≡●	47.8	● ≡ 17¼–n
8	-1.1	3.0	-0.7	0.4	-1.7	558.1	558.8	559.1	100	88	98	WSW 3	SSW 2	WSW 3	10≡	10≡	4	5.6	✳ n–6¾, ≡ n–19½ mU
9	2.7	4.1	-0.5	2.1	-0.1	557.7	556.0	556.5	73	81	100	SSW 3	S 3	SW 2	3	8	10≡*	9.4	● 15½–19, ⛆ 19–19½, *)
10	-2.3	-1.9	-2.9	-2.4	-4.7	555.1	558.6	561.8	100	100	100	WSW 4	W 4	NW 2	10≡*	10≡*	10≡	32.4	⛆ 6¾–6½, ✳ 6¾–15, *)
11	-2.8	-2.3	-4.8	-3.3	-5.7	561.3	562.4	564.3	98	100	100	WSW 1	N 1	NW 2	10≡	10≡*	10≡	1.4	✳ 9½–17, ≡ n–n
12	-3.8	0.8	0.0	-1.0	-3.5	563.0	563.0	561.5	80	72	100	WSW 2	W 3	SSW 3	9	9	10≡	12.7	✳ n (12./13.), ≡ 18¾–n
13	-1.3	-1.7	-3.7	-2.3	-4.9	559.0	560.2	563.8	100	100	100	W 4	W 4	W 3	10≡*	10≡	10≡	32.9	✳ n-11½, ≡ n-n, ⋁ 9-n, *)
14	-4.1	-1.1	-0.8	-2.0	-4.7	565.2	566.6	567.8	100	96	98	W 3	WSW 2	W 3	10≡	10≡	3	.	≡ n–17, ⋁ n–8
15	0.5	4.7	4.0	3.1	0.3	567.8	568.6	569.2	83	93	100	W 3	W 2	W 2	10	9	10≡	.	≡ 13¾–16, 19–n
16	5.2	9.1	5.8	6.7	3.9	568.2	568.5	567.9	94	79	78	W 2	W 2	SW 3	1	8	2	1.1	● n (16./17.)
17	5.6	10.1	4.9	6.9	4.0	567.4	568.0	567.6	100	79	88	WSW 2	WSW 2	S 2	10≡	10≡	10●	2.1	⛆ 6¾, 8¾, 21–n, ≡ n–16½ mU
18	4.5	10.4	7.3	7.4	4.4	566.6	567.3	567.2	100	79	84	WSW 2	SSW 2	S 2	10●	10	8	2.9	⛆ 7¼, 13½–14, ⛆ 13½–13¾, *)
19	6.0	10.8	6.6	7.8	4.7	566.8	567.1	566.4	84	79	89	SSW 1	SSW 2	SSW 3	9	4	2	0.0	⛆ 6–6¼, ●tr 17¾
20	5.4	7.2	3.1	5.2	2.0	566.2	566.4	566.9	100	85	100	SSW 2	SSW 2	W 3	10≡	10≡	10≡●	16.0	● 9–9¾, 10¼–12 mU, *)
21	1.6	5.2	2.9	3.2	-0.1	567.5	568.4	569.8	100	87	88	W 2	N 1	NW 1	10≡●	10	8	16.6	● n–9¼, ⛆ 13¾–14¼, *)
22	3.5	6.8	2.8	4.4	1.0	569.8	570.6	571.0	93	82	100	NW 2	N 1	N 2	10≡	10	10≡●	20.4	⛆ 6–6¼, 8¾–11, 13¾–14,*)
23	3.8	8.1	6.1	6.0	2 5	570.5	570.8	570.9	82	75	80	NNW 1	SE 1	ENE 2	2	5	1	.	
24	8.4	10.8	8.4	9.2	5.7	569.9	570.4	569.9	56	52	46	NE 2	E 1	NE 2	1	1	1	.	
25	9.6	11.1	6.2	9.0	5 4	569.2	569.7	569.5	43	80	97	N 1	WNW 1	WNW 2	1	8	10≡	2.5	● △ 14–14¼, ⛆ 14–15,*)
26	8.1	6.9	3.3	6.1	2.4	568.2	568.3	567.7	83	72	93	WSW 1	NNW 2	E 2	1	10△●	10	17.1	⛆ 10½–10¾, 11¼–11¾, *)
27	2.3	3.1	2.4	2.6	-1.2	565.8	566.4	566.2	100	100	91	NNW 2	N 2	NE 1	10≡●	10≡●	7	2.7	● n–14¼, ≡ n–14¾
28	2.8	4.7	2.7	3.4	-0.5	565.1	565.5	565.7	87	83	56	NE 2	NE 1	NNE 2	9	9	1	15.4	● △ 13½–14, ● 14–15½,*)
29	4.3	7.0	3.6	5.0	1.0	565.1	565.6	565.5	68	80	100	N 2	WSW 1	W 2	1	10≡	10≡	8.3	⛆ 23–n, ⛆ 23–23½, *)
30	2.8	3.0	2.6	2.8	-1.3	564.1	564.5	566.0	100	100	100	WSW 3	WSW 3	WNW 2	10≡●	10≡	10≡	6.5	⛆ 7¼, 16–16¼, ● 7¾–11,*)
Mittel	2.6	5.2	2.4	3.4	—	564.6	565.2	565.5	88	84	92				7.4	8.6	7.6	Summe 276.2	

Juni 1955
Beobachter: *E. Chiesa*

St. Gotthard (Hospiz)

$\lambda = 8°\,34'$, $\beta = 46°\,33'$,
$H_b = 2095$ m, $G = -0.25$ mm.

1	1.9	5.7	0.4	2.7	-1.0	592.8	591.9	591.5	94	55	98	SE 0	NW 1	NW 0	6	10*	10*≡	7.0	✳ 13½-n mU, ≡ p-n mU
2	0.6	5.7	1.8	2.7	-1.1	591.0	593.0	593.0	96	54	98	NW 1	NW 1	NW 1	10≡	9	6	.	≡ n–a
3	4.2	7.6	3.8	5.2	1.3	593.0	593.0	592.5	62	75	99	NW 0	SE 0	SE 1	6	10	10●≡	6.4	● 13¾–n, ≡ 14¾–n
4	5.2	7.1	3.3	5.2	1.2	591.3	590.9	591.6	91	95	98	SE 1	SE 1	SE 0	10●≡	10●≡	10●≡	21.4	● ≡ n–n mU
5	2.8	10.1	4.8	5.9	1.8	592.5	593.4	594.5	93	72	97	NW 1	SE 1	SE 1	3	10≡	10●≡	4.1	● 16½–n mU, ≡ 11¼–n
6	5.5	12.8	8.2	8.8	4.6	593.9	594.2	593.8	82	60	90	SE 0	SE 1	SE 1	3	9	10	.	≡ 18¾–n mU
7	6 9	6.8	4.3	6.0	1.7	592.3	591.3	586.9	92	98	100	SE 1	SE 2	NW 2	10	10●≡	10●≡	94.2	● 11¼–n, ✳ n (7./8.),
8	-0.2	8.2	2.8	3.6	-0.8	587.3	587.6	588.3	97	88	94	NW 2	SE 1	SE 1	3	9	9	.	[⛆ 20½, ≡ n–n mU
9	3.5	4.4	1.6	3.2	-1.3	587.2	585.2	585.6	96	85	96	SE 1	SE 3	SE 1	10☂≡	10●≡	10●	57.0	☂ n-a, ● 17¾–n, ≡ n-p. ⛈ ‖
10	2.4	3 6	0.2	2.1	-2.5	585.7	588.5	590.2	86	84	100	NW 1	NW 1	NW 2	10*≡	10	10●≡	2.2	✳● n-a, ● 18½–n, ≡ n-a, 18½–[n mU
11	-1.2	-1.0	-2.6	-1.6	-6.3	590.2	590.6	592.7	97	98	96	NW 2	NW 2	NW 3	10≡	10≡	10≡	1.9	≡ n-n, ⋁ I, III, ⛈ ⛆ p-n
12	-2.4	7.0	1.4	2 0	-2.8	592.7	592.7	591.6	96	36	98	NW 0	SE 1	SE 1	6	0	10●	8.0	● 17½–n
13	2.2	5.0	-0.8	2.1	-2.8	589.3	590.2	592.6	92	70	98	SE 0	NW 2	NW 2	10●	8	10≡	1.7	● n–a mU, ≡⋁ p–n
14	-1.5	6.4	2.0	2.3	-2.7	594.4	595.5	596.8	95	61	97	NW 2	NW 2	NW 2	10≡	0	0	.	≡⋁ n–a
15	4.6	9.8	6.4	6.9	1.8	596.7	597.2	597.6	70	72	89	NW 2	NW 2	NW 1	9	9	3	.	
16	6.4	14.7	6.4	9 2	4.1	597.1	596.8	596.6	86	39	91	NW 0	NW 0	SE 1	0	0	3	0.4	● 19–n mU, ◠ 19
17	8.6	10.2	6.8	8.5	3.3	596.2	596.4	595.9	71	71	95	NW 0	NW 0	NW 1	3	10	10●≡	1.4	● 18½–n mU, ≡ 19–n mU
18	8.0	12.5	8.3	9.6	4 3	595.7	595.9	595.6	90	73	97	SE 1	SE 1	SE 1	3	10≡	10●≡	2.5	● 18–n, ≡ 13¾–n
19	6.7	8.2	7.4	7.4	2.0	596.0	596.2	595.3	95	92	99	SE 1	SE 1	SE 2	10	10☂≡	10●≡	22.0	☂ 13½–15¼, ● 15¼–n, ≡ 18–n
20	6.8	7.4	5.0	6.4	0.9	594.8	595.1	595.6	91	93	98	SE 1	SE 1	SE 1	10●≡	10●≡	10≡	25.5	● n–p, ≡ n–n mU
21	4.2	8.9	5.1	6.1	0.5	596.0	596.7	598.2	99	74	93	NW 1	NW 2	NW 2	10☂≡	6	10≡	.	☂ n–7½, ≡ n–a, 19¾–n
22	4.7	8.3	5.4	6.1	0.4	598.3	599.0	599.5	96	75	98	NW 1	NW 2	NW 1	10≡	9	10☂≡	0.5	☂ p–n, ≡ n–a, 16¼–n
23	5.0	10.6	7.6	7.7	1.9	599.4	599.1	599.4	99	52	94	NW 2	NW 1	NW 1	10☂≡	0	0	.	≡ ☂ n–8¼
24	9.2	15.7	9.8	11.6	5.7	598.4	598.4	598.1	36	27	93	NW 0	NW 1	SE 1	0	0	10	.	
25	10.0	13.8	8.4	10.7	4.7	597.9	597.6	597.4	75	58	82	NW 1	NW 1	NW 1	0	9	0	.	
26	7.8	14.3	6.7	9.6	3.5	596.8	596.5	595.6	85	30	93	NW 1	NW 1	NW 1	0	0	9	.	
27	5.4	8.0	5.5	6.3	0.1	594.6	594.5	594.3	96	75	98	NW 1	NW 2	NW 1	10≡	10	10	.	≡ n–a
28	4.8	10.3	5.7	6.9	0.6	593.3	593.4	593.6	95	60	95	NW 0	NW 1	NW 1	9	6	10≡	.	≡ 19¼–n mU
29	5.0	12.3	6.4	7.9	1.5	593.5	593.8	594.0	93	44	94	NW 1	NW 1	NW 1	0	3	10●	0.2	●tr 21¼–n mU
30	6.4	10.0	5.9	7.4	0.9	593.4	593.5	594.3	96	75	98	NW 1	NW 2	NW 2	10	9	10≡	.	≡ 18¾–n mU
Mittel	4.4	8.8	4.6	5.9	—	593.7	593.9	594.1	88	68	96				6.7	7.2	8.3	Summe 257.0	

*) Säntis: **2.** 20½–20¾, ⛆ 20½–21, ≡ n–21¼ **5.** ≡ n–8½ mU, 11–15 mU, ⊕ 10½ **9.** 21–21½, ≡ 16½–n **10.** ≡ n–n, ⛈ n–p **13.** ⛈ n–n mU, **18.** ≡ 12½–15½ mU **20.** 13¾–16½ mU, 16½–n, ⛆ 12¼–12½, ≡ n–n mU **21.** 16–16¾, 17–20¼, ▲ 16–16¾, ≡ n–12¾, 15¾–19 **22.** 16, 17¼–17½, 21¼n,–≡ n–n mU **25.** ≡ 17½–n mU **26.** 15¾–16¼, ● 16¾–20¾, ⛆△ 12–12¼, 13–13½, ▲ 12½, ⛆ 13–13½, 15¼–16½, ≡ 10½–11½, 15–20¼ mU **28.** ⛆ 13–¼–14, ≡ 8½–17½ mU **29.** ≡ 12½–n mU **30.** ≡ n–n

$\lambda = 7°\,26'$, $\beta = 46°\,57'$,
$H_b = 572.2$ m, $G = 0.00$ mm.

Bern

Juli 1955
Beobachter: *Meteorologisches Observatorium*

Tag	Lufttemperatur 7³⁰	13³⁰	21³⁰	Mittel	Abweich. vom Normalst	Luftdruck 7³⁰	13³⁰	21³⁰	Relative Feuchtigkeit 7³⁰	13³⁰	21³⁰	Windrichtung und Stärke 7³⁰	13³⁰	21³⁰	Bewölkung 7³⁰	13³⁰	21³⁰	Niederschlag	Witterung
1	15.6	21.9	19.0	18.8	1.6	712.7	711.5	711.5	75	50	66	NE 0	NNE 1	W 0	0	3	6	.	⊕ 18½, ⊿ l
2	17.4	25.4	20.8	21.2	3.9	712.5	712.0	712.0	71	48	75	SE 1	WNW 1	N 0	5	4	8	0.5	⍒ K▲ 22¼–22½, ⊿ l
3	16.6	19.3	16.9	17.6	0.2	710.9	710.3	712.4	89	65	90	S 0	SW 2	SE 0	9	9	7	3.6	● 3¼–3½, 6¾–7¼, 10¼, 16¼–18
4	15.1	18.6	16.7	16.8	−0.6	711.5	711.6	712.9	91	63	70	SW 1	W 2	SW 1	9	9	9	4.3	● 1¾–2¾, 3¼–7¼, 11–11¾, 23¼–24, K▲
5	13.3	17.5	13.7	14.8	−2.7	712.6	712.5	714.3	90	46	59	SE 0	NW 2	NW 0	9	7	9	.	● 0–0¼, 2½–4, 6¼ [11–11½, ⊿ l
6	12.2	17.1	11.5	13.6	−4.0	714.5	714.5	**716.6**	82	51	76	E 0	NNE 1	NNE 1	6	6	9	.	⊿ l
7	11.0	12.4	11.0	11.5	−6.1	715.9	715.4	716.5	76	87	90	N 0	SE 0	NE 0	7	10●	9	6.5	● 11¼–15¼, ⊿ l
8	**10.2**	17.9	15.6	14.6	−3.1	715.8	714.9	714.0	86	54	79	SE 1	NE 1	NE 0	6	9	9	.	⊿ l
9	14.4	20.0	17.7	17.4	−0.3	712.0	711.4	711.0	83	58	80	E 1	NE 1	NNE 1	9	6	6	.	⋓ 3
10	15.4	20.6	17.7	17.9	0.1	710.1	709.8	709.8	84	59	84	N 1	N 1	NNE 0	9	6	4	.	⊿ l
11	15.3	14.7	15.2	15.1	−2.7	710.6	711.5	712.5	87	95	94	S 0	W 1	SW 0	9	10●	9●	41.5	● 11¾–15¼, 19¾–22¾, K▲ 12½–14,
12	14.9	22.5	17.2	18.2	0.3	713.3	712.8	714.0	93	53	80	S 0	SW 1	SE 1	10	5	8	0.3	● 16½–18¾ mU [⊿ l
13	15.7	21.5	18.9	18.7	0.8	714.4	714.1	714.3	83	55	77	SE 0	W 1	SE 1	7	7	7	4.0	● 20¼, ⊿ l
14	15.6	15.3	14.6	15.2	−2.7	714.2	712.9	713.4	91	95	90	SE 0	ESE 0	SE 1	8	8	5	**45.8**	● 5¾–6½, 12½–13½, 16–18¾, *)
15	14.5	19.7	16.8	17.0	−0.9	713.3	712.9	713.3	92	67	89	SE 1	N 1	NNE 1	9	8	3	.	● 3–6¾, K▲ 3½–3¾, ⊿ l
16	16.2	20.7	19.2	18.7	0.7	714.0	714.6	715.2	81	71	82	N 1	NE 1	NE 0	1	3	3	.	⊿ l
17	16.8	25.6	22.2	21.5	3.5	716.2	716.1	716.0	84	47	78	SE 0	NE 1	S 0	0	1	1	.	⊿ l
18	18.7	**28.5**	23.6	23.6	5.6	715.8	715.2	713.7	75	**40**	57	SE 0	NW 1	N 0	1	4	2	3.5	⊿ l
19	18.8	25.8	19.0	21.2	3.2	714.3	712.8	712.9	80	43	73	SE 0	S 0	SE 2	3	7	10	0.9	● 1¾–3, 20–20¼, ⍒ 19½–19¾, K▲ 2–2½
20	17.5	18.2	17.2	17.6	−0.4	712.3	712.5	714.0	86	82	86	E 0	W 1	SE 0	9	10●	9	2.4	● 7½, ●tr 9½–10¾, 13¼–15½, ⌒ l.
21	15.6	21.9	16.4	18.0	0.0	714.9	714.2	715.4	86	57	92	SE 0	NE 0	SSW 0	9	6	10●	5.8	● 7¾–8¼, 19¾–23½
22	16.0	18.7	16.8	17.2	−0.8	714.9	715.6	715.8	93	73	90	SE 0	E 0	NE 0	10	9	7	8.7	● 1½–5¼ mU, 10–12½
23	14.8	21.6	18.6	18.3	0.3	715.7	715.3	714.6	86	59	84	E 0	NE 1	NE 0	6	5	1	.	⊿ l
24	16.3	23.0	19.6	19.6	1.6	713.8	712.5	711.4	84	55	58	E 0	N 1	NNE 1	1	1	2	.	⊿ l
25	14.9	21.3	17.2	17.8	−0.2	710.6	708.9	708.2	86	66	76	N 0	N 1	SW 1	3	4	10●	5.5	● 21¼–24, ⊕ 15½, ⊿ l
26	15.0	17.1	15.5	15.9	−2.0	706.7	**706.6**	707.3	89	78	95	NW 0	NE 1	SE 0	9	10	9	2.7	● 0–9 mU, 14½–19¾ mU
27	15.2	13.9	14.8	14.6	−3.3	707.1	707.5	709.0	92	98	91	SE 0	SE 0	SE 0	10	10●	9	13.7	● 6¼–7¼, 11¼–15½, K▲ 18¼–18¾
28	14.5	13.9	14.4	14.3	−3.6	708.5	710.4	710.5	85	86	81	SE 0	W 1	W 0	9	10●	10	6.5	● 8¾–14¾ mU, K▲ 9½–10, ⊿ l
29	12.9	15.1	14.7	14.2	−3.7	711.0	712.5	714.7	91	85	82	SW 1	SE 0	SE 0	10●	9	10	2.3	● 1¾–2¾, 11¾–13½
30	14.7	19.1	16.7	16.8	−1.0	714.9	714.4	713.6	80	60	76	SE 1	N 1	E 0	3	5	1	.	
31	13.5	18.7	15.5	15.9	−1.9	713.1	712.9	712.5	88	69	85	N 1	NNE 1	N 0	10	9	8	.	
																		Summe	
Mittel	15.1	19.6	16.9	17.2	—	712.8	712.6	713.0	85	65	80				6.6	6.8	6.7	158.0	

*) 14. K▲ 12½–13, 16¾–17, 17¾–18¼, ⊿ l

$\lambda = 6°\,57'$, $\beta = 47°\,0'$,
$H_b = 487.3$ m, $G = 0.02$ mm.

Neuchâtel

Juli 1955
Beobachter: *Observatorium*

1	15.2	24.8	19.3	19.8	1.9	720.3	718.9	718.7	80	46	68	NE 0	SE 1	N 0	0	1	2	.	
2	17.4	26.3	21.6	21.8	3.9	719.9	719.5	719.1	85	51	70	N 0	SW 1	N 0	2	7	9	7.4	⍒ 22¾, K▲ 22½–23
3	17.0	19.9	16.4	17.8	−0.2	718.3	718.0	719.7	97	76	95	N 0	SW 2	W 0	9	8	10	6.0	● 2¾–3¼, ⍒ 6¼–20¾ mU, K▲ 2¼–3
4	16.4	19.4	16.2	17.3	−0.8	718.8	719.2	720.4	96	**40**	68	SW 1	W 2	W 2	7	8	8	0.2	● 1¼–7¼, ⍒ 15¼, 22¾
5	15.7	19.6	14.4	16.6	−1.6	720.1	719.9	722.2	75	48	66	SW 0	W 2	NE 1	4	3	9	.	
6	14.3	19.2	13.2	15.6	−2.6	721.9	722.1	723.7	64	47	65	N 2	N 2	N 3	1	2	8	.	⍐ n-n mU
7	12.9	15.4	**11.7**	13.3	−5.0	723.6	722.7	**724.0**	68	89	89	E 1	E 0	N 1	1	10	8	1.8	● 12¼–13¼, 17¼–17¾, 19¾–20¾
8	12.4	17.5	15.2	15.0	−3.4	723.3	722.6	721.4	86	67	75	NE 2	NE 1	NE 0	9	10	8	.	
9	15.2	23.8	18.8	19.3	−1.1	719.5	718.8	718.3	85	55	70	NE 2	E 2	E 1	10	4	2	.	
10	16.5	24.5	19.4	20.1	1.6	717.6	717.3	717.2	81	59	71	NE 1	E 1	NE 1	10	6	5	.	
11	16.4	19.4	17.1	17.6	−1.0	717.9	718.3	719.9	90	77	87	NE 0	SW 1	SW 2	10	10	10	0.4	● 14½–15
12	16.6	20.6	17.2	18.1	−0.5	720.9	720.3	721.2	92	82	93	SW 0	W 0	NW 0	10	9●	9	8.5	● 6¾, 12½–16½
13	16.6	18.6	18.9	18.0	−0.7	721.8	721.6	721.6	88	88	79	SW 0	N 0	NE 1	2	9	4	1.4	● 12¾–13, 17¾, K▲ 12¾–13
14	17.4	22.1	16.0	18.5	−0.2	721.6	720.3	720.8	91	72	92	NE 0	SW 0	NE 0	2	9●	2	**11.6**	● 11–12, 13½–13¾, 15¼–16½, K▲ 11,
15	16.4	22.0	17.9	18.8	0.1	720.9	720.2	720.7	97	68	68	N 0	E 0	NE 1	9	7	3	0.2	● 3½–6¾, ⍒ 15½, 18¾ [16¼
16	17.7	24.6	19.8	20.7	1.9	721.6	722.0	722.4	87	63	76	E 0	E 2	NE 0	1	1	0	.	
17	17.1	27.4	21.3	21.9	3.1	723.6	723.8	723.0	93	56	73	N 0	SE 0	SE 0	9	0	0	.	
18	19.2	28.3	21.8	23.1	4.3	723.2	722.7	720.9	88	56	59	SE 0	SE 0	NE 0	1	5	1	2.4	
19	19.0	**28.4**	21.8	23.1	4.3	721.5	720.3	719.9	90	44	72	E 1	S 0	NE 0	1	5	10	0.4	● K▲ 1½–2
20	18.7	17.8	17.2	17.9	−0.9	719.5	720.1	721.3	91	85	96	N 0	W 1	W 0	10	10●	5	4.5	● 3¼–3¾, 9½–9¾, 13–13¾, 16–16¼, [19¾–21
21	16.7	25.2	17.4	19.8	1.0	722.4	721.6	722.8	96	49	94	NE 0	SE 0	NE 0	6	2	10●	2.3	● 20½–22
22	17.0	18.4	16.9	17.4	−1.5	722.3	723.2	723.2	97	93	86	NE 0	N 0	N 0	10	9	2	8.6	● 3½–4, 10½–13¾
23	17.1	23.6	20.1	20.3	1.4	723.0	722.7	722.1	89	62	71	E 0	E 1	NE 1	1	6	0	.	
24	19.1	25.7	20.0	21.6	2.7	721.1	719.9	718.8	87	59	65	E 1	SE 1	NE 1	5	2	1	.	
25	16.8	23.9	18.4	19.7	0.8	718.0	716.3	715.7	85	61	83	NE 1	E 1	SW 1	1	3	10●	5.2	● 20¾–21½, 22–24
26	15.7	19.3	16.7	17.2	−1.7	713.9	**713.8**	714.8	96	76	90	NE 0	E 1	E 0	10●	10●	10	1.5	● 0–0½, ⍒ 3½–16¾ mU
27	16.5	15.5	14.1	15.4	−3.5	714.3	715.1	716.2	94	97	91	E 0	NE 1	S 0	8	10●	3	8.8	● 11¼–12, 12½–15, K▲ 13¾
28	15.6	13.2	15.0	14.6	−4.2	715.9	717.6	718.2	94	94	85	NE 0	SW 1	NW 1	10	10●	10	7.7	● 2½, 8¼–10¼, 11¼–14, K▲ 11½
29	14.7	16.8	15.5	15.7	−3.1	718.6	719.9	722.2	85	76	84	W 1	NW 1	NW 1	10	10	10	0.6	● 11¼–21¼ mU
30	15.1	21.2	17.8	18.0	−0.8	722.4	721.9	721.1	89	56	69	NE 1	NE 1	E 1	3	8	1	.	
31	15.3	20.7	17.2	17.7	−1.1	720.9	720.6	720.0	84	68	74	NE 1	E 1	NE 1	10	8	3	.	
																		Summe	
Mittel	16.4	21.4	17.6	18.5	—	720.3	720.0	720.4	88	67	78				5.9	6.5	5.6	79.4	

Juli 1955
Beobachter: *Frl. H. Nager*

Altdorf

$\lambda = 8° 39'$, $\beta = 46° 53'$,
$H_b = 456.3$ m, $G = -0.05$ mm.

Tag	Lufttemperatur 7³⁰	13³⁰	21³⁰	Mittel	Abweich. vom Normalst	Luftdruck 7³⁰	13³⁰	21³⁰	Relative Feuchtigkeit 7³⁰	13³⁰	21³⁰	Windrichtung und Stärke 7³⁰	13³⁰	21³⁰	Bewölkung 7³⁰	13³⁰	21³⁰	Niederschlag	Witterung
1	14.3	22.5	18.3	18.4	1.1	722.7	720.6	720.4	95	59	77	N 0	NW 1	W 0	0	3	4	.	
2	17.4	23.9	18.3	19.9	2.5	722.1	721.3	721.6	86	54	71	E 0	W 1	NW 0	5	5	8	3.9	⛆ ∴ 16¾
3	18.0	19.1	17.0	18.0	0.6	720.8	720.2	722.9	85	80	96	N 0	NW 1	W 0	8	8	10●	6.3	● 15¼-n
4	16.1	17.0	15.3	16.1	−1.4	721.6	721.6	722.1	100	87	95	S 1	NW 0	NW 0	8	10●	10●	11.7	● 13-n mU, ⛆ 12¾-13
5	13.6	15.1	13.1	13.9	−3.6	723.1	722.6	724.5	91	73	88	E 0	SE 0	NE 0	10●	10	10	4.8	● n-n mU
6	12.7	14.3	13.1	13.4	−4.2	724.7	725.0	725.7	92	75	90	NE 0	W 0	E 0	10	10	10	3.4	● n-n mU
7	12.3	12.2	11.2	11.9	−5.7	725.8	725.9	727.0	86	95	95	NE 0	S 0	NE 0	10	10●	10	11.7	● 9½-16¾
8	10.2	13.7	12.9	12.3	−5.4	726.1	726.0	725.3	97	72	99	W 0	W 0	E 0	10	10	10●	3.3	● 16-n mU
9	12.2	19.0	16.7	16.0	−1.7	722.7	721.0	721.3	100	68	92	W 0	NW 2	NW 0	7	7	10	0.5	● n (9./10.). ≡ 5½-7
10	16.3	20 3	17.3	18.0	0.3	720.1	719.3	720.4	94	65	91	N 0	NW 0	E 0	7	6	10	3.9	● 20-n mU
11	14.9	20.5	16.7	17.4	−1.4	720.8	719.8	721.8	98	62	92	E 0	NW 2	E 0	10●	10	10	6.9	● n-7¼, 14-14½
12	16.1	21.2	16.2	17.8	0.0	723.5	722.6	723.7	97	60	95	NE 0	N 0	SE 0	10	5	10	6.9	∴ 17¼-18½
13	15.6	17.9	16.1	16.5	−1.3	724.2	724.8	725.4	100	92	96	SE 0	NE 0	W 0	10	10●	10●	8.5	● 12½-13¾, 19¼-n, ⛆ 19¼
14	15.4	18.5	15.6	16.5	−1.3	723.6	722.9	723.4	99	86	94	E 0	NE 0	SW 0	7	10	9	2.0	● a-p mU, n (14./15.)
15	15.3	19.5	16.3	17.0	−0.9	723.4	722.8	722.8	96	72	92	NE 0	N 2	NW 0	10	6	7	0.9	● 6-6¾, 18¾
16	14.8	21.2	18.7	18.2	0.3	724.0	724.4	725.1	97	70	92	NW 0	W 1	NW 0	1	4	10	.	
17	16.5	24.1	20.7	20.4	2.5	725.9	725.5	725.4	93	65	86	N 0	NW 1	NW 0	0	4	0	.	
18	18.5	26.2	22.0	22.2	4.3	725.6	724.7	724.3	85	60	68	E 0	NW 2	SE 2	0	3	4	3.6	● n (18./19.)
19	19.1	24.5	19.3	21.0	3.1	724.3	722.2	722.7	83	59	90	NE 0	NW 2	NW 0	6	6	10	0.1	● ⛆ 22
20	18.8	22.8	17.8	19.8	1.9	722.1	721.0	724.2	90	66	94	NE 0	NW 2	NE 0	8	7	10	3.1	●tr 17½, n (20./21.)
21	16.6	23.3	17.9	19.3	1.3	724.8	723.6	725.1	96	57	95	N 0	NW 1	NW 0	7	6	10●	15.8	● 18½-n, ⛆ 18½-18¾
22	17.3	17.7	17.0	17.3	−0.7	724.7	726.0	725.6	87	93	92	N 0	NW 0	NW 0	10	10●	10	3.5	● a-p mU
23	16.9	21.5	17.8	18.7	0.7	725.4	724.8	724.8	97	66	86	NW 0	NW 0	NW 1	8	6	3	0.1	●tr a
24	15.9	22.7	18.2	18.9	0.9	723.5	721.9	721.3	88	65	88	E 0	NW 1	NW 0	2	6	7	.	
25	18.3	21.1	19.0	19.5	1.5	720.6	718.7	727.5	83	58	86	NW 0	NW 1	NW 0	9	7	10●	5.1	● p-n
26	15.7	19.5	16.6	17.3	−0.7	715.8	715.6	716.8	94	70	95	E 0	NW 1	SE 0	5	7	10●	15.1	● 16-n
27	16.5	16.5	15.7	16.2	−1.8	716.5	716.7	717.8	98	89	96	SE 0	NW 0	NW 0	10●	10●	10	30.3	● n-n mU, ⛆ n (27./28.)
28	14.7	14.9	14.6	14.7	−3.3	718.7	720.6	720.8	96	83	93	S 0	N 1	NW 0	10	10●	10	6.7	● n-n mU
29	14.3	14.4	13.8	14.2	−3.8	720.2	722.7	724.7	99	91	96	N 0	NW 0	NW 0	10●	10●	10	17.9	● n-n mU
30	14.0	18.8	16.5	16.4	−1.6	725.4	723.9	723.8	100	65	86	NW 0	NW 1	NW 0	10●	5	9	0.1	● n-7½
31	16.4	20.1	15.8	17.4	−0.5	723.0	722.5	722.5	86	65	76	NW 0	W 1	SE 1	8	8	9	4.5	● 18-21, ⛆ 18
																		Summe	
Mittel	15.6	19.5	16.6	17.2	—	722.8	722.3	722.9	93	72	90				7.3	7.4	8.7	180.6	

Juli 1955
Beobachter: *Observatorium*

Genève

$\lambda = 6° 9'$, $\beta = 46° 12'$,
$H_b = 405.0$ m, $G = -0.03$ mm.

1	16.6	23.6	21.0	20.4	2.0	727.2	725.8	725.9	81	50	82	NNE 1	NNE 1	SE 1	0	5	1	.	
2	20 0	29.2	24.6	24.6	6.1	726.9	726.4	726.1	78	45	56	SE 1	S 1	S 1	2	2	10	1.3	
3	20.6	20.0	19.4	20.0	1.4	725.5	725.8	726.6	85	79	74	S 1	SSW 1	E 0	10	10●	5	9.6	∴ ⛆ 0¾-1¼, ● 7¾-12, 13½-
4	20.0	24.3	19.6	21.3	2.7	726.5	726.8	727.7	83	50	68	S 1	SSW 1	SW 1	5	8	8	.	● 0¼-2, 6¼-6¾ [15¼, ⛈ 1
5	15.4	19.0	15.0	16.5	−2.2	727.5	727.5	728.4	85	60	64	N 1	NNE 1	NE 1	10	10	2	.	
6	14.6	19.8	14 0	16.1	−2.7	729.0	728.4	730.2	78	50	78	NE 1	NNE 1	NNE 1	1	2	2	.	
7	14 0	19.7	14.4	16.0	−2.9	730.0	728.9	729.2	67	77	74	NNE 1	ENE 3	NNE 2	1	3	5	.	⛈ a-n mU
8	14 0	20.4	16.2	16.9	−2.1	729.7	727.9	726.9	67	53	87	NNE 2	NNE 3	NNE 1	2	2	5	.	⛈ n-p mU
9	18.0	21.4	19.0	19.5	0.5	726.2	725.3	724.4	77	69	88	NNE 1	NNE 1	NNE 1	9	2	0	.	
10	18.0	22.2	20.2	20.1	1.0	724.6	724.1	724.2	82	59	88	NNE 1	NNE 1	NNE 0	9	4	2	.	
11	19.0	24.4	17.8	20.4	1.2	724.9	724.6	727.1	90	57	88	E 0	NNE 1	E 1	8	8	8	1.5	● 16¾-18, ⛆ 16-16¾
12	19.2	26.6	20.6	22.1	2.8	728.1	726.9	728.5	79	57	83	NNE 1	ESE 1	E 1	9	4	3	.	● 0¼-1¼
13	20.2	28.0	21.8	23.3	4.0	729.0	727.7	728.4	80	50	82	E 1	NW 1	W 1	0	3	0	.	
14	19.2	24.4	20.0	21.2	1.8	728.5	727.5	727.8	88	59	91	NNE 1	NW 1	NNE 1	0	9	7	.	
15	17.0	21.2	19.9	19 4	0.0	727.6	726.6	726.8	92	69	89	NNE 1	NNE 1	NNE 1	8	9	6	0.5	∴ 9¾
16	19.1	23.7	22.2	21.7	2.3	728.1	728.4	729.1	92	60	81	NNE 1	NNE 1	NNE 1	9	1	2	.	
17	21.6	15.5	23.2	23.4	4.0	730.5	729.8	730.0	86	50	68	S 1	SW 1	SW 1	1	1	0	.	
18	23.0	33.0	24.0	26.7	7.2	730.3	729.0	727.6	62	38	67	E 0	S 1	NE 1	1	2	1	.	
19	22.5	27.4	22.2	24.0	4.5	728.4	727.5	726.2	79	53	75	NNW 0	S 1	E 1	6	10	2	1.5	
20	19.2	23.2	19.0	20.5	1.0	727.2	727.6	728.6	88	66	83	E 1	S 1	E 0	10●	6	0	4.6	● 0¼-0¾, 3½-4¼, 7-11
21	18.7	25 0	19.0	20.9	1.4	729.3	727.7	729.3	73	49	90	S 1	NNE 1	E 1	0	3	10	6.7	● 16¾-17¾, ⛆ 16½-17¾
22	17.8	22.2	20.0	20.0	0.5	729.9	729.8	729.9	84	69	91	NNE 1	NNE 1	NNE 1	10	5	2	.	● 1-5½
23	18.2	24 8	21.4	21.5	2.0	729.9	729.5	728.9	88	52	89	NNE 1	NNE 1	NNE 1	2	3	2	.	
24	20.2	25.2	22.0	22.5	3.0	728.0	726.5	724.8	85	53	74	NNE 1	NNE 1	NNE 1	2	3	2	.	
25	20.0	23.8	18.2	20.7	1.2	724.5	722.4	722.0	74	64	88	NE 1	NNE 1	S 1	3	7	10	9.6	
26	17.0	20.8	17.6	18.5	−0.9	721.0	720.7	721.6	94	75	92	NE 1	NNE 1	E 1	10	9	10	2.8	∴ 2½-3, 3¼-5¾, ● 11¼-13, 17½-18¼,
27	18.0	24.0	17.4	19.8	0.4	721.7	721.7	723.3	90	54	86	E 1	NNE 1	ENE 1	10	5	5	5.0	● 12¼-12½ [⛆ 3¼-5
28	15.4	17.0	16.0	16.1	−3.3	723.4	725.0	725.6	92	94	93	NE 0	NNE 1	NE 1	10●	10	10	15.9	● 5¼-10¼, 15-17¼, ⛆ 5¼-7½, 15-16
29	15.8	17.8	15.5	16.4	−3.0	726.2	727.6	729.7	91	84	91	E 0	ESE 1	E 1	10	10●	2	2.9	● 3¼-7, 7½-9, 13¾-16¼
30	15.6	22.4	18.2	18.7	−0.6	729.3	727.6	727.9	91	63	78	E 1	NNE 1	E 1	1	1	4	.	
31	16.7	21 2	18.5	18.8	−0.5	728.1	727.1	726.4	92	75	88	E 1	SE 1	SE 1	5	5	7	.	
																		Summe	
Mittel	18.2	23.3	19.3	20.3	—	727.3	726.7	727.1	83	61	81				5.3	5.2	4.3	61.9	

$\lambda = 8°\ 34'$, $\beta = 47°\ 23'$,
$H_b = 569.4$ m, $G = 0.03$ mm

Zürich

Juli 1955
Beobachter: *Meteorologische Zentralanstalt*

Tag	Lufttemperatur					Luftdruck			Relative Feuchtigkeit			Windrichtung und Stärke			Bewölkung			Niederschlag	Witterung
	7³⁰	13³⁰	21³⁰	Mittel	Abweich. vom Normalst	7³⁰	13³⁰	21³⁰	7³⁰	13³⁰	21³⁰	7³⁰	13³⁰	21³⁰	7³⁰	13³⁰	21³⁰		
1	15.2	23 5	18.1	18 9	2.3	713.1	711.6	711.4	85	48	66	SSE 1	NNW 1	NNW 1	1	1	9	.	⏢ l
2	18.2	26.7	20.0	21.6	4.9	712.5	712.2	712.5	72	49	71	SSW 1	WSW 2	NNW 1	8	4	9	2.8	⏢ l
3	17.4	17.8	16.1	17.1	0.4	711.2	710.9	712.7	92	97	93	ESE 1	S 1	SSW 1	9	10●	10●	9.0	● 1¼-1½, 12½-13½, 15-19, 21¼-23¾, *)
4	16.2	18.6	14.2	16.3	−0.5	711.3	710.9	712.7	92	70	82	S 1	WNW 1	W 2	10	6	7	21.1	● 3¼-5¼, 8¼-9½, 10¾-12¼, 12½-13¼ *)
5	13 8	16.1	13.1	14.3	−2.6	712.6	712.6	714.7	77	70	75	WSW 1	SSW 1	W 1	9	7	10	0.0	
6	12.5	14.4	**11.0**	12.6	−4.3	714.6	714.8	**716.9**	82	72	84	WNW 1	NNE 1	NE 1	10	10	10	0.3	●tr 15½, ⏢ l
7	11.2	11.1	11.1	11.1	−5.9	715.5	715.6	716.8	87	96	98	WNW 1	WSW 1	N 1	10	10●	10	10.8	● 6¾-7¼, 10¼-16
8	11.5	14.4	12.9	12.9	−4.2	716.1	715.5	714.7	92	81	98	S 0	SSW 1	S 1	10	10	10)	5.3	● 5¾-7¼, 18½-20¼, 21¾-24,) 21½-
9	14.4	20.9	15.5	16.9	−0.2	713.0	712.1	711.8	97	65	96	SSE 1	NE 1	NE 1	10	5	10	0.6	● 0-4, 19¾-21¼ [21¾
10	15.2	20.6	17.0	17.6	0.4	710.8	710.3	710.2	91	66	92	NE 1	NNE 1	NE 1	10	9	1	.	
11	16.9	23.8	15.6	18.8	1.5	710.7	710.6	712.3	87	54	94	S 1	SSW 1	NE 1	10	5	10	1.2	⛆ 11½, 13½, ● 15½-17, ⏢ l
12	16.1	23.5	16.6	18.7	1.4	713.5	712.9	714.0	91	59	93	SSW 1	S 1	SSE 1	10	3	10●	1.5	● 20½-21¾
13	16.7	21.6	16.6	18.3	0.9	714.2	713.8	714.3	93	73	87	S 1	S 2	SSE 1	10	6	9	**48.2**	● 3¾, 9¼-10, 14¾-16, *)
14	15.3	15.6	15.8	15.6	1.8	714.1	713.4	713.3	97	96	98	S 1	NNW 1	SSW 1	10	10●	10	18.1	● 0½-5¾ mU, 12¾-14½, 17½-18, ⛆ 1¾-
15	15.9	23.6	16.3	18.6	1.2	713.5	713.1	713.6	94	58	94	S 1	S 1	NE 1	10	5	2	0.0	● 1¼, 2¾-3½ [6¼, 12¾-14, ⛈ 13
16	15.5	22.2	18.5	18.7	1.2	714.5	714.9	715.5	93	60	85	ENE 1	NNE 1	NE 1	10	6	1	.	⏢ l
17	17.6	27.9	20.1	21.9	4.4	716.2	716.2	716.1	88	50	84	S 1	WSW 1	ENE 0	0	1	1	.	⏢ l
18	19 7	**30.9**	22.3	24.3	6.8	715.8	715.3	714.3	82	**43**	73	SSW 1	SSW 1	WNW 1	1	1	6	2.4	⏢ l
19	18.6	27.2	18.2	21.3	3.8	714 3	713.0	712.9	87	**43**	89	W 1	WNW 1	W 1	1	5	10	1.9	● 3-5, 18¾-20¼, ⛈ 3-3¾
20	18.0	24.1	16.6	19.6	2.0	712.6	711.4	714.3	90	62	97	ENE 0	WNW 1	SE 1	10	7	9	6.6	● 15¼-17½, ⛆ 15½-16¾
21	17.3	23.4	20.1	20.3	2.7	715.0	714.4	714.4	91	53	76	S 1	WNW 1	S 1	9	4	10	28.4	● 22-24, ⛆ 23
22	15.5	18.4	16.9	16.9	−0.7	715.1	715.8	716.0	98	76	91	SW 1	WSW 1	NNW 1	10●	10	10	11.9	● 0-11, ●tr p
23	16.4	22.6	17.2	18.7	1.1	715.8	715.8	715.0	93	60	90	S 1	NE 1	NE 1	10	5	0	0.0	
24	16.9	24.1	18.9	20.0	2.4	713.9	712.5	712.0	90	49	71	NE 1	SE 1	NE 1	10	5	10	.	⏢ l
25	15.1	22.6	17.7	18.5	0.9	711.0	709.8	708.1	85	53	72	NNE 1	NNE 1	NE 1	9	4	10	.	⏢ l
26	14.4	19.6	16.8	16.9	−0.7	706.7	**706.6**	707.2	87	68	90	NE 2	N 1	N 1	9	10	10	15.8	⏢ l
27	13.1	16.1	14.7	14.6	−3.0	707.0	707.8	708.8	95	82	93	NNE 1	WSW 1	SSE 0	10●	10	10	6.5	● 2-2½, 4¾-5, 5¾-9¼, *)
28	15.1	12.7	14.3	14.0	−3.5	708.5	709.9	710.1	84	89	91	WSW 1	SSW 2	SSW 1	10	10●	10	5.7	● 11½, 14¼, ⛆ 11½-12½, ⏢ l
29	13.7	16.2	13.7	14.5	−3.0	710.6	712.0	714.4	94	71	96	WSW 1	WSW 1	SSW 1	10	9	10	11.7	● 1½-2¼, 11-11¾, 17½-18¼, 19-19¼
30	13.5	20.5	15.9	16.6	−0.9	715.3	714.7	714.3	98	56	85	WSW 1	SSW 1	NNE 1	10●	4	10	0.0	● 5¾-6½, 6¾-7¾, ⛆ 17¾
31	13.8	18.4	15.4	15.9	−1.6	713.8	713.5	713.2	85	64	86	NE 2	NNE 1	NNE 1	10	10	10	.	⏢ l
																		Summe	
Mittel	15.5	20.6	16.4	17.5	—	713.0	712.7	713.2	89	66	87				8.6	6.5	8.2	209.8	

*) **3.** ⛆ 9, ⛆ 1¼-1½, 13-14, ⛈ 18¾-19¾ **4.** 18½-19, 22-22¾, ⛆ 11¾-12, 12½-12¾, ⛈ 11¼-11½ **13.** ⛆ 9¼-9¾, 14¾-15¾ **27.** 10½-11, 11¾-12½, 13¼-14¼

$\lambda = 6°\ 32'$, $\beta = 46°\ 51'$
$H_b = 1588$ m, $G = -0{,}13$ mm

Chasseron

Juli 1955
Beobachter: *J. Liardon*

1	9.6	14.8	11.6	12.0	—	631.3	631.4	631.5	88	59	86	E 1	W 0	W 0	0	5	5	.	⏢ l
2	10.8	15.2	13.4	13.1	—	631.9	632.8	632.4	97	86	93	W 2	W 2	W 1	6	6	6	0.3	⛆ n (2 /3.)
3	11.6	10.3	11.0	11.0	—	630.7	629.9	631.5	94	100	76	S 1	SSW 2	WSW 1	8	10≡	9	12.4	⛆ 15½-16¾, ≡ 13½-17½
4	9.0	8.6	8.0	8.5	—	630.4	630.2	630.9	100	74	100	WNW 2	W 3	WNW 3	10●≡	6	10≡	3.6	⛆ n-8 mU,) 16¾-17½, *)
5	5.8	8.6	4.4	6.3	—	630.6	630.9	631.9	100	82	84	WNW 2	NNW 2	NNW 2	10≡	9	7	0.7	⛆ 18¼, ≡ n-8½, 21-n mU
6	3.6	7.0	**3.3**	4.6	—	631.8	632.5	633.1	100	94	100	NNW 1	NNW 1	N 0	9'	7	10≡	.	≡ n-8½ mU, 16-n mU
7	6.0	6.0	4.7	5.6	—	632.8	633.0	633.6	80	100	100	E 0	NNW 1	NE 1	3	10●≡	10≡	1.6	● 12¾-16 mU, ≡ 12½-n, ⏢ l
8	6.0	8.4	7.8	7.4	—	632.5	633.2	632.5	87	89	100	E 1	E 1	E 1	7	9	6	.	≡ 9-10 mU
9	8.2	11.8	10.8	10.3	—	630.4	630.8	630.4	100	87	100	ESE 2	ESE 1	E 1	10) ≡	5	10≡	0.0	) n-10½ mU, ≡ n-10½, *)
10	9.2	12.0	11.0	10.7	—	629.1	629.5	629.5	100	97	94	ESE 0	E 0	ESE 1	2	9	7	.	≡ n-7½, 10½-12¾, 20½-n mU, ⏢ l
11	11.0	11.5	10.2	10.9	—	630.0	630.7	631.2	100	96	100	WNW 1	WNW 0	SW 1	9	9	10	**38.9**	⛆▲⛆ 10½-11, 11¼-12¾, ⛆ 17¾-19
12	10.1	14.3	11.0	11.8	—	632.4	632.9	633.5	100	86	90	W 1	W 1	NW 1	10≡	9	9	.	≡ n-a mU
13	11.2	15.7	13.2	13.4	—	633 8	635.8	633.8	100	76	91	NW 1	NW 1	NW 2	10≡	9	9	1.0	⛆ p, ≡ n-a
14	11.7	14.6	11.0	12.4	—	633.5	633.3	632.9	98	79	96	NNW 1	NW 1	NW 1	10≡	9	9	6.6	⛆⛆ 16-17¼, ● n (14./15.), ≡ n-a,
15	10.2	11.2	10.6	10.7	—	632.3	632.5	632.6	98	90	81	NW 0	E 0	E 1	9	9	6	3.3	⛆ 13¾-13½, ≡ 7-7¼ [⏢ l
16	10.2	14.2	12.8	12.4	—	633.1	634.6	635.0	100	87	92	E 1	ESE 0	E 1	1	4	6	.	≡ n-a mU
17	14.1	17.6	16.7	16.1	—	635 6	636.6	636.7	73	65	72	W 1	SSE 0	S 0	0	4	2	.	⏢ l
18	18.4	**20.0**	20.0	19.5	—	636 1	**636.9**	635.4	**36**	56	39	SW 1	SW 0	WSW 2	3	5	7	3.3	⛆●▲ 13¼-13¾, ⏢ l, ⛠ III,
19	14.2	17.0	14.8	15.3	—	634.1	634.1	633.0	61	78	66	WNW 0	S 0	WSW 1	3	10	9	.	⛆ 1½, ⊕ II [⛈ p
20	11.2	10.9	10.0	10.7	—	631.8	632.4	633.2	81	90	100	WNW 0	W 1	W 1	10	10	10≡	16.5	) 7¼, ● 8½-10, 11-12, *)
21	9.2	13.9	11.2	11.4	—	633.8	634.1	634.0	100	73	100	WNW 1	NW 0	NW 1	10≡	9	9	4.7	● 14½-15, ⛆● 18½-20, ≡ n-a
22	9.7	10.7	10 7	10.4	—	634.0	634.6	634.7	93	100	100	N 0	N 0	N 0	10	9	10	2.0	● 10½-13¼ mU, ≡ 7¾-14 mU, *)
23	10.7	13.2	12.2	12.0	—	634.4	634.9	634.3	79	92	98	NE 1	— 0	ENE 1	6	9	9	0.0	●tr 15¾, ≡ 12-13 mU, 13¾-14½ mU
24	10.9	15.2	13.0	13.0	—	633 1	633.1	631.8	100	91	87	ESE 1	SE 0	ENE 0	10≡	8	8	.	≡ n-9¼
25	12.1	16.0	11.4	13.2	—	631.8	629.4	628.3	89	75	100	SW 0	W 0	SSE 1	8	9	10≡	21.3	⛆ 19¾-n mU, ≡ 15½-n
26	8.8	9.9	9.4	9.4	—	**625.8**	626.2	626.8	100	100	100	SE 1	SE 0	SE 0	10≡	10≡	8	1.6	) n-6½, ● 13¼-15 mU, ≡ n-n mU
27	8.9	9.4	9.9	9.4	—	626.6	627.1	628.1	100	100	100	WNW 1	NW 1	W 1	10≡	10≡	10≡	3.3	● 10¾-11½, 12¾-13, ≡ n-14¾, *)
28	7.3	6.3	7.1	6.9	—	627 6	628.5	629.1	100	100	100	NW 1	NW 2	NW 1	9	10	10≡	21.2	⛆ 6½-8½, ● 11-12 14½-18½, *)
29	6.6	7.8	7.1	7.2		629.4	631.1	632.8	100	100	100	NW 2	NW 1	NNW 1	10≡	9	10≡	4.2	● n-7, 10-11,) 16½-17¾, ≡ n-13,
30	7.4	10.8	9.0	9.1	—	633.2	633.5	633.0	100	94	100	NNE 0	NNE 0	NNE 0	10≡	9	5	.	≡ n-8¼, 20-n mU [13½-n mU
31	8.0	10.8	8.9	9.2	—	631.7	632.0	631.7	100	97	100	NE 0	— 0	ENE 1	10≡	9	9	2.2	⛆ 17. ▲ 18½, ≡ n-9½, ⏢ l
																		Summe	
Mittel	9.7	12.1	10.5	10.8	—	631.8	632.2	632.2	92	87	92				7.5	8.2	8.2	148.7	

*) **4.** ≡ n-13¾, 16-n, ⛈ a-n **9.** 19-20¼ mU, 20¼-n **20.** ⛆ 11¾, ≡ 11-12, p-n mU **22.** 19¼-n mU **27.** 14¼-17½ mU, 19-n **28.** ⛆ 6¼-8¼, 9½-12, ≡ n-6¾, 20½-n

Juli 1955
Beobachter: *Stationspersonal Rh. B.*

Bever

$\lambda = 9° 53'$, $\beta = 46° 33'$,
$H_b = 1711.8$ m, $G = -0.23$ mm

Tag	Lufttemperatur					Luftdruck			Relative Feuchtigkeit			Windrichtung und Stärke			Bewölkung			Niederschlag	Witterung
	7^{30}	13^{30}	21^{30}	Mittel	Abweich. vom Normalwert	7^{30}	13^{30}	21^{30}	7^{30}	13^{30}	21^{30}	7^{30}	13^{30}	21^{30}	7^{30}	13^{30}	21^{30}		
1	6.4	18.8	10.0	11.7	0.9	623.2	622.0	622.7	85	30	87	NW 0	SW 2	SW 0	0	0	3	.	⊔ |
2	8.9	19.1	12 4	13 5	2.6	623.5	623.1	624.3	90	45	86	SW 0	SW 1	SW 1	3	4	6	7.0	● n (2./3.), ¯⌓ |
3	9.6	11.1	10.6	10.4	−0.6	624.2	621.9	622.6	95	86	96	W 0	SW 0	SW 0	10●	10●	10	6.5	● n-p mU
4	8.1	17.8	8.4	11.4	0.4	622.1	620.3	621.5	96	44	95	S 0	SW 1	NW 0	6	9	6	2.5	● 15¾-16½, ≡ n-7
5	9 2	12.5	4.6	8 8	−2.3	620.5	619.9	621.8	72	45	91	NE 1	W 1	W 0	8	9	8	0.0	●tr p
6	5.9	9.0	4.6	6.5	−4.7	621.4	621.5	623.4	77	63	100	SW 0	NW 1	SW 0	10	10	10	0.7	● 19½-20
7	5.6	8.6	6.0	6.7	−4.5	622.4	621.6	623.3	72	67	78	SW 1	NW 1	SW 1	10	10	10	.	
8	6.0	9.6	9.3	8.3	−3.0	623.1	622.3	622.5	77	63	70	NE 1	NW 1	NE 1	10	10	10	.	
9	8.3	16.0	12.1	12.1	0.7	621.9	620.8	621.0	89	52	70	SW 1	N 0	NE 0	8	5	8	.	
10	10.1	17.7	10.6	12.8	1.4	620.5	618.6	621.5	89	49	98	NE 0	W 1	SW 0	6	8	9	0.6	● 17½-n mU
11	10.2	14.0	9.2	11.1	−0.4	621.6	622.0	623.9	95	79	100	S 0	NW 0	SW 0	7	10	10●	13.5	● 16-n mU
12	7.6	15.4	9.8	10.9	−0.6	623.7	623.1	624.2	99	59	95	W 0	SW 0	SW 0	10●	8	9	1.7	● n-8, 22-n
13	8 2	15.4	10.9	11.5	0.0	624.6	623.9	624.6	98	43	79	SW 0	W 1	E 0	8	9	10	.	≡ n-7½
14	9.8	13 4	12.5	11.9	0.3	624.2	623.9	623.3	91	71	74	SW 0	NE 0	NW 0	10	10	10	.	
15	8.8	15.7	9.8	11.4	−0.2	623.2	622.4	623.7	90	57	100	SW 0	W 1	SW 0	10	10	10	2.5	● 16¾-17¼
16	10.0	18.9	11.4	13 4	1.8	625.3	624.6	626 5	95	50	94	SW 0	SW 0	SW 0	5	4	6	0.2	● 18-18¼
17	11.0	22.0	12.2	15.1	3.4	627.2	626.5	628.0	87	34	80	SW 0	NW 1	NW 0	1	2	1	.	
18	10.8	24.1	11.9	15 6	3 9	628.4	627.2	627.7	79	25	80	SW 0	NW 0	S 0	0	1	0	1.7	● n (18./19.)
19	11.1	23.1	10.6	14.9	3 2	627.2	624.5	625.6	92	41	100	NE 0	SW 2	N 0	6	7	10●	6.9	● ⛉ 6-6¾, ● 17½-18¼,
20	9.6	19.2	11.2	13.3	1.6	624.1	623.1	624.6	100	50	90	S 0	SW 2	SW 0	1	8	2	.	[21-n mU
21	8.6	21.2	10.1	13.3	1.5	625.1	623.8	625.3	77	43	98	SW 0	SW 1	S 0	5	6	10●	0.6	● 21-n mU
22	8.1	13.1	9.0	10.1	−1.7	624.8	623.8	625.5	99	74	98	S 0	NW 2	NE 0	10≡	9	10	3.4	● 15½-n mU, ≡ n-a
23	10.8	18.2	13.7	14.2	2.4	625.1	624.6	625.1	86	52	72	E 0	SW 2	NE 1	6	8	1	.	
24	7.0	21.6	12.0	13.5	1.7	624.3	621.9	622.6	98	30	70	SW 1	W 0	NE 0	0≡	2	0	.	≡ u-a
25	8.0	20.0	13.4	13.8	2.0	622.3	619.9	619.3	89	28	81	SW 0	W 0	S 0	1	4	6	12.5	● 21¾-n
26	10 1	16.4	9.0	11.8	0.1	618.7	617.2	617.7	90	60	97	S 0	SW 1	SW 0	5	9	10●	4.4	● 16-n mU
27	10.0	13.5	8.4	10.6	−1.1	617.0	617.0	619.2	90	71	96	E 0	NE 0	NE 0	10≡	10	10	2.5	● 15-n mU, ≡ n-a
28	9 0	9.8	7.7	8.8	−2.9	618.7	618.4	619.5	89	72	92	SE 0	NW 1	N 0	8	10●	10●	1.6	● 13-n mU
29	7.8	11.4	7.5	8.9	−2.8	619.4	620.6	622.4	95	66	82	NE 0	NW 0	SW 0	10●	9	9●	1.3	● n-a, p-n mU
30	8.0	15.0	7.1	10.0	−1.6	623.3	623.5	624.0	89	42	90	E 0	SW 0	NW 0	8	6	0	.	
31	2 2	10.2	7.6	6.7	−4.9	623.5	624.0	623.9	100	83	98	SW 0	N 0	N 0	3	9●	2	2.7	● 12-14
																		Summe	
Mittel	8.5	15.9	9.8	11.4	—	623.0	622.2	623.3	89	54	88				6.3	7.3	6.8	72.8	

Juli 1955
Beobachter: *Couvent des Capucins*

Sion

$\lambda = 7° 21'$, $\beta = 46° 14'$,
$H_b = 548.6$ m, $G = -0.11$ mm.

1	18.3	25.9	18.9	21.0	2.0	715.5	712.9	714.0	69	50	67	ENE 0	WSW 2	NE 2	0	1	1	.	
2	18.5	28.7	20.3	22.5	3.5	716.0	714.0	714.4	70	47	75	NE 0	WSW 1	W 1	7	2	5	0.4	
3	20.0	20.8	18 4	19.7	0.6	714.2	712.8	715.3	76	75	87	ENE 0	W 2	W 1	10	10	9	2.0	● 0¼-0¾, 17¼-17¾
4	17.7	22.1	18.9	19.6	0.4	715.1	713.6	714.6	85	66	67	W 0	W 1	W 0	9	10	10	0.2	●tr 1, 2¾-4½, 18¼
5	17.2	18.2	15.5	17.0	−2.2	714.7	714.5	715.6	75	57	60	WSW 0	W 2	W 1	10	8	5	.	
6	15.8	19.8	15.9	17.2	−2.1	716.4	715.2	716.5	64	52	68	WSW 0	WSW 1	WSW 0	7	8	1	.	
7	15.2	19.0	11.4	15.2	−4.1	717.4	715.6	717.3	66	68	87	WSW 0	WSW 2	WNW 1	4	1	3	2.7	● 14¼-14½, 16¼-17¼
8	12.3	21.6	17.9	17.3	−2.0	717.5	714.8	714.6	80	51	65	ENE 0	WSW 1	W 0	3	4	3	.	
9	15.9	24.4	21.2	20.5	1.1	714.4	712.2	711.8	76	53	62	N 0	NNW 1	WSW 1	0	3	8	.	
10	18.1	23 5	18.9	20.2	0.8	712.6	711.6	712.1	79	61	82	N 0	WSW 1	W 0	1	8	3	.	
11	17.8	25.6	16.7	20.0	0.6	713.7	712.2	715.4	81	52	95	NNE 0	SW 2	WSW 0	5	5	10	2.9	● 18½-21¼
12	17.4	25.4	19.6	20.8	1.3	716.3	714.9	715 9	86	54	71	WSW 0	SW 1	WSW 1	9	3	8	.	
13	17.1	26.4	22.6	22.0	2.5	717.2	715 3	715.9	83	54	56	WSW 0	WSW 0	WSW 1	2	2	7	.	
14	17.9	23.2	20.0	20.4	0.9	716.7	716.5	715.2	75	52	65	N 0	WSW 0	SW 1	0	3	4	.	
15	17.1	21.4	19.2	19.2	−0.3	715.6	714.8	714.9	83	72	79	SW 0	SW 0	SW 0	7	8	7	0.5	● 9¼-10
16	17.0	26.1	23.0	22.0	2.4	717.6	715.3	716.5	85	55	64	N 0	WSW 1	W 1	0	3	5	.	
17	19.2	28.3	23.4	23.6	4.0	718.4	716.8	717.6	78	52	57	NNE 0	WSW 1	W 0	0	1	0	.	
18	20.1	30.4	25.4	25.3	5.7	718.8	716.7	716.3	73	48	60	SW 1	SW 0	W 0	0	0	3	1.8	
19	21.6	25.2	22.2	23.0	3.4	717.1	714.7	714.8	75	58	67	SW 1	NE 0	NNW 1	1	10	10	.	● 2⅛-3¼
20	21.6	23.8	18 6	21.3	1.7	714.7	713.8	716.5	71	66	98	NW 0	SW 2	SSW 1	8	7	10●	4.0	● 16¾-22¼ mU
21	17.1	25.3	17.8	20.1	0.5	716.9	715.4	717.5	80	52	85	SSW 1	SSW 1	WSW 1	10	3	10	2.5	● 18¾-19½
22	17.0	22.8	18.8	19.5	0.0	717.2	716.7	717.3	92	60	77	WSW 0	WSW 1	W 0	10	7	2	.	
23	17.4	25.7	21.0	21.4	1.9	717.7	716.1	715.7	76	50	70	NW 0	WSW 1	W 0	9	2	2	.	
24	18.3	27.2	21.0	22.2	2.7	716.0	713.4	713.0	79	57	67	NE 0	WSW 1	WSW 1	1	3	4	.	
25	17.8	27.0	18.7	21.2	1.7	713 2	709.8	711.4	82	58	83	SW 1	WSW 1	WSW 0	1	4	10●	4.2	● 18¾-19¼, 20¼-23½
26	18.3	19 4	15.8	17.8	−1.6	709.6	708.6	710.4	81	81	90	WSW 0	WSW 0	WSW 0	9	10	9	13.2	● 13-13½, 15-18½
27	15.8	21.2	14.0	17.0	−2.4	710.6	709.7	712.2	91	70	90	WSW 0	WSW 1	WSW 1	10	8	3	2.9	● 3¾-4¾. 17-18½
28	15.0	17 4	15.2	15.9	−3.5	712.7	712.6	713.3	87	69	82	W 0	WSW 0	WSW 0	10	10	10	5.0	● 9-9¾, 10¼-11¼
29	14.0	18.4	15.6	16.0	−3.4	714.0	714.9	716.7	94	70	80	WSW 0	WSW 1	W 1	10	9	6	1.0	● 2-7⅛ mU, 8¾-10
30	14.6	22.3	18.1	18.3	−1.0	717.1	715.3	715.0	83	55	75	W 0	W 1	W 1	0	2	1	.	
31	18.5	22.6	19.0	20.0	0.7	715.2	713.6	714.8	80	65	60	WSW 0	W 1	NE 1	6	4	8	.	
																		Summe	
Mittel	17.4	23.5	18.8	19.9	—	715.4	714.0	714.9	79	59	74				5.1	5.1	5.7	43.3	

$\lambda = 8°\,57'$, $\beta = 46°\,0'$,
$H_b = 276.2$ m, $G = -0.01$ mm.

Lugano

Juli 1955
Beobachter: *G. Vicari*

Tag	Lufttemperatur 7³⁰	13³⁰	21³⁰	Mittel	Abweich. vom Normalst	Luftdruck 7³⁰	13³⁰	21³⁰	Relative Feuchtigkeit 7³⁰	13³⁰	21³⁰	Windrichtung und Stärke 7³⁰	13³⁰	21³⁰	Bewölkung 7³⁰	13³⁰	21³⁰	Niederschlag	Witterung
1	17.4	27 8	21.2	22.1	1.5	737.2	736.6	737.1	74	49	71	N 1	S 1	N 1	0	0	0	.	
2	20.6	28.8	22.2	23.9	3.2	738.1	737.7	737.9	79	53	68	NNW 1	S 1	W 1	3	6	7	23.4	● n (2./3.), ⌿ 23–24
3	17 4	22.2	17.2	18.9	−1.9	738.7	737.8	736.5	96	73	88	NNW 1	NNE 1	N 1	10	5	5	26.2	● n-7¼, 15¼-18½, ⛆ 7¾-10 mU,
4	17.2	26.4	20.2	21.3	0.5	735.9	734.4	733.8	84	58	68	N 1	S 1	N 1	1	3	0	.	[11½-12½, ⛰ 2-4, 7¾, ⌿ 0-1
5	19.0	25.6	20.0	21.5	0.6	733.3	732.3	734.8	55	36	36	E 1	NNE 2	NNE 2	6	8	1	.	
6	18.0	25.9	20.2	21.1	0.1	735.7	735.0	737.0	46	**33**	35	N 1	NNE 2	NNE 2	6	2	8	.	
7	19.6	22.2	18.2	20.0	−1.0	737.1	736.0	737.7	40	41	44	N 1	N 1	N 1	2	10	5	.	●tr 16
8	16.0	23.8	22.0	20.6	−0.5	737.2	734.9	735.4	60	39	40	S 1	S 1	NNE 2	8	8	8	.	
9	16.4	27.2	21.2	21.6	0.5	736.0	734.3	733.7	72	53	68	N	S 1	N 1	0	1	1	.	
10	17.4	28.0	17.6	21.0	−0.2	733.1	733.2	736.2	78	54	96	N	S 1	N 1	0	2	10●	43.0	● 16-n, ⛰ 16-19
11	16.8	20.8	16.4	18.0	−3.2	737.0	737.2	739.0	96	74	94	N 1	NE 1	N 1	10●	10	10●	9.1	● n-7½, 10-11½, 19-22,
12	16.4	26.2	21.0	21.2	−0.1	738.2	737.8	737.7	90	53	81	N 1	S 1	N 1	2	4	1	.	[⛰ 19-20
13	17.2	29.0	21.2	22.5	1.2	738.0	736.6	737.1	80	47	61	N 1	SSE 1	N 1	0	2	5	.	
14	18.2	29.0	22.4	23.2	1.9	737.3	735.7	735.5	70	45	58	N 1	E 1	NNW 1	0	2	3	.	
15	18.4	24.6	22.0	21.7	0.3	736.9	736.8	737.3	72	62	74	N 1	SSE 1	N 1	9	7	9	.	
16	19.8	28.0	23.6	23.8	2.4	739.1	739.0	740.1	87	52	77	E 1	S 1	N 1	1	4	5	2.7	● ⛰ 23–24
17	20.0	29.6	24.4	24.7	3.3	**741.4**	740.4	740.6	90	49	73	E 1	SSE 1	N 1	0	1	0	.	
18	21.2	30.6	25.2	25.7	4.2	741.2	740.2	739.7	83	49	72	NNE 1	S 1	N 1	0	1	0	0.6	⛰ n (18./19.)
19	23.0	**31 8**	20.8	25.2	3.7	739.0	737.2	738.1	82	46	93	N 1	S 1	W 1	2	6	10●	6.9	● 17½-18½, 20-21½, ⛰ 15-16½
20	19.2	26.2	20.6	22.0	0.5	737.4	737.0	737.4	82	57	79	N 1	S 1	N 1	6	8	6	47.9	⛆ ⛰ ▲ 14¼-15½, ● 23–24
21	19.0	28.4	18.0	21.8	0.2	738.5	737.7	739.8	79	56	**87**	N 1	S 1	NNE 1	8	4	10●	**53.9**	● ⛰ 18-18½, 20-22,
22	16.4	27.6	19.6	21.2	−0.4	738.7	737.9	737.7	84	48	70	NE 1	SSE 1	N 1	6	7	0	.	[⛰ ▲ 17-17½
23	17.0	29.6	23.8	23.5	1.9	737.8	737.2	737.9	84	44	66	N 1	S 1	N 1	0	0	8	.	
24	20.0	29.4	23.8	24 4	2.8	737.8	735.6	733.7	79	48	72	N 1	S 1	NNW 1	0	2	2	.	
25	18.2	28.4	18.2	21.6	0.0	734.1	732.7	734 0	74	56	94	N 1	SSE 1	N 1	2	5	10●	21.6	● ⛰ 19-21½, ● 21½-n
26	17.0	17.2	16.8	17.0	−4.6	733.0	732.6	731.3	94	95	97	W 1	W 1	NNW 1	10●	10●	9●	41.7	● n-23 mU
27	16.0	26.0	18.4	20.5	−1.1	730.7	**730.3**	731.9	94	53	89	WNW 1	S 1	WNW 1	3	4	10	1.2	⛰ 19½-20
28	17.0	22.0	18.2	19.1	−2.5	733.1	732.1	732.8	83	72	67	NE 1	WSW 1	N 1	7	10	1	0.0	⛆ 12½
29	**15.8**	25.4	20.2	20.5	−1.0	733.2	733.3	735.4	71	46	43	N 1	NNW 1	NNE 1	8	6	2	.	
30	17.2	30.2	18.0	21.8	0.3	736.6	735.8	736.4	62	34	65	NNE 1	NNE 1	N 1	0	0	0	.	
31	18.0	22.2	17.4	19.2	2.3	737.7	737.7	738.7	80	56	85	N 1	ESE 1	N 1	9	9	9	4.5	● 15–17
Mittel	18.1	26.5	20.3	21.6	—	736.7	735.0	736.5	77	53	72				3.8	4.7	5.0	Summe 282.7	

$\lambda = 7°\,35'$, $\beta = 47°\,33'$,
$H_b = 317.3$ m, $G = 0.11$ mm.

Basel

Juli 1955
Beobachter: *Astronom.-Meteorol. Anstalt*

Tag	Lufttemperatur 7³⁰	13³⁰	21³⁰	Mittel	Abweich. vom Normalst	Luftdruck 7³⁰	13³⁰	21³⁰	Relative Feuchtigkeit 7³⁰	13³⁰	21³⁰	Windrichtung und Stärke 7³⁰	13³⁰	21³⁰	Bewölkung 7³⁰	13³⁰	21³⁰	Niederschlag	Witterung
1	15.8	24.8	16.8	19.1	1.7	735.2	733.6	733.5	72	51	82	SE 0	NW 1	SSW 1	0	1	4	.	
2	17.2	26.2	19.0	20.8	3.4	733.9	733.8	734.6	77	52	77	ESE 1	WNW 1	WNW 1	9	3	6	1.7	⛰ 22¾-23¼
3	17.0	20.2	16.6	17.9	0.4	732.9	732.2	733.7	92	76	94	NW 0	NW 0	SE 1	9	10●	7	21.8	● 1½-4¾, ●tr 8½, 11-11¾, *)
4	18.0	19.3	14.3	17.2	−0.4	733.1	733.3	734.5	90	52	92	SW 1	WNW 1	WSW 1	9	9	10●	0.2	● 2¼-3¼, 4½-6, 20½-21½
5	15.0	17.1	14.2	15.4	−2.2	734.9	734.9	736.6	83	54	74	W 0	WNW 2	WSW 1	9	9	10	.	⌿ 16¼
6	12.4	15.1	**10.1**	12.5	−5.2	737.0	737.8	**739.0**	74	65	88	WNW 1	NW 1	SSW 1	10	9	6	.	
7	11.6	13.2	13.2	12.7	−5.1	738.2	738.2	738.8	86	93	95	SSW 1	WNW 1	NNW 0	10	10	4	3.4	● 10¾-12¾
8	12.6	20.5	16.0	16.4	−1.4	738.4	737.2	736.6	93	66	81	N 0	NNW 1	WNW 1	10	8	8	.	⌓ !
9	16.6	22.5	18.3	19.1	1.2	735.0	733.9	733.4	85	61	84	NW 1	NNW 1	WNW 1	8	8	10	0.0	● tr 0¼, 16½
10	17.4	23.1	18.4	19.6	1.7	732.8	732.5	732.0	84	62	84	E 0	S 0	NNE 0	10	9	8	0.0	●tr 13, ⛆ 16½
11	16.8	25.7	17.8	20.1	2.1	732.4	732.1	733 0	88	64	92	SSW 0	SSW 1	ESE 1	8	7	3	0.2	● 23¾-24
12	18.2	25.7	16.9	20.3	2.3	734.0	734.3	735.6	90	56	94	ESE 1	WNW 1	SSW 1	10	8	10	5.9	● 18½-19¾, ⛰ 18½-18¾
13	18.4	23.4	19.0	20.3	2.3	735.7	735.4	735.6	90	63	86	SE 0	NW 1	SE 0	9	9	5	1.3	● 16¼-17¾, ⛰ 16¼
14	18.0	23.2	17.1	19.4	1.3	735.7	734.6	735.0	87	73	92	E 0	E 0	E 0	4	4	10	0.5	● 12½-12¾, 16¼-16¾,
15	17.3	24.0	18.0	19.8	1.7	735.5	735.1	735.3	91	67	91	SW 0	ENE 1	WNW 1	10	6	6	.	[⛰ 12-12¼
16	17.2	25.9	19.6	20.9	2.8	735.8	735.5	736.1	90	64	89	SSW 0	NW 1	E 0	10	6	2	.	
17	19.1	29.0	21.2	23.1	5.0	737.3	737.4	737.2	80	51	86	E 1	WSW 1	E 0	0	2	0	.	
18	20.7	**32.5**	21.8	25.0	6.8	736.6	735.9	734.8	78	53	79	ESE 1	SW 0	S 1	0	3	1	1.8	● 2¾-3¼
19	22.0	27.9	19 9	23.3	5.1	735.6	734.0	733.9	75	**50**	83	SSW 1	N 0	S 2	2	5	8	0.0	⛰ 20-21, ⌿ 2½
20	19.3	23.2	18.5	20.3	2.1	734.0	734.1	735.9	89	68	89	SSE 0	WNW 1	SW 1	8	7	10●	4.2	● 15¼-16, 21¼-21¾
21	18.0	26.1	19.9	21.3	3.1	736.4	735.6	735.6	92	51	75	SSE 0	WNW 1	SSW 1	8	4	10	17.0	
22	16.4	21.7	18.4	18.8	0.6	737.2	737.6	737.5	95	71	72	S 0	WNW 1	N 0	10●	9	7	3.6	● 1-10½, ⛰ 2¾-4¼
23	17.1	24.6	19.1	20.3	2.0	737.5	737.1	736.5	91	61	87	SSW 0	WNW 1	SW 0	10	7	0	0.0	
24	17.0	25.2	18.5	20.2	1.9	735.9	734.8	734.0	97	64	74	WNW 0	NW 1	NW 1	10≡	7	4	.	≡ 1-7¾
25	14.8	23.6	18.3	18.9	0 6	733.3	731.6	730.2	93	64	82	SW 0	WNW 1	NW 0	10	3	6	.	
26	14.9	21.0	17.2	17.7	−0.5	729.6	**729.2**	729.5	88	71	91	WNW 1	NE 1	NNW 0	7	9	10	**24.7**	
27	14.8	16.7	16.7	16.1	−2.1	729.7	729.9	730.6	99	93	92	NW 1	N 1	SW 0	10●	10	8	15.7	● 0½-12
28	15.1	16.2	15.6	15.6	−2.6	730.5	731.5	732.1	97	89	83	E 0	S 1	SE 1	8	10●	10	0.6	● 12-12½, 13½-14¼, ⛰ 12¾
29	15.8	20.0	15.2	17.0	−1.2	733.0	734.0	736.1	85	67	92	W 1	W 1	WSW 1	7	7	6	12.6	● 5-5¾, 15½-17½, ⛰ 15½-16¼,
30	15.8	22.4	14.7	17.6	−0.5	737.1	737.1	736.8	93	65	84	S 0	WNW 1	WNW 1	10	6	7	.	● 3¼-3½ [16¼
31	13.7	18.6	17.7	16.7	−1.4	736.5	736.1	735.5	94	74	77	WNW 1	WNW 1	ESE 0	10	10	10	.	
Mittel	16.6	22.5	17.4	18.8	—	734.9	734.5	734.8	88	65	85				7.9	6.9	6.7	Summe 115.2	*) 2. ●tr 15½-15¾, 19¾-20, ⛰ 11¼- [11¾, ◠ 20, ⌿ 15¾

Juli 1955
Beobachter: *Observatorium*

Säntis

$\lambda = 9° 20'$, $\beta = 47° 15'$,
$H_b = 2500.1$ m, $G = -0.27$ mm.

Tag	Lufttemperatur 7³⁰	13³⁰	21³⁰	Mittel	Abweich. vom Normalst	Luftdruck 7³⁰	13³⁰	21³⁰	Relative Feuchtigkeit 7³⁰	13³⁰	21³⁰	Windrichtung und Stärke 7³⁰	13³⁰	21³⁰	Bewölkung 7³⁰	13³⁰	21³⁰	Niederschlag	Witterung
1	3.1	9.8	6.3	6.4	2.2	565.1	565.7	566.0	78	76	100	WSW 2	SW 2	WSW 2	0	5	10≡	.	≡ 15-n mU
2	5.1	9.5	7.4	7.3	3.0	566.1	567.3	567.4	83	77	100	WSW 3	SW 2	WSW 2	6	2	6	0.1	▽ 17¾-18, ≡ 8½-9¾, 16½-19½ mU
3	8.1	8.9	5.0	7.3	3.0	566.0	565.2	565.4	74	83	100	SW 2	SW 2	WSW 3	7	10	10●≡	31.7	▽ 13½-14, 17¾-17½, 17¾-18¼,*)
4	3.7	4.4	2.0	3.4	-1.0	564.3	563.7	563.9	100	100	100	W 3	WSW 4	W 4	10≡●	10≡●	10≡	38.7	▽ 6¾-7½, 8-9¼, 10¾-11,*)
5	-1.3	0.0	-1.4	-0.9	-5.4	563.0	563.2	564.3	100	100	100	WNW 2	WNW 2	N 1	10≡	10≡	10≡	11.0	✳ 7¾-8½, 16¼-17½, △ 16-16¾,*)
6	-1.6	-0.2	-1.3	-1.0	-5.6	564.1	564.7	565.9	100	100	100	WNW 2	W 2	N 1	10≡	10≡🌢	10≡🌢	10.7	✳ n-10¾ mU, 🌢 10¾-15½,*)
7	-1.6	-1.2	-1.0	-1.3	-5.9	564.6	564.5	566.2	100	100	100	WNW 2	W 2	N 2	10≡	10≡*	10≡	17.1	✳ 5¾-6¾, 10-15½, ▽ 9-10, *)
8	-0.4	1.0	3.2	1.3	-3.4	565.9	566.1	565.9	100	100	100	N 2	N 2	N 3	10≡	10≡🌢	10≡●	26.7	🌢 10¾-17½, ● 17½-n, ≡ n-n
9	3.0	5.1	4.4	4.2	-0.6	565.0	565.2	565.0	100	98	100	NE 2	ENE 1	N 2	10≡	10≡	10≡●	6.0	● n-5¾, 19¼-n, ▽ 15-15¾,*)
10	5.6	7.5	5.0	6.0	1.2	563.8	564.2	564.6	85	90	94	NE 1	ESE 1	NNE 2	9	10≡	1	0.2	● 8-8¼, ≡ 10½-17½ mU
11	5.8	8.2	5.2	6.4	1.5	564.5	565.1	566.0	89	75	88	W 2	W 2	SW 2	2	9	4	5.0	▽ 10¾-11, ● 17-17¾, ≡ 15¼-17
12	4.4	8.1	5.6	6.0	1.1	566.3	567.0	567.5	100	90	100	SW 2	SW 2	W 2	10≡●	10≡	10≡	15.1	● 4¾-8, ≡ n-9¼, 10½-14¼, *)
13	4.6	6.2	4.8	5.2	0.2	566.9	567.5	567.7	100	100	100	WSW 2	W 2	W 2	10≡●	10≡	10≡	**39.0**	▽ n-11¾ mU, ◺ 9¾, 15¾-16¾,*)
14	4.8	7.1	4.6	5.4	0.4	566.9	566.9	566.6	100	100	100	W 2	W 2	WSW 2	10≡●	10≡	10≡	26.3	▽ 5-6¼, 10¼-10½, 15-15¾,*)
15	4.4	6.5	5.0	5.3	0.2	566.1	566.7	567.2	100	86	100	WNW 1	N 1	NE 2	10≡●	6	10≡	24.3	● n-11¾, ▽ 14½-14¾, 15¾-16½,*)
16	8.3	11.3	8.3	9.3	4.2	567.6	568.9	570.0	64	82	76	NE 2	S 1	NE 1	1	5	5	.	≡ 12½-18½ mU
17	10.1	12.8	10.2	11.0	5.9	570.2	571.5	571.7	66	67	61	WNW 1	SW 2	WSW 2	1	4	1	.	⊕ II
18	11.0	**13.7**	12.2	12.3	7.1	571.4	**572.0**	571.5	76	**45**	70	WSW 2	WSW 2	WSW 2	1	2	5	12.7	▽ n (18./19.)
19	7.8	13.2	8.8	9.9	4.7	569.0	569.3	568.0	70	75	65	WSW 3	SSW 1	ESE 1	9	5	9	1.1	▽ 5-6¾ 16¾-19, ◺ 6¼-6¾, *)
20	9.7	12.6	6.7	9.7	4.5	567.2	567.1	568.0	66	68	80	SSW 1	SSW 2	W 2	9	6	9	3.0	▽ 7¾-8½, 16½-18¾, ◺ 7¾,*)
21	8.0	11.7	6.0	8.6	3.3	567.9	568.6	568.7	81	80	85	E 1	SW 1	N 1	5	6	9	12.2	▽ 15½-15¾, 17½-17¾, *)
22	5.0	6.3	4.0	5.1	-0.2	567.5	568.0	568.2	99	100	100	N 1	WNW 1	WNW 2	10≡	10≡●	10≡🌢	21.5	● n-6½, 10¾-15½, 🌢 8¼-10¾,*)
23	4.3	7.4	6.2	6.0	0.7	568.1	569.0	569.0	95	90	82	N 2	NE 1	**NNE 2**	10≡	10≡	1	.	≡ 6¾-14, 14-17¾ mU
24	9.7	10.8	6.0	8.8	3.5	567.2	567.2	566.4	52	85	100	WSW 1	SW 1	NW 2	0	4	3	.	≡ 20¾-n mU
25	6.0	10.0	6.4	7.5	2.1	564.4	564.3	563.0	95	74	96	WSW 1	SW 2	SW 1	1	5	7	1.0	≡ 🌢 n-n mU
26	6.9	9.5	5.4	7.3	1.9	561.0	561.4	561.4	73	86	100	SE 2	SSW 1	NNW 1	4	5	10≡	1.7	● n (26./27.) mU, *)
27	3.8	2.8	2.9	3.2	-2.2	**560.6**	561.0	561.9	100	95	100	N 1	E 1	WSW 2	10≡●	10	10≡●	11.3	● n-10½, 20½-n, ●✳ 10½-16 mU,*)
28	1.9	2.1	1.8	1.9	-3.5	561.5	561.6	562.3	100	100	100	WSW 2	WSW 3	WSW 2	10≡	10≡●	10≡●	25.3	▽ 6-6¼, 13-13¾, 15, *)
29	1.0	0.9	2.0	1.3	-4.1	561.9	563.2	565.6	100	100	100	WNW 2	WNW 2	WNW 2	10≡△	10≡*	10≡●	36.0	● n-7, △ 7-12, 12½-12¾, *)
30	2.4	6.1	3.4	4.0	-1.4	566.2	567.1	566.8	100	79	100	NW 2	N 1	WSW 1	10≡	10≡	10≡	0.9	▽ n-7, 7¾-8¼, 🌢 9-9½, *)
31	5.6	10.1	4.9	6.9	1.5	565.5	566.1	566.3	80	77	100	ESE 1	SSW 1	SSW 2	4	4	10≡	.	≡ 9½-n mU
Mittel	4.8	7.2	4.8	5.6	–	565.7	566.1	566.4	88	86	93				7.1	7.7	8.1	Summe 378.6	

Juli 1955
Beobachter: *E. Chiesa*

St. Gotthard (Hospiz)

$\lambda = 8° 34'$, $\beta = 46° 33'$,
$H_b = 2095$ m, $G = -0.25$ mm.

1	5.6	14.3	9.9	9.9	3.3	594.1	594.2	594.6	75	50	95	NW 1	SE 1	SE 0	0	0	9	.	
2	10.2	15.4	10.4	12.0	5.3	595.1	595.8	596.1	83	69	78	SE 1	SE 0	SE 0	6	6	10≡	2.2	● n (2./3.), ≡ 20¼-n mU, △ I
3	8.0	11.5	7.2	8.9	2.1	594.9	594.1	594.3	95	90	95	SE 1	SE 1	NW 2	10≡	10	10	**21.4**	● 11-12¾, 14½-n mU, ≡ n-a
4	9.0	13.1	6.0	9.4	2.5	593.7	593.2	593.0	69	46	98	NW 0	NW 1	NW 1	3	10	10●	5.6	● 13¾-n mU
5	2.8	3.6	1.0	2.5	-4.5	592.1	591.9	592.6	99	95	98	NW 1	NW 2	NW 3	10●≡	10	10●≡	3.1	● n-a, p-n mU, ≡ n-n mU, 🌧 III
6	1.0	2.2	1.8	1.7	-5.4	592.5	593.3	594.1	95	99	97	NW 2	NW 2	NW 3	10	9	10●≡	1.2	● 19¼-n mU, ≡ p-n mU, 🌧 III
7	1.2	1.8	**0.6**	1.2	-6.0	593.8	593.6	594.6	98	98	100	NW 2	NW 2	NW 2	10🌢≡	10≡	10🌢≡	2.4	● 10¾-p mU, 🌢≡ n-n mU
8	1.1	4.3	4.0	2.8	-4.5	594.5	594.4	594.5	95	93	99	NW 2	NW 2	NW 2	10	10	10🌢≡	1.0	🌢≡ 14-n
9	5.2	10.8	7.4	7.8	0.4	593.3	592.9	593.0	91	75	98	NW 2	NW 1	NW 2	0	0	10≡	.	≡ 16¾-n, △ I
10	6.2	12.0	8.0	8.7	1.2	592.0	591.9	592.8	97	70	96	NW 1	NW 1	NW 1	0	10	10≡	4.1	● 18½-n mU, ≡ 16¾-n
11	8.2	11.6	7.6	9.1	1.5	592.8	593.3	594.2	91	90	98	NW 0	SE 0	SE 0	9	10≡	10	2.5	● 10¾-p mU, ≡ a-p
12	7.0	12.5	7.7	9.1	1.4	594.8	595.4	596.9	90	65	87	NW 1	NW 1	NW 1	10	6	10	2.8	● 19-20
13	8.3	13.0	6.6	9.3	1.5	596.0	596.2	596.8	85	71	90	NW 1	NW 1	NW 2	3	9	10≡	10.0	● 15½-n mU, ≡ 15¾-n mU, △ I
14	7.8	11.1	7.5	8.8	0.9	595.7	595.8	595.0	85	68	90	NW 2	NW 1	NW 1	3	6	6	0.8	◺ 16¾-17
15	6.7	10.0	8.0	8.2	0.2	594.3	594.4	595.1	96	72	97	NW 1	NW 1	NW 1	10	9	6	.	
16	9.8	17.0	10.2	12.3	4.2	595.7	596.8	598.1	71	58	98	NW 0	SE 0	**NW 1**	0	3	0	0.3	● 17½-17¾
17	11.0	17.7	12.2	13.6	5.4	598.7	599.3	600.0	84	42	90	SE 0	NW 1	NW 1	0	0	0	.	
18	12.8	**19.3**	15.4	15.8	7.5	599.9	**600.1**	599.5	53	**30**	55	NW 0	NW 0	NW 1	0	0	0	8.2	◺ ● 22½-n
19	10.0	15.3	11.1	12.1	3.8	597.9	597.5	596.3	84	79	82	SE 1	SE 1	NW 1	3	10●	10	19.5	● 13¾-17½
20	10.4	11.0	9.4	10.3	1.9	595.6	595.8	596.1	74	81	98	SE 1	SE 1	NW 1	10	10●	10●≡	9.8	● 12-n mU, ◺ 21½, ≡ 20½-n
21	7.1	15.1	9.4	10.5	2.1	596.3	596.6	596.7	99	60	96	NW 1	NW 0	NW 0	10	9	10	.	
22	7.7	7.2	7.0	7.3	-1.1	595.9	596.3	596.6	95	98	98	NW 1	NW 2	NW 2	10	10●	10≡	2.6	● 12-14½, ≡ 18¾-n
23	6.6	11.1	9.0	8.9	0.4	596.3	597.0	597.0	98	73	93	NW 1	NW 1	NW 1	10	9	0	.	△ I
24	8.7	15.2	8.6	10.8	2.3	595.7	595.2	594.4	83	55	96	NW 1	NW 1	NW 2	0	0	6	.	
25	8.0	12.2	7.7	9.3	0.8	593.3	592.4	591.6	86	74	97	NW 0	NW 1	NW 0	0	6	10	16.6	● 19½-19¾, ◺ 19¼-19¾, △ I
26	7.3	9.5	6.8	7.9	-0.6	589.9	589.8	589.7	85	86	96	SE 0	SE 0	NW 1	9	10≡	10●≡	1.2	● 11-n mU, ≡ 10¾-n
27	6.8	11.1	6.4	8.1	-0.4	**588.9**	589.3	590.5	97	79	95	NW 1	NW 1	NW 1	9	9	10	0.8	🌢 n (27./28.)
28	5.1	5.5	4.4	5.0	-3.5	590.4	590.5	591.3	94	95	97	NW 1	NW 1	NW 1	3	10●	10≡	3.1	● 12-p, ≡ 20-n
29	3.9	6.2	3.8	4.6	-3.9	590.7	592.3	593.3	98	85	97	NW 2	NW 2	NW 2	10	9	10🌢≡	1.3	● 15¼-p, ≡ 🌢 19½-n
30	4.8	9.9	6.4	7.0	-1.5	594.3	595.3	595.0	99	70	96	NW 2	NW 1	NW 1	10≡	0	6	.	≡ n-10¾, 19½-n mU
31	8.0	10.3	5.7	8.0	-0.5	594.5	594.6	595.1	77	86	83	NW 0	SE 1	SE 1	6	10≡	10	4.8	● 15½-n mU, ≡ 11½-15½
Mittel	7.0	11.0	7.3	8.4	—	594.3	594.5	594.8	88	74	93				5.0	7.1	8.2	Summe 125.3	

*) Säntis: **3.** ● 19-n, ◺ 12¾-14, ≡ 13½-n mU **4.** ● 11½-16¼, 19-20¾, ✳ n (4./5.), ◺ 13¼-13½, 14½-15¼, ≡ 🌧 n-n mU **5.** ≡ n-n mU **6.** 🌢 19-n, ≡ n-n, ⋁ n-10½, 20-n **7.** ≡ n-n **9.** ▽ 18¼-19, ≡ n-n mU **12.** ≡ 15½-n mU **13.** ≡ n-17½, 19-n mU **14.** ● 6½-9¼, 13¾-14½, 20½-21, ≡ n-16½, 18¼-n mU **15.** ≡ n-10¾ mU, 14-16½ mU, 17¾-18½, 20-n **19.** ◺ 16¾-17¾, ≡ 17-17¾ **20.** ◺ 16-17¾, ≡ 15½-18¾ **21.** ▽ 18½-21½, ≡ 7¾-18¾ mU **22.** 🌢 18¾-n, ≡ 6¾-n **26.** ≡ 12¾-20¼ mU, 20¼-n, ⊕ 10½ **27.** ≡ n-9¾, 14-17¼, 19¼-n **28.** ● 18-n, ≡ n-14½, 14½-15½ mU, 15½-n **29.** ▽ 12¾-13¾, 14-14½, ▽ 17-19¼, 20-n, ◺ 12½, 17-18½, ≡ n-n **30.** ≡ n-10¼, 10¼-20½ mU, 20½-n

$\lambda = 7°\,26'$, $\beta = 46°\,57'$,
$H_b = 572.2$ m, $G = 0.00$ mm.

Bern

August 1955
Beobachter: *Meteorologisches Observatorium*

Tag	Lufttemperatur 7³⁰	13³⁰	21³⁰	Mittel	Abweich. vom Normalst	Luftdruck 7³⁰	13³⁰	21³⁰	Relative Feuchtigkeit 7³⁰	13³⁰	21³⁰	Windrichtung und Stärke 7³⁰	13³⁰	21³⁰	Bewölkung 7³⁰	13³⁰	21³⁰	Niederschlag	Witterung
1	12.9	20.0	13.4	15.4	−2.3	712.3	711.1	711.1	89	63	89	SE 0	N 1	N 0	10	7	4	0.0	≡ 2½–5, ⏢ l
2	11.8	18.2	14.0	14.7	−3.0	711.2	710.8	711.5	89	60	86	SE 0	W 0	ESE 1	9●	7	6	0.5	●tr 6¾–7, 7½–9¾
3	12.2	20.7	16.8	16.6	−1.0	712.1	712.0	713.2	87	55	82	SE 0	N 0	SE 0	7	5	6	1.9	⏢ l
4	15.0	17.0	15.4	15.8	−1.8	713.2	714.6	714.8	93	66	70	SE 0	E 1	NE 1	9	7	7	.	● 2½–7¾ mU
5	10.4	19.0	15.4	14.9	−2.6	715.2	714.7	714.8	97	44	73	NE 1	NNE 1	NE 0	10≡	1	1	.	≡ n-a
6	11.4	20.4	17.2	16.3	−1.2	714.3	713.3	713.7	81	46	62	S 0	NE 1	N 0	0	2	5	.	⏢ l
7	14.4	16.8	13.0	14.7	−2.7	711.3	710.6	710.7	77	70	90	SE 0	SW 1	SW 1	8	10●	10	17.1	● 9¾–14½, 16–16½, 19¾–23½ mU,
8	10.3	14.6	11.6	12.2	−5.2	710.6	711.7	713.0	81	49	70	E 0	N 1	N 0	9	7	7	.	● 2¾–5, ⛥ 2¾–4 [⏢ ⊕ l
9	10.9	14.9	11.5	12.4	−4.9	713.3	713.7	714.9	74	46	67	SW 0	NNE 0	NE 0	9	8	4	.	
10	9.0	17.4	12.5	13.0	−4.2	714.4	714.0	713.9	77	47	83	NE 0	NE 1	NNE 1	2	6	1	.	⏢ l
11	10.5	17.7	15.9	14.7	−2.5	713.1	712.3	710.9	87	57	76	NE 0	NE 0	NE 0	10	7	4	2.8	● 17½–19¾
12	13.7	16.7	13.6	14.7	−2.4	709.8	**709.4**	709.5	96	75	92	W 0	NW 0	SE 0	10●	9	7	18.2	● 0½–4½, 5¾–12½ mU, *)
13	13.0	19.1	14.6	15.6	−1.4	710.9	710.8	712.5	96	60	89	SE 0	WNW 1	SE 1	7	8	10●	1.7	● 0–1¾, 16–16½, 20½–24, ≡ 6¾–6½
14	13.2	20.0	15.1	16.1	−0.9	713.8	713.9	715.1	87	52	91	SE 0	W 1	SE 1	9	6	9	0.0	●tr 14, ⏢ l
15	12.6	18.0	14.7	15.1	−1.8	716.0	716.0	717.6	87	61	83	E 0	NW 1	SE 0	3	9●	10	0.1	⛆ 13½–13¾, ● 20¼–20½, ⛥ 19½–20¾
16	13.2	20.5	16.3	16.7	−0.1	**718.0**	716.9	716.3	83	**42**	76	SE 0	N 1	NE 0	2	3	0	.	⏢ l
17	12.4	22.6	18.0	17.7	0.9	715.4	714.6	715.1	86	**42**	80	SE 0	NW 1	S 0	0	2	2	.	⏢ l
18	13.7	22.8	19.0	18.5	1.8	716.2	716.1	716.2	85	49	64	SE 0	N 0	NE 0	3	9	8	.	⏢ l, ⊕ 13½
19	14.8	23.8	19.8	19.5	2.9	716.4	715.9	716.5	82	51	79	SE 0	N 1	N 0	1	5	8●	0.0	●tr 21½–22, ⏢ l
20	16.4	23.8	18.9	19.7	3.1	717.1	716.5	716.4	82	57	82	SE 0	NNE 2	NE 1	3	3	1	.	⏢ l
21	15.6	22.4	18.8	18.9	2.4	716.3	716.0	716.1	86	56	77	N 0	NNE 1	NE 0	0	1	0	.	⏢ l
22	15.2	23.7	20.0	19.6	3.2	717.3	716.8	716.9	88	54	76	SE 0	NE 0	E 0	1	2	1	.	
23	16.5	**24.7**	20.5	20.6	4.2	717.9	716.8	715.9	85	50	80	SE 0	N 0	NE 0	0	2	5	.	⏢ l
24	17.4	24.1	18.2	19.9	3.6	715.0	713.7	713.1	86	48	65	SE 0	NNE 1	ENE 0	8	3	3	.	⏢ l
25	15.0	19.6	14.0	16.2	0.0	711.5	710.6	710.1	84	69	88	SE 0	NE 1	E 1	10	9	9	2.2	● 16¾–20 mU, ⏢ l
26	11.7	21.6	17.1	16.8	0.7	710.4	710.4	711.6	88	56	82	SE 0	WSW 1	ESE 1	1	1	8	5.3	● 19¼, ⏢ l
27	13.9	16.1	13.9	14.6	−1.5	713.1	714.3	714.1	93	83	95	E 0	ENE 1	SW 1	9	10●	10●	**27.3**	● ¼–6½, 11¾–24 mU, ⛥ 1½–3¼,*)
28	13.5	18.9	15.8	16.1	0.1	712.8	712.7	713.0	94	74	82	SE 0	NE 0	ESE 1	9	10	7	8.9	● 0–1, 3¾–4¼, 5¾–7, 9¾–10½, *)
29	12.9	20.3	18.0	17.1	1.2	713.8	713.7	714.0	100	69	89	W 0	NE 0	SE 0	10≡	4	9	4.4	≡ 6¾–8¼, ⏢ l
30	14.7	16.8	15.5	15.6	−0.2	713.3	714.4	713.4	94	87	94	SW 1	S 0	NE 0	10●	9	10●	20.6	⛆ 5¼–5½, 6½–6¾, ●6¾–13¼, 20¼–23¼*)
31	15.0	19.8	14.4	16.4	0.7	712.3	710.4	710.7	95	71	93	SE 0	E 0	ESE 0	10●	8	10	4.3	● 0–8½ mU, 17½–21½ mU, ⛆ 14–14¼
Mittel	13.3	19.7	15.9	16.3	—	713.8	713.5	713.8	87	58	81				6.1	5.8	5.9	Summe 115.3	

*) **12.** ● 14¾–15¼, 19¼–20¾, 23–24, ⛥ 19¾–20½, ⏢ l **27.** ⛥ 15–15½, 16¼–16¾, 23¾–24½, ⏢ l **28.** ● 14¼–18¾, ⛥ 4¾–6¼, 9¾–10½ **30.** ⛥ 5½–5¾, 9½–9¾, ⏢ l

Neuchâtel

$\lambda = 6°\,57'$, $\beta = 47°\,0'$,
$H_b = 487.3$ m, $G = 0.02$ mm.

August 1955
Beobachter: *Observatorium*

1	14.7	19.6	15.8	16.7	−2.0	719.8	718.9	718.4	90	68	72	E 0	S 0	NE 1	10	10	1	.	
2	13.5	21.8	16.7	17.3	−1.4	718.6	718.2	719.0	92	60	66	E 1	SE 0	NE 0	6	6	6	0.2	⛆ 11½, ● 15¾–16¼
3	13.6	22.0	17.8	17.8	−0.9	719.7	719.6	720.4	89	59	73	NE 0	SE 0	E 0	4	7	6	0.7	● 22¾–23
4	16.4	20.3	16.4	17.7	−0.9	720.6	721.5	722.2	96	66	71	N 0	SE 1	NE 1	10	7	7	.	● 2–2¾
5	12.8	22.7	17.4	17.6	−1.0	722.8	722.3	722.3	88	43	62	NE 2	E 2	N 1	2	1	0	.	
6	13.6	22.1	18.4	18.0	−0.5	721.9	720.9	720.9	89	49	52	NE 0	SE 0	NW 3	0	4	4	.	
7	15.4	19.4	13.8	16.2	−2.3	718.9	718.0	717.3	73	72	95	SW 0	SW 1	W 1	10	8	10●	4.9	● 9¼–10¾, 19¾–22¼
8	**10.8**	17.1	12.2	13.4	−5.0	718.2	719.4	720.5	90	**40**	61	N 0	N 2	N 3	4	4	4	.	⛷ p-a
9	12.0	17.2	11.9	13.7	−4.6	720.8	721.4	722.5	67	**40**	70	W 1	NW 1	N 0	5	8	6	.	
10	10.9	21.2	14.5	15.5	−2.8	722.2	721.5	721.5	83	**40**	64	E 1	E 2	NE 2	2	4	1	.	
11	12.0	20.0	17.1	16.4	−1.8	720.8	719.8	718.3	95	65	76	E 0	SE 0	NE 0	10	8	2	15.0	● 17–17¾
12	13.9	18.3	15.5	15.9	−2.2	717.1	**716.8**	716.9	99	80	88	NW 0	SE 0	W 0	10●	8	10	2.4	● 0¼–7½, 10¾–11¾
13	15.0	21.0	17.8	17.9	−0.2	718.3	718.2	719.8	90	64	63	SE 0	SE 1	SW 1	10	7	10	.	
14	14.9	20.6	15.2	16.9	−1.1	721.3	721.7	722.6	96	59	79	NE 0	W 1	NW 1	10	8	1	.	
15	14.2	21.4	16.8	17.5	−0.4	723.4	723.5	724.9	93	55	65	NE 0	SW 1	NE 1	9	7	10	0.0	●tr 22
16	13.7	24.4	18.1	18.7	0.8	**725.6**	724.3	723.7	92	47	68	NE 0	E 1	NE 1	0	1	0	.	
17	13.6	23.8	19.2	18.9	1.1	723.0	722.2	722.5	91	51	69	NE 0	ENE 0	NE 0	0	2	4	.	
18	15.0	23.7	19.9	19.5	1.8	723.5	723.7	723.5	88	51	66	NE 0	E 0	NE 0	6	10	0	.	
19	15.9	26.1	21.2	21.1	3.4	723.8	723.4	723.9	86	54	74	NE 0	SE 0	NE 0	0	1	5	.	
20	16.8	28.0	21.1	22.0	4.4	724.8	723.9	723.8	90	50	68	NE 0	E 2	NE 2	2	2	1	.	
21	17.7	26.6	21.7	22.0	4.5	723.7	723.4	723.4	79	53	63	E 1	E 1	NE 2	0	0	0	.	
22	16.4	26.6	21.6	21.5	4.1	724.8	724.3	724.3	90	55	70	E 0	SE 0	NE 1	1	2	0	.	
23	17.1	27.1	21.2	21.8	4.4	725.3	724.2	723.2	94	54	71	NE 0	SE 1	N 0	0	2	0	.	
24	17.0	**28.2**	21.2	22.1	4.8	722.4	721.1	720.3	94	41	63	N 0	E 1	N 1	2	1	0	.	
25	17.8	19.2	15.7	17.6	0.4	719.1	718.2	717.5	86	77	92	E 0	N 1	N 0	10	9	9	0.7	●tr 13, 18–19¾
26	13.1	22.9	17.1	17.7	0.6	718.0	717.8	718.8	94	59	87	NE 0	SE 0	W 1	7	6	6	13.8	●tr 14½, 19½–20½
27	15.0	14.5	14.3	14.6	−2.4	720.7	721.5	721.1	99	99	99	N 0	NE 2	NE 0	10	10●	10●	**33.2**	● 9¾–22, ⛥ 13¾
28	14.5	17.0	15.1	15.5	−2.4	720.3	720.3	720.6	99	96	99	NE 0	E 0	NE 0	10	10●	3	7.0	● 4–4½, 8½–9¼, 11½–15¼,
29	15.2	21.9	17.3	18.1	0.3	721.1	721.2	721.3	99	72	91	NE 0	SE 1	SE 0	10	3	5	2.9	[⛥ 4¾–4½
30	16.0	17.3	17.0	16.8	−0.9	720.5	721.9	721.1	99	95	95	NE 0	SW 0	W 0	10●	10	10●	20.5	● 1¾–12¾, 18¾–22¾, ⛥ 9–9¾, 19¾–20¼
31	16.0	16.2	15.4	15.9	−1.7	719.6	718.1	718.2	96	94	96	SW 0	W 1	N 0	10	9	9	11.8	● 1¾–4½, 12¾–19 mU, ⛥ 12½–13
Mittel	14.7	21.6	17.2	17.8	—	721.3	721.0	721.1	91	62	75				5.8	5.6	4.5	Summe 113.1	

August 1955
Beobachter: *Frl. H. Nager*

Altdorf

$\lambda = 8° 39'$, $\beta = 46° 53'$,
$H_b = 456.3$ m, $G = -0.05$ mm.

Tag	Lufttemperatur					Luftdruck			Relative Feuchtigkeit			Windrichtung und Stärke			Bewölkung			Niederschlag	Witterung
	7^{30}	13^{30}	21^{30}	Mittel	Abweich. vom Normalst	7^{30}	13^{30}	21^{30}	7^{30}	13^{30}	21^{30}	7^{30}	13^{30}	21^{30}	7^{30}	13^{30}	21^{30}		
1	13.3	18.5	14.8	15.5	−2.4	722.0	720.8	721.1	90	70	87	NE 0	NW 1	E 1	2	10●	4	2.3	● a-p
2	13.7	13.9	13.9	13.8	−4.1	720.8	722.0	722.0	91	97	96	NE 0	SE 0	NW 0	10	10●	10	12.3	● 9½-17⅛
3	13.8	20.5	16.5	16.9	−1.0	722.0	721.6	723.0	100	55	95	NW 0	NW 0	NW 0	10	6	10●	7.1	● 19¾-n
4	15.3	14.8	13.9	14.7	−3.1	723.2	725.0	725.1	100	97	96	N 0	NW 0	NW 0	10●	10●	9	22.8	● n-17⅛, ≡ 20-21
5	12.3	19.7	14.1	15.4	−2.4	725.2	724.5	725.2	100	55	87	N 0	N 1	W 0	5	6	8	.	≡ 5½
6	12.3	21.2	16.2	16.6	−1.2	724.6	722.6	723.4	91	48	86	NW 0	NW 2	NW 0	0	5	10	.	
7	15.2	17.7	14.0	15.6	−2.1	721.4	720.1	718.8	86	76	95	NE 0	E 0	NW 0	6	9	10●	25.8	● 16¼-n, ⛆ 20½
8	10.9	14.8	12.3	12.7	−5.0	720.1	721.9	721.6	92	61	77	E 0	NE 0	N 0	10	9	10	.	● n-7½, ⛆ 1½-4
9	11.7	14.5	11.2	12.5	−5.2	723.3	723.4	724.8	82	55	91	E 0	NW 1	NE 0	10	10	8	.	
10	9.3	16.3	13.0	12.9	−4.7	725.2	724.1	724.3	88	58	86	E 0	NE 0	N 0	5	9	0	.	
11	11.0	16.2	14.9	14.0	−3.6	723.2	723.4	721.6	92	68	92	N 0	NW 1	NW 0	0	4	0	.	
12	14.4	19.0	16.0	16.5	−1.0	719.7	719.1	719.9	89	64	89	NE 0	NW 0	NW 0	9	8	10	6.0	● n (12./13.)
13	14.8	18.0	14.4	15.7	−1.8	720.2	720.5	723.9	97	65	93	NE 0	W 0	W 0	9●	8	10●	9.4	● n-a, p-n
14	13.2	19.8	15.3	16.1	−1.3	723.6	722.9	725.7	99	65	92	E 0	W 0	NE 0	3	5	10●	3.2	⛆ 19½-20, ● 21½-n
15	14.1	18.5	14.0	15.9	−1.5	725.9	726.1	727.6	99	63	92	E 0	NW 0	NW 0	3	7	10	12.3	⛆ ⛆ 18½
16	13.4	19.0	15.3	15.9	−1.4	723.9	726.9	726.9	99	61	84	E 0	NW 0	W 0	9	5	0	.	
17	13.0	19.4	16.2	16.2	−1.0	725.5	724.6	725.4	92	63	96	E 0	NW 1	NW 0	0	1	0	.	
18	14.9	23.1	16.7	18.2	1.0	725.7	725.9	726.8	90	50	82	NW 0	NW 1	E 0	1	4	0	.	
19	14.3	21.9	18.4	18.2	1.1	726.1	725.9	726.5	90	60	92	S 0	NW 1	E 0	6	7	10	.	
20	17.3	23.5	17.8	19.5	2.5	727.5	726.6	725.7	99	59	85	NW 0	NW 0	SE 0	9	7	0	0.0	●tr 16¾
21	15.5	21.3	18.3	18.4	1.4	726.0	725.8	726.3	92	69	90	NE 0	NW 1	NE 0	0	4	2	.	
22	17.1	22.8	18.7	19.5	2.6	727.1	726.2	726.4	95	65	87	N 0	NW 1	E 0	7	5	0	.	≡ a
23	16.0	24.4	19.7	20.0	3.2	727.6	726.0	725.7	94	60	84	E 0	NW 1	NW 0	0	4	7	.	
24	17.5	23.5	17.8	19.6	2.9	724.8	722.6	722.2	95	67	76	NE 0	NW 1	SE 0	8	6	5	0.0	●tr 13¼
25	16.4	18.5	15.5	16.8	0.1	721.6	720.7	720.3	90	95	83	NE 0	E 0	E 0	10	10●	10	1.7	● 13-15¼, ⛆ 15-15½
26	14.0	20.8	16.3	17.0	0.4	719.7	719.2	721.7	90	59	91	E 0	NW 1	NW 0	5	5	10	2.5	● ⛆ 17½
27	14.4	18.2	15.9	16.2	−0.3	723.0	724.5	724.3	99	80	98	E 0	W 1	E 0	10●	8	10●	5.2	● n-n mU
28	14.9	17.7	15.5	16.0	−0.4	723.6	722.8	723.2	100	96	95	E 0	SE 0	NW 0	10●	7	10	8.2	● n-a, p mU
29	15.0	20.1	17.3	17.5	1.2	723.7	723.4	724.4	92	58	90	SW 0	E 0	E 0	7	6	6	0.4	● n (29./30.)
30	15.5	17.2	16.1	16.3	0.1	723.2	724.5	723.8	90	95	100	SE 0	NW 0	NW 0	10●	10●	10●	27.8	● 7¼-n
31	15.3	20.1	16.1	17.2	1.1	721.9	719.5	720.7	99	65	95	E 0	N 0	SE 0	10	6	10●	8.9	● n-7½, 15¾-n
																		Summe	
Mittel	14.2	19.2	15.7	16.4	—	723.6	723.3	723.8	94	68	90				6.2	6.8	6.7	155.9	

Luftdruckwerte unsicher

August 1955
Beobachter: *Observatorium*

Genève

$\lambda = 6° 9'$, $\beta = 46° 12'$,
$H_b = 405.0$ m, $G = -0.03$ mm.

1	17.6	26.2	19.2	21.0	1.7	726.4	724.5	725.5	92	49	73	NNE 1	SSW 1	NNE 1	5	3	2	.	
2	16.8	21.8	19.7	19.4	0.2	725.2	724.9	725.5	90	64	85	NNE 1	NNE 1	NNE 1	1	7	2	.	
3	16.2	22.6	18.8	19.2	0.0	726.7	726.2	727.6	89	57	78	NE 1	NNE 1	ENE 1	0	4	0	.	
4	18.0	23.4	20.2	20.5	1.3	727.8	727.6	728.4	87	53	80	E 1	E 1	E 1	8	9	6	.	
5	15.6	22.2	17.2	18.3	−0.8	729.5	728.9	728.7	76	61	68	NNE 1	NNE 2	NNE 1	8	5	2	.	
6	16.0	22.0	19.8	19.3	0.2	728.9	728.3	727.9	75	58	88	ESE 1	NNE 1	E 1	0	3	8	.	
7	15.3	23.0	16.2	18.2	−0.8	726.7	725.3	725.0	86	66	91	E 1	W 1	E 1	3	8	7	1.2	● 18¼-19
8	13.0	22.2	14.0	16.4	−2.6	725.2	725.9	727.4	90	69	91	NNE 1	NNE 1	E 1	8	3	4	.	● ⛆ 0½-0¾
9	12.6	17.8	14.5	15.0	−3.9	728.1	728.0	728.2	90	72	80	NNE 1	NNE 2	NNE 1	0	2	2	.	
10	13.6	18.8	16.1	16.2	−2.6	728.5	728.2	727.6	84	64	81	NNE 1	NNE 1	E 1	0	2	9	.	
11	14.2	19.8	18.4	17.5	−1.3	727.4	726.9	725.1	86	65	88	NNE 1	NNE 1	NNE 1	9	3	4	14.3	● 11¾-12½
12	15.4	21.0	15.7	17.4	−1.3	724.1	723.3	724.3	96	68	85	NNE 1	NNE 1	E 0	10●	9	10●	9.3	● 1¾-10, 16¾-17¼, 20-23½
13	17.2	20.2	17.0	18.1	−0.5	725.3	725.4	726.8	92	80	92	E 0	SW 1	SW 1	8	8	9	0.3	● 18¼-18½
14	16.7	24.6	18.2	19.8	1.3	728.7	728.0	729.2	89	79	88	E 0	W 1	W 1	9	4	3	.	
15	17.0	21.0	18.2	18.7	0.2	730.5	730.1	731.2	90	73	78	NNE 1	NNE 1	NNE 1	0	2	3	.	
16	15.5	22.6	18.5	18.9	0.5	731.9	730.9	730.5	87	62	86	NNE 1	NNE 1	E 0	0	2	1	.	
17	15.2	21.8	19.8	18.9	0.6	730.0	729.3	729.1	87	54	79	NNW 1	NNE 1	NNE 1	0	1	0	.	
18	16.8	24.0	21.6	20.8	2.6	730.4	729.5	729.8	87	53	86	NNE 1	NNE 1	NNE 1	0	9	2	.	
19	17.0	24.4	22.2	21.2	3.1	730.8	730.7	731.0	92	54	81	NNE 1	NNE 0	NNE 0	0	8	3	.	
20	17.4	24.5	23.0	21.6	3.6	731.5	729.6	729.3	88	64	83	NNE 1	NNE 1	NNE 1	0	2	2	.	
21	18.8	23.6	22.3	21.6	3.6	729.7	729.2	729.7	90	50	85	NNE 1	NNE 1	NNE 1	5	2	3	.	
22	16.2	23.6	22.0	20.6	2.7	731.6	730.5	731.3	87	56	82	NNE 1	NNE 1	NNE 1	0	2	2	.	
23	18.0	26.0	23.6	22.5	4.7	732.3	730.3	729.3	92	56	80	NNE 1	NNE 1	NNE 1	1	1	1	.	
24	18.8	25.8	20.4	21.7	4.0	729.1	727.0	727.0	92	58	78	NNE 1	NNE 1	NNE 1	1	2	2	.	
25	17.6	20.4	17.0	18.1	0.5	725.7	724.7	723.8	82	74	92	E 0	NNE 1	SE 0	9	10	8	1.5	● 15½-16¾, 17½-18½, ⊤ 13½
26	14.8	23.6	20.4	19.6	2.1	725.0	725.2	726.0	91	41	87	S 1	SE 1	SE 1	2	5	10	0.2	● ⛆ 23-24
27	17.0	20.2	18.4	18.5	1.1	727.6	727.1	727.3	94	71	92	SE 1	SE 1	SE 1	10●	3	10	2.8	● 4¼-4½, 7½-8
28	16.2	24.6	18.0	19.6	2.3	727.5	726.1	726.5	89	63	92	SE 1	SE 1	NNE 1	10	4	9	0.4	⛆ ⛆ 0-0¾, 4-5, ● 12-12¼, 23-23¼
29	17.8	25.8	20.0	21.2	4.0	728.2	727.9	727.8	90	65	91	NNE 1	S 1	NNE 1	9	5	9	7.1	⊤ 11¾
30	17.0	21.2	18.9	19.0	1.9	728.4	728.5	727.4	94	77	91	S 1	NNE 1	E 1	10●	7	10	54.1	⛆ 6¾-7½, ● 7½-10½, 18½-19¼, ⛆ 6¾-
31	17.0	22.4	17.0	18.8	1.8	726.5	724.7	725.4	92	71	92	E 1	S 1	E 1	9	9	9	16.2	⛆ ⛆ 0-4¼ mU, 16½-18¼ [7½, 23¾-24
																		Summe	
Mittel	16.3	22.6	18.9	19.3	—	728.2	727.5	727.7	89	63	85				4.4	4.6	4.9	107.4	

$\lambda = 8°\ 34'$, $\beta = 47°\ 23'$,
$H_b = 569.4$ m, $G = 0.03$ mm

Zürich

August 1955
Beobachter: *Meteorologische Zentralanstalt*

Tag	Lufttemperatur					Luftdruck			Relative Feuchtigkeit			Windrichtung und Stärke			Bewölkung			Niederschlag	Witterung
	7^{30}	13^{30}	21^{30}	Mittel	Abweich. vom Normalst	7^{30}	13^{30}	21^{30}	7^{30}	13^{30}	21^{30}	7^{30}	13^{30}	21^{30}	7^{30}	13^{30}	21^{30}		
1	14.8	21.0	13.4	16.4	−1.0	712.3	711.6	711.6	86	60	81	N 0	NNW 1	SSE 1	9	7	2	0.0	●tr p, ⏢ 1
2	12.1	17.7	15.5	15.1	−2.3	711.2	711.1	711.8	89	63	90	SSW 1	S 1	SSE 0	8	9	10	0.3	● 22½–23½, ⏢ 1
3	15.0	20.7	16.7	17.5	0.1	712.2	712.1	713.0	84	57	91	SSE 1	WNW 1	SSW 0	6	7	10	4.3	● 21¾–22¾, 23½–24¼, ⏢ 1
4	14.8	14.8	11.7	13.8	−3.5	713.4	715.0	715.5	96	85	99	N 1	SSE 1	NE 1	10●	9	9	3.6	● 0¾–1¾, 2½–2¾, 4¼–5¼, 7½–7¾,
5	10.9	20.5	13.3	14.9	−2.4	715.9	715.3	715.3	98	42	87	ENE 1	NE 1	NE 1	10≡	3	1	.	≡ n–8 [9–9¼, 17¼–18¼
6	12.7	22.1	16.6	17.1	−0.1	714.5	713.3	713.5	87	41	66	S 1	S 1	WSW 1	2	2	9	.	⏢ 1
7	15.6	16.6	12.3	14.8	−2.4	711.2	710.2	**709.2**	76	75	98	S 1	SW 2	SSE 1	7	10●	10	15.4	●tr a-p mU, 18–18¼, 19-21¼, 22½–23¾,
8	**10.2**	14.1	10.9	11.7	−5.4	710.7	711.6	712.9	73	50	73	NNW 1	WSW 1	WSW 1	6	6	9	.	[↯ 19, 23¼–23½, ⏢ 1
9	11.2	14.6	10.8	12.2	−4.9	713.1	713.8	715.4	72	60	82	SW 1	WSW 2	NNW 1	9	8	9	.	⏢ 1
10	10.3	17.3	11.6	13.1	−3.9	714.8	714.5	714.9	77	52	90	ENE 1	NE 2	ENE 1	5	9	0	.	⊕ 16, ⏢ 1
11	12.1	19.7	16.2	16.0	−0.9	713.2	712.8	711.5	91	56	82	NE 1	ESE 1	NW 1	10	3	9	.	⏢ 1
12	14.8	17.6	15.1	15.8	−1.1	709.8	709.5	709.6	87	74	88	SSW 1	WNW 1	SSE 0	10	9	10	4.5	● 22½–24, ⏢ 1
13	13.9	23.2	15.2	17.4	0.6	710.9	710.8	713.0	84	49	86	SSE 1	SSE 1	ESE 1	7	4	10	0.6	● 0–4¾, 19¼–21, 23¾–24¼
14	14.3	20.4	14.7	16.5	−0.2	713.7	714.0	715.0	92	57	90	SSW 1	SSE 1	SE 0	2	7	9	1.8	● 14–14¾, ↯ 14¼–14¾, 19½
15	14.3	17.0	12.9	14.7	−1.9	715.8	715.8	717.5	87	73	91	S 1	S 2	SE 1	3	8	2	7.3	● 12¼–12¾, 14¼–15, *)
16	13.8	21.7	15.3	16.9	0.4	**718.1**	717.4	716.7	84	48	72	S 1	NNW 1	ENE 1	3	1	0	.	● 0–0¾, 1¾–2
17	13.7	22.8	16.1	17.5	1.1	715.4	714.7	715.3	89	50	84	ESE 1	WSW 1	N 1	0	1	0	.	
18	15.6	24.5	18.7	19.6	3.3	716.1	716.4	716.5	87	**39**	72	SSW 1	W 1	NNE 1	3	7	10	.	⏢ 1
19	16.1	24.9	18.6	19.9	3.7	716.4	716.2	716.8	84	47	69	SW 1	NNE 1	NNE 1	4	6	10	.	⏢ 1
20	17.7	25.6	17.6	20.3	4.2	717.7	717.1	717.2	86	51	89	NNE 1	ENE 1	NE 1	9	5	0	.	⏢ 1
21	15.1	23.8	18.2	19.0	3.0	716.9	716.6	716.8	91	54	76	NE 1	NNE 1	NE 1	9	1	0	.	⏢ 1
22	16.0	24.6	18.3	19.6	3.6	717.4	717.2	717.2	81	56	90	SSE 1	NNW 1	NNE 1	0	2	0	.	⏢ 1
23	17.0	**25.9**	19.7	20.9	5.0	717.9	717.0	716.0	**87**	53	84	W 0	WNW 1	NE 1	0	3	9	.	⏢ 1
24	17.5	25.5	18.7	20.6	4.8	715.3	714.3	713.4	85	40	74	S 1	NNE 1	NE 1	4	4	0	.	⏢ 1
25	16.5	21.1	15.2	17.6	1.9	711.8	711.0	710.3	87	60	81	NNE 1	NNE 1	NE 1	10	5	9	0.0	⏢ 1
26	13.7	23.5	16.2	17.8	2.2	710.1	710.7	711.7	90	47	99	NE 0	SSE 1	SSE 1	1	2	10	5.1	● 17¾–18½, ↯ 22, ⏢ 1
27	13.7	14.0	16.0	14.6	−0.9	713.6	714.1	713.1	97	94	75	S 1	SSE 1	SSW 1	10●	10●	4	**17.5**	● 7–8, 9½–9¾, 10¾–14¼, ↯ 7–7½
28	14.3	20.5	16.3	17.1	1.7	713.1	712.7	712.9	95	61	91	S 1	S 2	SSW 1	9☆	4	9	2.1	● 2¾–4½, 5¾–7½, 11–11¼, ↯ 2¾,
29	14.9	23.9	17.5	18.8	3.4	713.6	713.8	714.1	91	51	83	SSW 1	S 1	N 0	2	2	9	.	⏢ 1 [4¼–4½, 6–6¼, 11
30	16.1	18.7	16.5	17.1	1.8	713.3	714.2	713.0	95	68	91	S 1	SSW 1	S 1	10	9	10	7.3	● 11¼–11½, ⏢ 1
31	15.7	20.1	16.3	17.4	2.2	711.9	710.5	710.6	87	68	87	SSE 1	WSW 1	WSW 2	9	8	10	9.5	● 0¼–4¾, 6¼–6¾, 19½–19¾, ↯ 20
Mittel	14.3	20.6	15.5	16.8	—	713.9	713.7	713.9	87	57	84				6.0	5.5	6.4	Summe 79.3	

*) **15.** 17¾–19¼, 20¼–20¾, 23½–24, ↯ 12–12½, ⏢ 1

$\lambda = 6°\ 32'$, $\beta = 46°\ 51'$
$H_b = 1588$ m, $G = -0{,}13$ mm

Chasseron

August 1955
Beobachter: *J. Liardon*

1	8.3	12.3	9.3	10.0	—	630.7	631.1	630.9	98	87	91	S 0	NNW 0	ESE 0	5	9	5	3.7	● ↯ 13¼, 16–16¾, 16¾–18½
2	9.1	8.7	9.0	8.9	—	629.9	630.3	630.6	100	84	91	WNW 0	NW 1	NNE 0	10≡	9	9	4.3	☆ 18½, ● ↯ 10, 11–12, *)
3	9.8	12.0	9.6	10.5	—	630.9	631.8	632.2	87	88	100	NE 0	— 0	WNW 1	2	7	10≡	4.3	● 22–22¾, ≡ 19½–n
4	8.2	11.4	7.5	9.0	—	632.0	632.9	633.0	100	77	100	NNW 1	WNW 1	NE 0	10≡	4	7	.	≡ n–12 mU
5	6.6	9.2	8.2	8.0	—	632.6	633.5	633.6	90	79	79	E 1	ESE 0	E 1	4	6	2	.	
6	9.2	11.4	8.2	9.6	—	632.6	632.8	632.6	88	75	89	ESE 0	WNW 0	NNW 2	0	5	6	.	
7	7.2	8.4	7.0	7.5	—	630.3	629.6	627.9	100	100	100	W 1	W 2	WNW 2	7	10≡	10≡	8.6	☆ ▲ 18¾–20, ≡ 5¼–n mU
8	**1.2**	4.4	2.4	2.7	—	**627.5**	629.8	630.2	100	78	100	N 2	WNW 1	NNW 1	10≡	7	7	.	≡ n–9
9	2.0	5.4	4.0	3.8	—	630.3	631.4	632.2	100	80	84	WNW 1	NW 1	NE 0	10≡	7	4	.	≡ n–8¾
10	4.8	8.0	6.2	6.3	—	631.5	632.2	632.0	71	**53**	91	E 1	E 1	ESE 1	3	6	4	.	
11	7.0	12.2	10.0	9.7	—	630.9	631.3	630.5	98	61	92	SE 1	SSE 0	E 1	3	6	7	31.0	☆ 16½–19¾ mU, ≡ 14¼–16¾
12	7.4	7.6	8.8	7.9	—	628.6	628.3	628.3	100	100	74	SSE 1	SSE 1	W 2	10≡	10≡	8	5.8	☆ 6¾, 8–13½ mU, ↯ 1½, ≡ 7½–13½
13	7.5	9.0	8.6	8.4	—	629.3	630.0	630.9	97	94	100	WSW 0	W 0	W 1	9	8	6	2.3	☆ p, n (13./14.)
14	7.6	10.2	8.6	8.8	—	632.2	633.0	633.5	95	93	100	WSW 2	W 1	NW 2	9	6	2	1.0	☆ ≡ 8–9. ☆ ↯ 12¼–15¾ mU
15	7.8	10.8	9.2	9.3	—	634.0	634.8	635.3	100	72	94	NW 1	NW 1	NW 1	10≡	5	4	0.0	☆ 11½, ≡ n–8¼
16	9.0	12.0	9.7	10.2	—	635.8	635.8	635.8	84	69	94	E 1	E 0	E 1	0	2	2	.	⏢ 1
17	10.2	14.2	11.2	11.9	—	633.7	634.7	634.6	79	87	83	W 1	NW 0	NW 1	0	3	4	.	⏢ 1
18	12.0	15.0	11.8	12.9	—	635.0	635.4	635.8	76	73	85	W 0	NW 0	E 1	4	9	3	.	⏢ 1
19	12.8	**16.0**	13.2	14.0	—	635.5	636.2	636.4	81	74	84	E 1	SE 0	E 0	3	4	5	4.6	☆ 16½–18¾, ↯ 16¼–17, ◠ II,
20	12.8	15.6	13.0	13.8	—	636.4	636.8	636.4	91	85	100	E 1	SE 0	E 1	3	4	5	.	⏢ 1 [⏢ 1
21	12.8	14.6	13.4	13.6	—	636.3	635.5	635.8	73	88	82	E 1	ESE 0	E 1	2	4	2	.	
22	12.4	15.9	13.6	14.0	—	636.1	636.8	637.1	100	72	96	NW 1	W 0	E 1	10≡	5	2	.	≡ 7–8¼
23	14.0	**16.0**	14.6	14.9	—	637.1	**637.4**	636.4	82	87	72	NW 1	E 0	E 0	2	6	5	0.0	☆ 15½, ⏢ 1
24	14.0	**16.0**	12.8	14.3	—	634.9	634.4	633.6	67	75	84	NE 0	— 0	E 1	4	5	4	.	
25	11.0	11.0	9.8	10.6	—	631.2	630.5	629.8	94	100	100	E 1	ESE 1	E 1	9	10≡	10≡	7.8	☆ 12–19¼ mU, ↯ ▲ 13–15¼, *)
26	9.6	12.8	12.0	11.5	—	629.1	630.3	631.3	75	92	82	WSW 2	W 0	W 2	3	6	5	9.5	☆ 15½–15¾, 16½–18¾. *)
27	9.6	9.8	11.4	10.3	—	631.7	632.5	632.1	98	100	69	SSW 1	SSE 1	S 1	9	10≡	9	34.2	↯ ☆ 0¾, 14–14¾, 15¾–18¾, *)
28	10.6	11.8	10.4	10.9	—	631.6	631.7	632.3	100	100	90	W 1	W 2	N 1	10≡	10≡	5	6.1	↯ 8¾–9¾, ↯ ☆ ▲ 12¼–12¾, *)
29	11.0	13.4	12.6	12.3	—	632.4	633.4	633.7	75	84	94	W 1	W 0	W 0	5	6	6	16.6	☆ n (29./30.)
30	12.0	11.0	11.8	11.6	—	632.5	633.3	633.0	85	100	100	WSW 0	S 1	W 1	9	10≡	10≡	**35.2**	☆ 3¾–11½, 18½–19¾, *)
31	9.5	11.2	8.6	9.8	—	631.1	630.4	630.0	100	100	81	NW 0	NW 1	WNW 1	9	10	7	8.8	☆ n–7¼, 16–18½, ≡ n–n mU
Mittel	9.3	11.5	9.9	10.2	—	632.4	632.8	632.8	90	84	90				5.9	6.7	5.6	Summe 183.8	

*) **2.** ≡ 6¼–8, 8¼–9½ mU **25.** ↯ 18¾–19¼, ≡ 12¾–14 mU, 19½–n **26.** ↯ ▲ 13¾–14¾, ↯ 15¾–18¾, ≡ 21½–n, **27.** ↯ ☆ 20–20¾, 22–22½, ▲ 15¾–18¾, ≡ 7¾–13¾ **28.** ≡ n–17¾ **30.** ↯ ☆ 5¾–8¾, 19–20¼, ▲ 5¾–7¾, ≡ 9¾–16, 19–n

August 1955
Beobachter: *Stationspersonal Rh. B.*

Bever

$\lambda = 9° 53'$, $\beta = 46° 33'$,
$H_b = 1711.8$ m, $G = -0.23$ mm

Tag	Lufttemperatur					Luftdruck			Relative Feuchtigkeit			Windrichtung und Stärke			Bewölkung			Niederschlag	Witterung
	7^{30}	13^{30}	21^{30}	Mittel	Abweich. vom Normalst	7^{30}	13^{30}	21^{34}	7^{30}	13^{30}	21^{30}	7^{30}	13^{30}	21^{30}	7^{30}	13^{30}	21^{30}		
1	8.5	15.0	7.6	10.4	−1.2	623.5	622.2	622.2	84	55	95	SW o	SW o	N o	7	5	2	.	
2	7.6	11.3	9.6	9.5	−2.0	620.9	620.8	621.3	94	76	81	S o	NE 1	NE o	10	7	10	4.5	● 9½-p mU
3	8.5	13.4	11.6	11.2	−0.3	621.0	621.4	622.7	94	59	70	NE 1	NW o	N o	10	9	10	.	
4	9.1	9.0	6.2	8.1	−3.3	622.4	622.7	623.9	83	90	92	SW o	NW o	NW o	8	10●	3	4.7	● 13-p mU
5	−0.6	15.2	8.0	7.5	−3.9	623.8	623.4	624.6	100	37	70	SW o	W 1	NE o	1	2	0	.	≡ n−7, ⌴
6	5.5	17.9	13.0	12.1	0.7	623.3	621.9	623.1	87	26	57	SW o	NE 1	NE o	0	1	9	.	⌴
7	5.8	15.0	8.8	9.9	−1.4	620.8	618.5	618.0	92	46	93	SW o	SW 1	NE o	5	10	10	3.7	● 15-n mU
8	4.9	8.1	5.6	6.2	−5.1	617.2	618.7	620.5	88	45	60	SW o	SW o	NE o	10	8	10	.	
9	5.2	6.8	4.5	5.5	−5.7	620.1	621.3	623.1	60	59	86	N o	NE o	NE o	9	10	10	.	
10	0.9	14.7	9.3	8.3	−2.9	622.5	622.2	623.5	90	41	78	S o	NE o	NE o	4	7	8	.	
11	6.6	14.2	10.6	10.5	−0.6	623.5	622.7	623.0	90	49	78	SW o	SW 2	SW o	10	9	7	.	
12	6.5	10.7	7.4	8.2	−2.9	621.2	620.6	621.1	96	77	92	SW o	SW 2	SW o	9	10	10	0.9	● n (12./13.)
13	7.5	13.0	8.7	9.7	−1.3	621.1	621.4	623.3	98	67	94	W o	S o	N o	10	8	10	1.6	● 8¾-p mU
14	6.7	15 o	8.2	10.0	−0.9	623.4	623.3	625.0	100	69	98	S o	SW o	NE o	7	6	0	0.0	●tr 13
15	6.6	16.4	9.8	10.9	0.0	625.0	624.3	625.9	99	68	64	S o	W 1	N o	2	2	4	0.5	● n (15./16.)
16	6.9	18.0	7.7	10.9	0.1	626.6	625.8	626.9	93	40	80	S o	N o	N o	9	5	0	.	
17	2.4	19.4	10.6	10.8	0.1	625.6	624.0	625.4	100	37	66	SW o	SW o	NE o	0	3	0	.	
18	3.5	19.4	10.7	11.2	0.5	626.3	625.2	627.1	99	33	73	S o	NW 1	NE o	1	1	0	.	
19	4.8	18.4	11.5	11.6	1.0	626.8	626.3	627.8	100	33	94	SW o	NW 1	NE o	2	10	10	0.7	● 20−20¼, n (19./20.)
20	9.0	16.2	9.5	11.6	1.1	627.2	626.8	627.7	94	67	90	SW o	SW o	W o	10	8	0	0.6	● 8¾-p mU
21	7.3	18.5	10.6	12.1	1.7	628.0	626.8	627.8	90	41	92	NW o	SW 2	W o	10	4	5	.	
22	10.3	17.8	10.2	12.8	2.4	628.6	627.8	629.3	85	43	94	NE o	SW o	SW o	7	7	2	.	
23	8.8	21.5	12.9	14.4	4.1	629.0	627.0	627.3	92	27	91	SW o	N o	SW o	0	1	6	.	
24	8.8	20.0	8.0	12.3	2.1	626.0	624.1	625.0	98	40	100	SW o	S 1	NE o	7	7	10	3.6	⛆ ● 14¾-15½
25	6.7	11.3	6.4	8.1	−2.0	622.4	621.4	622.0	98	70	100	SW o	NE o	SW o	10	10●	10	20.0	● 11-n mU
26	4.9	14.3	6.6	8.6	−1.4	622.7	622.8	624.4	93	56	97	SW o	SW o	SW o	10●	5	7	0.4	● n−8
27	4.7	15.8	6.0	8.8	−1.1	624.4	623.6	624.7	99	51	100	SW o	NW 1	NW o	9	9	2	2.9	● 11-p mU
28	4.3	12.7	8.4	8.5	−1.3	623.5	623.4	623.8	100	73	97	SW o	W o	W o	6	10	6	0.5	●tr a, ⌴
29	5.3	17.6	9.6	10.8	1.1	624.1	623.9	625.1	100	35	90	SW o	W o	NE o	o≡	2	0	.	≡ n−8
30	6.6	12.1	7.4	8.7	−0.9	624.9	624.9	624.3	97	76	97	SW o	SW o	SW o	1	10●	3	3.5	● 12½-p mU
31	8.0	13.8	9.4	10.4	0.9	622.2	620.8	620.3	100	66	90	S o	E o	E o	10●	10	6	1.6	● n-a
																		Summe	
Mittel	6.2	14.9	8.9	10.0	—	623.8	623.2	624.2	93	53	86				6.2	6.6	5.5	49.7	

August 1955
Beobachter: *Couvent des Capucins*

Sion

$\lambda = 7° 21'$, $\beta = 46° 14'$,
$H_b = 548.6$ m, $G = -0.11$ mm.

1	16.8	24.4	18.8	20.0	0.7	714.7	712.8	713.6	72	53	78	NE o	WSW 1	W o	1	6	10	1.3	● 21½-21¾
2	15.0	22.2	17.4	18.2	−1.0	714.3	712.7	713.4	83	48	79	NE 1	W 2	W o	2	7	10	1.3	● 3¾-4¼, 14-15
3	25.1	22.9	20.0	19.3	0.1	714.7	713.7	714.7	80	55	65	NE o	S 1	SW o	6	6	3	.	
4	15.5	20.2	15.7	17.1	−2.0	715.7	715.4	716.1	87	72	80	NNE o	W 2	NE 2	10	9	3	1.4	● 14¼-15½
5	14.4	22.0	16.8	17.7	−1.4	716.8	715.5	715.8	87	58	70	NE o	SW 1	S 1	10	1	0	.	
6	14.7	23.0	19.0	18.9	−0.1	716.6	714.7	715.0	81	56	60	SSW o	SW 1	W 1	0	1	2	.	
7	16.3	20.1	16.6	17.7	−1.3	714.4	712.9	711.9	74	59	81	SSW o	W 1	W o	0	9	10	6.7	● 22¼-23¾
8	12.2	19.0	13.1	14.8	−4.1	712.5	713.0	714.4	86	54	66	W 1	WSW 2	W o	10	6	0	.	● 0½-1¾, 2¾-3¼, 4¾-6¾
9	13.6	20.0	13.8	15.8	−3.0	715.6	714.4	716.2	65	43	61	N o	WSW 2	W o	2	2	0	.	
10	10.7	20.2	15.7	15.5	−3.3	716.8	715.2	715.7	71	50	74	ENE 1	WSW 1	W 1	5	9	5	.	
11	14.2	22.9	17.7	18.3	−0.4	715.9	713.8	713.7	80	53	74	E o	WSW 1	ENE 1	0	8	5	.	
12	15.7	19.3	15.4	16.8	−1.8	712.9	712.0	713.0	90	73	97	WSW o	WSW 2	WNW o	10	8	5	4.7	● 17½-18¼
13	15.0	21.3	17.8	18.0	−0.6	714.1	713.3	714.8	92	65	74	W o	W 1	W 1	9	7	8	1.5	● 2−3½, ●tr 21¾
14	13.7	21.7	16.4	17.3	−1.2	716.7	715.6	717.0	97	58	75	W o	WSW o	WSW 1	9	5	3	.	● 4¾-6¾
15	14.1	22.6	16.7	17.8	−0.6	718.5	716.9	718.6	88	49	61	WNW o	W 2	W o	0	7	1	.	
16	14.0	23.3	17.5	18.3	0.0	720.2	717.8	717.6	77	48	70	W o	W 1	W o	0	1	0	.	
17	15.2	23.9	17.8	19.0	0.7	718.0	716.0	717.1	78	54	62	W o	WSW 2	W 1	0	0	0	.	
18	14.7	25.2	19.3	19.7	1.5	718.7	717.2	717.9	78	48	63	NE o	NNW 1	WSW o	2	7	0	.	
19	15.4	25.6	18.8	19.9	1.8	719.0	717.3	718.6	82	53	85	ENE 1	SSW 2	NE o	0	1	8	1.2	● 19¾-20¾
20	17.0	26.2	19.7	21.0	3.0	719.6	718.0	717.5	85	54	75	NE o	WSW 1	NNW 1	1	4	2	0.5	● 18-18¼
21	17.6	26.6	21.5	21.9	3.9	718.3	716.8	717.9	86	54	72	NNW o	WSW 2	WSW o	6	4	2	.	
22	17.7	26.4	20.4	21.5	3.6	719.7	717.9	719.1	75	50	66	WSW o	W 2	WSW 1	2	3	2	.	
23	17.3	26.4	20.4	21.4	3.6	720.5	718.1	717.7	71	49	68	N o	NNW 1	W 1	0	2	2	.	
24	17.9	27.2	20.6	21.9	4.2	717.3	714.8	714.9	81	56	65	ENE o	ENE 1	WSW o	1	4	3	.	
25	17.0	24.0	15.7	18.9	1.3	714.3	712.2	714.0	82	57	90	WSW o	WSW 1	WSW o	10	7	10	1.7	● 17−18¾
26	13.8	23 o	16.6	17.8	0.2	714.3	713.0	715.3	87	45	82	NE o	NE o	ENE 2	7	7	10	17.8	● 19¾-20½, 21¾-23¾, ⛆ 20
27	15.5	21.3	17.3	18.0	0.5	717.8	715.7	716.6	91	57	94	WNW o	NNE 1	WNW o	10●	6	10●	4.8	● 0¾-1, 5¼-8½, 20½-21½, ⛆ 7½, 20
28	15.2	21 3	18.0	18.2	0.8	715.8	714.7	716.3	93	64	86	WNW 1	WNW 1	WSW o	10	4	8	1.6	● 2½-2¾, 4-4½, 8¼-9½, ●tr 10
29	16.3	22.1	17.6	18.7	1.4	716.5	715.6	716.6	85	62	76	WSW o	WSW 1	WSW 1	2	10	1	.	
30	15.2	16.6	15.9	15.9	−1.3	716.3	718.2	717.4	89	95	96	WSW o	WSW o	ESE o	10	10	10●	41.5	● 8¼-13, 20-21½
31	15.8	20.6	16.2	17.5	0.4	715.3	713.5	714.1	92	66	91	ESE o	ESE 1	WSW o	10●	9	10●	3.3	● 1¾-9½, 19¼-21½
																		Summe	
Mittel	15.2	22.6	17.5	18.4	—	716.5	715.1	715.9	83	57	75				4.7	5.5	4.6	89.3	

$\lambda = 8° 57'$, $\beta = 46° 0'$,
$H_b = 276.2$ m, $G = -0.01$ mm.

Lugano

August 1955
Beobachter: *G. Vicari*

Tag	Lufttemperatur					Luftdruck			Relative Feuchtigkeit			Windrichtung und Stärke			Bewölkung			Niederschlag	Witterung
	7^{30}	13^{30}	21^{30}	Mittel	Abweich. vom Normalst	7^{30}	13^{30}	21^{30}	7^{30}	13^{30}	21^{30}	7^{30}	13^{30}	21^{30}	7^{30}	13^{30}	21^{30}		
1	17.0	25.6	19.0	20.5	−0.9	738.3	737.9	736.3	84	40	74	NNW 1	NNW 1	N 1	9	8	4	1.2	⛆ 8, 10, ● n (1./2.)
2	17.0	26.6	18.8	20.8	−0.6	735.6	734.2	734.5	90	39	70	NNE 1	NE 1	NNW 1	10●	4	2	0.1	● n–7¾
3	17.2	28.4	19.4	21.7	0.4	734.3	734.1	734.9	75	51	66	N 1	S 1	N 1	1	0	0	.	
4	18.2	28.2	21.6	22.7	1.4	736.1	735.4	736.8	74	52	43	N 1	S 1	N 1	3	4	0	0.2	⛆ p
5	15.8	26.4	19.2	20.5	−0.7	738.5	737.9	738.1	71	52	73	N 1	S 1	N 1	0	0	0	.	
6	18.4	25.8	20.2	21.5	0.3	738.9	737.0	736.4	82	54	76	N 1	S 1	N 1	9	3	4	.	
7	19.2	21.4	17.8	19.5	−1.6	735.5	733.5	732.0	83	82	91	N 1	S 1	N 1	10	8	10	12.5	⛆ 13, ● ⛆ 14¼–15¾
8	19.4	23.8	17.4	20.2	−0.8	**730.0**	731.9	734.2	36	**30**	35	NNE 2	NNE 2	N 1	0	0	0	.	
9	**14.2**	22.8	18.8	18.6	−2.4	735.4	735.1	736.9	58	31	34	N 1	N 2	NNE 2	6	0	0	.	
10	14.4	26.2	19.2	19.9	−1.0	737.5	737.8	738.2	58	41	55	N 1	S 1	NW 1	7	5	0	.	
11	14.6	26.8	18.2	19.9	−0.9	739.0	737.8	737.5	74	44	71	N 1	S 1	N 1	0	0	0	.	
12	16.8	19.8	17.6	18.1	−2.7	736.2	736.1	735.9	79	75	83	**W** 1	W 1	NNW 1	10	10	10	8.9	⛆ 7½, 15½, 16, 17, ● 9½–10, 11¼–11¾
13	15.6	21.8	19.2	18.9	−1.8	736.8	736.8	737.4	94	60	67	N 1	**S** 1	— 0	10	8	10	20.9	● n (13./14.) [n (12./13.)
14	15.8	25.4	18.8	20.0	−0.6	738.9	738.2	739.0	92	54	82	N 1	**S** 1	N 1	0	4	0	0.0	●tr 16½
15	16.2	25.8	18.4	20.1	−0.4	740.0	739.7	740.1	82	57	87	N 1	S 1	N 1	0	2	3	0.1	⛆ 18
16	14.6	27.4	19.2	20.4	−0.1	741.3	740.5	741.2	71	54	72	N 1	S 1	N 1	0	0	0	.	
17	16.4	27.8	20.2	21.5	1.1	740.6	739.0	739.6	84	43	71	N 1	S 1	N 1	0	0	0	.	
18	16.6	27.8	20.4	21.6	1.3	740.5	740.0	741.0	81	54	76	NNW 1	S 1	N 1	0	0	1	.	
19	18.8	28.4	22.4	23.2	3.0	741.8	741.0	741.5	87	50	74	— 0	**S** 1	N 1	6	7	4	.	
20	20.8	27.4	18.6	22.3	2.2	742.2	741.1	741.7	79	57	97	— 0	S 1	NW 1	8	9	10	2.4	⛆ 17½–18, 21–22
21	18.0	26.2	20.6	21.6	1.5	743.3	742.4	743.1	87	53	74	NNW 1	S 1	N 1	1	4	0	.	
22	19.2	28.4	21.8	23.1	3.1	743.9	743.7	**744.5**	73	45	66	— 0	S 1	N 1	1	0	0	.	
23	18.0	**28.8**	20.8	22.5	2.6	744.0	742.4	741.6	77	45	73	N 1	S 1	N 1	0	0	5	.	
24	18.4	24.4	20.4	21.1	1.3	740.4	738.7	738.8	82	61	73	N 1	E 1	N 1	9	8	10	0.0	●tr 21
25	18.2	16.8	15.4	16.8	−2.9	736.7	736.6	738.0	79	98	98	N 1	W 1	N 1	10	9●	10●	**42.2**	● 7¾-n mU, ⛆ 11¾, 13½
26	14.6	20.4	17.2	17.4	−2.2	738.3	739.3	739.3	94	62	81	N 1	SE 1	NNW 1	9	8	6	.	
27	15.8	25.4	18.8	20.0	0.5	740.0	739.1	738.8	87	51	86	N 1	S 1	N 1	1	2	9	.	
28	17.4	25.4	19.2	20.7	1.3	738.8	738.0	738.1	83	56	85	W 1	SW 1	N 1	9	6	5	0.0	●tr 17
29	16.4	24.2	20.2	20.3	1.0	738.6	738.6	738.2	83	68	81	N 1	S 1	NNW 1	1	9	4	.	
30	18.4	18.8	16.8	18.0	−1.2	739.2	739.7	738.2	84	91	89	N 1	NW 1	N 1	7	10	6	2.7	● 11–13, ●tr p, n (30./31.)
31	16.4	24.4	19.2	20.0	0.9	736.9	734.3	733.5	97	58	86	N 1	S 1	N 1	10●	5	6	0.6	● 6½–8½
Mittel	17.0	25.1	19.2	20.4	—	738.6	738.0	738.2	79	55	74				4.7	4.3	3.8	Summe 91.8	

*) **7.** ⛆ 16¾, ⏢ l

$\lambda = 7° 35'$, $\beta = 47° 33'$,
$H_b = 317.3$ m, $G = 0.11$ mm.

Basel

August 1955
Beobachter: *Astronom.-Meteorol. Anstalt*

1	14.4	23.2	15.0	17.5	−0.6	734.6	733.4	733.2	93	61	76	WNW 0	ESE 1	E 1	10	4	0	.	
2	13.2	23.4	14.0	16.9	−1.1	733.2	732.6	733.3	82	48	88	ESE 0	**NNE** 1	SSE 1	5	6	1	0.0	
3	15.3	23.8	18.0	19.0	1.0	734.1	734.0	734.8	86	57	91	SSW 0	NW 1	NW 0	8	6	10	1.6	● 21¼–21½
4	14.2	20.6	14.7	16.5	−1.4	735.8	736.6	737.1	93	57	88	WNW 1	NW 1	**ESE** 0	10	5	4	0.0	● 0¾–1¾
5	11.2	21.6	16.0	16.3	−1.5	738.1	737.6	737.4	97	53	85	S 0	N 1	NW 0	10	5	4	.	
6	13.8	24.1	15.7	17.9	0.1	736.5	735.3	735.5	87	48	69	E 0	**WSW** 1	SW 1	0	4	2	.	
7	13.4	16.6	15.2	15.1	−2.6	733.4	732 8	**731.4**	85	89	83	E 1	WNW 1	WSW 1	10	10●	10	8.0	● 8–14¼ mU, 17¼–18¼, [⛆ 16½
8	11.6	16.0	11.8	13.1	−4.5	733.1	734.2	735.0	84	55	77	**S** 0	WNW 1	SSW 1	8	10	10	.	
9	13.6	17.4	11.8	14.3	−3.3	735.4	736.1	738.1	69	53	87	SSW 0	WNW 1	S 0	1	8	10	.	
10	**9.5**	20.6	11.8	14.0	−3.5	737.2	736.8	736.6	83	54	89	ESE 1	NW 1	E 0	2	4	4	.	⏢ l
11	11.6	21.9	17.1	16.9	−0.5	735.6	734.4	733.0	94	59	84	WSW 0	SE 2	E 0	10	1	5	1.4	
12	14.4	18.2	16.8	16.5	−0.8	731.8	731.9	731.6	95	85	92	SSW 0	SE 0	E 1	10●	10	9	2.5	● 3–9¾ mU, 12–13¼
13	15.0	20.4	15.1	16.8	−0.5	732.6	733.0	734.0	89	71	94	E 1	NW 1	ESE 1	10	8	10●	27.8	● 12–12½, 15½–16¼, 19½–22, *)
14	14.3	19.3	14.1	15.9	−1.3	735.4	735.9	736.8	94	82	92	SE 1	S 1	E 0	8	9●	7	6.6	● 10¾–14 mU, 16½–17¾, *)
15	12.5	22.6	13.6	16.2	−0.9	737.4	737.3	739.0	94	53	95	E 1	**W** 2	E 0	10	3	0	8.8	● 1½–1¾, 16¼–20 mU, 16¼–17
16	12.0	23.0	15.5	16.8	−0.2	**740.0**	739.3	738.5	98	54	90	E 1	WNW 1	SW 0	2≡	2	0	0.0	≡ 7½–8¾
17	12.1	25.1	16.1	17.8	0.8	737.4	736.4	736.7	99	54	87	SW 0	NW 1	WSW 1	10≡	1	0	.	≡ 6–7¾
18	14.7	26.6	19.4	20.2	3.3	737.6	737.8	738.1	86	**45**	86	E 1	NW 1	SW 0	3	8	10	.	
19	15.4	25.9	19.0	20.1	3.3	738.3	738.0	738.5	91	58	85	ESE 1	WNW 1	NW 0	4	5	9	.	⏢ l
20	17.3	25.1	17.6	20.0	3.3	739.3	738.7	738.7	91	63	98	ESE 0	NW 1	SW 0	5	3	2	9.1	● 16¼–17½, ⛆ 15¾–17¼, ≡ 23¼–24
21	15.3	24.7	18.6	19.5	2.9	738.7	738.0	737.5	98	61	88	S 0	NNW 1	E 0	10≡	0	1	0.0	≡ 0–8
22	15.5	25.6	18.5	19.9	3.4	739.1	739.0	738.7	90	56	94	SE 0	NW 1	N 0	0	0	0	.	⏢ l
23	16.4	**27.5**	19.9	21.3	4.8	739.4	738.6	737.5	89	52	86	E 1	WNW 1	SW 0	0	2	0	.	⏢ l
24	16.4	26.6	18.2	20.4	4.0	737.2	736.0	735.2	89	48	89	SW 0	WNW 1	SSW 0	7	2	3	.	⏢ l
25	16.3	23.7	16.8	18.9	2.6	734.4	733.0	732.4	95	61	85	NW 1	NW 1	SE 0	10≡	7	10	.	≡ 4½–9
26	15.4	24.8	18.1	19.4	3.2	732.2	732.0	732.9	87	56	89	NNW 0	WSW 1	SSE 1	2	4	10	11.5	
27	15.2	17.8	15.3	16.1	0.0	734.5	735.4	734.3	93	88	94	E 1	SE 1	ESE 1	10●	9	2	**53.4**	● 3¾–12¼ mU, ⛆ 1½, *)
28	15.2	22.9	16.0	18.0	2.0	734.3	734.2	734.5	93	66	92	ESE 1	SE 1	SSE 1	8	3	4	2.2	● 1¼–2¾, 8½–9¾, *)
29	13.7	25.1	17.2	18.7	2.7	735.2	735.1	735.6	100	50	90	**ESE** 1	WNW 1	SSW 0	10≡	1	4	.	≡ 3½–9¾
30	15.0	24.3	18.7	19.3	3.4	735.2	735.3	734.8	91	68	84	E 0	SSW 1	ESE 0	10	8	10	34.8	● 23–24, ⛆ 22¾–23½
31	16.0	22.8	16.8	18.5	2.7	733.8	732.3	732.0	93	70	86	SE 1	NW 1	ESE 1	5	8	7	7.0	● 0–1¼, 9¼–9¾, ⛆ 23–1
Mittel	14.2	22.6	16.2	17.7	—	735.8	735.5	735.6	91	61	88				6.7	5.0	5.1	Summe 174.7	

*) **13.** ⛆ 12–12¼, 16–16¼, 19½–21¾ **14.** ⛆ 16–16¾ **27.** ⛆ 3½–4½, 5¼–6, 7–11¾ **28.** ⛆ 1½–1¾, 8¼–8¾

August 1955
Beobachter: *Observatorium*

Säntis

$\lambda = 9° 20'$, $\beta = 47° 15'$,
$H_b = 2500.1$ m, $G = -0.27$ mm.

Tag	Lufttemperatur					Luftdruck			Relative Feuchtigkeit			Windrichtung und Stärke			Bewölkung			Niederschlag	Witterung
	7^{30}	13^{30}	21^{30}	Mittel	Abweich. vom Normalst	7^{30}	13^{30}	21^{30}	7^{30}	13^{30}	21^{30}	7^{30}	13^{30}	21^{30}	7^{30}	13^{30}	21^{30}		
1	9.2	9.8	3.2	7 4	2.0	565.4	565.6	564.8	**49**	75	85	SSW 1	SSW 1	SW 2	3	9	3	2.4	⛆ 13¾–14, 17¾–19½, *)
2	3.8	5.2	1.7	3.6	−1.8	563.8	564.0	564.5	95	91	100	W 2	N 1	NNE 2	8	10	10≡●	2.5	⛆ 14½–14¾, 15¾–19, *)
3	3.0	5.3	3.9	4.1	−1.3	564.3	565.3	565.9	100	85	100	N 1	N 1	WNW2	10≡☽	8	10≡	27.6	⛆ 5½–7, 15¾–16¾, ☽ 7–8, *)
4	2.7	3.7	1.1	2.5	−2.8	565.0	565.9	566.4	100	100	100	WNW2	WSW1	NW 1	10≡●	10≡●	10≡	19.0	● n–15¾, ✳ 20–20½, ≡ n–n mU
5	1.6	4.4	2.1	2.7	−2.6	565.7	566.9	567.2	85	90	74	NW 1	SSW 1	NNW 1	0	7	1	.	≡ 8½–17¾ mU
6	4.5	6.6	2.5	4.5	−0.8	565.7	566.1	566.0	70	78	100	— 0	WSW2	NW 2	0	8	10≡	0.2	≡ 14¾–17, 18¾–n
7	1.2	1.7	0 0	1.0	−4.3	563.2	562.3	560.7	100	100	100	WSW3	SW 3	W 3	10≡	10≡●	10≡*	32.4	● 11–19 mU, ✳ 19–n mU, 23–23½,
8	−3.3	−2.2	−3.0	−2.8	−8.1	**559.5**	561.2	562.1	100	100	100	WNW2	W 2	WNW2	10≡	10≡	10≡	4.3	⛆ 18¾–20½, ≡ n–n, ⋁ I [≡n–n ⛋
9	−4 2	−3.7	−3.3	−3.7	−8.9	561.7	562.8	564.8	100	100	100	NW 2	WSW3	WNW2	10≡△	10≡△	10≡	5.6	△ 5¾–9 mU, 9¾–15½ mU, *) ⛋
10	−2.2	0.5	3 1	0.5	−4.7	564.4	565.3	566.3	100	88	70	NNE 2	SE 2	NE 2	10≡	8	7	.	≡ n–10½, 12¾–15 mU, ⨁ 13½ ⛋
11	6.7	8.9	5.2	6.9	1.7	565.3	565.9	565.6	60	80	70	S 1	SSW 1	S 1	4	4	3	.	≡ 12–15½ mU, 17–18
12	6.8	8.6	4.4	6.6	1.4	563.1	563.0	563.5	63	86	94	S 2	S 2	S 1	6	8	8	6.4	⛆ 14½–14¾, ≡ 11¼–17 mU, 17–19
13	1.6	6.9	3.4	4.0	−1.1	563.4	564.2	565.7	100	83	88	W 2	WSW1	N 1	10	8	10	6.7	⛆ 6¾–7½, 15–15¾, 18¾–n mU, *)
14	3.0	5.4	2.5	3.6	−1.5	565.8	566.8	567.4	97	90	99	WSW2	W 1	WSW2	6	8	10	0.4	⛆ 13¾, 19¾–21, ≡ 8¼–n mU
15	2.1	3.5	1.6	2.4	−2.7	567.1	567.6	568.2	100	97	100	WSW2	SW 2	WSW2	10≡	10≡△	10≡	8.2	⛆ 9–9¾, 12½–12¾, 13–13¼, *)
16	2.0	4.9	4.1	3.7	−1.3	568.7	569.3	569.3	100	90	65	WSW1	SSW 1	WNW1	10≡	9	0	0.8	⛆ 6¼–7¾ mU, ≡ n–9, 10½–17
17	4.3	7.5	4.5	5.4	0.4	567.7	568.2	568.7	85	70	64	W 2	SW 2	W 2	1	2	6	.	[mU
18	4.9	8.6	5.6	6.4	1.5	568.8	569.8	570.2	98	84	47	WNW1	SW 2	NW 1	4	9	2	.	≡ n–7, 8–16, ⨁ 16½
19	6.9	10.5	7.0	8.1	3.2	569.5	570.3	570.8	68	77	70	NNE 1	SW 1	NW 2	9	9	10	2.8	⛆ 17¾–18½
20	6.6	9.4	4.8	6.9	2.1	570.5	570.9	570.5	98	82	94	N 2	N 1	NNE 2	10≡	10≡	0	.	≡ n–17½ mU
21	7.8	9.7	7.9	8.5	3.7	569.7	570.6	570.9	68	80	71	ENE 1	SE 1	NE 1	0	2	0	.	
22	8.1	**12.1**	8.2	9.5	4.8	570.5	571.5	**571.9**	87	80	81	W 1	SSE 1	NE 1	1	9	0	.	
23	9.9	10.6	7.9	9.5	4.9	571.6	571.8	570.9	62	92	65	NNW 1	ESE 1	N 2	1	9	4	0.0	●tr 14¼, ≡ 11–15½ mU
24	6.8	11.2	5.9	8.0	3.4	568.9	568.8	567.7	54	79	100	NNW 2	SW 2	N 1	6	6	10≡	.	≡ 17½-n
25	5.2	4.1	3.5	4.3	−0.2	565.2	564.7	564.1	98	98	89	SW 1	N 1	SW 1	10≡	10≡●	3	3.6	⛆ 7–7½, 12–14 mU, 17¾, *)
26	4.0	7.6	5.4	5.7	1.3	563.7	565.3	566.2	81	76	85	SW 2	S 1	SSW 2	9	10	10	1.4	● n (26./27.)
27	5.2	5.1	4.2	4.8	0.4	566.5	566.9	566.7	87	93	91	WSW2	SW 2	SW 3	10	10	10	6.2	● 9–9¾, 13½–14, ≡ 8¾–9½ mU
28	2.8	4.2	4.6	3.9	−0.4	565.8	566.3	566.4	100	100	100	SW 2	WSW2	WSW2	10≡●	10≡	10≡	3.7	⛆ 6–6¾, 7–8¼, 8½–9½ mU, *)
29	4.1	5.3	5.6	5.0	0.8	566.1	567.4	568.1	100	100	100	WSW3	WSW3	WNW2	10≡	10≡	10≡	0.7	● n (29./30.), ≡ n–n
30	5.7	6.2	5.2	5.7	1.6	567.1	567.4	567.0	100	100	100	WSW3	WSW2	SW 2	8	10≡	10≡	7.3	●tr 12¾–13, n (30./31.), *)
31	3.2	7.4	4.3	5.0	1.0	564.9	564.6	563.6	91	83	100	NE 1	W 1	W 2	10	10≡	10≡	**45.2**	● n–6¾, n (31./1.) *)
																		Summe	
Mittel	4.0	6.1	3.8	4.6	—	566.1	566.7	566.8	87	88	87				7.0	8.2	7.0	187.4	

August 1955
Beobachter: *E. Chiesa*

St. Gotthard (Hospiz)

$\lambda = 8° 34'$, $\beta = 46° 33'$,
$H_b = 2095$ m, $G = -0.25$ mm.

1	6.7	8.7	6.4	7.3	−1.2	594.6	594.5	593.6	90	87	81	SE 0	SE 1	NW 1	9	6	6	2.3	● 8½–10½, 15–17½ mU
2	6.1	6.5	5.0	5.9	−2.6	592.4	592.7	592.8	89	80	90	NW 1	NW 1	SE 1	10	6	9	6.3	● 8½–11¼
3	4.8	9.9	6.4	7.0	−1.5	592.8	593.7	594.1	93	68	97	NW 2	NW 2	NW 2	10	9	10☽≡	0.2	☽ ≡ 18¼-n
4	6.2	6.0	3.7	5.3	−3.1	593.8	594.3	594.5	98	95	98	NW 1	NW 1	NW 2	10☽≡	10	10☽≡	2.6	● 10–p mU, ≡ ☽ n–n mU
5	2.2	8.6	5.0	5.3	−3.1	594.4	594.9	595.6	96	58	98	NW 1	NW 1	NW 1	0	0	9≡	.	≡ 19–n mU
6	6.0	10.0	5.9	7.3	−1.1	594.6	594.3	594.4	77	71	97	SE 0	NW 1	NW 1	0	0	6	.	
7	4.9	8.0	4.8	5.9	−2.5	592.4	591.8	589.9	98	75	89	NW 1	NW 1	NW 1	6	10	6	8.8	● 18½–18¾, ✳ n (7./8.)
8	0.2	1.4	0.0	0.5	−7.8	**588.1**	589.8	590.9	98	76	100	NW 2	NW 2	NW 3	10●≡	9	10☽≡	0.9	● n–a, ☽ p–n, ≡ n–n mU,
9	−0.8	1.8	0.2	0.4	−7.9	590.8	591 8	593.3	97	78	99	NW 2	NW 2	NW 2	10≡	10	10☽≡	0.2	☽ p, ≡ n–a, 15¼–n [⛈ p–n
10	1.0	6.8	4.2	4.0	−4.3	593.2	593.8	594.3	75	78	95	NW 2	NW 1	NW 1	6	9	0	.	≡ 19½–20¾
11	4.4	12.2	6.8	7.8	−0.4	594.1	594.2	593.9	78	57	95	NW 0	SE 1	SE 0	0	3	6	.	
12	6.0	6.0	5.3	5.8	−2.4	592.3	592.0	592.1	95	95	98	SE 1	SE 1	SE 1	10	10≡	10≡	4.4	● 14–n mU, ≡ 9¼–n mU
13	5.4	6.2	5.6	5.7	−2.4	591.9	592.5	593.8	94	98	88	SE 0	SE 0	NW 1	10	10●≡	10≡	5.7	● 10¾–p, ≡ 11¼–n
14	5.8	8.4	5.6	6.6	−1.5	594.0	594.7	595.7	87	80	88	NW 1	NW 1	NW 1	9	9	10●≡	1.9	● 20½–n, ⛆ 20¾, ≡ 20¾–n
15	4.4	8.7	3.2	5.4	−2.6	595.7	596.0	596.8	97	83	98	NW 1	NW 1	NW 2	0	3	10●≡	4.7	● 16¾–n, ≡ p–n
16	4.0	10.0	6.0	6.7	−1.2	596.9	597.5	597.5	93	52	97	NW 2	NW 2	NW 1	9	6	0	.	
17	5.9	12.8	8.8	9.2	1.3	596.4	596.3	596.8	83	52	95	NW 0	NW 1	NW 2	0	0	0	.	
18	6.4	12.4	7.6	8.8	1.0	596.8	597.5	598.2	88	54	95	NW 1	NW 1	NW 0	0	0	0	.	
19	7.4	13.4	9.2	10.0	2.3	597.8	598.1	598.6	76	51	98	NW 0	NW 1	NW 1	0	0	10≡	.	≡ 19¾-n
20	9.0	12.3	8.0	9.8	2.2	598.5	598.7	598.5	93	79	96	NW 1	NW 1	NW 0	9	9	10	.	
21	8.7	13.7	9.0	10.5	2.9	598.3	598.6	598.8	85	62	94	SE 1	SE 0	SE 0	10	3	0	.	
22	8.3	**15.8**	9.3	11.1	3.6	599.0	599.4	**600.1**	95	80	96	SE 0	SE 0	SE 0	9	9	10≡	.	≡ 19¾-n
23	7.9	14.6	10.2	10.9	3.5	599.9	599.6	598.8	95	**46**	94	SE 0	NW 1	NW 0	0	0	10	.	
24	9.2	13.7	8.6	10.5	3.2	597 3	596.7	595.8	95	52	93	NW 1	NW 1	NW 1	6	3	0	.	△ I
25	7.8	8.7	6.2	7.6	0.4	593.9	592.7	593.2	95	87	95	NW 1	NW 2	NW 0	10	10	10	8.3	● 17¼–19¾, ≡ 21½–n
26	5.3	7.5	6.7	6.5	−0.7	593.0	594.1	595.1	98	89	97	SE 1	SE 1	SE 1	10≡	10≡	10≡	0.4	● 20–n mU, ≡ n–n
27	7.0	11.4	7.8	8.7	1.6	595.1	595.5	595.8	94	76	98	SE 0	SE 1	NW 1	9	9	10	2.4	● 15¾–n mU
28	7.4	10.2	6.8	8.1	1.1	594.6	595.0	595.0	95	91	95	SE 0	SE 0	NW 1	10	10	9	2.5	● 8½–12¾, 15¼–p
29	7.8	12.7	8.2	9.6	2.7	595.2	595.6	596.4	74	52	95	NW 1	NW 1	NW 1	0	6	3	.	
30	9.8	7.6	7.7	8.4	1.6	596.0	596.6	595.8	83	95	84	NW 0	NW 0	NW 1	9	10●	6	**23.4**	● 10–15¾, n (30./31.)
31	5.5	10.0	6.2	7.2	0.5	593.8	593.1	592.2	95	75	98	NW 1	NW 1	NW 1	10	9	6	1.9	● 16¾–18
																		Summe	
Mittel	5.8	9 6	6.3	7.2	—	594.8	595.0	595.2	90	73	95				6.5	6.4	7.0	76.9	

*) Säntis: **1.** ⛆ 14–15¾, ⛆ 13¾–15¼, ≡ 13¾–14½ **2.** ⛆ 19–19¾, ⛆ 19¾–n mU, ≡ 11½–n mU **3.** ≡ n–16 mU, 17½–n **9.** ⛆ 9–9¾, ≡ n–n mU **13.** ≡ n–6, 11½–19 mU **15.** ⛆ 13¾–14½, 19¾–21, ⛆ 14, ≡ n–n mU **25.** ⛆ 7¼–7½, 13–13¾, ≡ n–15½, 17–19 mU **28.** ⛆ 18¾, ⛆ 6½–6¾, ● n (28./29.), ≡ 6½–10, 12½–14, 17–n **30.** ≡ n–7, 7¾–9½, 11¼–15¼, 17–n **31.** ⛆ 16¾–17¼, ≡ 9–n mU

$\lambda = 7°\,26'$, $\beta = 46°\,57'$,
$H_b = 572.2$ m, $G = 0.00$ mm.

Bern

September 1955
Beobachter: *Meteorologisches Observatorium*

Tag	Lufttemperatur					Luftdruck			Relative Feuchtigkeit			Windrichtung und Stärke			Bewölkung			Niederschlag	Witterung
	7^{30}	13^{30}	21^{30}	Mittel	Abweich. vom Normalst	7^{30}	13^{30}	21^{30}	7^{30}	13^{30}	21^{30}	7^{30}	13^{30}	21^{30}	7^{30}	13^{30}	21^{30}		
1	14.0	17.8	14.4	15.4	−0.2	710.6	712.0	713.2	92	66	89	W o	E 1	E o	9	5	1	0.0	● 3¼–4¾, ●tr 7¾–8¾, ⊿ I
2	11.8	21.2	15.1	16.0	0.5	713.1	712.3	712.0	86	48	81	SE o	NE o	SE o	3	1	1	.	⊿ I
3	12.6	21.9	17.9	17.5	2.2	712.6	711.7	712.2	88	45	86	SE o	NE o	N o	1	1	1	.	⊿ I
4	13.9	**22.0**	15.7	17.2	2.0	713.0	712.4	713.1	91	69	89	SE o	N o	NE o	8	5	7	0.3	● 17-19½ mU, ⋀ 17-17½, Ψ 21½, ⊿ I
5	14.5	21.1	15.9	17.2	2.1	713.1	712.3	712.4	90	61	92	SE o	N o	SE o	5	5	6	13.0	● 18¾–20¾, Ψ 0½, ⊿ I
6	14.2	16.3	14.4	15.0	0.1	712.3	711.9	712.7	91	86	84	SE o	S o	E o	9	9	9	4.7	● 3¼–7, 11–13½
7	12.6	17.1	14.4	14.7	−0.1	711.4	710.5	711.0	88	67	88	N 1	NE 1	N o	10≡	7	7	.	≡ 7½–7¾, ⊿ I
8	12.0	20.0	17.0	16.3	1.6	712.3	712.8	713.8	100	57	83	SE o	W o	SE o	10≡	5	4	.	≡ 6–8¾, Ψ 3½, ⊿ I
9	14.0	16.2	14.8	15.0	0.5	714.7	714.6	713.6	90	87	94	S o	W 1	W o	9	10	8●	14.4	● 12¾–24 mU, ⊿ I
10	13.5	14.4	11.2	13.0	−1.4	712.3	712.1	712.8	94	84	94	E o	E o	ESE 1	9●	9●	10●	13.9	● 0–24 mU
11	11.0	15.3	13.4	13.2	−1.0	712.4	712.7	714.9	91	70	84	NNE 1	NNE 2	E o	7	7	10	.	● 0–0½, ≡ 2½–3, ⊿ I
12	11.1	17.6	15.1	14.6	0.5	714.4	713.4	712.7	92	61	85	N o	SW 1	SW o	9≡	9	9	0.2	≡ n–7¾
13	11.6	13.1	10.8	11.8	−2.1	713.0	712.2	707.9	86	58	72	W o	W o	SW o	9	10	1	5.6	● 0¾–1¾, 4¾–5¾
14	9.6	9.4	6.7	8.6	−5.2	704.0	**702.8**	704.0	84	76	77	SW 1	WSW 2	WSW 2	8	9●	10●	**17.9**	●1½–6¼, 9¼–19¼ mU, ▽ 21½–22¼, 23½–24
15	5.6	9.2	6.1	7.0	−6.6	705.6	706.3	708.0	87	61	90	SW 1	SW 2	SW o	8	9●	7	1.5	● 0–1¾, 4½–5, 6¾–7¾, 11¾–15¾ mU
16	6.4	12.0	9.7	9.4	−4.1	713.0	715.0	716.9	94	50	77	SE o	SW 1	NE o	9	6	9	.	● 1½–7½
17	8.6	16.8	11.7	12.4	−0.9	717.1	716.3	716.7	84	**43**	92	SE o	W o	NE o	8	3	1	.	⊿ I, III
18	8.6	17.0	12.2	12.6	−0.6	717.2	716.4	716.8	87	54	77	SE o	NE o	ENE 1	4	5	1	.	⊿ I
19	8.4	15.6	11.6	11.9	−1.1	716.5	716.7	717.0	93	68	92	N o	NW o	W o	9	5	0	.	⊿ I
20	9.2	17.0	13.0	13.1	0.2	718.2	717.4	718.4	100	69	94	SW o	NE 1	W o	10≡	1	4	.	≡ 2½–3¾, 5–9, ⊿ I, III
21	12.2	19.4	14.0	15.2	2.5	718.2	717.4	716.7	93	54	89	S o	N o	SE o	7	1	0	.	⊿ I, III
22	9.5	18.9	13.9	14.1	1.6	715.5	713.4	712.3	94	65	89	SE o	NNE 1	ENE o	9	1	0	.	⊿ I, III
23	10.4	19.4	14.8	14.9	2.5	712.0	711.6	713.3	90	51	86	SE o	WNW 1	SE o	7	9	9	.	⊿ I, III, ⊕ 12½
24	11.0	19.7	15.1	15.3	3.1	715.4	716.4	717.8	92	58	88	SE o	NNE 1	NE o	5	4	3	.	⊿ I, III
25	10.4	18.3	14.9	14.5	2.4	**719.0**	717.9	717.7	96	72	93	S o	N 1	N 1	10≡	1	9	.	≡ 3¼–8, ⊿ I, III
26	13.4	17.8	16.0	15.7	3.8	717.0	716.4	716.2	92	65	80	N o	NW o	NNW o	10	8	10	0.8	● 22½–23, ⊿ I
27	12.3	12.0	9.1	11.1	−0.6	715.6	715.5	717.0	91	81	92	N o	NE o	SE o	10	10	10●	2.4	● 6½–10½ mU, 14–23¼, ⊿ I
28	8.3	10.5	7.0	8.6	−2.9	715.9	715.9	716.9	92	58	90	W o	NNW 1	ESE 1	10	9	10	1.0	● 3¼–4, 6¾–7, 16¾–20¾ mU
29	6.3	11.3	7.0	8.2	−3.1	717.7	717.8	717.9	82	52	84	NE 1	NE 2	NNE 2	2	5	1	.	⊿ I
30	**4.9**	8.7	6.2	6.6	−4.5	718.9	**719.0**	719.0	92	75	89	W o	NW o	N o	10	10	0	.	⊿ I, III
																		Summe	
Mittel	10.7	16.2	12.6	13.2	—	714.1	713.8	714.2	91	64	87				7.5	6.0	5.3	75.7	

$\lambda = 6°\,57'$, $\beta = 47°\,0'$,
$H_b = 487.3$ m, $G = 0.02$ mm.

Neuchâtel

September 1955
Beobachter: *Observatorium*

1	14.3	20.9	15.5	16.9	0.4	717.8	719.4	720.5	97	67	87	N o	NE 1	N o	8	6	0	.	● 2¼–3¾
2	13.0	22.0	18.5	17.8	1.4	720.6	719.8	719.3	95	62	73	N o	SE o	NE o	0	1	0	.	
3	13.7	23.4	17.6	18.2	1.9	719.9	719.2	719.5	95	62	80	NE o	SE o	N o	2	0	0	.	
4	15.1	22.8	17.4	18.4	2.2	720.6	719.9	720.5	97	76	90	N o	SE o	N o	4	8	8	.	
5	15.0	**23.6**	17.7	18.8	2.7	720.7	719.9	720.0	94	59	86	N o	SE 1	NE o	2	3	10	6.1	
6	15.0	20.5	15.4	17.0	1.0	719.8	719.1	720.2	97	76	77	N o	SE o	NE o	8	9	9	0.9	● 2¼–3¾, 4¾–5¾, 9¾–10½,
7	13.3	20.6	15.2	16.4	0.6	719.0	718.0	718.5	86	59	76	NE 1	NE 2	NE 1	7	3	0	.	[⋀ 2½–2¾
8	13.1	21.6	16.5	17.1	1.4	720.0	720.0	721.1	92	60	83	NE o	SE o	NE o	8	1	1	.	
9	14.0	16.2	15.4	15.2	−0.4	722.1	722.0	721.2	93	95	97	NE o	W o	E o	7	10●	10●	11.4	● 11¼–13¾, 18¼–24
10	12.8	15.2	12.4	13.5	−1.9	719.8	719.6	720.2	94	90	93	N o	SW o	NE o	10	10●	10	3.7	● 0–2¾, 9–9¾, 13½–16½, 23½–24
11	11.1	15.9	14.2	13.7	−1.6	720.0	720.8	722.5	95	72	80	NE 1	NE 2	NE o	5	10	10	.	● 0–0¼
12	13.2	18.7	16.5	16.1	0.9	722.0	720.9	720.2	85	67	77	NE 1	SE o	W o	7	9	10	.	
13	12.0	15.5	12.6	13.4	−1.6	720.7	719.8	716.5	66	**50**	62	NW 2	NW 2	W 1	5	8	10	0.9	⛈ 2–5¾
14	10.8	10.0	**5.7**	8.8	−6.1	711.4	**710.0**	711.9	69	83	92	W 2	SW 3	W 1	10	9●	10●	**13.7**	● 1½–2½, 7¾–15½, 20¼–24, ⛈ n-p mU
15	5.9	8.4	7.2	7.2	−7.5	713.0	713.7	715.6	92	84	85	SW 3	W 2	W o	10	10	5	4.3	● 0–0½, 3½–16¾ mU, ⛈ n-p mU
16	7.6	13.8	11.3	10.9	−3.7	720.6	722.7	724.6	87	58	66	W 1	SW 2	W 1	10	8	10	.	● 0¾–0¾, 2¾–6½
17	9.9	18.2	12.5	13.5	−0.9	724.7	724.0	724.4	86	54	86	N o	SE 1	NE o	9	0	1	.	
18	11.0	19.1	11.9	14.0	−0.2	724.8	724.1	724.2	92	67	85	NE o	SE 1	N o	10	2	0	.	
19	10.4	17.2	12.2	13.3	−0.8	724.3	724.3	724.6	92	69	89	E 1	SE 1	SE o	6	1	0	.	
20	10.3	13.6	13.6	12.5	−1.4	726.0	725.5	725.5	96	86	88	S o	SE o	W o	10	10	1	.	
21	13.0	20.0	14.6	15.9	2.2	725.8	725.0	724.0	94	56	91	NE o	SE o	SE o	9	2	0	.	
22	11.2	18.6	15.5	15.1	1.5	723.1	721.1	719.8	97	73	79	SE o	S 1	NE o	10≈	0	0	.	≡ n–11½
23	11.2	16.9	13.8	14.0	0.6	719.5	719.3	720.8	97	83	92	NE o	SE o	S o	10≈	8	0	.	≡ n–10½
24	12.2	19.9	15.6	15.9	2.7	723.1	723.8	725.2	98	75	89	SE o	SE o	W o	10≡	2	0	.	≡ n–10½
25	11.7	20.5	16.3	16.2	3.2	726.5	725.5	725.4	99	76	76	N o	SE o	W o	10≡	2	8	.	≡ n–10½
26	13.6	19.8	16.2	16.5	3.7	724.6	724.0	723.9	95	69	75	N o	SE o	N o	10	8	9	1.1	
27	12.7	11.7	9.6	11.3	−1.3	723.2	723.1	724.6	95	75	95	NE o	N 3	NE o	10●	10●	10	1.4	● 5¼–20½ mU, ⛈ II
28	8.9	13.1	8.9	10.3	−2.1	723.5	723.7	724.4	85	54	86	NE o	NW 1	E o	10	7	9	0.8	● 22–22¼
29	6.9	14.6	9.8	10.4	−1.8	725.5	725.4	725.5	85	59	62	NE 1	E 3	NE 2	5	3	0	.	⛈ a–n mU
30	7.2	12.9	7.6	9.2	−2.8	**726.7**	726.6	**726.7**	81	64	86	NE 1	SE 1	E o	10	1	0	.	
																		Summe	
Mittel	11.7	17.5	13.6	14.3	—	721.6	721.3	721.7	91	69	83				7.7	5.4	4.7	44.3	

September 1955
Beobachter: *Frl. H. Nager*

Altdorf

$\lambda = 8° 39'$, $\beta = 46° 53'$,
$H_b = 456.3$ m, $G = -0.05$ mm.

Tag	Lufttemperatur					Luftdruck			Relative Feuchtigkeit			Windrichtung und Stärke			Bewölkung			Niederschlag	Witterung
	7^{30}	13^{30}	21^{30}	Mittel	Abweich. vom Normalst	7^{30}	13^{30}	21^{30}	7^{30}	13^{30}	21^{30}	7^{30}	13^{30}	21^{30}	7^{30}	13^{30}	21^{30}		
1	15.1	15.8	13.6	14.8	1.2	720.4	722.0	723.6	97	97	97	NE 0	NW 0	E 0	10●	10	2	7.0	● n-a
2	11.9	19.9	14.8	15.5	0.4	723.2	721.9	722.2	95	59	85	NE 0	NW 0	SE 0	3	3	0	.	
3	12.7	**20.7**	17.2	16.9	1.1	722.1	721.1	722.5	94	58	91	E 0	NW 0	NW 0	0	3	7	.	
4	15.2	19.7	15.4	16.8	1.1	723.2	722.8	723.4	94	61	95	W 0	NW 0	SE 0	10	6	10	4.5	● ☇ 16¼-17¼
5	14.9	19.8	16.0	16.9	1.3	723.6	722.6	723.0	98	74	87	E 0	SW 0	E 0	5	6	10	9.3	● 16-n mU
6	15.4	18.2	14.3	16.0	0.5	722.6	721.4	723.7	100	72	97	NE 1	NW 0	NW 0	8	10●	10●	9.9	● n-n mU
7	13.9	17.8	14.8	15.5	0.1	721.4	720.4	721.1	99	68	92	E 0	N 1	NW 0	10	7	7	0.6	● 17½
8	14.3	18.4	15.0	15.9	0.6	722.0	722.7	724.5	98	68	86	N 0	NW 0	E 0	6	8	0	.	
9	13.9	20.2	16.2	16.8	1.6	724.5	723.3	723.1	92	63	93	NE 0	NE 0	NW 0	3	8	10●	9.5	● 20½-n
10	15.2	14.8	13.2	14.4	-0.7	721.7	722.0	722.1	100	97	91	NE 0	W 0	NW 0	10●	10●	10●	10.9	● n-n
11	13.4	17.3	14.8	15.2	0.2	722.6	722.6	725.4	96	62	92	NW 0	NW 0	NW 0	10	3	10	.	
12	13.4	18.3	15.8	15.8	0.9	724.1	722.8	722.8	85	62	90	NE 0	NW 0	NE 0	8	6	10	4.8	● n (12./13.)
13	14.0	13.2	11.4	12.9	-1.8	722.0	721.6	719.0	67	72	85	NW 2	NW 1	NW 0	10●	10	5	2.2	● n-a
14	10.2	12.1	8.4	10.2	-4.4	713.9	**711.6**	711.8	90	80	80	SE 0	NW 0	NE 0	7	7	0	3.5	● a mU
15	7.9	10.3	7.8	8.7	-5.8	714.7	716.1	718.1	92	63	91	N 0	NW 0	NW 0	8	8●	2	0.9	● a-p mU
16	7.8	13.3	9.7	10.3	-4.1	723.2	724.5	727.4	94	51	80	NE 0	NW 1	E 0	10●	8	0	0.2	● n-7½
17	9.8	15.4	10.2	11.8	-2.4	727.4	726.4	727.2	89	**50**	90	NE 0	NW 0	NW 0	10	4	0	.	
18	8.6	15.9	13.2	12.6	-1.5	727.1	726.9	726.8	96	53	97	E 0	NW 1	NE 0	0	5	8	.	
19	11.2	15.3	11.3	12.6	-1.4	726.7	726.4	727.3	92	75	95	NE 0	NW 1	E 0	10	2	0	.	
20	10.0	15.2	11.8	12.3	-1.5	728.3	727.4	728.5	100	80	95	N 0	N 0	N 0	10	4	0	.	
21	11.0	18.5	13.8	14.4	0.7	728.3	726.8	727.2	99	64	96	NW 0	NW 0	N 0	2	3	3	4.1	● 16¾-19, ☇ 19
22	9.5	17.3	12.8	13.2	-0.3	725.3	723.0	722.4	98	60	92	N 0	NW 1	NW 0	0	0	0	.	
23	10.2	18.5	14.9	14.5	1.2	722.0	720.8	723.2	97	56	90	W 0	NW 0	SE 0	3	5	8	.	
24	11.2	18.8	14.5	14.8	1.6	725.4	725.8	728.0	95	67	95	E 0	NW 0	NW 0	3	2	10	.	
25	13.1	18.3	13.2	14.9	1.9	728.8	727.8	728.1	95	63	94	N 0	NW 1	W 0	0	5	7	.	
26	13.0	17.3	14.8	15.0	2.2	727.0	726.8	726.7	96	71	92	SE 0	NW 0	NW 0	8	9	10●	3.2	● 19¼-n
27	13.9	14.2	10.3	12.8	0.1	724.9	724.3	726.7	94	78	80	N 0	NW 2	NW 1	10●	10	10●	5.3	● n-a, p-n
28	9.8	9.0	7.0	8.6	-3.9	725.8	726.0	727.8	89	92	93	NW 1	NW 0	N 0	10●	10●	10●	**21.8**	● n-n
29	**5.4**	12.3	7.2	8.3	-4.0	728.6	727.9	727.9	95	51	85	N 0	W 0	E 0	2	5	0	.	
30	6.8	11.5	9.4	9.2	-2.9	729.2	728.5	**729.4**	91	66	91	E 0	NW 0	NE 0	9	4	10	.	
																		Summe	
Mittel	11.8	16.2	12.8	13.6	—	724.0	723.5	724.4	94	68	91				6.5	6.0	5.6	97.7	

September 1955
Beobachter: *Observatorium*

Genève

$\lambda = 6° 9'$, $\beta = 46° 12'$,
$H_b = 405.0$ m, $G = -0.03$ mm.

1	16.0	22.0	18.4	18.8	1.9	725.0	725.5	726.7	93	54	92	NNE 1	NNE 1	NNE 1	9	2	0	.	⛆ ☇ 2¾-3½
2	15.0	21.8	17.6	18.1	1.3	727.6	726.0	726.3	89	55	88	NNE 1	NE 1	NNE 1	0	1	0	.	
3	15.6	23.8	20.8	20.1	3.4	726.9	725.6	725.8	89	**47**	87	NNE 1	NNE 1	NNE 1	0	0	0	.	
4	16.6	23.0	20.6	20.1	3.5	727.3	726.8	727.1	89	58	76	NNE 1	NNE 1	NNE 1	2	8	10	.	
5	16.8	23.0	19.4	19.7	3.2	727.7	726.4	726.6	94	68	88	NNE 1	NNE 1	NNE 1	0	6	8	.	
6	18.4	24.2	18.6	20.4	4.0	726.6	725.9	726.2	92	54	88	NNE 1	SSW 1	NNE 1	3	4	5	.	
7	16.2	19.6	18.0	17.9	1.6	725.6	724.6	725.4	81	67	90	NNE 1	NNE 1	E 1	4	4	1	.	
8	14.6	**24.5**	19.2	19.4	3.3	727.1	726.8	727.6	91	68	88	NNE 1	SSW 1	E 0	0	2	5	0.2	
9	16.2	19.0	16.0	17.1	1.1	729.7	727.6	728.7	93	86	96	E 1	NNE 1	SE 1	10●	9	10	**36.3**	● 7-a, ⛆ ☇ 18, n (9./10.)
10	14.7	17.2	15.6	15.8	-0.1	727.3	726.7	727.5	93	94	85	NW 1	NNW 1	NNW 1	10	10	9	.	⛆ 4
11	14.4	17.5	15.4	15.8	0.0	726.4	727.2	729.3	84	82	88	E 1	NE 2	NNE 1	10	8	10	.	
12	15.6	20.2	16.7	17.4	1.7	729.1	728.0	727.8	85	71	81	NNE 1	S 1	S 1	10	5	9	3.7	
13	13.6	16.5	13.3	14.5	-1.0	728.0	726.8	724.6	67	64	70	NNE 1	E 1	E 1	9	9	9	0.4	● 2¼-4¾
14	10.4	11.0	9.2	10.2	-5.2	720.4	**719.2**	719.8	89	77	89	S 1	S 2	S 1	10●	10	10	10.5	● 7-8, 11-12½, 14¼-17¼, 22-24,
15	8.6	10.2	9.0	9.3	-6.0	721.3	721.8	723.6	81	84	94	S 1	S 1	S 1	10	8	9	8.2	● 7½-9¾, 14-15 [☇ 14¼
16	8.8	16.2	12.1	12.4	-2.7	729.1	730.0	732.2	89	49	90	E 1	SE 1	E 1	9	4	5	.	● 0-1¼, 4-5
17	**7.5**	16.2	13.6	12.4	-2.6	732.0	732.0	731.8	88	77	91	E 1	NNE 1	E 1	10	1	2	.	
18	8.0	16.6	14.6	13.1	-1.7	732.1	731.0	731.0	91	64	93	E 1	NNE 1	E 1	2	2	7	.	
19	10.6	15.5	12.6	12.9	-1.8	730.9	731.0	731.6	93	74	90	E 1	NNE 1	E 1	10	8	2	.	
20	12.4	18.0	15.2	15.2	0.7	733.0	731.8	733.2	93	84	93	E 1	NNE 1	E 1	9	2	9●	10.0	⛆ ☇ 20½-22
21	13.4	21.2	14.6	16.4	2.1	733.3	731.2	731.0	100	49	91	E 0	NNE 1	NNE 1	10≡	2	5	.	≡ n-a
22	10.6	18.4	14.5	14.5	0.4	729.9	727.4	726.7	100	63	91	SE 0	S 0	S 0	2	2	2	.	
23	11.3	19.0	17.0	15.8	1.9	726.5	725.6	727.3	100	83	90	S 0	NNE 1	NNE 1	2	2	2	.	
24	13.0	19.8	16.7	16.5	2.8	730.6	731.1	732.1	100	74	92	NNE 1	NNE 1	E 1	0	2	2	.	
25	15.0	20.0	18.6	17.9	4.4	733.0	732.4	731.8	89	74	84	NNE 1	NNE 1	E 0	2	2	5	.	
26	16.5	21.2	16.6	18.1	4.8	731.9	730.9	730.8	94	72	92	E 0	NNE 1	NNE 1	10	3	5	1.0	
27	13.4	14.2	12.4	13.3	0.2	730.2	729.6	730.6	100	59	93	ENE 1	NNE 1	NNE 1	10●	10	10	.	● 6½-7½
28	12.0	14.5	12.8	13.1	0.2	730.5	730.6	731.1	78	83	90	NNE 1	NNE 2	NNE 2	10	5	9	.	
29	10.2	14.2	11.0	11.8	-0.9	732.0	729.8	731.2	95	76	93	NNE 3	NNE 4	NNE 1	8	1	8	.	
30	8.0	12.0	9.0	9.7	-2.8	733.8	733.6	**734.2**	89	70	86	NNE 1	NNE 1	NNE 1	10	2	3	.	
																		Summe	
Mittel	13.1	18.3	15.3	15.6	—	728.8	728.1	728.6	90	69	89				6.4	4.5	5.7	70.3	

$\lambda = 8°\ 34'$, $\beta = 47°\ 23'$,
$H_b = 569.4$ m, $G = 0.03$ mm

Zürich

September 1955
Beobachter: *Meteorologische Zentralanstalt*

Tag	Lufttemperatur					Luftdruck			Relative Feuchtigkeit			Windrichtung und Stärke			Bewölkung			Niederschlag	Witterung
	7^{30}	13^{30}	21^{30}	Mittel	Abweich. vom Normalst	7^{30}	13^{30}	21^{30}	7^{30}	13^{30}	21^{30}	7^{30}	13^{30}	21^{30}	7^{30}	13^{30}	21^{30}		
1	14.3	19.8	14.4	16.2	1.1	710.6	711.9	713.3	93	63	96	NNE 1	S 1	SSE 1	10●	3	1	0.6	● 2¾–7¾
2	12.7	22.7	14.8	16.7	1.7	713.2	712.4	712.0	95	48	86	SSE 1	ENE 1	NE 1	1	1	0	.	⌓ |
3	13.9	24.4	17.2	18.5	3.6	712.3	711.9	712.5	91	46	85	SSE 1	W 1	S 0	0	1	4	.	⌓ |
4	14.6	23.0	17.6	18.4	3.6	713.2	712.7	713.4	94	59	94	E 1	N 1	SSW 1	0	5	10	.	⌓ |
5	16.1	23.0	16.1	18.4	3.7	713.3	712.4	712.7	93	59	91	SW 0	NNW 1	SSE 1	10	3	9	6.7	● 19¼–20, ⌓ |
6	14.7	18.5	13.0	15.4	0.8	712.2	711.3	713.4	90	72	96	SSW 1	SW 1	SE 1	10	10	10	9.2	● 3¾–5½, 14–14¼, 16–19¾
7	12.3	18.7	14.6	15.2	0.7	711.7	710.8	711.2	97	60	95	NE 1	NNE 1	WSW 0	10	5	10	0.3	●tr n (7./8.)
8	14.2	22.2	15.7	17.4	3.1	712.2	712.9	714.0	92	53	95	WSW 0	SSE 1	SSE 0	10	2	1	.	
9	14.8	20.0	14.6	16.5	2.3	714.5	713.8	713.2	90	66	97	W 0	WNW 2	ENE 1	4	6	10●	16.4	● 15¾–16¼, 17¼–24, ⌓ |
10	13.3	14.5	12.0	13.3	−0.8	712.2	712.4	712.7	97	81	93	WNW 1	S 1	SSE 0	10●	10●	10	9.2	● 0–11½, 13½–14½, 16–17½, 18¾–19¼
11	11.2	15.7	12.9	13.3	−0.6	712.9	713.3	715.5	96	70	93	NNE 1	NE 1	ENE 1	10	9	10	0.0	● 2–2¼
12	13.2	17.8	14.3	15.1	1.3	714.6	713.4	712.6	92	61	91	SE 1	NW 1	S 1	10	9	10	1.0	⌓ |
13	10.7	12.2	9.9	10.9	−2.7	712.8	712.2	708.7	93	72	86	W 1	WSW 1	S 1	9	9	1	5.6	● 4–6¾
14	7.8	13.1	6.6	9.2	−4.3	703.7	**701.7**	702.7	95	63	84	WSW 2	WSW 2	SW 2	10▽	8	9	10.8	● 3¼–4¼, 6–8, 9½–10, *)
15	6.4	9.6	8.1	8.0	−5.4	704.3	705.5	707.6	80	67	74	SSW 2	WSW 2	SW 2	9	9	7	0.4	● 2½–4, 4¾–6¼, 11¾–12, *)
16	7.4	13.6	10.1	10.4	−2.8	712.7	714.5	717.1	84	51	67	SW 2	SW 2	S 1	9	5	9	.	⌿ 9–15
17	10.1	18.9	11.2	13.4	0.3	716.9	716.4	717.1	76	48	92	SSW 1	SSW 1	N 1	9	1	9	.	⌓ |
18	10.7	18.8	11.7	13.7	0.8	717.4	717.0	717.2	94	51	89	SSE 0	N 1	NE 1	10	7	5	.	⌓ |
19	8.5	17.9	12.2	12.9	0.1	716.8	716.8	717.4	96	56	88	NE 1	NE 1	NE 2	7	2	0	.	⌓ |
20	9.5	18.0	12.7	13.4	0.8	718.3	717.6	718.1	98	65	95	SSW 1	SW 1	SE 0	10≡	1	0	.	≡ n–10½, ⌓ |
21	11.6	21.2	13.6	15.5	3.1	718.0	717.4	717.0	97	52	95	S 0	NW 1	SW 1	8≡	3	0	.	≡ 7½, ⌓ |
22	11.3	21.8	13.9	15.7	3.4	715.5	713.8	712.5	97	50	87	S 1	NE 1	NE 1	9≡	1	0	.	≡ n–⌿ ½, ⌓ |
23	11.1	21.7	14.5	15.8	3.7	712.1	711.3	713.1	97	54	94	S 1	SW 1	ESE 0	10≡	4	0	.	≡ 6–9½, ⌓ |
24	11.8	21.1	14.4	15.8	3.9	715.4	716.5	718.0	96	58	96	SSE 1	NE 1	NE 1	8≡	6	1	0.1	≡ 7¼–8, ⌓ |
25	13.2	17.4	14.6	15.1	3.4	718.8	718.0	718.2	97	71	87	S 1	NW 1	NW 1	10≡	7	10	0.0	● ≡ n–8½
26	13.6	18.1	14.6	15.4	3.9	716.9	716.3	716.6	95	64	90	W 1	SW 1	WSW 1	10	9	10	2.4	≡ 5½–9½ mU, ⌓ |
27	11.8	11.3	9.0	10.7	−0.6	715.7	715.5	716.9	93	95	97	NNW 1	N 1	E 1	10	10●	10	10.2	● 2¼–5¾, 10½–21½ mU
28	7.8	9.3	6.5	7.9	−3.2	715.5	715.4	717.2	93	77	94	WNW 1	SW 1	SE 1	10	9●	10	10.1	● 1–2½, 8½–12, 13½–19¾, ⌓
29	5.4	13.7	7.1	8.7	−2.2	718.4	718.4	718.7	98	48	84	NE 1	NE 1	NE 1	8	4	0	0.0	⌓ |
30	6.0	11.5	5.6	7.7	−3.0	719.0	718.8	**719.3**	90	58	96	NE 1	ESE 1	NE 0	10	4	0	0.0	⌓ |
Mittel	11.3	17.7	12.5	13.8	—	714.0	713.7	714.3	93	61	90				8.1	5.2	5.4	Summe 83.0	

*) **14.** ● 11¾–12¼, 15¾–17½, ⌿ 6–n mU **15.** ● 16¾–17, ⌿ n–21¼ mU

$\lambda = 6°\ 32'$, $\beta = 46°\ 51'$
$H_b = 1588$ m, $G = -0{,}13$ mm

Chasseron

September 1955
Beobachter: *J. Liardon*

1	7.0	10.4	9.6	9.0	—	629.1	631.1	632.0	100	89	79	NW 1	E 0	NNE 1	10≡	6	3	.	≡ n–8, 11–11½
2	11.2	14.4	11.0	12.2	—	632.0	632.1	631.7	70	76	97	E 0	— 0	N 0	2	3	2	.	
3	11.5	15.0	11.8	12.8	—	631.5	632.1	632.1	76	64	92	— 0	NNW 0	N 0	3	4	4	.	
4	12.2	14.0	11.2	12.5	—	632.2	632.6	632.9	88	85	100	E 0	N 0	N 0	3	9	10●≡	8.8	▽ 19¾–n mU, ⌅ ▲ 13¾–14¾, ≡20–n
5	11.4	13.0	10.8	11.7	—	632.3	632.4	632.2	87	85	81	E 0	W 0	NW 0	2	5	4	8.0	● n (5./6.)
6	9.0	8.8	6.7	8.2	—	631.0	630.9	631.2	100	100	81	WNW 2	WNW 3	N 1	10≡	10≡	5	3.8	▽ n–18 mU, ⌅ 2–2½, ≡ n–18, ⌿ ||
7	6.4	8.7	7.4	7.5	—	629.7	629.6	630.0	98	100	93	E 1	SSE 0	E 1	3	10≡	4	.	≡ 8–12 mU, 12–14½, 15¾–16¼ mU
8	7.8	12.6	11.0	10.5	—	630.9	632.2	633.1	83	75	89	WSW 2	S 0	W 1	3	6	4	.	≡ a–11 mU
9	10.9	10.4	9.4	10.2	—	633.5	633.3	632.0	86	93	100	WSW 1	W 0	S 0	7	9	10≡	18.1	● 11–12½, n (9./10.), ≡ 8–9, 19½–n
10	6.2	6.6	5.2	6.0	—	630.6	630.5	630.4	100	100	100	NNW 0	N 1	N 1	10≡	9	10●	12.4	▽ 12½–13¾, ● 17½–n, ≡ n–n mU
11	4.0	6.2	6.7	5.6	—	629.5	631.4	632.5	100	100	90	E 2	E 0	E 1	4	10≡	6	.	≡ n–n mU
12	6.0	11.8	7.8	8.5	—	632.3	632.1	631.7	100	84	100	E 1	NNW 1	W 1	3	6	10≡	2.6	● n (12./13.), ≡ n–6¾, 15½–n
13	2.6	4.5	3.4	3.5	—	630.6	629.6	627.6	100	87	80	NNW 1	NNW 2	WSW 2	10≡	9	7	6.4	✳ n (13./14.), ≡ n–10, 10–12 mU
14	1.0	1.1	−1.4	0.2	—	621.4	620.3	**620.2**	100	100	100	W 4	W 4	NNW 3	10●*≡	10	10*≡	13.4	●✳ 7¾–10, 11¾–13, *) ⌧
15	**−1.6**	−0.4	−0.6	−0.9	—	621.7	623.1	624.6	100	100	100	NNW 2	W 4	W 2	10*≡	10*≡	10	9.0	✳ n–13½, ≡ n–15½, ⌿ a–p ⌧
16	−0.6	1.0	3.0	1.1	—	628.7	631.7	633.8	100	91	68	W 2	W 1	W 1	10	9	4	.	≡ n–9½ ⌧
17	3.6	9.2	5.8	6.2	—	633.7	634.4	634.7	93	72	100	W 2	WNW 1	WNW 0	6	3	2	.	
18	5.6	10.2	5.0	6.9	—	634.1	634.5	634.4	92	72	100	W 1	W 0	E 1	3	4	10≡	.	≡ 21–n, ⌓ |
19	6.0	10.2	9.8	8.7	—	633.6	634.7	635.0	100	81	50	E 1	E 0	SSE 1	10≡	3	2	.	≡ n–9½
20	10.0	15.0	10.0	11.7	—	635.7	636.3	636.7	81	68	100	W 1	W 1	W 0	2	4	5	.	⌅ 21–n
21	9.0	10.4	9.6	9.7	—	636.3	636.5	635.8	70	96	95	W 0	S 0	E 1	5	6	4	0.0	▽ 13¾
22	8.4	11.8	9.2	9.8	—	633.6	632.9	634.6	94	54	95	E 1	ESE 1	E 1	2	3	4	.	⌓ |
23	10.4	13.6	9.6	11.2	—	630.6	631.2	632.0	75	77	92	W 2	WSW 0	W 2	5	5	5	.	
24	9.0	12.8	10.0	10.6	—	633.7	635.4	636.6	100	77	100	E 0	NE 0	E 0	4	5	3≡	.	≡ 18½–n mU
25	9.1	13.6	8.9	10.5	—	**636.9**	636.6	636.4	100	86	100	NE 0	W 0	NW 0	3	6	10≡	.	≡ 7–9½ mU, 16–n
26	7.4	11.4	8.0	8.9	—	635.2	635.1	635.1	100	78	100	NW 0	W 1	NNW 1	10≡	6	10≡	1.0	● n (26./27.), ≡ n–9½ mU, 19½–n
27	4.4	3.8	1.8	3.3	—	633.3	632.9	633.1	100	100	100	N 1	N 1	W 2	10●≡	10●≡	10≡	5.2	● n–p, ≡ n–n
28	−0.2	0.8	0.6	0.4	—	632.1	632.0	631.6	100	100	100	NNW 1	N 2	N 1	9	10	10	0.2	✳ 21½, ≡ 7½–11, 15¾–n
29	−0.8	2.8	0.8	0.9	—	632.6	633.8	633.2	96	69	92	E 1	E 2	E 2	4	3	2	.	⌴ |
30	6.0	7.2	2.8	5.3	—	634.4	635.0	635.2	**38**	85	92	E 0	N 0	E 1	2	2	0	.	
Mittel	6.4	9.0	6.8	7.4	—	631.8	632.2	632.4	91	85	92				5.8	6.5	6.0	Summe 88.9	

*) **14.** ✳ n (14./15.), ≡ ⌿ n, [⌿ a–p

September 1955
Beobachter: *Stationspersonal Rh. B.*

Bever

$\lambda = 9° 53'$, $\beta = 46° 33'$,
$H_b = 1711.8$ m, $G = -0.23$ mm

Tag	Lufttemperatur 7³⁰	13³⁰	21³⁰	Mittel	Abweich. vom Normalst	Luftdruck 7³⁰	13³⁰	21³⁰	Relative Feuchtigkeit 7³⁰	13³⁰	21³⁰	Windrichtung und Stärke 7³⁰	13³⁰	21³⁰	Bewölkung 7³⁰	13³⁰	21³⁰	Niederschlag	Witterung
1	8.0	12.5	9.2	9.7	0.3	619.5	620.8	623.0	95	56	75	SE 0	NE 0	NE 0	10	10	8	.	
2	2.3	18.5	7.4	9.4	0.1	623.3	622.2	623.3	100	32	92	S 0	E 0	SW 0	1	1	0	.	
3	2.9	20.0	12.7	11.9	2.8	623.3	622.0	623.8	100	41	92	SW 1	SW 1	S 0	0	2	10●	0.6	● 9½-9¾, 10-10¼, 21½, ⌴ l
4	5.6	**21.6**	11.2	12.8	3.8	623.9	622.8	623.9	100	36	98	S 0	NW 1	NW 1	4	7	10	0.4	● 20-n mU
5	9.0	18.2	12.9	13.4	4.5	623.9	622.4	622.9	95	48	88	NW 0	SW 2	SW 0	10	6	5	11.0	● n (5./6.)
6	7.9	14.9	9.6	10.8	2.0	623.1	621.4	622.3	96	52	82	NE 0	SE 0	N 0	10●	10	10●	7.1	● n-8, p-n mU
7	7.2	10.4	8.0	8.5	−0.1	621.2	621.1	622.3	93	71	100	NE 0	NE 0	NE 0	10	10●	10	5.3	● 11-p mU
8	8.5	15.0	10.8	11.4	2.9	623.3	623.8	625.6	98	54	93	NE 0	SW 0	SW 0	8	8	9	0.2	● tr n (8./9.)
9	7.4	15.1	10.3	10.9	2.5	625.7	624.4	623.9	99	56	88	S 0	SW 0	SW 0	8	6	4	.	
10	8.9	8.1	4.5	7.2	−1.0	620.7	620.8	621.5	96	82	96	N 0	NW 0	NE 0	10	10●	10●	**13.6**	● 9½-n mU
11	5.1	10.4	8.4	8.0	−0.1	621.0	622.0	623.8	93	67	90	N 1	NW 0	NE 0	10	8	10	.	
12	6.8	16.4	8.0	10.4	2.4	624.3	623.0	622.7	91	49	97	W 0	SW 1	W 0	10	1	0	1.1	● n (12./13.)
13	9.0	11.8	6.6	9.1	1.3	620.0	617.7	617.4	89	63	93	SW 0	NW 1	NW 0	10●	9	10●	2.2	● n-a, 20-n
14	4.4	11.6	0.5	5.5	−2.2	612.6	**610.1**	610.6	89	42	97	SW 0	SW 0	NE 1	8	6	10	2.5	● 18½-19½, ✳ 19½-20, n [(14./15,) ⊠
15	−0.4	6.0	−0.6	1.7	−5.9	611.6	613.6	616.3	89	38	90	SW 0	NW 1	NE 0	9	8	5	.	
16	−2.7	8.3	−0.3	1.8	−5.6	619.3	621.1	625.2	97	37	90	SW 0	NW 2	SW 0	10	1	0	.	⌴ l
17	−0.2	12.4	5.8	6.0	−1.3	625.6	625.2	626.1	90	70	90	SW 0	SW 0	SW 0	8	8	0	.	
18	−1.7	16.2	3.6	6.0	−1.2	625.6	624.2	625.5	100	31	95	SW 0	W 0	SW 0	0	0	0	.	
19	1.9	15.3	4.3	7.2	0.2	626.4	625.3	627.3	100	49	100	NW 0	S 0	SW 0	10	0	0	.	
20	5.2	15.4	6.9	9.2	2.3	628.1	627.1	628.2	94	43	92	NW 0	SW 2	W 0	10	2	0	.	
21	0.5	13.4	7.1	7.0	0.2	627.5	626.3	627.2	100	52	93	S 0	N 0	NE 0	10	9	2	4.5	● 14½-p, ≡ 12¾-13¾
22	0.9	15.6	4.1	6.9	0.3	625.5	623.4	623.9	100	30	96	NW 0	E 0	W 0	10≡	1	0	.	≡ n-9¼
23	−0.3	15.8	4.2	6.6	0.1	623.4	622.9	623.6	100	45	99	SW 0	SW 0	NW 0	0	4	0	.	≡ n-7
24	−0.9	17.4	5.0	7.2	0.8	625.4	625.4	627.9	100	30	96	SW 0	NW 1	SW 0	0	1	0	.	⌴ l
25	−1.3	17.8	3.4	6.6	0.4	**628.6**	626.8	627.3	100	**23**	94	SW 0	NW 0	SW 0	0	0	0	.	
26	0.2	15.2	8.6	8.0	1.9	626.7	624.9	625.3	100	55	89	SW 0	W 1	NE 0	6	7	10	1.5	● 18¾-n mU
27	5.3	11.8	6.1	7.7	1.7	623.7	621.8	622.0	100	62	90	SW 0	NE 1	NW 0	10≡	9	10	1.3	● 15-15¼, ≡ n-a
28	3.0	2.4	1.0	2.1	−3.7	621.4	621.1	622.5	90	79	80	NE 1	SW 0	N 0	10	10	8	0.2	✳ fl 12½
29	−0.8	5.1	−1.6	0.9	−4.8	623.8	623.3	625.9	84	54	86	NE 0	SW 0	NE 1	3	2	0	.	
30	−6.9	15.4	0.8	3.1	−2.4	626.5	624.3	625.7	100	44	89	SW 0	SW 0	NE 0	0	0	0	.	⌴ l
Mittel	3.2	13.6	6.0	7.6	—	623.2	622.4	623.6	96	50	92				6.8	5.8	4.7	Summe 51.5	

September 1955
Beobachter: *Couvent des Capucins*

Sion

$\lambda = 7° 21'$, $\beta = 46° 14'$,
$H_b = 548.6$ m, $G = -0.11$ mm.

1	14.8	20.2	15.4	16.8	−0.2	713.4	713.4	715.2	92	61	85	SSW 0	WSW 1	W 1	10	8	0	.	● 1½-2¼
2	13.9	22.1	17.2	17.7	0.8	716.4	714.4	714.7	83	53	74	NE 0	SSW 0	SW 1	1	1	0	.	
3	13.8	**23.0**	18.6	18.5	1.7	715.5	713.7	714.5	86	57	70	SW 0	SW 1	NNE 1	0	1	0	.	
4	16.1	**23.0**	18.0	19.0	2.3	715.5	714.3	716.0	85	60	85	NE 0	SW 0	NE 0	6	7	10	2.4	● 16¼-17¼ mU
5	15.2	22.1	17.2	18.2	1.6	716.0	714.6	715.0	85	61	73	NE 0	ENE 1	W 0	3	7	10	.	
6	16.8	22.6	14.3	17.9	1.5	714.8	713.4	714.2	85	59	80	W 0	WSW 1	W 0	8	7	1	.	
7	13.8	21.2	13.7	16.2	−0.1	713.9	711.9	713.3	93	60	72	W 0	SW 3	W 0	9	1	1	.	⌿ II
8	14.4	22.6	18.2	18.4	2.2	715.1	714.6	716.1	90	58	75	W 0	WSW 2	W 0	0	2	0	.	
9	15.6	18.8	16.9	17.1	1.0	717.0	716.8	715.6	89	85	96	W 0	W 1	WSW 1	10	10	10	3.6	● 22-24
10	13.9	20.0	13.6	15.8	−0.2	715.0	713.1	714.2	90	55	75	WSW 0	WSW 2	WNW 1	10	6	10	0.2	● 0-1¾, 7¾-8¼
11	12.5	20.0	15.3	15.9	0.1	714.3	713.9	716.1	90	52	76	W 0	SSW 1	WNW 1	9	1	0	.	
12	13.4	20.4	16.6	16.8	1.1	716.4	713.6	715.0	87	60	74	WNW 0	SW 1	WNW 1	1	1	5	.	
13	13.8	16.0	13.4	14.4	−1.2	713.3	712.7	712.5	80	59	62	WNW 1	W 3	SW 1	9	1	5	0.9	⌿ II
14	9.3	15.9	8.1	11.1	−4.4	707.9	**705.5**	707.6	96	**45**	89	SW 1	WSW 3	WNW 0	9	7	10	0.8	● 3¼-5½ mU, 16¾-18¼ mU,
15	7.6	12.1	7.5	9.1	−6.2	708.7	709.7	710.9	77	61	72	W 1	W 1	W 1	10	5	0	0.8	● tr 0¼, 10-10¾ [⌿ II
16	12.2	15.8	9.9	12.6	−2.6	716.0	716.2	719.2	93	47	70	SW 0	WSW 1	WNW 0	7	1	0	.	● 5½-6¾
17	10.0	18.3	12.2	13.5	−1.6	719.7	717.7	718.9	82	50	71	W 0	WSW 0	W 0	8	0	0	.	
18	8.8	18.4	13.4	13.5	−1.4	719.7	717.7	718.5	90	54	80	ENE 0	WSW 1	ENE 1	0	1	1	.	
19	13.4	19.8	13.5	15.6	0.8	718.8	717.6	719.4	71	60	85	ENE 0	WSW 1	WNW 0	2	1	0	.	
20	10.8	20.5	15.4	15.6	1.0	720.7	718.7	**721.8**	90	54	90	WNW 1	WSW 1	W 1	1	1	10●	**6.8**	● 19¾-23
21	12.0	20.6	15.0	15.9	1.5	720.9	718.8	718.9	94	55	80	W 0	WSW 2	WSW 0	4	4	2	.	
22	11.2	20.4	15.2	15.6	1.3	718.3	715.4	715.6	90	56	77	WSW 0	WSW 1	WSW 0	0	1	2	.	
23	12.2	20.2	16.5	16.3	2.2	715.2	714.0	715.5	83	55	72	WSW 0	WSW 2	NNW 1	3	6	7	.	
24	11.4	21.1	16.6	16.4	2.5	718.1	717.6	719.9	91	61	80	N 0	WSW 2	NNW 2	0	3	0	.	
25	14.6	21.6	16.8	17.7	4.0	721.1	718.9	719.5	88	60	82	N 0	W 1	W 1	10	0	8	.	
26	15.1	20.8	17.4	17.8	4.3	719.2	717.3	718.0	95	63	70	W 0	WSW 2	W 0	10	10	10	.	
27	14.6	16.8	12.1	14.5	1.2	717.0	715.6	716.8	90	68	80	WSW 0	WNW 3	W 3	10	6	8	.	⌿ a-n
28	10.3	14.7	10.2	11.7	−1.4	716.7	715.6	718.3	80	50	62	W 2	WSW 1	W 1	8	9	5	.	
29	6.2	14.7	8.8	9.9	−3.0	719.2	717.8	719.1	90	48	75	W 0	WSW 2	WSW 1	6	0	0	.	
30	**4.3**	14.8	8.1	9.1	−3.6	721.4	719.3	721.1	91	60	87	ENE 0	WSW 2	W 0	0	0	0	.	
Mittel	12.4	19.3	14.2	15.3	—	716.5	715.1	716.4	87	58	77				5.5	3.6	3.8	Summe 15.5	

$\lambda = 8°\,57'$, $\beta = 46°\,0'$,
$H_b = 276.2$ m, $G = -0.01$ mm.

Lugano

September 1955
Beobachter: *G. Vicari*

Tag	Lufttemperatur					Luftdruck			Relative Feuchtigkeit			Windrichtung und Stärke			Bewölkung			Niederschlag	Witterung
	7^{30}	13^{30}	21^{30}	Mittel	Abweich. vom Normalst	7^{30}	13^{30}	21^{30}	7^{30}	13^{30}	21^{30}	7^{30}	13^{30}	21^{30}	7^{30}	13^{30}	21^{30}		
1	17.6	**28.2**	20.6	22.1	3.1	732.6	732.3	734.4	93	35	42	N 1	N 2	N 2	6	4	0	.	
2	15.4	**28.2**	19.8	21.1	2.2	736.7	735.9	737.6	67	43	75	N 1	SW 1	N 1	0	0	0	.	
3	16.2	27.4	19.4	21.0	2.2	737.7	736.7	737.1	83	51	75	N 1	S 1	N 1	0	0	0	.	
4	16.8	27.6	20.2	21.5	2.8	738.0	737.2	737.5	85	57	77	N 1	S 1	N 1	2	1	1	.	
5	17.2	**28.2**	20.4	21.9	3.4	737.9	736.9	736.9	88	48	77	N 1	S 1	N 1	1	1	5	1.9	● n (5./6.)
6	18.0	23.6	19.4	20.3	1.9	738.0	735.7	735.6	95	65	81	N 1	N 1	NNW 1	7	9	10	14.6	∴ 16, ● n (6./7.), ⚿ ● 2–3
7	16.4	19.2	17.2	17.6	−0.7	735.1	736.3	737.2	88	64	95	N 1	ESE 2	N 1	8	10	10●	**44.0**	∴ p, ● 18–n mU
8	16.4	18.8	18.2	17.8	−0.4	739.0	740.0	741.0	96	91	90	NNW 1	SE 1	N 1	8	10●	3	1.8	● 13–14½, ⚿ n (8./9.)
9	17.8	22.4	18.2	19.5	1.5	741.4	740.3	739.2	87	74	96	— 0	S 1	N 1	5	9	6	3.1	● p mU
10	16.2	16.4	16.6	16.4	−1.5	736.3	734.9	733.7	98	85	84	N 1	S 1	N 1	10●	9	7	13.3	● 6–13
11	14.0	20.4	17.4	17.3	−0.5	734.6	736.2	738.7	84	57	88	N 1	— 0	N 1	8	9	5	.	
12	15.2	25.8	19.2	20.1	2.5	740.3	738.4	737.1	85	53	83	N 1	S 1	NNW 1	7	0	9	.	
13	16.2	26.4	18.0	20.2	2.7	734.1	731.2	730.3	79	49	88	N 1	S 1	N 1	9	1	9	2.1	∴ 18, ●tr 18¼, 19½–20½, n (13./14.)
14	14.2	13.4	14.8	14.1	−3.3	728.0	726.0	**724.4**	97	92	81	N 1	E 1	N 1	9	10●	5	8.7	∴ a–p mU, ⚿ 13¼
15	10.2	19.0	11.4	13.5	−3.7	727.7	728.7	731.3	57	**31**	66	N 1	W 1	N 1	5	4	0	.	
16	7.8	22.6	11.2	13.9	−3.2	735.3	737.4	741.5	72	37	73	N 1	SSW 1	N 1	0	0	0	.	
17	9.6	22.4	13.8	15.3	−1.6	743.0	742.4	743.2	80	49	77	N 1	S 1	N 1	0	0	0	.	
18	11.6	22.6	16.4	16.9	0.1	742.2	741.6	741.7	87	51	75	N 1	S 1	N 1	0	2	0	.	
19	14.4	22.4	16.8	17.9	1.3	742.7	742.6	743.4	95	55	83	NW 1	S 1	N 1	10	5	8	.	
20	14.2	22.8	17.2	18.1	1.7	**745.0**	744.5	744.7	83	57	80	N 1	S 1	N 1	7	5	9	.	
21	14.8	23.8	17.6	18.7	2.5	743.5	741.8	741.4	89	56	83	N 1	S 1	N 1	9	1	3	.	
22	12.8	24.2	17.2	18.1	2.1	740.7	739.2	739.2	85	51	81	N 1	S 1	N 1	0	0	0	.	
23	14.0	23.8	15.8	17.9	2.0	739.0	737.9	739.1	91	57	84	N 1	E 1	N 1	1	1	0	.	
24	13.2	24.2	19.4	18.9	3.2	741.0	741.2	743.7	92	55	89	N 1	S 1	— 0	0	0	10	.	
25	17.8	24.4	18.2	**20.1**	4.6	744.6	743.0	743.0	91	59	85	N 1	S 1	N 1	9	4	5	.	
26	17.4	23.6	18.4	19.8	4.5	742.6	741.0	740.9	92	54	83	N 1	S 1	N 1	9	2	9	.	
27	16.4	21.8	14.2	17.5	2.4	739.3	737.1	736.9	89	64	98	N 1	SE 1	S 1	10	6	19	19.2	● 16½–17½, 19–21 mU,
28	14.2	17.0	13.2	14.8	−0.1	735.6	736.9	738.1	44	37	41	N 2	N 2	N 1	0	10	0	.	[⚿ 16¼–17½
29	9.2	20.2	11.8	13.7	−1.0	740.3	741.4	743.5	66	45	73	N 1	S 1	N 1	0	0	0	.	
30	8.6	19.8	11.4	13.3	−1.2	**745.0**	743.4	742.3	82	47	83	N 1	S 1	N 1	0	0	0	.	
Mittel	14.5	22.7	16.8	18.0	—	738.6	737.9	738.5	84	56	79				4.7	3.8	4.1	Summe 108.7	

$\lambda = 7°\,35'$, $\beta = 47°\,33'$,
$H_b = 317.3$ m, $G = 0.11$ mm.

Basel

September 1955
Beobachter: *Astronom.-Meteorol. Anstalt*

1	15.3	22.3	16.0	17.9	2.2	732.6	733.8	734.8	96	61	93	S 1	NW 1	ESE 1	8	6	0	0.0	
2	13.4	25.9	16.3	18.5	2.9	734.8	734.0	733.5	98	56	89	ESE 1	SSE 1	SE 1	8≡	5	0	.	≡ n-a
3	13.2	**26.4**	17.9	19.2	3.7	733.8	733.4	734.1	96	55	94	E 1	W 1	SW 1	3	4	0	.	
4	15.3	24.2	16.7	18.7	3.3	735.0	734.6	734.9	96	63	92	SW 0	NNW 1	SW 1	10	6	6	0.0	●tr 17½, ⛈ 14¾
5	16.3	25.0	17.6	19.6	4.3	735.1	734.1	733.7	92	56	93	S 0	NW 1	ESE 1	0	3	6	2.0	
6	16.1	19.5	14.4	16.7	1.5	733.8	733.4	735.1	90	72	92	E 0	WNW 2	ESE 0	10	10	5	1.4	● 2¾–3¾, 12½, 14¾–16
7	13.0	20.1	13.7	15.6	0.5	734.4	733.2	732.7	94	63	99	ESE 0	NNW 1	SW 1	10	4	4	.	
8	12.7	24.3	15.3	17.4	2.5	733.9	734.5	735.4	98	55	92	SE 1	WNW 1	ESE 0	8	3	0	.	
9	14.8	19.6	16.0	16.8	2.0	735.8	735.7	734.9	91	88	97	ESE 1	SE 0	ESE 0	8	10●	10●	**23.0**	● 12½–16½, 18¼–24 mU
10	14.1	17.0	14.5	15.2	0.5	734.4	734.3	734.8	97	80	94	S 1	SW 0	NNW 1	10	10	8	0.2	● 0–6½, 11½–12, 21¾–22¼
11	11.9	15.4	14.3	13.9	−0.7	735.1	735.6	737.0	96	82	95	SW 0	WNW 1	WNW 0	10	10	10	0.0	
12	12.8	18.6	15.4	15.6	1.2	736.9	735.6	734.5	98	69	95	NW 1	NNW 0	S 1	10	8	8	0.0	
13	12.0	14.9	11.5	12.8	−1.5	735.3	734.9	730.9	84	58	80	WSW 2	WNW 2	SE 1	9	7	10	12.6	●tr 4
14	10.6	10.6	7.4	9.5	−4.7	725.6	**724.7**	**725.5**	90	85	87	SW 1	WSW 2	WSW 1	10●	10●	10	8.6	● 0¾–19½ mU, ⛈ 14¾
15	7.8	9.4	8.1	8.4	−5.6	726.7	728.0	729.8	85	80	91	W 1	WSW 1	SSE 1	10	7	10	2.7	● 1¼–1¾, 8½–13¼ mU, 20¾–21¼
16	8.9	16.1	10.5	11.8	−2.1	734.9	736.6	738.7	83	53	88	SSW 1	W 2	E 1	9	7	4	0.0	● 0½–0¾
17	10.6	19.7	14.0	14.8	1.0	738.4	738.2	739.2	90	56	92	E 1	WNW 1	SW 1	10	10	10	0.0	● 1¼–2¼, ●tr 7½, 8
18	12.6	18.6	9.7	13.6	0.0	739.4	739.3	739.4	96	53	92	SW 0	N 1	SW 1	10	3	3	0.0	
19	7.4	18.4	10.3	12.0	−1.5	739.4	739.0	739.2	99	63	96	SSW 0	NW 1	SSW 1	10≡	1	0	0.0	❩ 8–10½ mU, ≡ 6–10¾
20	9.7	21.6	13.6	15.0	1.7	740.0	739.2	739.8	96	60	93	SE 1	SE 1	ESE 1	0	0	0	.	⌓ l
21	12.2	24.0	13.7	16.7	3.5	739.6	739.0	738.5	99	**42**	90	ESE 1	W 1	S 0	9≡	1	0	.	≡ 3–8
22	10.6	23.5	13.0	15.7	2.7	737.6	735.6	734.5	98	57	96	ESE 1	ENE 1	SE 0	0	0	0	0.0	≡ 5¾–7¾, ⌓ l
23	12.2	22.7	14.5	16.5	3.6	733.8	733.6	735.1	93	56	88	ESE 1	SE 1	SSW 1	7	8	3	.	⌓ l
24	11.1	22.4	15.3	16.3	3.6	737.4	738.4	739.9	100	64	94	ESE 0	WNW 1	WSW 1	9≡	3	0	.	≡ 5½–8½
25	15.0	18.2	14.9	16.0	3.4	741.1	740.3	739.9	96	78	91	NW 0	NW 0	WNW 0	10≡	10	10	.	≡ n-a
26	13.9	21.2	14.6	16.6	4.2	739.2	738.2	738.9	96	61	80	ESE 0	W 1	NNW 1	10	8	10	1.7	● 21½–23
27	11.8	12.7	10.2	11.6	−0.7	738.4	738.5	739.0	96	81	91	WNW 1	NW 1	WSW 1	10	10	3	0.1	● 4–6½ mU, 14–14½
28	7.9	11.8	7.9	9.2	−2.9	738.5	738.3	739.4	99	65	97	SSW 0	WNW 1	NW 0	10	10	10	4.3	●tr 7¾, 9¼–10, 14½–19¼ mU
29	6.0	11.6	6.3	8.0	−4.0	741.1	741.6	741.7	97	79	96	E 1	WNW 1	SW 1	2	3	0	0.0	⌓ l
30	4.0	14.0	8.2	8.7	−3.1	**742.0**	741.5	741.4	97	65	96	SSW 0	NW 1	S 1	10≡	1	9	0.0	❩ a mU, ≡ 0½–5, 6¼–10
Mittel	11.8	19.0	13.1	14.6	—	736.1	735.9	736.2	95	65	92				8.0	5.9	4.9	Summe 50.6	

September 1955
Beobachter: *Observatorium*

Säntis

$\lambda = 9°\,20'$, $\beta = 47°\,15'$,
$H_b = 2500.1$ m, $G = -0.27$ mm

Tag	Lufttemperatur					Luftdruck			Relative Feuchtigkeit			Windrichtung und Stärke			Bewölkung			Niederschlag	Witterung
	7^{30}	13^{30}	21^{30}	Mittel	Abweich. vom Normalst	7^{30}	13^{30}	21^{30}	7^{30}	13^{30}	21^{30}	7^{30}	13^{30}	21^{30}	7^{30}	13^{30}	21^{30}		
1	2.2	3.2	2.1	2.5	−1.5	562.6	564.2	566.0	100	100	99	NNW 1	N 2	N 2	10≡●	10≡	1	2.5	● n-9¼, ▽ 12-12¾, ≡ n-19½ mU
2	3.4	8.1	5.9	5.8	1.9	565.7	566.4	566.3	58	84	42	N 2	S 1	WSW 2	5	6	1	.	≡ 14-17 mU
3	7.8	10.0	6.2	8.0	4.2	565.8	566.6	567.0	80	84	70	WSW 2	SSW 2	WSW 2	1	2	1	.	
4	8.1	**11.0**	5.4	8.2	4.5	566.7	567.3	567.1	79	82	88	S 1	S 1	WSW 2	1	9	6	17.9	▽ 15-15¾, 16¾-17, *)
5	6.1	10.8	4.7	7.2	3.6	566.5	566.6	566.3	80	82	100	WSW 1	SSW 1	WSW 2	10	10≡	10≡	11.1	● 17½-19, ◺ 17½-18¾, ≡ 18-n
6	3.4	3.6	0.9	2.6	−1.0	565.0	564.2	564.9	100	100	100	WSW 3	WSW 3	NW 3	10≡●	10≡	10≡	27.8	▽ 5½-6, 15¾-16½, *)
7	3.7	7.9	3.6	5.1	1.6	563.6	563.6	564.3	67	86	100	N 1	ESE 1	SSW 2	6	10≡	9	1.1	●r 16¼, ≡ 12½-21
8	4.8	9.2	5.6	6.5	3.1	565.4	566.8	568.0	88	78	94	SE 2	S 2	SSW 2	6	3	1	.	≡ 14½-19
9	7.3	10.4	5.6	7.8	4.5	568.4	567.7	566.3	80	85	100	SSW 1	S 2	SSW 2	6	10≡	10≡	37.7	▽ 15¼, 18¼-19, ● n (9./10.), *)
10	2.1	0.0	0.0	0.7	−2.5	563.6	563.6	563.3	100	100	100	WSW 3	N 2	N 2	10≡●	10≡*	10≡*	23.1	● n-9, ●✳ 9-11, ✳ 11-n, ≡ n-n
11	−0.8	2.0	1.6	0.9	−2.2	563.4	564.8	566.5	100	100	100	NNE 2	NE 2	NE 2	10≡	4	10≡	.	≡ n-n
12	6.0	9.4	4.0	6.5	3.4	566.4	566.4	565.3	70	61	100	S 3	SSW 2	WSW 3	1	1	10≡	10.0	● n (12./13.), ≡ 20-n
13	1.4	1.6	−1.8	0.4	−2.6	563.1	562.3	559.6	100	100	100	W 2	WSW 2	W 3	10≡●	10≡	10≡	13.2	● n-8, ●✳ 8-9¾, ● 15¼-16½, *)
14	−2.6	−3.3	−5.7	−3.9	−6.8	554.2	553.3	**552.0**	100	100	100	W 4	W 4	W 3	10≡	10≡*	10≡	**44.8**	✳ n-6¾, 8-9½, 12½-13¾, *)
15	**−7.2**	−5.4	−6.3	−6.3	−9.1	552.3	554.4	556.5	100	100	100	W 4	W 3	W 3	10≡*	10≡	10≡	20.1	✳ n-10¾, ▽ 13¾-14½, 15¾-17, *)
16	−5.6	−3.8	−4.3	−4.6	−2.4	559.9	562.7	565.4	100	100	100	W 3	W 3	W 3	10≡	10≡	10	.	≡ n-21, ⋁ n-8
17	−3.1	0.0	0.4	−0.9	−3.5	565.9	567.1	567.8	77	78	98	W 3	W 3	WSW 2	10	9	1	.	
18	0.6	2.3	0.7	1.2	−1.3	567.1	567.6	567.8	90	93	100	W 3	WSW 2	WSW 2	3	4	10≡	.	≡ 9½-17 mU, 19½-n
19	4.0	8.3	4.4	5.6	3.2	567.5	568.6	569.3	47	49	42	WSW 2	SW 2	W 3	0	1	0	.	
20	6.2	8.8	5.1	6.7	4.4	569.7	**570.4**	570.4	73	66	60	SW 1	SSW 1	N 1	0	1	4	.	
21	3.4	5.6	2.4	3.8	1.6	569.6	569.9	569.3	85	85	98	NE 1	ESE 1	NE 2	5	6	1	.	≡ 17½-20¾
22	2.3	5.4	3.9	3.9	1.8	567.4	567.2	566.2	98	48	66	NE 2	ESE 1	S 2	1	1	0	.	≡ n-7
23	2.9	8.2	3.4	4.8	2.8	565.1	565.7	566.6	85	78	95	W 2	SW 2	WNW 2	6	4	2	.	
24	3.3	7.2	3.6	4.7	2.8	567.5	569.3	**570.4**	90	82	86	NW 1	SSW 1	WSW 2	1	6	1	.	
25	3.8	6.9	4.0	4.9	3.1	570.3	**570.4**	569.9	46	81	48	NNW 2	S 1	SW 1	2	1	1	.	≡ 14-16½
26	3.4	5.8	2.2	3.8	2.1	568.5	568.4	568.2	100	96	100	WSW 2	WSW 1	WNW 2	10≡	10≡	10≡	4.5	● ✳ n (26./27.), ≡ 6¾-n mU
27	1.0	1.8	−2.5	−0.1	−1.7	566.2	565.4	565.0	98	98	100	W 1	N 1	N 2	10≡●*	10≡●	10≡*	10.3	● ✳ n-9, 10¾-11¼, *)
28	−5.3	−5.3	−5.1	−5.2	−6.7	563.1	563.1	563.9	100	100	100	NW 2	WNW 2	N 2	10≡	10≡*	10≡*	14.7	✳ 7¾-16½, 20¾-n, *)
29	−7.0	−4.6	−5.3	−5.6	−7.0	564.9	566.1	566.4	100	100	97	NNE 2	NE 2	E 2	10≡	10≡	0	.	≡ n-20 mU
30	−0.2	2.5	2.6	1.6	0.3	567.3	568.0	568.1	46	34	**22**	NE 2	NE 3	N 2	1	1	0	.	
Mittel	1.8	4.2	1.6	2.5		565.1	565.6	565.8	85	84	87				6.2	6.6	5.6	Summe 238.8	

September 1955
Beobachter: *E. Chiesa*

St. Gotthard (Hospiz)

$\lambda = 8°\,34'$, $\beta = 46°\,33'$,
$H_b = 2095$ m, $G = -0.25$ mm.

1	5.0	5.7	4.8	5.2	−1.5	591.0	592.4	594.2	98	98	96	NW 1	NW 2	NW 2	10●≡	10●≡	10●≡	0.6	● ≡ n-n
2	4.9	11.2	7.3	7.8	1.2	594.3	594.3	594.6	77	41	89	NW 0	NW 1	NW 0	0	0	0	.	
3	5.6	11.8	9.0	8.8	2.3	594.4	594.6	594.8	88	52	96	NW 0	NW 0	NW 1	0	0	10≡	.	≡ 19¼-n, ⏢ I
4	8.2	**16.0**	9.1	11.1	4.7	594.7	594.8	595.2	92	65	83	NW 0	SE 0	NW 0	0	3	6	0.2	● 15¾-16¼, ⏢ I
5	7.8	5.2	8.0	10.3	4.0	594.7	594.8	594.5	91	64	87	NW 0	SE 1	NW 1	6	6	10	13.1	● 15¼-16¾, ◺ 15¼
6	6.3	8.4	4.4	6.4	0.2	593.8	593.5	593.2	97	94	98	NW 1	NW 1	NW 2	10≡	10	10≡	4.2	● 17-n mU, ≡ n-a, 16½-n
7	4.1	6.7	5.4	5.4	0.7	592.0	592.3	592.7	98	96	98	NW 1	SE 1	SE 0	9	10●≡	10●≡	**30.3**	● 11¼-n, ≡ 12½-n mU
8	6.3	7.9	7.3	7.2	1.2	593.7	594.9	596.3	98	98	100	SE 1	SE 1	SE 0	10●≡	10●≡	10≡	7.8	● n-n mU, ≡ n-n
9	7.0	8.6	6.9	7.5	1.6	596.5	596.5	595.4	96	95	94	SE 0	SE 1	SE 0	10≡	10●≡	10●≡	20.6	● 13-n, ≡ n-n
10	4.7	3.0	2.8	3.5	−2.3	592.9	592.5	591.7	98	99	98	NW 1	NW 2	NW 3	10●≡	10●≡	10●≡	11.6	● ≡ n-n mU, ⬋ III
11	2.9	6.9	4.8	4.9	−0.8	591.9	593.1	594.9	98	78	91	NW 1	NW 1	NW 1	10≡	6	10≡	.	≡ n-9, 16½-n
12	6.0	10.9	7.2	8.0	2.4	595.4	595.3	594.4	89	71	98	SE 0	SE 1	SE 1	3	9	6	.	
13	4.9	3.7	1.1	3.2	−2.3	591.7	591.2	588.8	98	97	98	NW 1	NW 1	NW 2	10●≡	10●≡	10●≡	1.6	● ≡ n-n
14	0.8	5.4	−1.6	1.5	−3.9	584.3	583.0	**581.9**	94	44	61	NW 1	NW 1	NW 3	0	6	0	2.0	✳ 16½-18, n (14./15.), ⬋ III, ⌙ I
15	**−4.2**	−0.8	−2.2	−2.4	−7.7	582.7	584.4	586.1	94	82	79	NW 2	NW 2	NW 0	6	10	10*	0.4	✳ 8½-a mU, 19¼-n
16	−3.0	1.6	−1.0	−0.8	−5.9	589.3	592.4	595.1	98	77	98	NW 2	NW 1	NW 2	10*≡	0	3	0.0	✳ ≡ n-8½
17	2.6	9.0	3.8	5.1	0.1	595.5	596.6	596.5	39	45	86	NW 1	SE 1	NW 0	9	6	0	.	
18	2.7	8.0	4.5	5.1	0.2	595.9	596.1	596.2	88	64	98	NW 1	NW 1	NW 1	0	0	10≡	.	≡ 17¾-n, ⌙ I
19	3.0	10.0	5.7	6.2	1.4	596.2	596.9	597.6	86	82	95	NW 0	SE 1	SE 1	0	0	9	.	
20	4.8	10.7	6.8	7.4	2.8	598.1	599.1	599.0	98	78	98	SE 0	SE 1	SE 0	10≡	0	10≡	.	≡ n-a, 20-n
21	5.9	9.5	5.4	6.9	2.4	598.3	598.0	597.9	90	65	85	NW 1	NW 1	NW 1	0	6	0	.	≡ 18-19¾
22	4.9	11.2	5.8	7.3	2.9	596.4	595.7	595.2	67	41	88	NW 0	NW 0	SE 0	0	0	0	.	
23	4.0	11.0	6.6	7.2	3.0	594.1	594.1	594.5	97	65	96	SE 0	SE 1	NW 1	0	3	0	.	
24	6.0	11.1	5.6	7.6	3.5	595.7	597.3	**599.0**	80	49	97	NW 1	NW 1	NW 0	0	0	0	.	
25	6.8	12.0	6.8	8.5	4.6	**599.0**	598.9	598.5	72	**37**	97	NW 0	NW 0	NW 0	0	0	0	.	
26	6.5	8.0	5.2	6.6	2.8	597.6	597.2	596.6	98	89	98	NW 0	NW 1	NW 1	9	9	10●≡	3.3	● 19¾-n, 16½-n mU, ⏢ I
27	4.8	5.0	1.6	3.8	0.2	595.0	594.2	593.7	98	99	98	NW 1	NW 1	NW 2	10≡	10≡	10≡	5.9	● 17¾-n mU, ≡ n-n
28	−2.0	−2.2	−3.8	−2.7	−6.2	592.2	592.2	592.8	98	98	98	NW 2	NW 2	NW 3	10≡	10≡	10≡	6.7	✳ 14½-n mU, ≡⋁⬋ n-n
29	**−4.2**	−2.2	−3.3	−3.2	−6.5	593.8	595.0	595.7	97	95	91	NW 1	NW 2	NW 0	10≡	0	0	.	≡⋁ n-9½
30	−2.2	6.2	0.8	1.6	−1.5	596.3	596.3	596.3	55	60	86	NW 1	NW 1	NW 1	0	0	0	.	⌙ I
Mittel	3.7	7.6	4.2	5.2	—	593.0	594.3	594.4	89	74	92				5.4	5.1	6.1	Summe 108.3	

*) Säntis: **4.** ● 18¾-20½, ◺ 18¾-20¾, ≡ 13½-20 **6.** ● 9-12½ mU, 14¾-15½, 17¼-n, ≡ n-n mU **9.** ≡ 12-n mU **13.** ≡ n-n **14.** ▽ 15¼-17½ mU, ≡⋁ n-n, ⬋ n-16½ **15.** ≡ n-n, ⋁ n-17, ⬋ I **27.** ● 9-16¾, ✳ 16¾-n mU, ≡ 7¾-n **28.** ▽ 16¾-17½, ≡ n-n

$\lambda = 7°\,26'$, $\beta = 46°\,57'$.
$H_b = 572.2$ m, $G = 0.00$ mm.

Bern

Oktober 1955
Beobachter: *Meteorologisches Observatorium*

Tag	Lufttemperatur 7³⁰	13³⁰	21³⁰	Mittel	Abweich. vom Normalst	Luftdruck 7³⁰	13³⁰	21³⁰	Relative Feuchtigkeit 7³⁰	13³⁰	21³⁰	Windrichtung und Stärke 7³⁰	13³⁰	21³⁰	Bewölkung 7³⁰	13³⁰	21³⁰	Niederschlag	Witterung
1	3.1	12.4	8.2	7.9	−3.0	718.1	716.8	716.3	95	61	81	E 0	N 1	NE 1	10■	6	0	.	≡ 1½–8¾. ⊿ III
2	5.2	10.7	6.6	7.5	−3.2	714.6	714.0	713.0	91	69	91	S 0	W 0	S 0	10	10	0	.	⊿ I, III
3	4.7	13.4	9.7	9.3	−1.2	712.3	710.9	710.3	96	66	93	W 0	NW 0	NE 0	10≡	1	9	.	≡ 1½–10¾. ⊿ I, III
4	6.3	13.6	11.4	10.4	0.1	710.9	710.8	712.0	96	69	94	SW 0	W 0	SW 0	7≡	7	10●	10.0	● 15–24, ≡ 2–9, ⊿ I
5	10.6	13.7	9.0	11.1	1.0	713.8	713.9	714.0	93	60	83	SW 0	W 1	WSW 0	9●	6	4	0.3	● 0–8½, Ψ ⊿ III
6	8.3	10.0	6.7	8.3	−1.6	710.4	711.0	713.2	88	72	89	S 0	SW 1	WSW 1	10●	8	10●	**10.9**	● 6¾–11¾, 13¾–13½, 18–22
7	5.4	7.0	6.2	6.2	−3.5	714.5	716.0	717.9	88	78	87	SW 0	SW 1	SE 0	8	10	10	0.2	● 0–6¾ mU, 10½–12½, 17¾–18¾, ⊿ I,
8	2.4	11.3	7.1	6.9	−2.6	716.9	716.7	718.0	95	57	86	E 0	NE 2	N 0	4≡	3	1	.	≡ a–7½, ⊿ I, III [III
9	2.7	10.6	8.9	7.4	−1.9	718.0	716.8	715.6	95	57	69	SE 0	NE 2	NE 2	10≡	3	0	.	≡ 0½–8, ⊿ I
10	6.5	9.6	6.5	7.5	−1.6	712.3	712.3	713.7	88	74	92	N 1	N 1	S 0	10	10	0	.	⊿ I, III
11	7.5	11.5	7.5	8.8	−0.1	713.7	713.6	714.2	91	69	100	SE 0	N 0	N 0	10	5	10≡	.	≡ 20½–23½, ⊿ I, III
12	7.9	11.0	9.1	9.3	0.6	714.9	715.1	716.3	96	77	89	SE 0	N 0	NNE 0	10	10	10	.	≡ 2¼–5, ⊿ I, III
13	9.0	13.1	11.7	11.3	2.8	716.6	716.8	716.7	94	60	76	N 0	NE 2	NE 2	9	7	10	.	⊿ I
14	10.6	13.8	8.3	10.9	2.6	717.8	716.9	716.9	90	68	91	E 0	NE 1	SW 0	9	9	1	.	⊿ I
15	10.0	**14.6**	10.1	11.6	3.5	715.3	712.5	712.1	86	64	92	S 0	SW 0	SE 0	9	3	0	.	⊿ I, III
16	7.1	10.9	8.0	8.7	0.7	711.3	709.5	707.4	95	71	91	SE 0	N 1	NW 0	8	9	10	0.0	≡ 6½–7, ⊿ I
17	8.1	10.3	6.6	8.3	0.5	705.6	704.3	704.9	86	65	89	W 0	WNW 0	N 0	9	10	10	1.8	● 0¼–1¾, 8¼–9, 16½–17¼, 20½–24
18	4.7	8.8	3.8	5.8	−1.8	706.4	706.9	708.1	90	49	90	SE 0	NW 0	N 0	8	6	0	.	● 0–3½, ⊿ III
19	0.8	9.5	5.3	5.2	−2.2	709.0	708.9	709.3	98	57	91	SE 0	WNW 1	SE 0	10≡	2	2	0.0	≡ 5–8½, ⊿ III
20	5.4	10.6	8.0	8.0	0.8	708.2	706.7	703.8	91	67	95	SW 0	SE 0	NNW 0	9	9	9	0.0	●tr 3¾–4, 5–5¼, ⊿ I, III
21	8.2	10.2	8.0	8.8	1.8	**701.1**	702.7	705.2	90	73	92	WSW 1	WNW 0	S 0	8	10	10	0.7	● 2¾–3, 14½–20½, ⊿ I
22	7.1	10.3	6.1	7.8	0.9	707.4	709.0	712.6	73	57	84	WSW 0	SW 2	NE 0	9	8	10●	0.0	●tr 7¾–8¾, 21½–21¾
23	2.1	10.7	4.8	5.9	−0.3	714.1	713.6	714.3	96	60	94	NE 0	NNE 1	E 0	1	1	2	.	⌣ I, ⊿ III
24	0.7	9.5	4.7	5.0	−1.5	714.9	713.7	715.0	97	68	88	NE 0	N 1	SW 0	9	2	8	0.1	●tr 23¾–24, ≡ 4¼–8¼, 9½–9¾, ⊿ I
25	5.0	9.2	5.6	6.6	0.3	716.9	718.2	**719.0**	96	52	84	E 0	NE 1	SE 0	8	5	9	.	●rr 0–4, ⊿ I, Ψ III
26	1.4	11.4	5.3	6.0	−0.1	717.5	715.2	713.2	67	49	95	S 0	S 0	SE 0	5	2	1	.	⌣ I, ⊿ III
27	1.0	13.6	9.7	8.1	2.1	710.2	708.8	708.6	96	51	75	SE 0	W 1	SW 0	6	6	10	0.0	⌣ I
28	9.5	8.9	4.4	7.6	1.8	707.3	707.5	710.3	79	65	67	W 1	W 2	NNE 1	9	9	9	.	●tr 0⅛–1⅛
29	−2.6	5.6	0.0	1.0	−4.6	712.0	710.4	710.6	94	52	82	NE 0	N 1	N 0	1	1	0	.	⌣ I
30	**−3.3**	7.0	2.0	1.9	−3.6	709.4	707.8	707.7	95	**48**	91	SE 0	NE 0	NE 0	1	1	9	.	
31	−0.3	5.2	2.3	2.4	−2.9	706.7	705.9	705.9	94	62	75	N 1	N 2	NNE 2	9	9	10	.	⌣ I
																		Summe	
Mittel	5.0	10.6	6.8	7.5	—	712.2	711.7	712.1	92	63	87				7.9	6.1	5.9	24.0	

$\lambda = 6°\,57'$, $\beta = 47°\,0'$,
$H_b = 487.3$ m, $G = 0.02$ mm.

Neuchâtel

Oktober 1955
Beobachter: *Observatorium*

1	5.8	14.6	9.5	10.0	−1.8	725.8	724.6	723.8	96	62	97	E 0	NE 2	NE 0	10≡	6	5	.	≡ n–9¾
2	9.6	13.4	7.8	10.3	−1.3	722.2	721.6	720.7	79	71	89	E 2	SE 0	SE 0	10	9	0	.	
3	7.8	12.9	9.7	10.1	−1.3	719.9	718.5	718.0	94	77	93	SE 0	SE 0	N 0	10	4	2	.	
4	9.9	12.3	11.6	11.3	0.1	718.4	718.5	719.7	94	86	97	N 0	SE 0	W 0	10	10	10	10.2	● 16½–24 mU
5	10.8	16.5	10.2	12.5	1.5	721.1	721.5	721.7	90	48	73	W 1	W 2	W 1	9	3	2	1.2	● 0–6 mU
6	9.6	12.8	6.7	9.7	−1.1	717.9	718.6	720.8	89	60	90	W 2	W 3	W 1	10●	4	10●	**13.0**	● 5½–9, 10¾–11¾, 19–26, ⌿ a–p
7	6.2	8.2	7.1	7.2	−3.4	722.0	723.7	725.3	85	81	96	W 1	W 1	N 0	8	10	10	1.6	● 0–2¾, 3¼–3½, 4¾–5½, 8¾–10 mU,
8	5.0	13.7	9.5	9.4	−1.0	724.5	724.2	725.5	97	63	73	NE 0	E 3	NE 1	2	0	0	.	⌿ a–p [16, 19–21
9	6.4	13.7	10.4	10.2	0.0	725.6	726.2	723.1	84	54	68	NE 3	NE 3	NE 1	4	0	0	.	⌿ n–p
10	8.4	12.4	8.1	9.6	−0.4	719.8	720.0	721.2	85	68	93	NE 2	NE 2	NE 0	10	8	10	.	
11	8.3	12.4	8.4	9.7	−0.1	721.5	721.2	721.7	93	76	92	NE 0	S 1	NE 0	10	10	0	.	
12	9.2	11.2	9.3	9.9	0.3	722.3	722.9	723.8	94	87	88	NE 0	E 0	NE 0	10	10	9	.	
13	10.1	13.6	12.7	12.1	2.7	724.2	724.3	725.3	90	74	74	NE 0	NE 2	NE 1	9	10	10	.	
14	11.9	**17.0**	11.5	13.5	4.3	725.4	724.6	724.4	80	62	86	NE 1	E 2	NE 1	10	2	0	.	
15	8.1	15.4	13.3	12.3	3.3	722.9	720.2	719.6	93	68	65	N 0	SE 0	W 2	4	0	0	.	
16	9.2	9.9	8.6	9.2	0.4	718.7	717.2	714.9	92	88	92	NE 0	NE 1	NE 0	10	10	10	.	
17	8.8	9.8	8.2	8.9	0.3	712.9	711.5	712.4	69	67	48	W 1	NW 3	NW 2	10	10●	10	0.1	● 13½–14, ⌿ 11½–21¾
18	4.2	11.4	6.9	7.5	−0.9	713.8	714.5	715.8	69	54	77	NW 0	S 1	NE 0	3	8	9	.	
19	2.1	11.2	5.3	6.2	−2.0	716.6	716.7	716.9	91	59	90	NE 0	SE 1	SE 0	3	1	0	2.3	
20	6.2	8.8	8.4	7.8	−0.3	716.1	714.2	710.9	97	96	96	E 0	E 0	E 0	10	10	10	4.0	● 4¾–6½, 7½–8¾, 10¼–12¾
21	9.3	10.7	9.6	9.9	2.0	**708.3**	709.9	712.4	93	75	65	SW 2	SW 3	W 1	10●	10	10	1.0	● 2½–4½, 6–8¾, ⌿ a–p
22	6.7	9.7	6.8	7.7	0.0	715.0	716.7	720.3	87	65	84	W 1	SW 2	SW 0	9●	9	10	.	● 7⅛–7½
23	3.0	10.8	5.0	6.3	−1.2	721.8	721.5	721.9	92	70	80	NE 0	SE 1	NE 0	2	0	2	.	
24	1.9	10.4	8.1	6.8	−0.6	722.7	721.6	722.5	95	73	66	NE 0	E 1	N 1	10≡	1	8	0.1	≡ n–11½ mU, ⌣ I
25	5.7	12.4	7.1	8.4	1.2	724.7	725.9	**726.6**	88	45	71	NE 0	E 2	NE 0	6	5	4	.	
26	2.2	11.4	6.1	6.6	−0.4	725.3	722.9	720.6	93	63	88	NE 0	SE 0	NW 0	3	0	0	.	
27	2.7	14.6	10.2	9.2	2.3	717.9	716.5	715.8	97	59	73	NW 0	SW 2	W 1	10≡	3	8	0.9	≡ n–9¾, Ψ III
28	9.2	8.5	4.7	7.5	0.8	714.8	714.8	717.3	80	67	53	SW 2	N 4	NW 3	9	9	1	.	● 5⅛–7, ⌿ 11–22¼, ⌿ II,
29	0.7	7.9	2.0	3.5	−3.0	719.5	718.1	718.7	67	**44**	65	NE 1	NE 2	NE 0	0	0	0	.	[17–20
30	**−2.3**	7.3	3.1	2.7	−3.7	717.3	715.8	715.3	90	58	81	N 0	SE 1	E 0	1	1	3	.	
31	2.2	6.6	3.7	4.2	−2.0	714.2	713.1	713.5	80	51	64	NE 1	NE 3	NE 3	10	9	5	.	⌿ a–n
																		Summe	
Mittel	6.4	11.7	8.0	8.7	—	719.8	719.4	719.7	88	67	80				7.5	5.5	5.1	34.4	

Oktober 1955
Beobachter: *Frl. H. Nager*

Altdorf

$\lambda = 8° 39'$, $\beta = 46° 53'$,
$H_b = 456.3$ m, $G = -0.05$ mm.

Tag	Lufttemperatur					Luftdruck			Relative Feuchtigkeit			Windrichtung und Stärke			Bewölkung			Niederschlag	Witterung
	7^{30}	13^{30}	21^{30}	Mittel	Abweich. vom Normalst	7^{30}	13^{30}	21^{30}	7^{30}	13^{30}	21^{30}	7^{30}	13^{30}	21^{30}	7^{30}	13^{30}	21^{30}		
1	7.8	12.2	7.8	9 3	−2.6	728.6	727.1	726.1	85	71	92	E 0	NW 0	E 0	10	5	10	.	
2	7.2	12.4	7.6	9.1	−2.7	724.4	723.8	722.7	87	68	74	E 0	N 0	W 0	7	5	0	.	
3	5.9	14.2	9.3	9.8	−1.8	722.1	720.3	720.5	98	69	90	NW 0	NW 0	SE 0	3	1	0	.	
4	7.1	15.2	11.8	11.4	0.0	721.0	719.9	722.2	95	60	95	S 0	NW 1	NW 0	7	8	10	2.1	● n (4./5.)
5	11.3	13.5	9.6	11.5	0.3	723.4	723.9	724.3	100	76	92	NW 0	NW 1	NW 0	10●	8	8	3.1	● n-a, p
6	8.7	12.2	9.3	10.1	−0.9	720.3	719.7	722.6	89	85	71	E 0	NW 0	NW 0	10	10●	10	7.5	● 9½-p
7	7.0	8.9	7.4	7.8	−3.1	723.8	725.3	727.9	90	61	90	E 0	NE 0	NW 0	10	10	10	0.5	● n-a mU
8	6.2	12.3	6.9	8.5	−2.2	727.3	726.9	728.6	98	66	88	NE 0	N 0	N 0	8	3	2	.	
9	4.2	11.2	6.7	7.4	−3.1	728.7	727.3	725.8	92	67	95	E 0	NW 0	NW 0	3	0	2	.	
10	7.3	13.0	7 9	9.4	−0.9	722.7	721.5	723.7	99	73	67	NE 0	NW 1	N 0	7	7	6	.	
11	8.9	11.5	7.5	9.3	−0.9	723.2	723.7	724.2	98	71	95	N 0	NW 0	NE 0	10	7	10	.	
12	8.8	11.3	10.5	10.2	0.2	725.0	725.1	726.3	98	79	97	N 0	NE 0	N 0	10	10	10	0.0	● tr n (12./13.)
13	10.5	12.4	10.9	11.3	1.5	726.5	727.2	728.0	100	77	96	N 0	NW 0	NW 0	10	10	10	.	
14	9.7	14.3	10.2	11.4	1.7	728 5	727.1	726.8	84	65	85	NE 1	N 0	NE 0	8	4	5	.	
15	8.2	13.6	9.0	10.3	0.8	725.7	722.2	722.3	89	67	90	E 0	NE 0	N 0	3	1	0	.	
16	10.0	11.7	10 2	10.6	1.3	721.1	718.8	717.0	96	81	97	N 0	NW 1	NW 0	10	10	10	.	
17	8.6	10.3	7.6	8.8	−0.4	715.9	714.0	715.1	95	77	91	NE 0	NW 0	NW 0	10	10	10	2.0	● 19½-n
18	6.6	7.8	6.8	7.1	−1.9	716.5	717.8	718.7	93	83	91	W 0	W 0	NW 0	10	10	10	.	
19	3.9	10.8	7.4	7.4	−1.5	719.1	718.8	719.2	91	62	81	W 0	NW 0	NW 0	0	0	0	.	
20	14.8	**17.1**	16.4	16.1	7.4	717.1	715.9	714.2	49	40	**38**	S 2	SE 3	S 2	4	7	10	.	↙ 4½-21½
21	15.3	13.9	8.6	12.6	4.1	**709 5**	710.6	716.4	46	65	92	NE 2	N 1	NW 0	8	10	10●	**45.2**	● 15½-n
22	5.0	8.2	4 8	6.0	−2.4	718.8	719.7	723.5	95	81	89	E 0	SE 0	NE 0	10●	9	7	3.0	● n-a
23	3.2	10.1	4.7	6.0	−2.2	724.5	723.6	724.6	91	61	80	E 0	W 0	NE 0	5	4	0	.	
24	2.4	8.7	7.2	6.1	−2.0	725.2	724.2	725.0	87	70	91	N 0	NW 0	NW 0	2	3	10●	2.8	● p-n
25	7.4	9.1	6.9	7.8	−0.1	726.7	728.5	**729.3**	75	71	85	NW 1	W 1	W 0	10●	7	10	1.6	● n-a
26	4.2	10.9	5.2	6.8	−1.0	727.8	724.7	723.4	89	64	90	NW 0	N 0	N 0	5	2	0	.	
27	3.8	10.9	7.3	7.3	−0.3	720.8	718.9	718.9	87	58	76	NE 0	NW 0	SE 0	4	3	6	.	
28	8.1	11.2	5.1	8.1	0.6	716.5	715.9	720.7	98	65	77	SE 0	NW 2	NW 1	8	10	10●	3.9	● 15¾-n
29	1.1	6.3	0.9	2.8	−4.5	722.9	721.2	721.3	90	57	83	NW 0	NW 0	SE 0	3	0	0	.	
30	**−1 0**	6.7	1.5	2.4	−4.8	720.0	718.6	717.5	86	67	85	E 0	SE 0	NW 0	0	2	6	.	
31	2.2	5.7	3.8	3.9	−3.1	717.7	716.7	716.7	87	77	92	NE 0	NW 0	NW 0	10	10	10	.	
																		Summe	
Mittel	6.9	11.2	7.6	8.6	—	722.3	721 6	722.4	89	69	86				6.9	6.0	6.5	71.7	

Oktober 1955
Beobachter: *Observatoire*

Genève

$\lambda = 6° 9'$, $\beta = 46° 12'$,
$H_b = 405.0$ m, $G = -0.03$ mm.

1	8.0	13.5	11.2	10.9	−1.4	732.5	730.4	730.0	100	61	95	NE 1	NE 1	E 0	10	2	2	.	
2	7.3	12.0	9.6	9.6	−2.5	729.3	728.3	727.5	100	76	92	E 0	NNE 1	E 0	10	6	4	.	
3	7.2	14.0	13.6	11.6	−0.3	727.0	725.6	725.0	100	89	93	E 0	NNE 1	E 0	10≡	1	2	0.2	● tr n (3./4.), ≡ n-a
4	8.6	14.4	13.8	12.3	0.5	725.3	725.9	727.4	100	86	98	ENE 0	SSW 1	SW 0	10≡	10●	10●	11.0	● 9-9½, 12¾-n, ≡ n-a
5	12.0	12.0	13.5	12.5	0.9	729.2	728.3	728.1	100	95	94	ENE 0	ENE 1	E 0	10●	3	8	2.2	● n-7½, n (5./6.)
6	9.8	13.8	11.2	11.6	0.2	726.5	727.2	728.4	100	74	71	SSW 2	S 1	SSE 1	10	8	8	3.2	● n (6./7.), ↙ 21½
7	6.8	10.8	8 8	8.8	−2.4	729.1	730.3	731.7	85	70	86	E 0	E 0	NE 0	8	10	9	.	
8	8.3	12.4	11.5	10.7	−0.3	731.5	730.6	731.4	80	65	72	NE 1	NNE 2	NNE 2	8	2	1	.	
9	8.4	9.1	8.0	8.5	−2.3	731.0	729 3	728.7	88	86	91	NE 1	E 1	E 1	8	2	1	.	
10	9.2	12.0	8.4	9.9	−0.8	727.1	726.7	728.3	84	65	92	NNE 0	NE 0	NE 0	10	10	9	.	
11	9.0	12.0	11.5	10.8	0.3	728.5	727.0	727.8	94	65	70	ESE 0	NE 0	NE 0	10	1	9	.	
12	9.2	13.1	12.0	11.4	1.1	729.8	729.7	730.4	95	78	87	ENE 0	N 0	NE 0	10	10	10	.	
13	11.8	**15.8**	13.4	13.7	3.6	731.1	730.8	731.9	86	71	82	NNE 0	N 1	N 1	10	6	10	.	
14	12.2	15.4	11.5	13.0	3.1	732.1	731.2	731.4	90	80	88	NE 0	NE 0	E 0	10	3	9	.	
15	10.0	15.0	13.0	12.7	2.9	730.1	728.4	726.6	86	50	77	NE 0	N 0	E 0	8	1	10	.	
16	8.0	14.6	12.4	11.7	2.1	726.3	724.5	722.3	86	80	95	S 1	SSW 1	SSW 1	10	10	10	.	
17	11.6	14.0	8.6	11.4	2.0	720.8	719.8	719.5	90	78	89	SSW 1	SSW 2	SE 1	10	10	10●	1.0	● p-n
18	6.8	11.8	4.8	7.8	−1.4	720.9	721.6	723.1	88	51	93	NNE 1	NNE 1	NNE 1	2	2	2	.	
19	1.8	11.0	7.8	6.9	−2.1	724.3	723.4	723.9	96	59	83	NE 1	NNE 1	NNE 1	1	0	0	5.0	⌴ I
20	8.0	12.0	10.0	10.0	1.1	723.0	720.9	717.8	91	83	92	E 1	NNE 1	ENE 1	10●	5	9	**12.2**	● 2½-10¾, 23½-n
21	10.0	13.2	10.0	11.1	2.4	**717.4**	717.6	721.0	92	71	89	SE 1	S 1	SSE 1	10●	10	9	2.2	● n-10¼, 18½-18¾
22	8.8	11.2	9.0	9.7	1.2	723.4	724.7	726.6	76	61	89	SSE 1	SSE 1	E 0	8	10	10	1.4	∀ p
23	4.5	9.6	7.7	7.3	1.0	728.4	728.3	728.8	87	66	89	ENE 0	NNE 1	NNE 1	2	2	6	.	
24	5.8	10.7	9.6	8.7	0.5	729 2	727.9	729.2	91	57	86	NE 1	NNE 1	NNE 1	10	5	5	.	
25	9.0	11.4	8.1	9.5	1.5	732.1	732.4	**733.3**	65	53	74	NNE 1	NNE 2	NNE 1	2	1	0	.	
26	2.0	11.8	5.2	6.3	−1.5	732.3	729.7	727.8	93	**49**	84	NNE 1	**NNE 1**	NNE 1	0	0	2	.	
27	4.6	**15 8**	13.2	11.2	3.5	725.9	724.2	723.5	87	76	86	NNE 1	**S 1**	S 2	1	5	9	.	
28	11.6	13.8	7.8	11.1	3.6	723.3	723.3	724.7	71	58	60	S 1	**S 1**	NNE 1	7	7	5	.	
29	3.0	8.4	4.0	5.1	−2.2	725.9	725.2	726.3	73	62	83	NNE 1	NNE 1	E 0	1	1	2	.	
30	**−0.2**	12.2	5.2	5.7	−1.5	725.6	723.8	723.4	89	52	81	NNE 1	NNE 1	E 0	5	2	3	.	
31	5.0	7.2	5.7	6.0	−1.0	721.2	719.8	720.1	78	63	88	NE 1	NNE 1	NNE 1	2	10	10	0.0	
																		Summe	
Mittel	7.7	12.4	9.7	9.9	—	727.1	726.4	726.6	88	69	85				7.2	5.0	6.2	38.4	

$\lambda = 8°\ 34'$, $\beta = 47°\ 23'$, $H_b = 569.4$ m, $G = 0.03$ mm

Zürich

Oktober 1955

Beobachter: *Meteorologische Zentralanstalt*

Tag	Lufttemperatur					Luftdruck			Relative Feuchtigkeit			Windrichtung und Stärke			Bewölkung			Niederschlag	Witterung
	7^{30}	13^{30}	21^{30}	Mittel	Abweich. vom Normalst	7^{30}	13^{30}	21^{30}	7^{30}	13^{30}	21^{30}	7^{30}	13^{30}	21^{30}	7^{30}	13^{30}	21^{30}		
1	5.6	14.2	8.1	9.3	−1.2	718.2	717.6	716.8	98	60	93	S 1	ENE 1	NE 1	10≡	6	0	.	≡ 1¾-8½, 8½-11¼ mU, ⌓ l
2	7.7	13.3	7.7	9.6	−0.7	714.9	713.8	712.9	88	60	94	ESE 1	SE 1	SE 0	9	5	0	.	≡ 1½-9¾ mU, ⌓ l
3	7.3	**16.7**	9.9	11.3	1.2	712.0	710.9	710.5	97	53	95	S 0	WNW 1	ESE 1	10≡	0	1	.	≡ n-9½, ⌓ l
4	8.5	14.5	10.6	11.2	1.3	711.0	710.8	712.5	98	64	97	SE 1	WSW 1	NW 0	10≡	10	10●	**12.5**	● 17½-24, ≡ 5¾-9½, ⌓ l
5	10.7	15.3	8.5	11.5	1.8	713.6	713.8	713.8	97	63	92	W 1	S 1	ENE 1	10●	8	1	2.6	●0-9, ≡ 6-7½
6	9.6	9.9	8.3	9.3	−0.3	709.6	710.3	712.4	81	73	67	SSW 1	WSW 1	SSW 2	10●	5	10	11.7	● 7¼-11¼, 13-13½, 23¼-24½
7	5.9	7.3	6.6	6.6	−2.8	714.0	715.3	717.8	84	72	81	SW 1	SW 2	WSW 1	8	10	10	0.4	● 4-4¾, 15-18¼, ⌿ 10
8	5.3	12.8	6.9	8.3	−0.9	717.6	717.9	718.8	96	55	90	NE 1	NE 2	NNE 1	10	3	0	.	⌓ l
9	5.4	14.3	8.1	9.3	0.3	718.9	717.6	716.1	93	50	79	NNE 1	NE 2	NNE 2	8	1	0	.	⌓ l
10	6.7	11.0	7.7	8.5	−0.4	713.0	712.5	713.7	88	72	98	NNE 1	NNE 1	NE 1	10	8	1	.	⌓ l
11	8.6	10.4	9.0	9.3	0.6	713.6	713.7	714.4	92	77	91	NE 1	WSW 1	N 0	10	10	10	.	⌓ l
12	8.6	9.8	9.3	9.2	0.7	714.9	715.5	716.5	97	87	91	NE 1	W 1	E 0	10≡	10	10	.	≡ n-11
13	9.1	13.5	11.6	11.4	3.1	716.9	717.3	718.2	98	68	85	NNE 1	NNE 1	ENE 1	10	10	10	.	⌓ l
14	10.5	13.1	11.5	11.7	3.6	718.2	717.4	716.9	97	66	90	ENE 1	NNE 1	NNE 1	10	9	9	.	⌓ l
15	10.7	16.3	11.1	12.7	4.7	715.1	712.6	712.2	80	57	93	SSW 1	WNW 1	WNW 1	10	2	1	1.0	⌓ l
16	7.7	7.4	7.0	7.4	−0.4	711.7	709.9	707.5	97	92	95	NNE 1	NE 1	WNW 1	10●	10	10	0.5	● 6¼-8¼, ☽ 10¼-12¼
17	6.3	7.7	5.4	6.5	−1.1	705.6	704.8	705.2	74	65	94	WNW 1	NW 1	SSE 1	10	10	10	1.5	● 16½-20¼
18	4.3	8.4	4.2	5.6	−1.8	706.5	707.0	708.3	83	56	86	SSW 1	SSE 1	NNE 1	5	9	9	.	
19	3.1	10.3	4.6	6.0	−1.3	708 9	709.2	709.3	98	59	98	E 1	ENE 1	S 1	10	1	0	.	⌓ l
20	4.6	12.2	9.1	8.6	1.5	708.1	706.9	703.2	92	56	81	NE 2	WSW 1	ENE 1	9	9	10	.	⌓ l
21	9.2	11.5	8 3	9.7	2.8	**698.9**	702.4	705.1	81	67	91	ENE 1	WSW 1	S 1	9	9	10	2.2	● 17½-23½ mU
22	6.5	11.5	5.5	7.8	1.1	707.6	709.4	712.9	89	56	89	S 1	S 1	E 1	10	9	8	0.0	● 1-2, ●tr 17½
23	3.6	10.1	4.0	5.9	−0.7	714.5	714.0	714.5	98	67	98	SE 1	ENE 1	ENE 0	9	2	0	0.1	⌓ l
24	2.0	8.9	5.7	5.5	−0.9	715.3	714.1	715.0	98	70	97	NE 1	SSW 1	WSW 0	10≡	4	10	2.1	● 23-24, ≡ n-11
25	5.4	8.8	6.5	6.9	0.7	717.1	718.4	**719.0**	91	62	83	WNW 1	SE 1	SSE 1	10	9	10●	0.0	● 1-4, ●tr 21½
26	3.6	13.3	7.2	8.0	2.0	717.1	714.9	712.7	96	49	85	S 1	SSW 1	SSW 1	3	1	4	.	
27	4.4	13.4	10.5	9.4	3.5	710.0	708.7	708.4	96	49	69	S 1	WSW 1	SW 1	2	4	9	1.6	
28	7.9	6.2	3.1	5.7	0.0	707.2	707.2	711.0	91	74	71	W 1	W 2	W 1	10●	10	5	1.3	● 0¾-2, 7½-9¼, ⌿ n-5¾
29	−1.7	6.8	−0.4	1.6	−4.0	712.5	711.5	710.8	95	**44**	80	NE 1	NE 1	NE 1	1	1	0	.	⌓ l
30	**−2.2**	6.5	1.8	2.0	−3.4	709.4	708.5	708.1	98	53	88	NE 1	WSW 1	NNE 1	3	4	8	.	≡ 6½-10½ mU, ⌓ l
31	0.8	6.5	1.7	3.0	−2.3	707.4	706.8	706.9	96	52	81	NNE 1	NE 1	NNE 2	10	8	9	.	⌓ l
																		Summe	
Mittel	6.0	11.0	7.1	8.0	—	712.2	712.0	712.3	92	63	88				8.6	6.4	6.0	37.5	

$\lambda = 6°\ 32'$, $\beta = 46°\ 51'$, $H_b = 1588$ m, $G = -0{,}13$ mm

Chasseron

Oktober 1955

Beobachter: *J. Liardon*

1	4.8	7.3	4.0	5.4	—	633.9	634.0	633.1	27	55	100	E 2	E 1	E 2	6	3	4	.	
2	1.4	6.6	5 0	4.3	—	630.7	631.0	630.6	100	88	90	E 1	WNW 1	S 2	3	3	0	.	≡ a mU
3	5.6	8.8	7.6	7.3	—	629.4	629.2	629.0	92	82	66	WSW 1	WNW 0	SSE 0	0	7	9	.	
4	5.2	6.6	4.8	5.5	—	628.8	629.1	629.5	100	84	100	— 0	S 0	SSW 1	9	10	10●≡	5.1	☆ 9, ☽ 14-15¾, ● 15¾-n, ≡ 14½-n
5	3.2	4.2	2.8	3.4	—	630.7	631.4	631.4	100	78	98	NW 2	W 2	W 4	10	5	3	2.0	● n (5./6.), ≡ n-12, ⌿ III
6	4.0	1.6	−0.2	1.8	—	628.1	628.6	628.9	100	100	100	WSW 3	WNW 2	W 3	10●≡	10≡	10*≡	**13.8**	● 6-9½, ✶ 18-n, ≡ 7-14, 17½-n,
7	−1.8	−0.8	−0.2	−0.9	—	630.0	631.4	632.8	100	100	100	W 1	WNW 2	WNW 1	10≡	10≡	10≡	2.6	✶ ● 8½-14 mU, ☽ 14-18½, ⊠
8	−1.0	4.8	4.2	2.7	—	631.6	633.2	633.9	100	76	45	E 1	E 1	E 2	3	3	2	.	[≡ n-n ⊠
9	3.4	6.0	3.0	4.1	—	633.2	633.4	632.1	43	38	87	E 2	E 2	E 2	3	3	2	.	
10	−1.0	7.8	5.6	4.1	—	628.2	629 4	631.9	100	46	69	E 2	SSW 1	NNE 1	10≡	7	3	.	≡ n-11½
11	7.8	**11.0**	8.2	9.0	—	630.9	631.6	631.8	60	59	61	E 0	W 1	E 0	3	3	2	.	
12	7.2	10.0	6.0	7.7	—	632.1	632.7	633.2	63	79	91	E 1	N 0	E 1	4	5	4	.	
13	3.8	5.0	3.8	4.2	—	633 2	634.0	634.4	100	100	100	N 1	NE 0	E 0	10≡	10	10≡	.	≡ n-9¾, 15½-n
14	3.2	7.0	5.0	5.1	—	634.1	**634.5**	633.8	100	76	100	E 2	E 1	E 2	10≡	2	10≡	.	≡ n-8¾, 20-n
15	8.8	**11.0**	6.0	8.6	—	632.6	631.6	630.5	31	74	100	— 0	NE 1	W 1	2	3	10	.	≡ 19¾-n
16	3.4	4.1	0.8	2.8	—	628.5	627.1	625.2	100	100	100	E 1	W 0	W 1	6	10≡	10≡	0.0	☽ 19½, ≡ 7½-n
17	0.2	−0.4	−3.2	−1.1	—	622.8	621.9	621.6	100	100	100	W 2	WNW 2	W 2	10≡	10≡	4	0.3	☽ a-p mU, ≡ 6¾-n mU
18	−4.0	−1.0	−2.4	−2.5	—	622.5	623.4	624.4	100	100	97	W 1	W 1	W 0	5	7	6	.	
19	−2.3	6.0	5.0	2.9	—	624.8	625.9	626.2	82	47	38	SW 1	S 1	SSW 2	2	2	4	4.2	● n (19./20.) mU, ⌓ l
20	3.0	5.2	5.8	4.7	—	625.2	624.4	622.2	92	84	88	S 2	S 2	SSE 1	10●	9	7	7.6	● 6¾-10½, ≡ 9½-11½
21	1.8	2.0	0.2	1.3	—	**619.5**	620.5	621.9	100	100	100	W 3	W 2	WNW 2	10●≡	10●≡	10≡	5.8	● n-9, 9-14 mU, ≡ n-n mU, ⌿ n-n
22	−1.4	−1.2	−2 0	−1.5	—	623.8	625.4	628.1	100	100	100	W 2	WSW 3	W 2	10≡	10	10	0.0	✶ n-6¾, ✶ fl a-p mU, ≡ n-n ⊠
23	−1.6	2.0	1.0	0.5	—	629.5	630.3	630.5	100	78	67	SSE 1	SSE 0	E 1	10≡	4	3	.	≡ n-a [mU, ⌿ n-n
24	0.6	3 4	−1.6	0.8	—	630.4	630.5	630.7	62	74	100	E 1	NE 0	N 1	2	4	10≡	.	≡ 15½-n
25	−1.6	0.0	−1.4	−1.0	—	631.2	633.8	**634.5**	100	100	95	N 0	NE 0	NE 1	10≡	9	2	.	≡ n-8½, ⌓ l
26	4.9	9.2	7.2	7.1	—	633.5	632.8	630.9	62	44	38	E 1	NNW 0	WSW 1	4	2	3	.	
27	4.6	3.8	3.1	3.8	—	627.4	626 9	626.2	**26**	94	85	W 3	W 3	W 2	5	6	6	0.0	⌿ n-n mU
28	2.4	−0.8	−4.0	−0.8	—	624 9	624.4	625.1	100	100	100	W 2	W 2	N 3	10≡	10△≡	10≡	3.4	△ 11¾-15½ mU, ≡ n-n,
29	**−6.4**	−1.0	−3.0	−3.5	—	626.1	626.1	625.9	83	44	46	E 1	E 1	E 1	2	2	2	.	[⌿ n-n mU
30	0.6	4.2	1.0	1.9	—	624.7	624.8	624.5	5)	68	90	W 2	NW 1	S 0	4	4	6	.	
31	−0.4	−1.0	−4.8	−2.1	—	622.6	621.7	621.5	88	74	10)	E 1	E 2	E 2	7	8	5	0.0	*) 6. ⌿ n-n mU
																		Summe	
Mittel	1.9	4.2	2.2	2.8	—	628.5	628.9	628.9	83	79	85				6.4	6.2	6.0	44.8	

Oktober 1955
Beobachter: *Stationspersonal Rh. B.*

Bever

$\lambda = 9° 53'$, $\beta = 46° 33'$,
$H_b = 1711.8$ m, $G = -0.23$ mm

Tag	Lufttemperatur					Luftdruck			Relative Feuchtigkeit			Windrichtung und Stärke			Bewölkung			Niederschlag	Witterung
	7^{30}	13^{30}	21^{30}	Mittel	Abweich. vom Normalst	7^{30}	13^{30}	21^{30}	7^{30}	13^{30}	21^{30}	7^{30}	13^{30}	21^{30}	7^{30}	13^{30}	21^{30}		
1	-5.5	13.9	5.2	4.5	-0.8	625.0	623.1	624.7	100	24	70	NE o	NE 1	NE o	1	1	1	.	⌴ I
2	-4.8	12.2	1.0	2 8	-2.4	623.9	622.2	623.2	100	48	100	NW o	SW 2	SW o	o	o	o	.	
3	1.7	12.2	3.5	5.8	0.8	622.0	620.1	621.5	88	45	93	NW o	SW 1	SW o	9	o	9	.	
4	-2.0	10.1	6.0	4.7	-0.1	621.4	620.4	621.9	100	52	87	NE o	SW 2	SW o	7	7	8	.	
5	5.5	8.1	-0.1	4.5	-0.1	621.7	621.5	622.7	90	68	100	SW o	SW o	SW o	10	6	o	.	
6	-4.1	7.9	1.2	1.7	-2.7	621.1	619.0	619.1	100	62	94	S o	SW o	NE o	9	9	9	3.2	● 18½-n mU, ⌴ I
7	-0.4	1.8	0.3	0.6	-3.6	618.7	620.6	622.2	81	62	81	NE o	NE 1	NE 1	10	10	10	.	
8	-0.3	6.1	0.6	2.1	-1.9	623.3	622.8	625.6	88	46	80	NE 1	NW 1	NE 1	3	1	o	.	
9	-7.9	12.2	1.0	1.8	-2.1	626.2	624.6	624.2	100	24	87	SW o	NE 1	SW o	1	4	2	.	⌴ I
10	0.2	9.0	3.0	4.1	0.4	623.1	622.8	624.1	89	64	95	NE 1	SW o	SW o	10	8	7	.	
11	-2.5	11.4	2.4	3.8	0.3	624.0	622.5	622.8	100	43	97	SW o	SE o	SW o	10≡	8	o	.	≡ n-a
12	2.4	11.2	8.6	7.4	4.1	622.8	622.7	623.0	95	48	59	SW o	SW 1	N o	10	9	9	.	
13	0 8	15.4	2 3	6.2	3.1	624.9	623.9	626.2	100	40	96	SW o	E o	NE o	10≡	1	o	.	≡ n-a
14	2.0	14 0	-0.2	5.3	2.4	**626.4**	625.0	626.2	91	29	97	W o	NE o	SW o	10	o	o	.	
15	-5.0	**16.2**	0.7	4.0	1.3	624.4	621.0	621.0	98	**21**	90	SW o	W o	S o	o	o	o	.	
16	-2.0	12.8	4.6	5.1	2.6	619.7	616.9	616 o	97	32	89	SW o	SW 1	SW 1	8	2	4	.	⌴ I
17	4.4	4.9	2.0	3.8	1.5	614.1	612.5	**612.4**	92	83	100	SW o	SW o	NW o	10	10●	10●	18.7	● 11-n mU, ✳ n (17./18.)
18	-0.1	1.4	-0.4	0.3	-1.8	613.0	614.0	615.8	95	92	95	NE o	NE o	N o	10✳	10	10	0.8	✳ n-a
19	-1.8	6.2	-2.0	0.8	-1.1	617.1	618.5	621.6	83	56	98	NW o	SW o	NE o	10	o	o	.	
20	-0.7	3.6	3.0	2.0	0.3	621.5	620.4	619.4	94	90	92	SW o	SW 2	SW o	9	10●	10	7.1	● 13-n mU
21	5.0	3.3	2.5	2.9	1.4	615.4	614.2	614.0	94	96	100	SW o	SW o	NW o	10●	10●	10●	**28.1**	● n-n mU
22	0.5	3.6	-5.7	-0.5	-1.8	615.4	616.4	621.3	100	63	100	NW o	NW o	SW o	8	10	10≡	3.6	✳ 14½-n mU, ≡ p-n
23	**-10.4**	2.1	-3.4	-3.9	-5.0	623.0	622.2	623.4	97	60	98	SW o	SW o	SW o	1	8	2	.	
24	-8.6	3.1	1.0	-1.5	-2.5	622.2	619.2	619 6	95	45	50	SW o	W 1	NE 2	1	3	7	0.0	⌴ I
25	-2.0	1.0	-0.9	-0.6	-1.4	620.6	622.6	623.8	93	53	73	NW o	NE 1	S o	10	9	5	0.0	✳ a mU
26	-0 6	7.1	-3.9	0.9	0.3	624.0	623.2	622 8	95	45	98	S o	SW o	NW o	8	4	2	.	
27	-6.9	8.4	1.0	0.8	0.4	620.1	618.2	618.1	97	42	87	NE o	SW o	W o	7	8	8	.	
28	-4.0	7.0	1.6	1.5	1.3	616.4	614.3	614 2	100	49	75	W o	S 2	NW 1	2	1	10	.	
29	-7.5	2.2	-7.2	-4.2	-4.2	616.6	617.2	618.6	71	24	76	N o	NE o	SW o	o	o	o	.	
30	**-10 4**	7.2	-5.6	-2.9	-2.7	617.4	615.8	616.4	99	58	93	SW o	SW o	SW o	o	o	8	.	
31	-8.8	4.5	1.0	-1.1	-0.8	615.4	614.1	614.5	100	34	65	SW o	SW 1	NE o	9	10	10	1.5	✳ n (31./1.), ⌴ I
																		Summe	
Mittel	-2.4	7.7	0.7	2.0	—	620.7	619.7	620.7	94	52	88				6.5	5.1	5.2	63.0	

Oktober 1955
Beobachter: *Couvent des Capucins*

Sion

$\lambda = 7° 21'$, $\beta = 46° 14'$,
$H_b = 548.6$ m, $G = -0.11$ mm.

1	4.1	14.3	9.9	9.4	-3.1	720.2	717.7	717.8	99	61	85	W o	WSW 2	W 2	o	1	o	.	
2	5.1	15.1	9.1	9.8	-2.5	717.3	715.3	716.0	98	60	90	NE o	WSW 1	W o	o	o	o	.	
3	5.4	16.3	11.8	11.2	-0.9	715.2	712.8	713.5	100	59	75	W o	WSW 1	NE 2	o	1	4	.	
4	7.4	15.2	11.0	11.2	-0.7	714.3	713.5	715.4	92	63	96	N o	W 1	W o	7	10	10●	3.4	● 15-24
5	10.4	15.1	10.0	11.8	0.1	716.4	716.2	716.6	98	67	85	WSW o	WSW o	E 2	10●≡	6	o	1.3	● o-9½, ≡ n-a
6	7.4	13.8	11.0	10.7	-0.8	715.4	714.2	715.4	94	75	46	E o	E o	W 3	10	6	8	8.4	● 9¼-11½, 21¾-23¾, ⌿ III
7	6.0	10.0	7.2	7.7	-3.6	716.9	717.2	717.9	86	51	72	W 1	WSW 1	W o	9	8	3	.	● 5-5¼
8	3.4	12.8	8.2	8.1	-3.0	717.6	717.5	719.5	87	53	84	NE o	NE o	NE 1	o	o	o	.	
9	2.6	13.1	7.9	7.9	-3.0	719.5	717.4	717.5	96	58	87	NE o	SW o	WNW o	o	o	o	.	
10	5.2	13.2	9.1	9.2	-1.5	715.4	714.7	714.9	98	55	87	WSW o	WSW o	W o	5	6	o	.	
11	9.1	**17.2**	9.7	12.0	1.5	716.2	715.2	716.1	79	56	90	NE o	NE 1	WSW o	6	7	o	.	
12	6.7	14.9	9.6	10.4	0.1	717.4	716.3	718.0	97	64	92	WSW o	S 1	SSW ó	5	8	6	.	
13	10.0	15.0	10.2	11.7	1.6	718.6	717.8	719.5	77	62	87	SSW o	WSW 1	ENE o	10	1	o	.	
14	6.2	15.8	10.7	10.9	1.0	719.8	717.6	719.0	98	59	86	NNW o	W 1	W o	o	o	o	.	
15	10.8	16.0	11.2	12.7	3.0	718.0	714.8	714.9	95	52	78	WSW o	WSW 1	WSW o	o	o	o	.	
16	7.6	14.7	10.2	10.8	1.2	714.1	711.8	710.4	95	65	91	WSW o	WSW 2	WSW o	9	6	7	.	
17	9.2	11.4	9.2	9.9	0.5	708 6	707.1	706.6	92	84	80	WSW o	WSW 1	WSW 1	10	10	10	1.5	● 9¾, 11-12¼
18	5.8	10.7	5.4	7.3	-1.9	708.8	709.1	710.5	92	55	72	W o	WSW 1	WNW 1	9	4	2	.	●tr 1-3
19	2.2	12.2	8.4	7.6	-1.4	712.6	711.9	712.4	89	45	64	ENE 1	ENE 1	ENE o	o	o	3	.	
20	9.2	**17.2**	14 7	13.7	4.9	712.4	710.4	708.7	62	42	48	ENE 1	ENE o	ENE o	6	6	10	0.4	⌿ n (20./21.)
21	11.2	14.6	9.6	11.8	3.2	704.7	**704.2**	707.5	75	65	86	ENE 1	WNW 2	WNW 1	10	8	10●	0.3	● 4¾-5½, 19½-24 mU
22	7.1	12.9	7.2	9.1	0.6	710.6	711.2	715.1	85	53	77	NNW o	SW o	WSW o	7	7	7	.	
23	2.1	11.8	6.1	6.7	-1.6	717.1	715.8	716.7	96	51	77	WSW o	WSW 2	WNW o	o	2	o	.	
24	1.6	11.1	7.2	6.6	-1.5	716.9	714.9	715.8	86	54	75	E o	WSW 2	W 1	o	o	2	.	
25	7.2	12.8	5.6	8.5	0.6	717.4	718.1	720.7	75	45	72	WSW 1	WSW 2	W 1	8	o	o	.	
26	1.2	12 o	7.1	6.8	-0.9	**721.1**	717.7	716.7	92	46	71	N o	N o	NNE 1	o	o	o	.	
27	2.4	13.9	9.7	8.7	1.1	714.5	711.7	712.1	89	48	66	N 1	WNW 1	NE 1	o	1	o	.	
28	4.4	14 3	7.8	8.8	1.4	711.1	708.8	710.6	90	53	70	NNE o	NNE 1	W 3	3	1	7	.	⌿ III
29	1.7	10.0	3.0	4.9	-2.3	713.6	711.8	713.6	82	**40**	67	WSW o	E o	NNE 2	o	o	o	.	
30	**-0.8**	9.8	4.0	4.3	-2.7	713.3	710.6	710.9	80	99	64	NNE o	NNE 1	E o	o	1	8	.	
31	1.4	8.2	5.4	5.0	-1.9	709.2	707.1	707.4	80	59	85	E o	ENE 2	W o	9	10	10	0.5	● 22½-23
																		Summe	
Mittel	5.6	13.4	8.6	9.2	—	715.0	713.6	714.4	89	58	78				4.3	3.5	3.4	15.8	

$\lambda = 8°\,57'$, $\beta = 46°\,0'$,
$H_b = 276.2$ m, $G = -0.01$ mm.

Lugano

Oktober 1955
Beobachter: *G. Vicari*

Tag	Lufttemperatur					Luftdruck			Relative Feuchtigkeit			Windrichtung und Stärke			Bewölkung			Niederschlag	Witterung
	7^{30}	13^{30}	21^{30}	Mittel	Abweich. vom Normalst	7^{30}	13^{30}	21^{30}	7^{30}	13^{30}	21^{30}	7^{30}	13^{30}	21^{30}	7^{30}	13^{30}	21^{30}		
1	8.4	19.8	11.8	13.3	−1.1	740.6	740.4	740.7	93	55	79	N 1	S 1	N 1	0	0	0	.	
2	8.8	20.4	12.2	13.8	−0.4	741.5	740.7	740.2	84	45	82	N 1	S 1	N 1	0	0	0	.	
3	8.8	20 8	13.2	14.3	0.3	739.5	738.0	738.2	86	52	77	N 1	S 1	N 1	0	0	0	.	
4	10.4	19 4	14.2	14.7	0.9	738.8	738.0	739.1	92	55	81	N 1	S 1	— 0	3	5	10	0.1	● n (4./5.)
5	13.0	19.8	14.4	15.7	2.1	739.0	738.7	739.1	95	55	87	— 0	S 1	— 0	10	8	5	.	
6	11.0	16.4	13.2	13.5	0.1	738.3	736.2	734.0	92	68	75	N 1	S 1	N 1	10	9	0	0.1	● 16-16½
7	11.2	18.8	14.8	14.9	1.7	734.3	735.0	736.3	41	28	34	N 2	N 2	N 2	0	0	0	.	
8	15.4	24 8	14.2	18.1	5.1	736.3	735.9	740 5	33	23	63	N 2	N 2	N 1	0	0	0	.	
9	7.8	22.2	10.4	13.5	0.7	742.4	740.9	740.9	82	41	83	N 1	S 1	N 1	7	2	0	0.0	● tr n (9./10.)
10	11.4	12.4	11.8	11.9	−0.7	741.2	741.7	741.6	89	95	95	N 1	S 1	— 0	10	10	10	2.2	● a mU, ☽ p, 21-n
11	11.6	20.2	13.2	15.0	2.6	740.8	739.5	739.7	92	59	95	N 1	S 1	N 1	9	5	5	.	
12	11.6	18.8	13.2	14.5	2.2	739.2	739.1	739.9	94	65	91	— 0	S 1	— 0	10	6	10	.	
13	9.8	20 4	13.4	14.5	2.4	740.6	740.8	742.3	93	58	94	N 1	S 1	N 1	0	3	5	.	
14	9.8	21.2	12.4	14.5	2.6	742.6	742.0	742.7	88	51	96	N 1	S 1	N 1	0	0	0	.	
15	9.2	21.8	12.4	14.5	2.8	740.5	737.3	736.3	88	53	92	N 1	S 1	N 1	0	0	0	.	
16	10.2	16.6	13.8	13 5	2.0	734.9	733.6	732.7	95	74	99	— 0	S 1	— 0	10	7	10●	13.4	● 20-n
17	13.2	13.4	13 2	13.3	2.0	730.3	729.3	728.2	99	92	97	— 0	— 0	— 0	10●	10●	10	5.1	● n-8, 13-p, n (17./18.)
18	11.4	16.8	10.8	13.0	1.9	728.1	728.8	731.0	95	55	64	N 1	N 2	N 1	7	2	3	4.3	⛵ 8, ● 8-10
19	6.4	19.0	11.8	12.4	1.5	732.8	735.4	738.6	87	47	93	N 1	S 1	— 0	0	0	10	0.0	☽ n (19./20.)
20	11.0	11.4	10.8	11.1	0.4	739.6	739.7	738.0	92	98	99	— 0	-- 0	— 0	10●	10●	10●	48.4	● n-n
21	9.4	10.4	11.2	10.3	−0.3	731.6	729.9	729.6	99	97	98	— 0	N 1	— 0	10●	10●	10●	45.1	● n-p, 19-n mU
22	11.2	7.4	6.8	8.5	−1.9	731.8	735 8	738.9	71	97	94	S 1	— 0	N 1	9	10●	0	15.5	● a-14, n (22./23.)
23	7.8	13.4	7.4	9.5	−0.7	741.8	741.2	741.7	98	64	91	N 1	S 1	N 1	9	5	0	.	
24	5.2	16.4	14.2	11.9	1.9	738.4	734.7	734.9	84	43	32	N 1	S 1	N 2	0	0	2	.	▽ III
25	12.8	18.4	11.2	14.1	4.3	736.6	738.0	740 9	39	31	43	N 2	N 2	N 1	0	0	1	.	▽ III
26	6.2	17.4	8.6	10.7	1.1	741.0	739.1	738.6	81	48	75	N 1	S 1	N 1	5	0	0	.	
27	6.2	14.0	9.4	9.9	0.5	737.7	736.7	735.7	91	64	93	N 1	S 1	N 1	5	7	8	.	
28	9.2	16.2	10.4	11.9	2.7	733.5	732.1	731.0	91	61	81	N 1	S 1	N 1	9	1	0	.	
29	9.2	17.4	6.4	11.0	2.0	734.4	735.3	738.2	29	22	84	N 2	N 1	— 0	0	0	10	.	
30	6.8	12.2	6.4	8.5	−0.3	737.2	735.8	736.0	82	49	81	— 0	S 1	N 1	10	4	4	.	
31	3.6	8.8	6.6	6.3	−2.3	733.9	732.7	732.0	88	69	99	N 1	— 0	— 0	10	10	10●	11.9	● 15½-n
																		Summe	
Mittel	9.6	17.0	11.4	12.7	—	737.4	736.9	737.3	83	58	82				5.3	4.0	4.3	146.1	

$\lambda = 7°\,35'$, $\beta = 47°\,33'$,
$H_b = 317.3$ m, $G = 0.11$ mm.

Basel

Oktober 1955
Beobachter: *Astronom.-Meteorol. Anstalt*

1	4.7	15.2	10.6	10.2	−1.4	740.9	739.9	739.2	98	60	95	E 1	SE 0	WSW 1	10≡	3	9	.	≡ 2¾-10
2	8.4	14.2	8.0	10.2	−1.2	737.5	736.0	735.1	96	74	98	WNW 0	NNW 1	NNW 0	10	3	0	0.0	≡ 0½-5½
3	6.4	17.9	10.9	11.7	0.5	734.3	733.2	732.5	98	54	92	ESE 1	E 0	E 1	8≡	0	0	.	≡ 3¼-9¼
4	9.4	16.3	11.9	12.5	1.5	733.1	733.1	734.4	95	62	96	SE 1	NW 1	NE 0	9	10	10●	6.4	● 15¼-16, 16¼-21¾, 23¼-24
5	11.2	16.4	8.4	12.0	1.2	735.9	736.0	735.8	93	49	92	WSW 1	WNW 1	E 1	10	3	2	3.0	● 0-4
6	8.9	14.8	9.4	11.0	0.4	731.8	733.1	735.1	93	51	84	NNW 1	WNW 2	SW 1	10●	4	10	7.7	● 5½-10¾, 15¼-15½, 21½-22¾, ⛵ 15½
7	7.0	8.2	8.1	7.8	−2.6	736.4	737.9	739.6	82	82	88	WSW 1	WSW 1	SW 1	8	10●	10	0.1	● 1½-1¾, ●tr 11½-13½
8	5.4	14.7	7.2	9.1	−1.1	739.8	739.9	741.1	95	58	92	ESE 1	ESE 1	SE 0	2	5	1	0.0	
9	2.1	13.5	9.0	8.2	−1.8	741.5	740.0	739.0	98	68	73	SE 0	NW 1	E 1	6≡	0	0	.	≡ ☽ 5¾-6¼, ≡ 7-10
10	5.6	13.2	7.2	8.7	−1.1	736.2	735.3	736.1	94	68	96	NNW 1	NNW 1	S 0	10	7	0	0.0	
11	5.8	13.6	10.7	10.0	0.5	735.9	735.9	736.7	99	75	92	SE 0	ESE 1	ENE 0	8	10	10	0.0	☽ a
12	10.0	12.0	9.7	10.6	1.3	737.1	737.8	738.6	95	83	95	E 0	S 0	SW 0	10	10	10	.	☽ a
13	10.0	14.0	12.2	12.1	3.0	739.0	739.6	740.3	95	81	95	SSW 0	SSW 0	NW 0	10	10	10	.	
14	9.1	16.8	8.4	11.4	2.5	740.3	739.6	739.2	99	63	96	WNW 0	E 1	N 0	10≡	1	2	0.0	≡ ☽ 2-11
15	6.4	16.6	11.2	11.4	2.7	737.6	735.3	734.6	98	63	90	S 1	ESE 0	WSW 1	0	1	7	0.4	≡ ☽ 1-7¼
16	9.1	6.9	6.7	7.6	−0.9	734.5	734.0	731.2	95	93	96	WNW 1	WNW 1	WNW 0	10	10	6	.	● 5-5¾
17	5.6	9.0	3.6	6.1	−2.2	729.4	728.0	728.0	91	63	92	SW 1	WNW 1	SSW 1	10	10	1	.	
18	2.6	9.3	5.3	5.7	−2.4	728.9	730.1	731.2	89	66	95	E 0	WNW 1	WSW 0	6	7	10	.	
19	1.4	12.8	6.0	6.7	−1.2	731.6	731.5	730.7	96	57	87	WSW 0	E 1	ESE 1	10≡	1	0	0.6	≡ 6-8½
20	7.0	10.0	9.6	8.9	1.2	730.0	728.6	725.8	85	88	84	E 2	NNE 1	N 0	10●	10	10	1.4	● 6¼-13¼ mU
21	8.0	12.0	8.7	9.6	2.1	722.4	724.4	727.3	94	61	96	E 1	W 1	E 0	9	10●	9	0.7	● 3¾-5½, 13½, 16½-20¼
22	6.8	9.8	7.1	7.9	0.5	729.4	731.3	734.9	91	71	90	ESE 1	WNW 1	E 0	10	10	10	1.3	● 12½-14 mU, 17¾-18¼
23	3.5	14.0	5.4	7.6	0.4	736.5	736.3	737.0	95	54	91	ESE 1	ESE 1	S 1	0	1	0	.	
24	0.2	10.7	6.8	5.9	−1.1	738.1	737.1	737.9	100	67	86	E 1	NW 1	WNW 1	10≡	0	9	0.4	● 20¾-21, ≡ 6½-10, ⌴ II
25	6.5	12.0	7.2	8.6	1.8	740.1	741.2	741.3	87	55	86	NW 1	NW 1	SSW 1	9	1	10	.	● 2½-3½
26	3.2	15.5	5.8	8.2	1.5	739.7	737.2	734.8	92	59	92	E 1	S 0	ESE 0	3	0	1	.	
27	0.2	14.4	7.3	7.3	0.8	733.1	731.7	731.0	100	56	83	E 0	WNW 1	W 0	4	6	6	2.2	≡ 6½-7¼, ⌴ I
28	7.8	7.8	3.2	6.3	0.0	730.1	730.7	733.5	90	72	76	WNW 1	WSW 2	WNW 1	10	6	0	0.7	● 4-10 mU, 15½-15¾
29	−2.5	8.2	−1.4	1.4	−4.8	735.2	734.6	733.9	98	41	92	SE 1	ENE 1	SSW 1	1	0	0	.	≡ 7½-8¾, ⌴ I
30	−2.7	9.0	0.0	2.1	−3.9	732.5	731.2	731.2	94	49	88	ESE 1	ESE 0	W 0	0	1	5	.	⌴ I
31	−3.1	4.7	0.4	0.7	−5.2	731.2	730.7	730.5	96	65	87	SSW 0	NW 0	NW 0	7≡	4	2	.	≡ 7-9½, ⌴ I
																		Summe	
Mittel	5.3	12.4	7.2	8.3	—	734.8	734.6	734.7	94	65	90				7.4	5.0	5.2	24 9	

Oktober 1955
Beobachter: *Observatorium*

Säntis

$\lambda = 9° 20'$, $\beta = 47° 15'$,
$H_b = 2500.1$ m, $G = -0.27$ mm.

Tag	Lufttemperatur					Luftdruck			Relative Feuchtigkeit			Windrichtung und Stärke			Bewölkung			Niederschlag	Witterung
	7^{30}	13^{30}	21^{30}	Mittel	Abweich. vom Normalwert	7^{30}	13^{30}	21^{30}	7^{30}	13^{30}	21^{30}	7^{30}	13^{30}	21^{30}	7^{30}	13^{30}	21^{30}		
1	1.4	1.4	0.2	1.0	−0.1	566.8	567.0	566.5	12	17	21	N 2	NE 2	NE 3	5	2	1	.	
2	3 6	6.8	3.1	4.5	3.5	564.7	564.8	564.5	31	41	65	NE 3	SW 2	WSW 2	1	1	0	.	
3	2.4	5.6	0.8	2.9	2.0	563.4	563.1	562.8	75	9)	97	SW 2	S 2	SSE 2	1	4	1	.	≡ 14–16½
4	1.4	4.4	1.0	2.3	1.5	562.6	562.7	563.3	68	78	100	NE 1	S 2	SSW 2	4	9	10≡	2.6	✳ n (1./5.), ≡ 20½-n, ⊕ a-p
5	−0.6	0.0	−1.9	−0.4	−1.0	563.1	563.9	564.0	100	100	100	W 3	WSW 2	W 3	10≡*	10≡	4≡	9.0	✳ n-11, ≡ n-n mU
6	−1.2	−0.9	−5.2	−2.4	−2.9	560.9	560.5	560.3	92	100	100	WSW 4	WSW 3	W 4	9	10≡	10≡	26.1	✳ 8¾–12½, 15–16½, *)
7	−7.1	−6.7	−6.1	−6.6	−7.0	560.1	561.2	563.9	100	100	100	WNW 2	W 3	WSW 2	10≡*	10≡	10≡*	27.1	✳ n-7½, 14½-n, ▽ 11-11½, *)
8	−5.0	−4.4	−2.9	−4.1	−4.3	564.3	565.6	567.0	100	87	62	NNE 2	NE 3	NNE 3	10≡	1	0	.	✳ n-7, ≡ n-10½ mU
9	−0.1	1.2	0.3	0.5	0.4	567.4	567.5	566 1	28	30	31	NNE 3	NNE 3	NNE 3	5	1	1	.	
10	−0.9	2.4	1.2	0.9	0.9	563.0	564.2	565.2	84	83	92	SSE 3	SE 4	SE 2	8	5	1	.	⌿ a-p
11	2.0	5.4	2.3	3.2	3.4	564.9	565.4	565.3	85	74	75	ESE 3	SSW 1	NNW 2	4	2	2	.	
12	1.2	4.2	0.5	2.0	2.3	565.2	565.7	566.2	84	84	94	NW 2	SW 2	SW 2	10	9	10	.	
13	0.7	3.2	3.5	2.5	3.0	566.4	567.4	**568.4**	91	75	38	E 1	NE 2	NE 2	1	1	0	.	
14	2.1	5.9	4.2	4.1	4.7	567.8	568.3	568.1	55	28	33	NNE 3	ENE 2	NE 3	0	1	0	.	
15	5.7	5.4	0.6	3.9	4.7	566.2	564.8	563.2	19	58	86	N 2	SW 3	W 3	1	1	0	.	
16	−1.6	0.0	−1.7	−1.1	−0.2	561.2	559.8	557.7	100	100	100	W 2	WSW 3	WSW 3	10≡	6	10≡	.	≡ n-n mU, ⋁ n-9½, 17-n
17	−3.6	−4.2	−4.2	−4.0	−2.9	555.5	554.6	554.4	100	100	100	WSW 2	W 3	W 3	10≡	10≡	10≡	2.1	✳ 10¾-11½, ≡⋁ n-n
18	−7.3	−7.1	−6.6	−7.0	−5.8	**554.2**	555.3	556.7	100	99	99	WSW 3	W 3	WSW 2	10≡	10≡	10≡	.	≡ n-n, ⋁ n-15
19	−8.4	−2.6	1.2	−4.1	−2.8	557.1	559.4	561.1	75	61	40	WSW 3	WSW 3	WSW 2	1	1	2	.	
20	0.7	1.5	2.0	1.4	2.9	560.7	560.0	558.8	70	78	77	WSW 2	SSW 4	SSW 4	9	9	10	.	⌿ 10½-n
21	2.9	3.2	−4.4	0.6	2.2	554.5	554.9	555.7	82	85	100	SSW 4	SSW 4	W 3	8	8	10≡*	18.1	△ 15½–16½ mU, ✳ 16½-n, *)
22	−6.3	−5.4	−6.7	−6.1	−4.4	556.4	558.1	561.0	100	100	98	W 3	W 2	SE 2	10≡*	10≡*	1	4.2	✳ n-10, 12½-14, ≡ n-15¼
23	−5.8	−2.2	−5.4	−4.5	−2.6	562.2	562.9	563.3	89	78	90	SSW 3	S 2	S 1	1	9	1	.	
24	−5.5	−5.0	−6.2	−5.6	−3.6	562.7	562.2	561.9	94	97	100	NE 2	NE 2	NW 2	1	2	10≡	9.9	✳ n (24./25.), ≡ 17½-n
25	−6.7	−5.9	−6.4	−6.3	−4.2	562.5	564.1	565.4	100	100	100	N 2	N 2	W 2	10≡*	10≡	10≡	5.7	✳ n-9½, 16½-19 mU, ≡ n-n
26	−2.9	−1.5	−2.3	−2.2	0.1	565.2	565.0	563.4	98	98	85	WNW 3	WSW 3	W 3	10	1	3	.	≡ n-5¾
27	−2.0	−0.2	−3.6	−1.9	0.5	560.3	559.9	558.5	50	44	100	W 4	WSW 2	W 4	2	6	10≡	2.4	✳ n (27./28.), ≡ 16¾-n, *)
28	−4.2	−4.2	−10.2	−6.2	−3.7	555.9	555.9	556.2	100	100	100	WSW 5	WSW 3	WNW 3	10≡	10≡*	10≡*	25.9	✳ 8½-10½ mU, 11-n, *)
29	**−13.2**	−9.0	−7.2	−9.8	−7.1	557.0	558.2	557.9	75	45	31	W 3	ESE 1	WSW 2	0	0	1	.	
30	−7.4	−6.4	−6.2	−6.7	−3.9	556.4	557.2	556.9	98	96	84	W 4	WSW 3	WSW 3	10≡	1	3	.	≡ n-9, ⌿ n-a
31	−4.8	−2.4	−4.7	−4.0	−1.1	556.0	556.0	555.6	93	52	69	WSW 2	ESE 2	NE 3	9	9	8	.	⊕ a
Mittel	−2.3	−0.6	−2.3	−1.7	—	561.4	561.8	561.9	79	77	80				6.1	5.5	5.0	Summe 133.1	

Oktober 1955
Beobachter: *E. Chiesa*

St. Gotthard (Hospiz)

$\lambda = 8° 34'$, $\beta = 46° 33'$,
$H_b = 2095$ m, $G = -0.25$ mm.

1	2.0	5.5	1.8	3.1	0.1	595.4	595.3	595.1	76	33	72	NW 1	NW 2	NW 2	0	0	0	.	≡ 17¼–20 mU
2	1.5	6.3	1.4	3.1	0.3	594.2	594.4	594.0	78	76	99	SE 0	SE 1	SE 0	0	0	0	.	
3	1.4	6.1	2.2	3.2	0.6	592.9	592.4	592.4	96	72	99	SE 1	SE 1	SE 1	3	3	10≡	.	≡ 19½-n
4	1.2	3.3	2.2	2.2	−0.3	592.0	592.2	592.7	96	91	93	SE 2	SE 1	SE 0	9	10	10	0.9	● n (1./5.), ≡ 19¾-n mU
5	1.5	4.2	1.6	2.4	0.1	592.6	593.2	593.4	97	83	78	SE 0	NW 1	NW 0	10	10	0	0.6	● 8–10
6	1.3	2.8	−1.8	0.8	−1.3	591.6	590.7	589.7	80	91	95	SE 0	SE 1	NW 2	9	10	10*	4.2	●✳ 10-11, ✳ 18-n, ≡ 16-n mU,
7	−4.2	−3.1	−3.2	−3.5	−5.5	588.7	590.4	592.4	86	82	99	NW 3	NW 3	NW 3	10*	10*	10*≡	1.8	✳fl ⫩ ⌿ n-n, ≡ p-n [⌊ l
8	−3.2	−1.2	0.6	−1.3	−3.1	592.6	593.8	595.6	98	95	52	NW 2	NW 3	NW 1	10	0	0	.	⌿ 1-p mU
9	3.3	8.7	1.0	4.3	2.7	595.8	595.8	594.9	**23**	**23**	82	NW 1	NW 0	NW 0	0	0	0	.	
10	0.5	−0.2	2.2	0.8	−0.7	593.2	593.9	594.5	98	98	98	SE 1	SE 0	SE 1	10≡	10	10●	7.1	✳ 9–14½ mU, ● 14½-n mU, ≡ n-n
11	3.2	6.8	3.4	4.5	3.2	594.4	594.3	594.2	86	79	87	SE 0	SE 1	NW 1	9	6	0	.	
12	3.1	6.8	2.6	4.2	3.1	593.9	594.2	594.8	86	69	95	NW 1	NW 1	NW 1	9	10	0	.	⌊ l
13	1.3	8.2	6.7	5.4	4.5	595.0	595.6	596.5	97	53	75	NW 1	NW 1	NW 1	0	0	0	.	⌊ l
14	5.2	9.3	3.3	5.9	5.1	596.5	**596.7**	596.6	55	66	90	NW 0	SE 0	NW 0	0	0	0	.	△ l
15	3.2	**9.7**	4.0	5.6	5.0	595.4	593.7	592.3	85	37	91	SE 0	NW 1	NW 2	0	0	0	.	⌊ l
16	1.0	6.6	2.6	3.4	3.0	590.6	589.3	587.8	99	64	98	NW 1	SE 0	SE 1	10≡	3	10≡	.	≡ n-0¾, 16¾-n
17	1.9	1.5	−0.6	0.9	0.7	585.4	584.6	583.9	98	99	99	SE 1	SE 0	SE 0	10≡	10●≡	10≡	4.7	✳ ● 13¼-14, n (17./18.), ≡ n-n
18	−4.1	−1.8	−3.8	−3.2	−3 2	**583.7**	584.5	585.9	98	98	98	NW 1	NW 1	NW 2	10≡	10	10≡	.	≡ n-a, p-n, ⌊ l
19	−4.9	3.2	0.8	−0.3	−0.2	586.5	589.0	591.3	94	65	85	NW 1	SE 1	SE 1	0	0	3	.	⋁ ⌊ l
20	0.0	0.0	−0.5	−0.2	0.1	591.2	590.9	589.8	98	99	98	SE 1	SE 1	SE 2	10	10*≡	10*≡	46.2	✳ 10½-n, ≡ a-n mU
21	−1.0	0.8	−1.6	−0.6	−0.1	585.5	584.2	584.3	99	98	99	SE 0	SE 0	NW 1	10*≡	10*≡	10*≡	**73.7**	✳ ≡ n-n
22	−3.8	0.3	−3.4	−2.3	−1.6	585.6	587.3	590.4	97	96	82	NW 0	NW 0	NW 0	10*≡	10≡	3	4.8	✳ n-a, ≡ n-14¼
23	−3.0	−0.2	−3.8	−2.3	−1.5	591.9	592.6	593.3	84	89	89	SE 1	SE 0	SE 0	10≡	10≡	0	3.2	✳ 14–18½, ≡ n-p
24	−4.9	−2.2	−3.6	−3.6	−2.6	591.9	591.2	590.4	60	72	97	NW 1	NW 2	NW 2	0	0	10≡	2.2	✳ n (24./25.), ≡ 16¾-n, ⌿ a-n
25	−3.7	−3.6	−4.8	−4.0	−2.8	590.2	593.0	594.8	86	85	94	NW 1	NW 2	NW 2	10	6	10≡	.	≡ 18½-n, ⌿ n-n mU [mU
26	−1.0	2.8	−0.6	0.4	1.7	594.5	594.8	593.5	90	63	64	NW 1	NW 0	NW 0	3	0	0	.	
27	−0.6	1.8	−0.6	0.2	1.7	591.2	590.8	589.1	61	63	94	SE 1	SE 0	SE 1	6	0	10≡	.	≡ 16¼-n
28	−3.9	1.0	−6.0	−3.0	−1.3	587.1	586.5	585.3	80	74	95	SE 0	SE 1	NW 2	3	3	10	0.4	⫩ p-n
29	**−10.2**	−4.6	−8.0	−7.6	−5.8	586.3	588.0	588.6	97	64	83	NW 2	NW 1	NW 0	10≡	0	0	.	≡ ⋁ n-8½
30	−9.4	−2.3	−6.4	−6.0	−4.0	587.1	587.2	586.8	87	67	76	NW 0	SE 0	SE 0	0	0	0	.	
31	−3.4	1.0	−3.7	−2.0	0.2	585.4	585.2	584.6	56	50	98	SE 0	SE 1	SE 1	6	9	10	0.7	✳ n (31./1.), ▽ III
Mittel	−1.0	2.5	−0.5	0.3	—	590.9	591.2	591.2	84	74	89				6.0	4.8	5.0	Summe 150.5	

*) Säntis: **6.** ≡ 9½-n, ⋁ 11-n, ⌿ n-n, ⌿ 16½ **7.** ≡⋁ n-n **21.** ≡ 14-n, ⌿ n-p mU **27.** ⌿ I, III **28.** ≡ n-n, ⌿ n-a, ⌿ I

$\lambda = 7° 26'$, $\beta = 46° 57'$,
$H_b = 572.2$ m, $G = 0.00$ mm.

Bern

November 1955
Beobachter: *Meteorologisches Observatorium*

Tag	Lufttemperatur					Luftdruck			Relative Feuchtigkeit			Windrichtung und Stärke			Bewölkung			Niederschlag	Witterung
	7³⁰	13³⁰	21³⁰	Mittel	Abweich. vom Normalst	7³⁰	13³⁰	21³⁰	7³⁰	13³⁰	21³⁰	7³⁰	13³⁰	21³⁰	7³⁰	13³⁰	21³⁰		
1	0.5	2.6	1.0	1.4	−3.8	**706.1**	706.6	708.0	85	77	95	NNE 1	NNE 1	W 0	10	10	9	0.0	●tr 19-20 mU
2	2.8	8.6	3.9	5.1	0.1	709.5	710.2	711.1	91	70	95	SE 0	NE 0	W 0	10	0	0	.	☽ 2½-3¼, ⌓ III
3	3.0	9.7	7.0	6.6	1.7	710.8	709.9	708.7	96	72	92	SE 0	SE 0	S 0	10	6	9	0.2	⌓ I, III
4	7.0	**12.6**	10.4	10.0	5.3	707.6	707.1	708.1	90	60	90	SE 0	E 0	SE 0	9	10	10	0.7	● 1½-5¼ mU, 20¾-24
5	7.5	12.2	10.8	10.2	5.6	708.8	709.6	712.1	99	86	98	SE 0	NW 0	NE 0	8	9●	9	2.1	● 0-2¾, 9½-10½, 12¼-14¼, 16¼-20½,*)
6	7.6	10.3	9 6	9.2	4.8	713.3	714.0	714.7	96	91	100	E 0	N 0	W 1	10≡	10	10≡	0.1	☽ 5-6½, ≡ 0-13½, 15-24, ⌓ I, III
7	6.2	10.8	6.3	7.8	3.5	713.8	712.7	713.0	96	82	100	E 0	NE 0	W 0	10≡	3	10≡	0.0	☽ 8½, 9½-12¼ mU, ≡ 0-11¼, *)
8	4.6	11.4	7.5	7.8	3.6	711.2	709.5	709.7	96	77	100	E 0	NE 0	SE 0	10≡	8	10≡	0.2	≡ 0-9¾, 16½-24, ⌓ I, III
9	4.2	9.3	7.7	7.1	3.1	707.5	708.4	710.0	100	83	99	N 0	WSW 1	NE 0	10≡	10	10	2.6	● 14¾-20¾, ≡ 0-6¼, *)
10	5.4	7.5	7.0	6.6	2.7	710.7	711.0	712.1	100	94	98	WSW 0	NE 0	E 0	10≡	10	10	0.0	≡ 0-4½, 6¼-9½, ⌓ I
11	5.0	5.8	5.4	5.4	1.7	711.6	710.9	711.2	100	94	94	N 0	NW 0	NW 0	10☽	10☽	10	0.0	☽ a mU
12	4 0	7.2	3.6	4.9	1.3	712.2	712.2	712.1	87	75	100	SE 0	NE 0	NE 0	10	8	10≡	.	≡ 18½-24, ⌓ III
13	2.0	3.4	3.9	3.1	−0.3	711.1	711.0	711.3	100	94	93	SE 0	N 0	E 0	10≡	10	10	.	≡ 0-10, ⌓ I
14	3.6	5.3	5.1	4.7	1.4	711.0	711.4	712.2	97	90	90	NE 0	NE 1	NNE 1	10	10	10	.	
15	2.3	3.9	1.2	2.5	−0.7	713.2	714.5	717.4	77	60	71	N 1	ENE 2	ENE 2	9	8	2	.	
16	−1.8	3.5	0.6	0.8	−2.2	718.3	718.6	719.0	**88**	**59**	87	NNE 2	NE 2	NE 1	1	1	1	.	⌊ I
17	−1.6	2.4	0.4	0.4	−2.5	718.2	717.7	717.3	88	72	73	E 0	ENE 2	NE 2	5	10	4	.	⌊ I
18	−1.0	1.4	−0.9	−0.2	−2.9	716.9	717.0	718.2	88	68	75	NNE 2	NE 2	NE 0	10	7	1	.	
19	−1.3	−0.3	0.0	−0.5	−3.1	718.8	718.1	719.5	78	72	74	NE 1	NE 1	NE 1	10	9	10	.	⌊ I
20	−0.9	1.0	−1.6	−0.5	−2.9	718.2	718.1	717.0	84	73	88	NNE 1	N 1	NE 0	10	10	0	.	
21	−4.2	1.7	1.7	−0.3	−2.6	717.1	717.3	719.4	98	72	89	SE 0	N 2	NE 1	2	1	10	.	⌊ I
22	0.6	1.4	−0.7	0.4	−1.8	720.0	719.7	720.4	86	79	92	NE 0	NNE 1	NNE 0	10	10	7	.	
23	−3.6	4.0	2.2	0.9	−1.1	718.8	716.7	715.2	97	62	80	SE 1	NW 0	NE 0	0	6	10	0.0	⌊ I
24	2.0	4.2	0.4	2.2	0.3	711.9	709.4	706.2	85	71	100	W 1	SW 1	WSW 1	10	9	10●*	**4.5**	✳ 6-6¼, 10¼-11, 19½-24, *)
25	−1.7	−2.3	−3.9	−2.6	−4.3	712.9	715.9	719.1	70	79	76	N 1	N 1	NE 0	10*	9*	1	0.3	✳ 0-0¼, 3¾-5¼, 7¼-9¾, 13½-14¼ ⊠
26	−8.3	−2.8	−6.8	−6.0	−7.6	719.8	719.3	719.7	95	71	97	E 0	N 0	N 0	2	0	0	.	⌊ I, III ⊠
27	−9.2	−1.8	−5.7	−5.6	−7.0	**721.4**	721.2	720.4	93	67	95	SE 0	NE 0	W 0	2	1	1	.	⌊ I, III ⊠
28	−7.9	−2.0	−5.6	−5.2	−6.5	719.0	717.9	717.2	99	75	99	SE 0	S 0	SW 0	10≡	1	10≡	0.0	✳ 8¾-9½, ≡ n-10, 17¼-24, ⌊ I, III ⊠
29	−7.6	−3.5	−4.2	−5.1	−6.3	715.6	715.2	715.5	97	99	100	SW 0	SE 0	NE 0	10≡	10	10≡	.	≡ 7¼-8½, 17-24, ⋁ I, ⌊ III ⊠
30	−4.7	1.4	−1.8	−1.7	−2.7	715.2	714.5	713.2	98	73	98	NE 0	NE 0	NE 0	10	4	9	0.0	≡ 0-2 ⊠
																		Summe	
Mittel	0.5	4.3	2.2	2.3	—	714.0	713.8	714.3	92	77	91				8.3	7.0	7.1	10.7	

$\lambda = 6° 57'$, $\beta = 47° 0'$,
$H_b = 487.3$ m, $G = 0.02$ mm.

Neuchâtel

November 1955
Beobachter: *Observatorium*

1	1.9	4.7	2.1	2.9	−3.2	**713.7**	714.2	715.9	72	70	93	NE 3	NE 2	NE 0	10	9	10●	0.6	● 18¼-21¾, ⌿ n-p
2	2.8	7.9	5.0	5.2	−0.7	717.4	718.1	718.9	88	73	95	NE 0	SE 0	SE 0	10	2	7	.	
3	5.1	**10.8**	7.3	7.7	1.9	718.5	717.7	716.3	95	76	93	E 0	E 0	S 0	10	5	8	0.6	
4	7.2	10.3	9.6	9.0	3.4	715.0	714.6	715.5	97	87	96	E 0	E 0	E 0	9	10	10	0.6	● 2¾-3¾, 21, 21½-23
5	8.7	10.7	10.3	9.9	4.4	716.2	717.2	719.8	99	96	97	E 0	SE 0	SE 0	10≡	10	10≡	**6.0**	● 0¾-1¼, 9¾-11¼, 14¾-20¼, ≡ n-[a, p-n
6	8.8	9.4	8.0	8.7	3.4	720.9	721.9	722.4	97	97	99	E 0	E 0	E 0	10≡	10≡	10≡	0.2	≡ n-n
7	6.8	8.2	7.3	7.4	2.2	721.4	720.5	720.7	99	97	99	NE 0	S 0	W 0	10≡	10≡	10≡	0.2	≡ n-n
8	6.9	9.4	8.5	8.3	3.3	719.0	717.2	717.4	99	97	97	W 0	SW 1	W 0	10≡	10≡	10≡	0.1	≡ n-15½, 16¼-n
9	7.0	9.1	7.6	7.9	3.0	715.1	716.1	717.5	99	96	97	W 1	SW 0	SW 0	10≡	10●	9	4.8	● 12¾-16¼, ⛆ 19½, ≡ n-a
10	6.2	7.2	6.3	6.6	1.9	718.5	718.7	719.9	97	97	97	NW 0	S 0	NE 0	10	10	10≡	.	≡ p-n
11	6.0	6.7	5.9	6.2	1.6	719.3	718.6	719.0	94	91	91	NE 0	E 0	NE 0	10	10	10	.	
12	5.6	7.0	4.9	5.8	1.4	719.8	720.2	719.7	82	80	94	NW 0	E 0	NE 1	10	10	10	.	
13	3.9	5.1	4.3	4.4	0.1	718.8	718.6	719.2	95	88	89	NE 0	E 0	E 0	10	10	10	.	
14	5.2	6.6	6.1	6.0	1.9	718.7	719.3	720.0	91	80	84	NE 0	NE 1	NE 1	10	10	10	.	
15	3.3	6.0	1.7	3.7	−0.3	720.9	722.2	725.3	68	**46**	66	NE 2	NE 4	NE 2	10	9	1	.	⌿ n-n, ⌿ II
16	0.4	5.0	2.5	2.6	−1.3	726.1	726.3	726.6	67	**46**	57	NE 3	NE 3	NE 3	0	0	0	.	⌿ n-n
17	2.4	3.6	1.3	2.4	−1.3	725.7	725.4	725.2	76	65	68	NE 3	NE 4	NE 3	6	10	0	.	⌿ n-n, ⌿ II
18	0.5	3.2	−0.4	1.1	−2.5	724.6	724.9	726.4	67	54	67	NE 3	E 3	NE 2	10	1	1	.	⌿ n-n
19	−0.8	0.8	1.1	0.4	−3.1	727.0	727.1	727.4	72	62	70	NE 3	E 2	NE 2	10	10	10	.	⌿ n-n mU
20	0.7	1.6	−1.0	0.4	−2.9	726.3	726.0	725.0	74	72	79	NE 2	NE 1	N 0	10	10	0	.	
21	−0.3	3.6	3.0	2 1	−1.1	724.9	725.3	727.5	85	69	67	NE 1	NE 2	NE 2	10	8	10	.	
22	1.6	2.4	2.2	2.1	−1.0	728.1	727.9	728.6	72	69	73	NE 1	NE 2	NE 1	10	10	10	.	
23	−2.4	4 4	4.4	2.1	−0.8	726.8	724 9	723.1	90	69	60	E 0	S 1	SW 1	3	5	10	0.4	⌊ I
24	2.9	5.0	1.8	3.2	0.4	719.8	717.3	**713.7**	90	59	92	W 0	SW 2	W 1	10●	7	10●,	4.4	● 5-9¼, ● ✳ 18¾-24
25	−1.0	1.2	−2.5	−0.8	−3.5	720.6	723.6	727.0	73	53	55	N 0	E 2	NE 2	10	4	0	.	● ✳ 0-0¾
26	−6.0	−0.2	−4.2	−3.5	−6.0	727.9	727.4	727.8	75	60	71	NE 0	E 1	NE 0	0	0	0	.	
27	−6.7	−2.6	−5.0	−4.8	−7.2	729.4	**729.6**	728.6	89	83	86	NE 0	NE 0	NE 0	10	3	0	.	
28	−4.9	−1.8	−2.6	−3.1	−5.4	726.9	726.2	725.0	93	84	90	NE 0	NW 1	E 0	10	10	10	.	⋁ n-n
29	−4.6	−3.3	−3.4	−3.8	−5.9	723.5	723.3	723.6	95	92	92	E 0	E 0	E 0	10	10	10	.	⋁ n-n
30	−3.4	0.5	−0.2	−1.0	−3.0	723.2	722.4	721.7	92	79	89	E 0	SE 0	NE 0	10	9	10	1.4	⋁ I
																		Summe	
Mittel	2.1	4.8	3.1	3.3	—	721.8	721.7	722.2	86	76	83				8.9	7.7	7.2	19.3	

*) Bern 5. ≡ 6¾-7¼, 23-24, ⌓ I 7. ≡ 18-24, ⌓ I, III 9. ≡ 7½-11, 23-24, ⌓ I 24. ✳ ● 8¼-8¾, ● 17½-18¾

November 1955
Beobachter: *Frl. H. Nager*

Altdorf

$\lambda = 8° 39'$, $\beta = 46° 53'$,
$H_b = 456.3$ m, $G = -0.05$ mm.

Tag	Lufttemperatur					Luftdruck			Relative Feuchtigkeit			Windrichtung und Stärke			Bewölkung			Niederschlag	Witterung
	7^{30}	13^{30}	21^{30}	Mittel	Abweich. vom Normalst	7^{30}	13^{30}	21^{30}	7^{30}	13^{30}	21^{30}	7^{30}	13^{30}	21^{30}	7^{30}	13^{30}	21^{30}		
1	4.3	4.4	4.3	4.3	−2.6	716.3	716.9	718.6	82	87	86	N o	NW o	NW o	10	10	10	.	
2	4.3	10.1	4.4	6.3	−0.4	719.5	719.9	721.6	97	70	91	N o	NW o	E o	8	0	0	.	
3	3.4	8.9	4.9	5.7	−0.9	720.9	719.6	718.2	92	75	92	NE o	NW o	N o	9	5	10	.	
4	7.3	11.7	8.3	9.1	2.6	717.6	717.1	718.2	97	73	92	N o	N o	SE o	10	10	10	.	
5	7.8	**13.3**	8.9	10.0	3.7	718.7	718.9	722.5	87	75	87	NE o	NW o	NE o	8	2	0	.	
6	7.5	10.7	6.8	8.3	2.1	723.0	724.5	724.8	92	95	97	W o	W o	NW o	3	10	10≡	.	≡ p-n
7	4.2	10.2	6.7	7.0	0.9	724.0	722.5	722.7	98	84	96	E o	NW 1	NE o	7	0	8	.	
8	5.2	10.4	7.1	7.6	1.7	721.5	719.0	719.9	100	78	92	SW o	NW 1	E o	10	8	10	0.1	● n (8./9.)
9	7.2	12.9	9.5	9.9	4.1	716.6	717.5	720.4	100	71	87	NW 1	N o	N o	8	5	10	.	
10	8.7	10.2	8.9	9.3	3.7	720.9	720.9	722.4	95	90	93	NE o	NE o	NE o	10	10	10	.	
11	8.4	8.7	7.7	8.3	2.8	721.7	721.0	721.6	96	88	81	W o	NW o	NW o	10	10	10	.	
12	6.1	8.5	6.0	6.9	1.5	722.4	722.5	722.7	80	75	89	E o	W o	NW o	10	7	10	.	
13	5.3	6.7	6.3	6.1	0.9	721.1	721.2	721.9	86	79	87	NE 1	N o	N o	10	10	10	.	
14	6.2	7.0	6.7	6.6	1.5	721.4	721.7	722.8	91	87	95	N o	N 1	E o	10	10	10	0.2	☽ 17–18
15	5.4	5.3	4.5	5.1	0.1	723.1	724.7	727.4	66	60	55	N 1	N 2	NE o	10	10	8	.	
16	1.3	4.9	1.3	2.5	−2.3	729.3	729.1	730.1	95	60	73	NE o	NW o	NE o	10	5	4	.	
17	−1.2	4.3	1.3	1.5	−3.2	729.1	728.4	727.6	92	66	73	S o	S o	E o	3	4	0	.	
18	1.8	3.5	1.8	2.4	−2.2	727.6	728.0	728.5	70	**50**	70	S o	N o	E o	10	10	7	.	
19	−1.9	2.5	1.3	0.6	−3.8	729.6	728.9	730.4	66	56	69	NE o	W o	N o	10	3	10	.	
20	−0.8	2.8	1.1	1.0	−3.3	729.1	728.1	727.6	67	56	70	E o	NW o	NE o	10	8	6	.	
21	−2.1	3.2	1.0	0.7	−3.5	727.8	728.3	730.7	79	73	72	SE o	NW o	SE o	10	5	10	.	
22	−1.8	3.4	1.6	1.1	−2.9	731.4	730.6	731.4	80	65	92	SE o	SE o	E o	9	7	10	.	
23	−1.1	3.7	3.8	2.1	−1.8	729.4	726.1	724.8	75	62	62	E o	NW 1	NW o	10	8	10	0.2	● n (23./24.) mU
24	5.0	3.8	1.1	3.3	−0.4	720.6	718.9	**715.8**	67	80	96	N 2	NE 1	E o	10●	10	10*	**19.2**	● n-a, ✳ 20-n
25	0.1	−0.1	−2.1	−0.7	−4.3	722.1	725.5	730.0	60	69	80	N o	N 1	N o	10	10	5	0.2	✳fl a
26	**−6.9**	−1.7	−6.8	−5.1	−8.6	730.6	729.7	729.8	75	60	80	SE o	E o	E o	8	3	6	.	
27	−6.8	−1.3	−5.1	−4.4	−7.7	731.9	**732.0**	731.1	81	75	85	SE o	SE o	SE o	10	0	5	.	
28	−3.9	−0.8	−2.8	−2.5	−5.7	729.2	728.0	727.4	91	81	94	SE o	E o	SE o	10	2	10	.	
29	−3.1	−0.8	−3.0	−2.3	−5.4	725.6	726.2	726.3	96	86	92	SE o	SE o	E o	10	10	8	.	
30	−0.8	1.4	0.0	0.2	−2.7	725.2	724.2	723.4	100	95	99	SE o	NW 1	S o	10≡	6	8	.	≡ n-a
Mittel	2.3	5.6	3.2	3.7	—	724.2	724.0	724.7	85	74	84				9.1	6.6	7.8	Summe 19.9	

November 1955
Beobachter: *Observatorium*

Genève

$\lambda = 6° 9'$, $\beta = 46° 12'$,
$H_b = 405.0$ m, $G = -0.03$ mm.

1	4.6	5.3	4.8	4.9	−2.0	721.4	**721.4**	723.4	74	82	93	NNE 1	NNE 1	NNE 1	10	10	10	1.0	● p
2	5.0	10.6	6.4	7.3	0.6	723.9	725.0	725.8	100	84	100	NNE 1	NNE 1	E o	10	5	2	.	
3	5.8	11.0	10.0	8.9	2.3	726.0	725.1	724.0	100	90	100	E o	NNE 1	E o	10≡	9	10	.	≡ n-a
4	9.8	12.2	10.6	10.9	4.5	722.3	721.4	723.0	100	81	100	E o	NNE 1	E o	10≡	10	10≡	1.2	● 16¾, 22, ≡ n-a, p-n
5	10.6	13.0	11.8	11.8	5.5	723.9	724.5	726.8	100	88	100	E o	NE 1	E o	10≡	10	10	.	≡ n-a
6	11.5	**13.2**	11.4	12.0	5.9	728.1	728.6	729.4	100	86	100	E o	NNE 1	E o	10≡	10	10	.	≡ n-a
7	10.2	11.0	9.0	10.1	4.1	728.9	727.8	727.3	100	87	100	E o	NNE 1	NNE 1	10≡	10	10	.	≡ n-a
8	8.6	11.2	8.8	9.5	3.6	726.1	724.8	724.5	100	90	100	NNE 1	NE o	E o	10≡	10	10≡	6.0	● n (8./9.), ≡ n-a, p-n
9	8.6	9.3	8.6	8.8	3.1	723.1	724.4	724.7	100	96	100	NNE 1	ESE 1	NNE 1	10●≡	10●	8≡	**17.5**	● 7½–17, ≡ n-a, p-n
10	7.0	9.2	8.6	8.3	2.7	725.9	725.5	727.0	100	86	87	E o	NNE 1	E 1	9≡	10	10	.	≡ n-a
11	7.7	9.0	7.2	8.0	2.5	726.2	726.3	725.8	100	86	97	NNE 1	NNE 1	E o	10	10	10	.	
12	6.2	7.2	6.4	6.6	1.3	727.6	726.6	726.4	94	85	94	NNE 1	NNE 1	E o	10	10	10	.	
13	6.0	7.2	6.6	6.6	1.4	726.7	725.9	726.1	94	80	88	E o	NNE 1	NNE 1	10	10	10●	3.7	● 20-n
14	6.0	8.4	8.0	7.5	2.4	726.3	726.7	726.8	70	81	75	NNE 1	NNE 1	NNE 1	10	10	10	.	● n–3½
15	7.6	6.2	4.6	6.1	1.2	726.5	727.1	729.6	77	67	77	NNE 2	NNE 4	NNE 1	10	9	8	.	⛆ n-p, ⛆ II
16	3.0	4.5	4.0	3.8	−1.0	730.6	732.9	732.0	73	77	67	NNE 2	NNE 2	NNE 2	5	5	4	.	⛆ n-n
17	3.6	3.8	2.5	3.3	−1.4	732.1	732.4	731.6	64	**54**	59	NNE 2	NNE 1	NNE 1	6	10	10	.	⛆ n-a
18	2.2	2.8	2.4	2.5	−2.1	731.8	731.4	731.8	68	66	**54**	NNE 2	NNE 2	NNE 2	10	5	8	.	⛆ n-n
19	1.4	1.5	2.0	1.6	−2.8	733.8	734.6	734.3	62	59	67	NNE 1	NNE 1	NNE 1	10	6	9	.	
20	1.1	2.8	3.0	2.3	−2.0	733.6	734.0	731.1	70	59	83	NNE 1	NNE 1	NNE 1	10	10	6	.	
21	1.2	3.6	3.4	2.7	−1.5	731.7	733.1	734.3	72	73	76	NE 1	NNE 1	NNE 1	10	6	6	.	
22	2.6	4.0	3.0	3.2	−0.9	735.2	735.0	735.5	75	67	75	NNE o	NNE 1	NNE 1	9	10	10	.	
23	2.4	3.6	3.0	3.0	−0.9	735.9	735.5	730.1	72	73	74	NE o	NNE 1	NNE 1	6	2	4	.	
24	2.4	6.4	3.0	3.9	0.1	727.3	724.6	722.0	79	65	83	E o	E o	WSW 1	10	10	10●	0.8	● 17¾–19¾, 21½
25	1.6	2.2	−0.4	1.1	−2.6	727.4	730.2	732.9	71	61	70	NNE 3	NNE 3	NNE 4	6	5	1	.	⛆ n-n, ⛆ III
26	−3.8	0.0	−4.2	−2.7	−6.3	735.4	734.2	735.7	87	81	81	NNE 1	NNE 1	E 1	0	0	0	.	
27	−5.6	−1.6	−4.2	−3.8	−7.2	**737.4**	736.4	735.6	90	72	90	NNE 1	NNE 1	E o	0	0	0	.	
28	**−6.8**	−1.2	−2.3	−3.4	−6.7	733.8	733.4	732.4	89	100	100	E o	NNE 1	SSW o	0	9	10≡	.	≡ p-n
29	−1.7	−0.4	0.0	−0.7	−3.9	730.8	730.9	730.8	100	100	100	SE o	SE 1	E o	10≡	10	10	.	≡ n-a
30	0.5	1.8	2.0	1.4	−1.7	731.1	729.8	728.7	94	93	100	ESE 1	ESE 1	E o	10	10	10	10.2	● ✳ n (30./1.)
Mittel	4.0	5.9	4.7	4.9	—	729.0	728.8	729.0	86	79	86				8.4	8.0	7.9	Summe 40.4	

$\lambda = 8°\ 34'$, $\beta = 47°\ 23'$,
$H_b = 569.4$ m, $G = 0.03$ mm

Zürich

November 1955
Beobachter: *Meteorologische Zentralanstalt*

Tag	Lufttemperatur					Luftdruck			Relative Feuchtigkeit			Windrichtung und Stärke			Bewölkung			Niederschlag	Witterung
	7^{30}	13^{30}	21^{30}	Mittel	Abweich. vom Normalst	7^{30}	13^{30}	21^{30}	7^{30}	13^{30}	21^{30}	7^{30}	13^{30}	21^{30}	7^{30}	13^{30}	21^{30}		
1	−0.4	2.1	1.0	0.9	−4.2	706.6	706.9	707.8	90	81	93	NNE 1	NNE 1	ESE 0	10	10	8	0.0	⏢ III
2	2.9	11.8	5.3	6.7	1.8	709.7	710.3	711.3	96	58	98	SW 0	S 1	ESE 1	10	2	0	0.0	●tr a. ⏢ I, III
3	1.9	8.1	6.3	5.4	0.6	710.9	710.1	708.5	98	71	95	SE 1	S 1	S 0	9	7	10	0.3	≡ a mU, ⏢ I, III
4	6.9	11.3	9.9	9.4	4.8	707.5	707.4	707.7	96	69	88	SE 0	S 0	NE 1	9	10	10	1.4	● 23¾-24, ⏢ III
5	7.7	**15.0**	10.6	11.1	6.6	709.1	709.5	712.3	96	66	96	NW 0	WSW 1	NE 1	6	3	10	0.2	● 0-4¼, ≡ a mU
6	6.9	14.5	8.4	9.9	5.6	713.5	714.2	714.8	98	70	97	NE 1	WSW 1	WSW 1	3≡	7	2	0.1	≡ 7-8, 9-11¾, ⏢ III
7	5.0	13.1	9.4	9.2	5.0	714.0	712.3	712.5	98	71	89	NE 0	WSW 1	SSE 1	1≡	2	3	0.0	≡ 7-11¾, ⏢ I, II, III
8	4.1	13.9	7.9	8.6	4.6	711.3	709.2	709.7	98	59	94	E 0	WNW 1	SSE 1	10≡	8	0	0.1	≡ 6-11¾' ⏢ I, III
9	3.4	10.3	9.0	7.6	3.7	706.9	707.7	710.2	98	80	82	NW 1	SSW 1	SSW 1	6≡	9	10	0.3	≡ 7½-10½, ⏢ I, II
10	5.7	8.6	5.7	6.7	3.0	710.7	710.9	712.1	97	87	98	NE 0	SSW 1	ENE 1	5	10	10■	0.2	≡ 8½-10½, 21½-n, ⏢ III
11	5.4	7.8	7.2	6.8	3.2	711.7	710.8	711.1	98	87	93	NNE 1	NE 1	SSE 1	10	10	10	.	≡ n-a mU, ⏢ I, III
12	4.7	7.8	3.6	5.4	2.0	712.2	712.5	712.5	93	73	98	S 1	W 1	ENE 1	10	8	10≡	0.1	≡ p-n, ⏢ I, III
13	2.8	4.0	4.5	3.8	0.5	711.1	711.1	711.7	97	90	86	NE 1	NNE 1	SE 1	10≡	10	10	0.0	≡ n-8, ⏢ I, II, III
14	4.7	6.0	4.5	5.1	2.0	711.2	711.6	712.8	93	82	90	NNE 1	NNE 1	NNE 1	10❩	10	10	0.2	❩ n-a mU, ●tr p mU
15	1.7	4.5	1.2	2.5	−0.5	714.0	715.3	718.7	76	**52**	77	NNE 2	NE 2	NNE 1	10	6	10	0.0	
16	−1.5	2.8	1.9	1.1	−1.7	719.6	719.6	720.1	83	53	63	NE 1	NE 1	NNE 1	8	2	9	.	⌴ I, ⏢ III
17	1.4	2.7	−0.6	1.2	−1.5	719.0	718.7	718.4	84	65	78	ENE 1	ENE 1	NNE 1	10	10	9	.	
18	−1.2	2.5	−1.0	0.1	−2.4	717.7	718.1	719.1	86	54	77	NNE 1	NE 2	NE 2	9	5	9	.	
19	−2.1	0.8	−0.2	−0.5	−2.9	719.2	719.2	720.1	82	63	73	NNE 1	NE 2	N 1	7	9	10	.	⏢ III
20	−0.9	0.8	−2.0	−0.7	−2.9	718.7	718.3	717.4	82	75	89	N 1	SE 0	NNE 1	10	10	2	.	
21	−1.7	3.1	1.9	1.1	−1.0	717.9	717.6	720.1	95	72	84	NE 1	NE 2	NE 1	10	9	10	.	
22	0.4	1.4	−0.4	0.5	−1.4	720.2	720.2	720.6	83	74	84	NE 1	NNE 1	NE 1	10	10	5	.	⏢ III
23	−1.9	4.5	4.0	2.2	0.4	718.6	716.3	714.4	98	60	58	SSE 1	WSW 1	SSW 2	10≡	9	10	1.1	≡ 7-9, ⌴ I, ⏢ III
24	1.8	3.3	0.2	1.8	0.2	711.3	708.8	**705.4**	96	74	98	WSW 1	SSW 2	WSW 1	10●*≡	10	10*≡	**5.0**	● 2¾-4¼, 5¾-6¾, *)
25	−2.5	−1.7	−5.1	−3.1	−4.6	712.8	715.8	719.8	86	80	84	NNW 1	NW 1	NNW 1	10*	10*	4	1.4	✳ 0-15½
26	**−7.5**	−0.7	−5.9	−4.7	−6.0	720.2	719.9	721.1	92	55	88	ESE 1	NNE 1	NE 1	4	2	0	.	⌴ I
27	−6.4	0.3	−4.9	−3.7	−4.9	721.2	**721.2**	720.6	98	60	91	S 1	S 1	ESE 1	10	1	0	0.1	⌴ I
28	−6.9	−4.1	−5.1	−5.4	−6.4	718.6	718.1	717.2	97	97	97	SW 1	SSW 1	NNE 1	10≡	10≡	10≡	0.2	≡ ⋁ n-n
29	−5.9	−3.7	−4.4	−4.7	−5.6	715.6	715.5	716.0	97	97	97	NNE 1	SSE 0	NE 1	10■	10≡	10≡	0.1	≡ ⋁ n-14, 18-n
30	−5.0	1.5	−3.6	−2.4	−3.2	715.6	714.7	713.6	97	67	95	NE 1	ENE 1	NE 1	10≡	4	10≡	0.0	≡ 7-9, 16-n
Mittel	0.8	5.1	2.3	2.7	—	714.2	714.1	714.6	93	71	88				8.6	7.4	7.4	Summe 10.8	

*) **24.** ● ✳ 7½-9¾, 16¾-19½, ✳ 19½-22¾, ≡ n-a mU, p-n, ⸙ 15¾-19¾

$\lambda = 6°\ 32'$, $\beta = 46°\ 51'$
$H_b = 1588$ m, $G = -0{,}13$ mm

Chasseron

November 1955
Beobachter: *J. Liardon*

1	0.4	4.7	2.0	2.4	—	**621.2**	622.4	623.7	100	85	100	SSW 1	W 0	S 2	4	5	10●≡	2.2	● 16½-n, ≡ 20-n mU
2	2.2	4.2	4.0	3.5	—	625.7	627.2	627.0	100	94	85	W 2	WSW 1	WSW 1	10❩≡	6	3	0.0	❩ n-12½ mU, ≡ n-12½
3	4.0	8.0	6.2	6.1	—	626.5	627.5	626.5	65	34	54	S 2	W 1	S 3	7	5	9	0.6	● n (3./4.), ⸙ III
4	5.8	9.2	7.0	7.3	—	625.3	625.5	626.0	84	85	100	SSW 2	WSW 1	WSW 2	5	9	10	2.3	⛆ 10-10¾
5	6.8	6.6	7.0	6.8	—	626.5	627.9	630.1	100	100	100	S 1	WSW 2	SE 1	10■	9●≡	10≡	9.2	● 8½, 10¾-19½ mU, ≡ n-n [mU
6	6.6	9.8	10.2	8.9	—	631.1	632.2	632.5	100	75	77	SE 1	SE 1	W 2	5	6	5	.	
7	8.8	**13.4**	10.8	11.0	—	631.6	631.1	631.3	56	44	52	SE 1	W 1	W 1	3	3	4	.	⸙ 13
8	7.2	10.0	7.0	8.1	—	629.1	628.0	627.7	66	62	76	SE 1	SSW 1	SW 2	7	5	4	.	
9	4.8	1.8	1.2	2.6	—	625.4	625.7	626.7	100	100	100	W 2	W 3	S 2	10≡	10●≡	10≡	**13.8**	⛉ ● 8-9, ● 11-15¾, ≡ n-n, [⸙ n-n mU
10	2.0	4.6	1.6	2.7	—	627.5	628.1	627.7	90	84	100	SSW 0	SSE 0	E 1	4	6	4	.	
11	1.6	5.0	5.6	4.1	—	627.7	627.3	627.9	100	67	20	ESE 1	ESE 1	WSW 0	2	3	3	.	⌴ I
12	3.8	3.8	2.0	3.2	—	627.9	628.7	628.4	34	66	92	WSW 1	ESE 1	E 2	4	7	5	.	⌴ I
13	5.0	6.3	2.0	4.4	—	627.6	627.6	627.0	39	58	100	ESE 1	NW 1	NW 2	5	5	10≡	.	≡ 17-n
14	−0.2	−0.8	−2.0	−1.0	—	626.8	627.4	627.0	100	100	100	— 0	— 0	E 0	10	10❩≡	10≡	0.0	❩ 13½, ≡ n-6¾, 7½-n, ⋁ III
15	−4.8	−5.0	−6.8	−5.5	—	627.5	628.8	630.6	100	100	98	NE 1	E 2	E 2	10	9	5	.	≡ ⋁ n-9¾
16	−8.2	−3.2	−5.6	−5.7	—	630.6	632.1	632.2	95	54	56	E 2	E 1	E 2	2	2	2	.	
17	−5.6	−5.4	−7.0	−6.0	—	631.2	630.7	630.4	100	100	100	E 2	E 2	E 2	10≡	10≡	10≡	.	≡ ⸙ n-n mU, ⋁ I, III
18	−8.8	−5.8	−9.2	−7.9	—	629.9	630.6	630.7	100	68	100	E 2	E 2	E 1	0	0	4	.	≡ n-7½ mU, ⋁ I
19	−10.2	−7.0	−8.4	−8.5	—	630.6	631.8	632.2	100	100	100	E 2	E 1	E 1	10≡	0	10≡	.	≡ n-9¾, 15¾-n, ⋁ I
20	−8.4	−5.4	−5.6	−6.5	—	631.2	631.2	630.5	100	100	83	E 1	N 1	NE 1	10≡	10≡	0	.	≡ n-14½, 16¾-18½, ⋁ I
21	−4.6	−3.0	−5.8	−4.5	—	630.3	631.3	632.9	100	92	100	E 1	E 2	E 1	10≡	0	0	.	≡ 7-8¾, 17½-n mU
22	−1.2	1.6	−4.4	−1.3	—	633.3	633.8	633.8	24	22	28	E 1	E 0	E 1	3	2	2	.	≡ 23¼-n
23	−5.6	−3.4	−5.0	−4.7	—	632.9	631.9	631.0	100	90	100	E 1	N 1	NNW 1	2	4	10	0.6	✳ ⋁ 17-18
24	−4.2	−4.8	−4.8	−4.6	—	627.6	625.7	622.1	100	100	100	NW 2	N 1	N 2	10≡	10≡	10*■	7.5	✳ n-15 mU, 15-n, ≡ n-n
25	−10.2	−10.2	**−12.6**	−11.0	—	627.0	629.1	631.6	100	100	100	N 0	N 1	N 1	10*≡	7	5	0.0	✳ n-8, 8-11 mU, ≡ n-12
26	−8.6	−6.4	−8.0	−7.7	—	632.6	632.9	633.0	**12**	26	23	NE 2	E 1	E 3	4	0	0	.	⸙ III
27	−4.6	−1.4	−1.8	−2.6	—	634.6	**635.4**	635.2	28	46	48	ESE 0	W 0	S 0	2	2	2	.	
28	3.4	3.6	2.4	3.1	—	633.5	633.3	632.3	25	18	28	SSW 0	W 0	S 1	0	0	0	.	
29	0.8	0.8	−0.4	0.4	—	630.4	630.3	631.1	46	76	86	W 0	WSW 2	S 2	6	9	6	.	
30	0.6	4.2	−0.8	1.3	—	631.2	632.2	629.6	84	85	88	S 1	— 0	SE 1	9	6	10	0.6	✳ ● 16½, ✳ n (30./1.)
Mittel	−0.7	1.2	−0.6	0.0	—	629.1	629.6	629.6	78	74	80				6.1	5.3	5.8	Summe 36.8	

Stationsverlegung am 23. November. Neues $H_b = 1601$ m. Luftdruckwerte vom 23. bis 30. auf alte Höhe reduziert.

November 1955
Beobachter: *Stationspersonal Rh. B.*

Bever

$\lambda = 9° 53'$, $\beta = 46° 33'$,
$H_b = 1711.8$ m, $G = -0.23$ mm

Tag	Lufttemperatur					Luftdruck			Relative Feuchtigkeit			Windrichtung und Stärke			Bewölkung			Niederschlag	Witterung
	7^{30}	13^{30}	21^{30}	Mittel	Abweich. vom Normalwert	7^{30}	13^{30}	21^{30}	7^{30}	13^{30}	21^{30}	7^{30}	13^{30}	21^{30}	7^{30}	13^{30}	21^{30}		
1	-2.1	5.7	0.9	1.5	2.0	615.1	615.2	617.5	100	79	92	NE 0	SW 1	SW 0	10	10	8	0.5	✳ n (1./2.)
2	-1.3	8.9	-2.0	1.9	2.6	619.0	620.3	921.1	100	82	100	SW 0	SW 0	SW 0	7	1	0	.	
3	-5.4	10.0	-0.7	1.3	2.2	621.3	620.1	620.3	97	33	92	W 0	SE 0	SW 0	3	8	9	.	
4	-0.1	10.0	3.1	4.3	5.4	619.6	618.4	620.3	91	40	85	SW 0	SW 0	SW 0	10	8	5	.	
5	1.1	10.2	0.0	3.8	5.1	620.8	621.1	623.0	92	65	100	S 0	SW 0	SW 0	7	4	0	.	
6	2.0	11.9	-0.8	4.4	5.9	624 6	624.3	625 8	95	54	100	SW 0	W 1	SW 0	9	1	0	.	
7	-4.2	13.2	-1.0	2.7	4.4	**626.1**	624.8	625.0	100	39	98	SW 0	SW 0	SW 0	0	0	0	.	⌙I
8	-3.6	11.4	1.8	3.2	5.1	623.3	621.0	621.1	100	51	96	SW 0	SW 0	SW 0	2	7	0	.	
9	0.9	7.4	3.9	4.1	6.2	619.5	618.5	619.0	95	77	93	SW 0	S 0	SW 0	5	8	3	0.6	● 15-p mU, n (9./10.), ⌙I,
10	1.8	4.9	1 4	2.7	5.0	619.5	618.6	619.9	100	81	100	S 0	NE 1	NW 0	10	10	10	8.8	● 14-n mU [♑I
11	0.9	6.8	-1.9	1.9	4.4	619.2	619.7	620.8	99	70	100	SW 0	NW 0	S 0	10	6	2	.	
12	-4.6	4.7	-3.6	-1.2	1.5	621.4	621.3	622.7	88	58	98	S 0	W 0	SW 0	0	3	0	.	⌙I
13	-6.6	6.8	-0.4	-0.1	2.8	621.2	619.0	617.9	100	57	98	S 0	SW 1	SW 0	0	8	10	1.0	✳ n (13./14.)
14	-0.4	3.6	-0.6	0.9	4.0	617.0	616.9	617.9	97	67	79	NE 0	NW 0	NE 1	10	5	0	.	
15	-2.0	-0.5	-5.1	-2.5	0.8	617.8	618.6	622.0	94	97	70	NE 1	NW 1	NE 0	10	10	0	0.0	
16	-10.0	-1.3	-4.8	-5.4	-1.9	623.2	622.1	623.4	71	44	61	N 0	NE 1	NE 0	1	0	0	.	⌙I
17	-12.8	-0.8	-9.9	-7.8	-4.1	623.4	622.3	623.0	96	48	93	SW 0	NW 1	SW 1	0	0	0	.	⌙I
18	-13.8	-3.2	-9.8	-8.9	-5.0	621.1	620.1	621.9	97	42	78	N 0	NE 0	NE 0	9	0	0	0.0	⌙I
19	-16.1	-2.4	-12.3	-10.3	-6.2	623.2	622.7	624.0	100	47	96	SW 0	NW 0	NE 0	0	0	0	.	
20	-15.1	0.0	-4.6	-6.6	-2.3	622.7	620.1	621.1	100	42	79	NE 0	NE 0	NE 0	0	5	3	.	⌙I
21	-11.8	-1.6	-9.4	-7.6	-3.1	622.5	622.1	623.9	100	67	92	NE 0	SE 0	S 0	10≡	0	0	.	≡ n-a
22	-12.0	3.0	-8.7	-5.9	-1.2	624.9	623.9	625.0	98	39	97	S 0	N 0	SW 0	4	1	0	.	⌙I
23	-12.6	6.5	-2.0	-2.7	2.2	622.8	619.6	618.2	98	**24**	57	SW 0	S 1	NW 0	0	9	2	0.0	☄ 19-21. ⌙I
24	-3.3	-3.3	-6.5	-4.4	0.7	614.9	613.6	**611.1**	83	80	89	NE 0	E 0	SW 0	10	10	10	1.1	✳ n (24./25.)
25	-8.4	-10.0	-11.1	-9.8	-4.5	614.3	616.4	620.7	81	88	65	NW 2	NW 0	NE 0	10	10	3	.	☩ n-a
26	**-18.6**	-6.6	-15.8	-13.7	-8.2	621.9	622.7	624.7	94	49	91	NE 0	SW 1	NE 0	0	10	0	.	
27	-17.0	-2.3	-12.6	-10.6	-4.9	624.7	624.2	625.9	100	51	97	S 0	NE 0	NW 0	0	0	0	.	
28	-15.0	2.7	-10.2	-8.2	-2.3	624.9	622.8	623.4	98	45	88	SW 0	SW 0	SW 0	0	0	0	.	
29	-13.6	1.2	-6.6	-6.3	-0.3	622.8	621.9	623.2	95	67	92	SW 0	S 0	SW 0	4	10	5	.	
30	-10.7	0.1	-2.0	-4.2	2.0	624.1	623.3	623.4	100	86	100	SW 0	SW 0	SW 0	4	10	10*	0.0	✳fl 14½-n mU
Mittel	-7.1	3.2	-4.4	-2.8	—	621.2	620.5	621.6	95	59	89				4.8	5.1	2.7	Summe 12.0	

November 1955
Beobachter: *Couvent des Capucins*

Sion

$\lambda = 7° 21'$, $\beta = 46° 14'$,
$H_b = 548.6$ m, $G = -0.11$ mm.

1	2.8	8.8	3.8	5.1	-1.6	708.6	**708.4**	711.0	100	72	97	WNW 1	WSW 1	WSW 0	4	9	9	0.2	● 3½-5, 16¼-17
2	4.2	12.0	6.4	7.5	1.0	712.9	712.7	714.4	97	60	85	WSW 0	**WSW** 1	W 0	9	1	0	.	
3	5.0	13.0	9.4	9.1	2.8	714.4	712.8	712.4	81	47	70	W 0	W 0	W 0	9	9	10	.	
4	9.6	15.6	10.8	12.0	5.8	711.3	709.7	711.8	61	**37**	90	WSW 0	**WSW** 0	W 0	10	8	10	0.6	● 20¾-21¼
5	8.0	16.8	11.1	12.0	6.0	712.5	712.5	715.5	75	50	86	ENE 1	WSW 2	**WSW** 0	7	8	0	.	
6	7.1	16.2	10.0	11.1	5.3	716.9	715.8	717.5	85	50	73	WSW 0	S 0	WSW 0	3	4	0	.	
7	7.1	**17.3**	12 1	12.2	6.5	717.5	715.4	715.9	80	40	61	WSW 0	WSW 0	SSW 0	0	1	0	.	
8	7.6	12.2	8.8	9.5	4.0	714.9	712.2	712.6	74	69	85	SSW 0	WSW 1	WSW 0	7	10	0	.	
9	7.4	12.6	9.0	9.7	4.3	711.1	710 1	713.4	82	70	99	SW 0	**WSW** 2	WSW 0	1	7	10●	**3.0**	● 19-23½
10	6.4	9.7	8.1	8.1	2.9	713.6	713.5	714.3	95	90	90	WSW 0	WSW 1	WSW 0	4	9	10	.	
11	7.4	11.9	4.9	8.1	3.1	714.7	713.2	713.1	86	54	92	E 1	E 0	**W** 1	10	0	0	.	
12	0.6	8.4	6.1	5.0	0.1	715.1	714.6	715.1	88	57	64	W 0	SW 1	WNW 1	1	8	**2**	.	
13	5.0	9.6	6.4	6.8	2.1	714.2	713.3	713.3	66	54	83	**NNE** 0	NE 0	NW 0	2	4	10	0.1	
14	5.6	7.2	6.5	6.4	1.9	713.5	714.0	713.8	97	89	90	WSW 0	WNW 0	**WNW** 0	10≡	10	10	.	☽ 5½-6, ≡ n-a
15	5.8	7.1	3.6	5.5	1.1	713.3	714.2	717.3	92	63	72	WNW 0	SW 1	WNW 1	10	9	3	.	
16	-1.8	4.8	0.8	1.3	-2.9	719.0	718.3	719.8	80	59	71	NNE 1	WSW 1	ENE 0	0	0	0	.	
17	-3.4	3.4	0.5	0.2	-3.9	719.2	717.8	719.2	87	57	72	ENE 0	ENE 1	ENE 1	0	0	0	.	
18	-3.5	3.2	1.2	0.3	-3.6	718.7	717.6	718.4	84	66	72	ENE 0	WSW 1	WSW 0	10	5	10	.	
19	-3.0	1.8	-2.0	-1.1	-4.8	719.2	717.4	721.5	72	59	73	E 0	WSW 1	NE 2	0	0	0	.	
20	-6.2	0.2	-0.3	-2.1	-5.7	721.2	718.9	719.0	86	61	75	NNE 0	NE 1	SW 1	0	0	10	.	
21	-5.0	2.8	-1.0	-1.1	-4.5	719.3	718.5	721.7	85	57	76	SW 0	WSW 0	SW 1	0	0	0	.	
22	-4.8	1.7	-1.4	-1.5	-4.7	722.5	721.3	722.6	87	61	81	SW 0	SW 0	SW 0	1	0	0	.	
23	-5.1	2.0	0.6	-0.8	-3.9	721.3	719.0	717.6	91	68	74	WSW 0	WSW 1	NNE 2	0	0	7	.	
24	0.6	5.4	3.0	3.0	0.1	713 9	711.8	709.4	77	64	78	NNE 0	W 3	W 1	9	8	10	**3.0**	✳ 22-24, ☄ II
25	0.3	1.6	-3.5	-0.5	-3.3	713.7	715.9	719.8	81	55	67	W 0	NNW 1	WSW 0	3	2	0	.	✳ 0-0¼
26	-7.2	-2.2	-5.8	-5.1	-7.7	721.8	721.3	721.2	82	59	80	N 1	**NNE** 1	NNE 0	0	0	0	.	
27	**-8.0**	-0.6	-3.8	-4.1	-6.5	**723.3**	721.8	722.1	90	60	75	NNE 0	NNE 0	WSW 1	0	0	0	.	
28	-5.4	0.4	-3.2	-2.7	-5.0	720.2	719.2	728.7	82	65	80	WSW 0	WNW 1	WNW 0	0	0	0	.	
29	-5.0	0.8	-1.6	-1.9	-4.0	716.9	716.7	717.1	85	73	85	**WNW** 0	WNW 1	WNW 0	4	10	10	.	
30	-0.6	8.0	4.0	3.8	1.9	717.1	716.0	715.7	75	47	70	NW 1	NW 0	SW 0	10	5	10	.	
Mittel	1.1	7.1	3.5	3.9	—	716.4	715.5	716.5	83	60	79				4.1	4.2	4.4	Summe 6.9	

$\lambda = 8°\,57'$, $\beta = 46°\,0'$,
$H_b = 276.2$ m, $G = -0.01$ mm.

Lugano

November 1955
Beobachter: *G. Vicari*

Tag	Lufttemperatur					Luftdruck			Relative Feuchtigkeit			Windrichtung und Stärke			Bewölkung			Niederschlag	Witterung
	7^{30}	13^{30}	21^{30}	Mittel	Abweich. vom Normalst	7^{30}	13^{30}	21^{30}	7^{30}	13^{30}	21^{30}	7^{30}	13^{30}	21^{30}	7^{30}	13^{30}	21^{30}		
1	7.0	8.4	6.6	7.3	−1.2	733.6	734.8	736.6	99	85	99	— 0	S 1	N 1	10●	10●	10●	7.6	● n-n mU
2	6.8	11.0	5 6	7.8	−0.5	738.6	739.3	739.7	95	66	95	N 1	S 1	N 1	10	8	0	.	
3	4.2	12 8	7.4	8.1	0.0	738.4	737.6	737.4	93	63	89	N 1	S 1	N 1	3	7	5	.	
4	7.2	15.2	10.4	10.9	3.0	737.0	736.1	737.8	91	54	90	N 1	S 1	N 1	9	9	8	.	
5	9.2	15.0	11.6	11.9	4.1	738.1	738.5	740.5	94	63	90	N 1	S 1	— 0	6	5	10	.	
6	9.8	16 8	10.4	12.3	4.7	741.8	742.9	743.7	95	63	91	N 1	N 1	N 1	8	8	3	.	
7	7.4	16.2	10.2	11.3	3 9	743.3	741.7	741.6	94	55	89	N 1	S 1	— 0	3	0	0	.	
8	8.2	10.8	9.2	9.4	2.1	740.1	738.9	738 6	99	86	99	— 0	S 1	— 0	10≡	9	5	.	≡ n-11
9	10.4	11.4	10.8	10.9	3.8	737.3	736.8	737.2	91	96	99	— 0	— 0	— 0	10	10●	10●	13.6	● 10-n
10	10.4	10.8	9.4	10.2	3.2	737.1	736.4	735.8	98	96	98	S 1	S 1	— 0	10	10●	10	13.9	● 8-18
11	8.8	15 6	10.2	11.5	4.7	736.1	736.2	737.9	95	57	92	N 1	S 1	N 1	8	1	4	.	
12	9.4	14 2	9.0	10.9	4.2	739.5	739.8	740.7	94	67	95	S 1	S 1	N 1	10	6	5	.	
13	6.4	11 0	9.2	8.9	2.4	739.3	738.1	736 6	88	76	99	N 1	S 1	— 0	1	10	10●	18.3	● 19-n
14	7.4	13 4	7.2	9.3	2.9	734.8	734.2	735.1	98	59	94	— 0	S 1	— 0	10	1	5	.	
15	5.8	12.4	6.2	8.1	1.9	735.2	736.2	740.3	89	57	88	S 1	S 1	N 1	10	6	0	.	
16	1.8	10.2	2.4	4.8	−1.3	743.3	742.4	743.1	82	48	83	N 1	S 1	N 1	0	0	0	.	
17	0.4	9.2	1 4	3.7	−2.2	743.6	743.8	743.4	91	52	83	N 1	S 1	N 1	1	0	0	.	⌊
18	−0.8	5.4	1.6	2.1	−3.7	742.1	742.1	743.3	85	72	85	N 1	S 1	N 1	0	9	3	.	⌊
19	−1.4	8.4	1.8	2.9	−2.7	744 6	744.5	745.1	68	37	66	N 1	S 1	N 1	0	0	0	.	⌊
20	−1.8	8.8	2.2	3.1	−2.4	744.0	740.3	739.1	72	43	71	N 1	S 1	N 1	0	0	3	.	⌊
21	−0.8	10.2	2.4	3 9	−1.5	741.4	741.8	742.1	83	45	75	N 1	S 1	N 1	0	0	4	.	⌊
22	0.8	10.2	2.6	4.5	−0.7	743.8	743 1	744 1	84	51	71	S 1	S 1	N 1	10	3	0	.	
23	0.4	11.0	3.2	4.9	−0.2	742 2	739.0	734.1	87	49	81	N 1	S 1	N 1	0	3	3	.	⌊
24	11.2	15.2	4.2	10 2	5.3	731.1	730.0	**728 6**	31	**27**	44	N 2	N 2	N 1	0	1	0	.	
25	6.2	8.4	4.4	6.3	1.5	732.1	734.4	740 0	37	28	29	N 2	N 2	N 2	0	0	0	.	
26	−1.4	8.2	0.2	2.3	−2.4	741 7	743.8	746.0	48	36	61	N 1	S 1	N 1	1	0	0	.	⌊
27	**−2.8**	7.2	−1.2	1.1	−3.4	**746.7**	745.5	746.2	73	46	72	N 1	S 1	N 1	0	0	0	.	⌊
28	−2 2	8.2	0.4	2.1	−2.3	745 6	744.0	743 1	71	52	88	N 1	S 1	N 1	0	0	0	.	⌊
29	2.4	4.8	3.4	3.5	−0.8	742.9	743.9	744.4	83	68	82	S 1	S 1	— 0	10	10	10	0.0	◑ n (29./30.)
30	3.2	3.8	3.0	3.3	−0.8	745.7	746.3	745.0	77	97	100	— 0	— 0	— 0	10◑	10●	10◑	15.6	◑ ● 7-n
																		Summe	
Mittel	4.5	10.8	5.5	6 9	—	740.0	739.7	740.2	83	60	83				5.0	4.5	3.9	69.0	

$\lambda = 7°\,35'$, $\beta = 47°\,33'$,
$H_b = 317.3$ m, $G = 0.11$ mm.

Basel

November 1955
Beobachter: *Astronom.-Meteorol. Anstalt*

1	−4.2	4.3	3.1	1.1	−4.7	730.3	730.2	730.5	97	66	73	NW 0	ESE 2	E 1	3	6	10	.	⌊
2	3.9	11.6	5.9	7.1	1.5	732.1	732.5	732.7	82	61	90	ESE 1	NNE 0	ESE 1	10	1	2	.	
3	4.1	13.2	9.0	8.8	3.3	732.5	732.1	730.6	95	62	81	ESE 1	E 1	NNE 1	10	4	7	0.3	
4	8.4	12.0	11.9	10.8	5.4	729 5	729.5	729.3	88	76	77	E 1	ESE 1	ESE 1	10	10●	10	1.4	● 3-3½, 1½-5¾, ●tr 13½ 22-24
5	10.4	12.2	11.9	11.5	6.3	730.4	731.5	733.6	95	97	97	ESE 1	ESE 1	ENE 1	10	10●	10	**7.6**	● 0-0½, 2¾-4, 11-15¼, 18¼-22¾ mU
6	9.6	16.5	12.2	12.8	7.7	734.8	735.4	736.0	98	71	83	ESE 1	E 1	ESE 1	10≡	8	1	.	≡ 6-7¾
7	8.4	**18.9**	9.4	12.2	7.2	735.3	734.2	734.1	93	**53**	87	E 1	E 1	ESE 1	0	1	1	.	
8	7.2	14.4	9.8	10.5	5.6	733.1	731.5	731.1	96	72	88	E 1	ESE 1	ESE 2	4	7	8	.	
9	7.2	14.4	10.0	10.5	5.8	729.5	730.0	731.6	96	67	82	ESE 1	SSW 1	SE 1	7	10	9	0.3	● 15¼-16¼
10	5.7	12.7	6.5	8.3	3.7	733 1	733.3	734.2	99	71	98	ESE 1	E 0	ESE 1	10≡	7	7	0.0	≡ 6¾-10¼
11	3.4	10.1	7.5	7.0	2.5	734.2	733.4	733.0	**97**	75	78	SE 0	ESE 1	ESE 2	10	10	2	.	
12	1.7	10.6	2.8	5.0	0.7	734.0	734.3	734.6	96	70	93	SSE 1	ESE 1	E 0	1	5	0	.	⌊
13	2.4	6.0	4.0	4.1	−0.1	734.1	734.0	734.6	98	82	92	SW 1	ENE 1	W 0	10≡	10	10	0.1	= 0-8
14	4 0	6.5	4.2	4.9	0.8	734.5	734.8	735.9	97	93	90	WNW 0	SSW 0	WNW 1	10	10	10	.	◑ 5½-6¾
15	1.4	7.4	1.6	3.5	−0.5	737.4	738.4	741.8	91	60	72	NW 1	N 1	ENE 0	10	8	8	.	
16	−2.5	2.7	0.6	0.3	−3.5	743.3	743.4	743.2	98	77	90	WNW 1	NNW 1	SW 1	10≡	7	0	0.0	≡ 5¾-8½, ⌊
17	0.6	5.5	−0.9	1.7	−2.0	742.5	741.8	741.9	92	**53**	95	SSW 0	E 2	NW 1	10	7	5	.	✶ fl. ¼, ≡ 9-11, 22¼-24
18	−3.1	−0.8	−3.6	−2.5	−6.1	741.6	741.8	742.6	100	86	95	NW 0	WNW 1	SW 0	10≡	1	0	.	≡ 0-11¾
19	−4.9	0.5	−0.8	−1.7	−5.2	743.1	743.0	743.2	95	75	86	WSW 1	NW 1	S 0	5	6	10	.	⌊
20	−3 9	−2.5	−2.0	−2.8	−6.1	742.8	742.1	740.9	97	94	95	NW 1	W 0	WNW 0	10≡	10	10	.	≡ 7-8
21	−1.0	1.6	1.2	0.6	−2.6	740.9	741.8	743 3	91	91	98	E 0	NW 1	NW 0	10	10	10	.	
22	1.1	2.5	0.1	1.2	−1.9	743.8	743.7	743.8	98	70	93	NW 0	E 1	E 0	10≡	10	10	.	≡ 6½-10
23	−1.4	5.0	5.0	2.9	0.0	741.5	739.3	737.4	92	72	69	S 1	SE 1	WSW 2	9	10	10	0.1	
24	3.3	5.4	1.9	3.5	0.7	734.9	731.7	**728.8**	93	71	98	NW 1	WSW 2	WNW 2	10	9	10●	2.0	● 6¾-7¼, 16-17¼, 18¼-23½, ⛈ 15¾
25	−0.9	0.2	−3.1	−1.3	−4 0	736.2	739.6	743.3	86	72	86	NNW 1	NNW 1	NW 1	10*	6	0	0.0	● ✶ 5-7½
26	−7.1	1.0	−4.6	−3.6	−6.2	**744 0**	743.3	743.5	94	69	91	E 1	E 1	E 0	2	0	0	.	⌊
27	**−7.2**	1.0	−3.5	−3.2	−5.6	**744.0**	743.9	743.4	95	73	87	E 1	ESE 1	E 1	3	1	0	.	⌊
28	−7.0	0.1	−4.8	−3.9	−6.2	741.6	740.8	739.8	97	81	98	ESE 1	E 1	ENE 1	0	0	0	.	⌊
29	−5.5	0.2	−2.8	−2.7	−4.9	738.1	737.3	737.6	99	83	95	E 1	E 2	E 2	5	7	4	.	⌊
30	−2.0	5.0	−0.4	0.9	−1.2	737.7	737.1	736.3	93	61	93	ENE 1	E 1	E 1	7	3	10	0.0	⌊
																		Summe	
Mittel	1.1	6.6	3.1	3.6	—	737.0	736.9	737.1	95	73	88				7.5	6.5	5.8	11.8	

November 1955
Beobachter: *Observatorium*

Säntis

$\lambda = 9° 20'$, $\beta = 47° 15'$,
$H_b = 2500.1$ m, $G = -0.27$ mm.

Tag	Lufttemperatur					Luftdruck			Relative Feuchtigkeit			Windrichtung und Stärke			Bewölkung			Niederschlag	Witterung
	7^{30}	13^{30}	21^{30}	Mittel	Abweich. vom Normalst	7^{30}	13^{30}	21^{30}	7^{30}	13^{30}	21^{30}	7^{30}	13^{30}	21^{30}	7^{30}	13^{30}	21^{30}		
1	-1.5	-0.6	-2.0	-1.4	1.7	555.4	556.3	557.6	85	86	85	ESE 2	SSW 3	SW 2	6	2	9	0.5	✳ n (1./2.)
2	-2.5	0.2	-1.4	-1.2	2.0	559 2	560.7	561.8	96	90	85	SW 2	SW 2	WSW 3	10	3	1	.	≡ 12–13½ mU
3	-0.8	2.6	2.8	1.5	4.8	561.9	562.1	561.5	52	26	17	WSW 2	SW 2	SW 2	6	9	7	.	
4	2.8	6.0	4.2	4.3	7.8	560.6	560.8	561.6	78	73	78	SW 2	WSW 2	W 2	10	10	9	.	⊕ ll
5	2.8	5.0	2.4	3.4	7.0	561.9	562.9	564.7	84	78	88	SW 2	S 2	E 1	9	4	2	0.2	● n (5./6.)
6	2.6	5.3	3.9	3.9	7.6	566.1	566.5	**567.4**	94	82	62	ENE 2	SSW 2	WSW 2	1	8	1	.	
7	3.3	**7.1**	4.4	4.9	8.7	566.9	566.9	566.4	61	54	51	SE 2	SSW 2	ENE 2	1	2	1	.	
8	3.0	5.3	1.5	3.3	7.3	564.2	562.8	562.3	78	66	85	S 3	SSW 3	SSW 2	7	9	1	.	
9	0.8	2.2	-2.6	0.1	4.2	559.6	559.7	560.5	66	72	100	SSW 3	SSW 3	W 2	5	4	10≡	1.1	✳ n (9./10), ≡ 18½-n
10	-2.4	-1.9	-2.2	-2.2	2.0	561.0	561.1	561.6	94	87	100	W 2	NE 1	N 3	10	10	10≡	1.0	✳ 20–20½, ≡ 17¾-n
11	-2.4	-1.0	-1.9	-1.8	2.5	561.0	560.7	561.2	100	82	85	NNE 3	ESE 2	WSW 3	10≡	1	0	.	≡ n–9½
12	-0.8	2.6	-0.7	0.4	4.8	561.5	562.4	562.3	23	26	56	WSW 2	ESE 2	S 3	1	4	1	.	
13	1.7	1.9	-0.2	1.1	5.7	561.8	561.4	560.2	37	77	52	NNE 1	ESE 2	NNE 2	4	5	3	.	
14	-5.1	-4.0	-6.8	-5.3	-0.6	558.8	559.1	559.5	81	96	100	WNW 2	W 2	W 1	6	10≡	10≡*	7.2	✳ 20-n, ≡ 11-n
15	-9.4	-10.6	-13.4	-11.1	-6.3	558.9	559.8	561.5	93	97	93	E 1	NE 2	NE 3	10	10≡	10≡	0.6	✳ 8-11, 14¾-16¾, ≡ 7¾-n
16	-12.7	-9.2	-10.2	-10.7	-5.8	562.3	563.2	563.6	78	28	100	NE 3	NE 3	NNE 2	1	1	10≡	.	≡ 19¾-n, ⋁ 19½-n
17	-11.7	-11.1	-8.6	-10.5	-5.5	562.4	562.8	562.6	96	47	35	NNE 3	NNE 2	N 3	10≡	1	0	.	≡ n–8¼, ⋁ n-8
18	-10.1	-12.0	-15.1	-12.4	-7.3	560.8	560.7	560.9	30	48	93	N 3	N 3	N 2	0	1	10≡*	0.2	✳ 14-n, ≡ 13¾-n, ⋁ 14½-n
19	-10.8	-10.0	-10.6	-10.5	-5.2	561.5	562.0	562.7	90	84	86	N 3	NE 3	NE 2	1	3	0	.	
20	-8.7	-8.8	-10.0	-9.2	-3.8	561.9	561.6	561.3	90	100	56	NNE 3	N 3	N 3	1	10≡	1	.	≡ 12½–18¾, ⋁ 14–18¾
21	-10.0	-8.9	-6.4	-8.4	-2.9	561.9	562.7	564.2	97	95	**15**	NE 3	NE 2	N 2	1	1	0	.	
22	-6.0	-1.2	-4.0	-3.7	1.9	564.9	565.7	565.4	25	37	50	N 2	— 0	WNW 2	5	1	0	.	
23	-5.8	-5.6	-9.7	-7.0	-1.3	563.1	561.2	559.1	75	67	99	WSW 4	W 4	W 3	1	6	10≡	15.0	✳ n (23./24.), ≡ 16¾n, *)
24	-10.7	-11.2	-11.5	-11.1	-5.3	556.2	554.5	**551.3**	97	96	100	W 3	WNW 3	NW 2	10≡*	10≡*	10≡*	**23.1**	✳≡ n-n, ⋁ n-8, 16-n
25	-17.0	-15.8	**-18.9**	-17.2	-11.3	554.7	556.8	559.9	98	96	97	NE 1	NW 1	NNW 3	10≡*	10≡*	10≡*	5.2	✳ n-11, 12½-n, ≡ n-n mU
26	-15.1	-11.9	-9.9	-12.3	-6.3	561.2	562.0	563.3	42	67	83	N 3	N 3	NE 2	2	2	0	.	
27	-8.8	-7.7	-5.0	-7.2	-1.2	564.2	564.8	565.8	57	64	33	W 3	W 3	WSW 3	1	1	1	.	
28	-3.2	-1.6	-4.2	-3.0	3.1	564.9	564.5	563.4	28	31	33	WSW 3	WSW 3	WSW 3	1	0	0	.	
29	-3.8	0.7	-3.5	-2.2	4.0	562.6	562.7	562.9	26	24	37	WSW 2	WSW 2	S 2	3	10	9	.	
30	-5.0	-2.0	-5.1	-4.0	2.3	562.6	562.9	562.2	53	80	90	SSE 2	SW 3	SSW 3	4	8	4	.	
Mittel	-4 9	-3.2	-4.8	-4.3		561.5	561.7	562.0	70	68	72				4.9	5 2	4.7	Summe 54.1	*) **23**, ⋁ 17-n, ☔ n-p, ☔ 16½

November 1955
Beobachter: *E. Chiesa*

St. Gotthard (Hospiz)

$\lambda = 8° 34'$, $\beta = 46° 33'$,
$H_b = 2095$ m, $G = -0.25$ mm.

1	-2.0	-0.8	-2.8	-1.9	0.4	584.9	586.1	587.2	98	98	98	SE 0	SE 0	SE 0	10≡	10■	10≡	4.0	✳ 16½-n mU, ≡ n-n
2	-3.1	1.0	-2.0	-1.4	1.1	588.5	590.0	591.2	98	85	72	SE 1	SE 1	NW 0	10≡	10	0	.	≡ n-a
3	-1.1	5.3	1.4	1.9	4.5	591.2	591.5	591.2	61	51	72	SE 0	SE 0	NW 1	3	9	6	.	
4	1.3	3.3	1.5	2.0	4 8	590.4	590.4	590.7	70	67	80	SE 0	SE 0	SE 0	9	6	3	.	
5	1.8	3.0	1.5	2.1	5.0	590.9	592.1	594.0	72	85	90	SE 0	SE 0	SE 0	10	10	10	.	
6	1.3	4.3	2.2	2.6	5.6	594.6	595.5	**596.4**	95	82	80	SE 0	SE 0	SE 0	0	10	0	.	
7	2.2	**6.2**	4.0	4.1	7.3	596.1	596.2	596.0	76	67	80	SE 0	SE 0	SE 0	0	0	0	.	
8	3.5	4.0	1.8	3.1	6.4	594.2	593.6	592.2	88	86	99	SE 1	SE 0	SE 1	10	10	10≡	1.0	● n (8./9.), ≡ 20¼-n
9	0.6	1.0	0.3	0.6	4.0	590.4	590.0	589.7	99	99	99	SE 0	SE 1	SE 1	10●≡	10●≡	10≡	**33.0**	● n–10¾ mU, ✳ 19¾-n mU
10	-0.1	2.7	-0.2	0.8	4.3	589.6	590.2	590.2	99	78	99	SE 0	SE 0	NW 1	10	10	10≡	0.6	✳ n (10./11.), ≡ 16½-n
11	0.2	2.8	-0.4	0.9	4.6	590.0	590.1	591.0	78	72	80	NW 1	NW 0	SE 1	0	0	0	.	≡ 18–19½
12	-2.2	0.2	-1.0	-1.0	2.8	591.3	591.9	592.3	85	76	88	SE 1	SE 1	SE 0	9	10	10	.	≡ 19¾-n mU
13	-1.7	2.4	-0.7	0.0	3.9	591.5	591.3	588.9	82	79	76	SE 0	SE 1	NW 1	0	6	10	.	
14	-3.2	-3.7	-4.2	-3.7	0.3	587.6	587.8	588.3	98	98	98	NW 2	NW 2	NW 2	10≡	10■	10≡	2.7	✳ n (14./15.), ≡ n-n
15	-6.0	-6.6	-9.3	-7.3	-3.2	587.9	589.0	591.1	99	83	85	NW 1	NW 1	NW 2	10■	10≡	10≡	0.9	≡ ⋁ n–n
16	-11.2	-8.8	-10.2	-10.1	-5.9	592.0	592.6	592.8	91	90	93	NW 1	NW 1	NW 2	0	0	0	.	
17	-9.0	-6.0	-8.2	-7.7	-3.4	592.4	592.3	592.2	75	58	68	NW 1	NW 1	NW 2	0	0	0	.	
18	-10.1	-10.6	-11.2	-10.6	-6.2	590.4	590.4	590.9	57	93	94	NW 2	NW 2	NW 2	0	0	10	0.4	✳ 19½-n mU
19	-14.0	-6.6	-10.2	-10.3	-5 8	591.5	592.3	594.0	82	43	56	NW 1	NW 0	NW 0	0	0	0	.	
20	-9.8	-7.4	-9.3	-8.8	-4.2	591.9	591.0	590.8	70	62	96	SE 0	NW 2	NW 2	0	3	10≡	.	≡ 18-n
21	-6.7	-3.4	-6.8	-5.6	-0.9	591.4	592.3	593.2	61	34	65	NW 1	NW 0	NW 1	0	0	0	.	
22	-4.1	-2.0	-3.2	-3.1	1.7	594.4	594.6	594.9	31	37	40	NW 1	NW 0	NW 1	3	0	0	.	
23	-2.8	-3.8	-7.9	-4.8	0.1	593.1	591.8	589.1	39	63	72	NW 1	NW 1	NW 3	0	3	10≡	0.9	✳ n (23./24.), ≡ 17-n, ☔ III
24	-7.4	-7.8	-8.6	-7.9	-2.9	585.6	584.3	**581.5**	71	84	92	NW 3	NW 2	NW 1	10≡	10	10*≡	7.9	✳ 9½-n mU, ≡ ⋁ n-n mU, ☔ n-a
25	-10.2	-13.8	**-15.0**	-13.0	-7.9	583.9	586.1	589.5	90	89	92	NW 2	NW 3	NW 4	10≡	9≡	10	.	≡ n-p mU, ☔ n-n, ☔ n-n mU, [☔ III
26	-12.8	-11.7	-9.7	-11.4	-6.2	590.2	591.5	592.6	34	37	47	NW 2	NW 2	NW 1	0	0	0	.	
27	-7.4	-5.6	-2.7	-5.2	0.1	593.4	594.1	594.3	44	46	32	NW 1	NW 1	NW 1	0	0	0	.	
28	-1.0	1.4	-1.7	-0.4	5.0	594.2	593.8	593.2	**25**	28	39	NW 0	NW 0	NW 1	0	0	0	.	
29	-5.7	-3.1	-5.8	-4.9	0.6	592.1	592.7	593.2	38	84	95	NW 0	SE 0	SE 1	0	3	10	.	
30	-5.8	-4.5	-4.4	-4.9	0.6	593.2	593.8	593.1	97	98	98	NW 1	SE 1	SE 1	10	10≡	10*≡	7.4	✳ 11¼-n mU, ≡ 11¼-n
Mittel	-4.2	-2.3	-4.1	-3.5	—	591.0	591.3	591.5	73	72	79				4.5	5.3	5.6	Summe 58.8	

$\lambda = 7°\,26'$, $\beta = 46°\,57'$,
$H_b = 572.2$ m, $G = 0.00$ mm.

Bern

Dezember 1955
Beobachter: *Meteorologisches Observatorium*

Tag	Lufttemperatur					Luftdruck			Relative Feuchtigkeit			Windrichtung und Stärke			Bewölkung			Niederschlag	Witterung
	7^{30}	13^{30}	21^{30}	Mittel	Abweich. vom Normalst	7^{30}	13^{30}	21^{30}	7^{30}	13^{30}	21^{30}	7^{30}	13^{30}	21^{30}	7^{30}	13^{30}	21^{30}		
1	−0.3	4.0	−0.7	1.0	0.1	711.2	710.4	711.7	96	81	100	SE 0	NE 0	NE 0	9	9	10≡	0.6	●tr 5¾-7, 9-10, ≡ 19½-24, ⌴ I, III
2	−3.4	2.0	−2.0	−1.1	−1.8	714.4	716.4	719.4	100	89	100	NE 0	NE 0	W 0	10≡	2	10≡	.	≡ 0-10, 17½-22¾
3	−1.4	6.2	4.7	3.2	2.6	721.8	721.0	721.4	98	71	94	S 0	W 0	SE 0	9	3	10	1.9	● 19¼-20½, ⌴ I
4	6.7	7.0	2.2	5.3	4.8	721.8	722.5	723.5	98	96	100	W 0	SE 0	SE 0	10●	9	10≡	1.6	● 3¾-11¾, ≡ 19-24, △ III
5	−1.6	1.5	0.4	0.1	−0.2	**724.1**	723.5	723.6	100	100	100	NE 0	N 0	SE 0	10≡	1	10≡	0.1	≡ 0 12¾, 19-23½, ∼ I, △ III
6	−1.7	0.3	−1.7	−1.0	−1.2	723.2	722.4	722.4	100	88	100	S 0	E 0	E 0	10	8	10≡	.	≡ 9 6¼-7, ≡ 15¾-24, ⌴ III
7	−4.0	1.0	−2.0	−1.7	−1.8	719.5	718.1	716.9	100	81	100	SE 0	SE 0	W 0	10≡	0	10≡	.	≡ 0-10¼, 16¾-24, ⌴ I, III
8	−2.8	5.6	1.9	1.6	1.6	716.2	715.9	716.2	98	59	86	N 0	N 0	N 0	9	6	9	0.1	● 18¾-19, ≡ 0-2½, ⋁ I
9	−1.9	0.4	−1.4	−1.0	−0.9	714.7	713.4	711.4	100	97	100	N 0	N 0	SW 0	10≡	10	10≡	.	≡ 0-5, 6¾-10½, 14½-23, ⌴ I, III
10	−2.4	4.9	6.0	2.8	3.0	707.5	704.6	706.0	100	64	82	SE 0	W 2	WSW 2	10≡	10	9●	10.7	● 13¾-22, ≡ 0-8½, ⌴ I
11	5.4	7.4	4.6	5.8	6.1	706.9	706.0	705.7	72	66	94	SW 2	SW 1	NNE 1	9	9	10●	7.5	● 20½-24
12	4.9	9.3	1.9	5.4	5.8	705.5	705.5	707.1	98	81	100	SE 0	SE 0	N 1	10●	6	10≡	0.0	● 0-7¾, ≡ 16-24
13	0.6	3.0	2.4	2.0	2.5	708.6	708.9	709.0	100	92	92	N 0	E 0	E 0	10≡	10	10	0.0	≡ 0-10½, △ I
14	1.2	2.2	2.9	2.1	2.7	705.7	702.7	700.5	94	92	97	SE 0	SE 0	SE 0	8	10	10●	9.8	● 19-24
15	4.0	5.3	9.0	6.1	6.8	698.9	**696.0**	696.1	99	95	65	SE 0	SE 0	SW 3	10	10●	9	6.0	● 0-5½, 13¼-17¾
16	6.9	8.1	5.0	6.7	7.5	699.3	702.1	703.1	84	81	91	SW 2	SW 2	S 0	9●	9	0	3.4	● 4½-17 mU
17	4.0	6.5	5.6	5.4	6.2	701.4	702.8	703.6	95	92	82	S 0	W 2	SW 2	10●	9●	6	18.6	● 6¾-14¾
18	4.7	5.9	4.4	5.0	5.9	705.0	706.4	707.0	92	92	95	S 0	W 0	SE 0	9	9●	10	2.7	● 1½-15 mU
19	2.8	3.5	2.1	2.8	3.8	707.1	706.8	705.7	100	95	93	NE 0	N 1	N 1	10≡	10	10	.	≡ 6½-9, 10¾-12¼
20	1.4	3.5	2.0	2.3	3.3	704.5	703.5	703.0	82	67	89	SE 0	W 1	SE 0	8	6	10●	2.0	● 20¾-24, ⊕ II
21	2.0	5.9	3.5	3.8	4.9	703.5	704.1	706.3	97	69	83	SE 0	NE 0	S 0	8	6	10	0.2	● 0-2, 22¼-24
22	2.0	5.0	1.3	2.8	3.9	709.6	711.5	712.0	90	84	98	SE 0	S 0	SE 0	10●	9	10	0.4	● 0-1, 5¾-6¾, 7½-10, ᗢ I
23	1.6	4.8	4.7	3.7	4.9	710.0	708.6	711.3	93	78	98	SE 0	SE 0	SE 0	10●	10	10●	10.9	● 6-8½, 9¾-10, 15¼-21½, 23½-24
24	3.9	6.4	5.1	5.6	6.8	711.3	709.9	708.6	98	86	98	SE 0	SE 0	SE 0	9	9	10	3.8	● 5-7, 14¼-16, 17¼-21¾, ᗢ 0½
25	4.2	7.2	5.3	5.6	6.9	711.4	714.8	718.8	98	86	89	SW 0	S 0	SW 0	10●	8	10	1.3	● 2¼-10¾,, 17-17¾, 22¾-24
26	3.0	5.9	3.4	4.1	5.4	719.9	719.6	717.6	97	73	90	SE 0	S 0	S 0	4	8	9	2.7	● 0-0½, ⊕ 12½
27	4.7	6.4	4.8	5.3	6.7	718.3	719.2	719.8	92	68	73	WSW 1	WSW 2	SW 1	8	10	10●	3.3	● 0-1¾, 4-6, 14-24 mU
28	4.1	8.5	8.8	7.1	8.5	718.6	718.0	717.0	97	85	79	SE 0	NE 0	SW 2	10	9	6	3.5	● 0-5¾, 15¼-16¼, 23½-24
29	9.1	**9.7**	5.0	7.9	9.4	713.7	712.7	706.3	81	64	76	WSW 2	WSW 2	SE 1	10	8	10	3.4	● 0¼-7, 23½-24, ☄ 23-24
30	7.5	7.5	2.1	5.7	7.2	698.6	698.2	700.5	74	**50**	80	WSW 3	SW 2	SSW 1	9●	9	9	5.0	● 0-5, 6¾-7, 15-18¼, ✶ 23-24, ☄ n-p
31	0.1	1.1	−1.2	0.0	1.5	707.8	711.2	713.7	99	90	94	NE 1	NW 0	SE 0	10*	9	7	3.2	✶ 0-5¼, 7-14½ mU
																		Summe	
Mittel	2.1	5.1	2.9	3.4	—	711.0	710.9	711.1	94	81	91				9.3	7.8	9.2	102.7	

$\lambda = 6°\,57'$, $\beta = 47°\,0'$,
$H_b = 487.3$ m, $G = 0.02$ mm.

Neuchâtel

Dezember 1955
Beobachter: *Observatorium*

1	0.5	2.6	0.4	1.2	−0.7	718.9	718.2	719.5	94	93	96	NW 0	E 0	NE 0	10	10≡	10≡	1.2	● 5½-6¼, 9½-10¼, ≡ a-n
2	-1.3	0.0	0.0	−0.4	−2.2	722.5	724.5	727.5	96	97	99	NE 0	E 0	NE 0	10≡	10≡	10≡	0.2	≡ n-n
3	0.6	3.6	6.2	3.5	1.8	730.0	728.9	729.3	100	97	91	NW 0	SW 1	W 1	10≡	4	10	0.3	≡ n-13
4	8.9	9.7	5.7	8.1	6.5	729.1	730.2	731.2	67	76	84	NW 3	SW 1	NE 1	10	3	0	0.1	● 5¼-8 mU
5	0.5	5.5	1.6	2.5	1.0	**732.0**	731.7	731.8	91	79	89	NE 0	SE 1	E 0	0	2	10	.	⌴ I
6	0.8	2.6	0.0	1.1	−0.3	731.2	730.6	730.4	91	83	93	N 0	S 1	NW 1	10	10	10	.	
7	−0.8	1.2	0.4	0.3	−1.0	727.4	726.3	724.7	91	89	96	W 1	W 0	SW 1	10	10	10≡	.	≡ p-n
8	−0.4	2.4	0.4	0.8	−0.4	724.0	724.3	724.0	96	89	94	NW 0	N 0	SE 0	10≡	4	2	0.1	≡ n-9¾
9	0.4	0.8	0.5	0.6	−0.5	722.5	721.6	719.2	98	96	94	SW 0	SW 1	W 2	10≡	10≡	10≡	.	≡ n-n
10	1.3	4.8	6.0	4.0	3.0	714.7	712.2	713.8	82	84	80	SW 2	SW 3	SW 2	9	10	10	4.2	● 13¼-18¾
11	6.3	7.2	5.9	6.5	5.6	714.5	713.6	712.9	68	70	92	W 2	SW 1	W 0	10	10	10●	7.0	● 21-24
12	6.5	9.5	3.6	6.5	5.7	712.5	712.8	714.9	97	81	90	SW 1	S 0	NE 1	10	8	10	.	● 0-6
13	1.9	3.6	3.9	3.1	2.3	716.5	716.6	716.6	95	87	87	NE 1	NE 0	N 0	10	10	10	.	
14	3.2	3.9	3.6	3.6	2.9	712.9	709.8	707.6	94	94	97	N 0	N 0	NE 0	10	10	10●	12.6	● 17¼-24
15	5.6	6.7	8.1	6.8	6.2	705.9	**702.7**	703.2	97	96	83	SW 0	SW 2	W 3	10	10●	10	8.2	● 0-3¾, 13-18¾, ☄ 16½-n
16	7.0	7.2	7.1	7.1	6.6	706.7	709.4	710.4	82	92	79	SW 2	SW 3	W 1	10	10●	8	4.1	● 0¼-11¼ mU, ☄ n-14 mU
17	4.6	7.4	5.5	5.8	5.4	708.4	710.2	711.2	97	86	93	E 0	W 2	SW 1	10●	8	10●	17.6	● 6¼-12¾, 15½-24 mU
18	5.7	7.6	5.6	6.3	5.9	712.5	713.7	714.4	92	76	78	SW 2	W 1	W 1	10●	8	8	2.9	● 0-14 mU
19	2.2	4.8	3.3	3.4	3.1	714.7	714.3	713.3	91	83	75	N 0	NE 2	NE 2	10	9	10	.	
20	0.2	3.5	3.0	2.2	2.0	711.5	710.5	709.9	92	77	94	NE 0	SW 1	E 0	8	10	10●	3.3	●tr 18-20¼, 20¼-23¼
21	4.2	7.4	4.7	5.4	5.2	710.9	711.6	713.8	88	74	84	SW 1	SW 1	SW 2	10	4	10	0.7	● 1¾-3½
22	3.0	5.4	4.3	4.2	4.1	717.0	719.3	719.7	93	85	87	SW 2	SW 1	SW 1	10●	10	8	1.1	● 6¼-9
23	4.2	5.4	6.8	5.6	5.6	717.7	716.3	718.9	92	97	93	SW 2	SW 1	W 2	10●	10	10	9.5	● 5¼-10, 14½-20
24	6.2	7.6	6.4	6.7	6.7	719.1	717.5	715.9	96	86	97	SW 0	SW 1	SW 0	10	10	10	0.9	● 5¼-5¾
25	5.3	7.1	6.4	6.3	6.4	719.1	722.7	726.6	97	90	80	SW 0	SW 1	SW 1	10	10●	8	0.2	● 1½-5, 13½-15½
26	1.1	5.6	4.7	3.8	4.0	727.9	727.5	725.4	85	70	84	N 0	SW 1	SW 1	1	3	10	3.3	● 23½-24
27	5.3	5.6	5.0	5.3	5.5	726.2	727.5	727.8	85	87	86	W 1	SW 1	SW 2	10	10●	10	4.6	● 0-0¾, 3¼-5, 13¼-16½, 23-24
28	5.0	7.4	9.1	7.2	7.5	726.5	725.9	724.6	94	86	74	SW 2	SW 3	SW 2	10●	10	9	6.2	● 0-7½, 23¾-24, ☄ a-n mU
29	8.1	**9.8**	6.5	8.1	8.4	721.6	721.2	714.0	89	59	70	SW 3	SW 2	S 0	10	8	10	12.2	● 0-4¾, 23-24, ☄ n-19¼
30	7.7	7.0	3.4	6.0	6.4	705.9	705.2	707.6	**58**	63	84	SW 4	SW 3	SW 1	8	10	9	7.8	● 0-4¾, 16½-16¾, 22-23¾,
31	2.2	2.9	1.1	2.1	2.5	715.1	718.9	721.6	71	64	73	NE 2	NE 0	W 0	9	6	10	.	[☄ n-15½, ☄ I
																		Summe	
Mittel	3.4	5.4	4.2	4.3	—	718.6	718.6	718.8	89	83	87				9.2	8.3	9.1	108.3	

Dezember 1955
Beobachter: *Frl. H. Nager*

Altdorf

$\lambda = 8° 39'$, $\beta = 46° 53'$,
$H_b = 456.3$ m, $G = -0.05$ mm.

Tag	Lufttemperatur					Luftdruck			Relative Feuchtigkeit			Windrichtung und Stärke			Bewölkung			Niederschlag	Witterung
	7^{30}	13^{30}	21^{30}	Mittel	Abweich. vom Normalst	7^{30}	13^{30}	21^{30}	7^{30}	13^{30}	21^{30}	7^{30}	13^{30}	21^{30}	7^{30}	13^{30}	21^{30}		
1	1.9	5.8	0.9	2.9	0.1	721.3	719.8	721.7	84	62	90	N 1	NW 1	SW 0	10	8	9	.	
2	0.8	2.8	0.2	1.3	−1.4	724.3	726.9	729.8	100	84	100	E 0	W 0	N 0	10≡	10	10≡	.	≡ n-n mU
3	−0.8	5.3	3.2	2.6	0.0	732.2	730.6	731.5	97	95	94	W 0	E 0	E 0	7	5	5	4.6	● n (3./4.)
4	5.8	6.0	5.1	5.6	3.2	731.7	733.0	734.1	100	98	99	S 0	E 0	E 0	10●	10●	10●	7.3	● n-n
5	1.8	5.1	0.1	2.3	0.0	**735.4**	734.0	734.3	91	56	81	E 0	W 0	E 0	8	4	3	.	
6	−0.3	3.7	−0.2	1.1	−1.1	733.6	732.6	733.0	86	85	90	E 0	E 0	N 0	10	4	0	.	⌊ l
7	**−2.2**	1.1	−1.7	−0.9	−3.0	729.5	728.5	726.5	96	100	93	E 0	E 0	E 0	10≡	10≡	0	0.3	❩ a mU, ≡ n-20
8	0.2	3.5	2.1	1.9	−0.1	726.9	726.4	726.4	97	89	91	E 0	E 0	NW 0	10	4	10	.	
9	2.0	5.3	0.8	2.7	0.8	724.4	723.4	721.0	88	80	90	E 0	NW 0	N 0	10	5	10	.	
10	2.0	4.9	3.3	3.4	1.6	716.4	713.2	715.1	92	75	96	NE 0	NW 0	NW 0	10	10	10	5.5	● 15¾-n mU
11	3.4	8.3	5.8	5.8	4.1	715.7	715.4	716.0	96	60	80	NE 0	NW 1	NW 0	10	8	10●	9.8	● p-n
12	5.3	7.3	4.8	5.8	4.2	715.0	715.4	717.9	99	99	100	E 0	N 0	N 0	10●	7	10❩	2.8	● n-a, ❩ ≡ p-n
13	3.8	4.8	2.9	3.8	2.3	719.4	719.5	719.5	95	79	84	NE 0	E 0	N 0	10	10	10	.	
14	1.5	11.5	**12.4**	8.5	7.1	715.6	711.5	708.4	91	56	**36**	W 0	SE 3	SE 2	10	10	10	.	⸗ 10¾-n
15	5.1	7.4	7.0	6.4	5.1	707.2	**704.1**	705.7	83	64	87	NE 0	NW 1	NW 1	4	10	10●	3.1	● 16½-n
16	6.1	7.4	4.8	6.1	4.9	709.0	711.9	713.4	92	95	95	E 1	E 0	NE 0	10●	10●	5	3.0	● n-p
17	4.7	6.8	5.7	5.7	4.6	710.3	712.8	714.1	85	91	94	E 0	N 0	NW 1	10	10●	10●	9.1	● a-15, 18-n
18	5.2	7.8	4.1	5.7	4.7	714.7	715.9	717.0	96	73	96	E 0	NW 0	NW 0	10●	7	8	0.1	● n-7¾
19	1.2	5.5	1.5	2.7	1.8	717.0	716.8	715.8	83	66	75	NE 0	NE 0	NE 0	10	3	9	.	
20	−0.1	3.8	1.3	1.7	0.8	714.0	713.0	712.6	82	70	85	S 0	SE 0	E 0	6	5	9	.	
21	2.1	6.8	2.7	3.9	3.1	713.8	714.1	716.5	86	78	75	E 0	E 0	SE 0	10	4	10	.	⌊ l
22	2.1	5.0	1.8	3.0	2.3	719.0	721.9	722.7	72	67	82	SE 0	NW 0	E 0	10	10	10	0.0	● tr a
23	2.4	5.9	5.0	4.1	3.5	720.2	718.5	721.7	80	68	96	E 0	NW 0	NW 0	10	9	10●	5.4	● 20¼-n
24	4.1	6.9	5.2	5.4	4.8	722.1	720.0	719.5	97	91	93	E 0	NE 0	E 0	10	10	8	0.5	● a
25	4.2	6.3	5.5	5.3	4.8	722.3	724.8	729.4	86	97	93	E 0	E 0	NW 0	10	10	10●	3.8	● 10, 21½-n
26	4.2	6.1	3.7	4.7	4.3	730.8	730.3	727.2	99	80	75	NE 0	E 0	NE 0	10	4	10	1.6	● n (26./27.)
27	3.8	5.8	3.7	4.4	4.0	728.1	728.8	730.4	92	83	96	W 0	E 0	E 0	10●	10	10●	**14.0**	● n-n mU
28	4.1	7.6	6.4	6.0	5.7	728.3	727.9	726.1	100	86	100	E 0	NW 0	NE 0	10	8	6	6.9	● n-a mU, n (28./29.)
29	6.1	10.2	6.4	7.6	7.3	723.5	720.9	716.9	100	83	80	SW 0	NE 0	NE 0	10●	10	7	2.4	● n-a, n (29./30.)
30	7.0	10.3	4.3	7.2	1.0	707.1	706.3	710.7	75	43	86	E 0	W 1	E 1	10	7	10	2.1	● 18-n mU
31	3.4	3.9	0.9	2.7	2.5	716.3	721.0	724.0	76	75	92	NW 0	N 1	E 0	10	10	8	2.2	✳ n-p mU
																		Summe	
Mittel	2.9	6.1	3.5	4.2		720.8	720.6	721.3	90	78	88				9.5	7.8	8.3	84.5	

Dezember 1955
Beobachter: *Observatorium*

Genève

$\lambda = 6° 9'$, $\beta = 46° 12'$,
$H_b = 405.0$ m, $G = -0.03$ mm.

1	2.2	3.7	3.2	3.0	0.0	726.2	725.7	726.9	100	75	100	E 0	ESE 1	E 0	10●	10	10	0.2	● ✳ 5-a, ● n (1./2.)
2	2.6	4.4	2.5	3.2	0.3	730.1	731.8	734.9	100	87	94	E 0	NNE 1	NNE 1	10≡	5	10	.	≡ n-a
3	0.6	5.0	6.8	4.1	1.4	737.4	737.1	737.2	100	84	100	E 0	NNE 1	E 0	10≡	6	8	.	≡ n-a
4	8.5	9.8	6.0	8.1	5.5	737.2	737.4	737.9	100	92	100	NNE 1	NNE 0	NNE 1	10	9	10≡	0.5	● 11-12, ≡ p-n
5	3.6	5.0	3.6	4.1	1.6	**739.2**	738.3	738.6	90	78	100	NNE 1	NNE 1	E 0	10	6	8	.	
6	2.0	3.1	0.4	1.8	−0.6	739.0	738.4	737.3	100	82	100	E 0	E 0	NNE 1	10	6	6	.	
7	−0.3	−0.5	−0.8	−0.5	−2.8	735.4	734.1	732.4	100	100	100	E 0	E 0	E 0	10≡	10	10≡	.	≡ n-n mU
8	**−3.0**	1.6	0.4	−0.3	−2.5	731.5	730.7	730.9	100	71	100	E 0	NNE 1	SSE 1	10≡	2	10≡	.	≡ n-a, p-n
9	−0.2	1.6	0.2	0.5	−1.6	730.7	729.4	727.1	100	89	100	SSE 0	SSE 0	E 0	10	10	10	.	
10	0.0	6.0	7.0	4.3	2.3	723.1	722.0	722.5	89	70	91	E 0	NNE 1	E 0	6	9	9	3.5	● n (10./11.)
11	3.0	7.8	6.8	5.9	4.0	722.8	721.4	720.6	83	**61**	88	E 0	E 0	E 0	6	5	10	0.8	● n (11./12.)
12	6.8	8.0	7.0	7.3	5.5	720.5	719.5	721.9	87	97	85	NE 0	NNE 0	NE 0	8	1	10	.	
13	5.2	6.2	6.0	5.8	4.1	723.6	723.7	724.0	88	82	74	NNE 0	NE 0	E 0	10	10	10	.	
14	3.2	4.2	5.0	4.1	2.5	721.3	717.0	714.8	90	90	97	E 0	NNE 0	NNE 0	10	10	10●	**24.0**	● 16-n
15	4.2	8.2	11.0	7.8	6.3	713.8	**711.3**	712.2	97	89	60	WSW 0	NNE 0	S 1	10	10●	10	9.0	● 12-17
16	8.3	11.2	9.2	9.6	8.2	715.8	717.5	718.1	82	63	73	W 0	S 1	NE 0	10●	9	7	5.6	● 6-8, n (16./17.)
17	8.0	10.6	9.5	9.4	8.1	716.6	718.2	718.8	89	77	63	S 0	S 0	NW 1	10●	5	10●	3.1	● n-n mU
18	8.4	8.6	5.0	7.1	5.9	719.8	721.3	721.5	70	65	87	SE 0	SE 1	E 0	4	4	4	.	
19	1.8	5.0	4.6	3.8	2.7	721.2	720.7	720.6	85	74	84	E 0	NNE 1	E 0	10	5	10	.	
20	3.0	5.2	6.0	4.7	3.6	718.5	717.3	718.5	83	66	70	E 0	NNE 1	NNE 1	10	9	10	.	
21	3.2	8.4	6.5	6.0	5.0	719.1	719.2	721.1	90	67	64	NNE 1	NNE 1	SSE 1	3	6	8	1.2	● n (21./22.)
22	5.6	7.4	4.0	5.7	4.8	724.8	726.6	726.9	91	80	100	W 1	NNE 1	NNE 1	10	10	10	6.0	● n (22./23.)
23	4.2	6.0	7.4	5.9	5.1	726.0	724.0	726.8	93	88	91	SW 1	SSW 1	E 0	10●	10●	10	10.6	● n-10½
24	6.5	9.4	8.0	8.0	7.2	726.6	724.5	723.6	88	84	91	SW 1	SW 1	SW 1	10	9	10	(4.7)	● n (24./25.)
25	6.0	8.0	4.4	6.1	5.4	726.4	729.9	733.7	85	75	80	S 1	SSW 1	S 1	10	9	10		● p mU, n (25./26.)
26	5.0	7.0	5.7	5.9	5.3	735.7	734.7	733.7	87	76	94	E 0	SE 1	E 0	10	5	10	1.7	● p-n mU
27	6.0	8.6	6.2	6.9	6.3	736.1	735.3	735.9	88	72	70	E 0	S 1	NNE 1	9	10	10	.	
28	6.0	9.2	9.0	8.1	7.6	735.0	733.9	733.5	97	79	89	NNE 1	NNE 1	SW 1	10	10	10	3.6	● n (28./29.)
29	9.6	**11.4**	8.6	9.9	9.4	730.8	728.5	722.2	92	71	70	SW 1	WSW 1	SW 1	10	2	9	6.0	K ▽ ⸗ n (29./30.)
30	9.0	8.4	4.8	7.4	7.0	714.9	712.7	715.7	89	63	77	S 1	S 1	SSW 1	5	10	9	8.0	● ▲ 13
31	2.6	4.6	1.2	2.8	2.4	723.4	726.0	729.2	89	62	80	NNE 1	NNE 1	NNE 1	10	6	9	0.0	
																		Summe	
Mittel	4.3	6.6	5.3	5.4	—	726.5	726.1	726.4	91	78	86				9.1	7.4	9.3	88.5	

$\lambda = 8°\ 34'$, $\beta = 47°\ 23'$,
$H_b = 569.4$ m, $G = 0.03$ mm

Zürich

Dezember 1955
Beobachter: *Meteorologische Zentralanstalt*

Tag	Lufttemperatur 7³⁰	13³⁰	21³⁰	Mittel	Abweich. vom Normalst	Luftdruck 7³⁰	13³⁰	21³⁰	Relative Feuchtigkeit 7³⁰	13³⁰	21³⁰	Windrichtung und Stärke 7³⁰	13³⁰	21³⁰	Bewölkung 7³⁰	13³⁰	21³⁰	Niederschlag	Witterung
1	-3 3	3.6	-0.8	-0 2	-0.8	711 5	710.4	711.9	93	70	97	NE 1	SSE 1	SE 1	10	5	0	0.1	≡ 8-12
2	-1.4	-0.8	0.1	-0.7	-1.2	714.7	716.5	719.1	98	98	98	SSE 1	SSW 1	SW 1	10≡	10≡	10≡	.	≡ n-n, ⌴ I
3	-0.5	5.6	7.5	4.2	4.6	721.4	720 5	721.1	98	73	75	S 0	SW 1	SW 1	9	4	10	2.8	≡ n-12¼ mU
4	5.7	7.8	5.0	6.2	6.5	721.5	722.1	723.8	96	80	92	W 1	SSW 2	N 1	10●	6	10	1.3	● 4¾-10
5	0.1	-0.1	0.1	0.0	-0.2	**724.5**	723.9	723.7	97	97	99	NE 1	NE 2	SW 1	4	10≡	10≡	.	≡ 13½-n, ⌴ I
6	-0.1	5.4	-1.1	1.4	1.3	722.6	722.0	721.7	95	60	98	SSW 1	SSW 1	S 1	10	5	0	0.0	△ I, II, ⌴ III
7	-3.8	5.4	2.7	1.4	1.3	718.5	717.8	716.1	97	69	67	WNW 1	SW 1	W 1	0	1	0	0.0	≡ 10¼-11, ⌴ I
8	0.6	4.3	3.5	2.8	2.8	715.9	716.2	716.4	76	71	88	WNW 1	S 1	N 1	8	7	9	0.0	
9	1 8	2.5	1.7	2.0	2.1	714.4	713.2	710.7	98	92	97	**W** 1	SSW 1	SW 1	10≡	10	10	.	≡ n-11, △ I, II, III
10	2.5	4.4	6.0	4.3	4.5	706.4	703.3	704.7	64	67	71	SSW 1	WSW 2	SW 2	9	10	10	**19.2**	● 16½-19¾, 23½-24¼, 🌧 10-n mU
11	6.0	7.4	3.7	5.7	6.0	706.1	705 6	705.7	66	60	95	SW 2	WSW 2	ESE 1	10	10	10●	14.6	● 19¾-24, 🌧 n-10 mU
12	1.0	1.0	-0.1	0.6	1.0	705.3	706.2	708.1	97	94	98	NE 1	NNE 1	NNE 2	10●	10●	10☽	5.0	●o-14½, ☽ 21½
13	-0.7	-0.1	-0.3	-0.4	0.0	709.2	709 3	709.2	94	97	98	NNE 1	ENE 1	NE 1	10	10≡	10≡	0.3	☽ a, ≡ 12-n
14	-0.4	2.2	2.8	1.5	2.0	705.4	702.4	699.5	98	90	88	SE 1	SSE 1	WSW 1	10≡	9	10	5.5	● 22-24, ≡ n-n mU
15	3.4	5.5	8.3	5.7	6.3	697.8	**695.0**	695.0	97	91	67	NW 1	W 1	SSW 2	3	10	10●	8.0	● 0-4¾, 15¼-18½, ●tr 21½, 🌧 17½-n
16	6.8	6.5	7.7	7.0	7.7	698.5	701.1	702.9	78	91	67	SW 2	SW 2	SSW 1	10●	10●	7	5.0	● 5-10½, 12¾-15½, 🌧 n 21 mU
17	4.2	7.3	5.5	5.7	6.4	700.3	701.8	703.0	94	77	80	WNW 1	SW 2	SSW 3	10●	10●	10	4.8	●tr 7½, 8¾-10¾, 13½-15¼, 18¼-21¾, *)
18	5.7	6.7	4.5	5.6	6.4	704.1	705.8	707.0	78	77	92	SW 2	WSW 2	WNW 1	10●	9	10●	5.7	● 1¼-3, 7½-11½, 14¾-15, ●tr 21½
19	0.9	2.8	1.6	1.8	2.7	707.3	707.2	705.9	96	82	82	NE 1	NNE 1	NNE 1	10	10	10	0.0	△ I, III
20	0.5	4.4	1.6	2.2	3.1	704.0	702.8	702.2	91	65	86	NE 0	SSW 1	S 1	10	3	10	1.1	△ I, III
21	4.1	7.4	3.3	4 9	5.9	703.3	704.1	705.9	78	64	84	SW 1	S 1	WSW 1	9	4	10	0.5	●o¾-2¼, 10-10¼, △ III
22	2.3	4.2	3.9	3.5	4.6	709.4	711 2	712.2	92	83	87	SW 1	SSW 1	S 1	8	10	10	0.1	●tr a
23	2.2	5.8	5 8	4.6	5.7	709.7	708.4	710.5	91	70	97	SSW 1	S 1	S 2	10	10	10●	11.0	●tr a, 16¼-22½
24	5 2	7.5	5.3	6.0	7.2	711.2	710.1	708.7	94	82	98	S 1	S 1	SSW 1	10	10	10≡	2.5	● 16½-19¼, ≡ 21-n
25	5.2	7.6	5.7	6.2	7.4	711.0	714.2	718.4	95	77	94	S 1	WSW 1	WSW 1	10	9	10●	4.2	● 10¼-12, 16¼-18½, 20¾-23½
26	2.2	5 1	4.4	3.9	5.2	720.0	719.6	716.9	94	76	81	S 0	SSW 1	SSW 1	7	8	10	6.2	● 1¾-2, 2¾-3¼
27	4.5	6.1	4.5	5.0	6.3	717.9	718.7	719.0	91	66	83	WSW 1	SW 2	SSW 2	8	10	10●	7.2	● 1 2¾, 4¼-8½, 16¼-24, 🌧 0¼-6
28	6.3	**11 3**	9.2	8 9	10.3	717.3	716.9	715.4	81	62	74	SSW 2	WSW 2	SW 3	10☽	9	7	2.3	☽ ½-5¾, 23¾-24½. *)
29	8.4	10.8	5.8	8.3	9.7	712.3	711.7	706.5	87	67	68	SSW 3	WSW 3	WSW 1	10	7	10	13.5	● 2½-3¼, 7½-11¼, 🌧 n-14¾, *)
30	7.1	7.7	1.7	5.5	7.0	696.9	697.4	700.6	77	**45**	95	WSW 3	SW 3	SSW 1	9●	6	3	4.7	● o¾-5½, 7¼-8, 16½-19¼, *)
31	0.4	1.2	-0.3	0.4	1.9	707.9	710.7	713.4	93	90	83	NNW 1	W 1	S 1	10*	9	9	1.5	✳ 4¾-9¼ mU
Mittel	2.6	5.0	3.5	3.7	—	710 5	710.5	710.8	89	77	86				8.8	8.1	8.5	Summe 127.1	

*) 17. ●tr 23¾-24, 🌧 11¼-n 28. ☽ n-a mU, 🌧 n-n mU 29. ⊕ 14½ 30. 20¼-24 mU, 🌧 4¾-14¾, 16¾-18¼

$\lambda = 6°\ 32'$, $\beta = 46°\ 51'$
$H_b = 1601$ m, $G = -0{,}13$ mm

Chasseron

Dezember 1955
Beobachter: *J. Liardon*

1	-1.2	-0 3	0 6	-0 3	—	626.6	626.4	627.4	100	100	100	S 2	W 1	WSW 1	10*≡	10*≡	9	2.5	✳ n-15 mU, ≡ n-19
2	0.6	6.5	6.3	4.5	—	63 0	632.5	635.4	70	47	56	E 1	SSE 1	WSW 0	3	3	3	.	
3	3.6	5.0	3.0	3.9	—	637.2	637.1	637.6	98	89	100	W 1	W 2	NW 2	6	6	10☽≡	0.5	☽ ≡ 15½-n
4	0.2	-0.2	-3.0	-1.0	—	636.5	638.0	638 2	100	100	100	NW 2	N 1	NE 0	10*≡	6	10≡	0.0	✳● n-10¾, ≡ n-13¼,
5	-1.0	4.6	2 8	2.1	—	638.0	638.0	**638.4**	70	19	6	E 1	— 0	ESE 0	2	3	2	.	[15½-n
6	6.0	**8.4**	5.4	6.6	—	638.0	638.1	638.2	6	6	3	N 0	NNW 0	WNW 1	3	5	2	.	
7	5.4	6.0	2.1	4 5	—	635.4	634.9	633.1	23	37	78	W 1	NW 2	NW 1	2	0	0	.	
8	1.0	-0.2	-2.0	-0.4	—	631.9	632.0	631.4	80	100	93	W 2	N 1	N 1	4	10≡	0	0.0	☽ 12, ≡ 9¼-14
9	2.5	4.0	4.8	3.8	—	630.1	629.6	627 9	**0**	**0**	11	N 0	NW 1	W 1	3	3	0	.	
10	-2.8	-3.0	-1.6	-2.5	—	622 9	619.9	622.4	100	100	100	W 2	W 5	WNW 3	10	10*≡	10*≡	8.4	✳ 13½-n, ≡ n-n, 🌧 n-n mU, 🌧 II
11	-2.6	-1.8	2.0	-0.8	—	623.7	622.8	622.2	100	100	100	W 3	W 4	W 2	10≡	9	10≡	11.8	● n (11./12.), ≡ n-8¼, 19½-n,
12	1.8	1.4	0.2	1.1	—	622.3	622.8	623.8	100	100	100	WNW 2	NW 1	ESE 1	10≡	10≡	0	.	≡ n-14 [🌧 n-n, 🌧 II
13	0.8	3.0	1.8	1.9	—	624 5	625.0	624.9	87	72	60	W 0	S 1	SW 1	3	4	5	.	
14	1.2	4.0	2.0	2.4	—	621.4	619.2	617.6	69	68	100	S 3	S 2	SSW 2	4	9	10●≡	24.6	● 17¼-n, ≡ 18½-n, 🌧 n-n
15	0.4	0.2	0.2	0.3	—	616.0	613.5	**612.9**	100	100	100	WSW 2	SSW 5	W 5	10≡	10●≡	10*≡	10.7	✳● 12¾-n mU, ≡ n-n mU, 🌧 a-n
16	-0.2	0.0	0 0	-0.1	—	615.8	617.9	620.8	100	100	100	NNW 5	W 4	WSW 3	10●≡	10≡	6	10.0	●☽✳ n-p mU, ≡ n-19, 🌧 n-n
17	-0.2	-0.6	-1.2	-0.7	—	617.1	619.2	619.2	100	100	100	SW 2	W 3	W 5	10*≡	10≡	10*≡	13.4	●✳ n-12, ✳ 16-n, ≡ n-n, *)
18	-1.8	-1.6	-1 6	-1.7	—	621.4	622 5	622.9	100	100	100	SSW 4	W 2	W 1	10*≡	10*≡	10*≡	5.5	✳ n-14, 19-n, ≡ n-n, 🌧 I
19	-3.8	-1.8	-4 8	-3.5	—	622.9	622.4	621.0	100	100	100	N 0	E 0	S 1	5	3	10≡	.	≡ 10½-12, 15½-n
20	-3.0	-2.6	-2.0	-2.5	—	619 5	619.1	618.7	68	98	100	W 2	SSW 1	WSW 2	3	7	10*≡	7.0	✳ 17-n, ≡ 17¼-n
21	-3.2	-2.4	-2.8	-2.8	—	619.8	620.7	621.7	100	100	100	SSW 2	W 1	W 2	9	8	10*≡	3.6	✳ 19½-n, ≡ n-7, 19-n
22	-3.0	-2.2	-3.2	-2 8	—	624.4	627.0	627.0	100	100	100	W 2	W 2	WSW 2	10*≡	10≡	10*≡	1.6	✳ n-8, p-n, ≡ 🌧 n-n mU
23	-1.6	2.6	1.0	0 7	—	625.7	625.2	627.6	100	100	100	SSE 2	W 4	WNW 1	10●≡	10●≡	10≡	20.3	● n-19½, ≡ n-n, 🌧 II
24	0 8	-0.6	-1.0	-0 3	—	628.0	626.3	624.7	100	100	100	W 2	W 1	W 2	10☽≡	10*≡	10△≡	4.0	☽ 7½, ✳ 13½, △ 15½-n, ≡ n-n
25	-1.6	-1.0	-1.8	-1.5	—	627.3	630.6	633.9	100	100	100	NW 2	NNW 1	NW 2	10*≡	10≡	10*≡	3.8	✳ n-8¾, 17½-n, ≡ n-n
26	-5.8	0 0	2.0	-1.3	—	634.7	634.8	633.2	100	60	23	N 0	SSE 0	W 4	3	5	9	7.6	✳ n (26./27.), 🌧 II
27	-2.2	-2.6	-2.2	-2.3	—	633 3	634.4	634 3	100	100	100	WNW 2	W 2	WNW 3	10≡	10*≡	10*≡	9.1	✳ 12¾-n, ≡ 🌧 n-n
28	0.2	2.8	1.0	1.3	—	633.9	634.1	633.2	100	100	100	WNW 4	WNW 3	W 3	10●≡	10●≡	10●≡	**29.4**	● ≡ 🌧 n-n, 🌧 I
29	2.0	-1.0	0.0	0.3	—	629.6	629.4	625.5	100	100	100	WNW 4	W 4	W 5	10●▬	9	10*≡	12.1	☽● n-12, ✳ p-n, *)
30	-3.0	-3.4	-4.6	-3.7	—	614 0	614.6	616.0	100	100	100	WNW 6	W 2	WNW	9	9	10*≡	8.3	✳ 12½-n mU, ≡ n-6¾, *)
31	-6.0	-6.6	-7.8	-6.8		622.2	625.6	627.6	100	100	100	N 2	N 1	WNW 1	10*≡	10≡	10≡	0.0	✳ n-12, ✳fl 16-18½, ≡ n-n
Mittel	-0.5	0.5	-0.1	0.0	—	626.6	626.9	627.0	92	90	91				7.4	7.7	7.6	Summe 194.2	

*) 17. 🌧 a-n, 🌧 III 29. ≡ n-12, 15½-n, 🌧 n-n 30. ≡ 6¾-13½ mU, 13½-n, 🌧 n-a

Dezember 1955
Beobachter: *Stationspersonal Rh. B.*

Bever

$\lambda = 9° 53'$, $\beta = 46° 33'$,
$H_b = 1711.8$ m, $G = -0.23$ mm

Tag	Lufttemperatur					Luftdruck			Relative Feuchtigkeit			Windrichtung und Stärke			Bewölkung			Niederschlag	Witterung
	7^{30}	13^{30}	21^{30}	Mittel	Abweich. vom Normalst	7^{30}	13^{30}	21^{30}	7^{30}	13^{30}	21^{30}	7^{30}	13^{30}	21^{30}	7^{30}	13^{30}	21^{30}		
1	-1.8	0.1	-3.0	-1 6	4.8	620.4	619.9	620.8	96	84	100	W o	SW o	SW o	10	9	10	0.3	✳ 17–18½
2	-4.2	5.0	-5.2	-1.5	5.1	623.4	624.7	927.8	100	72	100	W o	SW o	SW o	6	5	0	.	
3	-6.7	4.8	-0.4	-0.8	5 6	**629.4**	628.9	628 6	100	66	85	SW o	SW o	S o	3	0	0	.	⌴ 1
4	-2 9	2 8	0.0	0.0	6.9	626.4	626.3	627.0	100	68	98	SW o	SW o	NE o	10	6	10	.	
5	-9.6	0.6	-9.8	-6.3	0.7	629.3	627.7	629.2	88	45	90	SW o	SW o	S o	0	3	0	.	
6	-8.4	4.8	-7.1	-3.6	3.6	629.2	628.5	629.1	85	44	88	W o	SW o	SW o	9	4	0	.	
7	-9.9	5.8	-7 4	-3.8	3.5	626.9	624.9	624.1	92	47	85	SW o	W o	W o	1	0	0	.	
8	-7.6	5.6	-5.0	-2.3	5.1	621.7	620.8	620.4	79	54	93	W o	SW o	SW o	0	0	0	.	
9	-6.8	5.1	-1.0	-0.9	6.7	620.4	619.2	618.7	95	37	77	SW o	W o	W o	5	10	3	.	
10	-2.4	1.2	-0 8	-0.7	7.0	615.3	612.2	612.2	80	80	98	SW o	SW 2	SW o	7	7	10*	0.4	✳ 19½–n
11	2.6	4.0	-1.4	1.7	9.5	612.9	613.3	613.3	32	46	74	SW 2	W 1	SW o	8	1	9	0.4	✳ n–a mU
12	-2.2	6.8	-5.2	-0.2	7.8	613.5	613.1	615.1	100	50	98	N o	W o	W o	10*	3	0	0.0	✳fl n–a mU
13	-10.1	-0.6	-11.2	-7.3	0.8	616.7	616.9	618 5	100	63	91	W o	SW o	SW o	1≡	0	0	.	≡ n–a
14	-11.8	-0.2	-2.0	-4.7	3 5	617.3	615.3	612 5	92	65	100	SW o	SW o	SW o	2	10	10	9.9	✳ n (14./15.)
15	-2.2	1.2	-0.9	-0.6	7.7	609.3	607.3	**606 2**	100	73	95	W o	SW o	SW o	8	10	7	0.6	✳ 19–20
16	-5.5	1.8	-8.1	-3.9	4.6	607.9	609.6	613 0	98	68	100	SW o	SW o	SW o	10	8	0	.	
17	-7.8	-3.0	-11.6	-7.5	1.1	611.2	610.8	612.3	97	95	98	SW o	SW o	SW o	10	10	0	2.5	✳ 9½–12
18	-8.2	-1.1	-11.4	-6.9	1.8	613.1	613.6	614 9	96	82	97	SW o	SE o	S o	5	5	2	.	
19	-17 4	-6.9	-12.6	-12.3	-3.5	615.0	614.1	614.2	95	63	98	SW o	SW o	S o	0	0	7	.	
20	-11.6	-3.1	-10.3	-8.3	0.6	612.2	610.6	610.9	97	79	99	S o	S o	S o	9	10*	5	0.0	✳ 13–14
21	-10.5	-4.3	-12.6	-9.1	-0.1	611.0	611.8	614.3	97	77	100	SW o	SW o	W o	10	6	0	.	
22	-11.5	-5.2	-12 2	-9.6	-0.5	616.6	617.5	619.8	95	65	98	SW o	S o	SW o	10	10	0	.	
23	-14.4	-3.2	-3.8	-7.1	2.0	619.3	618.4	618.9	99	65	88	S o	SW o	SW o	1	10	10	0.0	✳ 22–22½
24	-11.5	-3.9	-10.0	-8.5	0.7	619.6	618.2	617.4	100	86	95	SW o	SW o	W o	4	10	0	.	
25	-12.8	-2.8	-2.0	-5.9	3.4	618.8	619.9	622.9	95	77	97	SW o	SW o	SW o	7	10	10	0.6	✳ n (25./26.)
26	-9.5	-3.2	-9.6	-7.4	1.9	620.2	625.1	624.7	100	63	93	SW o	W o	SW o	1	7	10	0.0	
27	-4.4	-0.3	-4.9	-3.2	6.2	622.1	623.1	624.4	92	68	100	S o	NW 1	NE o	9	10*	10	4.9	✳ 11–n mU
28	-2.4	5.6	2.8	2.0	11.4	623.4	622.9	622.9	100	70	83	S o	SW o	SE o	10*	6	8	0.5	✳ n–S
29	1.4	6.0	-8.4	-0.3	9.2	620.3	619.2	616.0	92	**30**	81	S o	SW o	SW o	10●	3	2	0.2	● n–7½
30	-1.8	-1.1	-7.2	-3.4	6.1	608.6	606.3	607.2	100	81	92	SW o	S 2	NW o	10*	10	9	1.9	✳ 7–p mU
31	-6.9	-4.3	-13.4	-8.2	1.4	611.5	613.6	617.8	96	73	91	SE o	NW 2	S o	10*	10*	0	0.1	✳ n–7¾, ✳fl 12½–p mU
																		Summe	
Mittel	-7.1	0.6	-6.3	-4.3	—	618.2	617 9	618.5	93	66	93				6.3	6.2	4.2	22.3	

Dezember 1955
Beobachter: *Couvent des Capucins*

Sion

$\lambda = 7° 21'$, $\beta = 46° 14'$,
$H_b = 548.6$ m, $G = -0.11$ mm.

1	4.8	**10.5**	5.8	7.0	5.2	714.4	713.3	714.4	62	**41**	55	SW o	WSW o	ENE 1	9	1	10	.	
2	3.6	7.8	2.0	4 5	2.9	716.9	718.8	720.9	65	57	85	ENE 2	ENE o	ENE o	0	0	0	.	
3	0.6	7.6	5.1	4.4	2.9	723.8	723.1	724.4	87	60	77	ENE o	ENE o	ENE o	1	1	0	.	
4	4.5	7.6	4.4	5.5	4.1	723 0	723.9	723.4	86	95	85	ENE o	NNW o	NE o	10	10●	0	1.4	● 10¾–13¾ mU
5	2.0	5.0	1.3	2.8	1.6	726.1	724.3	**726.4**	81	74	86	NE 1	**NNE** o	NE o	0	2	0	.	
6	-0.3	5.0	0.6	1.8	0.7	725.6	723.8	724.6	76	60	77	NE o	NE o	NE o	0	8	0	.	
7	0.2	5.4	1.0	2.2	1.2	722 1	719.6	719.5	72	59	79	NE o	NE o	NE o	0	0	0	.	
8	-0.3	5 2	0.7	1.9	1.0	718.7	717 4	718.1	76	66	77	NE o	NE o	NE o	0	0	0	.	
9	-2 1	2.6	-0 8	-0.1	-0.8	717.5	716 0	715.3	91	75	89	NE o	NE 1	NE o	1	2	0	.	
10	-3.4	1.2	2.6	0.1	-0.5	711.3	708.4	709.8	92	85	100	NE o	NE 1	NE o	1	10	10≡	7.4	● 15½–20½, ≡ p–n
11	2.2	5.8	5.0	4.3	3.8	710 6	709.8	708.9	92	82	85	SW o	SW o	NE o	4	8	10	0.5	
12	2.4	7.6	3.2	4.4	4.0	708 9	708.2	709 8	100	75	95	NE o	NE o	NE o	8	3	0	.	● 0¾–1¼, ●tr 2½, 4½–5¼
13	1.9	5.2	1.4	2.8	2.5	711.7	711.8	712 6	92	71	85	NE o	NE o	NE o	8	3	0	.	
14	0.6	7.8	7.0	5.1	4 9	710.3	707.0	705.3	70	57	56	NE o	NE o	NE o	3	10	10	8.8	● 22¼–24
15	2.8	5.0	4.2	4.0	3.9	703.2	700.9	**700.6**	97	90	98	WSW o	WNW o	WNW o	10	10	10●	**12.6**	● 0–4½, 14¼–21¾, 23¾–24
16	4.1	6.2	4.0	4.8	4.8	703.2	705 9	707.9	100	95	100	WNW o	WNW o	WNW o	10●	10●	5	7.7	● 0–0½, 1¾–2½, 4½–14¼ mU
17	3.8	4.4	3.9	4.0	4.1	705.4	707.2	708.0	92	91	97	NNE o	NNE 1	NNE o	10●	6	10●	6.9	● 6¾–12½, 20½–21¾, 23½–24
18	3.4	8.6	3.9	5.3	5.4	709 8	709.7	710.5	99	67	90	NNE o	**NNE** o	NNE o	10	7	4	.	● 0–0½, 3½–4, 5¼–6½
19	0.3	3.2	0.3	1.3	1.5	711.0	709.8	709.0	85	60	81	NNE 1	NE o	NE 1	1	9	0	.	
20	-2.1	2.9	2.1	1.0	1.3	707.8	706.5	706.2	90	65	74	NE o	NE o	NE o	0	6	7	.	
21	0.3	4.2	1.4	2.0	2.3	707.6	708.0	710.2	92	70	80	NE o	NE o	NE o	7	2	7	0.5	
22	0.1	2.9	0.0	1.0	1.4	714.1	715.2	716.3	99	82	94	NE o	NE o	NE o	10*	8	10	0.5	✳ 6½–9½ mU
23	1.2	4.2	3.6	3.0	3.5	716.1	713.8	715.5	91	80	98	NE o	NE 1	NE o	10	9	10●≡	6.5	✳ 7¾–8¼, 18¼–22, ≡ p–n
24	0.7	4.0	2.0	2.2	2.7	715 7	713.7	712.6	100	90	96	NE 1	NE 1	NE 1	10≡	10	4	.	≡ n–a
25	1.2	4.2	4.2	3.2	3.8	714.7	717.2	719.9	96	86	88	NE 1	NE o	NE o	10	10	8	.	
26	3.0	5.2	2.8	3.7	4.3	722.3	722.2	721.3	77	61	79	NE o	NE 1	NE o	10	8	8	.	
27	2.0	2.8	4.0	2.9	3.6	721.6	721.6	722.3	86	60	90	NE 1	NE 1	NE o	8	8	10●	1.7	● 20–21½
28	3.4	7.2	5.8	5.5	6.2	721.2	721.1	719.0	96	80	95	WSW o	S 1	S o	10	9	2	8.7	● 1¼–6
29	7.0	10.2	6.0	7.7	8.4	716.9	717.0	711.5	98	77	80	SW o	S o	N o	10●	7	10	10.8	● 1½–8, ✳ 9¾–9¾
30	1.0	3.4	2.4	2.3	3.1	703 8	702.4	703.4	99	95	91	E o	WSW o	WNW 1	10	10	10	3.4	● 0½–6, 17¾–18½
31	1.8	4.0	-0.2	1.9	2.7	709.2	712.4	716.0	92	69	73	WNW o	ESE 2	ESE o	10	3	3	.	●tr 3¾–5¾
																		Summe	
Mittel	1.6	5 4	2.9	3.3	—	714.3	713.9	714.3	88	73	85				6.2	6.1	5.1	77.4	

$\lambda = 8°\,57'$, $\beta = 46°\,0'$,
$H_b = 276.2$ m, $G = -0.01$ mm.

Lugano

Dezember 1955
Beobachter: *G. Vicari*

Tag	Lufttemperatur 7³⁰	13³⁰	21³⁰	Mittel	Abweich. vom Normalwert	Luftdruck 7³⁰	13³⁰	21³⁰	Relative Feuchtigkeit 7³⁰	13³⁰	21³⁰	Windrichtung und Stärke 7³⁰	13³⁰	21³⁰	Bewölkung 7³⁰	13³⁰	21³⁰	Niederschlag	Witterung
1	3.0	4.8	4.2	4.0	0.0	742.7	741.7	741.3	98	93	99	N 1	S 1	— 0	10	10	10	4.5	n-n
2	5.2	8.4	4.4	6.0	2.1	742.9	745.0	747.9	96	77	93	N 1	S 1	N 1	10	10	0	0.2	tr a, 13½-14
3	6.4	9.8	6.4	7.5	3.7	748.5	748.6	747.4	92	78	91	S 1	S 1	N 1	10	10	3	.	
4	5.4	10.8	9.2	8.5	4.9	744.5	743.2	744.3	92	65	32	N 1	S 1	N 2	3	1	0	.	
5	5.6	11.4	3.8	6.9	3.4	746.8	747.5	**748.8**	47	47	73	N 1	S 1	N 1	0	6	0	.	
6	0.4	6.8	1.4	2.9	−0.5	748.6	747.6	746.2	98	68	86	— 0	S 1	N 1	9	3	0	.	
7	0.2	9.8	2.4	4.1	0.8	744.6	742.8	741.5	86	52	92	N 1	S 1	N 1	0	0	0	.	⌊
8	1.2	8.4	2.6	4.1	0.9	739.1	737.7	738.1	96	66	96	N 1	S 1	N 1	0	5	0	0.2	n (8./9.)
9	4.0	5.2	4.2	4.5	1.3	740.6	739.5	738.5	99	79	91	S 1	— 0	— 0	10	10	10	0.1	n-a mU
10	3.4	5.2	4.4	4.3	1.2	735.6	733.1	730.0	75	72	92	S 1	S 1	N 1	10	10	10	.	
11	1.2	10.8	2.6	4.9	1.9	730.0	729.6	730.9	92	53	88	N 1	S 1	N 1	2	3	0	.	
12	2.4	4.2	4.4	3.7	0.8	731.4	732.2	734.4	99	89	95	— 0	S 1	— 0	10	9	10	.	
13	5.0	6.4	5.4	5.6	2.7	735.8	737.0	738.6	93	75	83	— 0	S 1	S 1	10	10	10	.	
14	4.8	6.2	4.4	5.1	2.3	737.0	735.7	732.4	82	76	99	S 1	S 1	— 0	10	10	10	**20.3**	17-n
15	3.2	5.4	5.0	4.5	1.8	727.6	725.2	723.8	98	91	99	— 0	— 0	— 0	10	10	10	1.0	15½-20½
16	2.4	9.2	3.2	4.9	2.3	723.8	725.0	728.1	97	70	93	N 1	S 1	N 1	1	1	0	.	
17	4.2	8.2	2.4	4.9	2.3	728.8	728.6	729.9	84	75	96	N 1	S 1	N 1	8	8	0	0.3	
18	0.6	9.2	2.4	4.1	1.6	730.8	731.1	732.8	93	58	100	N 1	S 1	— 0	0	1	10≡	.	a
19	0.4	4.8	2.6	2.6	0.2	733.0	732.7	733.3	100	76	98	— 0	S 1	— 0	10≡	3	10	0.1	n (19./20.), ≡ n-11½
20	3.0	7.2	2.2	4.1	1.7	730.8	729.3	730.0	91	68	84	— 0	— 0	N 1	10	10	10	0.0	n-8
21	1.4	8.4	2.2	4.0	1.7	729.6	730.5	733.1	91	61	89	N 1	S 1	N 1	6	1	8	.	
22	−0.4	7.8	0.8	2.7	0.5	736.0	737.0	739.3	95	61	87	N 1	S 1	N 1	1	0	0	.	⌊
23	0.4	8.2	1.6	3.4	1.2	739.8	738.2	738.5	83	52	82	N 1	S 1	N 1	6	3	3	.	⌊
24	0.2	4.4	1.2	1.9	−0.2	738.3	738.1	737.0	82	72	95	N 1	— 0	— 0	3	10	10	.	⌊
25	**−0.6**	6.4	2.4	2.7	0.7	737.0	738.4	740.9	92	61	81	N 1	S 1	N 1	10	1	0	.	⌊
26	1.6	8.4	2.2	4.1	2.1	742.7	743.7	743.7	82	62	79	N 1	S 1	N 1	0	9	5	.	⌊
27	0.4	**14.8**	8.2	7.8	5.9	741.1	740.7	742.1	78	**27**	34	N 1	N 2	N 2	0	3	0	.	⌊
28	2.2	10.8	2.6	5.2	3.4	742.1	740.7	740.0	77	52	83	N 1	S 1	N 1	0	0	0	.	
29	2.2	11.0	2.4	5.2	3.4	737.2	735.9	733.7	90	58	91	N 1	S 1	N 1	1	0	0	5.2	n (29./30.)
30	3.2	4.8	1.8	3.3	1.6	727.0	724.6	**723.7**	99	89	99	S 1	S 1	N 1	10	10	6	1.1	n-8½
31	1.0	11.4	5.4	5.9	4.2	728.1	730.6	735.1	100	31	29	— 0	N 2	N 2	10≡	1	0	.	≡ 6½-8½
																		Summe	
Mittel	2.4	8.0	3.5	4.6	—	736.8	736.5	736.9	89	66	85				5.8	5.4	4.4	33.0	

$\lambda = 7°\,35'$, $\beta = 47°\,33'$,
$H_b = 317.3$ m, $G = 0.11$ mm.

Basel

Dezember 1955
Beobachter: *Astronom.-Meteorol. Anstalt*

Tag	Lufttemperatur 7³⁰	13³⁰	21³⁰	Mittel	Abweich. vom Normalwert	Luftdruck 7³⁰	13³⁰	21³⁰	Relative Feuchtigkeit 7³⁰	13³⁰	21³⁰	Windrichtung und Stärke 7³⁰	13³⁰	21³⁰	Bewölkung 7³⁰	13³⁰	21³⁰	Niederschlag	Witterung
1	−0.8	1.7	1.2	0.7	−1.3	734.2	733.4	734.0	92	90	93	ESE 1	E 1	E 1	10	10	4	0.6	1¼-8, 11¾-13½, ∾ 7¾-11
2	−2.2	2.8	−1.1	−0.2	−2.1	737.1	738.9	741.4	98	89	98	ESE 1	ESE 0	ENE 0	2	4	7	.	≡ 8¼-10¾, ⌊
3	−1.1	6.2	10.0	5.0	3.3	743.4	742.6	743.1	96	72	84	E 1	E 1	WNW 1	5	3	9	3.1	11¼-11½
4	7.6	9.8	4.0	7.1	5.5	743.3	744.7	746.5	85	76	95	WSW 2	W 2	NW 0	10	8	8	0.0	3½-7½, 8½-9
5	0.8	2.5	0.0	1.1	−0.4	**747.8**	747.1	746.9	100	96	98	SSW 0	S 0	E 1	10≡	0	5≡	.	≡ 0¾-13, 15¼-24
6	−1.0	4.4	−0.6	0.9	−0.5	745.2	744.6	744.2	96	76	95	ESE 1	E 1	E 1	2	3	0	.	⌊
7	**−2.8**	7.2	−1.0	1.3	0.0	741.2	740.3	739.1	94	**48**	82	ESE 1	E 1	S 1	1	0	0	.	⌊
8	0.6	7.8	3.7	4.0	2.8	739.0	738.8	739.6	85	62	95	E 1	E 0	NW 0	10	8	10	0.0	
9	1.9	3.6	0.1	1.9	0.8	737.7	736.6	733.8	98	83	94	WNW 0	N 0	SW 0	10≡	7	2	.	≡ 3-9½
10	4.2	6.2	7.0	5.8	4.8	729.8	726.5	726.8	84	82	72	SW 1	W 1	W 2	9	10	1	8.0	12¾-17¼ mU, 23-24, *)
11	6.2	8.5	5.4	6.7	5.7	728.4	728.6	728.5	87	67	96	WSW 1	WNW 0	ESE 0	10	10	10	6.9	0¼-0¾, 2-8½, 17¼-23¾, 5
12	1.1	1.6	1.3	1.3	0.4	728.8	729.3	731.8	98	100	98	WNW 0	WNW 1	NW 1	10	10≡	10≡	3.1	1-12¼, 14½-15¼, ≡ 13-24
13	1.9	2.8	1.2	2.0	1.2	731.7	731.9	731.3	86	80	92	ENE 1	E 1	E 2	10	10	0	.	
14	1.8	4.6	4.6	3.7	3.0	728.0	724.2	721.6	93	84	92	E 2	E 2	E 2	6	10	10	7.4	18-24
15	4.8	7.4	10.8	7.7	7.1	720.5	**716.7**	717.1	94	86	63	E 1	ESE 1	WSW 3	9	10	2	8.0	0-0¾, 14½-16½, 19¼-19½,*)
16	8.8	8.8	7.9	8.5	7.9	720.4	723.7	724.7	76	77	81	WSW 1	SW 1	S 1	9	10	9	1.5	0-0½, 3¾-5, tr 7½, *)
17	6.0	10.2	7.1	7.8	7.3	723.2	723.9	724.5	93	71	76	ESE 1	WSW 1	SW 1	10	10	10	7.3	2-2¼, 6½-10¼, 16¾-17¾, *)
18	7.5	8.7	2.0	6.1	5.7	726.8	728.6	730.0	72	65	95	WSW 2	WSW 2	NW 0	10	9	10	0.3	5¾-6¾, 7½-7¾, 8¼, 21¼-21½,
19	0.5	1.4	0.7	0.9	0.6	730.8	730.7	729.8	94	94	92	WNW 0	NW 1	WNW 1	10	10	10	.	≡ 9¾-11½ [2¼-2½
20	−0.9	2.3	3.2	1.5	1.3	727.3	725.8	725.0	98	94	88	NW 0	NW 0	ENE 1	10≡	1	10	2.3	21½-24 mU, ≡ 6¼-12½, 15¼-18
21	3.6	8.3	4.7	5.5	5.3	725.5	726.5	728.4	92	73	90	SW 0	E 1	ESE 1	10	7	9	1.0	0-0½, 1¾-2, 7½-10 mU, 23-23¾
22	2.2	4.5	2.5	3.1	3.0	731.7	733.8	734.5	96	94	96	S 0	E 1	ESE 1	10	10	10	1.3	12¾-13, 14-14¾, 17½-18¾, *)
23	4.2	7.0	7.8	6.3	6.3	731.6	730.4	732.5	85	85	94	ESE 2	E 1	S 1	10	10	10	**12.9**	15-21½, 22¼-22½
24	6.4	8.7	6.9	7.3	7.4	733.6	732.3	731.3	99	91	96	SSW 1	E 1	ESE 1	10	9	10	2.1	4½-5, 6-7¼, 18-18½, 23½-23¾
25	6.0	8.1	7.3	7.1	7.2	733.5	736.7	741.0	93	82	85	S 0	WSW 1	WSW 1	10	10	10	0.5	2-2½, 4-5, 6½-6¾, 20¾-22½ mU
26	1.3	8.0	4.1	4.5	4.7	743.2	742.7	738.9	96	58	82	E 0	SSW 1	SSW 1	8	3	10	2.9	2¾-24
27	6.1	8.0	7.0	7.0	7.3	740.4	741.1	741.1	86	64	71	W 1	WSW 2	SSW 2	6	10	10	1.4	0-1, 5-5½, 6¾-6½, 15½, 23-23¾
28	10.0	**12.2**	10.8	11.0	11.3	739.3	739.0	738.1	74	76	65	WSW 1	WSW 1	WNW 1	10	9	10	0.0	0¾-1½, 2½-4½, 22½-23¾
29	10.9	9.9	6.1	9.0	9.4	735.3	735.1	729.1	74	69	87	WSW 1	WNW 2	E 1	10	6	10	8.1	2-2½, 8-9¼, 22¾-24, 22½
30	8.4	9.4	3.7	7.2	7.6	719.2	719.7	722.6	66	57	97	WSW 2	W 2	SW 1	4	3	10	1.9	0-4¼, 16½-17¼, 18½-19¾, 5½
31	2.0	4.6	0.4	2.3	2.8	731.1	734.2	736.3	96	67	93	NW 1	NNW 1	S 1	10	2	10*	0.9	2-3¼, 4½-5½, 8¾-9½, ●✳ 21½-
																		Summe	[22¼, ✳ 23½
Mittel	3.4	6.4	4.2	4.7	—	733.2	733.2	733.3	90	78	88				8.4	7.2	7.6	81.5	

*) 10. 12¼, 18½ 15. ● 23½-24, 23¼-24½. p-n 16. ●tr 11¼-12¾, 15¼, 4½ 17. ● 19¼-20, 23-24 22. ◠ 10. ☿ 21½

Dezember 1955
Beobachter: *Observatorium*

Säntis

$\lambda = 9°\,20'$, $\beta = 47°\,15'$,
$H_b = 2500.1$ m, $G = -0.27$ mm.

Tag	Lufttemperatur					Luftdruck			Relative Feuchtigkeit			Windrichtung und Stärke			Bewölkung			Niederschlag	Witterung
	7^{30}	13^{30}	21^{30}	Mittel	Abweich. vom Normalst	7^{30}	13^{30}	21^{30}	7^{30}	13^{30}	21^{30}	7^{30}	13^{30}	21^{30}	7^{30}	13^{30}	21^{30}		
1	-5.4	-3.0	-3.8	-4.1	2.3	559.6	559 7	560.7	90	79	91	SSW 3	SSW 3	SSW 3	10	2	4	.	
2	-3.7	0.6	-1.4	-1.5	5.0	563.1	565.4	567.9	93	60	98	SSW 3	SW 3	W 3	4	1	1	.	
3	-2.2	-1.8	-2.3	-2.1	4.4	569.2	568.7	567.6	97	98	100	W 3	W 3	W 4	9	8	10≡*	30.2	▽ 8¾, ✳ 17–17½. 19-n, *)
4	-4.9	-5.8	-7.3	-6.0	0.6	567.1	567.4	568.3	100	100	100	W 3	W 2	NW 2	10≡*	10≡	10≡	19.7	✳ n-12, ≡ ⋁ n-n
5	-10.0	-6.0	-6.0	-7.3	-0.6	568.5	568 9	569.2	54	28	28	NNW 2	WNW 3	W 2	5	10	0	.	
6	-3.8	-1.6	-2.4	-2.6	4.2	569.1	**569.4**	569.4	29	41	62	W 3	WSW 4	WSW 4	9	3	0	.	⌿ a-n
7	1.1	0.8	-0.8	0.4	7.3	567.6	566.9	564.9	22	26	45	WSW 4	WSW 4	W 4	1	0	0	.	⌿ n-n
8	-4.9	-4.4	-7.3	-5.5	1.4	562.6	563.2	562.3	70	100	100	WSW 4	WNW 2	W 3	8	10≡*	10≡	2.6	✳ 12-15¾ mU. ≡ 8¼-n,
9	-7.0	-5.1	-3 8	-5.3	1.7	560.9	560.6	559.6	**19**	37	72	WSW 3	W 4	WSW 3	9	10	3	.	⌿ a-p [⋁ 8½-n, ⌿ n-a
10	-3.2	-2.4	-7.6	-4.4	2.7	555.6	552.8	551.7	68	53	100	SW 4	SW 4	W 5	9	10	10≡*	12.5	✳ 15¼-n, ≡ 14½-n, *)
11	-7.8	-6.7	-5.0	-6 5	0.7	553.1	554.0	554.3	100	98	100	W 5	W 4	W 4	10≡*	10	10≡	25.9	✳ n-8½, 20½-n, ≡ n-12¾,*)
12	-4.0	-3.1	-4.4	-3.8	3.4	554.3	555.0	556.4	100	100	100	WSW 3	W 3	W 2	10≡*	10≡*	10≡	16.6	✳ n-15, 16¾-17½, ≡ ⋁ n-n
13	-6 4	-5.6	-5 7	-5.9	1.4	557.2	558.0	558.1	98	70	70	W 2	SW 3	WSW 3	1	1	1	.	
14	-4.1	-1 0	-3.2	-2.8	4 6	556.1	554.4	551.8	81	83	95	W 3	W 3	SW 3	6	10	10	6.0	✳ n (14./15.)
15	-4.4	-2.7	-5.4	-4.2	3.2	550.0	548.2	**546.7**	100	79	100	WSW 3	SW 2	W 5	5	10	10≡	11.7	✳ n-6½, 15¾-n mU, *)
16	-6.2	-5.4	-5.8	-5.8	1.7	547.4	550.4	552.8	100	100	100	W 5	W 4	W 4	10≡*	10≡*	10≡	12.9	✳ n-9, 11½-16 mU, *)
17	-6.5	-5.0	-6.8	-6.1	1.5	551.7	551.1	551.4	94	100	100	SW 3	W 4	W 5	10	10≡*	10≡*	15.2	✳ 7-8 mU, 9½-15 mU, *)
18	-7.0	-8.2	-7.2	-7.5	0.1	552.2	553 6	555.0	100	100	100	W 5	WSW 5	W 3	10≡	10≡*	10≡	25.1	✳ 11½-n mU, ≡ n-n, *)
19	-8.1	-7.8	-9.1	-8.3	-0 6	554.8	554.6	553 9	100	84	70	W 1	WSW 2	SSW 2	10≡*	1	1	.	✳ n-6½. ≡ n-8¼
20	-8.6	-7.8	-8.5	-8.3	-0 6	552.3	551.7	551.5	78	83	89	WSW 2	SW 3	WSW 2	4	3	10	4.7	✳ n (20./21.)
21	-8.6	-9.0	-9.2	-8.9	-1.1	551.2	552.3	554.4	100	100	98	W 3	W 3	W 2	10≡	10≡	9	4.3	✳ n-7, n (21./22). ≡ n-14¾,*)
22	-9.0	-7.8	-9.4	-8 7	-0.9	556.0	557.8	559.0	100	100	98	W 3	WNW 3	SW 3	10≡*	10≡*	2	7.3	▽ 9¾-10¼. ✳ 11½-17¾, *)
23	-6.2	-2.6	-4.7	-4.5	3.3	557.9	557.7	558 3	92	10)	100	WSW 4	W 4	W 4	4	10≡*	10≡*	18.7	✳ 12-17½ mU, 18¼-n, *)
24	-5.4	-5.1	-6.1	-5.5	2.4	559.5	558 9	557 5	100	90	100	W 4	WSW 3	SW 3	10≡	10	1)	2.0	✳ 19½-20½, n (24./25) *)
25	-5.7	-5.7	-6.8	-6.1	1.8	558.8	560.9	563.9	100	100	100	W 2	W 3	W 2	10≡*	10≡*	10≡*	31.5	✳ ≡ ⋁ n-n
26	-8 7	-7.4	-5.5	-7.2	0.7	565.1	565.7	564 6	90	63	72	W 3	W 3	W 3	2	4	10	7.4	✳ n (26./27.), ≡ n-7, ⌓ III
27	-7.4	-8.8	-8.2	-8.1	-0.1	562.9	563.2	563.3	100	100	100	W 4	WSW 4	W 4	10≡*	10≡*	10≡*	**32.3**	✳ ≡ ⋁ ⌿ n-n, ⫩ 8-n
28	-4 4	-2.0	-2.4	-2.9	5.1	563.5	564.9	563 0	100	100	100	W 4	W 4	W 4	10≡	10≡	10≡●	25.2	● 16½-n, ≡ ⋁ ⌿ n-n, ⫩ n-9
29	-3.3	-4.2	-8.0	-5.1	2.9	560.4	559.7	556.0	100	100	92	W 5	W 4	W 3	10≡*	10≡	10	19.8	● n-7, ✶ 7-11½, ≡ n-19½, *)
30	-6.4	-7.6	-9.8	-7.9	0.2	547.3	547.2	548 5	100	100	100	SW 5	W 3	WSW 3	10≡*	10≡	10≡*	11.3	✳ n-10½ mU, 17½-n, *)
31	-10.7	-11.1	**-14 2**	-12.0	-3.9	552.6	555.2	556.9	100	100	100	N 2	N 1	WSW 3	10≡*	10≡	10≡	7.2	✳ n-12½, 14–15¾, 16¾–19, *)
																		Summe	
Mittel	-5.9	-4.9	-6.1	-5.6	—	558.3	558.6	558 7	86	83	90				7.9	7.8	7.5	350.1	

Dezember 1955
Beobachter: *E. Chiesa*

St. Gotthard (Hospiz)

$\lambda = 8°\,34'$, $\beta = 46°\,33'$,
$H_b = 2095$ m, $G = -0.25$ mm.

1	-5.7	-4.8	-4.3	-4.9	0.7	590.9	590.5	590.5	97	98	98	SE 1	SE 1	SE 1	10*	10*	10*	3 1	✳ n-n mU
2	-2.6	0.3	-2.0	-1.4	4.3	593 1	595 4	598 0	97	96	87	SE 1	SE 0	SE 0	6	9	0	.	⌓ III
3	-1.2	1.0	-1.8	-0.7	5.1	599 0	**599.3**	598 2	94	78	87	SE 0	SE 0	SE 0	6	6	3	1.4	✳ n (3 /4.)
4	-1.8	-2.7	-5.2	-3.2	2.7	597.0	597.0	597.1	99	99	94	NW 1	NW 2	NW 3	10≡	9≡	3	2.0	✳ n (4./5.), ≡ n-p mU,
5	-7.8	-2.6	-2.2	-4.2	1.7	598.2	598.4	598.7	95	29	24	NW 2	NW 1	NW 0	0	0	0	.	[⌿ III
6	0.0	4.0	0.7	1.6	7.6	598.9	**599 3**	599.1	25	40	39	NW 1	NW 0	NW 1	3	0	0	.	
7	3.6	**5.2**	2.4	3.7	9.8	597.3	595 9	594 9	28	**22**	31	NW 1	NW 0	NW 1	0	0	0	.	
8	-1.4	-3.0	-5.0	-3.1	9.3	592.8	592 9	592.4	43	92	97	NW 2	NW 2	NW 2	0	3	10≡	.	≡ ⋁ 15¼-n
9	-2.4	1.0	-2.6	-1.3	4.9	591 3	590.3	590.0	40	42	65	NW 1	NW 1	NW 0	3	3	0	.	
10	-2.2	-3.8	-2.6	-2.9	3.4	586.7	584 6	583.2	65	98	65	SE 0	SE 1	SE 2	3	10≡	10*≡	10.7	✳ 15¾-n, ≡ 11-n
11	-2.3	-1.3	-0.4	-1.3	5.1	583.7	584 2	584.2	67	59	75	NW 1	NW 0	NW 0	6	3	9	2.9	✳ n (11 /12.)
12	-1.2	-1.7	-4.9	-2.6	3.8	584.1	584.8	585 7	98	96	70	NW 0	NW 1	NW 0	10	0	0	0.0	✳fl 7¾-8½
13	-3.8	-2.5	-5.6	-4.0	2.5	586.1	587.2	588.1	60	86	99	NW 0	NW 0	SE 0	0	3	10≡	.	≡ 20-n
14	-6.8	-5.3	-5.2	-5.8	0.7	587.1	586.3	583.0	99	95	98	SE 1	SE 1	SE 1	10≡	10	10*	6.9	✳ 18¾-n, ≡ n-a
15	-3.2	-3.0	-3.8	-3 3	3.3	580.5	578.7	**577.7**	99	98	98	SE 1	SE 0	SE 0	10	10≡	10*≡	9.1	✳ 13¾-n, ≡ 9¼-n
16	-3.4	-1.0	-5.1	-3.2	3.4	578.7	581.0	583.1	97	77	72	SE 0	NW 0	NW 0	10*	10*	0	5.1	✳ n-p
17	-3.8	-1.3	-4.6	-3.2	3 4	582.0	581.9	582.4	86	81	75	SE 1	NW 1	NW 0	10*	10*	0	2.8	✳fl n-p
18	-3.9	-3 2	-6.3	-4.5	2.2	583.3	584.0	585.1	78	63	65	NW 1	NW 0	NW 1	0	0	0	.	
19	-8.0	-4.0	-6.8	-6.3	0.4	584.7	584.6	584.4	59	61	71	NW 0	SE 0	SE 0	0	0	0	.	
20	-9.2	-4.7	-8.6	-7.5	-0.8	582.7	581.7	581.5	85	72	82	SE 0	SE 0	NW 0	9	3	0	.	
21	-11.8	-5.4	-8.2	-8.5	-1.7	581.3	582.1	583.9	88	67	65	NW 1	NW 0	NW 1	9	0	0	.	
22	-8.2	-5.3	-7.2	-6.8	0.0	585.3	587.5	589.1	65	85	70	NW 0	NW 1	SE 0	0	3	0	.	
23	-5.3	-4.0	-5.1	-4.8	2.0	589.0	588.8	588.7	70	68	98	SE 1	SE 1	SE 0	10	3	10*	0.4	✳ 20¾-n
24	-3.2	-0.4	-5.7	-3.1	3.8	589.2	588.8	587.2	98	52	72	NW 1	SE 0	NW 1	10≡	10	0	.	≡ n-a
25	-5.1	-3.5	-4.9	-4.5	2.4	587.5	589.9	592.9	88	97	98	NW 2	NW 2	NW 2	3	10≡	10≡	2.1	✳ n (25./26.), ≡ 11-n
26	-5.9	-3 5	-2.3	-3.9	3.0	594.0	595.0	594.3	98	46	40	NW 3	NW 2	NW 1	10≡	6	3	0.4	✳ n (26./27.), ≡ ⋁ ⌿ n-a
27	-4.6	-4.9	-6.0	-5.2	1.7	592.8	593.7	594.0	98	71	97	NW 2	NW 2	NW 2	10≡	10	10*	9.1	✳ 14½-n,, ≡ n-a mU
28	-2.2	1 0	0.0	-0.4	6.6	593.8	594.1	593.9	98	70	94	NW 2	NW 3	NW 2	10*	6	0	4.7	✳ n-a, ⌿ n-n mU
29	-1.0	1.1	-0.4	-0.1	6.9	591.5	591.1	586.8	97	41	45	NW 1	NW 2	NW 2	10*≡	6	3	**14.1**	✳ n-a, n (29./30.), ≡ n-a mU
30	-4.1	-3.1	-8.0	-5.1	1.9	579.6	578.1	578.3	98	54	97	SE 1	NW 1	NW 1	10*	9	10≡	2.3	✳ n-a, ≡ 20-n
31	-8.0	-9.1	-11.4	-9.5	-2.5	581.3	584.2	586.8	98	95	94	NW 3	NW 3	NW 3	10≡	9	10≡	2.4	✳ a-n mU, ≡ ⋁ ⌿ n-n mU
																		Summe	
Mittel	-4.1	-2.3	-4.3	-3.6	—	588.5	588.8	588.8	81	72	76				6.4	5.5	4.2	79.5	

*) Säntis: **3.** ≡ 8-13, 15¼-n, ⋁ 15½-n, ⌿ III **10.** ⌿ n-n, ⌿ p-n **11.** ≡ 15¾-n, ⋁ n-12, ⫩ n-10, ⌿ n-n, ⌿ I, 16½ **15.** ≡ n-7, 15½-n, ⌿ III **16.** ≡ ⋁ ⌿ n-n, ⫩ n-18, ⌿ n-a **17.** ✳ 19¼-n, ≡ 7½-n mU, ⌿ a-n, ⌿ III **18.** ⋁ n-8½, 12-n, ⫩ n-9½, 11½-n, ⌿ n-p, ⌿ n-II **21.** ≡ 15¾-17½, ⋁ n-14 **22.** ≡ n-20½ **23.** ≡ 9-n, ⋁ 15-n, ⌿ n-n **24.** ≡ n-11¼, ⋁ n-10½, ⌿ I **29.** ⋁ n-19, ⌿ n-p, ⌿ n-a **30.** ≡ n-14, 17½-n, ⫩ n-11, ⌿ n-a, ⌿ I **31.** ≡ n-n

Ergänzende Witterungsnotizen zu den Tabellen Seite 1—72

Januar

Bern: Alpen klar: 19. I, II. — Alpen sichtbar: 19. III, 20. I, 30., 31. II. — Alpen schwach sichtbar: 20. II. — Gewitter: 15. ≺ 4^h. — Schneehöhe: 21. 15 cm. — Neuschnee: 3. 4.5 cm, 9. 11 cm, 18. 17,5 cm. — **Neuchâtel:** Schneehöhe: 7. 18 cm, 18. 20 cm. — **Altdorf:** Föhn: 2. III, 16. 1—10^{45h}, 31. 3^{30}—24^h. — Schneehöhe: 18. 10 cm. — **Genf:** Schneehöhe: 3. 14 cm, 21. 9 cm. — Gewitter: 14. ⊠ 4^h. — **Zürich:** Alpen sichtbar: 19. Nm. — Alpen schwach sichtbar: 19., 20. Vm. — Dunst: 2.—4. d. g. T., 9. Nm., 10., 15. d. g. T., 18. Vm., 19. Nm., 20., 24., 25. d. g. T. — Taldunst: 19. Vm. — Neblig: 5., 6. d. g. T., 7. Nm., 8. d. g. T., 9. Vm., 21., 23., 26. d. g. T., 27., 31. Nm. — Talneblig: 20. Vm., 22. Nm. — Nebel (Sicht): 7. I (800 m), 8. I (300 m), 18. I. (400 m), 22. I (80 m), 23. I (300 m), 27. I (400 m), 28. I (40 m), II (400 m), III (30 m), 29. I (50 m), II (50 m), III (30 m), 30. I (130 m), II (300 m), III (300 m), 31. I (60 m).— Talnebel: 22. Vm. — Neuschnee: 9. 1,5 cm, 10. 2 cm, 17. 3 cm, 18. 14.5 cm, 19. 5 cm. — Schneehöhe: 21. 12.5 cm. — **Chasseron:** Nebelmeer (Mittelland): 1. I (1500), 4. I 1100, II 1000, III (900), 5. I (1000), II (900), III (1000), 6. I 900, II 900, III 900, 7. I 900, II 1000, III 900, 8. I 900, II (1000), III (900), 9. I (900), 10. I (900), II (900), III (800), 15. I (1100), 19. I (850), II (900), 21. II (1000), III (1000), 22. III (1000), 24. I 1500, II 1200, III 1200, 25. I 1000, II 1000, 26. I 850, II 800, III 800, 27. I 800, II 800, III 800, 28. I 800, II 700, III 800, 29. I 800, II 800, III 800, 30. I 800, II 800, III 700, 31. I 700, II (700). — Neuschnee: 2. 2 cm, 3. 3 cm, 13. 8 cm, 17. 10 cm, 18. 30 cm, 21. 5 cm. — Schneehöhe: 7. 90 cm, 14. 60 cm, 21. 85 cm, 28. 40 cm. — **Bever:** Neuschnee: 4. 9 cm, 12. 5 cm, 17. 4 cm, 18. 10 cm. — Schneehöhe: 7. 75 cm, 14. 70 cm, 17. 4 cm, 18. 10 cm. — **Sitten:** Talnebel: 2. I, 7., 28. III. — Neuschnee: 3. 2 cm, 11. 2 cm, 18. 8 cm. — Schneehöhe: 19. 3 cm. — **Lugano:** Nordföhn: 15. 5—8^h, 17. 9—17^h, 18. 15^{h30}—19. 3^h. — Schneehöhe: 2. 1 cm, 3. 7 cm, 4. 16 cm, 5. 7 cm. — **Basel:** Dunst: 22., 25. II, 29., 30. I, II. — Neuschnee: 9. 0,5 cm, 18. 8 cm. — Schneehöhe: 21. 5 cm. **Säntis:** Föhnmauer: 4. d. g. T., 5. 9^h—n, 6., 7. d. g. T., 8. n—14^h, 16. n—12^h, 27. 9^h—n, 31. d. g. T. — Neuschnee: 2. 3 cm, 4. 2 cm, 10. 4 cm, 11. 2 cm, 13. 45 cm, 15. 22 cm, 18. 40 cm, 19. 15 cm, 22. 6 cm, 23. 4 cm. — Schneehöhe: 7. 160 cm, 14. 220 cm, 21. 250 cm, 28. 220 cm. — Schneegrenze: 7. 1500 m, 14. 1600 m, 21. Bodensee, 28. 1000 m. — **St. Gotthard:** Neblig: 3. I, II, 17. III. — Neuschnee: 2. 2 cm, 3. 10 cm, 4. 3 cm, 5. 2 cm, 6. 3 cm, 7. 5 cm, 8. 18 cm, 12. 30 cm, 13. 60 cm, 14. 30 cm, 15. 28 cm, 16. 3 cm, 17. 20 cm, 18. 18 cm, 19. 10 cm, 22. 3 cm. — Schneehöhe: 7. 240 cm, 14. 250 cm, 21. 260 cm, 28. 250 cm.

Februar

Bern: Alpen klar: 11., 12. I, 15., 16. II. — Alpen hell: 15. I. — Alpen sichtbar: 9. I. — Alpen schwach sichtbar: 1. II, 2. I, III, 4., 5. I, 9. II, 16., 19. I, 21. II. — Schneehöhe: 11. 0,5 cm, 18. 21 cm, 25. 7,5 cm. — Neuschnee: 7. 2 cm, 11. 0,5 cm, 13. 1 cm, 14. 6 cm, 15. 3 cm, 18. 17,5 cm, 20. 2 cm, 21. 2,5 cm, 22. 9 cm, 24. 2 cm. — **Neuchâtel:** Dunst: 1., 24. III. — Schneehöhe: 14. 1 cm, 21. 20 cm. — **Altdorf:** Dunst: 24. III. — Föhn: 1. 0^h—abd. — Schneehöhe: 11. 4 cm, 18. 17 cm. — **Genf:** Schneehöhe: 7. 1 cm. — Neuschnee: 7. 1 cm, 13. 1 cm, 14. 3 cm, 17. 1 cm, 18. 30 cm, 19. 6 cm, 20, 1 cm, 21. 1 cm, 22. 10 cm, 24. 2 cm. — **Zürich:** Alpen hell: 7. Nm. — Alpen sichtbar: 15. Vm. — Alpen schwach sichtbar: 12. Vm. — Föhnmauer: 1. Vm. — Föhnlücke: 1. Vm. — Dunst: 2. Nm., 3., 12. Vm., 25.—27. d. g. T., 28. Vm. — Neblig: 1. d. g. T., 2. Vm., 12. Nm., 18. abd., 26., 27. fr. — Nebel (Sicht): 6. II (900 m), 10. II (800 m), 18. I (700 m), 19. I (400 m), 20. III (150 m), 21. II (600 m), 22. III (80 m), 23. I (300 m), 24. I (80 cm), III (160 cm). — Neuschnee: 11. 3 cm, 13. 3 cm, 14. 3 cm, 16. 1 cm, 18. 9 cm, 19. 3 cm, 20. 0,5 cm, 21. 6,5 cm, 22. 11 cm, 24. 0,5 cm. — Schneehöhe: 11. 3 cm, 18. 9 cm, 25. 2 cm. — **Chasseron:** Nebelmeer (Mittelland): 1. I (700), II (700), 19. I (1000), 23. I (900), 24. II (900), III (1000), 25. I 1300, II 1300, III 1350, 26. I 1500, III (1100), 27. II 1200, 28. I (1500) — Neuschnee: 3. 10 cm, 5. 1 cm, 6. 15 cm, 7. 10 cm, 9. 10 cm, 10. 15 cm, 13. 1 cm, 14. 15 cm, 18. 5 cm, 20. 1 cm, 21. 25 cm, 22. 15 cm, 24. 25 cm, 25. 1 cm. — Schneehöhe: 4. 60 cm, 11. 65 cm, 18. 70 cm, 25. 100 cm. — **Bever:** Neuschnee: 2. 3 cm, 3. 5 cm, 7. 5 cm, 8. 25 cm, 9. 20 cm, 17. 25 cm, 18. 25 cm, 19. 20 cm, 20. 15 cm, 22. 10 cm. — Schneehöhe: 4. 74 cm, 11. 110 cm, 18. 150 cm, 25. 135 cm. — **Sitten:** Neuschnee: 5. 1 cm, 8. 5 cm, 18. 40 cm, 20. 2 cm, 21. 1 cm, 22. 15 cm, 28. 1 cm. — Schneehöhe: 25. 15 cm. — **Lugano:** Nordföhn: 6. 20^h—7. 14^h, 9. 6—19^h, 10. 14^{30}—23^h, 11. 5—6^h, 14. 8^{30}—17^{30h}, 20. 15—23^h. — Schneehöhe: 17. 3 cm, 19. 21 cm, 22. 10 cm. — **Basel:** Dunst: 1., 26. II, 27. I, II, 28. I. — Neuschnee: 14. 2,7 cm, 21. 1 cm, 22. 5 cm. — **Säntis:** Föhnmauer: 1., 2. d. g. T., 12. 11^{30}—n, 19. n—12^h, 23., 24. d. g. T., 25. 9—17^h. — Gewitter: 8. ⊠ 23^{20h}. — Neuschnee: 4. 5 cm, 7. 38 cm, 10. 35 cm, 11. 32 cm, 13. 5 cm, 14. 30 cm, 15. 35 cm, 17. 8 cm, 18. 22 cm, 19. 8 cm, 21. 23 cm, 23. 6 cm, 26. 1 cm, 27. 1 cm. — Schneehöhe: 4. 210 cm, 11. 320 cm, 18. 350 cm, 25. 340 cm. — Schneegrenze: 4. 1200 m, 11. Bodensee, 18. Bodensee, 25. Bodensee. — **St. Gotthard:** Neblig: 9., 10. I, 14. II, III, 17. II, 18. I, 26., 28. II. — Neuschnee: 1. 10 cm, 2. 42 cm, 3. 20 cm, 4. 10 cm, 5. 20 cm, 6. 12 cm, 7. 5 cm, 8. 15 cm, 9. 40 cm, 10. 8 cm, 11. 10 cm, 18. 5 cm, 20. 10 cm, 21. 11 cm, 22. 23 cm, 23. 5 cm, 24. 23 cm, 25. 3 cm, 26. 13 cm. — Schneehöhe: 4. 280 cm, 11. 310 cm, 18. 305 cm, 25. 340 cm.

März

Bern: Alpen klar: 7., 8., 14., 18. I, 19. I, II, 23. I, 24. I, II, 26. I. — Alpen hell: 7., 23. II, 25. I, II, 26. II. — Alpen sichtbar: 12., 18., 22. II. — Alpen schwach sichtbar: 6. I, 8. II, 22. I, 27. I, II. — Schneehöhe: 4. 3 cm. — **Neuchâtel:** Dunst: 3. II, 4. I, 8. Vm., 13., 14. I, II, 16. I, 24. III. — Gewitter: 27. ⊠ 17^{30}—18^{30}. — **Altdorf:** Dunst: 13. II. — Neblig: 14. III, 15. I. — Föhn: 20. 20^{15}—21. 21^{30h}. Schneehöhe: 5. 5 cm. — **Genf:** Gewitter: 22. ⊠ 18^{45}, 27. ⊠ 15^{40}—17^{30h}. — **Zürich:** Alpen klar: 23., 24. Vm. — Alpen hell: 22. Vm., 23. Nm., 24. Vm., 25. d. g. T., 26. Vm., 27. Nm. — Alpen sichtbar: 15. Nm., 21. d. g. T., 26. Nm. — Alpen schwach sichtbar: 7. d. g. T., 19. Vm. — Föhnmauer: 21. d. g. T. — Föhnlücke: 21. d. g. T. — Dunst: 4. d. g. T., 5. Vm., 8., 9. d. g. T., 12. Nm., 13., 14. d. g. T., 15., 17., 28. Vm., 31. d. g. T. — Neblig: 4. fr., 16., 29. Vm. — Talneblig: 9., 14. Vm. — Nebel (Sicht): 14. I (900 m). — Gewitter: 27. ⊠ △ 13^{30h}, (⊠) S 14^{23h}, (⊠) S 17^{08h}. — Neuschnee: 2. 1,5 cm, 6. 1,5 cm, 10. 1 cm, 12. 0,5 cm, 18. 1 cm, 29. 1 cm. — Schneehöhe: 11. 0,5 cm, 18. 1 cm. — **Chasseron:** Nebelmeer (Mittelland): 2. II (1550), 3. I 1300, II 1300, 12. I 1300, II (1200), 13. I 900, 31. II (1200). — Neuschnee: 9. 20 cm, 21. 3 cm, 22. 2 cm, 23. 4 cm. — Schneehöhe: 4. 60 cm, 11. 55 cm, 18. 50 cm, 25. 30 cm. — Gewitter: 27. (⊠) 16—16^{45h} über Yvonand. — **Bever:** Neuschnee: 9. 3 cm, 21. 7 cm, 22. 4 cm, 29. 1 cm. — Schneehöhe: 4. 118 cm, 11. 118 cm, 18. 110 cm, 25. 105 cm. — **Sitten:** Dunst: 1., 2., II, III, 3. I, II, 4., 10., 11. I, 12. I, II. — **Lugano:** Gewitter: 28. ⊠ 18^{45h}. — Nordföhn: 5. 19—21^{30h}, 17. 21^h—18. 23^{30h}. — Schneehöhe: 7. 1 cm. — **Basel:** Dunst: 7., 9., 11. I, 14., 16. II, 27., 30. I. — Gewitter: 25. ⊤ 15^{30h}. — **Säntis:** Föhnmauer: 20. 15—18^{30h}, 21. d. g. T. — Neuschnee: 5. 10 cm, 6. 35 cm, 7. 12 cm, 12. 1 cm, 18. 25 cm, 19. 30 cm, 20. 11 cm, 21. 3 cm, 22. 2 cm, 24. 2 cm, 27. 6 m, 28. 33 cm, 29. 12 cm, 30. 15 cm. — Schneehöhe: 4. 320 cm, 11. 350 cm, 18. 350 cm, 25. 320 cm. — Schneegrenze: 4. Bodensee, 11. Bodensee, 18. Bodensee, 25. 1300 m. — **St. Gotthard:** Neblig: 20. III. — Neuschnee: 9. 6 cm, 12. 10 cm, 13. 18 cm, 21. 5 cm, 31. 4 cm. — Schneehöhe: 4. 335 m, 11. 350 cm, 18. 330 m, 25. 300 cm.

April

Bern. Alpen klar: 6. I, II., 13. I, 20., 21. II, 28., 29. I, II. — Alpen hell: 13., 27. II. — Alpen sichtbar: 1., 4., 5., 10. II, 11. I, 12. II, 19. I, II, 21., 27. I. — Alpen schwach sichtbar: 5., 8., 18., 20. I, 24. II, 26., 30. I. II. — Gewitter: 29. ≺ WSW, 23^{20}—23^{30h}. — **Altdorf:** Dunst: 2. I. — Neblig: 23., 24. I. — Föhn: 29. 14^h—n. — **Zürich:** Alpen hell: 6., 20. Nm. — Alpen sichtbar: 6. Vm., 27. d. g. T., 28. Nm. — Alpen schwach sichtbar: 13. Nm., 20. Vm. — Dunst: 1., 2., 5., 21.—23. Vm. — Taldunst: 3., 5., 6., 8., 24., 28. Vm., 29. fr. — Talneblig: 13. Vm. — Gewitter: 15. ⊠ 18^{40h}, 16. ⊠ 15^{15h}. — Neuschnee: 16. 3 cm. — **Chasseron:** Nebelmeer (Mittelland): 1. I (1500). — Neuschnee: 17. 2 cm, Schneehöhe: 1. 10 cm. — **Bever:** Neuschnee: 5. 2 cm, 12. 16 cm, 15. 1 cm. — Schnee-

höhe: 1. 80 cm, 8. 52 cm, 15. 48 cm, 22. 25 cm. — **Lugano:** Nordföhn: 3. 21—23h, 4. 14—23h, 9. 14^{30}—19^{30}h, 10. 15—21h, 11. 18^{30}—12. 21h, 14. 11h—16. 24h, 18. 13^{30}—19. 01h, 24. 19h—25. 14h. — **Basel:** Dunst: 1., 2., 20.—23. I. — **Säntis:** Gewitter: 4. Nah⛈ N 17^{10}h, 30. ≤ E 21^{30}h. — Neuschnee: 4. 3 cm, 5. 26 cm, 6. 7 cm, 7. 0,5 cm, 8. 21 cm, 9. 35 cm, 10. 18 cm, 11. 12 cm, 15. 45 cm, 27. 1 cm, 28. 2. cm. — Schneehöhe: 1. 340 cm, 8. 370 cm, 15. 450 cm, 22. 450 cm, 29. 380 cm. — Schneegrenze: 1. 900 m, 8. 1500 m, 15. 1200 m, 22. 1300 m, 29. 1600 m. — **St. Gotthard:** Neblig: 4. III. — Abendrot: 19. ab 19^{05}h. — Neuschnee: 8. 8 cm, 10. 4 cm, 12. 8 cm. — Schneehöhe: 1. 250 cm, 8. 240 cm, 15. 240 cm, 22. 220 cm, 29. 200 cm.

Mai

Bern: Alpen klar: 4. I, 6., 8., 9., 13. I, II, 16. II. — Alpen hell: 10., 16., 17. I, 23. II, 24., 25. I. — Alpen sichtbar: 1. II, 2. I, II, 4. II, 5. I, II, 10., 12. II, 14. I, II, 20. I, 24., 25. II. — Alpen schwach sichtbar: 1. I, 3. I, II, 15., 19., 20. II, 21. I, II, 23., 27. I, 28. I, II, III, 29. I, II. — Gewitter: 6. ≤ NE 21^{30}h, 15. ▲ 15^{20}—15^{35}h, 26. (⛈) E 14^{30}h. **Neuchâtel:** Joran: 25. 16—17^{45}h, 26. 12^{45}—17^{30}h. — Gewitter: 6. ⛈ 17—17^{40}h, 17. ⛈ 17^{45}—18h, 25. Nah⛈ W→NE 15^{40}—17^{30}h, 26. (T) N 12^{10}—17h. — **Altdorf:** Föhn: 6. 10^{45}—21h, 17. 2^{30}—20^{30}h. — Gewitter: 2. ⛈ 2^{30}h, 25. ⛈ 18^{50}h. — **Zürich:** Alpen klar: 16. d. g. T. — Alpen hell: 4., 6. Vm., 7. Nm., 8., 9. d. g. T., 10. Nm., 17. Vm. 23. Nm. — Alpen sichtbar: 4., 6., Nm., 7., 10. Vm., 13. d. g. T., 17. Nm., 23., 24. Vm. — Alpen schwach sichtbar: 11. Vm., 24. Nm. — Föhnmauer: 6. Nm., 17. 16^{50}h. — Föhnlücke: 17. 16^{50}h. — Taldunst: 12. fr., 24. Vm. — Talneblig: 8. Vm., 13., 25. fr. — Gewitter: 2. (T) 16h, 6. ≤ 17^{45}h, ⛈ 18^{10}—18^{40}h aus W, 27. ⛈ 13—13^{35}h, 28. ⛈ 19^{30}—19^{50}h aus W., ⛈ 20^{15}—20^{35}h. — **Chasseron:** Nebelmeer (Mittelland): 17. III (1500). — Neuschnee: 15. 3 cm, 16. 5 cm, 18. 5 cm, 19. 8 cm, 22. 12 cm. — Gewitter: 26. (⛈) NE 21^{30}h. — **Bever:** Neuschnee: 3. 4 cm, 15. 12 cm, 19. 6,5 cm. — **Sitten:** Schneegrenze: 12. 2000 m, 19. 1100 m, 22. 1100 m. — **Lugano:** Nordföhn: 3. 3—19h, 7. 14^{30}—8. 2h, 11. 21h—12. 10^{30}h, 15. 17^{30}—16. 3h, 19. 0—19h, 22. 8—21^{30}h, 29. 8—21h. — Gewitter: 2. ⛈ 18^{40}—19^{20}h, 11. ⛈ 18^{45}—21h, 31. (⛈) 20^{30}—21h. — **Basel:** Dunst: 23., 30. I. — Gewitter: 6. T 17^{40}h, 25. (⛈) SW 18^{05}—18^{12}h, ⛈ 18^{12}—19^{20}h. — **Säntis:** Föhnmauer: 17. 9^{30}—n. — Gewitter: 2. Nah⛈ ENE 15^{55}—16^{30}h, 25. (⛈) S 20^{10}—21h, 26. T NE 15^{15}h, T NW 16^{15}—17^{15}h, T W + E 18h, 28. Nah⛈ NE 18^{40}h, ⛈ 21—21^{15}h, 30. ≤ S 21^{30}h. — Elmsfeuer: 28. 21^{30}h. — Neuschnee: 3. 22 cm, 4. 2 cm, 5. 4 cm, 7. 2 cm, 8. 2 cm, 11. 4 cm, 12. 17 cm, 15. 13 cm, 16. 37 cm, 18. 2 cm, 19. 28 cm, 20. 17 cm, 21. 2 cm, 22. 32 cm, 23. 45 cm, 26. 3 cm, 28. 7 cm, 29. 16 cm, 30. 3 cm. — Schneegrenze: 6. 1800 m, 13. 1700 m, 20. 1200 m, 27. 1700 m. — **St. Gotthard:** Neblig: 25. I, 29. I, II. — Neuschnee: 13. 28 cm, 18. 20 cm, 22. 10 cm. — Schneehöhe: 6. 170 cm, 13. 120 cm, 20. 110 cm, 27. 110 cm.

Juni

Bern: Alpen klar: 6., 16. I. — Alpen hell: 6. III, 7. I, 8., 9. I, III, 12. I, II, 16. II, III, 18. I, III. — Alpen sichtbar: 1. I, 6. 8., 13. II, 17. II, III, 21. III. — Alpen schwach sichtbar: 1., 2. II, 3. II, III, 5. I, II, 9., 10. II, 15. II, III, 18. II, 30. II, III. — Gewitter: 2. ⛈ 0^{30}—0^{50}h, 7. ⛈ 15—15^{50}h, 16. (⛈) NW 18^{50}—19^{10}h, 17. (⛈) SE 5—7h, 18. ≤ SW 10^{23}h, ≤ NW 11^{30}h, (T) SE 17^{50}h, 19. ≤ NW 2^{10}h, (T) N 16^{05}h, 22. ⛈ 13^{30}—14h, 25. T NW 19^{15}—19^{45}h, (⛈) NE—N 21^{30}h, 26. ⛈ 13^{10}—14h, ⛈ 17^{05}—17^{45}h, 27. Nah⛈ SE 16^{10}—17h. — **Neuchâtel:** Dunst: 23. Vm., 24. d. g. T. — Joran: 16. 18—19h, 22. 11—19^{30}h, 26. 12^{15}—18^{15}h, 29. 16^{45}—20^{45}h, 30. 18^{30}—21^{30}h. — Gewitter: 1. T 16—16^{30}h, T n, 16. (T) 17^{15}—18^{30}h, 17. (T) 13—14^{50}h, 25. ⛈ 14^{15}—16h, 26. ⛈ 12—14h, 28. T 11^{35}—14h. — **Altdorf:** Dunst: 16. I. — Föhn: 6. 17^{50}—7. 16^{35}h, 9. 9^{10}—18^{10}h, 18. 20^{20}—19. 19h. — Gewitter: 2. ⛈ 2^{25}h, ⛈ 4^{50}h, 8. (T) 17^{50}h, 10. ⛈ 17^{05}—17^{35}h, 17. ⛈ 8^{55}—9^{45}h, ⛈ 18h, 25. T 12^{25}h, 26. T 15^{20}h. — **Genf:** Gewitter: 3. ⛈ 23h, 17. ⛈ 5^{30}—6^{30}h, 18. ⛈ 20^{30}. — **Zürich:** Alpen hell: 5. d. g. T., 9., 10. Vm., 20. Nm. — Alpen sichtbar: 6., 12. Nm., 18. d. g. T. — Alpen schwach sichtbar: 1. d. g. T. — Föhnmauer: 6., 9. Vm. — Dunst: 3., 11.—14., 16.—18. Vm., 23.—25. d. g. T., 26.—30. Vm. — Taldunst: 18. Vm. — Neblig: 4. II. — Talnebel: 20. Vm. teilweise. — Hochnebel: 23. n—9^{30}h. — Gewitter: 3. T 14^{30}h, T 20h, 7. ⛈ 16^{45}—17h, 8. Nah⛈ von S nach E 15^{44}h, 17. T SW 14^{03}h, ⛈ aus S 19^{15}—20^{45}h, ü. St., 19^{35}—20^{15}h, ⛈ 20^{45}—21^{10}h, ⛈ 21^{45}h, 26. schwaches ⛈ i. SSE 16^{10}—16^{55}h ü. St. 16^{55}h, 27. ⛈ 12^{50}—14^{12}h. — **Chasseron:** Nebelmeer (Mittelland): 6. I (1000), 12. I (1400), 14. I (1200), 19. I (1600). — Gewitter: 1. (⛈), 13—17h, 8. 13—13^{45}h, 16. ⛈ 17—18^{45}h, 17. ⛈ 11^{45}—19^{30}h, 21. (⛈) 21^{20}h ü. St. Croix, 25. (⛈) 13^{45}—15^{40}h ü. Grandson—Payerne, ⛈ 17—17^{45}h ü. le Jorat, 27. (⛈) W 21^{30}h. — **Bever:** Neuschnee: 10. 1 cm. — **Sitten:** Hochnebel: 22. I. — Talnebel: 21. I. — Gewitter: 25. (⛈) N 15^{25}—18^{30}h, 26. (⛈) Rawyl 15^{15}h, 27. (⛈) Rawyl 15^{50}h. — Schneegrenze: 11. 1800 m. — **Lugano:** Nordföhn: 10. 16^{30}—24h, 11. 21—24^{30}h, 13. 20—14. 7^{30}h. — Gewitter: 7. (⛈) S abd, 8. starkes ⛈ 1^{30}—2^{30}h, T 18^{10}h, 9. (⛈) abd., 11. T 13—13^{15}h, 16. starkes ⛈ 19^{30}—21^{30}h, 28. 18^{40}—21h, ▲ 18^{55}—19^{08}. — **Basel:** Dunst: 6. I, 17. I, II, 22., 24., 27. 29. I. — Gewitter: 5. T 20^{43}h, 7. T 16^{28}h 8. ⛈ 14^{25}—14^{45}h, ▲ 14^{33}—14^{35}h, T 14^{15}—15^{10}h, 9. T E 16^{15}h, 17. T NE 19^{30}h, 19. ⛈ 12^{45}—13^{50}h, ▲ 13^{15}—13^{33}h, 21. T 12^{20}h, 25. T 8 km SW—NE 12^{03}—12^{45}h, T 16^{20}—16^{55}h T i. Wiesental 18^{40}h, 26. ⛈ 15^{52}h, ▲ 16^{02}—17^{05}h, T 15^{40}—16^{18}h, 28. T W—WNW 15^{21}—15^{37}. — **Säntis:** Föhnmauer: 4. I, 7. 9^{30}—16^{30}h, 9. n—15h, 19. d. g. T. Gewitter: 2. T E 11^{05}—11^{15}, Nah⛈ E 20^{35}—20^{55}h, 17. (⛈) SE 5^{45}—7h, (⛈) N 15^{50}—16^{30}, T NE + S 17—19^{30}h, 18. Nah⛈ E 13^{35}—13^{50}h, 21. ▲ 16—16^{45}h, 25. Nah⛈ SE 14—15h, T E 20h—n, 26. (⛈) E 10^{55}—11^{50}h, ▲ 12^{30}h, Nah⛈ NNW 13—13^{25}h, ⛈ 15^{10}—16^{30}h, 28. Nah⛈ S 13^{15}—14h, 29. Nah⛈ E 22^{55}—23^{15}h ü. St. 23h. — Elmsfeuer: 17. 21^{30}h. — Neuschnee: 3. 1 cm, 8. 18 cm, 10. 3 cm, 11. 17 cm, 12. 2 cm, 13. 15 cm, 14. 17 cm. — Schneehöhe: 3. 300 cm, 10. 260 cm, 17. 240 cm, 24. 190 cm. — Schneegrenze: 3. 1900 m, 10. 2000 m, 17. 2000 m, 24. 2100 m. — **St. Gotthard:** Abendrot: 14. ab 20h, 15. III. — Neblig: 1., 13. I, 27. III. — Nebelmeer: 16. III i. S. — Gewitter: 7. ⛈ ≤ T 20^{30}h—n. — Neuschnee: 8. 5 cm. — Schneehöhe: 3. 80 cm.

Juli

Bern: Alpen klar: 1. I. — Alpen hell: 2. I, 18. II, III. Alpen sichtbar: 1., 2. II, 3., 18. I. — Alpen schwach sichtbar: 12. I, 19. II, 20., 23. I. — Gewitter: 2. ⛈ 22^{15}—22^{35}h, 3. (⛈) NW—NE 3^{20}—3^{35}h, 4. ⛈ 11^{04}—11^{30}h, 11. ⛈ ▲ 12^{35}—13^{55}h, 13. (⛈) 19^{45}—20^{30}h, 14. (⛈), S 5^{30}—6h, (⛈) NW 12^{25}—12^{30}h, ⛈ 12^{35}—13^{05}h, (⛈) N 15^{30}h, (⛈) W 16^{15}h, ⛈ 16^{45}—17h, ⛈ 17^{45}—18^{15}h, 15. ⛈ 3^{28}—3^{45}h, 19. (⛈) 20^{5}—23^{0}h, 20. (⛈) S 12^{55}—14h, 21. (⛈) N—E 18^{30}—20^{45}h, (⛈) W—N 18^{30}—20^{45}h, 25. ≤ SE III, 27. ⛈ 12^{17}—12^{45}h, 28. Nah⛈ S 9^{25}—10h. — **Neuchâtel:** Dunst: 24. d. g. T. — Joran: 1. 19—20^{30}h, 2. 14^{45}—20h, 5. 16—20h, 6. 12—22h, 14. 16^{30}—17^{15}h, 15. 15^{20}—17^{20}h, 21. 17—19^{30}h, 20. 20—21h, 24. abd., 30. 18^{15}—21h. — Gewitter: 2. ⛈ 22^{30}—23h, 3, ⛈ 2^{30}—3h, 4. T n, 11. (T) Jura 11—13^{30}h, 12. T 12^{10}h, T 16—17^{15}h, 13. ⛈ 12^{40}—12^{55}h, 14. ⛈ 11^{05}h, ⛈ 16^{20}h, T Nm, 15. T N—E Nm., 19. ⛈ 13^{0}—2h, 21. (⛈) NW—NE 20^{15}—20^{30}h, 25. (⛈) S 22^{30}—23h, 27. ⛈ 13^{40}h, 28. ⛈ 11^{30}h. — **Altdorf:** Dunst: 16. I. — Neblig: 26. II. — Föhn: 31. 20^{55}—22^{30}h. — Gewitter: 2. ⛈ 16^{40}h, 4. ⛈ 12^{40}—13h, 13. (⛈) 12^{25}—13^{10}h, ⛈ 19^{10}h, 19. ⛈ 21^{55}h, 21. ⛈ 18^{45}h, (⛈) 20^{30}h, NE, 27. ⛈ n, 31. ⛈ 18h. — **Zürich:** Alpen sichtbar: 19. Vm. — Alpen schwach sichtbar: 1. Vm., 2. d. g. T. — Dunst: 9. Vm., 10. Nm., 11. Vm., 13. Nm., 14. Vm., 15.—17. d. g. T., 18., 23., 24., 27., 30., 31. Vm. — Talneblig: 21. fr. — Talnebel: 20. fr. — Gewitter: 3. ⛈ 12^{0}—13^{0}h, ⛈ 13—14h, 4. ⛈ 11^{40}—12h, ⛈ 12^{30}—12^{40}h, 13. ⛈ 9^{20}—9^{50}h, (⛈) S—W 12^{15}—14^{50}h, ⛈ 14^{45}—15^{45}h, 14. ⛈ 14^{5}—6^{15}h, ⛈ 12^{45}—14h, T 14—15^{30}h, 15. T 7^{30}h, T NE 14^{55}—15^{20}h, 20. ⛈ 15^{25}—16^{48}h, 21. ⛈ 22^{55}h, 28. ⛈ 11^{30}—12^{30}h, (⛈) S 21h, 30. ⛈ 17^{40}h. — **Chasseron:** Nebelmeer (Mittelland): 8. I (1500), 10. I (1600), 16. I (1600), 24. 9^{14}—11h 1600. — Gewitter: 2. ≤ S III, (⛈) NE 22—3h, 10. T 15—16h, 11. ⛈ ▲ 10^{30}—11^{15}h, ⛈ ▲ 11—12^{15}h, ⛈ 17^{45}—19h, (⛈) 20h—n, 12. (⛈) E 13^{15}—13^{40}h, 13. (⛈) N 19^{45}h, 14. (⛈) SE 12^{30}—12^{50}h, Nah⛈ 16—17^{15}h, ⛈ E 16—17^{15}h, 15. (⛈) 11^{40}—12^{15}h, (⛈) 13^{10}—13^{30}h, 18. ⛈ ▲ 13^{10}—13^{40}h, 19. ⛈ 13^{0}h, 20. Nah⛈ 11^{45}h, 21. ⛈ 18^{30}—20h, 25. T 19^{30}h, 28. ⛈ 6^{20}—8^{20}h, (⛈) S 8^{45}h, Nah⛈ NW 9^{30}—11^{55}h, T 20^{30}h—n, 31. ▲ 18^{30}h. — **Sitten:** Talnebel: 26., 27. I. — **Lugano:** Nordföhn: 5. 13^{30}h—7. 4^{30}h, 8. 18^{30}—20h, 22. 16^{30}—18h, 29. 16—18h, 30. 10^{30}—12^{30}h. — Gewitter: 2. (⛈) 20^{30}—21^{30}h, ≤ NE 21^{50}h, 3. ⛈ 2—4h, T 7^{20}h, ⛈ 7^{40}h, T 15^{10}h, 10. ⛈ 16—19h, 11. ⛈ 19—20h, 15. (T) 16h, 16. ⛈ 23—24h, 19. ⛈ 15—16^{30}h, 20. ⛈ ▲ 14^{20}—15^{30}h, 21. ⛈ ▲ 17—17^{30}h, ⛈ 18—18^{30}h, ⛈ 20—20^{30}h, 25. T 15—18h, ⛈ 19—21^{30}h, 27. ⛈ 19^{30}—20h. — **Basel:** Dunst: 15., 16., 25. I, 31. I, II. — Gewitter: 2. (⛈) SW 21^{41}—22^{30}h, ⛈ 22^{40}—23^{10}h, 3. ⛈ 11^{12}—11^{44}h, 4. T 5h, 12. T SE 15^{25}h, ⛈ 18^{25}—18^{50}h, 13. T 13^{31}h, ⛈ 16^{10}—16^{20}h, 14. Nah⛈ E 12^{05}—12^{10}h, 19. (⛈) S—SE

19^{45}—23^{0h}, ☒ 20—21^{h}, **22.** ☒ 21^{5}—4^{20h}, **28.** ⊤ 10^{35h}, ☒ 12^{44h}, **29.** ☒ 15^{25}—16^{10h}, Nah ☒ 16^{10h}. — **Säntis:** Gewitter: **2.** ⊤ S 17—18^{45h}, (☒) 16^{30}—19^{h}, ≺ S, SE, E 21^{30h}, **3.** Nah ☒ N 12^{45}—14^{h}, **4.** Nah ☒ E 13^{10}—13^{30h}, Nah ☒ E 14^{30}—15^{15h}, **11.** ⊤ 15^{30}—16^{30h}, ≺ S 21^{30h}, **12.** ⊤ N $19^{}$—20^{30h}, **13.** Nah ☒ SE 9^{40h}, ⊤ N 15—15^{15h}, Nah ☒ 15^{40}—16^{40h}, **14.** (☒) SE 10^{35}—10^{55h}, (☒) NE 12^{55}—13^{40h}, **19.** Nah ☒ S 6^{15}—6^{45h}, (☒) S 15^{55}—16^{50h}, Nah ☒ SE 16^{50}—17^{45h}, **20.** Nah ☒ S 7^{45}—7^{50h}, Nah ☒ S 15^{55}—17^{40h}, ≺ N, E 21^{30h}, **21.** ⊤ N, S, W 17^{53}—18^{15h}, ⊤ SW, N 20^{05}—20^{40h}, ≺ N, E 21^{30h}, 29. Nah ☒ SE 12^{30h}, (☒) S 15^{50h}, Nah ☒ SE 17^{05}—18^{35h}. — Neuschnee: **5.** 0,5 cm, **6.** 2 cm, **7.** 1 cm, 8. 8 cm. — Schneehöhe: **1.** 130 cm, 8. 100 cm, **15.** 60 cm. — Schneegrenze: **1.** 2200 m, 8. 2200 m, **15.** 2300 m. — **St. Gotthard:** Neblig: **4.**, **11.** III, **15.** d. g. T., **27.** III. — Nebelmeer: **11.** III, S. — Gewitter: **14.** ☒ 16^{50}—17^{h}, **18.** ☒ 22^{30h}, **20.** ☒ ab 21^{25h}, **25.** ☒ 19^{10}—19^{50h}.

August

Bern. Alpen sichtbar: **18.** II. — Alpen schwach sichtbar: **2.** II, **3.** I, II, **4.**, **5.** III, **9.**, **10.**, **14.**, **18.** I, **30.** II. — Gewitter: **1.** (☒) S—E 16^{25}—17^{h}, **2.** (☒) E 17—18^{h}, **7.** ≺ N 19^{55h}, ≺ E 23^{05h}, **8.** ☒ 2^{50}—4^{h}, **12.** ☒ 19^{40}—20^{35h}, **13.** (☒) W—N 20^{10}—21^{10h}, **15.** Nah ☒ NW—SE 19^{30}—20^{45h}, **25.** (☒) SE 18^{10}—18^{50h}, **26.** Nah 19^{30}—20^{30h}, ≺ 21^{30h}, **27.** ☒ 4^{25}—5^{10h}, (☒) N 6^{15}—8^{15h}, ⊤ NNW 13^{50h}, ☒ 15^{05}—15^{30h}, ☒ 16^{15}—16^{50h}, (☒) NW—NNE 16^{50}—17^{25h} (☒) 20^{30}—22^{30h}, ☒ 23^{50}—24^{30h}, **28.** ☒ 4^{40}—6^{15h}, ⊤ NW 8^{30}—10^{40h}, (☒) W 9^{30h}, (☒) N 9^{40}—10^{15h}, ☒ 9^{40}—10^{20h}, (☒) W—SE 14^{30}—15^{30h}, ⊤ W 12^{45h}, **30.** (☒) W—SE 5—5^{20h}, ☒ 5^{25}—5^{45h}, (☒) SW 6^{50}—7^{40h}, (☒) SW—E 8^{40}—9^{h}, ☒ 9^{25}—9^{45h}, (☒) W 20^{20}—20^{45h}, **31.** (☒) W—SE 14^{05}—14^{45h}. — **Neuchâtel:** Joran: **3.** 16^{30}—20^{15h}, **4.** 10^{20}—12^{30h}, **6.** 15^{45}—22^{30h}, **17.** 19^{30}—20^{30h}, **18.** 18^{30}—20^{15h}. — Gewitter: **1.** (⊤) Nm., **2.** ⊤ W 8—9^{50h}, 8. (☒) SSE 3—3^{30h}, **13.** (☒) SW—SE 19^{20}—19^{40h}, **14.** (☒) NW—NE 12^{45}—13^{h}, **15.** (☒) SSE, NNE 20^{30}—22^{h}, **19.** ⊤ Nm, **25.** (☒) W—NE 12—18^{h}, **26.** (☒) W—NW 14^{30}—15^{30h}, (☒) W—NE 18^{30}—18^{45h}, **27.** (☒) Jura 10^{15}—19^{h}, ☒ 13^{10h}, **28.** Nah ☒ SSE 4^{15}—4^{30h}, ⊤ 8^{45}—13^{30h}, **30.** ☒ 8^{55}—9^{10h}, ☒ 19^{50}—20^{50}, **31.** Nah ☒ 12^{35}—13^{h}, ⊤ Nm. m. U. — **Altdorf:** Gewitter: **7.** ☒ 20^{25h}, 8. ☒ 1^{35}—4^{h}, **13.** ≺ III, **14.** (☒) 19^{30}—20^{h}, **15.** ☒ 18^{35h}, **25.** ☒ 15^{05}—15^{15h}, **26.** ☒ 17^{15h}. — **Zürich:** Alpen sichtbar: **2.** Nm., Alpen schwach sichtbar: **27.** d. g. T., **30.** Nm. — Dunst: **1.**—**3.** Vm., **6.** d. g. T., **11.** Vm., **16.**—**22.** d. g. T., **23.**, **24.** Vm., **25.** d. g. T., **26.** Vm. — Taldunst: **6.** Vm., **15.** fr. — Tal neblig: **2.** fr., **26.**, **30.** Vm. — Gewitter: **1.** (☒) W 16^{55h}, **7.** ☒ 19^{02h}, ☒ 23^{15}—23^{30h}, **14.** ☒ 14^{17}—14^{40h}, ☒ 19^{27h}, **15.** ☒ 12^{05}—12^{35}, ⊤ 14^{30}—15^{h}, (☒) 17^{30}—18^{h}, **26.** ⊤ S 17^{10h}, ☒ 22^{h}, **27.** ⊤ W 6^{17h}, ☒ 6^{55}—7^{30h}, ⊤ 11^{55h}, **28.** ☒ 2^{40h}, ☒ 4^{15}—4^{30h}, ☒ 6—6^{20h}, ☒ 11^{h}, **31.** ☒ 19^{55h}. — **Chasseron:** Nebelmeer (Mittelland): **1.** I 1600, **5.** I (1550), **11.** I (1600), **13.** I 1200, II 1200, III 1600, **22.** Vm. (1200), **26.** I (1300), **29.** I. (900), II (900), **31.** I (1600). — Gewitter: **1.** ☒ 13^{10h}, ☒ 16—16^{50h}, ☒ 16^{40}—18^{30h}, **2.** ⊤ SE 7^{30h}, ☒ 10^{h}, ☒ 11—12^{h}, **7.** ▲ 18^{40}—20^{h}, **11.** ☒ 14^{15}—16^{45h}, ≺ 22^{h}—n, **12.** ☒ 13^{0h}, **14.** ☒ 12^{15}—15^{40h}, **19.** ☒ 16^{15}—17^{h}, **25.** ☒ ▲ 12—15^{15h}, ☒ 18^{15}—19^{15h}, **26.** ☒ ▲ 13^{45}—14^{45h}, ⊤ 15^{30}—15^{45h}, ☒ 15^{45}—18^{45h}, **27.** ☒ 0^{45h}, ☒ ▲ 14—14^{45h}, ☒ ▲ 15^{50}—18^{45h}, ☒ 20—20^{40h}, ☒ 21^{55}—22^{30h}, **28.** ☒ 8^{50}—9^{15h}, ☒ ▲ 12^{20}—12^{45h}, (☒) 13^{30h}, ≺ SSE—SW n, **30.** ⊤ ≺ 3^{30h}, ☒ ▲ 5^{50}—7^{45h}, ☒ 7^{50}—8^{45h}, (⊤) W—NE 3^{45}—11^{30h}, Nah ☒ W—NE 19—20^{15h}. — **Bever:** Schneegrenze: **26.** 2000 m. — **Sitten:** Dunst: **20.** I. — Schneegrenze: **2.** 2400 m. — **Lugano:** Nordföhn: 8. 6^{20}—21^{h}, **9.** 9—23^{h}, — Gewitter: **7.** ☒ 14^{15}—15^{45h}, **20.** (☒) 17^{35}—18^{05h}, **24.** (☒) 7^{30h}, (☒) 21^{h}, **25.** ☒ 11^{50}, ☒ 13^{25h}. — **Basel:** Dunst: **1.** I, **20.** II, **23.** I, **25.** II, **26.**, **28.** **30.** I. — Gewitter: **2.** ⊤ SW 17^{h}, **3.** ⊤ S 15^{h}, **7.** ☒ 16^{30h}, **13.** ☒ 12^{03}—12^{11h}, ☒ 16^{04}—16^{15h}, ⊤ W 19^{15h}, ☒ 19^{26}—21^{40}, **14.** (☒) E 12^{05h}, ☒ 16—16^{45h}, **15.** ⊤ N 13^{30h}, ⊤ S—SE 14^{50}—15^{50h}, ☒ 16^{15}—17^{h}, ⊤ 17—19^{h}, **20.** ⊤ 13^{50}—14^{10h}, Nah ☒ NE 15^{50}—17^{15h}, **25.** ⊤ N 15^{50}—16^{40h}, **26.** ⊤ 15^{50}—16^{10h}, ≺ 22—24^{h}, **27.** ☒ 13^{0h}, ☒ 3^{37}—4^{30} [▲ in der Stadt 3^{42}—3^{45h}], ☒ 5^{20}—5^{55h}, ⊤ S 6^{32h}, ☒ 7^{05}—11^{45h}, **28.** ☒ 1^{25}—1^{40}, ☒ ☒ 8^{10}—8^{40h}, ⊤ 16—17^{30}, **30.** ☒ 22^{45}—23^{30h}, **31.** ⊤ S 12^{10h} ⊤ SE 13^{40}—13^{50h}, ☒ 23—1^{h}. — **Säntis:** Föhnmauer: **12.** Vm., **26.** n—9^{h}. — Gewitter: **1.** Nah ☒ NE 13^{50}—15^{20h}, ≺ N 21^{30h}, **7.** Nah ☒ SE 23—23^{30h}, **13.** (☒) W 19^{15}—20^{30h}, **14.** (☒) SE 21^{15}—21^{45h}, ≺ SE—S 21^{45h}—n, **15.** (☒) SE 11^{58}—12^{05h}, (☒) E 13^{32}—14^{15h}, Nah ☒ SE 14^{h}, **20.** ≺ S—SSW 21^{30h}, **22.** ≺ SW 21^{30h}, **25.** ☒ 7^{10}—7^{25h}, (☒) E 7^{45}—8^{30h}, Nah ☒ 13^{05}—13^{15h}, **26** ≺ W 21^{30h}, **27.** ⊤ N 8^{30}—9^{h}, ⊤ W 13^{10h}, **28.** Nah ☒ E 6^{30}—6^{45h}, **31.** ⊤ SE 18—18^{10h}, (☒) N, E, S $19^{}$—20^{30h}, ≺ N, S 21^{30h}. — Neuschnee: **8.** 8 cm, 9. 3 cm, **10.** 3 cm.

St. Gotthard: Neblig: **4.** II, **6.** abd., **8.** II, **16.** I, **17.**, **20.** abd., **22.** Vm., **23.** abd. — Gewitter: **14.** ☒ 20^{50h}, **24.** ≺ S 20^{20h}.

September

Bern: Alpen klar: **18.** I. — Alpen hell: **17.** II. — Alpen sichtbar: **9.**, **14.** I, **16.**, **18.**, **20.** II. — Alpen schwach sichtbar: **13.** I, **15.** I, II, **16.**, **17.**, **29.** I. — Gewitter: **4.** Nah ☒ SE 17—17^{30h}, **5.** (☒) N—ENE 17^{10}—17^{45h}, **6.** (☒) SW 3^{45h}. — **Neuchâtel:** Joran: **4.** 15^{10}—17^{h}, **6.** 15—18^{45h}, **10.** 14^{25}—15^{15h}, **17.** 18^{30}—19^{45h}. — Gewitter: **4.** (☒) N—E 14^{15}—15^{30h}, **6.** Nah ☒ 2^{30}—2^{40h}, **10.** (⊤) 13^{45}—15^{h}. — **Altdorf:** Gewitter: **4.** ☒ 16^{20}—17^{25h}, **21.** ☒ 19^{h}. — **Genève:** Spezielle Erscheinungen: **10.** sehr starke Schauer um 4^{h} [2,5 mm in 30 Sek.] — **Zürich:** Alpen klar: **6.** Vm. — Alpen hell: **16.**, **17.** Vm. — Alpen schwach sichtbar: **9.** Vm., **17.** Nm. — Dunst: **1.** Vm., **2.**, **3.** d. g. T., **4.**, **8.**, **11.** Vm., **20.** Nm., **22.**, d. g. T., **23.** Nm., **24.** d. g. T., **25.**, **26.** Nm., **27.** Vm. — Neblig: **26.** I. (Sicht) 1,5 km). Tal neblig: **9.**, **24.** Vm. — Nebel (Sicht): **20.** I (500), **21.** I (200), **22.** I (150), **23.** I (80), **24.** I (500), **25.** I (120). — Talnebel: **2.**, **4.** fr., **21.** Vm., **24.** fr. — **Chasseron:** Nebelmeer (Mittelland): **2.** I (900), **5.** I (1000), 8. I (1600), **12.** I 1600, II (1400), **18.** I (1300), **20.** I 800, II (900), **21.** I (900), **22.** I (800), **24.** I (800), **25.** I (1300), **30.** I (1200), II (1300). — Neuschnee: **14.** 2 cm, **15.** 8 cm, **16.** 5 cm. — Schneehöhe: **15.** 10 cm. — Gewitter: **4.** ☒ ▲ 13^{45}—14^{45h}, (☒) NW 21^{30h}, **6.** ☒ 2—2^{30h}, **20.** ≺ S 20—21^{h}, ☒ 21—n, **23.** ≺ WNW 20^{h}. — **Bever:** Neuschnee: **15.** 1 mm. — **Sitten:** Dunst: **18.**, **19.**, **26.** I. — Hochnebel: **10.**, **27,** I. — Schneegrenze: **14.** 1800 m, **15.** 1300 m. — **Lugano:** Nordföhn: **1.** 12^{30}—23^{h}, **28.** fr.—19^{30h}. — Gewitter: **6.** ☒ 2—3^{h}, **7.** (☒) 18^{50h}, 8. ☒ fr., **13.** (☒) 19^{30}—20^{h}, **14.** ☒ 13^{15h}, **27.** ☒ 16^{20}—17^{30h}. — **Basel:** Dunst: **5.**, **7.**, 8., **9.**, **20.**, **22.** I, **25.** II, **29.** I, **30.** II. — Gewitter: **4.** ⊤ SW—NE 16^{30}—18^{h}, **15.** ⊤ E 13^{23}—13^{29h}. — **Säntis:** Föhnmauer: **8.** d. g. T. — Gewitter: **4.** Nah ☒ SE 18^{45}—20^{15h}, (☒) NW **21**—22^{h}, ≺ NNE 21^{30h}, **5.** Nah ☒ 17^{30}—18^{20h}, 8. ≺ SE 21^{30h}, **9.** ⊤ W 16—16^{15h}, **20.** ≺ WSW 21^{30h}. — Neuschnee: **11.** 2 cm, **14.** 3 cm, **15.** 32 cm, **16.** 15 cm, **28.** 2 cm, **29.** 16 cm. — Schneehöhe: **16.** 35 cm, **30.** 15 cm, — Schneegrenze: **16.** 1100 m, **30.** 1700 m. — **St. Gotthard:** Neblig: **4.**, **16.**, **19.** abd., **26.** Vm. — Gewitter: **5.** ☒ 15^{10}—15^{20h}. — Neuschnee: **29.** 5 cm.

Oktober

Bern: Alpen klar: **19.** II, **27.** I, II, **30.** I. — Alpen hell: **26.** II. — Alpen sichtbar: **9.** II, III, **20.**, **23.**, II, **29.** I. — Alpen schwach sichtbar: **1.** II, **20.** **22.**, **23.**, **26.**, **28.** I, **29.** II. — **Altdorf:** Föhn: **20.** 4^{35}—21^{30h}. — Schneegrenze: **7.** 1000 m, **22.** 950 m, **25.** 1000 m, **29.** 750 m. — **Zürich:** Alpen schwach sichtbar: **29.** Nm. — Föhnmauer: **20.** Nm. — Föhnlücke: **20.** Nm. — Dunst: **1.** Nm., **2.**—**4.** d. g. T., **5.** Nm., **11.**—**14.** d. g. T., **15.** Vm., **16.** Nm., 18. Vm., **19.** d. g. T., **23.** Nm., **24.** d. g. T.. **25.**, **29.**, **31.** Vm. — Neblig: **30.** Vm. — Talneblig: **20.**, **23.** Vm. — Nebel (Sicht): **1.** I (150 m), **3.** I (90 m), **4.** I (90 m), **12.** I (900 m), **24.** I (700 m). — **Chasseron:** Nebelmeer (Mitteland): **1.** I 900, **2.** I 1600, II 1200, III 1100, **3.** I 900, II (900), 8. I. 1500, II (1500), **9.** I (1300), **11.** I 900, II (1000), **12.** I (1000), **II 1000, III** 1000, **14.** II (1500), **15.** I 1200, **19.** I (1400), **20.** I (900), III (800), **24.** I 800, **30.** I (800). — **Bever:** Neuschnee: **18.** 2 cm, **23.** 4 cm. — Schneegrenze: **7.** 1800 m. — **Sitten:** Dunst: **16.** II. — Hochnebel: **6.** II, 1300 m. — Schneegrenze: **7.** 1300 m, **18.** 1400 m. **Lugano:** Nordföhn: **7.** fr.—8. 16^{h}, **24.** 15^{30}—**25.** 19^{30h}, **29.** fr.—11^{30h}. — Gewitter:: **18.** ☒ 8^{h}. — **Basel:** Dunst: **15.** Vm. — **Säntis:** Föhnmauer: **10.** d. g. T., **11.** 9—17^{h}, **20.** d. g. T., **21.** n—13^{h}, **23.** d. g. T. — Neuschnee: **5.** 1 cm, **6.** 2 cm, **7.** 17 cm, 8. 18 cm, **18.** 0,5 cm, **22.** 22 cm, **23.** 4 cm, **25.** 8 cm, **26.** 5 cm, **28.** 2 cm, **29.** 28 cm. — Schneehöhe: **7.** 20 cm, **14.** 15 cm, **28.** 25 cm. — Schneegrenze: **7.** 1200 m, **14.** 2200 m, **28.** 1800 m. — **St. Gotthard:** Neblig: **25.** I., **28.** Nm. — Neuschnee: **21.** 23 cm, **22.** 45 cm, **23.** 15 cm, **24.** 8 cm. — Schneehöhe: **28.** 80 cm.

November

Bern: Alpen klar: **26.**, **27.** I, II. — Alpen hell: **3.** I. II, **4.** I, **5.** II. — Alpen sichtbar: **4.** II, **17.** I, **23.** II. — Alpen schwach sichtbar: **7.**, 8. II, **16.**, **21.** I, **28.** II. — Neuschnee: **25.** 1.5 cm. — **Altdorf:** Dunst: **17.** I. — Schneegrenze: **24.** 850 m. — Schneehöhe: **25.** 6,5 cm, — **Zürich:** Alpen schwach sichtbar: **4.** Vm. — Dunst: **1.**, **2.** d. g. T., **3.** Nm., **4.** d. g. T., **5.**, **10.**, **12.** Nm., **14.**, **21.** Vm., **22.** Nm., **23.** Vm., **26.**, **27.** d. g. T., **29.** Nm. — Taldunst:

8. Nm., 10 fr. — Neblig: 3. Vm., 13., 30. Nm. — Talneblig: 3. Nm., 4. d. g. T., 7. Nm., 23. Vm., 26. Nm., 27. d. g. T. — Nebel (Sicht): 28. d. g. T. (150—300 m). — Talnebel: 5. Vm., 8. fr. — Neuschnee: 25. 3,5 cm, 26. 1 cm. — Schneehöhe: 25. 3,5 cm. — **Chasseron:** Nebelmeer (Mittelland): 1. I 1300, II 1300, III (1200), 2. II (900), 3. I 1000, II 1100, 4. I (800), 6. I 700, II (800), III (800), 7. I 800, II (600), III (700), 8. I 700, II 700, III (900), 10. I (800), II (800), III (800), 11. I (1200), II 1300, III 1200, 12. I 1000, II 1000, III (900), 13. I 1000, II 1100, 18. II (1500), III (1600), 19. II (1500), 20. III 1500, 21. I (1500) II (1400), 22. I 1300, II 1300 III (1500), 23. I (1300), 28. I 750, II 750, III 750, 29. I 900, II 800, III 700, 30. I 800, II 700, III 700. — Neuschnee: 25. 20 cm. — Schneehöhe: 25. 20 cm. — Gewitter: 8. ≤ 20^{h}—n, 9. Nah ⊠ N 8—9^{h}. — **Bever:** Neuschnee: 1. 2 cm, 2. 1 cm, 14. 1 cm, 25. 1 cm. — Schneegrenze: 11. 1800 m. — **Sitten:** Hochnebel: 10. II, 14. III, 15. I. — Neuschnee: 25. 3 cm. — Schneegrenze: 1. 1800 m. 10. 1800 m. — **Lugano:** Nordföhn: 24. fr.—25.n. — **Basel:** Dunst: 13. II, 15. I, 16., 18., 22., 26.—28. II, 30. I, II. — **Säntis:** Föhnmauer: 1. 7^{h}—n 5. 12—15^{h}, 8. 10^{30h}—n, 9. n—18^{h}, 30. 12^{h}—n. — Gewitter: 8. ≤ NW 18^{30}—19^{45h}. — Neuschnee: 2. 1 cm, 10. 0,5 cm, 11. 1 cm, 15. 7 cm, 16. 1 cm, 19. 0,5 cm, 24. 15 cm, 25. 35 cm, 26. 18 cm. — Schneehöhe: 4. 30 cm, 11. 15 cm, 18. 10 cm, 25. 50 cm. — Schneegrenze: 4. 1700 m, 11. 2200 m, 18. 2100 cm, 25. 600 m. — **St. Gotthard:** Neuschnee: 2. 5 cm, 10. 4 cm. — Schneehöhe: 4. 75 cm, 11. 40 cm, 18. 30 cm, 25. 30 cm.

Dezember

Bern: Alpen klar: 3., 7., 11., 20., 26., 29. II. — Alpen hell: 8., 11. I, 21., 23., 30. II. — Alpen sichtbar: 3. I, 10. II, 20. I. — Alpen schwach sichtbar: 12. II, 18. I, II, 26. I, 27., 28. II. — **Neuchâtel:** Dunst: 5. Nm. — **Altdorf:** Dunst: 6. III. — Föhn: 14. 10^{10h}—n. — Schneegrenze: 18. 1100 m. — **Genf:** Gewitter: 29. ⊠ in der Nacht, 30. ▲ 13^{h}. **Zürich:** Alpen klar: 11., 28. Vm. — Alpen hell: 3., 7., 11. Nm., 21., 23., 29. Vm., 30. Nm. — Alpen sichtbar: 8. Vm., 21., 29. Nm. — Alpen schwach sichtbar: 15. Vm., 17. Nm. — Dunst: 3. Nm., 6. Vm., 9. Nm., 12. d. g. T., 20., 26. Nm., 31. d. g. T. — Neblig: 1. d. g. T., 6. Nm. — Talneblig: 8. d. g. T. — Nebel (Sicht): 2. d. g. T., (20—25 m). — Talnebel: 7. Nm., 24. d. g. T. — **Chasseron:** Nebelmeer (Mittelland): 1. III 700, 2. I 700, II 600, III 650, 3. I 650, II (650), 5. I 950, II (1100), 6. I 750, II 750, III (800), 7. I 650, II (650), III (700), 8. I (700), III (650), 9. I 750, II 700, III 800, 12. III 1100, 13. I 1200, II 1200, III 1200, 14. I 1000, II (900), 19. I (1200), 20. I (1100) II (1100), 21. I (1400), 26. I (1200), II (1300). — Neuschnee: 11. 5 cm, 17. 1 cm, 18. 14 cm, 19. 10 cm, 21. 10 cm, 22. 5 cm, 25. 10 cm, 26. 8 cm, 31. 5 cm. — Schneehöhe: 23. 20 cm, 30. 25 cm. — **Bever:** Abendrot: 24. — Neuschnee: 1. 4 cm, 11. 2 cm, 12. 0,5 cm, 15. 12 cm, 16. 3 cm, 26. 2 cm, 28. 6 cm. — Schneehöhe: 16. 15 cm, 23. 10 cm, 30. 13 cm. — **Sitten:** Hochnebel: 25. I 1600 m, II 1400 m, 26. I. — Talnebel: 17. III, 23., 29. I. — Neuschnee: 22. 1 cm. — Schneegrenze: 11. 1200 m, 15. 1000 m. — **Lugano:** Nordföhn: 4. 16^{30h}—n, 27. 12^{h}—n, 31. Vm—n. — **Basel:** Dunst: 3., 5., 13., 19., 20., 24. II. — Gewitter: 15. 23^{20h}—16. 0^{30h}. — **Säntis:** Föhnmauer: 1. d. g. T. — Gewitter: 10. ≤ T 18^{15h}. — Elmsfeuer: 10. 18—19^{h}. — Neuschnee: 4. 17 cm, 5. 22 cm, 9. 1 cm, 12. 25 cm, 13. 12 cm, 15. 7 cm, 16. 10 cm, 17. 8 cm, 19. 16 cm, 21. 6 cm, 22. 5 cm, 23. 10 cm, 25. 4 cm, 26. 30 cm, 31. 12 cm. — Schneehöhe: 2. 55 cm, 9. 45 cm, 16. 60 cm, 23. 80 cm, 30. 80 cm. — Schneegrenze: 2. 900 m, 9. 1300 m, 16. 1300 m, 23. 1200 m, 30. 1400 m. — **St. Gotthard:** Neblig: 12. III. — Neuschnee: 1. 3 cm, 2. 5 cm, 12. 4 cm, 15. 10 cm, 16. 13 cm, 17. 6 cm, 18. 3 cm, 28. 8 cm, 29. 4 cm, 30. 10 cm. — Schneehöhe: 2. 40 cm, 9. 40 cm, 16. 55 cm, 24. 50 cm.

Säntis Nebelmeer

Obergrenze des Nebelmeeres in Hektometer über Meer; ohne Klammer: geschlossenes, mit Klammer: aufgelockertes Nebelmeer.

1955 **Januar**

	1.	2.	3.	4.	5.	6.	7.	8.	9.	10.	15.	16.	20.	21.	22.	23.	24.	25.	26.	27.	28.	29.	30.	31.
7^{30}	—	—	(9)	10	11	10	10	10	—	10	15	—	(6)	7	—	20	14	11	8	8	7	7	7	7
10^{30}	22	17	(10)	10	10	(8)	10	11	(11)	9	—	(25)	7	—	—	22	14	10	8	8	7	7	7	7
13^{30}	—	16	(9)	10	10	(8)	10	11	—	(9)	—	—	(7)	(8)	—	13	13	10	8	8	7	7	7	7
16^{30}	—	15	—	10	11	(8)	10	12	—	8	—	—	—	—	—	14	12	10	8	(8)	7	7	7	(7)
21^{30}	—	(13)	—	(10)	11	(8)	10	12	—	(6)	—	—	(7)	—	6	14	13	9	7	(7)	7	7	7	—

Februar

	18.	19.	20.	23.	24.	25.	26.	27.	28.
7^{30}	—	8	25	8	9	12	19	12	—
10^{30}	—	9	—	9	12	13	22	12	—
13^{30}	—	—	—	10	21	14	—	14	18
16^{30}	21	—	—	10	(22)	15	—	16	19
21^{30}	(10)	—	—	12	8	—	15	18	19

März

	1.	2.	3.	8.	10.	11.	12.	13.	14.	15.	24.	30.	31.
7^{30}	18	15	13	(6)	22	19	14	9	—	(10)	(6)	—	14
10^{30}	18	15	12	(8)	24	19	13	9	—	—	—	22	14
13^{30}	18	14	(12)	—	23	—	13	(9)	—	—	—	—	15
16^{30}	18	15	—	—	24	—	(13)	—	—	—	—	—	17
21^{30}	18	14	—	—	25	20	—	—	16	—	—	--	(16)

April

	1.	6.	17.	25.
7^{30}	(15)	(6)	—	—
10^{30}	—	—	—	—
13^{30}	—	—	(24)	—
16^{30}	(24)	—	(20)	(24)
21^{30}	(25)	—	—	(24)

Mai

	12.	17.	30.
7^{30}	23	—	14
10^{30}	27	—	—
13^{30}	27	—	—
16^{30}	(24)	—	—
21^{30}	—	(20)	—

Juni

	4.	5.	6.	19.	23.
7^{30}	(8)	—	(7)	—	14
10^{30}	8	25	—	—	—
13^{30}	—	—	—	—	—
16^{30}	—	—	—	—	—
21^{30}	—	—	—	20	—

Juli

	1.	3.	10.	11.	16.	20.	21.	24.	25.	26.	27.	31.
7^{30}	(11)	(9)	18	(11)	13	(13)	23	14	—	15	—	17
10^{30}	—	—	24	—	16	(17)	—	18	19	20	—	—
13^{30}	—	—	—	—	—	—	—	—	(21)	21	(20)	—
16^{30}	—	—	—	—	—	—	—	—	—	21	—	—
21^{30}	—	—	(18)	—	—	—	—	—	—	—	—	—

August

	1.	2.	5.	10.	11.	12.	13.	17.	21.	26.
7^{30}	14	(6)	(11)	—	12	(14)	—	8	(10)	(8)
10^{30}	(17)	—	—	(18)	(15)	(22)	(14)	—	(11)	(9)
13^{30}	—	—	—	—	(20)	—	—	—	—	—
16^{30}	—	—	—	23	—	—	—	—	—	—
21^{30}	—	—	—	(20)	—	(24)	—	—	—	—

September

	5.	7.	8.	9.	11.	12.	19.	20.	25.	30.
7^{30}	17	(17)	10	(6)	—	17	10	8	—	12
10^{30}	—	19	12	—	—	16	10	8	(10)	14
13^{30}	—	—	23	—	23	17	—	—	11	15
16^{30}	—	—	—	—	—	17	(19)	—	—	(15)
21^{30}	—	18	—	—	—	—	—	—	14	17

Oktober

	1.	2.	3.	4.	8.	9.	10.	11.	12.	13.	14.	15.	16.	19.	20.	21.	23.	24.	30.	31.
7^{30}	17	13	(7)	6	—	11	15	10	12	15	16	13	—	8	7	—	7	10	—	10
10^{30}	10	13	(7)	—	—	(13)	(11)	11	13	16	16	(13)	—	9	(7)	(20)	9	10	(8)	10
13^{30}	—	(14)	—	(23)	23	—	—	12	14	18	17	—	24	—	—	21	(11)	10	—	(13)
16^{30}	—	—	—	(23)	24	—	—	11	15	21	16	—	—	—	—	—	—	(10)	—	(18)
21^{30}	—	—	—	—	(10)	—	—	12	14	19	16	—	—	—	—	—	—	—	—	—

November

	1.	3.	4.	5.	6.	7.	8.	9.	10.	11.	12.	13.	14.	15.	16.	17.	18.	19.	20.	21.	22.	23.	26.	27.	28.	29.	30.
7^{30}	14	7	(6)	(7)	7	7	7	7	7	—	11	10	24	24	(16)	—	19	(15)	(15)	(12)	14	(10)	(9)	(7)	7	8	8
10^{30}	14	8	—	—	7	7	7	7	7	14	10	10	25	—	(16)	19	22	(17)	17	(12)	14	20	(9)	(7)	8	8	8
13^{30}	14	(8)	—	—	(8)	7	(7)	(19)	(7)	15	(10)	11	—	—	(18)	19	24	(18)	—	(13)	14	(19)	—	—	8	8	8
16^{30}	14	—	—	—	—	—	—	24	(7)	15	—	14	—	—	—	21	—	15	—	16	14	22	—	—	8	8	8
21^{30}	11	—	—	—	—	—	—	—	—	14	—	15	—	—	—	21	—	21	16	17	(14)	—	—	—	8	8	8

Dezember

	1.	2.	3.	5.	6.	7.	9.	13.	14.	15.	19.	20.	24.	26.
7^{30}	8	7	6	10	7	6	(10)	13	8	(6)	—	12	—	20
10^{30}	8	7	—	10	8	6	10	12	8	(7)	16	11	—	14
13^{30}	—	7	—	10	8	(6)	11	11	8	(7)	17	(11)	19	(14)
16^{30}	8	7	—	8	7	(6)	(9)	11	7	—	16	—	18	—
21^{30}	(8)	7	—	8	7	—	—	10	7	—	14	—	(16)	—

Jungfraujoch: Lufttemperaturen

Tag	Januar			Februar			März			April			Mai			Juni		
	7^{30}	13^{30}	21^{30}	7^{30}	13^{30}	21^{30}	7^{30}	13^{30}	21^{30}	7^{30}	13^{30}	21^{30}	7^{30}	13^{30}	21^{30}	7^{30}	13^{30}	21^{30}
1	-20.4	-19.2	-22.8	-12.0	-12.2	-12.6	-14.8	-14.0	-13.0	-13.0	-12.0	-13.8	-5.2	-3.8	-4.6	-10.0	-8.0	-7.0
2	-24.6	-24.8	-20.8	-12.2	-11.6	-12.6	-11.6	-9.0	-9.2	-11.0	-7.2	-10.0	-5.0	-3.2	-5.0	-8.0	-7.0	-7.0
3	-15.2	-14.0	-11.7	-13.4	-13.2	-16.2	-11.2	-10.8	-12.6	-13.8	-14.0	-13.2	-13.4	-13.0	-7.0	-6.4	-3.6	-3.4
4	-11.4	-10.0	-11.0	-15.4	-13.8	-12.6	-12.2	-11.0	-14.2	-12.6	-13.6	-12.4	-5.8	-5.8	-5.4	-3.2	-1.8	-3.0
5	-11.0	-10.2	-11.0	-12.0	-17.0	-18.6	-20.0	-25.4	**-26.4**	-10.4	-8.2	-9.0	-7.0	-5.6	-4.2	-5.0	-2.0	-2.0
6	-10.6	-11.0	-11.4	-12.4	-14.2	-19.4	-25.6	-22.4	-24.0	-11.6	-8.0	-7.8	-4.0	-1.0	-3.0	-1.4	1.4	1.4
7	-11.6	-11.0	-11.4	-21.8	-17.0	-8.5	-26.0	-23.8	-23.8	-9.0	-8.8	-11.0	-8.4	-10.6	-12.8	1.6	0.0	-4.8
8	-11.2	-12.2	-12.2	-11.8	-11.2	**-8.2**	-21.6	-20.6	-21.4	-12.6	-8.9	-7.8	-9.6	-2.0	-2.2	-9.2	-6.0	-6.3
9	-13.0	-12.4	-15.0	-18.0	-18.2	-17.5	-22.6	-21.0	-19.2	-9.4	-8.2	-8.4	-0.4	**1.4**	-2.0	-5.8	-3.8	-6.4
10	-13.6	-9.2	-9.4	-17.2	-17.8	-23.8	-17.0	-13.2	-14.8	-12.4	-14.6	-14.2	-3.6	-3.0	-4.8	-8.0	-8.0	-10.0
11	-7.8	-7.6	-7.8	-25.0	-24.2	-22.0	-15.4	-13.6	-16.4	-11.0	-9.6	-11.0	-6.6	-5.6	-10.0	-10.0	-10.4	**-12.0**
12	-9.2	-7.6	-8.8	-20.6	-20.0	-21.0	-18.8	-15.2	-15.6	-13.8	-15.0	-11.8	-14.0	-8.0	-4.6	-10.2	-4.2	-5.0
13	-10.8	-10.2	-7.0	-23.8	-24.8	-24.8	-15.4	-14.4	-15.2	-8.4	-9.0	-9.6	-3.6	-3.4	-5.6	-7.2	-8.0	-9.6
14	-11.2	-9.8	-9.2	-27.4	**-27.6**	-25.0	-15.2	-14.4	-14.0	-13.0	-14.2	-16.8	-6.4	-5.0	-6.4	-10.2	-5.8	-3.6
15	-15.0	-6.4	**-5.6**	-19.8	-18.6	-21.4	-10.8	-12.0	-12.8	-19.8	-19.0	-20.2	-7.8	-10.4	-15.0	-4.4	-1.6	-2.0
16	-8.0	-8.8	-12.2	-20.0	-19.8	-16.6	-12.6	-12.6	-13.2	**-23.0**	-20.8	-20.2	-16.6	-10.0	-5 9	-5.0	-0.6	-0.6
17	-20.0	-21.4	-13.4	-12.6	-9.8	-10.6	-13.0	-14.2	-20.5	-15.0	-11.8	-11.0	-5.0	-5.0	-6.6	-1.4	-1.0	-1.4
18	-9.4	-19.2	**-26.4**	-15.0	-19.8	-18.8	-24.4	-25.0	-25.4	-10.2	-12.0	-13.8	-6.2	-7.0	-14.0	-1.4	-1.4	0.0
19	-22.0	-17.4	-17.2	-19.4	-17.0	-22.2	-20.2	-17.8	-19.0	-16.0	-13.4	-15.2	**-17.6**	-16.0	-15.4	-1.0	-0.6	-0.6
20	-11.6	-11.4	-11.7	-25.6	-25.6	-27.4	-19.0	-16.0	-13.4	-15.4	-12.0	-9.8	-14.2	-10.8	-11.2	-2.0	-0.6	-2.8
21	-13.0	-12.6	-8.6	-24.0	-17.8	-16.6	-13.8	-12.4	-12.0	-12.4	-10.6	-11.8	-12.8	-11.4	-13.6	-4.2	-2.4	-3.4
22	-9.0	-9.2	-10.2	-16.2	-15.6	-15.2	-12.4	-11.8	-11.8	-12.0	-11.6	-11.2	-16.0	-15.4	-11.8	-4.4	-2.2	-2.6
23	-10.4	-9.4	-10.6	-16.0	-16.0	-15.0	-11.6	-8.0	-6.4	-12.2	-11.0	-11.4	-10.6	-9.0	-6.8	-5.2	-1.6	1.4
24	-11.0	-10.0	-11.6	-15.0	-14.0	-16.2	-4.6	-4.2	-4.8	-13.0	-11.0	-11.6	-7.6	-5.0	-4.4	**2.0**	1.4	1.2
25	-10.4	-9.6	-10.8	-17.6	-15.6	-16.7	-4.6	**-2.4**	-3.0	-12.2	-10.0	-7.6	-6.0	-4.2	-4.4	-0.8	0.0	-1.0
26	-10.6	-9.2	-10.2	-18.2	-18.2	-17.6	-4.2	-4.0	-5.1	-7.0	-6.2	-9.2	-6.0	-3.8	-5.0	-1.0	-2.2	-2.0
27	-11.0	-8.6	-10.4	-18.4	-16.6	-16 2	-8.2	-7.8	-9.6	-8.6	-7.2	-6.4	-4.8	-3.0	-6.4	-3.2	-2.0	-3.4
28	-11.2	-9.6	-11.0	-16.6	-14.6	-15.4	-11.2	-9.6	-10.0	-5.0	**-1.4**	-2.8	-5.4	-4.2	-7.6	-4.4	-2.2	-3.0
29	-11.2	-8.6	-9.8				-10.8	-11.8	-14.4	-5.6	-3.6	-4.4	-11.2	-9.2	-8.8	-6.4	-2.0	-3.4
30	-8.8	-7.8	-7.8				-15.4	-12.2	-14.2	-5.2	-3.2	-3.8	-7.8	-6.6	-5.0	-3.0	-3.0	-4.0
31	-10.4	-11.6	-12.0				-14.4	-15.0	-13.0				-8.0	-7.0	-8.0			
Mittel	-12.4	-11.6	-11.9	-17.8	-17.2	-17.5	-14.8	-13.7	-14.5	-11.8	-10.5	-10.9	-8.3	-6.7	-7.3	-4.6	-3.0	-3.5

Tag	Juli			August			September			Oktober			November			Dezember		
	7^{30}	13^{30}	21^{30}	7^{30}	13^{30}	21^{30}	7^{30}	13^{30}	21^{30}	7^{30}	13^{30}	21^{30}	7^{30}	13^{30}	21^{30}	7^{30}	13^{30}	21^{30}
1	0.0	2.2	0.2	-3.6	-1.2	-3.2	-4.0	-2.8	-4.6	-3.0	-1.0	-1.0	-9.0	-6.4	-7.4	-14.2	-13.4	-12.8
2	-0.2	0.2	1.0	-5.2	-3.0	-4.0	-6.6	-1.6	-1.6	-1.0	1.0	-1.4	-8.0	-6.8	-5.3	-9.2	-8.0	-8.6
3	0.2	2.0	-1.4	-2.8	-2.2	-2.0	-1.6	0.0	0.0	-3.0	-2.2	-3.6	-3.0	-1.0	-1.4	-8.8	-8.6	-8.2
4	-3.4	-3.0	-3.6	-2.8	-3.0	-6.0	-0.4	**2.0**	-0.2	-4.6	-2.8	-4.9	-1.8	**-0.6**	-1.6	-9.2	-10.0	-15.6
5	-5.6	-6.0	-8.2	-5.4	-3.6	-2.0	-1.2	1.0	-1.4	-6.2	-6.4	-7.7	-2.6	-1.2	-2.6	-12.4	-9.8	-9.2
6	**-8.8**	-6.8	-7.0	-2.2	-1.8	-4.2	-3.0	-0.8	-2.8	-5.0	-7.0	-12.6	-4.2	-2.0	-3.2	-7.6	-4.0	-3.8
7	-7.4	-6.0	-7.0	-4.0	-3.0	-6.0	-2.6	-1.8	-1.8	-15.4	-14.4	-12.4	-2.8	-1.8	-3.0	**-2.8**	-3.4	-4.2
8	-5.0	-1.6	-2.0	-8.6	-9.8	**-11.0**	-2.0	0.0	-0.8	-10.1	-6.0	-2.0	-4.2	-4.8	-4.5	-8.0	-8.4	-9.4
9	-2.2	-1.4	-1.4	-10.2	-8.8	-9.6	-1.6	-1.6	-1.4	0.0	**2.0**	0.8	-8.0	-6.4	-7.8	-10.0	-10.4	-10.6
10	-1.8	0.2	-0.6	-9.2	-6.0	-3.6	-4.4	-4.8	-5.8	-8.0	-6.0	-5.6	-9.0	-9.0	-10.6	-8.2	-9.2	-15.2
11	-1.6	0.0	-1.0	-4.0	-2.6	-2.0	-4.0	-2.0	-1.4	-5.4	-4.6	-6.6	-7.2	-6.4	-5.6	-14.0	-13.0	-9.2
12	-1.6	0.0	-1.4	-3.0	-1.8	-2.6	-2.4	-1.6	-1.4	-6.6	-6.2	-6.4	-5.5	-3.8	-6.2	-9.6	-12.0	-12.6
13	-2.2	-1.4	-2.0	-3.0	-2.0	-3.0	-3.6	-6.0	-6.8	-5.8	-5.0	-4.2	-4.6	-5.4	-6.0	-12.4	-11.0	-11.4
14	-2.4	-2.2	-1.6	-4.0	-1.4	-3.4	-10.2	-9.2	-13.8	-1.0	-0.4	-1.2	-7.8	-7.0	-9.8	-8.4	-7.0	-7.2
15	-2.2	-0.4	-0.8	-5.2	-4.4	-5.0	**-14.8**	-13.4	-13.8	-2.4	-1.0	-5.8	-12.8	-12.2	-14.8	-10.0	-8.8	-12.4
16	-0.8	1.6	2.0	-5.4	-2.8	-2.0	-13.0	-12.8	-8.0	-6.6	-3.4	-5.0	-12.6	-10.4	-12.8	-12.4	-12.2	-13.0
17	1.6	2.0	3.0	-3.2	-1.8	-1.6	-4.6	-3.0	-5.2	-6.2	-6.6	-8.2	-11.0	-9.0	-9.5	-10.4	-12.0	-13.8
18	3.2	3.8	**4.6**	-2.8	-1.6	0.4	-3.8	-2.2	-2.8	-11.0	-9.0	-9.8	-12.2	-16.4	-21.0	-14.8	-14.4	-15.4
19	2.6	4.0	1.6	-0.2	0.4	0.8	-2.0	-0.2	-3.6	-9.8	-4.0	-3.2	-14.6	-13.0	-11.0	-16.2	-14.6	-15.8
20	0.0	1.6	0.2	-0.2	1.0	0.2	-2.0	-1.0	-2.6	-6.6	-6.4	-6.6	-11.2	-9.8	-14.8	-14.8	-14.2	-14.8
21	0.0	1.8	0.0	1.2	**3.0**	0.6	-3.4	-1.6	-3.4	-6.2	-5.2	-9.0	-12.2	-9.6	-8.0	-17.2	-17.2	-16.6
22	-0.8	-0.6	-1.0	-1.2	1.0	0.4	-3.6	-3.0	-3.4	-12.0	-12.0	-13.0	-7.0	-7.8	-6.4	-15.6	-15.6	-16.0
23	-1.0	1.0	1.6	-1.2	2.6	1.2	-4.2	-1.8	-2.0	-11.8	-10.0	-12.6	-9.2	-9.0	-12.0	-9.0	-8.2	-9.2
24	0.6	1.2	0.0	-1.0	1.0	-1.2	-2.8	-0.8	-1.2	-13.0	-12.6	-13.8	-17.2	-19.4	-19.0	-14.2	-11.8	-13.4
25	-2.2	1.0	0.0	-2.8	-2.6	-2.6	-2.4	1.0	-1.0	-14.0	-13.8	-9.8	**-25.0**	-23.6	-17.4	-14.0	-13 4	-14.4
26	-1.0	1.2	-2.0	-4.2	-1.0	-1.4	-2.0	-1.6	-2.8	-9.0	-7.6	-7.8	-14.0	-15.0	-10.2	-11.6	-11.0	-9.2
27	-2.2	-1.8	-3.0	-2.2	-1.0	-2.2	-4.4	-3.0	-7.0	-7.0	-6.0	-9.0	-9.0	-12.0	-7.0	-12.8	-17.8	-14.6
28	-4.4	-3.8	-4.8	-2.4	-2.0	-2.0	-10.2	-12.0	-12.2	-11.0	-9.0	-12.0	-7.0	-7.4	-8.2	-9.0	-8.6	-10.0
29	-5.0	-4.6	-5.0	-3.4	-2.6	-1.8	-11.4	-8.5	-10.0	**-20.0**	-12.0	-10.0	-7.6	-7.2	-9.0	-8.8	-13.2	-13.0
30	-4.0	-3.0	-4.0	-0.8	-1.2	-0.8	-4.0	-2.0	-2.2	-10.2	-9.0	-8.5	-11.0	-11.8	-12.0	-14.6	-16.8	-18.6
31	-2.8	-1.0	-3.0	-2.6	-2.2	-3.2				-8.2	-6.2	-7.8				-19.0	-20.2	**-23.0**
Mittel	-2.0	-0.6	-1.5	-3.4	-2.1	-2.7	-4.5	-3.2	-4.2	-7.7	-6.2	-7.1	-9.0	-8.5	-8.9	-11.6	-11.5	-12.3

1955

Tägliche Maxima und Minima der Lufttemperatur

Zürich

(Nach den Aufzeichnungen des Thermographen)

Tag	Januar		Februar		März		April		Mai		Juni		Juli		August		Septemb.		Oktober		Novemb.		Dezember	
	Max	Min.	Max.	Min	Max	Min.	Max.	Min.	Max	Min.	Max.	Min.	Max.	Min.	Max.	Min.	Max.	Min.	Max.	Min.	Max.	Min.	Max.	Min.
1	0.7	-4.3	**11.0**	1.2	-2.2	-5.1	10.1	**-3.0**	25.9	12.8	22.6	6.8	25.4	11.7	23.6	11.1	20.9	13.3	15.6	4.7	2.1	-1.0	5.0	**-4.8**
2	-2.1	-6.3	10.6	1.8	1.9	-5.9	12.4	-0.3	21.3	7.2	19.7	9.6	27.1	14.7	20.1	9.8	24.2	11.5	15.0	6.7	12.4	1.1	0.3	-2.1
3	-3.2	-6.9	5.9	1.5	2.7	-6.5	13.7	0.4	14.8	6.8	21.0	8.3	23.2	15.4	24.7	12.7	**26.0**	12.0	**18.4**	6.9	10.5	1.0	8.3	-1.0
4	-3.1	-5.5	6.9	1.8	7.0	-6.9	15.3	6.5	15.7	5.7	14.3	9.2	21.4	12.5	19.7	11.2	25.6	13.4	15.3	7.7	11.7	6.1	9.6	3.6
5	-2.5	-4.3	7.4	4.0	3.3	-3.3	13.5	5.5	23.8	11.4	23.3	11.7	19.7	12.0	22.4	10.0	24.2	14.8	15.6	8.1	15.0	7.6	4.0	-0.9
6	-2.1	-4.6	5.4	-0.1	0.3	-4.3	20.9	5.6	**27.0**	12.8	27.1	11.9	16.6	10.5	24.0	10.1	20.1	12.5	13.7	5.7	**16.5**	6.6	5.6	-2.1
7	-2.9	-4.5	4.9	-0.2	3.8	-6.6	10.9	5.7	16.4	8.8	24.1	10.8	13.6	9.9	19.7	10.8	21.5	11.2	9.2	5.4	14.0	4.6	6.7	-4.2
8	-2.6	-4.3	10.5	2.0	3.7	**-7.6**	12.9	4.7	19.8	6.0	21.2	9.6	18.4	**9.0**	17.0	8.8	24.1	13.2	14.2	3.6	14.3	4.1	5.0	-1.8
9	2.5	-3.0	7.8	1.7	4.6	-4.9	14.6	7.2	24.8	8.2	24.7	8.9	23.4	12.8	17.4	9.5	23.1	13.4	15.6	5.3	11.8	3.1	3.5	0.4
10	0.5	-2.4	3.5	-2.9	0.6	-1.0	13.3	6.1	19.3	9.8	15.4	9.2	23.0	13.4	19.6	**6.7**	25.1	11.0	15.1	6.6	8.9	5.3	6.6	0.0
11	9.7	-0.4	3.8	-3.7	-1.0	-4.7	8.8	5.9	12.7	6.6	11.4	**5.5**	24.6	13.7	22.8	10.0	18.1	10.9	10.8	7.8	7.8	4.8	9.3	3.5
12	**11.5**	6.4	-0.3	-4.9	1.2	-4.5	11.8	3.7	16.6	5.7	19.2	**5.5**	26.2	15.0	21.7	13.3	20.1	11.9	10.8	8.4	9.6	3.2	3.8	-0.6
13	7.2	0.0	3.8	-3.1	6.5	-6.0	14.7	1.2	22.6	6.1	16.2	9.4	22.7	14.8	23.6	12.6	15.3	9.6	15.9	8.4	4.6	2.2	0.1	-0.9
14	10.9	4.2	0.0	-5.0	6.1	-3.8	13.1	2.6	16.3	7.3	19.1	7.7	22.8	14.5	22.7	12.5	14.1	5.9	15.8	10.0	6.0	3.7	3.8	-0.8
15	7.2	-0.4	1.0	-5.2	7.9	-3.3	7.8	0.9	9.3	4.2	25.3	10.2	23.6	15.0	21.7	12.3	12.1	5.2	17.5	9.4	6.6	-0.6	8.9	3.2
16	10.8	5.8	3.5	-2.1	12.0	-2.4	7.3	-0.5	15.1	3.2	27.7	11.9	26.5	13.4	23.1	11.9	15.5	6.4	10.0	6.6	5.7	-2.6	8.7	4.8
17	6.6	-2.4	0.8	-2.9	4.3	-3.5	5.9	-0.7	17.0	8.8	26.1	13.7	29.5	14.7	25.0	11.2	19.5	8.4	9.8	4.9	3.1	-1.1	7.8	3.8
18	4.0	-2.9	1.5	-6.1	4.3	-4.1	13.0	-1.2	11.7	3.4	25.5	14.2	**32.5**	17.0	26.4	13.2	20.1	9.7	9.2	3.3	3.8	-1.9	7.4	3.8
19	1.8	-8.4	0.1	**-8.5**	6.6	-3.7	11.0	0.1	13.3	3.0	27.5	15.0	28.9	17.4	26.6	13.8	20.1	7.3	11.8	1.8	1.4	-2.3	3.8	0.7
20	1.7	**-9.4**	3.7	-4.5	6.5	-1.6	13.1	-1.2	13.5	3.7	21.2	13.8	26.0	16.1	27.1	15.9	21.9	8.4	15.1	3.9	0.9	-2.3	5.1	0.3
21	6.3	-5.0	1.3	-4.3	13.4	-1.2	17.7	0.9	15.1	2.8	24.0	13.5	26.7	15.7	25.6	13.9	23.1	11.3	13.6	7.5	4.0	-2.7	8.1	1.4
22	7.4	0.1	5.0	-0.6	14.0	6.4	15.1	2.2	13.2	3.7	21.5	13.6	22.6	15.1	26.5	13.4	23.2	11.2	11.6	4.6	1.6	-1.3	4.2	1.7
23	3.5	0.7	5.8	-0.7	15.8	4.1	17.0	1.4	18.3	**2.1**	24.2	12.7	25.0	15.2	**27.8**	14.6	23.1	10.4	10.9	3.1	5.5	-2.9	6.5	1.6
24	0.7	-1.2	10.7	0.3	**21.2**	6.6	17.7	3.7	22.6	5.5	**28.5**	12.9	26.4	14.8	26.7	15.2	23.0	11.4	9.7	2.0	3.5	0.0	7.5	4.4
25	0.7	-1.2	0.8	-2.0	19.5	8.4	13.2	0.8	23.8	7.7	**28.5**	14.7	24.7	13.4	22.7	13.5	20.5	11.8	11.0	5.1	1.4	-6.4	7.6	3.9
26	1.7	-3.4	-1.0	-2.6	20.0	10.5	19.9	0.3	24.3	11.4	27.1	13.4	22.0	13.7	24.2	12.1	19.0	13.1	14.2	3.5	1.1	**-8.5**	6.8	2.2
27	2.2	-3.7	-0.4	-3.4	17.6	8.2	17.9	8.8	18.0	7.6	22.0	11.8	18.8	13.1	17.5	13.2	14.5	8.5	13.8	3.8	1.2	-7.5	6.1	4.2
28	0.2	-3.1	-1.5	-6.7	8.2	1.7	24.2	7.3	18.0	6.8	23.1	11.5	18.4	12.7	21.9	13.1	11.0	6.3	9.7	-0.1	-3.6	-7.3	**11.4**	4.7
29	0.0	-2.7			1.7	-0.3	26.2	10.4	18.1	7.7	24.3	11.6	17.4	13.4	25.2	13.6	13.8	**4.2**	7.8	-2.0	-3.3	-6.4	11.3	5.3
30	0.0	-3.1			5.1	-1.3	**26.4**	13.9	20.0	7.0	21.5	15.5	22.3	13.1	23.1	13.9	12.9	4.9	9.0	**-2.4**	1.6	-5.0	9.4	1.4
31	3.4	-3.3			5.4	-2.2			20.7	6.7			20.2	13.0	23.8	14.4			7.8	0.2			1.6	-0.6
Mittl. Max.	2.67		4.02		7.19		14.65		18.35		22.58		23.21		23.03		19.52		12.69		5.99		6.25	
Mittl. Min.	-2.56		-1.97		1.57		3.30		6.79		11.14		13.76		12.20		10.10		4.85		-0.21		1.13	
Differenz	5.23		5.99		5.62		11.35		11.56		11.44		9.45		10.83		9.42		7.84		6.20		5.12	
Abs. Max.	11.5		11.0		21.2		26.4		27.0		28.5		32.5		27.8		26.0		18.4		16.5		11.4	
Abs. Min.	-9.4		-8.5		-7.6		-3.0		2.1		5.5		9.0		6.7		4.2		-2.4		-8.5		-4.8	
Differenz	20.9		19.5		28.8		29.4		24.9		23.0		23.5		21.1		21.8		20.8		25.0		16.2	

Stündliche Monatsmittel der Lufttemperatur

	Januar	Februar	März	April	Mai	Juni	Juli	August	Septemb.	Oktober	Novemb.	Dezemb.	Jahr
1^{30}	-0.89	-0.21	0.29	5.11	9.11	12.58	15.02	13.75	11.79	6.35	1.60	2.76	6.44
2^{30}	-0.80	-0.36	0.05	4.88	8.68	12.35	14.74	13.41	11.44	6.27	1.43	2.64	6.23
3^{30}	-0.94	-0.43	-0.11	4.51	8.47	12.11	14.55	13.11	11.20	6.16	1.17	2.62	6.04
4^{30}	-1.12	-0.49	-0.35	4.23	8.25	11.82	14.29	12.88	11.01	6.05	0.95	2.58	5.84
5^{30}	-1.16	-0.44	-0.53	3.91	8.20	12.05	14.31	12.71	10.87	5.99	0.86	2.58	5.78
6^{30}	-1.26	-0.44	-0.81	3.98	8.75	12.57	14.67	13.00	10.84	5.74	0.64	2.47	5.84
7^{30}	-1.38	-0.46	-0.48	5.46	10.08	13.71	15.51	14.34	11.33	5.99	0.78	2.48	6.45
8^{30}	-1.55	-0.43	0.10	6.99	11.78	15.42	16.41	15.77	12.27	6.39	0.89	2.52	7.21
9^{30}	-1.27	-0 04	1.22	8.82	13.05	16.91	17.57	17.45	13.58	7.51	1.59	2.85	8.27
10^{30}	-0.77	0.58	2.42	10.02	13.87	18.06	18.75	18.18	14.53	8.61	2.38	3.51	9.18
11^{30}	-0.15	1.27	3.63	11.38	15.11	19.27	19.50	19.54	15.84	9.87	3.42	4.16	10.24
12^{30}	0.54	2.14	4.64	12.36	15.66	20.16	20.17	20.08	16.93	10.35	4.62	4.55	11.02
13^{30}	0.75	2.30	5.24	13.17	15.55	20.48	20.62	20.59	17.65	11.03	5.08	5.05	11.46
14^{30}	0.84	2.08	5.79	13.23	16.37	20.64	20.90	21.17	17.98	11.44	5.08	5.07	11.72
15^{30}	0.69	1.87	6.04	13.22	16.62	20.44	20.75	21.30	17.69	11.33	4.83	4.69	11.62
16^{30}	0.31	1.71	5.39	13.03	15.75	19.86	20.90	21.03	16.93	10.54	3.93	4.07	11.12
17^{30}	-0.12	1.11	4.62	12.26	15.38	18.68	20.32	20.13	15.91	9.05	3.22	3.65	10.35
18^{30}	-0.25	0.58	3.29	11.18	14.14	17.60	19.33	18.39	14.08	7.96	2.88	3.51	9.39
19^{30}	-0.26	0.27	2.58	9.34	12.66	16.38	18.15	16.78	13.10	7.65	2.64	3.42	8.56
20^{30}	-0.34	0.13	2.06	8.58	11.15	15.04	16.94	15.88	12.65	7.25	2.42	3.46	7.94
21^{30}	-0.38	-0.04	1.78	8.01	10.72	14.50	16.36	15.55	12.45	7.06	2.31	3.52	7 65
22^{30}	-0.46	-0.16	1.27	7.18	10.21	14.04	15.97	15.05	12.18	6.76	1.99	3.32	7.28
23^{30}	-0.61	-0.40	0.97	6.62	9.71	13.56	15.63	14.61	11.91	6.51	1.85	3.20	6.95
0^{30}	-0.71	-0.46	0.66	6.13	9.20	13.13	15.30	14.12	11.65	6.38	1.69	3.06	6.68
Mittel	-0.47	0.40	2.07	8.48	12.02	15.89	17.36	16.62	13.58	7.84	2.43	3.41	8.30

1955 **Tägliche Maxima und Minima der Lufttemperatur** Säntis

(Nach den Aufzeichnungen des Thermographen)

Tag	Januar		Februar		März		April		Mai		Juni		Juli		August		Septemb.		Oktober		November		Dezember	
	Max.	Min.	Max.	Min.	Max.	Min.	Max.	Min.	Max.	Min.	Max.	Min.	Max.	Min.	Max.	Min.	Max.	Min.	Max.	Min.	Max.	Min.	Max.	Min.
1	-14.3	-18.9	**-2.4**	-4.2	-6.3	-8.6	-7.0	-11.2	6.6	1.5	2.3	-2.7	10.0	1.6	10.3	3.2	3.2	2.6	1.9	-0.3	-0.6	-2.8	-3.0	-5.4
2	-15.3	**-19.1**	-2.7	-5.9	-4.9	-7.9	-0.9	-10.1	6.0	-4.1	-0.7	-1.6	9.9	5.1	5.9	1.7	8.1	2.7	**7.7**	1.0	0.2	-2.6	0.6	-3.8
3	-5.3	-15.2	-4.2	-10.6	-4.8	-7.3	-4.8	-6.9	-2.8	-6.2	5.1	-1.1	11.3	3.9	5.5	2.8	10.0	5.7	5.6	0.8	2.9	-1.6	-1.5	-2.6
4	-2.2	-5.3	-6.8	-9.5	-2.4	-10.0	-4.2	-6.7	0.9	-4.5	5.1	1.0	4.4	0.0	3.8	0.7	**11.0**	5.2	4.6	0.3	6.0	2.5	-2.2	-8.3
5	-2.2	-4.8	-5.5	-10.1	-10.1	-16.6	-2.3	-5.5	3.0	-0.9	7.5	0.4	0.1	-1.8	4.8	-0.2	10.8	4.3	0.2	-2.2	5.9	2.3	-4.8	-10.8
6	-1.3	-4.9	-4.1	-13.0	-14.5	-17.8	0.0	-4.3	**7.8**	-0.1	10.6	2.8	-0.2	-1.8	6.6	2.2	4.0	0.9	-0.9	-5.8	5.3	2.6	-1.2	-4.8
7	-2.8	-4.9	-6.4	-15.3	-13.1	-18.1	-1.1	-5.8	-0.3	-5.4	9.7	-1.2	-0.2	**-1.9**	2.7	-1.1	7.9	2.1	-5.4	-7.4	**7.1**	3.0	**1.2**	-2.0
8	-1.9	-6.4	-2.8	-6.5	-10.0	-14.0	-2.7	-7.0	3.2	-5.9	4.2	-1.9	3.2	-0.8	-1.2	-3.8	9.2	3.9	-2.2	-5.9	5.3	1.0	-2.0	-7.8
9	-5.0	-8.0	-8.0	-10.4	-10.1	-14.8	-0.8	-4.5	**8.4**	2.6	4.8	-0.9	5.8	2.9	-3.0	**-4.3**	10.4	4.7	1.9	-1.9	2.2	-2.7	-3.0	-7.8
10	-5.1	-9.2	-9.8	-16.1	-7.4	-14.9	-4.0	-6.0	5.9	-3.2	-0.7	-2.9	8.9	4.0	4.2	-3.0	4.0	-0.1	2.8	-1.2	-1.3	-2.9	-2.0	-7.8
11	-2.1	-5.5	-15.0	-17.6	-5.2	-9.3	-4.0	-6.3	-1.4	-5.3	-2.1	-5.0	8.2	4.7	9.0	3.1	3.2	-1.3	5.9	1.4	-0.9	-2.4	-4.3	-7.9
12	-2.0	-4.9	-11.8	-16.4	-5.9	-10.0	-5.5	-10.0	-0.1	-5.3	2.8	**-5.8**	9.6	4.1	8.8	3.8	9.4	3.4	4.2	0.1	2.8	-1.8	-2.9	-6.0
13	-2.1	-8.5	-13.9	-17.2	-4.8	-9.2	-3.0	-9.3	3.3	-0.7	-0.8	-3.7	6.2	4.2	7.0	1.4	2.9	-2.9	3.6	-0.2	2.3	-3.4	-5.1	-6.8
14	-3.0	-6.9	-16.3	**-19.6**	-5.6	-11.3	-4.6	-10.9	3.4	-2.1	0.0	-4.1	7.1	4.3	6.3	2.1	-1.7	-6.3	5.9	2.1	-4.0	-7.9	-1.0	-5.7
15	-0.1	-11.0	-15.1	-18.8	-6.1	-11.2	-9.5	-12.3	-2.0	-9.3	5.3	-1.2	6.5	4.2	4.2	1.1	-5.4	**-7.2**	5.6	0.1	-8.0	-13.4	-2.6	-5.7
16	-0.3	-6.0	-11.7	-15.6	-5.1	-8.8	-10.2	**-13.8**	-2.0	-9.8	9.1	3.9	11.3	5.8	6.6	1.0	-3.8	-6.3	0.0	-1.9	-9.2	-13.6	-5.3	-6.2
17	-5.9	-15.3	-6.8	-13.2	-8.8	**-18.2**	-8.0	**-13.8**	2.8	-2.1	10.1	4.1	13.4	7.8	7.8	3.9	0.8	-4.9	-2.0	-4.4	-8.5	-12.0	-4.8	-6.8
18	-7.6	-17.5	-8.6	-13.6	-14.8	-17.0	-6.1	-11.9	-1.4	-8.1	10.4	4.2	**14.4**	9.8	7.0	3.8	3.3	-0.1	-4.8	-7.4	-8.9	-15.2	-6.7	-8.2
19	-11.3	-18.3	-8.7	-15.2	-13.0	-17.8	-6.6	-13.0	-7.0	**-9.9**	11.5	5.0	13.2	6.3	10.6	5.4	8.3	0.9	1.2	-8.4	-9.3	-14.2	-7.4	-9.2
20	-5.8	-12.4	-14.9	-18.9	-8.7	-13.9	-4.3	-9.5	-4.3	-9.4	7.2	2.6	12.6	5.9	9.4	4.8	8.8	4.1	2.1	-0.9	-7.5	-11.2	-7.6	-8.8
21	-4.8	-8.1	-11.0	-19.5	-2.6	-8.2	-3.0	-6.9	-4.0	-8.1	5.8	1.6	11.8	5.8	10.5	6.1	5.6	2.3	3.2	-5.3	-5.3	-10.3	-8.0	-9.3
22	-2.7	-4.3	-7.6	-9.9	-3.0	-6.6	-3.1	-7.3	-6.9	-9.3	6.8	2.3	6.3	4.0	**12.7**	6.8	5.6	2.0	-5.3	-6.8	-1.2	-6.4	-7.8	-9.4
23	-3.9	-5.9	-4.9	-8.9	-0.8	-7.5	-2.9	-6.8	-1.6	-9.1	8.1	2.1	8.6	3.9	10.8	7.8	8.2	2.8	-2.1	-6.6	-4.8	-10.9	-2.3	-9.3
24	-3.8	-6.9	-4.0	-8.1	2.3	-0.1	-3.0	-7.1	2.8	-3.3	11.0	5.8	10.9	5.8	11.2	5.8	7.2	2.8	-4.2	-6.8	-10.1	-13.8	-4.1	-6.2
25	-1.4	-4.8	-5.5	-9.8	6.0	0.2	-4.1	-8.8	6.0	-0.3	11.1	6.1	10.2	4.9	6.5	3.5	7.2	3.1	-4.0	-7.1	-13.8	**-18.9**	-5.1	-6.8
26	-2.1	-5.0	-8.9	-11.0	**6.2**	-0.8	0.5	-4.5	5.1	-1.0	**11.9**	3.3	10.8	4.0	8.0	3.7	5.8	2.0	-1.5	-3.8	-9.1	-18.0	-5.2	-9.4
27	-0.1	-3.8	-9.2	-12.8	-1.0	-3.8	0.0	-5.1	3.7	-5.2	3.9	2.1	4.1	1.6	6.0	4.0	2.4	-3.8	-0.2	-3.9	-4.3	-9.1	-6.2	-9.4
28	**0.1**	-3.4	-8.4	-12.9	-2.1	-5.2	4.7	-1.0	0.2	-5.0	4.9	1.6	3.2	0.8	6.0	2.7	-3.9	-5.6	-3.9	-13.2	-1.6	-4.2	-1.2	-7.0
29	-0.8	-3.8			-4.2	-10.2	**7.6**	2.0	-0.7	-4.1	7.9	2.5	2.2	0.1	6.6	3.9	-4.3	-7.0	-7.1	**-14.2**	0.7	-5.0	-2.2	-8.0
30	-0.7	-3.8			-9.6	-14.2	6.8	2.7	-1.2	-4.2	3.6	2.3	6.3	2.0	7.0	4.2	3.5	-3.8	-5.8	-8.0	-2.0	-6.1	-4.1	-10.2
31	-2.6	-5.0			-4.5	-11.0			2.0	-2.7			10.1	3.9	7.4	2.6			-2.3	-6.2			-9.8	**-14.4**
Mittl. Max.	-3.81		-8.39		-5.64		-2.87		1.14		5.88		7.75		6.74		4.72		0.15		-2.33		-3.92	
Mittl. Min.	-8.31		-12.87		-10.45		-7.38		-4.53		0.71		3.39		2.57		0.19		-4.00		-6.63		-7.48	
Differenz	4.50		4.48		4.81		4.51		5.67		5.17		4.36		4.17		4.53		4.15		4.30		3.56	
Abs. Max	0.1		-2.4		6.2		7.6		8.4		11.9		14.4		12.7		11.0		7.7		7.1		1.2	
Abs. Min.	-19.1		-19.6		-18.2		-13.8		-9.9		-5.8		-1.9		-4.3		-7.2		-14.2		-18.9		-14.4	
Differenz	19.2		17.2		24.4		21.4		18.3		17.7		16.3		17.0		18.2		21.9		26.0		15.6	

Stündliche Monatsmittel der Lufttemperatur

	Januar	Februar	März	April	Mai	Juni	Juli	August	Sept.	Okt.	Nov.	Dez.	Jahr
1^{30}	-6.56	-11.06	-8.56	-6.35	-2.72	1.87	4.35	3.65	1.41	-2.33	-5.01	-5.72	-3.09
2^{30}	-6.74	-10.99	-8.21	-6.35	-2.81	1.77	4.29	3.57	1.47	-2.35	-5.05	-5.63	-3.09
3^{30}	-6.83	-11.02	-8.30	-6.28	-2.83	1.69	4.26	3.40	1.46	-2.37	-5.06	-5.63	-3.13
4^{30}	-6.87	-11.06	-8.52	-6.33	-2.85	1.72	4.14	3.31	1.46	-2.41	-5.06	-5.70	-3.18
5^{30}	-6.87	-11.02	-8.62	-6.38	-2.59	2.06	4.22	3.34	1.40	-2.43	-5.11	-5.79	-3.15
6^{30}	-6.84	-11.15	-8.73	-6.14	-2.31	2.27	4.46	3.70	1.52	-2.42	-5.04	-5.86	-3.05
7^{30}	-6.79	-11.29	-8.64	-5.82	-1.86	2.62	4.81	4.00	1.85	-2.27	-4.91	-5.90	-2.85
8^{30}	-6.50	-10.91	-8.17	-5.45	-1.60	3.10	5.24	4.47	2.40	-1.99	-4.53	-5.65	-2.47
9^{30}	-5.99	-10.55	-7.59	-5.17	-1.37	3.49	5.82	4.90	2.71	-1.62	-4.25	-5.44	-2.09
10^{30}	-5.53	-10.15	-7.06	-4.76	-0.99	4.18	6.37	5.37	3.12	-1.22	-3.88	-5.18	-1.64
11^{30}	-5.70	-9.76	-6.83	-4.47	-0.72	4.55	6.55	5.61	3.51	-0.89	-3.60	-4.99	-1.40
12^{30}	-5.54	-9.52	-6.54	-4.15	-0.33	4.95	6.88	5.86	3.87	-0.68	-3.40	-4.91	-1.13
13^{30}	-5.19	-9.53	-6.40	-3.76	0.07	5.22	7.17	6.10	4.25	-0.56	-3.21	-4.95	-0.90
14^{30}	-5.28	-9.75	-6.53	-3.39	0.16	5.04	7.03	6.05	4.10	-0.78	-3.35	-5.10	-0.98
15^{30}	-5.49	-10.08	-6.87	-3.36	-0.10	4.78	6.88	5.79	3.83	-1.20	-3.67	-5.43	-1.24
16^{30}	-5.73	-10.43	-7.24	-3.89	-0.24	4.53	6.69	5.75	3.52	-1.53	-3.99	-5.58	-1.51
17^{30}	-5.88	-10.72	-7.66	-4.16	-0.60	4.01	6.17	5.36	2.99	-1.84	-4.36	-5.72	-1.87
18^{30}	-5.92	-10.94	-8.20	-4.53	-1.06	3.37	5.74	4.88	2.53	-2.11	-4.64	-5.71	-2.22
19^{30}	-5.94	-10.91	-8.49	-4.96	-1.46	2.92	5.37	4.35	1.84	-2.28	-4.84	-5.87	-2.52
20^{30}	-5.92	-10.93	-8.58	-5.37	-1.84	2.59	5.06	3.95	1.59	-2.28	-4.84	-5.95	-2.71
21^{30}	-5.84	-11.13	-8.82	-5.73	-2.27	2.41	4.84	3.78	1.58	-2.29	-4.82	-6.07	-2.86
22^{30}	-5.93	-11.11	-8.84	-5.72	-2.48	2.33	4.73	3.68	1.53	-2.30	-4.89	-6.12	-2.93
23^{30}	-5.98	-11.05	-8.81	-5.84	-2.71	2.20	4.59	3.65	1.49	-2.33	-4.99	-6.09	-2.99
0^{30}	-6.12	-11.12	-8.69	-5.83	-2.87	2.05	4.52	3.60	1.38	-2.35	-5.03	-6.05	-3.04
Mittel	-6.08	-10.67	-7.95	-5.17	-1.60	3.15	5.42	4.50	2.37	-1.87	-4.48	-5.63	-2.33

Temperatur-Minima 1955 (Ablesungen an den Minimumthermometern)

Januar							
Tag	Bern	Neu-châtel	Genève	Basel	Altdorf	Bever	Lugano
1	-2.9	-3.7	-1.0	-5.2	-1.8	-27.0	0.2
2	-5.8	-5.9	-3.2	-4.9	-3.0	-23.7	-2.0
3	-6.6	-6.1	-3.6	-5.0	-0.9	-23.2	**-2.8**
4	-4.9	-4.3	-2.3	-3.4	-0.5	-10.5	-1.2
5	-4.4	-4.1	-2.0	-2.8	0.0	-16.0	0.6
6	-4.0	-3.8	-1.4	-3.3	-0.4	-11.8	2.4
7	-3.7	-3.7	0.0	-4.3	0.1	-6.5	2.4
8	-4.8	-4.0	-0.6	-3.5	0.1	-12.1	3.2
9	-2.4	-2.9	-0.4	-2.4	0.5	-9.0	0.6
10	-2.4	-1.1	-1.0	-2.0	-1.2	-19.9	-0.4
11	-2.6	-1.0	0.4	-1.5	-0.1	-17.5	-0.2
12	8.2	6.9	10.0	2.2	5.4	-4.4	0.4
13	2.6	1.9	9.5	0.5	4.4	-3.5	0.4
14	4.5	7.0	9.7	1.4	4.7	-0.7	2.4
15	0.9	1.9	7.0	-1.0	4.3	-4.5	2.2
16	5.4	6.6	10.0	3.5	6.0	-6.0	4.0
17	-0.9	-0.6	1.0	-1.1	0.8	-14.5	1.4
18	-5.2	-4.1	-1.0	-2.1	-2.0	-16.2	2.8
19	**-11.0**	**-9.4**	**-4.0**	-6.2	**-5.9**	**-28.0**	-2.2
20	-7.5	-7.2	-1.1	**-6.3**	-5.3	-23.4	-2.4
21	-2.5	-2.3	0.0	-2.2	-1.0	-17.5	-1.8
22	0.6	0.0	1.0	1.6	1.0	-10.5	-0.4
23	1.4	1.2	4.8	1.6	2.2	-11.5	0.0
24	-0.4	0.0	3.0	0.0	2.4	-17.0	-2.2
25	-1.2	-0.8	0.8	-0.6	-0.7	-21.0	-2.4
26	-3.0	-1.8	0.2	-1.2	-1.9	-21.0	-2.6
27	-2.9	-2.7	-0.6	-1.6	-1.0	-16.5	-0.4
28	-2.6	-1.8	-0.4	-2.3	-0.6	-15.0	1.6
29	-3.4	-1.8	-1.0	-2.2	-1.4	-15.8	1.0
30	-3.3	-1.7	-1.6	-2.4	-1.4	-16.7	0.6
31	-1.7	-1.2	0.8	-1.3	1.2	-9.1	5.2
Mittel	-2.1	-1.6	1.1	-1.9	0.1	-14.4	0.3

Februar							
Tag	Bern	Neu-châtel	Genève	Basel	Altdorf	Bever	Lugano
1	-0.6	-0.2	0.5	1.1	12.4	-4.7	5.0
2	-0.5	-1.0	1.2	-0.6	4.3	-4.0	4.2
3	2.3	3.1	5.5	3.0	2.1	-4.5	5.2
4	2.2	2.5	5.0	2.9	1.2	-13.5	2.6
5	3.7	3.1	6.0	3.5	3.9	-10.0	1.6
6	0.4	-0.1	1.5	1.4	2.2	-14.0	0.6
7	-0.1	-0.9	-1.2	-1.1	1.7	-12.0	3.8
8	0.6	1.6	2.2	1.5	1.5	-10.0	3.4
9	2.6	2.6	4.5	4.7	3.8	-6.8	5.2
10	0.6	0.7	2.8	1.0	2.1	-12.3	2.2
11	-3.2	-3.5	-2.0	-1.9	-3.4	-23.1	0.4
12	-5.3	-5.6	-2.3	-4.3	-4.8	**-26.0**	-1.4
13	-2.7	-3.3	-0.2	-1.3	-1.5	-24.9	-2.8
14	-7.3	-5.0	-5.0	-6.2	-4.5	-23.0	-1.4
15	-9.1	**-7.2**	**-6.2**	**-7.9**	-6.9	-25.6	-3.8
16	-3.2	-1.1	-3.0	-1.1	-3.4	-23.1	-4.0
17	-3.3	-3.2	-1.0	-5.5	-4.5	-19.4	-2.2
18	-5.1	-2.9	-1.0	-2.5	-4.4	-20.3	-0.2
19	**-11.6**	-5.7	-4.0	-5.0	**-7.4**	-25.8	-1.8
20	-4.0	-4.1	-2.2	-2.5	-3.0	-16.7	-4.2
21	-5.2	-4.1	-5.2	-4.7	-1.9	-15.5	-3.2
22	0.4	0.0	1.0	0.0	0.1	-14.8	**-4.6**
23	-1.2	0.0	1.6	0.0	-0.4	-14.1	1.0
24	0.4	-0.3	1.6	0.5	0.5	-10.0	0.8
25	0.4	0.1	1.8	0.1	-0.3	-16.0	1.2
26	-0.4	-0.1	1.2	-1.0	1.4	-12.5	1.0
27	-1.8	-1.1	1.2	-2.0	-1.0	-21.4	2.2
28	-4.8	-3.8	-0.8	-7.1	-2.0	-11.4	1.2
Mittel	-2.0	-1.4	0.1	-1.2	-0.4	-15.6	0.4

März							
Tag	Bern	Neu-châtel	Genève	Basel	Altdorf	Bever	Lugano
1	-4.5	-4.8	-2.4	-2.8	-1.7	-13.6	0.4
2	-4.6	-3.5	-1.4	-4.5	-0.7	-16.5	2.0
3	-5.5	-3.8	-1.4	-3.0	-1.4	-19.0	2.2
4	-6.9	**-6.5**	-4.2	-3.7	-2.7	-22.4	-2.0
5	-2.0	-1.8	1.2	-1.2	-0.8	-15.0	-1.4
6	-4.8	-4.7	-3.5	-2.9	-2.3	-17.0	0.0
7	**-7.8**	-5.8	**-6.0**	**-5.9**	**-5.6**	-24.0	-1.4
8	-5.1	-2.8	-0.9	-4.5	-5.0	**-28.0**	**-4.0**
9	-5.4	-3.9	-1.2	-4.6	-1.8	-12.0	0.0
10	-1.3	-0.7	0.2	-0.2	0.4	-10.5	2.0
11	-3.2	-3.1	0.0	-2.5	0.1	-13.2	3.2
12	-4.4	-3.6	-1.0	-2.5	-0.3	-14.1	0.8
13	-5.9	-5.7	-5.0	-3.9	-0.4	-17.7	-0.4
14	-4.0	-3.2	-3.0	-4.4	-2.1	-20.7	-0.8
15	-2.5	-3.1	0.2	-3.9	0.0	-20.4	1.4
16	-3.0	-2.8	-2.2	-3.3	-1.1	-17.9	0.6
17	-1.2	-1.2	-0.5	-4.1	-1.0	-17.0	0.4
18	-5.2	-3.9	-0.7	-5.5	-5.0	-21.7	3.2
19	-5.5	-5.1	-4.4	-4.2	-4.0	-24.0	-1.8
20	-1.2	-0.9	-2.0	-2.3	-0.1	-12.8	-1.4
21	-1.0	0.0	2.6	-0.6	5.2	-5.0	1.6
22	5.5	5.4	6.2	6.9	6.1	-9.5	1.8
23	2.6	3.1	4.7	5.0	3.4	-10.0	3.2
24	4.3	3.4	4.0	7.6	6.3	-6.0	4.6
25	6.4	6.9	9.5	8.2	7.5	-8.0	5.2
26	7.4	8.3	12.0	7.4	11.9	-5.5	5.2
27	8.3	7.4	10.5	6.6	10.0	0.0	8.2
28	3.0	2.9	5.8	1.5	4.6	-3.5	5.6
29	0.9	1.0	3.8	0.0	2.5	-1.5	7.8
30	-0.6	-0.7	2.0	-0.6	2.0	-5.5	5.2
31	-1.5	-1.3	1.6	-2.6	1.3	-6.5	3.2
Mittel	-1.6	-1.1	0.8	-1.0	0.8	-13.5	1.8

April							
Tag	Bern	Neu-châtel	Genève	Basel	Altdorf	Bever	Lugano
1	**-2.4**	**-2.8**	2.6	**-4.0**	2.7	-12.5	2.8
2	-1.3	1.0	2.4	-1.2	0.0	**-13.2**	**1.4**
3	0.1	-0.2	2.0	0.6	1.3	-13.0	2.8
4	4.0	5.2	4.0	5.6	5.7	-1.0	4.6
5	7.5	6.9	7.0	7.0	6.9	-1.4	5.2
6	3.5	3.5	5.0	5.4	6.5	-1.0	6.2
7	7.8	7.2	8.2	8.5	8.0	-5.0	7.6
8	2.8	2.6	4.2	3.7	5.3	-0.1	5.6
9	7.7	6.9	7.5	9.0	8.0	1.0	6.4
10	6.7	6.2	8.0	6.0	7.6	-0.5	9.0
11	6.4	6.7	7.0	7.3	7.0	-1.0	8.0
12	4.3	6.6	7.0	5.5	6.5	-3.0	12.2
13	1.0	1.8	6.0	1.5	2.0	-13.0	4.8
14	3.4	3.3	5.0	4.6	5.4	-3.5	4.6
15	1.7	0.8	4.8	1.5	1.9	-6.0	5.2
16	-0.2	-0.8	2.6	1.5	1.7	-8.5	6.6
17	0.4	0.3	2.0	-0.7	**-0.6**	-9.5	2.2
18	-1.5	-0.6	**1.2**	-2.6	-0.4	-9.0	2.4
19	0.0	2.0	4.7	-2.3	2.2	-8.5	5.2
20	-1.3	1.3	3.0	-3.4	0.4	-12.0	6.2
21	0.3	0.3	2.0	0.3	1.5	-10.5	3.2
22	2.3	2.9	6.0	0.3	3.0	-8.5	4.6
23	1.8	2.0	4.6	-1.4	3.5	-6.0	8.8
24	3.0	2.6	4.7	0.0	4.1	-3.5	7.2
25	1.3	2.2	6.2	-0.6	6.0	-2.5	11.4
26	1.2	1.6	3.8	-2.0	2.5	-8.0	10.2
27	9.2	9.4	10.8	9.4	9.4	-2.0	6.6
28	6.9	6.6	8.8	7.5	7.3	-3.0	10.2
29	9.5	8.7	10.8	9.9	9.5	-2.0	9.6
30	12.7	11.6	14.5	10.7	11.6	-1.0	10.6
31							
Mittel	3.3	3.5	5.5	2.9	4.6	-5.6	6.4

Mai							
Tag	Bern	Neu-châtel	Genève	Basel	Altdorf	Bever	Lugano
1	12.2	10.7	14.2	11.0	11.5	-1.4	10.6
2	10.0	9.0	12.9	10.2	9.9	-2.0	10.8
3	6.6	6.6	8.2	7.6	8.0	-2.0	11.0
4	4.3	4.2	7.0	5.0	5.7	-5.5	9.2
5	11.0	11.5	14.2	12.1	9.9	-1.5	9.0
6	11.3	11.1	12.0	12.0	11.2	-0.5	11.2
7	9.3	9.8	10.0	8.2	9.8	1.5	13.4
8	4.5	4.8	5.6	4.5	6.7	-1.9	8.8
9	6.8	5.9	8.0	7.4	6.5	-4.0	8.4
10	10.2	12.3	14.6	9.0	10.3	-3.0	9.4
11	6.2	7.4	8.7	7.6	7.7	3.2	11.2
12	5.7	5.6	7.6	5.9	7.4	0.5	10.2
13	5.0	4.3	6.6	4.5	5.5	-4.5	11.6
14	10.5	9.8	12.7	10.0	10.0	-0.5	11.0
15	6.0	6.0	9.0	7.7	6.1	-1.0	12.4
16	1.8	2.6	5.7	3.4	4.6	-6.5	8.0
17	9.2	10.2	12.7	9.3	8.5	1.0	9.2
18	4.8	5.3	7.7	5.1	6.0	0.0	9.4
19	3.3	**2.5**	6.7	4.6	5.0	-3.0	8.2
20	4.0	3.2	**3.5**	1.5	6.0	-5.0	7.2
21	4.0	3.2	5.0	1.1	7.1	-2.5	8.6
22	5.0	5.2	7.8	4.7	5.0	-2.0	6.6
23	**0.6**	2.8	4.5	**0.9**	**2.0**	**-7.5**	**6.4**
24	4.2	4.4	4.2	3.4	5.0	-5.0	9.8
25	7.3	7.0	8.0	4.6	8.6	0.5	10.4
26	11.6	10.9	12.0	9.9	11.5	4.5	13.4
27	7.5	7.7	10.7	9.2	9.5	3.0	14.0
28	5.3	5.6	9.0	5.7	9.8	0.0	9.4
29	8.3	8.6	10.5	9.7	9.1	1.0	12.4
30	6.8	8.2	9.2	7.2	9.1	-2.0	10.4
31	6.5	9.9	7.0	4.3	7.4	-2.5	13.2
Mittel	6.8	7.0	8.9	6.7	7.8	-1.6	10.2

Juni							
Tag	Bern	Neu-châtel	Genève	Basel	Altdorf	Bever	Lugano
1	6.0	6.9	7.8	**4.6**	8.3	1.5	9.4
2	9.8	9.5	10.0	7.9	9.2	1.5	10.4
3	10.0	11.4	13.4	7.0	9.0	-0.5	13.4
4	10.0	10.8	13.7	11.2	12.5	7.0	13.6
5	10.7	11.1	13.0	12.7	12.0	4.0	12.2
6	11.8	11.2	13.0	13.1	12.7	2.5	12.8
7	11.7	10.9	12.0	12.1	13.7	6.5	15.2
8	9.8	10.1	10.2	10.6	10.0	2.0	11.4
9	8.7	9.3	10.1	9.8	9.3	1.5	11.8
10	9.3	9.2	11.2	10.5	10.1	0.0	11.2
11	7.7	8.6	8.8	7.8	9.5	2.0	13.6
12	**4.0**	**5.7**	8.6	5.0	**5.3**	**-4.5**	**8.2**
13	9.8	10.0	13.6	10.2	10.3	4.0	13.0
14	6.6	7.2	**6.5**	6.2	9.4	1.5	13.2
15	8.1	8.1	8.6	8.3	11.8	2.0	11.2
16	11.4	11.2	13.0	9.7	11.4	2.5	13.8
17	14.0	14.9	15.6	12.2	14.5	5.0	15.4
18	14.0	13.3	15.8	15.0	14.5	7.0	16.4
19	15.5	15.9	16.2	16.4	19.2	7.0	16.6
20	14.7	14.0	15.8	15.3	16.0	8.8	16.4
21	13.8	13.0	14.0	14.6	14.8	7.6	15.6
22	14.5	13.9	14.5	13.6	14.4	7.9	14.8
23	11.3	11.5	12.2	12.2	14.5	7.9	14.4
24	12.1	12.4	13.8	11.5	12.9	1.2	15.8
25	14.5	14.7	16.0	14.1	15.0	5.5	17.8
26	12.5	14.0	15.5	14.2	13.9	5.0	17.0
27	12.3	12.4	14.0	13.6	15.5	7.5	15.0
28	11.2	13.6	13.6	12.1	13.0	1.5	15.8
29	11.3	11.6	13.5	11.7	12.8	1.0	12.8
30	14.7	14.5	18.0	15.0	15.0	7.5	17.4
Mittel	11.1	11.4	12.7	11.3	12.4	3.8	13.8

Temperatur-Minima 1955

Tag	Juli							August							September						
	Bern	Neu-châtel	Genève	Basel	Altdorf	Bever	Lugano	Bern	Neu-châtel	Genève	Basel	Altdorf	Bever	Lugano	Bern	Neu-châtel	Genève	Basel	Altdorf	Bever	Lugano
1	11.7	11.2	13.3	9.0	12.1	1.0	15.0	12.3	12.3	15.8	12.4	11.7	5.0	14.6	13.8	12.9	15.0	14.4	13.4	6.6	16.2
2	14.0	14.8	16.0	12.6	14.5	3.5	17.4	10.9	11.1	14.8	10.4	11.0	4.1	15.0	10.5	11.0	12.0	12.7	10.6	0.7	13.4
3	15.3	15.5	18.0	15.2	16.0	9.0	16.2	11.0	10.8	12.5	11.3	13.0	7.5	14.2	11.4	12.0	12.7	12.2	11.3	0.6	14.6
4	14.3	14.6	16.2	14.3	15.1	6.2	14.2	14.8	14.6	15.5	13.8	13.6	5.5	15.4	12.6	13.3	15.2	14.1	13.9	3.4	15.2
5	12.4	13.1	14.0	11.9	12.9	4.4	16.2	9.7	11.8	13.8	9.9	10.4	-0.6	13.4	13.6	13.2	15.0	13.1	13.1	8.0	15.6
6	11.4	12.1	**10.0**	10.1	11.8	4.1	17.2	9.6	10.8	12.5	9.2	10.4	-0.5	15.8	13.9	13.6	16.6	14.3	14.3	7.3	16.8
7	8.2	**9.4**	11.0	**8.5**	11.0	3.0	16.6	12.2	12.9	14.0	10.4	13.6	2.3	16.8	11.7	10.6	14.2	12.5	12.5	6.0	15.2
8	**7.4**	10.1	11.2	10.0	**8.0**	2.0	**12.6**	9.5	9.4	11.2	7.9	10.5	4.0	15.0	10.8	11.1	12.2	10.4	13.6	7.4	15.2
9	13.4	13.6	14.4	13.6	10.8	4.2	14.6	9.4	10.4	11.4	10.0	11.0	2 4	11.2	12.7	13.0	14.6	13.6	12.7	6.8	15.4
10	14.3	15.7	16.5	15.6	15.0	6.9	15.0	**6.1**	**7.6**	**9.2**	**6.6**	**7.5**	**-3.8**	**11.0**	11.7	11.8	13.0	13.7	13.2	4.3	14.8
11	13.9	13.9	16.2	13.6	14.0	9.0	16.0	8.5	9.7	10.6	9.5	9.0	3.0	12.0	9 8	8.5	14 0	10.1	12.8	3.7	12.2
12	14.4	15.8	16.4	15.8	15.5	6.3	14.2	13.6	13.0	14.0	12.6	12.0	3.0	15.0	10.4	11.1	15.0	12.1	13.2	5.7	13.4
13	14.3	13.3	15.6	16.2	14.4	5.5	15.8	11.7	13.7	13.0	12.7	14.0	6.5	14.4	10.8	11.4	13.0	11.4	11.4	5.5	14.2
14	13.1	14.8	16.4	15.4	14.0	8.0	16.2	12.2	13.0	14.5	12.5	13.0	5.0	14.0	6.2	5.2	9.0	7.4	8.3	0.5	13.0
15	13.9	14.0	15.0	15.5	14.1	5.5	17.0	11.2	11.4	12.6	10.7	13.4	4.0	14.2	5.4	**4.9**	8.0	6.8	7.4	-1.2	8.8
16	12.8	14.3	15.2	14.5	13.1	6.8	17.6	11.3	11.0	12.4	11.3	12.5	5.0	12.4	6.0	6.0	8.0	7.6	6.1	-4.5	**6.6**
17	14.5	14.8	16.8	13.5	14.4	8.6	18.2	10.8	11.6	12.0	11.1	11.0	0.0	14.2	7.7	8.0	7.0	8.7	9.3	-3.8	8.6
18	15.8	15.8	17.6	17.2	16.4	3.6	19.2	12.3	12.3	13.4	12.3	13.0	1.3	14.6	7.2	9.5	**6.7**	9.7	7.4	-2.5	10.4
19	16.7	15.8	20.8	17.5	18.2	7.5	20.6	13.2	13.8	14.0	13.0	13.0	2.0	17.0	7.3	8.1	9.0	6.0	10.4	-1.0	11.4
20	16.2	16.3	18.8	17.2	16.2	7.3	17.4	14.7	14.5	**15.2**	14.0	16.5	8.5	18.4	8.6	9.3	8.0	6.3	8.5	4.0	12.6
21	14.4	14.0	14.8	16.1	15.0	4.5	14.4	13.8	15.3	16.8	15.0	14.6	6.0	15.6	11.3	11.9	12.0	11.5	10.5	0.0	13.2
22	15.0	15.5	16.8	15.7	16.5	7.2	14.2	13.8	14.4	15.5	11.6	14.8	7.7	17.4	8.4	10.0	10.2	9.8	8.8	0.5	11.6
23	13.8	14.3	14.8	14.2	16.0	7.8	15.2	14.8	14.8	16.7	13.5	14.4	5.0	15.8	9.8	10.4	10.2	8.0	9.3	-0.9	12.4
24	14.2	16.3	17.0	16.5	14.3	3.5	17.8	15.7	15.6	17.0	15.7	16.4	8.0	17.4	10.2	10.7	12.2	10.7	10.5	-1.5	11.8
25	13.8	14.4	17.8	13.0	16.5	2.8	17.0	13.5	16.6	16.2	16.1	15.4	4.0	15.2	10.0	10.6	14.0	13.4	10.7	-2.4	16.2
26	14.2	14.5	15.6	13.7	14.0	7.2	16.0	10.5	11.2	12.7	13.0	13.6	4.5	13.4	12.8	12.7	15.0	13.7	12.3	-1.9	16.2
27	13.7	14.0	15.0	14.2	15.6	8.2	14.6	12.9	13.7	16.0	14.8	13.4	2.6	13.8	9.1	8.9	12.0	10.2	10.3	3.7	13.6
28	12.5	12.4	15.6	13.6	14.2	6.3	15.6	12.9	12.4	15.6	13.7	14.0	3.0	14.8	6.8	7.9	11.6	6.0	6.8	0.5	10.2
29	12.9	13.6	15.2	14.4	13.5	5.8	13.0	12.0	13.3	16.7	12.6	14.0	2.6	14.2	5.1	5.0	9.6	5.7	5.1	-1.6	8.0
30	12.9	13.2	11.8	14.0	13.4	6.0	15.0	14.5	15.3	16.5	13.4	14.2	1.8	15.4	**4.1**	5.8	**6.7**	**2.4**	**4.4**	**-6.9**	7.2
31	13.2	14.5	16.0	13.0	15.1	**0.5**	16.6	14.3	14.8	15.5	14.9	15.0	6.3	14.6							
Mittel	13.5	14.1	15.5	14.1	14.2	5.6	16.0	12.1	12.7	14.1	12.1	12.9	3.7	14.7	9.7	9.9	11.7	10.3	10.4	1.6	12.8

Tag	Oktober							November							Dezember						
	Bern	Neu-châtel	Genève	Basel	Altdorf	Bever	Lugano	Bern	Neu-châtel	Genève	Basel	Altdorf	Bever	Lugano	Bern	Neu-châtel	Genève	Basel	Altdorf	Bever	Lugano
1	2.7	4.2	5.6	4.2	7.4	-6.0	7.2	0.3	1.3	4.3	-4.3	4.0	-2.5	5.4	-2.2	-1.2	1.8	-1.5	0.0	-3.0	2.2
2	4.0	7.8	6.8	7.8	5.5	-5.5	7.6	0.7	1.2	4.3	2.7	3.9	-2.0	5.6	-4.0	**-2.2**	2.2	-2.3	0.0	-5.5	3.6
3	4.0	5.5	5.8	5.6	5.4	-0.1	7.4	1.4	3.8	5.5	3.1	2.4	-6.9	2.8	-3.4	-1.0	-0.4	-1.5	-1.2	-7.8	3.4
4	5.9	8.4	8.3	8.0	6.3	-2.0	8.4	6.4	6.6	9.2	7.7	6.0	-2.2	4.4	2.2	4.4	5.7	3.5	2.5	-3.1	3.8
5	9.0	10.0	11.0	8.4	9.4	-0.1	11.8	6.8	8.1	10.2	10.4	6.5	0.0	7.8	-1.8	-0.6	0.2	0.0	0.1	-10.9	3.8
6	6.2	5.9	9.8	7.1	7.0	-5.0	8.8	7.0	7.3	1.0	9.5	6.6	-1.0	9.0	-2.0	-0.7	0.0	-2.3	-1.0	-12.0	-0 4
7	4.8	4.9	4.9	6.4	6.3	-1.2	9.6	5.7	6.3	8.8	6.9	3.9	-5.0	6.0	**-4.5**	-1.6	-1.0	-2.3	**-3.0**	-10.5	-1.4
8	2.2	3.4	3.6	5.1	5.4	-1.0	13.8	4.0	6.1	8.0	7.1	4.0	-3.6	7.2	-4.0	-1.5	**-3.3**	**-2.4**	-2.1	-9.3	-0.4
9	2.6	3.5	6.5	1.2	3.5	-9.0	6.0	3.7	6.2	8.0	6.1	5.6	-3.0	8.6	-2.3	-1.3	-0.8	0.1	0.5	-10.7	1.4
10	5.7	3.6	6.5	4.1	6.0	-2.7	9.2	4.1	4.6	6.0	5.4	8.3	1.4	9.2	-2.4	-0.9	-1.0	-1.3	0.4	-6.1	2.4
11	5.8	6.4	6.8	5.2	7.0	-3.2	10.2	4.7	5.0	7.0	3.2	7.5	-1.9	7.8	4.6	5.0	2.0	5.4	2.3	-2.0	-0.2
12	7.1	7.3	7.3	9.7	7.4	0.8	10.2	3.0	4.0	5.2	0.1	5.0	-4.6	7.6	1.7	3.0	4.9	1.0	4.3	-5.2	0.2
13	8.8	8.7	10.2	9.7	10.1	-1.0	8.8	1.8	3.1	5.4	-0.1	5.0	-6.6	5.2	0.4	1.2	4.8	1.0	2.6	-11.2	3.2
14	8.3	11.1	11.0	8.4	9.3	-1.6	8.8	3.6	3.8	5.2	3.8	5.9	-1.0	6.6	0.8	2.2	3.2	1.0	1.1	-12.1	3.8
15	8.2	7.5	7.9	5.4	8.0	-5.0	8.2	0.8	1.0	4.0	1.0	4.4	-5.1	4.8	2.9	3.0	3.4	4.4	4.5	-2.5	1.6
16	6.5	8.1	7.6	6.7	7.5	-4.0	9.0	-1.8	-0.6	2.4	-2.9	0.0	-11.3	0.6	5.0	5.6	7.2	6.2	4.3	-8.1	0.8
17	6.6	7.3	8.2	3.0	7.4	2.0	11.8	-2.5	0.3	2.2	-1.0	-1.6	-12.8	-1.2	3.8	3.9	6.1	6.0	3.1	-12.9	2.2
18	3.6	2.8	4.4	1.9	6.1	-0.6	10.2	-1.5	-1.3	1.0	-3.6	-0.5	-14.0	-1.6	3.8	4.5	4.8	2.0	3.9	-12.1	-0.4
19	0.7	1.2	1.4	0.6	3.4	-2.5	5.4	-1.7	-2.1	1.0	-5.0	-2.0	-16.1	-2.4	1.9	1.3	1.6	0.1	0.5	**-18.3**	-0.2
20	3.5	4.0	7.5	5.2	7.0	-2.0	9.4	-1.8	-2.0	0.6	-4.2	-1.1	-15.6	-2.6	-0.3	-0.4	2.7	-1.0	-0.3	-13.4	1.6
21	7.0	7.4	9.6	7.9	8.3	1.2	8.4	-4.2	-2.4	0.8	-2.6	-2.4	-11.8	-1.8	1.2	2.3	3.0	2.5	1.9	-14.0	0.2
22	6.1	6.1	8.0	6.7	4.4	-6.5	6.8	-0.8	-0.4	2.0	0.1	-1.9	-12.0	-0.2	1.3	2.2	3.8	1.4	0.6	-16.2	-1.4
23	1.7	2.2	4.0	3.4	2.8	-10.8	5.2	-4.0	-3.3	2.0	-3.1	-1.5	-12.8	-0.8	0.7	3.4	3.6	2.1	1.0	-15.1	-0.6
24	0.6	0.4	5.5	-0.1	1.9	-8.6	3.6	0.4	0.3	2.0	1.9	1.0	-7.5	0.6	3.4	5.6	6.0	6.0	2.9	-12.9	-1.2
25	4.6	5.2	7.2	5.5	6.0	-2.5	9.2	-3.9	-4.3	-1.0	-3.1	-2.1	-11.8	2.2	3.5	4.6	4.0	5.6	2.9	-14.9	**-2.0**
26	1.2	1.5	1.5	2.4	3.7	-3.9	5.2	-8.5	-6.9	-4.4	**-7.3**	**-7.3**	**-18.6**	-2.4	1.6	0.2	4.0	1.1	3.5	-12.0	-0.4
27	0.4	1.8	2.2	-0.3	2.7	-6.9	4.6	**-9.2**	**-7.8**	-6.0	-7.2	-7.0	-17.0	**-3 8**	2.9	3.6	5.0	3.7	3.3	-9.6	-0.6
28	4.3	4.1	7.5	3.2	3.0	-4.0	7.8	-8.2	-6.9	**-7.0**	-7.0	-6.5	-15.0	-3.4	3.5	3.7	5.0	5.9	3.3	-6.0	0.8
29	-2.6	-1.9	2.6	-2.7	0.6	-7.5	6.2	-7.9	-5.5	-2.5	-4.8	-4.2	-14.0	-0.8	5.0	6.5	8.4	6.1	5.7	-8.9	0.8
30	**-3.3**	**-3.1**	**-0.6**	**-3.3**	**-1.2**	**-11.0**	5.4	-4.9	-4.5	-0.2	-3.0	-3.7	-12.5	1.8	2.1	2.6	4.6	3.7	4.1	-10.9	0.8
31	-1.0	0.7	4.0	-3.2	0.0	-9.0	**2.4**								-1.2	-0.5	1.0	0.4	0.1	-13.4	-0.4
Mittel	4.0	4.7	6.2	4.3	5.4	-3.8	8.0	-0.2	0.7	3.2	0.3	1.3	-8.2	2.7	0.8	1.9	3.0	1.8	1.7	-10.0	0 9

Temperatur-Maxima 1955 (Ablesungen an den Maximumthermometern)

Januar							
Tag	Bern	Neu-châtel	Genève	Basel	Altdorf	Bever	Lugano
1	−1.2	−0.3	1.2	2.3	0.4	−14.0	2.4
2	−2.3	−3.6	1.3	−0.6	3.5	*−12.0	0.6
3	−4.4	−3.6	−0.8	−2.7	6.6	−6.5	0.8
4	−1.6	−1.6	1.2	−0.3	0.5	1.2	2.2
5	−2.7	−2.4	−0.2	0.0	0.9	3.7	5.4
6	0.3	−0.7	1.5	−1.1	1.7	5.5	5.4
7	2.4	−2.0	2.0	−2.3	1.7	5.5	5.4
8	−2.1	−2.2	1.0	−2.2	1.1	3.5	11.4
9	1.5	0.4	2.4	0.4	2.4	1.5	6.4
10	0.5	0.6	2.4	3.4	3.0	1.2	7.6
11	9.3	9.8	11.6	12.9	6.9	−0.7	7.8
12	11.5	11.4	13.1	14.6	9.8	3.8	9.2
13	11.4	9.0	14.0	12.7	8.5	7.0	12.8
14	11.5	11.7	13.0	13.1	9.8	5.5	8.8
15	8.7	8.7	11.6	8.6	12.9	1.2	14.8
16	10.3	10.2	12.5	14.3	13.0	2.5	5.4
17	8.9	5.7	7.0	11.9	5.2	−3.0	11.8
18	1.3	1.7	3.2	2.6	2.5	2.1	10.4
19	−3.7	−2.6	−0.2	2.1	−1.0	1.5	8.4
20	0.3	−1.2	1.0	0.1	0.3	−3.5	7.8
21	2.6	0.9	2.6	3.0	3.5	−0.5	9.4
22	5.4	2.9	6.2	5.0	4.2	1.3	5.4
23	5.0	5.4	7.2	3.8	3.5	2.0	6.4
24	3.6	3.7	5.0	2.5	3.8	1.9	9.4
25	2.0	3.6	4.0	3.4	3.2	−1.5	8.4
26	0.2	0.1	2.2	5.3	0.6	−2.4	9.4
27	0.7	0.2	3.0	8.2	2.5	−0.8	8.8
28	1.6	0.2	2.2	4.3	1.6	1.6	12.4
29	3.6	0.5	0.7	6.7	1.6	1.5	11.4
30	3.0	0.7	1.6	3.4	11.2	3.6	11.8
31	4.4	3.1	5.4	6.4	13.8	4.0	8.4
Mittel	3.0	2.3	4.5	4.6	4.5	0.5	8.0

Februar							
Bern	Neu-châtel	Genève	Basel	Altdorf	Bever	Lugano
7.5	3.7	6.2	7.1	14.5	4.0	6.6
9.3	6.7	9.4	10.4	9.5	4.0	8.2
8.4	7.7	10.0	11.0	6.4	4.0	8.0
6.3	7.9	9.2	9.6	9.5	1.5	12.2
7.8	8.2	10.6	10.2	8.2	2.5	13.4
6.0	4.2	4.0	5.5	4.2	1.4	9.4
2.8	4.1	5.2	6.3	4.9	−4.0	11.8
10.4	9.9	12.0	12.2	12.5	3.6	12.4
10.2	6.2	8.6	12.1	6.6	0.0	16.2
3.8	3.7	6.2	5.7	3.5	—	14.8
1.8	4.5	3.6	5.3	2.0	—	11.4
−0.4	1.4	3.0	5.7	3.3	—	6.6
2.4	4.7	4.5	5.5	2.1	—	9.0
−0.8	0.1	0.2	−0.1	−0.3	—	7.2
0.9	0.7	2.2	4.9	−0.4	—	8.4
4.4	5.9	4.5	4.2	3.0	—	10.2
0.3	0.3	1.5	1.9	1.5	—	1.2
2.2	3.8	3.4	5.1	1.8	—	7.4
1.4	1.1	1.0	1.9	2.0	—	2.4
0.1	0.7	1.0	1.1	1.7	—	5.2
1.0	1.0	3.2	2.2	1.0	—	5.2
7.0	6.3	8.4	4.8	3.6	—	11.4
3.2	2.7	5.0	2.6	3.6	—	3.6
6.7	5.5	5.8	8.8	6.0	—	6.4
2.1	2.4	4.8	3.1	3.0	—	5.6
5.0	5.4	6.0	2.1	4.3	—	11.6
0.6	1.0	4.8	0.3	3.2	—	7.2
−1.2	0.5	1.8	1.3	1.0	—	4.0
3.9	3.9	5.2	5.4	4.4	—	8.5

März						
Bern	Neu-châtel	Genève	Basel	Altdorf	Bever	Lugano
−1.5	−1.2	0.0	0.5	1.5	−3.8	11.4
0.9	0.3	1.6	3.4	0.5	0.9	10.6
0.5	1.7	2.4	4.9	1.7	2.4	9.6
6.4	7.1	6.8	11.8	5.4	3.9	10.6
1.5	3.5	4.8	4.7	1.6	1.9	7.2
1.3	3.3	0.2	3.4	1.0	−0.5	7.2
2.2	3.1	2.2	5.4	4.4	−2.3	6.2
2.9	3.8	4.9	5.7	4.3	−0.5	7.2
3.7	6.4	5.2	5.3	5.0	−1.5	8.0
0.6	1.6	4.6	4.3	4.7	−1.2	8.4
0.4	−0.7	3.0	2.6	3.2	1.5	5.6
2.6	2.0	3.2	4.6	3.0	2.0	6.2
7.0	6.6	7.5	9.1	5.0	3.6	13.4
7.4	9.4	9.8	7.4	7.6	2.4	15.6
6.4	8.3	6.8	9.6	7.0	3.0	14.2
10.4	10.2	11.0	12.0	11.7	5.0	14.8
8.5	9.5	13.0	5.3	8.7	4.0	13.2
3.1	4.7	6.0	6.4	2.4	−4.3	12.4
5.5	7.9	9.0	7.7	7.5	−3.8	11.4
6.4	7.9	7.7	7.5	10.8	0.2	13.2
10.0	8.9	12.0	15.4	15.5	2.0	3.8
14.0	12.1	13.0	14.9	13.0	8.0	17.4
13.7	11.4	16.5	14.9	14.7	7.5	19.4
20.5	19.4	21.0	22.3	18.6	8.1	18.2
20.2	17.3	22.4	22.8	22.9	11.0	18.0
19.0	18.3	20.0	19.4	18.3	9.7	14.8
16.8	17.8	14.5	20.3	15.3	7.0	13.6
10.0	7.8	17.0	11.3	8.7	8.1	19.8
3.2	2.6	13.2	5.2	4.6	4.6	11.4
3.4	3.8	5.6	6.7	4.7	2.0	12.6
3.7	4.7	7.0	7.9	3.7	3.5	13.4
6.8	7.1	8.8	9.1	7.6	2.7	11.9

April						
8.6	9.7	9.6	11.5	8.0	2.1	15.6
11.7	11.9	12.6	13.9	11.5	5.0	15.8
14.4	14.5	13.5	17.0	12.7	5.0	16.4
15.3	15.0	16.0	16.8	15.0	4.0	23.2
16.6	17.6	16.0	18.5	12.3	6.0	22.8
20.0	19.2	19.8	23.4	18.5	9.0	20.4
13.4	12.1	13.0	15.1	10.7	8.1	19.0
12.5	12.1	15.7	16.5	12.5	5.8	20.2
15.6	14.9	17.4	15.6	14.0	7.1	26.4
14.1	15.1	15.2	15.3	13.3	5.4	24.2
11.2	11.5	17.2	11.7	11.3	6.0	22.0
12.6	13.4	14 5	14.2	11.5	0.0	19.4
15.4	16.7	15.5	16.1	13.0	6.5	19.8
13.0	15.1	15.3	13.3	11.5	1.5	22.8
7.4	9.9	10.0	10.5	6.5	0.0	17.4
5.4	7.0	7.4	8.4	5.6	−1.5	16.4
5.0	6.6	8.4	10.1	8.9	2.5	17.6
13.1	14.0	15.0	13.8	12.3	2.7	21.8
10.4	12.2	13.0	13.7	10.8	2.4	17.8
13.3	14.0	13.0	15.2	13.7	4.5	17.4
16.4	16.9	17.8	16.8	16.5	7.5	19.8
15.5	16.7	16.5	15.8	15.0	7.4	20.0
17.2	15.8	15.5	17.5	14.9	7.0	20.8
17.4	19.0	19.8	20.0	18.1	8.3	22.8
14.0	14.4	14.2	14.1	13.9	6.0	26.4
19.7	20.0	23.0	20.4	17.5	7.5	18.8
19.6	20.3	19.2	21.0	16.9	11.0	22.8
23.9	22.6	21.6	26.1	22.2	14.5	23.4
24.9	24.4	22.2	28.4	26.8	15.0	26.4
24.7	24.9	24.6	27.3	24.0	16.5	28.4

Mai						
24.2	24.6	28.0	28.7	25.0	17.0	29.6
19.8	18.8	20.6	21.6	20.4	15.0	25.6
16.6	16.0	17.2	18.3	16.0	6.5	23.2
15.3	13.4	18.4	16.0	16.8	10.4	20.2
21.6	20.4	22.2	23.8	22.5	15.0	25.4
25.6	25.3	27.4	29.9	26.5	15.5	23.6
15.2	17.2	17.2	17.1	15.0	9.0	25.4
18.2	20.2	18.6	22.1	19.5	14.5	25.2
23.4	23.1	24.0	27.2	21.0	17.0	26.8
18.7	17.7	23.0	17.1	19.4	16.5	26.2
11.7	15.3	20.8	14.2	13.8	14.0	22.2
14.9	16.6	16.0	19.3	17.0	10.0	23.4
21.4	20.8	23.0	24.8	21.7	14.6	23.6
16.0	14.4	17.8	20.2	16.1	11.5	18.4
10.7	13.7	16.1	13.6	10.1	6.0	18.4
15.2	16.0	18.2	17.3	16.4	7.0	23.0
14.7	14.6	16.0	16.3	19.7	10.5	19.4
11.1	12.7	15.0	14.4	9.5	8.0	12.2
10.8	12.9	14.6	14.4	10.9	4.0	21.6
13.0	15.0	14.5	15.5	13.3	9.0	22.2
13.7	15.1	16.2	16.7	12.9	7.2	24.2
9.6	12.8	13.4	14.7	10.5	4.0	21.2
16.7	17.0	16.0	19.3	17.5	10.0	22.4
20.6	20.7	19.0	24.1	21.7	15.1	23.8
22.2	21.7	22.0	25.9	21.3	13.6	24.8
21.3	21.5	25.0	26.1	20.4	13.5	24.8
15.5	14.0	17.7	18.9	15.0	11.5	20.2
16.3	15.9	19.6	16.3	17.4	14.5	26.4
15.8	16.1	16.4	18.7	18.4	9.0	26.4
17.0	18.3	16.7	21.5	18.8	12.0	23.0
18.7	21.4	20.2	23.1	20.9	13.9	24.4

Juni						
19.4	19.4	20.6	24.1	19.2	12.5	24.8
21.1	23.0	25.5	22.5	15.9	10.1	26.4
18.2	19.4	20.0	22.4	16.3	15.6	22.8
14.8	14.5	17.2	17.7	15.7	10.5	15.2
20.0	20.2	19.5	24.7	19.7	15.5	22.8
25.3	23.6	22.0	28.1	24.6	18.1	26.8
20.3	17.8	20.2	22.5	24.9	18.5	22.2
18.5	18.5	20.1	21.8	20.5	15.5	26.4
15.3	15.9	18.0	18.1	21.4	10.5	18.0
15.5	16.1	18.6	15.5	17.3	10.0	25.8
10.8	15.3	18.0	17.2	11.0	6.0	20.8
16.9	15.9	19.4	20.7	18.0	11.5	22.6
15.3	14.9	20.0	14.9	16.1	12.0	24.6
17.8	18.8	20.0	20.8	19.0	12.5	27.2
22.9	22.8	24.0	26.3	20.3	15.6	28.0
25.2	25.4	25.0	27.1	25.6	20.0	28.6
22.9	23.5	24.6	25.7	24.8	16.8	25.8
24.0	25.1	25.0	24.8	24.8	18.4	28.0
23.9	26.0	24.4	27.6	26.5	18.5	25.4
19.3	19.2	23.0	23.5	19.4	16.0	22.8
20.5	22.9	24.2	23 5	20.5	15.0	28.4
19.3	20.3	22.0	21.4	20 6	18.0	28.4
21.9	24.0	24.5	25.3	23.5	18.5	29.4
25.5	26.0	26.0	29.1	26.6	22.5	29.8
27.0	28.5	29.5	30.1	25.2	21.8	30.4
23.7	23.6	27.0	27.4	23.3	20.1	31.2
21.0	22.4	23.0	24.3	21.0	13.0	28.8
29.7	23.4	24.0	24.5	21.7	16.5	27.4
22.4	23.8	25.0	25.4	22.5	18.1	28.4
21.7	21.7	24.4	22.7	20.5	16.5	28.6

Mittel							
	14.7	15.2	15.8	16.6	14.0	6.1	20.9
	17.0	17.5	19.1	19.9	17.6	11.5	23.1
	20.7	21.1	22.5	23.3	20.9	15.5	25.9

Temperatur-Maxima 1955

Tag	Juli							August							September						
	Bern	Neu-châtel	Genève	Basel	Altdorf	Bever	Lugano	Bern	Neu-châtel	Genève	Basel	Altdorf	Bever	Lugano	Bern	Neu-châtel	Genève	Basel	Altdorf	Bever	Lugano
1	24.5	25.5	27.5	26.5	24.6	18.8	29.4	21.0	21.8	26.4	25.2	20.0	16.1	28.0	19.6	21.7	22.2	24.7	16.4	13.1	29.4
2	26.9	28.5	30.0	27.8	25.5	20.5	29.8	21.0	21.8	22.6	25.4	16.2	14.5	29.0	22.2	22.7	22.4	**28.1**	21.8	19.4	29.2
3	21.4	21.9	25.0	23.3	21.7	13.0	22.8	22.3	22.9	25.0	25.9	22.3	15.7	30.4	**23.0**	23.5	24.6	28.0	**22.5**	21.0	29.4
4	20.7	21.0	25.5	22.8	20.5	18.1	29.0	18.3	23.1	24.5	21.8	15.6	13.9	29.8	22.6	**23.7**	24.0	25.7	20.6	**21.6**	**29.6**
5	18.0	20.1	20.0	20.9	15.6	12.5	28.4	19.6	23.0	23.0	23.1	21.5	15.6	28.8	**23.0**	23.6	23.5	27.3	20.5	18.8	29.4
6	17.9	20.3	20.6	17.3	14.9	10.3	27.4	22.8	24.5	23.3	25.7	21.3	19.5	28.6	19.3	20.5	25.0	23.6	18.3	15.6	26.4
7	14.2	16.9	21.4	16.7	12.7	10.0	24.2	19.3	20.2	24.0	21.5	18.4	17.0	25.8	17.8	20.7	20.4	21.9	18.9	11.0	20.2
8	18.8	21.7	21.0	21.7	14.0	10.0	27.0	16.1	17.9	23.2	16.5	15.0	8.2	26.2	21.3	22.0	**26.0**	25.7	19.4	16.0	22.2
9	21.6	24.5	23.6	24.9	20.0	18.7	29.4	16.2	17.4	19.0	19.3	14.5	7.3	24.4	17.0	17.5	20.0	20.8	20.5	16.6	22 8
10	21.7	25.4	23.6	25.1	22.0	19.8	30.0	17.8	21.4	20.2	21.7	19.7	15.2	27.4	15.0	16.1	20.0	19.5	15.2	10.3	21.8
11	21.6	24.2	25.0	28.0	21.0	15.5	24.6	20.5	21.4	21.5	24.0	21.2	17.2	29.2	15.7	17.9	19.8	16.8	18.9	13.3	21.2
12	23.8	24.5	27.4	28.3	24.5	16.7	28.0	17.4	19.1	22.0	23.7	19.3	13.1	20.6	18.6	19.4	21.0	21.5	19.8	16.9	26.8
13	25.0	24.4	29.0	27.3	19.0	17.0	31.0	19.9	21.5	23.5	23.7	19.5	15.0	26.2	15.5	16.1	17.2	17.8	14.0	12.4	27.2
14	23.0	23.9	26.6	27.5	20.5	17.3	31.6	20.6	22.4	25.2	22.5	20.7	16.5	26.8	11.6	10.8	13.5	15.6	13.5	11.7	19.4
15	21.9	24.0	23.0	25.8	22.6	17.7	27.0	21.0	22.7	22.5	24.2	19.7	17.0	27.4	9.8	10.4	11.5	14.5	11.0	6.0	20.4
16	22.6	24.9	25.0	28.4	22.2	19.0	30.6	21.2	24.4	24.0	24.3	22.6	18.2	30.0	14.4	14.2	16.6	17.2	14.5	8.5	23.4
17	27.0	27.7	27.6	32.0	26.9	22.5	31.6	24.3	24.4	24.8	26.5	22.8	19.8	29.4	18.1	18.4	18.0	20.9	16.7	14.8	23.8
18	**29.3**	**29.9**	**33.7**	**35.8**	**29.9**	**25.0**	**33.2**	24.0	24.4	25.0	28.5	23.5	20.0	29.6	17.6	19.1	18.6	19.8	18.6	16.8	23.8
19	26.9	28.4	28.7	30.2	24.6	23.1	**33.2**	25.1	26.7	26.0	28.2	23.1	19.6	**30.6**	17.0	17.6	16.0	20.1	16.6	15.7	23.4
20	21.5	22.6	26.0	24.8	23.0	20.0	28.6	24.6	28.1	26.6	27.5	**26.5**	18.0	28.8	18.2	15.2	18.2	24.2	17.2	16.8	24.4
21	24.0	25.5	26.0	28.3	24.4	21.5	30.2	23.4	27.1	24.8	27.4	23.9	18.9	30.2	20.2	21.2	21.4	25.4	20.6	16.4	24.8
22	19.6	19.5	23.0	23.8	21.0	17.5	29.4	24.9	26.9	25.4	27.9	25.0	19.0	29.8	20.2	20.9	20.6	24.7	21.5	16.4	26.0
23	22.4	25.2	25.6	25.9	22.4	19.1	31.6	**25.8**	27.5	**27.5**	**29.5**	26.3	**22.5**	30.4	20.8	18.6	20.0	24.9	19.9	16.7	24.8
24	24.3	26.1	26.5	27.4	24.5	21.6	31.2	24.6	**28.6**	27.2	28.0	25.3	20.3	29.0	20.6	20.9	21.2	23.7	21.4	17.9	24.6
25	22.0	24.4	24.0	25.8	21.5	20.6	30.2	20.8	21.4	22.2	23.9	19.6	13.5	21.8	19.9	20.5	21.8	19.3	18.7	19.0	25.2
26	17.4	20.5	22.2	22.7	20.0	18.7	18.6	22.8	23.4	27.0	26.9	22.8	15.0	23.4	19.0	20.0	22.0	23.1	17.7	17.8	24.4
27	17.6	19.9	24.8	22.2	16.7	14.0	28.0	17.1	16.0	21.0	20.1	18.3	16.3	27.4	16.0	12.8	16.8	15.3	14.5	12.4	24.2
28	18.2	17.7	20.6	19.8	17.5	15.2	26.2	18.9	18.0	26.0	26.0	19.8	13.8	27.4	10.7	14.0	15.0	13.8	10.0	3.0	20.4
29	18.6	19.2	20.2	22.8	15.0	11.6	29.6	23.1	22.4	26.6	26.7	21.7	18.5	27.2	12.0	14.4	14.5	14.9	14.5	6.0	21.4
30	20.9	23.4	23.0	23.2	22.3	17.5	31.6	18.5	20.0	22.2	27.2	18.0	13.3	22.4	10.7	12.9	12.4	15.2	12.4	15.4	21.2
31	19.4	21.0	22.2	21.8	20.1	15.6	24.0	19.8	20.8	24.0	25.2	21.0	15.3	25.4							
Mittel	21.7	23.3	24.8	25.1	21.0	17.4	28.6	21.0	22.6	24.1	24.8	20.8	16.3	27.5	17.6	18.2	19.5	21.1	17.5	14.6	24.4

Tag	Oktober							November							Dezember						
	Bern	Neu-châtel	Genève	Basel	Altdorf	Bever	Lugano	Bern	Neu-châtel	Genève	Basel	Altdorf	Bever	Lugano	Bern	Neu-châtel	Genève	Basel	Altdorf	Bever	Lugano
1	13.4	15.5	16.0	17.1	13.0	15.0	21.0	2.8	4.9	5.6	5.0	4.7	5.7	8.4	4.2	2.9	4.0	2.7	7.4	0.9	5.0
2	11.5	13 9	12.5	15.3	14.5	13.0	21.4	10.7	9.4	11.2	13.3	10.1	8.9	11.4	2.3	0.3	5.0	3.4	3.0	5.5	8.8
3	15.0	13.1	15.5	**20.3**	**18.6**	12.8	21.8	11.0	11.4	11.5	14.1	9.4	10.2	13.4	6.5	6.8	7.2	10.1	6.1	5.8	10.4
4	14.0	13.2	15.0	17.0	15.9	11.0	20.2	12.9	**11.9**	13.0	13.1	12.2	10.5	15.2	8.6	10.0	10.6	10.4	7.1	4.0	14.2
5	15.0	16.7	14.0	17.2	14.5	10.0	20.4	12.7	11.0	13.4	13.0	**14.0**	10.9	15.4	2.3	5.5	5.4	3.5	5.1	1.2	11.4
6	13.4	13.9	14.4	15.9	13.2	9.2	17.2	11.2	9.8	**13.5**	17.7	11.7	11.9	**17.2**	1.0	2.6	4.0	5.0	3.7	5.5	7.4
7	7.4	8.7	11.8	8.8	10.0	2.5	19.0	**14.3**	8.2	11.4	**19.2**	10.5	**13.8**	16.4	2.1	1.4	0.5	9.5	3.7	**7.8**	10.2
8	12.0	13.7	13.4	15.9	15.7	7.0	**25.4**	12.4	9.6	12.0	15.3	11.5	11.8	12.2	6.7	2.5	1.8	8.5	3.9	6.1	8.8
9	12.5	14.2	13.4	16.0	14.2	12.5	22.6	10.2	9.1	9.6	14.9	13.0	8.5	11.8	1.9	1.0	2.0	5.1	5.5	5.1	5.4
10	10.5	13.6	12.0	15.0	17.7	10.5	13.8	8.0	7.2	9.4	13.2	10.2	5.2	11.0	6.2	6.0	7.4	9.2	5.1	4.6	5.8
11	13.2	13.1	13.0	15.0	12.0	11.7	21.0	7.0	6.7	9.2	10.5	8.9	7.0	16.4	8.6	7.4	8.6	8.8	8.5	5.4	11.0
12	11.6	11.4	13.4	13.5	12.0	11.6	20.4	7.2	7.0	7.5	11.5	8.6	6.0	15.4	9.5	9.9	9.2	5.6	7.3	6.8	5.2
13	14.3	14.2	16.0	14.9	12.4	16.5	21.4	4.0	5.2	7.5	6.7	6.8	7.8	11.4	3.1	3.9	6.2	3.1	4.8	−0.5	6.6
14	13.9	**17.0**	15.4	17.8	15.9	16.4	22.2	5.7	6.6	8.6	6.8	7.0	3.6	13.4	3.0	3.9	6.2	5.0	**13.7**	0.8	6.4
15	**17.1**	15.4	**16.7**	19.0	16.4	**16.6**	22.4	5.1	7.2	8.2	7.9	5.5	−0.5	13.0	9.5	8.1	11.6	11.5	7.5	1.4	5.4
16	11.3	11.2	15.0	11.3	12.3	12.8	19.2	3.5	5.1	5.0	4.8	4.9	−0.5	10.4	8.3	7.6	11.2	10.1	7.4	1.8	10.4
17	10.6	12.6	15.0	9.5	10.4	6.1	13.4	2.5	4.6	4.6	6.2	4.9	−0.8	9.4	8.6	7.8	10.6	11.1	6.8	−2.5	9.0
18	9.5	12.2	12.6	10.4	7.8	1.5	17.2	2.2	3.2	3.0	2.2	3.5	−2.7	5.8	7.0	7.7	10.0	10.1	7.8	−0.3	9.4
19	12.0	11.6	11.7	13.3	14.8	8.2	19.2	0.3	1.3	2.1	2.9	3.0	−2.4	8.8	4.7	5.1	5.2	3.2	6.0	−5.3	5.2
20	12.2	9.7	12.2	11.3	18.0	6.0	11.4	1.3	1.6	3.2	−1.3	3.0	0.9	9.4	3.6	4.2	6.2	3.2	3.8	−2.7	7.8
21	12.2	10.9	13.5	13.2	17.2	6.0	12.2	2.5	4.0	4.0	2.2	3.9	−1.0	10.4	6.3	7.4	8.6	8.6	6.8	−3.2	9.2
22	11.0	11.0	12.0	13.2	9.9	6.5	11.4	2.0	2.7	4.4	3.1	3.7	3.0	10.6	5.6	5.7	7.6	5.1	5.2	−2.3	8.0
23	12.2	11.8	11.0	14.7	10.1	5.1	16.4	5.3	5.1	5.0	6.2	5.1	7.9	11.4	5.3	6.8	7.5	7.8	6.1	−1.7	8.4
24	11.6	11.4	11.2	12.9	8.9	5.0	18.2	4.9	5.1	6.6	6.5	5.5	−2.0	15.4	6.8	7.6	9.7	9.1	7.1	−1.5	5.4
25	10.1	12.8	12.0	12.9	9.7	1.0	18.4	0.5	1.2	3.2	2.4	1.0	−5.6	8.4	7.4	7.4	9.0	9.0	6.3	−0.8	9.2
26	14.0	12.3	12.4	17.1	11.2	9.0	18.4	−2.2	0.0	0.2	1.3	−1.7	−6.2	8.4	6.2	6.5	7.6	8.6	6.1	−2.3	9.2
27	14.4	15.4	16.4	15.9	12.1	8.5	15.4	−0.2	−1.6	0.0	1.7	−1.2	−0.5	7.4	6.4	6.1	9.4	8.2	7.0	1.9	**14.8**
28	11.3	10.9	14.5	9.2	12.5	7.0	16.4	−1.9	−1.5	−0.6	0.2	−0.7	2.7	8.4	10.6	9.3	9.4	**12.9**	8.4	5.6	11.4
29	6.6	8.1	9.0	9.0	6.5	2.2	17.4	−3.0	−3.0	0.6	0.3	−0.6	3.1	5.2	**11.1**	**10.5**	**12.4**	11.5	11.4	6.9	11.8
30	9.2	7.9	13.0	9.0	7.2	7.4	13.2	2.2	1.6	2.2	5.6	2.3	1.3	4.2	9.0	8.8	9.2	10.8	10.3	0.3	5.4
31	5.6	7.6	7.5	6.7	5.7	5.8	8.8								2.1	3.7	5.0	5.7	4.5	−3.2	11.8
Mittel	11.9	12.4	13.3	13.8	12.6	8.9	18.0	5.2	5.2	6.5	7.6	6.0	4.0	11.2	6.0	5.9	7.4	7.6	6.6	1.6	8.7

Monats- und Jahresübersichten sämtlicher schweiz. meteorologischen Stationen

In die hier folgenden Uebersichten werden die Beobachtungsresultate aller schweizerischen Stationen, soweit es die Zuverlässigkeit und Vollständigkeit derselben gestatten, aufgenommen. Zu beachten ist:

1. Die Minima und Maxima bei Luftdruck, Temperatur und die Minima bei der relativen Feuchtigkeit sind stets den üblichen Terminbeobachtungen entnommen (7^{30} 13^{30} 21^{30}, resp. 7^{30} 13^{30} 20^{30}).
2. Die Monatsmittel der Temperatur werden aus den 3 Terminbeobachtungen in der Weise abgeleitet, daß der Abendbeobachtung (21^{30}) das doppelte Gewicht beigelegt ist $[m = \frac{1}{4} (7^{30} + 13^{30} + 2 \cdot 21^{30})]$. Bei den wenigen Stationen, die eine andere Kombination der Beobachtungsstunden haben, wird eine nach den stündlichen Werten von Bern und Säntis berechnete Reduktion angebracht.
3. Als Tage mit Niederschlag werden diejenigen gezählt, an denen wenigstens 0.3mm gemessen wurden. Eine zweite Rubrik enthält die Zahl der Tage mit Niederschlagsmengen von mindestens 1.0mm.
4. Für die Zählung der Tage mit Gewittern werden nur die Gewitter berücksichtigt, welche über der Beobachtungsstation selbst niedergehen oder in höchstens 3 km Distanz an ihr vorüberziehen (Nahgewitter). Tage mit mehreren Gewittern werden als «Gewittertage» nur einfach gezählt.
5. Als heitere (trübe) Tage werden solche bezeichnet, deren mittlere Bewölkung < 2 (> 8) Zehntel ist.
6. Bei der Uebersicht der Windverteilung wird nur die Häufigkeit der verschiedenen Windrichtungen mit Index $> o$ berücksichtigt.
7. λ bezeichnet die geographische Länge in Graden von Greenwich, β die geographische Breite, H_b die Höhe des Stationsbarometers über dem Meer in Metern, H die Höhe der Station (des Regenmessers) über Meer, G ist die Korrektion, welche an den Luftdruckdaten für deren Reduktion auf die Normalschwere (45° Breite und das Meeresniveau) noch anzubringen ist, h_r die Höhe des oberen Randes des Regenmessers über dem Erdboden. Die Stationen, bei denen die Höhe (des Barometergefäßes) bis auf den Dezimeter angegeben ist, sind an das schweizerische Präzisionsnivellement angeschlossen. Alle Höhen sind auf Pierre du Niton 373.6m bezogen.

NB. Die Schwerekorrektionen *(G)* sind vom Jahrgang 1936 an auf Grund neuer Berechnungen von Herrn Prof. Niethammer, Basel, eingesetzt worden.

Reihenfolge der Gebiete: Nordostschweiz, Zentralschweiz, Jura, Oberes Aare- und Saanegebiet, Südwestschweiz, Graubünden, Tessin.

Zürich-MZA

$\lambda = 8° 34'$, $\beta = 47° 23'$, $H_b = 569.4$ m, $G = 0.02$ mm, $h_r = 1.5$ m

1955	Luftdruck					Luft-Temperatur								Relative Feuchtigkeit					
	Mittel	Minimum	Tag	Maximum	Tag	7^{30}	13^{30}	21^{30}	Mittel	Minimum	Tag	Maximum	Tag	7^{30}	13^{30}	21^{30}	Mittel	Minimum	Tag
Januar	707.8	692.4	16	717.0	24	−1.4	0.8	−0.4	−0.4	−8.6	20	10.4	12	94	85	91	90	53	19. 21
Februar	703.8	689.5	19	715.2	7	−0.5	2.3	0.0	0.4	−7.8	19	10.5	8	86	74	88	83	50	1. 15
März	709.6	697.2	21	718.6	3. 4	−0.5	5.2	1.8	2.1	−6.8	8	20,9	24	85	60	78	74	41	23. 24
April	715.2	710.1	24	722.5	12	5.5	13.2	8.0	8.7	−1.1	1	25.2	30	80	51	67	66	36	1. 21
Mai	713.2	706.5	2	721.8	22	10.1	15.6	10.7	11.8	3.3	19	25.4	6	78	55	74	69	34	9
Juni	712.8	699.2	9	720.6	22	13.7	20.5	14.5	15.8	6.9	11	27.7	25	85	58	82	75	35	1
Juli	713.0	706.6	26	716.9	6	15.5	20.6	16.4	17.2	11.0	6	30.9	18	89	66	87	81	43	18. 19
August	713.8	709.2	7	718.1	16	14.3	20.6	15.5	16.5	10.2	8	25.9	23	87	57	84	76	39	18
September	714.0	701.7	14	719.3	30	11.3	17.7	12.5	13.5	5.4	29	24.4	3	93	61	90	81	46	3
Oktober	712.2	698.9	21	719.0	25	6.0	11.0	7.1	7.8	−2.2	30	16.7	3	92	63	88	81	44	29
November	714.3	705.4	24	721.2	27	0.8	5.1	2.3	2.6	−7.5	26	15.0	5	93	71	88	84	52	15
November	710.6	695.0	15	724.5	5	2.5	5.0	3.5	3.6	−3.3	1	11.3	28	89	77	86	84	45	30
Jahr	711.7	689.5	II	724.5	XII	6.4	11.5	7.7	8.3	−8.6	I	30.9	VII	88	65	84	79	34	V

Zürich-BG

$\lambda = 8° 32'$, $\beta = 47° 22'$, $H_b = 410.6$ m, $G = 0.05$ mm, $h_r = 1.5$ m

Januar	722.0	705.8	16	731.5	24	−0.3	1.6	0.8	0.7	−9.5	20	11.6	12	88	78	85	84	52	19
Februar	717.7	703.3	19	729.4	7	0.7	3.4	1.2	1.6	−6.0	19	11.7	8	80	70	82	77	47	15
März	723.6	710.9	21	733.0	4	0.3	6.7	2.9	3.2	−5.1	4	22.2	24	80	55	72	69	33	24
April	729.0	723.4	24	736.2	12	6.0	14.8	8.9	9.6	0.0	1	26.8	29. 30	77	46	66	63	29	20. 21
Mai	726.7	719.5	17	735.6	22	11.4	17.5	11.9	13.2	4.7	19	27.1	6	72	49	70	64	30	9
Juni	726.1	712.0	9	733.9	22	15.1	22.1	15.8	17.2	8.1	12	29.6	25	77	51	76	68	32	1
Juli	726.4	720.2	26	730.9	6	16.8	22.0	17.9	18.6	12.2	7. 8	32.2	18	84	62	82	76	39	18
August	727.3	722.9	7. 12	731.8	16	15.2	22.5	16.9	17.9	11.0	10	28.4	23	86	53	81	73	36	24
September	727.7	715.4	14	733.4	30	12.3	19.4	13.6	14.7	6.8	30	25.9	3	90	57	88	78	43	17
Oktober	726.0	712.3	21	733.1	25	7.0	12.4	8.1	8.9	−1.5	30	19.5	3	91	59	87	79	44	27
November	728.6	719.7	24	735.9	27	2.1	5.7	3.3	3.6	−6.0	26	14.6	5	89	69	84	81	48	15
Dezember	724.7	708.4	15	738.8	5	3.5	5.6	4.4	4.5	−2.3	1	11.3	28. 29	87	76	84	82	56	10
Jahr	725.5	703.3	II	738.8	XII	7.5	12.8	8.8	9.5	−9.5	I	32.2	VII	83	60	80	74	29	IV

Baden

$\lambda = 8° 19'$, $\beta = 47° 29'$, $H_b = 386.6$ m, $G = 0.08$ mm, $h_r = 1.5$ m

Januar	724.4	708.5	16	734.0	24	−0.5	1.5	0.4	0.4	−10.8	20	10.6	16	90	81	87	86	65	3
Februar	720.3	706.1	19	731.9	7	0.0	3.4	0.4	1.1	−6.0	17	12.0	8	89	74	86	83	60	15. 18
März	726.2	713.6	21	735.7	3. 4	0.0	6.3	2.0	2.6	−6.0	4	20.9	24	87	60	78	75	42	27
April	731.5	726.2	24	739.0	12	5.5	14.8	8.1	9.1	−1.2	1	26.6	29	89	55	76	73	38	20
Mai	729.2	721.5	2	738.5	22	10.9	17.3	10.7	12.4	4.7	22	26.8	1. 6	83	59	82	75	40	9
Juni	728.5	714.7	9	736.0	23	14.8	21.2	15.4	16.7	7.8	12	27.1	24	88	62	85	78	37	1
Juli	728.5	722.2	26	733.2	7	16.8	22.3	17.2	18.4	11.8	8	31.1	18	89	67	86	81	50	5
August	729.6	724.9	12	734.2	16	14.6	21.6	15.6	16.9	10.2	9. 10	26.4	20	93	64	88	82	47	24
September	729.9	717.7	14	736.2	30	11.8	18.0	12.8	13.9	5.9	30	24.4	3	93	69	87	83	53	2
Oktober	728.3	715.0	21	735.3	8. 25	6.3	11.2	7.1	7.9	−3.8	30	16.1	15	93	69	87	83	50	31
November	730.9	721.8	24	738.6	27	2.0	5.3	2.8	3.2	−7.6	26	14.0	5	90	75	84	83	50	2
Dezember	727.1	711.1	15	741.4	5	3.0	5.5	3.7	4.0	−2.7	2	10.4	29	92	80	89	87	53	30
Jahr	727.9	706.1	II	741.4	XII	7.1	12.4	8.0	8.9	−10.8	I	31.1	VII	90	68	85	81	37	VI

Winterthur

$\lambda = 8° 45'$, $\beta = 47° 30'$, $H =$ ca 485 m, $G = -$ mm, $h_r = 1.5$ m

Januar	—	—	—	—	—	−0.9	0.8	−0.2	−0.1	−13.4	20	10.6	16	85	78	85	83	49	19
Februar	—	—	—	—	—	−0.5	2.6	0.0	0.5	−7.2	19	9.8	8	87	68	84	80	45	13. 15
März	—	—	—	—	—	−0.5	5.6	1.7	2.1	−8.4	8	19.8	24	75	52	68	65	30	23
April	—	—	—	—	—	5.3	13.0	7.7	8.4	−2.2	1	23.8	29	76	42	60	59	25	24
Mai	—	—	—	—	—	10.5	16.1	10.3	11.8	5.2	19	24.3	6	71	49	70	63	30	24
Juni	—	—	—	—	—	14.0	19.8	14.5	15.7	7.2	11. 12	26.7	25	85	59	85	76	31	1
Juli	—	—	—	—	—	15.9	20.0	16.7	17.3	11.4	7	29.0	18	89	71	86	82	44	18
August	—	—	—	—	—	14.3	20.3	15.4	16.3	10.0	10	25.0	23	89	63	88	80	45	18. 24
September	—	—	—	—	—	11.4	16.7	12.3	13.2	5.7	30	22.7	3	93	69	91	84	51	23
Oktober	—	—	—	—	—	6.0	10.7	6.9	7.6	−3.8	30	16.8	3	92	70	89	84	50	27
November	—	—	—	—	—	1.1	5.0	2.4	2.7	−9.5	28	14.0	5	89	76	87	84	59	16
Dezember	—	—	—	—	—	2.6	5.2	3.4	3.7	−3.5	1	9.2	28. 29	90	79	89	86	45	30
Jahr	—	—	—	—	—	6.6	11.3	7.6	8.3	−13.4	I	29.0	VII	85	65	82	77	25	IV

Beobachter: **Meteorolog. Zentralanstalt**

Zürich-MZA

Bewölkung				Termine mit Nebel				Niederschlag			Zahl der Tage								Windverteilung								1955
7^{30}	13^{30}	21^{30}	Mittel	7^{30}	13^{30}	21^{30}	Total	Summe	Maximum	Tag	●	●≥1.0	✳	▲	⛆	≡	heiter	trüb	N	NE	E	SE	S	SW	W	NW	Calmen	
9.3	9.0	9.0	9.1	12	4	4	20	145	25	11	13	13	6	—	—	14	1	26	13	23	4	—	17	19	8	4	5	Januar
9.3	8.8	7.9	8.7	4	3	3	10	98	25	8	16	15	12	—	—	10	—	19	9	12	2	4	18	23	12	3	1	Februar
7.3	6.8	5.9	6.7	1	—	—	1	44	12	26	11	7	6	—	1	3	2	14	18	28	9	1	14	17	6	—	—	März
5.2	5.8	5.2	5.4	—	—	—	—	40	18	8	13	8	2	—	2	—	8	9	11	15	5	5	15	12	11	5	11	April
6.0	6.2	6.1	6.1	—	—	—	—	143	31	27	15	13	—	—	3	—	4	9	6	10	5	2	24	22	18	5	1	Mai
6.7	6.2	7.8	6.9	—	—	—	—	142	34	7	16	13	—	—	5	2	2	11	12	21	4	7	12	10	10	7	7	Juni
8.6	6.5	8.2	7.8	—	—	—	—	210	48	13	20	18	—	—	8	—	1	17	11	19	2	4	23	12	13	5	4	Juli
6.0	5.5	6.4	6.0	1	—	—	1	79	18	27	13	11	—	—	7	1	3	7	11	17	6	6	26	9	7	3	8	August
8.1	5.2	5.4	6.2	6	—	—	6	83	16	9	13	10	—	—	—	7	2	11	8	17	5	5	16	13	9	5	12	September
8.6	6.4	6.0	7.0	5	—	—	5	38	13	4	11	9	—	—	—	8	1	15	8	24	9	5	14	9	13	4	7	Oktober
8.6	7.4	7.4	7.8	10	2	6	18	11	5	24	6	4	2	—	—	15	—	18	14	30	5	4	11	7	6	2	11	Dezember
8.8	8.1	8.5	8.5	3	3	4	10	127	19	10	22	20	2	—	—	9	1	21	6	8	2	3	23	32	13	2	4	Dezember
7.7	6.8	7.0	7.2	42	12	17	71	1160	48	VII	169	141	30	—	26	69	25	177	127	224	58	46	213	185	126	45	71	Jahr

Beobachter: **Botanischer Garten.**

Zürich-BG

9.2	8.8	8.7	8.9	4	1	2	7	140	23	11	13	13	5	—	—	4	1	25	—	—	—	—	—	—	—	—	—	Januar
8.9	8.3	7.7	8.3	—	—	—	—	116	28	8	16	15	9	1	—	—	—	16	—	—	--	—	—	—	—	—	—	Februar
6.4	5.8	5.0	5.7	—	—	—	—	43	12	26	11	8	6	—	1	—	4	9	—	—	—	—	—	—	—	—	—	März
4.6	5.1	4.9	4.9	—	—	—	—	45	25	8	12	10	1	—	2	—	8	8	—	—	—	—	—	—	—	—	—	April
4.9	6.2	5.4	5.5	—	—	—	—	132	25	17. 27	14	12	—	—	3	—	5	7	—	—	--	—	—	—	—	—	—	Mai
6.1	6.1	7.3	6.5	1	—	—	1	139	42	7	14	13	—	—	5	1	2	10	—	—	—	—	—	—	—	—	—	Juni
8.2	6.7	7.7	7.5	—	—	—	—	224	53	13	18	17	—	—	4	—	3	19	—	—	—	—	—	—	—	—	—	Juli
5.7	5.2	5.2	5.4	—	—	—	—	65	17	27	13	10	—	1	4	—	6	6	—	—	—	—	—	—	—	—	—	August
8.0	5.2	5.0	6.1	1	—	—	1	78	17	9	12	11	—	—	—	1	2	8	—	—	--	—	—	—	—	—	—	September
7.8	5.9	5.3	6.3	4	—	—	4	35	11	6	10	9	—	—	—	4	2	11	—	—	—	—	—	—	—	—	—	Oktober
9.4	7.8	7.1	8.1	8	—	5	13	14	9	24	7	3	2	—	—	9	1	16	—	—	—	—	—	—	—	—	—	November
8.3	7.8	8.3	8.1	3	1	3	7	134	19	10	21	21	1	—	—	5	—	16	—	—	—	—	—	—	—	—	—	Dezember
7.3	6.6	6.5	6.8	21	2	10	33	1165	53	VII	161	142	24	2	19	24	34	151	—	—	—	—	—	—	—	—	—	Jahr

Beobachter: **Nordostschweiz. Kraftwerke**

Baden

9.5	8.7	9.1	9.1	2	—	2	4	150	34	11	14	13	5	—	—	4	1	24	34	5	8	1	—	6	24	7	8	Januar
9.8	8.6	7.4	8.6	3	—	—	3	114	21	8	17	16	8	—	—	3	—	19	3	5	12	1	—	9	37	10	7	Februar
6.9	5.7	4.7	5.8	—	—	—	—	41	15	26	9	5	1	—	1	—	5	8	7	29	12	—	—	18	15	4	8	März
4 6	5.0	3.9	4.5	—	—	—	—	10	3	8	9	5	1	—	—	—	9	7	27	9	—	—	—	2	30	13	9	April
5.1	5.6	5.2	5.3	—	—	—	—	95	34	17	17	12	—	—	2	—	5	7	15	6	3	—	—	11	31	19	8	Mai
6.8	5.7	6.6	6.4	—	—	—	—	158	26	17	18	15	—	—	3	—	3	12	24	2	1	—	—	10	26	18	9	Juni
8.0	6.3	7.4	7.2	2	—	—	2	121	20	22	18	17	—	—	5	2	3	13	28	4	—	—	2	7	25	16	11	Juli
6.8	5.6	5.2	5.9	3	—	—	3	114	34	7	11	10	—	—	2	3	3	8	17	6	8	—	1	7	26	11	17	August
9.4	5.5	4.2	6.4	13	1	—	14	80	17	14	12	11	—	—	—	13	1	9	32	1	—	—	—	3	21	23	10	September
8.6	5.5	5.2	6.4	8	—	1	9	29	10	6	8	6	—	—	—	9	1	10	25	19	6	—	—	1	16	14	12	Oktober
8.9	7.7	7.9	8.2	8	3	7	18	21	10	24	6	5	1	—	—	10	1	18	10	28	2	—	—	14	15	14	7	November
9.6	7.5	9.0	8.7	3	1	4	8	114	14	14	21	20	2	—	—	4	—	21	16	4	—	—	—	5	58	6	4	November
7.8	6.5	6.3	6.9	42	5	14	61	1047	34	I	160	135	18	—	13	48	32	156	238	118	52	2	3	93	324	155	110	Jahr

Beobachter: **A. Meyer**

Winterthur

9.2	8.8	9.2	9.1	3	—	4	7	165	35	11	15	11	4	—	—	4	1	25	1	11	4	3	3	—	—	—	71	Januar
8.8	8.4	7.7	8.3	1	—	—	1	120	22	8	19	17	10	—	—	1	—	19	2	4	4	4	10	1	—	—	59	Februar
6.6	5.7	4.4	5.6	—	—	—	—	43	11	26	12	8	4	—	1	—	3	7	—	12	8	—	1	—	—	-	72	März
4.8	4.9	4.6	4.8	—	—	—	—	37	12	8	9	9	2	—	—	—	7	5	—	2	2	4	2	—	—	—	80	April
5.5	6.1	4.7	5.4	—	—	—	—	118	26	17	17	14	—	—	3	—	4	4	—	3	8	8	5	—	1	—	68	Mai
6.2	5.5	6.3	6.0	—	—	—	—	154	34	7	15	13	—	—	2	—	2	5	1	3	5	1	2	—	—	—	78	Juni
8.1	6.8	7.2	7.4	1	—	—	1	147	21	21	22	17	—	—	2	1	2	15	1	3	1	—	1	—	—	—	87	Juli
5.3	5.2	5.3	5.3	1	—	—	1	86	22	27	13	12	—	—	3	1	4	5	—	2	—	—	—	—	—	—	91	August
8.1	4.9	4.8	5.9	6	—	—	6	86	16	6	12	11	—	—	—	6	3	8	2	3	6	1	—	—	—	—	78	September
8.2	5.9	5.5	6.5	7	—	—	7	33	10	6	13	9	—	—	—	7	1	11	—	5	1	3	—	—	—	—	84	Oktober
8.2	6.7	6.4	7.1	6	—	2	8	10	5	24	7	3	1	—	—	8	2	10	1	4	2	—	—	—	—	—	83	November
8.5	7.8	8.4	8.2	2	—	2	4	139	20	10	21	20	2	—	—	3	1	19	—	—	3	13	5	1	—	—	71	Dezember
7.3	6.4	6.2	6.6	27	—	8	35	1138	35	I	175	144	23	—	11	31	30	133	8	52	44	37	29	2	1	—	922	Jahr

Frauenfeld

$\lambda = 8° 54'$, $\beta = 47° 34'$, $H_b = 432.9^m$, $G = 0.06$ ‰, $h_r = 68.8^m$

1955	Luftdruck					Luft-Temperatur								Relative Feuchtigkeit					
	Mittel	Minimum	Tag	Maximum	Tag	7^{30}	13^{30}	21^{30}	Mittel	Minimum	Tag	Maximum	Tag	7^{30}	13^{30}	21^{30}	Mittel	Minimum	Tag
Januar	720.6	704.4	16	730.2	24	-1.2	0.5	-0.5	-0.4	-12.6	20	11.3	16	88	82	88	86	50	3
Februar	716.2	702.8	19	727.9	7. 28	-0.6	2.5	0.1	0.5	-7.6	18	10.2	8	89	69	86	81	41	15
März	722.3	709.7	21	731.7	4	-0.8	5.1	1.9	2.0	-8.4	8	19.8	25	82	52	71	68	30	24
April	727.7	722.0	24	735.2	12	5.8	12.8	7.9	8.6	-2.4	1	23.8	30	77	41	63	60	24	24
Mai	725.4	718.3	15	734.5	22	11.5	16.5	10.8	12.4	4.7	22	25.2	6	73	49	76	66	26	24
Juni	724.9	710.7	9	732.4	22	14.8	20.5	15.0	16.3	5.7	12	27.1	25	81	56	85	74	30	1
Juli	724.9	717.8	26	729.2	6	16.4	21.1	17.1	17.9	11.2	7	29.8	18	88	66	85	80	41	18
August	725.9	721.2	7	730.5	16	14.6	20.7	15.8	16.7	9.3	10	25.3	23	88	61	88	79	40	18
September	726.2	713.8	14	732.0	30	11.1	17.1	12.5	13.3	6.0	29	23.0	3. 4	95	68	91	85	51	17
Oktober	724.5	711.1	21	731.8	9	5.5	10.7	7.0	7.5	-4.3	30	15.4	15	94	69	90	84	42	31
November	727.1	717.9	24	734.4	27	1.1	4.5	2.2	2.5	-8.0	26	14.0	5	91	79	88	86	56	16
Dezember	723.0	706.5	15	737.9	5	2.4	5.0	3.4	3.6	-3.3	2	9.5	28. 29	90	80	90	87	45	30
Jahr	724.1	702.8	II	737.9	XII	6.7	11.4	7.8	8.4	-12.6	I	29.8	VII	86	64	83	78	24	IV

Kreuzlingen

$\lambda = 9° 10'$, $\beta = 47° 39'$, $H_b = 445.6^m$, $G = 0.06$ ‰, $h_r = 1.5^m$

Januar	719.2	704.4	16	728.9	24	-1.3	0.3	-0.7	-0.6	-8.6	19	10.4	16	92	85	90	89	60	3
Februar	714.9	700.4	19	726.4	28	-0.2	2.6	0.3	0.8	-6.8	19	10.1	8	91	76	90	86	50	15
März	720.8	709.0	21	730.0	3. 4	-0.5	4.7	1.8	1.9	-7.6	8	19.0	24	87	66	76	76	45	25. 26
April	726.0	720.3	24	733.8	12	5.7	12.1	7.2	8.0	-0.2	1	22.8	30	82	55	72	70	30	20
Mai	723.9	716.7	15	732.7	22	10.5	15.8	10.1	11.6	3.8	22	22.8	1	80	56	77	71	34	8
Juni	723.3	710.3	9	730.8	22. 23	14.0	20.1	14.3	15.7	7.6	11	26.0	24. 25	84	58	82	75	26	1
Juli	723.4	717.0	27	727.7	6	16.1	20.6	16.6	17.5	10.3	7	27.2	18	88	68	87	81	48	1
August	724.4	719.8	12	728.9	16	15.1	20.2	15.3	16.5	11.0	8	24.2	20	87	64	90	80	48	6
September	724.6	713.2	14	730.4	30	11.9	16.1	12.3	13.2	6.4	15	23.0	4	95	73	93	87	55	17
Oktober	723.1	710.5	21	730.1	9	6.3	10.7	7.3	7.9	-1.8	29. 30	16.6	15	95	70	92	86	49	31
November	725.5	717.2	24	733.0	27	2.0	4.8	2.7	3.0	-7.2	27	13.4	5	92	79	91	87	59	15
Dezember	721.5	706.1	15	736.2	5	2.6	4.7	3.1	3.4	-3.0	7	9.6	24	93	83	94	90	47	30
Jahr	722.6	700.4	II	736.2	XII	6.8	11.1	7.5	8.2	-8.6	I	27.2	VII	89	69	86	81	26	VI

Haidenhaus

$\lambda = 9° 01'$, $\beta = 47° 39'$, $H = 690^m$, $G = —$ ‰, $h_r = 1.5^m$

Januar	—	—	—	—	—	-2.7	-0.6	-2.1	-1.9	-8.3	20	8.9	16	97	91	95	94	56	19
Februar	—	—	—	—	—	-2.2	0.7	-1.9	-1.3	-9.1	28	8.4	1	93	81	95	90	56	15. 17
März	—	—	—	—	—	-1.5	2.7	-0.5	0.0	-8.1	8	17.4	25	84	62	82	76	30	15
April	—	—	—	—	—	5.0	9.3	5.5	6.3	-1.0	16. 17	21.2	29. 30	72	51	72	65	31	20
Mai	—	—	—	—	—	9.8	14.1	8.8	10.4	3.1	22	22.9	6	70	55	73	66	32	21
Juni	—	—	—	—	—	14.1	18.4	13.7	15.0	6.8	11. 12	24.2	25	79	60	82	74	37	1
Juli	—	—	—	—	—	15.5	19.2	15.3	16.3	9.0	7	26.4	18	87	71	88	82	50	18. 19
August	—	—	—	—	—	14.7	18.7	14.9	15.8	8.8	8	22.4	23	83	66	86	78	44	18
September	—	—	—	—	—	11.5	15.6	11.7	12.6	4.6	15	21.4	5	91	73	92	85	60	24
Oktober	—	—	—	—	—	5.4	9.6	6.0	6.8	-3.1	30	14.5	4	95	76	90	87	55	27
November	—	—	—	—	—	0.9	3.9	1.5	2.0	-8.0	28	14.2	6	94	81	92	89	61	6
Dezember	—	—	—	—	—	1.4	3.5	2.2	2.3	-3.6	1. 2	7.3	28	95	88	95	93	52	30
Jahr	—	—	—	—	—	6.1	9.6	6.2	7.0	-9.1	II	26.4	VII	87	71	87	82	30	III

St. Gallen

$\lambda = 9° 25'$, $\beta = 47° 26'$, $H_b = 663.6^m$, $G = 0.00$ ‰, $h_r = 1.5^m$

Januar	700.2	686.2	16	708.3	24	-2.3	-0.1	-1.3	-1.3	-10.9	20	9.9	11. 16	91	88	93	91	56	16. 19
Februar	696.3	681.9	19	706.4	7	-1.3	1.2	-0.9	-0.5	-12.6	19	13.0	1	81	74	81	79	31	1
März	701.8	690.3	21	709.9	3	-1.5	3.0	0.2	0.5	-9.8	7	20.1	24	82	65	74	74	27	23
April	707.0	702.5	24	714.1	12	5.3	9.7	6.3	6.9	-2.5	1	21.1	30	75	56	63	65	33	20. 24
Mai	705.4	699.4	17	713.5	22	10.2	13.7	9.0	10.5	1.6	19	21.5	6	73	63	81	72	38	13
Juni	705.2	693.2	9	712.1	23	13.8	18.4	13.3	14.7	6.6	11	24.8	25	85	67	89	80	41	9
Juli	705.2	700.2	26	709.2	6	15.0	18.7	15.2	16.0	9.2	7	27.6	18	90	77	89	85	48	19
August	706.1	702.1	7	710.1	16	13.9	19.1	14.1	15.3	7.8	9	23.3	23	86	70	89	82	54	5
September	706.2	695.1	14	711.0	29	10.6	16.1	11.2	12.3	4.2	29. 30	22.9	3	92	74	91	86	50	16
Oktober	704.5	693.3	21	710.9	25	5.3	10.3	6.4	7.1	-4.5	29	15.9	3	92	74	90	85	35	20
November	706.3	697.7	24	712.6	27	0.1	4.6	1.8	2.1	-9.8	27	18.1	7	94	78	89	87	59	9
Dezember	702.8	687.9	15	716.2	5	2.1	4.7	2.8	3.1	-4.4	2	10.6	28	86	78	85	83	33	7
Jahr	703.9	681.9	II	716.2	XII	5.9	9.9	6.5	7.2	-12.6	II	27.6	VII	86	72	85	81	27	III

Beobachter: S. Dannacher

Frauenfeld

Bewölkung				Termine mit Nebel				Niederschlag			Zahl der Tage								Windverteilung								1955
7³⁰	13³⁰	21³⁰	Mittel	7³⁰	13³⁰	21³⁰	Total	Summe	Maximum	Tag	● *	●, ≧1.0	*	▲	⛆	≡	heiter	trüb	N	NE	E	SE	S	SW	W	NW	Calmen	
9.5	9.1	9.5	9.4	4	3	2	9	134	29	11	12	11	4	—	—	5	—	28	1	22	10	—	1	13	1	—	45	Januar
9.4	9.1	9.0	9.2	2	—	—	2	101	16	8	21	17	12	—	—	2	—	22	2	9	5	—	2	23	6	—	37	Februar
8.0	6.7	7.6	7.4	2	—	—	2	43	12	27	11	8	6	—	1	2	—	13	3	18	15	3	4	10	7	—	33	März
5.6	5.4	5.7	5.6	1	—	—	1	35	12	8	8	7	1	—	—	1	7	11	4	10	6	2	2	14	7	1	44	April
6.3	6.2	5.8	6.1	—	—	—	—	97	20	27	16	14	—	1	1	—	4	9	2	8	7	2	4	18	12	3	37	Mai
6.4	6.5	7.9	6.9	—	—	—	—	141	49	26	17	14	—	1	2	—	1	10	5	13	7	4	3	7	5	3	43	Juni
8.6	6.9	8.3	7.9	1	—	—	1	121	23	20	22	17	—	—	1	1	2	20	1	8	7	4	2	7	5	2	57	Juli
7.1	5.8	7.6	6.8	5	—	—	5	92	23	3	14	10	—	—	4	5	3	11	3	11	8	4	3	5	2	2	55	August
9.7	5.3	5.1	6.7	11	—	—	11	80	14	6	12	12	—	—	—	11	—	11	4	6	5	5	4	7	4	—	55	September
8.7	6.5	6.7	7.3	5	—	—	5	29	7	4	13	9	—	—	—	5	2	16	—	5	12	3	5	13	3	—	52	Oktober
8.6	8.0	8.2	8.3	7	2	5	14	8	4	24	5	1	1	—	—	10	2	24	—	11	11	5	1	4	1	—	57	November
9.0	8.3	9.6	9.0	4	1	3	8	105	16	10	21	17	1	—	—	8	—	24	—	5	7	1	—	26	5	1	48	Dezember
8.1	7.0	7.6	7.6	42	6	10	58	986	49	VI	172	137	25	2	9	50	21	199	25	126	100	33	31	147	58	12	563	Jahr

Beobachter: Fam. Zwick

Kreuzlingen

9.7	8.6	7.2	8.5	7	6	5	18	127	30	11	12	10	6	—	—	9	1	21	9	6	12	2	—	11	11	8	34	Januar
9.1	8.9	7.1	8.4	2	—	—	2	115	22	8	19	16	11	—	—	2	—	18	—	3	1	—	3	23	19	3	32	Februar
7.6	5.9	4.5	6.0	2	—	—	2	33	8	28	10	8	5	—	—	2	2	6	10	17	4	2	1	11	7	4	37	März
5.1	5.5	4.4	5.0	2	—	—	2	26	8	8	9	6	—	—	—	2	7	1	5	8	5	3	—	8	5	9	47	April
6.0	6.5	5.2	5.9	1	—	—	1	88	14	27	16	14	—	—	1	1	5	9	3	6	2	2	1	15	22	6	36	Mai
7.1	5.9	6.3	6.4	2	—	—	2	103	41	7	16	13	—	—	3	2	2	7	9	6	2	1	3	4	13	11	41	Juni
8.5	6.9	7.4	7.6	1	—	—	1	188	42	4	19	16	—	—	4	1	1	19	4	3	2	—	—	15	6	8	55	Juli
6.5	5.9	4.6	5.7	3	—	—	3	77	14	1	11	9	—	1	3	3	5	7	11	—	4	2	3	7	8	6	52	August
8.8	5.5	4.3	6.2	9	—	—	9	68	13	10	12	12	—	—	—	9	1	8	3	3	1	—	—	8	3	9	63	September
8.1	5.8	4.5	6.1	5	1	1	7	24	6	6	12	8	—	—	—	7	1	8	—	4	2	—	—	18	4	3	62	Oktober
9.2	7.3	4.4	7.0	12	5	2	19	12	3	23	9	3	—	—	—	12	1	12	7	6	1	—	—	2	2	3	69	November
9.2	8.2	8.2	8.5	4	1	2	7	121	19	10	21	17	—	—	—	5	—	21	—	—	—	—	3	14	13	1	62	Dezember
7.9	6.7	5.7	6.8	50	13	10	73	982	42	VII	166	132	22	1	11	55	26	137	61	62	36	12	14	136	113	71	590	Jahr

Beobachter: A. Mächler

Haidenhaus

9.6	8.7	9.3	9.2	7	6	5	18	115	30	12	10	9	3	—	—	8	—	25	9	47	—	10	—	16	2	9	—	Januar
9.6	8.6	9.2	9.1	—	—	—	—	126	32	8	18	17	16	—	—	—	—	24	5	19	2	4	—	36	2	16	—	Februar
9.7	5.4	8.8	8.0	—	—	—	—	41	11	28	12	9	7	—	—	—	—	12	9	48	—	—	—	36	—	—	—	März
8.9	6.1	7.9	7.6	—	—	—	—	27	?	—	9	6	2	—	—	—	—	16	13	29	—	—	—	48	—	—	—	April
6.6	5.5	6.4	6.2	—	—	—	—	101	?	—	15	13	—	—	—	—	2	8	1	17	—	—	—	55	1	19	—	Mai
8.1	6.4	6.9	7.1	2	—	1	3	126	50	7	16	13	—	1	3	3	—	11	7	25	1	10	—	17	2	28	—	Juni
9.1	9.0	8.3	8.1	2	—	—	2	222	35	4	18	16	—	—	5	2	1	18	4	28	2	—	—	23	7	29	—	Juli
7.6	6.2	7.8	7.2	—	—	—	—	59	19	7	13	13	—	—	1	—	—	13	2	40	—	—	—	25	—	26	—	August
8.8	5.9	7.4	7.4	5	—	—	5	75	13	10	12	11	—	—	--	5	—	11	1	26	—	9	—	27	2	25	—	September
8.8	6.4	8.5	7.9	6	1	2	9	34	8	6	10	7	—	—	—	8	—	17	5	23	—	—	—	30	12	23	—	Oktober
9.2	7.4	8.2	8.3	4	3	2	9	13	—	—	5	4	2	—	—	6	—	18	18	28	12	10	—	11	2	9	—	November
9.7	8.8	9.2	9.2	6	5	3	14	122	18	15	17	17	3	—	—	8	—	26	—	—	—	—	—	69	—	24	—	Dezember
8.8	7.0	8.2	8.0	32	15	13	60	1061	50	VI	155	135	33	1	9	40	3	199	74	330	17	43	—	393	30	208	—	Jahr

Beobachter: Botanischer Garten

St. Gallen

8.6	9.2	8.6	8.8	13	15	14	42	145	32	12	15	12	8	—	—	17	1	24	3	3	1	1	1	7	3	1	73	Januar
9.2	9.0	7.4	8.5	7	4	2	13	128	31	8	19	17	16	—	—	8	—	19	4	1	—	1	3	14	17	2	42	Februar
7.9	7.2	5.2	6.8	4	2	1	7	85	27	27	15	9	10	1	1	5	2	11	10	12	2	—	—	12	8	1	48	März
4.9	6.1	5.6	5.5	—	—	—	—	79	19	8	12	9	2	—	1	—	8	12	15	13	2	—	—	12	13	1	34	April
5.7	5.8	5.1	5.5	2	—	—	2	176	30	2	19	16	1	—	3	3	5	8	17	7	—	1	3	15	23	4	23	Mai
6.7	5.6	7.5	6.6	1	—	—	1	150	33	7	21	16	—	1	3	2	3	11	12	6	—	2	1	12	7	4	46	Juni
8.9	7.2	7.6	7.9	3	—	1	4	213	29	29	19	15	—	—	5	4	2	20	5	7	1	—	—	8	9	2	61	Juli
6.5	5.1	5.5	5.7	1	—	—	1	173	82	31	13	11	—	—	7	1	5	11	6	5	2	—	2	6	7	3	62	August
6.9	5.8	5.4	6.0	2	2	1	5	150	41	4	14	13	—	1	2	6	6	9	7	3	—	—	—	13	3	2	62	September
8.0	6.4	5.2	6.5	6	—	—	6	49	10	28	13	11	1	—	—	7	2	13	3	3	1	1	—	9	6	—	70	Oktober
7.2	7.4	6.0	6.9	6	5	3	14	27	14	24	5	5	3	—	—	8	2	12	4	7	—	—	—	4	3	—	72	November
8.3	7.9	7.5	7.9	7	4	4	15	117	16	11	19	19	2	—	—	11	2	16	1	—	—	—	5	25	6	—	56	Dezember
7.4	6.9	6.4	6.9	52	32	26	110	1492	82	VIII	184	153	43	3	22	72	38	166	87	67	9	6	15	137	105	20	649	Jahr

Heiden

$\lambda = 9° 32'$, $\beta = 47° 27'$, $H_b = 811.4^m$, $G = -0.03$ ‰, $h_r = 1.5^m$

1955	Luftdruck					Luft-Temperatur								Relative Feuchtigkeit					
	Mittel	Minimum	Tag	Maximum	Tag	7^{30}	13^{30}	21^{30}	Mittel	Minimum	Tag	Maximum	Tag	7^{30}	13^{30}	21^{30}	Mittel	Minimum	Tag
Januar	687.2	673.2	16	695.6	24	−2.3	0.6	−1.0	−0.9	−12.7	19	9.9	31	91	84	86	87	40	31
Februar	683.1	667.7	19	693.6	7	−2.0	0.3	−2.2	−1.5	−12.9	12	11.9	1	84	78	88	83	39	1
März	688.8	676.8	21	697.0	3	−2.3	2.4	−1.4	−0.7	−12.1	7. 8	18.5	24	84	68	83	78	30	23
April	694.4	689.3	24	701.5	12	4.1	8.7	3.6	5.0	−4.1	1	20.1	30	*80	*60	*76	*72	—	—
Mai	692.8	686.0	15	700.6	8. 22	8.7	12.4	7.1	8.8	0.9	19 . 22	21.9	6	70	58	81	70	36	24
Juni	692.9	680.5	9	700.0	22	12.7	16.8	12.1	13.4	4.9	11	23.7	25	78	62	83	74	34	9
Juli	693.0	687.4	27	696.8	17	13.9	17.1	14.0	14.8	7.9	6. 7	25.9	18	87	75	86	83	46	18
August	693.9	689.3	7	698.0	16	12.9	17.2	12.3	13.7	6.9	9	21.9	23	83	69	86	79	55	5
September	693.9	683.2	14	698.6	25	9.6	14.4	9.6	10.8	1.7	29	21.9	3	89	71	87	82	44	9
Oktober	691.7	680.0	21	698.3	8	4.7	8.9	4.7	5.7	−5.3	29	15.9	21	86	71	86	81	33	20
November	693.3	684.8	24	699.4	22	−0.5	4.3	0.5	1.2	−13.1	26 . 27	19.9	7	87	72	85	81	27	7
Dezember	689.9	675.2	15	703.1	5	2.1	4.7	2.2	2.8	−3.1	5	10.9	7	81	74	80	78	28	7
Jahr	691.2	667.7	II	703.1	XII	5.1	9.0	5.1	6.1	−13.1	XI	25.9	VII	83	70	84	79	27	XI

Altstätten

$\lambda = 9° 33'$, $\beta = 47° 23'$, $H_b = 467.6^m$, $G = 0.01$ ‰, $h_r = 1.5^m$

Januar	717.3	701.6	16	726.4	24	−1.7	1.1	−0.5	−0.4	−11.2	20	12.2	31	93	85	91	90	35	31
Februar	713.1	697.5	19	724.6	7	−0.6	3.7	−0.2	0.6	−7.0	19	14.6	1	87	68	85	80	36	1
März	—	—	—	—	—	−0.4	6.0	1.2	2.0	−8.5	7	21.6	24	86	62	80	76	38	23
April	—	—	—	—	—	5.2	12.9	7.2	8.1	−1.8	1	25.2	30	84	57	75	72	35	24
Mai	—	—	—	—	—	9.7	16.3	9.9	11.5	2.3	21	25.4	1	80	56	79	72	38	31
Juni	—	—	—	—	—	14.5	21.1	14.7	16.2	8.0	11	27.4	24	82	57	80	73	36	9
Juli	—	—	—	—	—	16.3	20.8	16.2	17.4	10.2	7	30.0	18	88	69	86	81	48	1
August	—	—	—	—	—	14.7	21.1	14.9	16.4	8.8	9	26.0	18	88	62	84	78	46	5
September	—	—	—	—	—	10.7	18.0	12.1	13.2	3.4	30	23.8	3. 9	95	65	88	83	53	29
Oktober	—	—	—	—	—	5.8	12.2	6.9	8.0	−3.4	30	18.7	20	91	67	89	82	33	20
November	—	—	—	—	—	−0.5	5.3	1.5	1.9	−11.7	28	19.1	7	93	76	89	86	46	7
Dezember	—	—	—	—	—	1.8	4.7	2.5	2.9	−6.2	2	12.6	29	91	82	91	88	50	30
Jahr	—	—	—	—	—	6.3	11.9	7.2	8.2	−11.7	XI	30.0	VII	89	67	85	80	33	X

Säntis

$\lambda = 9° 21'$, $\beta = 47° 15'$, $H_b = 2500.1^m$, $G = -0.27$ ‰, $h_r = 1.3^m$

Januar	556.1	543.5	18	564.0	24	−6.8	−5.2	−5.8	−5.9	−18.9	2	−0.1	15 . 27	83	80	83	82	33	26
Februar	550.6	539.8	19	558.7	7. 8	−11.3	−9.5	−11.1	−10.8	−19.6	14	−2.4	1	94	94	95	94	73	18
März	556.3	545.5	6. 8	566.2	25	−8.6	−6.4	−8.8	−8.2	−17.9	7	6.0	25	83	76	87	82	32	4
April	562.9	556.3	1	568.0	13	−5.9	−3.8	−5.7	−5.3	−13.4	16	6.2	29	84	86	89	86	20	1
Mai	563.1	555.7	15	569.6	8	−1.9	0.1	−2.3	−1.6	−9.4	19	7.7	9	85	83	91	86	20	9
Juni	565.1	555.1	10	571.0	22	2.6	5.2	2.4	3.2	−4.8	11	11.1	25	88	84	92	88	43	25
Juli	566.1	560.6	27	572.0	18	4.8	7.2	4.8	5.4	−1.6	6. 7	13.7	18	88	86	93	89	45	18
August	566.5	559.5	8	571.9	22	4.0	6.1	3.8	4.4	−4.2	9	12.1	22	87	88	87	87	49	1
September	565.5	552.0	14	570.4	$^{20}_{25}$. ^{24}	1.8	4.2	1.6	2.3	−7.2	15	11.0	4	85	84	87	85	22	30
Oktober	561.7	554.2	18	568.4	13	−2.3	−0.6	−2.3	−1.9	−13.2	29	6.8	2	79	77	80	79	12	1
November	561.7	551.3	24	567.4	6	−4.9	−3.2	−4.8	−4.4	−18.9	25	7.1	7	70	68	72	70	15	21
Dezember	558.5	546.7	15	569.4	6	−5.9	−4.9	−6.1	−5.8	−14.2	31	1.1	7	86	83	90	86	19	9
Jahr	561.2	539.8	II	572.0	VII	−2.9	−0.9	−2.9	−2.4	−19.6	II	13.7	VII	84	82	87	84	15	XI

Sargans

$\lambda = 9° 26'$, $\beta = 47° 03'$, $H_b = 509.9^m$, $G = -0.05$ ‰, $h_r = 1.5^m$

Januar	713.2	697.8	16	722.4	25	−0.4	2.1	1.1	1.0	−8.0	21	12.8	31	84	78	82	81	35	31
Februar	709.2	694.2	19	720.6	7	−0.5	3.1	0.4	0.8	−5.8	15	13.8	1	81	67	82	77	35	1
März	714.9	702.1	21	724.2	3	0.3	6.3	2.6	2.9	−6.5	3	20.4	24	79	55	73	69	29	23
April	720.3	714.5	24	728.3	12	5.7	12.7	8.5	8.9	0.3	15	25.2	29	78	50	67	65	30	20
Mai	718.3	711.4	17	727.5	22	10.2	16.3	11.3	12.3	4.2	19	24.7	1	75	47	72	65	28	9
Juni	717.9	705.6	9	725.2	22	14.3	20.2	15.3	16.3	8.2	11	27.6	19	82	55	82	73	30	12
Juli	717.9	710.8	26	722.2	7	15.6	20.2	16.4	17.1	10.3	7	28.0	18	88	67	90	82	43	3
August	718.9	714.1	12	723.8	16	14.3	19.8	15.8	16.4	9.6	10	26.2	24	86	63	86	78	40	26
September	719.1	707.2	14	724.5	30	11.4	17.5	12.9	13.7	4.4	30	23.0	2	89	63	90	81	45	2
Oktober	717.3	704.1	21	724.6	25	6.6	11.7	8.1	8.6	−1.2	29	17.3	20	88	66	86	80	34	20
November	719.5	710.3	24	727.0	27	1.5	6.3	3.1	3.5	−14.6	29	20.2	8	83	67	83	78	38	7. 8
Dezember	716.0	699.7	15	730.3	5	2.4	5.6	3.2	3.6	−3.9	2	11.3	14	86	74	86	82	32	14
Jahr	716.9	694.2	II	730.3	XII	6.8	11.8	8.2	8.8	−14.6	XI	28.0	VII	83	63	82	76	28	V

Beobachter: **Frau F. Niederer-Tobler**

Heiden

Bewölkung				Termine mit Nebel				Niederschlag			Zahl der Tage								Windverteilung								1955
7³⁰	13³⁰	21³⁰	Mittel	7³⁰	13³⁰	21³⁰	Total	Summe	Maximum	Tag	●	●≥1.0	✶	▲	⛆	≡	heiter	trüb	N	NE	E	SE	S	SW	W	NW	Calmen	
7.6	7.3	7.0	7.3	11	10	6	27	126	36	12	12	11	7	—	—	13	3	17	11	26	23	4	12	9	5	—	3	Januar
8.6	9.1	7.0	8.2	3	2	2	7	134	38	8	18	18	16	—	—	5	—	15	4	4	1	9	25	13	23	5	—	Februar
7.5	6.2	4.8	6.2	3	1	2	6	78	34	27	11	11	9	—	—	5	2	11	21	26	1	—	12	9	12	6	6	März
4.8	5.7	4.6	5.0	1	—	—	1	96	22	8	13	9	3	—	—	1	10	10	36	11	4	4	7	2	16	5	5	April
5.7	5.9	4.9	5.5	—	—	—	—	174	26	2	19	18	5	—	—	3	—	5	7	9	10	2	8	9	9	30	16	—	Mai
6.6	6.1	7.2	6.6	—	—	—	—	147	43	7	20	19	—	—	—	4	—	3	11	20	17	8	2	9	2	20	7	5	Juni
8.4	7.0	8.1	7.8	3	—	—	3	242	51	29	21	20	—	—	5	5	3	21	11	13	3	1	11	5	20	27	2	Juli
5.4	5.8	4.8	5.3	—	—	—	—	168	45	31	15	13	—	1	6	—	6	7	10	24	4	4	14	5	11	14	7	August
5.4	4.6	4.9	5.0	2	1	1	4	167	32	9	14	14	—	—	1	3	10	9	15	10	—	2	6	10	30	6	11	September
6.2	5.8	5.0	5.7	7	3	2	12	71	15	28	12	12	1	—	—	7	6	10	9	13	13	9	4	7	10	6	22	Oktober
5.4	5.9	5.6	5.6	3	2	2	7	32	18	24	5	4	3	—	—	4	5	10	26	1	25	1	4	3	4	5	21	November
8.1	7.7	7.2	7.7	4	4	3	11	140	17	11	23	22	5	—	—	5	3	17	—	3	19	7	21	20	12	6	5	Dezember
6.6	6.4	5.9	6.3	37	23	18	78	1575	51	VII	183	171	49	1	19	48	56	145	172	158	103	51	134	94	193	103	87	Jahr

Beobachter: **E. Eisenring**

Altstätten

8.6	8.9	9.0	8.8	11	10	7	28	152	40	11	12	10	5	—	—	14	1	23	1	1	1	1	—	5	1	2	81	Januar
9.0	9.2	8.2	8.8	3	1	—	4	142	51	8	18	17	12	—	—	4	—	21	4	—	—	—	1	7	1	1	70	Februar
7.5	7.2	4.9	6.5	1	—	1	2	52	18	27	12	9	9	—	—	2	1	10	1	2	—	—	—	3	—	6	81	März
5.5	6.3	4.3	5.4	—	—	—	—	115	36	8	12	11	2	—	—	—	8	8	—	2	1	1	—	2	—	6	78	April
5.7	6.3	5.2	5.7	—	—	—	—	175	39	2	20	17	2	—	1	—	5	10	1	2	—	—	—	5	1	10	74	Mai
6.9	6.4	6.8	6.7	2	—	1	3	150	41	7	17	16	—	—	2	3	3	12	1	3	—	2	—	6	—	1	77	Juni
7.9	7.1	7.5	7.5	—	2	—	2	224	46	29	19	19	—	—	1	2	2	17	—	2	—	—	—	6	—	3	82	Juli
6.0	6.2	4.2	5.4	1	—	—	1	184	61	31	14	12	—	—	—	1	6	10	—	1	—	1	—	3	—	7	81	August
6.5	5.8	6.2	6.2	2	—	1	3	122	24	9	14	14	—	—	—	3	6	12	2	3	—	—	—	2	2	3	78	September
7.0	6.2	4.5	5.9	5	2	4	11	72	28	28	11	11	1	—	—	8	4	9	—	2	1	1	—	3	—	5	81	Oktober
7.0	6.4	5.7	6.4	5	7	4	16	44	22	24	5	4	2	—	—	9	4	10	—	2	--	—	—	2	—	1	85	November
7.9	8.6	7.7	8.1	3	1	3	7	137	19	11	20	19	—	—	—	6	1	17	—	1	—	—	—	6	1	2	83	Dezember
7.1	7.0	6.2	6.8	33	23	21	77	1569	61	VIII	174	159	33	—	4	52	41	159	10	21	3	6	1	50	6	47	951	Jahr

Beobachter: **E. Hostettler**

Säntis

5.8	6.7	7.2	6.6	9	11	8	28	268	80	12	13	11	13	—	—	13	7	14	5	8	6	4	15	24	28	3	—	Januar
8.3	9.3	7.1	8.2	16	17	15	48	255	53	8	21	19	21	—	1	22	—	16	2	2	1	3	10	24	39	3	--	Februar
6.0	6.2	4.8	5.7	10	9	10	29	97	31	27	15	12	15	—	—	17	8	7	12	12	4	1	11	16	33	4	—	März
6.2	6.8	5.7	6.2	13	13	12	38	198	46	11	15	12	15	—	1	21	5	11	14	5	4	1	6	6	50	4	—	April
6.7	7.5	7.0	7.1	13	13	20	46	305	40	2	22	21	22	—	2	24	2	15	4	3	2	—	6	25	46	7	—	Mai
7.4	8.6	7.6	7.9	13	13	14	40	276	47	7	23	23	9	2	7	26	1	17	10	5	3	1	11	20	33	7	—	Juni
7.1	7.7	8.1	7.6	16	15	19	50	379	39	13	23	22	6	—	6	29	—	16	15	7	6	1	5	23	29	7	—	Juli
7.0	8.2	7.0	7.4	12	11	13	36	187	45	31	20	17	5	—	5	26	1	16	13	6	2	2	11	23	25	10	1	August
6.2	6.6	5.6	6.1	12	14	13	39	239	45	14	14	14	7	—	2	23	6	12	13	9	3	2	14	16	28	5	—	September
6.1	5.5	5.0	5.5	10	8	12	30	133	27	7	11	11	11	—	—	17	6	11	9	13	4	4	10	18	32	3	—	Oktober
4.9	5.2	4.7	4.9	4	5	9	18	54	23	24	8	6	8	—	—	13	6	6	18	14	7	2	10	16	20	2	1	November
7.9	7.8	7.5	7.7	15	15	16	46	350	32	27	23	23	23	—	—	21	2	19	3	—	—	—	3	22	63	2	—	Dezember
6.6	7.2	6.4	6.7	143	144	161	448	2741	80	I	208	191	155	2	24	252	44	160	118	84	42	21	112	233	426	57	2	Jahr

Beobachter: **J. Albrecht**

Sargans

7.2	8.1	7.7	7.7	6	4	4	14	126	39	11	9	7	3	—	—	9	2	17	--	5	27	12	9	14	20	6	—	Januar
8.5	8.5	7.4	8.1	2	—	—	2	156	58	8	17	15	12	—	—	2	1	18	—	6	15	12	7	5	30	8	1	Februar
6.1	5.8	6.2	6.0	—	—	—	—	60	16	27	12	9	9	—	—	—	3	9	2	7	26	8	13	8	20	9	—	März
5.3	5.7	5.2	5.4	—	—	—	—	106	18	15	12	11	5	—	1	—	6	9	7	5	20	15	10	15	14	4	—	April
5.8	6.0	5.7	5.8	—	—	—	—	91	14	15	16	16	—	—	—	—	6	10	—	—	6	17	14	6	41	8	1	Mai
6.7	6.5	7.1	6.8	—	—	—	—	135	29	7	22	18	—	—	1	—	1	11	2	—	8	12	13	16	34	4	1	Juni
7.3	6.5	7.9	7.2	—	—	—	—	212	35	29	24	22	—	—	4	—	2	16	2	1	8	9	10	9	40	14	—	Juli
6.1	6.7	5.9	6.2	—	—	—	—	136	29	7	17	17	—	—	1	—	4	11	2	—	9	10	16	16	32	7	1	August
5.4	5.2	5.6	5.4	1	—	—	1	89	21	10	15	11	—	—	1	1	5	6	—	—	7	18	13	22	20	10	—	September
6.3	5.7	5.4	5.8	—	—	—	—	49	16	21	10	10	—	—	—	—	5	10	—	1	19	20	8	13	16	13	3	Oktober
5.5	5.5	5.6	5.5	3	—	—	3	26	25	24	4	2	2	—	—	3	4	7	1	3	37	9	7	14	11	8	—	November
7.4	7.5	7.2	7.4	1	1	1	3	110	25	27	17	15	2	—	—	2	1	12	4	1	18	13	8	4	39	6	—	Dezember
6.5	6.5	6.4	6.5	13	5	5	23	1296	58	II	175	153	33	—	8	17	40	136	20	29	200	155	128	142	317	97	7	Jahr

Bad Ragaz

$\lambda = 9° 30'$, $\beta = 47° 00'$, $H_b = 518^m$, $G = -0.06$ ‰, $h_r = 1.5^m$

1955	Luftdruck					Luft-Temperatur								Relative Feuchtigkeit					
	Mittel	Minimum	Tag	Maximum	Tag	7^{30}	13^{30}	21^{30}	Mittel	Minimum	Tag	Maximum	Tag	7^{30}	13^{30}	21^{30}	Mittel	Minimum	Tag
Januar	713.2	697.6	16	722.1	24	0.0	2.3	1.0	1.1	-6.4	20	13.3	31	80	75	80	78	39	31
Februar	709.1	693.2	19	720.0	7	-1.1	2.9	0.1	0.5	-6.7	16	13.5	1. 2	82	70	80	77	42	1
März	714.8	702.1	8	724.0	3	-0.3	6.1	2.4	2.7	-8.2	2	22.3	24	79	58	70	69	34	24
April	720.2	714.3	24	728.0	12	5.4	12.5	8.1	8.5	0.0	1	24.7	29	79	55	68	67	35	28
Mai	718.2	710.8	15	727.2	22	10.3	16.3	11.0	12.2	3.9	19	25.3	6	76	53	71	67	34	9
Juni	717.8	705.8	9	725.1	22	14.4	20.0	15.0	16.1	8.4	11	27.8	19	81	58	76	72	39	12 . 19
Juli	717.9	710.7	26	721.7	7	15.8	20.2	16.4	17.2	10.4	7	29.0	18	85	68	81	78	46	3
August	718.9	714.0	12	723.9	16	14.5	19.6	15 6	16.3	10.1	9	25.3	23	84	64	79	76	48	26
September	719.1	706.9	14	724.5	30	11.4	17.4	12.6	13.8	5.5	16 . 30	23.6	9	88	63	83	78	45	22
Oktober	717.3	705.1	21	724.6	25	6.1	11.8	7.4	8.2	-1.9	31	18.0	20	88	67	84	80	38	20
November	719.4	711.4	1	726.7	27	0.6	6.4	3.0	3.2	-14.2	29	20.8	8	85	66	80	77	41	7. 8
Dezember	716.0	699.7	15	730.1	5	2.2	5.4	2.7	3.2	-2.6	2. 20	10.4	14 . 23	85	75	85	82	36	23
Jahr	716.8	693.2	II	730.1	XII	6.6	11.7	7.9	8.6	-14.2	XI	29.0	VII	83	64	78	75	34	III V

Glarus

$\lambda = 9° 04'$, $\beta = 47° 03'$, $H_b = 503.4^m$, $G = -0.04$ ‰, $h_r = 1.5^m$

Januar	714.2	699.2	16	723.3	24 . 25	-1.3	0.8	-0.3	-0.3	-9.0	19	11.5	31	88	78	86	84	26	31
Februar	710.0	695.7	19	721.3	7	-1.2	2.1	-0.3	0.1	-10.2	19	13.9	1	81	66	80	76	27	1
März	715.8	702.8	21	725.1	3	-0.7	4.6	1.3	1.6	-9.2	7	18.9	26	75	53	71	66	30	23
April	721.3	715.6	24	730.2	12	5.2	12.2	7.9	8.3	0.7	20	23.5	30	70	45	61	59	29	6
Mai	719.3	711.9	2	728.1	22	9.2	15.6	10.6	11.5	3.4	23	24.2	6	74	44	69	62	28	24
Juni	718.9	705.5	9	726.6	22	13.8	19.7	14.8	15.8	7.2	12	26.1	19	76	48	76	67	27	9
Juli	718.9	712.1	26	723.1	7	15.2	19.7	16.2	16.8	10.3	7. 8	28.5	18	87	68	89	81	41	1. 2
August	720.1	715.5	7	724.5	16	13.9	19.8	15.5	16.2	7.2	10	24.6	23	88	63	90	80	44	18
September	720.2	708.4	14	725.6	30	11.1	17.0	12.5	13.3	4.0	30	22.3	3	91	66	90	83	43	3
Oktober	718.3	704.9	21	725.5	25	5.7	10.8	6.8	7.5	-2.2	30	18.3	20	92	67	90	83	34	20
November	720.4	710.9	24	726.9	22	0.1	4.3	1.7	1.9	-10.8	27	13.4	7	89	72	86	82	49	7
Dezember	716.9	700.5	15	731.2	5	1.7	4.4	2.3	2.7	-5.1	2	10.8	29	91	79	89	86	54	10
Jahr	717.9	695.7	II	731.2	XII	6.1	10.9	7.4	8.0	-10.8	XI	28.5	VII	84	62	81	76	26	I

Elm

$\lambda = 9° 10'$, $\beta = 46° 55'$, $H = 962^m$, $G = —$ ‰, $h_r = 1.5^m$

Januar	—	—	—	—	—	-2.0	1.0	-1.0	-0.8	-12.2	19	9.2	27	73	60	71	68	27	3
Februar	—	—	—	—	—	-2.5	0.9	-2.8	-1.8	-10.1	12	9.9	1	74	61	78	71	27	12
März	—	—	—	—	—	-3.7	3.5	-1 8	-1.0	-12.4	7	14.2	26	70	45	71	62	23	7
April	—	—	—	—	—	2.9	9.9	4.3	5.4	-3.7	2	21.8	30	69	40	71	60	19	20 . 21
Mai	—	—	—	—	—	9.1	13.6	7.2	9.3	0.7	19 . 22	21.3	1	68	47	83	66	23	9
Juni	—	—	—	—	—	13.3	17.4	11.9	13.6	5.1	11	24.6	19	75	58	91	75	38	1
Juli	—	—	—	—	—	14.3	17.6	13.3	14.6	7.9	7	26.4	18	81	72	94	82	45	20
August	—	—	—	—	—	12.2	17.1	12.4	13.5	6.9	9	23.2	23	85	68	93	82	36	1
September	—	—	—	—	—	8.7	14.5	9.4	10.5	1.2	30	20.0	4	93	66	94	84	40	25
Oktober	—	—	—	—	—	3.6	9.1	4.0	5.2	-5.2	29	17.3	10	90	68	91	83	40	10
November	—	—	—	—	—	-1.3	3.1	-0.2	0.4	-13.2	26	15.6	7	86	69	88	81	38	3
Dezember	—	—	—	—	—	0.0	2.3	0.3	0.7	-5.3	6	8.8	14	87	76	86	83	44	14
Jahr	—	—	—	—	—	4.6	9.2	4.7	5.8	-13.2	XI	26.4	VII	79	61	84	75	19	IV

Auen (Linthal)

$\lambda = 8° 59'$, $\beta = 46° 54'$, $H_b = 815.2^m$, $G = -0.11$ ‰, $h_r = 1.5^m$

Januar	687.0	672.4	18	695.6	24	-1.4	2.7	0.2	0.4	-10.2	19	10.6	31	83	66	81	77	39	31
Februar	683.0	669.8	19	693.8	7	-2.5	1.8	-2.2	-1.3	-9.4	12	11.0	1	86	69	88	81	40	1
März	688.8	676.6	8	697.1	4	-1.9	4.7	-0.5	0.4	-9.8	7	17.0	26	81	53	81	72	30	19
April	694.6	689.5	1	702.1	12	3.8	11.4	5.2	6.4	-1.4	2	24.2	29	81	53	79	71	30	20
Mai	692.9	686.2	2. 15	701.1	22	8.9	14.8	8.1	10.0	1.0	22	23.8	1	77	54	81	71	33	6
Juni	692.9	680.6	9	700.6	22	13.3	18.9	12.4	14.3	5.2	11	26.4	19	80	57	86	74	36	19
Juli	693.2	686.5	26	697.5	7	14.1	18.9	13.9	15.2	8.6	6	28.2	18	87	70	91	83	47	1. 18
August	694.0	689.3	7	698.2	16 . 23	12.4	18.6	13.3	14.4	5.6	10	24.8	23	87	67	88	81	50	5
September	693.9	682.1	14	698.8	25	9.4	15.9	10.7	11.7	2.2	30	22.2	4	91	66	88	82	47	2. 22
Oktober	691.8	679.0	21	698.8	25	4.4	10.3	5.6	6.5	-3.5	29	17.6	20	87	66	87	80	35	20
November	693.3	684.0	24	699.6	27	0.5	5.3	1.4	2.2	-11.2	26	17.8	7	80	65	80	75	44	7
Dezember	690.1	674.8	15	703.7	5	1.2	4.1	1.5	2.1	-4.0	31	10.0	29	85	73	83	80	51	8. 14
Jahr	691.3	669.8	II	703.7	XII	5.2	10.6	5.8	6.9	-11.2	XI	28.2	VII	84	63	84	77	30	III IV

Beobachter: **Frl. M. Wermelinger**

Bad Ragaz

Bewölkung				Termine mit Nebel				Niederschlag			Zahl der Tage								Windverteilung								1955
7^{30}	13^{30}	21^{30}	Mittel	7^{30}	13^{30}	21^{30}	Total	Summe	Maximum	Tag	●	●* ≧1.0	*	▲	K	≡	heiter	trüb	N	NE	E	SE	S	SW	W	NW	Calmen	
7.2	7.1	7.4	7.2	4	—	5	9	108	33	11	7	7	3	—	—	8	4	15	4	—	2	18	—	1	3	22	43	Januar
8.3	8.4	7.5	8.1	2	—	—	2	149	51	8	15	15	11	—	—	2	1	17	1	—	3	15	1	6	5	16	37	Februar
6.0	5.8	5.8	5.9	—	—	—	—	28	10	27	8	5	5	—	—	—	6	12	—	—	—	16	4	8	15	21	29	März
5.5	5.2	5.0	5.2	—	—	—	—	89	24	11	12	9	3	—	—	—	10	9	1	—	2	8	8	10	14	18	29	April
5.7	5.9	5.9	5.8	—	—	—	—	90	15	15	14	13	—	—	1	—	6	9	1	1	4	9	8	9	22	15	24	Mai
6.9	6.7	7.5	7.0	—	—	—	—	111	35	7	19	16	—	—	1	—	2	13	—	—	3	11	3	8	12	19	34	Juli
7.5	6.2	7.6	7.1	—	—	—	—	167	30	29	21	20	—	—	4	—	4	14	—	—	—	7	6	6	15	18	41	Juli
6.0	6.7	5.8	6.2	—	—	—	—	108	23	7	18	16	—	—	1	—	4	12	—	—	—	8	12	6	18	12	37	August
5.1	4.6	5.5	5.1	—	—	—	—	67	20	5	12	9	—	—	1	—	7	8	1	—	—	4	7	2	24	14	38	September
6.0	5.3	5.6	5.6	—	—	—	—	59	19	21	10	9	1	—	—	—	6	11	—	—	—	11	2	7	12	12	49	Oktober
5.3	5.3	5.8	5.5	1	—	—	1	15	14	24	3	1	2	—	—	1	6	8	—	—	—	8	2	10	12	11	47	November
7.4	6.5	6.2	6.8	1	—	—	1	91	20	27	16	15	2	—	—	2	4	8	—	—	2	14	—	3	8	5	61	Dezember
6.4	6.2	6.3	6.3	8	—	5	13	1082	51	II	155	135	27	—	8	13	60	136	8	1	16	129	53	76	160	183	469	Jahr

Beobachter: **F. Friedau**

Glarus

7.9	7.6	6.7	7.4	7	5	3	15	161	44	12	12	11	4	—	—	9	3	16	7	—	—	6	6	3	4	20	47	Januar
8.2	8.3	6.9	7.8	—	—	—	—	191	55	8	17	17	13	—	—	1	1	13	13	1	—	2	7	5	3	13	40	Februar
6.4	5.3	4.9	5.5	—	—	—	—	49	18	27	13	10	10	—	—	—	4	9	18	1	—	4	9	8	—	20	33	März
5.2	5.2	4.4	4.9	—	—	—	—	80	22	11	10	10	2	—	—	—	10	8	27	1	—	2	3	7	3	14	33	April
5.4	5.8	5.3	5.5	—	—	—	—	173	22	21	20	17	1	—	1	—	8	8	31	4	—	1	2	2	1	5	47	Mai
6.5	6.5	7.0	6.7	—	—	—	—	156	36	7	21	18	—	—	2	—	3	11	25	—	—	1	2	1	6	13	42	Juni
7.2	6.0	7.2	6.8	—	—	—	—	298	31	13	23	21	—	1	5	—	5	11	19	—	1	2	3	1	1	16	50	Juli
6.3	5.8	5.3	5.8	—	—	—	—	172	31	7	17	15	—	—	2	—	5	11	19	4	—	—	3	3	1	16	47	August
4.9	4.9	4.8	4.9	1	—	—	1	103	16	10	14	12	—	—	1	1	8	6	21	—	—	4	—	—	1	12	52	September
5.8	5.2	5.7	5.6	—	—	—	—	51	14	6	9	8	—	—	—	—	7	11	17	1	—	2	7	1	—	16	49	Oktober
5.1	4.8	4.1	4.7	1	—	1	2	17	13	24	4	2	2	—	—	2	7	7	12	1	—	2	7	—	5	7	56	November
6.9	6.6	6.4	6.6	2	—	1	3	132	22	27	20	18	2	—	1	5	4	11	5	—	—	—	13	6	7	16	46	Dezember
6.3	6.0	5.7	6.0	11	5	5	21	1583	55	II	180	159	34	1	12	18	65	122	214	13	1	26	62	37	32	168	542	Jahr

Beobachter: **E. Frei-Altherr**

Elm

5.8	6.7	6.0	6.2	—	1	1	2	154	43	12	9	9	5	—	—	2	6	12	14	2	—	16	2	5	15	39	—	Januar
8.8	8.6	7.3	8.2	—	—	1	1	225	56	8	18	18	18	—	—	2	1	17	31	—	—	7	2	6	2	36	—	Februar
5.9	5.6	5.9	5.8	—	—	—	—	60	14	29	14	10	11	—	—	—	5	8	22	—	—	4	—	6	1	60	—	März
5.6	6.5	5.7	5.9	—	—	—	—	99	26	11	14	11	5	—	—	—	6	11	60	—	—	4	9	—	—	17	—	April
6.4	7.0	6.1	6.5	—	—	—	—	128	19	21	18	14	5	—	1	—	6	14	50	—	—	4	9	5	1	26	—	Mai
7.4	7.7	7.9	7.7	—	—	—	—	178	50	7	22	18	—	—	3	—	1	15	53	—	—	1	10	5	—	25	—	Juni
7.5	7.7	8.2	7.8	—	—	—	—	264	35	26	25	23	—	—	5	—	2	20	62	2	2	2	1	—	—	30	—	Juli
7.0	7.9	6.8	7.2	—	—	—	—	121	23	7	19	18	—	1	2	—	1	15	55	—	1	—	—	1	—	30	—	August
5.9	6.3	5.8	6.0	1	—	—	1	92	18	10	16	14	2	—	1	1	4	12	46	—	—	—	—	2	8	34	—	September
6.6	5.7	5.1	5.8	1	—	3	4	87	33	21	14	12	1	—	—	4	5	12	41	11	1	4	—	8	2	26	—	Oktober
5.0	5.9	4.8	5.2	1	—	1	2	33	21	24	10	5	6	—	—	2	6	7	28	—	—	2	1	4	2	53	—	November
6.9	6.8	6.0	6.6	—	—	—	—	129	33	27	19	18	13	—	—	2	5	13	14	—	1	2	—	21	10	45	—	Dezember
6.6	6.9	6.3	6.6	3	1	6	10	1570	56	II	198	170	66	1	12	13	48	156	476	21	5	43	25	63	41	421	—	Jahr

Beobachter. **J. Zweifel**

Auen (Linthal)

6.8	6.7	6.9	6.8	1	1	1	3	166	40	11	11	10	3	—	—	1	5	15	8	1	1	11	2	1	—	—	69	Januar
8.0	8.2	7.3	7.8	3	1	1	5	306	70	8	19	19	15	—	—	3	1	16	10	—	3	7	—	1	—	—	63	Februar
5.7	5.4	5.6	5.6	—	—	—	—	68	10	17.-29	13	13	10	—	—	—	6	8	13	5	12	16	4	—	—	1	42	März
5.2	5.6	4.7	5.2	—	—	—	—	155	55	11	12	11	2	—	—	—	8	7	28	5	3	14	—	—	—	—	40	April
6.2	6.7	5.0	6.0	2	—	—	2	145	21	21	16	16	2	—	—	2	6	12	30	6	6	6	2	1	—	1	41	Mai
6.7	7.1	7.1	7.0	—	—	—	—	184	43	7	20	19	—	—	1	—	4	14	27	5	8	10	2	—	—	—	38	Juni
7.0	6.8	7.6	7.1	—	—	—	—	218	22	29	24	23	—	—	2	—	4	15	31	4	10	4	3	—	—	—	41	Juli
6.0	7.1	6.1	6.4	—	—	—	—	134	35	7	18	16	—	—	1	—	4	11	18	10	10	15	4	—	—	—	36	August
5.6	5.4	5.5	5.5	2	—	—	2	98	15	26	14	14	—	—	—	2	5	9	30	8	8	7	4	—	—	—	33	September
6.0	5.3	5.4	5.6	5	2	4	11	98	25	21	10	9	1	—	—	6	7	11	24	7	7	12	6	—	—	—	37	Oktober
4.6	5.3	4.6	4.8	4	3	1	8	38	22	24	6	4	4	—	—	5	9	8	12	2	11	15	—	—	—	—	50	November
6.6	6.9	6.4	6.6	1	—	—	1	135	29	27	19	19	4	—	—	1	5	11	11	3	5	24	1	—	—	—	49	Dezember
6.2	6.4	6.0	6.2	18	7	7	32	1745	70	II	182	173	41	—	4	20	64	137	242	56	84	141	28	3	—	2	539	Jahr

Oberiberg

$\lambda = 8° 47'$, $\beta = 47° 02'$, $H_b = 1090^m$, $G = -0.10$ ‰, $h_r = 1.5^m$

1955	Luftdruck					Luft-Temperatur								Relative Feuchtigkeit					
	Mittel	Minimum	Tag	Maximum	Tag	7^{30}	13^{30}	21^{30}	Mittel	Minimum	Tag	Maximum	Tag	7^{30}	13^{30}	21^{30}	Mittel	Minimum	Tag
Januar	664.0	650.2	16	672.0	24	-2.6	3.2	-1.1	-0.4	-15.6	19	9.8	31	84	59	79	74	34	31
Februar	660.2	646.4	19	670.2	7	-4.1	1.2	-3.7	-2.6	-14.1	12	9.8	1	84	57	85	75	31	12
März	665.6	654.0	8	673.6	3. 4	-4.5	4.3	-3.5	-1.8	-15.6	7	15.4	24	85	47	85	72	28	23
April	671.9	666.9	1	678.5	12	2.4	10.0	3.2	4.7	-5.9	2	21.0	30	79	45	81	68	31	6.13.29
Mai	670.6	663.4	15	677.8	22	7.1	13.4	5.7	8.0	0.0	15	21.8	1. 6	72	46	86	68	23	6
Juni	670.8	658.8	9	678.0	22	11.6	17.9	10.4	12.6	4.0	11	25.0	6	76	50	89	72	33	6. 9
Juli	671.2	664.7	26	675.1	17	12.7	18.0	12.4	13.9	7.2	7	28.4	18	86	60	89	78	21	18
August	672.0	667.2	7. 8	676.1	22	11.4	17.9	11.3	13.0	5.4	9	24.1	19	87	53	88	76	36	19
September	671.7	659.6	14	676.5	25	7.8	15.2	8.6	10.1	-1.2	30	21.4	3	90	56	90	79	40	20 . 23
Oktober	669.0	657.8	21	675.7	25	2.1	10.1	3.7	4.9	-9.8	29	17.2	10	91	57	89	79	31	20
November	670.3	661.2	24	676.2	27	-2.1	5.2	-0.9	0.3	-16.4	26	18.2	8	87	57	86	77	32	8. 23
Dezember	667.3	652.6	15	679.7	5	0.1	4.4	0.2	1.2	-7.5	31	8.6	3	82	63	84	76	35	6
Jahr	668.7	646.4	II	679.7	XII	3.5	10.1	3.8	5.3	-16.4	XI	28.4	VII	84	54	86	75	21	VII

Einsiedeln

Die Abendbeobachtung erfolgt um 20.30

$\lambda = 8° 45'$, $\beta = 47° 08'$, $H_b = 913.9^m$, $G = -0.07$ ‰, $h_r = 1.5^m$

Januar	678.4	665.4	16 . 18	687.0	24	-2.1	1.7	-0.5	-0.4	-9.5	19	9.3	12	88	77	85	83	58	28
Februar	674.6	660.7	19	685.5	7	-2.3	0.7	-1.2	-1.1	-11.2	19	9.8	1	84	71	82	79	36	1
März	680.2	667.8	21	688.7	4	-3.1	2.9	-0.7	-0.5	-12.5	7	14.5	27	*85	*70	*82	*79	—	—
April	686.3	681.2	1	693.1	12	3.5	9.3	5.6	5.8	-2.1	2	19.3	30	87	72	79	79	37	24
Mai	684.7	677.7	15	692.3	22	8.2	12.6	8.8	9.5	1.0	19	20.3	6	81	60	82	74	44	21
Juni	684.7	672.1	9	692.1	22	12.4	17.3	12.8	13.7	6.8	11	23.2	25	85	63	86	78	36	9
Juli	685.1	679.0	26	688.7	17	14.1	17.9	15.5	15.3	8.2	7	26.8	18	88	72	85	82	39	18
August	685.9	681.4	12	690.4	23	12.3	17.3	14.4	14.3	7.3	10	21.8	23	89	67	84	80	45	18
September	685.8	673.7	14	690.7	25	9.4	14.1	10.8	11.1	3.0	30	19.4	3	90	72	89	84	58	20
Oktober	683.3	671.4	21	690.0	25	4.5	9.0	5.8	6.2	-3.9	29	15.1	20	89	75	88	84	36	20
November	684.7	676.2	24	690.6	27	-0.4	4.1	1.2	1.4	-11.6	26	15.0	7	89	76	87	84	51	7
Dezember	681.5	666.6	15	694.6	5	1.7	4.1	2.2	2.6	-3.4	2	8.8	28	86	78	85	83	45	30
Jahr	682.9	660.7	II	694.6	XII	4.9	9.2	6.2	6.5	-12.5	III	26.8	VII	87	71	85	81	?	—

Zentralschweiz

Luzern

$\lambda = 8° 19'$, $\beta = 47° 04'$, $H_b = 497.8^m$, $G = -0.01$ ‰, $h_r = 1.5^m$

Januar	715.1	700.3	16	723.9	24 . 25	-0.3	1.4	0.9	0.7	-8.0	20	11.1	12	92	87	89	89	62	1
Februar	711.0	696.9	19	722.5	7	0.6	3.4	1.4	1.7	-6.2	19	11.0	8	86	74	82	81	43	5
März	716.7	704.5	21	725.6	4	0.4	5.9	3.0	3.1	-6.4	7	18.2	25	82	62	75	73	32	19
April	722.2	717.1	24	729.0	12	5.7	13.2	9.3	9.4	-0.2	1	23.2	30	80	50	63	64	27	24
Mai	720.1	713.5	15	728.2	22	10.4	16.3	12.2	12.8	3.0	19	23.8	6	81	53	73	69	34	21
Juni	719.7	705.9	9	727.0	22	14.2	20.7	16.1	16.8	8.0	12	26.4	19	90	59	79	76	36	1
Juli	719.9	713.6	26	723.7	7	16.1	20.5	17.7	18.0	11.4	7	28.4	18	93	68	85	82	43	19
August	720.7	716.5	12	724.8	16	14.6	20.3	16.8	17.1	8.7	10	25.9	23	94	62	83	80	39	18
September	721.0	708.8	14	726.0	30	12.0	17.2	13.7	14.1	6.3	30	23.1	3	95	65	89	83	42	16
Oktober	719.2	706.6	21	725.9	25	6.3	11.1	8.1	8.4	-1.8	30	16.4	15	95	70	89	85	50	26 . 29
November	721.4	713.0	24	728.3	27	1.7	5.0	3.3	3.3	-7.1	27	14.1	5	93	81	89	88	58	15 . 18
Dezember	717.9	702.6	15	731.4	5	3.4	5.7	4.2	4.4	-2.2	7	12.7	29	93	85	92	90	37	30
Jahr	718.7	696.9	II	731.4	XII	7.1	11.7	8.9	9.2	-8.0	I	28.4	VII	90	68	82	80	27	IV

Rigi-Kulm

$\lambda = 8° 29'$, $\beta = 47° 03'$, $H_b = 1775^m$, $G = -0.20$ ‰, $h_r = 2.2^m$

Januar	610.1	597.7	18	617.0	24	-1.8	-0.4	-0.9	-1.0	-13.4	2	5.8	27	77	72	72	74	23	20
Februar	605.6	592.9	19	614.7	7	-6.5	-5.2	-6.4	-6.1	-14.0	14	3.3	1	90	91	90	90	52	3
März	610.9	600.0	8	618.9	24	-4.3	-2.0	-4.0	-3.6	-13.0	1	11.8	25	76	71	78	75	32	8
April	617.5	610.9	1	623.0	12	-1.0	1.7	-0.6	-0.1	-7.4	16 . 17	12.2	30	79	81	85	82	39	26
Mai	617.0	610.2	15	622.6	8	2.8	4.9	2.8	3.3	-5.4	19	14.2	6	83	82	86	84	25	9
Juni	618.1	608.5	9	624.5	23	7.7	10.0	7.9	8.4	0.0	11	17.0	19	84	84	88	85	43	15
Juli	618.8	613.0	26	624.3	17	9.3	11.1	9.6	9.9	2.8	7	20.6	18	88	90	91	90	51	18
August	619.4	614.0	8	623.8	23	8.5	10.4	9.3	9.4	0.8	9	16.0	22	87	86	90	88	62	1.11.21
September	618.6	606.7	14	623.5	20	5.9	7.9	6.6	6.8	-2.7	15	14.0	4	86	87	87	87	34	20
Oktober	615.6	606.9	21	621.4	14	1.6	3.3	1.8	2.1	-7.2	29	10.4	11	80	82	81	81	30	9
November	616.0	606.8	24	620.3	6. 7	-1.0	0.6	-0.4	-0.3	-12.1	26	13.2	7	73	75	71	73	18	22
Dezember	613.2	600.4	15	623.8	6	-0.9	-0.3	-0.8	-0.7	-8.1	31	5.9	7	80	80	81	80	10	9
Jahr	615.1	592.9	II	624.5	VI	1.7	3.5	2.1	2.3	-14.0	II	20.6	VII	82	82	83	82	10	XII

Beobachter: **A. Holdener**

Oberiberg

Bewölkung				Termine mit Nebel				Niederschlag		Zahl der Tage							Windverteilung									1955
7³⁰	13³⁰	21³⁰	Mittel	7³⁰	13³⁰	21³⁰	Total	Summe	Maximum Tag	●	●≥1.0	✳	▲	⛆	≡	heiter	trüb	N	NE	E	SE	S	SW	W	NW	Calmen	
6.8	6.5	5.9	6.4	1	1	1	3	232	70 12	12	11	7	—	—	3	6	12	—	—	—	3	1	5	4	—	80	Januar
8.3	8.5	7.2	8.0	—	—	3	3	218	56 8	18	17	18	—	—	3	—	18	2	—	—	1	6	6	4	1	64	Februar
6.3	5.7	5.7	5.9	3	—	—	3	82	26 27	11	10	9	—	—	4	6	10	—	3	2	—	—	5	2	2	79	März
5.2	6.3	4.4	5.3	—	—	—	—	104	22 11	12	12	6	—	—	—	6	9	—	1	3	1	1	6	3	—	75	April
6.3	6.7	5.5	6.2	1	—	—	1	260	43 2	20	19	5	—	1	1	5	13	1	3	—	5	2	4	2	3	73	Mai
6.8	7.6	6.8	7.1	—	—	—	—	232	45 7	23	22	—	1	5	—	2	11	1	—	1	2	1	—	6	—	79	Juni
7.3	7.5	7.5	7.4	—	—	—	—	363	37 29	24	22	—	1	6	—	2	15	—	2	3	1	1	3	2	1	80	Juli
6.4	7.2	5.9	6.5	1	—	—	1	210	44 4	18	16	—	—	4	1	2	12	—	1	5	1	2	2	2	1	79	August
5.5	5.9	4.8	5.4	1	1	—	2	141	19 28	15	14	2	—	1	2	5	9	1	3	4	1	2	—	—	2	77	September
6.1	5.2	5.7	5.7	2	—	1	3	101	32 21	12	10	5	—	—	4	8	11	—	1	1	1	2	3	1	1	83	Oktober
5.1	5.3	5.9	5.4	1	1	4	6	42	31 24	6	3	5	—	—	4	5	6	—	1	1	—	2	1	2	—	83	November
6.9	6.8	6.5	6.7	—	—	1	1	173	20 27	21	20	6	—	—	2	4	14	1	1	2	1	4	5	1	1	77	Dezember
6.4	6.6	6.0	6.3	10	3	10	23	2158	70 I	192	176	63	2	17	24	51	140	6	16	22	17	24	40	29	12	929	Jahr

Beobachter: **P. C. Merkt**

Einsiedeln

6.9	6.6	5.2	6.2	1	1	3	5	155	44 12	13	12	6	—	—	4	6	12	2	7	1	—	2	12	4	1	64	Januar
8.7	8.5	7.8	8.3	2	—	2	4	177	36 8	16	15	15	—	—	3	—	19	—	—	1	2	—	23	6	11	41	Februar
6.2	6.3	5.2	5.9	1	—	—	1	88	34 27	14	12	9	—	—	1	6	13	3	14	2	9	2	6	1	6	50	März
5.3	5.8	4.8	5.3	—	—	—	—	94	22 8	11	10	3	—	—	—	7	10	7	7	3	2	—	4	3	17	47	April
5.7	6.5	5.7	6.0	—	—	—	—	225	27 2	18	16	5	—	2	—	4	11	9	2	1	—	1	13	10	20	37	Mai
6.2	6.4	6.7	6.4	—	—	—	—	189	44 7	20	17	—	—	3	—	1	8	9	2	—	1	2	7	3	20	46	Juni
8.2	7.0	6.7	7.3	2	—	—	2	327	45 13	25	22	—	—	5	2	2	13	6	1	—	6	1	4	3	15	57	Juli
5.9	6.1	5.8	5.9	—	—	—	—	216	65 7	16	14	—	—	3	—	3	11	6	6	—	—	1	3	2	12	63	August
5.4	5.4	4.5	5.1	1	—	—	1	138	24 26	14	13	—	—	1	1	7	8	8	4	—	1	1	5	1	13	57	September
6.2	6.2	5.2	5.9	2	2	2	6	77	19 21	10	9	1	—	—	4	6	12	5	2	1	4	1	5	4	6	65	Oktober
4.9	5.7	4.2	4.9	1	2	—	3	28	16 24	3	3	3	—	—	3	7	8	4	4	—	6	—	4	3	5	64	November
6.8	6.9	6.3	6.7	1	1	1	3	152	14 17	22	20	6	—	—	2	4	12	—	1	—	—	6	16	7	5	58	Dezember
6.4	6.5	5.7	6.2	11	6	8	25	1866	65 VIII	182	163	48	—	14	20	53	137	59	50	9	31	17	102	47	131	649	Jahr

Zentralschweiz

Beobachter: **Kloster Wesemlin**

Luzern

9.5	9.3	9.4	9.4	8	2	5	15	106	23 12	12	10	3	—	—	11	—	28	11	12	5	11	2	—	3	4	45	Januar
8.6	8.5	7.5	8.2	3	—	—	3	99	20 17	18	17	10	—	—	3	—	19	14	5	6	11	—	1	17	4	26	Februar
7.6	6.6	6.5	6.9	—	—	—	—	56	19 27	11	8	7	—	—	—	2	14	15	17	4	14	—	1	—	7	35	März
4.8	4.9	5.2	5.0	—	—	—	—	48	14 8	9	8	2	—	—	—	9	7	18	9	7	21	—	1	—	7	27	April
5.9	6.2	6.1	6.1	—	—	—	—	150	26 11	17	16	—	—	2	—	4	9	14	9	10	19	4	1	10	13	13	Mai
6.9	6.3	6.8	6.7	—	—	—	—	133	26 7	19	14	—	2	6	—	2	12	21	13	10	19	3	1	3	4	16	Juni
8.5	7.4	7.6	7.8	—	—	—	—	283	41 27	23	22	—	—	7	2	2	15	22	9	8	29	—	1	3	7	14	Juli
6.9	6.9	6.5	6.8	—	—	—	—	181	44 30	15	15	—	1	4	2	2	11	16	7	7	21	2	—	2	11	27	August
8.1	6.4	4.8	6.4	2	—	—	2	102	24 9	13	12	—	—	1	2	2	10	16	11	7	18	3	2	5	8	20	September
8.3	6.7	5.8	6.9	5	—	—	5	51	12 21	10	8	—	—	—	5	3	15	32	8	6	10	1	6	5	9	16	Oktober
8.7	8.0	7.5	8.1	5	—	3	8	10	4 24	9	1	2	—	—	5	—	19	33	8	—	1	3	2	1	9	33	November
9.4	7.7	8.4	8.5	2	—	4	6	80	10 11	20	18	2	—	—	6	—	20	19	7	5	18	2	1	8	5	28	Dezember
7.8	7.1	6.8	7.2	25	2	12	39	1299	44 VIII	176	149	26	3	20	36	26	179	231	115	75	192	20	17	57	88	300	Jahr

Beobachter: **Kulmhotel**

Rigi-Kulm

6.6	6.4	5.6	6.2	8	4	2	14	99	23 12	11	11	10	—	—	9	6	12	1	3	16	15	7	8	23	5	15	Januar
8.4	8.8	7.1	8.1	8	10	10	28	185	34 8	21	19	21	—	—	16	—	14	4	—	8	8	6	4	29	11	14	Februar
5.5	5.9	5.0	5.5	6	10	7	23	87	28 27	14	12	13	—	—	14	8	8	2	—	14	14	5	—	22	13	23	März
5.7	5.9	5.6	5.7	8	7	10	25	98	20 7.15	13	11	12	—	—	12	5	12	7	9	14	10	2	—	16	22	10	April
5.7	6.5	5.2	5.8	7	6	4	17	226	30 11	17	17	8	—	1	13	5	8	—	—	9	5	1	8	51	6	13	Mai
5.4	5.8	6.9	6.0	4	4	7	15	181	31 7	19	19	2	1	1	8	3	10	—	5	20	3	—	2	45	3	12	Juni
6.5	6.7	6.7	6.6	9	8	5	22	336	39 21.27	23	23	—	—	?1	13	5	14	—	2	14	10	1	8	46	7	5	Juli
5.5	5.5	6.5	5.8	3	1	1	5	225	47 30	15	15	—	1	1	4	3	11	—	9	15	3	—	2	44	10	10	August
5.2	5.6	5.5	5.4	5	5	3	13	169	42 27	13	12	4	—	—	13	6	7	—	4	20	3	—	4	25	10	24	September
4.8	4.8	5.4	5.0	6	8	11	25	78	28 4	9	9	7	—	—	15	9	9	1	12	19	6	3	16	26	3	7	Oktober
3.2	4.3	4.5	4.0	3	6	6	15	34	19 24	3	3	2	—	—	9	12	5	5	11	29	12	5	4	12	3	9	November
7.0	7.0	7.0	7.0	8	10	11	29	104	12 4	20	20	18	—	—	15	4	15	1	—	—	4	15	31	35	1	6	Dezember
5.8	6.1	5.9	5.9	75	79	77	231	1822	47 VIII	178	171	97	2	4	141	66	125	21	55	178	93	45	87	374	94	148	Jahr

Pilatus-Kulm

Die Abendbeobachtung erfolgt um 20.30 h

$\lambda = 8° 15'$, $\beta = 46° 59'$, $H_b = 2068^m$, $G = -0.23$ mm, $h_r = 2.0^m$

1955	Luftdruck					Luft-Temperatur								Relative Feuchtigkeit					
	Mittel	Minimum	Tag	Maximum	Tag	7^{30}	13^{30}	21^{30}	Mittel	Minimum	Tag	Maximum	Tag	7^{30}	13^{30}	21^{30}	Mittel	Minimum	Tag
Januar	587.0	576.0	18	594.1	25	−3.5	−0.8	−2.2	−2.3	−15.5	1	5.4	27	70	66	67	68	24	25. 26
Februar	581.9	569.4	19	590.9	8	−7.2	−5.1	−6.5	−6.4	−14.2	14	1.5	1. 2	86	82	84	84	35	23
März	587.4	576.4	8	596.6	25	−5.2	−1.3	−3.9	−3.7	−14.5	6	12.0	24	66	59	64	63	14	4
April	594.5	587.5	1	599.8	13	−2.5	1.3	−0.8	−1.0	−10.4	16	10.4	29	76	66	70	71	18	4. 13
Mai	593.9	586.6	16	600.4	8	1.4	4.2	1.5	2.0	−6.1	19	11.8	9	71	74	79	75	25	9
Juni	595.1	583.1	9	602.5	22	5.8	9.1	6.3	6.6	−2.4	11	16.4	24	80	72	81	78	25	24
Juli	596.5	590.8	26. 27	601.7	18	7.2	10.0	8.2	8.1	1.0	7	21.0	18	81	81	87	83	40	18
August	597.2	591.3	8	602.5	19	6.2	9.1	6.9	7.0	−2.0	8	16.6	22	81	77	82	80	43	11. 21
September	596.3	583.1	14	601.2	25	4.4	7.9	5.3	5.5	−4.2	15	18.0	3	75	72	79	75	24	20
Oktober	592.7	583.2	21	598.6	1. 14	0.5	4.3	1.2	1.8	−6.0	29	13.0	11. 14	67	65	69	67	6	9
November	592.1	584.6	24	596.8	22	−1.3	1.6	−1.4	−0.6	−13.0	25	16.2	7	56	50	58	55	8	29
Dezember	588.9	576.0	15	600.3	3	−2.3	−0.8	−2.4	−1.9	−11.4	31	7.0	2	75	71	77	74	8	9
Jahr	592.0	569.4	II	602.5	VI VIII	0.3	3.3	1.0	1.3	−15.5	I	21.0	VII	74	70	75	73	6	X

Sarnen

$\lambda = 8° 15'$, $\beta = 46° 54'$, $H_b = 479^m$, $G = -0.03$ mm, $h_r = 1.5^m$

Januar	716.2	701.1	16	725.5	24	−0.2	2.1	0.9	0.9	−10.4	19	11.8	14	90	81	89	87	53	14
Februar	712.2	698.6	19	723.8	7	−0.1	3.7	1.0	1.4	−6.7	19	14.4	1	85	67	80	77	30	1
März	717.8	704.9	21	727.4	4	−0.3	5.6	2.2	2.4	−9.6	7	17.6	24	82	57	74	71	35	19
April	723.4	717.9	24	731.0	12	5.2	12.7	8.2	8.6	−0.8	2	23.1	30	83	50	70	68	34	24
Mai	721.3	713.9	17	730.2	22	10.4	16.4	11.4	12.4	4.8	23	23.2	1. 6	82	50	76	69	37	1. 25
Juni	720.8	706.5	9	728.8	22	14.5	20.1	15.3	16.3	8.4	12	24.3	24	85	56	82	74	40	1
Juli	720.5	713.4	26	724.9	6	16.1	20.2	17.1	17.6	10.4	7	28.0	18	89	66	87	81	48	19
August	721.5	715.2	12	726.4	16	14.1	20.1	16.0	16.5	8.4	10	25.1	23	92	60	86	79	45	18
September	722.1	709.2	14	728.0	30	11.4	17.3	12.7	13.5	6.2	30	22.4	5	95	63	91	83	42	17
Oktober	720.4	707.0	21	727.7	25	6.1	11.3	7.3	8.0	−2.4	30	15.4	15	95	66	91	84	47	27
November	722.7	713.9	24	730.1	27	1.6	5.1	2.8	3.1	−7.2	26	14.3	5	88	75	86	83	60	15. 20
Dezember	719.1	702.8	15	732.9	5	3.0	5.4	3.6	3.9	−2.2	2	13.2	29	93	81	90	88	34	30
Jahr	719.8	698.6	II	732.9	XII	6.8	11.7	8.2	8.7	−10.4	I	28.0	VII	88	64	84	79	30	II

Engelberg

Die Abendbeobachtung erfolgt um 20.30

$\lambda = 8° 25'$, $\beta = 46° 49'$, $H_b = 1017.8^m$, $G = -0.12$ mm, $h_r = 1.5^m$

Januar	670.2	657.0	16	678.2	24	−2.2	1.7	−0.9	−0.5	−12.5	19	9.7	27	79	66	76	74	36	27. 31
Februar	666.1	651.8	19	676.9	7	−2.7	−0.3	−2.5	−2.0	−11.9	12	9.9	1	71	68	76	72	35	1
März	671.7	660.0	8	679.3	4	−3.5	2.3	−1.5	−1.1	−12.8	7	18.3	25	76	61	73	70	33	25
April	677.6	672.7	1	683.6	12	1.9	8.6	5.0	4.9	−3.7	2	19.8	29	76	51	69	65	33	13
Mai	676.2	669.2	15	683.0	22	6.8	12.5	8.0	8.7	0.6	22. 23	20.7	6	76	54	76	69	34	16
Juni	676.4	663.9	9	682.9	22	11.1	16.2	12.0	12.6	4.3	11	23.5	19	77	61	87	75	40	9
Juli	676.8	670.8	26	680.3	17. 18	12.6	16.7	13.8	13.9	7.7	7	25.6	18	87	74	91	84	47	18
August	677.6	673.4	7	681.3	23	10.7	16.3	12.7	12.8	4.5	10	21.6	23	89	71	92	84	50	22
September	677.4	665.8	14	681.6	25	8.0	13.5	9.6	10.1	0.8	30	18.9	3	93	71	93	86	44	15
Oktober	675.0	663.4	21	681.2	25	2.8	7.8	4.4	4.8	−5.1	29	14.5	21	90	75	88	84	35	20
November	676.2	667.7	24	681.5	27	−1.4	2.7	−0.3	0.1	−13.3	26	15.3	7	87	73	87	82	37	4
Dezember	673.2	658.6	15	685.1	5	0.6	2.9	0.7	1.3	−5.0	20	9.5	29	83	73	84	80	27	30
Jahr	674.5	651.8	II	685.1	XII	3.7	8.4	5.1	5.5	−13.3	XI	25.6	VII	82	66	83	77	27	XII

Altdorf I

$\lambda = 8° 38'$, $\beta = 46° 53'$, $H_b = 456.3^m$, $G = -0.05$ mm, $h_r = 1.5^m$

Januar	718.1	702.8	16	727.1	24. 25	1.6	3.4	1.9	2.2	−5.5	19	13.2	31	84	82	87	84	35	2
Februar	714.0	699.4	19	725.2	7	0.9	3.5	1.5	1.8	−5.5	15. 19	13.8	1	81	71	77	76	37	1
März	719.7	707.1	21	729.2	4	1.8	5.8	3.5	3.7	−5.4	7	16.5	24. 26	78	61	71	70	35	21
April	725.2	719.7	24	732.9	12	5.9	12.1	8.6	8.8	0.4	2	21.7	30	82	57	71	70	42	21
Mai	723.0	715.0	2	732.0	22	10.3	15.5	11.0	12.0	4.0	23	24.7	6	80	54	78	71	35	6
Juni	722.5	709.0	9	730.8	22	14.2	19.1	15.3	16.0	8.0	12	24.9	19	86	59	86	77	40	19
Juli	722.7	715.6	26	727.0	7	15.6	19.5	16.6	17.1	10.2	8	26.2	18	93	72	90	85	54	2
August	723.6	718.8	7	727.6	15. 23	14.2	19.2	15.7	16.2	9.3	10	24.4	23	94	68	90	84	48	6
September	723.9	711.6	14	729.4	30	11.8	16.2	12.8	13.4	5.4	29	20.7	3	94	68	91	84	50	17
Oktober	722.1	709.5	21	729.3	25	6.9	11.2	7.6	8.3	−1.0	30	17.1	20	89	69	86	81	38	20
November	724.3	715.8	24	732.0	27	2.3	5.6	3.2	3.6	−6.9	26	13.3	5	85	74	84	81	50	18
Dezember	720 9	704.1	15	735.4	5	2.9	6.1	3.5	4.0	−2.2	7	12.4	14	90	78	88	85	36	14
Jahr	721.7	699.4	II	735.4	XII	7.4	11.4	8.4	8.9	−6.9	XI	26.2	VII	86	68	83	79	35	I/III V

Beobachter: Pilatusbahn

Pilatus-Kulm

Bewölkung				Termine mit Nebel				Niederschlag			Zahl der Tage								Windverteilung									1955
7^{30}	13^{30}	21^{30}	Mittel	7^{30}	13^{30}	21^{30}	Total	Summe	Maximum	Tag	● *	● * ≥1.0	*	▲	K	≡	heiter	trüb	N	NE	E	SE	S	SW	W	NW	Calmen	
6.3	6.6	6.9	6.6	9	6	5	20	134	33	12	15	15	14	—	—	11	5	13	1	6	—	13	14	12	17	5	25	Januar
8.4	8.5	7.7	8.2	16	18	6	40	218	33	6	20	20	20	—	—	21	—	17	4	3	1	9	7	12	38	6	4	Februar
5.0	5.8	5.6	5.5	5	6	5	16	97	14	28	16	16	14	—	—	9	9	9	7	12	—	18	10	15	15	5	11	März
5.3	6.1	5.9	5.8	10	11	2	23	89	19	15	13	13	12	—	—	13	5	12	6	22	—	3	—	9	25	13	12	April
6.2	8.2	7.2	7.2	4	9	5	18	184	28	25	21	21	15	—	—	11	2	17	3	9	12	—	7	19	42	—	1	Mai
6.8	7.8	8.1	7.6	3	2	2	7	189	26	20	19	17	3	—	1	5	1	13	—	9	—	1	—	44	20	16	—	Juni
7.8	9.0	9.1	8.6	9	15	13	37	404	49	27	22	22	—	1	4	22	—	22	—	20	—	—	—	37	11	25	—	Juli
6.8	8.0	8.2	7.7	4	8	4	16	276	45	30	14	13	2	2	—	13	—	16	—	14	—	—	—	68	1	10	—	August
6.2	6.8	7.0	6.7	10	8	9	27	203	34	26	13	13	5	—	—	14	5	15	—	20	—	—	—	57	3	10	—	September
5.9	5.2	6.1	5.7	5	6	4	15	82	19	21	8	8	6	—	—	9	6	10	—	7	—	—	—	63	8	15	—	Oktober
3.9	4.1	4.6	4.2	3	4	8	15	24	15	24	2	2	2	—	—	7	11	5	9	13	—	1	—	23	6	27	11	November
6.9	6.1	6.0	6.3	3	5	3	11	150	?	—	20	20	18	—	—	7	6	13	11	—	—	—	6	3	41	24	8	Dezember
6.3	6.9	6.9	6.7	81	98	66	245	2050	49	VII	183	180	111	3	5	142	50	162	41	135	13	45	44	362	227	156	72	Jahr

Beobachter: P. Ch. Durrer

Sarnen

9.5	8.9	9.4	9.3	3	—	6	9	112	28	11	12	10	3	—	—	9	—	27	—	45	—	—	—	4	—	—	44	Januar
8.8	7.7	8.3	8.3	2	—	—	2	97	24	17	15	13	10	—	—	3	—	17	—	23	—	—	—	12	—	—	49	Februar
7.1	7.0	7.0	7.0	1	—	—	1	32	10	28	11	8	7	—	—	1	2	15	—	40	—	—	—	—	—	—	53	März
5.5	5.6	6.0	5.7	1	—	—	1	47	11	9	9	6	2	—	—	1	4	8	—	53	—	—	—	1	—	—	36	April
5.9	6.8	6.0	6.2	—	—	—	—	112	20	11	16	14	—	—	—	—	4	10	—	39	—	—	—	2	—	—	52	Mai
6.7	6.5	7.6	6.9	1	—	—	1	150	30	7	19	17	—	—	3	1	—	10	—	33	—	—	—	4	—	—	53	Juni
7.8	7.2	8.0	7.7	—	—	—	—	255	37	21	23	23	—	—	7	—	—	17	—	28	—	—	—	6	—	—	59	Juli
6.2	7.2	7.1	6.8	—	—	—	—	197	46	30	17	14	—	—	3	—	—	10	—	28	—	—	—	11	—	—	54	August
8.7	6.1	7.2	7.3	6	—	—	6	95	18	9	13	12	—	—	1	7	—	11	—	34	—	—	—	6	—	—	50	September
8.5	6.8	7.4	7.6	4	—	—	4	59	27	21	9	7	—	—	—	5	1	17	—	41	—	—	—	—	—	—	52	Oktober
8.8	7.2	8.3	8.1	2	—	4	6	12	7	24	8	2	2	—	—	7	1	19	—	46	—	—	—	—	—	—	44	November
8.7	7.4	8.6	8.2	3	2	3	8	82	13	15	19	16	2	—	—	6	—	17	—	25	—	—	—	8	—	—	60	Dezember
7.7	7.0	7.6	7.4	23	2	13	38	1250	46	VIII	171	142	26	—	14	40	12	178	—	435	—	—	—	54	—	—	606	Jahr

Beobachter: P. A. Jenny

Engelberg

6.4	7.2	6.6	6.7	1	2	3	6	169	45	11	11	11	6	—	—	5	6	14	—	1	—	31	—	4	—	16	41	Januar
7.9	8.3	7.4	7.9	—	—	3	3	158	47	8	20	17	20	—	—	4	1	16	—	7	—	28	—	6	—	33	10	Februar
6.4	6.1	6.4	6.3	2	1	1	4	57	12	29	13	11	10	—	—	3	3	12	—	1	—	30	—	7	—	37	18	März
5.1	5.5	5.6	5.4	—	—	1	1	101	22	11	12	12	3	—	—	1	6	10	—	2	—	29	—	5	—	32	22	April
6.2	6.8	6.1	6.4	—	—	—	—	165	22	2	19	17	5	1	2	—	3	13	—	5	—	29	—	5	—	31	23	Mai
5.4	7.0	7.5	6.6	—	—	—	—	173	38	7	22	20	—	1	3	—	1	12	—	7	—	32	—	7	—	29	15	Juni
6.8	7.6	8.1	7.5	—	—	—	—	224	21	26	24	23	—	—	5	—	2	15	—	5	—	21	—	8	—	28	31	Juli
5.6	6.9	7.0	6.5	—	—	—	—	195	36	7	19	16	—	—	6	—	1	11	—	4	—	29	1	19	—	14	26	August
5.3	6.0	6.6	6.0	2	—	1	3	126	16	10	16	14	—	—	2	3	4	9	—	—	—	25	—	8	—	22	35	September
5.2	5.2	6.0	5.5	2	2	3	7	107	43	21	11	10	5	—	—	5	11	12	—	—	—	21	—	17	—	25	30	Oktober
5.1	5.5	6.0	5.5	2	1	3	6	35	23	24	6	5	5	—	—	5	6	9	—	—	—	37	—	5	—	22	26	November
6.5	6.1	6.5	6.4	1	1	—	2	111	11	27	19	16	6	—	—	2	3	11	—	1	—	46	—	6	—	15	25	Dezember
6.0	6.5	6.7	6.4	10	7	15	32	1621	47	II	192	172	60	2	18	28	47	144	—	33	—	358	1	97	—	304	302	Jahr

Beobachter: Frl. H. Nager

Altdorf I

9.5	8.7	8.9	9.0	3	3	3	9	133	40	11	10	8	2	—	—	4	—	25	2	—	1	5	—	—	1	4	80	Januar
9.0	8.4	7.6	8.3	—	—	—	—	129	37	8	17	14	11	—	—	—	—	18	3	—	3	3	2	1	—	12	60	Februar
7.7	7.0	8.1	7.6	—	—	—	—	45	11	29	11	8	7	—	—	—	—	15	1	—	5	2	1	—	1	17	66	März
5.1	5.7	5.9	5.6	—	—	—	—	73	19	11	11	10	2	—	—	—	7	10	4	2	1	1	1	—	2	22	57	April
6.2	6.7	6.2	6.4	—	—	—	—	121	17	2	16	16	—	—	2	—	4	14	3	1	3	1	1	—	5	24	55	Mai
6.5	7.1	8.0	7.2	—	—	—	—	150	37	7	21	20	—	—	4	—	1	15	6	1	1	4	3	—	1	14	60	Juni
7.3	7.4	8.7	7.8	—	—	—	—	181	39	27	24	22	-	—	7	1	1	17	2	—	—	2	1	—	3	14	71	Juli
6.2	6.8	6.7	6.6	—	—	—	—	156	28	30	16	15	—	—	5	3	3	13	1	—	1	—	—	—	1	12	78	August
6.5	6.0	5.6	6.0	—	—	—	—	98	22	28	15	13	—	—	2	—	1	7	1	1	—	—	—	—	—	10	78	September
6.9	6.0	6.5	6.5	—	—	—	—	72	45	21	10	9	—	—	—	—	5	16	1	2	—	1	2	—	1	7	79	Oktober
9.1	6.6	7.8	7.8	1	—	1	2	20	19	24	1	1	1	—	—	2	—	16	5	2	—	—	—	—	—	5	78	November
9.5	7.8	8.3	8.5	2	1	2	5	85	14	27	18	16	1	—	—	3	—	20	2	—	2	2	—	—	1	5	81	Dezember
7.5	7.0	7.4	7.3	6	4	6	16	1253	45	X	170	152	24	-	20	13	22	186	31	9	17	21	11	1	16	146	843	Jahr

Altdorf II

$\lambda = 8° 38'$, $\beta = 46° 52'$, $H_b = ca\ 450^m$, $G = -0.05$ ‰, $h_r = 1.5^m$

1955	Luftdruck					Luft-Temperatur								Relative Feuchtigkeit					
	Mittel	Minimum	Tag	Maximum	Tag	7^{30}	13^{30}	21^{30}	Mittel	Minimum	Tag	Maximum	Tag	7^{30}	13^{30}	21^{30}	Mittel	Minimum	Tag
Januar	—	—	—	—	—	1.1	3.4	1.4	1.8	-8.2	19	14.3	31	87	81	89	86	31	31
Februar	—	—	—	—	—	0.2	3.6	0.9	1.4	-7.8	19	14.2	1	87	72	84	81	32	1
März	720.1	706.3	21	729.7	4	0.7	6.1	3.0	3.2	-6.8	18	17.6	24	85	64	77	75	30	21
April	725.7	720.0	24	733.1	12	5.0	12.7	8.4	8.6	-1.2	2	23.0	30	89	59	74	74	41	24 . 29
Mai	723.5	716.3	15	732.4	22	10.0	16.2	10.8	12.0	4.6	23	26.2	6	81	57	81	73	28	6
Juni	723.0	709.6	9	730.8	22	14.2	19.7	15.1	16.0	8.0	11 . 12	27.4	19	87	63	87	79	34	19
Juli	723.2	716.4	26	727.5	7	15.3	20.1	16.3	17.0	9.5	8	27.7	18	92	74	92	86	56	12
August	724.1	719.0	12	728.5	15	13.6	19.9	15.5	16.1	8.2	10	25.6	23	94	69	92	85	48	3
September	724.5	712.8	14	730.1	30	10.7	17.1	12.5	13.2	4.4	29	22.0	4	94	69	94	86	50	12
Oktober	722.5	709.6	21	730.0	25	6.2	11.8	7.4	8.2	-2.2	30	18.8	20	93	75	95	88	36	20
November	724.8	716.0	24	732.6	27	1.2	6.0	2.5	3.1	-8.6	26	15.4	5	94	78	93	88	51	26
Dezember	721.4	704.7	15	735.3	5	2.3	6.2	3.1	3.7	-3.6	7	14.0	14	97	83	95	92	32	14
Jahr	—	—	—	—	—	6.7	11.9	8.1	8.7	-8.6	IX	27.7	VII	90	70	88	83	28	V

Göschenen

$\lambda = 8° 35'$, $\beta = 46° 40'$, $H_b = 1106.1^m$, $G = -0.16$ ‰, $h_r = 1.5^m$

Januar	663.4	650.4	16	671.2	25	0.5	2.7	1.7	1.6	-9.4	19	9.2	27	74	69	72	72	35	19
Februar	659.0	644.3	19	668.9	7	-2.1	-0.5	-2.2	-1.8	-9.0	11	7.0	1. 2	80	79	82	80	54	12 . 15
März	664.4	652.4	8	672.8	3	-1.6	1.8	-0.4	-0.1	-8.4	1. 19	15.2	25	73	62	78	71	32	8
April	670.3	664.7	1	678.1	12	3.6	7.9	4.4	5.1	-2.8	1. 16	19.4	30	72	60	78	70	33	20
Mai	669.1	662.3	15	677.0	22	7.3	10.8	7.5	8.3	0.4	15	19.2	1	72	64	80	72	21	9
Juni	669.7	660.0	9	676.5	23	11.0	15.8	11.2	12.3	1.4	12	22.8	19	75	62	85	74	+40	6
Juli	670.1	662.6	26	673.9	18	12.4	15.9	12.3	13.2	6.4	7	22.0	2	81	78	91	83	50	2. 20
August	669.1	663.8	8	674.0	23	12.5	15.8	11.8	13.0	6.0	8	20.4	23	74	68	87	76	41	26
September	668.7	655.9	14	673.3	25	8.8	12.5	9.7	10.2	1.8	30	19.0	3	83	72	90	82	48	22
Oktober	666.4	657.0	21	672.5	9	4.0	7.2	4.5	5.1	-3.4	29	13.2	15	77	67	81	75	35	27
November	667.6	658.9	24	673.1	22	1.1	3.7	1.7	2.0	-11.0	26	14.4	8	70	63	70	68	35	4
Dezember	664.3	651.1	15	676.7	5	1.4	3.2	1.9	2.1	-5.0	31	7.6	15	72	66	72	70	40	13 . 23
Jahr	666.8	644.3	II	678.1	IV	4.9	8.1	5.2	5.9	-11.0	XI	22.8	VI	75	68	80	74	21	V

Göschenen: Stationsverlegung am 30. Juli. Neues H_b = 1124.6 m

St. Gotthard

$\lambda = 8° 34'$, $\beta = 46° 33'$, $H_b = 2095^m$, $G = -0.25$ ‰, $h_r = 1.8^m$

Januar	586.4	574.4	18	593.1	25	-6.9	-3.5	-6.3	-5.7	-16.7	1	1.8	14	95	76	82	81	31	10
Februar	580.9	569.5	19	589.5	8	-9.3	-6.8	-9.0	-8.5	-16.6	14	-1.2	8	86	84	85	85	44	28
März	586.3	575.5	6	596.6	23	-7.8	-3.9	-7.3	-6.6	-17.2	6	6.7	25	80	72	88	80	31	25
April	592.3	585.6	1	597.2	13	-3.9	0.0	-2.9	-2.4	-10.4	16	9.5	29 . 30	81	70	89	80	31	2
Mai	592.5	585.4	15	598.7	8	-0.1	4.8	0.1	1.2	-6.7	16	11.7	9	84	65	91	80	30	5
Juni	593.9	585.2	9	599.5	22	4.4	8.8	4.6	5.6	-2.4	12	15.7	24	88	68	96	84	27	24
Juli	594.5	588.9	27	600.1	18	7.0	11.0	7.3	8.2	0.6	7	19.3	18	88	74	93	85	30	18
August	595.0	588.1	8	600.1	22	5.8	9.6	6.3	7.0	-0.8	9	15.8	22	80	73	95	86	46	23
September	594.2	581.9	14	599.0	24 . 25	3.7	7.6	4.2	4.9	-4.2	15 . 29	16.0	4	89	74	92	85	37	25
Oktober	591.1	583.7	18	596.7	14	-1.0	2.5	-0.5	0.1	-10.2	29	9.7	15	84	74	89	82	23	9
November	591.3	581.5	24	596.4	6	-4.2	-2.3	-4.1	-3.7	-15.0	25	6.2	7	73	72	79	75	25	28
Dezember	588.7	577.7	15	599.3	3. 6	-4.1	-2.3	-4.3	-3.7	-11.8	21	5.2	7	81	72	76	76	22	7
Jahr	590.6	569.5	II	600.1	VII VIII	-1.4	2.1	-1.0	-0.3	-17.2	III	19.3	VII	84	73	88	82	22	XII

Jura

Basel (Binningen)

$\lambda = 7° 35'$, $\beta = 47° 33'$, $H_b = 317.3^m$, $G = 0.11$ ‰, $h_r = 1.5^m$

Januar	730.7	713.9	16	740.1	24	-0.5	2.5	0.8	0.9	-5.4	19	12.0	12	90	79	85	85	57	16
Februar	726.8	712.1	19	738.2	7	0.3	4.0	1.2	1.7	-7.0	28	11.6	8	87	71	85	81	45	13
März	732.6	719.5	21	741.4	3	0.0	7.1	3.0	3.3	-5.3	7	21.8	25	85	55	73	71	34	19
April	737.7	732.8	23 . 24	744.7	12	5.7	14.7	8.4	9.3	-2.0	1	26.9	29	78	42	66	62	24	21
Mai	735.4	728.1	17	744.1	22	10.6	17.4	10.7	12.3	4.7	22	28.9	6	73	50	73	65	28	6
Juni	734.8	723.4	9	741.8	23	14.8	20.9	15.2	16.5	8.4	12	29.0	25	80	59	83	74	26	1
Juli	734.7	729.2	26	739.0	6	16.6	22.5	17.4	18.5	10.1	6	32.5	18	88	65	85	79	50	19
August	735.6	731.4	7	740.0	16	14.2	22.6	16.2	17.3	9.5	10	27.5	23	91	61	88	80	45	18
September	736.1	724.7	14	742.0	30	11.8	19.0	13.1	14.2	4.0	30	26.4	3	95	63	92	84	42	21
Oktober	734.7	722.4	21	741.5	9	5.3	12.4	7.2	8.0	-3.1	31	17.9	3	94	65	90	83	41	29
November	737.0	728.8	24	744.0	26 . 27	1.1	6.6	3.1	3.5	-7.2	27	18.9	7	95	73	88	85	53	7. 17
Dezember	733.2	716.7	15	747.8	5	3.4	6.4	4.2	4.5	-2.3	7	12.2	28	90	78	88	85	48	7
Jahr	734.1	712.1	II	747.8	XII	6.9	13.0	8.4	9.2	-7.2	XI	32.5	VII	87	64	83	78	24	IV

Beobachter: Eidg. Armeemagazine

Altdorf II

Bewölkung				Termine mit Nebel				Niederschlag			Zahl der Tage								Windverteilung									1955
7³⁰	13³⁰	21³⁰	Mittel	7³⁰	13³⁰	21³⁰	Total	Summe	Maximum	Tag	● ✳	●* ≧1.0	✳	▲	⛆	≡	heiter	trüb	N	NE	E	SE	S	SW	W	NW	Calmen	
8.7	8.7	8.3	8.6	4	—	3	7	133	45	11	10	8	2	—	—	5	1	21	—	—	—	—	—	—	—	—	—	Januar
8.9	8.6	7.1	8.2	—	—	1	1	114	33	8	15	14	11	—	—	1	1	18	18	—	—	5	2	2	—	14	43	Februar
7.3	6.5	6.1	6.6	—	—	—	—	38	11	29	8	7	5	—	—	—	2	13	7	—	7	3	4	1	1	15	55	März
5.3	5.3	3.8	4.8	—	—	—	—	67	18	11	10	10	1	—	1	—	10	10	21	—	—	—	2	—	5	6	56	April
6.2	6.3	4.9	5.8	1	—	1	2	110	15	2	16	16	—	—	2	2	5	10	13	1	—	2	2	—	1	17	57	Mai
6.4	6.9	7.2	6.8	—	—	—	—	146	37	7	21	19	—	—	1	—	1	13	11	—	—	1	6	2	—	14	56	Juni
7.2	7.4	7.7	7.4	3	1	1	5	161	21	27	23	22	—	—	5	4	2	14	7	—	—	—	1	—	1	13	71	Juli
7.2	6.9	5.8	6.6	—	—	—	—	151	27	7	16	15	—	—	?1	—	2	12	8	1	1	7	9	2	2	11	52	August
6.6	5.4	4.3	5.4	—	—	—	—	86	19	28	14	12	—	—	1	—	6	6	13	—	—	2	4	—	1	6	64	September
7.0	5.8	5.2	6.0	—	—	—	—	70	46	21	9	9	1	—	—	—	6	12	12	—	1	10	17	—	1	13	39	Oktober
7.5	5.9	6.0	6.5	3	—	3	6	15	14	24	1	1	1	—	—	6	3	12	7	—	3	2	4	—	1	6	67	November
7.6	7.2	6.5	7.1	3	1	1	5	87	13	27	16	16	1	—	—	3	3	13	5	—	2	8	2	1	1	2	72	Dezember
7.2	6.7	6.1	6.7	14	2	10	26	1178	46	X	159	149	22	—	11	21	42	154	—	—	—	—	—	—	—	—	—	Jahr

Beobachter: W. Etterlin

Göschenen

6.1	6.7	5.6	6.1	1	1	2	4	155	44	12	8	8	7	—	—	3	7	12	3	1	—	1	35	17	—	—	36	Januar
8.7	8.1	7.1	8.0	2	1	2	5	146	45	8	16	14	15	—	—	5	1	18	5	4	—	1	15	22	1	—	38	Februar
5.8	5.8	6.2	5.9	3	2	2	7	23	7	29	12	7	10	—	—	5	3	9	4	2	—	1	17	27	—	—	42	März
5.0	5.2	5.1	5.1	—	—	—	—	75	21	11	8	8	4	—	—	—	10	10	10	14	—	2	9	18	—	2	35	April
5.5	6.2	5.8	5.8	—	—	—	—	87	10	21	15	15	4	—	—	—	4	10	6	9	—	1	11	23	1	11	31	Mai
6.5	6.8	7.8	7.0	—	—	—	—	113	44	7	17	14	—	—	1	—	1	11	4	9	—	3	8	11	1	1	52	Juni
6.4	7.0	8.1	7.2	2	—	—	2	135	18	13	22	18	—	—	4	2	2	12	6	10	2	2	4	7	1	3	58	Juli
5.9	6.5	6.4	6.3	1	2	2	5	70	18	30	16	8	—	—	—	3	2	12	7	3	3	6	3	2	1	10	58	August
5.4	6.0	7.1	6.2	5	2	5	12	68	13	9	15	13	—	—	—	8	5	12	2	6	2	—	2	6	1	4	67	September
5.8	4.8	5.6	5.4	4	1	4	9	141	92	21	9	6	4	—	—	6	9	9	—	8	—	7	2	8	—	2	66	Oktober
5.0	5.2	4.6	4.9	4	3	4	11	23	17	24	5	3	4	—	—	7	8	9	1	4	—	10	4	9	1	3	58	November
6.0	6.7	5.8	6.2	1	2	4	7	91	21	27	15	15	8	—	—	4	5	11	—	5	—	10	2	5	—	—	71	Dezember
6.0	6.3	6.3	6.2	23	14	25	62	1127	92	X	158	129	56	—	5	43	57	135	48	75	7	45	110	155	7	36	612	Jahr

Beobachter: E. Chiesa

St. Gotthard

6.5	6.0	6.4	6.3	10	9	12	31	215	35	17	15	14	15	—	—	16	16	7	—	—	—	50	—	—	—	20	23	Januar
8.1	8.0	7.9	8.0	14	14	13	41	238	30	1	21	21	21	—	—	20	2	17	—	—	—	33	—	—	—	41	10	Februar
5.1	5.1	5.9	5.4	8	6	12	26	65	9	11	15	14	14	—	—	17	7	11	—	—	—	20	—	—	—	41	32	März
4.7	4.3	5.3	4.8	9	5	9	23	26	7	11	11	10	10	—	—	16	9	10	—	—	—	2	—	—	—	68	20	April
5.8	5.7	6.7	6.1	10	6	13	29	139	32	27	16	14	8	—	—	18	5	13	—	—	—	10	—	—	—	38	45	Mai
6.7	7.2	8.3	7.4	11	7	13	31	257	94	7	16	14	6	—	1	21	1	16	—	—	—	27	—	—	—	49	14	Juni
5.9	7.1	8.2	7.1	4	4	11	19	125	21	3	23	20	—	—	4	17	3	15	—	—	—	10	—	—	—	64	19	Juli
6.5	6.4	7.0	6.6	4	1	7	12	77	23	30	15	13	2	—	1	14	2	16	—	—	—	11	—	—	—	59	23	August
5.4	5.1	6.1	5.5	12	7	13	32	108	30	7	13	11	4	—	1	17	6	12	—	—	—	12	—	—	—	50	28	September
6.0	4.8	5.0	5.3	9	4	10	23	151	74	21	13	9	11	—	—	18	8	10	—	—	—	23	—	—	—	37	33	Oktober
4.5	5.3	5.6	5.1	8	6	7	21	59	33	9	10	6	9	—	—	14	10	11	—	—	—	13	—	—	—	43	34	November
6.4	5.5	4.2	5.4	6	4	4	14	80	14	29	17	15	17	—	—	13	5	6	—	—	—	14	—	—	—	44	35	Dezember
6.0	5.9	6.4	6.1	105	73	124	302	1560	94	VI	185	161	117	—	7	201	74	144	—	—	—	225	—	—	—	554	316	Jahr

Jura

Beobachter: Astronom.-Meteorolog. Anstalt

Basel (Binningen)

7.6	8.0	6.8	7.5	5	3	2	10	88	20	12	15	9	5	—	—	9	4	17	2	7	36	9	1	6	9	7	16	Januar
8.6	7.8	8.4	8.3	4	2	1	7	74	15	8	17	15	8	—	—	5	—	17	1	2	16	3	2	9	19	9	23	Februar
7.2	5.4	5.3	6.0	2	—	—	2	47	15	28	9	9	5	—	—	2	4	9	6	7	26	11	3	6	10	14	10	März
4.3	4.6	4.4	4.4	—	—	—	—	18	11	8	6	3	—	—	—	—	11	7	10	2	10	4	7	7	22	14	14	April
6.2	6.8	5.7	6.2	—	—	—	—	80	32	17	12	12	—	—	1	—	5	10	1	1	17	8	9	15	19	12	11	Mai
6.0	6.6	6.1	6.2	1	—	—	1	121	34	7	15	13	—	3	3	2	2	8	5	3	13	6	7	7	10	18	21	Juni
7.9	6.9	6.7	7.2	1	—	—	1	115	25	26	14	12	—	—	9	1	3	14	2	1	4	4	7	7	14	19	35	Juli
6.7	5.0	5.1	5.6	5	—	—	5	175	53	27	13	13	—	—	9	6	3	6	3	—	13	9	4	4	8	15	37	August
8.0	5.9	4.9	6.3	6	—	—	6	57	23	9	8	8	—	—	—	7	3	12	3	—	9	11	7	10	14	12	24	September
7.4	5.0	5.2	5.9	7	—	—	7	25	8	6	11	6	—	—	—	11	3	9	3	1	15	6	4	7	10	12	35	Oktober
7.5	6.5	5.8	6.6	7	—	—	7	12	8	5	5	3	1	—	—	8	4	11	4	2	31	13	3	3	4	10	20	November
8.4	7.2	7.6	7.7	3	1	2	6	82	13	23	21	17	1	—	1	6	2	17	—	1	26	5	6	13	15	6	21	Dezember
7.2	6.3	6.0	6.5	41	6	5	52	894	53	VIII	146	120	20	3	23	57	44	137	40	27	216	89	63	94	154	148	267	Jahr

La Chaux-de-Fonds

$\lambda = 6° 50'$, $\beta = 47° 06'$, $H_b = 989.9^m$, $G = -0.03$ ‰, $h_r = ca\ 12^m$

1955	Luftdruck					Luft-Temperatur								Relative Feuchtigkeit					
	Mittel	Minimum	Tag	Maximum	Tag	7^{30}	13^{30}	21^{30}	Mittel	Minimum	Tag	Maximum	Tag	7^{30}	13^{30}	21^{30}	Mittel	Minimum	Tag
Januar	671.3	658.0	16	680.8	24	−0.6	2.9	0.7	0.9	−11.4	19	9.9	27	88	78	87	84	45	27
Februar	667.7	654.3	19	678.6	7	−2.6	1.0	−1.9	−1.4	−11.1	12. 15	9.1	1	89	76	90	85	52	1
März	673.0	659.1	7	682.3	3	−2.2	3.8	−0.4	0.2	−11.9	17	18.3	25	85	65	83	78	41	25
April	679.4	674.9	1. 24	685.7	12	3.5	9.9	5.9	6.3	−3.3	1	20.9	29	79	56	74	70	35	20
Mai	677.9	671.4	15	685.2	22	7.9	12.4	8.3	9.2	2.1	22	21.7	6	78	61	78	72	38	9
Juni	678.0	666.7	9	685.7	22	12.4	16.7	13.0	13.8	5.7	11	24.8	19	82	64	81	76	40	5
Juli	678.5	672.1	26	682.6	22	14.6	18.0	14.9	15.6	9.4	7	27.2	18	83	68	85	79	45	18. 19
August	679.1	673.9	7	683.2	23	12.2	17.8	13.8	14.4	7.5	10	23.7	23	86	64	83	78	46	11
September	679.1	668.3	14	683.5	20	8.7	14.7	10.4	11.1	2.3	30	19.9	3	90	66	87	81	49	8
Oktober	676.4	666.3	21	682.5	9	3.9	9.7	5.4	6.1	−4.3	29	15.1	3	87	65	85	79	46	19
November	677.6	669.5	1	683.7	27	−0.7	5.0	1.4	1.9	−12.7	26	16.9	7	87	70	86	81	49	7
Dezember	674.7	660.3	15	687.2	4	1.8	4.6	2.2	2.7	−3.1	7	8.5	14	90	80	88	86	41	7
Jahr	676.1	654.3	II	687.2	XII	5.0	9.7	6.1	6.7	−12.7	XI	27.2	VII	85	68	84	79	35	IV

Chasseron

Die Abendbeobachtung erfolgt um 20.30

$\lambda = 6° 32'$, $\beta = 46° 51'$, $H_b = 1588^m$, $G = -0.13$ ‰, $h_r = 1.5^m$

Januar	623.3	611.0	18	630.6	24. 25	−1.5	−0.5	−0.9	−1.1	−13.4	2	5.8	27	82	78	75	78	23	8
Februar	619.2	606.5	19	628.9	7	−5.9	−4.6	−5.5	−5.5	−13.4	14	4.6	1	96	94	93	94	22	18
März	624.4	613.5	8	632.6	4. 24	−4.1	−1.7	−3.8	−3.4	−14.0	1	13.0	25	82	80	88	83	33	15
April	631.2	624.3	1	637.1	13	0.4	4.1	1.8	1.8	−7.4	17	13.4	29. 30	82	67	77	75	26	13
Mai	630.4	623.5	15	636.4	8	3.2	5.9	4.2	4.0	−4.0	19	15.2	6	82	80	78	80	26	9
Juni	631.4	620.5	9	637.8	22	8.1	10.2	8.5	8.4	−1.0	11	17.2	24. 25	84	83	88	85	30	15
Juli	632.1	625.8	26	636.9	18	9.7	12.1	10.5	10.3	3.3	6	20.0	18	92	87	92	90	36	18
August	632.7	627.5	8	637.4	23	9.3	11.5	9.9	9.8	1.2	8	16.0	19/23. 24	90	84	90	88	53	10
September	632.1	620.2	14	636.9	25	6.4	9.0	6.8	7.1	−1.6	15	15.0	3. 20	91	85	92	89	38	30
Oktober	628.8	619.5	21	634.5	14. 25	1.9	4.2	2.2	2.6	−6.4	29	11.0	11. 15	83	79	85	82	26	27
November	629.4	621.2	1	635.4	27	−0.7	1.2	−0.6	−0.2	−12.6	25	13.4	7	78	74	80	77	12	26
Dezember	627.8	613.9	15	639.4	5	−0.5	0.5	−0.1	−0.1	−7.8	31	8.4	6	92	90	91	91	0	9
Jahr	628.6	606.5	II	639.4	XII	2.2	4.3	2.8	2.8	−14.0	III	20.0	VII	86	82	86	85	0	XII

Chasseron: Stationsverlegung am 23. November. Neues H_b = 1601 m. Alle Luftdruckwerte beziehen sich auf die alte Höhe.

Neuchâtel

$\lambda = 6° 57'$, $\beta = 47° 00'$, $H_b = 487.3^m$, $G = 0.02$ ‰, $h_r = 1.5^m$

Januar	715.6	700.9	16	725.0	24	−0.1	1.1	1.0	0.7	−8.3	19	10.3	12	92	87	90	90	63	1
Februar	711.7	698.2	19	723.1	7	0.3	2.8	1.2	1.4	−5.1	15	8.2	8	85	79	85	83	46	13
März	717.1	704.5	21	726.7	4	0.2	6.1	2.9	3.0	−5.7	4	18.3	24	86	62	75	74	43	19
April	722.7	717.5	23	729.3	12	5.8	14.1	9.6	9.8	−0.4	1	24.7	30	75	44	58	59	28	20. 21
Mai	720.7	713.7	17	728.8	22	10.0	16.1	11.7	12.4	5.7	19	24.2	1	76	52	64	64	28	8
Juni	720.2	708.5	9	727.9	22	13.9	19.7	15.6	16.2	7.7	12	26.3	25	86	63	73	74	43	2
Juli	720.2	713.8	26	724.0	7	16.4	21.4	17.6	18.2	11.7	7	28.4	19	88	67	78	78	40	4
August	721.1	716.8	12	725.6	16	14.7	21.6	17.2	17.7	10.8	8	28.2	24	91	62	75	76	40	8. 9. 10
September	721.6	710.0	14	726.7	30	11.7	17.5	13.6	14.1	5.7	14	23.6	5	91	69	83	81	50	13
Oktober	719.6	708.3	21	726.6	25	6.4	11.7	8.0	8.5	−2.3	30	17.0	14	88	67	80	78	44	29
November	721.9	713.7	24	729.5	27	2.1	4.8	3.1	3.3	−6.7	27	10.8	3	86	76	83	82	46	15. 16
Dezember	718.6	702.7	15	732.0	5	3.4	5.4	4.2	4.3	−1.3	2	9.8	29	89	83	87	86	58	30
Jahr	719.3	698.2	II	732.0	XII	7.1	11.8	8.8	9.1	−8.3	I	28.4	VII	86	68	78	77	28	IV V

Chaumont

$\lambda = 6° 59'$, $\beta = 47° 03'$, $H_b = 1141^m$, $G = -0.06$ ‰, $h_r = 1.5^m$

Januar	659.8	648.1	16	667.1	24	−1.0	1.7	0.1	0.2	−10.0	2	9.4	27	88	81	87	85	39	27
Februar	656.1	643.6	19	666.3	7	−3.6	−0.8	−2.8	−2.5	−10.0	15	7.0	1	95	85	94	91	56	1
März	661.2	649.1	21	668.7	4	−2.4	1.9	−1.8	−1.0	−9.6	1	15.4	25	89	75	86	83	44	15
April	667.2	663.0	1	672.6	12	3.3	9.6	4.7	5.6	−4.0	16	19.8	29	80	60	74	71	41	24
Mai	666.0	659.9	14	672.1	22	6.3	11.4	6.9	7.9	0.0	19	19.4	6	83	66	78	76	20	12
Juni	666.4	656.2	9	672.2	22. 23	10.9	15.7	11.2	12.3	4.0	11	24.0	25	90	76	88	85	43	2
Juli	666.9	661.0	26	670.4	7	12.9	16.9	13.1	14.0	6.8	7	23.8	18	94	79	90	88	48	1
August	667.6	663.5	12	671.1	23	11.7	17.2	12.4	13.4	5.4	9	28.6	22	93	75	89	86	56	6
September	667.5	655.7	14	671.5	25	8.8	13.6	9.8	10.5	1.8	15	19.0	3. 24	96	81	90	89	62	20
Oktober	664.5	654.6	21	670.7	1	3.5	8.3	4.3	5.1	−4.6	29	15.0	3	91	80	90	87	52	26
November	665.9	657.8	24	671.3	22	−0.4	3.2	0.1	0.8	−11.0	26	14.0	6	93	79	89	87	40	27
Dezember	663.1	648.7	15	673.8	5	1.1	2.9	1.8	1.9	−4.6	31	9.0	6	92	87	89	89	16	6
Jahr	664.4	643.6	II	673.8	XII	4.3	8.5	5.0	5.7	−11.0	XI	28.6	VIII	90	77	87	85	16	XII

Beobachter: **Police locale**

La Chaux-de-Fonds

Bewölkung				Termine mit Nebel				Niederschlag			Zahl der Tage								Windverteilung								1955
7³⁰	13³⁰	21³⁰	Mittel	7³⁰	13³⁰	21³⁰	Total	Summe	Maximum	Tag	● *	●* ≧1.0	*	▲	⛆	≡	heiter	trüb	N	NE	E	SE	S	SW	W	NW	Calmen	
7.5	7.0	6.9	7.1	2	—	—	2	239	56	11	15	14	8	1	1	7	4	18	1	—	—	—	—	10	—	3	79	Januar
8.2	7.9	7.1	7.7	—	—	2	2	193	42	8	19	18	19	—	—	5	1	15	—	—	—	4	1	20	—	2	57	Februar
5.5	5.3	4.5	5.1	—	—	—	—	40	8	28	16	12	12	—	—	2	6	7	1	9	—	—	1	4	—	3	75	März
4.2	4.3	2.8	3.8	—	—	—	—	23	9	11	8	5	2	—	—	—	13	4	—	13	1	—	—	2	1	5	68	April
5.4	6.5	5.0	5.6	—	—	—	—	160	38	17	13	13	2	1	2	—	5	11	1	1	—	1	1	13	1	6	69	Mai
5.5	7.6	6.3	6.5	—	—	—	—	169	40	7	20	17	—	—	6	2	3	12	—	—	—	—	—	4	1	2	83	Juni
5.9	6.8	6.1	6.3	—	—	—	—	100	16	15	16	14	—	—	5	—	2	10	—	2	—	—	—	2	1	1	87	Juli
4.5	6.5	4.4	5.1	—	—	—	—	123	19	11	18	15	—	1	9	3	11	8	—	—	—	—	—	1	—	1	91	August
5.2	6.0	4.9	5.4	1	—	—	1	99	27	14	12	11	2	—	3	5	6	11	—	—	—	—	—	3	1	3	83	September
4.6	4.4	4.7	4.6	—	1	—	1	46	13	6	9	9	1	—	—	8	8	7	1	—	1	1	1	10	—	2	77	Oktober
4.7	5.1	4.1	4.6	—	—	—	—	31	12	24	8	6	3	—	—	3	9	5	1	10	3	—	1	2	1	1	71	November
6.3	6.7	7.4	6.8	—	—	1	1	198	26	17	23	23	10	—	—	4	7	19	—	—	—	1	1	16	1	—	74	Dezember
5.6	6.2	5.4	5.7	3	1	3	7	1421	56	I	177	157	59	3	26	39	75	127	5	35	5	7	6	87	7	29	914	Jahr

Beobachter: **J. Liardon**

Chasseron

6.9	7.2	6.7	6.9	12	12	11	35	270	54	11	15	15	9	—	—	17	1	13	6	—	23	15	7	10	18	4	10	Januar
8.3	7.8	8.1	8.1	16	13	16	45	139	35	8	19	18	19	—	—	24	—	15	3	1	6	7	8	5	27	11	16	Februar
6.4	6.5	6.2	6.4	9	8	11	28	40	12	26	6	6	3	—	—	17	2	10	4	2	22	1	7	3	22	10	22	März
5.2	4.9	4.9	5.0	8	4	5	17	7	4	8	4	2	2	—	—	11	7	7	8	4	15	2	1	1	20	13	26	April
7.0	7.1	6.8	7.0	10	5	8	23	152	35	17	16	16	7	—	—	20	—	12	6	—	9	—	6	7	38	12	15	Mai
6.4	7.7	7.4	7.2	9	8	5	22	159	32	7	17	17	—	—	2	14	—	12	10	1	9	4	11	5	20	7	23	Juni
7.5	8.2	8.2	8.0	13	4	9	26	149	39	11	19	17	—	3	7	25	—	19	2	3	13	3	2	3	16	17	34	Juli
5.9	6.7	5.6	6.1	8	6	4	18	184	35	30	16	16	—	6	11	16	1	8	4	—	19	2	5	—	17	13	33	August
5.8	6.5	6.0	6.1	9	7	10	26	89	18	9	11	11	3	1	3	20	1	9	12	—	15	—	1	1	21	5	35	September
6.4	6.2	6.0	6.2	12	6	10	28	45	14	6	9	8	5	—	—	19	—	9	4	2	26	—	8	3	27	5	18	Oktober
6.1	5.3	5.8	5.7	10	6	8	24	37	14	9	8	5	3	—	1	15	3	6	7	3	27	8	10	5	11	3	16	November
7.4	7.7	7.6	7.6	16	15	20	51	194	29	28	20	19	15	—	—	24	1	18	7	—	3	—	10	6	42	13	12	Dezember
6.6	6.8	6.6	6.7	132	94	117	343	1465	54	I	160	150	66	10	24	222	16	138	73	16	187	42	76	49	279	113	260	Jahr

Beobachter: **Obervatorium**

Neuchâtel

9.5	9.5	9.3	9.4	4	5	3	12	179	26	11	14	14	6	—	—	6	—	27	—	22	1	—	1	15	5	2	47	Januar
9.0	8.1	7.7	8.3	1	1	—	2	133	28	8	16	16	11	—	—	2	—	17	—	10	1	1	3	29	11	2	27	Februar
7.3	6.7	5.0	6.3	1	—	—	1	29	12	26	9	6	3	—	1	1	4	9	2	34	7	2	2	14	6	1	25	März
4.1	4.1	2.8	3.7	—	—	—	—	9	4	11	4	3	2	—	—	—	12	4	7	16	7	3	8	5	4	4	36	April
5.8	6.5	5.7	6.0	—	—	—	—	95	43	17	13	10	—	—	3	—	5	10	1	9	3	2	6	25	8	9	30	Mai
6.9	7.7	6.5	7.0	—	—	—	—	95	34	7	18	12	—	—	2	1	2	15	2	11	5	2	2	13	6	3	46	Juni
5.9	6.5	5.6	6.0	—	—	—	—	79	12	14	17	14	—	—	7	—	2	8	3	16	12	2	—	7	6	3	44	Juli
5.8	5.6	4.5	5.3	—	—	—	—	113	33	27	11	9	—	—	4	—	7	8	5	10	9	4	—	3	5	3	54	August
7.7	5.4	4.7	5.9	4	—	—	4	44	14	14	10	7	—	—	1	4	2	11	1	10	2	5	1	3	6	3	59	September
7.5	5.5	5.1	6.0	3	—	—	3	34	13	6	8	7	—	—	—	3	8	10	2	17	5	3	2	5	13	3	43	Oktober
8.9	7.7	7.2	7.9	5	2	5	12	19	6	5	8	4	1	—	—	6	2	19	—	27	4	—	1	3	2	1	52	November
9.2	8.3	9.1	8.9	4	3	4	11	108	18	17	19	16	—	—	—	6	—	25	—	6	—	1	1	38	11	2	34	Dezember
7.3	6.8	6.1	6.7	22	11	12	45	937	43	V	147	118	23	—	18	29	44	163	23	188	56	25	27	160	83	36	497	Jahr

Beobachter: **Frau B. Burkhalter-Pierrehumbert**

Chaumont

7.0	7.0	6.9	7.0	6	4	6	16	215	32	12	15	15	7	—	—	11	5	14	1	—	14	8	2	7	17	2	42	Januar
9.1	8.1	6.5	7.9	4	3	5	12	141	28	8	18	18	18	—	—	8	1	17	3	—	11	1	—	9	23	6	31	Februar
6.2	5.5	4.1	5.3	2	1	2	5	45	10	26	13	12	9	—	—	4	4	7	—	1	33	1	—	10	16	2	30	März
3.8	4.1	2.3	3.4	3	—	1	4	20	12	8	4	3	1	—	—	4	13	2	2	6	24	6	1	—	17	4	39	April
5.7	6.0	5.2	5.6	5	1	—	6	152	43	27	15	14	2	—	2	6	4	9	—	—	15	—	—	12	32	7	27	Mai
6.2	6.4	5.8	6.1	3	1	—	4	150	39	7	18	18	—	—	4	6	3	9	—	—	16	3	1	9	8	3	50	Juni
6.3	6.8	5.7	6.3	8	3	3	14	138	26	27	17	14	—	—	6	11	4	8	2	1	21	5	1	1	7	6	49	Juli
4.9	5.5	3.9	4.8	5	1	—	6	141	42	27	13	13	—	—	5	6	9	7	1	1	29	4	1	6	7	2	42	August
5.7	5.9	4.0	5.2	5	3	2	10	65	12	4	11	10	2	1	3	10	5	6	4	—	27	4	1	2	10	11	31	September
5.6	4.7	3.6	4.6	7	4	2	13	40	13	6	9	9	—	—	—	10	9	7	1	2	36	1	—	5	20	2	26	Oktober
5.9	5.7	4.2	5.3	5	9	3	17	34	10	24	7	7	2	—	—	10	6	9	5	2	37	—	—	2	8	—	36	November
7.1	7.0	6.3	6.8	10	7	4	21	151	20	30	20	20	12	—	—	13	5	14	—	—	5	2	—	13	34	4	35	Dezember
6.1	6.1	4.9	5.7	63	37	28	128	1292	43	V	160	153	53	1	20	99	68	109	19	13	268	35	7	76	199	49	429	Jahr

9647

Biel

$\lambda = 7° 15'$, $\beta = 47° 08'$, $H_b = 435.8^m$, $G = 0.04$ mm, $h_r = 1.5^m$

1955	Luftdruck					Luft-Temperatur								Relative Feuchtigkeit					
	Mittel	Minimum	Tag	Maximum	Tag	7^{30}	13^{30}	21^{30}	Mittel	Minimum	Tag	Maximum	Tag	7^{30}	13^{30}	21^{30}	Mittel	Minimum	Tag
Januar	720.5	705.3	16	739.2	24	−0.2	1.7	0.9	0.8	−8.0	19	11.0	12	83	74	83	80	50	1. 18
Februar	716.1	702.6	19	727.6	7	0.6	3.0	1.3	1.6	−6.6	15	9.7	8	75	66	76	72	36	13
März	721.7	708.9	21	731.7	4	0.1	5.2	3.0	2.8	−5.8	4	16.3	27	76	53	66	65	36	19
April	727.2	720.4	26	734.1	12	6.0	13.4	10.3	10.0	−0.7	1	21.6	30	71	39	51	54	24	20
Mai	725.0	718.2	17	733.7	22	10.5	16.4	12.7	13.1	5.6	23	24.3	6	69	44	57	57	30	8. 16 19. 31
Juni	724.5	712.2	9	731.8	23	14.9	21.1	16.9	17.4	9.4	12	27.5	25	77	49	72	66	28	2
Juli	724.6	717.8	26	728.3	17	17.0	22.1	18.9	19.2	12.8	7	27.4	18. 19	81	57	72	70	36	4. 19
August	725.6	721.2	12	730.1	16	15.0	21.3	17.8	18.0	10.5	10	27.0	19	84	56	73	71	36	5
September	726.1	714.6	14	732.2	30	11.8	17.5	14.2	14.4	6.2	29	24.8	4	87	60	78	75	43	13
Oktober	724.3	710.5	21	731.1	25	6.6	11.0	8.1	8.4	−3.2	30	15.6	14	85	63	80	76	40	6
November	726.7	718.4	24	734.2	27	2.0	4.7	3.1	3.2	−8.0	27	11.7	3	83	71	79	78	40	15
Dezember	723.1	707.0	15	736.9	5	3.7	5.5	4.1	4.4	−1.9	2	10.1	29	85	76	84	82	41	30
Jahr	723.8	702.6	II	736.9	XII	7.3	11.9	9.3	9.4	−8.0	I XI	27.5	VI	80	59	73	71	24	IV

Solothurn

$\lambda = 7° 32'$, $\beta = 47° 13'$, $H = 470^m$, $G = —$ mm, $h_r = 1.5^m$

Januar	—	—	—	—	—	−0.7	1.2	0.0	0.1	−9.4	19	9.8	12	95	85	93	91	37	1
Februar	—	—	—	—	—	−0.3	3.1	0.4	0.9	−5.6	15. 19	11.1	8	92	75	92	86	45	11
März	—	—	—	—	—	−0.5	6.5	2.0	2.5	−8.0	4	19.4	24	89	59	80	76	42	8. 16
April	—	—	—	—	—	6.2	14.5	8.8	9.6	−0.2	1	25.6	29	79	45	65	63	30	20
Mai	—	—	—	—	—	10.7	17.0	11.2	12.5	6.2	22	25.7	6	77	52	72	67	32	24
Juni	—	—	—	—	—	14.6	21.2	15.3	16.6	8.5	12	27.8	25	83	57	82	74	34	1
Juli	—	—	—	—	—	16.6	21.9	17.2	18.2	10.8	7	30.2	18	87	63	83	78	30	1
August	—	—	—	—	—	14.9	22.6	16.2	17.5	10.6	10	28.6	23	87	52	83	74	35	5
September	—	—	—	—	—	11.6	18.9	12.6	13.9	5.5	30	26.8	3	94	61	90	82	35	23
Oktober	—	—	—	—	—	6.2	11.8	7.2	8.1	−3.4	30	17.3	15	95	60	87	81	40	29. 30
November	—	—	—	—	—	1.8	4.8	2.7	3.0	−7.3	28	12.2	3	90	74	84	83	42	16
Dezember	—	—	—	—	—	3.0	5.0	3.0	3.5	−2.0	2	11.6	29	93	82	92	89	50	30. 31
Jahr	—	—	—	—	—	7.0	12.4	8.1	8.9	−9.4	I	30.2	VII	88	64	84	79	30	IV VII

Weißenstein

Die Abendbeobachtung erfolgt um 20.30

$\lambda = 7° 31'$, $\beta = 47° 15'$, $H_b = 1285^m$, $G = -0.07$ mm, $h_r = 1.5^m$

Januar	647.1	634.4	18	654.8	24	−0.5	1.1	0.4	0.2	−11.4	2	9.4	27	80	76	79	78	30	20
Februar	643.1	629.8	19	653.1	7	−4.2	−2.9	−4.1	−3.9	−11.6	14. 28	6.8	1	93	92	97	94	30	19
März	648.6	637.4	21	656.7	4	−3.0	−0.7	−2.4	−2.2	−10.8	1	13.8	25	84	81	85	83	30	15
April	655.1	649.4	1	660.9	13	2.0	6.0	3.7	3.6	−5.6	1	18.0	29. 30	78	68	74	73	43	21
Mai	653.7	647.1	15	660.2	8. 22	5.2	8.7	6.5	6.4	−1.6	19. 22	17.2	1	82	71	75	76	28	9
Juni	654.3	643.4	9	660.7	22	10.2	13.6	11.3	11.2	1.6	11	22.2	24	86	76	83	82	42	8
Juli	654.8	648.9	26	659.0	17	11.8	14.8	12.6	12.6	5.8	7	26.8	18	94	82	88	88	46	1
August	655.4	650.4	8	659.6	23	11.2	14.8	11.8	12.2	4.6	8	19.8	22. 23	89	78	90	86	54	6
September	655.0	642.5	14	659.8	25	8.3	10.7	8.9	9.0	0.4	15	18.0	3	93	86	94	91	63	3
Oktober	652.2	642.4	21	658.4	13	3.3	5.5	3.6	3.9	−4.6	29	12.2	3	88	83	90	87	29	27
November	653.3	645.2	24	658.6	27	0.0	1.5	0.4	0.4	−10.0	25	15.2	7	89	85	89	88	38	7
Dezember	650.4	635.7	15	662.3	5	0.6	2.0	1.0	1.1	−6.0	31	8.6	7	92	87	89	89	15	6. 9
Jahr	651.9	629.8	II	662.3	XII	3.7	6.3	4.5	4.5	−11.6	II	26.8	VII	87	80	86	84	15	XII

Langenbruck

$\lambda = 7° 46'$, $\beta = 47° 21'$, $H_b = 740.4^m$, $G = 0.02$ mm, $h_r = 1.5^m$

Januar	693.3	679.1	16	702.3	24	−1.8	0.2	−0.8	−0.8	−9.8	19	8.8	15	80	74	78	77	52	1
Februar	689.6	675.6	19	700.6	28	−1.6	0.7	−1.1	−0.8	−10.2	14	8.4	8	75	64	75	71	45	13
März	695.1	682.5	21	703.5	3. 4	−1.4	2.9	0.0	0.4	−8.0	4	17.2	24	69	52	67	63	36	24
April	701.0	696.1	24	707.8	12	4.7	10.4	5.8	6.7	−0.8	1	21.0	29. 30	66	46	58	57	32	24
Mai	699.1	692.1	17	707.1	22	9.4	13.2	8.7	10.0	3.6	22	21.0	6	62	49	66	59	30	9
Juni	699.0	687.1	9	706.5	22	14.0	17.7	13.0	14.4	6.8	11	23.6	19. 25	70	54	71	65	36	1
Juli	699.4	693.2	26	703.0	6	15.4	18.8	15.1	16.1	9.4	6	26.2	18	75	61	74	70	43	19
August	700.1	695.7	7. 12	704.0	16. 23	14.0	18.2	14.1	15.1	8.5	10	23.3	23	79	61	76	72	43	5. 18
September	700.2	688.1	14	705.1	25. 30	10.9	15.1	11.3	12.1	5.0	30	21.0	3	90	71	86	82	53	21
Oktober	698.0	687.2	21	705.2	25	4.8	8.9	6.2	6.5	−4.0	30	14.2	4	87	72	85	81	48	31
November	699.6	691.3	24	705.7	27	−0.1	3.1	0.8	1.2	−10.8	26	13.4	8	87	78	85	83	52	16
Dezember	696.1	681.2	15	709.1	4	1.8	3.8	2.4	2.6	−4.0	7	8.2	29	88	82	88	86	53	30
Jahr	697.5	675.6	II	709.1	XII	5.8	9.4	6.3	7.0	−10.8	XI	26.2	VII	77	64	76	72	30	V

Beobachter: Gaswerk

Biel

Bewölkung				Termine mit Nebel				Niederschlag			Zahl der Tage								Windverteilung									1955
7^{30}	13^{30}	21^{30}	Mittel	7^{30}	13^{30}	21^{30}	Total	Summe	Maximum	Tag	● ✱	● ≥1.0	✱	▲	K	≡	heiter	trüb	N	NE	E	SE	S	SW	W	NW	Calmen	
9.6	9.2	9.1	9.3	3	2	3	8	230	48	11	14	11	7	—	—	4	—	27	1	10	5	—	—	9	4	—	64	Januar
8.8	8.4	7.7	8.3	2	1	—	3	149	32	8	17	15	8	—	—	3	—	18	—	7	2	—	—	26	9	2	38	Februar
6.6	6.0	5.5	6.0	1	—	—	1	35	14	26	8	7	2	—	—	1	3	9	1	19	11	—	—	7	5	2	48	März
3.4	3.8	2.8	3.3	—	—	—	—	14	4	11	6	4	2	—	—	—	13	3	3	12	12	—	1	8	2	—	52	April
5.9	5.7	5.2	5.6	—	—	—	—	116	54	17	15	8	—	—	2	—	4	9	2	9	1	1	2	19	5	9	45	Mai
5.9	5.7	6.0	5.9	—	—	—	—	117	29	7	14	11	—	—	4	—	4	9	6	2	1	1	—	17	1	6	56	Juni
6.9	6.7	6.3	6.6	—	—	—	—	142	39	21	16	14	—	—	5	—	2	11	3	14	5	—	—	16	3	2	50	Juli
5.8	5.1	4.4	5.1	3	—	—	3	84	26	27	12	10	—	—	—	3	5	5	4	13	11	1	—	2	1	5	56	August
6.4	4.8	4.0	5.1	2	—	—	2	82	19	10	10	9	—	—	3	4	7	7	1	8	8	—	—	7	5	1	60	September
7.7	5.9	6.1	6.6	4	—	—	4	31	12	6	7	7	—	—	—	5	4	12	5	15	4	—	1	10	1	1	56	Oktober
8.3	7.2	7.3	7.6	8	5	4	17	24	10	5	9	4	1	—	—	8	2	18	2	22	2	—	—	1	—	—	63	November
9.1	8.6	8.4	8.7	4	3	4	11	157	22	17	21	16	2	—	—	5	1	22	1	2	—	—	—	31	2	3	54	Dezember
7.0	6.4	6.1	6.5	27	11	11	49	1181	54	V	149	116	22	—	14	33	45	150	29	133	62	3	4	153	38	31	642	Jahr

Beobachter: B. u. G. Glutz

Solothurn

Bewölkung				Termine mit Nebel				Niederschlag			Zahl der Tage								Windverteilung									1955
7^{30}	13^{30}	21^{30}	Mittel	7^{30}	13^{30}	21^{30}	Total	Summe	Maximum	Tag	● ✱	● ≥1.0	✱	▲	K	≡	heiter	trüb	N	NE	E	SE	S	SW	W	NW	Calmen	
9.3	9.1	9.7	9.4	6	4	5	15	112	48	11	13	11	4	—	1	6	—	27	—	9	11	—	—	—	15	1	57	Januar
9.3	8.6	7.6	8.5	5	—	1	6	156	34	4	17	17	11	—	—	5	—	19	—	4	6	2	—	5	19	8	40	Februar
7.6	5.8	4.6	6.0	3	—	—	3	42	13	26	9	7	2	—	—	4	4	6	—	18	14	2	—	2	12	2	43	März
4.5	4.7	3.1	4.1	—	—	—	—	33	12	11	6	6	2	—	—	—	12	3	3	4	13	7	—	4	8	3	48	April
5.6	5.9	5.0	5.5	1	—	—	1	111	36	17	15	12	—	—	—	1	4	9	—	2	10	1	—	5	17	6	52	Mai
6.5	7.1	6.8	6.8	1	—	—	1	149	41	7	14	11	—	—	2	1	1	10	1	2	7	9	—	3	10	1	57	Juni
7.7	6.7	6.4	6.9	1	—	—	1	148	34	20	15	15	—	2	9	3	—	11	—	2	13	1	—	4	6	—	67	Juli
6.8	5.6	4.9	5.8	6	—	—	6	115	28	27	12	12	—	—	6	6	3	8	3	2	10	6	—	4	2	1	65	August
9.2	5.9	5.2	6.8	9	—	1	10	89	23	14	10	9	—	—	1	11	—	11	—	3	6	2	—	1	5	6	67	September
9.3	5.5	5.4	6.7	13	—	—	13	40	15	6	8	7	—	—	—	14	1	11	—	1	13	1	—	4	7	5	62	Oktober
9.1	7.9	7.9	8.3	11	4	6	21	21	7	24	8	4	1	—	—	12	2	20	—	14	11	—	—	—	5	—	60	November
9.5	8.4	9.7	9.2	7	4	5	16	197	22	29	21	21	—	—	—	10	—	23	—	4	2	1	—	—	29	1	56	Dezember
7.9	6.8	6.3	7.0	63	12	18	93	1313	48	I	148	132	20	2	19	73	27	158	7	65	116	32	—	32	135	34	674	Jahr

Beobachter: Th. Klein

Weißenstein

Bewölkung				Termine mit Nebel				Niederschlag			Zahl der Tage								Windverteilung									1955
7^{30}	13^{30}	21^{30}	Mittel	7^{30}	13^{30}	21^{30}	Total	Summe	Maximum	Tag	● ✱	● ≥1.0	✱	▲	K	≡	heiter	trüb	N	NE	E	SE	S	SW	W	NW	Calmen	
7.8	7.9	7.1	7.6	14	11	11	36	192	38	11	14	12	10	—	—	15	2	18	4	9	3	14	6	29	12	16	—	Januar
9.0	9.4	7.9	8.8	13	11	17	41	122	26	4	20	18	20	—	—	23	—	20	5	5	—	4	4	23	18	25	—	Februar
7.4	7.3	6.7	7.1	11	9	9	29	45	16	26	13	11	10	—	—	15	1	13	9	20	9	9	5	17	12	12	—	März
5.5	6.3	5.6	5.8	6	2	6	14	35	16	11	7	6	3	—	—	8	5	11	18	17	10	4	7	10	6	18	—	April
7.6	8.2	6.8	7.5	6	5	6	17	133	48	17	12	11	2	—	—	12	3	15	4	7	3	6	6	25	19	23	—	Mai
7.5	8.8	8.0	8.1	10	3	4	17	190	34	7	18	16	—	1	—	12	1	17	8	9	2	6	2	13	10	40	—	Juni
8.4	8.8	8.7	8.6	14	6	5	25	128	21	3	16	13	—	—	2	17	—	25	24	17	1	5	3	9	11	23	—	Juli
6.2	7.9	7.3	7.1	5	5	4	14	106	19	27	13	13	—	—	2	10	1	15	9	14	6	10	4	23	8	19	—	August
6.7	7.6	6.2	6.8	10	6	8	24	107	17	4	12	11	1	—	1	14	4	14	19	7	1	7	1	11	17	26	1	September
6.5	6.5	6.3	6.4	6	6	4	16	42	17	6	9	5	—	—	—	12	3	11	17	16	5	3	3	14	14	21	—	Oktober
8.2	7.7	7.1	7.7	12	10	9	31	25	6	5	8	6	4	—	—	12	2	17	13	19	6	13	5	17	7	10	—	November
8.5	8.2	7.6	8.1	15	14	16	45	149	16	15	21	20	11	—	—	21	—	20	6	—	—	5	1	37	26	18	—	Dezember
7.4	7.9	7.1	7.5	122	88	99	309	1274	48	V	163	142	61	1	5	171	22	196	136	140	46	86	47	228	160	251	1	Jahr

Beobachter: E. Müller

Langenbruck

Bewölkung				Termine mit Nebel				Niederschlag			Zahl der Tage								Windverteilung									1955
7^{30}	13^{30}	21^{30}	Mittel	7^{30}	13^{30}	21^{30}	Total	Summe	Maximum	Tag	● ✱	● ≥1.0	✱	▲	K	≡	heiter	trüb	N	NE	E	SE	S	SW	W	NW	Calmen	
8.0	7.6	7.8	7.8	2	—	—	2	136	27	11	15	11	8	—	—	2	3	21	2	5	5	1	—	4	7	8	61	Januar
8.3	7.5	7.3	7.7	1	—	—	1	120	30	8	20	16	17	—	—	1	1	14	4	2	5	—	1	—	17	10	45	Februar
5.8	5.3	4.5	5.2	—	—	—	—	45	12	26	12	8	7	—	—	—	5	7	2	5	17	1	2	—	4	6	56	März
4.6	4.3	3.2	4.0	—	—	—	—	38	13	10	7	5	2	—	—	—	11	6	7	8	11	1	—	—	5	6	52	April
5.7	5.9	4.3	5.3	—	—	—	—	103	35	17	14	10	—	—	—	—	4	7	2	3	12	—	2	—	12	11	51	Mai
4.7	6.1	5.7	5.5	—	—	—	—	156	48	19	17	13	—	—	1	—	4	8	6	4	9	2	—	—	3	12	54	Juni
7.8	7.4	6.1	7.1	—	—	—	—	100	22	13	18	14	—	—	3	—	3	13	11	8	2	—	—	—	4	8	60	Juli
4.8	5.6	4.6	5.0	—	—	—	—	133	31	3	15	13	—	2	5	—	9	4	8	8	12	—	—	—	1	2	62	August
7.4	6.3	3.9	5.9	1	—	—	1	65	11	9	12	10	—	—	—	1	5	9	6	9	4	—	—	—	3	6	62	September
5.4	4.5	4.6	4.8	1	—	—	1	27	12	6	8	5	—	—	—	1	10	11	8	6	13	—	—	—	1	5	60	Oktober
6.8	6.8	5.9	6.5	3	1	—	4	25	12	24	6	4	3	—	—	3	4	13	4	9	10	2	1	1	2	1	60	November
8.2	7.4	8.2	7.9	4	—	1	5	161	32	27	22	21	2	—	—	5	2	19	2	1	3	2	1	—	15	4	65	Dezember
6.5	6.2	5.5	6.1	11	1	1	14	1109	48	VI	166	130	39	2	9	13	61	132	62	68	103	9	7	5	74	79	688	Jahr

Olten II

$\lambda = 7° 55'$, $\beta = 47° 22'$, $H_b = $ ca 391 m, $G = 0.07$ ‰, $h_r = 1.5$ m

1955	Luftdruck					Luft-Temperatur								Relative Feuchtigkeit					
	Mittel	Minimum	Tag	Maximum	Tag	7^{30}	13^{30}	21^{30}	Mittel	Minimum	Tag	Maximum	Tag	7^{30}	13^{30}	21^{30}	Mittel	Minimum	Tag
Januar	725.0	710.3	16	733.9	1	−0.5	1.1	0.5	0.4	−9.7	20	10.1	12	92	85	91	89	57	1
Februar	720.7	707.1	19	731.7	7	0.0	3.0	0.8	1.1	−6.8	15	11.3	8	90	75	90	85	50	13
März	726.3	713.9	21	735.6	4	−0.1	6.1	2.2	2.6	−6.8	4	19.2	24	90	60	84	78	42	16
April	731.2	726.8	23	737.6	13	4.2	13.7	8.0	8.5	−2.9	1	25.1	30	92	49	77	73	32	20 . 24
Mai	729.2	722.4	17	737.0	8	9.3	16.4	10.8	11.8	4.8	19	25.6	6	86	54	82	74	34	31
Juni	728.7	716.7	9	734.9	22 . 23	13.6	20.3	14.7	15.8	7.0	12	26.6	24	91	61	88	80	32	8
Juli	728.6	722.3	26	732.4	8. 18	15.8	21.5	17.0	17.8	11.6	7	30.4	18	92	66	90	83	45	1. 18
August	729.3	725.1	12	733.6	23	13.9	21.2	15 8	16.7	11.2	2	27.2	23	95	63	91	83	42	18 . 24
September	729.5	718.4	14	734.9	30	11.5	17.8	12.8	13.7	5.6	30	24.0	3. 4	95	68	93	85	53	3
Oktober	728.0	715.4	21	734.7	9	6.0	11.3	7.5	8.1	−4.6	30	16.8	15	95	68	92	85	43	31
November	730.2	722.6	1	737.7	27	1.9	4.6	3 2	3.2	−8.6	27	11.8	5	92	79	88	86	49	16
Dezember	726.3	711.0	15	739.0	5	3.1	5.1	3.9	4.0	−2.6	2	10.6	29	94	85	94	91	55	30
Jahr	727.8	707.1	II	739.0	XII	6.5	11.8	8.1	8.6	−9.7	I	30.4	VII	92	68	88	83	32	IV VI

Aarau

$\lambda = 8° 03'$, $\beta = 47° 23'$, $H_b = 407.6$ m, $G = 0.07$ ‰, $h_r = 1.5$ m

Januar	722.9	707.1	16	732.6	24	−0.6	1.6	0.3	0.4	−10.0	20	9.4	16	92	81	91	88	56	1. 3
Februar	718.7	703.5	19	730.4	7	−0.1	3.3	0.4	1.0	−6.6	14 . 15	11.2	8	89	71	87	82	45	13
März	724.7	712.0	21	734.0	3	0.2	6.3	1.9	2.6	−6.0	4	19.8	24	84	55	83	74	37	19 . 24
April	730.1	724.6	24	737.4	13	5.5	13.9	8.2	9.0	−1.0	1	24.6	29 . 30	81	47	67	65	24	29
Mai	727.9	720.5	2	736.3	22	10.3	16.6	10.7	12.1	5.0	23	25.8	6	74	51	78	68	25	1
Juni	727.2	713.6	9	734.8	22	14.4	21.1	15.2	16.5	7.8	11	26.2	16	80	53	85	73	28	8
Juli	727.3	721.0	26	732.2	6	16.5	22.2	17.6	18.5	11.4	8	30.0	18	85	59	87	77	39	1
August	728.3	723.5	7	734.3	15	14.5	21.4	16.0	17.0	9.2	10	26.2	23	88	56	89	78	35	24
September	728.7	716.2	14	734.1	30	12.2	17.9	12.6	13.8	5.8	30	23.8	3	90	69	95	85	45	6
Oktober	726.9	715.3	21	734.0	1	6.4	11.1	6.9	7.8	−4.0	30	16.2	15	93	64	92	83	43	29 . 31
November	729.5	721.9	1	737.4	27	1.9	5.1	3.0	3.3	−8.6	27	12.4	5	90	74	88	84	46	16
Dezember	725.6	708.1	15	740.2	5	3.2	5.4	3.8	4.0	−2.0	1. 2	10.0	28	92	80	93	88	47	30
Jahr	726.5	703.5	II	740.2	XII	7.0	12.2	8.0	8.8	−10.0	I	30.0	VII	86	63	86	79	24	IV

Beznau

$\lambda = 8° 14'$, $\beta = 47° 33'$, $H = $ ca 330 m, $G = $ — ‰, $h_r = $ ca 8 m

Januar	—	—	—	—	—	−0.2	1.8	0.6	0.7	−10.0	21	10.1	16	90	79	89	86	58	3
Februar	—	—	—	—	—	0.4	3.2	0.8	1.3	−5.4	28	11.0	8	91	75	91	86	50	13
März	—	—	—	—	—	−0.2	5.7	2 7	2.7	−7.0	4	18.4	24	87	61	86	78	46	26 . 27
April	—	—	—	—	—	4.9	13.5	7.9	8.6	−2.4	1	22.6	29	88	50	89	76	39	14 20 . 24
Mai	—	—	—	—	—	9.9	16.2	10.6	11.8	4.4	23	25.0	1	84	56	89	76	33	24
Juni	—	—	—	—	—	14.3	20.3	15.5	16.4	8.2	11 . 13	26.0	25	86	58	91	78	36	1
Juli	—	—	—	—	—	17.1	22.2	17.9	18.8	13.0	7	29.2	18	86	62	91	80	45	1. 19
August	—	—	—	—	—	14.7	21.2	16.2	17.1	9.4	10	26.0	20 . 23	91	62	92	82	44	18 . 24
September	—	—	—	—	—	12.2	18.0	13.3	14.2	5.0	30	24.6	4	94	67	93	85	54	28
Oktober	—	—	—	—	—	6.2	11.2	7.2	7.9	−4.2	30	16.4	4	94	68	73	78	43	31
November	—	—	—	—	—	2.2	5.4	3.0	3.4	−7.4	26	13.0	6	89	76	91	85	58	16
Dezember	—	—	—	—	—	3.2	5.7	3.6	4.1	−2.4	1	10.4	29	93	79	93	88	46	30
Jahr	—	—	—	—	—	7.1	12.0	8.3	8.9	−10.0	I	29.2	VII	89	66	89	81	33	V

Hallau

$\lambda = 8° 28'$, $\beta = 47° 42'$, $H_b = 449.5$ m, $G = 0.09$ ‰, $h_r = 1.5$ m

Januar	719.1	703.0	16	728.9	24	−1.1	1.0	0.1	0.0	−10.3	20	9.3	11	89	81	88	86	49	3
Februar	714.8	701.0	19	726.3	7	−0.5	2.5	0.6	0.8	−6.8	28	10.2	8	89	71	88	83	40	13
März	721.1	708.8	21	730.4	3	−0.7	4.9	2.6	2.3	−7.2	8	19.1	24	83	58	74	72	37	3. 24
April	726.2	720.6	24	733.5	12	5.2	12.9	8.6	8.8	−0.4	1	24.1	29	79	44	62	62	25	20
Mai	724.0	716.9	15	733.2	22	9.7	16.0	11.2	12.0	4.7	20	24.2	1	79	48	70	66	25	24
Juni	723.6	713.5	9	731.0	22	13.9	20.2	15.7	16.4	6.2	12	26.6	25	85	52	81	73	24	15
Juli	723.5	717.6	26	728.0	7	16.3	21.6	17.8	18.4	11.8	8	28.0	18	88	59	82	76	32	1
August	724.5	719.8	7	728.6	15 20 . 23	14.4	20.9	16.8	17.2	9.8	8	27.2	24	89	59	83	77	33	24
September	724.8	712.4	14	730.5	30	11.4	17.3	13.3	13.8	5.2	29	24.3	4	93	60	90	81	43	11
Oktober	723.1	708.7	21	730.2	9	5.9	11.2	7.9	8.2	−4.4	30	15.8	2	94	64	88	82	36	31
November	725.6	717.1	24	732.9	27	1.3	5.0	2.6	2.9	−7.2	27	13.8	5	88	75	87	83	38	16
Dezember	721.6	705.4	15	735.9	5	2.7	5.1	3.4	3.7	−3.5	2	9.9	29	92	80	92	88	42	30
Jahr	722.7	701.0	II	735.9	XII	6.5	11.6	8.4	8.7	−10.3	I	28.0	VII	87	63	82	77	24	VI

Beobachter: Gaswerk

Olten II

Bewölkung				Termine mit Nebel				Niederschlag			Zahl der Tage								Windverteilung									1955
7³⁰	13³⁰	21³⁰	Mittel	7³⁰	13³⁰	21³⁰	Total	Summe	Maximum	Tag	● *	●* ≥1.0	*	▲	⛆	≡	heiter	trüb	N	NE	E	SE	S	SW	W	NW	Calmen	
9.1	8.8	9.1	9.0	13	15	15	43	163	35	12	13	12	5	—	—	18	1	26	1	—	—	5	—	14	—	3	70	Januar
9.4	8.1	7.8	8.4	6	2	4	12	111	29	8	18	17	10	—	—	7	—	18	—	1	—	2	—	21	4	1	55	Februar
7.0	5.2	4.2	5.5	—	—	—	—	42	13	26	12	8	6	—	—	—	6	8	—	5	—	6	—	7	—	2	73	März
4.5	4.1	3.9	4.2	1	—	—	1	29	11	11	9	5	2	—	—	1	10	3	—	—	—	7	—	5	—	10	68	April
5.8	5.9	5.2	5.6	—	—	—	—	95	32	17	13	11	—	—	—	—	4	8	—	—	—	5	—	21	—	22	45	Mai
6.1	6.0	5.6	5.9	4	1	1	6	121	23	7	17	15	—	—	5	5	3	10	—	1	—	5	—	6	1	9	68	Juni
8.2	7.0	7.3	7.5	4	—	—	4	117	22	28	18	16	—	—	4	4	—	15	—	2	—	1	—	6	—	8	76	Juli
6.7	4.5	4.9	5.4	10	1	—	11	92	20	27	13	11	—	1	5	10	6	4	—	—	—	4	—	3	1	5	80	August
9.4	5.4	4.5	6.4	14	—	—	14	83	27	10	11	9	—	—	—	14	1	10	—	2	—	1	—	5	2	4	76	September
9.0	5.9	5.0	6.6	14	3	1	18	29	11	6	8	4	—	—	—	14	1	13	—	1	—	11	—	12	—	6	63	Oktober
9.0	8.1	7.5	8.2	14	9	9	32	22	10	24	5	4	1	—	—	14	3	21	—	—	—	7	—	3	—	5	75	November
9.8	8.0	9.2	9.0	17	9	16	42	141	19	10	21	18	3	—	—	22	—	24	—	—	—	2	—	23	—	3	65	Dezember
7.8	6.4	6.2	6.8	97	40	46	183	1045	35	I	158	130	27	1	14	109	35	160	1	12	—	56	—	126	8	78	814	Jahr

Beobachter: W. Amsler

Aarau

9.4	8.9	8.7	9.0	9	—	9	18	156	30	12	14	13	5	—	—	13	—	26	—	4	16	6	1	9	24	1	32	Januar
9.1	8.4	8.0	8.5	4	—	4	8	99	24	8	21	15	10	—	—	6	—	19	2	1	12	3	1	11	33	1	20	Februar
6.9	5.7	5.0	5.9	1	—	—	1	39	12	26	10	5	5	—	—	1	—	7	5	1	32	3	2	9	15	1	25	März
4.5	4.4	3.5	4.1	—	—	—	—	17	5	11	9	6	2	—	—	—	11	3	4	6	9	5	3	5	23	2	33	April
5.8	5.7	4.9	5.5	—	—	—	—	89	18	17	17	12	—	—	—	—	4	7	2	5	7	1	4	25	27	6	16	Mai
6.0	5.2	5.6	5.6	3	—	—	3	131	29	7	14	13	—	—	1	3	2	5	7	5	12	3	1	9	21	4	28	Juni
8.4	6.3	7.2	7.3	5	—	—	5	163	33	19	17	16	—	—	6	5	—	11	3	4	14	3	6	9	26	2	26	Juli
7.1	5.2	5.2	5.8	9	—	1	10	79	24	1	13	11	—	—	—	10	2	4	5	6	7	2	2	8	26	5	32	August
9.1	5.7	4.8	6.5	10	1	4	15	106	27	10	11	10	—	2	1	13	1	11	8	—	7	2	4	8	17	8	36	September
8.8	5.6	5.5	6.6	12	—	6	18	31	13	4	10	6	—	1	—	15	(	10	4	8	11	5	2	7	25	4	27	Oktober
9.0	7.6	8.0	8.2	11	—	9	20	17	9	24	6	4	—	—	—	13	2	21	2	13	15	3	1	10	13	1	32	November
9.9	8.0	8.9	8.9	3	2	2	7	122	13	27	21	20	2	—	—	4	—	23	2	2	5	12	8	22	26	8	8	Dezember
7.8	6.4	6.3	6.8	67	3	35	105	1049	33	VII	163	131	24	3	8	83	23	147	44	55	147	48	35	132	276	43	315	Jahr

Beobachter: K. Sutter

Beznau

9.2	8.6	8.9	8.9	7	5	4	16	153	38	11	12	11	5	—	—	7	1	26	8	4	4	17	10	2	2	5	41	Januar
9.4	7.6	7.5	8.2	6	—	—	6	124	23	8	17	15	8	—	—	6	—	18	10	1	2	13	24	7	1	3	23	Februar
6.1	5.6	4.4	5.4	--	—	—	—	34	10	26	8	6	2	—	—	—	5	6	24	6	1	8	4	9	4	3	34	März
4.7	4.9	4.5	4.7	2	—	—	2	3	1	6	4	1	1	—	—	2	10	7	16	4	2	12	1	4	2	7	42	April
5.8	5.4	4.6	5.3	1	—	—	1	86	33	17	13	9	—	—	3	1	5	8	11	2	1	14	12	3	7	6	37	Mai
6.5	5.8	6.8	6.4	3	—	—	3	103	17	7.12	18	14	—	1	5	3	3	11	11	1	3	7	13	7	—	7	41	Juni
8.1	6.2	7.3	7.2	5	—	—	5	108	18	22	17	16	—	—	9	5	—	16	7	2	2	7	18	6	5	6	40	Juli
7.1	5.1	6.6	6.3	9	--	—	9	141	36	27	12	12	—	—	8	9	2	7	8	4	3	15	11	—	5	10	37	August
9.7	5.2	5.2	6.8	14	—	—	14	63	17	14	12	9	—	—	1	14	—	12	11	1	2	23	10	1	1	3	38	September
8.6	5.5	6.0	6.7	16	—	1	17	33	14	6	8	5	—	—	—	16	1	12	17	1	—	11	17	5	1	5	36	Oktober
8.7	7.7	8.3	8.2	8	—	7	15	20	10	24	7	4	1	—	—	10	—	23	14	1	—	13	5	3	—	9	45	November
9.2	7.7	9.0	8.6	5	1	2	8	141	26	10	21	19	2	—	—	5	—	22	3	1	1	25	22	3	2	3	33	Dezember
7.8	6.3	6.6	6.9	76	6	14	96	1009	38	I	149	121	19	1	26	78	27	168	140	28	21	165	147	50	30	67	447	Jahr

Beobachter: H. Rahm

Hallau

9.0	8.9	8.7	8.9	3	—	—	3	123	36	12	13	10	7	—	—	3	1	25	1	9	17	4	1	13	9	7	32	Januar
9.1	8.6	7.6	8.4	—	—	1	1	169	51	21	19	15	13	—	—	1	—	17	5	3	6	—	2	12	17	7	32	Februar
7.5	6.4	4.8	6.2	—	—	—	—	43	13	26	12	7	7	—	—	—	2	9	3	21	8	6	—	6	17	8	24	März
5.0	5.2	3.6	4.6	1	—	—	1	8	3	7	5	3	1	—	—	1	9	7	5	9	4	7	3	14	19	5	24	April
5.8	6.0	4.8	5.5	—	—	—	—	95	38	17	14	12	—	—	3	—	4	7	1	2	2	3	2	13	34	8	28	Mai
6.6	6.5	7.2	6.8	1	—	1	2	111	25	7	21	18	—	—	6	4	1	9	4	1	7	7	1	16	11	6	37	Juni
7.5	7.2	6.5	7.1	—	—	—	—	107	19	3	19	17	—	—	5	—	2	16	3	9	4	5	1	8	11	13	39	Juli
5.9	5.7	4.7	5.4	2	—	—	2	87	28	31	11	10	—	—	6	2	5	8	2	11	2	3	—	9	13	8	45	August
8.3	5.0	4.4	5.9	2	—	—	2	69	14	10	13	11	—	—	2	2	2	8	5	4	3	3	1	8	18	7	41	September
8.5	5.9	4.9	6.4	5	—	—	5	31	12	6	9	4	—	—	—	5	2	11	8	6	7	4	1	10	19	14	24	Oktober
8.5	7.2	7.5	7.7	6	2	8	16	11	4	24	7	5	1	—	—	11	2	16	11	15	3	2	3	4	11	12	29	November
9.2	7.2	8.5	8.3	4	—	1	5	134	18	15	21	16	2	—	—	5	—	18	1	—	8	3	—	8	36	6	31	Dezember
7.6	6.7	6.1	6.8	24	2	11	37	988	51	II	164	128	31	—	22	34	30	151	49	90	71	47	15	121	215	101	386	Jahr

Lohn (Schaffhausen)

$\lambda = 8° 40'$, $\beta = 47° 45'$, $H_b = 643^m$, $G = 0.06$ mm, $h_r = 1.5^m$

1955	Luftdruck					Luft-Temperatur								Relative Feuchtigkeit					
	Mittel	Minimum	Tag	Maximum	Tag	7^{30}	13^{30}	21^{30}	Mittel	Minimum	Tag	Maximum	Tag	7^{30}	13^{30}	21^{30}	Mittel	Minimum	Tag
Januar	702.0	685.5	16	711.3	24	−2.7	−0.7	−1.6	−1.7	−8.0	20	7.9	16	89	83	87	86	53	3
Februar	697.7	684.1	19	708.9	28	−1.6	0.9	−1.2	−0.8	−8.5	19	8.9	1	86	74	86	82	45	1
März	703.8	691.7	21	712.6	3	−1.5	3.5	0.8	0.9	−7.3	3	16.8	26	81	57	70	69	38	15
April	709.2	704.0	24	716.6	12	5.5	11.2	7.5	7.9	−0.2	1	22.6	30	68	46	59	58	28	20
Mai	707.3	700.3	15	715.5	22	10.3	14.2	10.0	11.1	3.8	22	22.3	6	73	55	67	65	32	9
Juni	707.0	694.1	9	714.4	22	13.7	18.3	13.9	15.0	6.0	12	23.9	25	80	62	80	74	38	1
Juli	707.3	701.7	26	710.9	7. 17	15.6	19.6	16.0	16.8	10.0	6	27.2	18	86	68	83	79	46	5
August	708.1	703.3	7	712.2	16. 23	14.4	18.9	15.7	16.2	9.8	9	23.8	23. 24	84	66	81	77	42	24
September	708.2	695.7	14	713.5	29	11.4	15.9	12.8	13.2	5.0	15	21.9	4	91	71	84	82	56	2
Oktober	706.1	693.2	21	713.2	9	5.8	9.8	6.8	7.3	−2.2	30	14.3	15	91	71	85	82	46	25
November	708.3	699.4	24	714.9	27	0.6	4.0	2.1	2.2	−8.1	27	15.0	6	92	78	87	86	45	16
Dezember	704.3	688.7	15	718.4	5	1.4	3.6	2.2	2.4	−4.4	1	8.0	28. 29	93	84	92	90	49	30
Jahr	705.8	684.1	II	718.4	XII	6.1	9.9	7.1	7.5	−8.5	II	27.2	VII	84	68	80	77	28	IV

Oberes Aare- und Saanegebiet

Bern

$\lambda = 7° 26'$, $\beta = 46° 57'$, $H_b = 572.2^m$, $G = -0.01$ mm, $h_r = 1.5^m$

Januar	707.8	693.4	16	716.7	24	−1.0	1.1	0.3	0.2	−10.5	19	11.4	12	95	86	92	91	64	16
Februar	704.1	690.3	19	715.0	7	−0.6	2.3	0.4	0.6	−10.2	19	9.9	8	89	75	87	84	55	11. 16
März	709.4	697.8	21	718.8	4	−0.8	5.1	1.9	2.0	−7.5	7	19.1	24	88	60	80	76	41	24
April	715.0	709.8	23	721.6	12	4.8	12.6	8.9	8.8	−1.4	1	22.0	29. 30	84	48	65	66	32	24
Mai	713.2	706.5	17	721.2	22	9.7	15.0	11.3	11.8	5.2	18	23.2	6	81	55	71	69	32	24
Juni	712.7	704.9	7	720.2	22	13.3	19.2	15.1	15.7	6.6	12	26.1	25	86	58	81	75	35	2. 25
Juli	712.8	706.6	26	716.6	6	15.1	19.6	16.9	17.1	10.2	8	28.5	18	85	65	80	77	40	18
August	713.7	709.4	12	718.0	16	13.3	19.7	15.9	16.2	9.0	10	24.7	23	87	58	81	75	42	16. 17
September	714.0	702.8	14	719.0	25. 30	10.7	16.2	12.6	13.0	4.9	30	22.0	4	91	64	87	81	43	17
Oktober	712.0	701.1	21	719.0	25	5.0	10.6	6.8	7.3	−3.3	30	14.6	15	92	63	87	81	48	30
November	714.0	706.1	1	721.4	27	0.5	4.3	2.2	2.3	−9.2	27	12.6	4	92	77	91	87	59	16
Dezember	711.0	696.0	15	724.1	5	2.1	5.1	2.9	3.2	−4.0	7	9.7	29	94	81	91	89	50	30
Jahr	711.6	690.3	II	724.1	XII	6.0	10.9	7.9	8.2	−10.5	I	28.5	VII	89	66	83	79	32	IV V

Fribourg

$\lambda = 7° 09'$, $\beta = 46° 48'$, $H_b = \text{ca } 677^m$, $G = —$ mm, $h_r = 1.5^m$

Januar	—	—	—	—	—	−1.1	1.7	0.0	0.1	−9.9	19	10.5	12	93	86	91	90	72	16
Februar	—	—	—	—	—	−0.7	2.7	0.1	0.6	−8.6	15	9.8	1	88	80	86	85	57	15
März	—	—	—	—	—	−0.6	5.4	1.4	1.9	−8.7	7	18.8	25	86	70	82	79	58	19. 26
April	—	—	—	—	—	5.2	12.5	7.5	8.2	−2.0	1	21.2	29	78	49	70	66	31	24
Mai	—	—	—	—	—	9.7	15.0	10.4	11.4	4.6	23	24.1	6	77	53	72	67	35	9
Juni	—	—	—	—	—	13.8	19.5	14.6	15.6	7.6	11	25.8	25	84	57	81	74	36	2
Juli	—	—	—	—	—	15.5	20.4	16.3	17.1	9.9	7	27.1	18	85	63	84	77	44	17
August	—	—	—	—	—	13.6	20.3	15.2	16.1	8.7	10	25.1	23	87	57	83	76	41	6. 8. 16
September	—	—	—	—	—	10.6	16.0	12.1	12.7	4.4	15	22.2	4	91	65	89	82	45	17
Oktober	—	—	—	—	—	5.1	10.5	6.4	7.1	−2.5	29	14.6	15	91	66	86	81	50	18
November	—	—	—	—	—	0.1	4.3	1.6	1.9	−9.8	26	13.2	4	89	74	89	84	56	15
Dezember	—	—	—	—	—	2.5	5.5	3.1	3.6	−3.8	7	10.3	28	86	76	86	83	50	30
Jahr	—	—	—	—	—	6.1	11.2	7.4	8.0	−9.9	I	27.1	VII	86	66	83	78	31	IV

Langnau i. E.

$\lambda = 7° 47'$, $\beta = 46° 56'$, $H = 692^m$, $G = —$ mm, $h_r = 1.5^m$

Januar	—	—	—	—	—	−1.0	2.4	0.1	0.4	−12.4	19	10.6	12	89	74	89	84	54	28
Februar	—	—	—	—	—	−1.6	2.8	−0.7	0.0	−11.8	19	9.7	1	87	63	85	78	40	15
März	—	—	—	—	—	−1.8	5.7	0.4	1.2	−10.9	7	18.8	25	81	50	77	69	31	8
April	—	—	—	—	—	4.6	12.3	6.5	7.5	−2.4	1	22.2	29	81	44	72	66	24	24
Mai	—	—	—	—	—	9.5	15.2	9.2	10.8	3.0	22	22.6	1. 6	76	48	82	69	29	21
Juni	—	—	—	—	—	13.7	19.4	13.4	15.0	6.0	11	24.9	25	81	52	89	74	31	2. 15. 16
Juli	—	—	—	—	—	15.4	20.3	15.2	16.5	9.4	7	28.6	18	83	59	88	77	35	18
August	—	—	—	—	—	13.0	19.8	14.0	15.2	7.6	10	24.3	23	88	53	90	77	33	18
September	—	—	—	—	—	10.2	16.4	11.1	12.2	3.4	29	22.0	3. 4	92	58	93	81	40	22
Oktober	—	—	—	—	—	4.6	11.0	5.8	6.8	−2.6	30	15.6	15	94	58	92	81	41	27
November	—	—	—	—	—	−0.3	5.1	1.5	1.9	−12.2	26	15.2	6	87	65	86	79	51	23
Dezember	—	—	—	—	—	2.5	5.8	2.8	3.5	−3.4	31	9.4	29	88	70	89	82	38	30
Jahr	—	—	—	—	—	5.7	11.4	6.6	7.6	−12.4	I	28.6	VII	85	58	86	76	24	IV

Beobachter: W. Sonderegger

Lohn (Schaffhausen)

Bewölkung				Termine mit Nebel				Niederschlag			Zahl der Tage							Windverteilung								1955
7^{30}	13^{30}	21^{30}	Mittel	7^{30}	13^{30}	21^{30}	Total	Summe	Maximum	Tag	● *	●* ≧1.0	*	▲	K	≡	heiter	trüb	N	NE	E	SE	S	SW	W	NW	Calmen	
8.9	8.9	7.5	8.4	10	5	4	19	148	40	12	12	10	6	—	—	11	1	20	4	30	—	—	—	8	9	8	34	Januar
8.8	8.4	7.5	8.2	—	—	2	2	141	32	4	16	16	13	—	—	2	1	17	3	16	2	1	4	17	22	2	17	Februar
6.7	6.4	4.2	5.8	1	—	—	1	40	12	26	11	8	8	—	—	1	2	8	4	30	15	2	2	5	21	4	10	März
5.0	5.2	3.9	4.7	—	—	—	—	12	5	8	5	5	1	—	—	—	9	8	10	21	12	4	3	9	11	7	13	April
6.0	6.0	4.8	5.6	—	—	—	—	110	38	17	14	11	—	—	1	—	5	7	2	9	10	1	5	18	22	17	9	Mai
6.3	7.2	6.5	6.7	1	—	—	1	136	33	7	18	15	—	—	6	1	1	9	4	21	9	5	2	3	15	10	21	Juni
7.8	7.3	7.6	7.6	1	—	1	2	144	44	21	17	15	—	—	6	2	2	19	7	19	7	4	3	10	9	13	23	Juli
5.6	6.2	4.4	5.4	2	—	—	2	44	11	1	10	9	—	—	1	2	5	5	6	26	5	5	2	12	10	9	16	August
7.4	5.3	4.0	5.6	4	—	—	4	49	9	9	11	11	—	—	2	4	6	8	5	17	9	2	6	7	12	6	26	September
8.1	5.9	4.7	6.2	4	1	—	5	29	10	6	8	4	—	—	—	5	2	11	1	19	9	2	3	8	18	3	30	Oktober
6.9	7.8	5.5	6.7	5	3	2	10	10	2	24	8	5	3	—	—	7	3	13	7	25	6	1	2	1	2	5	41	November
8.4	7.7	7.4	7.8	7	4	4	15	117	21	15	21	15	4	—	—	10	1	17	3	4	1	1	—	13	30	10	31	Dezember
7.2	6.9	5.7	6.6	35	13	13	61	980	44	VII	151	124	35	—	16	45	38	142	56	237	85	28	32	111	181	94	271	Jahr

Oberes Aare- und Saanegebiet

Beobachter: Meteorolog. Observatorium

Bern

9.6	9.3	9.2	9.4	6	1	6	13	155	26	11	15	13	8	—	—	15	—	28	2	15	6	2	—	6	8	1	53	Januar
9.0	8.3	7.6	8.3	3	—	—	3	107	18	8	18	15	14	—	—	6	1	17	3	7	1	—	1	10	16	1	45	Februar
6.7	6.7	5.5	6.3	1	—	—	1	30	12	28	8	5	2	—	—	1	2	9	7	25	4	2	1	3	9	2	40	März
4.7	4.6	3.9	4.4	—	—	—	—	19	8	8	7	4	2	—	—	—	11	5	3	23	3	2	1	3	10	—	45	April
6.5	6.8	5.5	6.3	—	—	—	—	130	33	17	14	13	—	1	—	—	3	11	6	4	4	—	1	7	24	2	45	Mai
6.5	6.7	6.9	6.7	1	—	—	1	163	45	7	16	13	—	—	6	2	1	10	5	8	5	6	—	9	10	4	43	Juni
6.6	6.8	6.7	6.7	—	—	—	—	158	45	14	18	15	—	1	8	—	1	13	12	9	1	8	—	6	6	2	49	Juli
6.1	5.8	5.9	5.9	2	—	—	2	115	27	27	13	12	—	—	6	4	4	8	8	8	4	3	—	4	3	2	61	August
7.5	6.0	5.3	6.3	5	—	—	5	76	18	14	11	9	—	—	1	6	3	9	8	5	3	1	—	5	4	—	64	September
7.9	6.1	5.9	6.6	7	—	1	8	24	11	6	5	3	—	—	—	10	2	12	10	9	—	—	—	3	6	—	65	Oktober
8.3	7.0	7.1	7.5	8	—	6	14	11	5	24	5	3	2	—	—	12	3	16	9	13	2	1	—	1	4	—	60	November
9.3	7.8	9.2	8.8	7	—	8	15	103	19	17	21	19	2	—	—	11	—	21	4	1	—	1	1	11	7	—	68	Dezember
7.4	6.7	6.6	6.9	40	1	21	62	1091	45	VII	151	124	30	2	21	67	31	159	77	127	33	26	5	68	107	14	638	Jahr

Beobachter: Frau P. Gockel

Fribourg

9.3	9.3	9.1	9.2	8	6	9	23	118	24	17	15	12	7	—	—	12	—	25	5	8	—	—	—	19	3	—	58	Januar
9.0	8.0	8.5	8.5	—	—	1	1	94	22	17	17	13	12	—	—	1	1	19	2	4	—	—	—	34	7	2	35	Februar
6.1	6.6	8.3	7.0	2	1	—	3	34	16	28	7	5	2	—	1	3	1	12	4	23	—	—	—	21	9	3	33	März
4.0	3.0	5.3	4.1	—	—	—	—	22	13	8	5	4	1	1	—	—	8	3	3	20	1	—	—	13	8	10	35	April
6.3	5.4	5.5	5.7	—	—	—	—	129	36	17	14	12	—	—	1	—	4	8	5	6	—	—	—	23	22	9	28	Mai
5.9	6.5	6.3	6.2	1	—	1	2	106	34	7	18	13	—	2	4	2	6	11	5	6	—	—	1	14	13	8	43	Juni
5.4	6.2	5.1	5.6	3	1	—	4	85	17	27	17	16	—	—	9	3	6	8	10	12	—	—	1	9	11	8	42	Juli
5.8	5.3	6.1	5.7	2	—	—	2	174	40	27	14	13	—	1	9	3	6	9	5	6	1	—	2	7	8	12	52	August
6.0	5.3	6.2	5.8	4	—	—	4	98	21	10	12	10	—	—	3	4	5	10	6	6	—	—	1	17	9	9	42	September
6.9	5.8	6.4	6.4	4	—	3	7	29	15	4	8	4	—	—	—	7	3	12	2	10	—	—	—	16	11	2	52	Oktober
8.1	6.4	7.4	7.3	6	2	7	15	12	5	9	4	4	1	—	—	11	2	13	3	25	—	—	—	5	3	—	54	November
8.2	7.6	8.4	8.1	4	3	5	12	82	13	17	22	17	2	—	—	9	2	18	—	2	—	—	—	33	8	4	46	Dezember
6.7	6.3	6.9	6.6	34	13	26	73	983	40	VIII	153	123	25	4	27	55	44	148	50	128	2	—	5	211	112	67	520	Jahr

Beobachter: Frl. R. Zbinden

Langnau i. E.

8.4	8.4	8.4	8.4	2	—	3	5	152	34	11	14	12	6	—	1	5	3	24	—	—	37	2	1	5	28	—	20	Januar
9.2	8.7	8.9	8.9	—	—	—	—	139	33	8	19	14	16	—	—	—	—	20	—	1	30	2	1	8	23	1	18	Februar
6.7	6.9	5.5	6.4	—	—	—	—	37	11	28	8	6	2	—	—	—	4	12	—	—	50	4	3	3	19	—	14	März
4.7	5.3	4.4	4.8	—	—	—	—	37	11	8	6	6	2	—	—	—	11	9	1	—	48	2	3	5	18	2	11	April
6.8	6.8	6.0	6.5	—	—	—	—	185	42	6	17	16	—	—	3	—	4	12	4	—	29	3	1	2	40	1	13	Mai
7.0	8.0	6.2	7.1	1	—	—	1	163	36	7	20	18	—	—	8	1	3	15	2	—	28	3	2	2	21	6	26	Juni
7.5	7.3	7.0	7.3	—	—	—	—	210	39	21	18	16	—	—	8	—	2	16	2	2	33	5	2	3	15	1	30	Juli
5.7	6.9	6.0	6.2	—	—	—	—	253	57	30	16	14	—	1	9	—	2	10	2	—	50	3	3	3	14	4	14	August
7.6	6.6	5.9	6.7	2	—	—	2	105	20	9	13	11	—	—	—	2	4	13	2	1	31	1	1	3	31	3	17	September
6.9	5.8	5.9	6.2	2	—	—	2	37	11	4	8	7	—	—	—	2	6	13	—	—	38	3	—	2	28	1	21	Oktober
7.1	6.6	6.2	6.6	—	—	1	1	17	12	24	6	3	3	—	—	2	4	13	1	—	35	8	4	6	5	—	31	November
9.0	7.5	8.4	8.3	1	—	2	3	110	17	17	21	18	5	—	—	5	1	20	1	—	22	3	5	9	25	1	27	Dezember
7.2	7.1	6.6	7.0	8	—	6	14	1445	57	VIII	166	141	34	1	29	17	44	177	15	4	431	39	26	51	267	20	242	Jahr

Beatenberg

$\lambda = 7° 48'$, $\beta = 46° 42'$, $H_b = 1148^m$, $G = -0.14$ ‰, $h_r = 1.1^m$

1955	Luftdruck					Luft-Temperatur								Relative Feuchtigkeit					
	Mittel	Minimum	Tag	Maximum	Tag	7^{30}	13^{30}	21^{30}	Mittel	Minimum	Tag	Maximum	Tag	7^{30}	13^{30}	21^{30}	Mittel	Minimum	Tag
Januar	659.0	647.7	16	666.9	24	0.1	2.5	0.6	0.9	-10.0	19	7.5	27	81	75	79	78	45	10
Februar	655.2	641.7	19	665.6	7	-3.0	0.0	-2.8	-2.2	-11.7	14	7.8	1	85	79	86	83	55	1
März	660.3	648.9	8	668.6	4	-1.4	2.7	-1.3	-0.3	-10.5	6	16.0	26	81	74	81	79	45	25
April	666.5	659.9	1	672.7	12	4.1	8.9	4.3	5.4	-2.4	16	19.9	29	77	68	79	75	48	6
Mai	664.8	659.0	15	673.3	22	8.0	12.1	6.6	8.3	-2.0	23	19.8	6	77	68	81	75	45	17
Juni	664.0	652.2	9	671.3	22	12.0	15.9	10.6	12.3	4.0	11	21.0	6.16.24	84	75	89	83	60	2
Juli	664.2	657.7	26	668.5	17	13.6	17.0	12.6	13.9	6.0	7	24.5	18	89	80	91	87	60	18
August	664.9	660.4	12	669.1	23	12.1	16.2	11.9	13.0	6.0	9	21.0	22 . 23	88	80	89	86	65	23
September	664.7	653.0	14	669.4	25	9.4	13.1	9.5	10.4	2.0	15	18.0	3	91	83	90	88	65	16
Oktober	662.5	651.3	21	669.2	14	4.4	8.1	4.5	5.4	-2.0	29	12.1	3	87	81	88	85	60	30
November	663.1	655.0	1	669.3	22	0.4	3.3	0.7	1.3	-11.0	26	14.5	7	81	78	82	80	55	7
Dezember	661.1	645.9	15	672.4	5	1.4	3.8	1.7	2.2	-5.1	31	8.2	7	80	77	80	79	44	6
Jahr	662.5	641.7	II	673.3	V	5.1	8.6	4.9	5.9	-11.7	II	24.5	VII	83	77	85	82	44	XII

Beatenberg: Stationsverlegung vom 20. Dezember. Neues H_b = 1196 m

Interlaken (Unterseen)

$\lambda = 7° 51'$, $\beta = 46° 41'$, $H_b = 568^m$, $G = -0.07$ ‰, $h_r = 1.5^m$

Januar	708.8	694.5	16	717.2	25	-0.1	2.0	0.7	0.8	-7.8	19	8.5	14	94	83	92	90	53	1
Februar	704.9	690.9	19	715.5	7	-0.8	2.7	0.3	0.6	-8.0	19	7.2	1. 5. 9	86	70	83	80	41	16
März	710.2	698.0	21	719.4	4	-0.2	6.0	2.1	2.5	-7.4	7. 8	18.2	25	83	57	76	72	38	19
April	715.8	711.2	11	722.2	12 . 13	5.6	13.1	8.4	8.9	0.1	2	22.4	29	82	48	66	65	35	24
Mai	714.1	707.9	17	722.4	22	9.9	15.5	10.4	11.6	4.8	19	23.0	6	80	51	77	69	38	16
Juni	713.7	701.6	9	720.9	22	13.9	20.0	14.1	15.5	7.6	11	25.6	19	83	55	87	75	34	2
Juli	713.9	707.6	26	717.5	21	15.7	21.0	15.8	17.1	9.4	7	28.8	18	87	61	89	79	43	18
August	714.7	710.6	7	719.7	16	14.0	20.1	15.1	16.1	10.0	8. 9. 10	25.2	23	87	60	88	78	40	18
September	714.9	703.3	14	719.9	30	11.0	17.0	12.2	13.1	3.8	30	22.2	4	92	59	89	80	42	16
Oktober	712.8	700.4	21	720.1	25	6.0	11.6	7.0	7.9	-0.8	30	14.9	3	89	61	87	79	48	28
November	714.8	707.0	1	722.6	27	1.2	5.7	2.3	2.9	-8.2	27	14.0	6	86	67	84	79	50	15 . 16 . 19
Dezember	711.8	696.6	15	724.4	5	1.7	5.2	2.2	2.8	-3.0	7	10.0	30	94	77	90	87	30	30
Jahr	712.5	690.9	II	724.4	XII	6.5	11.7	7.5	8.3	-8.2	XI	28.8	VII	87	62	84	78	30	XII

Meiringen

$\lambda = 8° 11'$, $\beta = 46° 44'$, $H_b = 604.7^m$, $G = -0.08$ ‰, $h_r = 1.5^m$

Januar	705.4	692.4	18	714.1	24	-0.4	3.2	0.8	1.1	-8.4	19	13.6	31	93	81	90	88	35	2
Februar	701.5	687.7	19	712.4	7	-0.4	3.4	0.0	0.8	-10.6	19	14.2	1	91	72	86	83	35	1
März	706.8	693.6	21	716.1	4	-0.8	7.0	1.6	2.4	-9.4	7	23.0	25	88	60	83	77	36	25
April	712.6	707.5	1	719.0	12	4.8	14.0	8.2	8.8	0.0	2	24.0	30	88	52	74	71	36	20
Mai	710.9	704.2	15	719.2	22	8.4	17.4	10.4	11.6	2.4	23	25.2	1	91	52	85	76	32	9. 23
Juni	710.4	696.9	9	717.8	23	11.7	21.4	13.9	15.2	3.6	12	26.8	19	95	56	91	81	36	19
Juli	710.7	703.4	26	714.5	18	13.5	22.0	15.3	16.5	8.2	8	29.0	18	95	64	93	84	45	1
August	711.5	706.6	12	716.8	16	12.0	21.3	14.8	15.7	7.6	10	26.7	20	95	62	92	83	45	19
September	711.6	699.8	14	716.4	30	10.0	18.2	12.6	13.3	2.8	30	24.2	4	95	62	92	83	36	21
Oktober	709.3	696.8	21	716.6	25	5.0	12.8	7.0	7.9	-3.3	30	18.7	20	92	64	90	82	38	20
November	711.6	703.0	1	719.1	27	0.0	5.4	1.3	2.0	-10.6	27	15.4	6	92	72	91	85	47	4
Dezember	708.4	692.5	15	721.4	5	0.4	4.2	1.3	1.8	-4.3	7. 8	9.2	29	98	87	95	93	55	30
Jahr	709.2	687.7	II	721.4	XII	5.3	12.5	7.3	8.1	-10.6	II XI	29.0	VII	93	65	88	82	32	V

Guttannen

$\lambda = 8° 18'$, $\beta = 46° 39'$, $H_b = 1058^m$, $G = -0.15$ ‰, $h_r = 1.5^m$

Januar	666.9	654.1	16	674.9	24	0.7	2.4	1.4	1.5	-10.6	19	10.8	27	78	70	74	74	45	27 . 30
Februar	662.8	649.1	19	672.7	7	-1.7	0.4	-2.0	-1.3	-9.0	11	6.8	1	80	70	81	77	43	12
März	668.1	657.4	8	676.2	3. 4	-2.5	3.2	-0.4	0.0	-10.2	18	15.2	25	77	59	76	71	35	8
April	674.3	668.4	27	680.9	12	3.2	9.4	5.5	5.9	-2.8	17	20.8	30	80	56	74	70	31	8
Mai	673.0	666.2	15	680.7	7	7.2	12.7	8.6	9.3	0.6	23	20.9	1	81	61	77	73	38	13
Juni	673.4	662.2	9	680.1	22	11.3	16.7	12.7	13.4	4.4	12	22.8	24	85	62	84	77	40	19
Juli	673.5	666.9	26	677.7	17	12.6	17.9	14.2	14.7	7.6	8	26.4	18	92	69	89	83	38	18
August	674.3	669.0	12	679.0	22	11.3	17.2	13.4	13.8	5.6	10	22.4	23	90	68	89	82	48	10 . 18
September	673.9	662.4	14	678.9	25	8.8	13.9	10.1	10.7	2.1	30	18.8	4	93	72	91	85	42	5
Oktober	671.4	661.2	21	677.9	25	4.1	8.3	5.4	5.8	-3.0	29	13.0	3. 10	87	75	85	82	45	20
November	672.6	664.2	24	679.5	27	-0.1	2.3	0.9	1.0	-11.6	26	15.2	7	83	77	82	81	40	7
Dezember	670.0	655.2	15	682.3	5	0.9	2.5	0.9	1.3	-3.8	20	7.2	15	84	79	85	82	45	14
Jahr	671.2	649.1	II	682.3	XII	4.6	8.8	5.9	6.3	-11.6	XI	28.6	VII	84	68	82	78	31	IV

Beobachter: K. Lüthi, W. Dettwyler

Beatenberg

Bewölkung				Termine mit Nebel				Niederschlag			Zahl der Tage								Windverteilung								1955
7³⁰	13³⁰	21³⁰	Mittel	7³⁰	13³⁰	21³⁰	Total	Summe	Maximum	Tag	●	●* ≧1.0	*	▲	⛆	≡	heiter	trüb	N	NE	E	SE	S	SW	W	NW	Calmen	
6.0	5.7	5.3	5.7	3	2	2	7	146	34	12	14	13	6	—	—	4	7	10	10	1	3	3	10	—	1	—	65	Januar
6.6	6.9	6.0	6.5	1	2	2	5	171	48	8	17	17	15	—	—	3	2	9	9	1	4	—	8	1	7	2	52	Februar
5.3	4.7	4.5	4.8	4	3	1	8	59	17	27	9	8	5	—	—	4	8	7	10	3	8	4	19	2	7	—	40	März
4.4	4.5	4.2	4.4	—	—	—	—	71	25	11	11	7	2	—	—	—	10	8	7	2	6	5	18	4	4	1	43	April
5.2	5.8	4.7	5.2	—	1	1	2	171	28	27	15	14	4	—	—	2	5	8	16	—	13	1	19	2	4	3	35	Mai
5.3	6.3	6.8	6.1	2	2	—	4	197	42	7	21	20	—	—	3	4	3	8	10	—	1	5	24	—	2	2	46	Juni
5.2	6.5	7.3	6.3	3	1	—	4	272	49	29	24	22	—	—	7	3	3	11	7	2	1	2	13	1	—	—	67	Juli
4.1	5.3	5.0	4.8	2	—	—	2	197	48	30	20	17	—	—	6	2	8	7	9	2	3	2	19	—	1	—	57	August
5.4	5.6	5.1	5.4	4	2	2	8	120	23	27	13	13	2	—	1	6	7	9	2	1	4	1	4	—	—	2	76	September
5.1	5.0	4.8	5.0	2	1	1	4	47	12	4	8	8	3	—	—	4	7	7	—	—	4	6	1	3	1	3	75	Oktober
5.3	5.8	4.8	5.3	3	5	1	9	27	21	24	5	3	3	—	—	6	7	7	1	—	—	2	4	—	—	—	83	November
6.4	5.7	5.0	5.7	2	2	—	4	132	16	27	19	17	7	—	—	3	5	10	5	—	—	—	—	—	—	—	88	Dezember
5.4	5.6	5.3	5.4	26	21	10	57	1610	49	VII	176	159	47	—	17	41	72	101	86	12	47	31	139	13	27	13	727	Jahr

Beobachter: P. Furrer

Interlaken (Unterseen)

8.9	8.8	8.8	8.8	10	7	4	21	147	30	12	13	13	4	—	—	11	1	26	—	—	17	19	1	28	1	—	27	Januar
8.4	7.0	7.5	7.6	—	—	—	—	153	34	8	16	14	8	—	—	—	1	14	—	—	5	14	5	34	3	—	23	Februar
6.3	5.5	5.7	5.8	—	—	—	—	40	12	29	7	6	3	—	—	—	4	8	—	1	18	24	3	27	1	—	19	März
4.6	4.5	5.0	4.7	—	—	—	—	46	17	11	8	6	2	—	—	—	9	7	—	—	16	9	2	35	5	—	23	April
5.4	5.5	5.3	5.4	—	—	—	—	132	24	11	16	16	—	—	—	—	5	8	—	—	14	13	1	40	1	—	24	Mai
5.5	5.9	6.6	6.0	—	—	—	—	147	32	7	21	19	—	—	3	—	3	6	—	—	12	21	2	31	1	—	23	Juni
5.5	6.1	7.4	6.3	—	—	—	—	219	34	20	20	20	—	2	5	—	4	9	—	—	11	21	2	20	4	—	35	Juli
4.9	5.9	5.9	5.6	—	—	—	—	204	46	30	16	16	—	1	4	—	2	6	—	—	9	25	—	24	6	1	28	August
5.9	4.8	6.0	5.6	2	—	—	2	82	14	27	13	12	—	—	—	2	4	6	—	1	13	11	—	34	—	—	31	September
6.8	4.9	5.8	5.8	—	—	—	—	46	16	21	8	8	—	—	—	—	6	12	—	—	19	7	3	25	3	—	36	Oktober
7.0	5.5	6.2	6.2	1	—	—	1	19	13	24	4	4	2	—	—	1	5	10	—	—	10	14	—	16	—	—	50	November
8.0	6.1	7.6	7.2	3	1	3	7	128	18	27	19	17	1	—	—	5	2	17	—	1	17	11	1	7	1	—	55	Dezember
6.4	5.9	6.5	6.3	16	8	7	31	1363	46	VIII	161	151	20	3	12	19	46	129	—	3	161	189	20	321	26	1	374	Jahr

Beobachter: Frau E. Michel

Meiringen

8.3	8.3	9.1	8.6	2	2	4	8	152	39	13	11	10	3	—	—	7	2	26	—	—	2	—	—	1	3	4	83	Januar
8.4	8.3	7.8	8.2	—	—	—	—	161	46	8	17	15	12	—	—	—	—	17	—	—	3	—	—	1	—	10	70	Februar
7.5	5.7	6.6	6.6	—	—	—	—	38	9	29	10	8	5	—	—	—	2	11	—	—	4	—	1	2	—	3	83	März
5.2	5.3	5.9	5.5	—	—	—	—	67	17	9	10	9	2	—	—	—	8	11	—	—	—	—	—	15	—	6	69	April
6.5	6.3	6.4	6.4	—	—	—	—	123	17	11	18	16	—	—	—	1	3	12	—	—	1	2	—	20	—	2	68	Mai
6.0	6.3	6.6	6.3	—	—	—	—	154	33	7	21	20	—	—	—	—	2	8	—	—	1	2	—	17	—	—	70	Juni
6.0	6.0	6.5	6.2	—	—	—	—	245	29	28	23	22	—	—	3	—	4	11	—	—	—	1	—	21	—	—	71	Juli
5.0	5.9	5.8	5.6	—	—	—	—	170	36	30	15	14	—	—	1	—	3	7	—	—	—	—	—	20	—	—	73	August
5.2	5.1	5.9	5.4	—	—	—	—	80	16	6	14	12	—	—	—	1	5	8	—	—	—	3	—	14	2	—	71	September
6.1	5.4	5.0	5.5	1	—	—	1	88	48	21	9	7	1	—	—	1	6	11	—	—	3	—	—	15	1	1	73	Oktober
6.6	6.2	5.7	6.2	—	—	—	—	17	14	24	5	2	2	—	—	—	4	9	—	—	—	—	1	8	—	1	80	November
7.0	5.5	5.6	6.0	2	1	—	3	122	14	28	19	19	4	—	—	5	5	10	—	—	—	—	—	2	1	—	89	Dezember
6.5	6.2	6.4	6.4	5	3	4	12	1417	48	X	172	154	29	—	4	15	44	141	—	—	14	9	2	136	7	27	900	Jahr

Beobachter: , Frau L. Huber

Guttannen

6.8	7.2	7.4	7.1	3	3	3	9	156	43	12	10	9	3	—	—	4	4	18	—	—	—	31	—	—	-	2	60	Januar
8.4	7.4	7.0	7.6	—	1	2	3	153	44	8	14	14	13	—	—	2	2	15	—	—	—	15	—	—	—	4	63	Februar
5.9	6.0	5.8	5.9	1	—	3	4	72	16	29	9	9	5	—	—	3	7	11	—	—	—	9	—	—	—	1	83	März
4.7	5.0	5.7	5.1	1	—	—	1	117	33	11	9	9	3	—	—	1	7	10	—	—	—	3	—	—	—	17	70	April
6.5	6.0	5.8	6.1	—	—	—	—	180	29	6	16	15	3	—	—	—	5	15	—	2	—	9	—	—	—	13	69	Mai
6.1	6.9	7.4	6.8	—	—	—	—	162	42	7	19	18	—	—	—	—	2	12	1	—	—	14	—	—	1	11	63	Juni
6.6	6.7	8.1	7.1	1	—	—	1	167	15	28	21	20	—	—	3	1	4	13	1	—	—	1	—	—	3	6	82	Juli
5.3	6.6	5.7	5.9	—	—	—	—	137	32	30	16	15	—	—	1	—	4	11	—	—	—	3	—	—	2	8	80	August
4.6	5.7	6.2	5.5	2	—	—	2	105	14	10	17	13	—	—	1	2	6	6	1	—	—	—	—	—	5	2	82	September
5.3	5.3	4.7	5.1	2	1	2	5	128	63	21	12	10	5	—	—	5	9	10	1	—	—	13	—	—	3	1	75	Oktober
5.3	5.3	4.0	4.9	2	—	2	4	31	28	24	5	2	5	—	—	4	9	8	—	—	—	12	—	—	2	3	73	November
5.3	6.6	4.7	5.5	—	—	1	1	148	23	27	17	16	8	—	—	1	10	11	—	1	—	12	—	—	—	—	80	Dezember
5.9	6.2	6.0	6.0	12	5	13	30	1556	63	X	165	150	45	—	5	23	69	140	4	3	—	122	—	—	16	68	882	Jahr

Grimsel (Hospiz)

$\lambda = 8° 20'$, $\beta = 46° 34'$, $H = 1958.8^m$, $G = -0.24$ m/m, $h_r = 1.5^m$

1955	Luftdruck					Luft-Temperatur								Relative Feuchtigkeit					
	Mittel	Minimum	Tag	Maximum	Tag	7^{30}	13^{30}	21^{30}	Mittel	Minimum	Tag	Maximum	Tag	7^{30}	13^{30}	21^{30}	Mittel	Minimum	Tag
Januar	596.9	584.3	18	603.2	24. 25	-3.1	-1.1	-2.3	-2.2	-18.0	19	4.1	27	78	79	78	78	35	25
Februar	592.0	579.6	19	600.5	7	-6.6	-1.9	-6.4	-5.3	-13.8	14	4.2	26	88	79	86	84	46	26
März	597.5	586.7	7. 8. 9	605.6	25	-5.4	1.4	-3.7	-2.9	-15.2	6	10.8	26	75	68	75	73	36	8. 15
April	603.6	599.0	16	608.4	12	-2.2	6.5	-0.4	0.9	-10.2	16. 17	14.0	30	77	65	82	75	38	23
Mai	603.2	596.3	15	609.0	8	2.0	8.1	2.7	3.9	-5.0	16	14.0	6. 13	79	68	85	77	32	9
Juni	604.5	595.9	9	609.9	23. 24	6.6	11.5	7.1	8.1	-1.0	12	16.7	18	83	70	85	79	45	24
Juli	605.0	599.6	27	609.9	17. 18	8.6	13.2	8.6	9.7	0.6	7	18.5	2	80	79	86	82	48	16
August	605.7	599.7	8	610.2	23	7.1	11.7	8.4	8.9	-0.5	8	17.5	22	81	73	86	80	47	21
September	605.1	593.3	14	609.6	20. 24	7.1	8.8	5.6	6.2	-3.1	29	14.0	12	83	77	87	82	41	30
Oktober	601.9	595.0	17	607.6	14	4.7	5.5	2.0	2.7	-4.8	30	12.5	2	81	69	77	76	36	30
November	602.4	593.6	24	607.1	27	1.3	2.5	-0.7	-0.1	-12.0	25	12.0	7	73	69	74	72	32	19
Dezember	600.4	588.5	15	611.0	6	-1.4	-0.5	-2.2	-1.9	-10.0	31	5.1	12	81	72	79	77	24	5
Jahr	601.5	579.6	II	611.0	XII	-2.8	5.5	1.6	2.3	-18.0	I	18.5	VII	80	72	82	78	24	XII

Jungfraujoch (Sphinx)

$\lambda = 7° 59'$, $\beta = 46° 33'$, $H_b = 3577.8^m$, $G = -0.37$ m/m, $h_r = —^m$

Januar	484.7	473.9	18	492.1	24	-12.4	-11.6	-11.9	-12.0	-26.4	18	-5.6	15	82	77	81	80	25	10
Februar	478.4	468.7	19	488.3	8	-17.8	-17.2	-17.5	-17.5	-27.6	14	-8.2	8	91	87	83	87	18	7
März	484.1	471.1	6	495.8	25	-14.8	-13.7	-14.5	-14.4	-26.4	5	-2.4	25	74	72	78	75	19	31
April	490.6	483.4	16	496.3	29	-11.8	-10.5	-10.9	-11.0	-23.0	16	-1.4	28	71	74	80	75	14	20
Mai	491.6	485.4	15	499.1	8	-8.3	-6.7	-7.3	-7.4	-17.6	19	1.4	9	74	69	73	72	9	9
Juni	494.4	485.0	9	500.1	23	-4.6	-3.0	-3.5	-3.7	-12.0	11	2.0	24	83	84	92	86	21	14
Juli	495.8	491.0	27	502.6	18	-2.0	-0.6	-1.5	-1.4	-8.8	6	4.6	18	86	84	94	88	12	1
August	495.8	488.2	8	501.1	22	-3.4	-2.1	-2.7	-2.7	-11.0	8	3.0	21	81	81	92	85	30	6.7.21
September	494.6	481.9	14. 15	499.5	24. 25	-4.5	-3.2	-4.2	-4.0	-14.8	15	2.0	4	75	76	86	79	22	22
Oktober	490.6	483.3	18. 21	497.9	14	-7.7	-6.2	-7.1	-7.0	-20.0	29	2.0	9	69	64	71	68	10	9
November	490.0	478.5	24	496.5	7	-9.0	-8.5	-8.9	-8.8	-25.0	25	-0.6	4	57	55	59	57	10	3
Dezember	487.4	476.3	30	499.3	8	-11.6	-11.5	-12.3	-11.9	-23.0	31	-2.8	7	78	77	79	78	17	7
Jahr	489.8	468.7	II	502.6	VII	-9.0	-7.9	-8.5	-8.5	-27.6	II	4.6	VII	77	75	81	78	9	V

Südwestschweiz

Genève

$\lambda = 6° 9'$, $\beta = 46° 12'$, $H_b = 405.0^m$, $G = -0.03$ m/m, $h_r = 1.5^m$

Januar	723.3	710.0	16	732.1	24	2.4	3.4	3.0	2.9	-3.0	2. 19	13.0	12	89	84	90	88	60	17
Februar	719.5	704.3	19	730.6	7	1.4	4.3	2.6	2.7	-6.0	15	11.6	8	88	75	84	82	40	16
März	724.2	712.5	21	734.4	4	1.7	7.5	4.5	4.6	-5.4	7	20.6	25	85	69	86	80	32	19
April	729.5	724.1	23	736.3	13	7.0	14.2	11.2	10.9	2.6	3	23.2	30	74	51	76	67	26	26
Mai	727.9	721.1	15	735.7	22	11.9	17.9	13.4	14.2	7.0	23	27.4	1	75	54	80	70	36	8.16.20
Juni	727.2	717.2	9	734.2	22	15.6	21.0	17.2	17.8	9.2	12	25.6	25	79	61	83	74	42	2
Juli	727.0	720.7	26	730.5	17	18.2	23.3	19.3	20.0	14.0	6. 7. 8	33.0	18	83	61	81	75	38	18
August	727.8	723.3	12	732.3	23	16.3	22.6	18.9	19.2	12.6	9	26.2	1	89	63	85	79	41	26
September	728.5	719.2	14	734.2	30	13.1	18.3	15.3	15.5	7.5	17	24.5	8	90	69	89	83	47	3
Oktober	726.7	717.4	21	733.3	25	7.7	12.4	9.7	9.9	-0.2	30	15.8	13. 27	88	69	85	81	49	26
November	728.9	721.4	1	737.4	27	4.0	5.9	4.7	4.8	-6.8	28	13.2	6	86	79	86	84	54	17. 18
Dezember	726.3	711.3	15	739.2	5	4.3	6.6	5.3	5.4	-3.0	8	11.4	29	91	78	86	85	61	11
Jahr	726.4	704.3	II	739.2	XII	8.6	13.1	10.4	10.6	-6.8	XI	33.0	VII	85	68	84	79	26	IV

Lausanne

$\lambda = 6° 39'$, $\beta = 46° 32'$, $H_b = 589.0^m$, $G = -0.03$ m/m, $h_r = 1.5^m$

Januar	706.7	694.4	16	715.0	25	1.1	2.9	1.8	1.9	-5.7	19	10.8	12	93	85	90	89	48	19
Februar	703.2	689.5	19	713.9	7	0.5	3.6	1.3	1.7	-5.1	15	9.4	2	84	74	82	80	43	16
März	707.9	695.9	21	717.7	4	1.0	7.4	3.0	3.6	-4.8	7	19.2	25	83	60	76	73	40	9. 19
April	713.6	708.3	23	719.5	13	7.0	15.2	9.7	10.4	0.9	16	23.6	30	74	46	63	61	30	12
Mai	712.2	705.7	17	719.7	22	10.5	16.2	11.7	12.5	5.5	19	24.6	6	77	56	68	67	38	1. 20
Juni	711.6	701.5	9	718.7	22	14.5	20.1	15.4	16.3	8.4	11	26.4	24	84	62	78	75	37	2
Juli	711.5	705.4	26	715.2	17	16.5	22.4	17.4	18.4	11.5	7	29.5	18	75	61	80	72	42	18 9
August	712.4	708.2	12	716.5	23	15.3	21.7	16.7	17.6	10.6	8	27.0	22	87	62	79	76	42	8
September	712.7	703.1	14	717.4	30	12.3	18.3	13.4	14.3	5.4	30	24.6	5	90	66	84	80	52	8.16 2
Oktober	710.7	701.3	21	716.9	7. 25	7.0	12.8	7.8	8.9	0.2	30	16.9	3. 14	91	65	85	80	48	18
November	712.4	704.0	1	719.6	27	2.1	6.1	3.1	3.6	-6.0	26	14.2	4	88	73	86	82	47	26
Dezember	710.0	695.4	15	722.0	5	3.4	6.4	4.1	4.5	-0.5	8	11.5	12	92	76	89	86	49	30
Jahr	710.4	689.5	II	722.0	XII	7.6	12.8	8.8	9.5	-6.0	XI	29.5	VII	85	66	80	77	30	IV

Beobachter: **Grimselwärter**

Grimsel (Hospiz)

Bewölkung				Termine mit Nebel				Niederschlag			Zahl der Tage								Windverteilung								1955
7³⁰	13³⁰	21³⁰	Mittel	7³⁰	13³⁰	21³⁰	Total	Summe	Maximum	Tag	●	●* ≧1.0	*	▲	⛆	≡	heiter	trüb	N	NE	E	SE	S	SW	W	NW	Calmen	
6.0	7.0	6.7	6.6	10	10	7	27	214	39	12	11	11	11	—	—	14	7	15	—	1	—	49	—	26	—	12	5	Januar
9.2	8.8	7.4	8.5	18	17	14	49	333	62	8	19	19	19	—	—	24	—	18	—	—	—	38	—	12	—	26	8	Februar
5.5	6.3	5.6	5.8	4	8	5	17	95	26	17	12	11	12	—	—	8	6	12	—	—	—	50	—	10	—	20	13	März
4.8	5.1	5.4	5.1	6	4	8	18	166	35	8	14	14	12	—	—	13	7	9	—	1	—	11	—	11	—	58	9	April
6.7	6.4	6.1	6.4	11	7	9	27	216	28	15	18	18	14	—	—	13	3	14	—	—	—	33	—	32	—	23	5	Mai
7.5	7.2	7.7	7.5	6	4	1	11	206	31	7	23	22	3	—	—	7	2	14	—	—	—	17	—	25	—	45	3	Juni
6.6	7.2	7.9	7.2	6	9	9	24	212	22	17	21	21	1	—	—	13	1	17	—	—	—	36	—	8	—	44	5	Juli
6.8	6.9	7.6	7.1	11	7	16	34	127	24	30	20	19	2	—	—	20	—	15	—	—	—	33	—	9	—	48	3	August
6.0	6.1	6.5	6.2	8	11	12	31	129	23	28	17	16	4	—	—	16	6	14	—	—	—	41	—	4	—	42	3	September
5.3	5.7	6.2	5.7	9	9	10	28	161	39	21	14	14	9	—	—	15	5	12	—	—	—	56	—	1	—	32	4	Oktober
3.8	5.3	5.5	4.9	4	6	7	17	60	38	24	5	5	4	—	—	9	9	7	—	—	—	53	—	8	—	19	10	November
6.4	7.4	6.7	6.8	4	6	4	14	228	35	27	21	19	21	—	—	8	4	15	—	1	—	33	2	21	1	31	4	Dezember
6.2	6.6	6.6	6.5	97	98	102	297	2147	62	II	195	189	112	—	—	160	50	162	—	3	—	450	2	167	1	400	72	Jahr

Beobachter: **Jungfraubahn**

Jungfraujoch (Sphinx)

7.2	6.7	6.6	6.8	10	12	13	35	—	—	—	—	—	—	—	—	17	5	17	1	—	—	49	1	1	—	41	—	Januar
8.6	7.9	6.5	7.7	20	14	14	48	—	—	—	—	—	—	—	—	22	1	15	6	—	—	26	1	—	—	51	—	Februar
5.3	5.9	5.0	5.4	8	7	11	26	—	—	—	—	—	—	—	—	14	9	11	7	—	1	37	—	—	1	47	—	März
4.8	5.8	5.4	5.3	10	10	10	30	—	—	—	—	—	—	—	—	16	9	7	23	—	—	15	—	1	—	51	—	April
5.8	6.1	6.1	6.0	7	11	14	32	—	—	—	—	—	—	—	—	20	6	11	3	—	—	26	—	—	—	64	—	Mai
6.2	7.9	8.8	7.6	10	17	21	48	—	—	—	—	—	—	—	—	25	2	16	1	—	—	21	1	—	—	66	1	Juni
6.4	7.0	8.5	7.3	13	13	22	48	—	—	—	—	—	—	—	—	25	1	16	5	—	1	28	—	—	—	59	—	Juli
6.2	6.5	7.4	6.7	11	10	16	37	—	—	—	—	—	—	—	—	22	2	13	4	—	—	26	—	—	—	63	—	August
5.1	4.8	5.5	5.1	10	9	14	33	—	—	—	—	—	—	—	—	18	9	7	1	—	2	36	—	—	—	51	—	September
5.1	4.8	4.6	4.8	7	8	11	26	—	—	—	—	—	—	—	—	16	10	8	4	—	4	36	2	—	—	47	—	Oktober
4.4	4.2	3.6	4.1	3	2	3	8	—	—	—	—	—	—	—	—	4	10	4	1	1	—	48	—	—	1	38	1	November
7.0	7.2	5.4	6.5	9	10	10	29	—	—	—	—	—	—	—	—	19	2	10	1	—	—	13	—	—	—	79	—	Dezember
6.0	6.2	6.1	6.1	118	123	159	400	—	—	—	—	—	—	—	—	218	66	135	57	1	8	361	5	2	2	657	2	Jahr

Südwestschweiz

Beobachter: **Observatorium**

Genève

9.6	9.3	9.4	9.4	3	1	4	8	130	16	16	13	12	7	—	1	4	—	27	17	25	6	—	2	13	2	—	28	Januar
8.1	6.5	7.2	7.3	—	—	—	—	149	26	17	14	13	4	—	—	—	2	13	6	15	5	4	24	13	2	—	15	Februar
5.6	5.4	5.2	5.4	—	—	—	—	25	12	21	6	5	—	—	2	—	7	9	30	33	4	—	14	2	3	—	7	März
2.2	2.3	2.8	2.4	—	—	—	—	4	2	7	2	2	—	—	—	—	16	2	30	28	1	1	5	—	—	1	24	April
5.0	4.9	5.5	5.1	—	—	—	—	112	39	17	11	9	—	—	—	—	4	8	12	11	2	2	25	23	2	1	15	Mai
5.3	6.5	6.0	5.9	—	—	—	—	104	39	7	12	11	—	—	3	1	5	10	13	17	4	—	17	4	2	2	31	Juni
5.3	5.2	4.3	4.9	—	—	—	—	62	16	28	12	11	—	—	5	—	4	3	21	25	15	5	11	4	1	2	9	Juli
4.4	4.6	4.9	4.6	—	—	—	—	107	54	30	10	8	—	—	5	—	9	5	29	27	13	7	5	2	3	—	7	August
6.4	4.5	5.7	5.5	1	—	—	1	70	36	9	7	6	—	—	4	1	3	7	27	25	17	2	9	1	—	1	8	September
7.2	5.0	6.2	6.1	2	—	—	2	38	12	20	8	8	—	—	—	2	4	10	17	20	5	3	14	2	—	—	32	Oktober
8.4	8.0	7.9	8.1	9	—	4	13	40	18	9	7	6	1	—	—	10	2	21	28	29	4	2	—	—	1	—	26	November
9.1	7.4	9.3	8.6	4	—	3	7	89	24	14	16	13	—	1	1	5	—	20	13	10	1	3	10	8	2	1	45	Dezember
6.4	5.8	6.2	6.1	19	1	11	31	930	54	VIII	118	104	12	1	21	23	56	135	243	265	77	29	136	72	18	8	247	Jahr

Beobachter: **A. George**

Lausanne

9.5	8.8	9.4	9.2	8	7	4	19	172	23	16	14	12	5	—	1	10	1	27	2	20	—	4	—	16	3	3	45	Januar
8.3	6.9	7.2	7.5	—	3	—	3	147	24	8	18	14	10	—	—	4	1	15	5	14	—	1	7	27	5	3	22	Februar
6.0	5.3	4.9	5.4	—	—	—	—	30	8	21	6	5	—	—	1	—	4	8	8	47	—	—	3	11	4	2	18	März
3.2	2.1	2.6	2.6	—	—	—	—	12	8	8	5	2	2	—	—	—	17	3	6	40	1	4	5	12	1	4	17	April
5.2	4.8	5.6	5.2	—	—	—	—	172	64	17	14	10	—	—	1	—	8	9	5	14	—	5	4	32	7	8	18	Mai
5.7	6.6	7.0	6.4	1	—	—	1	124	49	7	16	14	—	—	4	2	5	13	7	22	—	4	5	19	5	6	22	Juni
5.2	5.5	4.5	5.1	—	—	—	—	169	69	25	16	12	—	1	7	—	10	7	5	31	2	8	5	21	3	1	17	Juli
4.9	4.8	3.9	4.5	—	—	—	—	133	52	30	15	11	—	1	12	—	11	8	6	30	—	6	6	9	5	3	28	August
5.7	4.7	4.4	4.9	—	—	—	—	76	27	9	8	8	—	—	2	—	10	9	9	29	—	8	7	14	—	5	18	September
7.0	4.7	4.7	5.5	—	—	—	—	44	15	4	8	6	—	—	—	—	4	11	7	41	1	4	3	18	2	4	13	Oktober
7.2	6.2	5.5	6.3	2	2	3	7	28	8	9	6	6	1	—	—	6	6	12	4	45	2	2	3	6	2	1	25	November
8.2	7.2	8.1	7.8	5	—	3	8	126	19	29	19	18	1	—	—	9	—	15	6	18	1	4	3	23	6	2	30	Dezember
6.3	5.6	5.7	5.9	16	12	10	38	1233	69	VII	145	118	19	2	28	31	77	137	70	351	7	50	51	208	43	42	273	Jahr

Montreux-Clarens

$\lambda = 6° 54'$, $\beta = 46° 27'$, $H_b = 408^m$, $G = -0.03$ ‰, $h_r = 1.5^m$

1955	Luftdruck					Luft-Temperatur								Relative Feuchtigkeit					
	Mittel	Minimum	Tag	Maximum	Tag	7^{30}	13^{30}	21^{30}	Mittel	Minimum	Tag	Maximum	Tag	7^{30}	13^{30}	21^{30}	Mittel	Minimum	Tag
Januar	722.5	708.8	16	731.3	25	2.2	4.2	2.9	3.0	−2.5	2	11.8	12	88	77	84	83	47	19
Februar	719.0	705.4	19	730.7	7	1.1	4.4	2.3	2.5	−5.0	15	9.0	5	82	69	78	76	50	15 . 16
März	723.7	712.3	21	734.0	4	1.8	7.1	4.4	4.4	−5.0	7	18.1	26	82	69	77	76	45	7.8.9 10. 11
April	729.2	723.9	23	736.1	13	7.1	13.7	11.5	11.0	1.0	2	22.3	30	97	70	76	81	49	21
Mai	727.8	721.2	17	736.1	22	11.6	16.0	13.3	13.5	6.8	22	23.0	1	92	71	81	81	40	29
Juni	726.9	716.6	9	733.9	22	15.2	19.4	17.0	17.2	9.0	11	25.2	25	82	63	74	73	28	2
Juli	726.8	720.5	26	730.1	17	17.0	21.7	19.1	19.2	12.8	8	26.4	18	86	63	77	75	50	5
August	727.6	723.3	12	732.0	23	15.9	21.5	18.6	18.7	12.0	8	26.0	20	88	61	74	74	45	8.9.23
September	728.1	718.3	14	733.2	25 . 30	12.5	17.9	14.7	15.0	5.0	29	23.0	3.4.8	92	65	83	80	45	29
Oktober	726.2	715.7	21	732.4	25	7.1	12.9	8.8	9.4	1.0	29 . 30	17.2	14	90	62	84	79	39	25
November	728.4	720.0	1	736.0	27	2.3	6.9	4.0	4.3	−5.2	26 . 27	13.2	5	89	66	83	79	44	25
Dezember	725.7	710.5	15	738.6	5	3.1	7.1	4.0	4.6	−1.2	7	13.8	29	92	72	88	84	40	30
Jahr	726.0	705.4	II	738.6	XII	8.1	12.7	10.0	10.2	−5.2	XI	26.4	VII	88	66	80	78	28	VI

Leysin

$\lambda = 7° 00'$, $\beta = 46° 21'$, $H = 1350^m$, $G = —$ ‰, $h_r = 1.5^m$

Januar	—	—	—	—	—	0.6	2.9	1.3	1.5	−8.6	2. 19	8.2	27	75	67	74	72	35	10 . 26
Februar	—	—	—	—	—	−2.9	−0.7	−3.0	−2.4	−11.4	14	8.4	1	82	78	85	82	43	12
März	—	—	—	—	—	−0.9	2.4	−0.5	0.1	−9.4	6	17.8	25	70	67	76	71	33	23
April	—	—	—	—	—	4.2	8.5	4.8	5.6	−3.0	16	17.4	30	69	59	64	64	33	24
Mai	—	—	—	—	—	7.6	11.0	7.1	8.2	1.0	19 . 22	19.4	6	73	66	74	71	33	9
Juni	—	—	—	—	—	11.8	14.8	11.3	12.3	2.6	11	20.2	25	76	77	79	77	38	2
Juli	—	—	—	—	—	13.5	16.7	13.1	14.1	7.6	5. 7	24.8	18	82	79	82	81	43	18
August	—	—	—	—	—	12.3	15.8	12.3	13.2	6.2	8	20.0	23	81	61	83	82	60	15
September	—	—	—	—	—	9.3	12.2	9.4	10.1	1.2	15	17.4	4	86	86	86	86	65	23
Oktober	—	—	—	—	—	4.7	7.5	4.9	5.5	−0.8	29	12.8	11	79	78	78	78	35	27
November	—	—	—	—	—	1.0	3.9	1.4	1.9	−9.2	26	15.0	7	68	69	72	70	36	3
Dezember	—	—	—	—	—	2.0	4.2	2.1	2.6	−5.0	31	9.0	7	74	68	71	71	30	6. 7
Jahr	—	—	—	—	—	5.3	8.3	5.4	6.1	−11.4	II	24.8	VII	76	73	77	75	30	XII

Grand-St-Bernard

$\lambda = 7° 10'$, $\beta = 45° 52'$, $H_b = 2478.7^m$, $G = -0.32$ ‰, $h_r = 6.0^m$

Januar	557.8	546.2	18	565.3	24	−6.7	−5.6	−6.5	−6.3	−18.9	2	−0.5	15	84	82	84	83	30	10 . 25
Februar	552.4	541.0	19	561.5	7. 8	−10.7	−9.0	−10.2	−10.0	−19.1	14	−2.1	8	89	86	86	87	33	7
März	557.7	545.8	6	567.8	21 . 25	−8.5	−5.3	−7.8	−7.3	−19.7	7	7.0	25	73	70	82	75	33	23
April	564.2	556.6	1	569.7	14	−3.8	−1.4	−3.7	−3.1	−11.0	16	5.8	29	74	69	82	75	36	17
Mai	564.8	558.5	15	571.1	8	−0.5	1.7	−0.6	0.0	−9.0	19	7.4	6	81	70	80	77	32	16
Juni	566.2	556.9	9	572.0	22	3.4	5.8	3.2	3.9	−4.0	11	11.4	24	83	72	90	82	43	14
Juli	567.2	561.6	26	574.0	18	6.1	8.7	6.0	6.7	−1.8	6	17.0	18	78	68	88	78	35	18
August	567.7	561.4	8	573.2	22	4.8	7.7	5.2	5.7	−3.8	9	13.3	20	82	68	86	79	42	10
September	566.6	554.9	14	571.4	20 24. 25	2.5	5.4	2.9	3.4	−8.9	28	10.8	3	85	77	85	82	50	16 . 17
Oktober	563.0	555.8	21	569.5	14	−2.2	0.9	−1.2	−0.9	−9.3	29	7.6	14	74	70	81	75	27	9
November	562.7	553.8	24	568.5	6	−4.6	−3.3	−4.4	−4.2	−16.7	25	4.2	6. 7	70	70	75	72	21	28
Dezember	560.9	549.8	30	571.8	3	−5.2	−3.7	−5.0	−4.7	−13.0	31	5.6	7	74	75	76	75	22	7
Jahr	562.6	541.0	II	574.0	VII	−2.1	0.2	−1.8	−1.4	−19.7	III	17.0	VII	79	73	83	78	21	XI

Sion

$\lambda = 7° 22'$, $\beta = 46° 14'$, $H_b = 548.6^m$, $G = -0.11$ ‰, $h_r = 2.0^m$

Januar	711.1	696.2	18	719.4	25	1.0	4.8	2.2	2.6	−6.6	19	12.9	31	87	71	84	81	42	26
Februar	707.4	693.8	19	717.7	7	−0.3	3.8	1.4	1.6	−6.5	19	10.4	2	84	67	79	77	41	12
März	711.9	700.6	8	721.9	4	0.6	9.0	4.2	4.5	−5.8	7	18.4	24 . 26	82	50	72	68	36	13
April	716.6	712.3	23 . 24	723.7	13	7.2	16.4	11.2	11.5	1.4	17	24.7	30	74	43	55	57	31	12
Mai	715.5	709.2	15	723.0	8	11.4	18.9	13.2	14.2	7.1	22	24.5	9	73	47	64	61	31	16 . 21
Juni	714.9	704.0	9	721.4	23	15.8	22.7	17.0	18.1	9.2	11 . 12	29.9	25	76	51	74	67	29	2
Juli	714.8	708.6	26	718.8	18	17.4	23.5	18.8	19.6	11.4	7	30.4	18	79	59	74	71	47	2
August	715.8	711.9	7	720.5	23	15.2	22.6	17.5	18.2	10.7	10	27.2	24	83	57	75	72	43	9
September	716.0	705.5	14	721.8	20	12.4	19.3	14.2	15.0	4.3	30	23.0	3. 4	87	58	77	74	45	14
Oktober	714.3	704.2	21	721.1	26	5.6	13.4	8.6	9.1	−0.8	30	17.2	11 . 20	89	58	78	75	40	29
November	716.1	708.4	1	723.3	27	1.1	1.1	3.5	3.8	−8.0	27	11.3	7	83	60	79	74	37	4
Dezember	714.2	700.6	15	726.4	5	1.6	5.4	2.9	3.2	−3.4	10	10.5	1	88	73	85	82	41	1
Jahr	714.0	693.8	II	726.4	XII	7.4	13.9	9.6	10.1	−8.0	XI	30.4	VII	82	58	75	72	29	VI

Beobachter: **A. Thétaz**

Montreux-Clarens

Bewölkung				Termine mit Nebel				Niederschlag			Zahl der Tage							Windverteilung								1955
7³⁰	13³⁰	21³⁰	Mittel	7³⁰	13³⁰	21³⁰	Total	Summe	Maximum	Tag	●	●≥1.0	✳	▲	⛆	≡	heiter	trüb	N	NE	E	SE	S	SW	W	NW	Calmen	
8.9	9.0	9.2	9.0	1	—	1	2	108	18	11	12	12	1	—	—	1	—	26	—	—	4	—	—	—	—	—	89	Januar
9.1	8.0	7.7	8.3	—	—	—	—	131	29	17	18	17	9	—	—	—	1	19	3	—	1	1	—	—	—	—	79	Februar
6.0	6.9	6.8	6.9	—	—	—	—	25	6	28	7	6	—	—	1	—	3	12	—	—	1	—	1	—	3	—	88	März
4.1	3.7	3.0	3.6	—	—	—	—	22	8	11	5	3	—	—	—	—	11	2	—	—	—	1	3	—	7	—	79	April
6.1	5.8	5.6	5.8	—	—	—	—	201	40	17	15	13	—	—	2	—	4	8	1	1	—	2	2	—	4	—	83	Mai
5.7	7.6	7.2	6.8	—	—	—	—	229	53	7	19	17	—	—	5	—	3	13	—	—	—	—	1	—	2	—	87	Juni
5.5	6.4	6.3	6.1	—	—	—	—	123	29	25	16	14	—	—	6	—	4	10	1	—	—	—	2	—	1	—	89	Juli
4.8	6.4	5.2	5.5	—	—	—	—	171	61	30	15	12	—	—	6	—	2	6	—	—	—	—	1	—	3	—	89	August
6.1	6.2	5.3	5.9	—	—	—	—	64	18	15	11	9	—	—	—	—	4	11	2	—	—	—	—	—	1	—	87	September
6.4	6.2	5.0	5.9	—	—	—	—	48	25	6	9	7	—	—	2	—	6	11	1	—	2	—	—	2	2	1	85	Oktober
6.4	6.9	6.3	6.5	1	—	1	2	30	16	24	6	6	—	—	—	2	3	13	—	—	3	—	1	—	1	—	85	November
8.2	8.0	8.1	8.1	4	—	1	5	104	13	23	20	18	—	—	—	4	1	22	—	—	1	—	1	1	2	—	88	Dezember
6.5	6.8	6.3	6.5	6	—	3	9	1256	61	VIII	153	134	10	—	22	7	42	153	8	1	12	4	12	3	26	1	1028	Jahr

Beobachter: **M. Baud**

Leysin

6.2	6.6	5.9	6.2	—	2	—	2	135	24	12	13	13	7	—	1	2	7	13	1	15	—	—	—	11	38	12	16	Januar
7.8	7.6	7.6	7.7	2	3	1	6	182	35	7	18	18	17	—	—	4	2	15	4	5	—	—	—	15	33	9	18	Februar
4.5	5.8	5.3	5.2	4	6	2	12	40	14	27	8	6	3	—	—	7	9	8	2	15	—	—	—	17	31	5	23	März
3.5	3.6	3.3	3.5	3	—	1	4	30	14	11	5	4	—	—	—	4	13	5	5	28	—	—	—	9	10	6	32	April
5.6	6.3	5.2	5.7	1	—	—	1	179	34	17	17	14	7	—	1	1	7	10	3	19	—	1	—	26	19	7	18	Mai
4.9	7.5	6.5	6.3	2	5	2	9	165	42	7	19	16	1	2	2	7	5	11	—	4	—	—	—	38	7	21	20	Juni
5.0	7.8	4.1	5.6	2	6	—	8	151	27	11	16	14	—	1	8	6	3	8	1	8	—	1	—	35	8	26	14	Juli
4.1	7.8	4.4	5.4	—	2	—	2	218	55	30	17	16	—	2	9	2	4	8	2	18	—	—	—	24	10	4	35	August
5.1	7.0	5.2	5.8	2	6	1	9	61	14	9	12	10	2	—	1	6	7	11	3	16	—	—	—	18	14	4	35	September
4.7	5.4	4.4	4.8	2	4	2	8	42	24	6	6	5	2	—	—	6	10	9	2	12	1	—	—	25	17	16	20	Oktober
3.6	5.1	3.5	4.1	2	3	2	7	25	18	24	6	3	1	—	—	5	9	5	6	14	—	—	—	8	29	9	24	November
5.9	5.9	6.2	6.0	—	2	—	2	136	17	17	18	15	12	—	—	2	7	11	5	10	—	—	—	16	35	5	22	Dezember
5.1	6.4	5.1	5.5	20	39	11	70	1364	55	VIII	155	134	52	5	22	52	83	114	34	164	1	2	—	242	251	124	277	Jahr

Beobachter: **Hospice**

Grand-St-Bernard

6.4	6.4	7.0	6.6	6	5	3	14	414	72	12	15	15	14	—	—	8	6	15	1	17	3	1	—	23	5	13	30	Januar
8.0	7.8	7.3	7.7	8	12	5	25	295	67	8	22	22	22	—	—	12	3	17	—	41	—	—	1	19	2	1	20	Februar
3.4	4.5	5.5	4.5	1	2	—	3	79	17	26	9	6	9	—	—	3	10	6	—	39	—	—	—	27	—	—	27	März
3.8	3.4	4.6	3.9	—	—	—	—	44	22	7	6	9	6	—	—	—	11	4	—	64	—	—	—	3	—	—	23	April
5.7	5.1	5.8	5.5	12	3	14	29	153	39	6	16	16	13	—	—	17	6	8	—	39	—	—	—	28	—	—	26	Mai
4.9	6.4	7.3	6.2	12	10	18	40	210	70	7	16	16	5	—	—	21	5	11	—	52	—	—	—	23	—	—	15	Juni
5.4	7.0	8.1	6.8	7	6	18	31	115	13	11	17	17	3	—	2	19	3	13	—	64	—	—	—	10	—	—	10	Juli
3.9	6.4	3.2	4.5	9	5	12	26	173	70	7	13	13	1	1	2	16	7	4	—	61	—	—	—	14	—	—	18	August
5.4	5.1	5.1	5.2	11	4	11	26	81	22	14	11	9	3	—	1	15	9	7	—	50	—	—	—	18	—	—	22	September
3.8	4.3	4.3	4.1	4	4	6	14	106	34	20	8	8	8	—	—	9	11	6	—	30	—	—	—	24	—	—	39	Oktober
4.1	5.2	4.2	4.5	6	8	6	20	54	20	13	6	4	6	—	—	11	12	7	—	27	—	—	—	34	—	—	29	November
4.8	5.7	5.5	5.3	8	9	10	27	230	38	15	16	16	16	—	—	14	7	9	—	49	—	—	—	16	—	—	28	Dezember
5.0	5.6	5.7	5.4	84	68	103	255	1954	72	I	155	151	106	1	5	145	90	107	1	533	3	1	1	239	7	14	296	Jahr

Beobachter: **Kapuzinerkloster**

Sion

7.2	6.9	7.6	6.9	4	2	4	10	160	36	11	13	10	6	—	—	6	2	14	2	1	5	2	—	3	10	7	63	Januar
7.7	6.6	7.1	6.5	—	—	—	—	188	57	8	14	10	10	—	—	—	1	10	1	3	7	—	—	6	20	1	46	Februar
4.2	3.7	4.6	3.8	—	—	—	—	30	18	26	4	3	—	—	—	—	10	3	4	6	5	—	2	9	20	3	44	März
3.2	3.5	3.1	3.3	—	—	—	—	3	2	11	2	2	—	—	—	—	10	4	2	5	3	—	1	11	27	3	38	April
5.0	5.3	5.2	5.2	—	—	—	—	65	19	17	13	13	—	—	—	—	5	8	7	7	7	—	4	9	19	2	38	Mai
5.0	0.6	5.6	5.7	—	—	—	—	43	20	7	11	5	—	—	—	—	4	6	2	—	3	1	1	10	21	2	50	Juni
5.1	5.1	5.7	5.3	—	—	—	—	43	13	26	13	11	—	—	—	—	4	6	2	2	—	—	3	17	21	—	48	Juli
4.7	5.3	4.6	4.9	—	—	—	—	89	42	30	14	13	—	—	2	—	5	4	3	4	4	—	3	8	23	1	47	August
5.5	3.6	3.8	4.3	—	—	—	—	16	7	20	6	3	—	—	—	—	8	4	2	—	2	—	1	15	26	3	41	September
4.3	3.5	3.4	3.7	2	—	—	2	16	8	6	7	4	—	—	—	2	13	4	3	8	4	—	1	6	18	2	51	Oktober
4.1	4.2	4.4	4.2	1	—	—	1	7	3	24	3	2	1	—	—	1	10	6	5	2	4	—	—	9	12	3	55	November
6.2	6.1	5.1	5.8	1	—	2	3	77	13	15	14	11	3	—	—	3	6	10	2	12	2	—	1	—	1	—	75	Dezember
5.2	5.0	4.7	5.0	8	2	6	16	737	57	II	114	87	20	—	2	12	78	79	35	50	46	3	17	103	218	27	596	Jahr

Chippis

$\lambda = 7° 32'$, $\beta = 46° 17'$, $H_b = 522.4^m$, $G = -0.11$ ‰, $h_r = 1.5^m$

1955	Luftdruck					Luft-Temperatur								Relative Feuchtigkeit					
	Mittel	Minimum	Tag	Maximum	Tag	7^{30}	13^{30}	21^{30}	Mittel	Minimum	Tag	Maximum	Tag	7^{30}	13^{30}	21^{30}	Mittel	Minimum	Tag
Januar	712.7	698.3	18	721.9	24.25	-0.2	5.0	1.0	1.7	-8.6	19	12.2	28	90	68	88	82	37	26
Februar	708.8	695.4	19	719.5	7	-1.5	3.7	0.5	0.8	-9.5	19	13.3	1	88	65	82	78	35	12
März	713.5	702.0	8	724.3	4	-0.9	9.3	3.0	3.6	-8.9	8	20.1	26	88	45	76	70	32	13.14.18
April	718.6	713.8	23.24	726.4	13	5.7	16.3	9.8	10.4	-0.8	2	26.1	29	80	38	59	59	27	2
Mai	717.3	710.8	2	725.1	8	10.6	18.8	11.8	13.2	6.2	22	26.9	6	74	43	71	63	27	9
Juni	716.7	704.1	9	723.7	23	14.4	22.2	15.6	16.9	8.6	12	27.8	25	79	48	77	68	27	2
Juli	716.6	709.7	26	721.4	18	15.9	23.2	17.5	18.5	10.0	7	31.1	18	81	52	74	69	35	6
August	717.7	713.1	12	722.8	23	13.7	22.6	16.4	17.3	8.0	10	27.2	24	86	50	77	71	36	9
September	718.0	706.6	14	724.4	20	10.5	19.9	12.7	14.0	1.2	30	23.9	8	92	49	84	75	32	17
Oktober	716.2	706.7	21	723.3	26	3.6	14.3	6.5	7.7	-3.1	30	18.6	11	92	48	85	75	31	29.30
November	718.2	709.6	1	726.3	27	-1.2	8.0	1.3	2.3	-11.6	27	19.6	7	89	52	85	75	33	4.7
Dezember	716.1	702.0	15	729.0	5	-0.1	5.7	1.0	1.9	-5.5	10	13.1	1	92	69	88	83	34	1
Jahr	715.9	695.4	II	729.0	XII	5.9	14.1	8.1	9.0	-11.6	XI	31.1	VII	86	52	79	72	27	IV/V VI

Montana

$\lambda = 7° 29'$, $\beta = 46° 19'$, $H_b = 1453.2^m$, $G = -0.21$ ‰, $h_r = 1.5^m$

Januar	635.1	621.2	18	642.4	25	-1.1	2.3	-0.3	0.1	-12.1	19	9.7	27	76	63	71	70	27	25.26
Februar	630.4	618.2	18	640.4	7	-4.6	-1.2	-3.5	-3.2	-12.1	15	6.7	2	83	72	78	78	36	12
März	635.5	624.2	8	643.8	24	-2.7	2.9	-0.7	-0.1	-11.6	7	12.9	25	71	55	65	64	30	8
April	641.4	634.8	1	646.4	13	3.1	8.1	5.2	5.4	-3.4	17	16.9	29.30	67	50	50	56	30	16
Mai	641.0	635.1	15	647.2	8	6.2	11.0	7.7	8.2	-0.4	22	17.0	9	73	51	57	60	28	9.18
Juni	641.7	631.4	9	647.6	23	10.5	15.6	11.2	12.1	3.6	11	21.1	24	79	56	63	66	33	8
Juli	642.2	636.0	26	646.6	18	12.3	17.2	13.0	13.9	6.4	8	24.4	18	84	62	66	71	35	2.18
August	642.7	637.9	8	647.0	23	10.9	16.0	11.9	12.7	5.0	8	20.9	21.-24	83	61	64	69	35	18
September	642.3	632.0	14	947.0	25	8.4	13.5	9.1	10.0	-0.1	14.15.29	17.9	4	87	67	74	76	45	30
Oktober	639.7	631.2	21	645.3	26	3.0	8.9	4.7	5.3	-2.4	29	13.9	15	81	64	73	73	41	30
November	640.2	632.5	1	645.1	27	-0.3	4.9	0.5	1.4	-11.7	26	13.6	5	66	52	68	62	27	29
Dezember	638.2	625.5	15	648.8	5	-0.3	3.5	0.0	0.8	-5.1	19.31	10.5	7	79	63	74	72	24	6.7
Jahr	639.2	618.2	II	648.8	XII	3.8	8.5	4.9	5.5	-12.1	I II	24.4	VII	77	60	67	68	24	XII

Reckingen

$\lambda = 8° 15'$, $\beta = 46° 28'$, $H_b = 1332.4^m$, $G = -0.19$ ‰, $h_r = 1.5^m$

Januar	646.1	632.1	18	654.0	24	-4.8	0.5	-3.6	-2.9	-16.2	19	4.6	27	86	69	82	79	50	27
Februar	641.4	627.7	19	651.3	7	-6.2	0.0	-5.3	-4.2	-16.8	12	5.6	2	84	63	81	76	34	23
März	646.3	634.9	8	654.7	23	-6.8	3.0	-3.2	-2.5	-17.2	8	11.0	26	78	47	70	65	29	24
April	652.3	646.5	1	658.7	13	-0.1	7.7	1.9	2.8	-8.8	2	19.0	29.30	74	44	63	60	32	30
Mai	651.6	645.0	15	658.6	8	6.1	13.1	6.0	7.8	0.2	19	20.4	9	70	42	61	58	27	8
Juni	652.2	643.3	9	658.6	23	11.0	17.2	10.4	12.2	4.0	11	24.0	24	70	44	69	61	25	24
Juli	652.3	645.4	26	657.4	18	12.9	19.8	12.4	14.4	5.6	7	27.6	18	73	40	70	61	21	18
August	653.2	647.8	8	658.3	22	10.2	18.1	11.2	12.7	5.0	10	24.0	20	81	41	69	64	28	18.22
September	652.8	641.0	14	658.2	25	6.1	16.4	8.3	9.8	-1.8	30	22.0	3	90	41	77	69	29	24
Oktober	650.3	642.6	17	656.4	13.14	0.6	10.0	3.0	4.2	-7.2	30	17.4	2	88	47	77	71	29	19
November	651.1	641.7	24	656.7	27	-3.9	5.2	-2.2	-0.8	-15.6	26	14.6	6.7	84	49	79	71	28	19
Dezember	649.0	636.0	15	657.2	26	-3.9	1.8	-2.6	-1.8	-12.0	19	6.0	3.7	90	69	87	82	44	9
Jahr	649.9	627.7	II	658.7	IV	1.8	9.4	3.0	4.3	-17.2	III	27.6	VII	81	50	74	68	21	VII

Graubünden

Chur

$\lambda = 9° 32'$, $\beta = 46° 51'$, $H_b = 633^m$, $G = -0.10$ ‰, $h_r = 1.5^m$

Januar	702.9	689.8	18	711.6	24	0.7	4.4	1.9	2.2	-6.8	19	12.3	27	78	63	77	73	36	26
Februar	698.8	684.0	19	709.3	7	-0.9	2.3	0.1	0.4	-6.8	15	11.4	1	83	71	83	79	47	15
März	704.3	691.5	8	713.7	3	-0.1	5.7	2.0	2.4	-6.7	2	21.5	26	77	55	72	68	22	8
April	709.6	703.9	24	717.5	12	4.6	11.6	7.7	7.9	0.0	18	23.2	29	77	51	69	66	27	26
Mai	707.8	700.3	2	716.3	22	8.8	15.7	11.0	11.6	3.3	23	24.2	6	76	46	68	63	30	8
Juni	707.6	696.6	9	715.0	22	13.0	19.7	15.2	15.8	7.7	12	26.3	19	84	52	76	71	31	12
Juli	707.6	700.0	26	711.6	18	14.7	20.0	16.3	16.8	10.0	7	29.6	18	87	62	84	78	35	18
August	708.6	703.7	7	713.3	16	13.3	19.5	15.7	16.1	7.6	10	25.0	23	86	57	76	73	42	18
September	708.7	695.9	14	714.1	30	10.7	17.1	12.7	13.3	4.6	30	22.7	4.9	87	60	82	76	41	2.20
Oktober	707.0	696.3	21	714.0	25	6.5	11.3	7.6	8.5	-0.2	29	17.6	10	81	62	80	74	35	30
November	708.8	700.0	24	716.0	26	2.1	6.5	3.5	3.9	-8.2	26	19.3	8	75	60	75	70	30	4
Dezember	705.7	690.5	15	719.5	5	2.2	5.9	3.1	3.6	-1.2	20	9.9	1.23	82	69	81	77	33	23
Jahr	706.4	684.0	II	719.5	XII	6.3	11.5	8.1	8.5	-8.2	XI	29.6	VII	81	59	77	72	22	III

Beobachter: Aluminium-Industrie-AG

Chippis

Bewölkung				Termine mit Nebel				Niederschlag			Zahl der Tage								Windverteilung									1955
7^{30}	13^{30}	21^{30}	Mittel	7^{30}	13^{30}	21^{30}	Total	Summe	Maximum	Tag	● *	●* ≧1.0	*	▲	K	≡	heiter	trüb	N	NE	E	SE	S	SW	W	NW	Calmen	
7.0	7.5	7.2	7.2	5	2	1	8	168	36	12	12	10	7	—	—	6	3	17	3	38	5	—	6	31	8	2	—	Januar
7.8	7.2	6.0	7.0	—	—	1	1	154	30	4	14	10	12	—	—	1	—	13	4	28	4	—	7	33	6	2	—	Februar
4.9	5.1	4.6	4.9	—	—	—	—	30	19	26	4	3	—	—	—	—	6	3	2	27	2	1	3	48	8	2	—	März
3.1	3.4	3.0	3.2	—	—	—	—	4	3	7	2	2	—	—	—	—	11	3	2	18	5	2	—	39	15	9	—	April
5.1	5.1	5.9	5.4	—	—	—	—	52	15	17	14	13	—	—	—	—	5	8	4	13	2	2	15	49	5	3	—	Mai
5.6	6.3	6.3	6.1	—	—	—	—	51	21	7	9	7	—	—	1	—	3	8	3	32	1	2	8	36	6	2	—	Juni
5.4	6.0	6.2	5.9	—	—	—	—	46	14	26	13	9	—	—	3	—	2	8	3	19	4	—	6	46	7	8	—	Juli
4.8	5.7	5.1	5.2	—	—	—	—	84	38	30	12	10	—	—	3	—	3	7	6	21	4	1	5	42	6	8	—	August
6.0	3.9	4.2	4.7	—	—	—	—	7	3	20	4	4	—	—	1	—	6	4	11	14	5	—	3	48	6	3	—	September
4.7	4.0	3.5	4.1	1	—	—	1	15	8	6	6	4	—	—	—	1	12	7	14	28	2	1	7	33	4	3	1	Oktober
4.8	4.2	4.2	4.4	—	—	—	—	3	2	24	2	2	1	—	—		10	6	13	32	3	—	3	30	8	1	—	November
6.5	6.4	5.7	6.2	—	—	—	—	95	18	29	13	12	4	—	—	—	5	10	10	35	3	1	5	25	13	1	—	Dezember
5.5	5.4	5.2	5.4	6	2	2	10	709	38	VIII	105	86	24	—	8	8	66	94	75	305	40	10	68	460	92	44	1	Jahr

Beobachter: Sanatorium «La Moubra»

Montana

Bewölkung				Termine mit Nebel				Niederschlag			Zahl der Tage								Windverteilung									1955
7^{30}	13^{30}	21^{30}	Mittel	7^{30}	13^{30}	21^{30}	Total	Summe	Maximum	Tag	● *	●* ≧1.0	*	▲	K	≡	heiter	trüb	N	NE	E	SE	S	SW	W	NW	Calmen	
6.5	6.4	6.3	6.4	1	1	3	5	238	55	12	12	11	7	—	—	3	4	13	—	11	50	2	—	—	21	—	9	Januar
7.1	6.9	6.1	6.7	3	1	2	6	226	42	8	16	14	16	—	—	4	1	11	—	2	20	2	9	4	40	2	5	Februar
3.7	4.4	4.6	4.2	2	—	2	4	40	24	26	5	4	2	—	—	3	10	3	—	6	15	2	3	5	34	1	27	März
2.8	3.1	2.9	2.9	—	—	—	—	9	5	11	3	2	1	—	—	1	16	2	—	2	5	1	1	5	39	16	21	April
4.7	4.7	4.9	4.8	—	—	—	—	86	24	17	13	13	2	—	—	—	5	5	1	3	3	3	2	11	51	3	16	Mai
5.2	6.4	7.1	6.2	—	—	—	—	86	34	7	10	10	—	1	1	—	—	6	3	2	14	3	5	4	27	3	29	Juni
4.7	5.0	5.4	5.0	—	—	—	—	67	17	26	18	14	—	—	1	—	3	4	—	—	9	1	—	16	48	5	14	Juli
4.2	5.1	5.4	4.9	—	—	—	—	116	52	30	15	13	—	—	?	—	7	6	1	1	10	3	2	11	40	4	21	August
4.9	4.0	4.1	4.3	1	—	—	1	15	4	14	7	6	2	—	1	1	7	4	1	1	3	—	1	7	34	4	39	September
4.0	3.9	3.4	3.8	1	—	1	2	25	15	6	5	4	1	—	—	3	13	4	1	1	16	4	2	2	21	—	46	Oktober
3.6	3.8	4.0	3.8	2	2	4	8	11	6	24	3	3	1	—	—	4	11	4	—	1	12	2	—	1	6	2	66	November
5.3	5.6	4.6	5.2	—	—	—	—	149	30	15	16	14	13	—	—	—	8	6	1	1	9	—	—	1	30	1	50	Dezember
4.7	4.9	4.9	4.8	10	4	12	26	1068	55	I	123	108	45	1	?3	19	85	68	8	31	166	23	25	67	391	41	343	Jahr

Beobachter: Th. Weissen

Reckingen

Bewölkung				Termine mit Nebel				Niederschlag			Zahl der Tage								Windverteilung									1955
7^{30}	13^{30}	21^{30}	Mittel	7^{30}	13^{30}	21^{30}	Total	Summe	Maximum	Tag	● *	●* ≧1.0	*	▲	K	≡	heiter	trüb	N	NE	E	SE	S	SW	W	NW	Calmen	
6.0	6.0	5.6	5.9	2	—	1	3	211	55	11	10	10	9	—	—	3	8	13	—	—	—	—	—	1	—	1	91	Januar
9.0	7.7	6.9	7.9	—	—	—	—	193	48	8	14	14	14	—	—	—	1	16	—	—	—	—	—	7	—	—	77	Februar
4.1	5.0	4.5	4.5	—	—	—	—	21	?	—	4	4	—	—	—	—	12	7	—	3	—	—	—	—	—	—	90	März
3.6	3.6	3.4	3.5	—	—	—	—	24	9	11	3	3	—	—	—	—	16	7	5	3	1	—	—	—	—	—	81	April
4.9	5.1	4.7	4.9	—	—	—	—	59	16	27	13	13	3	—	—	—	9	9	1	2	7	—	—	8	1	—	74	Mai
5.1	5.2	6.5	5.6	—	—	—	—	109	43	7	14	10	—	—	—	—	5	7	2	6	3	1	1	8	—	—	69	Juni
3.9	5.1	5.6	4.9	1	—	—	1	83	14	31	19	15	—	—	2	1	7	5	1	6	1	1	3	4	1	3	73	Juli
5.3	5.6	4.4	5.1	—	—	—	—	69	26	30	12	11	—	—	—	—	9	9	2	2	3	2	1	3	—	—	80	August
4.6	4.2	4.0	4.3	—	—	—	—	41	13	6	9	8	1	—	—	—	11	6	1	2	4	—	4	2	—	1	76	September
4.1	4.3	4.4	4.3	3	1	—	4	129	103	21	5	2	2	—	—	4	14	9	1	1	—	—	2	3	—	1	85	Oktober
4.1	3.3	3.0	3.5	2	1	1	4	9	7	24	2	2	2	—	—	2	13	6	2	3	—	—	1	—	—	—	84	November
6.4	6.9	5.6	6.3	—	—	—	—	129	21	29	13	13	11	—	—	—	6	15	—	1	—	—	—	—	—	—	92	Dezember
5.1	5.2	4.9	5.1	8	2	2	12	1077	103	X	118	105	42	—	2	10	111	109	15	29	19	4	12	36	2	6	972	Jahr

Beobachter: Kantonsschule

Chur

Bewölkung				Termine mit Nebel				Niederschlag			Zahl der Tage								Windverteilung									1955
7^{30}	13^{30}	21^{30}	Mittel	7^{30}	13^{30}	21^{30}	Total	Summe	Maximum	Tag	● *	●* ≧1.0	*	▲	K	≡	heiter	trüb	N	NE	E	SE	S	SW	W	NW	Calmen	
6.7	6.5	7.4	6.9	—	—	—	—	79	28	12	9	8	4	—	—	—	5	15	—	—	—	26	—	—	—	7	60	Januar
8.1	8.4	7.0	7.8	—	—	—	—	113	37	8	16	13	11	—	—	—	2	19	2	—	—	13	—	—	—	15	54	Februar
5.4	5.7	5.5	5.5	—	—	—	—	15	5	29	8	4	5	—	—	—	6	10	2	—	—	13	1	—	—	27	50	März
5.1	5.3	5.0	5.1	—	—	—	—	51	15	11	9	8	1	—	—	—	10	11	2	—	—	8	—	—	—	30	50	April
5.9	6.1	6.0	6.0	—	—	—	—	80	16	14	14	13	—	—	—	—	6	11	—	1	1	8	3	—	1	32	47	Mai
6.8	7.0	8.3	7.4	—	—	—	—	78	28	7	18	12	—	—	—	—	2	16	1	—	—	13	3	—	—	32	41	Juni
7.4	6.4	7.5	7.1	—	—	—	—	92	17	29	18	17	—	—	5	—	4	15	—	—	—	8	1	—	1	27	56	Juli
6.3	6.9	6.4	6.5	—	—	—	—	50	10	30	15	11	—	—	—	—	4	13	—	—	1	9	1	—	—	27	55	August
5.3	5.0	6.1	5.5	—	—	—	—	52	21	10	10	8	—	—	1	—	9	11	2	—	—	15	1	—	—	30	42	September
6.2	5.6	6.8	6.2	—	—	—	—	64	26	21	9	8	—	—	—	—	4	13	4	—	1	14	2	—	1	22	49	Oktober
5.1	5.5	5.6	5.4	—	—	—	—	6	4	23	3	2	2	—	—	—	5	6	1	—	—	23	—	—	1	12	53	November
7.2	7.0	6.2	6.8	1	—	—	1	61	14	27	14	9	1	—	—	1	3	15	—	—	—	17	2	1	—	4	69	Dezember
6.3	6.3	6.5	6.4	1	—	-	1	741	37	II	143	113	24	—	6	1	60	155	14	1	3	167	14	1	4	265	626	Jahr

Disentis

Die Abendbeobachtung erfolgt um 20.30 $\lambda = 8° 51'$, $\beta = 46° 42'$, $H_b = 1173.3^m$, $G = -0.17$ ‰, $h_r = 1.8^m$

1955	Luftdruck					Luft-Temperatur								Relative Feuchtigkeit					
	Mittel	Minimum	Tag	Maximum	Tag	7^{30}	13^{30}	21^{30}	Mittel	Minimum	Tag	Maximum	Tag	7^{30}	13^{30}	21^{30}	Mittel	Minimum	Tag
Januar	657.9	644.4	18	665.7	24	0.4	3.6	1.2	1.6	-9.1	2	8.7	30	65	52	64	60	26	26
Februar	653.1	639.1	19	663.3	7	-3.0	0.2	-2.5	-2.0	-9.4	15	5.6	24	78	60	79	72	34	12
März	658.5	647.1	8	666.8	3	-2.2	4.0	-0.1	0.4	-10.0	7	15.0	26	69	41	63	58	20	8
April	664.2	659.2	1	670.9	12	2.9	9.3	4.9	5.4	-2.8	16	20.2	30	69	39	61	56	20	21
Mai	663.2	656.6	15	670.7	8	7.5	12.9	8.5	9.2	1.5	22	20.1	9	67	38	58	54	9	9
Juni	663.6	653.3	9	670.0	23	11.4	17.0	12.5	13.1	5.5	11	24.2	24	73	41	70	61	14	24
Juli	663.8	657.4	26	668.3	18	13.6	18.3	14.3	14.9	7.9	7	27.6	18	75	50	75	67	18	18
August	664.7	659.6	8	669.5	23	12.0	17.7	13.6	14.0	6.3	9	24.2	24	82	53	78	71	34	24
September	664.3	651.6	14	669.0	25	9.1	15.4	10.9	11.5	3.0	15	20.6	4	86	54	82	74	32	22
Oktober	662.1	653.8	21	668.6	8	4.3	9.8	5.7	6.4	-2.7	29	16.4	3	82	57	82	74	35	3.30
November	663.3	654.1	24	668.7	22	0.7	5.4	1.7	2.4	-10.9	26	16.0	7	74	58	74	69	37	4.29
Dezember	660.3	648.8	15	673.2	5	1.1	4.1	1.6	2.2	-3.0	31	9.5	7	78	64	77	73	41	23
Jahr	661.6	639.1	II	673.2	XII	4.8	9.8	6.0	6.6	-10.9	XI	27.6	VII	75	51	72	66	9	V

Platta-Medels

$\lambda = 8° 51'$, $\beta = 46° 40'$, $H_b = 1378^m$, $G = -0.19$ ‰, $h_r = 1.2^m$

Januar	642.0	627.3	18	650.0	23 . 25	-1.7	3.0	-0.4	0.1	-13.6	1	8.1	14	57	40	51	49	19	20
Februar	636.9	622.7	19	646.8	7	-4.8	0.1	-5.0	-3.7	-13.6	15	5.0	2	68	46	66	60	21	12
März	642.1	630.5	8	651.9	24	-4.8	3.9	-2.9	-1.7	-13.0	7	13.0	25	61	36	59	52	20	4. 15
April	648.4	642.8	1	654.6	12	0.8	9.5	2.4	3.8	-5.0	2	18.0	30	79	47	78	68	21	2
Mai	647.7	639.8	15	654.6	8	5.4	11.9	6.0	7.3	-0.2	20	17.0	9	73	49	74	65	29	9
Juni	648.1	638.8	9	654.9	22	9.2	16.6	9.5	11.2	3.2	11	24.5	24	83	52	86	74	35	24
Juli	648.5	641.7	26	653.4	17	11.0	18.1	11.4	13.0	6.0	7	28.3	24	87	57	89	78	26	24
August	649.1	643.2	8	654.2	23	9.5	17.7	10.6	12.1	3.6	10	25.8	23	86	52	84	74	30	11
September	648.8	635.9	14	654.3	24	6.7	16.1	8.0	9.7	-0.2	30	25.2	3	91	51	89	77	30	16
Oktober	646.3	638.4	21	652.9	13	2.4	9.6	3.5	4.7	-4.8	29	18.0	15	84	56	84	75	30	15
November	647.5	637.3	24	652.6	22 . 27	-1.1	5.1	-0.3	0.9	-15.0	26	16.0	7	76	53	75	68	32	22
Dezember	644.5	630.9	15	657.1	5	-1.0	4.2	-1.1	0.2	-6.2	19	10.0	7	76	55	78	70	36	17 . 18 29
Jahr	645.8	622.7	II	657.1	XII	2.6	9.6	3.5	4.8	-15.0	XI	28.3	VII	77	50	76	68	19	I

Arosa

$\lambda = 9° 41'$, $\beta = 46° 47'$, $H_b = 1818.2^m$, $G = -0.23$ ‰, $h_r = 1.8^m$

Januar	607.0	594.3	18	614.5	24	-4.1	-0.1	-3.4	-2.8	-16.3	2	6.7	27	76	62	78	72	24	25
Februar	602.3	589.5	19	611.8	7	-7.5	-3.9	-8.0	-6.8	-15.2	14	4.0	1	86	71	89	82	39	15
März	607.4	596.7	8	616.2	23	-6.2	0.1	-5.6	-4.3	-15.1	6	12.1	26	79	51	81	70	25	23
April	613.6	607.6	1	619.3	12	-0.8	3.5	-1.9	-0.3	-9.1	1	12.6	29	75	56	83	71	23	26
Mai	613.3	605.9	15	619.2	8	3.5	7.3	1.8	3.6	-4.1	22	15.4	9	73	56	85	71	16	9
Juni	614.5	605.4	9	620.4	22	7.6	11.6	6.6	8.1	0.3	13	18.2	24	80	63	88	77	34	24
Juli	615.1	609.2	26	620.1	17	9.2	12.8	8.8	9.9	2.6	5	22.2	18	88	71	93	84	33	18
August	615.7	609.9	8	620.5	22	8.6	12.0	7.5	8.9	1.4	9. 15	17.6	23	80	66	91	79	42	17
September	614.9	602.8	14	620.0	25	5.3	10.1	4.9	6.3	-2.0	16	16.0	3	89	65	93	82	37	25
Oktober	611.9	604.3	21	617.7	13	0.5	5.2	0.8	1.8	-9.2	29	12.1	15	81	65	85	77	32	30
November	612.3	602.9	24	616.8	27	-2.7	1.2	-2.5	-1.6	-14.0	26	10.9	7. 8	71	59	75	68	25	29
Dezember	609.6	597.9	15	620.4	5	-2.3	0.4	-2.5	-1.7	-9.7	31	7.6	7	78	67	80	75	24	7
Jahr	611.5	589.5	II	620.5	VIII	0.9	5.0	0.5	1.7	-16.3	I	22.2	VII	80	63	85	76	16	V

Davos-Platz

$\lambda = 9° 49'$, $\beta = 46° 48'$, $H_b = 1560.7^m$, $G = -0.21$ ‰, $h_r = 9.5^m$

Januar	626.8	612.5	18	634.7	24	-6.4	-0.9	-4.8	-4.2	-17.0	19	5.6	27	80	59	80	73	29	25
Februar	621.9	608.3	19	631.3	7	-8.6	-1.9	-6.6	-5.9	-16.0	11 . 12	6.0	1	88	68	87	81	43	25
März	627.2	615.5	8	635.9	23	-8.3	1.0	-4.7	-4.2	-18.4	8	12.0	26	90	51	82	74	29	4. 7
April	633.3	627.9	1	639.4	12	-0.9	5.2	0.4	1.3	-7.0	1	14.4	29 . 30	77	47	80	68	18	26
Mai	632.7	625.6	15	638.8	8	5.1	10.1	4.0	5.8	-1.2	19	18.2	10	71	47	82	67	18	9
Juni	633.6	624.4	9	639.5	22 . 23	9.7	14.1	8.9	10.4	3.2	2	20.2	24 . 25	77	57	86	73	24	12
Juli	634.0	627.6	26	638.7	17 . 19	10.6	14.6	10.5	11.6	5.0	7. 8	23.4	18	87	68	90	82	22	1
August	634.8	629.1	8	639.7	23	9.5	14.3	9.6	10.8	4.0	9	19.8	23	84	60	92	79	35	22
September	634.2	621.4	14	640.0	24	5.7	12.3	7.1	8.1	0.0	16	18.2	4	93	61	93	82	39	23
Oktober	631.4	623.6	17	637.3	8	-0.3	7.3	1.7	2.6	-7.4	29	13.4	15	89	58	88	78	25	9
November	632.1	622.8	24	637.3	27	-4.7	3.0	-3.0	-1.9	-17.6	26	12.6	4. 8	79	54	81	71	32	22
Dezember	629.3	616.6	15	641.1	5	-3.8	0.8	-3.1	-2.3	-10.4	19	6.4	10	84	64	84	77	25	7
Jahr	630.9	608.3	II	641.1	XII	0.6	6.7	1.7	2.7	-18.4	III	23.4	VII	83	58	85	75	18	IV V

Beobachter: P. Fl. Maissen

Disentis

Bewölkung				Termine mit Nebel				Niederschlag			Zahl der Tage								Windverteilung								1955
7^{30}	13^{30}	21^{30}	Mittel	7^{30}	13^{30}	21^{30}	Total	Summe	Maximum	Tag	● *	●● ≧1.0	*	▲	⛆	≡	heiter	trüb	N	NE	E	SE	S	SW	W	NW	Calmen	
6.6	6.1	6.0	6.2	—	—	1	1	96	29	11	8	8	7	—	—	4	7	13	9	5	—	—	3	10	2	12	52	Januar
8.8	7.7	7.3	7.9	—	—	1	1	165	41	8	19	18	19	—	—	1	2	18	9	11	—	—	1	8	1	2	52	Februar
4.5	5.1	5.5	5.0	1	—	—	1	9	3	29	8	3	6	—	—	1	7	7	8	11	—	—	6	15	—	10	43	März
5.0	4.6	4.1	4.5	—	—	—	—	50	18	11	11	10	6	—	—	—	10	5	6	15	1	—	5	10	2	5	46	April
5.7	5.5	5.9	5.7	1	—	—	1	79	14	2	18	13	3	—	—	1	4	8	16	13	3	3	9	8	2	4	35	Mai
6.1	6.7	7.1	6.6	—	—	—	—	117	53	7	16	11	1	—	1	—	1	15	11	11	2	3	3	6	3	4	47	Juni
6.1	7.0	7.8	7.0	—	—	—	—	111	16	20	23	17	—	—	3	2	2	12	8	15	1	1	5	7	1	3	52	Juli
5.7	6.7	6.2	6.2	—	—	—	—	62	17	7	15	14	—	—	—	1	3	12	4	10	6	3	5	8	—	3	54	August
5.3	4.9	5.6	5.3	—	—	—	—	51	7	5	15	12	1	—	—	—	9	9	8	21	3	4	—	6	3	2	43	September
6.8	4.6	6.7	6.0	2	2	1	5	94	58	21	10	9	8	—	—	4	5	9	3	10	4	3	—	9	4	5	55	Oktober
5.0	4.8	4.3	4.7	—	—	—	—	21	18	24	4	2	2	—	—	1	8	7	7	2	4	2	7	10	5	2	51	November
6.4	6.3	6.1	6.3	—	—	—	—	66	16	27	15	13	8	—	—	1	3	12	5	2	1	—	5	9	8	2	61	Dezember
6.0	5.8	6.1	6.0	4	2	3	9	921	58	X	162	130	61	–	4	16	61	127	94	126	25	19	49	106	31	54	591	Jahr

Beobachter: B. Albin

Platta-Medels

6.3	5.6	6.2	6.0	1	—	—	1	*100	25	11	*8	*8	*7	—	—	1	8	13	—	—	3	1	36	5	—	—	48	Januar
8.5	8.0	7.6	8.0	—	—	—	—	119	42	8	10	10	10	—	—	—	2	18	1	—	1	1	18	1	—	—	62	Februar
4.0	5.2	5.7	5.0	—	—	—	—	10	6	8	2	2	2	—	—	—	9	6	—	—	1	3	22	2	—	—	65	März
5.0	5.2	3.8	4.7	1	1	—	2	45	12	11	*11	*10	*7	—	—	1	10	8	3	1	2	—	5	1	—	—	78	April
5.9	5.6	5.3	5.6	—	—	—	—	83	10	17	14	14	4	—	—	—	5	9	1	1	1	1	29	—	—	—	60	Mai
5.8	6.8	7.5	6.7	1	—	—	1	183	*105	7	11	10	—	—	—	1	2	15	2	—	—	3	12	2	—	—	71	Juni
7.5	7.4	7.2	7.4	3	—	1	4	133	19	25	18	17	—	—	6	3	3	17	—	—	1	1	6	1	—	—	84	Juli
5.9	7.3	6.4	6.3	1	—	—	1	58	16	30	13	12	—	—	2	1	5	14	—	—	2	1	15	2	—	—	73	August
4.8	5.1	5.0	5.0	2	—	—	2	61	?	—	10	10	1	—	2	2	11	12	2	—	2	1	10	—	—	—	75	September
6.3	5.7	5.5	5.8	1	1	—	2	106	54	21	7	7	5	—	—	2	6	10	—	—	1	1	14	4	—	—	73	Oktober
4.5	4.3	4.3	4.4	1	—	1	2	14	13	24	2	2	2	—	—	2	13	8	—	—	1	3	25	2	—	—	59	November
5.6	6.1	4.6	5.5	—	—	—	—	47	12	11	10	10	9	—	—	—	8	11	—	—	3	—	16	—	—	—	74	Dezember
5.8	6.0	5.8	5.9	11	2	2	15	959	*105	VI	116	112	47	—	10	13	82	141	9	2	18	16	208	20	—	—	822	Jahr

Beobachter: Lichtklimatisches Observatorium, Frl. G. Perl, Florentinum

Arosa

5.9	6.0	5.4	5.8	1	1	—	2	52	14	11	9	7	9	—	—	3	6	11	—	2	1	—	8	5	1	—	76	Januar
7.8	8.3	6.5	7.5	—	—	—	—	144	31	8	17	17	17	—	—	1	2	14	1	2	2	1	5	6	—	5	62	Februar
5.0	5.5	4.7	5.1	2	—	3	5	25	7	29	12	8	11	—	—	5	8	8	2	6	3	2	11	5	1	3	60	März
5.1	5.3	6.1	5.5	1	—	—	1	71	16	11	12	11	12	—	1	1	6	10	9	6	3	—	2	6	—	1	63	April
5.9	6.3	6.0	6.1	3	—	1	4	170	40	15	18	17	13	—	—	6	5	11	2	3	1	3	8	3	—	4	69	Mai
6.7	7.4	8.3	7.5	3	1	5	9	146	33	7	20	17	4	—	1	9	1	13	1	4	4	2	3	1	—	1	74	Juni
7.0	7.4	8.4	7.6	4	—	2	6	153	22	29	23	21	—	—	4	14	2	18	—	4	6	3	—	1	—	2	77	Juli
5.6	7.1	6.7	6.5	1	1	—	2	100	16	13	20	16	2	—	—	4	2	13	1	11	4	—	—	—	—	3	74	August
4.9	5.6	5.7	5.4	5	3	5	13	89	28	10	15	12	4	1	1	10	9	8	—	4	11	1	—	1	—	1	72	September
5.6	5.3	5.4	5.4	1	2	4	7	105	42	21	10	10	9	—	—	7	5	9	—	2	5	3	4	1	1	1	76	Oktober
3.7	5.3	4.7	4.6	—	1	2	3	17	9	24	5	4	4	—	—	3	8	4	1	1	2	—	6	—	1	—	78	November
7.1	7.1	5.5	6.6	—	—	—	—	70	18	27	16	13	16	—	—	2	4	9	2	—	—	—	6	4	1	—	80	Dezember
5.7	6.4	6.1	6.1	21	9	22	52	1142	42	X	177	153	101	1	7	65	58	128	19	45	42	16	53	33	5	21	861	Jahr

Beobachter: Kurverein

Davos-Platz

6.2	5.8	5.7	5.9	—	—	—	—	57	16	11	9	7	9	—	—	—	7	12	—	1	3	—	1	—	1	—	87	Januar
8.5	8.9	6.9	8.1		—	—	—	141	35	8	16	15	16	—	—	—	—	17		2	7		—	—	2	1	72	Februar
5.1	5.8	5.1	5.3	—	—	—	—	11	3	27	9	4	8	—	—	—	6	10	—	4	8	4	—	—	—	—	77	März
5.1	5.4	6.1	5.5	—	—	—	—	72	30	11	12	10	12	—	—	—	6	12	—	9	9	1	—	3	—	—	68	April
6.1	7.1	5.0	6.4	—	—	—	—	112	28	15	17	17	10	—	—	—	4	11	—	9	12	3	—	3	1	—	65	Mai
7.0	7.9	7.8	7.6	—	—	—	—	116	28	9	18	14	—	1	2	1	1	16	—	1	18	7	—	1	1	—	62	Juni
6.9	7.6	7.9	7.5	—	—	—	—	134	17	21	24	20	—	—	7	—	1	16	—	2	20	2	—	—	—	—	69	Juli
5.7	7.1	6.6	6.5	—	—	—	—	74	14	31	17	14	—	—	—	—	2	11	—	5	16	5	—	2	—	—	65	August
5.7	5.6	6.5	5.9	1	—	1	2	72	23	10	13	9	4	1	1	1	6	11	—	8	15	3	1	—	—	—	63	September
6.1	5.5	5.6	5.7	—	—	—	-	62	25	17	8	7	7	—	—	—	5	10	—	8	9	3	—	2	—	—	71	Oktober
4.8	5.9	4.4	5.0	—	—	—	—	15	9	24	4	3	3	—	—	—	6	7	—	3	6	—	—	2	—	—	70	November
7.2	6.9	6.0	6.7	—	—	—	—	73	23	27	14	10	14	—	—	—	2	12	—	3	2	1	—	2	—	—	85	Dezember
6.2	6.6	6.2	6.3	1	—	1	2	942	35	II	161	113	83	2	10	2	46	145	—	55	125	29	2	15	5	1	863	Jahr

Weißfluhjoch

$\lambda = 9° 48'$, $\beta = 46° 50'$, $H_b = 2667^m$, $G = -0.30$ ‰, $h_r = 3.0^m$, $H_r = 2540^m$

1955	Luftdruck					Luft-Temperatur								Relative Feuchtigkeit					
	Mittel	Minimum	Tag	Maximum	Tag	7^{30}	13^{30}	21^{30}	Mittel	Minimum	Tag	Maximum	Tag	7^{30}	13^{30}	21^{30}	Mittel	Minimum	Tag
Januar	544.8	532.7	18	552.1	24	-7.0	-5.9	-6.1	-6.3	-19.8	2	-0.7	25	71	70	71	71	3	26
Februar	539.1	527.8	19	547.7	8	-12.2	-10.6	-12.0	-11.7	-21.4	14	-4.0	8	80	85	78	81	18	7
März	544.6	532.8	6	555.2	25	-9.3	-7.0	-9.6	-8.9	-19.7	6	3.8	24. 26	70	73	73	72	10	4
April	550.8	543.0	1	556.3	28	-6.8	-4.4	-6.2	-5.9	-15.0	16	4.2	29. 30	74	77	80	77	4	2
Mai	551.5	544.5	15	558.0	8	-2.2	-0.3	-2.3	-1.8	-10.8	16	6.4	9	75	77	79	77	10	13
Juni	553.6	544.6	10	559.2	15	1.3	3.3	1.6	1.9	-6.3	11	9.8	25	86	85	93	88	42	24
Juli	554.4	548.8	27	560.5	18	3.6	6.1	4.2	4.5	-2.6	7	13.3	18	91	87	91	90	41	18
August	554.8	547.7	8	560.2	22	2.7	5.4	3.1	3.6	-5.0	9	11.2	22	85	83	90	86	47	19
September	553.8	540.7	14	558.7	20	1.5	4.3	1.3	2.1	-7.7	15	11.4	3	78	78	87	81	35	3
Oktober	550.1	542.7	18	556.4	24	-2.7	0.0	-2.5	-1.9	-14.5	29	8.6	2	69	70	72	70	18	30
November	549.8	539.2	24	555.7	6	-5.7	-3.8	-5.6	-5.2	-19.9	25	5.4	7	61	63	66	63	15	26
Dezember	547.3	536.5	15. 30	558.1	6	-6.5	-5.5	-6.4	-6.2	-16.0	31	2.3	7	78	74	79	77	10	5
Jahr	549.6	527.8	II	560.5	VII	-3.6	-1.5	-3.4	-3.0	-21.4	II	13.3	VII	77	77	80	78	3	I

Schuls

$\lambda = 10° 18'$, $\beta = 46° 48'$, $H_b = 1253.2^m$, $G = -0.17$ ‰, $h_r = 1.5^m$

Januar	652.4	638.2	16	661.0	24	-6.5	-0.7	-4.9	-4.2	-18.0	2. 19	5.4	31	83	62	82	76	43	25
Februar	647.1	634.4	18	658.9	7	-7.3	0.5	-5.8	-4.6	-18.0	12	7.4	1	85	57	86	76	40	15
März	652.3	640.7	8	661.5	4	-5.8	5.3	-3.3	-1.8	-17.0	8	15.0	24. 26	85	47	81	71	32	23
April	657.6	651.6	20	664.2	13	2.1	10.5	2.7	4.5	-4.0	2	22.0	29. 30	78	41	73	64	24	20
Mai	656.8	648.7	15	664.1	8	7.3	15.1	6.4	8.8	-1.5	22	23.0	9	74	39	73	62	22	9
Juni	657.4	648.6	9	664.1	22	12.1	18.9	11.5	13.5	5.0	11	26.8	19	75	46	80	67	27	12
Juli	657.8	650.6	26	662.6	17. 18	13.6	20.3	12.8	14.9	8.0	5 6. 7 30	29.0	19	78	49	82	70	21	1
August	658.7	652.8	7	663.8	23	11.5	19.1	11.8	13.6	7.5	9	26.0	23	80	48	82	70	20	6
September	658.3	645.7	14	664.3	25	7.7	16.5	8.7	10.4	-2.0	30	22.4	5	90	49	86	75	31	19. 23
Oktober	656.1	647.1	17	663.1	9	2.0	10.9	3.6	5.0	-7.0	30	16.0	2. 4. 11	91	53	86	77	36	28
November	657.4	647.4	24	662.6	27	-3.6	3.6	-2.2	-1.1	-16.0	26	13.4	6	86	58	85	76	23	3
Dezember	654.2	640.7	30	666.5	5	-3.7	1.7	-2.8	-1.9	-11.0	31	8.0	29	85	64	85	78	44	7. 30
Jahr	655.5	634.4	II	666.5	XII	2.5	10.1	3.2	4.8	-18.0	I II	29.0	VII	83	51	82	72	20	VIII

Buffalora (Ofenpaß)

$\lambda = 10° 16'$, $\beta = 46° 39'$, $H = 1968^m$, $G = —$ ‰, $h_r = 1.5^m$

Januar	—	—	—	—	—	-12.0	-1.7	-10.2	-8.5	-26.8	1. 19	5.0	27	90	50	91	77	26	30. 25
Februar	—	—	—	—	—	-12.5	-3.6	-12.2	-10.1	-25.0	12	1.2	22	85	56	91	77	25	7. 13
März	—	—	—	—	—	-11.3	0.6	-9.4	-7.4	-25.3	8	10.8	26	84	39	84	69	15	4
April	—	—	—	—	—	-4.1	5.1	-3.5	-1.5	-14.0	1	15.5	29	68	34	75	59	16	1
Mai	—	—	—	—	—	2.1	9.9	1.3	3.7	-9.3	16	18.0	9	66	42	81	63	15	9
Juni	—	—	—	—	—	7.8	14.0	6.6	8.7	0.0	11	20.0	24	73	54	85	71	25	24
Juli	—	—	—	—	—	9.4	16.4	8.0	10.4	3.0	5	25.3	18	74	52	93	73	20	18
August	—	—	—	—	—	7.2	13.9	7.3	8.9	1.2	4	22.8	23	80	53	91	75	26	6
September	—	—	—	—	—	3.5	11.4	3.8	5.6	-3.5	17	19.6	4	77	53	93	74	30	18. 24 29
Oktober	—	—	—	—	—	-1.3	6.6	-1.5	0.6	-10.4	29	16.0	15	86	54	91	77	20	15
November	—	—	—	—	—	-7.8	2.1	-6.6	-4.7	-22.5	26	11.0	7	92	56	89	79	20	23
Dezember	—	—	—	—	—	-8.3	0.7	-8.1	-5.9	-18.4	19	7.5	7	92	61	92	82	25	7
Jahr	—	—	—	—	—	-2.3	6.3	-2.0	0.0	-26.8	I	25.3	VII	81	50	88	73	15	III V

Bever

$\lambda = 9° 53'$, $\beta = 46° 33'$, $H_b = 1711.8^m$, $G = -0.23$ ‰, $h_r = 1.5^m$

Januar	616.2	603.8	18	624.6	24	-10.6	-1.6	-8.4	-7.3	-26.0	1	5.8	13	94	64	92	83	39	13
Februar	610.7	599.6	19	618.8	7	-11.6	-2.6	-9.6	-8.3	-24.3	12	3.2	8	92	65	91	83	35	16
März	616.1	605.7	8	625.3	23	-11.7	1.2	-6.4	-5.8	-26.3	8	10.0	25	97	55	87	80	37	13
April	621.6	615.8	1	627.2	12	-4.0	5.5	-0.5	0.1	-12.5	2	16.1	30	91	47	80	73	30	21
Mai	621.5	613.6	15	627.9	8	2.2	10.4	3.3	4.8	-3.6	16	16.8	9	83	49	84	72	19	9
Juni	622.6	614.3	10	628.3	22	7.2	14.2	8.3	9.5	-0.3	12	21.7	24	85	56	86	76	29	24
Juli	622.8	617.0	27	628.4	18	8.5	15.9	9.8	11.0	2.2	31	24.1	18	89	54	88	77	25	18
August	623.7	617.2	8	629.3	22	6.2	14.9	8.9	9.7	-0.6	5	21.5	23	93	53	86	77	26	6
September	623.0	610.1	14	628.6	25	3.2	13.6	6.0	7.2	-6.9	30	21.6	4	96	50	92	79	23	25
Oktober	620.4	612.4	17	626.4	14	-2.4	7.7	0.7	1.7	-10.4	23. 30	16.2	15	94	52	88	78	21	15
November	621.1	611.1	24	626.1	7	-7.1	3.2	-4.4	-3.2	-18.6	26	13.2	7	95	59	89	81	24	23
Dezember	618.2	606.2	15	629.4	3	-7.1	0.6	-6.3	-4.8	-17.4	19	6.8	12	93	66	93	84	30	29
Jahr	619.8	599.6	II	629.4	XII	-2.3	6.9	0.1	1.2	-26.3	III	24.1	VII	92	56	88	79	19	V

Beobachter: Eidg. Institut für Schnee- und Lawinenforschung

Weißfluhjoch

Bewölkung				Termine mit Nebel				Niederschlag			Zahl der Tage								Windverteilung								1955
7^{30}	13^{30}	21^{30}	Mittel	7^{30}	13^{30}	21^{30}	Total	Summe	Maximum	Tag	●	●* ≧1.0	✳	▲	K	≡	heiter	trüb	N	NE	E	SE	S	SW	W	NW	Calmen	
6.1	6.1	5.7	6.0	4	3	5	12	106	44	11	12	8	12	—	—	7	5	9	2	3	1	30	29	10	5	6	7	Januar
8.5	8.5	6.2	7.7	9	12	9	30	193	47	8	15	13	15	—	—	14	1	14	6	2	10	9	27	5	16	9	—	Februar
5.1	6.3	4.6	5.3	3	4	4	11	16	7	27	9	4	9	—	—	8	8	9	4	7	9	19	19	5	15	10	5	März
5.5	5.9	6.2	5.9	11	10	15	36	69	28	11	15	12	15	—	—	17	6	11	8	9	—	3	6	5	20	34	5	April
6.1	6.7	5.8	6.2	8	7	9	24	64	13	14	15	13	15	—	—	14	3	8	5	3	—	12	25	11	13	18	6	Mai
7.3	8.0	8.1	7.8	9	8	13	30	117	16	9	23	18	12	—	2	19	1	17	9	6	—	12	12	7	14	25	5	Juni
6.9	8.3	8.1	7.8	10	9	12	31	184	38	21	24	20	9	—	3	18	—	16	9	5	—	7	9	5	21	21	16	Juli
6.5	8.3	7.0	7.3	5	6	10	21	111	20	31	11	20	4	—	—	13	—	15	15	6	3	7	10	5	6	25	16	August
5.7	6.7	5.7	6.0	5	8	10	23	68	19	10	14	10	6	1	—	12	6	11	10	6	3	12	7	5	10	18	19	September
5.3	5.4	5.3	5.3	5	6	8	19	49	19	17	12	8	12	—	—	10	7	6	10	5	6	19	20	6	7	13	7	Oktober
4.7	6.0	4.3	5.0	4	4	5	13	19	12	24	4	3	4	—	—	8	6	7	15	12	4	16	18	6	7	10	2	November
7.5	7.3	5.8	6.9	11	7	11	29	107	17	27	23	18	23	—	—	17	2	9	4	—	—	9	18	20	20	20	2	Dezember
6.3	6.9	6.1	6.4	84	84	111	279	1103	47	II	187	147	136	1	5	157	45	132	97	64	36	155	200	90	154	206	90	Jahr

Beobachter: J. Stocker

Schuls

5.3	4.4	5.9	5.3	3	3	—	6	32	*10	11	6	6	2	—	—	4	9	11	—	—	—	—	—	4	10	1	78	Januar
6.9	8.0	6.9	7.3	—	—	1	1	82	17	7	13	11	13	—	—	1	3	13	3	2	1	—	1	3	2	1	71	Februar
4.8	5.1	5.0	5.0	1	—	—	1	11	7	26	4	2	3	—	—	1	5	8	1	5	4	2	—	5	4	5	67	März
4.8	4.2	3.0	4.0	—	—	—	—	23	11	11	8	7	4	—	—	—	12	4	2	3	3	3	1	13	2	4	59	April
4.9	5.3	4.9	5.0	—	—	1	1	64	24	15	10	10	2	—	—	1	8	7	2	2	6	2	2	9	7	1	62	Mai
6.4	6.9	7.5	6.9	—	—	—	—	49	11	7	12	10	—	—	—	—	2	12	3	3	3	2	1	2	3	3	70	Juni
6.3	6.4	7.0	6.6	4	—	—	1	57	9	21	17	14	—	—	—	4	3	15	4	3	9	—	1	5	—	2	69	Juli
5.3	6.8	5.5	5.8	1	—	—	4	56	14	25	15	12	—	—	1	2	4	9	1	1	9	—	—	6	1	—	75	August
6.1	5.2	5.1	5.5	5	—	1	6	63	25	10	11	10	—	—	—	6	6	9	1	2	5	1	1	5	1	1	73	September
5.2	4.6	4.8	4.9	—	—	—	—	35	14	17	5	5	2	—	—	—	7	6	—	—	9	—	—	3	—	—	81	Oktober
5.0	4.4	3.5	4.3	1	—	1	2	9	5	10	4	2	1	—	—	2	10	5	—	—	3	—	—	—	—	2	85	November
6.4	6.6	5.8	6.3	—	1	2	3	38	14	27	12	12	9	—	—	2	6	14	—	—	1	—	—	1	3	—	88	Dezember
5.6	5.7	5.4	5.6	15	4	6	25	519	25	IX	117	101	36		1	23	75	113	17	21	53	10	7	56	33	20	878	Jahr

Beobachter: Ch. Waldburger

Buffalora (Ofenpaß)

4.2	4.2	4.1	4.2	—	—	—	—	34	13	11	7	6	7	—	—	—	12	6	6	47	—	10	1	21	—	7	1	Januar
6.3	7.0	5.4	6.2	1	—	—	1	106	25	7	14	13	14	—	—	1	2	7	4	28	1	15	—	18	1	16	1	Februar
4.0	4.1	2.9	3.7	1	—	—	1	20	7	26	10	9	9	—	—	1	8	1	5	27	5	23	—	22	—	11	—	März
3.2	3.9	3.4	3.5	—	—	—	—	22	7	11	8	8	8	—	—	—	12	3	6	32	—	5	—	22	1	24	—	April
4.0	5.1	3.9	4.3	—	—	—	—	89	28	17	12	9	8	—	—	—	9	4	3	27	2	18	2	15	—	26	—	Mai
5.2	6.5	5.9	5.9	—	—	—	—	60	13	9	12	9	5	—	—	—	3	3	4	16	—	16	1	19	3	31	1	Juni
5.3	6.3	5.8	5.8	2	—	—	2	182	24	21	18	18	—	—	3	2	4	2	5	19	1	5	—	31	2	29	—	Juli
5.1	6.4	4.7	5.4	2	—	—	2	142	18	25	14	14	—	—	1	2	3	5	10	26	—	12	1	18	—	26	—	August
4.7	5.1	5.0	4.9	5	—	—	5	184	42	5	11	11	1	—	—	5	7	6	6	31	2	6	1	16	—	23	5	September
5.1	4.8	5.4	5.1	2	—	—	2	78	21	21	10	9	5	—	—	2	6	8	5	27	2	15	4	20	—	20	—	Oktober
4.1	4.5	3.5	4.0	1	—	—	1	24	6	10	9	8	7	—	—	1	10	6	—	32	—	10	—	29	—	19	—	November
5.8	5.9	4.1	5.3	—	—	—	—	43	10	27	11	10	11	—	—	—	4	4	4	26	—	6	2	27	—	28	—	Dezember
4.8	5.3	4.5	4.9	14	—	—	14	984	42	IX	136	124	75		4	14	80	55	58	338	13	141	12	258	7	260	8	Jahr

Beobachter: Stationspersonal Rh. B.

Bever

5.0	4.5	5.5	5.0	1		1	2	36	17	11	6	5	6	—	—	2	8	8	—	—	—	—	—	5	2	—	86	Januar
7.1	7.1	5.8	6.7	—	1	—	1	76	15	16	12	11	12	—	—	1	1	12	1	2	—	—	1	5	—	1	74	Februar
5.3	4.7	3.9	4.6	?1	—	—	?1	21	4	21	7	5	5	—	—	4	6	3	1	4	—	—	—	6	2	3	77	März
3.5	4.0	4.4	4.0	2	—	—	2	17	12	11	5	4	5	—	—	2	12	3	4	7	1	—	—	6	2	11	59	April
4.8	5.6	4.8	5.1	—		—		78	26	15	13	9	7	—	—	1	9	8	—	3	1	1	1	20	3	3	61	Mai
6.6	7.2	6.9	6.9	1	—	—	1	88	31	9	11	7	1	—	—	2	2	13	1	1	—	—	1	12	1	6	68	Juni
6.3	7.3	6.8	6.8	5	—	—	5	73	14	11	18	15	—	—	1	6	4	14	—	4	—	—	—	13	4	6	66	Juli
6.2	6.6	5.5	6.1	2	—	—	2	50	20	25	15	9	—	—	1	2	4	10	—	3	—	—	1	4	2	3	80	August
6.8	5.2	4.7	5.6	3	—	—	3	52	14	10	12	10	1	—	—	4	7	9	1	4	—	—	—	5	1	6	73	September
6.5	5.1	5.2	5.6	2	—	1	3	63	28	21	7	6	4	—	—	3	5	10	—	9		—	1	8	1	2	72	Oktober
4.8	5.1	2.7	4.2	1	—	—	1	12	9	10	5	3	3	—	—	1	8	3	—	4	—	—	1	4	1	3	77	November
6.3	6.2	4.2	5.6	1	—	—	1	22	10	14	10	4	10	—	—	1	5	6	—	—	—	—	1	2	1	2	87	Dezember
5.8	5.7	5.0	5.5	19	1	2	22	588	31	VI	121	88	54	—	2	29	71	99	8	41	2	1	7	90	20	46	880	Jahr

St. Moritz

$\lambda = 9° 51'$, $\beta = 46° 30'$, $H_b = 1853^m$, $G = -0.24\ ^m/_m$, $h_r = 2.7^m$

1955	Luftdruck					Luft-Temperatur							Relative Feuchtigkeit					
	Mittel	Minimum	Tag	Maximum	Tag	7^{30}	13^{30}	21^{30}	Mittel	Minimum	Tag	Maximum	Tag	7^{30}	13^{30}	21^{30}	Mittel	Minimum	Tag
Januar	605.4	592.1	19	613.0	24	−7.0	−0.6	−5.4	−4.6	−18.2	2	5.8	13	80	55	77	71	20	25
Februar	599.7	587.1	19	608.2	7	−8.9	−1.3	−7.4	−6.2	−17.2	15	2.8	2. 25	78	57	76	70	33	11
März	606.4	596.2	6	615.9	23	−8.6	1.4	−5.2	−4.4	−18.8	19	10.0	26	84	48	76	69	15	4
April	612.1	606.3	1	617.8	12	−2.4	5.0	−0.8	0.2	−10.6	1	13.2	30	74	39	73	62	23	20
Mai	612.1	604.6	15	619.3	8	2.5	8.3	3.1	4.2	−2.8	22. 23	14.6	9	73	46	79	66	16	9
Juni	613.4	604.9	10	619.0	22	6.9	12.4	7.4	8.5	0.8	2	19.8	25	80	50	82	71	29	25
Juli	613.8	607.7	27	619.1	18	8.7	14.9	9.5	10 7	4.1	6	22.8	18	84	48	81	71	23	18
August	614.5	608.0	8	620.0	22. 23	6.5	13.3	8 2	9.1	1.3	10	18.8	23	87	49	81	72	28	6.18.19
September	613.6	600.9	14	618.9	$^{20}_{24\ 25}$	3.8	11.8	6.0	6.9	−3.6	30	16.6	3. 24	91	47	86	75	22	22
Oktober	610.9	602.8	17	617.0	14	−1.3	6.5	0.8	1.7	−9.9	30	14.2	15	89	49	84	74	18	9
November	611.4	601.1	24	616.4	6	−5.6	2.1	−3 7	−2.7	−17.0	26	12.6	7	82	51	78	70	23	27
Dezember	608.5	596.5	30	619.3	3	−5.0	1.2	−4.7	−3.3	−11.6	19. 31	9.2	7	78	54	80	71	23	7
Jahr	610.1	587.1	II	620.0	VIII	−0.9	6.3	0.7	1.7	−18.8	III	22.8	VII	82	49	79	70	15	III

St. Moritz: Beobachterwechsel am 15. Januar und 9. März, Stationsverlegung am 1. Mai. Neues H_b = 1833 m, h_r = 1.5 m.
Alle Luftdruckwerte sind auf die neue Höhe bezogen.

Splügen-Dorf

$\lambda = 9° 19'$, $\beta = 46° 33'$, $H_b = 1504^m$, $G = -0.21\ ^m/_m$, $h_r = 2.2^m$

Januar	632.5	620.7	16	640.0	24	−4.0	−0.1	−2.6	−2.3	−18.0	19	4.0	30	83	71	81	78	40	19
Februar	627.3	613.2	19	636.8	7	−5.7	−1.5	−6.0	−4.8	−17.0	13. 15	3.5	23	83	68	86	79	39	15
März	632.6	621.2	8	641.5	23	−5.5	0.9	−3.8	−3.1	−16 0	8	9.0	25	80	58	84	74	32	13
April	638.5	633.3	1	644.5	12. 13	1.3	7.0	1.0	2.6	−7.0	17	17.2	29	73	51	78	67	31	20
Mai	638.1	631.0	15	644.6	8	6.4	10.4	4.7	6.6	−1.5	19	18.0	1	68	55	83	69	28	23
Juni	638.8	629.2	9	645.2	22	11.0	14.3	9.2	10.9	3.4	11	21.0	24. 25	74	59	86	73	32	24
Juli	639.1	633.4	26. 27	644.0	18	12.9	16.3	10.9	12.7	6.0	7. 8	25.0	18	75	60	89	75	32	18
August	639.9	633.8	8	644.8	22. 23	10.9	15.0	9.6	11.3	5.0	9	21.0	23	77	59	87	74	39	5. 23
September	639 4	626.4	14	644.7	21. 25	6.8	12.9	6.6	8.2	−1.5	29	19.2	3	87	58	92	79	34	25
Oktober	636.8	628.5	17	642.4	8. 9	1.7	6.9	2.5	3.4	−6.0	29	13.0	3. 15	86	66	87	80	35	1
November	637.7	627.1	24	642.7	27	−2.5	2.8	−2.0	−0.9	−15.0	26	13.0	5	83	61	83	76	42	3.5.20
Dezember	634.7	621.1	15	646.8	5	−2.8	0.7	−3.3	−2.2	−10.4	19	5.5	2	87	69	88	81	54	7. 23
Jahr	636.3	613.3	II	646.8	XII	2.5	7.1	2.2	3.5	−18.0	I	25.0	VII	80	61	85	75	28	V

Braggio

$\lambda = 9° 7'$, $\beta = 46° 18'$, $H_b = 1332^m$, $G = -0.17\ ^m/_m$, $h_r = 1.5^m$

Januar	646.6	633.8	18	654.4	24	−1.2	3.5	−0.6	0.3	−8.5	2. 19	8.5	15	79	66	79	75	35	18. 20
Februar	640.9	625.9	18	649.1	7	−3.0	1.7	−2.4	−1.5	−9.3	15	7.9	8	76	64	72	71	35	9
März	646.3	635.3	8	655.6	23	−2.1	4.8	−0 2	0.6	−8.9	8	14.1	25	75	62	79	72	30	14
April	651.5	645.6	1	656.1	13	3.3	10.9	4.9	6.0	−3.1	1	21.1	30	66	48	64	59	30	25
Mai	651.6	644.3	15	657.9	8	6.8	12.8	7.5	8.7	1.3	16	19.9	1	71	61	78	70	27	12
Juni	652.3	643.9	7	657.3	23	10.8	16.5	11.8	12.7	3.8	12	22.9	26	78	70	79	76	40	14
Juli	652.1	645.9	27	657.9	18	13.5	18.6	13.9	15.0	9.9	7	25.5	18	74	66	76	72	37	8
August	653.2	647.5	7. 8	658.5	22	12.0	17.3	12.7	13.7	6.9	10	21.9	20	79	67	79	75	45	8. 16
September	652.8	638.9	14	657.7	20	9.4	15.8	10.9	11.7	2.5	16	21.5	2	82	68	82	77	40	29
Oktober	650.3	642.0	18	655.7	14	5.1	11.1	5.7	6.9	−1.3	29	16.9	15	76	66	82	75	22	8
November	651.2	641.1	24	655.4	6	1.2	6.4	1.6	2.7	−6.1	19	14.4	7	70	62	68	67	33	26
Dezember	648.2	636.8	30	659.1	3	1.2	6.3	1.2	2.5	−4.7	31	12.7	6	70	60	68	66	31	7. 8
Jahr	650.0	625.9	II	659.1	XII	4.8	10.5	5.6	6.6	−9.3	II	25.5	VII	75	63	74	71	22	X

Tessin

Bosco-Gurin

$\lambda = 8° 30'$, $\beta = 46° 19'$, $H = ca\ 1510^m$, $G = —\ ^m/_m$, $h_r = 1.5^m$

Januar	—	—	—	—	—	−2.6	−0.5	−2.4	−2.0	−10.4	19	5.0	13	82	75	84	80	44	19
Februar	—	—	—	—	—	−4.5	−1.7	−3.9	−3.5	−10.0	15	2.8	8	78	69	74	74	44	13
März	—	—	—	—	—	−3.4	0.9	−1.9	−1.6	−10.8	8	7.4	28	73	66	78	72	44	14
April	—	—	—	—	—	1.9	7.4	3.1	3.9	−4.4	1	13.8	30	69	53	68	63	36	3
Mai	—	—	—	—	—	6.4	12.0	6.8	8.0	2.2	18	16.8	6	71	59	77	69	28	12
Juni	—	—	—	—	—	10.2	15.7	11.3	12.1	5.0	12	23.0	26	82	63	77	74	31	14
Juli	—	—	—	—	—	13 6	18.5	13.7	14.9	10.0	6. 7	24.8	18	72	62	74	69	42	13
August	—	—	—	—	—	11.1	16.3	11.8	12.8	7.0	10	20.3	23	78	63	79	73	40	8
September	—	—	—	—	—	8.8	14.5	9.6	10.6	3.2	30	19.4	4	78	63	75	72	40	$^{14}_{28.29}$
Oktober	—	—	—	—	—	3.9	8.9	4.5	5.4	−2.0	30	15.4	9	73	65	75	71	21	8
November	—	—	—	—	—	−0.2	2.4	0.3	0.7	−7.0	19. 26	10.0	5	69	66	69	68	24	23
Dezember	—	—	—	—	—	0.3	2.2	0.5	0.9	−4.8	22	7.8	7	67	60	61	63	25	7
Jahr	—	—	—	—	—	3.8	8.1	4.4	5.2	−10.8	III	24.8	VII	74	64	74	71	21	X

Beobachter: J. Tuena, G. Bernasconi, Ch. E. Christen

St. Moritz

Bewölkung				Termine mit Nebel				Niederschlag			Zahl der Tage							Windverteilung								1955
7^{30}	13^{30}	21^{30}	Mittel	7^{30}	13^{30}	21^{30}	Total	Summe	Maximum	Tag	●	●≥1.0	✳	▲	K	≡	heiter	trüb	N	NE	E	SE	S	SW	W	NW	Calmen	
4.6	4.0	4.1	4.2	—	—	—	—	38	11	3	7	7	7	—	—	—	11	6	9	5	—	—	—	28	5	2	44	Januar
6.4	7.2	5.2	6.3	—	—	—	—	80	18	18	15	13	15	—	—	—	4	10	23	1	—	—	—	30	—	—	30	Februar
4.5	4.9	3.5	4.3	—	—	—	—	27	6	21	8	6	7	—	—	—	9	5	22	5	1	—	10	8	6	—	41	März
3.4	3.9	3.7	3.7	—	—	—	—	5	4	11	2	2	2	—	—	1	12	4	14	10	10	5	9	6	5	—	31	April
4.9	5.2	5.0	5.0	—	—	—	—	65	25	15	11	10	6	—	1	—	6	5	11	3	10	2	15	23	8	—	21	Mai
6.2	6.3	5.2	5.9	—	—	—	—	100	27	9	14	9	3	—	1	—	3	6	8	7	6	2	14	19	9	—	25	Juni
5.2	6.1	6.5	5.9	1	—	—	1	82	20	25	18	15	—	—	4	3	4	7	9	25	6	—	4	14	6	1	28	Juli
5.8	5.9	5.1	5.6	—	—	—	—	49	22	25	13	10	—	—	—	1	3	5	2	13	15	—	7	16	5	1	34	August
6.0	5.0	4.9	5.3	2	—	—	2	43	16	10	8	5	1	—	—	4	7	8	5	9	12	2	4	18	6	—	34	September
5.9	5.1	5.3	5.4	4	1	3	8	65	35	21	8	6	4	—	—	6	3	8	2	18	7	—	5	24	6	—	31	Oktober
5.5	5.6	3.3	4.8	2	—	—	2	14	10	10	5	2	4	—	—	2	7	4	9	25	3	—	1	18	2	—	32	November
6.0	6.4	5.2	5.9	—	—	—	—	17	8	14	9	4	9	—	—	—	3	7	9	4	2	1	4	19	5	6	43	Dezember
5.4	5.5	4.7	5.2	9	1	3	13	585	35	X	118	89	58	—	6	17	72	75	123	125	72	12	73	223	63	10	394	Jahr

Beobachter: J. Engi

Splügen-Dorf

5.4	5.9	5.2	5.5	—	1	—	1	24	13	11	5	4	5	—	—	1	7	9	–	—	—	—	—	—	—	—	—	Januar
8.1	8.0	6.2	7.4	—	—	—	—	103	26	8	17	12	17	—	—	—	4	18	—	—	—	—	—	—	—	—	—	Februar
4.5	5.0	4.8	4.8	—	—	—	—	13	9	8	4	3	4	—	—	—	10	9	—	—	—	—	—	—	—	—	—	März
5.0	4.7	3.6	4.4	—	—	—	—	9	4	7	5	3	3	—	—	—	10	6	—	—	-	—	—	--	—	—	—	April
6.0	6.3	4.9	5.7	—	—	—	—	122	28	15	13	12	6	—	1	—	5	9	—	—	—	—	—	—	—	—	—	Mai
7.7	7.7	8.0	7.8	—	—	—	—	178	86	7	14	14	—	—	1	—	1	15	—	—	—	—	—	—	—	—	—	Juni
7.1	7.0	7.4	7.2	—	—	—	—	106	15	26	19	18	—	—	8	—	1	14	—	—	—	—	—	—	—	—	—	Juli
6.3	6.6	5.4	6.1	—	—	—	—	69	9	25	14	14	—	—	6	—	1	8	—	—	—	—	—	—	—	—	—	August
5.7	5.9	3.8	5.1	—	—	—	—	59	12	26	13	13	2	—	2	—	8	8	—	—	—	—	—	—	—	—	—	September
6.6	5.2	5.3	5.7	1	—	—	1	120	46	21	6	6	5	1	1	1	6	9	—	—	—	—	—	—	—	—	—	Oktober
5.3	5.5	3.7	4.8	2	1	—	3	10	4	24	3	3	2	—	—	3	8	7	—	—	—	—	—	—	—	—	—	November
6.3	5.4	4.8	5.5	—	—	—	—	19	8	27	6	4	6	—	—	—	5	8	—	—	—	—	—	—	—	—	—	Dezember
6.2	6.1	5.2	5.8	3	2	—	5	832	86	VI	119	106	50	1	19	5	66	120	—	—	—	—	—	—	—	—	—	Jahr

Beobachter: M. Berera

Braggio

6.1	6.9	5.3	6.1	4	6	4	14	46	12	6	9	8	6	—	—	11	6	12	2	2	2	4	2	—	1	—	80	Januar
8.2	8.2	5.0	7.1	2	2	—	4	109	27	19	10	10	10	—	—	3	2	13	2	5	—	—	--	1	—	—	76	Februar
5.5	7.2	5.9	6.2	3	4	3	10	55	12	28	9	9	9	—	—	7	3	12	–	2	—	5	4	1	—	5	76	März
4.3	5.1	2.6	4.0	—	—	1	1	2	2	7	1	1	—	—	—	1	10	3	8	8	1	4	12	1	1	7	48	April
5.3	7.1	5.9	6.1	2	—	—	2	193	70	14	11	11	—	—	2	2	6	10	7	2	-	9	16	2	—	3	54	Mai
5.9	7.5	6.9	6.8	2	1	3	6	196	60	9	13	12	—	—	5	5	1	8	10	4	4	17	7	3	1	2	42	Juni
4.8	7.3	5.0	5.7	1	1	1	3	143	30	2	18	16	—	1	9	1	3	6	9	12	6	11	10	1	2	3	39	Juli
6.1	7.5	4.1	5.9	—	1	—	1	53	14	25	8	8	—	—	2	1	3	6	9	3	4	6	9	3	1	7	51	August
4.9	5.4	4.8	5.0	1	1	—	2	85	52	7	6	5	—	—	1	3	6	5	8	10	1	9	17	3	—	1	41	September
5.6	5.2	5.2	5.3	1	1	—	2	182	56	21	9	9	2	—	2	2	6	10	9	6	2	18	12	6	1	2	37	Oktober
4.7	4.8	3.4	4.3	2	2	—	4	23	10	30	3	3	1	—	—	3	12	7	3	11	2	12	8	7	1	6	40	November
6.2	5.9	3.6	5.2	2	1	2	5	29	16	14	5	5	5	—	—	4	3	6	5	16	9	4	2	3	1	1	52	Dezember
5.6	6.5	4.8	5.6	20	20	14	54	1116	70	V	102	97	33	1	21	43	61	98	72	81	31	99	99	31	9	37	636	Jahr

Tessin

Beobachter: Frau R. Della Pietra

Bosco-Gurin

7.0	7.1	6.8	7.0	1	—	1	2	157	21	12	15	15	13	—	—	2	6	17	3	—	—	—	—	—	—	2	88	Januar
7.7	7.8	7.0	7.5	—	—	—	—	223	40	8	17	16	17	—	-	—	2	16	1	—	—	-	—	3	—	8	72	Februar
5.1	6.6	6.0	5.9	—	1	—	1	53	11	12	9	8	8	—	—	1	5	11	1	—	—	—	—	3	1	2	86	März
4.0	4.9	3.0	4.0	—	—	—	—	4	3	7	2	2	—	—	—	—	10	2	1	—	—	—	—	19	6	3	61	April
5.6	6.5	6.1	6.1	—	—	—	—	102	33	17	12	11	2	—	1	—	4	7	-	—	—	—	2	17	2	6	66	Mai
5.7	7.6	6.9	6.7	1	—	—	1	274	111	7	14	12	—	—	1	1	1	9	—	—	—	—	—	7	3	6	74	Juni
5.2	7.1	6.4	6.2	1	—	—	1	134	22	31	16	15	—	—	7	1	—	7	-	—	—	—	—	23	3	7	60	Juli
5.7	6.6	5.2	5.8	—	—	—	—	76	27	25	11	8	—	1	1	—	4	6	—	-	—	—	1	9	7	1	75	August
5.2	5.8	5.2	5.4	—	—	—	—	75	23	7	8	7	—	—	-	—	2	6	—	—	—	—	—	14	4	5	67	September
5.4	5.5	5.2	5.4	—	—	—	—	199	104	21	9	7	4	—	—	—	8	9	—	—	—	—	—	14	1	2	76	Oktober
4.5	5.3	4.0	4.6	—	1	—	1	31	15	9	6	4	3	—	—	1	7	7	—	—	—	—	—	9	1	—	80	November
5.8	5.5	4.2	5.2	—	—	—	—	28	8	10	5	5	5	—	—	—	4	8	2	—	—	—	—	14	1	7	69	Dezember
5.6	6.4	5.5	5.8	3	2	1	6	1356	111	VI	124	110	52	1	10	6	53	105	8	–	—	—	3	132	29	49	874	Jahr

Bellinzona

$\lambda = 9° 2'$, $\beta = 46° 12'$, $H_b = 229.8^m$, $G = -0.02$ ‰, $h_r = 1.5^m$

1955	Luftdruck					Luft-Temperatur								Relative Feuchtigkeit					
	Mittel	Minimum	Tag	Maximum	Tag	7^{30}	13^{30}	21^{30}	Mittel	Minimum	Tag	Maximum	Tag	7^{30}	13^{30}	21^{30}	Mittel	Minimum	Tag
Januar	739.9	726.0	18	749.6	24	1.2	5.9	2.6	3.1	−2.9	26	13.7	13	82	64	81	76	33	15
Februar	734.0	719.5	18	744.1	7	1.6	6.0	3.2	3.5	−3.8	22	13.4	9	73	56	66	65	21	9
März	739.4	728.2	6	750.9	3	2.9	10.0	6.1	6.2	−2.5	8	17.8	28	78	51	68	66	15	18
April	742.9	737.9	24	748.8	13	8.5	18.0	13.8	13.5	2.9	1	25.0	30	67	35	44	49	17	25
Mai	742.0	733.6	15	749.7	8. 22	12.6	19.8	15.1	15.6	8.8	23	26.5	1	68	43	59	57	17	12 . 19
Juni	741.3	732.0	7	746.9	22	16.0	23.1	18.2	18.9	10.4	12	30.0	25	76	50	68	65	20	14
Juli	740.2	733.4	27	745.8	17	18.5	26.1	20.9	21.6	15.5	28	32.0	18	70	47	66	61	24	2
August	742.1	733.2	8	748.2	22	16.2	24.1	19.2	19.7	12.7	11	28.1	8	76	48	69	64	23	8
September	742.2	728.0	14	748.7	30	14.0	21.5	16.3	17.0	7.2	16 . 30	26.7	4. 5	80	49	75	68	28	1. 15
Oktober	741.1	730.4	28	746.7	14	8.5	15.3	10.7	11.3	2.7	31	22.0	8	80	52	79	70	14	8
November	744.2	732.6	24	751.3	27	2.9	9.0	4.4	5.2	−5.0	27	14.6	7	84	56	80	73	23	25
Dezember	741.0	727.9	15	753.5	6	1.1	6.5	2.6	3.2	−2.3	19	14.1	4	89	62	82	78	21	27
Jahr	740.9	719.5	II	753.5	XII	8.7	15.4	11.1	11.6	−5.0	XI	32.0	VII	77	51	70	66	14	X

Locarno-Muralto

$\lambda = 8° 48'$, $\beta = 46° 11'$, $H_b = 244.4^m$, $G = 0.02$ ‰, $h_r = 1.2^m$

Januar	738.4	724.3	18	747.8	24	2.3	6.1	3.4	3.8	−1.4	2. 3	13.6	13	77	64	73	71	24	18
Februar	732.5	718.6	18	741.3	7	2.0	6.2	3.3	3.7	−2.0	15 20 . 22	10.8	10	69	58	63	63	22	14
März	737.9	727.1	6	4.9.1	4	3.8	9.6	6.3	6.5	−2.0	8	16.2	24	73	52	64	63	20	8. 18
April	741.5	736.6	24	747.7	13	9.7	17.8	12.6	13.2	4.8	2	24.6	30	64	38	46	49	21	25
Mai	740.8	732.4	15	748.3	8	12.9	19.4	14.4	15.3	9.0	20 . 23	25.2	1	75	51	66	64	24	3
Juni	740.3	730.1	7	745.6	22	16.3	21.8	17.3	18.2	11.2	12	28.0	26	85	61	80	75	30	14
Juli	739.1	732.7	27	744.6	17	18.4	24.8	19.8	20.7	15.6	8	28.4	18 . 24	84	59	79	74	32	30
August	741.0	732.8	8	746.7	22	17.1	23.4	18.8	19.5	14.2	10	27.0	22 . 23	86	58	78	74	30	8
September	740.9	726.9	14	747.9	30	15.0	21.1	16.6	17.3	9.0	16	25.0	2.4.5	87	60	80	76	37	2
Oktober	740.0	731.2	18	745.1	9	9.6	15.4	11.3	11.9	4.0	31	21.2	8	88	64	84	79	25	7. 29
November	742.9	731.5	24	750.2	27	4.6	9.4	6.0	6.5	−1.4	27 . 28	14.8	7	86	66	82	78	26	25
Dezember	739.6	726.5	15	751.9	6	3.1	7.1	4.3	4.7	0.0	22	11.2	27	87	75	82	81	36	27
Jahr	739.6	718.6	II	751.9	XII	9.6	15.2	11.2	11.8	−2.0	II III	28.4	VII	80	59	73	71	20	III

Locarno-Monti

$\lambda = 8° 47'$, $\beta = 46° 10'$, $H_b = 378.9^m$, $G = -0.01$ ‰, $h_r = 1.2^m$

Januar	726.5	712.8	18	735.7	24	2.6	5.7	3.6	3.9	−2.1	2	14.0	13	74	65	73	71	26	19
Februar	720.7	706.5	18	730.1	7	2.0	5.2	3.5	3.5	−2.5	15	10.6	9	66	61	61	63	24	14
März	726.1	715.0	8	737.0	4	3.5	8.5	6.3	6.1	−2.8	8	14.8	24	71	55	60	62	21	18
April	729.8	725.0	24	735.8	13	9.4	16.2	13.3	13.1	4.5	2	22.6	30	57	38	40	45	22	4
Mai	729.3	720.7	15	736.6	8	12.8	17.6	14.8	15.0	8.8	20	23.1	1	62	48	54	55	22	16
Juni	728.8	719.2	7	733.9	22	15.9	20.7	18.1	18.2	11.4	12	26.0	26	82	62	69	71	29	13
Juli	727.6	721.6	27	732.5	17	18.5	23.5	20.5	20.8	15.8	8	27.2	18	75	59	67	67	30	5
August	729.4	721.6	8	735.2	23	17.0	22.1	19.5	19.5	14.7	10	25.4	23	80	60	67	69	30	8
September	729.4	715.3	14	736.4	20	14.9	19.8	16.9	17.1	9.1	30	24.4	1	81	61	71	71	29	14
Oktober	728.2	719.5	18	733.3	14	9.7	14.2	11.6	11.8	3.6	31	20.7	8	79	64	75	73	20	29
November	730.8	719.7	24	737.1	27	4.7	8.7	5.9	6.3	−1.4	27	13.4	6	75	65	73	71	22	25
Dezember	727.6	714.7	15	739.5	3	3.4	6.9	4.8	5.0	0.0	29	12.8	27	76	68	72	72	21	27
Jahr	727.8	706.5	II	739.5	XII	9.5	14.1	11.6	11.7	−2.8	III	27.2	VII	73	59	65	66	20	X

Lugano

$\lambda = 8° 58'$, $\beta = 46° 00'$, $H_b = 276.2^m$, $G = -0.01$ ‰, $h_r = 1.5^m$

Januar	735.6	721.5	18	745.1	24	2.0	6.9	3.0	3.7	−2.0	2	13.2	15	88	69	85	81	28	18
Februar	729.7	715.6	19	738.9	7	2.0	7.1	3.1	3.8	−3.8	22	13.8	10	76	63	75	71	26	7
März	735.6	724.6	6	746.4	3. 4	3.0	10.1	5.9	6.2	−3.0	8	19.4	28	85	58	74	72	23	18
April	738.9	733.8	24	744.8	13	8.7	18.9	12.5	13.1	3.2	2	26.8	30	71	43	54	56	23	25
Mai	738.2	729.5	15	746.1	8	13.0	20.7	14.8	15.8	9.4	23	28.0	1	72	51	66	63	24	19
Juni	737.8	729.0	7	742.7	22	16.4	23.7	18.7	19.4	11.2	12	29.4	26	81	58	72	70	32	14
Juli	736.4	730.3	27	741.4	17	18.1	26.5	20.3	21 3	13.8	29	31.8	19	77	53	72	67	33	6
August	738.3	730.0	8	744.5	22	17.0	25.1	19.2	20.1	14.2	9	28.8	23	79	55	74	69	30	8
September	738.3	724.4	14	745.0	20 . 30	14.5	22.7	16.8	17.7	7.8	16	28.2	1.2.5	84	56	79	73	31	15
Oktober	737.2	728.1	18	742.7	14	9.6	17.0	11.4	12.4	3.6	31	24.8	8	83	58	82	74	22	29
November	740.0	728.6	24	746.7	27	4.5	10.8	5.5	6.6	−2.8	27	16.8	6	83	60	83	75	27	24
Dezember	736.8	723.7	30	748.8	5	2.4	8.0	3.5	4.4	−0.6	25	14.8	27	89	66	85	80	27	27
Jahr	736.9	715.6	II	748.8	XII	9.3	16.5	11.2	12.0	−3.8	II	31.8	VII	81	57	75	71	22	X

Beobachter: A. Lienhard

Bellinzona

Bewölkung				Termine mit Nebel				Niederschlag		Zahl der Tage								Windverteilung								1955
7^{30}	13^{30}	21^{30}	Mittel	7^{30}	13^{30}	21^{30}	Total	Summe	Maximum Tag	● *	●* ≧1.0	*	▲	⛆	≡	heiter	trüb	N	NE	E	SE	S	SW	W	NW	Calmen	
5.8	6.7	6.0	6.2	4	5	3	12	48	14 6	13	9	1	—	—	5	5	12	11	20	—	—	7	7	—	—	48	Januar
8.1	7.4	6.5	7.3	4	2	1	7	106	25 19	11	11	5	—	—	6	2	15	17	29	—	—	5	2	—	—	31	Februar
6.3	6.8	6.3	6.5	1	—	—	1	53	18 21	10	9	3	—	—	1	2	13	22	9	—	—	21	13	—	—	28	März
4.2	4.3	3.0	3.8	—	—	—	—	0	— —	—	—	—	—	—	—	10	3	27	11	—	—	13	10	—	—	29	April
5.1	5.1	5.8	5.3	—	—	—	—	151	46 14	11	11	—	—	3	—	5	6	18	22	—	—	17	16	—	—	20	Mai
6.1	6.5	6.1	6.2	—	—	—	—	227	81 9	13	10	—	—	5	—	3	8	15	16	—	1	14	21	—	—	23	Juni
5.1	6.7	5.5	5.8	1	—	—	1	180	51 2	14	11	—	—	8	1	4	7	20	23	—	—	19	12	—	—	19	Juli
5.7	6.2	4.2	5.4	—	—	—	—	41	17 25	8	7	—	—	3	—	4	6	20	13	—	—	24	5	—	—	31	August
5.3	4.8	4.5	4.9	—	—	—	—	71	35 7	9	5	—	—	2	—	10	6	17	10	—	—	21	5	—	1	36	September
6.0	4.8	5.7	5.5	—	—	—	—	191	56 17	8	8	—	—	1	—	7	11	20	12	—	—	18	5	—	—	38	Oktober
5.6	5.4	4.6	5.2	1	—	—	1	26	11 30	5	5	—	—	—	1	7	7	8	4	—	—	13	3	—	—	62	November
5.3	6.2	4.7	5.4	2	—	—	2	33	16 14	6	5	—	—	—	2	5	8	14	9	—	—	3	2	—	—	65	Dezember
5.7	5.9	5.2	5.6	13	7	4	24	1127	81 VI	108	91	9	—	22	16	64	102	209	178	—	1	175	101	—	1	430	Jahr

Beobachter: Frau A. Mariani

Locarno-Muralto

5.6	5.7	5.4	5.6	1	1	1	3	81	19 6	13	12	3	—	—	2	7	12	2	1	—	—	—	—	—	1	89	Januar
6.9	6.2	5.1	6.1	—	—	—	—	143	39 19	12	10	3	—	—	—	6	12	—	—	—	1	2	—	2	—	79	Februar
5.2	5.3	6.3	5.6	—	—	—	—	66	15 21	12	10	2	—	—	—	6	10	2	—	—	—	—	—	6	—	85	März
2.6	2.6	2.7	2.6	—	—	—	—	0	— —	—	—	—	—	—	—	15	2	5	2	1	1	5	3	13	2	58	April
4.3	4.5	5.7	4.8	—	—	—	—	161	42 14	10	8	—	—	1	—	9	7	5	—	—	—	6	1	13	2	66	Mai
4.7	5.5	6.4	5.5	—	—	—	—	361	128 9	12	11	—	—	5	—	3	9	1	—	—	—	1	—	11	3	74	Juni
4.2	5.4	5.4	5.0	—	—	—	—	122	24 27	16	13	—	—	6	—	5	5	2	—	—	1	2	2	14	—	72	Juli
4.8	4.7	6.1	5.2	—	—	—	—	46	18 25	9	8	—	—	2	—	5	7	—	1	—	—	5	2	13	—	72	August
4.3	3.6	4.6	4.2	—	—	—	—	113	88 7	8	7	—	—	1	—	10	3	2	—	—	—	6	4	8	3	67	September
5.0	4.2	5.0	4.7	—	—	—	—	196	62 21	9	9	—	—	2	—	10	6	5	—	1	1	1	2	6	1	76	Oktober
4.7	4.2	5.2	4.7	1	—	—	1	40	15 30	5	5	—	—	—	1	11	7	2	—	—	1	3	—	4	—	80	November
4.8	4.9	4.2	4.6	2	1	2	5	31	16 14	6	6	—	—	—	3	12	8	—	—	—	1	1	—	1	—	90	Dezember
4.8	4.7	5.2	4.9	4	2	3	9	1360	128 VI	112	99	8	—	17	6	99	88	26	4	2	6	32	14	91	12	908	Jahr

Beobachter: Osservatorio Meteorologico Ticinese

Locarno-Monti

6.5	6.8	6.3	6.5	3	3	2	8	62	17 6	14	10	4	—	—	6	5	12	18	8	10	3	1	8	7	9	29	Januar
7.8	7.1	6.1	7.0	3	2	—	5	117	27 19	12	10	4	—	—	7	3	14	15	8	9	7	3	4	5	4	29	Februar
6.2	6.2	5.1	5.8	—	1	1	2	46	13 21	12	9	4	—	—	2	6	10	10	4	3	6	6	11	9	10	34	März
4.4	3.8	3.0	3.7	—	—	—	—	0	— —	—	—	—	—	—	—	10	2	7	6	9	7	13	16	10	11	11	April
5.3	5.2	5.2	5.2	1	1	—	2	157	48 14	10	8	—	—	1	3	8	8	5	6	8	13	6	13	10	12	20	Mai
5.9	6.1	6.4	6.1	1	—	—	1	306	113 9	15	11	—	1	5	3	2	9	4	5	5	5	6	12	8	14	31	Juni
5.3	6.0	5.7	5.7	—	—	—	—	134	53 16	14	10	—	—	5	—	4	7	10	11	6	5	2	6	10	11	32	Juli
5.5	5.7	4.9	5.4	—	—	—	—	37	13 25	9	6	—	—	2	—	5	9	11	7	5	7	4	5	9	10	35	August
6.0	4.6	4.3	5.0	—	—	—	—	99	79 7	7	5	—	—	1	1	6	4	4	2	6	1	—	15	8	3	51	September
6.0	4.8	4.7	5.2	2	—	—	2	190	63 21	9	9	—	—	1	2	6	7	12	4	5	6	—	6	8	7	45	Oktober
5.3	5.7	3.8	4.9	—	3	1	4	33	14 30	5	5	—	—	—	4	10	8	5	4	4	4	3	6	5	—	59	November
6.2	6.3	4.6	5.7	2	2	1	5	26	14 14	6	5	—	—	—	4	4	9	7	5	1	3	2	5	4	4	62	Dezember
5.9	5.7	5.0	5.5	12	12	5	29	1207	113 VI	113	88	12	1	15	32	69	99	108	70	71	67	46	107	93	95	438	Jahr

Beobachter: G. Vicari

Lugano

6.4	6.1	7.6	6.7	1	2	—	3	63	18 6	9	8	3	—	—	2	3	15	49	1	—	7	21	—	4	6	5	Januar
7.1	6.9	5.6	6.5		—	—	—	115	27 19	11	10	3	—	—	—	4	11	30	2	3	3	18	2	8	10	8	Februar
5.8	6.3	6.2	6.1	—	—	—	—	63	17 21	11	11	3	—	1	—	3	12	45	—	1	4	30	1	3	4	5	März
3.3	2.5	1.6	2.5	—	—	—	—	0	0 —	—	—	—	—	—	—	15	1	45	3	3	3	29	2	2	1	2	April
4.5	4.3	4.7	4.5	—	—	—	—	104	28 11	10	7	—	—	2	—	9	4	45	3	2	—	33	2	3	2	3	Mai
5.1	4.5	5.1	4.9	—	—	—	—	222	53 7	13	12	—	1	3	—	5	6	35	5	5	—	32	1	2	—	10	Juni
3.8	4.7	5.0	4.5	—	—	—	—	283	54 21	13	12	—	2	9	—	7	3	50	8	4	3	19	—	7	2	—	Juli
4.7	4.3	3.8	4.3	—	—	—	—	92	42 25	8	7	—	—	2		12	6	53	2	1	1	21	1	4	6	4	August
4.7	3.8	4.1	4.2	—	—	—	—	109	44 7	9	9	—	—	4		10	4	57	—	3	2	20	1	1	3	3	September
5.3	4.0	4.3	4.5	—	—	—	—	146	48 20	8	8	—	—	1	—	10	7	49	—	—	—	22	—	—	—	22	Oktober
5.0	4.5	3.9	4.5	1	—	—	1	69	18 13	5	5	—	—	—	1	11	6	44	—	—	—	30	—	—	—	16	November
5.8	5.4	4.4	5.2	2	—	1	3	33	20 14	6	5	—	—	—	3	9	9	43	—	—	—	31	—	—	—	19	Dezember
5.1	4.8	4.7	4.9	4	2	1	7	1299	54 VII	103	94	9	3	22	6	98	84	545	24	22	23	306	10	34	34	97	Jahr

Muri (Aargau)

$\lambda = 8°\,21'$, $\beta = 47°\,16'$, $H_b = 466^m$, $h_r = 1.5^m$ — Beobachter: E. Hunzinger

1955	Luft-Temperatur							Relative Feuchtigkeit						Bewölkung				Nebel Zahl der Termine				Niederschlag		Zahl der Tage						
	7^{30}	13^{30}	21^{30}	Mittel	Minimum	Tag	Maximum	Tag	7^{30}	13^{30}	21^{30}	Mittel	Minimum	Tag	7^{30}	13^{30}	21^{30}	Mittel	7^{30}	13^{30}	21^{30}	Total	Summe	Maximum	Tag	● *	●* ≥1.0	*	▲	K_1	heitere	trübe
Jan.	-0.9	1.0	-0.2	-0.1	-11.2	20	11.6	12	—	—	—	—	—	—	9.4	9.4	8.9	9.2	6	4	6	16	116	18	11	13	12	6	—	-	—	27
Feb.	-0.3	2.8	0.3	0.8	-6.8	14	10.8	8	—	—	—	—	—	—	9.0	8.2	7.2	8.1	5	1	—	6	82	22	8	18	14	9	—	—	—	16
März	-0.3	5.8	2.2	2.5	-6.4	7	19.8	24	—	—	—	—	—	—	7.3	6.5	5.5	6.4	—	—	—	—	41	16	27	9	6	13	-	1	2	10
Apr.	5.0	13.2	8.0	8.5	-1.0	1	23.8	29	86	49	72	69	32	6	4.6	5.3	5.1	5.0	1	—	—	1	36	18	8	12	8	2	—	2	9	8
Mai	9.7	16.1	11.0	12.0	4.2	16.19	26.0	5	82	55	78	72	34	9	5.4	6.5	5.0	5.6	—	—	—	—	142	24	17	15	12	—	—	3	4	7
Juni	13.8	20.6	14.8	16.0	7.5	12	27.2	19	87	58	86	77	34	1	0.9	6.7	6.6	6.7	1	—	—	1	161	34	7	18	14	—	—	5	2	10
Juli	15.9	21.3	16.9	17.7	11.4	8	29.8	18	91	67	88	82	50	1	8.8	7.3	7.7	7.9	1	—	—	1	180	36	28	19	17	—	1	5	—	18
Aug.	14.0	20.5	15.7	16.5	6.8	10	25.4	21	93	63	87	81	46	6.24	7.7	6.5	6.4	6.9	7	—	—	7	85	28	27	12	11	—	—	6	1	9
Sept.	11.3	17.6	12.4	13.4	3.6	30	23.6	3	94	65	91	83	48	17	8.3	5.9	4.6	6.3	6	—	—	6	56	10	28	11	9	—	—	1	1	9
Okt.	5.7	10.8	6.9	7.6	-6.0	29	16.4	15	94	70	91	85	55	2	8.5	6.2	5.5	6.7	8	—	—	8	24	10	4	8	5	—	—	—	3	12
Nov.	1.2	4.6	2.3	2.6	-8.0	26	13.8	5	91	79	88	86	56	15	8.7	8.5	7.5	8.2	11	4	5	20	11	5	24	8	3	1	—	—	1	20
Dez.	2.5	4.9	3.0	3.4	-3.4	1	11.2	28	91	80	90	87	45	30	8.6	8.3	8.6	8.5	3	5	3	11	100	12	10	19	18	2	—	—	—	21
Jahr	6.5	11.6	7.8	8.4	-11.2	I	29.8	VII	-	—	—	—	—	—	7.8	7.1	6.5	7.1	49	14	14	77	1034	36	VII	162	129	24	1	23	23	167

Muri: Stationsverlegung am 1. Oktober. Neues H_b = 476 m

Rorschach

$\lambda = 9°\,30'$, $\beta = 47°\,28'$, $H = 445^m$, $h_r = 1.5^m$ — Beobachter: Seminar: J. Schenk

Jan.	-0.4	1.1	0.1	0.2	-6.5	20	10.2	14	88	84	88	87	53	17	9.4	9.4	9.3	9.4	7	6	8	21	124	35	12	12	12	3	—	—	1	29
Feb.	0.1	2.7	0.7	1.0	-6.8	19	10.2	8	80	68	77	75	37	15	8.4	8.9	8.2	8.5	4	2	1	7	116	28	8	18	18	11	—	—	—	19
März	0.8	4.2	1.7	2.1	-5.8	4.7	18.5	25	82	79	79	80	36	25	7.7	6.0	5.5	6.4	2	—	—	2	73	33	27	11	10	8	—	1	2	12
Apr.	5.5	11.3	7.8	8.1	-0.9	1	21.7	30	78	56	63	66	24	24	4.4	5.2	5.1	4.9	—	—	—	—	93	22	8	11	9	1	—	—	8	9
Mai	10.4	15.2	10.6	11.7	5.0	23	22.2	1	78	59	73	70	28	24	5.3	6.0	5.2	5.5	—	—	—	—	170	25	2	19	17	—	—	—	5	5
Juni	14.5	19.1	14.6	15.7	7.8	11	25.1	25	79	58	79	72	31	9	6.8	6.2	7.3	6.8	—	—	—	—	137	41	7	19	18	—	—	-	2	12
Juli	16.6	19.8	16.7	17.5	10.6	7	26.4	18	85	68	80	78	44	18	8.7	6.9	8.2	7.9	—	—	—	—	226	42	29	21	19	—	—	—	2	20
Aug.	15.2	19.5	15.7	16.5	10.8	9	23.2	21	81	59	78	73	37	6	6.6	5.7	5.3	5.9	—	—	—	—	152	44	31	15	12	—	—	1	4	8
Sept.	12.2	16.2	12.6	13.4	5.1	30	23.5	3	84	67	75	75	46	16	7.1	5.1	4.9	5.7	3	2	1	6	184	49	4	14	14	—	—	—	5	10
Okt.	7.0	10.7	7.6	8.2	-1.0	30	17.2	20	83	65	74	74	31	21	8.4	6.1	5.7	6.8	2	—	—	2	67	13	28	12	11	—	—	—	3	14
Nov.	2.0	5.3	2.9	3.3	-6.9	27	14.9	6	85	75	83	81	54	6.23	7.4	7.1	7.7	7.4	4	3	2	9	30	17	24	5	4	2	—	—	1	15
Dez.	3.5	5.0	4.0	4.1	-2.7	7	11.2	28	83	81	83	82	40	3	9.1	8.6	7.8	8.5	6	3	3	12	137	16	11	23	22	—	—	—	—	18
Jahr	7.3	10.8	7.9	8.5	-6.9	XI	26.4	VII	82	68	78	76	24	IV	7.4	6.8	6.7	7.0	28	16	15	59	1509	49	IX	180	166	25	—	2	33	171

Schwäbrig (ob Gais)

$\lambda = 9°\,29'$, $\beta = 47°\,23'$, $H_b = 1156^m$, $h_r = 1.5^m$ — Beobachter: A. Golas

Jan.	-0.3	1.8	0.8	0.8	-10.4	19	10.0	27	73	68	70	70	25	20	7.1	7.6	6.8	7.2	5	6	4	15	160	41	11	13	11	7	—	—	5	18
Feb.	-3.1	-2.0	-3.4	-3.0	-11.0	28	9.4	1	89	88	90	89	44	1	8.8	8.7	8.9	8.8	8	5	3	16	180	43	8	18	17	18	--	—	—	21
März	-2.4	0.0	-2.2	-1.7	-10.3	1	16.0	25	78	72	79	76	27	23	7.1	7.2	6.6	7.0	10	5	2	17	81	30	27	11	9	9	—	—	2	15
Apr.	2.8	6.5	3.0	3.8	-3.8	16	19.2	30	76	61	73	70	40	24	6.4	6.5	5.4	6.1	3	2	—	5	154	42	8	10	10	3	1	—	6	11
Mai	7.2	9.6	6.5	7.4	-1.2	19	20.0	1	71	64	75	70	40	9.24	6.8	7.0	5.4	6.4	2	2	—	4	198	30	2	19	16	6	1	1	4	12
Juni	11.5	15.6	10.5	12.0	2.9	11	22.2	6 24.26	76	63	80	73	38	9	7.3	7.3	7.2	7.3	5	2	2	9	197	55	7	19	17	—	1	3	3	16
Juli	12.9	15.1	12.7	13.3	5.4	7	25.0	18	84	77	86	82	38	18	8.1	8.1	7.8	8.0	12	8	5	25	250	42	29	21	20	—	1	3	1	20
Aug.	12.3	14.9	12.2	12.9	4.2	8	20.0	19	77	71	79	76	55	5	6.9	7.2	5.7	6.6	3	1	—	4	200	83	31	14	11	—	1	2	5	14
Sept.	9.0	11.8	9.2	9.8	0.9	15	17.6	3	83	75	80	79	37	2	6.3	6.5	5.4	6.1	8	8	5	21	142	29	9	14	14	2	—	3	4	12
Okt.	5.1	6.7	4.3	5.1	-5.0	29	15.4	21	80	76	82	79	37	27	7.3	6.7	4.7	6.2	13	5	2	20	89	28	28	12	12	3	—	—	4	12
Nov.	0.9	2.7	1.0	1.4	-9.9	26	16.2	8	78	76	81	78	42	4.8	6.8	7.1	5.9	6.6	7	8	2	17	52	30	24	4	4	4	—	—	2	10
Dez.	1.7	2.7	1.7	1.9	-5.4	31	8.4	7	75	72	75	74	20	9	8.5	7.9	6.6	7.7	8	5	1	14	134	16	11	20	20	7	—	—	1	16
Jahr	4.8	7.1	4.7	5.3	-11.0	II	25.0	VII	78	72	79	76	20	XII	7.3	7.3	6.4	7.0	84	57	26	167	1837	83	VIII	175	161	59	5	12	37	177

Ebnat

$\lambda = 9°\,08'$, $\beta = 47°\,16'$. $H_b = 649^m$, h_r 1.5^m — Beobachter: Frl. M. Kuratle

Jan.	-2.7	0.7	-1.8	-1.4	-12.4	19.20	9.2	16	89	76	87	84	60	19	7.2	6.5	7.2	7.0	—	—	1	1	221	62	12	12	10	4	—	—	3	14
Feb.	-2.4	1.8	-1.5	-0.9	-15.8	19	13.4	1	83	69	82	78	32	1	7.8	8.3	6.7	7.6	2	—	1	3	198	56	8	17	15	15	—	—	—	12
März	-2.4	4.3	-0.9	0.0	-14.0	8	18.1	25	78	58	71	69	35	23	6.2	5.4	6.2	5.8	—	—	—	—	88	26	27	13	12	8	—	1	5	7
Apr.	4.8	11.5	6.1	7.1	-2.0	18	23.0	30	72	49	70	64	29	21	4.5	4.4	4.9	4.6	—	—	—	—	96	24	8	10	10	3	—	—	10	9
Mai	11.2	14.9	9.3	11.2	2.2	22	25.2	6	62	51	73	62	28	6	5.2	5.5	5.5	5.4	—	—	—	—	247	43	2	17	16	2	—	—	5	8
Juni	15.1	19.0	13.6	15.3	6.8	11	26.0	25	64	53	74	64	30	15	5.6	6.2	6.2	6.0	—	—	—	—	244	56	7	18	18	—	—	4	2	6
Juli	15.6	18.9	15.0	16.1	9.4	7	28.4	18	71	62	74	69	42	1	7.4	7.0	7.1	7.2	-	—	—	—	342	52	20	22	20	—	1	2	3	14
Aug.	13.3	19.0	14.1	15.1	8.2	10	24.6	23	75	58	79	71	42	26	5.2	5.1	5.3	5.2	—	—	—	—	148	31	7	11	11	—	—	3	4	5
Sept.	10.1	15.7	10.6	11.7	3.6	29.30	22.0	3.9	87	67	92	82	45	17	5.8	5.5	5.4	5.6	—	—	—	—	170	27	9	14	13	—		1	9	10
Okt.	5.3	10.4	6.1	7.0	-4.2	30	17.4	3	88	69	90	82	32	27	5.9	5.0	5.6	5.5	—	—	—	—	63	21	28	9	8	1	—	—	6	7
Nov.	-0.7	4.9	0.9	1.5	-13.6	29	16.0	7	89	70	89	83	50	4	4.7	4.9	4.4	4.7	—	—	—	—	32	26	24	5	2	3	—	—	5	5
Dez.	1.2	4.6	1.9	2.4	-5.2	1.2	10.0	7	82	77	90	83	34	7	6.8	7.1	7.5	7.1	—	—	—	—	202	25	27	19	19	3	—	—	4	16
Jahr	5.7	10.5	6.1	7.1	-15.8	II	28.4	VII	78	63	81	74	28	V	6.0	5.9	6.0	6.0	2	—	2	4	2051	62	I	167	154	39	1	11	56	113

Wald (Faltigberg)

$\lambda = 8°57', \beta = 47°17', H = 908^m, h_r = 1.5^m$

Beobachter: Sanatorium

1955	Luft-Temperatur								Relative Feuchtigkeit						Bewölkung				Nebel Zahl der Termine				Niederschlag		Zahl der Tage					
	7^{30}	13^{30}	21^{30}	Mittel	Minimum	Tag	Maximum	Tag	7^{30}	13^{30}	21^{30}	Mittel	Minimum	Tag	7^{30}	13^{30}	21^{30}	Mittel	7^{30}	13^{30}	21^{30}	Total	Summe	Maximum Tag	● *	●* LO	*	▲	K	helle	trübe
Jan.	-0.2	1.8	0.9	0.8	-6.8	2	9.4	31	81	77	76	78	35	27	6.5	6.3	5.3	6.0	4	4	3	11	155	37 12	13	12	5	—	—	7	13
Feb.	1.3	0.4	-0.9	-0.7	-7.2	15	11.2	1	82	78	84	81	41	1	8.7	8.5	7.3	8.2	2	5	3	10	179	39 8	18	18	17	—	—	—	17
März	-0.7	2.8	0.7	0.9	-7.0	1	16.2	25	76	66	74	72	34	23	6.3	6.0	4.3	5.5	2	3	1	6	79	26 27	15	12	10	—	—	5	9
Apr.	4.7	9.3	6.9	7.0	-3.5	17	20.1	30	75	58	64	66	38	6.21	4.8	5.5	4.2	4.8	2	1	—	3	131	43 8	14	13	4	—	—	7	7
Mai	8.7	12.9	9.4	10.1	0.5	19	21.2	6	73	60	73	69	40	10	5.3	5.8	4.5	5.2	–	1	—	1	211	32 6	19	17	4	—	2	6	7
Juni	12.9	17.3	13.6	14.3	6.2	11	23.0	25	82	64	78	75	40	9	6.2	6.2	6.3	6.2	2	1	—	3	174	56 7	20	18	—	—	3	3	10
Juli	14.3	17.4	15.2	15.5	9.0	7	25.2	18	93	80	85	86	51	18	7.8	7.0	6.5	7.1	5	2	—	7	356	64 29	24	21	—	—	3	3	10
Aug.	13.4	17.3	14.9	15.1	8.6	8	22.2	23	88	73	81	81	54	18	6.0	6.0	6.4	6.1	—	—	—	—	205	63 1	15	13	—	1	3	4	10
Sept.	10.9	14.5	11.8	12.2	4.2	15	19.8	3.4.5	92	80	88	87	60	22	5.2	5.9	3.3	4.8	3	1	—	4	93	16 9	14	12	1	—	1	7	7
Okt.	6.3	9.0	7.1	7.4	-1.0	29	13.5	3	87	79	86	84	45	20	5.9	6.2	5.4	5.8	2	1	4	7	64	16 28	10	9	1	—	—	5	12
Nov.	2.3	4.4	3.2	3.3	-7.6	26	15.6	7	81	77	80	79	52	7	5.0	5.5	5.3	5.3	2	5	1	8	35	24 24	5	3	3	—	—	5	8
Dez.	3.2	4.4	3.6	3.7	-1.6	20.31	8.0	3. 7	83	81	84	83	39	6. 7	7.4	7.6	7.3	7.4	3	4	2	9	166	19. 27	23	23	7	—	—	4	16
Jahr	6.2	9.3	7.2	7.5	-7.6	XI	25.2	VII	83	73	79	78	34	III	6.2	6.4	5.5	6.0	27	28	14	69	1848	64 VII	190	171	52	1	12	56	132

Walenstadtberg

$\lambda = 9°17', \beta = 47°08', H = ca\ 982^m, h_r = 1.2^m$

Beobachter: Sanatorium

Jan.	0.2	3.5	1.5	1.7	-8.8	2	11.2	27	77	67	75	73	25	26	6.6	6.6	5.5	6.2	5	5	4	14	247	82 11	10	10	6	—	—	6	12
Feb.	-1.9	0.6	-1.5	-1.1	-8.6	15	10.7	1	83	72	82	79	40	12	8.7	8.9	7.9	8.5	1	—	3	4	330	83 8	18	17	18	–	–	—	19
März	-1.5	3.4	0.0	0.5	-8.4	1	16.8	24	80	62	78	73	36	8	6.3	6.0	6.1	6.1	1	—	2	3	90	27 27	15	11	12	–	—	3	10
Apr.	3.7	9.3	6.1	6.3	-3.2	16	20.6	30	77	59	70	69	30	26	5.8	5.8	5.2	5.6	1	1	1	3	199	30 11	14	14	5	—	1	6	9
Mai	7.9	12.8	9.5	9.9	1.0	19	21.2	6	75	57	70	67	37	9	6.3	6.4	6.1	6.3	–	—	—	—	179	25 28	19	17	5	1	—	5	10
Juni	12.4	17.4	14.3	14.6	6.4	14	24.8	25	81	64	76	74	43	1	6.9	7.3	7.6	7.3	1	—	—	1	209	46 7	21	19	—	1	3	2	13
Juli	13.7	17.7	15.2	15.4	7.4	7	26.8	18	89	77	83	83	48	18	7.2	7.5	7.5	7.4	2	—	1	3	426	62 13	25	25	—	—	6	3	16
Aug.	13.0	17.5	14.3	14.8	6.8	9	23.8	23	84	70	81	78	51	18	6.0	7.0	6.0	6.3	1	—	—	1	239	87 7	14	13	—	—	1	3	12
Sept.	10.1	14.7	11.1	11.8	3.6	15	21.7	9	88	71	87	82	53	23	4.9	5.8	5.2	5.3	1	1	1	3	130	25 10	14	13	—	—	1	7	8
Okt.	5.4	9.1	6.1	6.7	-4.3	29	15.3	3	82	74	84	80	41	30	6.3	5.9	5.5	5.9	3	3	4	10	93	16 6	12	11	3	—	—	4	10
Nov.	1.2	5.2	2.6	2.9	-10.3	26	18.5	7	73	68	76	72	36	4	4.5	5.0	4.0	4.5	2	2	3	7	45	31 24	4	4	3	—	—	10	6
Dez.	2.1	4.9	2.7	3.1	-3.4	20	9.8	29	81	71	81	78	40	6	6.6	7.0	6.6	6.8	-	1	1	2	195	35 27	21	20	7	—	—	2	11
Jahr	5.5	9.7	6.8	7.2	-10.3	XI	26.8	VII	81	68	79	76	25	I	6.3	6.6	6.2	6.3	18	13	20	51	2382	87 VIII	187	174	59	2	12	51	136

Vättis

$\lambda = 9°27', \beta = 46°55', H_b = 956^m, h_r = 1.5^m$

Beobachter: A. Jäger

Jan.	-3.5	3.3	0.8	1.1	-12.0	19	12.5	27	76	59	72	69	33	27	6.4	6.3	5.4	6.0	1	—	1	2	105	35 12	8	7	5	—	—	6	12
Feb.	-3.0	1.1	-3.4	-2.2	-11.6	11	9.4	1	84	65	88	79	35	25	8.3	8.0	5.9	7.4	—	1	—	1	144	33 8	16	16	16	—	—	2	15
März	-3.9	3.7	-2.3	-1.2	-11.8	2	17.1	26	84	53	82	73	23	8	5.1	5.4	5.0	5.2	—	—	2	2	22	7 29	10	5	8	—	—	9	9
Apr.	1.7	9.6	3.2	4.4	-4.1	18	21.6	29	86	51	82	73	25	24	4.9	5.3	4.6	4.9	—	—	—	—	68	15 14	13	8	5	—	—	9	8
Mai	6.9	13.9	6.6	8.5	-0.6	22	22.6	6	81	49	80	70	19	9	5.8	6.3	5.5	5.9	—	—	—	—	96	15 27	16	13	5	—	—	6	9
Juni	12.8	17.7	11.4	13.3	5.4	11	24.5	6.19	79	52	86	72	29	12	7.0	7.6	7.6	7.4	—	—	—	—	103	37 7	20	15	—	—	1	3	15
Juli	13.4	18.2	12.9	14.4	7.9	7	27.2	18	89	64	91	81	32	18	7.4	7.1	8.2	7.6	—	—	—	—	141	19 29	22	20	—	—	6	3	18
Aug.	11.4	18.0	11.6	13.1	6.5	9	23.6	23	89	56	90	78	37	26	6.8	6.8	6.2	6.6	—	—	—	—	70	13 7	16	15	—	—	—	5	15
Sept.	7.7	15.2	8.8	10.1	0.8	30	21.2	3	95	58	94	82	38	2	5.3	4.9	6.1	5.4	—	—	—	—	62	18 10	14	11	1	—	2	6	10
Okt.	3.4	9.6	4.3	5.4	-5.4	29	16.7	10	90	63	87	80	37	10.30	6.2	5.2	5.4	5.6	—	—	—	—	61	27 21	10	9	4	—	—	6	10
Nov.	-0.6	4.6	0.6	1.3	-14.6	26	17.8	8	84	65	79	76	28	4	4.6	5.5	5.1	5.1	—	—	—	—	22	16 24	4	3	3	-	-	7	7
Dez.	0.3	4.0	0.3	1.2	-7.0	31	8.6	15	87	70	87	81	33	23	6.9	6.7	5.6	6.4	—	—	—	—	71	18 27	19	14	9	—	—	6	14
Jahr	4.1	9.9	4.6	5.8	-14.6	XI	27.2	VII	85	59	85	76	19	V	6.2	6.2	5.9	6.1	1	1	3	5	965	37 VI	168	136	56	—	9	68	142

Zentralschweiz

Werthenstein

$\lambda = 8°06', \beta = 47°03', H_b = 594^m, h_r = 1.5^m$

Beobachter: D. Ineichen

Jan.	-2.2	0.2	-0.8	-0.9	-10.8	19	11.4	12	90	86	90	89	65	1.19	9.0	8.5	9.2	8.9	2	2	6	10	138	31 17	14	10	6	—	—	—	26
Feb.	-1.5	2.3	-0.8	-0.2	-10.3	19	10.2	8	83	72	81	79	44	20	8.7	7.8	7.1	7.9	2	—	1	3	116	21 8	16	16	10	—	—	1	17
März	-1.6	4.9	0.6	1.1	-10.0	7	20.9	24	83	61	79	74	30	19	6.5	6.3	5.8	6.2	1	—	—	1	54	18 28	11	7	7	—	—	3	10
Apr.	4.7	13.2	6.2	7.6	-2.0	1	23.9	30	81	47	69	66	24	24	4.7	4.7	4.5	4.6	—	—	—	—	35	13 8	8	6	2	—	—	9	7
Mai	9.6	15.8	8.9	10.8	2.4	19	25.5	6	81	52	79	71	34	9	6.0	6.4	5.3	5.9	—	—	—	—	126	19 17	18	14	2	—	—	4	9
Juni	13.1	19.8	13.4	14.9	6.7	12	25.3	24	89	59	86	78	37	1	6.6	6.9	6.0	6.5	—	—	—	—	147	27 7	17	16	—	-	2	1	11
Juli	14.8	19.5	15.3	16.3	9.5	8	30.1	18	92	73	88	84	38	18	8.1	7.1	7.1	7.4	-	-	—	—	228	49 27	20	19	—	—	3	2	16
Aug.	13.0	20.0	14.3	15.4	6.8	10	27.3	23	91	62	89	81	41	6	5.9	6.1	6.1	6.0	—	—	2	2	145	31 30	16	14	—	1	4	8	
Sept.	10.5	17.0	11.3	12.5	3.4	30	23.2	4	94	68	92	85	45	21	6.8	6.2	4.2	5.7	—	—	—	—	87	17 10	14	10	—	—	—	5	11
Okt.	4.5	10.8	6.0	6.8	-4.2	30	17.8	15	96	70	91	86	36	27	6.6	6.2	6.1	6.3	1	—	—	1	40	12 4	8	7	—	—	—	7	14
Nov.	-0.5	4.0	1.4	1.6	-11.5	27	14.3	5	92	79	90	87	55	23	7.5	7.2	7.9	7.5	2	—	5	7	17	6 25	6	4	2	—		2	16
Dez.	2.0	4.7	2.6	3.0	-5.7	2	11.7	29	91	79	89	86	36	30	9.0	7.6	8.2	8.3	5	3	5	13	89	14 17	21	20	3	—	—	1	23
Jahr	5.5	11.0	6.5	7.4	-11.5	XI	30.1	VII	88	67	85	80	24	IV	7.1	6.8	6.5	6.8	13	5	19	37	1222	49 VII	169	143	32		6	39	168

Walchwil

$\lambda = 8°31', \beta = 47°06', H = 449^m, h_r = 1.5^m$ — Beobachter: K. Halter

1955	Luft-Temperatur								Relative Feuchtigkeit						Bewölkung				Nebel Zahl der Termine				Niederschlag		Zahl der Tage					
	7^{30}	13^{30}	21^{30}	Mittel	Minimum	Tag	Maximum	Tag	7^{30}	13^{30}	21^{30}	Mittel	Minimum	Tag	7^{30}	13^{30}	21^{30}	Mittel	7^{30}	13^{30}	21^{30}	Total	Summe	Maximum Tag	●	●* ≧1.0	*	▲	K	heiße	trübe
Jan.	-0.3	1.4	0.8	0.7	-7.0	19	12.0	12	88	77	83	83	49	1	9.6	9.5	9.1	9.4	5	4	5	14	110	21 12	12	11	2	—	–	1	28
Feb.	0.5	3.0	1.0	1.4	-5 8	19	10.6	8	76	64	73	71	36	5	9.6	8.9	7.6	8.7	1	—	—	1	105	30 8	18	16	11	—	—	—	20
März	0.6	5.3	2.2	2.6	-5.0	8	17.0	26	74	54	68	65	32	19	7.8	7.1	6.7	7.2	—	—	—	—	66	33 27	11	8	6	—	–	1	13
Apr.	5.8	12.3	8.7	8.9	-0.6	1	22.6	30	73	46	58	59	29	24	5.0	5.6	5.8	5.5	—	—	—	—	70	22 8	11	8	2	—	—	8	11
Mai	10.5	16.5	11.3	12.4	1.8	19	24.6	6	73	47	67	62	33	21	6.4	6.7	6.5	6.5	—	—	–	—	176	29 11	18	15	—	—	2	4	13
Juni	14.6	20.3	15.5	16.5	8.0	11	26.0	19	84	58	82	75	30	9	6.5	7.5	7.1	7.0	—	—	—	—	165	30 7	18	17	—	-	3	2	11
Juli	16.4	20.4	17.1	17.8	11.2	7	28.2	18	88	69	87	81	49	18	8.5	7.6	8.2	8.1	—	—	—	—	293	42 21	21	20	—	—	4	2	20
Aug.	15.2	20.7	16.4	17.2	9.8	10	26.0	19	89	60	84	78	43	24	7.6	6.7	7.0	7.1	—	—	—	—	168	33 31	14	13	—	—	1	—	15
Sept.	12.3	17.3	13.0	13.9	5.2	29	22.8	3	90	68	89	82	46	16	8.2	6.7	6.3	7.1	—	—	—	—	79	15 9	13	12	—		–	2	15
Okt.	7.2	10.9	8.2	8.6	-0.8	30	15.4	14.15	93	72	86	84	31	20	8.7	7.0	6.6	7.4	—	—	—	—	52	13 4	8	8	—	—	—	3	18
Nov.	2.1	5.0	3.2	3.4	-5.6	26. 27	12.6	4	88	76	86	83	53	23	8.5	8.4	8.2	8.4	4	3	3	10	18	14 24	5	2	2	—	–	—	20
Dez.	3.4	5.3	3.8	4.1	-1.8	1	12.2	29	90	79	90	86	38	30	9.5	8.8	9.2	9.2	3	2	3	8	109	13 11	21	20	2	-	—	—	25
Jahr	7.3	11.5	8.4	8.9	-7.0	I	28.2	VI	84	64	79	76	29	IV	8.0	7.5	7.3	7.6	13	9	11	33	1411	42 VII	169	150	25	—	10	23	209

Weggis

$\lambda = 8°27', \beta = 47°02', H = 440^m, h_r = 1.5^m$ — Beobachter: Geschw. Zimmermann

Jan.	0.5	1.9	1.3	1.3	-5.4	19	12.6	12	91	84	89	88	60	1	9.7	9.0	9.5	9.4	5	4	3	12	83	20 17	13	10	4	—	—	1	27
Feb.	1.2	3.6	1.4	1.8	-5.6	14	12.0	8	81	75	80	79	48	5	7.9	6.9	7.4	7.4	1	—	—	1	100	24 8	18	12	10	—	—	2	16
März	1.0	4.2	2.6	2.7	-5.2	7	13.4	24	84	69	79	77	49	19	6.7	5.4	6.1	6.1	—	—	—	—	65	23 27	11	10	6	—	—	5	10
Apr.	5.2	11.4	8.0	8.2	0.0	2	22.0	30	85	64	72	74	49	19. 26	3.9	3.7	3.5	3.7	—	—	—	—	76	20 8	9	9	1	—	—	12	4
Mai	9.6	15.7	10.4	11.5	2.2	19	22.0	6.25	86	61	83	77	42	21	4.8	4.4	4.5	4.6	—	—	—	—	149	25 11	16	15	2	—	3	7	5
Juni	14.2	19.8	14.4	15 7	8.4	11	25.6	19. 24	85	64	85	78	45	14	5.9	4.5	5.3	5.2	—	—	—	—	123	32 7	21	19	—	–	3	4	8
Juli	16.0	19.9	16.4	17.2	10.2	7	27.0	18	80	76	88	84	60	1. 2	8.3	6.3	6.5	7.0	—	—	1	1	302	67 27	24	23	—	—	9	2	14
Aug.	5.3	19.7	15.7	16.6	10.0	10	25.2	24	88	70	88	82	54	24	6.2	4.7	5.8	5.6	—	—	—	—	175	44 30	15	14	—	—	5	4	9
Sept.	12.6	16.4	12.7	13.6	6.6	15	22.4	9	90	71	89	83	47	16	6.8	4.5	3.9	5.1	—	—	—	—	92	14 23. 28	12	12	—	—	1	8	7
Okt.	7.7	11.1	7.9	8.7	0.6	29	15.2	14	90	73	88	84	60	8.21	7.7	6.1	5.5	6.4	–	—	—	—	47	15 21	9	7	—	—	—	5	12
Nov.	3.2	5.1	4.2	4.2	-3.4	26	12.0	5	89	80	86	85	50	15	9.2	7.5	8.6	8.4	2	—	2	4	14	11 24	6	1	2	—	—	—	22
Dez.	4.3	5.9	4.7	4.9	-0.8	1	12.4	29	88	81	85	85	38	10	7.8	6.9	8.2	7.6	1	—	2	3	100	16 31	19	17	2	—	—	2	18
Jahr	7.6	11.2	8.3	8.9	-5.6	II	27.0	VII	87	72	84	81	38	XII	7.1	5.8	6.2	6.4	9	4	8	21	1326	67 VII	173	149	27	-	21	52	152

Rigi-Kaltbad

$\lambda = 8°28', \beta = 47°30', H = ca\ 1490^m, h_r = 2.0^m$ — Beobachter: Gratalpklause der Kapuziner

Jan.	-0.5	3.4	1.0	1.2	-11.8	2	10.4	27	73	64	70	69	31	26	6.4	6.6	6.5	6.5	-	1	1	2	109	21 12	12	12	6	—	—	8	15
Feb.	-4.3	-1.4	-4.1	-3.5	-12.0	14	8.0	23	84	76	86	82	44	23	8.1	9.0	6.8	8.0	4	2	4	10	143	28 8	16	16	16	—	—	—	14
März	-2.9	2.6	-2.2	-1.1	-11.0	1	16.9	25	76	60	78	71	28	23	5.6	6.6	4.7	5.6	4	5	4	13	83	24 27	12	10	10	—	—	7	10
Apr.	0.9	5.6	2.6	2.7	-5.8	1	18.3	29	77	68	77	74	36	13	5.8	6.7	5.1	5.9	5	1	2	8	124	31 11	12	11	9	—	—	7	12
Mai	4.6	8.5	5.2	5.7	-3.6	19	17.8	1	77	69	77	74	39	9	6.3	7.4	6.0	6.6	2	1	1	4	199	30 6	17	17	7	—	3	4	13
Juni	9.4	13.3	9.5	10.2	1.4	11	21.0	19	82	72	85	80	39	24	6.2	7.9	7.2	7.1	1	1	1	3	181	40 7	20	17	2	—	2	2	13
Juli	10.8	13.4	11.5	11.4	4.8	7	23.2	18	91	84	86	87	40	18	7.8	8.5	7.5	7.9	6	5	2	13	365	63 27	24	24	—	1	4	2	17
Aug.	10.0	13.2	11.0	11.0	3.2	8	18.0	21	87	79	84	83	55	1. 6	6.3	7.4	6.8	6.8	3	—	2	5	225	51 30	17	15	—	—	4	3	15
Sept.	7.4	11.6	8.0	8.7	0.0	15	18.0	3	86	77	85	83	34	22	5.4	6.3	5.4	5.7	5	5	4	14	184	33 1	14	13	2	—	1	7	10
Okt.	3.2	7.4	3.5	4.5	-5.2	29	17.0	27	80	70	82	87	40	9	5.7	6.1	5.8	5.9	3	4	4	11	66	15 21	9	9	6	—	—	8	14
Nov.	0.1	4.2	0.7	1.4	-9.8	25	18.6	7	75	66	76	72	31	26	4.8	5.9	5.9	5.5	4	2	3	9	36	28 24	5	3	3	—	—	7	9
Dez.	0.7	2.9	0.8	1.4	-6.8	31	10.0	2	74	70	77	74	16	6	7.3	7.5	7.0	7.3	2	4	1	7	138	14 31	21	21	12	—	—	3	17
Jahr	3.3	7.0	4.0	4.5	-12.0	II	23.2	VII	80	71	80	77	16	XII	6.3	7.2	6.2	6.6	39	31	29	99	1853	63 VII	179	168	73	1	14	58	159

Die Abendbeobachtung erfolgt um 20.30 h

Lungern

$\lambda = 8°10', \beta = 46°47', H = ca\ 735^m, h_r = 1.5^m$ — Beobachter: O. Imfeld

Jan.	-1.0	1.7	1.0	0.7	-8.6	19	12.0	31	91	80	81	84	25	31	8.7	8.8	8.0	8.5	9	8	7	24	248	64 12	13	11	1	-	—	1	21
Feb.	-1.0	1.8	-0.2	0.1	-8.6	19	13.4	1	79	67	79	75	25	1	9.1	8.4	8.3	8.6	3	—	1	4	225	78 8	20	17	15	-	—	—	21
März	-0.9	3.5	0.7	1.0	-7.6	8	19.0	24	75	60	70	68	30	7.25	0 9	6.3	6.8	6.7	1	1	1	3	46	14 28	12	9	7	—	—	3	13
Apr.	4.8	11.0	6.3	7.1	-1.2	16	21.2	29	70	48	65	61	30	24	5.5	4.9	4.2	4.9	—	—	—	—	36	9 7	10	7	2	—	—	9	11
Mai	9.8	14.0	8.8	10.3	2.6	23	22.0	5. 6	69	50	74	64	30	9.16	6.9	6.8	6.4	6.7	—	—	—	—	162	21 11	16	15	—	—	—	4	13
Juni	13.2	17.7	13.0	14.2	7.2	11	23.2	24	76	60	81	72	40	13	6.9	7.6	6.7	7.1	—	—	—	—	150	32 7	20	19	—	—	-	1	12
Juli	14.9	18.3	14.6	15.6	7.4	7	27.2	18	84	67	86	79	42	12	7.8	7.5	7.8	7.7	—	—	—	—	203	38 21	25	23	—	1	3	17
Aug.	13.4	18.0	13.5	14.6	7.8	9	23.6	23	82	61	82	75	43	3.26	6.6	7.2	6.1	6.6	—	—	—	—	206	43 30	18	16	—	2	1	14
Sept.	10.6	15.3	11.1	12.0	4.2	30	20.6	3	87	64	85	79	39	15	6.4	6.3	5.9	6.2	1	—	—	1	108	18 5	15	14	—	—	—	2	9
Okt.	5.6	9.3	6.5	7.0	-1.8	30	17.2	21	86	66	84	79	28	20 21	6.8	6.1	7.1	6.7	2	—	1	3	83	37 21	9	7	—	—	—	5	15
Nov.	0.7	3.7	1.9	2.1	-8.2	26	13.4	5	85	72	81	79	38	4	7.4	7.0	7.7	7.4	6	3	5	14	20	13 24	8	3	4	—	—	3	19
Dez.	2.4	5.1	3.3	3.5	-2.4	1. 6	10.6	29	81	70	77	76	30	30	7.6	6.8	7.1	7.2	3	2	3	8	163	27 27	18	18	3	—	—	3	13
Jahr	6.0	9.9	6.7	7.3	-8.6	I II	27.2	VII	80	64	79	74	25	I II	7.2	7.0	6.8	7.0	25	14	18	57	1650	78 II	184	159	32	—	3	35	178

Gurtnellen

$\lambda = 8°\,37'$, $\beta = 46°\,44'$, $H = 739^m$, $h_r = 1.5^m$

Beobachter: Stationspersonal

1955	Luft-Temperatur							Relative Feuchtigkeit						Bewölkung				Nebel Zahl der Termine				Niederschlag		Zahl der Tage						
	7^{30}	13^{30}	21^{30}	Mittel	Minimum	Tag	Maximum Tag	7^{30}	13^{30}	21^{30}	Mittel	Minimum	Tag	7^{30}	13^{30}	21^{30}	Mittel	7^{30}	13^{30}	21^{30}	Total	Summe	Maximum Tag	● *	●* >1.0	*	▲	≥	heiter	trüb
Jan.	1.6	3.4	2.5	2.5	−6.9	19	12.2 27	68	64	69	67	26	19	7.3	6.9	7.5	7.2	?	?	?	?	109	35 11	10	9	5	–	–	5	20
Feb.	−0.2	2.5	0.0	0.6	−6.0	11	11.0 1	72	62	71	68	30	12	8.4	8.2	7.1	7.9	—	—	—	—	125	42 8	17	13	15	–	–	2	18
März	−0.3	4.9	1.7	2.0	−7.8	7	18.8 26	0	50	67	62	26	23.24	6.3	5.7	6.0	6.0	?	?	?	?	26	*8 29	13	7	9	–	–	4	12
Apr.	4.5	11.1	7.1	7.4	−1.0	2	23.0 30	71	45	67	61	24	20.26	4.7	5.1	4.7	4.8	1	1	—	2	30	8 11	9	8	1	–	–	10	10
Mai	9.0	15.3	10.8	11.5	2.1	23	23.2 1	76	51	70	66	21	9	6.2	6.3	5.6	6.0	–	—	—	—	60	11 27	14	12	—	–	–	5	10
Juni	12.8	18.4	14.0	14.8	6.3	12	25.0 6	86	64	85	78	34	6	6.5	7.2	7.2	7.0	—	—	—	—	90	22 7	18	14	—	–	–	3	14
Juli	14.0	19.4	15.4	16.0	8.9	8	28.5 18	90	71	88	83	45	1.18	6.4	7.0	7 6	7.0	—	—	—	—	123	12 13	24	21	—	–	2	2	13
Aug.	13.0	19.2	14.7	15.4	8.5	9	24.0 23	90	65	88	81	38	26	6.7	6.2	5.0	6.0	.	—	—	—	98	18 30	15	14	—	–	–	5	10
Sept.	10.4	15.9	11.9	12.5	3.8	30	22.5 3	92	73	90	85	46	17	5.4	5.5	5.3	5.4	–	—	—	—	73	16 9	14	13	—	–	–	8	12
Okt.	5.8	9.6	6.7	7.2	−1.0	30	15.2 9	89	78	89	85	42	9	5.3	3.9	5.9	5.0	5	3	1	9	90	49 21	10	7	1	–	–	9	8
Nov.	2.2	4.6	3.5	3.5	−8.8	26	18.0 8	83	75	80	79	33	4	5.1	4.4	4.1	4.5	—	—	—	?	15	10 24	4	2	4	–	–	11	9
Dez.	2.4	4.2	2.6	3.0	−1.7	20	11.0 15	85	81	87	84	35	23	0.9	6.2	6.7	6.6	1	1	2	4	86	21 27	17	15	5	–	–	3	13
Jahr	6.3	10.7	7.6	8.0	−8.8	XI	28.5 VII	81	65	79	75	21	V	6.3	6.0	6.1	6.1	—	—	—	—	925	49 X	165	135	40	–	2	67	149

Andermatt

$\lambda = 8°\,36'$, $\beta = 46°\,38'$, $H_b = 1442^m$, $h_r = 1.8^m$

Beobachter: P. C. Rusterholz

Jan.	−3.3	−0.5	−1.9	−2.0	−15.8	19	7.6 27	—	—	—	—	—	—	6.5	6.3	5.4	6 1	—	—	—	—	127	38 11	8	8	7	–	–	7	12
Feb.	−5.3	−1.9	−5.1	−4.3	−16.4	11	4.0 24	—	—	—	—	—	—	8.9	7.9	6.3	7.7	—	—	—	—	147	42 8	19	18	19	–	–	1	16
März	−6.3	0.2	−3.6	−3 4	−16.0	19	10.5 26	—	—	—	—	—	—	4.7	5.2	4.5	4.8	2	1	—	3	28	10 17	11	9	10	–	–	8	7
Apr.	−1.5	5.4	1.1	1.4	−8.0	1	14.0 30	—	—	—	—	—	—	4.2	4.0	4.4	4.2	—	—	—	—	57	15 11	12	8	7	–	–	11	7
Mai	4.1	9.6	5.2	5.9	−4.0	23	16.2 9	—	—	—	—	—	—	4.7	4.8	4.8	4.8	1	—	1	2	71	11 27	14	14	5	-	–	6	5
Juni	9.0	13.6	9.4	10.2	1.2	11	19.8 24	—	—	—	—	—	—	6.3	6.3	7.4	6.7	—	—	1	1	125	56 7	18	13	–	–	1	2	12
Juli	11.0	14.1	10.9	11.5	4.4	8	23.0 18	—	—	—	—	—	—	5.8	7.1	8.0	7.0	2	–	–	2	94	10 13	21	21	–	–	–	3	11
Aug.	9.0	13.5	10.2	10.5	3.0	10	20.0 22	—	—	—	—	—	—	5.2	5.5	5.5	5.4	—	—	—	—	76	20 30	16	13	–	–	1	7	9
Sept.	5.3	11.2	7.3	7 6	−1.8	30	16.4 3	—	—	—	—	—	—	4.5	4.3	5.5	4.8	3	2	2	7	57	11 9	15	11	4	–	–	8	9
Okt.	0.7	6.6	2.5	3.1	−7.0	30	13.6 2	—	—	—	—	—	—	5.5	4.4	5.0	5.0	2	2	2	6	116	77 21	9	7	5	–	–	10	11
Nov.	−3.5	1.1	−2.0	−1.5	−17.2	26	11.2 8	—	—	—	—	—	—	4.1	4.7	3.8	4.2	2	2	3	7	18	15 24	4	2	2	–	–	11	5
Dez.	−2.2	−0.2	−2.8	−1.8	−11.2	19	5.0 29	—	—	—	—	—	—	6.7	6.1	4 4	5.7	—	1	—	1	73	17 27	14	14	11	–	–	5	9
Jahr	1.4	6.1	2.6	3.1	−17.2	XI	23.0 VII	—	—	—	—	—	—	5.6	5.5	5.4	5.5	12	8	9	29	989	77 X	161	138	70	–	2	79	113

Die Abendbeobachtung erfolgt um 20.30 h

Jura

La Brévine (Les Taillères)

$\lambda = 6°\,34'$, $\beta = 46°\,58'$, $H =$ ca 1060^m, $h_r = 1.8^m$

Beobachter: Frl. A. Favre

Jan.	−4.1	1.2	−2.7	−2.1	−20.0	20	12.0 27	94	87	95	92	56	20	7.0	5.9	4.9	6.3	1	—	–	1	234	52 11	12	12	7	–	–	5	12
Feb.	−5.3	0.6	−3.7	−3.0	−23.0	12	9.4 1	95	81	97	91	55	1	8.9	7.4	7.2	7 8	—	—	4	4	160	59 8	15	15	14	–	–	—	14
März	−5.9	2.3	−3.1	2.4	−25.0	9	15.0 25	91	72	90	84	37	15	7.2	6.6	4.8	6.2	–	—	—	–	30	9 26	10	8	5	–	–	6	10
Apr.	2.0	9.9	3.6	4.8	−5.0	3	10.0 30	84	65	82	77	36	24	5.0	4.1	4.0	4.4	1	—	—	1	20	7 14	7	6	1	-	—	11	3
Mai	5.5	10.8	5.5	6.8	0.0	19	17.0 1. 5	93	66	87	82	32	16	7.3	6.3	5.8	6.5	1	—	—	1	136	29 17	17	16	3	–	2	2	11
Juni	10.5	17.2	9.0	11.4	5.0	14.22	23.0 25	90	62	88	80	24	16	7.9	7.4	6.4	7.2	1	—	—	1	163	24 8	20	20	—	–	3	1	12
Juli	14.8	19.0	13.1	15.0	7.0	6	25.0 9.18	86	66	87	80	42	19	6.1	6.1	6.6	6.3	—	2	—	2	148	21 28	15	15	—	–	5	—	9
Aug.	11.1	17.7	11.4	12.9	2.0	10	24.0 24	89	64	91	81	45	17.20	6.5	7.0	5.7	6.4	3	—	1	4	180	52 27	17	17	—	–	5	2	10
Sept.	7.3	14.4	8.4	9.6	−1.6	30	19.8 3. 5	92	66	92	83	50	17.23	7.2	6.7	5 1	6.3	5	—	—	5	95	18 14	11	11	—	–	2	3	9
Okt.	1.6	9.1	3.5	4.4	−10.0	29.30	14.6 11	92	68	88	83	40	29	7.6	6.3	4.2	6.0	7	1	1	8	52	16 6	10	10	—	–	–	4	6
Nov.	−3.5	3.6	−1.1	−0.5	−28.0	26	18.0 7	91	72	88	83	44	16	6.5	5.5	4.1	5.4	—	—	—	—	38	12 24	7	7	2	–	–	6	3
Dez.	−1.3	3.6	0.6	0.9	−10.0	7	8.4 14	93	84	95	91	42	7	7.8	7.5	7.3	7.5	—	—	—	—	197	23 16	21	21	11	–	–	2	16
Jahr	2.7	9.1	3.7	4.8	−28.0	XI	25.0 VII	91	71	90	84	24	VI	7.2	6.4	5.5	6.4	19	3	5	27	1453	59 II	162	158	43	–	17	42	115

Cernier

$\lambda = 6°\,54'$, $\beta = 47°\,04'$, $H = 790^m$, $h_r = 1.5^m$

Beobachter: Ecole d'Agriculture

Jan.	−1.9	0.8	−1.6	−1.1	−11.6	19	10.0 12	—	—	—	—	–	–	8.4	8.1	7.6	8.0	5	3	2	10	251	50 11	13	13	6	–	–	3	22
Feb.	−1.6	1.0	−1.5	−0.9	−10.0	15	9.0 1	91	81	94	89	60	11.28	8.6	7.4	7.4	7.8	2	2	—	4	198	51 8	16	16	11	–	–	–	16
März	−0.5	3.7	−0.9	0.3	−6.5	6	17.0 26	87	72	88	82	48	16	5.6	6.0	4.7	5.4	—	1	—	1	37	? —	8	8	3	–	–	6	9
Apr.	5.4	11.8	6.1	7.4	0.0	16	21.0 30	71	53	69	64	35	21.24	4.0	4.7	3.6	4.1	—	—	—	—	16	9 11	4	2	—	–	–	12	6
Mai	8.2	13.2	7.7	9.2	2.0	23	21.0 9	74	58	76	69	37	24	4.8	6.2	4.8	5.3	—	—	–	–	125	40 17	13	13	1	-	–	5	9
Juni	13.4	18.0	12.7	14.2	5.0	11	25.0 18	76	60	80	72	32	2	6.1	6.8	5.8	6.2	2	—	—	2	151	30 7	19	18	–	–	3	5	10
Juli	15.9	19.9	14.7	16.3	10.0	6	27.0 18	74	64	77	72	36	4	5.7	6.8	5.5	6.0	1	—	—	1	62	11 12	17	12	—	–	5	3	9
Aug.	14.3	18.8	13.5	15.0	8.4	10	25.0 23	79	60	79	73	42	24	5.6	5.6	4.1	5.1	4	—	—	4	116	24 27	15	14	—	–	4	9	10
Sept.	11.1	16.1	10.8	12.2	3.0	30	23.0 30	81	64	82	76	45	8	4.7	5.8	3.8	4.8	1	1	—	2	68	17 14	9	9	—	–	2	9	6
Okt.	5.2	10.2	5.5	6.6	−5.0	29	15.0 2.15	82	64	82	76	35	29	6.7	3.6	3.3	4.5	5	—	—	5	41	14 6	7	7	—	–	–	9	5
Nov.	0.2	4.2	0.6	1.4	−10.5	26	14.5 6	86	73	84	81	47	16	7.2	5.5	4.4	5.7	6	4	2	12	36	9 24	8	7	2	–	–	5	9
Dez.	2.2	4.8	1.9	2.7	−3.2	6	12.0 3	83	76	87	82	43	7	7.5	7.3	7.1	7.3	7	3	3	13	187	22 17	20	19	5	-	–	3	18
Jahr	6.0	10.2	5.8	6.9	−11.6	I	27. VII	—	—	—	—	—	—	6.2	6.2	5.2	5.9	33	14	7	54	1288	51 II	149	138	28	–	14	69	129

Mont Soleil (s. St. Imier)

$\lambda = 7° 00', \beta = 47° 10', H_b = 1174^m, h_r = 1.5^m$ — Beobachter: **H. Sutter**

1955	Luft-Temperatur						Relative Feuchtigkeit						Bewölkung				Nebel (Zahl der Termine)				Niederschlag		Zahl der Tage						
	7^{30}	13^{30}	21^{30}	Mittel	Minimum	Tag	Maximum	Tag	7^{30}	13^{30}	21^{30}	Mittel	Minimum	Tag	7^{30}	13^{30}	21^{30}	Mittel	7^{30}	13^{30}	21^{30}	Total	Summe	Maximum Tag	●	●* ≧1.0	*	▲	⛆	heiter	trüb
Jan.	-0.6	2.2	0.4	0.0	-11.0	19	9.7	27	82	76	81	80	24	27	7.5	7.5	7.0	7.3	5	5	4	14	235	58 11	14	14	7	—	—	3	20
Febr	-3.7	-0.6	-3.3	-2.7	-10.4	14	8.4	1	92	82	93	89	48	1	8.4	8.2	7.8	8.1	3	2	3	8	178	47 8	18	18	18	—	—	—	18
März	-2.3	2.1	-2.0	-1.0	-11.7	7	16.2	25	83	67	85	78	35	25	7.1	5.8	5.8	6.2	7	2	1	10	42	9 26	10	10	4	—	—	3	11
Apr.	3.4	8.6	3.6	4.8	-3.4	16	21.3	29	76	56	72	68	27	21	4.7	5.2	3.7	4.5	2	1	—	3	35	— —	7	7	1	—	—	10	7
Mai	6.8	11.0	6.4	7.6	-0.3	18	20.0	6	89	78	89	85	29	9	5.7	6.9	5.5	6.0	1	—	—	1	131	33 17	16	13	4	—	—	5	8
Juni	11.1	15.1	10.8	12.0	2.2	11	22.5	24	97	92	96	95	67	24	6.4	7.5	6.2	6.7	—	—	—	—	135	38 7	21	19	—	—	1	2	13
Juli	2.8	16.6	12.5	13.6	6.3	6	25.0	18	97	92	96	95	69	18	7.2	7.2	6.9	7.1	3	1	1	5	105	14 28	17	16	—	—	1	3	16
Aug.	11.6	15.8	11.7	12.7	5.2	9	21.4	20	97	93	97	96	70	16	5.5	6.8	4.7	5.7	—	—	—	—	164	31 25	14	14	—	—	—	5	10
Sept.	8.9	12.8	9.1	10.0	2.0	14	19.1	3	97	95	97	96	80	22	5.7	6.3	4.7	5.6	2	—	—	2	97	22 14	11	10	1	—	—	2	11
Okt.	3.6	8.1	4.2	5.0	-4.2	29	13.3	11.15	95	92	96	94	53	27	5.4	5.2	4.2	4.9	4	—	1	5	51	19 6	10	9	—	—	—	8	7
Nov.	0.1	3.9	0.9	1.5	-9.4	26	15.5	7	87	76	86	83	26	26	5.9	5.8	5.3	5.7	2	1	1	4	39	16 24	8	7	3	—	—	4	9
Dez.	1.1	3.1	1.4	1.7	-4.2	30.31	9.1	3	86	78	81	82	11	6.9	6.8	7.5	7.5	7.3	3	4	2	9	204	26 17	22	22	12	—	—	4	15
Jahr	4.4	8.2	4.6	5.5	-11.7	III	25.0	VII	90	82	89	87	11	XII	6.4	6.7	5.8	6.3	32	16	13	61	1416	63 I	168	159	50	—	2	54	145

Allerheiligenberg

$\lambda = 7° 49', \beta = 47° 21', H_b = ca\ 890^m, h_r = 1.5^m$ — Beobachter: **Sanatorium**

Jan.	-0.7	1.2	0.2	0.2	-7.2	2	9.0	16	86	82	83	84	45	26	8.0	7.6	7.5	7.7	10	10	7	27	135	26 11	13	12	5	—	—	3	21
Febr	-1.1	0.8	-0.9	-0.5	-8.0	15	8.5	1	85	80	86	84	53	1	9.5	8.3	7.4	8.4	6	8	5	19	100	26 8	17	16	14	—	—	—	16
März	-1.1	3.1	0.9	0.9	-7.4	3	16.4	25	83	70	78	77	48	24	6.2	5.7	5.0	5.6	2	1	1	4	50	17 28	11	11	6	—	—	3	7
Apr.	5.2	10.3	7.2	7.5	-1.6	1	20.6	29	73	59	64	65	40	21.24	4.5	5.0	4.4	4.6	—	—	—	—	29	7 11	9	7	2	—	—	9	4
Mai	9.4	13.1	9.8	10.5	3.0	19.22	21.0	6	73	61	66	67	30	9	5.4	6.3	4.7	5.5	—	—	1	1	120	36 17	13	13	1	—	—	4	6
Juni	14.1	17.3	13.5	14.6	6.1	12	23.0	25	78	68	76	74	44	8	5.6	6.2	6.3	6.0	2	1	—	3	146	29 7	15	13	—	—	3	3	7
Juli	15.7	18.4	15.7	16.4	10.2	7	26.0	18	86	75	82	81	53	19	8.0	7.4	7.8	7.7	3	1	—	4	156	31 13	17	17	--	—	2	1	20
Aug.	13.8	17.9	14.7	15.3	9.4	8	24.6	23	87	72	83	81	55	5.24	5.2	5.5	5.3	5.3	4	1	—	5	104	23 1	13	10	—	—	4	6	8
Sept.	11.0	14.4	11.9	12.3	4.2	15	20.4	3	92	77	86	85	59	3	7.1	6.9	5.2	6.4	3	1	—	4	86	14 10	12	12	—	—	—	2	11
Okt.	6.1	8.8	6.8	7.1	-0.2	29	13.5	3.15	87	77	84	83	57	31	6.2	5.9	5.3	5.8	2	1	2	5	33	16 6	6	5	—	—	—	6	10
Nov.	1.7	3.9	2.8	2.8	-8.0	26	14.0	7.8	85	77	81	81	50	30	6.6	7.0	5.5	6.4	4	3	3	10	26	— —	6	5	2	—	—	4	11
Dez.	3.0	4.7	3.4	3.6	-2.0	31	9.2	7	85	83	86	85	35	7	8.5	7.6	7.5	7.9	5	5	3	13	151	21 27	21	19	4	—	—	3	20
Jahr	6.4	9.5	7.2	7.6	-8.0	II XI	26.0	VII	83	73	80	79	30	V	6.6	6.6	6.0	6.4	41	32	22	95	1136	36 V	153	140	34	—	9	44	141

Olten I

$\lambda = 7° 54', \beta = 47° 21', H = ca\ 400^m, h_r = 1.5^m$ — Beobachter: **Geschwister Naef**

Jan.	-0.5	1.4	0.5	0.5	-11.4	19	9.4	12	90	82	90	87	57	3	9.5	9.2	9.2	9.3	9	6	7	22	170	34 11	15	12	7	—	—	—	26
Febr	-0.1	3.4	0.6	1.1	-6.4	15	11.0	8	91	73	88	84	47	13	9.0	8.4	8.5	8.6	4	2	6	12	118	31 8	20	16	10	—	—	—	19
März	-0.1	6.4	2.1	2.6	-6.8	4	19.0	24.25	87	57	81	75	40	15	7.4	6.2	5.9	6.5	4	—	—	4	46	13 26	11	10	6	—	-	2	8
Apr.	5.2	13.9	8.3	8.9	-2.6	1	21.4	30	85	47	72	68	31	20	4.4	5.2	4.1	4.6	—	—	—	—	28	8 11	9	6	2	—	—	11	5
Mai	10.7	17.1	10.9	12.4	5.2	16	26.0	6	86	52	78	70	33	31	6.0	6.6	5.6	6.1	1	—	—	1	96	32 17	14	12	—	—	—	4	10
Juni	14.2	21.0	15.3	16.4	8.0	12	26.2	24	86	55	84	75	30	8	6.7	6.8	6.2	6.6	4	—	—	4	129	25 7	16	15	—	—	2	1	9
Juli	16.3	22.0	17.4	18.3	11.4	7. 8	30.2	18	90	62	84	79	40	19	9.0	7.8	7.1	8.0	8	—	—	8	120	27 29	18	16	—	—	1	—	16
Aug.	14.3	21.5	15.8	16.9	7.2	10	27.0	23	89	59	87	78	40	5	7.6	6.6	5.3	6.5	11	—	—	11	88	26 27	13	13	—	2	3	2	12
Sept.	11.7	17.8	12.8	13.8	5.6	30	24.0	3. 4	92	65	91	83	51	3.19	9.4	6.3	5.1	6.9	15	—	—	15	87	22 10	13	10	—	1	1	1	12
Okt.	6.1	11.0	7.2	7.9	-4.4	3	16.0	15	93	67	89	83	41	31	8.7	6.0	5.4	6.7	12	—	—	12	31	11 6	9	6	—	—	—	2	11
Nov.	2.1	4.8	3.0	3.2	-8.4	27	12.0	5	88	76	86	83	47	16	8.9	8.5	8.1	8.5	12	8	9	29	24	11 24	10	4	1	—	—	1	23
Dez.	3.2	5.3	3.6	3.9	-1.8	2	10.8	29	93	83	92	89	53	30	9.8	8.2	9.0	9.0	13	7	8	28	143	19 27	21	19	2	—	—	—	22
Jahr	6.9	12.1	8.1	8.8	-11.4	I	30.2	VII	89	65	85	80	30	VI	8.0	7.2	6.6	7.3	93	23	30	146	1080	34 I	169	139	28	3	7	24	173

Rheinfelden

$\lambda = 7° 48', \beta = 47° 33', H_b = 287^m, h_r = 1.5^m$ — Beobachter: **Frl. M. Waidele**

Jan.	-0.5	2.3	0.7	0.8	-9.8	19	12.5	12	83	75	81	80	55	3	7.1	7.6	7.6	7.4	4	3	2	9	122	27 11	14	12	6	—	—	5	20
Febr	0.3	3.9	0.9	1.5	-7.8	15	12.0	8	83	72	83	79	50	18	9.0	8.5	8.1	8.5	6	2	—	8	99	20 21	17	13	6	—	—	1	20
März	-0.2	7.0	2.9	3.1	-6.5	7	21.0	25	84	76	81	80	42	3. 4	6.2	5.9	4.5	5.5	3	—	—	3	46	10 26	9	9	2	—	—	5	9
Apr.	4.6	14.6	8.0	8.8	-3.8	1	28.0	29	*81	*56	*78	*72	—	—	4.7	4.9	3.5	4.4	1	—	—	1	30	13 10	10	6	—	—	—	11	7
Mai	9.7	17.4	9.7	11.6	4.0	23	28.0	6	81	60	85	75	25	31	6.3	6.4	4.8	5.8	—	—	—	—	103	37 17	15	14	—	—	2	4	7
Juni	14.5	21.4	14.8	16.4	7.5	11	29.0	24	81	54	87	74	24	1	6.4	7.0	6.2	6.5	3	-	—	3	117	32 7	17	15	—	—	4	2	11
Juli	16.6	22.9	17.2	18.5	11.5	7	32.0	18	84	55	89	76	32	1	8.1	7.0	7.1	7.4	8	-	—	8	99	20 3	17	14	—	—	--	1	16
Aug.	14.0	22.4	15.6	16.9	8.5	10	28.0	22	89	51	91	77	30	17	8.1	5.7	5.8	6.5	17	—	—	17	117	45 26	12	11	—	—	3	2	11
Sept.	11.8	19.1	12.5	13.9	5.0	30	25.5	3	92	55	93	80	42	2. 3 18	8.8	6.7	4.9	6.8	15	—	—	15	52	12 14	11	10	—	—	—	2	13
Okt.	5.3	12.8	6.7	7.9	-4.8	30	17.5	3	93	56	90	80	32	30	8.4	5.3	4.9	6.2	14	—	—	14	27	9 6	10	6	—	—	—	4	14
Nov.	1.3	6.8	2.7	3.4	-8.5	26. 27	19.0	7	91	64	88	81	41	15	8.0	6.1	6.0	6.7	14	2	—	16	22	7 5	6	4	—	—	—	3	13
Dez.	2.9	6.3	3.6	4.1	-5.0	7.	11.0	28 29	87	71	87	82	40	30	8.5	7.9	8.4	8.3	7	2	2	11	125	17 27	21	19	—	—	—	2	22
Jahr	6.7	13.1	7.9	8.9	-9.8	I	32.0	VII	86	62	86	78	24	VI	7.5	6.6	6.0	6.7	92	9	4	105	959	45 VIII	159	133	14	—	9	42	160

$\lambda = 8° 39'$, $\beta = 47° 42'$, $H_b = 451^m$, $h_r = 1.5^m$

Schaffhausen

Beobachter: Th. Bächtold

1955	Luft-Temperatur								Relative Feuchtigkeit						Bewölkung				Nebel Zahl der Termine				Niederschlag			Zahl der Tage						
	7.30	13.30	21.30	Mittel	Minimum	Tag	Maximum	Tag	7.30	13.30	21.30	Mittel	Minimum	Tag	7.30	13.30	21.30	Mittel	7.30	13.30	21.30	Total	Summe	Maximum	Tag	● *	●* ≥1.0	*	▲	☈	helle	trübe
Jan.	-1.5	0.7	-0.1	-0.3	-12.4	20	10.0	12	91	83	89	88	62	3	9.0	8.5	8.8	8.8	5	4	3	12	141	35	12	11	10	4	—	—	1	23
Feb.	-0.5	2.2	0.2	0.5	-6.0	28	10.4	8	91	78	90	86	54	13.28	8.6	7.4	8.0	8.0	2	—	—	2	135	26	21	16	15	8	—	—	—	14
März	-0.7	5.4	2.2	2.3	-7.0	4	19.0	24	86	65	77	76	44	15	6.0	5.5	4.3	5.3	1	—	—	1	35	10	28	9	8	4	—	—	6	5
Apr.	5.5	13.4	8.3	8.9	-1.4	1	24.6	30	81	52	69	67	34	20	4.2	4.8	3.5	4.2	—	—	—	—	17	8	8	6	5	2	—	—	9	5
Mai	9.7	15.9	10.8	11.8	5.2	22	24.8	6	83	54	76	71	34	16	5.1	5.8	4.5	5.1	—	—	—	—	91	34	17	13	11	—	—	2	6	6
Juni	14.0	20.2	14.9	16.0	7.4	12	26.8	25	87	60	85	77	33	1	6.2	5.2	5.7	5.7	—	—	—	—	107	32	7	18	14	—	—	7	2	6
Juli	16.2	21.1	17.3	18.0	11.2	7	29.0	18	90	68	88	82	43	5	7.5	6.4	6.6	6.8	2	—	—	2	115	20	3	18	16	—	—	6	1	12
Aug.	14.2	20.6	16.3	16.9	8.4	10	26.1	24	93	66	87	82	42	24	6.1	5.6	4.5	5.4	1	—	—	1	69	25	1	10	8	—	—	4	4	4
Sept.	11.5	17.4	13.1	13.8	5.8	30	24.0	4	96	70	91	85	56	13	8.0	4.4	4.4	5.6	7	—	—	7	51	11	10	13	11	—	—	3	3	6
Okt.	6.2	11.1	7.3	8.0	-4.0	30	16.2	15	96	73	91	87	47	31	7.8	4.9	4.2	5.6	5	—	—	5	31	9	6	11	5	—	—	—	3	9
Nov.	1.3	4.9	2.6	2.9	-7.8	27	14.0	5	92	79	88	86	44	16	7.8	6.6	6.4	6.9	10	3	4	17	11	3	24	6	4	1	—	—	2	12
Dez.	2.5	5.0	3.4	3.6	-3.8	2	10.0	29	92	81	91	88	46	30	8.5	7.5	7.8	7.9	3	2	2	7	102	16	15	21	14	—	—	1	—	18
Jahr	6.5	11.5	8.0	8.5	-12.4	I	29.0	VII	90	69	85	81	33	VI	7.1	6.1	5.7	6.3	36	9	9	54	905	35	I	152	121	19	—	23	37	120

Oberes Aare- und Saanegebiet

$\lambda = 7° 37'$, $\beta = 46° 46'$, $H = 560^m$, $h_r = 1.5^m$

Thun

Beobachter: Eidg. Munitionsfabrik: H. Stucki u. H. Rothen

1955	Luft-Temperatur								Relative Feuchtigkeit						Bewölkung				Nebel Zahl der Termine				Niederschlag			Zahl der Tage						
	7.30	13.30	21.30	Mittel	Minimum	Tag	Maximum	Tag	7.30	13.30	21.30	Mittel	Minimum	Tag	7.30	13.30	21.30	Mittel	7.30	13.30	21.30	Total	Summe	Maximum	Tag	● *	●* ≥1.0	*	▲	☈	helle	trübe
Jan.	-0.8	1.8	0.5	0.5	-14.1	19	12.3	12	93	84	89	88	54	1	9.6	8.2	8.8	8.9	7	2	3	12	78	27	17	12	12	5	—	1	—	24
Feb.	-0.2	2.8	0.9	1.1	-13.1	19	10.9	8	86	73	83	81	46	4	8.1	7.1	7.9	7.7	—	—	—	—	97	33	17	11	10	7	—	—	1	14
März	0.2	5.9	2.3	2.7	-7.1	7	18.5	24	82	60	77	73	42	19	5.8	6.1	6.1	6.0	—	—	—	—	29	13	27	7	6	1	—	—	5	10
Apr.	5.5	13.0	8.7	9.0	-0.1	2	22.6	29	83	51	70	68	31	24	4.2	3.9	3.9	4.0	—	—	—	—	27	9	8	5	4	1	—	—	11	3
Mai	10.3	15.7	11.2	12.1	4.1	23	23.5	6	79	56	77	71	39	21	5.3	5.7	5.6	5.5	—	—	—	—	105	21	6	16	15	—	—	2	4	8
Juni	13.9	19.9	15.5	16.2	8.1	12	25.9	25	88	60	85	78	33	13	5.4	6.2	6.4	6.0	—	—	—	—	147	32	7	17	17	—	—	6	3	9
Juli	15.9	20.5	17.1	17.7	10.7	8	29.1	18	88	67	86	80	35	19	6.0	7.0	6.3	6.4	—	—	—	—	172	28	28	21	20	—	—	5	3	11
Aug.	13.9	20.3	15.9	16.5	8.7	10	25.9	20	91	63	89	81	45	6.18.28	3.9	5.4	5.4	4.9	—	—	—	—	200	34	27	17	16	—	—	8	8	9
Sept.	11.0	17.3	12.8	13.5	3.9	30	22.9	4	95	65	91	84	48	16	5.8	5.1	5.2	5.4	1	—	—	1	98	20	10	13	12	—	—	—	7	10
Okt.	5.6	11.4	6.9	7.7	-2.1	30	15.4	3	93	67	92	84	53	27	6.0	5.1	4.9	5.3	—	—	—	—	30	10	4	8	7	—	—	—	7	11
Nov.	0.9	5.1	2.3	2.6	-7.9	27	12.9	5. 6	88	73	87	83	58	20	6.7	5.7	6.8	6.4	8	—	4	12	16	6	24	4	4	1	—	—	3	10
Dez.	2.2	5.5	2.9	3.4	-3.7	2	11.9	29	91	78	90	86	42	30	7.6	6.2	8.3	7.4	4	1	5	10	84	13	30	17	14	3	—	—	2	17
Jahr	6.5	11.6	8.1	8.6	-14.1	I	29.1	VII	88	66	85	80	31	IV	6.2	6.0	6.3	6.2	20	3	12	35	1083	34	VIII	148	137	18	—	22	54	136

$\lambda = 7° 42'$, $\beta = 46° 45'$, $H_b = 1126^m$, $h_r = 1.5^m$

Heiligenschwendi

Beobachter: Sanatorium

1955	Luft-Temperatur								Relative Feuchtigkeit						Bewölkung				Nebel Zahl der Termine				Niederschlag			Zahl der Tage						
	7.30	13.30	21.30	Mittel	Minimum	Tag	Maximum	Tag	7.30	13.30	21.30	Mittel	Minimum	Tag	7.30	13.30	21.30	Mittel	7.30	13.30	21.30	Total	Summe	Maximum	Tag	● *	●* ≥1.0	*	▲	☈	helle	trübe
Jan.	0.5	3.6	1.7	1.8	-10.2	19	8.7	19	84	74	79	79	46	10	7.0	7.2	7.3	7.2	2	2	2	6	76	14	17	15	12	7	—	1	4	19
Feb.	-2.0	1.0	-1.4	-1.0	-10.2	14	9.2	1	85	75	85	82	55	15	8.2	8.1	7.4	7.9	1	1	1	3	107	28	8	14	13	13	—	—	—	14
März	-1.2	4.0	0.2	0.8	-9.8	7	18.0	25	82	65	81	76	43	25	5.4	6.1	5.1	5.5	3	—	2	5	45	14	28	10	8	6	—	—	5	9
Apr.	4.2	10.1	6.4	6.6	-1.8	16	20.2	30	81	60	72	71	39	24	4.5	5.1	4.3	4.6	—	—	—	—	55	22	7	8	6	1	—	—	10	6
Mai	7.9	12.5	8.4	9.2	1.3	19	21.0	6	79	64	79	74	45	20	5.8	6.7	5.8	6.1	—	—	—	—	139	24	11	14	14	4	—	—	4	10
Juni	11.9	15.9	12.2	12.8	4.2	11	21.6	24	86	73	87	82	48	2	5.2	7.3	6.6	6.4	—	—	—	—	178	38	7	21	19	—	—	8	2	9
Juli	13.4	16.9	14.0	14.3	7.8	7	25.6	18	91	76	89	85	51	18	5.8	7.4	7.2	6.8	—	—	—	—	188	27	29	23	21	—	1	7	3	13
Aug.	12.2	16.5	13.3	13.6	7.0	9.10	21.3	22	88	71	87	82	51	18	4.6	6.4	5.6	5.5	1	1	—	2	200	38	30	17	17	—	1	7	4	7
Sept.	9.7	13.6	10.4	10.9	2.4	29	18.8	3	91	77	90	86	58	17	5.8	6.9	5.4	6.0	2	1	—	3	112	22	10	13	13	1	—	1	4	10
Okt.	4.9	9.0	5.6	6.3	-0.8	29	15.0	15	87	77	88	84	55	30	6.2	6.4	4.9	5.8	4	1	1	6	37	10	4	9	8	2	—	—	7	12
Nov.	0.8	4.6	1.8	2.2	-10.0	26	15.4	7	82	73	83	79	51	7	5.1	6.1	5.2	5.5	3	3	2	8	18	14	24	4	3	2	—	—	5	7
Dez.	2.5	5.5	2.8	3.5	-4.6	31	11.2	7	80	74	81	78	41	7	7.2	7.2	7.1	7.2	1	1	—	2	93	13	30	14	13	3	—	—	3	14
Jahr	5.4	9.4	6.3	6.7	-10.2	I II	25.6	VII	85	72	83	80	39	IV	5.9	6.7	6.0	6.2	17	10	8	35	1248	38	VI	162	147	39	2	24	51	130

Die Abendbeobachtung erfolgt um 20.30

$\lambda = 8° 03'$, $\beta = 46° 38'$, $H =$ ca 1040^m, $h_r = 1.5^m$

Grindelwald

Beobachter: G. Bohren

1955	Luft-Temperatur								Relative Feuchtigkeit						Bewölkung				Nebel Zahl der Termine				Niederschlag			Zahl der Tage						
	7.30	13.30	21.30	Mittel	Minimum	Tag	Maximum	Tag	7.30	13.30	21.30	Mittel	Minimum	Tag	7.30	13.30	21.30	Mittel	7.30	13.30	21.30	Total	Summe	Maximum	Tag	● *	●* ≥1.0	*	▲	☈	helle	trübe
Jan.	-1.3	1.7	-0.5	-0.2	-12.1	19	9.6	31	82	71	81	78	38	31	6.7	5.7	5.9	6.1	2	—	—	2	121	21	12	11	11	3	—	—	7	14
Feb.	-3.1	0.8	-2.9	-2.0	-11.6	14	11.0	1	84	68	86	79	35	1	7.2	7.2	6.7	7.0	—	—	3	3	117	47	8	12	10	12	—	—	1	12
März	-2.4	4.9	-0.9	0.2	-11.9	7	16.8	24	81	56	82	73	38	13	5.5	4.6	4.7	4.9	3	1	3	7	25	6	29	8	7	4	—	—	7	9
Apr.	2.9	11.5	5.0	6.1	-3.2	2	21.7	29	85	48	77	70	31	6	4.7	4.3	4.9	4.6	—	—	—	—	61	22	11	7	7	1	—	—	9	8
Mai	7.3	14.5	7.6	9.3	1.0	23	22.8	6	82	52	85	73	32	6	5.9	5.7	5.1	5.6	—	—	1	1	120	20	11	15	14	2	—	—	5	7
Juni	11.0	17.4	11.4	12.8	4.8	11	24.3	24	87	60	91	79	38	9	4.9	6.6	6.8	6.1	—	—	—	—	203	50	7	22	18	—	1	1	4	10
Juli	12.5	18.9	13.3	14.5	7.2	8	27.5	18	90	63	92	82	30	18	4.3	6.3	7.3	6.0	—	—	—	—	181	18	26	22	20	—	—	3	4	8
Aug.	10.9	18.2	12.4	13.5	5.2	10	24.8	23	91	62	90	81	42	18	4.4	5.9	5.2	5.2	—	—	—	—	164	54	30	16	15	—	—	2	7	9
Sept.	8.2	15.3	9.6	10.7	1.0	30	20.6	3	93	63	93	83	44	22	4.3	4.9	5.2	4.8	—	—	—	—	78	14	10	14	13	1	—	—	7	6
Okt.	3.3	9.9	4.8	5.7	-2.5	29	16.4	20	89	63	89	80	33	21	4.6	4.4	4.6	4.5	2	—	2	4	65	38	21	9	7	3	—	—	10	7
Nov.	-1.0	2.5	0.0	0.4	-12.1	26	14.4	7	82	71	81	78	40	7	4.3	3.5	3.8	3.9	1	2	1	4	19	17	24	3	2	2	—	—	11	3
Dez.	0.4	2.4	0.6	1.0	-4.0	20	6.1	30	82	76	81	80	34	30	6.0	5.5	5.2	5.6	1	—	1	2	98	15	27	15	13	7	—	—	6	10
Jahr	4.1	9.8	5.0	6.0	-12.1	I XI	27.5	VII	86	63	86	78	30	VII	5.2	5.4	5.5	5.4	9	3	11	23	1252	54	VIII	154	137	35	1	6	78	103

Adelboden

$\lambda = 7°\ 34'$, $\beta = 46°\ 30'$, $H =$ ca 1340^m, $h_r = 1.5^m$ — Beobachter: G. Gyger-Spori

1955	Luft-Temperatur								Relative Feuchtigkeit						Bewölkung				Nebel Zahl der Termine				Niederschlag		Zahl der Tage						
	7^{30}	13^{30}	21^{30}	Mittel	Minimum	Tag	Maximum	Tag	7^{30}	13^{30}	21^{30}	Mittel	Minimum	Tag	7^{30}	13^{30}	21^{30}	Mittel	7^{30}	13^{30}	21^{30}	Total	Summe	Maximum Tag	●	●≥1.0	✳	▲	K	heiter	trüb
Jan.	-1.3	3.8	-0.4	0.4	-14.0	10	12.0	27	82	63	79	75	27	10	6.1	6.1	5.8	6.0	1	—	1	2	210	45 11	13	13	7	—	—	5	11
Febr	-4.4	0.5	-4.1	-3.0	-13.0	11.14	7.0	1	85	72	87	81	43	1	7.4	7.0	6.8	7.1	1	1	2	4	169	54 8	16	13	15	—	—	1	11
März	-3.6	3.6	-2.0	-1.0	-13.0	7	18.9	25	82	63	84	76	34	23	4.8	5.6	5.2	5.2	5	4	5	14	35	8 26	9	7	6	—	—	8	8
Apr.	2.7	9.4	3.4	4.7	-4.8	2	20.1	30	78	60	80	73	30	26	5.0	5.0	4.4	4.8	2	1	1	4	37	12 11	7	5	2	—	—	7	7
Mai	7.1	12.5	6.5	8.2	1.0	23	21.0	6	74	60	81	72	30	9	5.7	6.5	6.4	6.2	1	—	1	2	119	21 11	16	16	6	—	—	4	11
Juni	11.4	16.7	10.3	12.2	0.8	11	22.3	26	77	66	85	76	34	2	5.7	7.4	7.8	7.0	2	1	3	6	174	27 7	19	17	2	—	2	—	11
Juli	12.6	17.3	11.9	13.4	6.1	7	26.2	18	82	71	92	82	36	18	6.0	7.1	8.1	7.1	4	3	3	10	200	31 20	22	20	—	—	3	2	13
Aug.	10.6	16.4	10.9	12.2	5.0	8. 9	21.0	24	89	70	93	84	52	18	4.7	7.0	6.8	6.2	2	1	2	5	177	54 30	18	17	—	—	6	3	9
Sept.	7.5	13.2	8.2	9.3	0.2	30	19.9	3	92	74	94	87	45	22	5.5	6.0	6.2	5.9	6	5	6	17	91	17 14	15	14	2	—	2	6	9
Okt.	2.5	8.5	3.5	4.5	-4.0	29	13.2	15	84	69	89	81	40	20	4.8	4.9	4.6	4.8	5	4	8	17	44	16 6	8	7	5	—	—	11	8
Nov.	-1.3	3.8	-0.9	0.2	-13.0	25	12.0	4. 5. 7	83	71	82	79	45	3	4.7	4.6	4.0	4.4	4	3	2	9	25	18 24	4	4	2	—	—	10	6
Dez.	0.3	4.6	0.3	1.4	-8.0	31	9.2	10	80	59	77	72	33	7.10	5.7	6.1	4.7	5.5	3	1	—	4	121	15 15	18	17	10	—	—	4	6
Jahr	3.8	9.2	4.0	5.2	-14.0	I	26.2	VII	82	67	85	78	27	I	5.5	6.1	5.9	5.8	36	24	34	94	1402	54 II	165	150	57	—	13	61	110

Saanen

$\lambda = 7°\ 16'$, $\beta = 46°\ 30'$, $H =$ ca 1155^m, $h_r = 1.5^m$ — Beobachter: Kindersanatorium Solsana

Jan.	-0.5	2.5	0.7	0.8	-10.2	19	10.0	31	82	71	78	77	35	31	7.2	7.5	7.0	7.2	—	—	1	1	208	53 12	14	13	6	—	1	3	17
Febr	-3.1	0.0	-1.8	-1.8	-11.0	15	9.6	1	83	72	84	80	35	1	7.8	7.7	7.6	7.7	—	—	—	—	210	44 8	20	18	20	—	—	3	15
März	-2.8	3.7	0.1	0.1	-11.2	7	15.6	26	76	55	73	68	36	24	5.3	5.5	4.8	5.2	—	—	—	—	25	? —	6	6	1	--	—	8	10
Apr.	3.0	10.6	6.5	6.4	-2.4	2	19.2	29	75	45	62	61	28	3	4.1	4.1	4.0	4.1	2	—	—	2	24	? —	6	4	—	—	—	11	6
Mai	6.6	12.6	8.6	8.9	0.4	19	20.2	6	87	55	71	71	26	9	6.3	6.8	6.0	6.4	—	—	—	—	173	29 6	18	14	5	—	—	3	10
Juni	10.2	16.8	12.2	12.6	3.7	11	22.6	24	95	59	81	78	33	2	6.0	7.5	7.8	7.1	—	—	—	—	146	28 7	22	18	—	—	5	—	12
Juli	11.9	18.1	14.0	14.2	7.4	7. 8	24.4	17	97	63	82	81	32	18	5.5	7.2	7.0	6.6	1	—	—	1	124	32 18	22	18	--	1	3	1	9
Aug.	10.6	17.2	13.3	13.3	6.5	10	22.2	23	96	64	80	80	41	9.16	4.6	6.9	6.3	5.9	—	—	—	—	187	60 30	15	12	—	—	5	2	10
Sept.	8.3	13.8	10.1	10.5	1.2	15	19.2	4	97	69	85	84	40	17	5.7	5.2	5.3	5.4	2	1	—	3	95	16 14	17	14	2	1	1	7	9
Okt.	3.3	9.6	5.4	5.9	-1.8	29	13.8	20	94	62	80	79	38	20	4.8	5.1	4.2	4.7	—	—	—	—	33	15 6	6	5	2	—	—	10	8
Nov.	-0.9	4.5	1.2	1.5	-11.6	26	14.2	7	88	64	77	76	43	13	4.2	4.6	4.0	4.3	3	—	—	3	23	13 24	5	5	1	—	—	9	6
Dez.	0.6	3.8	1.5	1.9	-5.0	31	8.2	10	91	72	81	81	29	10	6.5	6.7	5.9	6.4	—	—	—	—	165	22 15	18	17	9	—	—	3	11
Jahr	3.9	9.4	6.0	6.2	-11.6	XI	24.4	VII	88	62	78	76	26	V	5.7	6.2	5.8	5.9	8	1	1	10	1413	60 VIII	169	144	46	2	15	60	123

Die Abendbeobachtung erfolgt um 20.30

Rougemont

$\lambda = 7°\ 13'$, $\beta = 46°\ 29'$, $H = 1003^m$, $h_r = 1.5^m$ — Beobachter: V. Saugy

Jan.	-2.2	2.2	-0.7	-0.4	-14.5	19	7.9	12	91	73	86	83	33	28	7.2	7.0	6.8	7.0	—	—	3	3	225	48 12	14	12	6	—	—	4	17
Febr	-4.2	0.9	-2.6	-2.1	-14.4	15	8.7	1	87	71	88	82	45	5	7.8	7.6	7.2	7.5	—	—	—	—	212	44 8	20	18	19	—	—	2	15
März	-4.4	5.2	-0.8	-0.2	-15.4	7	19.0	26	87	53	80	73	34	24	5.3	5.1	6.0	5.5	1	—	—	1	28	7 26	8	6	2	—	—	6	10
Apr.	2.4	12.8	6.0	6.8	-2.2	17	21.6	29	85	44	70	66	29	6.24	3.8	4.1	4.4	4.1	—	—	—	—	20	8 11	5	4	—	—	—	11	4
Mai	7.3	14.4	8.8	9.8	1.4	19	21.9	6	81	52	78	70	27	9	6.0	7.0	5.1	6.0	—	—	—	—	203	36 6	17	15	4	—	1	4	10
Juni	11.1	18.6	12.3	13.6	5.0	11	25.2	24	86	57	86	76	32	2	5.6	7.9	7.5	7.0	—	—	—	—	145	30 7	19	16	—	—	3	4	12
Juli	12.7	19.7	14.1	15.1	8.1	7	28.2	18	87	60	85	78	35	18	5.0	7.2	5.6	5.9	—	—	—	—	105	16 4	19	17	—	—	3	6	7
Aug.	10.7	19.0	13.1	14.0	6.1	10	25.0	23	93	60	86	80	42	18	4.3	7.1	4.5	5.3	—	—	—	—	197	66 30	14	12	—	1	6	4	9
Sept.	7.9	15.5	10.1	10.9	0.2	30	21.5	4	95	63	90	83	40	17	5.7	5.4	4.8	5.3	—	—	—	—	99	29 14	13	13	2	—	2	5	9
Okt.	2.1	10.6	4.4	5.4	-3.8	30	16.2	15	93	62	91	82	47	27.29 30	5.1	4.8	4.9	4.9	—	—	—	—	35	15 6	7	5	1	—	—	10	9
Nov.	-2.6	4.6	-0.3	0.3	-14.6	26	15.5	7	90	66	87	81	46	13	4.2	4.6	3.9	4.2	3	—	1	4	23	14 24	5	4	1	—	—	11	6
Dez.	-0.8	2.9	-0.2	0.4	-5.4	9	5.5	8	91	77	91	86	47	8	6.6	6.3	5.4	6.1	—	—	—	—	190	26 17	18	17	8	—	—	5	11
Jahr	3.3	10.5	5.3	6.1	-15.4	III	28.2	VII	89	62	85	78	27	V	5.5	6.2	5.5	5.7	4	—	4	8	1482	66 VIII	159	139	43	1	15	72	119

Château d'Oex

$\lambda = 7°\ 08'$, $\beta = 46°\ 29'$, $H_b = 993.5^m$, $h_r = 1.5^m$ — Beobachter: E. Jaccard

Jan.	-1.8	2.6	-0.4	0.0	-15.1	19	9.5	15	86	65	80	77	38	15	7.1	7.4	7.1	7.2	1	—	—	1	254	75 12	14	12	7	—	1	3	18
Febr	-4.0	1.3	-2.4	-1.9	-14.2	15	7.7	1	85	62	83	77	42	13	7.8	7.1	7.4	7.4	—	—	—	—	203	56 8	19	17	18	—	—	2	13
März	-4.2	5.3	-0.9	-0.2	-15.4	7	19.8	26	83	49	77	70	28	24	5.7	5.5	6.1	5.8	3	—	1	4	31	9 22	9	7	2	—	—	7	11
Apr.	2.3	12.3	5.1	6.2	-2.4	17	21.3	29	83	45	74	67	26	3	3.9	3.5	3.9	3.8	—	—	—	—	38	14 7	7	5	1	—	—	12	5
Mai	7.2	14.2	7.9	9.3	1.8	19	23.2	6	80	53	79	71	28	6	6.0	6.3	5.2	5.8	—	—	—	—	189	30 6	16	15	3	1	1	6	11
Juni	11.4	18.4	11.7	13.3	4.8	11	24.0	24	81	57	86	75	32	2	5.6	7.3	6.4	6.4	—	—	—	—	166	30 7	20	15	—	—	4	5	9
Juli	13.0	19.2	13.5	14.8	6.8	7	27.3	18	84	62	88	78	38	18.19	4.8	6.6	3.7	5.0	—	—	—	—	139	21 28	19	19	—	—	6	6	6
Aug.	11.0	18.6	12.4	13.8	5.6	10	23.7	23	89	63	88	80	44	24	4.1	6.7	3.8	4.9	—	—	—	—	203	63 30	15	14	—	1	8	8	4
Sept.	7.9	15.3	9.7	10.7	-0.4	30	20.4	3	92	66	89	82	50	17	5.6	5.0	5.0	5.2	1	—	—	1	119	28 14	12	11	2	—	—	7	7
Okt.	2.2	10.2	4.2	5.2	-3.5	30	15.2	3	90	64	91	82	50	27	5.2	4.6	4.4	4.7	1	—	—	1	41	19 6	7	5	—	—	—	10	8
Nov.	-2.7	4.3	-0.5	0.2	-14.7	26	14.8	7	90	66	86	81	50	13	5.0	5.0	3.7	4.6	4	—	1	5	26	15 24	6	5	1	—	—	10	7
Dez.	-0.3	4.0	0.2	1.0	-6.0	31	8.9	10	86	69	88	81	32	10	6.9	6.8	6.1	6.6	1	—	1	2	153	22 15	18	18	7	—	—	5	15
Jahr	3.5	10.5	5.0	6.0	-15.4	III	27.3	VII	86	60	84	77	26	IV	5.6	6.0	5.2	5.6	11	—	3	14	1562	75 I	162	143	41	2	20	81	114

Marsens

$\lambda = 7°04', \beta = 46°39', H = 721^m, h_r = 1.5^m$

Beobachter: E. Baeriswyl

1955	Luft-Temperatur								Relative Feuchtigkeit								Bewölkung				Nebel Zahl der Termine				Niederschlag			Zahl der Tage						
	7^{30}	13^{30}	21^{30}	Mittel	Minimum	Tag	Maximum	Tag	7^{30}	13^{30}	21^{30}	Mittel	Minimum	Tag	Maximum	Tag	7^{30}	13^{30}	21^{30}	Mittel	7^{30}	13^{30}	21^{30}	Total	Summe	Maximum	Tag	●	●* ≥1.0	*	▲	K	heiter	trüb
Jan.	-0.7	2.1	0.1	0.4	-9.2	19	9.8	15	92	81	91	88	56	28	8.7	7.7	7.5	8.0	10	6	7	23	186	30	12	14	13	6	—	1	1	22		
Feb.	-1.0	2.3	0.0	0.3	-12.4	19	8.6	8	87	76	84	82	54	11	8.6	7.4	6.8	7.6	1	—	1	2	138	31	8	20	16	15	—	—	1	15		
März	-0.9	4.8	1.2	1.6	-8.6	4	18.8	26	82	62	81	75	40	19	5.8	5.3	4.5	5.2	1	1	1	3	29	9	28	8	5	1	—	—	4	7		
Apr.	4.2	12.1	7.1	7.6	-2.0	2	20.8	29	85	51	72	69	36	21.23	4.1	3.3	3.2	3.5	—	—	—	—	32	12	8	4	3	—	—	—	13	3		
Mai	9.3	14.9	10.1	11.1	3.8	23	23.4	6	80	57	75	71	34	6	5.4	5.2	4.5	5.0	—	—	—	—	200	44	17	14	13	1	—	2	4	8		
Juni	13.4	19.2	14.0	15.1	7.2	11	24.8	25	85	61	84	77	38	15	5.3	6.2	6.0	5.8	2	—	—	2	155	45	7	19	15	—	—	3	5	11		
Juli	15.3	20.1	16.1	16.9	10.0	7	27.2	18	86	67	86	80	38	18	5.1	5.8	4.3	5.1	2	—	—	2	141	25	25	18	17	—	—	7	7	6		
Aug.	13.6	20.0	14.9	15.9	7.6	10	24.6	23	87	62	83	77	46	18	4.9	5.2	2.8	4.3	—	—	—	—	157	30	28	10	10	—	—	3	8	5		
Sept.	10.2	15.6	11.5	12.2	3.8	30	21.2	3	92	70	90	84	49	2	6.3	5.1	3.6	5.0	3	—	—	3	100	24	14	12	9	—	—	1	7	9		
Okt.	4.6	10.5	5.9	6.7	-2.6	29	14.6	3.15	91	71	89	84	56	29	7.1	5.2	4.5	5.6	7	—	1	8	34	12	4	9	6	—	—	—	6	10		
Nov.	-0.9	4.6	1.4	1.6	-13.0	27	14.6	6	89	74	89	84	56	4	6.5	5.5	5.1	5.7	7	3	4	14	16	5	9	5	5	1	—	—	6	10		
Dez.	1.9	5.9	2.6	3.3	-5.4	31	9.6	12.28	88	74	87	83	43	10	7.1	6.5	6.3	6.6	4	2	3	9	150	24	17	20	17	3	—	1	3	12		
Jahr	5.7	11.0	7.1	7.7	-13.0	XI	27.2	VII	87	67	84	79	34	V	6.2	5.7	4.9	5.6	37	12	17	66	1338	45	VI	153	129	27	—	18	65	118		

Romont

$\lambda = 6°55', \beta = 46°42', H_b = 764^m, h_r = 1.5^m$

Beobachter: Couvent des Capucins

Jan.	-0.9	1.1	0.4	0.1	-7.2	19	9.3	12	96	89	95	93	71	17.31	9.0	8.1	7.3	8.1	8	4	5	17	144	23	16	13	12	6	—	—	1	21		
Feb.	-1.7	1.3	-0.4	-0.5	-9.2	19	7.4	8	93	81	91	88	48	15	8.2	7.7	7.0	7.6	1	1	2	4	111	24	17	15	11	9	—	—	1	16		
März	-1.0	3.7	1.0	1.0	-9.0	7	17.1	25	89	71	83	81	55	16.19	6.8	6.7	5.5	6.3	3	2	1	6	29	11	28	5	5	—	—	—	3	10		
Apr.	3.9	11.4	7.6	7.4	-1.4	1	20.0	30	89	59	74	74	30	21	3.9	3.5	2.7	3.4	—	—	—	—	23	15	8	4	4	1	—	—	12	4		
Mai	8.6	14.1	10.7	10.7	3.0	23	22.8	6	87	71	78	79	40	21	6.0	5.9	5.3	5.7	—	—	—	—	154	55	17	10	10	—	—	—	4	8		
Juni	12.7	18.2	14.7	14.7	7.0	12	24.8	24.25	93	70	83	82	41	2	5.9	6.2	6.1	6.1	1	—	—	1	117	38	7	17	16	—	—	2	5	11		
Juli	14.5	19.1	16.4	16.2	9.0	7	26.0	2	93	75	87	85	52	2	5.6	6.7	5.5	5.9	1	—	—	1	102	20	14	15	15	—	—	1	2	6		
Aug.	12.9	18.6	15.6	15.3	7.9	10	21.7	22	93	70	86	83	50	6.8	6.0	5.4	5.0	5.5	—	—	—	—	126	41	30	8	8	—	—	3	5	7		
Sept.	10.1	14.6	12.1	12.0	3.7	30	19.4	8	96	77	93	89	56	8	6.5	5.4	4.3	5.4	4	1	—	5	124	50	5	8	8	—	—	1	6	9		
Okt.	4.8	9.6	6.5	6.8	-2.1	30	14.2	15	96	77	92	88	58	18	7.3	6.0	4.5	5.9	7	1	—	8	38	12	4.6	7	7	—	—	—	4	9		
Nov.	0.1	3.8	1.9	1.7	-11.0	26	13.8	6	94	83	92	89	64	4	8.5	6.4	5.7	6.9	8	5	6	19	11	5	9	4	4	1	—	—	1	13		
Dez.	2.3	4.8	3.1	3.3	-3.0	6	9.0	3	91	83	91	88	56	7.8	8.2	7.0	6.9	7.4	3	—	2	5	108	15	23	14	14	1	—	—	2	13		
Jahr	5.5	10.0	7.5	7.4	-11.0	XI	26.0	VII	93	75	87	85	30	IV	6.8	6.3	5.5	6.2	36	14	16	66	1087	55	V	120	114	18	—	7	46	127		

Die Abendbeobachtung erfolgt um 20.30 h

Südwestschweiz

Rochers de Naye

$\lambda = 6°59', \beta = 46°26', H_b = 1981.6^m, h_r = 2.3^m$

Beobachter: Direction de l'Hôtel

Jan.	-3.1	-1.3	-2.4	-2.3	-13.0	2.19	5.0	27	76	73	76	75	25	26	6.6	6.7	7.3	6.9	—	—	—	—	228	35	16	16	16	?	?	?	4	16		
Feb.	-7.9	-5.5	-6.6	-6.6	-15.0	11	4.0	1	91	89	90	90	50	1	7.9	8.0	8.5	8.1	—	—	—	—	306	45	13	17	17	?	—	—	—	16		
März	-5.1	-1.3	-3.6	-3.4	-11.0	7.18	11.0	25	65	65	69	66	30	18	4.8	6.3	5.8	5.6	8	9	10	27	*50	?	—	*10	*10	?	—	—	6	10		
Apr.	-0.9	3.3	0.0	0.6	-9.0	16	16.0	28	67	65	68	67	18	13	4.1	4.4	4.0	4.2	—	—	—	—	32	8	9.16	5	5	?	—	—	9	5		
Mai	2.0	5.0	2.2	2.9	-6.0	19	14.0	6	75	75	77	76	18	23	5.0	6.6	7.3	6.3	7	12	10	29	371	79	17	14	14	?	?	?	4	13		
Juni	6.9	10.3	6.8	7.7	-1.0	11	21.0	6	74	76	81	77	30	15	5.5	6.6	7.5	6.5	7	12	8	27	321	74	7	20	20	?	?	?	3	10		
Juli	8.7	12.0	9.1	9.7	2.0	5	21.0	18	79	79	82	80	16	18	5.7	8.2	7.7	7.2	15	15	14	44	227	35	28	17	17	?	?	?	3	16		
Aug.	7.6	11.5	9.0	9.3	0.0	9	20.0	17.21	77	79	81	79	51	17	4.7	8.7	6.9	6.8	3	12	8	23	256	81	30	12	12	?	?	?	2	12		
Sept.	4.5	8.2	5.2	5.8	-4.0	15	17.0	2	77	75	81	78	30	17.18	5.5	6.8	7.1	6.5	11	14	14	39	192	40	14	13	13	?	—	—	7	14		
Okt.	1.2	3.5	1.4	1.9	-7.0	29	10.0	14.15	72	72	73	72	23	1	4.9	5.2	4.8	5.0	9	10	9	28	117	42	6	8	8	?	—	—	12	9		
Nov.	-1.5	1.3	-0.4	-0.2	-12.0	25	12.0	7	54	52	53	53	8	28	4.8	5.4	5.6	5.3	5	4	4	13	61	36	24	5	5	?	—	—	8	8		
Dez.	-1.5	0.0	-0.7	-0.7	-8.0	31	7.0	7	76	71	76	74	15	9	6.5	6.1	6.3	6.3	—	—	—	—	*200	?	—	16	16	?	—	—	6	13		
Jahr	0.9	3.9	1.7	2.1	-15.0	II	21.0	VI VII	74	72	76	74	8	XI	5.5	6.6	6.6	6.2	—	—	—	—	2361	81	VIII	153	153	?	?	?	64	142		

Leukerbad

$\lambda = 7°38', \beta = 46°23', H_b = 1391.4^m, h_r = 1.5^m$

Beobachter: Spitalbad: Schw. M. A. Humpert

Jan.	-1.5	3.1	-0.7	0.1	-13.0	19	8.2	28	73	54	69	65	30	25	6.4	6.7	5.7	6.3	1	1	2	4	304	53	13	13	12	9	—	—	7	13		
Feb.	-4.2	0.5	-4.2	-3.0	-12.5	14	7.2	1	72	57	74	68	31	12	7.6	8.5	6.6	7.6	1	1	3	5	245	53	8	16	15	16	—	—	1	15		
März	-3.3	4.0	-1.8	-0.7	-12.2	7	13.0	27	65	42	67	58	26	17	4.4	5.0	5.7	5.0	2	1	2	5	33	22	26	7	5	3	—	—	11	7		
Apr.	1.9	8.8	4.0	4.7	-4.8	17	17.2	28	59	37	53	50	23	22	3.8	4.9	3.4	4.0	—	1	1	2	17	8	11	6	4	1	—	—	12	5		
Mai	6.8	12.2	6.4	8.0	0.5	22	18.4	6	66	46	69	60	22	23	5.1	6.0	5.1	5.4	3	—	1	4	120	21	17	16	15	3	—	—	4	9		
Juni	11.6	16.1	10.6	12.2	5.4	11	21.3	24	73	55	77	68	30	2	5.5	7.1	4.8	5.8	—	—	—	—	100	24	7	14	11	—	—	3	4	5		
Juli	12.7	18.2	13.3	14.4	6.1	7	25.2	18	78	57	78	71	34	18	5.0	6.6	5.7	5.8	1	—	—	1	100	15	26	18	17	—	—	3	5	7		
Aug.	10.1	17.3	12.2	12.9	6.1	9	22.5	19	86	56	78	73	38	18	4.6	6.8	5.2	5.5	—	—	—	—	132	46	30	18	15	—	—	5	6	8		
Sept.	7.8	14.4	8.7	9.9	0.3	29	18.6	3.5	88	61	88	79	39	16	5.3	4.9	4.2	4.8	4	—	—	4	56	13	14	12	8	2	—	1	8	7		
Okt.	3.0	9.4	4.6	5.4	-2.5	30	16.2	15	82	59	78	73	35	27	4.1	4.5	4.7	4.4	4	1	2	7	26	11	6	6	5	2	—	—	13	10		
Nov.	-0.5	5.3	0.4	1.4	-11.8	26	15.2	6	72	52	74	66	34	4	4.0	3.6	4.1	3.9	1	1	3	5	13	9	24	2	2	1	—	—	13	5		
Dez.	-0.5	3.9	-0.1	0.8	-6.0	31	9.5	7	81	61	77	73	33	7	6.6	6.4	5.1	6.0	—	—	—	—	218	48	17	16	14	14	—	—	6	13		
Jahr	3.7	9.4	4.4	5.5	-13.0	I	25.2	VII	75	53	73	67	22	V	5.2	5.9	5.0	5.4	17	6	14	37	1364	53	II	144	123	51	—	12	90	104		

Grächen

$\lambda = 7°50'$, $\beta = 46°12'$, $H = 1617^m$, $h_r = 1.5^m$ — Beobachter: P. Heinzmann

1955	Luft-Temperatur							Relative Feuchtigkeit						Bewölkung				Nebel (Zahl der Termine)				Niederschlag		Zahl der Tage						
	7^{30}	13^{30}	21^{30}	Mittel	Minimum	Tag	Maximum	Tag	7^{30}	13^{30}	21^{30}	Mittel	Minimum	Tag	7^{30}	13^{30}	21^{30}	Mittel	7^{30}	13^{30}	21^{30}	Total	Summe	Maximum	Tag	● *	●* ≧1.0	*	▲	K_3	helle	trübe
Jan.	-2.6	1.5	-2.2	-1.2	-14.4	19	6.8	28	—	—	—	—	—	—	5.4	4.6	5.1	5.0	2	—	2	4	102	25	12	12	10	12	—	—	7	7
Feb.	-5.7	-1.8	-5.7	-4.6	-13.4	14	4.8	2	—	—	—	—	—	—	6.8	5.7	5.2	5.9	—	—	1	1	117	32	8	16	13	16	—	—	2	9
März	-4.2	2.6	-3.1	-1.8	-14.4	7	12.6	24.25	—	—	—	—	—	—	3.5	4.1	4.2	4.0	1	—	1	2	23	12	26	4	4	2	—	—	10	5
Apr.	1.6	8.1	2.9	3.9	-5.6	16	16.0	29.30	—	—	—	—	—	—	3.1	3.3	2.1	2.8	3	—	—	3	7	7	7	1	1	1	—	—	15	1
Mai	5.7	11.6	5.5	7.2	-0.8	16	17.8	9	—	—	—	—	—	—	5.0	5.0	4.4	4.8	—	—	—	—	27	7	17	12	7	2	—	—	7	7
Juni	9.9	15.3	9.6	11.1	2.0	12	21.6	24	—	—	—	—	—	—	5.7	5.7	5.2	5.5	2	—	1	3	61	23	7	16	9	—	-	1	3	5
Juli	12.0	17.6	11.9	13.3	4.6	7	25.2	18	—	—	—	—	—	—	4.7	5.9	5.6	5.4	—	—	—	—	54	14	31	11	11	—	—	3	3	4
Aug.	10.2	15.7	10.6	11.8	5.4	9	20.6	20.23	—	—	—	—	—	—	4.7	5.3	4.4	4.8	1	—	—	1	61	28	30	11	9	—	—	4	6	4
Sept.	7.1	13.5	7.7	9.1	-0.8	29	17.4	4.8	—	—	—	—	—	—	4.0	3.7	4.1	3.9	7	—	1	8	12	4	9	6	4	—	-	-	10	3
Okt.	1.3	8.1	2.9	3.9	-4.4	30	13.0	14.15	—	—	—	—	—	—	4.0	3.2	3.1	3.4	2	1	—	3	12	5	21	4	3	2	—	—	18	5
Nov.	-2.0	4.0	-1.2	0.1	-11.6	26	14.6	7	—	—	—	—	—	—	2.9	2.6	3.0	2.8	2	1	1	4	1	—	—	2	—	1	—	—	14	1
Dez.	-2.0	2.4	-1.7	-0.5	-9.2	31	8.4	7	—	—	—	—	—	—	4.6	4.2	4.2	4.3	—	—	1	1	55	13	29	9	9	8	—	—	9	7
Jahr	2.6	8.5	3.1	4.3	-14.4	I III	25.2	VII	—	—	—	—	—	—	4.5	4.4	4.2	4.4	20	2	8	30	532	32	II	104	80	44	—	8	104	58

Die Abendbeobachtung erfolgt um 20.30 h

Zermatt

$\lambda = 7°45'$, $\beta = 46°01'$, $H_b = 1610^m$, $h_r = 1.5^m$ — Beobachter: G. Brantschen

Jan.	-4.5	1.8	-3.8	-2.6	-18.0	19	5.9	29	82	59	80	74	38	19	6.2	5.9	4.7	5.6	1	—	—	1	70	19	11	12	9	12	—	—	7	11
Feb.	-7.5	-0.8	-6.9	-5.5	-16.2	12	4.8	1	81	59	79	73	36	12	6.9	6.6	5.0	6.2	1	—	1	2	162	71	8	14	12	14	—	-	3	11
März	-6.7	3.3	-3.7	-2.7	-18.3	7	11.6	26	77	49	74	67	34	23	3.0	3.9	3.3	3.4	—	—	1	1	16	5	26	6	4	4	—	-	12	1
Apr.	-0.9	9.5	2.3	3.3	-7.7	17	16.7	28	74	44	67	62	33	26	3.1	3.4	2.1	2.9	1	—	—	1	12	10	7	3	2	1	—	-	15	2
Mai	4.5	14.0	5.7	7.5	-1.8	8	18.8	31	77	44	70	64	30	3	4.5	4.2	4.4	4.4	4	—	—	4	31	5	11.25	12	8	2	—	—	9	6
Juni	9.3	16.5	9.1	11.0	2.0	12	23.0	16.24	79	50	81	70	29	2	4.7	6.0	6.1	5.6	1	—	1	2	77	29	7	15	11	—	—	-	3	5
Juli	10.6	18.7	10.8	12.7	5.0	8	27.0	18	84	50	83	72	30	2	3.9	6.1	5.9	5.3	2	—	—	2	56	14	26	20	15	—	—	6	4	6
Aug.	7.9	17.7	9.5	11.2	3.4	10	22.6	23	90	51	83	75	36	1	4.7	5.2	4.4	4.8	—	—	—	—	34	16	30	12	8	—	—	—	8	4
Sept.	5.1	15.4	7.3	8.8	-1.3	19	20.1	3	93	49	85	76	33	21	4.2	3.6	4.5	4.1	3	—	1	4	15	3	9	8	7	1	—	—	11	4
Okt.	0.1	10.1	2.1	3.6	-6.0	30	17.7	14	83	48	78	70	30	14.19	4.1	3.9	3.4	3.8	3	1	1	5	29	17	20	6	3	3	—	—	15	7
Nov.	-3.6	5.6	-1.7	-0.4	-13.2	26	15.0	7	77	46	75	66	30	19	3.1	3.6	3.7	3.5	1	1	2	4	11	8	13	3	2	3	—	—	11	4
Dez.	-4.2	2.0	-3.8	-2.4	-11.8	31	7.6	7	81	59	78	73	37	7	4.2	4.9	3.7	4.3	1	1	—	2	42	10	29	13	12	13	—	—	10	4
Jahr	0.8	9.5	2.2	3.7	-18.3	III	27.0	VII	81	51	78	70	29	VI	4.4	4.8	4.3	4.5	18	3	7	28	555	71	II	124	93	53	-	6	108	65

Saas-Fee

$\lambda = 7°56'$, $\beta = 46°06'$, $H = $ ca 1785^m, $h_r = 1.5^m$ — Beobachter: Familie Imseng

Jan.	-4.5	-0.1	-3.5	-2.9	-16.8	19	4.7	27	79	67	76	74	36	18	6.3	6.0	5.7	6.0	—	—	—	—	145	34	11	11	10	11	—	—	6	13
Feb.	-7.5	-2.6	-7.5	-6.3	-16.2	14	3.0	2	80	68	77	75	43	9	7.1	6.9	4.5	6.2	—	—	—	—	101	20	21	17	12	17	—	—	2	9
März	-6.4	1.8	-4.5	-3.4	-17.3	7	9.2	25	75	56	74	68	38	4	3.4	4.3	3.8	3.8	—	—	—	—	22	10	26	7	3	4	—	—	12	3
Apr.	-0.5	6.7	1.2	2.2	-7.5	16	14.3	30	80	51	70	67	40	2	3.5	3.3	2.0	2.9	—	—	—	—	16	16	7	1	1	—	—	—	15	1
Mai	4.6	9.8	4.7	6.0	-1.2	19	16.6	9	75	54	73	67	34	9	4.9	4.6	5.1	4.9	—	—	—	—	50	7	27	12	11	1	—	—	6	8
Juni	9.0	13.5	8.9	10.1	2.6	12	19.1	24	80	58	80	73	34	12	5.2	5.9	6.4	5.8	—	—	—	—	97	34	7	14	12	—	—	—	2	4
Juli	10.8	16.0	11.2	12.3	5.0	6	23.4	18	85	59	81	75	38	18	4.7	6.0	5.9	5.5	—	—	—	—	45	5	26	16	14	—	—	—	4	8
Aug.	9.1	14.6	10.0	10.9	3.7	9	19.2	23	89	58	81	76	30	19	4.8	5.4	4.6	4.9	—	—	—	—	50	19	30	13	10	—	—	—	6	7
Sept.	5.9	12.8	7.0	8.2	-2.2	29	17.8	4	91	56	86	78	40	30	4.4	3.8	4.8	4.3	—	—	—	—	9	4	5	5	2	1	—	—	8	3
Okt.	0.6	7.9	1.9	3.1	-5.4	30	14.3	2	83	57	81	74	32	9	4.4	4.0	3.8	4.1	—	—	—	—	75	44	20	7	5	3	—	—	12	5
Nov.	-3.7	3.2	-2.4	-1.3	-12.8	26	12.9	7	76	56	77	70	37	11	2.9	3.5	4.4	3.6	—	—	—	—	14	14	13	2	1	2	—	—	11	2
Dez.	-3.6	0.0	-3.9	-2.8	-12.4	31	4.8	7	80	68	77	75	51	7	4.2	4.7	3.5	4.1	—	—	—	—	64	13	15	11	8	11	—	—	11	3
Jahr	1.2	7.0	1.9	3.0	-17.3	III	23.4	VII	81	59	78	73	30	VIII	4.7	4.9	4.5	4.7	—	—	—	—	688	44	X	116	89	50	—	—	95	66

Graubünden

Seewis

$\lambda = 9°38'$, $\beta = 46°59'$, $H = 953^m$, $h_r = 1.5^m$ — Beobachter: Frau B. Janett

Jan.	-1.5	3.4	-0.3	0.3	-11.1	2	9.2	30	77	55	74	69	27	26	5.4	6.1	5.0	5.5	4	2	3	9	122	45	11	11	8	7	—	—	9	9
Feb.	-3.4	1.8	-2.7	-1.8	-10.1	15	9.2	1	83	59	86	76	34	20.25	7.7	8.1	7.2	7.7	1	—	—	1	194	56	8	20	17	20	—	—	2	17
März	-2.5	4.8	-1.1	0.1	-9.3	2. 8	17.1	26	79	47	75	67	25	8	4.9	5.3	4.9	5.0	4	—	1	5	33	8	29	15	8	12	—	—	9	11
Apr.	3.3	10.2	4.4	5.6	-1.2	16	21.0	29.30	73	51	73	66	23	26	5.2	5.7	4.3	5.1	2	1	—	3	111	34	11	13	11	6	—	—	8	9
Mai	8.1	14.6	7.7	9.5	1.1	22	22.4	9	69	45	71	62	20	9	5.5	5.9	5.0	5.5	2	1	1	4	112	15	27	19	15	5	—	—	7	7
Juni	12.3	18.9	12.2	13.9	5.0	11	26.2	19	73	49	79	67	25	12	7.0	6.6	6.7	6.8	5	—	—	5	108	36	7	22	18	—	—	—	3	12
Juli	14.0	19.3	13.6	15.1	8.3	7	28.3	18	79	57	87	74	34	24	7.3	6.5	7.0	6.9	11	3	3	17	170	33	29	23	20	—	—	1	6	16
Aug.	12.7	18.3	12.7	14.1	7.1	9	23.1	23.24	79	53	85	72	39	26	5.5	6.6	4.6	5.6	5	—	1	6	95	17	30	18	15	—	—	—	7	9
Sept.	9.7	15.9	10.1	11.4	3.1	15.30	22.1	9	85	58	90	78	40	17	4.9	4.8	5.3	5.0	9	3	2	14	55	22	10	13	10	—	—	—	11	9
Okt.	4.1	10.0	4.8	5.9	-3.0	30	15.4	4.11	87	58	89	78	34	30	5.8	5.1	5.8	5.6	8	4	4	16	60	15	21	12	9	1	—	—	6	11
Nov.	-0.2	5.6	0.9	1.8	-12.2	26	16.2	7	79	54	80	71	32	4	4.2	4.5	5.3	4.7	5	1	4	10	25	19	24	6	3	5	—	—	9	6
Dez.	0.4	4.3	1.0	1.7	-4.0	31	10.3	3	83	63	82	76	33	6. 7	6.6	6.6	5.7	6.3	5	1	5	11	102	19	27	20	18	10	—	—	4	10
Jahr	4.8	10.6	5.3	6.5	-12.2	XI	28.3	VII	79	54	81	71	20	V	5.8	6.0	5.6	5.8	61	16	24	101	1187	56	II	192	152	66	—	1	81	126

Schiers

$\lambda = 9°\,42'$, $\beta = 46°\,58'$, $H_b = $ ca 682 m, $h_r = 1.5$ m — Beobachter: Ch. Lötscher

1955	Luft-Temperatur								Relative Feuchtigkeit						Bewölkung				Nebel (Zahl der Termine)				Niederschlag		Zahl der Tage					
	7^{30}	13^{30}	21^{30}	Mittel	Minimum	Tag	Maximum	Tag	7^{30}	13^{30}	21^{30}	Mittel	Minimum	Tag	7^{30}	13^{30}	21^{30}	Mittel	7^{30}	13^{30}	21^{30}	Total	Summe	Maximum Tag	● *	●* ≥1.0	*	▲	K_1	helle	trübe
Jan.	-2.6	1.3	-1.4	-1.0	-10.5	19	5.4	30	92	79	92	88	56	26	6.1	6.3	6.1	6.2	1	1	—	2	108	38	11	10	7	5	—	—	8	15
Feb.	-3.4	1.5	-2.0	-1.5	-11.8	19	7.0	1	92	74	89	85	52	15	8.3	8.5	7.6	8.1	—	—	—	—	153	50	8	16	14	15	—	—	2	18
März	-2.7	5.1	-0.5	0.4	-11.7	8	16.3	26	90	59	85	78	39	8	5.6	5.8	5.5	5.6	—	—	—	—	29	10	29	10	6	7	—	—	8	11
Apr.	3.6	12.2	5.9	6.9	-1.7	2	24.5	29	87	51	83	74	29	26	5.0	5.4	4.4	4.9	—	—	—	—	81	30	11	13	9	2	—	—	9	7
Mai	7.1	16.3	9.1	10.4	0.5	23	24.5	9	92	51	85	76	27	9	5.7	6.1	5.9	5.9	—	—	—	—	86	16	15	16	12	—	—	—	7	11
Juni	12.4	20.2	13.6	14.9	5.3	1	27.0	19	92	57	89	80	35	12	6.7	7.0	7.4	7.0	—	—	—	—	113	38	7	21	17	—	—	1	3	15
Juli	14.4	20.3	15.2	16.3	9.7	7	29.7	18	92	70	92	85	41	18	7.3	6.4	6.9	6.9	—	—	—	—	129	24	29	21	18	—	—	2	5	15
Aug.	11.9	19.7	14.1	14.9	6.9	10	25.1	23	94	65	92	84	45	5	5.5	6.5	6.0	6.0	—	—	—	—	91	15	30	19	16	—	—	—	5	14
Sept.	9.5	17.2	11.5	12.4	1.8	30	23.5	9	93	69	93	85	52	2	4.7	4.4	5.0	4.7	1	—	—	1	87	31	4	14	10	—	—	—	9	8
Okt.	4.3	11.1	5.9	6.8	-4.4	30	16.7	3.4	94	72	93	86	44	30	6.1	4.5	5.5	5.4	—	—	—	—	61	18	17	8	7	—	—	—	5	8
Nov.	-1.1	4.3	0.6	1.1	-12.1	27	14.2	4	92	75	90	86	52	4	4.1	4.1	5.0	4.4	1	—	1	2	21	13	24	4	3	2	—	—	9	5
Dez.	0.0	2.9	0.6	1.0	-4.3	7	15.4	18	94	88	94	92	69	8.23	7.3	7.0	7.0	7.1	1	1	2	4	108	*28	27	18	16	5	—	—	3	14
Jahr	4.4	11.0	6.1	6.9	-12.1	XI	29.7	VII	92	67	90	83	27	V	6.0	6.0	6.0	6.0	4	2	3	9	1067	50	II	170	135	36	—	3	73	141

Tschiertschen

$\lambda = 9°\,36'$, $\beta = 46°\,49'$, $H = 1351$ m, $h_r = 1.5$ m — Beobachter: G. Meister

Jan.	-1.9	2.9	-1.0	-0.3	-13.6	2	9.3	27	—	—	—	—	—	—	5.5	5.5	5.7	5.6	3	—	—	3	63	19	12	8	7	8	—	—	8	11
Feb.	-5.2	0.1	-5.2	-3.9	-12.8	15	8.3	1	—	—	—	—	—	—	7.6	8.1	6.4	7.4	4	5	7	16	121	33	8	19	12	19	—	—	3	13
März	-3.8	2.7	-3.2	-1.9	-11.5	7	14.7	25. 26	—	—	—	—	—	—	4.3	4.3	5.2	4.6	5	3	6	14	17	7	29	9	6	7	—	—	10	7
Apr.	1.5	7.3	2.2	3.3	-4.9	16	17.7	29	—	—	—	—	—	—	4.8	4.6	5.1	4.8	7	2	2	11	60	12	11	11	10	8	—	—	10	10
Mai	6.4	11.5	5.8	7.4	-0.2	22	19.5	6	—	—	—	—	—	—	4.9	5.3	4.9	5.0	4	2	3	9	130	32	15	17	14	6	—	—	9	10
Juni	10.5	15.5	10.2	11.6	3.1	11	21.6	25	—	—	—	—	—	—	6.6	6.9	7.7	7.1	5	3	2	10	102	28	7	18	15	—	—	—	3	12
Juli	12.0	16.2	11.7	12.9	5.7	7	25.0	18	—	—	—	—	—	—	7.0	7.0	7.3	7.1	8	3	3	14	111	20	29	22	19	—	—	—	3	16
Aug.	11.1	15.5	10.9	12.1	5.0	9	20.9	23	—	—	—	—	—	—	4.6	6.4	5.0	5.3	2	1	1	4	64	10	30	17	14	—	—	—	7	9
Sept.	8.5	13.0	8.0	9.4	0.9	15	19.4	9	—	—	—	—	—	—	4.7	4.1	6.3	5.0	3	2	2	7	70	22	10	15	10	2	—	1	8	9
Okt.	2.9	7.4	2.8	4.0	-6.9	29	14.0	11	—	—	—	—	—	—	5.5	4.7	5.8	5.3	3	3	2	8	91	32	17	11	10	7	—	—	7	9
Nov.	-1.5	3.5	-0.8	0.1	-13.3	26	13.9	4	—	—	—	—	—	—	4.1	4.5	4.1	4.2	3	2	2	7	13	6	24	5	4	3	—	—	8	4
Dez.	-0.6	2.9	0.0	0.6	-6.3	31	7.1	2	—	—	—	—	—	—	7.4	6.5	5.2	6.4	1	1	1	3	54	16	27	17	11	15	—	—	3	7
Jahr	3.3	8.2	3.5	4.6	-13.6	I	25.0	VII	—	—	—	—	—	—	5.6	5.7	5.7	5.7	48	27	31	106	896	33	II	169	132	75	—	1	79	117

Bivio

$\lambda = 9°\,39'$, $\beta = 46°\,28'$, $H_b = $ ca 1770 m, $h_r = 1.5$ m — Beobachter: U. Grisch

Jan.	-4.0	1.1	-2.6	-2.0	-18.5	19	6.8	27	74	58	69	67	33	19	6.3	4.4	4.6	5.1	1	—	—	1	38	9	16	6	6	5	—	—	7	7
Feb.	-7.2	-1.1	-6.8	-5.5	-17.0	13	4.7	2	81	61	77	73	35	15	7.9	7.2	5.6	6.9	—	—	—	—	127	32	17	18	13	18	—	—	2	14
März	-7.8	2.4	-5.5	-4.1	-19.6	18	12.4	25	76	50	77	68	37	4	3.9	4.2	4.1	4.1	—	—	2	2	33	5	21	13	11	11	—	—	11	5
Apr.	-2.6	4.8	-1.0	0.1	-10.2	1	13.4	30	77	52	80	70	34	13. 20	4.9	4.3	4.9	4.7	—	—	—	—	38	9	14	11	9	9	—	—	10	10
Mai	3.2	8.7	2.7	4.3	-3.2	23	15.6	10	70	53	78	67	31	9	5.9	5.3	5.2	5.5	—	1	—	1	119	31	15	15	14	7	—	3	5	8
Juni	7.5	12.7	7.4	8.7	0.4	11	18.1	24	78	55	84	72	33	24	6.6	6.6	6.8	6.7	—	—	—	—	130	38	9	19	14	5	—	3	1	12
Juli	8.9	14.0	9.2	10.3	2.9	8	22.5	19	85	59	88	77	27	18	6.4	6.5	7.0	6.6	—	—	—	—	106	15	25	22	19	—	—	7	3	12
Aug.	7.1	13.2	8.0	9.1	0.6	10	19.1	21	85	55	85	75	35	17	5.3	6.0	4.6	5.3	—	—	—	—	56	15	25	13	11	—	—	—	6	6
Sept.	4.3	11.1	5.4	6.6	-1.6	30	16.9	3	88	53	87	76	33	30	5.1	4.6	5.5	5.1	—	—	—	—	76	27	10	13	9	4	—	—	8	10
Okt.	0.0	6.2	1.0	2.1	-7.6	30	13.2	2.11	78	55	80	71	24	9	5.6	4.5	5.6	5.2	—	—	—	—	100	40	21	12	11	9	—	—	6	8
Nov.	-3.8	2.0	-2.5	-1.7	-18.4	26	12.3	7	73	56	73	67	35	28	5.0	5.2	4.9	5.0	2	1	1	4	24	8	10	9	6	7	—	—	8	7
Dez.	-3.3	1.6	-2.9	-1.9	-10.6	19	6.3	7	74	58	72	68	32	7	6.4	5.6	5.1	5.7	1	—	—	1	27	6	30	12	9	12	—	—	4	7
Jahr	0.2	6.4	1.0	2.2	-19.6	III	22.5	VII	78	55	79	71	24	X	5.8	5.4	5.3	5.5	4	2	3	9	874	40	X	163	132	87	—	13	71	106

Sils-Maria

$\lambda = 9°\,46'$, $\beta = 46°\,26'$, $H = 1802$ m, h_r 1.8 m — Beobachter: K. Breu-Sciucchetti

Jan.	-8.7	-1.5	-7.2	-6.2	-22.0	19	3.6	13	91	60	88	80	34	25	5.1	4.2	5.0	4.8	1	—	—	1	53	18	16	10	9	10	—	—	9	7
Feb.	-10.0	-2.5	-8.6	-7.4	-21.8	12	2.8	8	87	59	82	76	34	11. 16	7.7	7.5	5.4	6.9	—	—	—	—	111	26	17	16	13	16	—	—	1	13
März	-9.6	1.5	-5.6	-4.8	-22.0	8	11.8	25	88	47	82	72	16	4	5.0	4.7	3.1	4.3	2	—	—	2	39	11	28	11	8	10	—	—	6	4
Apr.	-1.7	6.5	-0.4	1.0	-9.0	1	15.4	30	72	41	74	62	24	1	3.3	4.0	3.1	3.5	—	—	—	—	4	2	14	2	2	2	—	—	13	2
Mai	3.1	9.4	3.2	4.7	-2.4	22	15.4	28	73	50	81	68	20	9	4.7	5.6	4.7	5.0	—	—	—	—	76	24	15	11	11	6	—	2	4	6
Juni	8.3	13.3	8.0	9.4	1.8	11	20.2	25	72	57	80	70	34	14. 15	6.2	6.6	6.2	6.3	1	—	2	3	121	41	7	15	12	1	—	2	2	6
Juli	10.7	16.1	9.9	11.7	5.0	7	27.0	18	75	54	80	70	24	18	5.5	7.0	6.8	6.4	—	—	—	—	102	16	3	18	16	—	—	6	3	10
Aug.	8.4	14.4	8.6	10.0	3.8	10	19.6	6	78	53	79	70	30	6. 8	5.9	7.0	4.9	5.9	1	—	—	1	46	18	25	12	9	—	—	1	2	7
Sept.	5.1	12.0	6.4	7.5	-2.0	30	18.1	3	87	56	85	76	32	2	5.9	5.4	5.7	5.7	1	—	—	1	51	16	10	11	9	1	—	—	5	10
Okt.	-0.2	6.4	1.1	2.1	-8.6	30	13.4	13	86	57	83	75	18	9	5.5	4.9	5.4	5.3	—	—	—	—	85	38	21	9	8	7	—	—	7	8
Nov.	-4.4	1.9	-2.9	-2.1	-14.0	26	11.2	7	85	54	77	72	26	23	4.9	4.6	3.6	4.4	—	—	—	—	14	6	10	6	4	5	—	—	10	5
Dez.	-4.3	1.3	-4.3	-2.9	-11.0	19	7.2	7	85	72	83	80	22	5	6.6	6.0	4.2	5.6	—	—	—	—	24	9	14	9	8	9	—	—	4	6
Jahr	-0.3	6.6	0.7	1.9	-22.0	I III	27.0	VII	82	55	81	73	16	III	5.5	5.6	4.8	5.3	6	—	2	8	726	41	VI	130	109	67	—	11	66	84

Sta. Maria (Münstertal)

$\lambda = 10°26'$, $\beta = 46°36'$, $H_b = 1411^m$, $h_r = 1.8^m$ — Beobachter: **Frau B. Graber**

1955	Luft-Temperatur							Relative Feuchtigkeit						Bewölkung				Nebel (Zahl der Termine)				Niederschlag		Zahl der Tage						
	7^{30}	13^{30}	21^{30}	Mittel	Minimum	Tag	Maximum	Tag	7^{30}	13^{30}	21^{30}	Mittel	Minimum	Tag	7^{30}	13^{30}	21^{30}	Mittel	7^{30}	13^{30}	21^{30}	Total	Summe	Maximum Tag	● *	●★ ≧1.0	*	▲	K	heiße	trübe
Jan.	-4.7	-0.9	-3.7	-3.2	-14.8	2	4.4	15	74	59	74	69	40	10	4.7	5.1	5.0	4.9	—	1	—	1	22	12	16	5	4	3	—	—	11	9
Feb.	-5.9	-0.3	-4.7	-3.9	-13.0	12	5.0	1.8	75	56	74	68	33	7	7.4	8.0	6.1	7.2	—	—	—	—	71	25	17	8	8	8	—	—	4	14
März	-3.4	3.2	-1.9	-1.0	-13.0	8	11.6	25	70	50	70	63	28	17	4.8	5.1	4.4	4.8	—	—	—	—	32	11	21	8	8	7	—	—	8	6
Apr.	5.4	9.9	3.8	5.7	-4.6	1	19.0	30	58	42	62	54	26	1	4.4	4.4	3.4	4.1	—	—	—	—	8	7	11	2	2	2	—	—	12	4
Mai	6.9	13.1	7.7	8.8	1.4	16	19.4	1	55	51	74	60	34	23	4.9	6.0	5.7	5.5	—	—	—	—	76	18	15	11	9	3	—	—	5	9
Juni	11.7	16.5	11.6	12.9	5.4	12	23.0	25	61	57	80	66	32	12	6.8	7.3	7.5	7.2	—	—	—	—	55	16	7	13	8	—	—	—	2	16
Juli	13.4	18.6	13.3	14.9	9.2	7	26.4	18	59	55	75	63	30	18	6.3	7.5	7.2	7.0	—	—	—	—	68	10	25	15	12	—	—	—	3	15
Aug.	10.9	16.9	12.0	12.9	7.8	10	22.0	24	71	55	79	68	39	18	5.4	6.8	4.9	5.7	—	—	—	—	38	5	27	13	10	—	—	—	3	6
Sept.	8.0	13.8	9.1	10.0	1.8	30	18.4	2	83	61	83	76	40	15	5.1	5.4	6.1	5.5	—	—	—	—	67	27	10	12	10	—	—	—	8	12
Okt.	3.2	8.9	4.2	5.1	-5.0	30	14.4	1	78	59	78	72	32	1	4.8	5.1	5.0	5.0	—	—	—	—	54	22	21	7	6	1	—	—	10	9
Nov.	-1.0	3.2	0.0	0.5	-8.4	19.25	9.4	8	72	58	70	67	29	23	4.5	6.0	2.8	4.4	—	—	—	—	15	10	10	4	4	1	—	—	8	6
Dez.	-1.1	2.3	-0.2	0.2	-6.4	31	8.0	7	72	60	68	67	28	7	6.2	6.3	4.7	5.7	—	—	—	—	13	3	14	7	6	6	—	—	5	7
Jahr	3.6	8.8	4.3	5.2	-14.8	I	26.4	VII	69	55	74	66	26	IV	5.4	6.1	5.2	5.6	—	1	—	1	519	27	IX	105	87	31	—	—	79	113

Vicosoprano

$\lambda = 9°37'$, $\beta = 46°21'$, $H = ca\ 1065^m$, $h_r = 1.5^m$ — Beobachter: **H. Roffler**

Jan.	-0.9	0.2	-0.9	-0.6	-8.7	2	8.7	13	76	75	79	77	38	15	5.6	5.3	5.6	5.5	1	—	—	1	44	23	16	7	7	4	—	—	8	10
Feb.	-2.0	0.6	-1.5	-1.1	-7.6	15	6.5	8	67	65	69	67	38	11	7.8	7.1	5.7	6.9	—	—	—	—	157	59	17	12	11	9	—	—	2	14
März	-1.1	3.5	0.8	1.0	-8.1	19	10.5	25.28	67	59	71	66	32	14	4.0	6.1	5.2	5.1	—	—	—	—	53	11	21	7	7	4	—	—	8	6
Apr.	5.2	10.8	6.8	7.4	-0.5	1	18.8	30	58	47	60	55	33	1 13 24	3.9	4.7	4.1	4.2	—	—	—	—	1	1	11	1	—	—	—	—	9	3
Mai	9.1	13.6	9.4	10.4	4.3	16	19.3	1	66	56	75	66	36	9	5.3	6.3	5.4	5.7	—	—	—	—	115	29	15	11	10	—	—	1	3	8
Juni	13.3	17.0	13.7	14.4	8.1	11	22.6	26	72	63	76	70	37	14	6.2	6.8	7.2	6.7	—	—	—	—	201	81	7	12	11	—	—	1	1	9
Juli	16.1	19.8	15.7	16.8	12.1	6	24.9	19	66	61	72	66	37	24	5.1	6.8	6.6	6.2	—	—	—	—	141	23	11	16	14	—	—	5	3	8
Aug.	13.4	18.2	14.1	15.0	10.3	9	21.4	23	77	62	79	72	41	16	6.0	6.9	6.9	6.6	—	—	—	—	39	14	25	10	8	—	—	2	2	8
Sept.	11.0	15.8	12.2	12.8	5.2	30	21.0	2	75	63	80	73	37	16	4.6	5.0	5.5	5.0	—	—	—	—	62	20	7	10	8	—	—	—	8	6
Okt.	6.8	10.3	7.0	7.8	-1.3	31	14.8	13	71	64	81	72	21	29	5.1	5.2	5.5	5.3	1	—	—	1	155	59	21	11	8	—	—	1	9	9
Nov.	2.1	4.3	2.6	2.9	-4.7	28	11.5	6	70	63	71	68	27	26	4.5	4.9	3.9	4.4	—	—	—	—	24	9	30	5	4	—	—	—	12	6
Dez.	2.4	3.8	2.4	2.8	-3.1	22	11.4	8	69	66	70	68	27	5	5.8	5.6	4.4	5.3	2	1	—	3	28	17	14	5	5	2	—	—	7	7
Jahr	6.3	9.8	6.9	7.5	-8.7	I	24.9	VII	69	62	73	68	21	X	5.3	5.9	5.5	5.6	4	1	—	5	1020	81	VI	107	93	19	—	10	72	94

Grono

$\lambda = 9°09'$, $\beta = 46°15'$, $H = ca\ 355^m$, $h_r = 1.5^m$ — Beobachter: **A. Parolini**

Jan.	1.0	4.9	2.2	2.6	-3.1	3	11.4	15	88	68	82	79	30	19	4.4	4.0	4.0	4.1	3	—	—	3	33	18	31	6	5	1	—	—	13	8
Feb.	0.8	5.1	2.3	2.6	-4.0	15	11.6	9	82	66	77	75	26	14	5.0	5.1	4.0	4.7	2	—	1	3	102	*28	19	10	10	4	—	—	10	7
März	2.9	9.4	5.2	5.7	-2.0	8	18.0	28	77	51	70	66	24	18	3.4	3.1	3.1	3.2	1	—	—	1	36	18	21	9	7	3	—	—	15	3
Apr.	8.3	17.7	10.5	11.7	3.0	3	22.0	30	66	38	55	53	23	4	1.4	1.4	0.8	1.2	—	—	—	—	0	—	—	—	—	—	—	—	24	—
Mai	12.3	18.9	13.6	14.6	7.8	15	24.5	1	75	47	68	63	25	19	2.8	3.5	3.7	3.3	1	1	1	3	79	24	14	9	9	—	—	—	14	3
Juni	16.7	22.1	17.1	18.3	11.0	10	27.3	25	76	53	74	68	27	14	4.0	4.7	4.9	4.5	—	—	—	—	177	56	7	12	11	—	—	2	5	6
Juli	18.7	24.7	19.1	20.4	15.8	8	29.8	19	77	54	73	68	34	6	3.3	4.0	4.5	3.9	—	—	—	—	140	45	2	9	8	—	—	1	6	3
Aug.	16.5	23.0	17.8	18.8	12.4	9	26.5	23	84	53	73	70	35	9	3.6	3.7	4.1	3.8	—	—	—	—	52	22	30	6	5	—	—	—	12	3
Sept.	13.2	21.0	14.5	15.8	7.3	16	25.5	2.5	86	55	76	72	33	30	3.0	2.8	3.6	3.1	—	—	—	—	119	38	7	8	8	—	—	—	16	1
Okt.	8.4	14.9	9.1	10.4	4.6	22	19.1	15	85	63	80	76	23	7	3.8	3.4	3.1	3.4	1	—	—	1	151	56	21	7	7	—	—	1	15	3
Nov.	3.2	8.5	4.5	5.2	-3.0	27	13.9	7	84	66	77	76	34	25	3.2	3.1	1.9	2.7	3	1	1	5	27	10	30	4	4	—	—	—	17	4
Dez.	2.0	6.0	3.2	3.6	-2.0	19	13.6	4	89	68	82	80	39	31	3.7	3.4	2.6	3.2	—	1	1	2	26	20	14	4	4	1	—	—	17	4
Jahr	8.7	14.7	9.9	10.8	-4.0	II	29.8	VII	81	57	74	71	23	IV X	3.5	3.5	3.4	3.5	11	3	4	18	942	56	X	84	78	9	—	4	164	45

Tessin

Airolo

$\lambda = 8°37'$, $\beta = 46°32'$, $H_b = ca\ 1170^m$, $h_r = 1.5^m$ — Beobachter: **Familie Rossi-Burkhalter**

Jan.	-2.3	0.5	-2.0	-1.4	-10.3	1	5.1	13	78	72	78	76	38	19	5.4	5.8	5.3	5.5	—	—	1	1	180	38	12	15	14	13	—	—	9	10
Feb.	-3.3	0.3	-3.2	-2.3	-10.1	12	4.1	9	78	73	78	76	41	16	6.8	6.5	6.8	6.7	—	—	1	1	184	43	8	17	17	17	—	—	3	11
März	-2.8	3.5	-1.0	-0.3	-12.1	8	10.3	28	72	55	69	65	36	8.15	3.5	3.6	4.0	3.7	—	—	—	—	37	9	20	9	9	6	—	—	10	3
Apr.	3.1	10.3	4.5	5.6	-4.0	1	19.5	30	65	45	64	58	31	20.22	2.2	3.4	2.5	2.7	—	—	—	—	9	5	7	3	3	—	—	—	14	1
Mai	5.8	13.6	7.8	8.7	1.0	23	19.8	1	76	52	74	67	28	8	4.5	4.9	4.6	4.7	1	—	1	2	116	27	17	11	10	—	—	—	6	3
Juni	10.9	17.1	12.0	13.0	6.1	11	23.5	26	78	56	76	70	31	23	4.7	5.6	6.7	5.7	1	1	2	4	236	96	7	11	11	—	—	2	2	6
Juli	13.0	19.8	14.2	15.3	10.0	7	27.2	18	76	58	77	70	31	18	4.7	6.0	6.2	5.6	—	—	—	—	136	26	3	15	14	—	—	1	2	6
Aug.	11.4	17.8	13.0	13.8	6.8	10	23.2	24	82	57	80	73	35	6	5.2	5.1	5.2	5.2	1	—	—	1	52	14	30	13	12	—	—	—	4	8
Sept.	9.3	15.6	10.5	11.5	2.5	29	20.8	5	81	59	77	72	38	11.16	4.1	4.2	4.5	4.3	—	—	—	—	57	28	7	9	8	—	—	—	7	5
Okt.	4.3	9.6	5.3	6.1	-2.3	31	16.4	1	80	61	77	73	21	1	4.6	4.9	4.2	4.6	1	—	2	3	175	91	21	10	10	2	—	—	10	8
Nov.	0.5	4.5	1.2	1.8	-6.4	19	13.2	7	72	56	70	66	23	26	3.4	4.6	3.8	3.9	5	1	1	7	42	24	9	6	4	2	—	—	12	7
Dez.	0.5	3.3	0.8	1.3	-5.0	22	9.1	28	73	64	72	70	26	5	4.8	4.7	4.1	4.5	2	1	—	3	59	19	28	9	9	6	—	—	10	5
Jahr	4.2	9.6	5.3	6.1	-12.1	III	27.2	VII	76	59	74	70	21	X	4.5	4.9	4.8	4.7	11	3	8	22	1283	96	VI	128	121	46	—	3	89	73

Comprovasco

$\lambda = 8^\circ 56'$, $\beta = 46^\circ 27'$, $H_b = 544.1^m$, $h_r = 1.5^m$ — Beobachter: Frl. P. Gianella

1955	Luft-Temperatur								Relative Feuchtigkeit						Bewölkung				Nebel (Zahl der Termine)				Niederschlag			Zahl der Tage						
	7^{30}	13^{30}	21^{30}	Mittel	Minimum	Tag	Maximum	Tag	7^{30}	13^{30}	21^{30}	Mittel	Minimum	Tag	7^{30}	13^{30}	21^{30}	Mittel	7^{30}	13^{30}	21^{30}	Total	Summe	Maximum	Tag	●	●* ≥1.0	*	▲	K	helle	trübe
Jan.	0.7	5.1	1.2	2.0	-4.6	2	11.9	15	85	68	85	79	28	18	5.5	5.2	5.4	5.4	1	2	—	3	78	15	12	14	12	3	—	—	7	9
Feb.	0.0	4.4	1.0	1.6	-5.1	20	10.4	9	79	65	76	73	31	7	7.4	7.4	5.7	6.8	—	1	—	1	106	24	19	15	11	8	—	—	2	13
März	0.9	8.9	3.2	4.1	-6.2	8	16.4	25	80	55	77	71	24	14	4.1	5.4	4.7	4.7	1	1	—	2	38	12	21	13	9	4	—	—	7	6
Apr.	6.9	16.6	10.1	10.9	0.6	1	23.6	30	73	46	60	60	29	3.25	2.6	3.2	2.0	2.6	—	—	—	—	0	—	—	—	—	—	—	—	14	1
Mai	10.4	18.1	11.5	12.9	4.4	16	24.8	1	76	52	75	68	27	12	4.2	5.1	4.6	4.6	—	—	—	—	78	28	17	11	7	—	—	1	7	4
Juni	13.7	21.4	15.4	16.5	7.7	12	27.4	25	87	62	81	77	32	14	5.1	6.1	6.0	5.7	—	—	—	—	149	65	7	12	10	—	—	5	2	7
Juli	16.2	23.8	17.4	18.7	12.2	9	29.4	18	83	63	78	75	37	14	4.1	6.2	5.7	5.3	—	—	—	—	132	58	20	15	12	—	1	4	5	4
Aug.	14.7	22.0	15.5	16.9	10.0	10	26.9	23	86	61	84	77	34	16	5.1	5.8	4.9	5.3	—	—	—	—	42	9	30	9	7	—	—	4	4	5
Sept.	12.1	20.3	13.4	14.8	4.5	30	26.0	4	86	59	84	76	34	16	3.9	3.8	4.4	4.0	—	—	—	—	55	30	7	4	4	—	—	—	8	3
Okt.	7.2	14.0	8.4	9.5	0.4	30	19.7	8	85	61	86	77	21	29	5.1	4.5	4.9	4.8	—	—	—	—	149	56	21	9	8	—	—	1	7	7
Nov.	2.5	7.8	4.0	4.6	-3.6	27.28	14.8	7	82	65	78	75	30	23	4.2	5.0	4.7	4.6	—	—	—	—	21	9	30	4	4	1	—	—	11	7
Dez.	1.6	6.4	2.8	3.4	-2.2	22	15.8	29	84	66	78	76	22	29	5.9	5.3	4.4	5.2	—	—	—	—	29	9	14	9	5	—	—	—	6	7
Jahr	7.2	14.1	8.7	9.7	-6.2	III	29.4	VII	82	60	79	74	21	X	4.8	5.2	4.8	4.9	2	4	—	6	877	65	VI	115	89	16	1	15	80	73

Fescoggia

$\lambda = 8^\circ 53'$, $\beta = 46^\circ 02'$, $H = ca\ 845^m$, $h_r = 1.8^m$ — Beobachter: H. Suter

Jan.	2.0	5.9	2.3	3.1	-4.0	2	13.2	13	—	—	—	—	—	—	6.3	5.6	5.9	5.9	—	1	2	3	76	23	6	11	10	7	—	—	6	12
Feb.	0.7	4.5	1.4	2.0	-4.3	21	11.6	9	—	—	—	—	—	—	6.8	6.7	5.5	6.3	1	3	1	5	138	33	19	11	10	9	—	—	5	11
März	2.4	6.8	3.3	3.9	-3.3	7	15.5	28	—	—	—	—	—	—	5.9	7.2	6.0	6.4	—	1	1	2	93	37	28	11	10	8	—	—	5	13
Apr.	9.0	15.1	9.3	10.7	2.2	1	22.2	30	—	—	—	—	—	—	2.4	3.2	2.1	2.5	—	—	—	—	0	—	—	—	—	—	—	—	18	2
Mai	11.5	15.6	11.3	12.4	7.0	20	22.4	1	—	—	—	—	—	—	5.0	5.5	5.8	5.4	1	1	—	2	197	47	17	12	10	—	—	3	9	10
Juni	14.1	18.4	14.5	15.4	9.1	12	24.2	26	—	—	—	—	—	—	5.5	6.5	5.4	5.8	1	1	—	2	336	95	7	16	13	—	—	2	4	8
Juli	16.8	21.1	17.0	18.0	14.2	7.11	26.2	18	—	—	—	—	—	—	4.4	6.6	4.8	5.3	1	3	1	5	242	61	25	14	12	—	—	8	6	7
Aug.	15.4	20.1	15.8	16.8	12.4	9	23.0	23	—	—	—	—	—	—	5.4	6.0	3.5	5.0	1	1	—	2	58	23	25	11	9	—	—	3	7	6
Sept.	13.4	17.9	13.8	14.7	8.2	15	22.8	1	—	—	—	—	—	—	5.1	5.1	4.9	5.0	—	—	—	—	124	73	7	10	8	—	—	4	8	7
Okt.	8.8	3.5	9.2	10.2	2.9	31	19.2	8	—	—	—	—	—	—	5.7	5.3	5.5	5.5	1	1	—	2	222	66	20	9	9	—	—	—	7	11
Nov.	3.9	8.3	4.3	5.2	-2.4	26	15.4	7	—	—	—	—	—	—	4.8	5.0	4.4	4.7	2	2	2	6	61	17	30	6	5	2	—	—	10	8
Dez.	3.5	7.7	4.2	4.9	-0.1	24	15.1	29	—	—	—	—	—	—	5.0	5.6	3.7	4.8	3	3	1	7	28	17	14	4	4	3	—	—	10	8
Jahr	8.5	12.9	8.9	9.8	-4.3	II	26.2	VII	—	—	—	—	—	—	5.2	5.7	4.8	5.2	11	17	8	36	1575	95	VI	115	100	29	—	20	95	103

Monte Brè (s. Lugano)

$\lambda = 8^\circ 59'$, $\beta = 46^\circ 01'$, $H_b = 910^m$, $h_r = 1.5^m$ — Beobachter: A. Rezzonico

Jan.	1.9	3.8	2.1	2.5	-4.1	2. 3	10.1	15	—	—	—	—	—	—	6.2	5.5	6.2	5.9	4	5	6	15	55	15	6	8	8	2	—	—	7	12
Feb.	0.1	2.6	1.2	1.3	-4.0	15	7.8	8. 9	—	—	—	—	—	—	6.6	6.8	5.5	6.3	5	3	5	13	81	16	1.18	9	9	7	—	—	5	11
März	1.0	4.9	2.8	2.9	-4.2	8	12.2	25. 28	—	—	—	—	—	—	5.7	6.7	6.1	6.2	—	—	2	2	61	22	21	10	10	7	—	—	3	11
Apr.	6.9	12.4	9.8	9.7	1.6	1	21.1	30	—	—	—	—	—	—	3.8	3.5	2.3	3.2	—	—	—	—	0	—	—	—	—	—	—	—	12	2
Mai	10.6	15.1	11.9	12.4	7.1	19	21.0	1	—	—	—	—	—	—	5.2	5.2	5.5	5.3	—	—	—	—	87	25	11.17	9	9	—	—	2	8	6
Juni	14.0	19.0	15.2	15.8	9.2	12	24.2	26	—	—	—	—	—	—	5.6	5.8	5.5	5.6	1	—	—	1	177	37	7	12	12	—	—	2	3	8
Juli	17.0	20.9	18.0	18.5	13.5	26	25.8	19	—	—	—	—	—	—	4.0	5.4	5.8	5.1	—	1	1	2	241	49	26	11	11	—	—	7	7	5
Aug.	15.4	19.3	16.5	16.9	11.6	26	23.1	4	—	—	—	—	—	—	5.0	5.1	4.4	4.8	—	—	—	—	67	37	25	6	6	—	—	2	8	7
Sept	13.1	16.5	14.1	14.5	7.3	30	21.6	5	—	—	—	—	—	—	5.2	5.1	4.8	5.0	—	—	—	—	108	40	7	9	9	—	—	6	6	7
Okt.	8.2	11.1	8.8	9.2	2.6	31	15.1	8	—	—	—	—	—	—	5.4	5.3	4.4	5.0	1	1	1	3	151	56	20	7	7	—	—	2	10	7
Nov.	3.9	6.1	4.3	4.6	-2.0	26	13.0	6	—	—	—	—	—	—	4.8	4.8	4.4	4.7	5	4	4	13	56	17	10. 13	5	5	—	—	—	10	7
Dez.	3.2	5.5	4.1	4.2	0.0	30	11.8	29	—	—	—	—	—	—	4.3	5.2	3.8	4.4	4	4	4	12	32	11	15	4	4	2	—	—	12	9
Jahr	7.9	11.4	9.1	9.4	-4.2	III	25.8	VII	—	—	—	—	—	—	5.2	5.4	4.9	5.1	20	18	23	61	1116	56	X	90	90	18	—	21	91	92

Mezzana

$\lambda = 9^\circ 00'$, $\beta = 45^\circ 51'$, $H = 339^m$, $h_r = 1.0^m$ — Beobachter: Istituto Agrario Cantonale

Jan.	1.9	6.6	3.0	3.6	-2.2	26	12.5	15	94	76	89	86	23	18	6.7	5.3	5.2	5.7	3	2	4	9	72	21	31	9	9	2	—	—	8	11
Feb.	1.8	6.7	3.2	3.7	-4.0	15	13.5	10	86	71	81	79	30	11.14	6.8	6.2	4.8	5.9	4	—	1	5	111	33	19	14	14	3	—	—	6	11
März	3.0	9.9	5.6	6.0	-2.6	8	18.0	28	93	67	89	83	25	18	6.4	6.0	5.0	5.8	2	—	—	2	96	35	28	11	9	2	—	1	5	9
Apr.	8.6	18.2	11.6	12.5	3.0	1	28.0	30	78	46	65	63	28	16	3.4	3.9	0.9	2.7	—	—	—	—	0	0	—	—	—	—	—	—	12	0
Mai	13.7	21.1	14.7	16.0	9.0	22	28.0	1	74	51	76	67	25	19	4.6	4.8	5.1	4.8	—	—	—	—	83	24	17	10	10	—	—	—	8	5
Juni	17.1	24.2	18.4	19.5	13.0	1	31.0	26	88	59	82	76	35	14	4.9	4.8	4.7	4.8	—	—	—	—	179	40	7	11	11	—	—	5	5	4
Juli	19.9	27.5	21.1	22.4	15.0	26	32.5	19	81	54	75	70	30	6	2.8	4.4	4.3	3.8	—	—	—	—	249	72	26	10	9	—	—	7	9	4
Aug.	17.4	25.6	19.3	20.4	14.0	9.26	29.5	23	88	57	81	75	30	9	4.5	3.9	3.2	3.9	—	—	—	—	75	54	25	7	5	—	—	2	9	4
Sept	15.0	23.1	16.6	17.8	7.8	29	28.6	5	94	58	86	79	35	16	4.3	4.4	3.5	4.1	—	—	—	—	162	95	7	6	6	—	—	3	6	3
Okt.	10.3	17.6	11.0	12.5	5.0	31	24.0	8	90	62	85	79	29	7	5.1	4.1	4.2	4.5	1	—	—	1	161	63	20	9	9	—	—	—	11	7
Nov.	4.5	10.4	5.0	6.2	-4.0	27	15.5	6. 7	90	69	89	83	28	24	5.9	4.9	4.3	5.0	2	—	1	3	64	20	30	5	5	—	—	—	8	8
Dez.	2.3	7.6	3.2	4.1	-1.8	22	13.4	27	97	82	94	91	30	27	6.4	5.9	4.9	5.7	7	3	6	16	35	22	14	4	3	—	—	—	4	8
Jahr	9.6	16.5	11.1	12.1	-4.0	II XI	32.5	VII	88	63	83	78	23	I	5.1	4.9	4.2	4.7	19	5	12	36	1287	95	IX	96	90	7	18	91	74	

Monats- und Jahresübersichten des synoptischen Stationsnetzes

Wie bereits im Annalenband 1954 werden auf den nachfolgenden Seiten Jahresübersichten der Beobachtungen von sechs schweizerischen Stationen des synoptischen Netzes veröffentlicht. Dazu kommen neu die Beobachtungen der beiden in der Nähe der Schweizer Grenze gelegenen Stationen Aéroport Bâle-Mulhouse und Plateau Rosà (beim Theodulpaß), welche uns vom französischen bzw. italienischen meteorologischen Dienst freundlicherweise zur Verfügung gestellt werden. Für diese beiden Stationen sind zudem als Nachtrag die Ergebnisse des Jahres 1954 beigefügt. Wie in den übrigen Abschnitten der vorliegenden Annalen sind die acht internationalen Beobachtungstermine in MEZ in die Tabellenüberschriften eingesetzt. Die tatsächlichen Beobachtungszeiten liegen in der Regel etwas früher, und zwar

	Lufttemperatur	Luftdruck
Schweizerische Stationen	30 Min.	20 Min.
Aéroport Bâle-Mulhouse	10 Min.	0 Min.
Plateau Rosà	20 Min.	20 Min.

Für die Umrechnung der Barometerablesungen von Millimeter Quecksilbersäule auf Millibar wird in der Schweiz, da die Abweichungen der Schwerebeschleunigung vom Normalwert bei 45° geogr. Breite auf Meeresniveau $g_0 = 980{,}62$ cm/sec² im allgemeinen gering sind, einheitlich der Faktor 1,3332 verwendet, was für einzelne, besonders für hochgelegene Stationen kleine Fehler bei der Druckangabe in mb bedingt, wenn die Luftdrucke den geometrischen Barometerhöhen des Ortes zugeordnet werden. Um diese Fehler zu eliminieren, werden als Höhenangaben der Stationen nicht wie bisher die Höhen H_b des Barometers aufgeführt, sondern die Höhen H_p, auf welche sich die so berechneten Luftdruckangaben beziehen, indem die Schwerekorrektion G in Form einer Höhenkorrektur ΔH berücksichtigt wird. Die nachfolgende Tabelle gibt eine Übersicht der Werte von H_b, H_p sowie der Korrektur der Barometerstände infolge dem von der normalen Schwerebeschleunigung g_0 abweichenden Wert g am betreffenden Ort. Bei den beiden Stationen Kloten und Cointrin ist die Differenz zwischen H_b und H_p größer als der Schwere-Korrekturbetrag ΔH, da entsprechend den internationalen Vorschriften eine Reduktion des abgelesenen Barometerstandes auf Pistenhöhe vorgenommen wird.

	H_b	g (cm/sec²)	G	ΔH	H_p
Flughafen Kloten	440,3 m	980,69	0,07 mb	0,6 m	425 m
Gütsch ob Andermatt	2291 m	980,17	–0,36 mb	–3,8 m	2287 m
Bâle-Mulhouse	268 m	980,79	0,17 mb	—	268 m
Meteorolog. Obs. Bern	572,2 m	980,61	–0,01 mb	–0,1 m	572 m
Cointrin	430 m	980,60	–0,03 mb	–0,2 m	424 m
Sion-Aérodrôme	482,6 m	980,48	–0,13 mb	–0,9 m	482 m
Plateau Rosà	3488 m	979,91	–0,48 mb	—	3488 m
Locarno-Aeroporto	198,5 m	980,66	0,03 mb	0,2 m	199 m

Mit Ausnahme der Station Plateau Rosà, wo die Thermometerhütte auf der Nordseite des Hauses etwa 9 Meter über Boden befestigt ist, sind alle Stationen mit englischen Hütten (Stevenson Screen) ausgerüstet, wobei die Temperaturmessung rund 2 m über der Bodenoberfläche erfolgt.

Die relative Feuchtigkeit wird auf Plateau Rosà mit einem Haarhygrometer, in Bâle-Mulhouse mit einem unventilierten Standpsychrometer, auf den übrigen Stationen mit ventilierten Standpsychrometern bestimmt. Die Niederschläge werden im schweizerischen Netz mit Hellmannschen Regenmessern von 200 cm² Öffnung gemessen. Die Station Gütsch besitzt einen Regenmesser mit Niphertrichter. In Bâle-Mulhouse wird der im französischen Wetterdienst gebräuchliche Regenmesser (pluviomètre association) von 400 cm² Öffnung verwendet.

Als Zahl der Gewittertage wird, wie in der Schweiz bisher allgemein üblich, die Zahl der Tage mit Nahgewitter (innerhalb eines Umkreises von 3 km) angegeben, Ferngewitter sind nicht berücksichtigt. Als heitere Tage gelten solche mit einer Bewölkungssumme von höchstens 12 Okta aus allen 8 Beobachtungsterminen, als trübe Tage solche mit einer Summe von mindestens 52 Okta.

Die Windgeschwindigkeiten werden mit verschiedenartigen Schalenkreuzanemometern bestimmt, in Bern mit Hilfe einer Staudruckdüse, welche aber nach Vergleichsbeobachtungen mit einem Anemometer offensichtlich zu niedrige Werte liefert. Auf eine Korrektur muß vorläufig verzichtet werden.

$\lambda = 8° 34'$, $\beta = 47° 27'$. $H_p = 425$, $h_T = 1.7^m$

Flughafen Zürich-Kloten

1955 — 900 mb + Luftdruck in Millibar

	1h	4h	7h	10h	13h	16h	19h	22h	Mittel	Minimum	Tag	Maximum	Tag	Minimum-Thermometer Mittel	Minimum	Tag	Maximum-Thermometer Mittel	Maximum	Tag
Januar	61.6	61.9	61.7	62.6	61.9	61.0	61.0	61.1	961.6	940.5	16	974.2	24. 25	−3.3	−16.8	20	2.2	11.6	12
Februar	56.2	55.4	55.2	55.7	55.6	55.5	56.1	56.5	955.8	935.5	19	972.1	7	−2.2	−10.5	19	3.8	11.5	2
März	64.0	63.5	63.6	64.1	63.8	62.9	63.3	63.9	963.6	946.0	21	976.5	4	−1.9	−9.4	8	7.0	21.9	24
April	71.0	70.7	71.1	71.4	70.7	69.9	70.1	71.0	970.8	963.2	24	980.7	13	2.2	−4.0	1	14.3	26.0	29
Mai	68.1	67.7	68.3	68.4	67.8	66.8	67.0	68.1	967.8	957.9	2	979.8	22	6.5	−0.4	23	17.9	26.2	6
Juni	67.6	67.2	67.5	67.6	67.1	66.4	66.8	67.3	967.2	949.2	9	977.6	23	11.1	3.2	12	21.6	27.5	25
Juli	67.7	67.2	67.4	67.6	67.2	66.9	66.8	67.7	967.3	958.9	26. 27	973.0	6	13.9	9.2	8	22.6	32.0	18
August	68.9	68.5	68.7	69.0	68.6	67.9	67.9	68.7	968.5	961.9	12	974.8	16	11.8	5.0	10	22.2	26.7	23
September	68.9	68.6	69.0	69.7	69.1	68.3	68.7	69.4	969.0	951.3	14	977.1	30	9.6	4.0	30	19.2	26.3	3
Oktober	67.2	66.7	66.8	67.4	66.8	66.1	66.6	67.0	966.8	948.8	21	976.5	9	4.1	−6.3	30	12.5	18.0	3
November	70.0	69.8	69.8	70.5	70.0	69.5	70.0	70.3	970.0	958.2	24	980.7	27	−0.4	−10.1	26	5.7	14.7	5
Dezember	64.8	64.6	64.6	65.4	65.0	64.5	64.9	65.1	964.9	943.1	15	984.3	5	1.3	−4.7	1	6.0	10.7	29
Jahr	66.3	66.0	66.1	66.6	66.1	65.5	65.8	66.3	966.1	935.5	II	984.3	XII	4.4	−16.8	I	12.9	32.0	VII

Lufttemperatur

	1h	4h	7h	10h	13h	16h	19h	22h	Mittel	Minimum	Tag	Maximum	Tag
Januar	−0.9	−1.1	−1.3	−1.4	0.0	0.8	−0.2	−0.7	−0.6	−16.0	20	11.3	12
Februar	−0.4	−0.6	−0.6	−0.1	2.0	2.7	1.0	−0.2	0.5	−10.3	19	11.0	2
März	0.4	−0.7	−1.2	1.1	4.6	6.4	4.1	1.6	2.1	−9.0	4. 8	21.3	24
April	4.8	3.4	2.9	8.3	12.3	13.6	12.1	7.6	8.1	−3.7	1	25.7	30
Mai	8.7	7.6	8.5	13.3	15.6	16.6	15.1	10.7	12.0	0.2	23	26.1	6
Juni	12.9	11.9	12.6	16.6	19.6	20.7	18.7	15.0	16.0	4.2	12	27.0	24
Juli	15.6	14.8	15.1	18.0	20.4	21.3	20.4	17.2	17.9	9.7	8	31.6	18
August	14.1	12.8	12.8	17.1	20.1	21.6	19.8	15.7	16.7	5.8	10	26.4	23
September	11.4	10.7	10.7	13.4	16.9	18.5	15.3	12.2	13.6	5.2	29. 30	26.1	3
Oktober	5.7	5.5	5.5	7.2	10.3	11.9	8.7	6.7	7.7	−6.2	30	18.0	3
November	1.7	1.3	0.9	1.7	3.9	5.2	3.2	1.8	2.4	−9.6	26	14.1	5
Dezember	2.9	2.6	2.5	2.8	4.7	5.2	3.4	3.2	3.4	−4.8	1	10.0	28
Jahr	6.4	5.7	5.7	8.2	10.9	12.0	10.1	7.6	8.3	−16.0	I	31.6	VII

Relative Feuchtigkeit

	1h	4h	7h	10h	13h	16h	19h	22h	Mittel	Minimum	Tag
Januar	89	89	90	90	86	83	88	89	88	58	1
Februar	89	89	87	87	78	76	83	88	85	45	13
März	83	86	86	78	63	58	68	79	75	38	24
April	82	87	89	68	52	48	54	72	69	21	20
Mai	88	89	85	65	56	53	59	79	72	31	1
Juni	90	94	91	75	62	57	66	84	77	28	15
Juli	92	93	93	79	70	64	70	87	81	36	1. 18
August	91	94	94	78	65	60	70	88	80	40	24
September	93	95	94	86	72	63	82	91	85	43	3
Oktober	94	94	93	87	74	67	83	90	85	51	3
November	90	90	91	88	82	78	86	90	87	51	16
Dezember	92	92	91	90	83	84	92	92	89	55	30
Jahr	89	91	90	81	70	66	75	86	81	21	IV

Bewölkung in Achteln (Okta)

	1h	4h	7h	10h	13h	16h	19h	22h	Mittel
Januar	7.1	7.2	7.2	7.5	7.4	7.2	6.7	6.9	7.2
Februar	6.6	7.1	7.2	7.6	6.8	6.7	6.0	6.0	6.8
März	4.0	4.7	6.0	5.5	5.5	4.9	4.7	4.4	5.0
April	3.3	3.5	4.5	4.2	4.5	4.6	4.3	3.9	4.1
Mai	4.7	4.8	5.3	5.1	5.2	5.4	4.8	5.2	5.1
Juni	4.7	5.6	5.7	5.1	5.3	5.5	6.1	6.2	5.5
Juli	5.7	6.3	6.5	6.3	5.6	5.2	5.6	6.3	5.9
August	4.6	4.3	5.3	4.9	4.7	4.7	4.9	4.9	4.8
September	4.0	6.2	7.1	6.5	5.0	4.9	4.7	4.4	5.3
Oktober	5.7	6.1	6.6	6.9	5.7	4.6	5.2	4.7	5.7
November	6.7	6.2	7.1	7.3	6.6	6.2	5.9	6.1	6.5
Dezember	7.5	7.2	7.0	7.2	6.6	6.5	7.0	7.0	7.0
Jahr	5.4	5.8	6.3	6.2	5.7	5.5	5.5	5.5	5.7

Nebel — Zahl der Beobachtungstermine

	1h	4h	7h	10h	13h	16h	19h	22h	Total
Januar	6	5	5	3	4	3	5	5	36
Februar	2	2	1	3	—	—	—	2	10
März	—	—	2	1	—	—	—	—	3
April	—	—	—	—	—	—	—	—	—
Mai	—	—	—	—	—	—	—	—	—
Juni	—	5	3	—	—	—	—	—	8
Juli	1	3	1	—	—	—	—	—	5
August	1	1	6	—	—	—	—	—	8
September	4	11	12	2	—	—	—	—	29
Oktober	4	7	7	4	—	—	—	1	23
November	8	10	8	9	5	1	1	8	50
Dezember	5	6	4	5	3	1	2	4	30
Jahr	31	50	49	27	12	5	8	20	202

Niederschlag

	Summe	Maximum	Tag
Januar	150	38	11
Februar	102	21	8
März	38	13	27
April	28	16	8
Mai	111	26	17
Juni	191	47	17
Juli	221	45	13
August	136	31	27
September	117	25	10
Oktober	36	9	6
November	8	2	24
Dezember	126	23	10
Jahr	1264	47	VI

Zahl der Tage

	●	●≥1.0	✳	▲	↖	heiter	trüb
Januar	13	11	6	—	—	—	25
Februar	17	15	11	—	—	—	18
März	8	6	3	—	1	1	7
April	8	7	1	—	—	9	9
Mai	15	14	—	—	3	3	9
Juni	18	15	—	—	7	2	13
Juli	21	17	—	2	8	1	15
August	11	10	—	—	7	4	8
September	13	11	—	—	—	2	9
Oktober	13	9	—	—	—	1	15
November	7	2	2	—	—	1	22
Dezember	22	20	3	—	—	—	23
Jahr	166	137	26	2	26	24	173

Windverteilung

	350°-10°	20°-40°	50°-70°	80°-100°	110°-130°	140°-160°	170°-190°	200°-220°	230°-250°	260°-280°	290°-310°	320°-340°	Calmen
Januar	7	41	38	8	8	4	--	11	20	18	15	6	72
Februar	2	19	15	2	6	12	12	16	49	33	13	5	40
März	2	21	62	27	8	9	8	5	20	26	7	10	43
April	13	11	25	22	11	10	4	10	16	33	17	14	54
Mai	7	22	13	5	8	13	12	14	27	62	21	5	39
Juni	17	22	18	11	9	6	9	11	15	25	30	15	52
Juli	7	22	25	7	7	12	15	7	20	32	23	14	57
August	6	30	21	13	12	7	9	2	18	29	14	10	77
September	4	24	11	10	4	5	7	5	14	34	22	17	83
Oktober	8	17	27	8	6	13	10	7	22	43	13	6	68
November	12	41	30	16	5	10	1	2	11	15	12	15	70
Dezember	6	12	4	9	16	17	20	20	56	25	10	5	48
Jahr	91	282	289	138	100	118	107	110	288	375	197	122	703

Windgeschwindigkeit in Knoten

	1h	4h	7h	10h	13h	16h	19h	22h	Mittel
Januar	5.1	5.8	4.9	4.9	6.2	4.9	5.8	4.8	5.3
Februar	6.4	5.3	6.2	6.1	8.7	8.1	8.0	7.2	7.0
März	6.4	4.8	5.2	7.3	10.3	11.4	6.5	5.9	7.2
April	4.1	3.1	2.2	5.9	7.9	8.8	7.5	3.6	5.4
Mai	3.1	3.5	3.8	8.4	10.5	10.5	8.7	4.4	6.6
Juni	2.6	1.8	3.1	4.9	7.0	8.8	6.4	2.9	4.7
Juli	1.9	2.2	2.3	4.7	6.3	7.2	5.6	2.7	4.1
August	1.9	1.2	1.7	4.1	5.8	6.7	4.3	2.5	3.5
September	1.6	2.1	3.0	4.4	6.0	6.5	3.7	2.3	3.7
Oktober	1.7	2.5	2.9	4.9	7.4	7.0	3.5	2.8	4.1
November	3.9	3.9	3.4	4.9	5.2	4.9	3.1	3.0	4.1
Dezember	4.5	5.5	6.6	5.4	7.4	5.5	5.2	5.1	5.6
Jahr	3.6	3.5	3.8	5.5	7.4	7.5	5.7	3.9	5.1

$\lambda = 8°\ 37'$, $\beta = 46°\ 39'$, $H_p = 2287$ m, $h_T = 2.1$ m

Gütsch ob Andermatt

1955	700 mb + Luftdruck in Millibar													Minimum-Thermometer			Maximum-Thermometer		
	1h	4h	7h	10h	13h	16h	19h	22h	Mittel	Minimum	Tag	Maximum	Tag	Mittel	Minimum	Tag	Mittel	Maximum	Tag
Januar	62.7	62.7	62.3	62.9	62.7	62.4	62.6	62.8	762.6	746.2	18	772.4	24	−8.1	−18.7	3	−2.2	2.8	28
Februar	56.0	55.5	54.9	55.2	55.3	55.1	55.5	55.8	755.4	740.6	19	767.0	8	−12.0	−19.2	15	−6.3	−1.0	7, 8
März	62.8	62.3	62.0	62.4	62.6	62.4	62.5	62.8	762.5	747.5	8	775.8	25	−9.4	−18.4	7	−2.7	7.7	25
April	70.8	70.3	70.3	70.7	71.1	71.0	71.2	71.5	770.9	760.7	1	778.4	13	−5.9	−12.8	17	0.7	7.6	30
Mai	71.3	70.8	70.9	71.3	71.5	71.4	71.2	71.5	771.2	762.4	15	779.9	8	−2.4	−8.5	16, 20	3.4	8.3	1
Juni	73.7	73.1	73.1	73.4	73.5	73.5	73.5	73.9	773.5	761.0	9	781.3	23	2.1	−5.5	12	7.6	14.2	24
Juli	74.9	74.2	74.3	74.5	74.6	74.6	74.6	75.0	774.6	767.1	27	782.2	18	4.5	−0.8	6, 8	10.7	19.0	18
August	75.6	75.0	74.8	75.2	75.4	75.3	75.2	75.6	775.3	766.1	8	782.2	23	3.5	−2.6	10	9.5	14.3	22
September	73.9	73.4	73.4	74.0	74.1	73.9	74.0	74.3	773.9	757.4	15	780.8	25	1.6	−6.3	29	8.1	13.6	8
Oktober	69.7	69.0	68.9	69.5	69.5	69.1	69.4	69.5	769.3	759.1	18	777.7	14	−2.8	−12.2	29	3.5	12.0	14
November	69.4	69.1	68.9	69.5	69.5	69.2	69.4	69.7	769.3	756.6	25	776.6	7	−6.2	−17.0	26	0.0	7.4	6
Dezember	66.1	65.7	65.5	66.1	66.1	65.8	65.9	66.1	765.9	750.4	30	780.9	6	−6.5	−12.6	31	−0.6	6.8	7
Jahr	68.9	68.4	68.3	68.7	68.8	68.6	68.8	69.0	768.7	740.6	II	782.2	VII/VIII	−3.5	−19.2	II	2.6	19.0	VII

	Lufttemperatur												Relative Feuchtigkeit										
	1h	4h	7h	10h	13h	16h	19h	22h	Mittel	Minimum	Tag	Maximum	Tag	1h	4h	7h	10h	13h	16h	19h	22h	Mittel	Minimum	Tag
Januar	−5.5	−5.6	−5.9	−5.2	−3.7	−4.3	−5.3	−5.4	−5.1	−18.6	1	2.2	28	79	78	79	78	77	79	81	80	79	17	26
Februar	−9.6	−9.4	−10.0	−9.6	−8.2	−8.2	−9.7	−10.2	−9.4	−18.0	14	−1.2	9	83	84	85	86	83	80	83	85	84	23	19
März	−7.7	−7.9	−8.0	−6.1	−4.3	−4.8	−6.8	−7.3	−6.6	−18.2	7	7.0	25	77	76	74	70	73	77	81	80	76	29	4
April	−4.3	−4.4	−4.5	−3.1	−1.3	−0.9	−2.5	−3.5	−3.1	−12.6	17	7.2	6	80	76	75	75	75	75	82	83	77	21	13
Mai	−0.9	−1.1	−1.1	0.2	1.7	2.2	0.9	−0.4	0.2	−8.0	16	8.1	1	83	80	80	79	77	78	85	85	81	25	13
Juni	3.4	3.1	3.3	4.9	6.4	6.6	5.2	4.0	4.6	−5.0	12	13.6	24	89	87	86	82	80	79	88	91	85	40	24
Juli	5.9	5.6	5.8	7.7	9.1	8.9	7.8	6.5	7.2	−0.4	6	18.4	18	91	87	87	85	80	84	89	92	87	46	18
August	4.9	4.8	4.8	6.6	7.9	8.2	6.7	5.5	6.2	−2.0	9	14.0	22	89	86	85	81	80	82	88	89	85	57	21
September	3.3	3.2	3.0	4.9	6.9	6.2	4.2	3.5	4.4	−5.8	29	13.2	4	89	85	86	82	77	84	91	89	85	38	30
Oktober	−0.7	−1.0	−1.2	0.4	2.0	1.8	−0.3	−0.6	0.0	−11.2	29	11.8	14	79	81	80	73	71	75	83	79	78	18	9
November	−3.7	−3.7	−3.8	−2.8	−1.4	−2.0	−3.7	−3.7	−3.1	−16.0	25	7.0	6	70	68	68	65	66	68	73	72	69	18	28
Dezember	−3.7	−3.7	−3.9	−3.8	−2.2	−2.6	−4.1	−4.2	−3.5	−13.0	31	6.8	7	75	74	76	77	70	71	77	75	74	18	5
Jahr	−1.6	−1.7	−1.8	−0.5	1.1	0.9	−0.6	−1.3	−0.7	−18.6	1	18.4	VII	82	80	80	78	76	78	83	83	80	17	I

	Bewölkung in Achteln (Okta)									Nebel Zahl der Beobachtungstermine								Niederschlag			Zahl der Tage						
	1h	4h	7h	10h	13h	16h	19h	22h	Mittel	1h	4h	7h	10h	13h	16h	19h	22h	Total	Summe	Maximum	Tag	●	≧1.0	✳	▲	⊼	heiter	trüb
Januar	4.7	4.9	4.5	5.3	5.4	5.9	5.3	5.1	5.1	4	5	5	4	3	2	4	3	30	148	35	11	14	10	13	—	—	5	14
Februar	6.0	6.6	6.7	6.9	6.5	6.8	6.7	5.3	6.4	11	9	9	2	4	5	6	6	52	160	33	8	21	19	21	—	—	—	16
März	3.5	3.6	3.9	3.6	4.7	5.4	5.4	4.3	4.3	3	5	2	2	1	—	4	5	22	37	6	5	13	13	13	—	—	7	10
April	3.8	3.3	4.5	4.2	4.1	5.0	5.4	4.3	4.4	9	7	5	5	3	4	6	10	49	85	17	11	15	11	15	—	—	7	10
Mai	4.7	4.9	5.1	5.2	5.2	5.5	5.4	4.6	5.1	7	5	4	2	1	2	4	6	31	101	13	15, 27	20	16	19	—	—	3	11
Juni	5.4	5.9	5.7	5.8	6.3	6.5	7.1	7.1	6.2	3	5	2	1	—	--	—	4	15	121	49	7	25	17	9	—	1	—	19
Juli	5.6	5.2	5.4	5.6	6.5	6.5	6.9	7.2	6.1	5	3	—	4	3	5	3	6	29	118	13	25	22	21	3	—	5	2	17
August	4.2	4.4	5.2	5.3	5.8	5.9	6.2	5.4	5.3	2	2	2	1	—	—	1	—	8	93	23	30	15	12	4	—	1	1	14
September	4.0	3.7	4.2	4.2	4.7	5.6	5.7	4.6	4.6	5	2	1	1	1	3	3	5	21	70	11	10	15	13	6	—	—	6	11
Oktober	4.1	3.9	4.3	4.8	4.6	4.7	4.7	4.4	4.4	4	4	4	3	2	1	2	5	25	101	49	21	10	7	10	—	—	5	11
November	3.3	3.4	3.4	3.8	4.5	4.8	4.1	3.6	3.9	2	2	2	1	3	2	3	6	21	31	18	24	5	5	5	—	—	7	8
Dezember	4.7	4.7	5.0	5.5	5.1	5.8	4.8	3.9	4.9	2	2	3	1	1	2	5	1	17	113	25	27	18	13	18	—	—	3	10
Jahr	4.5	4.5	4.8	5.0	5.3	5.7	5.6	5.0	5.0	57	51	39	27	22	26	41	57	320	1178	49	X	193	157	136	—	7	46	151

	Windverteilung													Windgeschwindigkeit in Knoten								
	350° -10°	20° -40°	50° -70°	80° -100°	110° -130°	140° -160°	170° -190°	200° -220°	230° -250°	260° -280°	290° -310°	320° -340°	Calmen	1h	4h	7h	10h	13h	16h	19h	22h	Mittel
Januar	0	1	23	20	21	25	36	58	49	12	2	1	—	17.6	15.9	14.6	15.3	15.6	16.1	16.4	15.3	15.9
Februar	34	41	5	12	10	53	39	10	3	1	4	12	—	15.3	14.4	14.3	14.4	15.4	14.1	14.3	15.4	14.7
März	48	37	25	19	18	51	37	6	—	1	2	4	—	12.0	11.4	11.6	11.0	12.3	13.4	12.9	11.9	12.1
April	74	87	15	7	7	21	11	3	2	1	4	8	—	11.3	11.6	10.9	10.6	11.2	11.7	11.1	11.0	11.2
Mai	52	34	12	10	8	67	30	12	3	4	1	13	2	12.7	11.2	11.2	11.8	12.2	13.1	12.8	11.1	12.0
Juni	58	55	18	3	10	52	21	8	2	—	—	10	3	9.4	9.5	8.4	10.3	13.6	14.2	11.7	10.9	11.0
Juli	86	58	20	12	16	18	16	7	—	1	—	14	—	9.1	8.4	9.7	9.5	11.0	10.5	10.4	10.1	9.8
August	72	62	18	13	8	37	22	5	3	1	1	6	—	8.0	8.8	9.7	9.4	10.8	13.2	9.6	8.7	9.7
September	71	46	24	15	9	32	22	6	—	3	—	12	—	9.4	8.0	7.6	8.7	9.7	10.9	9.3	9.6	9.2
Oktober	38	44	18	21	9	49	50	8	2	2	3	4	—	12.5	12.2	11.5	11.4	12.7	13.9	12.7	12.5	12.4
November	58	27	21	18	14	63	25	3	—	—	1	9	1	11.4	12.6	12.0	11.4	11.6	12.6	11.6	12.6	12.0
Dezember	62	36	11	10	6	47	41	14	3	5	5	7	1	12.7	13.0	12.4	12.8	13.4	12.4	11.5	11.5	12.4
Jahr	653	528	210	160	136	515	350	140	67	31	23	100	7	11.8	11.4	11.2	11.4	12.5	13.0	12.0	11.7	11.9

$= 7^\circ 31', \beta = 47^\circ 36', H_p = 268$ m, $h_r = 1.5$m

Aéroport Bâle-Mulhouse

(Station du Réseau Météorologique français)

1955	Pression en millibar 900 mb + 1h	4h	7h	10h	13h	16h	19h	22h	Moyenne	Minima	Jour	Maxima	Jour	Thermomètre à minima Moyenne	Minima	Jour	Thermomètre à maxima Moyenne	Maxima	Jour
Janvier	80.2	80.6	80.4	81.2	80.3	79.5	79.5	79.7	980.2	956.7	15	993.8	25	-2.5	-10.2	19	4.3	14.1	12
Février	75.0	74.2	73.8	74.4	74.6	74.4	74.9	75.4	974.6	954.9	19	991.1	7	-1.1	-7.2	28	5.1	12.0	8
Mars	83.1	82.6	82.7	83.1	82.7	81.6	82.1	82.7	982.6	964.1	21	995.8	4	-1.5	-8.4	18	8.5	23.1	25
Avril	89.9	89.7	90.1	90.5	89.6	88.7	88.9	89.8	989.6	982.3	24.26	999.3	13	2.7	-3.9	20	15.4	27.1	29
Mai	86.4	86.2	86.9	87.0	86.1	85.3	85.5	86.4	986.2	975.5	15.17	998.7	22.23	6.9	0.4	21.23	18.5	28.0	6
Juin	85.6	85.3	85.8	85.8	85.2	84.7	84.7	85.6	985.3	969.0	9	995.9	22	11.6	5.0	12	21.6	28.7	25
Juillet	85.6	85.3	85.5	85.7	85.2	84.8	84.7	85.5	985.3	976.6	26	991.8	7	14.6	9.6	1	23.5	32.9	18
Août	86.8	86.6	86.8	87.2	86.5	85.7	85.6	86.6	986.5	979.3	12	993.1	16	12.4	6.1	10	23.4	27.8	23
Septembre	87.1	86.9	87.3	88.0	87.3	86.6	86.8	87.6	987.2	970.9	14	996.5	30	10.9	4.2	30	19.9	26.2	3
Octobre	85.8	85.3	85.3	86.1	85.5	84.6	85.2	85.5	985.4	966.1	21	995.4	9	4.2	-5.0	30	13.2	19.4	3
Novembre	88.8	88.5	88.7	89.3	88.7	88.1	88.7	89.1	988.7	976.3	4	999.5	27	-0.1	-8.6	27	8.0	20.2	7
Décembre	83.3	83.0	83.2	84.1	83.5	83.0	83.5	83.4	983.4	959.3	15	1004.2	5	1.6	-5.3	2	7.6	13.0	28
Année	84.8	84.5	84.7	85.2	84.6	83.9	84.2	84.8	984.6	954.9	II	1004.2	XII	5.0	-10.2	I	14.1	32.9	VII

	Température de l'air 1h	4h	7h	10h	13h	16h	19h	22h	Moyenne	Minima	Jour	Maxima	Jour	Humidité relative 1h	4h	7h	10h	13h	16h	19h	22h	Moy.	Minima	Jour
Janvier	-0.3	-0.4	-0.5	-0.4	2.1	2.9	1.1	0.4	0.6	-9.6	20	13.6	12	90	90	90	89	80	79	86	87	86	55	18
Février	0.9	0.4	0.3	1.0	3.2	3.7	2.1	1.4	1.6	-6.9	28	11.5	8	88	88	89	87	77	75	83	86	84	50	12
Mars	1.1	-0.1	-0.8	2.6	6.1	7.7	5.2	2.6	3.1	-6.4	18	22.9	25	83	87	88	75	61	57	67	77	75	38	20
Avril	5.4	3.7	3.9	9.7	13.6	14.8	12.7	8.4	9.0	-3.6	1	26.6	29	80	85	87	65	50	47	55	72	68	29	23.26
Mai	9.0	7.8	9.2	13.7	16.3	17.1	15.1	11.1	12.4	0.9	23	26.5	6	83	87	83	64	56	53	61	79	71	25	24
Juin	13.7	12.3	13.5	17.6	19.8	20.2	19.1	15.5	16.5	5.4	12	28.2	25	88	91	88	71	64	62	67	84	77	30	1
Juillet	16.0	15.2	15.9	19.1	21.6	22.2	21.3	17.7	18.6	10.3	1	32.0	18	91	94	93	78	68	66	72	86	81	43	18
Août	14.5	13.4	13.5	17.7	21.3	22.7	20.5	16.7	17.5	7.2	10	27.8	23	91	94	95	79	64	59	72	86	80	39	6
Septembre	12.4	11.5	11.4	14.5	18.3	18.9	16.2	13.4	14.6	4.2	30	26.0	3	94	95	96	85	68	65	82	91	85	46	2
Octobre	6.1	5.6	5.2	8.0	11.6	12.4	9.1	7.0	8.1	-5.0	30	19.4	3	92	94	95	86	72	69	83	91	85	47	23
Novembre	1.7	1.2	0.9	2.9	6.5	7.0	3.9	2.5	3.3	-8.6	27	19.2	7	92	94	93	90	75	73	86	90	87	47	27
Décembre	3.5	3.6	3.2	4.1	6.4	6.3	4.6	4.3	4.5	-5.0	2	12.7	28	92	91	91	89	80	83	89	89	88	37	7
Année	7.0	6.2	6.3	9.2	12.2	13.0	10.9	8.4	9.2	-9.6	I	32.0	VII	89	91	91	80	68	66	75	85	81	25	V

	Nebulosité en huitième (octa) 1h	4h	7h	10h	13h	16h	19h	22h	Moy.	Brouillard Fréquence aux heures d'observation 1h	4h	7h	10h	13h	16h	19h	22h	Total	Précipitations Somme	Maxima	Jour	Nombre de jours •*	•* ≥1.0	*	▲	⊼	Nébulosité < 2/10	Nébulosité > 8/10
Janvier	5.9	6.0	6.3	6.3	6.3	6.5	6.2	6.1	6.2	2	2	4	4	3	2	3	2	22	82	20	12	14	12	2	—	—	1	18
Février	6.1	6.6	6.7	6.9	6.6	6.4	6.8	6.6	6.6	3	3	3	3	2	1	2	2	19	79	14	5	17	14	8	—	—	1	18
Mars	4.5	4.5	5.6	4.8	4.7	4.8	5.1	4.4	4.8	—	—	3	—	—	—	—	—	3	37	12	26	10	8	5	—	—	2	11
Avril	2.9	2.7	3.8	3.8	3.7	4.1	4.2	3.4	3.6	—	—	—	—	—	—	—	—	—	11	8	8	4	3	—	—	—	9	7
Mai	3.8	5.0	5.3	5.1	4.6	5.3	4.6	4.5	4.8	—	1	1	—	—	—	—	—	2	57	20	17	14	12	—	1	3	4	8
Juin	4.7	4.8	5.3	5.2	5.3	5.5	5.7	5.3	5.2	—	—	1	—	—	—	—	—	1	73	26	7	14	11	—	—	5	2	8
Juillet	5.0	6.5	6.4	6.4	5.5	5.6	5.6	5.6	5.8	—	4	2	—	—	—	—	—	6	87	16	3	16	12	—	—	6	1	16
Août	3.4	4.0	5.2	4.1	4.0	4.7	5.1	4.2	4.3	1	3	6	—	—	—	—	—	10	99	33	27	12	10	—	—	6	2	4
Septembre	5.1	5.5	6.4	5.3	4.6	4.7	4.9	3.9	5.1	3	7	10	1	—	—	—	—	21	61	19	9	11	8	—	1	1	4	12
Octobre	4.5	5.5	5.9	5.6	4.3	4.5	4.7	4.7	5.0	3	8	12	4	—	—	—	—	27	23	8	6	9	6	—	—	—	2	9
Novembre	4.6	4.5	5.3	5.7	5.7	5.5	4.6	5.1	5.1	4	5	2	2	—	—	—	3	16	11	7	5	7	2	1	—	—	4	9
Décembre	6.5	6.6	6.2	6.5	6.7	6.7	6.7	6.5	6.6	3	2	1	3	3	2	3	3	20	84	12	10	20	17	—	1	1	1	22
Année	4.8	5.2	5.7	5.5	5.2	5.4	5.4	5.0	5.3	19	35	45	17	8	5	8	10	147	704	33	VIII	148	115	16	3	22	33	142

	Répartitions des vents 50°-310°	20°-40°	50°-70°	80°-100°	110°-130°	140°-190°	170°-190°	200°-220°	230°-250°	260°-280°	290°-310°	320°-340°	sans vent
Janvier	25	8	9	28	12	38	13	10	23	7	14	42	19
Février	9	1	8	13	9	24	11	16	48	19	3	38	25
Mars	31	9	17	27	7	28	6	9	26	10	12	29	37
Avril	25	7	2	5	3	34	7	9	27	20	15	53	33
Mai	11	10	6	6	6	47	6	17	51	39	12	19	18
Juin	11	9	5	13	3	22	12	16	17	25	14	35	58
Juillet	30	10	2	—	4	15	9	11	25	24	15	40	63
Août	18	11	—	11	12	27	16	4	11	21	12	32	73
Septembre	13	4	1	2	10	33	6	11	23	32	7	32	66
Octobre	10	2	—	8	9	30	12	12	23	25	8	20	89
Novembre	14	4	3	16	27	56	10	1	8	6	8	33	54
Décembre	3	1	1	12	12	39	21	30	42	10	8	21	48
Année	200	76	54	141	114	393	129	146	324	238	128	394	583

	Vitesse du vent en noeuds 1h	4h	7h	10h	13h	16h	19h	22h	Moyenne
Janvier	8.0	7.4	8.1	6.4	8.1	9.4	9.2	8.5	8.2
Février	8.0	6.3	7.4	8.3	10.0	10.4	10.1	8.9	8.7
Mars	6.0	5.4	5.5	9.2	9.6	11.3	8.5	7.1	7.8
Avril	4.7	5.5	4.6	8.2	10.9	11.7	9.0	5.3	7.5
Mai	5.5	6.2	6.5	8.8	12.4	12.3	10.0	5.8	8.4
Juin	2.5	3.3	3.0	6.0	8.2	9.9	7.0	3.5	5.4
Juillet	2.5	2.6	2.1	5.0	7.1	8.6	6.7	4.4	4.9
Août	1.6	2.3	2.3	3.3	6.1	7.2	4.9	2.8	3.8
Septembre	2.4	3.5	4.0	4.1	6.5	7.1	3.5	3.4	4.3
Octobre	2.2	2.7	3.4	4.9	5.3	7.2	4.5	3.3	4.2
Novembre	4.6	3.9	3.5	4.5	5.9	5.6	4.7	4.7	4.7
Décembre	6.0	6.5	6.3	6.3	9.1	5.8	6.6	5.3	6.5
Année	4.5	4.6	4.7	6.2	8.3	8.9	7.1	5.2	6.2

$\lambda = 7° 26'$, $\beta = 46° 57'$, $H_p = 572$ m, $h_T = 1.5$

Meteorologisches Observatorium Bern

1955

900 mb + Luftdruck in Millibar

	1h	4h	7h	10h	13h	16h	19h	22h	Mittel	Minimum	Tag	Maximum	Tag
Januar	43.9	44.1	43.8	44.5	44.0	43.2	43.2	43.5	943.8	924.4	16	956.0	25
Februar	39.2	38.5	38.2	38.5	38.8	38.6	39.0	39.4	938.8	922.7	18	953.8	7
März	46.1	45.6	45.6	45.9	45.8	44.9	45.3	46.0	945.7	930.0	21	958.7	4
April	53.2	53.0	53.3	53.6	53.0	52.3	52.4	53.3	953.0	944.8	1	962.0	12. 13
Mai	50.9	50.6	51.0	51.2	50.7	49.7	49.8	50.9	950.6	941.2	15	961.6	22
Juni	50.4	50.0	50.3	50.3	49.8	49.4	49.6	50.4	950.0	934.1	9	960.2	22
Juli	50.6	50.1	50.2	50.4	50.1	49.8	49.7	50.6	950.2	941.9	26	955.4	6
August	51.6	51.3	51.5	51.9	51.4	50.7	50.7	51.6	951.3	945.0	12	957.1	16. 23
September	51.7	51.4	51.7	52.3	51.8	51.3	51.4	52.1	951.7	937.2	14	959.0	30
Oktober	49.8	49.3	49.2	49.8	49.2	48.6	49.1	49.4	949 3	932.6	21	958.6	25
November	52.0	51.7	51.8	52.4	52.0	51.6	52.2	52.3	952.0	940.8	1	962.3	27
Dezember	47.9	47.6	47.7	48.4	48.0	47.5	47.9	48.1	947.9	927.2	15	965.5	5
Jahr	48.9	48.6	48.7	49.1	48.7	48.1	48.4	49.0	948.7	922.7	II	965.5	XII

Minimum-Thermometer

	Mittel	Minimum	Tag
Januar	−2.6	−11.5	19
Februar	−2.2	−12.4	19
März	−1.9	−8.2	7
April	2.9	−2.6	1
Mai	6.6	0.2	23
Juni	11.2	3.8	12
Juli	13.7	6.4	8
August	12.2	6.1	10
September	9.8	3.7	30
Oktober	4.3	−3.3	30
November	0.1	−9.2	27
Dezember	1.3	−4.5	7
Jahr	4.6	−12.4	II

Maximum-Thermometer

	Mittel	Maximum	Tag
Januar	2.6	11.8	12. 13
Februar	3.9	10.4	8
März	6.9	21.6	24
April	14.7	24.6	29. 30
Mai	17.3	26.0	6
Juni	21.0	27.7	25
Juli	22.3	29.5	18
August	21.7	26.6	23
September	18.0	23.9	3
Oktober	12.0	17.4	15
November	5.2	13.0	7
Dezember	6.0	11.2	29
Jahr	12.6	29.5	VII

Lufttemperatur

	1h	4h	7h	10h	13h	16h	19h	22h	Mittel	Minimum	Tag	Maximum	Tag
Januar	−0.3	−0.8	−1.1	−1.1	0.3	1.0	0.3	0.1	−0.2	−10.7	19	11.5	12
Februar	−0.2	−0.7	−0.9	−0.2	1.5	2.6	1.3	0.3	0.5	−11.8	19	10.2	8
März	0.5	−0.3	−0.9	0.8	4.3	6.0	4.3	2.0	2.1	−7.4	7	21.3	24
April	6.1	4.5	3.6	8.1	12.2	13.9	12.1	9.0	8.7	−2.0	1	24.0	30
Mai	9.3	8.1	7.9	12.0	15.0	16.3	14.5	11.3	11.8	1.8	23	25.3	6
Juni	13.5	12.3	12.2	15.7	19.4	19.5	17.8	15.4	15.7	4.4	12	26.1	24
Juli	15.5	14.3	14.3	17.6	20.3	21.2	20.0	17.1	17.5	7.7	8	29.5	18
August	14.3	12.9	12.4	16.0	19.6	21.2	19.2	16.0	16.5	6.7	10	26.6	23
September	11.8	10.9	10.2	12.8	16.0	17.3	15.1	12.7	13.3	3.7	30	23.9	3
Oktober	5.9	5.3	4.9	6.6	10.1	11.3	8.7	6.8	7.5	−3.2	30	16.8	15
November	1.7	1.0	0.5	1.1	3.5	4.6	3.0	2.3	2.2	−9.2	27	12.8	7
Dezember	2.6	2.3	2.3	2.3	4.5	4.9	3.8	3.0	3.2	−4.2	7	11.0	29
Jahr	6.7	5.8	5.4	7.6	10.5	11.7	10.0	8.0	8.2	−11.8	II	29.5	VII

Relative Feuchtigkeit

	1h	4h	7h	10h	13h	16h	19h	22h	Mittel	Minimum	Tag
Januar	94	93	94	93	91	90	92	93	93	63	1. 16
Februar	89	88	89	86	82	78	85	86	85	56	15. 16
März	83	87	87	84	70	61	65	77	77	36	24
April	73	82	88	75	56	49	52	62	67	34	24
Mai	81	89	91	74	60	54	57	69	72	31	13
Juni	87	91	91	77	63	63	70	80	78	34	15
Juli	88	93	92	81	69	66	71	82	80	39	1
August	90	93	95	83	68	61	69	84	80	44	16. 24
September	94	96	97	87	74	69	79	90	86	49	2
Oktober	94	95	96	91	75	71	83	91	87	49	30
November	92	92	92	91	83	81	88	91	89	57	16
Dezember	94	95	95	94	85	87	91	92	92	54	30
Jahr	88	91	92	85	73	69	75	83	82	31	V

Bewölkung in Achteln (Okta)

	1h	4h	7h	10h	13h	16h	19h	22h	Mittel
Januar	7.3	7.5	7.7	7.6	7.5	7.1	7.5	7.4	7.5
Februar	6.1	6.5	7.1	7.4	6.9	6.6	6.3	6.0	6.6
März	4.1	4.5	5.3	5.2	5.7	5.4	5.1	4.4	5.0
April	3.1	3.1	3.9	3.4	3.8	4.4	4.1	3.2	3.6
Mai	4.5	5.4	5.4	5.5	5.6	5.5	5.2	4.5	5.2
Juni	4.9	5.0	5.6	5.1	5.2	6.1	5.8	5.6	5.4
Juli	4.7	5.4	5.3	5.4	5.4	5.3	5.4	5.5	5.3
August	3.2	3.6	4.8	4.8	4.5	4.7	5.3	4.7	4.4
September	4.5	4.2	6.0	5.4	4.9	5.1	4.7	4.3	4.9
Oktober	4.7	5.1	6.4	5.7	5.0	4.8	4.4	4.7	5.1
November	5.9	6.2	6.4	6.4	5 8	5.7	6.3	5.7	6.0
Dezember	6.8	7.0	7.3	6.4	5.9	6.5	6.6	7.3	6.7
Jahr	5.0	5.3	5 9	5.7	5.5	5.6	5.6	5.3	5.5

Nebel — Zahl der Beobachtungstermine

	1h	4h	7h	10h	13h	16h	19h	22h	Total
Januar	7	11	10	9	3	1	5	6	52
Februar	2	—	2	2	—	—	—	—	6
März	—	—	1	—	—	—	—	—	1
April	—	—	—	—	—	—	—	—	—
Mai	—	—	—	—	—	—	—	—	—
Juni	—	1	1	—	—	—	—	—	2
Juli	—	—	—	—	—	—	—	—	—
August	—	1	2	—	—	—	—	—	3
September	—	—	4	—	—	—	—	—	4
Oktober	—	4	8	2	—	—	—	1	15
November	9	7	8	7	1	1	6	6	45
Dezember	6	4	5	5	—	2	5	8	35
Jahr	24	28	41	25	4	4	16	21	163

Niederschlag

	Summe	Maximum	Tag
Januar	135	21	12
Februar	102	18	8
März	30	12	28
April	19	7	8
Mai	132	32	17
Juni	163	43	7
Juli	161	46	11
August	117	29	27
September	76	17	14
Oktober	24	11	6
November	11	4	24
Dezember	103	18	17
Jahr	1073	46	VII

Zahl der Tage

	● *	●* ≧1.0	*	▲	⛆	heiter	trüb
Januar	16	13	6	—	—	—	28
Februar	19	16	15	—	—	—	17
März	8	5	2	—	—	4	10
April	8	5	2	—	—	9	5
Mai	14	13	—	1	—	4	9
Juni	18	15	—	—	5	1	13
Juli	18	15	—	1	8	2	13
August	12	11	—	—	6	3	9
September	13	9	—	—	1	3	9
Oktober	5	4	-	—	—	1	9
November	5	4	2	—	—	3	17
Dezember	21	18	2	—	—	—	23
Jahr	157	128	29	2	20	30	162

Windverteilung

	350° -10°	20° -40°	50° -70°	80° -100°	110° -130°	140° -160°	170° -190°	200° -220°	230° -250°	260° -280°	290° -310°	320° -340°	Calmen
Januar	4	50	8	4	2	9	4	3	30	9	3	1	121
Februar	5	26	1	1	1	15	9	3	57	27	2	2	75
März	9	69	24	8	3	18	15	6	11	15	8	3	59
April	7	68	9	9	1	10	13	2	8	28	4	9	72
Mai	8	19	4	7	2	11	7	20	26	38	10	19	77
Juni	11	38	4	7	10	21	—	8	24	17	6	5	89
Juli	23	49	4	4	5	24	11	13	10	9	3	4	89
August	18	40	2	10	5	23	2	9	4	8	2	7	118
September	13	37	1	5	3	15	3	11	13	11	1	2	125
Oktober	17	36	2	1	—	5	—	14	14	10	1	—	148
November	10	63	6	3	—	5	—	5	3	9	1	2	133
Dezember	5	5	—	3	—	24	2	24	28	15	—	2	140
Jahr	130	500	65	62	32	180	66	118	228	196	41	56	1246

Windgeschwindigkeit in Knoten

	1h	4h	7h	10h	13h	16h	19h	22h	Mittel
Januar	3.1	2.3	2.7	2.2	2.2	2.5	2.5	2.9	2.5
Februar	2.4	2.3	2.3	2.9	3.6	4.4	4.4	4.1	3.3
März	2.6	2.3	2.1	2.9	4.6	5.4	4.3	3.3	3.4
April	1.8	1.6	1.0	2.5	4.3	4.4	3.6	1.3	2.6
Mai	1.0	0.9	1.0	3.3	5.3	5.4	3.3	1.8	2.8
Juni	0.7	1.1	1.2	2.1	3.5	4.6	2.9	1.1	2.2
Juli	0.7	0.9	0.5	1.6	3.6	4.5	2.6	1.4	2.0
August	0.4	0.1	0.2	1.0	2.5	2.8	2.1	1.3	1.3
September	0.8	0.8	0.8	1.5	2.4	2.6	1.2	0.9	1.4
Oktober	0.4	0.6	0.3	1.1	3.4	3.0	1.3	1.2	1.4
November	1.4	1.6	1.5	1.6	2.4	2.4	1.8	1.4	1.7
Dezember	2.0	2.0	1.4	1.5	2.1	2.1	2.2	2.1	1.9
Jahr	1.4	1.4	1.3	2.0	3.3	3.7	2.7	1.9	2.2

$\lambda = 6^\circ\,06'$, $\beta = 46^\circ\,14'$, $H_p = 424$ m, $h_r = 1.5$ m

Aéroport Genève-Cointrin

1955	900 mb + Pression en millibar 1h	4h	7h	10h	13h	16h	19h	22h	Moyenne	Minimum	Jour	Maximum	Jour	Thermomètre à minima Moyenne	Minimum	Jour	Thermomètre à maxima Moyenne	Maximum	Jour
Janvier	61.4	61.4	61.1	61.9	61.4	60.5	60.8	61.0	961.2	941.7	18	973.5	24	0.5	-4.6	3.5	3.7	14.2	12
Février	56.7	55.9	55.6	56.2	56.5	56.2	56.7	57.2	956.4	937.4	19	971.6	7	-1.1	-8.4	15	5.3	11.8	8
Mars	63.4	62.8	62.8	63.5	63.1	62.2	62.4	63.2	962.9	947.0	21	976.6	4	-0.2	-7.2	19	8.8	21.4	25
Avril	70.4	70.3	70.8	71.0	70.2	69.2	69.3	70.3	970.2	962.2	1	979.6	13	3.3	-1.7	18	16.4	25.8	29
Mai	68.2	68.2	68.7	69.0	68.4	67.3	67.3	68.4	968.2	958.1	17	978.7	22	7.2	0.2	20	18.3	26.6	6
Juin	67.6	67.1	67.4	67.6	67.1	66.7	66.5	67.6	967.2	952.3	9	977.4	22	11.0	3.4	12	21.8	29.0	24
Juillet	67.3	66.9	67.1	67.4	66.9	66.5	66.5	67.1	967.0	958.4	26	971.7	17	13.1	6.9	6	24.4	32.4	18
Août	68.5	68.2	68.4	68.7	68.2	67.4	67.3	68.2	968.1	961.7	12	973.9	23	11.8	5.8	10	23.7	28.1	23
Septembre	68.8	68.5	68.8	69.5	68.9	68.2	68.3	69.2	968.8	956.3	14	976.1	30	10.0	5.4	17	19.7	25.4	3
Octobre	67.1	66.7	66.7	67.2	66.6	65.7	66.2	66.7	966.6	950.8	21	975.3	25	4.4	-3.7	30	13.4	18.5	15
Novembre	69.2	69.0	69.0	69.9	69.5	69.0	69.6	69.6	969.3	957.5	1	980.5	27	2.2	-9.4	28	6.5	13.0	2.4
Décembre	65.5	65.3	65.2	66.0	65.7	64.9	65.3	65.6	965.4	944.4	15	983.0	5	1.7	-5.4	8	7.0	12.2	29
Année	66.2	65.9	66.0	66.5	66.0	65.3	65.5	66.2	965.9	937.4	II	983.0	XII	5.3	-9.4	XI	14.1	32.4	VII

	Température de l'air 1h	4h	7h	10h	13h	16h	19h	22h	Moyenne	Minimum	Jour	Maximum	Jour	Humidité relative 1h	4h	7h	10h	13h	16h	19h	22h	Moy.	Minimum	Jour
Janvier	2.3	1.9	1.9	1.9	2.7	3.4	2.5	2.1	2.3	-5.2	19	13.7	12	82	85	85	85	81	77	82	85	83	41	18
Février	1.0	0.5	0.4	1.0	3.1	4.6	2.7	1.4	1.8	-7.2	15	11.2	8	89	91	88	88	76	66	76	84	82	41	16
Mars	1.9	0.9	0.3	3.0	6.7	7.7	5.8	3.6	3.7	-7.2	19	21.0	25	87	91	91	82	63	60	68	80	78	36	19
Avril	6.9	5.1	4.0	9.7	14.0	15.9	14.3	10.0	10.0	-1.2	18	25.6	29	83	89	93	70	52	45	51	69	69	29	21
Mai	10.6	9.1	9.1	13.3	16.3	17.3	16.2	12.3	13.0	1.2	20	25.4	6	81	86	89	67	55	52	57	71	70	26	23
Juin	13.7	12.4	12.9	17.3	19.8	20.6	19.6	16.5	16.6	4.4	12	27.6	24	89	93	92	69	60	57	61	78	75	33	2
Juillet	16.0	14.8	15.2	19.3	22.2	23.3	21.8	18.4	18.9	9.7	6	31.2	18	90	92	92	73	59	55	64	79	76	36	17
Août	14.9	13.5	13.1	18.2	21.3	23.0	21.1	17.3	17.8	7.6	10	28.1	23	91	94	95	74	60	52	64	80	76	34	16
Septembre	12.4	11.4	11.1	14.4	17.6	19.1	17.2	13.7	14.6	5.8	17.30	25.0	3	91	93	92	81	63	58	69	86	79	41	16
Octobre	6.4	5.8	5.8	8.5	11.6	12.9	10.1	7.8	8.6	-3.2	30	18.2	15	90	92	93	84	67	60	74	84	81	40	18
Novembre	3.6	3.3	3.2	3.8	5.4	6.0	4.6	3.9	4.2	-8.2	28	13.0	4	85	87	87	86	78	73	81	85	83	45	16
Décembre	3.9	3.5	3.2	3.5	5.7	6.2	4.6	4.0	4.3	-4.9	8	11.4	29	90	91	92	91	83	80	87	89	88	45	30
Année	7.8	6.9	6.7	9.5	12.2	13.3	11.7	9.3	9.7	-8.2	XI	31.2	VII	88	90	91	79	66	61	70	81	78	26	V

	Nébulosité en huitièmes (octa) 1h	4h	7h	10h	13h	16h	19h	22h	Moy.	Brouillard Fréquence aux heures d'observation 1h	4h	7h	10h	13h	16h	19h	22h	Total	Précipitations Somme	Maximum	Jour	Nombre de jours ●*	≥1.0	*	▲	⚡	Nébulosité <2/10	>8/10
Janvier	7.6	7.7	7.6	7.8	7.5	7.1	7.1	7.2	7.5	3	4	4	4	2	2	2	3	24	150	19	12	16	13	4	—	1	—	27
Février	5.8	6.1	6.8	6.9	6.0	5.6	6.0	5.8	6.1	—	—	2	1	—	—	—	—	3	164	28	8	17	14	10	—	—	—	15
Mars	3.9	3.9	4.6	4.8	5.2	4.7	4.8	4.4	4.5	—	—	—	—	—	—	—	—	—	30	16	21	6	6	1	—	2	6	9
Avril	2.2	2.1	2.6	2.3	2.3	2.5	2.4	1.9	2.3	—	—	—	—	—	—	—	—	—	3	1	8	4	1	—	—	—	15	2
Mai	4.1	4.7	4.8	4.7	4.4	4.4	4.3	4.0	4.4	—	—	—	—	—	—	—	—	—	94	45	17	10	9	-	—	1	4	8
Juin	3.8	4.1	4.5	4.5	5.7	5.7	5.2	5.3	4.9	—	—	—	—	—	—	—	—	—	91	34	7	11	9	—	—	3	4	7
Juillet	2.9	3.4	4.4	4.3	4.4	4.4	4.3	3.3	3.9	—	—	1	—	—	—	—	—	1	69	16	28	12	9	—	—	9	6	2
Août	2.4	2.5	3.9	3.7	3.8	3.7	3.8	2.5	3.3	—	1	—	—	—	—	—	—	1	122	68	30	8	8	—	—	9	10	2
Septembre	4.0	3.7	4.2	5.0	4.1	4.0	4.3	3.2	4.0	—	1	4	1	—	—	—	—	6	48	25	9	8	6	—	—	3	5	6
Octobre	3.7	4.3	5.7	5.8	4.3	4.3	4.0	3.4	4.4	1	3	3	2	—	—	—	—	9	54	18	20	8	7	—	—	—	2	5
Novembre	5.8	6.4	6.8	6.6	6.3	5.7	6.0	5.5	6.1	5	5	9	5	—	1	2	4	31	51	23	9	9	7	1	—	—	3	18
Décembre	7.0	6.5	6.8	6.6	6.7	6.2	5.9	6.3	6.5	4	5	6	4	2	2	3	4	30	94	24	14	19	13	—	—	—	—	18
Année	4.4	4.6	5.2	5.3	5.0	4.8	4.8	4.4	4.8	13	19	29	17	4	5	7	11	105	970	68	VIII	128	102	16	—	28	55	119

	Répartition des vents 350°-10°	20°-40°	50°-70°	80°-100°	110°-130°	140°-160°	170°-190°	200°-220°	230°-250°	260°-280°	290°-310°	320°-340°	sans vent	Vitesse du vent en noeuds 1h	4h	7h	10h	13h	16h	19h	22h	Moyenne
Janvier	16	41	34	7	6	1	3	31	24	8	4	5	68	7.2	5.5	5.8	6.4	7.0	7.3	6.9	6.0	6.5
Février	9	17	18	2	6	7	5	53	29	10	7	4	57	6.1	6.3	6.4	7.9	8.1	10.2	7.8	7.8	7.6
Mars	15	61	39	10	10	4	8	18	22	9	4	6	42	7.5	6.2	5.8	7.5	10.4	10.6	9.7	8.5	8.3
Avril	13	51	73	7	3	3	6	9	4	3	2	7	59	4.4	5.1	3.5	7.6	9.6	11.6	9.5	6.2	7.2
Mai	10	19	29	7	2	5	14	59	31	9	10	10	43	5.5	3.5	4.4	8.9	10.7	11.2	9.9	6.6	7.6
Juin	17	33	34	3	3	6	11	27	25	8	9	7	57	3.4	2.5	2.0	5.7	7.8	8.6	7.2	5.8	5.4
Juillet	6	52	31	10	6	8	6	17	15	8	10	13	66	3.9	3.2	2.3	7.3	9.2	9.5	8.7	4.9	6.1
Août	16	56	38	3	2	8	12	9	9	4	7	13	71	2.5	1.6	1.8	5.4	8.7	8.4	7.5	4.0	5.0
Septembre	18	43	29	2	—	9	16	7	15	2	4	8	87	3.6	3.9	3.4	5.5	7.7	8.4	5.5	4.1	5.3
Octobre	12	40	30	2	—	15	26	19	13	1	3	10	77	3.6	3.2	4.2	7.1	8.3	8.4	6.9	4.4	5.8
Novembre	18	75	27	4	4	2	2	2	2	1	3	10	90	7.9	7.8	7.0	7.1	7.0	7.4	7.3	7.9	7.4
Décembre	9	13	15	3	3	14	33	35	28	7	4	6	78	5.5	5.3	5.4	4.8	6.8	6.8	5.3	5.7	5.7
Année	159	501	397	60	45	82	142	286	217	70	67	99	795	5.1	4.5	4.3	6.8	8.4	9.0	7.7	6.0	6.5

$\lambda = 7° 20'$, $\beta = 46° 13'$, $H_p = 482$ m, $h_r = 1.5$

Sion-Aérodrôme

1955	900 mb + Pression en millibar 1h	4h	7h	10h	13h	16h	19h	22h	Moyenne	Minima	Jour	Maxima	Jour	Thermomètre à minima Moyenne	Minima	Jour	Thermomètre à maxima Moyenne	Maxima	Jour
Janvier	55.6	55.8	55.5	56.3	55.2	54.4	54.7	55.3	955.3	935.3	18	967.9	25	−1.7	−11.5	19	5.5	15.6	27
Février	50.6	49.9	49.7	50.0	49.6	49.1	49.8	50.6	949.9	930.3	19	965.5	7	−2.7	−11.5	19	5.3	15.0	1
Mars	57.1	56.8	56.8	57.1	55.9	54.4	55.0	56.4	956.2	940.1	8	971.4	4	−2.3	−10.8	7	10.3	21.5	24
Avril	63.4	63.6	64.0	64.0	62.2	60.9	61.3	62.9	962.8	954.5	1	974.0	13	1.8	−4.0	17	18.1	26.4	29
Mai	61.9	61.9	62.3	61.9	60.4	59.1	59.4	61.1	961.0	950.7	2	972.0	8	6.1	−0.2	23	20.4	29.0	6
Juin	61.2	61.1	61.2	60.7	59.3	58.6	59.2	60.8	960.3	943.8	9	970.3	23	10.4	2.0	12	23.4	29.4	25
Juillet	60.9	60.9	61.1	60.5	59.1	58.2	58.9	60.4	960.0	950.5	26	966.5	18	11.9	4.8	8	24.8	31.5	18
Août	62.3	62.3	62.6	62.3	60.9	59.8	59.9	61.5	961.5	954.8	12	968.4	23	10.5	4.2	10	23.7	28.4	24
Septembre	62.4	62.2	62.6	62.8	61.3	60.2	60.7	62.4	961.8	947.1	14	970.7	20	8.8	−0.1	30	20.5	24.6	3.4
Octobre	60.7	60.5	60.6	60.7	59.1	57.8	59.0	59.9	959.8	945.4	21	969.9	26	1.8	−4.8	30	15.1	18.8	10
Novembre	63.0	62.7	62.8	63.4	62.2	61.5	62.6	63.3	962.7	950.2	1	974.5	27	−3.2	−12.3	27	8.4	20.7	7
Décembre	60.0	59.9	59.7	60.5	59.8	58.8	59.5	60.0	959.8	940.0	15	977.7	5	−2.2	−7.3	8	6.6	12.6	1
Année	59.9	59.8	59.9	60.0	58.8	57.7	58.3	59.5	959.2	930.3	II	977.7	XII	3.3	−12.3	XI	15.2	31.5	VII

1955	Temperature de l'air 1h	4h	7h	10h	13h	16h	19h	22h	Moyenne	Minima	Jour	Maxima	Jour	Humidité relative 1h	4h	7h	10h	13h	16h	19h	22h	Mittel	Minima	Jour
Janvier	0.1	−0.1	−0.5	−0.4	3.6	4.5	1.5	0.6	1.2	−10.4	19	14.7	27	94	93	94	94	76	73	88	93	88	33	27
Février	−0.4	−0.9	−1.6	−0.3	3.5	4.1	1.8	0.1	0.8	−10.6	19	14.3	1	88	91	94	91	66	64	77	88	82	29	16
Mars	0.8	−0.8	−1.6	2.6	7.8	9.2	5.8	2.6	3.3	−9.6	6.7	21.0	24.25	88	93	95	78	49	47	63	80	74	24	18
Avril	5.4	3.4	3.0	10.5	15.8	17.4	14.3	9.5	9.9	−3.0	17	26.2	29	83	89	91	57	41	39	46	65	64	26	27.28
Mai	8.8	7.4	8.0	14.0	17.8	19.1	16.2	11.4	12.9	0.6	23	27.6	6	86	91	90	60	49	47	56	77	69	26	6
Juin	13.0	11.3	12.6	18.0	21.9	21.6	19.2	15.5	16.6	3.0	12	27.8	24.25	88	93	91	67	55	58	65	81	75	28	2
Juillet	14.5	12.8	13.7	19.3	23.0	23.8	21.2	17.5	18.2	5.0	8	30.6	18	90	94	94	72	60	58	66	81	77	38	18
Août	13.4	11.9	11.6	17.7	21.9	22.7	20.2	16.2	16.9	5.2	10	28.2	24	92	95	96	72	59	58	66	83	78	43	9
Septembre	10.9	10.1	9.7	14.8	19.0	19.5	15.9	12.6	14.1	0.2	30	24.6	3	93	95	95	76	59	61	74	87	80	42	29
Octobre	4.3	3.6	2.8	7.7	13.2	14.0	9.0	5.6	7.5	−4.6	30	18.0	11	93	94	96	83	59	59	81	89	82	32	30
Novembre	−0.3	−1.2	−1.8	−0.2	6.7	7.1	2.7	1.2	1.8	−11.8	27	18.4	7	94	96	95	92	65	67	86	91	86	41	5
Décembre	−0.2	−0.5	−1.0	−0.4	4.9	5.6	1.6	0.5	1.3	−7.0	8	11.7	1	97	97	97	97	80	74	91	94	91	40	1
Année	5.8	4.8	4.6	8.6	13.3	14.0	10.8	7.8	8.7	−11.8	XI	30.6	VII	90	93	94	78	60	59	72	84	79	24	III

1955	Nébulosité en huitièmes (octa) 1h	4h	7h	10h	13h	16h	19h	22h	Moy.
Janvier	6.0	5.9	5.7	5.6	5.9	5.6	5.9	6.2	5.9
Février	4.9	5.5	6.1	6.5	5.8	5.4	5.6	4.5	5.5
Mars	3.9	2.5	3.3	3.6	3.9	4.2	4.1	3.6	3.6
Avril	2.1	2.2	2.8	2.7	3.0	3.3	3.5	2.8	2.8
Mai	4.5	4.5	4.1	4.4	4.4	4.2	4.6	4.2	4.4
Juin	4.1	5.0	4.7	4.8	5.2	5.9	6.2	4.7	5.1
Juillet	3.4	3.6	4.2	4.3	4.7	5.1	5.7	4.7	4.5
Août	2.7	3.1	4.0	3.8	4.5	4.9	5.0	3.8	4.0
Septembre	3.9	4.0	4.7	3.8	3.7	3.4	4.3	3.7	3.9
Octobre	3.0	2.9	3.5	3.5	3.4	3.4	3.5	3.0	3.3
Novembre	3.1	3.1	3.3	3.6	3.5	4.0	3.6	3.4	3.5
Décembre	4.7	4.4	4.1	5.0	5.2	5.1	4.0	4.3	4.6
Année	3.8	3.9	4.2	4.3	4.4	4.5	4.7	4.1	4.2

1955	Brouillard Fréquence aux heures d'observation 1h	4h	7h	10h	13h	16h	19h	22h	Total	Précipitations Somme	Maxima	Jour	Nombre de jours ●/✱	●✱ ≧1.0	✱	▲	K	Nébulosité < 2/10	> 8/10
Janvier	6	5	3	5	2	—	1	2	24	158	33	12	11	11	6	—	—	2	17
Février	—	—	—	—	—	1	—	—	1	196	58	8	13	12	11	—	—	—	11
Mars	—	—	—	—	—	—	—	—	—	32	18	26	4	4	—	—	—	7	4
Avril	—	—	—	—	—	—	—	—	—	1	1	11	1	1	—	—	—	13	2
Mai	—	—	—	—	—	—	—	—	—	62	18	17	13	11	—	—	—	4	7
Juin	—	—	—	—	—	—	—	—	—	30	12	7	9	6	—	—	—	1	7
Juillet	—	—	—	—	—	—	—	—	—	46	15	26	10	9	—	—	1	2	8
Août	—	—	—	—	—	—	—	—	—	89	38	30	13	11	—	—	6	4	4
Septembre	—	—	—	—	—	—	—	—	—	15	9	20	4	3	—	—	2	5	3
Octobre	—	—	1	—	—	—	—	—	1	14	8	6	5	3	—	—	—	10	4
Novembre	—	—	1	1	—	—	—	—	2	6	3	9	4	3	1	—	—	9	6
Décembre	1	—	1	1	—	1	—	3	7	89	20	29	13	12	4	—	—	4	8
Année	7	5	6	7	2	2	1	5	35	738	58	II	100	86	22	—	9	61	81

1955	Répartition des vents 350°-10°	20°-40°	50°-70°	80°-100°	110°-130°	140°-160°	170°-190°	200°-220°	230°-250°	260°-280°	290°-310°	320°-340°	sans vent	Vitesse du vent en noeuds 1h	4h	7h	10h	13h	16h	19h	22h	Moyenne
Janvier	—	5	1	83	1	—	3	—	2	47	—	—	106	2.3	1.8	2.4	2.6	2.0	3.1	1.2	1.6	2.1
Février	—	4	1	66	—	—	19	—	1	39	—	—	94	2.4	1.9	1.9	3.1	2.9	6.3	4.5	3.2	3.3
Mars	—	4	—	63	—	—	3	1	1	97	—	—	79	1.3	1.9	1.7	2.7	5.1	8.1	6.3	2.9	3.7
Avril	—	5	—	49	—	—	—	—	—	106	—	1	79	2.1	1.8	2.1	4.0	6.1	12.4	9.7	3.1	5.1
Mai	—	—	—	48	—	—	—	—	1	121	—	—	78	1.5	2.2	1.2	5.1	6.5	11.8	10.7	2.9	5.2
Juin	1	—	—	42	—	—	—	—	1	94	—	3	99	1.3	1.3	1.1	1.4	6.5	12.0	8.3	2.4	4.3
Juillet	2	—	—	39	—	—	1	—	2	96	—	—	108	0.7	0.5	0.6	2.2	7.5	13.4	8.2	1.9	4.4
Août	—	—	—	50	1	—	—	—	7	77	—	—	113	0.8	0.7	1.2	2.2	4.5	9.7	4.3	2.5	3.2
Septembre	—	—	1	56	—	—	2	—	8	82	—	1	90	1.3	0.9	1.5	2.6	6.8	12.4	4.8	2.5	4.1
Octobre	—	1	—	68	—	1	—	—	1	75	—	—	102	2.0	2.7	1.8	1.2	4.1	8.8	2.8	2.3	3.2
Novembre	1	1	—	81	—	2	1	—	2	43	—	—	109	1.9	2.0	1.8	2.1	2.6	4.9	1.8	1.6	2.4
Décembre	—	—	—	77	—	—	18	—	3	19	—	1	130	1.7	1.6	1.6	1.9	1.8	1.4	2.4	1.4	1.7
Année	4	20	3	722	2	3	47	1	29	896	—	6	1187	1.6	1.6	1.6	2.6	4.7	8.7	5.4	2.4	3.6

$\lambda = 7° 42$, $\beta = 45° 56'$, $H_p = 3488$ m, $h_r = —$ m

Plateau Rosà (Testa Grigia

(Stazione meteorologica dell'aeronautica italiana)

1955	600 mb + Pressione atmosferica in millibar													Termometro minima			Termometro massima		
	1h	4h	7h	10h	13h	16h	19h	22h	Media	Minimo	Giorno	Massimo	Giorno	Media	Minimo	Giorno	Media	Massimo	Giorno
Gennaio	53.3	53.1	52.7	53.3	53.5	53.2	53.1	53.3	653.2	638.9	18	663.4	25	-12.0	-24.2	18	-6.7	-2.7	25
Febbraio	46.7	46.3	45.9	46.0	46.3	46.1	46.3	46.5	646.3	631.1	19	659.5	8	-18.8	-27.8	21	-11.3	-6.4	8
Marzo	53.6	53.1	52.9	53.4	53.8	53.5	53.5	53.7	653.4	635.3	6	669.4	25	-14.5	-26.4	6	-8.3	1.6	25
Aprile	61.9	61.3	60.9	61.4	61.9	62.0	61.9	62.4	661.7	651.6	1	669.7	30	-12.0	-21.9	16	-6.0	1.5	29
Maggio	63.7	62.1	62.9	63.5	63.8	63.9	63.7	63.8	663.4	654.5	16	672.2	8	-8.9	-18.0	19	-1.6	3.2	8
Giugno	66.9	66.4	66.2	66.6	67.0	67.1	67.0	67.2	666.8	655.4	9	673.9	23	-4.2	-11.2	11	1.7	6.6	16
Luglio	68.7	68.1	67.9	68.2	68.6	68.7	68.5	68.8	668.5	661.9	27	677.3	18	-2.0	-7.8	6	3.2	10.0	18
Agosto	69.1	68.5	68.1	68.4	68.9	69.0	68.9	69.1	668.8	658.9	8	675.4	23	-2.8	-9.2	8	2.1	5.6	23
Settembre	67.1	66.6	66.4	67.0	67.4	67.2	67.2	67.5	667.1	649.7	14	673.6	25	-4.7	-14.0	14 . 15	0.9	6.9	3
Ottobre	62.3	61.6	61.4	61.9	62.2	61.9	61.9	62.1	661.9	652.3	18. 29	670.8	14	-8.2	-16.2	29	-3.1	2.4	1. 2
Novembre	60.9	60.7	60.6	61.1	61.1	60.8	60.9	61.1	660.9	645.2	25	669.7	6	-10.4	-23.4	25	-5.0	0.4	3. 7
Dicembre	58.3	58.0	57.7	58.1	58.1	57.7	57.9	58.1	658.0	642.7	30	672.9	6	-12.2	-21.8	31	-6.8	0.9	7
Anno	61.0	60.5	60.3	60.7	61.0	60.9	60.9	61.1	660.8	631.1	II	677.3	VII	-9.2	-27.8	II	-3.4	10.0	VII

	Temperatura dell'aria											Umidità relativa									
	1h	4h	7h	10h	13h	16h	19h	22h	Media	Minimo	Giorno	Massimo	Giorno	1h	4h	7h	10h	13h	16h	19h	22h	Media	Minimo	Giorno
Gennaio	-9.8	-9.8	-9.9	-9.6	-8.5	-8.5	-9.2	-9.4	-9.3	-22.2	2	-3.0	25	76	76	75	74	71	70	73	76	74	1	18.19
Febbraio	-15.4	-15.2	-15.4	-14.9	-14.1	-14.4	-15.2	-15.2	-15.0	-27.2	21	-7.0	8. 9	80	76	80	80	73	76	77	78	78	7	7
Marzo	-12.3	-12.3	-12.6	-11.4	-10.0	-10.3	-11.7	-12.0	-11.6	-25.6	6	0.1	25	61	55	55	53	54	60	66	63	58	1	5
Aprile	-9.7	-9.8	-10.3	-9.1	-8.2	-7.9	-8.9	-9.5	-9.2	-21.0	16	0.9	30	57	48	48	45	51	64	72	70	57	1	2
Maggio	-6.0	-6.4	-6.2	-4.9	-3.9	-3.5	-4.2	-5.5	-5.1	-16.2	19	2.6	8	69	68	57	51	57	62	64	66	62	1	8. 9 19. 18
Giugno	-2.7	-2.7	-2.2	-1.2	-0.1	0.2	-0.7	-2.1	-1.5	-11.1	11	6.2	16	80	73	69	65	68	71	79	86	74	2	14. 24
Luglio	-0.5	-0.9	-0.4	0.7	1.5	1.7	1.1	0.1	0.4	-7.5	6	8.8	18	84	77	71	69	75	77	81	86	78	2	1
Agosto	-1.4	-1.8	-1.9	-0.6	0.5	0.8	0.1	-1.1	-0.7	-9.2	8	4.6	23	75	70	67	62	71	75	78	81	72	2	5. 17
Settembre	-3.1	-3.3	-3.4	-2.1	-0.7	-0.4	-1.6	-2.6	-2.2	-13.8	15	6.2	3	79	76	68	64	71	74	78	76	73	2	2. 16
Ottobre	-5.9	-6.2	-6.2	-5.5	-4.4	-4.4	-5.5	-5.9	-5.5	-15.8	7	1.6	2	52	49	50	47	54	59	60	58	54	2	div.
Novembre	-7.8	-7.9	-8.2	-7.8	-6.9	-7.3	-8.1	-8.0	-7.8	-22.4	25	-0.2	3. 7	49	48	45	44	45	48	52	51	48	2	div.
Dicembre	-9.6	-9.3	-9.4	-9.5	-8.9	-9.0	-9.6	-10.0	-9.4	-20.7	31	-0.2	7	64	63	65	63	61	57	60	61	62	2	div.
Anno	-7.0	-7.1	-7.2	-6.3	-5.3	-5.3	-6.1	-6.8	-6.4	-27.2	II	8.8	VII	69	65	62	60	63	66	70	71	66	1	div.

	Nuvolosità in ottavi (Okta)									Nebbia Numero dei termini di osservazione								Precipitazioni			Numero dei giorni						
	1h	4h	7h	10h	13h	16h	19h	22h	Media	1h	4h	7h	10h	13h	16h	19h	22h	Totale	Somma	Massimo	Giorno	● *	●★ ≧1.0	*	▲	R	Nuvolosità < 2.10	Nuvolosità > 8.10
Gennaio	4.4	4.3	4.6	5.0	5.4	5.3	5.2	4.1	4.8	14	14	16	16	13	13	16	13	115	—	—	—	—	—	—	—	—	6	10
Febbraio	5.1	5.4	5.6	6.1	5.9	5.5	5.6	4.8	5.5	15	13	16	15	13	12	13	13	110	—	—	—	—	—	—	—	—	1	10
Marzo	3.3	2.7	2.4	3.0	3.5	4.3	3.9	3.4	3.3	8	5	3	4	7	10	7	7	51	—	—	—	—	—	—	—	—	10	5
Aprile	2.0	1.6	2.1	2.3	3.2	3.5	3.8	2.2	2.6	5	2	3	2	6	9	10	6	43	—	—	—	—	—	—	—	—	12	2
Maggio	3.8	4.1	3.6	3.7	4.1	4.5	5.0	4.0	4.1	10	11	7	6	8	7	12	11	72	—	—	—	—	—	—	1	5	7	
Giugno	4.3	4.2	3.6	4 3	5.4	5.9	5.9	5.5	4.9	8	9	7	8	11	10	16	12	81	—	—	—	—	—	—	3	3	9	
Luglio	3.9	3.7	3.1	3.6	5.1	6.2	6.6	5.5	4.7	10	9	6	7	11	12	17	18	90	—	—	—	—	—	—	7	1	6	
Agosto	4.4	3.7	3.5	3.8	5.3	5.9	5.4	4.6	4.6	11	10	6	9	11	10	9	13	79	—	—	—	—	—	—	3	3	5	
Settembre	3.4	2.8	3.3	3.4	4.3	5.3	5.5	4.2	4.0	11	7	7	8	11	16	15	12	87	—	—	—	—	—	—	1	3	4	
Ottobre	2.6	2.3	2.9	3.3	3.8	4.3	3.7	2.9	3.2	7	7	7	7	10	11	9	6	64	—	—	—	—	—	—	—	15	7	
Novembre	2.6	3.0	2.9	3.5	3.3	3.8	3.3	2.9	3.2	6	6	6	5	7	5	6	7	48	—	—	—	—	—	—	—	12	4	
Dicembre	3.3	3.7	3.5	4.6	4.3	4.5	3.6	3.2	3.8	6	9	13	8	6	7	9	6	64	—	—	—	—	—	—	—	7	6	
Anno	3.6	3.5	3.4	4.0	4.5	4.9	4.8	3.9	4.1	111	102	97	95	114	122	139	124	904	—	—	—	—	—	—	15	78	75	

	Direzione del vento												Velocità del vento in nodi								
	350° -10°	20° -40°	50° -70°	80° -100°	110° -130°	140° -160°	170° -190°	200° -220°	230° -250°	260° -280°	290° -310°	320° -340°	Calme	1h	4h	7h	10h	13h	16h	19h	22h	Media
Gennaio	13	42	9	9	15	22	54	42	14	12	6	4	6	16.1	14.4	14.3	14.9	15.1	14.7	17.0	17.5	15.5
Febbraio	36	32	5	2	11	2	44	36	14	19	8	13	2	24.0	21.8	23.1	19.6	18.2	17.8	19.1	20.1	20.5
Marzo	19	53	25	2	3	7	32	35	23	5	18	15	11	19.4	19.5	17.9	14.9	12.9	13.4	15.0	15.6	16.1
Aprile	30	129	30	6	1	1	9	8	5	—	4	5	12	18.0	15.6	17.7	20.2	17.4	18.9	22.6	18.0	18.6
Maggio	23	45	5	1	—	1	35	85	17	6	9	13	8	13.2	11.9	12.5	13.2	15.2	14.3	14.4	11.5	13.3
Giugno	19	87	4	3	1	6	34	44	12	9	3	6	12	12.3	12.2	12.5	13.7	12.1	10.4	13.7	13.7	12.5
Luglio	12	104	19	5	—	2	23	38	17	5	4	5	14	13.5	13.0	13.1	11.8	10.1	9.3	11.6	14.0	12.0
Agosto	18	65	36	2	2	2	11	43	35	6	6	4	18	10.0	11.7	10.9	10.1	8.9	8.0	10.1	9.6	9.9
Settembre	7	59	43	2	4	3	29	46	15	4	7	6	15	9.3	9.4	9.8	8.2	7.2	7.4	9.3	9.3	8.7
Ottobre	5	70	30	6	4	8	28	51	16	7	10	5	8	13.6	15.8	15.9	14.0	11.5	13.2	14.8	13.9	14.1
Novembre	11	71	48	1	4	3	37	39	17	1	1	5	2	13.2	14.0	14.6	14.8	14.2	16.4	17.2	16.3	15.1
Dicembre	20	55	40	3	—	7	19	38	18	7	14	26	1	18.3	18.2	16.5	18.2	18.4	18.7	18.9	16.0	17.9
Anno	218	812	294	42	45	64	355	505	203	81	90	107	109	15.1	14.8	14.9	14.5	13.4	13.5	15.3	14.6	14.5

$\lambda = 8° 53'$, $\beta = 46° 10'$, $H_p = 199$ m, $h_r = 1.5$m

Locarno-Aeroporto

1955	900 mb + Pressione atmosferica in Millibar													Termometro Minima			Termometro Massima		
	1h	4h	7h	10h	13h	16h	19h	22h	Media	Minimo	Giorno	Massimo	Giorno	Media	Minimo	Giorno	Media	Massimo	Giorno
Gennaio	90.6	90.5	89.7	90.9	90.2	89.0	89.7	90.5	990.1	971.9	18	1003.4	25	−0.6	−5.4	26	7.6	16.1	13
Febbraio	83.0	82.4	82.1	82.4	82.1	81.4	81.8	82.7	982.2	962.3	19	998.3	8	−0.3	−8.9	22	7.4	14.0	9
Marzo	89.8	89.6	89.7	90.0	89.4	88.1	88 4	89.3	989.3	974.6	8	1005.1	4	1.0	−4.8	8	10.8	17.1	28
Aprile	94.4	94.4	94.9	94.5	93.4	92.1	92.5	94.0	993.8	985.6	24	1002.7	13	3.9	−2.1	18	18.8	25.4	30
Maggio	93.1	93.0	93.6	93.6	92.7	91.7	91.4	92.8	992.7	980.7	15	1003.4	8. 9	8.4	3.6	16	20.2	26.4	1
Giugno	92.6	92.5	92.7	92.5	91.6	90.9	90.5	92.0	991.9	978.9	7	999.3	22	13.2	7.6	12	23.4	28.4	26
Luglio	90.9	90.7	90.9	90.6	89.8	89.2	89.1	90.5	990.2	981.9	27	997.2	17	14.0	9.8	8	20.4	30.6	18
Agosto	93.4	93.1	93.3	93.3	92.5	91.6	91.4	92.8	992.7	982.2	8	1001.9	23	13.1	7.5	9	24.8	28.7	23
Settembre	93.1	92.9	93.2	93.3	92.5	91.4	91.8	93.2	992.7	973.1	14	1002.6	30	11.2	3.3	29	22.9	28.2	1
Ottobre	92.3	91.7	91.9	92.5	91.5	90.5	91.2	91.9	991.7	979.1	18	999.1	9. 14	5.2	−0.2	27	16.6	23.5	8
Novembre	95.6	95.5	95.6	96.4	95.5	94.7	95.4	96.1	995.6	980.2	24. 25	1005 6	27	0.0	−8.0	27	10.6	16.0	7
Dicembre	92.1	91.6	91.5	92.3	91.4	90.6	91.2	91.8	991.6	973.6	16	1008.3	6	−0.9	−5.2	7	8.1	14.9	27
Anno	91.7	91.5	91.6	91.8	91.0	90.1	90.4	91.5	991.2	962.3	II	1008.3	XII	5.7	−8.9	II	16.5	30.6	VII

	Temperatura dell'aria													Umidità relativa								
	1h	4h	7h	10h	13h	16h	19h	22h	Media	Minimo	Giorno	Massimo	Giorno	1h	4h	7h	10h	13h	16h	19h	22h	Media	Minimo	Giorno
Gennaio	1.0	0.7	0.5	1.8	5.6	6.2	3.2	1.7	2.6	−4.8	26	15.4	13	84	85	86	82	65	64	76	81	78	20	18
Febbraio	1.8	0.8	0.4	2.3	5.1	6.3	3.7	2.4	2.9	−8.2	22	13.9	9	74	77	77	73	61	56	64	70	69	23	14
Marzo	4.0	2.6	1.5	5.9	8.8	10.0	7.7	5.5	5.7	−5.0	8	16.6	28	74	78	80	65	53	49	58	67	66	19	18
Aprile	8.6	6.5	5.5	13.0	16.2	18.3	15.8	12.0	12.0	−1.0	18	25.4	30	61	70	75	48	41	35	40	49	53	20	25
Maggio	11.5	19.6	11.0	16.2	18.3	19.6	17.8	14.2	14.8	5.3	9	26.2	1	72	77	74	53	48	45	50	63	60	23	7. 19
Giugno	15.3	14.2	15.3	19.3	21.8	22.6	21.4	17.4	18.4	9.8	12	28.5	26	80	82	80	60	53	54	59	73	68	28	14
Luglio	17.4	15.8	17.0	21.9	24.8	25.2	23.6	19.6	20.7	11.0	8	30,2	18	75	79	77	56	51	51	56	72	65	26	5
Agosto	15.9	14.4	14.8	20.2	23.2	24.2	22.2	18.0	19.1	9.8	11	28.6	23	79	82	81	58	50	49	58	73	66	25	8
Settembre	13.4	12.7	12.3	18.1	21.3	22.4	18.7	15.4	16.8	4.4	29	28.0	1	83	84	83	59	49	48	62	75	68	28	15. 28
Ottobre	7.9	7.3	6.7	11.6	15.2	15.9	11.7	9.4	10.7	0.6	31	23.4	8	82	80	81	67	55	53	69	78	71	19	8
Novembre	2.4	1.5	1.7	4.8	9.0	9.4	4.9	3.2	4.6	−7.2	28	15.4	7	83	86	85	79	59	57	74	81	75	23	25
Dicembre	0.9	0.3	0.2	1.5	6.0	6.2	2.7	1.2	2.4	−5.0	7	13.8	4	87	88	88	87	72	69	79	84	82	31	4
Anno	8.3	7.2	7.2	11.4	14.6	15.5	12.8	10.0	10.9	−8.2	II	30.2	VII	78	81	80	65	55	52	62	72	68	19	III/X

	Nuvolosità in ottavi (Okta)									Nebbia Numero dei termini di osservazione									Precipitazioni			Numero dei giorni						
	1h	4h	7h	10h	13h	16h	19h	22h	Media	1h	4h	7h	10h	13h	16h	19h	22h	Totale	Summa	Maximo	Giorno	●	●* ≧1.0	*	▲	K	Nuvolosità < 2/10	Nuvolosità > 8/10
Gennaio	4.9	4.3	4.4	4.8	4 8	4.9	4.6	4.5	4.7	—	—	1	3	3	2	2	3	14	65	20	6	10	8	4	—	—	5	10
Febbraio	4.3	5.0	5.2	5.3	5.5	5.3	4.4	4.4	4.9	—	—	1	1	2	—	—	—	4	108	27	19	11	11	3	—	—	5	9
Marzo	4.1	3.6	4.2	4.0	4.7	4.7	4.5	4.0	4.2	—	—	—	—	—	—	—	—	—	67	24	21	10	10	2	—	—	5	9
Aprile	1.7	2.3	3.2	2.5	2.9	2.8	2.4	2.0	2.5	—	—	—	—	—	—	—	—	—	0	—	—	—	—	—	—	—	9	1
Maggio	4.0	4 0	4.2	4.1	4.3	4.4	4.7	3.9	4.2	—	—	—	—	—	—	—	—	—	137	34	15	11	11	—	—	1	7	7
Giugno	5.0	5.7	4.7	4.3	4.8	5.1	5.2	4.9	5.0	—	—	—	—	—	—	—	—	—	296	100	7	14	13	—	—	4	3	6
Luglio	3.0	3.1	3.9	3.8	4.1	4.9	4.8	4.3	4.0	—	—	—	—	—	—	—	—	—	188	60	2	13	13	—	—	9	3	3
Agosto	3.4	3.0	4.5	3.9	4.1	3.9	3.9	3.4	3.8	-	—	—	—	—	—	—	—	—	44	23	25	6	6	—	—	3	5	2
Settembre	3.6	3.1	4.3	3.5	3.6	3.3	4.0	3.1	3.6	—	—	—	—	—	—	—	—	—	128	89	7	7	6	—	—	2	8	4
Ottobre	3.7	3.3	4.0	4.3	3.9	4.1	3.8	3.6	3.8	—	—	—	—	—	—	—	—	—	223	73	21	9	9	—	—	3	9	4
Novembre	3.2	2.8	3.8	4.1	4.1	4.2	2.6	2.6	3.4	—	1	4	1	—	—	-	1	7	38	13	30	5	5	—	—	—	11	5
Dicembre	3.8	3.7	3.8	5.2	5.2	4.6	3.2	3.5	4.1	1	1	1	1	1	1	1	2	9	25	16	14	4	4	—	—	—	6	7
Anno	3.7	3.6	4.2	4.2	4.3	4.3	4.0	3.7	4.0	1	2	7	6	6	3	3	6	34	1319	100	VI	100	96	9	—	22	76	67

	Direzione del vento													Velocità del vento in nodi								
	350° -10°	20° -40°	50° -70°	80° -100°	110° -130°	140° -160°	170° -190°	200° -220°	230° -250°	260° -280°	290° -310°	320° -340°	Calme	1h	4h	7h	10h	13h	16h	19h	22h	Media
Gennaio	14	13	18	85	32	12	2	4	13	12	4	6	33	2.5	2.5	2.5	3.1	2.8	2.3	2.6	2.3	2.6
Febbraio	5	12	23	68	35	6	3	1	4	17	5	7	38	3.5	2.5	3.4	3.3	3.7	2.9	2.8	2.6	3.1
Marzo	12	15	11	42	25	4	8	5	19	48	12	10	37	3.5	2.1	1.9	2.5	4.7	5.0	2.9	2.4	3.1
Aprile	24	10	13	33	24	10	3	1	18	60	7	13	24	2.8	2.9	2.3	4.4	6.8	6.8	4.9	4.0	4.4
Maggio	6	6	8	44	17	12	5	2	18	65	8	17	40	2.1	2.6	2.0	4.4	4.8	6.5	4.1	3.8	3.8
Giugno	2	10	14	40	18	3	6	4	16	78	6	8	35	2.9	2.3	2.3	3.0	4.2	5.2	2.4	3.2	3.2
Luglio	4	14	23	51	23	15	5	1	17	45	9	6	35	2.7	2.5	2.1	2.3	4.3	4.7	3.7	2.7	3.1
Agosto	5	11	7	54	21	8	3	3	14	50	7	10	55	2.5	2.1	1.8	2.4	4.5	4.4	2.5	1.4	2.7
Settembre	2	8	16	48	21	17	4	3	13	44	8	4	52	1.9	2.0	1.6	2.1	3 8	3.3	2.6	1.6	2.4
Ottobre	5	7	20	61	24	17	7	—	18	33	8	6	42	2.2	2.3	2.6	2.9	3.9	3.6	2.5	2.0	2.7
Novembre	3	6	16	76	20	11	7	2	17	17	3	6	56	1.4	1.5	2.1	1.2	2.3	2.0	1.9	2.3	1.9
Dicembre	1	8	17	74	44	19	5	1	11	14	4	3	47	1.9	2.1	1.8	2.1	2.1	2.0	2.5	2.1	2.1
Anno	83	120	186	676	304	134	58	27	178	483	81	96	494	2.5	2.3	2.2	2.8	4.0	4.0	2.9	2.5	2.9

$\lambda = 7° 31'$, $\beta = 47° 36'$, $H_p = 268$ m, $h_r = 1.5$ m

Complément pour 1954

Aéroport Bâle-Mulhouse

(Station du Réseau Météorologique français)

1954	Pression en millibar (900 mb +) 1h	4h	7h	10h	13h	16h	19h	22h	Moyenne	Minima	Jour	Maxima	Jour	Thermomètre à minima Moyenne	Minima	Jour	Thermomètre à maxima Moyenne	Maxima	Jour
Janvier	86.5	86.4	86.4	87.0	86.6	86.0	86.5	86.4	986.5	968.9	29	1003.3	18	-4.2	-13.0	31	0.7	11.3	15
Février	81.2	80.2	80.2	80.9	80.4	79.6	80.1	80.5	980.4	968.3	14	997.5	22	-5.0	-20.6	2	2.7	11.7	27
Mars	79.5	79.2	79.4	80.0	79.1	78.0	78.5	79.6	979.2	954.6	4	991.4	21	1.7	-3.2	28	12.7	18.4	22
Avril	87.9	87.4	87.7	87.9	87.1	86.3	86.5	87.4	987.3	973.7	30	997.1	14	2.6	-1.7	12	12.2	19.7	29
Mai	83.4	83.3	83.8	83.8	83.1	82.4	82.5	83.4	983.2	969.0	17	992.2	26	7.4	2.3	6	18.5	28.0	28
Juin	84.6	84.4	85.0	85.1	84.6	84.0	83.8	84.7	984.5	973.3	8	994.3	17	12.1	7.2	30	22.2	31.4	20
Juillet	85.3	85.0	85.2	85.1	84.7	84.2	84.1	85.1	984.8	971.1	18	994.7	20	12.5	6.4	9	21.7	29.9	25
Août	83.3	83.0	83.3	83.6	83.2	82.4	82.2	83.3	983.0	969.7	9	996.3	30	12.6	8.0	12. 17	22.2	31.8	3
Septembre	87.5	87.3	87.5	88.1	87.2	86.1	86.3	87.3	987.2	979.3	27	995.5	30	11.3	1.3	30	20.6	29.4	1
Octobre	88.7	88.5	88.6	89.2	88.5	87.6	88.0	88.5	988.5	969.1	24	999.5	12. 13	6.3	1.2	10	16.5	23.1	19
Novembre	85.5	85.2	85.4	86.0	85.3	84.5	85.0	85.3	985.3	969.1	28	1003.9	16	2.6	-6.6	21	9.8	16.0	6. 8
Décembre	86.2	86.0	86.0	86.7	86.3	86.0	86.4	86.6	986.3	953.1	9	1007.8	3	1.4	-3.3	20	7.3	13.0	28
Année	85.0	84.7	84.9	85.3	84.7	83.9	84.2	84.8	984.7	953.1	XII	1007.8	XII	5.1	-20.6	II	13.9	31.8	VIII

	Température de l'air 1h	4h	7h	10h	13h	16h	19h	22h	Moyenne	Minima	Jour	Maxima	Jour	Humidité relative 1h	4h	7h	10h	13h	16h	19h	22h	Moy.	Minima	Jour
Janvier	-2.2	-2.4	-2.9	-2.6	-0.8	-0.1	-1.2	-2.0	-1.8	-13.0	31	11.2	15	88	87	87	86	80	77	82	85	84	46	24
Février	-3.2	-3.7	-3.7	-2.8	0.7	1.6	-0.4	-1.8	-1.7	-20.6	2	10.8	24	87	88	88	88	75	75	81	86	83	42	22
Mars	3.8	3.0	2.2	5.7	10.1	11.9	9.2	5.9	6.5	-3.0	28	18.0	22	85	87	90	78	62	54	66	80	75	32	28
Avril	5.0	3.8	3.4	7.0	10.1	11.0	9.8	7.0	7.1	-1.4	12	18.4	24	83	87	89	76	63	62	67	77	76	31	12
Mai	9.5	8.4	9.0	13.5	16.5	17.5	15.9	11.9	12.8	3.2	6	26.6	27	86	89	86	67	53	52	59	78	71	31	25
Juin	13.9	12.7	14.0	17.7	19.9	21.1	20.4	16.2	17.0	8.0	30	31.2	20	87	89	84	69	60	57	61	79	73	31	8
Juillet	14.3	13.2	13.9	17.6	19.6	20.3	19.3	15.6	16.7	7.0	9	29.8	25	81	84	82	67	60	55	62	77	71	31	21
Août	14.3	13.3	13.5	17.4	19.8	21.0	20.1	16.0	16.9	8.4	17	31.2	3	88	91	90	75	66	62	66	84	78	32	3. 5
Septembre	13.2	12.4	12.1	15.6	18.8	19.5	17.0	14.4	15.4	1.4	30	28.8	1	90	93	93	80	66	63	77	87	81	41	1
Octobre	8.0	7.6	7.6	10.7	14.8	15.3	11.3	9.1	10.6	1.8	10	23.0	18	94	93	94	83	66	64	85	91	84	44	24
Novembre	4.4	3.8	3.7	5.7	8.6	8.8	6.6	5.4	5.9	-6.4	21	15.1	8	91	92	93	87	76	77	86	88	86	56	4
Décembre	3.5	3.3	3.0	3.3	5.6	5.7	4.1	3.5	4.0	-3.2	20	10.9	28	90	90	91	91	82	83	87	88	88	62	12. 31
Année	7.0	6.3	6.3	9.1	12.0	12.8	11.0	8.4	9.1	-20.6	II	31.2	VI VIII	88	89	89	79	67	65	73	83	79	31	IV / V VI/VII

	Nebulosité en huitièmes (octa) 1h	4h	7h	10h	13h	16h	19h	22h	Moy.	Brouillard – Fréquence aux heures d'observation 1h	4h	7h	10h	13h	16h	19h	22h	Total	Précipitations Somme	Maxima	Jour	Nombre de jours ● ✱	●✱ ≥ 1.0	✱	▲	⚡	Nébulosité < 2/10	Nébulosité > 8/10
Janvier	6.6	6.4	6.5	6.5	6.6	6.8	6.7	6.6	6.6	—	—	—	1	—	—	—	—	1	47	8	13	16	14	9	—	—	3	25
Février	5.3	5.1	5.6	6.6	6.0	5.6	5.6	5.3	5.6	—	1	1	2	2	—	—	—	6	37	9	26	11	7	5	—	—	2	14
Mars	3.8	4.5	4.9	5.6	5.2	4.8	4.9	4.1	4.7	—	1	2	2	—	—	—	—	5	22	6	4	10	6	2	—	—	5	9
Avril	4.6	5.3	5.8	5.7	6.2	6.2	5.9	4.8	5.6	—	—	2	—	—	—	—	—	2	52	15	5	11	9	2	—	2	3	12
Mai	4.3	4.4	4.2	4.7	5.1	5.5	5.6	4.6	4.8	—	—	—	—	—	—	—	—	—	48	11	29	13	11	—	2	1	3	11
Juin	4.3	5.2	5.3	5.3	5.3	5.3	4.6	4.6	5.0	—	—	—	—	—	—	—	—	—	66	32	21	10	9	—	—	1	3	9
Juillet	4.8	5.5	5.5	5.5	5.9	5.5	5.5	5.1	5.4	—	—	—	—	—	—	—	—	—	54	13	1	15	10	—	—	—	3	13
Août	4.3	5.0	5.5	5.8	5.9	5.7	5.5	4.6	5.3	1	2	2	—	—	—	—	—	5	155	31	20	17	15	—	—	3	3	13
Septembre	4.7	5.1	5.9	5.7	5.0	5.3	5.3	5.4	5.3	—	—	—	—	—	—	—	—	—	95	16	11	19	15	—	—	5	2	60
Octobre	4.0	5.4	5.4	4.9	4.5	4.4	4.1	3.3	4.5	2	3	5	1	—	—	—	—	11	31	11	19	8	6	—	—	—	4	5
Novembre	5.2	5.3	5.8	6.2	5.8	6.3	6.3	5.7	5.8	2	2	2	—	—	—	—	1	7	48	16	28	13	7	1	—	—	1	13
Décembre	6.3	6.7	6.4	6.9	5.8	5.9	6.1	6.3	6.3	3	4	1	3	—	1	1	1	14	76	45	9	17	9	3	—	—	—	17
Année	4.9	5.3	5.6	5.8	5.6	5.6	5.5	5.0	5.4	8	13	15	9	2	1	1	2	51	731	45	XII	160	118	22	2	12	32	151

	Répartition des vents 350°-10°	20°-40°	50°-70°	80°-100°	110°-130°	140°-160°	170°-190°	200°-220°	230°-250°	260°-280°	290°-310°	320°-340°	sans vent	Vitesse du vent en noeuds 1h	4h	7h	10h	13h	16h	19h	22h	Moyenne
Janvier	23	9	3	16	9	21	4	9	51	17	3	54	29	8.9	8.5	8.8	9.2	10.8	10.6	9.2	7.7	9.2
Février	26	5	4	8	13	26	14	17	16	6	3	37	49	5.8	6.2	6.5	5.7	9.0	8.0	6.0	5.8	6.6
Mars	16	10	—	15	26	44	6	12	30	15	10	23	41	5.1	5.2	5.4	7.4	8.1	10.5	7.2	5.9	6.8
Avril	47	24	2	10	3	16	5	12	17	14	9	59	22	6.1	6.3	7.2	9.0	11.2	11.3	10.3	6.8	8.5
Mai	23	10	5	12	6	25	11	15	24	20	17	31	49	3.6	3.5	5.2	6.9	8.7	8.9	6.8	4.5	1.0
Juin	10	6	4	13	9	21	5	15	29	26	18	23	61	2.5	3.5	3.9	5.9	7.1	7.8	6.0	3.5	5.0
Juillet	5	1	1	9	15	14	6	10	67	49	8	9	54	4.6	4.1	4.9	7.7	11.3	11.4	9.4	3.9	7.2
Août	5	1	4	13	17	42	12	13	39	19	7	7	69	3.5	3.7	4.1	7.0	7.3	6.7	5.5	4.0	5.3
Septembre	3	6	—	8	9	29	15	23	45	24	12	14	52	4.4	4.3	3.7	6.3	8.4	8.6	4.9	4.5	5.7
Octobre	3	4	1	11	13	67	25	8	34	21	3	6	52	4.4	5.0	5.2	7.1	7.9	7.2	4.5	4.4	5.7
Novembre	4	3	5	24	40	48	12	10	12	11	11	23	37	4.5	3.7	3.9	4.8	6.4	5.9	6.0	5.3	5.1
Décembre	11	3	3	16	27	39	9	23	60	13	6	17	21	6.3	7.8	6.1	5.7	7.4	7.3	7.5	5.6	6.7
Année	176	82	32	155	187	392	124	167	424	235	107	303	536	5.0	5.2	5.4	6.9	8.6	8.7	6.9	5.2	6.5

$\lambda = 7° 42$, $\beta = 45° 56'$, $H_p = 3488$ m, $h_r =$ — m

Plateau Rosà (Testa Grigia

(Stazione meteorologica dell'æronautica italiana

1954	600 mb + Pressione atmosferica in millibar 1h	4h	7h	10h	13h	16h	19h	22h	Media	Minimo	Giorno	Massimo	Giorno	Termometro minima Media	Minimo	Giorno	Termometro massima Media	Massimo	Giorno
Gennaio	50.1	49.8	49.4	49.8	50.0	49.8	50.0	50.1	649.9	633 6	31	667.3	19	-17.5	-24.8	4	-11.8	-3.0	15
Febbraio	48.6	48.2	47.8	48.2	48.4	48.0	48.4	48.6	648.3	637.4	2	658.8	22	-15.4	-22.1	8	-9.9	-4.8	14
Marzo	52.5	51.9	51.8	52.2	52.5	52.3	52.5	52.8	652.3	633.5	5	661.2	22	-13.4	-21.6	6	-7.5	-1.4	30
Aprile	56.6	55.7	55.6	55.7	56.2	56.3	56.4	56.5	656.1	644.3	20	664.5	4	-12.4	-23.0	17	-6.6	-1.2	4. 5
Maggio	58.8	58.2	58.0	58.4	58.8	58.8	58.9	59.1	658.6	643.4	3	668.9	26	-8.6	-17.2	3. 4	-2.4	3.2	28
Giugno	64.7	64.1	63.9	64.2	64.7	64.8	64.8	65.1	664.5	655.8	7	671.1	20.-22	-3.7	-11.2	7	2.6	7.1	22
Luglio	64.7	63.9	63.5	63.9	64.2	64.4	64.3	64.7	664.2	656.8	1	674.4	24 . 25	-4.5	-13.0	8	1.7	8.0	25
Agosto	64.4	63.9	63.8	64.2	64.6	64.8	64.7	64.9	664.4	655.3	25	676.6	31	-3.0	-8.3	16	2.2	8.8	31
Settembre	67.0	66.5	66.2	66.6	66.9	66.8	66.6	66.8	666.7	657.1	29	676.8	1	-3.9	-15.2	30	1.7	7.4	1
Ottobre	64.6	64.0	63.7	64.2	64.6	64.4	64.4	64.6	664.3	652.9	26	672.4	2	-5.9	-15.2	7	-0.7	4.1	3
Novembre	58.6	58.2	58.0	58.5	58.5	58.2	58.3	58.4	658.3	649.6	28	677.0	2	-9.6	-20.6	15	-4.7	2.2	12
Dicembre	56.9	56.6	56.3	56.5	56.7	56.5	56.7	57.0	656.6	632.5	7	675.6	4	-12.0	-22.9	24	-6.1	0.9	3
Anno	59.0	58.4	58.2	58.5	58.8	58.8	58.8	59.0	658.7	632.5	XII	676.8	IX	-9.2	-24.8	I	-3.5	8.8	VIII

	Temperatura dell'aria 1h	4h	7h	10h	13h	16h	19h	22h	Media	Minimo	Giorno	Massimo	Giorno	Umidità relativa 1h	4h	7h	10h	13h	16h	19h	22h	Media	Minimo	Giorno
Gennaio	-14.8	-15.2	-15.3	-15.1	-14.2	-14.6	-15.0	-14.8	-14.9	-24.4	4	-3.3	16	57	58	57	54	51	55	60	60	56	1	17.18
Febbraio	-13.3	-13.5	-13.5	-13.0	-12.2	-12.5	-13.0	-12.8	-13.0	-21.8	8	-6.6	14	76	72	71	72	69	72	78	76	73	2	18
Marzo	-11.2	-11.4	-11.0	-10.5	-9.8	-9.7	-10.7	-10.9	-10.7	-20.6	6	-3.2	30	60	57	57	60	61	63	65	62	61	1	div.
Aprile	-10.2	-10.7	-10.8	-9.4	-8.5	-8.7	-9.7	-10.1	-9.8	-23.0	17	-1.7	4	75	73	70	63	64	72	82	83	73	1	12.13
Maggio	-7.0	-7.1	-6.6	-4.9	-4.2	-4.0	-5.2	-6.4	-5.7	-16.8	4	2.2	28	75	71	67	61	70	72	77	83	72	0	25
Giugno	-2.0	-2.1	-1.4	-0.4	1.1	1.0	0.2	-1.5	-0.6	-9.8	6	6.6	26	82	77	69	67	71	73	81	86	76	2	26
Luglio	-2.3	-2.4	-2.0	-1.3	-0.2	0.1	-0.8	-1.8	-1.3	-12.6	8	7.6	22 . 25	69	60	57	60	69	69	77	79	68	1	9. 2(
Agosto	-1.4	-1.8	-1.9	-0.8	0.5	0.9	0.0	-1.0	-0.7	-8.1	16	8.2	31	75	72	70	71	76	76	82	81	75	2	12
Settembre	-1.7	-1.7	-1.9	-0.9	-0.3	0.1	-0.9	-1.6	-1.1	-13.7	29	6.6	1	67	59	55	54	65	67	74	76	65	1	div.
Ottobre	-3.8	-3.9	-4.1	-3.5	-2.3	-2.6	-3.7	-3.7	-3.5	-14.6	7	3.2	3	49	44	47	47	49	60	60	51	51	1	div.
Novembre	-7.6	-7.8	-7.8	-7.2	-6.5	-6.7	-7.1	-7.4	-7.3	-20.4	16	0.8	6	57	57	61	54	54	56	53	57	56	1	div.
Dicembre	-8.8	-9.0	-9.4	-9.4	-8.9	-9.3	-9.2	-9.1	-9.1	-21.5	24	0.4	3	55	61	58	51	48	47	51	51	53	1	2.30.31
Anno	-7.0	-7.2	-7.1	-6.4	-5.5	-5.5	-6.3	-6.7	-6.5	-24.4	I	8.2	VIII	66	63	62	60	62	65	70	70	65	0	V

	Nuvolosità in ottavi (Okta) 1h	4h	7h	10h	13h	16h	19h	22h	Media	Nebbia Numero dei termini di osservazione 1h	4h	7h	10h	13h	16h	19h	22h	Totale	Precipitazioni Somma	Massimo	Giorno	Numero dei giorni ●*	●* ≧1.0	✱	▲	K	Nuvolosità < 2/10	Nuvolosità > 8/10
Gennaio	3.6	3.6	3.4	3.8	3.5	4.2	4.3	3.4	3.7	11	11	11	7	7	8	11	7	73	—	—	—	—	—	—	—	—	5	8
Febbraio	3.1	3.3	3.0	4.0	4.3	5.2	4.9	3.3	3.9	8	9	6	7	7	9	10	8	64	—	—	—	—	—	—	—	—	5	6
Marzo	4.0	4.0	3.4	4.0	3.9	4.2	4.2	3.8	3.9	11	11	7	11	8	10	10	13	81	—	—	—	—	—	—	—	—	9	8
Aprile	5.1	4.9	4.5	4.5	5.0	5.3	5.6	5.4	5.1	15	15	12	10	11	12	14	17	106	—	—	—	—	—	—	—	—	6	14
Maggio	4.3	4.0	4.3	4.4	5.0	5.2	5.4	5.1	4.7	12	11	11	13	12	12	12	13	96	—	—	—	—	—	—	—	1	3	9
Giugno	4.5	3.5	3.7	4.2	5.5	6.0	6.2	5.6	4.9	11	5	5	6	14	12	12	12	77	—	—	—	—	—	—	—	5	2	9
Luglio	3.0	2.9	3.2	3.7	4.3	4.9	4.8	4.5	3.9	8	6	5	6	8	7	9	10	59	—	—	—	—	—	—	—	—	5	5
Agosto	4.6	4.0	3.8	4.6	5.5	5.7	5.9	5.3	4.9	13	11	10	10	15	13	15	15	102	—	—	—	—	—	—	—	5	3	9
Settembre	3.7	3.5	3.3	4.1	4.6	5.1	5.1	4.8	4.3	7	7	5	8	9	10	10	12	68	—	—	—	—	—	—	—	4	4	6
Ottobre	2.7	2.5	2.7	2.9	3.1	3.1	3.0	2.2	2.8	7	7	7	6	7	7	5	4	50	—	—	—	—	—	—	—	—	15	1
Novembre	2.5	2.6	3.1	3.1	3.4	3.5	3.3	3.0	3.0	3	3	6	5	6	6	6	5	40	—	—	—	—	—	—	—	—	15	7
Dicembre	3.8	4.1	3.6	3.7	4.0	3.7	3.5	3.3	3.7	11	12	11	9	9	9	9	11	81	—	—	—	—	—	—	—	—	11	8
Anno	3.7	3.6	3.5	3.9	4.3	4.7	4.7	4.1	4.1	117	108	96	98	113	115	123	127	879	—	—	—	—	—	—	—	15	83	90

	Direzione del vento 350°-10°	20°-40°	50°-70°	80°-100°	110°-130°	140°-160°	170°-190°	200°-220°	230°-250°	260°-280°	290°-310°	320°-340°	Calme
Gennaio	28	107	51	8	1	2	4	22	10	3	2	10	—
Febbraio	3	44	53	21	7	11	25	32	16	3	4	2	3
Marzo	8	70	25	3	1	7	52	62	11	1	—	1	7
Aprile	21	75	35	4	—	7	45	33	13	—	1	4	2
Maggio	4	80	39	5	1	4	24	49	24	4	1	2	11
Giugno	8	42	24	2	2	3	36	72	30	2	6	5	8
Luglio	11	102	15	—	3	3	14	57	32	2	6	2	1
Agosto	16	67	10	—	3	5	55	66	14	2	3	5	2
Settembre	18	29	5	1	7	5	51	52	21	10	16	14	11
Ottobre	14	100	20	1	—	1	27	34	17	5	5	4	20
Novembre	11	94	15	1	2	14	53	33	3	—	6	4	4
Dicembre	43	77	24	5	2	7	32	8	6	10	9	23	2
Anno	185	887	316	51	29	69	418	520	197	42	59	76	71

	Velocità del vento in nodi 1h	4h	7h	10h	13h	16h	19h	22h	Media
Gennaio	30.1	28.6	30.0	26.6	25.7	26.2	27.1	29.3	28.0
Febbraio	15.0	15.8	20.0	17.4	18.8	19.3	18.7	16.1	17.6
Marzo	18.5	17.7	18.7	18.5	15.7	17.4	17.4	16.9	17.6
Aprile	18.9	19.4	19.7	19.0	18.1	18.4	17.6	16.9	18.5
Maggio	15.7	14.7	14.2	12.5	11.1	14.2	15.5	15.4	14.2
Giugno	10.6	10.1	10.9	11.3	10.1	9.3	10.6	11.1	10.5
Luglio	17.0	16.8	16.5	14.2	13.2	16.4	17.4	15.5	15.9
Agosto	13.9	14.3	11.7	11.4	11.9	11.5	13.0	12.9	12.6
Settembre	13.8	14.2	14.8	14.0	12.9	12.2	12.6	15.0	13.7
Ottobre	14.2	13.5	16.0	14.0	10.4	9.4	11.2	11.2	12.5
Novembre	17.8	19.5	19.7	17.7	14.8	16.7	18.9	20.6	18.2
Dicembre	20.5	21.0	21.3	21.3	21.0	21.7	22.0	18.0	20.9
Anno	17.2	17.1	17.8	16.5	15.3	16.1	16.8	16.6	16.7

Anhang

zum Jahrgang 1955 der Annalen der

Schweizerischen Meteorologischen Zentralanstalt

Ergänzende Beobachtungen und Abhandlungen

Nr. 1

Übersicht über den Witterungsverlauf in der Schweiz im Jahre 1955

Während in den südöstlichen Landesteilen punkto Wärme im Jahresdurchschnitt keine größeren Abweichungen vom langjährigen Mittel auftraten, wiesen die nordwestlichen Gebiete eine überdurchschnittliche *Temperatur* auf, doch bleibt die positive Abweichung im allgemeinen unter oder in der Nähe von 1/2°.

Die größten Abweichungen in den einzelnen Monaten liegen am Anfang und am Ende des Jahres, indem sowohl der Januar als auch der Dezember viel zu hohe Temperaturen aufwiesen. Der Januar war vor allem auf den Höhenstationen zu warm, der Dezember besonders in den Niederungen der Alpennordseite. Weniger bedeutend sind die negativen Abweichungen. Einzig der März wies ein allgemeines Wärmedefizit auf, während der Februar nur im Alpengebiet wesentlich zu kalt war.

Die *Sonnenscheindauer* zeigt bei fast allen Stationen ein Defizit. (In La Chaux-de-Fonds sind die Werte wie beim Säntis infolge Apparatewechsels im Jahre 1954 nicht mit den früheren Summen vergleichbar, die positiven Abweichungen vom langjährigen Mittel an den beiden Stationen sind offenbar fehlerhaft, doch konnte zunächst noch keine Reduktion vorgenommen werden.) Die Beträge liegen im allgemeinen weniger als 5 % unter dem Mittel, stellenweise sind sie jedoch 10 % unter dem langjährigen Normalwert. Sonnenarm waren speziell die Sommermonate, ferner der Februar und in den Niederungen auch der Januar, während der April größere Überschüsse aufwies.

Die Jahressummen der *Niederschläge* zeigen ein unterschiedliches Bild. Nördlich der Alpen finden wir meist kleinere Überschüsse, am stärksten in den Voralpen sowie im Wallis unterhalb Leuk. In der südöstlichen Landeshälfte (Graubünden, Tessin, Oberwallis und südliche Zentralschweiz) sowie strichweise im Jura (besonders im Raum Delémont-Porrentruy) traten jedoch unternormale Werte auf. Besonders groß ist das Defizit am Alpensüdfuß und in den südlichen Bündnertälern. Im mittleren Tessin wurden größtenteils nur etwa 65—70 % der normalen Mengen gemessen, in Mosogno sogar nur 55 %.

Trocken waren vor allem Frühling und Herbst, mit Ausnahme des Monats Mai auf der Alpennordseite und im Alpengebiet. Die Wintermonate waren dagegen reich an Niederschlägen. Auch der Sommer brachte mehrheitlich einen Überschuß, doch zeigt er ziemlich starke regionale Unterschiede.

Der JANUAR hat sich, wenigstens auf der Nordseite der Alpen, als ein in jeder Hinsicht anormaler Monat erwiesen. Die Temperaturen waren zu hoch, im Mittelland um 1 bis 2°, am Alpensüdfuß um 2°, in den Alpen um etwa 3°. Immerhin sind dies noch keine extrem hohen Werte. — Die Sonnenscheindauer erreichte im südwestlichen und zentralen Mittelland nur ein Drittel des Normalbetrages, was für die meisten Stationen dieses Gebiets das absolute Minimum (pro Januar) seit Beginn der Messungen (1886) bedeutet. Größere Beträge sind im Jura, in den Alpen und am Alpensüdfuß gemessen worden, in Graubünden ein leichter Überschuß. — Ganz ungewöhnlich groß für die Jahreszeit sind die Niederschlagsmengen. Im südwestlichen Mittelland wurde ungefähr das Dreifache des Normalwerts gemessen. Es sind dies Werte, die bisher (seit 1864) nur ein- bis zweimal überschritten worden sind, meist in den Jahren 1867, 1910 oder 1948. Im Wallis sind strichweise noch höhere Werte erreicht worden, so in Sierre und Martigny das Vierfache des Normalbetrages. Im übrigen Hochalpengebiet sowie auf der Alpensüdseite sind die Beträge meist kleiner als das Doppelte des Normalbetrages gewesen. Im Engadin und am Alpensüdfuß waren sie ungefähr normal.

Der Witterungscharakter des Monats mutet eher herbstlich an mit seinen verbreiteten Nebel- oder Hochnebellagen und der mangelnden Schneedecke. Eine solche bestand in der Westschweiz nur während des ersten Monatsdrittels, in den übrigen Gebieten des Mittellandes vorübergehend in der Zeit vom 18. bis 22.

Ende Dezember hatte sich über Nordeuropa ein Hoch aufgebaut, das eine Bisenlage veranlaßte. Sie dauerte bis zum 4. abends. In der Höhe stellte sich bereits am 3. eine warme Südwestströmung ein. Sie gab zu Niederschlägen Anlaß, die am 4. früh im Nordosten als Regen in die kalte Bodenluftschicht fielen, was hier zu verbreiteter gefährlicher Glatteisbildung führte. Nachher war das Wetter trocken bis zum 10., die Niederungen bedeckt und relativ kalt, die Höhen oberhalb 1000 m unter dem Einfluß eines Mittelmeertiefs wechselnd bewölkt und warm. In der Nacht vom 10. zum 11. setzte ein starker warmer Westwind ein. Der Warmlufteinbruch war von verbreiteten Niederschlägen begleitet. Inzwischen war auf der Westseite einer kräftigen Depression über Skandinavien ein Kaltluftstrom aus Norden in Bewegung geraten. Derselbe blieb jedoch in der Breite von Nordfrankreich stehen und gab Anlaß zu einer Störungszone, die das sehr unbeständige Wetter des zweiten Monatsdrittels verursacht hat. Besonders große Niederschlagsmengen gingen am 12. und 13. im Jura nieder, was im Verein mit der Schneeschmelze zunächst hier, später auch im Bereich des Murten-, Bieler- und Neuenburgersees Hochwasser zur Folge hatte. Auch im Wallis ist es zu Hochwasserschäden gekommen. Die Lage wurde verschärft durch den besonders in der Nacht vom 16. zum 17. wehenden sehr heftigen Sturm. In der Nordschweiz ist es zu direkten Sturmschäden gekommen. Es wurden Höchstgeschwindigkeiten von 100 km/Stunde erzielt. Hierbei handelt es sich um das Windfeld von Sturmwirbeln, die sich an der erwähnten Luftmassengrenze auf dem Atlantik entwickelt hatten. Während der ganzen

Störungsperiode verursachte der beständige Luftmassenwechsel Temperaturschwankungen zwischen Null und 10° in den Niederungen. Am 19. hatte das Mittelland unter dem Einfluß eines lokalen Hochs den einzigen durchwegs sonnigen Tag des Monats. Während des letzten Monatsdrittels herrschte eine ruhige Hochnebel- oder Nebellage. Die Höhen oberhalb 1500, später 700 m waren sonnig. Vom 28. bis 30. herrschte fast im ganzen Mittelland den ganzen Tag Nebel.

Die mittlere FEBRUAR-Temperatur war in den Niederungen annähernd normal, eher etwas zu hoch. Die Gipfelstationen weisen ein Defizit von etwa 2° auf. — Die Sonnenscheindauer erreichte im Mittelland und in Graubünden kaum die Hälfte der normalen, also einen ungewöhnlich geringen Betrag. Im übrigen Alpengebiet, am Genfersee und in Basel war sie nur wenig größer. Der Bewölkungsgrad betrug im Wallis, Tessin und Engadin etwa das Anderthalbfache des Normalwertes. — Sehr beträchtlich waren die Niederschlagsmengen. Fast überall wurde ungefähr das Doppelte des Normalbetrages erreicht oder überschritten, in Graubünden und im Genfersee gebiet das Zweieinhalbfache, im Wallis das Dreifache desselben. In Sion sind sogar 188 statt 42 mm Niederschlag gemessen worden, was hier den absoluten Höchstwert (pro Februar) seit Beginn der Messungen (1864) darstellt.

Das Wetter war während des größten Teils des Monats unbeständig. Als sonnige Tage können höchstens gelten: in der Westschweiz der 11., 15., 16. und 24., im Alpengebiet der 11. bis 13. und der 16. und am Alpensüdfuß der 9. bis 11., 13. bis 16. und der 22.

Nach einer ausgeprägten Föhnlage am 1., bei der in den Föhntälern Temperaturen von 14° vorkamen, brach am 3. maritime Luft von Westen her in unser Land ein. Sie war begleitet von einem Sturmwirbel, der am 4. über Belgien lag und in der Schweiz starken bis stürmischen Westwind erzeugte. Niederschläge fielen am 4. besonders in der Westschweiz und im Wallis. Weitere aus Westen heranziehende Störungen verursachten auch an den folgenden Tagen unbeständiges, zeitweise stürmisches Wetter mit wechselnden Temperaturen (über 0° im Mittelland). Besonders am 8. fielen beträchtliche Niederschläge, die im Wallis bedeutende Schäden verursachten, aber auch im Bereich der Juragewässer stellenweise zu Überschwemmungen führten. Inzwischen hatte sich auf dem Atlantik ein meridionaler Hochdruckrücken aufgebaut, welcher kalte Luft aus Norden nach dem Kontinent steuerte. Es trat ein Temperaturrückgang von etwa 5° ein. In dieser Nordströmung traten einige Randstörungen der nordeuropäischen Depression auf, die aber nur wenig Niederschlag verursachten. Eine Schneedecke bestand in den Niederungen der Alpennordseite seit dem 11. Am 18. befand sich ganz Europa im Innern einer Depression. Am 19. entstand wider Erwarten ein kräftiges Tief über Frankreich, das dann ostwärts über die Alpen hinwegzog. Es spaltete sich dabei in zwei Teile, deren nördlicher sich bei uns durch einen Sturm bemerkbar machte, bei dem am 19. um 18.43 Uhr in Zürich Böenspitzen bis zu 105 km pro Stunde registriert wurden, während die Hochstation Säntis den bisher tiefsten Luftdruck von 539 mm Quecksilbersäule feststellen konnte. Ein stationäres Tief, das vom 21. bis 24. über Frankreich lag, verursachte Niederschläge im Tessin und in der Westschweiz. Dann baute sich ein Hoch über Dänemark auf, was am 26. zu einer starken Bise führte. Die Niederungen waren vom 25. bis 27. anhaltend durch Hochnebel bedeckt, die Hochlagen oberhalb etwa 1500 m meist sonnig.

Im MÄRZ blieben die mittleren Monatstemperaturen erheblich hinter dem Normalwert zurück. Die Abweichungen betragen im Mittelland und im Wallis 1 bis 1½ °, im Alpengebiet 1½ bis 2 °, am Genfersee und am Alpensüdfuß meist weniger als 1 °. – Die Sonnenscheindauer war im Mittelland und im Gebiet des Alpennordhangs von der normalen wenig verschieden. Im Wallis und in den Hochlagen der Ostschweiz sowie im Jura erreichte sie 115 bis 125 %. Der Alpensüdfuß hatte dagegen ein Defizit bis zu 20% aufzuweisen. – Die Niederschlagsmengen waren gering. In Nord- und Mittelbünden sowie im Nordtessin ist weniger als ein Drittel, im übrigen Alpengebiet 50 bis 70 %, im Mittelland und am Alpensüdfuß die Hälfte, am Juranordfuß über 80% des Normalbetrages gemessen worden.

Während der ersten zwei Drittel des Monats war das Wetter meist sonnig, aber infolge der Kaltluftzufuhr aus Norden anhaltend kühl, besonders nachts. Die Bisenlage mit Hochnebel im Mittelland (Obergrenze 1800 bis 1500 m), verursacht durch ein Hochdruckgebiet über Norddeutschland, die am 26. Februar eingesetzt hatte, hielt sich bis zum 3. März nachmittags. Dann wurde das Hoch durch ein von Skandinavien her südwärts nach dem Mittelmeer wanderndes Tiefdruckgebiet abgebaut. Obwohl sich unser Land vom 7. an im Innern einer ausgedehnten Mittelmeerdepression befand, blieb das Wetter meist sonnig. Dann wiederholte sich der obige Ablauf nochmals. Ein neues Hoch, dessen Kern am 12. über der Ostsee lag, verursachte in der Schweiz eine neue Bisenlage vom 10. bis 15. und sonniges Wetter vom 12. nachmittags bis zum 16. Auch dieses Hoch wurde durch eine skandinavische Depression von Norden her abgebaut, deren Störungslinie lediglich eine vorübergehende Trübung und mäßige Niederschläge am 17. und 18. zur Folge hatte. Am 20. erschien von Westen her kommend ein Tiefdruckgebiet über dem Ostatlantik und Nordwesteuropa, das nun vom 21. an über West- und Mitteleuropa eine Warmluftströmung von Südwesten her unterhielt. Die in dieser auftretenden Störungen hatten wechselnde Bewölkung, aber wenig Niederschlag zur Folge. Die Ankunft der ersten über Südfrankreich am 21. verursachte in den Alpen starken Föhn. Am 24. bis 27. stiegen die Nachmittagstemperaturen im Mittelland jeweils auf 18 bis 22 °. Die schwache Schneedecke, die sich in den Niederungen noch stellenweise gehalten hatte, verschwand nun rasch. Gegen Monatsende entwickelte sich ein Hoch im Raum Großbritannien–Island. Hinter dem letzten Glied der Atlantikstörungen erfolgte am 27. und 28. ein durch die ersten Gewitter des Jahres eingeleiteter Kaltlufteinbruch aus Norden, der die Morgentemperaturen im Mittelland wieder auf null Grad sinken ließ. Am 30. setzte mit einer neuen Bisenlage der eingangs geschilderte Ablauf ein drittes Mal ein.

Der APRIL brachte den Berglagen oberhalb etwa 1500 m besonders in der Nordostschweiz Temperaturmittel, welche um etwa $^1/_2°$ unter dem langjährigen Durchschnitt liegen; der übrigen Schweiz dagegen übernormale Werte. Die Überschüsse betragen im Tessin und im Genferseegebiet $1^1/_2$ bis 2°, im Mittelland und im Wallis 1 bis $1^1/_2°$, im übrigen Alpengebiet weniger als 1°. — Die Sonnenscheindauer beträgt im Mittelland der Zentralschweiz, im Wallis und Tessin etwas mehr als das Anderthalbfache der normalen. Es sind dies ganz ungewöhnlich hohe Werte, die im Genferseegebiet (seit 1900) nur einmal (1938), in Lugano (Messungen seit 1886) und in La Chaux-de-Fonds (seit 1902) noch nie überschritten wurden. Im nordöstlichen Mittelland und Voralpengebiet waren die Überschüsse etwas kleiner, und in Mittelbünden sinken sie strichweise unter 20% des Normalwerts. — Die Niederschlagsmengen überschreiten das langjährige Mittel im St. Galler Rheingebiet und im Prätigau etwas. In der Westschweiz fiel meist weniger als ein Viertel, auf der übrigen Alpennordseite etwa die Hälfte des Normalbetrages. Der Alpensüdfuß blieb überhaupt niederschlagsfrei, ein Ereignis, welches seit dem Beginn der Messungen (1864) im April noch nie eingetreten ist. Auch das übrige Tessin und das Wallis haben sehr wenig Niederschlag (weniger als ein Zehntel) erhalten.

Die ersten zwei Tage des Monats waren unter dem Einfluß eines Hochdruckgebiets sonnig, aber infolge der vorausgegangenen Kaltluftzufuhr aus Norden noch kühl, besonders am Morgen. Etwas unbeständiges oder jedenfalls stark bewölktes Wetter herrschte auf der ganzen Alpennordseite vom 3. bis 11. Das Hochdruckgebiet lag meist im Westen, anfangs über Frankreich, später im Raum zwischen den Azoren und Großbritannien. Über der Schweiz herrschte eine ziemlich starke Höhenströmung aus Nordwest, so daß unser Land von den Störungslinien der Nordatlantik-Zyklonen überquert wurde. Namhafte Niederschläge fielen besonders in den nordöstlichen Landesteilen am 7., am 8. abends und am 11. nachmittags. Vom 12. bis 14. lag das Hoch über Großbritannien, so daß in der Westschweiz am 12. sonniges Wetter einsetzte. Die übrige Alpennordseite blieb noch stark bewölkt bis zum 18., teilweise im Bereich der Kaltluft, die am 14. von Norden her in unser Land eindrang und hier Aprilwetter (wechselnde Quellbewölkung mit Schauern) verursachte. Vom 19. bis ans Monatsende war das Wetter vorwiegend (mit Ausnahme des 27.) unter dem Einfluß wechselnder Hochdruckgebiete sonnig. Ein weiterer Kaltluftvorstoß aus Norden am 24. blieb infolge des starken Druckanstiegs ohne Folgen. Eine Umstellung der Wetterlage erfolgte am 26. Hinter einer nördlich der Schweiz vorbeiziehenden Störungslinie stieß Warmluft aus dem Gebiet der Azoren gegen den Kontinent vor, so daß die letzten Tage des Monats sehr warm waren und in den Niederungen beinahe sommerliche Temperaturen brachten, wie sie im April höchst selten, im Durchschnitt nur etwa alle 15 bis 20 Jahre beobachtet werden.

Die mittlere Monatstemperatur des MAI hat den Normalwert nur wenig unterschritten. Das Defizit beträgt im Mittelland etwa $^1/_2°$, in der Ostschweiz meist etwas mehr als 1°. — Die Sonnenscheindauer bewegt sich meist zwischen 110 und 120% des Normalbetrages. Nur im Wallis und in der Nordostschweiz sind zum Teil etwas höhere prozentuale Werte gemessen worden. Der Bewölkungsgrad weicht besonders im Mittelland vom normalen kaum ab. — Die Niederschlagsmengen waren auf der Alpensüdseite und auch in den meisten Südtälern des Wallis zu klein, sonst überall zu groß. Am Alpensüdfuß wurde etwa die Hälfte, im Unterwallis und im Gebiet des oberen Genfersees das Doppelte des Normalbetrages gemessen. Das übrige Voralpengebiet und das nordöstliche Mittelland haben etwa 130% des Normalbetrages zu verzeichnen.

Das Wetter war sehr wechselhaft. Während der ersten Woche des Monats wanderten die Zyklonen, vom Atlantik her kommend, ungefähr in der Breite von Großbritannien ostwärts. Sie verursachten in der Schweiz in der Nacht vom 3. zum 4. und vom 6. zum 7. verbreitete Niederschläge, am 4. nachmittags und am 5. starken Westwind. Die Temperatur war während dieser Periode noch relativ hoch, besonders am 1. und 6. im Warmsektor einer Wellenstörung mit Föhn. In Basel wurde am 6. eine Maximaltemperatur von 30° gemessen. Der 8. und 9. sowie der 12. und 13. waren unter dem Einfluß eines kräftigen Hochs sonnig und warm.

Während des zweiten Monatsdrittels verläuft die Zugbahn der Zyklonen über Großbritannien nach Skandinavien. Auf der Nordwestseite wurde Kaltluft vom Pol her nach Süden verfrachtet und brach in mehreren Schüben von Westen bis Nordwesten her in unser Land ein. Die Kaltfronten verursachten Niederschläge am 10. abends, am 11., ferner nach einem sehr stürmischen Tag in der Nacht vom 14. zum 15. sowie am 17. (besonders in der Westschweiz und im Jura) und am 18.

Vom 20. bis 24. lag ein zonales Hochdruckband über der Schweiz. Die oben erwähnten Kaltlufteinbrüche hatten einen erheblichen Temperaturrückgang zur Folge gehabt, und so kam es infolge nächtlicher Aufheiterungen am 20., 21., 23. und 24. zu Nachtfrösten. Am 23. wurden in Bodennähe in Vetroz (bei Sion), in Payerne und Flaach Minimaltemperaturen von etwa minus $4^1/_2°$ gemessen. Es kam zu erheblichen Frostschäden. Im übrigen waren der 23. und 24. allgemein, der 25. und 26. teilweise sonnig. Am Nachmittag des 27. verursachte ein Ausläufer der Atlantikdepression, der von Südwesten heraufgezogen war, verbreitete Niederschläge bei steigender Temperatur. Nachher baute sich eine Hochdruckbrücke über Westfrankreich, Großbritannien, Skandinavien auf. Die Schweiz verblieb im Störungsbereich eines nur in der Höhe sichtbaren Tiefdrucktroges, so daß am Pfingstsonntag (den 29. Mai) besonders im Gebiet des Alpennordhangs noch stark bewölktes Wetter mit Regenschauern herrschte. Der Höhentrog wanderte dann südwärts, und so waren nun wenigstens der Pfingstmontag sowie der 31. bei mäßiger Bise vorwiegend heiter.

Der Juni bietet das Bild eines etwas sonnenarmen, im ganzen aber ziemlich normal verlaufenen Monats. Die Temperatur wich nur wenig vom Normalwert ab. Sie lag fast überall um zirka 0 bis 0,5° über dem langjährigen Mittel. — Die Sonnenscheindauer war allgemein zu klein.

An den meisten Orten wurden nur 80 bis 90 % des Normalbetrages registriert. — Was die Niederschläge anbetrifft, so erhielten das nördliche Voralpengebiet sowie die nördlichen Teile von Graubünden etwas zu geringe Regenmengen. Anderseits finden wir größere Überschüsse vor allem im nördlichen Tessin und im Wallis, wo teilweise 150 bis 200 % des Mittels erreicht wurden. In den übrigen Gebieten liegen die Regenmengen meist zwischen 100 und 120 %.

Der Monat zeigt einen normalen Wechsel zwischen kalten und warmen Perioden. Den drei positiven Temperaturspitzen vom 6., 15. bis 19. und 24./25. Juni steht ein starker Kaltlufteinbruch vom 11. bis 14. Juni gegenüber. Auch zu Beginn und am Ende des Monats war die Temperatur zeitweise unternormal. Bei den Niederschlägen fallen die großen Beträge auf, welche beim Vorstoß feuchter und kühler Luftmassen vom Ozean her in den warmen Kontinent vom 7. auf den 8. Juni fielen. Auch am 26. Juni traten beim Einbruch kühlerer Luftmassen strichweise kräftige Regenfälle mit verbreiteten Gewittern und Hagel auf. Charakteristisch ist das Fehlen längerer Schönwetterperioden. Nur vom 14. bis 16. und vom 23. bis 25. Juni finden wir unter dem Einfluß von Hochdruckzellen, welche vom Azorenhoch her sich abspaltend über Mitteleuropa hinweggingen, sonniges Wetter. Anderseits waren auch die ganz trüben Tage nicht häufig. Nur der 4. Juni, an dem eine Störungslinie über unser Land hinwegging, blieb im größten Teil der Schweiz sonnenlos. Gering war die Sonnenscheindauer auch am 7. und 20. Juni und auf der Nordseite der Alpen noch während des Kaltlufteinbruchs vom 10. zum 11. und während der Staulage vom 23. Juni.

Die mittlere Temperatur des Monats JULI weist nur unbedeutende Abweichungen vom langjährigen Mittel auf. — Dagegen war der Monat in den nordöstlichen Landesteilen und in Graubünden ganz außergewöhnlich arm an Sonnenschein. Die Sonnenscheindauer beträgt hier nur etwa 65% des Normalwerts, ein Betrag, der bisher nur vereinzelt unterschritten wurde. Die Westschweiz, das Wallis und die Alpensüdseite haben etwas größere Beträge aufzuweisen, doch ist der Normalwert nirgends überschritten worden. — Die Niederschlagsmengen sind im Wallis, in den Tessiner Alpen und in Graubünden meist zu klein gewesen, auf der Nordseite der Alpen zu groß. Sie rührten hauptsächlich von Gewitterregen her und sind daher sehr ungleichmäßig verteilt. Im Voralpengebiet und in der Nordostschweiz sind mehr als 150% des Normalwerts gefallen. In Luzern wurden 185 mm gemessen, ein Betrag, der dem bisherigen Maximum dieser Station bis auf wenige Millimeter nahe kommt. Die Niederungen der Alpennordeite haben (außer Lausanne) wesentlich geringere Überschüsse aufzuweisen. Große Beträge sind auch am Alpensüdfuß (Sottoceneri) gefallen. Die Zahl der Regentage war im Alpengebiet teilweise kleiner als die normale. Im Mittelland betrug sie etwa 130% der letzteren.

Am 1. und 2. herrschte in der ganzen Schweiz unter Hochdruckeinfluß sonniges und warmes Wetter. Dann erschien am 4., von Nordwesten her kommend, ein Tief über der Nordsee. Es verursachte einen Kaltlufteinbruch, der in der Schweiz von augedehnten Gewitterregen begleitet war. Während der folgenden Tage, namentlich am 7. und 8., war das Wetter relativ kühl, im Nordosten (im Rückseitebereich eines Höhentiefs) stark bewölkt mit einigen Niederschlägen, in der Westschweiz unter Biseneinfluß sonnig.

Vom 11. bis 14. herrschte in ganz Westeuropa eine sehr flache Druckverteilung, und während der zweiten Monatshälfte bis in den August hinein war sie charakterisiert durch ein Hochdruckgebiet, das sich vom Atlantik nördlich der Azoren nach Großbritannien, zeitweise bis Skandinavien erstreckte, bei meist schwachen Gradienten über West- und Mitteleuropa. Dementsprechend herrschte in der Schweiz meist stark bewölktes Wetter mit Gewitterstörungen. Es fielen dabei strichweise sehr große Niederschlagsmengen in kurzer Zeit auf kleinem Gebiet. Sie verursachten da und dort erhebliche Schäden. Nur der 16., 17. und 18. waren unter dem Einfluß einer nach Mitteleuropa vorgeschobenen Zunge hohen Drucks in der ganzen Schweiz ausgesprochen sonnig, der 23. und 24. unter Biseneinfluß ebenso in der West- und Südschweiz; im Nordosten hatte sich am Vormittag eine Hochnebeldecke gebildet. Auch der 30. war für den Westen und Süden sonnig, während im Nordosten die Rückseite eines Höhentiefs am Vormittag bedeckten Himmel und Niederschläge verursachte.

Die Temperaturen des Monats AUGUST entsprechen im allgemeinen ziemlich genau dem langjährigen Durchschnitt. Im südwestlichen Mittelland, im Alpengebiet und am Alpensüdfuß ist ein leichtes Defizit von höchstens $^1/_2$ ° festzustellen. — Die Sonnenscheindauer blieb in den Niederungen um einige Prozent hinter dem Normalwert zurück. Ganz ungewöhnlich kleine Werte sind in Graubünden registriert worden, in St. Moritz z. B. nur 143 Stunden = 68 % des langjährigen Durchschnitts, was das Minimum dieser Station seit Beginn der Messungen (1911) darstellt. Der Bewölkungsgrad war überall größer als der Normalwert. Die Überschüsse erreichen am Alpensüdfuß und in Graubünden ein Viertel desselben. — Die Niederschlagsmengen waren besonders im Norden des Landes sehr unterschiedlich verteilt, z. B. hat Basel das Doppelte, Lohn (Schaffhausen) nur die Hälfte des dortigen durchschnittlichen Augustwertes aufzuweisen. Auch in Graubünden ist nur etwa die Hälfte des Normalbetrages gefallen. Dagegen haben der Alpennordhang und besonders das Wallis sowie das südwestliche Mittelland geringe Überschüsse zu verzeichnen, die im allgemeinen ein Drittel des Normalbetrages nicht überschreiten.

Vom 1. bis 15. des Monats war das Wetter mit Ausnahme des 5., 6. und 10. auf der Alpennordseite, besonders im Nordosten sowie in Graubünden meist stark bewölkt mit zeitweiligen mäßigen Niederschlägen. Die allgemeine Wetterlage war bis zum 10. charakterisiert durch ein Hoch über dem Atlantik und die östlichen Landesteile befanden sich im Bereich der relativ kühlen, unstabilen Nordströmung seiner Ostflanke. Namhafte Niederschläge waren besonders am 4. im Nordosten und am 7. in der ganzen Schweiz zu verzeichnen. Vom 10. bis 15. erstreckte sich ein Hochdruckband vom Atlantik über

Großbritannien nach Skandinavien. Eine Gewitterzone, die am 12. über Südostfrankreich erschien, verursachte zunächst in der Westschweiz, in der Nacht vom 12. zum 13. dann auch auf der übrigen Alpennordseite größere verbreitete Niederschläge. Das Genferseegebiet, das Wallis und der Tessin waren während dieser ersten Monatshälfte, abgesehen vom 7. und 12., vorwiegend sonnig. Am 5., 6. und 10. war dies in der ganzen Schweiz unter dem Einfluß vorübergehender Hochdruckausläufer der Fall. Um die Monatsmitte verlagerte sich die Hochdruckzone südostwärts. Ihr Kern lag in der Folge über Rußland, später über Skandinavien. Damit begann eine bis zum 24. dauernde Periode vorwiegend sonnigen Wetters für die ganze Schweiz. Hierbei wurden Temperaturmaxima von 27° im Mittelland, von 30° am Alpensüdfuß erreicht. Während der letzten sechs Tage des Monats herrschte in ganz Westeuropa eine flache Luftdruckverteilung und damit eine ausgesprochene Gewitterlage. Bedeutende Gewitterniederschläge sind am 30. besonders in der Westschweiz niedergegangen. Es fällt auf, daß das Gebiet mit der geringsten prozentualen Sonnenscheindauer, nämlich Graubünden, auch relativ sehr geringe Niederschlagsmengen zu verzeichnen hatte. Dies liegt hauptsächlich daran, daß während der Störungsperiode der ersten Monatshälfte Graubünden im Bereich der Nordströmung, eher im Windschatten lag und auch von den großen Gewitterniederschlägen vom 30. verschont blieb.

Der SEPTEMBER war auf der Alpennordseite, im Wallis und in Graubünden meist etwas zu kalt, auf der Alpensüdseite etwas zu warm. Doch sind die Abweichungen vom Normalwert der Temperatur nur vereinzelt größer als ½°. — Die Bewölkungsverhältnisse waren nahezu normal. Die Alpennordseite erscheint etwas zu stark bewölkt, das Wallis, die Alpensüdseite und die Hochstationen zu hell. Das Defizit an Sonnenscheindauer erreichte im Mittelland höchstens 13 % des Normalbetrages. — Die Niederschlagsmengen blieben im allgemeinen ein wenig hinter den Normalbeträgen zurück. Im Mittelland und im Juragebiet betrugen sie meist 80 bis 90% desselben. Im nordöstlichen Alpengebiet sind leichte Überschüsse zu verzeichnen. Ausgesprochen trocken war das Wallis und das obere Tessin, wo strichweise nur etwa ein Drittel des Normalbetrages gemessen worden ist. Das Oberengadin und der Alpensüdfuß haben etwa die Hälfte des Normalbetrages erhalten.

Nachdem die ersten fünf Tage des Monats unter dem Einfluß eines schmalen Hochdruckbandes, das sich von den Azoren über West- und Mitteleuropa bis nach Rußland erstreckt hatte, vorwiegend sonnig und warm, teilweise sogar wolkenlos gewesen waren, brachte eine schwache Störung des nordatlantischen Depressionssystems am 6. fast der ganzen Schweiz einige Niederschläge. Nur das Genferseegebiet und das Wallis blieben bis und mit dem 8. sonnig und trocken. Im übrigen dauerte das unbeständige Wetter während der ersten Monatshälfte fort. Der Alpensüdfuß hat in der Nacht vom 7. zum 8. besonders beträchtliche Mengen an Niederschlag erhalten. Am 9. ging eine flache Tiefdruckrinne von W nach E über unser Land hinweg. Der Einbruch der Rückseiteluft war von Gewittern begleitet. Die Niederschläge dauerten bis zum Abend des 10. Ein ausgesprochener Kaltlufteinbruch, eingeleitet durch eine Depression, die sich recht unerwartet von Island her südostwärts nach Dänemark bewegt hatte, erfolgte am 14. und 15. An diesen Tagen herrschte ausgesprochenes Rückseitewetter mit Regenschauern. Der gesamte Temperaturrückgang betrug etwa 7°. Am 16. lag die Nullgradgrenze in 1600 m Höhe. Nun setzte eine längere Schönwetterperiode ein. Sie war bedingt durch ein Hoch über Mitteleuropa. Etwa am 24. stellte sich jedoch wieder dieselbe Druckverteilung ein wie zu Beginn des Monats. Eine innerhalb der mitteleuropäischen Hochdruckzone zum Stillstand gekommene schleifende Kaltfront hatten am 27. und 28. zwei ausgesprochene trübe Regentage zur Folge. Während der zwei letzten Tage des Monats herrschte dann eine kühle Bisenlage mit sonnigem Wetter in der Höhe und starker Hochnebelbewölkung über den Niederungen der Alpennordseite.

Die Temperatur war im OKTOBER auf der Alpensüdseite im Durchschnitt etwas zu hoch, sonst in der ganzen Schweiz etwas zu niedrig. Die Abweichungen vom Normalwert betragen meist etwa ½°, höchstens 1°. — Die Sonnenscheindauer zeigt im Norden und Süden des Landes mäßige Überschüsse über den Normalwert. Diese waren jedoch nur vereinzelt größer als 30 % desselben. In der Zentral- und Ostschweiz sind strichweise die normalen Beträge gemessen worden. — Sehr gering waren im allgemeinen die Niederschlagsmengen. In der Jurazone, im Mittelland und im mittleren Wallis ist nur ungefähr ⅓ des Normalbetrages gemessen worden. Im Bereich des Alpennordhanges, im Gotthard und Oberwallis sowie im Tessin und in Graubünden wurden im allgemeinen ½ bis ¾, vereinzelt etwa die vollen Normalmengen gemessen, in den Föhntälern anderseits teilweise nur knapp die Hälfte dieses Betrages.

Die erste Monatshälfte war noch relativ warm, die zweite zu kalt besonders gegen das Ende des Monats. Das Wetter war ziemlich veränderlich, trocken und für die Höhen sonnig an folgenden Tagen: 1. bis 3., 8, bis 11., 13. bis 15., 19., 23., 24., 27., 29. und 30. Oktober. Die Niederungen der Alpennordseite waren während dieser Zeit mehr oder weniger neblig, morgens vorwiegend bedeckt durch Nebel oder Hochnebel mit Obergrenzen zwischen 1000 und 1700 m Höhe, nachmittags vom 11. bis 14. stark bewölkt, sonst meist sonnig.

Die Niederschläge vom 4. bis 6. sind zurückzuführen auf die Passage einer flachen Tiefdruckrinne aus Westen in der Nacht vom 4. zum 5. und der Kaltfront einer von Westen kommenden kräftigen Depression am 6. (Zentrum über der Nordsee). Vom 19. abends bis zum 21. abends wehte in den Alpen stürmischer Föhn, wobei u. a. in Altdorf und Glarus Temperaturen bis etwa 19° gemessen wurden. Die Föhnlage wurde verursacht durch eine Depression, die sich über den britischen Inseln aus einer aus Nordnordwesten kommenden Wellenstörung entwickelt hatte. Sie passierte die Schweiz in Gestalt einer Tiefdruckrinne von Westen her am 21. wobei jedoch das Depressionszentrum auch nach dem Einbruch der kalten Luft über Belgien verharrte um erst am 23. unter Ausfüllung nordostwärts abzuziehen. Außer normalen Föhnniederschlägen im Tessin sind nur in den

Alpen strichweise Tagesmengen von mehr als 30 mm gefallen. An weiteren Störungen sind zu verzeichnen zwei Kaltlufteinbrüche aus Nord bis Nordwest am 16. und 17. sowie am 28. eingeleitet durch Depression über Nordeuropa bei hohem Druck auf dem Atlantik westlich der britischen Inseln. Der Temperaturrückgang betrug jeweils etwa 10° (in der Höhe). Dabei fielen nur im Osten, Nordosten und Süden der Schweiz namhafte Niederschläge, da sich nach der Kaltfrontpassage jeweils ein kräftiger Hochdruckkeil entwickelte. Die nachfolgende Aufheiterung hatte im Mittelland und im Wallis am 29., 30. und 31. erhebliche Nachtfröste zur Folge.

Der Monat NOVEMBER brachte den Niederungen der Alpennordseite im allgemeinen Durchschnittstemperaturen von $^1/_2$—1° unter dem Normalwert. Dagegen sind die Abweichungen vom Mittel südlich der Alpen gering und auf den Berggipfeln war es sogar um etwa einen halben Grad wärmer als im langjährigen Durchschnitt.

Die Gipfel weisen auch etwa $^1/_3$ zu große Sonnenscheindauer auf, während diese in den Niederungen nur wenig über dem Mittel liegt, vereinzelt sogar wesentlich darunter. Der Bewölkungsgrad lag dementsprechend meist 5—20% unter dem Mittelwert, im Mittelland aber strichweise etwas darüber.

Ungewöhnlich war die Niederschlagsmenge. Nachdem schon der Oktober allgemein unternormale Monatssummen ergeben hatte, war der November noch viel trockener und es wurden meistens nur $^1/_6$—$^1/_4$ der mittleren Niederschlagsmenge gemessen, strichweise im Westen und Süden des Landes etwa die Hälfte des Normalbetrages. Die Monatsumme liegt bei den meisten Stationen zwischen 10 und 40 mm und wir müssen bis in die Jahre 1920 und 1924 zurückgehen, um ähnlich trockene November zu finden.

Die ersten 12 Tage des Monats zeigen eine sehr stabile Druckverteilung mit einem Hochdruckgebiet über Osteuropa und Tiefdruckgebieten im Westen. Die allgemeine Südströmung über der Schweiz ließ die Temperaturen mehrere Grade über den Mittelwert ansteigen. Das Wetter war besonders in den Bergen zeitweise sonnig, vor allem vom 5. bis 7. Am Alpensüdfuß brachte der 9. und 10. je etwa 10 mm Niederschlag.

Vom 12. auf den 13. November trat eine rasche Verlagerung des hohen Druckes von Rußland nach den britischen Inseln und dem westlichen Atlantik ein, wo er bis zum 25. November mit wenig Änderung verblieb. Diese zweite Wetterperiode brachte auf der Alpennordseite unternormale Temperaturen, da sich in der Schweiz nördliche bis östliche Strömungen einstellten. Anfangs gab es strichweise am Alpennordhang etwas Niederschlag, am 13. auch nochmals im Tessin, dann breitete sich ein hochliegendes Nebelmeer mit Obergrenze zwischen 1000 und 2000 m nördlich der Alpen aus, mit Aufhellungen, so daß nicht nur die Höhen, sondern auch zeitweise die Niederungen Sonne erhielten.

Den Abschluß der zweiten Periode bildete ein sehr starker Kaltlufteinbruch am 24. und 25., mit allgemeinem Schneefall nördlich der Alpen. In der Folge verlagerte sich der Hochdruck nach Mitteleuropa, was eine in der Niederung immer noch kalte, in der Höhe, über dem bis gegen 800 m reichenden Nebelmeer, aber verhältnismäßig warme Witterung mit sich brachte.

Wie schon der Dezember 1954 brachte auch der DEZEMBER 1955 der Alpennordseite eine ungewöhnliche Wärme. Die Abweichungen waren mit etwa 4° über dem Normalwert im Mittelland sogar noch größer als im Vorjahr. Sie waren seit dem außerordentlich warmen Dezember 1934, der etwa 5° höhere Temperaturen als das Mittel gebracht hatte, nicht wieder erreicht worden. Im Alpengebiet, welches im Dezember 1953 ungewöhnliche Wärme aufgewiesen hatte, und in der Westschweiz waren die Überschüsse etwas kleiner, meist 3 bis 4°, auf den Gipfeln 2 bis 3°, im Tessin etwa 1½°.

Die Sonnenscheindauer zeigt keine einheitlichen Abweichungen vom Durchschnitt. Im zentralen und östlichen Mittelland wurden Beträge von 1¼ bis 1½ des langjährigen Mittels gemessen, sonst etwa 90 bis 100%, auf den Bergen sogar teilweise nur 70 bis 80%.

Die Niederschläge sind ebenfalls regional stark verschieden. Die Alpennordseite zeigt allgemein Überschüsse in bezug auf den Normalwert. Im Westen und am Alpennordhang liegen die Summen zwischen 120 und 140%, im Mittelland um 150 bis 175%, und im Norden wurde annähernd die doppelte Menge erreicht. Dagegen blieben die südlichen Wallisertäler, das Engadin und besonders das Tessin niederschlagsarm, wurden doch südlich der Alpen weniger als $^2/_3$, im allgemeinen nur etwa $^1/_3$ der normalen Mengen gemessen.

Der Monat enthielt zwei große Witterungsabschnitte. Bis zum 9. Dezember setzte sich die dem ganzen Herbst 1955 das Gepräge gebende Trockenheit fort (Hochdrucklage). Dann erfolgte der Übergang zu veränderlichem Westwindwetter mit häufigen Niederschlägen nördlich der Alpen. Das Fehlen langer Nebelperioden wirkte sich in der geringen Sonnenscheindauer auf den Höhenstationen aus, während die Hauptnebelzone des Mitellandes dadurch begünstigt wurde (übernormale Sonnenscheindauer). Temperaturmäßig zeigten sich keine größeren Schwankungen. Während in der ersten Monatshälfte in den Niederungen ziemlich normale, in der Höhe dagegen relativ hohe Werte vorherrschten, kehrten sich die Verhältnisse in der zweiten Hälfte um. Erst das Monatsende brachte durch den Einbruch eines kräftigen Tiefdruckgebietes nach Mitteleuropa einen allgemeinen Kälteeinbruch und zugleich am 30. stürmisches Wetter mit Windgeschwindigkeiten von über 100 km/Std. auf der Alpennordseite.

Wenn wir den Monat gesamthaft betrachten, erscheint das Fehlen stärkerer Kaltlufteinbrüche bemerkenswert. Nach der ruhigen Herbstperiode setzte sich die allgemeine Westströmung der gemäßigten Breiten ohne längere Unterbrechungen vom 10. an durch, wobei unser Land meist südlich der Grenzscheide zwischen kalter und warmer Luft (der sogenannten Polarfront) lag, worauf die starke Temperaturabweichung zurückzuführen ist.

M. Grütter

Monatswerte der wichtigsten meteorologischen Elemente 1955

	Höhe m	Januar	Febr.	März	April	Mai	Juni	Juli	August	Sept.	Okt.	Nov.	Dez.	Jahr
Temperatur in ° C														
Basel	317	0.9	1.7	3.3	9.3	12.3	16.5	18.5	17.3	14.2	8.0	3.5	4.5	9.2
La Chaux-de-Fonds	990	0.9	–1.4	0.2	6.3	9.2	13.8	15.6	14.4	11.1	6.1	1.9	2.7	6.7
Zürich	569	–0.4	0.4	2.1	8.7	11.8	15.8	17.2	16.5	13.5	7.8	2.6	3.6	8.3
Bern	572	0.2	0.6	2.0	8.8	11.8	15.7	17.1	16.2	13.0	7.3	2.3	3.2	8.2
Lausanne	589	1.9	1.7	3.6	10.4	12.5	16.3	18.4	17.6	14.3	8.9	3.6	4.5	9.5
Genève	405	2.9	2.7	4.6	10.9	14.2	17.8	20.0	19.2	15.5	9.9	4.8	5.4	10.6
Davos-Platz	1561	–4.2	–5.9	–4.2	1.3	5.8	10.4	11.6	10.8	8.1	2.6	–1.9	–2.3	2.7
Säntis	2500	–5.9	–10.8	–8.2	–5.3	–1.6	3.2	5.4	4.4	2.3	–1.9	–4.4	–5.8	–2.4
Lugano	276	3.7	3.8	6.2	13.1	15.8	19.4	21.3	20.1	17.7	12.4	6.6	4.4	12.0
Abweichungen von den normalen Mitteln														
Basel	317	1.2	0.4	–1.2	0.6	–0.9	0.0	0.1	–0.2	0.0	–0.8	–0.6	4.2	0.3
La Chaux-de-Fonds	990	3.5	0.2	–0.9	1.3	–0.4	0.8	0.6	0.2	–0.2	–0.3	0.0	4.4	0.7
Zürich	569	1.1	0.4	–1.3	1.0	–0.3	0.3	–0.1	0.1	0.2	–0.1	–0.4	4.3	0.4
Bern	572	1.8	0.4	–1.4	0.8	–0.5	0.1	–0.6	–0.5	–0.7	–0.6	–0.7	4.0	0.2
Lausanne	589	1.9	0.2	–0.9	1.9	–0.4	0.0	0.1	0.1	–0.2	–0.3	–1.0	3.5	0.4
Genève	405	2.3	0.7	–0.6	1.7	0.6	0.6	0.7	0.8	0.5	0.2	–0.3	3.9	0.9
Davos-Platz	1561	2.8	–0.5	–1.9	–0.8	–1.2	0.1	–0.5	–0.5	–0.2	–0.8	–0.6	3.4	0.0
Säntis	2500	2.8	–2.0	–0.3	–0.5	–1.2	0.4	0.4	–0.4	–0.5	–0.6	0.6	2.1	0.0
Lugano	276	1.4	–0.2	–1.3	1.4	0.0	–0.1	–0.3	–0.8	0.0	0.2	–0.6	1.2	0.0
Niederschlag in mm														
Basel	317	88	74	47	18	80	121	115	175	57	25	12	82	894
La Chaux-de-Fonds	990	239	193	40	23	160	169	100	123	99	46	31	198	1421
Zürich	569	145	98	44	40	143	142	210	79	83	38	11	127	1160
Bern	572	155	107	30	19	130	163	158	115	76	24	11	103	1091
Lausanne	589	172	147	30	12	172	124	169	133	76	44	28	126	1233
Genève	405	130	149	25	4	112	104	62	107	70	38	40	89	930
Davos-Platz	1561	57	144	11	72	112	116	134	74	72	62	15	73	942
Säntis	2500	268	255	97	198	305	276	379	187	239	133	54	350	2741
Lugano	276	63	115	63	0	104	222	283	92	109	146	69	33	1299
Abweichungen von den normalen Summen														
Basel	317	47	33	–6	–47	–1	23	25	89	–21	–49	–47	30	76
La Chaux-de-Fonds	990	133	98	–67	–103	30	27	–35	–7	–18	–91	–87	68	–52
Zürich	569	91	46	–28	–52	33	11	77	–48	–21	–54	–55	55	55
Bern	572	107	56	–36	–57	36	50	46	7	–13	–64	–57	39	114
Lausanne	589	114	88	–45	–64	80	25	69	23	–23	–64	–57	47	193
Genève	405	83	99	–38	–65	36	25	–16	11	–15	–61	–39	21	41
Davos-Platz	1561	–2	91	–43	12	42	9	–1	–57	–20	–8	–47	7	–17
Säntis	2500	38	74	–94	–53	82	–4	72	–101	16	–60	–126	112	–44
Lugano	276	3	54	–52	–162	–88	37	109	–95	–66	–52	–67	–47	–426
Sonnenscheindauer in Stunden														
Basel	317	56	57	154	217	222	190	158	203	155	136	75	44	1667
La Chaux-de-Fonds	990	53	56	154	233	219	176	168	211	155	162	121	62	1770
Zürich	569	23	39	147	211	234	202	157	218	143	124	56	41	1595
Bern	572	19	40	137	236	225	197	195	218	156	122	67	60	1672
Lausanne	589	27	72	161	288	251	207	238	250	185	148	79	51	1957
Genève	405	13	77	150	303	265	219	256	271	198	140	51	42	1985
Davos-Platz	1561	95	51	172	189	196	147	131	150	173	141	105	61	1611
Säntis	2500	119	47	186	170	186	155	165	156	158	185	173	73	1773
Lugano	276	93	94	138	288	228	211	246	254	208	162	110	94	2126
Abweichungen von den normalen Summen														
Basel	317	–8	–37	27	70	27	–24	–75	–20	–3	27	10	–10	–16
La Chaux-de-Fonds	990	–22	–40	32	105	50	–10	–43	0	1	43	36	0	152
Zürich	569	–25	–49	13	54	32	–21	–87	–12	–19	21	3	5	–85
Bern	572	–39	–57	5	83	25	–26	–54	–21	–16	7	4	17	–72
Lausanne	589	–47	–42	9	112	26	–44	–28	–5	–3	22	4	–9	–5
Genève	405	–48	–28	–6	113	21	–54	–37	–4	–2	14	–16	–5	–52
Davos-Platz	1561	1	–58	24	38	24	–29	–70	–53	7	7	7	–22	–124
Säntis *	2500	7	–74	48	43	34	14	4	–15	5	41	52	–33	126
Lugano	276	–32	–52	–34	113	22	–31	–34	–12	12	16	1	–12	–43

* Sonnenscheindauer Säntis wegen Apparatewechsels nicht ohne weiteres mit den langjährigen Mittelwerten vergleichbar.

Liste des chutes de grêle en Suisse pendant l'année 1955

établie à l'aide des statistiques de la Station Centrale Suisse de Météorologie et celles de la Société Suisse d'Assurances contre la grêle à Zurich, par Jean Rieker.

Canton	Mars 27	Avril 3	Avril 15	Mai 2	Mai 5	Mai 7	Mai 11	Mai 15	Mai 25	Mai 26	Mai 28	Mai 29	Juin 1	Juin 2	Juin 5	Juin 7	Juin 8	Juin 9	Juin 10	Juin 11	Juin 13	Juin 14	Juin 16	Juin 17	Juin 19	Juin 20	Juin 21	Juin 22	Juin 24	Juin 25	Juin 26	Juin 27	Juin 28	Juin 30	Juillet 2	Juillet 3	Juillet 4	Juillet 5	Juillet 8	Juillet 9	Juillet 10	Juillet 11	Juillet 12	Juillet 13	Juillet 14	Juillet 15	Juillet 16	Juillet 18
Argovie																7	4	1						4						9	2					1	1					12		5	6				
Appenzell		1				1																		5			1			1												2					
Bâle								1			1						6	1						1	8					8	32	1	1																
Berne			1							3			2		2	1	3							5	20		3		1	21	17	6			15	17	2		1	1		9	3		27	4	1	
Fribourg			1							1																				10	3	2				4					4			5			
St-Gall	1			1	1							1									1			14							10				1	1	1					2	5		2		
Genève																																				1							3				
Glaris																																		1										1			
Grisons																			1											1				1													
Lucerne											1		2	1		15	5	1	1	1				2	9			1		12	6	2			1	6	1	1			1		2	7			
Neuchâtel									1														1							9				3						2			5			
Schaffhouse										1							3													6	1									2						
Schwyz														2																4						2			1		1			1			
Soleure										1							1								2	1	1		5	4				4	2					1		2				
Tessin				8			3						1				34	1												14		34		9					2	4					2		
Thurgovie								1								21						1		2	1		2			17		1	3		2	2				7		17				
Unterwald						1															1								1						1											
Uri																																															
Vaud								1					1											5					5	3		35		4	1	1				2		2	7			1
Valais													1																																		
Zurich															3		6							19	2		8			19				1	14	2						3	15	1			
Zoug																		1																1		1											
totaux	1	1	2	9	1	2	3	3	1	5	2	2	6	4	2	47	53	13	2	1	3	1	1	57	42	1	15	1	1	72	147	12	71	3	41	50	13	1	1	2	2	45	7	37	75	7	3	1
par mois	1	3		28									555																						285												

Suite de la dite statistique

Canton	Juillet 19	Juillet 20	Juillet 21	Juillet 25	Juillet 27	Juillet 28	Juillet 29	Juillet 31	Août 1	Août 2	Août 7	Août 8	Août 9	Août 12	Août 13	Août 14	Août 15	Août 16	Août 17	Août 20	Août 21	Août 25	Août 26	Août 27	Août 28	Août 29	Août 30	Août 31	Septembre 1	Septembre 4	Septembre 5	Septembre 6	Septembre 10	Septembre 14	Septembre 15	Septembre 21	Septembre 27	Oct. 6	Oct. 22	Déc. 15	Déc. 30	Sommes
Argovie	4	2	.	.	.	9	1	.	20	.	.	.	.	.	.	5	4	.	.	.	.	.	.	1	1	.	.	2	.	.	.	.	.	1	11	.	.	.	1	.	.	114
Appenzell	.	3							.				1				3											1														19
Bâle									1						7									1																	1		70
Berne	13	17	17	.	.	6	1	.	53	12	1	.	.	3	9	16	.	.	1	1	13	3	.	1	.	1	2	.	14	.	.	1	1	3	.	.	.	.	.	.	354
Fribourg	.	.	.	.	.	7		.	1	5			.	.	1	.	.				3	.	16	2	1	.	5	.	.	1	.	.	.	.	.	.	.	.	.	.	.	72
St-Gall	.	2	2	.	1	.	2	.	7	.			.	.	2	.	3	.	.	.	.	.	.	.	.	.	8	.	3	1	.	.	1	2	.	.	.	.	.	.	.	75
Genève	.	.	3	2	.	.	.	.	.	1	.	.	4	2	.	.	.	.	.	.	.	.	.	.	.	.	.	.	.	.	.	1	.	.	.	.	.	.	.	1	19
Glaris	.	.	.	.	.	.	.	.	1	.	.	.	.	.	.	.	.	.	.	.	.	.	.	.	.	.	.	.	.	.	.	.	.	.	.	.	.	.	.	.	.	2
Grisons	.	.	1	.	.	1	.	.	.																										3	.	2	.	.	.	10
Lucerne	4	5	.	.	.	14	.	.	18	.	.	1	.	.	5	3	13	.	.	.	1	5	.	.	.	1	.	.	.	.	3	.	.	1	.	.	.	.	.	.	.	152
Neuchâtel	.	.	.	.	.	.	.	.	.	3														2	1	.	.	.	.	7	.	.	.	1	.	.	.	.	.	.	.	35
Schaffhouse	.	6	1	.	.	.	.	.	6	.																																26
Schwyz	.	2	1	.	1	.	.	.	2	.																	1	.	.	.	.	.	.	.	.	.	.	.	.	.	17
Soleure	2	7	.	.	.	3	.	.	23	.						2	3				2	.	.	.	.	.	1	.	7	1	.	.	2	.	.	.	.	.	.	.	77
Tessin	15	50	15	.	3	.	.	3	.	1	.	.	.	.	.	.	.	.	1	1	.	.	.	.	.	.	.	.	.	.	1	.	.	.	.	.	5	.	.	.	.	210
Thurgovie	1	.	.	.	.	.	12	.	28	.	3	.	.	1	13	26	.	1	.	.	.	.	.	.	.	.	2	.	.	.	.	.	1	1	.	.	.	.	.	.	.	166
Unterwald	1	.	.	.	.	.	.	4	.																																	9
Uri	.	.	.	.	.	.	.	.	.																																	—
Vaud	.	.	.	11	.	.	.	1	15	2	7	.	.	.	2	4	.	.	.	.	1	5	11	12	.	3	3	1	2	.	.	.	5	1	.	.	.	.	.	.	.	154
Valais		.	.	.	.	.	.	.	.	1	.	.	.	1	1	.	.	.	.	.	.	.	.	.	.	1	.	.	.	.	.	.	.	.	.	.	.	.	.	.	.	.	5
Zurich	.	11		.	.	2	.	.	12	.	6	2	.	.	.	3	7	1	.	.	.	2	.	.	.	.	5	.	.	.	.	.	.	7	.	.	.	.	.	.	.	151
Zoug	.	3	.	.	.	.	.	.	.	.	.	.	.	1	3	2	.	.	.	.	.	.	.	.	.	.	.	.	.	.	.	.	.	2	.	.	.	.	.	.	.	14
totaux	40	108	40	13	5	42	16	8	187	25	17	3	1	4	23	41	81	1	1	1	2	24	15	31	17	1	6	30	1	33	6	1	2	9	31	3	5	2	1	1	1	1751
par mois	285 + 272 = 557								511																				91									3		2		

Monats- und Jahressummen

der Niederschlagsmessungen sämtlicher meteorol. Stationen I.—III. Ordnung im Jahre 1955

Als Niederschlagstage werden für diese Tabelle nur die Tage mit mindestens 1.0 mm Niederschlag gezählt. Die mit * bezeichneten Summen sind nach den Nachbarstationen interpoliert.

Stationen:	Höhe üb. Meer	Jan.	Febr.	März	April	Mai	Juni	Juli	Aug.	Sept.	Okt.	Nov.	Dez.	Jahr	Maxima		Zahl d. Tage
A. Rheingebiet																	
I. Quellgebiet bis Bodensee																	
Sedrun (Tavetsch)	1418	118	195	18	46	62	116	120	61	41	100	20	62	959	55	21. X.	146
Platta (Medels)	1378	100	119	10	45	83	183	133	58	61	106	14	47	959	105*	7. VI.	112
Disentis	ca 1173	96	165	9	50	79	117	111	62	51	94	21	66	921	58	21. X.	130
Vial	ca 1275	—	—	—	—	—	167	90	64	53	—	—	—	—	—	—	—
Val	ca 1208	121	133	5	42	73	140*	86	58	39	76	24	56	853	—	—	108
Surrhein	899	93	140*	8*	61	64	120	79	53	35	69	35	54	811	—	—	106
Panix	ca 1300	120	196	24	90	89	143	166	62	65	76	36	83	1150	40	11. I.	154
Vrin	1452	59	113	17	43	126	130	112	73	69	107	11	31	891	50*	7. VI.	120
Vals	ca 1248	55	86	16	29	91	135	90	54	65	130	8	24	783	66	21. X.	95
Ilanz	ca 704	82	143	7	37	71	103	76	49	38	50	15	68	739	36	8. II.	106
Flims	ca 1100	121	200	24	89	113	119	120	70	60	76	39	88	1119	47	8. II.	138
Safienplatz	ca 1270	71	145	15	50	120	116	132	74	78	98	18	44	961	38	8. II.	142
Hinterrhein	1625	54	102	41	25	142	224	109	44	82	212	19	14	1068	80	21. X.	118
Splügen (Dorf)	ca 1504	24	103	13	9	122	178	106	69	59	120	10	19	832	86	7. VI.	106
Avers am Bach	1964	35	110	17	17	129	126	109	55	70	120	11	18	817	39	9. VI.	115
Inner-Ferrera	ca 1480	32	60	16	22	117	169	107	65	91	157	8	14	858	62	21. X.	97
Andeer	ca 980	30	72	9	18	112	123	85	55	60	109	6	16	695	44	21. X.	92
Thusis	ca 810	43	90	6	25	103	108	77	34	64	100	10	30	690	38	21. X.	101
Bivio (neu)	ca 1770	38	127	33	38	119	130	106	56	76	100	24	27	874	40	21. X.	132
Marmorera	1600	31	101	22	38	114	123	97	65*	76	100*	19	23	809	—	—	127
Savognin	ca 1205	35	94	7	32	107	104	83	71	74	103	4	21	735	46	21. X.	105
Weißfluhjoch	2540	106	193	16	69	64	117	184	111	68	49	19	107	1103	47	8. II.	147
Davos-Platz	1561	57	144	11	72	112	116	134	74	72	62	15	73	942	35	8. II.	130
Preda	1796	32	101	23	24	104	117	114	89	89	107	18	41	859	40	9. VI.	140
Filisur	ca 1040	35	103	12	26	112	109	121	62	69	76	13	29	767	36	8. II.	115
Lenzerheide	ca 1460	49	101	11	35	155	107	94	46	68	87	14	39	806	41	15. V.	126
Nisellas (Alvaschein)	ca 890	32	80	5	24	106	98	107	49	58	79	7	21	666	41	15. V.	101
Tomils	ca 823	47	105	11	24	85	89	70	40	52	69	8	37	637	34	7. VI.	107
Arosa	1818	52	144	25	71	170	146	153	100	89	105	17	70	1142	42	21. X.	153
Tschiertschen	1351	63	121	17	60	130	102	111	64	70	91	13	54	896	33	8. II.	132
Chur	633	79	113	15	51	80	78	92	50	52	64	6	61	741	37	8. II.	113
Klosters	ca 1200	86	195	35	113	155	136	154	100	92	97	31	110	1304	55	8. II.	172
St. Antönien	ca 1460	120	184	27	113	152	130	200	105	90	84	35	110	1350	42	11. I.	166
Schiers	ca 682	108	153	29	81	86	113	129	91	87	61	21	108	1067	50	8. II.	135
Seewis	953	122	194	33	111	112	108	170	95	55	60	25	102	1187	56	8. II.	152
Plantahof b. Landqu.	ca 530	85	151	26	88	76	88	133	82	40	54	16	79	918	45	8. II.	128
Vättis	956	105	144	22	68	96	103	141	70	62	61	22	71	965	37	7. VI.	136
Bad Ragaz	518	108	149	28	89	90	111	167	108	67	59	15	91	1082	51	8. II.	135
Sargans	510	126	156	60	106	91	135	212	136	89	49	26	110	1296	58	8. II.	153
Sevelen	454	100	104	41	63	96	127	172	132	63	34	14	58	1004	45*	8. II.	138
Vaduz(Liechtenstein)	460	88	102	36	64	94	139	184	129	59	35	15	65	1010	40	8. II.	135
Haag	448	96	127	40	100	103	144	189	171	125	53	26	91	1265	48	8. II.	146
Altstätten	468	152	142	52	115	175	150	224	184	122	72	44	137	1569	61	31. VIII.	159
Widnau	404	115	116	47	89	106	145	186	140	118	52	17	109	1240	43	29. VII.	150
Heiden	811	126	134	78	96	174	147	242	168	167	71	32	140	1575	51	29. VII.	171
II. Bodensee bis Basel																	
Rorschach	445	124	116	73	93	170	137	226	152	184	67	30	137	1509	49	4. IX.	166
St. Gallen	664	145	128	85	79	176	150	213	173	150	49	27	117	1492	82	31. VIII.	153
Arbon	ca 400	109	84	55	49	120	101	186	141	134	37	12	97	1125	53	4. IX.	139
Amriswil	ca 455	103	95	62	41	103	91	191	88	86	32	12	111	1015	60	29. VII.	145
Altnau	ca 458	124	119	44	31	96	94	201	64	76	31	17	124	1021	37	29. VII.	135
Kreuzlingen	446	127	115	33	26	88	103	188	77	68	24	12	121	982	42	4. VII.	132

Stationen:		Höhe üb. Meer	Jan.	Febr.	März	April	Mai	Juni	Juli	Aug.	Sept.	Okt	Nov.	Dez.	Jahr	Maxima		Zahl d Tage
Ermatingen		408	137	120*	36	35	106	130	160	63	76	34	12	132	1041	50	7. VI.	136
Haidenhaus		690	115	126	41	27	101	126	222	59	75	34	13	122	1061	50	7. VI.	135
Steckborn	ca	404	133	124	36	37	99	119	140	55	58	26	13	106	946	50	7. VI.	129
Eschenz	ca	417	135	134	33	31	90	116	167	87	81	31	8	109	1022	54	7. VI.	128
Thayngen	ca	455	139	123	36	12	115	115	123	54	70	31	12	116	946	40	7. VI.	119
Buch (Schaffhausen)		433	118	110	29	24	92	163	144	43	55	26	9	95	908	66	26. VI.	119
Dießenhofen	ca	404	125	109	34	23	90	145	140	69	60	24	5	114	938	47	7. VI.	122
Lohn		643	148	141	40	12	110	136	144	44	49	29	10	117	980	44	21. VII.	124
Merishausen	ca	535	159	168	52	15	157	152	152	43	62	36	15	167	1178	48	17. V.	124
Schaffhausen		451	141	135	35	17	91	107	115	69	51	31	11	102	905	35	12. I.	121
Neu-Rheinau		392	123	119	31	20	85	125	146	71	82	29	14	98	943	39	17. V.	128
Rheinau		358	104	88	21	14	81	133	145	75	68	26	10	91	856	37	17. V.	120
Flaach		360	154	138	36	25	88	173	101	103	86	30	15	106	1055	50	7. VI.	131
Wil (bei Rafz)		415	161	135	37	20	96	180	112	100	71	29	9	126	1076	40	12. I.	129
Kaiserstuhl	ca	342	176	147	41	12	102	137	104	104	69	29	14	137	1072	45	17. V.	132
Schleitheim		477	141	130	37	7	110	84	151	65	66	28	12	118	949	46	13. VII.	124
Hallau		450	123	169	43	8	95	111	107	87	69	31	11	134	988	51	21. II.	128
Wilchingen	ca	415	175	163	42	6	101	133	140	102	66	38	9	148	1123	45	12. I.	133
Laufenburg	ca	325	160	145	46	17	111	140	131	126	70	41	34	168	1189	46	17. V.	133
Wittnau	ca	415	134	101	32	21	96	138	136	105	98	24	25	148	1058	45	28. VIII	117
Frick	ca	350	155	116	49	10	114	126	146	97	95	36	27	139	1110	39	17. V.	132
Möhlin	ca	332	130	115	45	27	115	148	107	122	66	30	26	130	1061	36	17. V.	135
Wintersingen		444	111	95	49	34	114	185	132	149	84	28	28	119	1128	71	25. VI.	146
Rheinfelden		287	122	99	46	30	103	117	99	117	52	27	22	125	959	45	26. VIII.	133
Kilchberg	ca	582	122	92	41	28	97	172	153	93	80	33	29	129	1069	35	7. VI.	134
Böckten	ca	385	101	82	53	30	86	162	148	145	72	25	27	104	1035	34	7. VI.	118
Eptingen	ca	565	151	109	46	27	96	181	154	109	67	26	23	125	1114	37	12. I.	136
Bennwil	ca	526	143	92	47	25	104	136	111	106	55	25	16	115	975	35	17. V.	130
Waldenburg	ca	533	154	138	64	28	114	166	110	117	68	29	21	158	1167	45	8. II.	140
Lampenberg	ca	536	126	89	45	32	85	132	116	125	54	28	18	115	965	29	17. V.	134
Reigoldswil	ca	497	154	92	51	36	111	169	98	110	59	36	25	132	1073	37	12. I.	136
Liestal		325	117	99	60	44	127	133	109	165	66	32	23	145	1120	45	17. V.	150
Arisdorf	ca	430	115	92	55	37	110	112	108	151	55	34	23	114	1006	38	17. V.	147
Basel-Augst	ca	275	107	89	55	42	111	101	95	143	60	31	20	104	958	46	27. VIII.	138
Mervelier	ca	560	105	119	47	35	96	199	131	109	63	25	23	122	1074	43	7. VI.	138
Bellelay	ca	930	211	139	46	35	132	136	137	142	99	41	29	148	1295	59	12. I.	153
Delémont	ca	420	95	76	40	23	86	98	104	69	68	22	19	79	779	31	7. VI.	137
Seewen	ca	551	101	79	50	38	125	120	119	112	73	33	22	122	994	44	17. V.	140
Grellingen	ca	328	102	76	48	29	99	136	111	111	55	27	18	96	908	43	7. VI.	131
Pfeffingen	ca	390	101	84	48	26	112	118	127	109	64	30	19	105	943	41	7. VI.	137
Aesch	ca	315	96	86	52	29	95	109	137	100	58	26	17	102	907	38	7. VI.	132
Neue Welt	ca	280	83	73	47	27	87	127	102	131	61	24	12	85	859	47	27. VIII.	121
Therwil	ca	310	93	95	51	24	97	133	121	124	58	26	16	100	938	40	21. VII.	122
Basel-Binningen		317	88	74	47	18	80	121	115	175	57	25	12	82	894	53	27. VIII.	120
Basel-Bernoullianum		277	84	79	48	18	74	133	99	170	62	25	11	82	885	41	26. VIII.	121
Basel-Flughafen		268	82	79	37	11	57	73	87	99	61	23	11	84	704	33	27. VIII.	115
III. Thur																		
Starkenbach	ca	894	200	267	84	82	221	168	359	213	175	79	37	204	2089	89	8. II.	163
Ebnat		649	221	198	88	96	247	244	342	148	170	63	32	202	2051	62	12. I.	154
Ricken	ca	790	176	180	79	117	214	233	349	203	127	73	30	177	1958	57	8. II.	163
Peterzell		704	202	207	61	89	210*	200*	270	106	133	55*	24	151	1708	—	—	155
Nollen	ca	740	136	89	61	62	117	113	156	87	103	36	17	132	1109	42	7. VI.	137
Degersheim		818	141	130	82	93	171	164	243	87	161	49	29	125	1475	56	3. VII.	156
Herisau		773	163	129	77	87	176	163	218	116	128	48	30	124	1459	43	31. VIII.	163
Flawil	ca	616	138	113	67	72	129	123	175	84	132	39	16	127	1215	35	7. VI.	147
Säntis		2500	268	255	97	198	305	276	379	187	239	133	54	350	2741	80	12. I.	191
Urnäsch		847	206	157	92	142	240	197	325	141	175	77	27	174	1953	61	12. I.	162
Befang b. Hundwil		871	226	152	95	119	204	271	342	209	195	132	41	176	2162	87	31. VIII.	175
Appenzell		794	176	165	77	108	196	201	217	113	156	76	29	135	3649	54	12. I.	168
Stein		789	176	129	73	90	185	182	249	124	158	51	30	116	1563	51	12. I.	163
Schwäbrig		1156	160	180	81	154	198	197	250	200	142	89	52	134	1837	83	31. VIII	161
Teufen	ca	853	155	135	69	93	174	186	265	122	150	60	35	111	1555	39	12. I.	156
Bischofszell	ca	502	138	90	77	54	141	110	224	106	116	43	12	113	1224	53	13. VII.	143
Sulgen	ca	483	135	99	56	46	105	103	177	101	87	31	8	122	1070	31	7. VI.	144
Weinfelden	ca	435	118	94	43	36	90	93	205	84	81	29	9	116	998	51	13. VII.	141
Illhart	ca	540	126	110	34	33	99	109	206	55	72	28	11	113	996	43	7. VI.	134

Stationen:	Höhe üb. Meer	Jan.	Febr.	März	April	Mai	Juni	Juli	Aug.	Sept.	Okt.	Nov.	Dez.	Jahr	Maxima		Zahl d. Tage
Müllheim	ca 412	121	109	36	39	97	123	195	83	66	25	8	106	1008	50	13. VII.	138
Dußnang	ca 597	184	144	75	74	160	151	208	108	107	38	9	218	1476	53+	7. VI.	147
Eschlikon	ca 569	195	130	59	56	139	136	179	88	113	34	17	180	1326	44	11. I.	143
Wängi	ca 477	157	103	51	44	111	123	153	55	91	26	10	120	1044	36	7. VI.	139
Aadorf	ca 537	157	118	57	57	122	159	189	79	104	31	14	152	1239	43	7. VI.	155
Affeltrangen	ca 486	118	97	54	51	111	113	139	81	79	31	9	103	986	43	7. VI.	138
Thundorf	ca 560	134	123	43	48	128	139	133	63	78	27	11	102	1029	46	7. VI.	138
Frauenfeld	433	134	101	43	35	97	141	121	92	80	29	8	105	986	49	21. VI.	137
Kalchrain	ca 585	98	96	35	38	83	132	170	75	62	43	8	98	938	46	20. VII.	147
Niederneunforn	ca 446	115	107	33	27	83	123	142	88	68	27	8	91	912	37	7. VI.	126
Andelfingen	370	132	126	35	28	102	173	129	85	83	44	9	104	1050	41	7. VI.	144
IV. Töß																	
Bauma	ca 643	151	145	71	84	168	161	250	106	92	46	22	177	1473	62	7. VI.	160
Sternenberg	ca 880	130	100	74	69	150	169	194	99	95	46	21	138	1285	50	7. VI.	150
Kollbrunn	ca 495	163	143	51	46	132	133	197	114	106	38	13	168	1304	41	7. VI.	153
Effretikon	ca 512	127	110	51	53	121	157	177	131	108	39	12	108	1194	41	7. VI.	149
Winterthur	ca 485	165	120	43	37	118	154	147	86	86	33	10	139	1138	35	11. I.	144
V. Glatt																	
Grüningen	ca 488	138	106	55	70	154	142	263	125	70	37	16	117	1293	59	13. VII.	149
Hinwil	ca 606	151	129	69	109	180	167	264	154	91	48	22	143	1527	70	31. VIII.	154
Pfäffikon	ca 550	129	111	44	78	146	142	232	82	72	39	14	113	1202	48	7. VI.	146
Uster	ca 466	124	96	50	52	149	175	219	101	71	33	8	116	1194	48	13. VII.	136
Zürich-Strickhof	515	135	87	34	40	109	131	219	102	83	32	9	104	1085	85	13. VII.	138
Oerlikon	ca 450	120	99	29	35	103	145	263	105	76	28	12	100	1115	93	13. VII.	127
Reckenholz (Zch.-Aff.)	443	137	105	31	30	102	185	263	120	98	37	13	115	1236	63	13. VII.	124
Kloten (Flughafen)	431	150	102	38	28	111	191	221	136	117	36	8	126	1264	47	17. VI.	137
Dielsdorf	428	176	143	31	20	108	220	148	133	100	36	17	147	1279	58	17. VI.	130
Bülach	ca 430	155	109	32	19	97	166	121	98	78	29	15	108	1027	34	17. V.	131
VI. Limmat																	
Weißtannen	ca 998	148	188	48	74	120	153	214	125	98	63	22	112	1365	42	11. I.	153
Walenstadt	ca 430	182	158	54	101	100	122	289	161	44	29	16	114	1370	55	11. I.	151
Walenstadtberg	ca 982	247	330	90	199	179	209	426	239	130	93	45	195	2382	87	7. VIII.	174
Obstalden	ca 690	141	143	56	90	179	163	375	224	116	50	15	134	1686	75	29. VII.	156
Auen (Linthal)	815	166	306	68	155	145	184	218	134	98	98	38	135	1745	70	8. II.	173
Linthal	ca 685	163	288	57	161	144	192	239	143	94	80	36	162	1759	121	8. II.	163
Urnerboden	ca 1350	223	216	60	129	126	226	322	164	104	102	34	112	1818	67	11. I.	176
Braunwald ob Linthal	1190	275	284	66	126	150	196	318	169	111	80	36	206	2017	94	11. I.	170
Elm	962	154	225	60	99	128	178	264	121	92	87	33	129	1570	56	8. II.	170
Glarus	503	161	191	49	80	173	156	298	172	103	51	17	132	1583	55	8. II.	159
Klönthal	ca 838	190	179	55	104	202	225	365	217	134	73	23	136	1903	55	13. VII.	170
Weesen	ca 430	179	202	76	102	243	190	562	264	117	82	36	147	2200	132	26. VII.	161
Schänis (Steinerriet)	ca 417	151	127	70	96	226	215	350	172	151	77	27	146	1808	60	13. VII.	157
Doggen	ca 411	127	129	71	95	194	218	313	158	139	64	24	128	1660	51	7. VI.	163
Oberkirch (b.Uznach)	ca 468	149	160	79	103	210	235	348	142	117	55	29	142	1769	68	29. VII.	159
Innertal (Wärt'haus)	ca 910	208	208	97	148	304	253	464	281	203	105	33	175	2479	75	13. VII.	172
Rempen	ca 650	164	182	88	103	235	199	370	195	163	81	19	140	1939	56	13. VII.	162
Siebnen	455	166	150	76	76	218	172	354	210	165	57	18	134	1796	96	13. VII.	156
Lachen	ca 410	143	128	74	78	187	180	332	167	132	50	15	112	1598	105	13. VII.	158
Wald (Sanatorium)	908	155	179	79	131	211	174	356	205	93	64	35	166	1848	64	29. VII.	171
Bachtel	1120	113	96	80	100	218	186	338	165	80	77	34	159	1646	61	7. VI.	154
Rapperswil	410	132	122	76	83	188	176	337	156	86	56	17	102	1531	80	13. VII.	154
Männedorf	ca 415	142	108	55	53	163	143	263	94	74	34	13	103	1245	57	13. VII.	143
Wädenswil	ca 475	157	128	70	60	202	165	261	120	89	43	15	136	1446	64	13. VII.	149
Horgen	ca 445	119	106	46	55	188	164	265	85	88	36	14	149	1315	49	7. VI.	140
Pfannenstiel	ca 853	145	98	64	56	187	231	273	118	91	49	28	129	1469	64	7. VI.	150
Küsnacht (Zürich)	ca 412	141	96	50	44	160	180	234	70	103	32	12	130	1252	45	7. VI.	142
Zollikon (Anst. f. Ep.)	ca 460	156	97	46	48	132	161	200	80	64	32	11	142	1169	59	13. VII.	140
Wollishofen	463	123	108	45	40	144	139	238	82	62	35	18	108	1142	53	13. VII.	142
Zürich MZA	569	145	98	44	40	143	142	210	79	83	38	11	127	1160	48	13. VII.	141
Zürich-Botan. Garten	411	140	116	43	45	132	139	224	65	78	35	14	134	1165	53	13. VII.	142
Oberiberg	1090	232	218	82	104	260	232	363	210	141	101	42	173	2158	70	12. I.	176
Sihlsee-Ost	ca 890	143	172	94	92	195	226	356	158	141	69	22	121	1789	66	26. VII.	164
Sihlsee-West	895	158	158	103	108	238	276	394	185	158	78	26	151	2033	70	26. VII.	167

Stationen:	Höhe üb. Meer	Jan.	Febr.	März	April	Mai	Juni	Juli	Aug.	Sept.	Okt.	Nov.	Dez.	Jahr	Maxima		Zahl d. Tage
Einsiedeln	914	155	177	88	94	225	189	327	216	138	77	28	152	1866	65	7. VIII.	163
Schönenberg (Waldh.)	615	147	130	88	74	218	151	289	114	107	53	19	127	1517	43	3. VII.	155
Sihlbrugg	540	118	115	85	79	191	179	266	118	72	55	16	106	1400	73	2). VII	155
Zürich-Albishof	453	121	105	40	37	144	143	232	63	70	35	20	103	1113	60	13. VII.	137
Altstetten	ca 400	131	92	31	30	136	140	214	91	72	36	15	124	1112	41	20. VII.	130
Uetliberg (Bahnhof)	ca 810	106	59	49	36	127	129	250	102	104	31	9	73	1075	39	10. IX.	137
Waldegg	ca 625	150	104	42	43	149	160	241	77	79	35	17	118	1215	38	14. VII.	142
Dietikon	ca 400	136	121	28	39	141	171	169	97	90	39	22	120	1173	50	7. VI.	138
Otelfingen	ca 442	144	119	42	24	119	189	196	114	103	37	23	141	1251	70	13. VII.	132
Baden	387	150	114	41	10	95	158	121	114	80	29	21	114	1047	34	11. I.	135

VII. Reuß

Gütsch	2291	148	160	37	85	101	121	118	93	70	101	31	113	1178	49	21. X.	157
Andermatt (Dorf)	1442	127	147	28	57	71	125	94	76	57	116	18	73	989	77	21. X.	138
Göschenen	1125	155	146	23	75	87	113	135	70	68	141	23	91	1127	92	21. X.	129
Gurtnellen	739	109	125	26	30	60	90	123	98	73	90	15	86	925	49	21. X.	135
Altdorf - Armee-Mag.	ca 450	133	114	38	67	110	146	161	151	86	70	15	87	1178	46	21. X.	149
Altdorf	456	123	129	45	73	121	150	181	156	98	72	20	85	1253	45	21. X.	152
Isenthal	ca 778	166	169	68	81	170	180	277	181	114	102	33	114	1655	49	7. VI.	158
Muotathal	ca 603	169	221	71	109	253	213	363	216	157	107	42	147	2068	66	8. II.	174
Schwyz	522	186	169	85	100	221	186	328	219	154	86	36	153	1923	59	11. I.	162
Sattel	ca 832	150	169	86	99	226	165	309	175	127	80	33	164	1783	49	8. II.	151
Weggis	440	83	100	65	76	149	123	302	175	92	47	14	100	1326	67	27. VII.	149
Rigi-Kaltbad	ca 1490	109	143	83	124	199	181	365	225	184	66	36	138	1853	63	27. VII.	168
Rigi-Kulm	1775	99	185	87	98	226	181	336	225	169	78	34	104	1822	47	30. VIII.	171
Küßnacht (Schwyz)	ca 440	89	97	62	59	163	130	271	144	72	55	11	93	1246	41	28. VII.	142
Engelberg	1018	169	158	57	101	165	173	224	195	126	107	35	111	1621	47	8. II.	172
Stans	ca 456	119	118	40	57	144	131	334	196	147	59	14	89	1448	58	27. VII.	148
Bürgenstock	ca 855	126	120	70	72	146	160	422	201	170	61	21	92	1661	98	27. VII.	153
Lungern	ca 745	248	225	46	36	162	150	203	206	108	83	20	163	1650	78	8. II.	159
Sarnen	479	112	97	32	47	112	150	255	197	95	59	12	82	1250	46	30. VIII.	142
Pilatus-Kulm	2068	134	218	97	89	184	189	404	276	203	82	24	150*	2050	49	27. VII.	180
Luzern (Wesemlin)	498	106	99	56	48	150	133	283	181	102	51	10	80	1299	44	30. VIII.	149
Luzern (Reg.-Geb.)	ca 440	112	97	55	51	156	134	276	191	134	54	10	87	1357	51	27. VII.	141
Flühli	890	187	118	34	56	219	208	269	226	110	78	22	169	1696	46	12. I.	155
Entlebuch	730	194	140	54	51	175	197	239	193	140	48	25	125	1581	51	11. I.	158
Ruswil	623	155	120*	55*	35	146	160	245	171	82	38	26	106	1339	57	27. VII	150
Werthenstein	594	138	116	54	35	126	147	228	145	87	40	17	89	1222	49	27. VII.	143
Eigenthal (Buchsteg)	1010	195	183	72	78	222	226	319	241	187	85	38	155	2001	54	27. VII	167
Morgarten	ca 729	152	148	90	76	229	140	342	169	116	73	30	135	1706	43	6. V.	159
Unterägeri	ca 742	136	148	92	98	219	153	257	145	103	60	21	138	1570	42	27. III.	159
Lorzetobel	ca 546	117	110	80	92	177	157	234	138	91	46	16	108	1366	38	7. VI.	152
Walchwil	449	110	105	66	70	176	165	293	168	79	52	18	109	1411	42	21. VII.	150
Zug	ca 425	99	95	65	70	160	126	216	154	72	43	12	91	1203	44	26. VII.	139
Ebertswil (b. Hausen a. Alb.)	ca 625	105	97	64	84	167	194	237	108	59	37	14	92	1258	50	20. VII.	149
Mettmenstetten	ca 483	108	77	46	60	129	144	203	84	55	31	13	68	1018	47	26. VII.	137

VIII. Aare

Grimsel	1959	214	333	95	166	216	206	212	127	129	161	60	228	2147	62	8. II.	189
Guttannen	1058	156	153	72	117	180	162	167	137	105	128	31	148	1556	63	21. X.	150
Gadmen	1207	226	223	39	116	165	182	279	185	108	103	21	183	1830	80	8. II.	172
Meiringen	605	152	161	38	67	123	154	245	170	80	88	17	122	1417	48	21. X.	154
Brienz	ca 575	169	190	42	45	133	142	203	181	95	55	15	139	1409	77	8. II.	141
Grindelwald	ca 1040	121	117	25	61	120	203	181	164	78	65	19	98	1252	54	30. VIII.	137
Kl. Scheidegg	2061	—	—	—	—	150	207	212	173	125	70	20	75	—	—	—	—
Lauterbrunnen	790	132	122	25	49	99	152	168	168	61	40	14	87	1117	47	30. VIII.	143
Interlaken	568	147	153	40	46	132	147	219	204	82	46	19	128	1363	46	30. VIII.	151
Beatenberg	1148	146	171	59	71	171	197	272	197	120	47	27	132	1610	49	29. VII.	159
Kandersteg	1176	165	124	34	35	106	145	162	192	85	35	19	97	1199	48	30. VIII.	149
Engstligenalp	1953	210	264	74	79	169	216	214	207	138	56	33	126	1786	65	8. II.	167
Adelboden	ca 1340	210	169	35	37	119	174	200	177	91	44	25	121	1402	54	8. II.	150
Frutigen	ca 890	169	169	32	46	129	177	202	194	80	38	19	120	1375	50	30. VIII.	156
Kienthal	ca 970	161	144	43	54	134	177	236	175	78	50	29	98	1379	43	30. VIII.	152
Hondrich	ca 760	165	131	49	40	167	170	256	228	127	40	17	110	1500	46	20. VII	150
Zweisimmen	ca 955	242	201	33	31	164	207	190*	200*	68	32	21	179	1568	—	—	140
Boltigen	ca 820	241	205	33	36	157	172	174	212	87	38	24	160	1539	70	8. II.	143
Alp Kiley	1380	257	183	65*	43	185	225	226	235	88	50	25	139	1721	62	12. I.	150
Grimmialp	1214	234	173	59	61	175	171	182	189	86	42	26	143	1541	57	8. II./30. VIII.	146
Wimmis	ca 635	153	156	59	69	168	177	203	254	106	40	19	177	1581	45	7. VI.	148

Stationen:		Höhe üb. Meer	Jan.	Febr.	März	April	Mai	Juni	Juli	Aug.	Sept.	Okt.	Nov.	Dez.	Jahr	Maxima		Zahl d. Tage
Heiligenschwendi		1126	76	107	45	55	139	178	188	200	112	37	18	93	1248	38	7. VI.	147
Thun		560	78	97	29	27	105	147	172	200	98	30	16	84	1083	34	27. VIII.	137
Schwarzenegg	ca	925	80	93	38	44	142	183	229	208	114	43	20	86	1280	42	12. VII.	139
Großhöchstetten	ca	743	128	121	38	54	159	164	214	211	111	44	14	113	1371	52	30. VIII.	139
Belp	ca	525	145	135	32	22	159	248	116	149	67	33	11	116	1233	37	7. VI.	137
Bern		572	155	107	30	19	130	163	158	115	76	24	11	103	1091	45	14. VII.	124
Lauenen	ca	1260	228	183	36	27	160	158	169	184	101	32	15	156	1449	65	30. VIII.	142
Gsteig bei Saanen	ca	1188	351	238	46	24	184	160	144	171	111	50	16	164	1659	85	12. I.	139
Saanen (Solsana)	ca	1155	208	210	25	24	173	146	124	187	95	33	23	165	1413	60	30. VIII.	144
Rougemont		1003	225	212	28	20	203	145	105	197	99	35	23	190	1482	66	30. VIII.	139
Château-d'Oex		994	254	203	31	38	189	166	139	203	119	41	26	153	1562	75	12. I.	143
L'Etivaz	ca	1155	351	244	41	19	213	172	137	181	70	39	17	190	1674	78	11. I.	133
Jaun		1030	232	214	39	50	240	252	170	256	134	45	37	212	1881	71	30. VIII.	155
La Valsainte		1015	186	139	37	41	261	263	174	210	171	39	33	163	1717	57	25. VI.	138
Marsens		727	186	138	29	32	200	155	141	157	100	34	16	150	1338	45	7. VI.	129
La Roche		755	147	114	31	37	160	166	135	150	101	37	30	112	1220	53	7. VI.	140
Romont		764	144	111	29	23	154	117	102	126	124	38	11	108	1087	55	17. V.	114
Freiburg	ca	677	118	94	34	22	129	106	85	174	98	29	12	82	983	40	27. VIII.	123
Gauglera		921	128	99	48	31	233	149	136	227	158	37	18	121	1385	60	27. VIII.	143
Schwarzenburg		797	130	116	36	34	186	178	173	179	101	31	17	111	1292	42	7. VI.	131
Wahlendorf	ca	760	194	153	47	22	150	141	160	139	105	43	21	151	1326	58	14. VII.	136
Aarberg		457	204	97	36	10	117	111	130	112	92	25	16	135	1085	42	17. V.	112
Rossenges s. Moudon	ca	700	219	151	33	17	162	118	152	134	83	44	21	125	1259	69	17. V.	123
Moudon		515	197	139	29	15	148	117	117	135	76	32	15	102	1122	65	17. V.	113
Payerne	ca	445	160	116	32	14	113	104	84	134	76	30	15	92	970	43	17. V.	117
Avenches		480	132	85	28	11	103	95	90	135	57	30	12	92	870	41	17. V.	117
Witzwil	ca	448	216	136	29	10	120	117	126	110	72	34	26	116	1112	51	17. V.	125
La Cure	ca	1160	350	203	53	23	192	183	—	130	—	—	23	—	—	—	—	—
Le Sentier	ca	1024	287	209	41	7	144	188	92	118	90	46	41	190	1453	65	8. II.	141
Le Pont		1008	260	205	44	10	126	157	72	212	77	50	34	191	1438	64	8. II.	143
Vallorbe-Reposoir		928	302	255	47	11	163	172	74	225	92	54	52	238	1685	60	8. II.	144
Vallorbe-Village		790	256	203	49	10	134	169	89	189	84	50	42	195	1470	60	30. VIII.	146
L'Abergement		640	209	179	43	4	109	130	77	200	71	41	29	190	1282	57	8. II.	131
Valleyres-s.-Rances		505	210	162	31	3	70	114	88	164	48	27	31	141	1089	46	8. II.	125
Bochuz	ca	440	197	156	33	2	81	145	93	213	62	45	32	145	1204	71	30. VIII.	129
Echallens	ca	625	175	128	32	9	154	112	68	122	74	64	31	133	1102	79	17. V.	105
Corcelles	ca	560	171	139	29	7	105	130	90	145	77	45	28	126	1092	55	17. V.	123
Yverdon		440	167	118	24	2	83	98	67	159	56	37	30	106	947	47	30. VIII.	114
Thierrens	ca	770	154	123	24	12	129	111	129	116	81	39	23	115	1056	55	17. V.	112
Baulmes	ca	634	303	231	48	6	125	144	94	178	91	46	46	222	1534	62	8. II.	138
La Frêtaz p. Bullet		1197	280	207	39	8	134	160	114	184	89	53	37	230	1535	60	8. II.	140
Chasseron		1588	270	139	40	7	152	159	149	184	89	45	37	194	1465	54	11. I.	150
L'Auberson	ca	1110	292	201	48	13	158	160	137	215	101	54	41	245	1665	58	8. II.	154
St-Sulpice	ca	760	275	210	46	10	121	138	116	193	84	48	48	240	1529	63	11. I.	147
Couvet		755	219	159	38	9	108	123	112	180	69	52	37	174	1280	49	8. II.	152
Combe-Garot		532	245	176	38	5	130	147	128	129	63	50	20	173	1304	47	17. V.	138
Grandchamp-Areuse		440	225	157	29	4	97	111	101	135	55	36	22	145	1117	49	17. V.	127
La Brévine	ca	1060	234	160	30	20	136	163	148	180	95	52	38	197	1453	59	8. II.	158
Les Ponts	ca	1056	243	180	40	17	137	144	88	176	82	64	25	217	1413	57	27. VIII.	146
Cernier		790	251	198	37	16	125	151	62	116	68	41	36	187	1288	51	8. II.	138
Serrières	ca	470	188	142	17	4	69	104	70	128	46	31	17	151	967	34	31. VIII.	115
Neuchâtel		487	179	133	29	9	95	95	79	113	44	34	19	108	937	43	17. V.	118
Hauterive	ca	475	171	124	31	10	97	105	98	107	47	35	19	110	954	46	17. V.	125
Chaumont		1141	215	141	45	20	152	150	138	141	65	40	34	151	1292	43	27. V.	153
Biel-Gaswerk		436	230	149	35	14	116	117	142	84	82	31	24	157	1181	54	17. V.	116
Evilard	ca	700	298	216	44	18	124	122	171	95	100	38	26	185	1437	59	17. V.	126
Mont-Soleil		1174	235	178	42	35	131	135	105	164	97	51	39	204	1416	58	11. I.	159
Courtelary		692	213	154	38	21	117	122	138	125	91	42	27	188	1276	49	11. I.	136
Weißenstein		1285	192	122	45	35	133	190	128	106	107	42	25	149	1274	48	17. V.	142
Solothurn		470	212	156	42	33	111	149	148	115	89	40	21	197	1313	48	11. I.	132
Marbach	ca	872	159	140	58	65	225	209	299	220	125	74	27	139	1740	38	20. VII.	158
Escholzmatt	ca	920	141	138	41	53	206	198	295	211	123	53	29	119	1607	49	20. VII.	167
Langnau i. E.		692	152	139	37	37	185	163	210	253	105	37	17	110	1445	57	30. VIII.	141
Wasen i. E.		760	152	111	40*	49	146	193	246	140	70	39	21	125	1332	76	21. VII.	138
Affoltern i. E.		796	144	109	43	24	128	167	158	121	84	38	16	107	1139	38	7. VI.	138
Burgdorf	ca	535	152	107	35	19	116	159	136	101	88	25	13	109	1060	54	7. VI.	134
Gerlafingen		454	195	133	38	22	105	140	78	53	82	27	20	143	1036	43	7. VI.	117

Stationen:	Höhe üb. Meer	Jan.	Febr.	März	April	Mai	Juni	Juli	Aug.	Sept.	Okt.	Nov.	Dez.	Jahr	Maxima		Zahl d. Tage
Herzogenbuchsee	ca 475	151	110	40	16	117	152	109	74	97	23	15	118	1022	36	7. VI.	126
St. Urban	457	200	152	51	21	143	189	243	90	115	26	19	176	1425	55	28. VII.	135
Luthern	785	227	136	66	21	198	187	128	129	144	39	16	143	1434	47	6. V.	139
Wauwilermoos	ca 502	125	93	45*	25*	132	150*	171	92	79	22	15	150*	1099	—	—	134
Zofingen	ca 436	176	126	37	21	136	142	161	90	81	31	19	145	1165	41	14. I.	136
Herbetswil	ca 526	173	127	40	37	110	151	113	88	88	22	28	133	1110	37	17. V.	132
Langenbruck	740	136	120	45	38	103	156	100	133	65	27	25	161	1109	48	19. VI.	130
Balsthal	ca 503	143	109	36	25	85	137	140	128	70	21	23	104	1021	31	17. V.	129
Allerheiligenberg	ca 890	135	100	50	29	120	146	156	104	86	33	26	151	1136	36	17. V.	140
Olten	ca 400	170	118	46	28	96	129	120	88	87	31	24	143	1080	34	11. I.	139
Olten - Gaswerk	ca 391	163	111	42	29	95	121	117	92	83	29	22	141	1045	35	12. I.	130
Barmelweid	ca 770	114	76	40	24	92	102	114	77	72	24	45	143	923	—	—	131
Aarau	408	156	99	39	17	89	131	163	79	106	31	17	122	1049	33	19. VII.	131
Kölliken	ca 431	171	130	46	22	129	138	163	97	110	35	27	155	1223	36	7. VI.	134
Beromünster	ca 642	130	130*	48	37	146	155	172	181	65	32	21	125	1242	39	7. VI.	141
Unter-Kulm	ca 470	173	128	40	12	143	180	131	65	88	33	23	129	1145	40	22. VI.	131
Aesch (Hitzkirch)	ca 484	157	93	57	31	147	169	125	102	58	25	17	117	1098	38	7. VI.	137
Seengen	ca 471	133	99	30	18	132	138	117	80	68	28	18	118	979	29	7. VI.	129
Muri	466	116	82	41	36	142	161	180	85	56	24	11	100	1034	36	28. VII.	129
Bötzberg	518	162	110	39	11	91	156	92	100	79	35	26	143	1044	36	11. I.	127
Schinznach-Dorf	ca 365	150	107	34	9	100	139	131	90	72	25	20	141	1018	31	17. V.	124
Brugg	ca 350	149	111	38	7	100	148	114	112	75	28	23	122	1027	35	11. I.	125
Beznau	ca 330	153	124	34	3	86	103	108	141	63	33	20	141	1009	38	11. I.	121
Oberweningen	ca 470	141	111	37	16	97	132	151	108	69	30	13	136	1041	34	11. I.	133
B. Rhonegebiet I. Rhone und Genfersee																	
Oberwald	1370	251	235	39	68	138	130	125	88	50	141	19	169	1453	79	21. X.	144
Reckingen	1332	211	193	21	24	59	109	83	69	41	129	9	129	1077	103	21. X.	105
Fiesch	ca 1060	165	166	18	20	44	124	48	56	25	93	5	144	908	48	21. X.	89
Binn	ca 1400	90	174	15	8	27	101	55	47	33	97	5	52	704	50	21. X.	96
Saas-Fee	ca 1785	145	101	22	16	50	97	45	50	9	75	14	64	688	44	20. X.	89
Zermatt	1610	70	162	16	12	31	77	56	34	15	29	11	42	555	71	8. II.	93
Grächen	1617	102	117	23	7	27	61	54	61	12	12	1	55	532	32	8. II.	80
Visp	648	141	136	23	6	15	53	30	61	4	19	6	90	584	36	11. I.	60
Kippel	ca 1376	231	204	30	9	64	87	94	111	30	16	24	149	1049	48	30. VIII.	108
Leukerbad	ca 1380	304	245	33	17	120	100	100	132	56	26	13	218	1364	53	8. II.	123
Varen bei Leuk	ca 750	171	169	30*	15*	55*	60*	53	97	9	15	6	119	799	40	4. II.	93
Chippis	522	168	154	30	4	52	51	46	84	7	15	3	95	709	38	30. VIII.	86
Sierre	ca 570	191	177	31	14	54	59	45	88	7	15	3	99	783	41	12. I.	83
Montana (Lac d'Y-coor)	1509	251	214	40	12	87	85	77	113	21	24	16	158	1098	63	12. I.	116
Montana (La Moubra)	1453	238	226	40	9	86	86	67	116	15	25	11	149	1068	55	12. I.	108
Grimentz	ca 1570	164	144	39	7	32	75	100	114	33	24	10*	119	861	46	8. II.	118
Hérémence	ca 1240	156	157	32	7	89	64	68	102	29	11	3	65	783	50	8. II.	91
Sion	549	160	188	30	3	65	43	43	89	16	16	7	77	737	57	8. II.	87
Sion-Aérodrome	483	158	196	32	1	62	30	46	89	15	14	6	89	738	58	8. II.	86
Bagnes (Châble)	ca 820	163	195	37	17	97	70	44	57	30	17	11	85	823	57	8. II.	96
Grand-St-Bernard	2479	414	295	79	44	153	210	115	173	81	106	54	230	1954	72	12. I.	151
Bourg-St-Pierre	ca 1625	154	189	43	14	91	89	52	75	35*	19	8	84	853	44	11. I.	96
Orsières	ca 885	171	180	33	12	95	63	55	75	31	19	20	80	834	74	8. II.	93
Martigny-Ville	475	236	199	31	7	110	99	36	81	29	16	13	101	958	64	12. I.	105
Les Marécottes	ca 1055	301	328	53	15	169	91	67	126	54	26	15	181	1426	105	8. II.	118
Gryon	ca 1130	179	212	50	43	196	93	112	233	89	58	24	139	1428	57	30. VIII.	150
Les Plans	ca 1100	173	204	51	43	190	154	97	193	90	40	27	122	1384	53	8. II.	138
Bex	430	127	145	37	18	145	127	88	151	51	22	21	92	1024	49	30. VIII.	130
Val d'Illiez	ca 890	260	216	55	16	203	146	128	196	90	30	24	142	1506	61	12. I.	150
Monthey	ca 416	141	150	31	15	143	117	79	158	53	17	19	93	1016	48	30. VIII.	124
Diablerets-Village	1168	282	288	45	34	187	150	121	187	71	54	33	155	1607	75	8. II.	144
Leysin	1350	135	182	40	30	179	165	151	218	61	42	25	136	1364	55	30. VIII.	134
Chessel	ca 380	210	141	33	19	211	201	157	203	59	49	61	150	1494	57	30. VIII.	128
Rochers-de-Naye	1982	228	306	50*	32	371	321	227	256	192	117	61	200*	2361	81	30. VIII.	153
Montreux-Clarens	408	108	131	25	22	201	229	123	171	64	48	30	104	1256	61	30. VIII	134
Vevey	380	119	131	19	16	208	176	89	143	84	43	25	110	1163	71	30. VIII.	119
Riex	445	142	123	24	11	186	123	108	132	77	40	32	120	1118	56	17. V.	117
Tour-de-Gourze	925	174	140	26	15	206	149	112	151	96	46	31	135	1281	73	30. VIII.	121
Pully	461	160	135	20	10	168	117	121	130	76	45	30	125	1137	59	17. V.	120

Stationen:		Höhe üb. Meer	Jan.	Febr.	März	April	Mai	Juni	Juli	Aug.	Sept.	Okt.	Nov.	Dez.	Jahr	Maxima		Zahl d. Tage
Lausanne		589	172	147	30	12	172	124	169	133	76	44	28	126	1233	69	25. VII.	118
Cossonay	ca	575	157	134	28	2	123	126	103	126	49	44	27	108	1027	75	17. V.	119
Morges		380	197	152	27	7	146	119	111	114	55	49	25	139	1141	74	17. V.	117
Marcelin s. Morges	ca	425	198	144	28	7	146	117	112	119	59	60	26	141	1157	75	17. V.	115
Longirod		890	193	180	34	—	135	—	—	—	—	—	55	135	—	—	—	—
Nyon	ca	405	174	166	27	3	114	104	106	106	55	51	42	130	1078	61	17. V.	111
Céligny	ca	435	177	184	29	3	119	119	134	117	62	57	48	135	1184	60	17. V.	115
Genève-Observatoire		405	130	149	25	4	112	104	62	107	70	38	40	89	930	54	30. VIII.	104
Jussy	ca	475	114	129	20	4	99	103	90	123	56	51	48	81	918	46*	30. VIII.	108
Compesières	ca	476	120	152	26	5	96	91	106	96	55	51	55	75	928	57	30. VIII.	106
Genève-Cointrin		424	150	164	30	3	94	91	69	122	48	54	51	94	970	68	30. VIII.	102
II. Doubs																		
Les Brenets		878	236	202	40	24	139	161	126	128	116	50	39	209	1470	46	8. II.	152
Le Locle	ca	920	239	192	43	24	135	150	87	142	94	53	39	208	1406	46	8. II.	148
La Chaux-de-Fonds		990	239	193	40	23	160	169	100	123	99	46	31	198	1421	56	11. I.	157
Saignelégier	ca	985	187	138	47	28	133	151	129	140	109	43	33	180	1318	41	11. I.	143
Mormont	ca	550	132	111	55	14	99	130	78	61	96	30	19	108	933	40	9. IX.	113
C. Pogebiet I. Tessin																		
St. Gotthard		2095	215	258	65	26	139	257	125	77	108	151	59	80	1560	94	7. VI.	161
Airolo	ca	1170	180	184	37	9	116	236	136	52	57	175	42	59	1283	96	7. VI.	121
Lago di Tremorgio		1851	149	195	47	15	107	237	171	62	73	164	21	34	1275	101	7. VI.	124
Olivone	ca	893	90*	131	30	0	105	181	82	45	60*	149	27	30*	930	60	7. VI.	96
Comprovasco		544	78	106	38	0	78	149	132	42	55	149	21	29	877	65	7. VI.	89
Biasca	ca	300	82	131	51	0	118	263	118	39	87	212	32	31	1164	107	7. VI.	97
S. Bernardino-Vill.		1620	92	178	46	11	180	248	152	70	97	190	29	32	1325	63	7. VI.	119
Mesocco (Misox)	ca	785	66	134	58	0	161	230	153	53	83	161	21	39	1159	53	21. X.	97
Braggio		1332	46	109	55	2	193	196	143	53	85	182	23	29	1116	70	14. V.	97
Grono	ca	360	33	102	36	0	79	177	140	52	119	151	27	26	942	56	21. X.	78
Bellinzona		230	48	106	53	0	151	227	180	41	71	191	26	33	1127	81	9. VI.	91
Locarno-Aeroporto		198	65	108	67	0	137	296	188	44	128	223	38	25	1319	100	7. VI.	96
Vira (Gambarogno)	ca	210	68	121	59	0	153	282	147	45	94	209	36	26	1240	101	9. VI.	91
Fusio	ca	1285	133	194	45	0	111	219	134	69	40	168	26	33	1172	103	7. VI.	102
Cevio	ca	430	109	129	40	2	75	288	107	43	59	188	31	29	1100	157	7. VI.	99
Bosco-Gurin	ca	1510	157	223	53	4	102	274	134	76	75	199	31	28	1356	111	7. VI.	110
Mosogno	ca	790	81	118	43	1	77	296	122	37	100	201	35	22	1133	99	7. VI.	82
Camedo	ca	610	91	101	49	0	103	545	93	61	133	273	24	36	1509	328	7. VI.	87
Locarno-Muralto		244	81	143	66	0	161	361	122	46	113	196	40	31	1360	128	9. VI.	99
Locarno-Monti		379	62	117	46	0	157	306	134	37	99	190	33	26	1207	113	9. VI.	88
Ascona	ca	203	69	133	59	0	170	325	125	51	104	229	32	28	1325	108	9. VI.	86
Brissago	ca	257	84	167	73	0	189	354	135	69	125	299	34	25	1554	127	9. VI.	91
Mezzana		335	72	111	96	0	83	179	249	75	162	161	64	35	1287	95	7. IX.	90
Monte Brè		910	55	81	61	0	87	177	241	67	108	151	56	32	1116	56	20. X.	90
Pregassona	ca	350	64	130	72	0	114	244	275	72	122	152	68	33	1346	60	20. X.	90
Lugano		276	63	115	63	0	104	222	283	92	109	146	69	33	1299	54	21. VII.	94
Piandanazzo (Val Colla)		1620	76	182	73	0	167	278	198	64	97	194	55	43	1427	78	9. VI.	106
Crana-Torricella		1010	88	152	81	0	226	371	238	59	140	238	56	29	1678	89	7. VI.	101
Fescoggia	ca	845	76	138	93	0	197	336	242	58	124	222	61	28	1575	95	7. VI.	100
Ponte Tresa	ca	280	64	116	60	0	136	184	264	146	125	182	68	26	1371	102	25. VIII.	89
II. Adda																		
Bernina-Hospiz		2240	111	222	123	21	137	158	115	63	74	159	31	62	1276	75	17. X.	110
Cavaglia	ca	1705	137	314	67	2	139	130	102	59	98	146	18	44	1256	135	17. II.	108
Brusio (Piazzo)	ca	840	39	99	35	0	102	137	112	72	116	87	26	24	849	42	7. VI.	98
Vicosoprano	ca	1065	44	157	53	1	115	201	141	39	62	155	24	28	1020	81	7. VI.	93
Soglio	ca	1090	27	141	48	0	115	210	169	43	99	139	21	25*	1037	78	7. VI.	84
D. Donaugebiet Inn																		
Sils-Maria		1802	53	111	39	4	76	121	102	46	51	85	14	24	726	41	7. VI.	109
St. Moritz		1833	38	80	27	5	65	100	82	49	43	65	14	17	585	35	21. X.	89
Bever		1712	36	76	21	17	78	88	73	50	52	63	12	22	588	31	9. VI.	88
Buffalora		1968	34	106	20	22	89	60	182	142	184	78	24	43	984	42	5. IX.	124
Susch	ca	1430	38	101	12	25	58	83	93	61	53	43	7	30	604	28	9. VI.	103
Schuls		1253	32	82	11	23	64	49	57	56	63	35	9	38	519	25	10. IX.	101
Martina	ca	1035	61	96	7	34	78	52	64	50	77	37	11	41	608	31	8. II.	99
E. Etschgebiet Rombach																		
Sta. Maria		1411	22	71	32	8	76	55	68	38	67	54	15	13	519	27	10. IX.	87

Monats- und Jahressummen im Jahre 1955

ausgedrückt in Prozenten der Normalmengen*)

Stationen:	Höhe üb. Meer	Jan.	Febr.	März	April	Mai	Juni	Juli	Aug.	Sept.	Okt.	Nov.	Dez.	Jahr
Platta (Medels)	1378	182	229	13	49	70	150	98	39	46	69	14	65	76
Davos-Platz	1561	97	272	20	120	160	108	99	56	78	89	24	111	98
Chur	633	176	263	31	94	113	92	85	47	62	86	11	107	89
Sargans	510	166	223	72	109	82	96	125	88	74	45	33	126	100
Altstätten	468	217	218	68	115	148	94	133	116	100	72	57	165	121
St. Gallen	664	210	200	101	73	135	88	127	112	115	48	36	154	112
Kreuzlingen	446	270	274	58	35	105	96	174	75	80	32	21	209	110
Lohn (Schaffhausen)	643	290	320	73	19	136	140	155	47	62	39	17	192	115
Basel-Bernoullianum	277	205	193	91	28	91	136	110	198	79	34	19	158	108
Glarus	503	196	245	58	76	150	95	154	95	81	46	20	136	111
Zürich	569	269	188	61	43	130	108	158	62	80	41	17	176	105
Einsiedeln	914	176	201	81	71	148	95	160	110	95	61	29	145	114
Altdorf	456	192	208	59	76	114	109	116	105	92	68	25	104	103
Engelberg	1018	182	184	55	81	120	101	122	110	95	85	38	110	106
Luzern-Wesemlin	498	221	206	84	54	130	90	185	127	96	58	17	138	116
Guttannen	1058	139	143	55	77	126	106	100	86	78	86	26	115	94
Beatenberg	1148	166	209	54	58	128	111	155	122	101	41	29	131	109
Bern	572	323	210	45	25	138	144	141	106	85	27	16	161	112
Neuchâtel	487	293	222	42	12	116	95	83	114	51	37	24	135	96
Chaumont	1141	336	231	62	25	165	132	127	126	68	38	40	182	121
Affoltern i. E.	796	229	176	51	25	112	119	126	95	82	39	21	139	98
Langenbruck	740	174	164	54	40	92	119	77	116	64	27	32	175	93
Olten	ca 400	254	182	62	35	95	102	94	73	89	32	30	170	96
Aarau	408	260	171	57	22	94	112	139	72	115	36	24	165	102
Muri (Aargau)	466	197	141	56	41	134	123	141	70	59	27	16	133	95
Reckingen	1332	293	302	23	26	67	130	94	81	44	110	10	145	103
Sion	549	372	448	65	8	162	96	80	137	33	28	14	128	125
Grand-St-Bernard	2479	238	189	38	21	86	129	88	125	54	49	27	108	91
Martigny-Ville	475	414	390	54	13	216	171	51	101	48	21	21	136	128
Montreux-Clarens	408	200	234	35	28	214	199	101	135	67	49	42	142	119
Lausanne	589	297	249	40	16	187	125	169	121	77	41	33	159	119
Genève-Observatoire	405	277	298	40	6	147	132	79	111	82	38	51	131	105
St. Gotthard	2095	138	184	33	13	67	144	66	39	52	61	28	43	67
Airolo	ca 1170	254	249	31	7	74	179	91	32	33	79	26	55	77
Braggio	1332	84	182	55	2	115	118	79	28	53	105	19	37	71
Locarno-Muralto	244	129	220	55	0	78	193	63	22	56	88	27	36	73
Lugano	276	105	189	55	0	54	120	163	49	62	74	51	41	75
Sils-Maria	1802	118	258	57	5	84	126	89	39	50	80	17	39	73
Bever	1712	97	217	40	29	108	102	69	46	57	72	18	41	69
Schuls	1253	80	248	31	55	121	73	62	61	89	58	18	76	76

*) Normalperiode 1864—1940. Die mittleren Monats- und Jahressummen sind im Jahrgang 1941 im Anschluß an die vorstehende Tabelle veröffentlicht

Ergebnisse

der im Alpengebiet aufgestellten Niederschlags-Totalisatoren

für das hydrologische Jahr 1954/1955

Station	m ü.M.	Meß-resultat Herkunft	Periode 1954/1955 Zeitdauer 1954	Zeitdauer 1955	Gemessener Wert	Red. Wert 1. 10. 54 - 30. 9. 55
					cm	cm
Suchetgebiet (Jura)						
Suchet (Chalet)	1465	MZA	22. 9.—	—22. 9.	198	186
Diableretsgebiet						
Becca d'Audon	2870	MZA	5. 9.—	—16. 10.	156	140
Mont-Blanc-Gebiet						
Col d'Orny	3169	MZA	17. 9.—	—18. 9.	288	276
Monte-Rosa-Gebiet						
Mondellipaß	2800	A	28. 9.—	— 4. 10.	189	187
Thäliboden	2485	A	28. 9.—	— 4. 10.	106	105
Galmen	2690	A	27. 9.—	— 4. 10.	92	91
Seewinenberg	3025	A	30. 9.—	— 3. 10.	—	230*
Ofenthalpaß	2800	A	27. 9.—	— 5. 10.	149	147
Stelli-Weißthal	2620	A	27. 9.—	— 5. 10.	145	143
Schwarzenberggletscher (Fuß Fluchthorn)	2968	A	25. 9.—	— 3. 10.	108	106
Schwarzenbergkopf	2565	A	30. 9.—	— 3. 10.	139	139
Mattmarksee	2117	A	28. 9.—	— 5. 10.	61	60
Allalingletscher	3369	A	25. 9.—	—17. 9.	177	174
Kessjen	2840	A	24. 9.—	—29. 9.	105	103
Plattje	2228	A	2. 10.—	— 6. 10.	137	136
Furgghorn	3390	MZA	25. 9.—	— 1. 10.	295	280
Gornergrat	3100	MZA	22. 9.—	—30. 9.	140[1]	134
Simplongebiet						
Magenhorn	2470	MZA	27. 9.—	— 2. 10.	107	103
Jungfraugebiet						
Mönchsgrat	3810	MZA	29. 9.—	—26. 9.	355	355
Trugberg	3530	MZA	2. 10.—	—24. 9.	152	154
Kranzberg	3180	MZA	4. 10.—	—22. 9.	408	414
Konkordia	2890	MZA	28. 9.—	—23. 9.	114	113
Aletschwald	2040	MZA	25. 9.—	—19. 10.	147	139
Grimsel- und Gelmergebiet						
Kl. Siedelhorn	2430	C	24. 9.—	— 4. 10.	170	162
Abschwung	2900	C	25. 9.—	— 4. 10.	251	242
Pavillon Dollfus	2415	C	25. 9.—	— 4. 10.	190	183
Oberaarjoch	3310	C	24. 9.—	— 3. 10.	360	346
Gelmer Bergli	2144	C	27. 9.—	— 4. 10.	197	188
Titlisgebiet						
Trübsee-Jochpaß	1800	MZA	2. 10.—	—29. 9.	246	246
Gotthardgebiet						
Lago Ritom	1960	MZA	30. 9.—	—24. 5. 1956	217	140
Cristallinagebiet						
Lago di Naret	2313	D	1. 10.—	—30. 9.	257	257
Lago Sfundau	2523	D	1. 10.—	—30. 9.	180	180
Lago Bianco	2063	D	1. 10.—	—30. 9.	235	235

Station	m ü. M.	Meß-resultat Herkunft	Periode 1954/1955 Zeitdauer 1954	Zeitdauer 1955	Gemessener Wert	Red. Wert 1. 10. 54 - 30. 9. 55
					cm	cm
Oberes Maggiagebiet						
Großalp-Bosco	1900	D	30. 9.—	— 1. 10.	194	194
Alpe Quadrella	1810	MZA	30. 9.—	—30. 9.	177	177
Campo-Maggia	1380	MZA	30. 9.—	—30. 9.	148	148
Greinagebiet						
Greinaboden (West)	2327	B	4. 10.—	— 3. 10.	197	197
Greinaboden (Ost)	2327	B	5. 10.—	— 4. 10.	120	120
Alp Sutglatschèr	1420	B	5. 10.—	— 4. 10.	120	120
Medelserhütte SAC	2480	B	14. 9.—	— 7. 9.	179	174
Alp Cugn	2154	B	29. 9.—	— 1. 10.	115	114
Alp Nadéls	1880	B	27. 9.—	— 5. 10.	111	108
Alp Naustgel	1945	B	28. 9.—	—30. 9.	141	138
Rhätisches Alpengebiet						
Gemskanzel-Rheinwaldfirn	2916	B	12. 9.—	—18. 9.	128	116
Älpetlistock-Splügenpaß	2393	B	8. 9.—	—12. 9.	176	171
Muotaulta-Annarosa	2800	B	6. 9.—	—20. 9.	139	126
Crapet-Prassignola	2650	B	17. 9.—	—24. 9.	139	134
Piz Curvèr	2810	B	7. 9.—	—21. 9.	102	92
Piz Scalotta	2965	MZA	23. 9.—	—21. 9.	138	138
Julier-Hospiz	2315	MZA	18. 9.—	—14. 9.	108	106
Albula-Hospiz	2315	B	10. 10.—	— 1. 10.	101	102
Engadin						
Sils (Grevasalvas)	1830	MZA	1. 10.—	— 1. 10.	107	107
St. Moritz	1895	MZA	1. 10.—	— 1. 10.	89	89
Stazerwald	1810	MZA	1. 10.—	— 1. 10.	80	80
Punt Muragl	1800	MZA	1. 10.—	— 1. 10.	74	74
Zuoz	1880	MZA	1. 10.—	— 1. 10.	82	82
Cluoza (Blockhaus)	1910	MZA	6. 10.—	— 7. 9.	82	92
Silvrettagebiet						
Silvrettahütte	2375	MZA	23. 9.—	—26. 9.	148	143
Eckhorn	3145	MZA	24. 9.—	—27. 9.	149	144
Taminagebiet						
Vättnerälpli	1885	A	22. 9.—	—22. 9.	157	151
First (Wasserböden)	2200	A	25. 9.—	— 1. 10.	110	105
St. Martin	1396	A	24. 9.—	—29. 9.	187	179
Panäraalp	2028	A	23. 9.—	—30. 9.	174	166
Tödigebiet						
Claridenfirn	2710	MZA	3. 9.—	—18. 9.	405	373
Säntisgebiet						
Säntis (Observatorium)	2504	MZA	30. 9.—	—30. 9.	459	459
Gebiet des Hohen Randen (Jura)						
Auf dem Hagen	915	MZA	5. 10.—	—12. 10.	106	104

[1] Meßergebnis wahrscheinlich zu hoch infolge starker Verschlammung

Während des hydrologischen Jahres 1954/55 wurden die Beobachtungen an den Niederschlags-Totalisatoren im Alpengebiet im gewohnten Umfang weitergeführt.

Für die Ermittlung der insgesamt 66 Resultate des Berichtsjahres haben uns wiederum die vier nachfolgend aufgeführten Institutionen ihre Meßergebnisse zur Verfügung gestellt (s. Kolonne Meßresultat-Herkunft):

A Versuchsanstalt für Wasserbau und Erdbau an der ETH, Abteilung für Hydrologie.
16 Meßergebnisse.

B Rhätische Werke für Elektrizität AG, Thusis.
13 Meßergebnisse.

C Kraftwerke Oberhasli AG, Innertkirchen.
5 Meßergebnisse.

D Baudepartement des Kantons Tessin (Herr Prof. Dr. F. Gygax, Bern).
4 Meßergebnisse.

Die 28 Totalisatoren der MZA wurden von unsern Beobachtern betreut, wobei die Mitarbeit der Lärchenwickler-Station Zuoz des Entomologischen Instituts der ETH (Herr Dr. J. K. Maksymov) an 5 Apparaten im Engadin und des Forstinspektorates des Kantons Tessin (Kreisinspektorat Locarno) an 2 Apparaten im obern Maggiagebiet besonders erwähnt sei.

Den obgenannten Institutionen sowie allen Beobachtern, die uns z. T. schon viele Jahre hindurch ihre Dienste zur Verfügung stellen, danken wir bestens. Wir hoffen, auch weiterhin auf ihre freundliche Mitarbeit zählen zu dürfen.

In die Zusammenstellung der Ergebnisse haben wir die langjährigen Mittelwerte der einzelnen Totalisatoren sowie die auf diesen basierenden Prozentbeträge nicht mehr aufgenommen, da beide Angaben im Hinblick auf die ungleiche Beobachtungsdauer und auf die Inhomogenitäten, mit denen einige Beobachtungsreihen behaftet sind, nicht mehr richtig befriedigten.

Als Ersatz lassen wir eine Tabelle folgen, worin für die Regenmeßstationen der verschiedenen Gebiete die Meßergebnisse des hydrologischen Jahres 1954/55 mit einheitlichen Mittelwerten (Periode 1901—1940) verglichen werden.

H. Bernhard

Station	m ü.M.	Mittel 1901-1940	1. 10. 54-30. 9. 55	%
		mm	mm	
Suchetgebiet (Jura)				
L'Abergement	640	1194	1460	122
Baulmes	634	1377	1686	122
L'Auberson	1110	1481	1786	121
Chasseron	1588	—	1542	—
Diableretsgebiet				
Diablerets-Village	1168	1431	1781	124
Gsteig b. Saanen	1188	1330	1855	139
Mont-Blanc-, Monte-Rosa- und Simplongebiet				
Grand-St-Bernard	2479	2140	2018	94
Bourg-St-Pierre	1625	849	955	112
Zermatt	1610	704	700	99
Saas-Fee	1785	858	732	85
Grächen	1617	563	631	112
Visp	648	636	717	113
Jungfrau- und Grimselgebiet				
Grimsel-Hospiz	1959	2070	2302	111
Guttannen	1058	1719	1671	97
Grindelwald	1040	1265	1432	113
Lauterbrunnen	790	1184	1330	112
Engstligenalp	1955	—	1933	—
Oberwald	1370	1503	1684	112
Reckingen	1332	1094	1160	106
Fiesch	1060	945	1017	108
Titlisgebiet				
Engelberg	1018	1568	1761	112
Gotthard-, Cristallina- und Maggiagebiet				
St. Gotthard	2095	2285	1885	82
Airolo	1170	1717	1505	88
Lago di Tremorgio	1851	1851	1538	83
Fusio	1285	1719	1356	79
Cevio	430	1776	1320	74
Bosco-Gurin	1510	1879	1643	87

Station	m ü.M.	Mittel 1901-1940	1. 10. 54-30. 9. 55	%
		mm	mm	
Greinagebiet				
Platta	1378	1291	1244	96
Disentis	1173	1241	1155	93
Val	1208	1210	989	82
Surrhein	899	1137	1030	91
Vrin	1452	1230	1059	86
Rhätisches Alpengebiet, Engadin und Silvretta				
Avers am Bach	1964	1009	851	84
Andeer	980	1012	874	86
Bivio	1770	1269	1052	83
Savognin	1205	961	892	93
Preda	1796	—	974	—
Soglio	1090	1394	1213	87
Sils-Maria	1802	1037	876	84
St. Moritz	1833	935	717	77
Bever	1712	879	725	82
Buffalora	1968	923	1125	122
Susch	1430	813	744	92
Klosters	1200	1282	1500	117
St. Antönien	1460	1376	1466	107
Davos-Platz	1561	999	1140	114
Taminagebiet				
Vättis	956	1092	1196	110
Bad Ragaz	518	1144	1253	110
Tödigebiet				
Auen (Linthal)	815	1650	2122	129
Urnerboden	1350	1750	1996	113
Braunwald ob Linthal	1190	1870	2287	122
Säntis				
Säntis (Observatorium)	2500	2904	2835	98
Gebiet des Hohen Randen				
Merishausen	535	900	1151	128
Schleitheim	477	846	956	113
Lohn	643	873	977	122

Die Niederschläge des Jahres 1955

Die relativen Jahressummen der Niederschläge bezogen auf die langjährigen Mittelwerte der Jahre 1864 bis 1940 sind für langjährige Stationen wie üblich in der letzten Spalte der beigelegten Tabelle angegeben und außerdem in der Karte Nr. 12, Tafel II, dargestellt worden. Um trotz der spärlich verteilten Stationen ein einigermaßen zutreffendes Bild der Verteilung über die Schweiz zu erhalten, sind auch Relativwerte bezüglich der kürzeren Periode 1900 bis 1940 herangezogen worden, deren Temperaturmittel für weit mehr Stationen bekannt ist. Dabei wurden die Unterschiede zwischen den beiden Perioden gebietsweise berücksichtigt. Die Karte ist somit teilweise hypothetisch.

Es ergibt sich, daß Graubünden und das Tessin durchwegs zu wenig Niederschlag erhalten haben, wobei auf vereinzelten Stationen nur 60 % erreicht wurden, was bisher nur sehr selten der Fall war. Im Rekordtrockenjahr 1921 sind allerdings auch sie noch bedeutend unterschritten worden. Ferner seien die Jahre 1949 und 1943 erwähnt. Die übrige Schweiz hat fast überall Überschüsse zu verzeichnen, die im Mittel- und Unterwallis strichweise mehr als 30 % betragen. In der Jurazone und im Mittelland weichen die Jahressummen im allgemeinen um weniger als 10 % vom langjährigen Mittel ab.

Die Besonderheiten des Wallis und der Alpensüdseite kommen auch in den Relativwerten der einzelnen Monate zum Ausdruck. Der *Januar* brachte dem südwestlichen Mittelland ungefähr das Dreifache des Normalbetrages, ein Wert, der hier seit Beginn der Messungen (1864) nur ein- bis zweimal überschritten worden ist, meist in den Jahren 1867, 1910 oder 1948. Im Wallis sind strichweise noch größere Werte erreicht worden, so in Sierre und Martigny das Vierfache des Normalbetrages. Für das Wallis war auch der *Februar* außerordentlich niederschlagsreich. So beträgt die Februarsumme in Sion 188 statt 42 mm, also das Viereinhalbfache der normalen, was hier den absoluten Höchstwert (pro Februar, seit 1864) darstellt. Auch in den übrigen Landesteilen waren beide Monate ausgesprochen naß. Dagegen waren der *März* und der *April* trocken. Im April blieb der Alpensüdfuß überhaupt niederschlagsfrei, ein Ereignis, das noch nie eingetreten ist (seit 1864). Die *Juli*niederschläge rühren hauptsächlich von Gewitterregen her und sind daher sehr ungleichmäßig verteilt. Die Monatssumme von 283 mm für Luzern kommt dem bisherigen Julimaximum dieser Station bis auf wenige mm nahe. Die Herbstmonate waren wieder überwiegend trocken. Im *Oktober* ist in der Jurazone, im Mittelland und im mittleren Wallis nur ungefähr ein Drittel, im übrigen Alpengebiet meist nur die Hälfte bis drei Viertel des Normalbetrages gemessen worden. Der *November* war noch weit trockener, brachte er doch den meisten Stationen nur 10 bis 40 mm Niederschlag, das heißt ein Sechstel bis ein Viertel des Normalbetrages. Man muß bis in die Jahre 1920 und 1924 zurückgehen, um einen ähnlich trockenen November zu finden. Der *Dezember* brachte der Alpennordseite mäßige Überschüsse, dagegen weist die Alpensüdseite nochmals ein bedeutendes Defizit auf.

Einzelne bemerkenswerte Niederschläge

11. bis 16. Januar

Eine erste Serie bedeutender Tagesmengen entfällt auf die Zeit vom 11. bis 16. Januar.

Wir betrachten zunächst diejenigen vom *11. und 12. Januar*, deren Verteilung in den Karten Tafel I, Nr. 1 und 2, dargestellt ist. An beiden Tagen hat das ganze Gebiet des Alpennordhangs und des Juras mehr als 30 mm Niederschlag erhalten, strichweise, nämlich im Gebiet der Schwyzer Alpen und des Alpsteins sowie der Dents du Midi sind Beträge von 60 bis 90 mm gefallen. Die Verteilung ist an beiden Tagen nahezu dieselbe.

Die Wetterkarte vom 10. Januar, 07.00 h, zeigt folgende Luftdruckverteilung über Europa: Einer Tiefdruckrinne, die vom Atlantik her zunächst ost- dann über Schottland und über der Nordwestküste Norwegens nordostwärts verläuft, steht ein schwacher Hochdruckkeil auf dem Kontinent gegenüber, der sich von Nordostrußland südwestwärts über Mitteleuropa bis nach der Alpennordseite erstreckt. Auf der Nordseite der Rinne strömt kalte Luft arktischen Ursprungs nach Süden bis Südwesten, auf ihrer Südseite wärmere Luft nach Nordosten. Dieser Strom ist auf dem Atlantik, wo das Hoch südlicher liegt, breiter und wärmer als auf dem Kontinent, der noch von einer alten Kaltluftmasse überdeckt ist. Dementsprechend biegt die Atlantikströmung in der Höhe über Südwesteuropa nach Südosten um. Über Großbritannien, der Nordsee und Südskandinavien ist der Luftdruck in starkem Fallen begriffen, so daß sich bis zum 11. Januar über Skandinavien eine kräftige Depression entwickelte, auf deren Rückseite die arktische Luft nach Süden vorrückte. Damit erfolgte nun zunächst eine Drehung auch der Höhenströmung über Westeuropa nach Westen, so daß die atlantische warme Luft in den Kontinent einzudringen begann.

In der Frühe des 11. melden ganz Frankreich und Westdeutschland Regenwetter, verursacht durch die aufgleitende Warmluft. In Zürich fallen die Warmfrontniederschläge von 02.20 h bis 10 h. Der Einbruch der warmen Luft erfolgte hier zwischen 10.00 h und 19.00 h. Doch setzten um 17.00 h bei wachsender Windstärke weitere Niederschläge ein, hauptsächlich wegen des Vordringens der Front der erwähnten arktischen Luft nach Süden. Diese erreichte zwar zunächst (am Morgen des 12.) nur den Fuß der Ostalpen, wobei der bekannte nach Westen offene Winkel vor der Alpenkette entstand, in dem erfahrungsgemäß stets erhebliche Niederschläge innerhalb des Warmluftgebiets fallen. Über die gesamte Temperaturänderung in den Niederungen orientieren folgende Angaben für Zürich: Temperaturminimum am 10. Januar, 18.30 h: minus 2.6 Grad, Maximum am 12. Januar, 16.00 h: plus 11.1 Grad. Der gesamte Temperaturanstieg betrug also hier etwa 14 Grad. Diese großen

Änderungen betreffen jedoch nur die unteren Luftschichten bis höchstens 1300 m Höhe, oberhalb dieses Niveaus betrug der Anstieg etwa 4 Grad.

Auf der Front entwickelte sich alsbald westlich des Kanals eine Welle. Diese passierte die Schweiz am Abend des 12., und erst auf ihrer Rückseite brach (in Zürich um 22.00 h) die Kaltluft aus Nordwesten in unser Land ein, was vermehrte Niederschläge zwischen 22.00 h des 12. und 02.00 h des 13. verursachte. Nachher baute sich ein Hoch nördlich der Alpen auf (Druckmaximum etwa 1012 mb). Der Temperaturrückgang hatte in Zürich 8 Grad, auf dem Säntis 5 Grad betragen.

Bemerkenswert ist, daß trotz gewisser Verschiedenheiten im Wetterablauf die Verteilung der Tagesmengen an beiden Tagen (11. und 12.) nahezu dieselbe war. Sie weist starke orographische Einflüsse auf. Man erkennt in den Regenkarten 1 und 2 die Bevorzugung der Nordwestseite des Juras und des Alpennordhangs. Selbst die Minima in der Waadt und im unteren Reußtalgebiet sind dieselben. Bemerkenswert ist auch die starke Bevorzugung des westlichen Alpenkamms im Unterwallis gegen Frankreich hin. Hier haben wir offenbar den Rest der Stauniederschläge an den Westalpen vor uns, während die Alpensüdseite nur geringe Beträge aufweist. Derartige Niederschlagsverteilungen kommen im Winter häufig vor, jedesmal dann, wenn die wesentlichen Phasen einer Zyklone wie Warmfront, Warmsektor bei starkem Westwind (eventuell mit schwachen Kaltfronten), Einbruch der kalten Luft der Rückseite über unser Land hinweggehen. An den allfälligen großen Tagesmengen sind mehrere Phasen beteiligt, was durch den raschen Ablauf der Zyklonentätigkeit im Winter möglich wird. Welches diese Phasen sind, ist anscheinend von geringer Bedeutung. Von früheren Fällen mit derselben Verteilung seien erwähnt der 7. Januar 1932, 26. Oktober 1932, 8. November 1944, 16. November 1950, 11. Januar 1952. Die allgemeine Wetterlage war jedoch abgesehen von den soeben erwähnten Zügen eine andere als eingangs geschildert.

Die Regenkarte vom *13. Januar* (Tafel I, Nr. 3), zeigt eine wesentlich andere Verteilung der Niederschläge. Der Jura und das nordostschweizerische Alpengebiet sind nicht mehr bevorzugt. Doch finden wir noch ein Kerngebiet von 40 bis 55 mm im Bereich des Südhanges der Berner und Waadtländer Alpen. Von den letztgenannten abgesehen sind Niederschläge dieses Tages auf einen reinen Warmlufteinbruch zurückzuführen, verursacht durch eine neue Depression, die auf der Wetterkarte von 07.00 h des 13. Januar in der Breite des Kanals, 23 Grad westlich von Greenwich erscheint und am folgenden Morgen über der Nordwestküste Frankreichs liegt. Die (Warmfront-)Niederschläge dauerten in Zürich von 16.00 h bis 02.00 h (19 mm) und der Temperaturanstieg von 19.00 h bis 04.00 h. Er betrug 10 Grad und zeigt eine Verschärfung um 24.00 h. Im übrigen fanden am Morgen des 14. in der Westschweiz nach dem Warmlufteinbruch Gewitter statt, und zwar u. a. im Val d'Illiez ab 02.00 h, in Leysin und im Genferseegebiet um 03.00 h, in Neuenburg und La Chaux-de-Fonds um 06.00 h. Sie sind anscheinend durch das Eindringen labiler Luft verursacht. Unsere Höhenstationen zeigen dabei einen Temperaturrückgang von höchstens 1 bis 2 Grad. Es ist anzunehmen, daß die großen Beträge im Wallis und im Jura auf diesen Einbruch maritimer «Kaltluft» aus Südwesten zurückzuführen sind, die einzige Pluviographenangabe von Sion erlaubt wenigstens die Feststellung, daß hier im Gegensatz zu Zürich von 01.30 h bis 07.30 h ebensoviel Niederschlag gefallen ist wie vorher von 18.00 h bis 01.30 h. Heiligenschwendi bei Thun notierte: «in der Nacht Gewitter und Föhnsturm».

Am 14. Januar waren, wie die Karte Nr. 4 zeigt, die Niederschläge wieder ähnlich verteilt wie am 12. Nur sind die Maxima in den Alpen schwächer. In Zürich regnete es von 08.00 h bis 22.00 h, ohne daß während dieser Zeit nennenswerte Temperaturänderungen zu verzeichnen sind. Wie oben bemerkt, war eine neue Luftmasse von Südwest bis West her in unser Land eingedrungen, die sich als labil erwies; die Niederschläge sind daher ungleichmäßig, schauerartig. Es sind jedoch keine Gewitter gemeldet worden. Das Depressionszentrum verschiebt sich bis um 13.00 h des 14. nach Leipzig, doch erstreckt sich noch ein Ausläufer nach der Bretagne, der sich südwärts verschiebt, indem auf seiner Nordseite arktische Luft südwärts vorstößt. Um 18.20 h setzen in Zürich gleichzeitig mit dem Druckanstieg stärkere Niederschläge ein. Der Trog hat die Alpen erreicht. Der bisher starke Wind flaut plötzlich ab und dreht um 22.00 h nach Nordosten. Erst jetzt nach Ende der Niederschläge beginnt der Temperaturrückgang, der bis um 07.00 h des Nachtages etwa 8 Grad (Zürich und Säntis) beträgt. Auch meteorologisch stimmte also dieser Fall mit dem 12. überein.

Um 07.00 h des 15. Januar hatte sich über der Schweiz und Süddeutschland ein neues Hoch aufgebaut. Auf dem Atlantik erscheint eine neue Zyklone, mit deren Annäherung die Temperatur in der Schweiz wieder ansteigt, ohne daß nennenswerte Niederschläge während des ganzen Tages gefallen wären. Die Höhenströmung kam anfangs aus WNW, am Ende dieses Tages aus SW. Warmfrontniederschläge fielen jedoch nur außer in Frankreich und Südwestengland auch in der Westschweiz.

Am *16. Januar* hat abgesehen von einem lokalen Maximum im Berninagebiet (Cavaglia 63 mm) nur die Westschweiz und das Unterwallis mehr als 20 mm (höchstens 35 mm) Niederschlag erhalten. Genf notierte Niederschläge mit größeren Unterbrechungen seit 03.45 h. Verschiedene Stationen melden Gewitter. Wir haben wieder Niederschläge innerhalb des Gebiets der warmen Luft bei starkem Südwestwind. Immerhin wird durch einen leichten Druckanstieg (in Zürich um 07.00 h des 16.) die Passage der «Kaltfront» der Zyklone deutlich, der Temperaturrückgang ist wieder gering. Sonst herrschte während des ganzen Tages starker Druckfall bis um 24.00 h. Dieser Zeitpunkt bezeichnet den Einbruch der arktischen Rückseiteluft. Bei starkem Druckanstieg fällt nun auch die Temperatur, und zwar um 10 Grad bis um 10.00 h des Nachtages. Die an diesen Einbruch kalter Luft geknüpften Niederschläge fallen in Zürich von 00.00 bis 02.00 h. Er verlief jedoch ganz anders als derjenige vom 14. Es erfolgte keine Winddrehung. Nach 24.00 h sind die Winde eher stärker als vorher und wehen in Zürich weiterhin aus Südwest. In der Tat liegt

Einzelne bemerkenswerte Niederschläge 1955
Quelques précipitations importantes en 1955

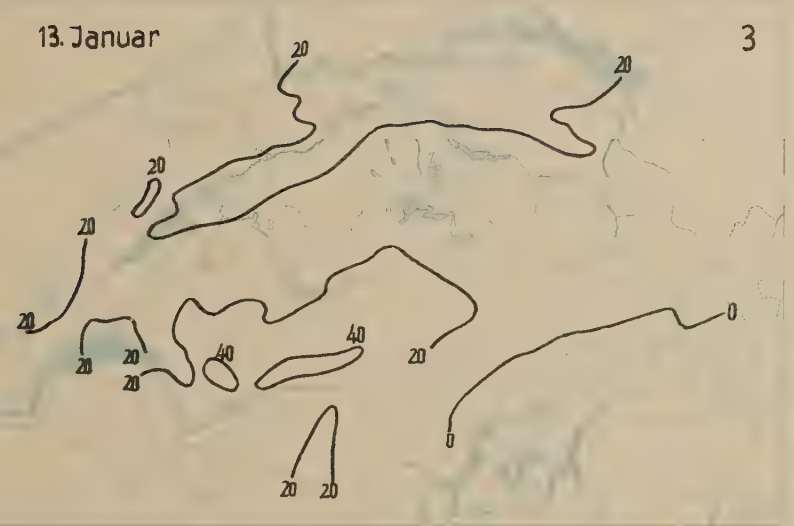

H. KRATZ, GRAPH. ANSTALT, ZÜRICH 2

Einzelne bemerkenswerte Niederschläge 1955
Quelques précipitations importantes en 1955

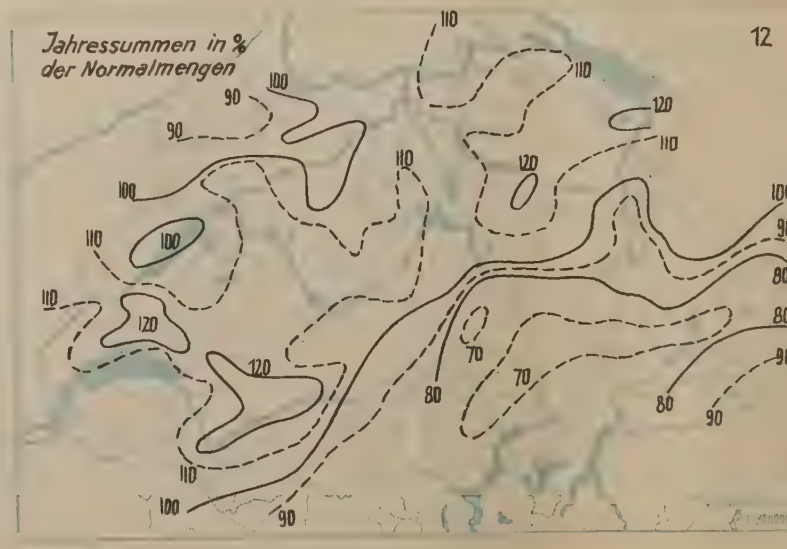

die Depression, die sich auf 970 mb vertieft hat am Morgen des 17. erst über Nordwestdeutschland. Erst um 12.00 h hat sich wiederum vor den Alpen ein Hoch aufgebaut, während die Depression über die Ostsee nordostwärts abzieht. Es fehlt jede Staulage, eher liegt eine Westwinddivergenz vor. Diesem Umstand ist es zuzuschreiben, daß das zentrale und nordöstliche Alpengebiet nur geringe Niederschläge erhalten hat.

Die Niederschläge sowie die Schneeschmelze am 11. führten zum Teil schon am 13. zu Hochwasser. Überschwemmungen traten u. a. im Wallis, in einigen Juratälern (Val-de-Travers, Les Ponts, St. Immertal) im bernischen Seeland und in den Ufergebieten des Murten- und Neuenburgersees auf. Hierüber ist in der Tagespresse ausführlich berichtet worden.

7. und 8. Februar

Die Niederschläge vom 7. *Februar* (Karte Nr. 5, Tafel I) sind Warmfrontniederschläge. Hauptniederschlagsgebiet sind die Waadtländeralpen, das Mittel- und Oberwallis mit Tagesmengen von 30 bis 40 mm und die Westseite des Juras mit 25 bis 35 mm.

Die allgemeine Lage war diese: Die 01.00-h-Wetterkarte vom 7. Februar läßt ein Kaltlufthoch über Nordwestspanien und Frankreich erkennen, welches noch in Verstärkung begriffen ist, während im Norden eine sehr tiefe, ausgedehnte Atlantikdepression gegen die britischen Inseln hin rasch an Raum gewinnt. Der Warmfrontregen wird über Irland und dem St. Georgskanal sichtbar. Um 12.00 h ist die Warmfront bereits in die Bretagne eingedrungen und ihr Niederschlagsgebiet bedeckt ganz Frankreich, während das Hoch in raschem Abbau begriffen ist. Das «Temp» Payerne von 15.00 h zeigt Absinkinversionen in 1200 und 3000 m Höhe. Oberhalb 4000 m deutet die Luftsättigung den Bereich der Warmfront an. Die Warmfrontniederschläge setzten (bei Temperaturen von wenig über 0 Grad am Boden) in der Westschweiz um 16.00 h bis 17.30 h, in Sion um 18.30 h, in Zürich um 23.15 h ein. Die Höhenströmung über der Schweiz in 5000 m Höhe war 50 bis 70 Knoten aus Nordwest. In Zürich herrschten während des Warmlufteinbruchs Winde aus Südsüdwest bis Westsüdwest mit einer mittleren Windstärke von 10 bis 20 Knoten. Im Westen waren die Winde schwach. Der Temperaturanstieg erfolgte auf Jungfraujoch (3600 m) von 15.30 h bis 20.00 h (um 10 Grad), auf dem Säntis von 18.00 h bis 03.30 h (7./8. Februar) um 9 Grad, in Zürich (560 m) von 00.00 h bis 13.00 h (8. Februar) um 8 Grad.

Die Niederschläge vom *8. Februar* (Karte Nr. 6), die durch einen Kaltlufteinbruch verursacht wurden, waren wesentlich größer als diejenigen vom 7. Bevorzugt erscheint nun das untere Wallis, und neu tritt eine Kernzone in den nordöstlichen Alpen auf.

Am 8. Februar um 07.00 h liegt das Depressionszentrum über Schottland. Ganz Westeuropa befindet sich im Warmluftgebiet bei kräftigem Bodenwind aus West bis Westsüdwest, Höhenwind (in 5000 m Höhe) aus Nordwest. Die Kaltluft hat Großbritannien überschwemmt und dringt in Nordwestfrankreich ein. Der Einbruch der kalten Luft machte sich in der Schweiz durch Abkühlung bemerkbar: in Zürich (560 m) von 22.30 h bis 01.00 h (8./9. Februar) um 6 Grad, auf dem Säntis (2500 m) von 23.20 h bis 01.30 h um 5 Grad, auf Jungfraujoch (3600 m) von 01.00 h bis 07.30 h um 10 Grad. Die Kaltfrontniederschläge setzten in Zürich bereits um 17.50 h ein und dauerten bis zu Ende des Temperaturrückgangs (Ergebnis 25 mm). In Zürich zeichnete sich die Kaltfrontpassage durch eine scharfe Bö mit Winddrehung von Südwest nach Nordwest um 22.30 h ab. Nach der 01.00-h-Karte des 9. Februar hat sich das Tief nach Dänemark verschoben. Die Windmessungen in Payerne am 8. Februar um 15.00 h vor und am 9. Februar um 03.00 h nach der Passage der Kaltfront zeigen folgendes: Während der Höhenwind oberhalb 2500 m anhaltend aus Westnordwest bis Nordwest weht, finden wir unterhalb dieses Niveaus vor der Passage Südwest bis Westsüdwest-, nachher Westnordwest- bis Nordnordwestwind (am Boden Windstille). Das letztere «Temp» zeigt, daß sich die Abkühlung hier erst bis zur Höhe von 2500 m, welche durch eine Inversion gekennzeichnet ist, durchgesetzt hat. Erst das nächste Temp vom 9. Februar, 15.00 h, zeigt die Abkühlung bis 10 000 m.

Die Verteilung der eindeutigen Warmfrontniederschläge vom 7. unterscheidet sich von derjenigen der Kaltfrontniederschläge vom 8. hauptsächlich durch die Bevorzugung des Ober- vor dem Unterwallis sowie durch das Fehlen der Niederschlagszone in den nordöstlichen Alpen. Es sind dieselben Unterschiede, die schon in den sehr ähnlichen Fällen vom 13. Januar einerseits, 11. und 12. Januar andrerseits festgestellt wurden. Sie sind vorwiegend in den Windverhältnissen begründet.

17. Februar

Am 17. Februar waren, wie aus der Niederschlagskarte Nr. 7, Tafel II, hervorgeht, zunächst im Bereich der südwestlichen Voralpenzone und im Unterwallis Beträge von mehr als 20 mm zu verzeichnen. Das Kerngebiet von 30 bis 40 mm liegt hier zu beiden Seiten des Unterwallis in der Gegend des Diableretsmassives einerseits, der Dents du Midi andrerseits. Ferner findet sich ein Gebiet mit mehr als 50 mm Niederschlag im Bergell und im Berninagebiet. In Cavaglia (Berninasüdseite) wurden sogar 135 mm Niederschlag gemessen. Die Niederschläge dauern in Sion von 05.00 h des 17. bis um 08.30 h des 8. (ziemlich gleichmäßig).

Die Bevorzugung der südwestlichen Voralpenzone ist auf die Lage der verursachenden Warmfront und auf die vorherrschende West- bis Südwestströmung zurückzuführen. Die allgemeine Wetterlage war folgende: Um 07.00 h des 17. Februar erstreckte sich eine breite Tiefdruckrinne von Portugal nordostwärts über Frankreich nach der Nordsee und Dänemark, wo das tiefste Druckminimum liegt. Eine Teildepression, die aus Südwesten heraufgezogen war, erscheint um diese Zeit über den Pyrenäen und liegt am Nachtag über Genua. Es ist die Warmfront dieser Depression, die um 07.00 h ungefähr über Marseille, Genua nach Brindisi verläuft, welche die Niederschläge verursacht. Die Temperaturänderungen waren auf allen Stationen während des ganzen Tages gering. Die Strömung ist nur in den tiefen Luftschichten durch die Lage der Depression beeinflußt. Im Mittelland herrschte Windstille, in Montana (Wallis) am 17. vorwiegend Ost-

nordostwind ebenso am Alpensüdfuß (schwach). Die Strömung in 5000 m Höhe kam am 17. morgens noch aus Westsüdwest, am 18. aus Südsüdwest. Nach dem «Pilot» von Payerne wehen schon in 1000 m Höhe am 17. Westsüdwestwinde. Testa Grigia (Theodulpaß) meldet bis um Mittag starken Süd-, nachher Südwestwind bis zum Nachtag. Dies dürfte die geringen Niederschläge im Bereich der Südtäler des Mittel- und Oberwallis erklären, während der südwestliche Hang des Unterwallis noch in den Niederschlagsbereich der Westalpen fällt.

Was die Alpensüdseite anbetrifft, so hat das Tessin nur mäßige Niederschläge erhalten, meist weniger als 20 mm, an der Südspitze und im Nordwesten weniger als 10 mm. Um so auffälliger ist das hohe Maximum im Bergell-Berninagebiet. Es ist mangels Unterlage schwer zu erklären. Im Bergell und Oberengadin wehte schwacher Südwest- bis Westwind, auf dem Berninapaß ziemlich starker Südwind.

17. Mai

Bedeutende Niederschläge (50 bis 80 mm) fielen am 17. Mai im Waadtland (vgl. Regenkarte Nr. 8, Tafel II). Das Juragebiet und die ganze Westschweiz haben mehr als 30 mm aufzuweisen. Ein zweites Niederschlagsgebiet liegt südlich des oberen Langensees.

Die allgemeine Wetterlage wird am 17. beherrscht durch eine Depression, die um 07.00 h über dem Kanal liegt (Minimum 992 mb). Westdeutschland liegt im Regengebiet der Warmfront. Die Warmluft hat seit 07.00 h auch die Nordostschweiz überschwemmt. Doch findet sich noch ein kleiner Warmsektor über Südostfrankreich, während das übrige Frankreich bereits von einer maritimen Polarluftmasse aus Südwesten überschwemmt ist, deren Front um 07.00 h ungefähr über Brüssel, Straßburg, Clermont-Ferrand, Toulouse verläuft. An derselben wandern zwei Wellen nordostwärts. Die erste blieb fast ohne Wirkung. Die Rückseite der zweiten, also die Polarluftkaltfront, löste am Abend des 7. zwei Gewitterzüge aus, in der ganzen Westschweiz um etwa 17.30 h bis 18.30 h und dann nochmals im Genferseegebiet ab 19.30 h. Damit setzen auch die hauptsächlichen Niederschläge ein, welche die ganze Nacht bis ungefähr um 07.00 h des 18. Mai dauern. Während dieser Zeit ist ein Temperaturrückgang um total 8 Grad zu beobachten, und zwar in zwei Stufen. Die zweite wurde verursacht durch den Einbruch der direkten polaren Kaltluft von der Nordwestseite der Depression her, die als Teilzentrum einer sich bis nach Nordskandinavien erstreckenden breiten Rinne angehört. Er setzte in Zürich um 04.00 h des 18. Mai ein und war begleitet von einem starken Druckanstieg und einer Drehung der bisher schwachen südlichen Winde nach Westen. Das Tief liegt um 07.00 h über der südöstlichen Nordsee. Auf dem Säntis erfolgte um etwa 11.00 h eine Drehung des Windes nach Süd und nach der Kaltfrontpassage eine scharfe Drehung nach West. Die Niederschläge sind also durch den gesamten Einbruch der kalten Luft verursacht worden. Nach 07.30 h des 18. sind nirgends mehr nennenswerte Beträge gefallen. Aus dem Kerngebiet der Niederschlagsverteilung sind leider keine Angaben über den zeitlichen Ablauf der Niederschläge erhältlich, doch fiel auf alle Fälle auch nachts nach den Gewittern noch ein sehr großer Anteil der Gesamtmenge. Die beschriebene Niederschlagsverteilung (Kerngebiet im Waadtland) kommt ziemlich häufig vor. Als näher vergleichbare Fälle können angesehen werden diejenigen vom 28. August 1935, 6. September 1946 und 23. September 1953. Doch können noch andere Wetterlagen dieselbe Verteilung der Gesamtmenge einer Störung verursachen. Als wesentlich erscheint der südliche bis südwestliche Höhenwind vor dem Kaltlufteinbruch.

7. Juni

Die Niederschlagsverteilung dieses Tages ist in Karte Nr. 9, Tafel II, dargestellt. Mit Ausnahme des Mittel- und Oberwallis, der westlichen Berner Alpen und Ostgraubünden hat fast die ganze Schweiz mehr als 30 mm Niederschlag erhalten. Ein erstes Kerngebiet mit 40 bis 55 mm erstreckt sich von den Freiburger Alpen streifenförmig nordnordostwärts über Bern, Burgdorf, Solothurn, Moutier gegen Basel hin. Ein zweites Gebiet mit über 40 mm umfaßt folgende Gegenden: Puschlav, Bergell, Misox und Tessin, das Quellgebiet des Vorderrheins, die Glarner und Schwyzer Alpen, Appenzell, das Toggenburg, das Zürcher Oberland und die Nordschweiz zwischen Schaffhausen und dem Bodensee. Im Einzugsgebiet der Melezza, Maggia, Verzasca und des Tessin oberhalb Bellinzona sind meist Niederschläge von 100 bis 150 mm gemessen worden. Camedo will sogar 328 mm erhalten haben.

Diese Niederschläge hängen mit einem Kaltlufteinbruch von Westen her zusammen. Das Depressionszentrum liegt um 07.00 h des 7. Juni auf dem Atlantik in der Breite des Kanals, 18 Grad westlich von Greenwich. Ein Randtief dieser Depression, das von Südwesten her auf gezogen war über Belgien. Die Kaltfront verläuft etwa über Amiens—Reims—Dijon nach Marseille und erreichte Zürich um 16.00 h. Die Niederschläge sind sowohl nord- wie südseits der Alpen in der Hauptsache an den Kaltlufteinbruch geknüpft. Sie dauerten in Zürich von 17.15 h bis um 04.30 h, in Locarno nach schwachen Föhnregen besonders von 21.30 h bis 03.45 h. Hier waren sie von anhaltenden Gewittern begleitet. Der Temperaturrückgang setzte in Zürich um etwa 16.00 h, auf dem Säntis um 17.30 h, am Alpensüdfuß um etwa 23.00 h ein. Er betrug in Säntishöhe (2500 m) 11 Grad. Bis zum Nachtag entwickelte sich das Teiltief zu einer selbständigen Depression über Nordpolen. Nördlich der Alpen baute sich ein schwaches Kaltlufthoch auf, das aber schon am 9. durch eine weitere Störung wieder abgebaut worden ist.

13. Juli

Im Juli waren an verschiedenen Tagen örtlich starke Niederschläge zu verzeichnen, die auffälligsten am 13./14. Juli in der Gegend des Zürichsees und Walensees. Ein Maximum liegt bei Lachen (105 mm), ein zweites in der Gegend von Zürich (Oerlikon 93 mm). Die 40-mm-Isohyete verläuft ungefähr über Kemptal, Uster, Wald, Säntis, Walenstadt, Glarus, Horgen, Schlieren. Es sind erhebliche Wasserschäden verursacht worden.

Ein Teil dieser Niederschläge fiel am Nachmittag des 13., der weitaus größte Teil jedoch in der Nacht, in Zü

rich zwischen 00.30 h und 05.00 h des 14. Juli. Sie waren von Gewittern begleitet. Irgendwelche Besonderheiten sind weder auf dem Barogramm noch auf dem Thermogramm festzustellen. Es liegt somit keine Frontpassage vor. Die Bodenkarte zeigt einen flachen Hochdruckrükken (meist unter 1020 mb), der sich vom Atlantik nach Skandinavien erstreckt. Auch die Höhenwinde waren relativ schwach in 5000 m Höhe aus Westnordwest.

30. August

Bei diesen Niederschlägen, deren Verteilung in Karte Nr. 10, Tafel II, dargestellt ist, handelt es sich um das Ergebnis gewittriger Umlagerungsvorgänge in einer flachen Depression, deren Zentrum über Ostfrankreich nordostwärts wanderte. Die Hauptniederschlagszone mit mehr als 40 mm Niederschlag umfaßt das östliche Waadtland, das Unterwallis, die Freiburger Alpen, das Berner Oberland, die West- und Südhänge des Napf und das Unterwaldner Voralpengebiet. Im Quellgebiet der Saane (Pays d'Enhaut) und am oberen Genfersee wurden 60 bis 75 mm gemessen. In Nordgraubünden und in der Nord- und Nordostschweiz blieben die Beträge meist geringer als 10 mm.

Die Niederschläge fielen in zwei oder drei getrennten Phasen, in Sion von 08.10 h bis 13.00 h (18 mm), dann von 20.00 h bis 21.20 h (3 mm) und von 01.30 h bis 07.20 h (21 mm). Sie waren strichweise von Gewitterstörungen begleitet. Irgendwelche Besonderheiten im Thermogramm oder Barogramm, die auf Fronten schließen lassen, sind nicht vorhanden. Die Temperatur zeigt in der Höhe vom 30. zum 31. August einen Rückgang um 2 bis 3 Grad. Die Höhenströmung über den Alpen war Westnordwestwind von 30 Knoten in 5000 m Höhe.

21. Oktober

An diesem Tage hatte die Alpensüdseite bedeutende Föhnniederschläge zu verzeichnen (Karte Nr. 11, Tafel II). Ihr Maximum liegt im Centovalligebiet (Mosogno 156 mm). Der Bereich mit mehr als 40 mm greift auf die Nordseite der Alpen über und umfaßt außer dem Tessin und dem Misox auch das Oberwallis, das Haslital, den Kanton Uri, das Hinterrheintal und das Bergell.

Die Wetterkarte vom 21. Oktober 07.00 h zeigt eine ausgedehnte Tiefdruckrinne, deren Hauptminima einerseits über Nordskandinavien, andrerseits über Nordfrankreich (minus 992 mb bei Amiens) liegen. Das französische Tief füllte sich in der Folge mehr oder weniger an Ort und Stelle auf. Die Niederschläge hatten auf der Alpensüdseite schon am Vortag eingesetzt. In Locarno wurde gemessen: am 21. um 07.00 h 39 mm, am 22. um 07.00 h 63 mm und am 23. um 07.00 h 20 mm. In Altdorf wehte starker Föhn bis um 11.30 h des 21., auf dem Säntis bis um 16.45 h. Der Kaltlufteinbruch brachte der Alpennordseite einen Temperaturrückgang von etwa 7 Grad. Am Alpensüdfuß setzte er erst um 16.00 h ein und löste daselbst Gewitterniederschläge aus. Die Höhenströmung kam dauernd aus Südsüdwest bis Südwest auch während und nach dem Kaltlufteinbruch. M. Grütter

Eidg. Landestopographie Bern
Service topographique fédéral Berne

- Meteorologische Station / Klimatologisches Netz
- Station météorologique / Réseau climatologique
- Regenmess-Station / Station pluviométrique
- Meteorologische Station / Synoptisches Netz
- Station météorologique / Reseau synoptique

Schweizerische Meteorologische Zentralanstalt
Institut Suisse de Météorologie

Nr. 4

Ergebnisse der Registrierungen der Sonnenscheinautographen im Jahre 1955

U = Stationen mit Sonnenscheinautographen «Usteri»
N = Stationen mit Sonnenscheinautographen «Negretti & Zambra» (N* = neues Modell)
F = Stationen mit Sonnenscheinautographen «Fuess»
C* = Stationen mit Sonnenscheinautographen Casella (neues Modell)
L = Stationen mit Sonnenscheinautographen «Lambrecht»

Monats- und Jahressummen der Sonnenscheindauer in Stunden

1955	Apparat	Januar	Februar	März	April	Mai	Juni	Juli	August	September	Oktober	November	Dezember	Jahr
Zürich	N*	29	39	147	211	234	202	157	218	143	124	56	41	1595
Säntis	N*	119	47	186	170	186	155	165	156	158	185	173	73	1773
Hallau	U	23	40	140	187	223	163	141	176	127	119	50	33	1422
Wald	U	78	26	142	176	188	148	106	155	122	120	102	54	1417
Walenstadtberg	U	74	30	138	154	158	119	114	137	149	117	100	66	1356
Braunwald	F	73	48	130	173	176	142	126	142	136	121	95	66	1428
Oberiberg	N*	60	38	129	169	190	159	126	157	146	140	85	50	1449
Unterägeri	U	55	37	117	189	206	174	133	194	129	110	84	57	1485
Luzern	N	15	52	119	215	206	173	132	187	126	86	30	48	1389
Jungfraujoch	N	69	34	160	177	185	127	158	176	180	152	148	68	1634
Grimmialp	N	57	64	146	186	180	154	157	169	127	133	115	77	1565
Heiligenschwendi	U	65	53	115	202	173	124	128	172	120	126	96	77	1451
Bern [1]	N/L	19	40	137	236	225	197	195	218	156	122	67	60	1672
Basel	N	56	57	154	217	222	190	158	203	155	136	75	44	1667
Barmelweid	U	47	37	119	187	167	136	113	169	127	128	71	35	1336
Allerheiligen	U	51	40	111	201	188	167	125	178	127	129	79	52	1448
Mont Soleil s. St. Imier	U	62	41	122	197	191	140	139	176	140	156	108	57	1529
La Chaux-de-Fonds	F	53	56	154	233	219	176	168	211	155	162	121	62	1770
Chasseron	N*	78	50	147	243	195	162	152	192	155	164	122	59	1719
Neuchâtel	U	14	48	133	234	224	188	199	197	148	120	44	28	1577
Payerne	N*	18	52	149	260	248	199	212	227	166	124	62	43	1760
Genève-Observat.	N	13	77	150	303	265	219	256	271	198	140	51	42	1985
Genéve-Cointrin	N*	14	77	148	305	252	201	236	256	181	138	57	37	1902
Lausanne	N	27	72	161	288	251	207	238	250	185	148	79	51	1957
Montreux-Clarens	U	30	62	130	242	211	178	189	209	153	127	74	53	1658
Château d'Oex	F	73	77	167	251	206	166	186	212	172	158	131	80	1879
Leysin	U	73	66	157	244	186	158	148	175	143	151	132	91	1724
Sitten	U	65	85	183	262	243	193	212	224	208	174	126	88	2063
Montana s/Sierre	U	88	91	192	270	229	186	210	217	209	196	151	106	2145
Disentis	N*	75	46	183	222	215	152	152	195	185	132	110	70	1737
Plantahof b/Landquart	U	68	47	148	172	190	156	145	163	174	120	99	60	1542
Arosa	C*	106	56	179	189	199	149	135	168	169	148	116	79	1693
Weissfluhjoch	F	134	75	212	208	213	155	140	160	172	185	159	97	1910
Davos-Platz [2]	N/F	95	51	172	189	196	147	131	150	173	141	105	61	1611
Bivio	N	98	65	183	175	189	139	136	144	152	143	93	80	1597
St. Moritz	U	118	71	194	231	221	156	157	143	156	143	115	69	1774
Schuls	N	84	58	178	225	232	170	159	167	167	150	100	56	1746
Lugano	N	93	94	138	288	228	211	246	254	208	162	110	94	2126
Monte Brè	U	107	94	137	286	242	218	256	263	207	168	121	108	2207
Locarno-Monti	N	109	99	175	308	261	220	257	266	224	179	123	108	2329

[1] Bern: Apparatewechsel am 15. November

[2] Davos: Apparatewechsel am 16. Dezember

1955 **Tägliche Dauer des Sonnenscheins in Stunden**

Januar

Tag	Lugano	Genève	Montana s. Sierre	Chaux-de-Fonds	Bern	Luzern	Basel	Zürich	Davos	Säntis
1	0.0	0.0	2.6	4.4	0.0	0.0	2.1	2.6	2.2	4.5
2	0.0	0.0	0.0	0.6	0.0	0.0	0.0	1.4	3.2	5.2
3	0.0	0.0	0.0	0.0	0.0	0.0	0.0	0.4	0.0	1.6
4	0.0	0.2	1.8	0.6	0.0	0.0	0.0	0.0	0.0	1.0
5	0.0	0.0	0.8	0.3	0.0	0.0	0.4	0.0	3.9	6.2
6	0.0	0.0	0.0	0.0	0.0	0.0	0.0	0.0	0.0	0.0
7	0.0	0.0	3.3	0.0	0.0	0.0	0.0	0.0	2.7	2.4
8	2.5	0.0	4.5	0.0	0.0	0.0	0.0	0.0	5.6	8.0
9	0.5	0.0	2.9	0.0	0.0	0.0	0.0	0.0	1.3	0.0
10	6.5	0.0	7.1	4.4	0.0	0.0	5.1	0.1	5.4	7.8
11	0.1	0.0	0.0	0.0	0.0	0.1	0.0	0.1	0.0	0.0
12	2.0	0.4	0.0	0.0	0.0	0.1	0.5	0.0	0.0	0.0
13	6.7	0.4	0.0	0.6	0.2	0.0	1.1	0.0	4.2	0.0
14	1.2	0.0	0.0	0.0	0.0	0.7	0.0	0.1	1.0	0.0
15	4.6	0.0	0.0	0.4	0.0	1.2	0.8	0.0	2.3	0.2
16	0.0	0.8	0.0	0.0	0.0	0.0	0.5	0.0	0.0	0.8
17	7.2	0.0	0.0	0.0	0.0	0.2	2.4	0.5	0.0	0.0
18	5.1	3.0	2.3	0.0	0.8	1.6	5.0	2.3	0.0	0.0
19	5.9	4.4	3.4	0.9	5.1	7.9	6.4	6.4	5.8	8.2
20	4.7	0.0	0.9	0.0	0.0	0.0	0.0	0.3	5.8	1.2
21	4.7	0.0	2.8	2.6	0.3	2.7	2.3	3.7	3.5	3.8
22	0.0	0.0	1.5	0.1	0.0	0.1	0.0	0.1	0.1	0.6
23	1.3	0.0	5.3	0.0	0.0	0.0	0.0	0.0	5.5	7.7
24	6.8	0.0	8.6	5.8	0.0	0.0	0.0	0.0	6.0	9.0
25	7.2	1.1	8.7	6.5	2.3	0.0	0.1	0.0	6.2	9.1
26	6.5	0.0	6.8	7.4	0.0	0.0	7.8	1.0	6.2	9.0
27	1.7	2.1	3.7	4.1	1.2	0.0	5.5	2.0	5.5	7.1
28	5.6	0.0	8.2	5.1	2.2	0.0	7.0	0.0	5.7	8.8
29	7.7	0.0	8.7	8.3	6.0	0.0	7.5	0.0	6.3	8.8
30	4.4	0.0	2.4	1.2	1.1	0.7	1.9	0.0	5.4	7.5
31	0.0	1.0	1.7	0.1	0.1	0.0	0.1	1.8	0.9	1.3
Mittel	3.0	0.4	2.8	1.7	0.6	0.5	1.8	0.7	3.1	3.8

Februar

Tag	Lugano	Genève	Montana s. Sierre	Chaux-de-Fonds	Bern	Luzern	Basel	Zürich	Davos	Säntis
1	0.0	3.2	4.2	3.1	1.0	2.3	1.6	3.6	1.9	0.1
2	0.0	1.8	6.0	2.6	4.1	5.2	2.1	4.8	2.9	7.0
3	0.0	5.2	2.0	1.2	1.8	0.3	2.1	0.1	0.0	0.0
4	4.1	0.0	0.0	0.0	0.4	3.5	2.1	0.1	0.7	0.0
5	5.3	0.0	0.0	0.5	3.1	3.3	5.6	2.1	1.9	0.0
6	0.0	1.9	0.0	0.0	0.0	0.0	0.0	0.0	0.0	0.0
7	3.5	2.4	1.8	0.5	1.2	2.0	0.6	1.9	1.5	1.3
8	2.9	0.0	0.0	0.0	0.0	0.0	0.0	0.2	0.0	0.0
9	6.8	3.5	5.2	1.5	0.4	4.9	1.1	1.2	0.0	0.0
10	8.4	3.4	0.0	0.0	0.7	0.6	3.1	0.3	0.0	0.0
11	8.3	7.5	8.6	4.4	4.2	6.3	3.1	4.1	6.8	2.5
12	0.0	3.5	4.9	3.0	0.1	5.3	6.7	1.0	6.4	7.8
13	7.8	3.8	6.4	5.1	3.4	2.9	5.3	2.7	6.8	0.0
14	8.8	4.9	1.5	0.0	2.3	0.2	3.3	2.9	0.2	0.0
15	8.9	8.4	5.1	3.3	2.0	1.2	2.5	2.0	2.5	0.7
16	8.8	7.2	8.4	4.4	4.2	4.8	1.4	2.5	6.6	0.0
17	0.0	0.0	0.0	0.0	0.0	0.0	0.0	0.0	0.0	0.0
18	2.0	4.3	5.7	6.0	0.8	0.6	5.9	1.2	0.0	1.9
19	0.0	0.0	1.0	0.4	0.6	0.0	0.0	0.0	0.8	2.8
20	0.8	0.9	0.9	0.0	2.0	3.5	0.2	2.6	0.1	0.0
21	0.6	0.0	0.0	0.0	0.0	0.0	0.0	0.0	0.0	0.0
22	9.1	0.8	3.4	0.5	0.3	0.0	0.0	0.0	0.8	0.0
23	0.0	0.0	0.0	0.0	0.0	0.0	0.0	0.2	0.3	0.4
24	0.0	6.6	6.1	5.8	3.5	5.4	5.2	2.9	4.2	3.8
25	0.0	0.0	4.7	6.3	0.0	0.0	0.0	0.0	3.0	3.7
26	7.6	5.7	7.8	0.2	4.0	0.2	0.0	0.0	0.0	2.0
27	0.0	0.0	7.7	1.1	0.0	0.0	0.0	0.0	1.3	5.7
28	0.0	1.9	0.0	5.8	0.0	0.0	4.8	2.4	2.2	6.9
Mittel	3.3	2.7	3.3	2.0	1.4	1.9	2.0	1.4	1.8	1.7

März

Tag	Lugano	Genève	Montana s. Sierre	Chaux-de-Fonds	Bern	Luzern	Basel	Zürich	Davos	Säntis
1	6.8	0.0	4.9	0.5	0.5	1.1	2.0	0.0	7.4	10.5
2	2.7	0.0	8.5	8.7	1.6	0.0	8.8	2.9	7.8	10.5
3	2.2	4.1	9.8	9.3	4.0	1.6	9.8	5.5	6.7	10.5
4	8.2	8.0	9.3	9.5	4.9	4.9	9.1	6.2	7.7	9.9
5	2.8	6.8	1.1	1.2	6.1	2.8	5.8	6.0	0.6	1.4
6	0.8	9.0	2.4	4.5	3.1	0.0	3.7	0.0	0.3	0.5
7	7.5	5.0	9.5	6.3	8.0	9.0	9.1	9.8	8.1	10.6
8	3.9	0.7	3.6	2.2	4.7	7.7	4.2	8.8	6.6	9.7
9	0.0	8.8	8.3	6.5	8.4	7.7	6.6	7.7	3.5	6.4
10	0.0	0.8	5.2	0.0	0.0	0.0	0.0	0.0	6.2	7.8
11	0.0	0.0	4.1	0.0	0.0	0.0	0.0	0.0	0.0	0.5
12	0.0	4.4	10.4	10.0	3.6	0.0	5.3	4.3	9.2	10.0
13	7.5	7.7	10.3	10.2	6.9	5.9	9.8	6.7	9.4	11.1
14	10.0	9.9	10.5	10.3	9.7	7.8	4.4	9.0	9.4	11.0
15	8.6	5.3	8.7	7.8	7.5	5.6	8.3	9.0	9.5	10.5
16	7.1	9.7	10.0	10.4	10.0	9.3	10.2	8.9	8.5	8.7
17	3.1	9.0	7.6	1.5	1.8	3.0	0.0	0.4	6.7	0.6
18	10.7	10.9	9.4	4.2	9.8	7.9	5.1	4.0	4.4	0.0
19	7.1	10.8	10.1	6.7	9.4	10.9	9.0	10.3	9.7	6.4
20	8.2	9.2	9.0	8.1	8.5	6.6	6.2	7.0	6.5	5.6
21	0.0	1.4	0.7	1.8	2.2	4.0	2.9	3.2	0.7	4.8
22	10.1	2.2	1.9	2.4	3.9	2.0	0.9	3.2	6.4	2.4
23	8.2	2.0	3.0	3.0	3.4	3.9	2.3	4.2	7.6	5.5
24	6.4	5.6	5.9	6.7	7.1	8.4	5.3	8.1	8.6	8.6
25	0.4	2.1	0.5	1.2	1.0	2.6	3.2	4.6	3.8	5.7
26	1.5	2.7	2.6	1.8	2.1	2.0	2.2	2.5	5.9	2.9
27	0.0	3.2	3.4	4.8	4.6	4.1	8.0	6.3	3.0	1.0
28	4.8	2.2	1.5	0.0	0.0	0.0	0.0	0.0	2.7	0.0
29	1.4	3.8	4.6	0.0	0.0	0.0	0.0	0.0	0.7	0.0
30	0.8	1.6	4.7	5.2	1.2	0.5	5.3	4.2	1.2	4.3
31	7.5	3.1	10.3	9.1	2.9	0.0	6.3	4.3	3.5	8.8
Mittel	4.5	4.8	6.2	5.0	4.4	3.8	5.0	4.7	5.6	6.0

April

Tag	Lugano	Genève	Montana s. Sierre	Chaux-de-Fonds	Bern	Luzern	Basel	Zürich	Davos	Säntis
1	9.9	8.6	6.5	10.0	10.5	9.8	9.7	8.9	10.0	10.7
2	10.6	11.3	11.3	11.3	11.2	10.7	10.8	11.0	10.1	12.3
3	8.9	8.4	5.0	4.6	4.4	5.3	6.4	5.5	8.4	3.1
4	10.3	8.7	5.9	5.2	5.1	4.1	5.1	2.5	2.8	0.4
5	8.6	10.5	5.9	5.2	3.3	1.1	3.6	0.4	0.1	0.0
6	10.8	10.8	10.6	9.8	10.2	11.0	9.1	9.8	9.3	11.3
7	2.2	0.0	0.0	0.3	0.0	0.0	0.4	0.0	0.6	0.0
8	8.8	5.6	0.6	0.1	1.3	2.0	0.1	0.5	2.5	1.4
9	8.4	8.6	5.4	0.5	3.6	1.7	1.2	0.9	0.1	0.0
10	6.9	10.0	7.5	2.5	4.7	1.4	2.9	2.3	4.5	0.0
11	8.8	0.0	0.0	0.0	0.0	0.0	0.0	0.0	0.0	0.0
12	11.0	11.8	8.6	8.7	8.6	4.2	6.6	3.3	0.0	0.0
13	11.9	11.2	12.1	7.2	8.3	5.5	5.1	4.7	6.2	5.4
14	11.9	12.0	9.1	7.2	8.1	5.7	5.5	4.2	0.9	0.0
15	11.9	11.8	11.0	5.1	4.7	3.2	5.8	5.0	0.6	0.0
16	11.7	11.5	9.9	2.5	3.9	3.9	1.5	6.2	4.3	0.0
17	5.3	8.8	12.3	6.2	0.1	1.5	3.1	0.2	7.5	10.9
18	11.9	11.7	12.0	12.5	11.8	8.9	10.9	6.4	4.3	2.1
19	9.6	12.3	11.2	12.7	12.6	12.3	10.9	12.7	9.0	9.5
20	10.0	12.3	12.3	12.8	12.5	12.5	12.4	13.0	11.2	13.5
21	11.6	11.9	11.9	12.8	12.6	12.4	12.1	12.9	11.3	11.6
22	11.3	11.6	12.4	12.4	12.0	10.1	11.6	12.2	10.9	5.3
23	9.6	11.1	12.4	12.5	11.9	12.1	12.4	12.7	11.2	4.5
24	9.9	12.0	11.9	11.4	12.0	12.1	8.6	12.3	7.4	6.6
25	11.1	12.9	12.5	13.0	12.6	10.7	12.8	12.7	10.5	10.4
26	1.6	9.7	11.1	9.7	8.8	10.3	8.7	10.3	9.7	10.2
27	10.2	10.5	5.4	5.8	4.8	5.5	4.7	2.9	3.2	1.3
28	9.9	12.3	12.6	11.2	12.8	13.0	12.7	13.2	10.9	13.2
29	11.3	12.6	10.4	11.1	11.9	12.8	11.9	13.3	11.6	13.8
30	12.0	12.3	12.4	8.4	11.3	11.1	10.1	10.7	10.0	12.7
Mittel	9.6	10.1	9.0	7.8	7.9	7.2	7.2	7.0	6.3	5.7

Tägliche Dauer des Sonnenscheins in Stunden

1955

Mai

Tag	Lugano	Genève	Montana s. Sierre	Chaux-de-Fonds	Bern	Luzern	Basel	Zürich	Davos	Säntis
1	11.6	12.7	12.3	12.1	11.0	11.0	10.2	11.8	9.7	11.3
2	6.6	0.4	1.2	1.4	1.6	3.3	0.4	2.8	5.8	6.4
3	12.4	13.2	7.1	8.2	9.3	6.3	7.9	4.7	3.6	0.0
4	3.0	1.8	5.3	0.1	2.3	4.0	0.3	4.0	6.5	4.9
5	11.8	9.5	9.1	9.4	8.5	9.6	8.2	9.9	8.2	4.7
6	1.3	9.3	9.8	4.2	8.9	9.1	8.6	8.9	5.9	11.2
7	3.6	11.7	7.5	4.2	7.7	7.5	6.8	8.7	1.9	0.0
8	12.3	13.6	13.2	13.7	13.5	13.5	13.7	13.7	11.5	13.5
9	9.2	12.4	11.4	12.5	11.3	11.0	11.8	12.2	9.7	13.4
10	6.4	3.2	3.9	1.2	3.9	3.6	0.1	3.0	8.4	3.8
11	5.1	0.3	0.0	0.0	0.0	0.0	0.1	0.0	0.0	0.0
12	10.8	11.7	8.3	9.2	8.5	8.1	9.0	10.0	9.2	12.7
13	6.0	13.0	12.1	13.4	12.7	13.3	12.5	13.4	12.0	14.2
14	0.3	0.0	0.0	0.3	0.6	0.2	1.0	0.3	6.1	3.2
15	1.3	8.2	5.0	3.2	0.3	0.1	1.7	0.3	0.0	0.0
16	12.1	11.0	10.2	9.4	10.4	11.7	7.2	9.6	12.1	9.8
17	2.3	0.0	0.2	0.0	0.3	1.4	0.0	1.0	2.1	2.8
18	0.0	5.9	5.1	7.5	3.2	2.6	6.5	2.2	0.0	0.0
19	12.6	10.1	9.6	8.6	7.0	6.8	10.6	8.8	4.3	1.6
20	9.7	13.5	10.6	11.4	10.6	6.3	11.9	10.6	6.1	4.8
21	9.1	13.6	12.9	8.6	12.3	6.3	9.5	12.8	4.8	4.5
22	12.8	14.1	8.9	6.3	3.9	2.3	4.8	4.8	1.6	0.0
23	12.5	14.2	13.5	14.3	13.6	13.7	14.1	14.2	12.3	13.9
24	10.2	14.2	13.2	14.3	14.2	14.3	14.0	14.1	12.3	14.2
25	7.0	7.2	9.1	7.0	10.3	10.8	9.4	10.1	10.9	13.1
26	2.6	10.9	2.4	4.6	6.9	5.5	10.8	10.6	2.8	4.7
27	0.0	0.7	0.0	1.6	0.7	0.1	1.5	0.4	1.4	0.0
28	7.1	0.0	1.6	0.1	0.8	3.2	0.0	2.5	4.4	0.2
29	13.0	8.6	5.9	3.8	5.0	1.9	4.3	3.6	0.2	0.0
30	8.1	7.5	13.5	13.4	11.9	4.2	11.3	10.6	12.1	4.7
31	7.0	12.4	6.4	14.6	14.3	14.4	13.6	14.3	10.5	12.9
Mittel	7.3	8.5	7.4	7.1	7.3	6.6	7.2	7.5	6.3	6.0

Juni

Tag	Lugano	Genève	Montana s. Sierre	Chaux-de-Fonds	Bern	Luzern	Basel	Zürich	Davos	Säntis
1	9.9	11.5	6.0	8.1	9.4	10.6	13.6	12.2	7.3	12.8
2	11.5	7.9	9.2	10.2	10.3	5.0	10.0	10.0	1.0	0.0
3	0.9	4.3	2.0	0.6	1.4	5.5	5.1	8.9	6.4	4.0
4	0.0	0.0	0.0	0.0	0.0	0.0	0.0	0.0	0.5	0.0
5	2.5	2.3	3.4	6.3	3.7	4.3	5.3	4.9	6.3	4.7
6	6.9	9.5	11.4	11.6	11.9	8.1	10.8	9.7	10.7	9.2
7	1.2	0.0	1.6	0.0	0.1	2.1	0.2	1.9	5.2	4.7
8	8.6	6.5	5.9	9.0	8.8	7.5	8.0	8.2	7.1	4.0
9	0.0	2.3	3.0	1.3	2.7	6.6	1.1	5.6	3.3	8.2
10	10.1	2.2	1.9	0.5	3.2	2.5	2.7	3.8	2.3	0.0
11	3.9	5.4	3.6	1.4	0.4	0.0	2.4	0.6	0.0	0.0
12	10.1	4.1	2.7	2.6	2.7	5.0	2.6	4.6	8.2	7.7
13	7.0	9.0	5.3	1.2	6.9	2.1	1.7	4.6	2.1	0.0
14	13.1	13.3	13.0	12.6	13.7	13.2	12.4	10.6	8.2	5.0
15	12.8	13.9	9.8	12.5	10.5	6.7	10.2	8.0	0.8	2.7
16	12.4	12.4	12.6	13.7	12.4	13.7	14.3	13.4	9.6	12.6
17	4.4	11.8	4.2	3.8	2.7	2.9	7.4	6.4	3.1	3.4
18	3.8	7.9	9.2	7.0	7.5	6.8	4.9	7.3	5.0	7.5
19	1.1	6.2	7.0	6.4	6.5	8.3	5.2	5.9	6.4	8.3
20	0.2	2.8	0.4	1.2	1.0	0.0	3.3	1.7	3.9	0.0
21	6.3	7.3	5.6	3.1	5.9	1.8	3.8	6.1	0.4	0.0
22	10.6	1.8	0.7	0.0	0.7	0.4	0.6	1.0	2.5	1.7
23	13.1	13.4	12.9	11.4	10.6	9.7	10.8	10.0	7.1	11.8
24	10.8	13.5	10.6	14.0	13.6	13.9	13.2	14.1	11.8	15.5
25	8.8	9.6	8.7	*10.5	9.8	7.6	10.9	8.9	9.7	9.6
26	8.1	5.8	7.0	*5.0	6.9	8.2	7.1	8.1	6.2	6.0
27	7.0	8.6	2.2	4.9	4.6	4.9	4.4	3.5	0.0	1.9
28	7.7	9.9	9.0	7.8	12.5	5.0	8.4	8.1	0.9	6.2
29	10.0	9.3	8.7	4.8	7.3	8.0	5.7	6.3	8.6	7.6
30	8.6	6.6	7.9	4.8	8.9	2.6	4.1	7.1	2.2	0.0
Mittel	7.0	7.3	6.2	5.9	6.6	5.8	6.3	6.7	4.9	5.2

Juli

Tag	Lugano	Genève	Montana s. Sierre	Chaux-de-Fonds	Bern	Luzern	Basel	Zürich	Davos	Säntis
1	12.6	13.1	12.4	12.9	13.0	13.5	13.9	14.4	12.5	13.4
2	10.2	11.5	8.3	10.4	12.3	8.0	10.4	12.1	9.2	10.5
3	0.1	2.0	2.9	1.4	2.5	0.8	0.6	0.5	0.9	5.0
4	10.4	6.6	3.5	4.1	3.7	2.6	4.2	4.6	3.2	0.0
5	5.1	2.9	2.8	5.0	4.6	2.1	3.0	4.3	1.6	0.2
6	12.8	14.1	12.0	0.0	6.1	0.2	0.8	0.4	0.0	0.0
7	2.2	10.2	2.5	4.3	0.7	0.4	0.7	0.4	0.0	0.0
8	3.6	13.0	9.0	4.8	7.7	1.5	3.6	0.9	0.0	0.0
9	12.6	10.6	12.2	10.0*	11.1	4.8	4.9	6.0	3.4	1.6
10	8.4	8.6	7.9	8.0*	6.0	2.6	1.6	6.8	3.9	5.9
11	1.1	5.9	4.4	0.0	3.1	3.4	1.2	1.8	0.6	5.2
12	9.5	7.5	2.7	4.0	3.4	4.9	7.1	7.1	0.2	4.7
13	11.9	13.4	8.4	7.3	9.3	1.1	3.8	3.6	0.3	0.0
14	12.0	8.7	5.8	7.2	5.2	3.4	6.4	4.0	2.2	0.5
15	5.8	3.7	1.7	2.7	4.4	6.0	7.4	6.3	1.5	2.2
16	9.1	9.4	12.7	14.1	11.4	3.4	9.5	6.1	10.9	11.8
17	12.6	13.7	13.3	12.1	13.3	13.6	14.1	13.6	11.1	14.9
18	12.4	12.4	13.2	11.2	11.6	13.4	12.2	12.3	11.5	14.3
19	7.2	5.6	5.3	9.1	8.4	8.3	8.3	7.3	6.3	7.1
20	4.6	3.4	5.9	0.6	1.1	3.4	1.3	5.0	5.9	7.1
21	6.5	9.6	6.8	6.4	7.8	6.5	10.3	8.1	6.2	8.0
22	7.6	9.1	1.7	0.0	1.1	0.9	3.1	0.5	0.2	0.0
23	12.6	12.6	9.9	6.2	10.4	7.0	5.2	7.3	4.2	5.0
24	12.3	10.4	11.6	10.9	11.5	7.9	6.8	6.3	11.3	12.7
25	7.7	7.8	9.7	7.7	6.2	3.1	5.9	9.4	10.6	10.6
26	0.0	0.0	2.8	0.4	0.0	0.5	0.9	1.3	4.7	9.6
27	7.1	6.5	1.1	0.3	1.7	0.0	0.6	1.2	0.1	0.3
28	7.2	1.8	0.4	0.6	1.9	0.3	0.2	0.9	0.8	0.3
29	5.9	2.6	1.0	1.3	1.9	0.3	1.9	0.2	0.0	0.0
30	12.5	11.3	10.0	3.8	11.9	7.1	7.2	4.2	2.7	4.4
31	2.6	8.0	7.8	0.8	1.6	0.8	0.6	0.3	4.8	9.4
Mittel	7.9	8.3	6.8	5.4	6.3	4.3	5.1	5.1	4.2	5.3

August

Tag	Lugano	Genève	Montana s. Sierre	Chaux-de-Fonds	Bern	Luzern	Basel	Zürich	Davos	Säntis
1	8.3	10.8	9.7	7.2	3.6	3.0	4.0	4.3	4.5	5.8
2	7.0	8.3	6.1	4.6	3.7	0.9	9.0	1.4	0.2	1.7
3	12.0	12.1	3.1	10.4	5.4	5.4	2.6	6.1	0.7	1.8
4	10.0	7.6	2.0	4.8	4.3	2.3	6.3	1.3	0.0	0.1
5	12.3	9.6	8.2	12.6	11.6	9.4	9.5	10.8	9.9	6.9
6	9.1	10.6	11.2	10.5	12.3	10.0	12.8	13.0	11.5	9.7
7	5.0	12.0	3.3	0.9	1.8	2.8	1.8	2.5	4.1	0.4
8	12.5	11.1	4.1	2.8	6.6	3.4	1.8	9.5	2.5	0.8
9	12.1	12.1	11.7	2.1	7.3	2.4	4.7	3.2	0.1	0.0
10	10.5	10.3	6.4	8.1	11.3	8.0	6.7	10.2	6.8	7.4
11	12.0	7.9	8.9	8.9	6.3	6.0	7.1	6.4	6.3	11.5
12	0.1	2.5	0.8	1.7	0.7	1.3	2.4	0.8	2.3	9.3
13	4.4	4.2	4.5	1.1	6.3	5.2	4.6	4.0	0.4	3.1
14	9.5	8.0	6.8	5.1	6.3	5.0	1.4	8.3	4.4	4.2
15	10.0	11.5	4.5	7.3	9.7	6.0	5.1	5.3	4.9	2.3
16	11.9	12.7	12.2	11.9	12.0	11.7	9.6	11.1	4.5	4.4
17	11.9	12.3	12.2	12.8	12.5	10.2	10.8	12.2	11.2	11.5
18	11.3	8.4	11.2	7.0	10.2	10.7	8.4	10.7	8.8	7.7
19	7.1	10.3	9.3	9.0	9.9	6.9	6.0	6.5	2.8	6.0
20	6.3	10.7	8.6	12.3	11.0	8.7	8.7	8.2	0.6	4.6
21	11.5	10.2	10.1	12.7	12.3	6.8	9.0	10.8	10.7	11.6
22	9.9	11.6	12.4	9.3	11.9	11.2	12.4	13.1	9.8	11.4
23	11.5	10.9	12.2	11.8	10.9	11.4	10.9	11.1	10.6	8.3
24	4.1	10.5	10.1	11.4	10.1	10.5	9.9	11.8	9.0	10.0
25	0.0	2.1	0.7	0.9	0.6	1.1	3.0	3.5	0.0	1.4
26	2.1	8.5	8.1	7.3	7.6	8.5	8.4	8.0	5.3	6.9
27	10.6	5.6	4.5	0.4	0.3	0.0	0.7	0.0	5.5	0.7
28	5.7	6.3	6.2	2.8	1.6	2.6	6.2	5.6	0.8	2.9
29	7.6	6.1	5.6	10.3	7.6	9.8	9.7	11.7	8.5	0.2
30	0.9	3.8	1.1	1.1	0.6	1.0	4.6	2.6	2.0	1.5
31	7.2	2.7	1.1	1.6	1.6	4.4	4.6	4.5	1.2	1.0
Mittel	8.2	8.8	7.0	6.8	7.0	6.0	6.5	7.0	4.8	5.0

1955

Tägliche Dauer des Sonnenscheins in Stunden

September

Tag	Lugano	Genève	Montana s. Sierre	Chaux-de-Fonds	Bern	Luzern	Basel	Zürich	Davos	Säntis
1	7.9	10.3	2.8	6.2	4.9	2.7	6.6	3.2	0.1	0.8
2	11.3	10.7	11.4	10.4	11.6	11.4	10.2	11.2	9.6	8.3
3	10.9	11.3	10.7	9.7	10.5	11.1	9.8	11.1	10.5	12.4
4	9.9	5.7	6.1	5.0	6.1	4.1	6.6	7.9	7.1	6.8
5	10.2	7.3	9.1	6.4	8.4	4.9	9.6	4.5	9.5	6.0
6	4.0	9.9	4.0	1.6	2.4	0.2	1.1	1.0	1.0	0.0
7	0.5	9.6	7.0	3.2	4.0	1.4	6.0	4.3	2.5	7.2
8	1.0	10.9	10.3	8.2	6.5	5.7	9.7	7.1	4.1	8.4
9	1.0	1.4	0.0	0.9	0.0	2.8	0.6	2.8	6.8	6.4
10	1.1	1.5	1.4	0.1	0.1	0.0	0.2	0.0	0.0	0.0
11	0.5	5.1	6.0	2.9	2.4	2.9	0.4	2.9	0.3	2.2
12	10.2	5.5	10.7	6.0	3.7	2.1	1.6	1.6	9.6	12.1
13	8.0	1.7	6.7	1.6	0.1	0.0	2.7	0.0	0.7	0.3
14	4.5	1.0	3.6	0.1	0.9	3.3	1.3	2.7	4.1	0.0
15	7.7	3.1	3.3	0.0	2.7	4.7	4.4	4.4	4.1	0.0
16	11.3	8.8	9.0	4.6	5.5	7.4	5.9	7.3	5.9	0.0
17	10.8	11.4	6.8	4.6	8.5	5.1	2.7	5.1	4.2	2.5
18	10.4	10.3	10.9	6.4	10.3	7.5	6.8	4.4	9.9	8.8
19	4.8	5.9	10.6	10.7	5.4	4.0	7.7	7.0	9.9	11.8
20	8.2	5.1	*10.3	9.1	5.5	4.0	9.8	6.4	8.3	11.3
21	8.2	7.9	6.1	6.0	7.3	9.4	9.7	9.7	6.1	7.5
22	9.6	7.3	10.5	10.1	10.3	7.8	10.1	9.3	9.5	9.8
23	7.5	6.6	8.5	5.9	7.8	5.5	7.8	6.5	9.5	7.5
24	8.4	9.7	10.2	9.4	10.0	9.8	8.7	9.0	9.6	5.5
25	7.8	5.7	7.5	6.1	9.2	3.2	0.0	3.0	9.5	10.4
26	5.7	4.5	3.1	1.3	0.9	0.1	3.3	0.0	6.[illegible]	0.2
27	2.2	0.0	*2.2	0.0	0.0	0.0	0.0	0.0	0.6	0.0
28	4.9	6.1	0.9	0.7	0.0	0.0	0.5	0.0	0.0	0.0
29	9.3	9.4	8.4	8.2	8.3	4.6	4.7	6.3	4.5	0.6
30	10.4	4.6	10.5	9.5	2.8	0.6	6.2	4.3	9.4	11.3
31										
Mittel	6.9	6.6	7.0	5.2	5.2	4.2	5.2	4.8	5.8	5.3

Oktober

Tag	Lugano	Genève	Montana s. Sierre	Chaux-de-Fonds	Bern	Luzern	Basel	Zürich	Davos	Säntis
1	8.3	9.0	10.0	9.4	7.6	3.9	6.3	6.3	8.8	10.4
2	9.8	7.3	10.0	7.0	0.7	0.0	4.9	6.2	9.4	11.1
3	8.4	4.5	9.5	7.5	5.7	6.3	8.4	7.9	9.2	9.9
4	3.5	0.0	1.4	0.0	0.1	1.0	0.0	1.5	7.6	7.4
5	2.5	6.5	4.4	6.0	3.3	2.2	5.9	3.3	0.1	0.5
6	0.0	3.0	2.3	2.9	2.2	2.6	4.5	4.5	1.4	0.0
7	10.2	1.1	0.1	0.0	0.1	0.5	0.0	0.4	0.0	0.0
8	10.1	7.5	8.9	8.9	9.1	5.7	8.3	7.8	6.4	8.0
9	9.8	6.3	9.6	10.2	6.9	3.9	6.7	8.0	7.5	10.8
10	0.0	0.4	3.5	2.8	0.9	1.6	4.6	3.7	5.0	6.4
11	5.6	4.8	6.4	8.6	3.9	0.0	1.1	0.0	6.1	10.8
12	3.4	1.1	3.0	7.9	0.0	0.0	0.0	0.0	1.0	2.1
13	8.8	2.4	8.9	0.3	1.3	0.6	0.0	2.1	7.9	10.7
14	9.2	5.2	9.8	9.7	2.4	0.2	4.9	1.5	7.9	11.0
15	9.0	6.4	10.1	9.8	5.8	9.0	8.8	6.7	7.8	10.9
16	0.4	1.6	3.1	0.0	0.4	0.0	0.0	0.0	5.3	3.5
17	0.0	0.0	0.1	0.0	0.1	0.0	0.1	0.1	0.0	0.0
18	4.2	8.0	2.3	3.7	3.7	0.1	1.7	2.9	0.1	0.0
19	8.9	8.3	9.2	8.7	7.9	5.4	8.4	6.4	6.7	10.3
20	0.0	0.7	1.8	0.2	0.6	2.7	0.0	2.2	0.6	4.2
21	0.0	0.6	2.9	0.0	0.4	1.4	0.1	1.3	0.3	4.5
22	1.5	0.0	6.6	2.3	3.3	0.0	1.6	1.3	0.1	0.3
23	4.9	5.4	9.6	9.3	9.3	4.8	9.4	7.3	5.8	6.8
24	8.4	5.6	9.6	8.5	6.8	1.6	6.1	3.3	5.4	9.5
25	8.9	8.4	8.5	6.7	5.7	3.3	6.2	3.4	1.3	0.0
26	*8.5	8.5	9.3	7.7	8.6	8.3	8.4	8.4	3.1	4.9
27	2.7	7.4	8.6	6.8	7.3	6.9	8.3	8.3	6.3	8.0
28	5.4	4.1	8.4	0.0	0.4	0.1	0.9	0.2	4.1	0.0
29	8.0	8.5	9.3	8.1	8.7	7.2	7.4	7.9	7.0	10.0
30	1.9	7.8	8.4	6.5	8.3	6.7	8.6	7.1	7.0	7.6
31	0.0	0.0	0.0	2.9	0.8	0.0	4.6	4.3	1.8	5.4
Mittel	5.2	4.5	6.3	5.2	3.9	2.8	4.4	4.0	4.5	6.0

November

Tag	Lugano	Genève	Montana s. Sierre	Chaux-de-Fonds	Bern	Luzern	Basel	Zürich	Davos	Säntis
1	0.0	0.0	0.6	4.0	0.0	0.0	2.6	0.0	1.7	7.7
2	1.9	4.4	7.8	2.5	4.1	6.1	5.3	4.7	3.2	4.5
3	1.9	0.2	0.2	2.4	1.8	1.3	1.8	1.2	1.6	2.2
4	1.0	0.3	0.4	0.3	0.0	0.0	0.1	0.0	1.3	0.6
5	0.8	0.0	2.1	0.2	0.6	3.2	0.0	2.5	6.3	7.7
6	1.9	0.4	6.1	4.7	0.0	0.0	2.2	4.2	5.3	8.4
7	7.0	0.0	8.0	8.7	4.2	0.0	8.5	5.3	6.7	9.7
8	0.2	0.0	3.8	4.1	3.2	1.5	3.0	3.2	1.3	4.1
9	0.0	0.0	5.9	0.0	0.0	0.5	0.2	1.2	3.9	6.4
10	0.0	0.0	0.2	5.3	0.0	0.0	2.5	0.0	0.0	0.0
11	7.0	0.0	8.0	8.6	0.0	0.0	0.4	0.0	*2.6	7.7
12	1.7	0.0	4.1	5.5	1.7	0.0	6.2	2.1	6.1	8.1
13	0.0	0.0	4.9	8.2	0.0	0.0	0.0	0.0	4.8	8.4
14	4.4	0.0	0.0	0.0	0.0	0.0	0.0	0.0	0.0	2.3
15	2.1	3.7	0.4	3.5	2.5	1.3	2.4	2.3	0.4	0.0
16	7.1	5.1	8.6	8.4	8.0	2.3	3.6	4.3	6.3	7.6
17	6.5	0.0	8.5	6.2	0.1	1.1	2.0	0.0	6.1	8.5
18	2.1	1.7	*6.0	7.3	1.5	0.1	2.1	1.3	1.3	6.6
19	7.4	2.8	8.5	7.3	2.7	0.0	3.2	0.3	6.0	8.8
20	7.0	0.0	6.9	0.2	0.1	0.0	0.0	0.0	4.9	4.8
21	7.0	4.9	8.4	5.2	4.1	0.0	0.0	4.2	6.0	7.6
22	4.4	0.0	7.4	5.8	0.0	0.0	0.0	0.2	4.8	7.7
23	5.2	5.0	6.9	0.7	5.4	4.9	0.0	2.9	4.3	7.9
24	6.9	2.0	0.0	0.3	0.7	0.0	0.1	0.0	0.0	0.0
25	7.1	5.5	8.1	0.0	1.9	0.4	1.9	1.7	0.0	0.6
26	6.3	6.9	7.7	5.6	8.0	4.0	8.1	5.9	4.2	7.0
27	6.6	7.1	8.3	8.1	6.1	3.6	8.1	5.0	5.6	8.9
28	6.7	1.1	8.3	7.4	6.0	0.0	6.6	0.0	5.6	8.8
29	0.0	0.0	0.7	0.0	0.0	0.0	1.6	0.0	4.0	7.2
30	0.0	0.0	4.2	0.8	3.9	0.0	2.8	3.0	1.1	3.3
31										
Mittel	3.7	1.7	5.0	4.0	2.2	1.0	2.5	1.8	3.5	5.8

Dezember

Tag	Lugano	Genève	Montana s. Sierre	Chaux-de-Fonds	Bern	Luzern	Basel	Zürich	Davos	Säntis
1	0.0	0.0	7.8	0.0	1.9	4.8	0.0	3.1	1.7	5.8
2	0.0	0.3	8.0	7.1	4.7	0.0	2.4	0.0	5.3	8.6
3	1.0	2.4	6.6	2.6	4.8	4.5	2.5	2.9	4.9	1.8
4	5.0	0.2	0.0	0.1	0.8	0.0	2.9	1.3	0.0	0.0
5	4.2	2.3	6.2	5.3	2.6	0.0	1.1	3.2	4.5	6.7
6	3.0	0.5	4.5	6.7	1.3	3.6	5.7	5.3	4.6	6.7
7	6.6	0.0	7.8	7.7	5.9	6.2	7.4	6.5	5.5	8.2
8	5.6	3.4	7.5	0.5	5.7	2.3	0.4	0.0	5.5	0.0
9	0.0	0.0	7.1	5.8	0.0	0.0	1.7	0.2	0.0	1.4
10	0.0	0.0	0.0	0.0	0.5	0.0	0.5	0.5	1.9	1.0
11	6.1	1.3	1.7	1.7	2.7	0.3	0.0	0.6	1.3	0.0
12	0.0	5.5	6.6	0.0	3.3	0.0	0.0	0.0	0.0	0.0
13	0.0	0.6	6.6	6.3	0.0	0.0	0.0	0.0	5.3	7.7
14	0.0	0.0	0.2	0.0	0.0	0.0	0.0	0.0	0.5	4.2
15	0.0	0.0	0.1	0.0	0.0	0.0	0.0	0.4	0.1	0.5
16	5.0	0.0	0.0	0.0	0.1	0.0	0.0	0.0	0.5	0.0
17	2.5	3.8	0.9	0.1	1.6	1.3	0.8	0.0	0.0	0.0
18	6.5	2.7	2.3	0.0	0.0	0.3	1.7	1.0	2.5	0.0
19	1.7	2.2	3.6	4.8	0.4	0.0	0.0	0.0	5.2	7.1
20	1.6	2.3	5.2	2.0	4.7	5.9	1.5	3.4	0.2	4.6
21	4.7	2.6	7.4	4.6	5.3	4.6	2.7	4.2	3.3	0.0
22	6.3	0.1	1.6	0.0	0.5	0.2	0.0	0.0	0.8	0.0
23	4.4	0.0	0.7	0.0	0.0	0.1	0.0	0.0	0.0	0.0
24	1.2	0.1	0.0	0.1	0.1	0.2	0.1	0.0	0.0	0.2
25	6.6	0.7	0.0	0.2	1.0	0.4	0.0	0.1	0.0	0.0
26	1.7	1.0	2.5	4.8	4.6	4.5	3.5	1.3	2.6	7.3
27	3.5	0.0	0.0	0.0	0.0	0.0	0.0	0.0	0.1	0.0
28	6.0	0.7	3.2	0.0	1.2	0.5	0.0	1.1	0.0	0.0
29	5.7	4.7	3.1	1.8	3.3	2.9	1.4	2.2	4.5	0.0
30	0.0	2.1	0.0	0.2	2.5	4.9	3.9	4.0	0.5	1.6
31	5.1	2.3	4.4	0.0	0.0	0.0	4.2	0.1	0.1	0.0
Mittel	3.0	1.3	3.4	2.0	1.9	1.5	1.4	1.3	2.0	2.4

Nr. 5

Jahresbericht 1955 des Erdbebendienstes

der Schweizerischen Meteorologischen Zentralanstalt

von M. Grütter und E. Peter

Stationen:	Zürich	Chur	Neuchâtel	Basel
	Direktor: Dr. J. Lugeon	Prof. Dr. h. c. A. Kreis	Prof. Dr. E. Guyot	Dr. M. Bider
	Bearbeiter: Dr. E. Wanner †		Prof. Dr. J.-P. Blaser	
	M. Grütter			

1. **Persönliches, statistische Bemerkungen und Besprechung einzelner Fälle.**
2. **Tabellarische Zusammenstellung der in der Schweiz im Jahre 1955 verspürten und auf den Erdbebenwarten registrierten Erdbeben.**

1. Persönliches, statistische Bemerkungen und Besprechung einzelner Fälle

Am 4. November 1955 verstarb ganz unerwartet der langjährige Leiter des Schweizerischen Erdbebendienstes und Betreuer der Station Zürich, Dr. Ernst Wanner. Seine Seismogrammanalysen bis Ende September konnten bei der Abfassung des vorliegenden Berichts nahezu unverändert benützt werden. Die Arbeiten sind seither fortgeführt worden durch M. Grütter (Tabelle III) und E. Peter, Assistent am Institut für Geophysik der ETH (Tabelle I und II). Ferner ist die Leitung der Erdbebenwarte Neuchâtel zu Anfang September 1955 in die Hände von Dr. J.-P. Blaser übergegangen.

Es sind etwa 28 Beben, einigermaßen sicher als vom Unterwallis (Montana, Gsteig) ausgehend, identifiziert worden. Bemerkenswert war ein Nahebeben in der Nähe von Chur (Passugg), für welches durch öffentlichen Aufruf makroseismische Beobachtungen der Öffentlichkeit eingeholt wurden (Karte 6).

Die in der Schweiz verspürten Beben verteilen sich auf die verschiedenen Tagesstunden bzw. Monate wie folgt:

0—2	2—4	4—6	6—8	8—10	10—12	12—14	14—16	16—18	18—20	20—22	22—24
2	2	2	5	3	4	2	2	0	4	4	3

Januar	Februar	März	April	Mai	Juni	Juli	August	September	Oktober	November	Dezember
1	2	3	3	7	2	3	3	1	1	1	5

Als Konstanten für die Instrumente können, unverändert, wie 1954, die folgenden Werte angenommen werden:

Station 1955	Apparat	Maße in kg	Komponente	Vergrößerung für schnelle Schwingungen	Eigenperioden in Sek.	Dämpfung	Reibung in mm	Registriergeschwindigkeit p. Min. in mm	Mittlerer Zeitinterpolationsfehler in Sek.
Zürich 30. Juli	U–S Q.-P.	20600	N–S	1450	3.0	3.0 : 1	0.8	ca. 90	± 0.1
			E–W	1400	3.0	3.0 : 1	0.8	90	± 0.1
			V	1400	1.0	2.0 : 1	0.6	90	± 0.1
	Mainka	450	N–S	120	8.0	3.0 : 1	1.6	25	± 0.5
			E–W	120	7.0	3.0 : 1	1.6	25	± 0.5
	Kreis	1050	V	180	2.6	2.5 : 1	0.2	30	± 0.5
Chur	U–S	13000	X, N 62° W	1210	2.7	2.5 : 1	1.2	60	± 0.1
			Y, N 28° E	1350	2.7	2.0 : 1	1.5	60	± 0.1
			V	2400	1.7	1.9 : 1	1.7	60	± 0.1
Neuchâtel	U–S	19000	N–S	1640	2.7	3.7 : 1	0.6	60	± 0.1
			E–W	1560	2.7	3.8 : 1	0.5	60	± 0.1
			V	1650	1.1	2.1 : 1	0.1	60	± 0.1
Basel	U–S	19750	N–S	2040	3.2	3.0 : 1	0.2	60	± 0.1
			E–W	2220	3.3	4.4 : 1	0.1	60	± 0.1
		19500	V	2010	3.2	5.0 : 1	0.1	60	± 0.1

U-S Q.-P. = Universalseismograph Quervain-Picard

2. Tabellarische Zusammenstellung der in der Schweiz verspürten und der an den Erdbebenstationen Zürich, Chur, Basel und Neuchâtel registrierten Erdbeben

Tabelle I In der Schweiz verspürte Erdbeben 1955

Z = Zürich Ch = Chur B = Basel N = Neuchâtel (Vgl. auch Tafel)

Nr.	Datum	MEZ 0-24 h	Epizentralgebiet (gesperrt gedruckt) und erschütterte Gebiete	Grad Forel-Rossi	Grösste Ausdehnung	Zahl d. pos. Meldungen	Zahl d. neg. Meldungen	Registriert in	Bemerkungen über Charakter, Zahl der Stöße und Wirkungen
	1955	h m			km				
1	Jan. 31.	14. 28	Muotathal IV—V Oberiberg II—III	V	—	2	—	Z	1 Vertikalstoß wurde im ganzen Ort verspürt
2	Febr. 12.	01. 42	Visp IV	IV	—	1	—	Z	Leichtes Beben, dumpfes Rollen, kurzes Ächzen und Schwanken
3	„ 23.	23. 13	Montana II (Tafel 1)	II	—	1	—	—	Schwacher und kurzer Stoß, nicht registriert
4	März 10.	14. 48	Montana III (Tafel 1)	III	—	1	—	N, B, Z	Explosionsartiger, vertikaler, kurzer Stoß
5	„ 13.	19. 24	Chippis I	I	—	—	—	Z	Schwach
6	„ 23.	06. 22	Cortaillod III	III	—	1	—	N, Z	Horizontaler Stoß S—N, Bewegung von Gegenständen
7	April 25.	07. 45	Fribourg	—	—	1	—	N, B, Z	Stärke unbekannt
8	„ 26.	06. 28	Montana V—VI (Tafel 1) Gsteig V	VI	—	2	—	N, B, Z, Ch	Explosionsartiger, vertikaler, kurzer und harter Stoß
9	„ 29.	06. 30	Château-d'Oex	—	—	1	—	—	Nicht registriert, Stärke unbekannt
10	Mai 2.	09. 31	Gsteig V bei Gstaad (Tafel 1)	V	—	1	—	—	Nicht registriert
11	„ 2.	10. 01	Lauenen bei Saanen	—	—	1	—	—	Zittern, nicht registriert
12	„ 2.	21. 30	Montana V (Tafeln 1 und 2) Sion III, Chippis III, Adelboden II, Château-d'Oex III, Rougemont III, Clarens II, Saanen III, Gsteig V	V	—	9	—	N, B, Z, Ch	Heftiger, kurzer, vertikaler Stoß
13	„ 5.	11. 45	Clarens II	II	—	1	—	—	Nicht registriert
14	„ 22.	03. 58	Montana IV (Tafel 1)	IV	—	1	—	N, B, Z	Kurzes Beben, Krachen im Gebälk
15	„ 22.	05. 57	Innsbruck 47,3° N, 11,6° E (Tafel 3) Scuol III, Disentis III, St. Gallen III, Romanshorn III	III	—	4	—	Ch, Z, B	In der Schweiz vereinzelt verspürt
16	„ 30.	09. 07	Montana II (Tafel 1)	II	—	1	—	B, Z	Schwacher, horizontaler Stoß
17	Juni 16.	20. 15	Montana IV—V (Tafel 1)	V	—	1	—	N, Z, B	Doppelstoß aus Westen
18	„ 26.	18. 17	Gsteig V (Tafel 1) Montana IV, Leysin IV	V	—	3	—	N, B, Z	Von S kommender Stoß
19	Juli 2.	18. 03	Montana III (Tafel 1)	III	—	1	—	Z	Kurzer Vertikalstoß
20	„ 3.	08. 14	Gsteig IV—V (Tafel 1)	V	—	1	—	N, Z, Ch, B	Stoß aus Süd
21	„ 3.	19. 41	Gsteig IV—V (Tafel 1)	V	—	1	—	N, B, Z	Stoß aus Süd
22	Aug. 17.	20. 00	Buffalora II	II	—	1	—	—	Nicht registriert
23	„ 26.	21. 03	Aaremassiv IV (Tafel 4) Meiringen IV, Gadmen IV, Lauterbrunnen IV, Kiental IV	IV	—	4	—	Z, N, Ch, B	3 Stöße
24	„ 30.	10. 21	Gsteig V (Tafel 1)	V	—	1	—	N, B, Z	Stoß aus SE, 3 Sek. Dauer
25	Sept. 12.	23. 09	Montana IV (Tafel 1)	IV	—	1	—	N, B, Z	Vertikaler, scharfer Stoß

Nr.	Datum	MEZ 0-24 h	Epizentralgebiet (gesperrt gedruckt) und erschütterte Gebiete	Grad Forel-Rossi	Grösste Ausdehnung	Zahl d. pos. Meldungen	Zahl d. neg. Meldungen	Registriert in	Bemerkungen über Charakter, Zahl der Stöße und Wirkungen
	1955	h m			km				
26	Okt. 19.	22. 20	**Montana** III—IV (Tafeln 1 und 5) Chippis IV, Gsteig IV—V, Lauenen III, Rougemont II	IV	—	1		N, B, Z	2 starke Stöße, gefolgt von dumpfem Rollen
27	„ 21.	04. 00	**Chippis** I	I	-	2		—	Nicht registriert
28	Nov. 23.	07. 28	**Monthey** V in der ganzen Schweiz verspürt, Stärke II—V	V	-	447	-	N, B, Z	Vertikalstoß, explosionsartig
29	Dez. 1.	05. 30	**Glattfelden** III	III	—	1	—	—	Nicht registriert; dumpfes Rollen
30	„ 12.	13. 45	**Zürich** IV	IV	—	1	—	—	Krachen, nicht registriert
31	„ 21.	12. 45	**Avers-Cresta** III—IV Bivio-Stalla	IV	—	2	—	—	Starker Stoß aus SE, nicht registriert
32	„ 25.	00. 40	**Chur** IV (Tafel 6) Davos-Platz, Vättis, Tschiertschen III, Valbella III, Thalwil II, Wangs, St. Gallen II, Lenzerheide, Vättis III, Glarus, Engi III	IV	—	54	-	Z, B, Ch	
33	„ 26.	11. 52	**Montana** III—IV (Tafel 1)	IV	—	1	—	N, Z, B	Explosionsartiger, vertikaler Stoß

Tabelle II. In der Schweiz 1955 registrierte Nahebeben

Mittlere Zeit Greenwich;

Station	Meereshöhe	Lage	Untergrund
Erdbebenwarte Zürich (Z);	604 m;	Breite: 47° 22′ 7.2″ N; Länge: 8° 34′ 49.5″ E;	Molassesandstein u. Mergel, wechsellagernd.
Erdbebenwarte Chur (Ch);	630 m;	Breite: 46° 50′ 59.5″ N; Länge: 9° 32′ 12.1″ E;	Bündnerschiefer der penninischen Decke.
Observatoire Neuchâtel (N);	487 m;	Breite: 46° 59′ 50.6″ N; Länge: 6° 57′ 26.2″ E;	Gewachsener Kalkfels.
Erdbebenwarte Basel (B);	309 m;	Breite: 47° 32′ 24″ N; Länge: 7° 34′ 58.5″ E;	Nagelfluhschichten.

Nr.	Datum	Station	Epizentralentfernung nach S–P	Max. Amplitude	Ungefähre Dauer der Registr.	Phasen, Bemerkungen Wo nichts weiteres bemerkt ist, beziehen sich die Ablesungen auf die Apparate Quervain-Piccard der Stationen Zürich, Chur, Neuchâtel und Basel.
	1955		km	μ	Min.	
1	Jan. 7.	B	790	—	4	ePn 08 h 25 m 22.6 s eSn? 08 h 25 m 45.0 s
		Z	840	0.7	4	ePn? 08 h 25 m 34.4 s (eSn) 08 h 25 m 02.1 s Gebiet von La Rochelle
2	„ 13.	B	—	—	1	eP 14 h 08 m 24.4 s eS 14 h 08 m 26.0 s
3	„ 18.	N	40	—	1	iP 13 h 34 m 28.0 s
		B	40	—	1	eP 13 h 34 m 29.1 s eS 13 h 34 m 34.0 s
		Z	106	—	—	M-L eP 13 h 34 m 39.0 s iS 13 h 34 m 52.2 s 47° 22′ N 7° 9′ E
4	„ 23.	B	—	—	2	eP 07 h 33 m 46.3 s
5	„ 31.	Z	—	—	—	eP 13 h 28 m 05.6 s Muotatal IV—V, ganze Nachbarschaft [beobachtet, Oberiberg (Tab. I, 1)
6	Febr. 9.	Ch	—	—	—	eP 10 h 08 m 45.2 s eS 10 h 09 m 59.3 s
		Z	200	3.8	5	ePn 10 h 08 m 50.3 s (eSn?) 10 h 10 m 30.7 s
		N	—	—	—	eP? 10 h 09 m 00.4 s
		B	—	—	—	eP 10 h 09 m 03.8 s
7	„ 11.	B	—	—	30	eP 00 h 15 m 24.1 s
8	„ 12.	Z	—	0.7	—	eSg 00 h 42 m 17.3 s in Visp 00 h 42 m 30 s leichtes Beben mit dumpfem [Rollen, kurzem Ächzen und Schwanken (Tab. I, 2)
9	„ 12.	Z	25	0.7	1	eP 05 h 10 m 40.9 s eSg 05 h 10 m 44.3 s
10	„ 13.	Ch	—	1.0	—	eP 06 h 51 m 48.8 s sehr unsicher, eS 06 h 51 m 57.7 s
11	„ 14.	Z	—	1.7	15	eP 15 h 41 m 44.1 s eS 15 h 41 m 44.7 s in Zürich verspürt
12	„ 15.	Z	—	1.7	15	eP? 08 h 43 m 00.1 s M-L; in Zürich verspürt
13	„ 17.	Ch	—	—	—	eP 19 h 33 m 27.6 s eS 19 h 35 m 00.4 s
		Z	965	3.4	3	eP 19 h 33 m 33.9 s i Dilat. 19 h 33 m 35.0 s i Compr. 19 h 33 m 35.3 s [Tyrrhenisches Meer
		N	950	—	5	iP 19 h 33 m 37.5 s eS 19 h 35 m 16.0 s aa = 135°
		B	—	—	30	eP 19 h 33 m 39.6 s eS 19 h 35 m 21.0 s U. S. C. G. S. 0 = 19 h 30 m 42.0 s 38.5° N 13.5° E
14	„ 22.	Z	—	2.1	5	e 12 h 17 m 50 s e 12 h 20 m 50.0 s
15	„ 23.	Z	580	0.7	3	eP 03 h 04 m 09.5 s eSg 03 h 50 m 48.9 s
		B	—	—	5–10	eP 03 h 07 m 40.2 s B. I. Küste von Jugoslawien 0 = 03 h 01.8 m, verspürt in [Beograd und Dubrovnik
16	„ 23.	Z	—	0.7	3	ePn? 04 h 05 m 53.3 s e 04 h 07 m 09.6 s B. I. Küste von Jugoslawien 0 = 04 h 03.3 m
17	März 1.	Z	—	0.3	—	e 06 h 17 m 29.3 s
18	„ 2.	Z	215	0.3	1	ePg 23 h 02 m 54.7 s eSg 23 h 03 m 20.1 s
		N	—	—	—	eP 23 h 16 m 08.2 s
19	„ 6.	B	—	—	1	eP 08 h 29 m 06.7 s e 08 h 30 m 15.0 s
20	„ 9.	B	—	—	1	eP 21 h 34 m 55.7 s

Bemerkung: Die Buchstabengruppen B. I., bzw. J. S. A. und U. S. C. G. S. sind gebräuchliche Abkürzungen für Bureau International bzw. Jesuit Seismological Association und United States Coast and Geodetic Survey.

Tabelle II (Fortsetzung)

Nr.	Datum	Station	Epizentral-entfernung nach S-P	Max. Amplitude	Ungefähre Dauer der Registr.	Phasen, Bemerkungen
	1955		km	μ	Min.	
21	März 10.	N	—	—	1	eP 13 h 48 m 02.0 s
		B	—	—	1	e 13 h 48 m 07.0 s eS 13 h 48 m 26.0 s
		Z	—	1.4	2	eP 13 h 48 m 10.4 s eSg 13 h 48 m 29.8 s
22	„ 12.	Ch	—	—	2.5	eP Dilat. 06 h 57 m 47.4 s eS 06 h 58 m 11.0 s
		Z	205	0.7	2.5	ePn 06 h 57 m 59.7 s eSg? 06 h 58 m 27.4 s
						ePg 06 h 58 m 02.0 s eSg? 06 h 58 m 31.3 s
		N	220	0.7	3	ePn? 06 h 58 m 04.6 s eSg 06 h 58 m 35.0 s
		B	—	—	4	eP 06 h 58 m 28.5 s eS 06 h 58 m 55.0 s Medesano IV, Felino III
23	„ 12.	B	—	—	2	eP 13 h 44 m 46.5 s
24	„ 13.	Z	—	0.7	1	eP 19 h 24 m 43.7 s eSg 19 h 25 m 02.8 s iPg 19 h 24 m 44.7 s Mittelwallis, Chippis Erdstoß (Tab. I, 5)
25	„ 14.	Z	—	0.7	1	eP 11 h 28 m 32.0 s e 11 h 28 m 33.1 s eSg 11 h 28 m 52.1 s
		B	—	—	1	eP 11 h 28 m 53.3 s e 11 h 28 m 16.0 s
26	„ 17.	B	—	—	1	e 11 h 02 m 42.0 s eS 11 h 03 m 39.0 s
27	„ 18.	Z	—	0.7	1	ePg 00 h 56 m 06.5 s eSg 00 h 56 m 25.3 s
		B	—	—	—	ePg 00 h 56 m 09.0 s eSg 00 h 56 m 22.0 s
28	„ 18.	Ch	—	—	10	eP 06 h 51 m 21.4 s eS 06 h 52 m 35.6 s
		B	1030?	—	30	eP 06 h 51 m 28.0 s eS 06 h 53 m 12.0 s
		Z	920?	3.4	10	eP 06 h 51 m 31.6 s (eS) 06 h 53 m 03.6 s
		N	860?	—	30	iP 06 h 51 m 38.6 s (eS) 06 h 53 m 06.0 s Roma 0 = 06 h 49 m 37.0 s 41.8° N 15.6° E
29	„ 18.	Z	—	1.4	0.5	eSg 22 h 42 m 20.9 s
30	„ 20.	B	—	—	1	e 08 h 26 m 11.8 s e 08 h 26 m 38.0 s
31	„ 23.	B	—	—	1	eP 10 h 52 m 39.7 s eS 10 h 53 m 04.0 s
32	„ 22.	Ch	—	—	2	eP 18 h 46 m 03.4 s eS 18 h 46 m 30.9 s
		Z	365	1.0	3	(ePn)? 18 h 46 m 13.5 s eSn 18 h 46 m 53.7 s
		B	480	—	3	eP? 18 h 45 m 53.2 s eSg 18 h 47 m 10.0 s
33	„ 22.	B	—	—	60	eP 10 h 52 m 39.7 s eS 10 h 53 m 04.0 s
		N	—	—	1	e 11 h 03 m 52.8 s
34	„ 23.	N	20	—	2	iP 05 h 22 m 39.9 s (Tab. I, 6)
		Z	142	0.3	1	eP 05 h 23 m 02.4 s eSg 05 h 23 m 19.2 s
35	„ 23.	N	18	—	1	iP 22 h 03 m 14.2 s
		B	97	—	1	eP 22 h 03 m 29.6 s eS 22 h 03 m 41.0 s
		Z	—	—	—	ePg 22 h 03 m 32.5 s eSg? 22 h 03 m 49.8 s
36	April 2.	B	25	—	2	iP 01 h 13 m 49.1 s iS 01 h 13 m 52.0 s
		Z	31	—	—	ePg? 01 h 14 m 05.5 s iSg 01 h 14 m 09.2 s
37	„ 2.	Ch	—	—	—	eP 10 h 00 m 40.9 s eS 10 h 01 m 02.4 s
		Z	—	0.7	2	eP 10 h 00 m 47.7 s eSn? 10 h 01 m 08.8 s
		B	—	—	1	e 10 h 01 m 25.1 s eS 10 h 01 m 41.0 s
		N	—	—	1	eP 10 h 01 m 51.7 s 1. Sprengung Eschenlohe 47° 38′ 16.8″ N 11° 09′ 27.8″ E 0 = 10 h 00 m 13.6 s Ladung = 15 Tonnen
38	„ 2.	Ch	—	—	—	eP 10 h 17 m 18.0 s eS 10 h 17 m 38.9 s
		Z	—	0.7	2	eP 10 h 17 m 25.1 s eSg 10 h 17 m 49.5 s 2. Sprengung Eschenlohe 47° 37′ 54.6″ N 11° 08′ 58.8″ E 0 = 10 h 16 m 50.6 s
39	„ 3.	N	—	—	—	iP 03 h 31 m 38.5 s iS 01 h 31 m 41.0 s
		B	—	—	1	ePg 03 h 41 m 45.5 s eS 03 h 42 m 06.0 s
40	„ 3.	Z	83	4.1	1	eP Compr. 06 h 24 m 02.9 s iS 06 h 24 m 12.7 s
41	„ 5.	B	—	—	1	e 08 h 31 m 46.0 s eS 08 h 32 m 51.0 s
42	„ 11.	Z	—	0.7	1	iP Compr. 13 h 24 m 16.7 s eS 13 h 24 m 28.6 s
		B	—	—	3	e 13 h 24 m 21.5 s eSg 13 h 24 m 36.0 s 48° 14.5′ N 9° 1.7′ E

Tabelle II (Fortsetzung)

Nr.	Datum	Station	Epizentral-Entfernung nach S-P	Max. Amplitude	Ungefähre Dauer der Registr.	Phasen, Bemerkungen
	1955		km	μ	Min.	
43	April 11.	Ch	—	—	1½	eP 15 h 24 m 47.7 s eS 15 h 25 m 27.4 s
		Z	335	0.7	3	ePg 15 h 24 m 57.0 s eSg 15 h 25 m 36.3 s
		N	350	—	3	eP 15 h 24 m 58.8 s eS 15 h 25 m 40.0 s
		B	—	—	5	eP 15 h 25 m 08.0 s eS 15 h 25 m 44.0 s B. I. Norditalien
44	„ 12.	Ch	—	—	2	eP 16 h 52 m 42.9 s eS 16 h 53 m 21.7 s
		Z	350	—	—	(ePn) 16 h 52 m 51.1 s eSg 16 h 53 m 43.1 s (ePg) 16 h 53 m 01.1 s
		N	280	—	2	eP 16 h 52 m 55.0 s eS 16 h 53 m 35.0 s
		B	—	—	4	eP 16 h 53 m 31.9 s e 16 h 54 m 12.0 s
						B. I. Norditalien wahrscheinlich Nachstoß vom 11. April
45	„ 13.	B	—	—	—	eSg 17 h 03 m 10.9 s B. I. Apennin (Italien)
46	„ 17.	Z	—	0.3	1	eSg 12 h 01 m 18.6 s
47	„ 20.	B	—	—	—	eP 10 h 52 m 01.1 s
48	„ 22.	B	—	—	2	eP 10 h 53 m 44.3 s
49	„ 25.	N	40	—	1	iP 06 h 46 m 49.2 s eS 06 h 46 m 54.0 s
		B	125	—	1	eP 06 h 46 m 58.1 s eS 06 h 47 m 13.0 s
		Z	125	—	—	eP 06 h 47 m 07.3 s eSg 06 h 47 m 20.9 s
						e 06 h 47 m 08.2 s eSg 06 h 47 m 21.9 s (Tab. I, 7)
50	„ 26.	N	—	—	2	iP 05 h 28 m 10.7 s eS 05 h 28 m 21.0 s
						iP 05 h 28 m 14.0 s iS 05 h 28 m 25.0 s
		B	—	—	1	eP 05 h 28 m 22.0 s eS 05 h 28 m 40.0 s
						e 05 h 28 m 25.0 s eS 05 h 28 m 41.0 s
		Z	—	0.7	1	eP 05 h 28 m 23.5 s eS 05 h 28 m 42.3 s
						eP 05 h 28 m 24.5 s eS 05 h 28 m 43.9 s (Tab. I, 8)
		Ch	—	—	1	ePg 05 h 28 m 29.7 s eSg 05 h 28 m 53.4 s
51	„ 26.	N	—	—	1	iP 05 h 57 m 45.0 s eSg 05 h 57 m 47.5 s
		Z	—	0.1	½	eP 05 h 57 m 58.4 s eS 05 h 58 m 17.6 s
52	„ 29.	N	—	—	½	iP 17 h 21 m 54.7 s
53	Mai 2.	B	—	—	1	e 10 h 52 m 17.7 s eL 10 h 52 m 24.0 s
54	„ 2.	N	—	—	1	eP 14 h 59 m 48.1 s
		Z	—	0.2	½	ePg 15 h 00 m 00.0 s eSg 15 h 00 m 19.1 s (Tab. I, 12)
55	„ 2.	N	—	—	—	eP 20 h 31 m 04.4 s i 20 h 31 m 06.0 s
		B	—	—	1	eP 20 h 31 m 13.7 s eS 20 h 31 m 32.0 s e 20 h 31 m 15.0 s
		Z	—	3.4	2	eP_1 20 h 31 m 15.5 s eS_1 20 h 31 m 34.0 s
						eP_2 20 h 31 m 17.0 s eS_2 20 h 31 m 36.0 s
		Ch	—	—	—	eP 20 h 31 m 20.9 s ePg 20 h 31 m 21.3 s eSg 20 h 31 m 42.1 s
						Verspürt in Saanen III, Gsteig V, Sion IV, Chippis IV, Adelboden III, Clarens III, Château d'Oex III, Rougemont III
56	„ 3.	B	—	—	1	e 02 h 24 m 05.8 s
57	„ 5.	Ch	—	—	—	ePg 05 h 08 m 54.2 s eSg 05 h 49 m 57.2 s Spuren
58	„ 7.	Z	260	0.7	1	ePg 02 h 30 m 36.4 s eSg 02 h 31 m 07.4 s
		B	242	—	—	eP 02 h 30 m 37.5 s eS 02 h 31 m 06.0 s
59	„ 7.	Z	—	—	—	ePg 03 h 30 m 36.4 s eSg 03 h 31 m 07.4 s Westalpen
60	„ 9.	B	—	—	1	e 10 h 55 m 25.5 s
61	„ 11.	Z	—	1.0	1	eP_1 09 h 02 m 56.2 s eS_1 09 h 03 m 15.3 s
						eP_2 09 h 02 m 57.6 s eS_2 09 h 03 m 12.3 s
						eP 09 h 03 m 00.2 s iS 09 h 03 m 13.0 s
62	„ 12.	Z	205	—	—	ePg 13 h 42 m 45.9 s eSg 13 h 43 m 10.0 s
		B	—	—	1	e 13 h 43 m 05.1 s
63	„ 13.	B	—	—	2	e 10 h 32 m 25.0 s
64	„ 13.	Z	—	0.7	10	eP 19 h 57 m 15.5 s
65	„ 15.	Z	—	0.3	15	eSg 01 h 34 m 43.2 s
66	„ 19.	Z	—	0.3	30	ePg 21 h 12 m 08.2 s eSg 21 h 12 m 13.0 s

Tabelle II (Fortsetzung)

Nr.	Datum	Station	Epizentral-Entfernung nach S-P	Max. Amplitude	Ungefähre Dauer der Registr.	Phasen, Bemerkungen
	1955		km	μ	Min.	
67	Mai 21.	Ch	—	—	1	eP 21 h 16 m 15.6 s eventuell künstliche Störung
68	„ 22.	N	—	—	1	eP 02 h 58 m 13.3 s eS 02 h 58 m 23.0 s i 02 h 58 m 27.0 s (Tab. I, 14)
		B	—	—	1	eP 02 h 58 m 22.6 s eS 02 h 58 m 41.0 s
		Z	—	—	1	eP 02 h 58 m 25.1 s eS 02 h 58 m 42.8 s eS 02 h 58 m 44.3 s
69	„ 22.	Ch	—	—	12	ePg 04 h 57 m 56.5 s iSg 04 h 58 m 19.0 s (Tab. I, 15)
		Z	223	5.5	1	eP 04 h 58 m 07.1 s eS 04 h 58 m 30.1 s eS 04 h 58 m 31.4 s
						eSg 04 h 58 m 33.3 s
		B	—	—	½	ePn Compr. 04 h 58 m 15.6 s eS 04 h 59 m 56.0 s ePg 04 h 58 m 23.0 s
						iP 04 h 58 m 22.3 s eS 04 h 58 m 57.0 s e 04 h 58 m 36.0 s eSg 04 h 59 m 09.0 s
						In der Schweiz vereinzelt verspürt: Scuol III, St. Gallen III, Romansorn III, Disentis III, vermutlich drei schwache Nachstöße
						B. I. 0 = 04 h 57 m 33.0 s 47.3° N 11.6° E
70	„ 22.	Z	—	0.7	0.2	ePg? 05 h 15 m 46.6 s eSg? 05 h 16 m 11.4 s Vermutlich Nachstoß im Tirol
		Ch	223	5.5	1	ePg 05 h 15 m 37.3 s eSg 05 h 15 m 56.7 s
71	„ 22.	Z	—	0.3	½	e 05 h 45 m Spuren! Vermutlich Nachstoß im Tirol
72	„ 22.	Ch	—	—	—	ePg 06 h 00 m 57.0 s eSg 06 h 01 m 16.3 s
		Z	—	0.7	4	ePg? 06 h 01 m 01.5 s eSg 06 h 01 m 31.1 s Vermutlich Nachstoß im Tirol
73	„ 25.	Z	—	0.2	½	(eSg)? 06 h 46 m 05.5 s Nachstoß im Tirol
74	„ 28.	B	—	—	2	e 11 h 01 m 05.6 s eS 11 h 02 m 28.0 s
75	„ 30.	B	—	—	1	ePg 08 h 08 m 05.3 s eSg 08 h 08 m 21.0 s (Tab. I, 16)
		Z	—	—	1	ePg 08 h 08 m 05.7 s eSg 08 h 08 m 23.1 s
76	Juni 2.	Ch	190	—	1	eP 03 h 42 m 32.3 s iPg 03 h 42 m 32.7 s iSg 03 h 42 m 56.2 s
		Z	265	0.3	1	eP M-L 03 h 42 m 45.1 s ePg 03 h 43 m 16.3 s Vermutlich Ostalpen
77	„ 2.	B	—	—	1	eSg 04 h 43 m 27.4 s e 04 h 43 m 41.0 s
78	„ 3.	Ch	—	—	—	eP zirka 05 h 37 m 20.6 s eS 05 h 42 m Keine Zeitmarke
79	„ 7.	B	—	—	1	e 04 h 03 m 36.3 s
80	„ 8.	B	—	—	1	e 06 h 53 m 01.7 s eS 06 h 53 m 30.0 s
81	„ 12.	N	—	—	5	e 17 h 33 m 07.2 s
82	„ 13.	B	—	—	1	e 10 h 57 m 24.0 s e 10 h 57 m 28.0 s
83	„ 13.	Ch	850	—	4	eP Dilat. 22 h 33 m 22.1 s eS? 22 h 34 m 50.0 s Unsicher
		Z	890	1.0	6	ePn Dilat. 22 h 33 m 30.3 s eS 22 h 35 m 00.6 s
		N	—	—	30	iP 22 h 33 m 44.2 s eL 22 h 36 m 10.0 s
		B	—	—	30	iP 22 h 33 m 47.0 s eL 22 h 35 m 41.0 s
84	„ 14.	N	—	—	60	eP 03 h 24 m 32.9 s
85	„ 15.	Ch	166	—	3	eP 08 h 43 m 28.3 s ePg 08 h 43 m 32.8 s eSg 08 h 43 m 52.5 s
		Z	220	—	2	ePn 08 h 43 m 40.0 s eSg 08 h 44 m 07.3 s ePg 08 h 43 m 41.3 s
		N	315	—	5	ePn 08 h 43 m 55.2 s eSg 08 h 44 m 42.0 s eSg 08 h 44 m 47.0 s
86	„ 15.	Ch	162	—	2	eP 09 h 40 m 11.3 s ePg 09 h 40 m 13.9 s eSg 09 h 40 m 33.0 s
		Z	220	2.8	—	ePg 09 h 40 m 22.3 s eS_1 09 h 40 m 45.9 s eSg 09 h 40 m 48.8 s
		N	—	—	5	ePg? 09 h 40 m 33.0 s eSg 09 h 41 m 23.0 s
		B	—	—	2	e 09 h 40 m 37.2 s eSg 09 h 41 m 10.0 s e 09 h 41 m 15.0 s
						B. I. 0 = 09 h 39 m 47.0 s 47.3° N 11.6° E Nachstoß vom 22. Mai
87	„ 15.	Ch	—	—	¼	eP 15 h 17 m 27.6 s
88	„ 16.	B	—	—	1	e 10 h 57 m 53.6 s
89	„ 16.	N	—	—	1	e 19 h 50 m 29.5 s eS 19 h 50 m 37.0 s iS 19 h 50 m 41.0 s
		Z	—	—	1	eP? 19 h 50 m 38.0 s eS 19 h 51 m 56.9 s [Azimut 20° (Tab. I, 17)
						iP 19 h 50 m 38.6 s eS 19 h 51 m 55.3 s
		B	—	—	1	e 19 h 51 m 37.6 s e 19 h 51 m 58.0 s Montana Doppelstoß aus W IV—V
90	„ 17.	B	—	—	1	eP 12 h 54 m 30.5 s eS 12 h 54 m 55.0 s
		Z	—	—	—	eP 12 h 54 m 33.1 s eS 12 h 54 m 51.5 s
91	„ 17.	B	—	—	—	eP 23 h 45 m 41.7 s eS 23 h 46 m 01.0 s
		Z	—	—	½	eP 23 h 45 m 45.3 s eSg 23 h 46 m 03.6 s

Tabelle II (Fortsetzung)

Nr.	Datum	Station	Epizentral-entfernung nach S–P	Max. Amplitude	Ungefähre Dauer der Registr.	Phasen, Bemerkungen
	1955		km	μ	Min.	
92	Juni 18.	N	—	—	<1	iP 11 h 17 m 17.5 s
93	„ 20.	N	335	—	5–10	iPn 04 h 48 m 18.7 s e 04 h 48 m 48.0 s e 04 h 48 m 56.0 s
		Ch	328	—	3.5	ePn 04 h 48 m 21.9 s eS 04 h 48 m 58.5 s
		B	350?	—	5–10	eP 04 h 48 m 25.2 s eS 04 h 49 m 04.0 s e 04 h 49 m 10.0 s
		Z	335	1.4	4	ePn 04 h 48 m 25.5 s (eSn) 04 h 49 m 02.9 s e 04 h 48 m 31.1 s
						U. S. 0 = 04 h 47 m 37.0 s 44.5° N 7.3° E Nachstoß vom 12. Mai
94	„ 20.	N	—	—	2	e 12 h 44 m 09.9 s
		Z	—	—	3–4	e 12 h 44 m 17.1 s M-L
		B	—	—	45	e 12 h 44 m 29.0 s eL 13 h 14 m 00.0 s
95	„ 20.	B	—	—	2	eP 14 h 51 m 56.0 s
96	„ 21.	B	—	—	5–10	eP 10 h 58 m 56.9 s eS 11 h 03 m 05.0 s
97	„ 21.	Ch	—	—	—	eP 13 h 47 m 35.4 s
98	„ 23.	Ch	—	—	—	eP 08 h 04 m 23.9 s eS 08 h 04 m
99	„ 24.	N	—	—	2	eP 20 h 27 m 24.1 s iS 20 h 27 m 35.0 s eS 20 h 27 m 40.0 s
		B	—	—	2	eP 20 h 27 m 29.6 s eS 20 h 27 m 54.0 s
		Z	—	1	1	eP? 20 h 27 m 37.6 s eSg 20 h 27 m 56.1 s ePg 20 h 27 m 38.3 s
						nach Habitus Mittelwallis
100	„ 26.	N	—	—	5	iP 17 h 17 m 47.7 s eS M-L 17 h 17 m 58.0 s i 17 h 17 m 50.0 s
						Azimut 170° (Tab. I, 18)
		B	—	—	6	eP Compr. 17 h 17 m 57.1 s eS 17 h 18 m 15.0 s e 17 h 18 m 17.0 s
		Z	—	7.6	3	eP 17 h 17 m 59.9 s eS 17 h 18 m 18.3 s
						ePg Dilat. 17 h 18 m 01.0 s eSg 17 h 18 m 20.5 s
						Montana IV, Schaukeln ohne Lärm, Gsteig V, Leysin IV
101	„ 26.	N	—	—	2	eP 17 h 48 m 01.4 s
		Z	—	0.3	½	eSg 17 h 48 m 31.9 s
102	„ 26.	Z	112	—	1	eP 18 h 57 m 44.8 s iPg 18 h 57 m 45.2 s
						eSg 18 h 57 m 57.3 s eSg 18 h 57 m 58.7 s Schwäbische Alb
		B	130	—	—	ePg 18 h 57 m 49.6 s eSg 18 h 58 m 05.0 s e 18 h 58 m 06.0 s
		Ch	165	—	1.5	iP 18 h 57 m 52.8 s ePg 18 h 57 m 54.5 s eSg 18 h 58 m 14.0 s
						B. I. 0 = 18 h 57 m 29.0 s 48° 15.4′ N 8° 59.4′ E h = 9.0 km
103	„ 26.	Z	—	—	1	ePg? 19 h 28 m 19.6 s eSg 19 h 28 m 31.2 s
		B	—	—	1	eP 19 h 28 m 26.4 s eSg 19 h 28 m 38.0 s Nachstoß Schwäb. Alb
104	„ 26.	Z	—	2	1	ePg 19 h 48 m 29.0 s eSg 19 h 48 m 40.3 s
		B	—	—	1	eP 19 h 48 m 32.7 s iS 19 h 48 m 49.0 s eSg 19 h 48 m 41.3 s
						Nachstoß Schwäbische Alb
105	„ 28.	Ch	—	—	7	eP 07 h 16 m 11.8 s eS 07 h 18 m 13.0 s
		Z	960	1.4	6	eP Dilat. 07 h 16 m 20.8 s eS 07 h 17 m 57.9 s Azimut S. E. Jugoslawien
		B	—	—	30	eP Dilat. 07 h 16 m 29.2 s eL 07 h 19 m 26.0 s
106	„ 28.	B	—	—	1	e 08 h 09 m 59.1 s
107	„ 30.	Z	—	—	2	e 11 h 29 m 33.3 s
		B	—	—	1	e 11 h 29 m 37.6 s e 11 h 30 m 23.0 s
108	„ 30.	Z	—	—	1	e 15 h 27 m 22.8 s Spuren
		B	—	—	1	e 15 h 27 m 24.1 s
109	„ 30.	B	—	—	1	eP 21 h 07 m 17.1 s
		Z	—	—	1	e 21 h 07 m 22.0 s
110	„ 30.	Z	—	2	2	eP M-L 23 h 13 m 06.3 s eS 23 h 13 m 18.8 s e 23 h 13 m 08.3 s iS 23 h 13 m 20.3 s
		B	—	—	2	eP 23 h 13 m 11.7 s eS 23 h 13 m 36.0 s
		Ch	—	—	2	iP Dilat. 23 h 13 m 14.5 s iSg 23 h 13 m 35.2 s iPg Compr. 23 h 13 m 16.2 s
		N	—	—	3	iP 23 h 13 m 23.4 s eS 23 h 13 m 48.0 s
						Nachstoß Schwäb. Alb 0 = 23 h 12 m 50.0 s
111	Juli 2.	N	—	—	3	eP 05 h 52 m 49.3 s
		Z	295?	—	—	eP 05 h 53 m 00.3 s (eSg)? 05 h 53 m 43.9 s
		B	320?	—	2	eP 05 h 53 m 01.5 s eSg 05 h 53 m 49.0 s
112	„ 2.	Ch	—	—	—	eP 07 h 00 m 29.7 s eventuell kein Beben

Tabelle II (Fortsetzung)

Nr.	Datum	Station	Epizentral-entfernung nach S–P	Max. Ampli-tude	Ungefähre Dauer der Registr.	Phasen, Bemerkungen
	1955		km	μ	Min.	
113	Juli 2.	N	—	—	<1	iP 10 h 55 m 05.7 s
114	„ 2.	Z	—	—	½	eP 17 h 03 m 59.7 s eSg 17 h 04 m 17.8 s (Tab. I, 19) Montana kurzer Vertikalstoß III
115	„ 2.	Z	107	1.4	1	eP 18 h 09 m 44.9 s e 18 h 09 m 57.5 s e 18 h 09 m 46.0 s eSg 18 h 09 m 58.5 s
		B	140	—	2	ePg M-L 18 h 09 m 49.4 s eSg 18 h 09 m 06.0 s Onstmettingen, Pfeffingen, Tailfingen IV
116	„ 3.	N	—	—	3	eP? 07 h 14 m 56.6 s eS 07 h 15 m 08.0 s i 07 h 14 m 59.0 s (Tab. I, 20)
		Z	—	—	—	eP? 07 h 15 m 09.3 s eS 07 h 15 m 27.7 s
						eP Dilat. 07 h 15 m 10.4 s eS 07 h 15 m 24.8 s
		Ch	—	—	1	eP 07 h 15 m 13.2 s eS 07 h 15 m 38.3 s
		B	—	—	2	eP 07 h 15 m 25.9 s Gsteig IV—V, Stoß aus Süd
117	„ 3.	N	—	—	3	iP 18 h 41 m 38.1 s eS 18 h 41 m 50.0 s i 18 h 41 m 39.0 s (Tab. I, 21)
		B	—	—	2	iP Dilat. 18 h 41 m 47.0 s eSg 18 h 42 m 06.0 s
		Z	—	1.0	1	eP? 18 h 41 m 49.3 s eS 18 h 42 m 08.1 s
						eP Dilat. 18 h 41 m 50.0 s eS 18 h 42 m 09.4 s Gsteig Stoß aus Süd IV—V
118	„ 4.	N	—	—	2	eP 11 h 58 m 31.8 s eS 11 h 58 m 42.0 s
		B	—	—	2	ePg 11 h 58 m 43.5 s eSg 11 h 58 m 57.0 s
		Z	—	—	1	ePg 11 h 58 m 43.6 s eSg 11 h 59 m 01.6 s
119	„ 4.	Z	—	—	1	e 15 h 12 m 08.5 s
120	„ 4.	Z	—	—	2	e 17 h 09 m 00.3 s
121	„ 5.	B	—	—	1	eP 10 h 56 m 45.2 s
122	„ 6.	N	—	—	2	iP 09 h 05 m 57.2 s iS 09 h 06 m 08.0 s i 09 h 06 m 12.0 s
		B	—	—	2	ePg Dilat. 09 h 06 m 08.7 s eS 09 h 06 m 26.0 s
		Z	—	0.7	1	eP? 09 h 06 m 10.3 s eS 09 h 06 m 29.4 s
						eP Dilat. 09 h 06 m 11.1 s eS 09 h 06 m 30.5 s
123	„ 6.	Z	—	0.3	4–6	eP? 10 h 10 m 50.4 s e 10 h 12 m 48.9 s
		B	—	—	3	e 10 h 13 m 23.5 s
124	„ 9.	Ch	930	—	6	eP 16 h 56 m 40.0 s eS 16 h 58 m 14.3 s
		Z	960	2.4	6	eP 16 h 56 m 56.5 s (eS) 16 h 58 m 34.3 s
		N	1230	—	30	iP 16 h 57 m 03.9 s e 16 h 59 m 08.0 s
		B	1160	—	30	eP 16 h 57 m 06.2 s eS 16 h 59 m 03.0 s e 16 h 57 m 34.0 s
125	„ 10.	Z	—	0.1	5–10	e 11 h 41 m 54.4 s Schwach
126	„ 10.	Z	—	0.3	10	e 22 h 44 m 18.6 s
127	„ 10.	N	—	—	5–10	eL 22 h 48 m 21.6 s
128	„ 15.	B	—	—	1	eP 10 h 58 m 34.0 s e 10 h 58 m 43.0 s
129	„ 15.	Z	—	0.3	1–2	e 19 h 14 m 15.0 s Spuren von Nahbeben
130	„ 16.	N	—	—	3	e 19 h 19 m 24.2 s
		Z		—	2	e 19 h 19 m 52.4 s
131	„ 16.	B	—	—	1	e 20 h 21 m 38.7 s eSg 20 h 21 m 45.0 s
132	„ 19.	N	—	—	2	e 09 h 35 m 04.3 s
133	„ 19.	B	—	—	1	e 11 h 01 m 44.3 s e 11 h 02 m 18.0 s
134	„ 23.	Ch	230	—	3–4	eP 03 h 55 m 12.7 s eSg 03 h 55 m 44.0 s
		Z	326	4.8	3	ePn Dilat. 03 h 55 m 23.2 s (eSn) 03 h 55 m 58.0 s
						ePg 03 h 55 m 29.8 s eSg 03 h 56 m 10.4 s Friaul
		B	405	—	5–10	ePn 03 h 55 m 32.5 s eSn 03 h 56 m 17.0 s eSg 03 h 56 m 34.0 s Friaul 46° 10′ N 12° 40′ E 0 = 03 h 55 m 01.0 s Mercalli à Marriago VI, Montereale VI
135	„ 23.	Ch	230	—	1.5	ePn 04 h 49 m 13.3 s eSg 04 h 49 m 43.1 s
		Z	340	—	—	ePg 04 h 49 m 29.2 s eSg 04 h 50 m 10.0 s
						Nachstoß von Friaul 0 = 04 h 49 m 01.0 s
		B	420	—	1	ePg 04 h 49 m 45.4 s eSg 04 h 50 m 35.0 s

Tabelle II (Fortsetzung)

Nr.	Datum	Station	Epizentralentfernung nach S–P	Max. Amplitude	Ungefähre Dauer der Registr.	Phasen, Bemerkungen
	1955		km	μ	Min.	
136	Juli 23.	B	—	—	—	eP 09 h 26 m 00.4 s e 09 h 26 m 14.0 s Nachstoß von Friaul
137	„ 23.	Ch	220	—	2.5	ePn 19 h 29 m 35.4 s eSg 19 h 30 m 05.3 s
		Z	340	1	3	ePn 19 h 29 m 44.2 s ePg 19 h 29 m 51.1 s (eSn) 19 h 30 m 18.9 s eSg 19 h 30 m 31.5 s
		B	385	—	2	ePn 19 h 30 m 04.5 s e 19 h 30 m 39.0 s eSn 19 h 30 m 47.0 s
		N	220	—	3	e 19 h 30 m 09.9 s e 19 h 31 m 49.0 s Nachstoß von Friaul
138	„ 24.	B	—	—	1	e 10 h 39 m 14.3 s
139	„ 29.	Z	100	1.4	1	ePg Compr. 11 h 12 m 57.1 s eSg 11 h 13 m 08.9 s eP 11 h 12 m 59.4 s
		B	140	—	1	ePg 11 h 13 m 01.8 s eSg 11 h 13 m 18.0 s 11 h 13 m 21.0 s
		N	—	—	1	iPg 11 h 13 m 37.7 s eSg 11 h 13 m 45.0 s Onstmettingen — Pfeffingen III—IV
140	Aug. 1.	N	280	—	4–6	ePn 08 h 48 m 31.1 s eSn 08 h 49 m 03.0 s i 08 h 48 m 40.0 s
		Ch	275	—	3	ePn 08 h 48 m 41.7 s (eS)? 08 h 49 m 12.9 s
		Z	330	—	4	ePn? 08 h 48 m 43.2 s eSn? M-L 08 h 49 m 20.4 s ePg? 08 h 48 m 45.5 s
		B	310	—	3	eP M-L? 08 h 48 m 44.0 s e 08 h 49 m 18.0 s eSg 08 h 49 m 32.0 s Nach B. I. Alpes Maritimes, Isola
141	„ 1.	B	—	—	1	e 10 h 59 m 50.0 s
142	„ 3.	Ch	100	—	<1	ePg 05 h 12 m 16.7 s iSg 05 h 12 m 28.2 s
		Z	130	2.4	—	eP 05 h 12 m 24.6 s eS 05 h 12 m 40.0 s eP 05 h 12 m 25.6 s eS 05 h 12 m 41.6 s eS 05 h 12 m 41.9 s
		B	185	—	2	eP 05 h 12 m 34.0 s iS 05 h 12 m 56.0 s
		N	270	—	3	eP 05 h 12 m 45.3 s eSg 05 h 13 m 17.0 s Bayern, Gebiet von Immenstadt
143	„ 5.	B	—	—	1	e 10 h 56 m 37.6 s eS 10 h 56 m 46.0 s eS 10 h 56 m 50.0 s
144	„ 8.	Z	—	—	1	ePg 20 h 46 m 30.0 s eSg 20 h 46 m 50.5 s Schwach
145	„ 10.	Ch	124	—	2	eP 22 h 46 m 45.9 s iPg 22 h 46 m 50.0 s eSg 22 h 47 m 00.8 s
		Z	174	5.5	3	eP 22 h 46 m 55.3 s eSg 22 h 47 m 16.8 s iPg 22 h 46 m 56.3 s Azimut E. S. E., Ostalpengebiet der Zugspitze
		N	—	—	5–10	eP 22 h 47 m 13.0 s eS 22 h 47 m 52.0 s
146	„ 11.	B	—	—	1	e 17 h 27 m 29.7 s
147	„ 12.	N	50	—	—	eP 19 h 47 m 43.1 s iS 19 h 47 m 49.0 s
		B	—	—	1	e 19 h 47 m 49.5 s e 19 h 47 m 55.0 s eSg 19 h 48 m 05.0 s
		Z	115	—	2	ePg? 19 h 47 m 54.3 s eSg M-L 19 h 48 m 07.6 s Vermutlich Simmental bei Bolligen
148	„ 14.	N	45	—	2	iP 21 h 31 m 55.6 s
		B	53	—	1	ePg 21 h 32 m 05.8 s e 21 h 32 m 12.0 s
		Z	85	—	2	iPg 21 h 32 m 06.5 s iSg 21 h 32 m 16.4 s iSg 21 h 32 m 18.4 s NE von Bern, in der Gegend von Hindelbank
149	„ 15.	B	—	—	1	iP 09 h 21 m 31.7 s Sprengung
150	„ 16.	N	45	—	2	iP 00 h 45 m 46.5 s eSg M-L 00 h 45 m 52.0 s ePn 00 h 45 m 55.3 s Azimut 70°
		B	55	—	2	eP 00 h 45 m 50.6 s eS 00 h 45 m 57.0 s
151	„ 17.	Ch	75	—	1	ePg 18 h 59 m 02.7 s iSg 18 h 59 m 11.5 s
		Z	165	1	2	eP 18 h 59 m 19.0 s eS 18 h 59 m 38.4 s eP 18 h 59 m 20.0 s eS 18 h 59 m 40.1 s
		B	245	—	1	ePg Compr. 18 h 59 m 30.9 s eSg Compr. 19 h 00 m 00.0 s
		N	260	—	—	ePg 18 h 59 m 36.3 s eS 19 h 00 m 07.0 s Vermutlich im Gebiet des Ortlers, Ostalpen
152	„ 18.	B	—	—	1	eP 10 h 58 m 20.7 s eS 10 h 58 m 25.0 s
153	„ 20.	Z	—	—	0.1	e 05 h 20 m 43.9 s eSg 05 h 20 m 44.9 s Schmiecha und Killertal III—IV
154	„ 23.	B	—	—	1	eP Compr. 02 h 12 m 57.0 s
155	Aug. 24.	B	—	—	1	eP 11 h 03 m 00.2 s eS 11 h 03 m 05.0 s
156	„ 25.	N	120	—	2	eP 17 h 50 m 32.0 s eS 17 h 50 m 46.0 s
		Z	210	—	—	eP 17 h 50 m 42.1 s eS 17 h 51 m 05.1 s eSg 17 h 51 m 07.1 s

Tabelle II (Fortsetzung)

Nr.	Datum	Station	Epizentral entfernung nach S–P	Max. Amplitude	Ungefähre Dauer der Registr.	Phasen, Bemerkungen
	1955		km	μ	Min.	
157	Aug. 26.	N	103	—	—	eP Compr. 20 h 02 m 59.0 s i 20 h 03 m 01.2 s (Tab. I, 23)
		Ch				eS 20 h 03 m 11.0 s eS 20 h 03 m 15.0 s
		B	115	—	3	iP 20 h 03 m 01.0 s i 20 h 03 m 02.1 s Azimut 56°
			85	—	< 1	iPg 20 h 03 m 03.2 s iSg 20 h 03 m 12.9 s
			140	—	1	eP M-L 20 h 03 m 02.5 s eS 20 h 03 m 19.0 s
						Aaremassiv, Meiringen, Gadmen IV
158	„ 29.	Z	—	—	1	ePg? 10 h 13 m 29.9 s eSg 10 h 13 m 54.4 s
		B	—	—	1	ePg 10 h 14 m 15.7 s Sprengung bei Eschenlohe
159	„ 29.	B	—	—	1	e 11 h 00 m 06.1 s
160	„ 30	N	—	—	2	eP 21 h 21 m 39.8 s eS 21 h 21 m 49.0 s
		B	—	—	2	ePg 21 h 21 m 45.6 s eS 21 h 22 m 07.0 s e 21 h 21 m 50.0 s
		Z	—	2.8	2	eP Compr. 21 h 21 m 50.1 s eS 21 h 22 m 07.5 s i 21 h 21 m 51.5 s eS 21 h 22 m 10.0 s
						Gsteig V Erdgeschoss Stoß aus SE Dauer 3 Sek.
161	Sept. 2.	B	—	—	1	e 10 h 57 m 41.5 s eS 10 h 57 m 51.0 s
162	„ 3.	Z	—	0.3	1	e Dilat. 16 h 52 m 39.8 s
163	„ 5.	N	—	—	< 1	iP 19 h 15 m 12.9 s
		Z	175	—	½	eP 19 h 14 m 15.6 s eSg 19 h 14 m 36.5 s
164	„ 5.	B	—	—	1	e 23 h 44 m 10.8 s
165	„ 6.	N	—	—	1	iPg 16 h 58 m 43.4 s e 16 h 58 m 46.0 s
		Z	180	—	¼	eSg 16 h 59 m 06.7 s ePg 16 h 58 m 45.4 s
166	„ 6.	N	20	—	1	iPg 18 h 25 m 06.8 s
		Z	—	—	1	eSg M-L 18 h 25 m 28.2 s Registrierung schwach
167	„ 10.	B	—	—	45	eP 09 h 02 m 57.0 s
168	„ 12.	B	—	—	1	e 20 h 34 m 48.8 s
		N	—	—	1	e 20 h 34 m 55.6 s
		Z	—	—	1–2	e 20 h 35 m 25.5 s Nur Spuren
						B. I. 0 = 20 h 32 m 54.0 s 46.1° N 1.5° E Limoges IV—V
169	„ 12.	N	—	—	3	eP 23 h 09 m 14.8 s iS 23 h 09 m 18.0 s (Tab. I, 25)
		B	—	—	2	eP 23 h 09 m 24.8 s eS 23 h 09 m 40.0 s e 23 h 09 m 41.0 s
		Z	—	3.5	2	eP 23 h 09 m 25.6 s eS 23 h 09 m 43.5 s iP 23 h 09 m 26.9 s eSg 23 h 09 m 45.0 s
						Montana, vertikaler scharfer Stoß
170	„ 12.	Ch	—	—	—	eP Compr. 23 h 09 m 32.3 s eS 23 h 09 m 53.7 s
171	„ 15.	Z	810	1.4	3	eP Compr. 21 h 58 m 43.3 s eS 22 h 00 m 05.0 s
		N	—	—	3	e 22 h 00 m 13.3 s e 22 h 01 m 13.0 s
		B	—	—	45	eP 22 h 00 m 40.0 s e 22 h 09 m 50.0 s
172	„ 17.	N	—	—	2	iP 10 h 41 m 33.5 s Azimut 135°
		B	—	—	1	eP 10 h 41 m 40.3 s eS 10 h 41 m 59.0 s
		Z	—	—	1	eP 10 h 41 m 43.3 s eSg 10 h 42 m 03.4 s eP 10 h 41 m 44.3 s
						Vermutlich Wallis
173	„ 17.	B	—	—	1	e 10 h 57 m 28.5 s e 10 h 57 m 41.0 s
174	„ 17.	Z	—	—	—	e 15 h 09 m 20.5 s e 15 h 09 m 22.8 s Schwach, nur erster Vorläufer
		Ch	—	—	—	eP Compr. 15 h 09 m 23.4 s
		B	—	—	45	e Compr. 15 h 09 m 24.2 s
		N	—	—	4	e 15 h 09 m 26.8 s
175	„ 23.	N	82	—	1	eP M-L 17 h 53 m 54.2 s eS 17 h 54 m 04.0 s
		Z	—	—	1	eSg? 17 h 54 m 25.3 s
176	„ 24.	B	—	—	1	eP 04 h 11 m 20.2 s
177	„ 24.	B	—	—	1	eP 11 h 01 m 15.7 s eS 11 h 01 m 30.0 s
178	„ 30.	N	—	—	< 1	iPg 08 h 22 m 46.4 s
		Z	155?	—	1	ePg 08 h 23 m 08.5 s eSg 08 h 23 m 27.9 s i 08 h 23 m 29.9 s
179	„ 30.	B	—	—	1	e 14 h 54 m 44.1 s
		Z	—	—	2	e M-L 14 h 54 m 54.9 s Schwach

Tabelle II (Fortsetzung)

Nr.	Datum	Station	Epizentral-entfernung nach S–P	Max. Amplitude	Ungefähre Dauer der Registr.	Phasen, Bemerkungen
	1955		km	μ	Min.	
180	Sept. 30.	Z	—	—	—	e 15 h 59 m 00 s
181	Okt. 1.	B	—	—	5–7	eP 19 h 08 m 58.8 s
182	„ 1.	B	—	—	1	eP 19 h 31 m 36.6 s eS 19 h 31 m 49 s
		Z	—	—	3	iP Compr. 19 h 31 m 37.6 s e 19 h 31 m 38.9 s
183	„ 5.	Z	—	0.3	10	eP 02 h 58 m 39.1 s eS 03 h 00 m 48.5 s Schwach
184	„ 6.	B	—	143	1	ePg 07 h 42 m 17.7 s eSg 07 h 42 m 36 s
		Z	—	159	1	ePg 07 h 42 m 19.8 s eSg 07 h 42 m 39.9 s 0 = 07 h 41 m 38 s Wallis
185	„ 9.	B	370	—	5	eP 08 h 07 m 10.5 s eS 08 h 07 m 54 s
		Z	323	0.7	2	ePg 08 h 07 m 10.5 s eS M-L 08 h 07 m 48.5 s
186	„ 15.	Z	—	—	4	eP Compr. 21 h 50 m 51.4 s Azimut SE
187	„ 16.	Z	25	—	15	eP 16 h 07 m 02.3 s eSg 16 h 07 m 05.1 s i 16 h 07 m 03.2 s e 16 h 07 m 09.9 s
188	„ 19.	N	—	—	—	iP 21 h 20 m 31.3 s iS 21 h 20 m 42 s (Tab. I, 26)
						e? 21 h 00 m 31.0 s e 21 h 20 m 46.0 s
		B	—	—	1	eP Compr. 21 h 20 m 40.6 s eS 20 h 20 m 59 s i E 21 h 20 m 42 s
		Z	—	6.9	1	ePn Compr. 21 h 20 m 42.3 s eS 21 h 21 m 00.6 s
						iPg 21 h 20 m 43.7 s eSg 21 h 21 m 01.8 s
		Ch	—	—	—	ePn 21 h 20 m 46.3 s iPg 21 h 20 m 48.6 s iSg 21 h 21 m 10.1 s
189	„ 20.	Ch	—	—	—	eP 07 h 39 m 59 s M-L
190	„ 21.	Z	153	—	—	ePg 14 h 35 m 11.9 s eSg 14 h 35 m 31.2 s
		N	92	—	—	eP 14 h 35 m 23.7 s eS 14 h 35 m 35.7 s
191	„ 21.	Z	—	4.8	2	ePg Compr. 20 h 41 m 18.9 s eSg 20 h 41 m 32.2 s iPg 20 h 41 m 19.5 s
		B	—	—	1	ePn 20 h 41 m 22.3 s eS 20 h 41 m 39 s
		Ch	—	—	—	iPn Dilat. 20 h 41 m 26.9 s iPg Dilat. 20 h 41 m 28.7 s
						i 20 h 41 m 30.3 s iSg 20 h 41 m 48.2 s
		N	—	—	2	iPn 20 h 41 m 36.0 s iSn 20 h 41 m 59.6 s
						Stuttgart bezeichnet Herd mit 48° 16.9′ N 09° 01.7′ E
						0 = 20 h 40 m 59.8 s Zollernalb bei Onstmettingen
192	„ 25.	Ch	—	—	—	ePg 02 h 32 m 03.0 s eSg 02 h 32 m 29.1 s
		Z	—	0.3	2	ePg 02 h 32 m 18.0 s eSg 02 h 32 m 54.3 s
		N	—	—	2	e 02 h 32 m 18.2 s
		B	—	—	—	ePg 02 h 32 m 30.9 s eSg 02 h 33 m 12 s eSn? 02 h 32 m 57 s
193	„ 27.	N	—	—	1	eP 01 h 15 m 53.7 s
		B	—	—	—	eP 01 h 15 m 57.5 s eS 01 h 16 m 14 s
		Z	—	—	—	eP 01 h 16 m 10.7 s eS? 01 h 16 m 37.6 s
194	„ 28.	N	27	—	1	eP 00 h 46 m 14.3 s iS 00 h 46 m 26 s
		B	111	—	1	eP? 00 h 46 m 22.8 s eS 00 h 46 m 37 s Vermutl. wirklicher P-Anfang
195	„ 29.	N	—	—	2	e 03 h 47 m 34.5 s iS 03 h 47 m 46 s
		B	—	—	1	ePg 03 h 47 m 41.7 s eS 03 h 47 m 56.0 s e 03 h 47 m 43.0 s
		Z	—	0.7	2	ePg 03 h 47 m 54.3 s eSg 03 h 48 m 17.4 s
196	„ 29.	Z	195	—	2	ePg 10 h 13 m 29.9 s eSg 10 h 13 m 54.4 s
		B	—	—	—	eSg 10 h 14 m 15.7 s Kein Pg
						Nach München Sprengung mit 13 t bei Murnau, Oberbayern, um 10 h 13 m
197	Nov. 1.	N	—	—	—	eP 11 h 58 m 24.8 s Meldung in Montana Vermala
198	„ 1.	B	140	—	—	eP 17 h 43 m 44.3 s eS 17 h 44 m 02.0 s
		Z	—	—	—	eS? 17 h 44 m 05.3 s
199	„ 3.	N	73	—	3	iPg 14 h 28 m 00.0 s eSg 14 h 28 m 09.7 s
		Ch	—	—	1½	ePn 14 h 28 m 02.9 s ePg 14 h 28 m 05.8 s eS 14 h 28 m 08.6 s
		B	111	—	3	eP 14 h 28 m 06.0 s eSg 14 h 28 m 20.0 s
		Z	194	—	3	ePg 14 h 28 m 15.8 s eSg 14 h 28 m 40.3 s
						Nach B. C. I. S. 0 = 14 h 27 m 44 s 47° 24′ N 5° 59′ E
						Umgebung von Besançon

Tabelle II (Fortsetzung)

Nr.	Datum	Station	Epizentralentfernung nach S-P	Max. Amplitude	Ungefähre Dauer der Registr.	Phasen, Bemerkungen
	1955		km	μ	Min.	
200	„ 5.	N	75	—	2	ePg 09 h 58 m 27.2 s eSg 09 h 58 m 37 s e 09 h 58 m 29.6 s e 09 h 58 m 41 s
		B	137	—	1	ePg 09 h 58 m 37.6 s eSg 09 h 58 m 55 s
		Ch	—	—	2	eP 09 h 59 m 07.6 s eS 09 h 59 m 08.5 s
		Z	158	1.4	2	ePn 09 h 59 m 19.6 s ePg 09 h 59 m 20.3 s eSg 09 h 59 m 40.8 s Wallis
201	„ 7.	N	79	—	1	Pg 20 h 59 m 15.7 s eSg 20 h 59 m 26.1 s e 20 h 59 m 30 s
		B	142	—	1	ePg 20 h 58 m 20.1 s eSg 20 h 58 m 38 s
202	„ 9.	Ch	—	—	11	eP 02 h 03 m 40.5 s eS 02 h 03 m 46.2 s
						eL 02 h 03 m 47.3 s e 02 h 04 m 15.3 s
203	„ 12.	N	57	—	1	ePg 00 h 57 m 26.2 s iS 00 h 57 m 33.9 s e 00 h 57 m 38 s Azimut 20°
		B	173	—	1	ePg 00 h 57 m 31.0 s eS 00 h 57 m 53 s
		Z	160	0.7	1	iPg 00 h 57 m 36.6 s e 00 h 57 m 55.1 s eSg 00 h 57 m 56.8 s
204	„ 17.	B	—	—	—	eP 07 h 11 m 43.2 s
		Z	—	—	—	eP? 07 h 11 m 52.6 s Viele kleine Wellen, kein erkennbarer Einsatz, Anfang unsicher
205	„ 20.	N	80	—	2	iP 04 h 19 m 28.8 s iS 04 h 19 m 39.4 s
		B	120	—	2	eP 04 h 19 m 35.0 s eS 04 h 19 m 50.0 s e 04 h 19 m 36.0 s e 04 h 19 m 52.0 s
		Z	211	—	—	Pg 04 h 19 m 49.0 s e 04 h 20 m 10.8 s eSg 04 h 20 m 15.8 s e 04 h 20 m 23.4 s
206	„ 20.	N	80	—	2	iP 04 h 35 m 25.4 s iS 04 h 35 m 35.9 s eP 04 h 35 m 47.4 s
		B	113	—	1	eP 04 h 35 m 32.5 s eS 04 h 35 m 47.0 s
		Z	206	—	—	eP? 04 h 35 m 52.1 s e 04 h 36 m 10.1 s eSg 04 h 36 m 13.4 s
207	„ 20.	N	81	—	2	iP 04 h 36 m 47.7 s iS 04 h 36 m 58.3 s
		B	125	—	1	eP 04 h 36 m 54.1 s e 04 h 37 m 10.0 s
		Z	211	0.7	1	ePg? 04 h 37 m 08.7 s eS 04 h 37 m 30.0 s
						eSn 04 h 37 m 32.3 s eSg 04 h 37 m 35.3 s
208	„ 20.	N	80	—	2	eP 06 h 18 m 04.9 s iS 06 h 18 m 15.4 s
		B	115	—	1	eP 06 h 18 m 11.3 s eS 06 h 18 m 26.0 s
		Z	206	0.7	1	ePg? 06 h 18 m 25.0 s eSg 06 h 18 m 51.0 s
209	„ 21.	N	—	—	2	eP 03 h 27 m 27.4 s eS 03 h 27 m 38.0 s Azimut 7
		B	—	—	1	eP 03 h 27 m 33.2 s eS 03 h 27 m 49.0 s e 03 h 27 m 35.0 s e 03 h 27 m 50.0 s
210	„ 21.	N	—	—	2	eP 04 h 06 m 36.7 s eS 04 h 06 m 47.0 s
		B	—	—	1	eP 04 h 06 m 44.1 s eS 04 h 06 m 59.0 s
211	„ 23.	Ch	—	—	2	eS 05 h 47 m 41.6 s e 05 h 48 m 01.2 s eL 05 h 48 m 12.0 s
		Z	350	0.7	6	eP* 05 h 47 m 46.5 s ePg 05 h 47 m 50.3 s e 05 h 48 m 05.4 s eSg 05 h 48 m 31.9 s
						eS 05 h 48 m 51.1 s
		B	—	—	—	eP 05 h 47 m 52.5 s e 05 h 48 m 04.0 s eS 05 h 48 m 52.0 s
		N	—	—	—	eP 05 h 47 m 56.4 s e 05 h 49 m 04.0 s
212	„ 23.	Ch	—	—	—	e 06 h 25 m 19.3 s e 06 h 25 m 22.7 s
213	„ 23.	N	80	—	—	ePg 06 h 28 m 02.0 s eSg 06 h 28 m 19.3 s e 06 h 45 m 16.0 s Azimut 27° (Tab. I, 28)
		B	150	—	—	ePg 06 h 28 m 11.4 s eSg 06 h 28 m 30.0 s e 06 h 28 m 13.0 s
		Z	172	—	5	ePg 16 h 28 m 13.6 s ePn 06 h 28 m 15.7 s
						eSn 06 h 28 m 33.8 s eSg 06 h 28 m 35.3 s
		Ch	—	—	—	eP 06 h 28 m 24.2 s eS 06 h 28 m 27.1 s eL 06 h 28 m 49.8 s
						Wallis, Monthey, Vertikalstoß explosionsartig Stärke III—V
214	„ 23.	N	80	—	—	eP 06 h 39 m 26.5 s eS 06 h 39 m 37.0 s
		B	120	—	—	ePg 06 h 39 m 32.5 s e 06 h 39 m 34 s eSg 06 h 39 m 48.0 s
		Z	205	—	—	ePg 06 h 39 m 47.1 s eSn 06 h 40 m 09.0 s eSg 06 h 39 m 48.0 s
						Nach B. C. I. S. Haute Saône
215	„ 23.	N	84	—	1	eP 07 h 08 m 18.0 s eS 07 h 08 m 29.0 s
		B	122	—	1	eP 07 h 08 m 24.5 s eS 07 h 08 m 40.0 s
216	„ 24.	N	—	—	1	eP 03 h 10 m 24.6 s eS 03 h 10 m 36.0 s
217	„ 24.	N	—	—	4	eP? 11 h 22 m 38.2 s Kein S
		B	—	—	5	eP 11 h 22 m 46.8 s eS 11 h 31 m 18.0 s
218	„ 27.	Z	280	—	—	ePg 11 h 42 m 43.2 s eSg 11 h 43 m 08.3 s
219	Dez. 4.	Ch	—	—	½	e 14 h 08 m 52.9 s

Tabelle II (Schluß)

Nr.	Datum	Station	Epizentralentfernung nach S–P	Max. Amplitude	Ungefähre Dauer der Registr.	Phasen, Bemerkungen
	1955		km	μ	Min.	
220	Dez. 9.	Ch	—	—	4	eP 02 h 15 m 04.0 s eS 02 h 15 m 08.1 s e 02 h 15 m 23.8 s
221	„ 13.	Ch	—	—	3	eP 17 h 04 m 52.3 s eS 17 h 04 m 55.4 s eL 17 h 05 m 36.3 s
		Z	385?	2.1	3	ePn? 17 h 05 m 01.0 s eSn? 17 h 05 m 44.2 s eSg? 17 h 06 m 00.7 s
		N	—	—	5	eP 17 h 05 m 05.5 s eS 17 h 05 m 48.0 s
		B	—	—	5	eP 17 h 05 m 15.4 s eS 17 h 05 m 52.0 s
222	„ 14.	Z	—	0.7	3	eP 11 h 03 m 16.4 s
		B	—	—	3	eP 11 h 03 m 18.6 s
223	„ 18.	Ch	—	—	—	eP 09 h 06 m 13.1 s eS 09 h 06 m 14.4 s
224	„ 24.	Ch	—	—	—	iP Compr. 23 h 40 m 29.1 s Herdzeit (Tab. I, 32)
		Z	92	3.4	2	iPg 23 h 40 m 45.3 s iSg 23 h 40 m 57.2 s e 23 h 41 m 01.6 s
		B	168	—	—	eP 23 h 40 m 56.8 s iPg 23 h 40 m 58.8 s eSg 23 h 41 m 20.0 s
						Verspürt in Chur, keine größeren Schäden. Davos, Tschiertschen, Valbella, Lenzerheide, Vättis, Engi II
225	„ 25.	Ch	—	—	—	e 00 h 25 m 20.5 s
226	„ 25.	Ch	—	—	3	e 00 h 26 m 24.9 s i 00 h 26 m 55.0 s
227	„ 25.	N	—	—	—	eP 05 h 28 m 53.8 s iS 05 h 29 m 25.0 s
		Ch	—	—	—	eP 05 h 29 m 03.6 s
		Z	—	0.7	1	eP 05 h 29 m 05.3 s eS 05 h 29 m 42.8 s
		B	—	—	1	eP 05 h 29 m 09.2 s eS 05 h 29 m 44.0 s
228	„ 26.	N	95	—	2	eP 10 h 52 m 41.7 s eS 10 h 52 m 54.0 s Azimut 90°—135° (Tab. I, 33)
		Z	171	0.7	1	iPg 10 h 52 m 51.9 s eSg 10 h 53 m 13.5 s
		B	117	—	1	eP 10 h 52 m 53.1 s eS 10 h 53 m 08.0 s

Tabelle III. In der Schweiz 1955 registrierte Fernbeben

Mittlere Zeit Greenwich.

Nr.	Datum	Station	Epizentralentfernung nach S–P	Ungefähre Dauer der Registr.	Phasen, Bemerkungen (Wo nichts weiteres bemerkt ist, beziehen sich die Ablesungen auf die Apparate Quervain-Piccard.)
	1955		km	Std.	
1	Januar 3.	Ch	1305	0.2	eP 01 h 10 m 00.9 s eS 01 h 12 m 05.8 s
		Z	1390	0.2	eP 01 h 10 m 11.1 s eS 01 h 12 m 20.4 s
		B	1480	0.2	eP 01 h 10 m 17.9 s eS 01 h 12 m 40.0 s
		N	—	0.2	eP 01 h 10 m 19.5 s eL 01 h 14 m 49.0 s
					B.I. 0 = 01 h 07 m 04 s, 39.1° N 21.8° E Griechenland, gespürt im Gebiet von [Kartitsa, Stärke VI—VII
2	„ 5.	B	18400	1.0	ePKP 01 h 10 m 09.5 s e 01 h 11 m 14.0 s ePP 01 h 15 m 00.0 s
		Ch	—	0.2	ePKP 01 h 10 m 15.8 s ePP? 01 h 14 m 52.0 Min'Lücke eL 02 h 09 m
		Z	18100	2.0	ePKP 01 h 10 m 20.4 s e 01 h 11 m 10.8 s e 01 h 14 m 47.1 s ePP 01 h 14 m 55.0 s
		N	—	1.0	ePKP 01 h 10 m 21.1 s
					U. S. C. G. S. 0 = 00 h 50 m 12 s 50° S 162½° E [Auf der Südinsel von Neuseeland verspürt
3	„ 5.	Z	—	1.0	ePKP 18 h 08 m 14.3 s e 18 h 08 m 18.5 s Dilat.
		Ch	—	1.3	ePKP 18 h 08 m 14.6 s Dilat. eL 19 h 08 m
		B	—	1.0	ePKP 18 h 08 m 14.6 s e 18 h 12 m 06.0 s
		N	—	1.0	ePKP 18 h 08 m 17.8 s
					U. S. C. G. S. 0 = 17 h 48 m 35 s, 16° S 167½° E Neue Hebriden, [verspürt in Ambryn, Stärke VI
4	„ 6.	B	—	0.5	ePKP 00 h 01 m 42.6 s
		Z	—	0.1	ePKP 00 h 01 m 43.2 s ez 00 h 01 m 51.3 s Dilat. ez 00 h 02 m 32.1 s
		Ch	—	1.2	ePKP 00 h 01 m 43.3 s Dilat.
					U. S. C. G. S. 0 = 23 h 43 m 03 s (Jan. 5.), 16° S 167½° E [Neue Hebriden, Schäden in Malekula

Tabelle III (Fortsetzung)

Nr.	Datum	Station	Epizentral-entfernung nach S–P	Ungefähre Dauer der Registr.	Phasen, Bemerkungen
	1955		km	Std.	
5	Januar 5.	B	—	0.1	ePKP 02 h 42 m 16.7 s
		Z	—	0.1	ePKP 02 h 42 m 18.6 s Nur Vorläufer schwach U. S. C. G. S. 0 = 02 h 22 m 35 s, 16° S 167½° E Nachstoß der vorigen Beben
6	„ 6.	Z	—	0.1	ez 10 h 07 m 33.8 s Schwache Spuren
		B	—	0.1	ez 10 h 07 m 37.7 s
		N	—	0.1	e 10 h 08 m 02.1 s U. S. C. G. S. 0 = 09 h 48 m 19 s Nachstoß der vorigen Beben
7	„ 8.	N	—	0.7	ePz 07 h 53 m 13.0 s eS 08 h 00 m 48.0 s
		Z	—	0.7	ePz? 07 h 53 m 18.1 s
		B	—	1.0	ePZ 07 h 53 m 28.9 s eS 07 h 56 m 17.0 s Schwache Registrierung U. S. C. G. S. 0 = 07 h 33 m 36.0 s 11½° [S 166½° E h = 60 km
8	„ 8.	Z	1530	0.2	ePz 07 h 56 m 02.7 s eS 07 h 58 m 35.3 s Dem vorhergehenden überlagert B. I. 0 = 07 h 52 m 58 s 39.5 N 22.1° E Verspürt im Gebiet von Kartitsa, Stärke VI—VII
9	„ 9.	Z	—	0.1	ez 00 h 39 m 35.7 s Compr. schwach
		B	—	0.1	ez 00 h 39 m 37.9 s Nur Vorläufer U. S. C. G. S.: 0 = 00 h 27 m 48 s 54½° N 162° E [Küste von Kamtschatka
10	„ 10.	Z	—	0.1	ePKPz? 22 h 02 m 46.7 s Min'-Lücke
		B	—	0.1	ePKPz 22 h 02 m 48.1 s Nur schwache Vorläufer U. S. C. G. S. 0 = 21 h 43 m 10 s [14½° S 175° W h = 100 km
11	„ 13.	B	—	1.0	eP 02 h 15 m 54.3 s
		Z	9010	1.0	eP 02 h 15 m 55.0 s Compr. iP 02 h 15 m 57.0 s Dilat. eS 02 h 26 m 01.8 s
		N	—	0.7	eP 02 h 15 m 58.4 s
		Ch	7850	1.0	eP 02 h 16 m 01.0 s eS? 02 h 25 m 10.0 s U. S. C. G. S. 0 = 02 h 03 m 43 s, 53° N 167½° W Fuchs-Inseln, in Unalaska verspürt
12	„ 13.	Z	—	0.1	iP 02 h 47 m 57.3 s Compr. Nur Vorläufer registriert! Nachstoß zum vorausgehenden Beben U. S. C. G. S. 0 = 02 h 35 m 45 s
13	„ 13.	Z	—	0.1	iP 02 h 56 m 57.5 s Compr. Nur Vorläufer registriert. Nachstoß zum vorigen Beben. U. S. C. G. S. 0 = 02 h 44 m 47 s
14	„ 14.	Z	—	0.1	eP 17 h 34 m 50.0 s Schwach U. S. C. G. S. 0 = 17 h 21 m 57.0 s 36.5 N 141.5° E, Honshu (Japan)
15	„ 19.	B	—	0.1	ez 00 h 43 m 31.8 s
		Z	—	—	e 04 h 44 m Schwache Spuren U. S. C. G. S. 0 = 04 h 34 m 25 s 2° S 13° W
16	„ 27.	Z	—	0.2	ePKP? 18 h 57 m 30.2 s Sehr schwach
		B	—	—	Keine Zeitmarken U. S. C. G. S. 0 = 18 h 38 m 20 s 17½°S 177° W h = 400 km
17	„ 28.	Z	1960	0.2	eP 07 h 46 m 07.5 s eS 07 h 49 m 20.5 s Min'Lücke B. I. 0 = 07 h 41 m 58.0 s 33.7° N 23.4° E Südl. Griechenland
18	„ 28.	Z	6200	0.7	eP 17 h 12 m 16.0 s eS 17 h 20 m 09.7 s
		N	—	0.7	eP 17 h 12 m 27.3 s
		B	—	0.1	eP 17 h 12 m 29.3 s U. S. C. G. S. 0 = 17 h 02 m 33 s 33° N 82½° E Tibet
19	„ 31.	B	—	0.1	eP 05 h 15 m 30.7 s
		Z	—	0.1	eP 05 h 15 m 33.6 s Compr. iP 05 h 15 m 35.0 s Dilat. Nur erste Vorläufer
		Ch	—	0.1	eP 05 h 15 m 34.9 s Compr. U. S. C. G. S. 0 = 05 h 03 m 03 s 12½° S 57° W
20	„ 31.	Z	8910	0.1	eP 16 h 14 m 27.0 s e 16 h 14 m 31.4 s eS 16 h 24 m 42.3 s
		B	—	0.1	eP 16 h 14 m 27.9 s
		Ch	—	0.1	eP 16 h 14 m 29.6 s eS 16 h 23 m 49.0 s
		N	—	0.1	eP 16 h 14 m 31.5 s U. S. C. G. S. 0 = 16 h 02 m 07 s 46½° N 153° E

Tabelle III (Fortsetzung)

Nr.	Datum	Station	Epizentral-entfernung nach S–P	Ungefähre Dauer der Registr.	Phasen, Bemerkungen
	1955		km	Std.	
21	Febr. 4.	B	—	0.1	ez 05 h 29 m 37.7 s
		Z	—	0.1	ez 05 h 29 m 42.6 s Schwache Spuren
					B. I. 0 = 05 h 20.1 m 6° N 37.5° E
22	„ 4.	Z	9270	0.1	ePz 07 h 34 m 17.0 s Compr. eS 08 h 44 m 35.2 s
		B	—	0.7	eI 07 h 34 m 19.7 s
					Schwach U. S. C. G. S. 0 = 07 h 21 m 49 s 17° S 67° E
23	„ 5.	B	—	0.1	eP 20 h 54 m 12.2 s Min'Lücke
		Z	—	0.1	eP 20 h 54 m 15.0 s Dilat. Min'Lücke
					Nur erste Vorläufer registriert U. S. C. G. S. 0 = 20 h 41 m 51 s
					[46½° N 153° E
24	„ 6.	N	—	0.1	eP 01 h 01 m 08.2 s
		Z	—	0.1	eP? 01 h 01 m 09.9 s Min'Lücke
		B	—	—	Keine Zeitmarken
					Nur schwache erste Vorläufer U. S. C. G. S. 0 = 0 h 55 m 32 s 71° N 13.5° W
25	„ 6.	Z	2860	0.3	eP 02 h 33 m 27.5 s e 02 h 34 m 12.2 s eS 02 h 37 m 47.7 s
		N	3000	0.7	eP 02 h 33 m 27.7 s eS 02 h 35 m 01.0 s
		B	—	—	Keine Zeitmarken
					U. S. C. G. S. 0 = 02 h 27 m 53 s 71° N 13½° W
26	„ 18.	Z	—	0.1	eP 22 h 57 m 11.1 s
		B	4600	0.5	eP? 22 h 57 m 28.7 s eS? 23 h 05 m 40.0 s
					Nur erste Vorläufer
					U. S. C. G. S. 0 = 22 h 48 m 33 s 30½° N 67° E Schadenbeben in Pakistan
27	„ 20.	Z	—	0.1	ez 20 h 29 m 59.5 s Schwache Spuren!
		B	—	0.1	ez 20 h 30 m 21.9 s
					Nur erste Vorläufer U. S. C. G. S. 0 = 20 h 14 m 46 s
					[5° S 152° E New Britain
28	„ 21.	Z	—	0.1	ePz 18 h 55 m 58.3 s Nur schwache erste Vorläufer
		B	—	0.1	eP 18 h 55 m 59.2 s
					U. S. C. G. S. 0 = 18 h 43 m 48 s 49° N 153° E Kurilen
29	„ 23.	Z	—	0.1	ePKPz 05 h 16 m 43.0 s ez 05 h 16 m 53.3 s Compr.
					Nur erste Vorläufer, schwach U. S. C. G. S. 0 = 04 h 57 m 11 s
					20° S 175½° W h = 250 km
30	„ 23.	B	—	0.2	ePKP 11 h 59 m 45.2 s
		Z	—	0.1	ePKP 11 h 59 m 46.2 s Dilat. iz 11 h 59 m 52.7 s Dilat. ez 12 h 02 m 10.1 s
		Ch	—	0.1	ePKP 11 h 59 m 47.3 s Dilat. e 11 h 59 m 53.3 s [Nur Vorläufer registriert
					U. S. C. G. S. 0 = 11 h 41 m 02 s 18° S 178° W h = 600 km
31	„ 23.	Z	—	0.1	ez 18 h 44 m 50.7 s
		B	—	0.1	e 18 h 45 m 00.4 s Nur erste Vorläufer
					Schwache Registrierung U. S. C. G. S. 0 = 18 h 31 m 45 s 34° S 54½° E
32	„ 26.	Z	—	0.2	ePz 00 h 44 m 25.8 s Dilat.
		B	—	0.1	eP 00 h 44 m 45.9 s
					Nur erste Vorläufer
					U. S. C. G. S. 0 = 00 h 31 m 14 s 0.0° N 102.0° E Sumatra
33	„ 27.	Ch	—	1.0	ePKP 21 h 03 m 20.0 s e 21 h 07 m 49.0 s
		Z	17900	1.0	ePKP 21 h 03 m 25.1 s Compr. e 21 h 06 m 54.4 s ePP 21 h 07 m 41.8 s
		B	—	1.5	ePKP 21 h 03 m 25.4 s e 21 h 08 m 24.0 s
		N	—	1.0	ePKP 21 h 03 m 32.0 s e 21 h 18 m 20.0 s
					U. S. C. G. S. 0 = 20 h 43 m 24 s 27½° S 176° W
					Verspürt: in Raoul-Inseln, Tolaga Bay, Wellington, Neuseeland
34	„ 28.	Z	—	0.1	eP 20 h 54 m 32.1 s Nur schwache erste Vorläufer
		B	—	0.1	eP 20 h 55 m 13.9 s
					U. S. C. G. S. 0 = 20 h 42 m 31 s 11° S 66½° E
35	März 1.	Ch	—	0.1	eP 01 h 58 m 16.7 s Compr.
					U. S. C. G. S. 0 = 01 h 46 m 10.0 s 21° S 37° W Verspürt in
					[Espirito Santos, Brasilien
36	„ 1.	Z	7010	1.0	eP 04 h 53 m 34.0 s Compr. e 04 h 53 m 57.3 s eS 05 h 02 m 01.3 s
		N	—	0.7	eP 04 h 53 m 34.4 s [eSS 05 h 04 m 03.3 s
		Ch	—	0.7	eP 04 h 53 m 39.1 s Compr. eS 05 h 02 m 20.3 s
		B	—	1.0	eP 04 h 54 m 15.7 s e 04 h 58 m 16.0 s
					U. S. C. G. S. 0 = 04 h 42 m 59 s 65° N 133° W Gespürt in Aklavik, Yukon

Tabelle III (Fortsetzung)

Nr.	Datum	Station	Epizentral-entfernung nach S–P	Ungefähre Dauer der Registr.	Phasen, Bemerkungen
	1955		km	Std.	
37	März 1.	B	—	0.1	eP 14 h 55 m 11.6 s e 14 h 55 m 40.0 s
		Z	—	—	Nur schwache Spuren
					Japan. Stationen 0 = 14 h 41 m 37.0 s 30.2° N 142.7° E
38	„ 2.	Z	—	0.1	ePKP 01 h 55 m 53.1 s ez 01 h 56 m 04.4 s
		B	—	0.1	ez 01 h 56 m 41.9 s Compr.
					Nur Vorläufer schwach U. S. C. G. S. 0 = 14 h 35 m 45 s 4° S 152½° E
39	„ 3.	Z	—	0.1	ePz 20 h 52 m 48.8 s
		B	—	0.1	eP? 20 h 53 m 45.4 s
					Schwache Registrierung U. S. C. G. S. 0 = 20 h 47 m 22 s 71½° N 4½° W
40	„ 7.	Ch	—	0.1	ePKP 05 h 04 m 30.8 s Compr.
		B	—	0.1	ePKP? 05 h 04 m 31.4 s Compr.
		Z	—	0.2	ePKP 05 h 04 m 32.8 s Compr.? Min'Lücke, nur Vorläufer schwach
		N	—	0.1	ePKP 05 h 04 m 34.6 s
					U. S. C. G. S. 0 = 0 h 44 m 44 s 18° S 169° E
41	„ 10.	B	—	0.2	ePKP 21 h 30 m 01.1 s e 21 h 30 m 16.0 s
		Z	—	0.1	ePKP 21 h 30 m 08.4 s Nur Vorläufer
					U. S. C. G. S. 0 = 21 h 10 m 11 s 15° S 174° W Samoa, verspürt in Apia
42	„ 13.	Z	—	0.7	eP 04 h 15 m 57.2 s Nur Vorläufer
		B	—	0.7	eP 04 h 16 m 01.9 s eP 04 h 16 m 21.0 s
					U. S. C. G. S. 0 =04 h 03 m 53 s 49½° N 155½° E h = 60 km
43	„ 13.	Z	—	0.2	ePz 17 h 05 m 55.1 s Nur Vorläufer
					B. I. 0 = 16 h 58 m 05.0 s 28° N 56¾° E
44	„ 14.	Z	—	0.1	ePz 02 h 29 m 18.2 s Nur schwache Vorläufer
45	„ 14.	B	9070	0.5	eP 13 h 24 m 06.3 s eS 13 h 34 m 04.0 s
		Z	8990	0 3	eP 13 h 24 m 07.1 s Compr. eS 13 h 34 m 01.0 s Keine L-Wellen
		Ch	—	0.1	eP 13 h 24 m 09.3 s e 13 h 24 m 51.1 s
		N	9020	0.5	eP 13 h 24 m 09.5 s eS 13 h 35 m 05.0 s
					U. S. C. G. S. 0 = 13 h 12 m 04 s 52½° N 173½° W h = 100 km
46	„ 16.	B	—	0.1	eP 13 h 13 m 09.4 s e 13 h 13 m 22.0 s
		Z	—	0.1	eP? 13 h 14 m 59.7 s
					U. S. C. G. S. 0 = 13 h 05 m 53.0 s 3° S 13° W
47	„ 18.	B	8700	1.0	eP 00 h 18 m 33.0 s eS 00 h 28 m 25.0 s
		Z	8470	1.0	eP 00 h 18 m 33.3 s Compr. eS 00 h 28 m 14.1 s Min'Lücke
		Ch	—	2.0	eP 00 h 18 m 35.2 s eS 00 h 28 m 18.2 s eL 00 h 45 m
		N	8500	—	eP 00 h 18 m 37.3 s iS 00 h 28 m 20.0 s
					U. S. C. G. S. 0 = 00 h 06 m 42 s 54½° N 161° E
48	„ 22.	Z	—	0.1	eP 02 h 38 m 43.3 s Schwach
		B	—	0.1	eP 02 h 38 m 51.7 s
					U. S. C. G. S. 0 = 02 h 33 m 09 s 44° N 28° W
49	„ 22.	Z	10000	1.0	eP 14 h 18 m 16.0 s Compr. ez 14 h 18 m 22.7 s Compr. eSKS 14 h 28 m 47.8 s
		B	—	1.0	eP 14 h 18 m 20.7 s e 14 h 28 m 31.0 s [eS 14 h 29 m 31.0 s
		N	—	0.7	e 14 h 18 m 54.6 s eSKS 14 h 28 m 53 s
					U. S. C. G. S. 0 = 14 h 05 m 04 s 8½° S 92° E
50	„ 23.	Z	—	0.1	eP 05 h 07 m 42.1 s ez 05 h 07 m 43.7 s Erste Vorläufer schwach
					U. S. C. G. S. 0 = 04 h 54 m 31.0 s Nachstoß zum vorigen Beben
51	„ 27.	Z	—	0.1	ePz 14 h 49 m 13.3 s Nur schwache Vorläufer
					U. S. C. G. S. 0 = 14 h 38 m 44 s 30° N 90° E Osttibet
52	„ 28.	Z	—	1.0	eP? 09 h 24 m 14.2 s e 09 h 24 m 56.7 s e 09 h 25 m 11.8 s eS? 09 h 35 m 06.4 s
		B	—	0.7	eP 09 h 25 m 04.7 s eL 10 h 01 m 10.0 s
					U. S. C. G. S. 0 = 09 h 12 m 09 s 24° N 130° E
53	„ 28.	Ch	—	0.2	eP 14 h 49 m 00 s Min'Lücke
		Z	—	1.0	eP 14 h 49 m 03.4 s ez 14 h 49 m 09.4 s eS 14 h 51 m 28.8 s
		B	—	0.7	eP 14 h 49 m 10.7 s ez 14 h 52 m 14.0 s
		N	—	0.5	eP 14 h 49 m 14.4 s eL 14 h 53 m 58.0 s
					B. I. 0 = 14 h 45 m 44 s 37.6° N 21.1° E, im westl. Griechenland [stark verspürt
54	„ 31.	B	—	0.1	eP 16 h 43 m 57.9 s
					U. S. C. G. S. 0 = 16 h 24 m 09 s 19½° S 169° E

Tabelle III (Fortsetzung)

Nr.	Datum	Station	Epizentral-entfernung nach S–P	Ungefähre Dauer der Registr.	Phasen, Bemerkungen
	1955		km	Std.	
55	März 31.	Ch	—	1.5	eP 18 h 31 m 03.5 s e 18 h 34 m 46.0 s eS 18 h 41 m 43.2 s
		Z	—	1.0	eP 18 h 31 m 08.5 s Compr. ePP 18 h 34 m 54.3 s ePPP 18 h 35 m 16.3 s [eSKS 18 h 41 m 45.5 s ePS 18 h 44 m 37.1 s
		B	—	1.5	eP 18 h 31 m 10.9 s eSKS 18 h 41 m 47.0 s
		N	—	1.0	ePP 18 h 35 m 12.9 s eSKS 18 h 41 m 53.0 s
					U. S. C. G. S. 0 = 18 h 17 m 00 s 8° N 124° E
					Schweres Schadenbeben auf den Philippinen
56	April 1.	B	—	0.1	eP 18 h 46 m 30.5 s
		Z	—	0.2	eP 18 h 46 m 35.8 s e 18 h 49 m 35.2 s
					B. I. 0 = 18 h 41 m 27 s 64° N 21.2° W
57	„ 4.	Z	9650	1.0	eP 11 h 24 m 14.3 s eS 11 h 34 m 47.9 s
		B	9550	1.0	eP 11 h 24 m 20.2 s eS 11 h 34 m 49.0 s eL 11 h 59 m 0 s
		N	—	1.0	eP 11 h 24 m 22.9 s
					U. S. C. G. S. 0 = 11 h 11 m 21 s 22° N 121° E
58	„ 4.	B	—	1.0	eP 19 h 36 m 35.7 s eS 20 h 08 m 00.0 s
		Z	9550	1.0	eP 19 h 36 m 40.4 s e 19 h 36 m 43.3 s eS 19 h 47 m 10.4 s
					U. S. C. G. S. 0 = 19 h 24 m 04 s 13° N 87° W
59	„ 5.	Z	—	1.0	eP? 15 h 22 m 21.0 s Schwach eL 15 h 52 m
		N	—	1.0	e 15 h 32 m 56.0 s
		B	—	—	eL 15 h 53 m
					U. S. C. G. S. 0 = 15 h 09 m 15 s 25° N 110° W
60	„ 6.	Ch	—	0.1	eP 13 h 03 m 18.3 s Dilat.
		Z	9150?	0.2	eP? 13 h 03 m 26.8 s Schwach eS? 13 h 13 m 39.9 s
		B	9320	0.5	eP 13 h 03 m 27.0 s eS? 13 h 13 m 47.0 s
					U. S. C. G. S. 0 = 12 h 50 m 50 s 17½° S 66½° E
61	„ 6.	B	—	0.1	ez 20 h 07 m 28.8 s
		Z	—	0.1	ez 20 h 07 m 32.1 s Schwach
					U. S. C. G. S. 0 = 19 h 48 m 46 s 33½° S 87° E
62	„ 13.	Ch	—	0.2	eP 20 h 49 m 04.4 s eS 20 h 51 m 34.8 s
		Z	1600	0.2	eP 20 h 49 m 14.6 s Compr. ez 20 h 49 m 20.4 s eS 20 h 51 m 54.2 s
		N	1860	0.5	eP 20 h 49 m 21.2 s eS 20 h 52 m 25.0 s
		B	1710	0.5	eP 20 h 49 m 22.5 s eS 20 h 52 m 14.0 s
					B. I. 0 = 20 h 45 m 45 s 37¼° N 22¼° E Bauschäden in Tripolis und [Kalamata (Griechenland)
63	„ 14.	Ch	—	1.5	eP 01 h 40 m 16.2 s Dilat. 01 h 49 m 32.2 s
		Z	7950	1.0	eP 01 h 40 m 18.7 s Dilat. e 01 h 40 m 19.3 s Compr. e 01 h 40 m 23.1 s Dilat. [ePP 01 h 42 m 58.7 s eS 01 h 49 m 35.1 s
		N	8100	1.0	eP 01 h 40 m 25.8 s eS 01 h 49 m 49.0 s
		B	8020	1.5	eP 01 h 40 m 19.7 s Dilat. e 01 h 40 m 30.0 s eS 01 h 49 m 40.0 s
					U. S. C. G. S. 0 = 01 h 28 m 58 s 30° N 101½° E
					Schweres Schadenbeben (viele Todesopfer) in der Sikiangprovinz (China)
64	„ 15.	Ch	—	1.5	eP 03 h 49 m 22.4 s eS 03 h 56 m 18.0 s
		Z	5270	1.5	eP 03 h 49 m 27.0 s Compr. eS 03 h 56 m 18.6 s eSS 03 h 59 m 47.0 s
		B	—	1.5	eP 03 h 49 m 31.1 s ePP 03 h 51 m 27.0 s eSS? 03 h 59 m 14.0 s
		N	—	1.5	eP 03 h 49 m 34.8 s eSS 03 h 00 m 23.0 s
					U. S. C. G. S. 0 = 03 h 40 m 52 s 40° N 74.5° E Kirghiz S. S. R.
65	„ 15.	Ch	—	0.7	eP 04 h 21 m 52.1 s
		Z	—	1.5	eP 04 h 21 m 57.9 s
		N	—	0.7	eP 04 h 22 m 05.2 s
					Dem vorausgehenden überlagerter Nachstoß des vorigen 0 = 04 h 13 m 23 s
66	„ 17.	Z	8740	0.2	eP 18 h 47 m 23.7 s Compr. ez 18 h 47 m 54.0 s eS 18 h 57 m 17.3 s
		B	—	1.0	eP 18 h 47 m 24.1 s e 18 h 56 m 22.0 s
		Ch	—	1.0	eP 18 h 47 m 25.3 s i 18 h 47 m 27.2 s Dilat. eS 18 h 57 m 21.0 s
		N	8840	0.2	eP 18 h 47 m 27.9 s eS 18 h 57 m 26.0 s
					U. S. C. G. S. 0 = 18 h 35 m 27 s 52° N 159½° E h = 60 km
67	„ 18.	Z	—	—	ePz 19 h 23 m 41.4 s Nur Vorläufer
					U. S. C. G. S. 0 = 19 h 16 m 07 s 28° N 52½° E
68	„ 19.	Ch	—	0.3	eP 16 h 50 m 17.3 s Min'Lücke e 16 h 50 m 21.8 s eS 16 h 52 m 30.3 s
		Z	1510	0.3	ePz 16 h 50 m 31.4 s eS 16 h 53 m 02.7 s
		B	1740	0.7	eP 16 h 50 m 37.6 s eS 16 h 53 m 32.0 s
		N	1630	0.7	eP 16 h 50 m 41.1 s eS 16 h 53 m 24.0 s
					B. I. 0 = 16 h 47 m 19.0 s 39¼° N 23° E Bebenkatastrophe [in Volos (Griechenland)

Tabelle III (Fortsetzung)

Nr.	Datum	Station	Epizentral-entfernung nach S–P	Ungefähre Dauer der Registr.	Phasen. Bemerkungen
	1955		km	Std.	
69	April 19.	B	11900	1.0	eP? 20 h 38 m 22.6 s e 20 h 40 m 22.0 s eSKS 20 h 49 m 06.0 s
					[eL 21 h 12 m 00.0 s
		Z	11800	1.5	eP? 20 h 38 m 25.2 s Schwach ePP 20 h 43 m 02.4 s e 20 h 49 m 40.5 s
					[eSKS 20 h 49 m 06.0 s
		Ch	—	1.2	eP? 20 h 38 m 31.3 s e 20 h 42 m 27.3 s eS 20 h 49 m 09.3 s eL 21 h 12 m 33.3 s
		N	—	1.5	eP? 20 h 38 m 34.2 s
					U. S. C. G. S. 0 = 20 h 24 m 05 s 30° S 72° W
					Vor Zentralchile, Wellenschaden in La Serena und Tongoy
70	„ 21.	Ch	—	0.3	eP 07 h 21 m 20.8 s Compr. eS 07 h 23 m 31.5 s
		Z	1480	0.3	eP 07 h 21 m 30.5 s Compr. eS 07 h 23 m 58.6 s
		B	—	0.7	eP 07 h 21 m 38.7 s eL 07 h 24 m 31.0 s
		N	—	0.7	eP 07 h 21 m 40.7 s eL 07 h 24 m 29.0 s
					B. I. 0 = 07 h 18 m 18 s 39¼° N 23° E Nachstoß im Gebiet von Volos
71	„ 22.	Ch	—	0.2	eP 10 h 06 m 17.3 s eS 10 h 09 m 27.3 s
		Z	2020	0.2	eP 10 h 06 m 25.0 s eS 10 h 09 m 45.1 s Schwach
		N	—	0.5	eP 10 h 06 m 31.6 s
		B	2000	0.7	eP 10 h 06 m 34.3 s eS 10 h 09 m 51.0 s
					U. S. C. G. S. 0 = 10 h 02 m 21 s 34½° N 24½° E Kreta
72	„ 22.	Z	8830	0.2	iP 16 h 39 m 41.4 s Compr. eS 16 h 49 m 34.4 s
		B	—	0.1	eP 16 h 39 m 41.4 s
					U. S. C. G. S. 0 = 16 h 27 m 31 s 46° N 150½° E h = 100 km Kurilen
73	„ 23.	Z	—	0.2	ePKP 18 h 48 m 00.4 s Nur erste Vorläufer
		B	—	0.2	ePKP 18 h 48 m 08.1 s U. S. C. G. S. 0 = 18 h 28 m 47 s 24½° S 113° W
74	„ 24.	Ch	—	0.5	eP 13 h 08 m 08.3 s
		Z	5960	0.5	eP 13 h 08 m 12.0 s ez 13 h 08 m 17.5 s Dilat. eS? 13 h 15 m 41.6 s
		B	5710	0.7	eP 13 h 08 m 16.3 s eS 13 h 15 m 32.0 s
		N	—	0.7	eP 13 h 08 m 17.6 s
					U. S. C. G. S. 0 = 12 h 59 m 00 s 45 N 86 E
75	„ 24.	Z	—	—	ez 13 h 14 m 20.4 s Nur Vorläufer
		B	5600	0.7	eP 13 h 14 m 21.1 s eS 13 h 21 m 30.0 s
					Dem vorhergehenden überlagert B. I. 0 = 13 h 02 m 02.0 s 44.5° N 149.5° E
76	„ 28.	B	—	0.1	eP 19 h 17 m 20.1 s
		Z	9100	1.0	eP 19 h 17 m 20.4 s Compr. eS? 19 h 27 m 30.7 s
					U. S. C. G. S. 0 = 19 h 04 m 59 s 51° N 178½° W Gespürt in Adak
77	„ 30.	B	—	—	eP? 01 h 45 m 32.9 s Nur Vorläufer
					U. S. C. G. S. 0 = 01 h 32 m 25 s 12½° N 87° W
78	Mai 1.	Ch	—	1.0	eP 10 h 07 m 52.3 s eL 10 h 42 m
		B	9030	1.0	eP 10 h 07 m 53.7 s e 10 h 09 m 34.0 s eS 10 h 18 m 00 s eL 10 h 41 m 00 s
		N	—	1.0	eP 10 h 07 m 58.7 s eL 10 h 41 m 38.0 s
		Z	—	—	Keine Zeitmarken
					U. S. C. G. S. 0 = 09 h 55 m 16 s 39½° N 143½° E
79	„ 1.	B	—	1.0	eP 14 h 11 m 31.7 s Dilat. eS 14 h 21 m 37.0 s eL 14 h 46 m
		Z	—	—	Keine Zeitmarken
					U. S. C. G. S. 0 = 13 h 58 m 44.0 s Nachstoß zum vorigen Beben
80	„ 1.	B	—	0.1	eP 21 h 25 m 58.7 s Minutenlücke
		Z	—	—	Keine Zeitmarken
					U. S. C. G. S. 0 = 21 h 22 m 40 s 45½° N 27° E
81	„ 3.	B	—	0.1	ez 17 h 20 m 07.6 s
		Z	—	0.1	e 17 h 20 m 08.6 s Sehr schwach
					Japan. Stationen 0 = 17 h 07 m 31 s 39.5° N 143.8° E
82	„ 6.	B	—	0.1	eP 00 h 17 m 07.6 s e 00 h 17 m 09.0 s
		Z	—	—	e 00 h 17 m 25.0 s Schwache Spuren
					Japan. Stationen 0 = 00 h 04 m 33 s 40.1° N 143.8° E
83	„ 8.	Z	—	0.2	ePz 21 h 41 m 49.3 s Schwach eL 21 h 45 m 47.8 s
		B	—	—	eP 21 h 41 m 51.3 s e 21 h 45 m 30.0 s
		N	—	0.1	e 21 h 44 m 45.5 s
					B. I. 0 = 21 h 39 m 04.0 s 36.5° N 1.5° E Ténès VII Algier IV
84	„ 11.	B	—	0.1	eP 11 h 16 m 46.2 s
		Z	—	0.3	eP 11 h 16 m 52.1 s ez 11 h 16 m 55.4 s eS 11 h 27 m 33.4 s
					U. S. C. G. S. 0 = 11 h 04 m 00 s 0° N 78° W
					Ecuador, Schäden in Carchi und Imbabura

Tabelle III (Fortsetzung).

Nr.	Datum	Station	Epizentral-entfernung nach S–P	Ungefähre Dauer der Registr.	Phasen, Bemerkungen
	1955		km	Std.	
85	Mai 14.	Z	10340	0.1	ePz 06 h 16 m 38.1 s epP 06 h 18 m 24.9 s eS 06 h 26 m 58.6 s
		B	—	0.1	eP 06 h 16 m 42.0 s epP 06 h 18 m 29.8 s Nur Vorläufer
					U. S. C. G. S. 0 = 06 h 04 m 14 s 28° N 139½° E h = 500 km
86	„ 14.	Z	—	—	eP 13 h 43 m 48.6 s Compr.
		B	—	—	eP 13 h 43 m 56.9 s
					U. S. C. G. S. 0 = 13 h 35 m 38 s 37° N 71½° E h = 200 km
87	„ 17.	Ch	8970	1.2	eP 15 h 02 m 02.6 s eS 16 h 12 m 11.9 s eL 15 h 36 m 30 s
		Z	9160	1.0	eP 15 h 02 m 09.6 s Compr. ePP 15 h 05 m 22.2 s eS 15 h 12 m 22.7 s
		N	9250	1.0	eP 15 h 02 m 16.2 s e 15 h 02 m 19.0 s e 15 h 02 m 27.0 s eS 15 h 12 m 34.0 s
		B	9160	1.0	eP 15 h 02 m 16.9 s e 15 h 02 m 45.0 s eS 15 h 12 m 58.1 s
					U. S. C. G. S. 0 = 14 h 49 m 47 s 7° N 94½° E
88	„ 21.	Z	—	0.1	ePKP 15 h 59 m 06.1 s Nur Vorläufer
					U. S. C. G. S. 0 = 15 h 39 m 24 s 15½° S 173° W
89	„ 23.	B	—	0.1	ePKP 18 h 01 m 30.0 s
		Z	—	0.1	ePKP 18 h 01 m 31.0 s Nur schwache Vorläufer
					U. S. C. G. S. 0 = 17 h 41 m 40 s 18° S 169° E
90	„ 25.	B	—	0.1	eP 18 h 33 m 11.5 s
		Z	—	0.1	eP 18 h 33 m 13.2 s Nur schwache Vorläufer
					U. S. C. G. S. 0 = 18 h 20 m 53 s 48° E 157° W
91	„ 28.	B	11000	0.7	eP 06 h 34 m 14.3 s eSKS 06 h 44 m 39.0 s eS 06 h 45 m 39 s
		Z	10050	0.7	eP 06 h 34 m 16.1 s eSKS 06 h 44 m 37.3 s eS 06 h 45 m 42.5 s
					U. S. C. G. S. 0 = 06 h 20 m 40 s 30½° S 65° W
					In Santiago und Valparaiso verspürt
92	„ 29.	Z	—	—	eL 16 h 40 m
		B	—	—	eL 16 h 44 m Keine Vorläufer registriert
93	„ 30.	Z	10770	1.0	eP 12 h 44 m 16.2 s Compr. epP 12 h 46 m 18.6 s ePP 12 h 48 m 24.2 s
					[ePPP 12 h 50 m 20.7 s eSKS 12 h 53 m 54.9 s eS 12 h 54 m 44.2 s
		Ch	—	1.0	eP 12 h 44 m 16.5 s e 12 h 48 m 27.0 s e 12 h 53 m 57.6 s
		B	10920	1.0	eP 12 h 44 m 18.3 s Compr. epP 12 h 46 m 19.0 s ePP 12 h 48 m 29.0 s
		N	—	1.0	eP 12 h 44 m 21.1 s ePP 12 h 48 m 34.0 s [eS 12 h 54 m 53.0 s
					U. S. C. G. S. 0 = 12 h 31 m 41 s 24½° N 142½° E h = 600 km Volcano-Insel
94	„ 30.	Z	—	0.1	ez 17 h 13 m 43.4 s ez 17 h 13 m 48.5 s Dilat.
		B	—	0.1	ez 17 h 13 m 48.4 s
					U. S. C. G. S. 0 = 16 h 54 m 57 s 17° S 178½° W h = 550 km
95	„ 30.	B	—	0.1	ez 23 h 45 m 39.7 s Dilat.
		Z	—	0.1	ez 23 h 45 m 39.2 s Dilat.
					U. S. C. G. S. 0 = 23 h 26 m 50 s 3° S 137° E
96	„ 31.	B	—	0.7	eP 14 h 56 m 22.5 s Dilat. eS 14 h 06 m 28.0 s
					Japan. Stationen 0 = 14 h 44 m 14 s 42.0° N 141½° E Kokkaido
97	Juni 2.	Ch	9210	1.0	eP 00 h 31 m 14.6 s eS 00 h 41 m 30.0 s
		B	9100	1.0	eP 00 h 31 m 14.9 s eS 00 h 41 m 25.0 s
		Z	9100	1.0	eP 00 h 31 m 16.1 s Compr. eS 00 h 41 m 25.8 s e 00 h 41 m 49.9 s
		N	8920	1.0	eP 00 h 31 m 18.8 s eS 00 h 41 m 21.0 s
					U. S. C. G. S. 0 = 00 h 18 m 56 s 51½° N 180°
98	„ 2.	Ch	—	0.1	eP 02 h 14 m 23.4 s
		Z	—	0.1	eP 02 h 14 m 29.0 s
		B	—	0.1	eP 02 h 14 m 29.9 s ez 02 h 15 m 54.0 s
		N	—	0.1	iP 02 h 14 m 31.7 s
					Nur erste Vorläufer! Nachstoß zum vorausgehenden Beben 0 = 02 h 02 m 10 s
99	„ 2.	Z	1980	0 3	eP 23 h 37 m 59.4 s ez 23 h 38 m 06.5 s eS? 23 h 41 m 15.4 s Min'Lücke
		B	—	0.5	eP? 23 h 38 m 05.8 s eL? 23 h 42 m 34.0 s
		N	—	0.7	eP 23 h 38 m 08.5 s eL? 23 h 42 m 42.0 s
					B. I. 0 = 23 h 34 m 28.0 s 39¾° N 26° E
100	„ 4.	Z	—	0.1	eP 17 h 05 m 54.7 s
					Japan. Stationen 0 = 16 h 51 m 21 s 40.2° N 143.0° E h = 40 km
101	„ 5.	Z	8940	0.1	eP? 02 h 05 m 33.8 s Dilat.? eS 02 h 15 m 37.2 s Minutenlücke
		N	—	0.1	eP 02 h 05 m 40.0 s
		B	—	0.5	eP 02 h 05 m 36.7 s
					U. S. C. G. S. 0 = 01 h 53 m 16 s 51½° N 180° E

Tabelle III (Fortsetzung).

Nr.	Datum	Station	Epizentral-entfernung nach P-S	Ungefähre Dauer der Registr.	Phasen, Bemerkungen
	1955		km	Std.	
102	Juni 5.	Z	—	0.5	ePz 06 h 24 m 03.0 s Schwach!
		N	—	—	eL 07 h 00 m 41.6 s
					U. S. C. G. S. 0 = 06 h 11 m 18 s 24½° N 122° E Gespürt in Taipei
103	„ 5.	N	—	0.7	eP 14 h 58 m 57.7 s eL 15 h 02 m 08.0 s eL 15 h 04 m 40.0 s
		B	—	0.7	eP 14 h 59 m 05.5 s e 15 h 02 m 24.0 s
		Z	1390	1.0	eP 14 h 59 m 06.2 s eP 14 h 59 m 09.1 s eS 15 h 01 m 25.8 s
					B. I. 0 = 14 h 56 m 12.0 s 36.4° N 01.6° E Leichte Schäden
					[in Beni Rached und Carnot
104	„ 7.	B	—	0.1	e 00 h 59 m 42.8 s
		Z	—	0.1	ez 01 h 00 m 16.5 s Schwache erste Vorläufer
					U. S. C. G. S. 0 = 00 h 48 m 56 s 27½° N 101° E China, Sikiang
105	„ 9.	Z	—	0.1	ePKP 04 h 25 m 00.0 s Dilat.
		B	—	0.1	ePKP 04 h 25 m 00.1 s
		Ch	—	0.1	ePKP 04 h 25 m 01.1 s Dilat.
					Nur Vorläufer U. S. C. G. S. 0 = 04 h 05 m 20 s 16° S 179° W Fiji-Inseln
106	„ 11.	N	—	0.1	eP 22 h 31 m 58.3 s e 22 h 32 m 12.0 s Dilat.
		B	—	0.7	eP 22 h 32 m 15.4 s Dilat. e 22 h 41 m 58.0 s
		Z	11000	0.3	eP? 22 h 32 m 17.3 s Compr. eP 22 h 32 m 17.6 s Dilat. e 22 h 42 m 01.0 s
		Ch	—	0.1	eP? 22 h 32 m 19.0 s Dilat. [eS 22 h 42 m 54.5 s
					U. S. C. G. S. 0 = 22 h 19 m 40 s 27° S 63° W h = 600 km
107	„ 12.	B	9220	1.5	eP? 20 h 42 m 48.1 s e 20 h 42 m 56.0 s eS 20 h 53 m 04.0 s e 21 h 15 m 00.0 s
		Z	8990	0.3	eP 20 h 42 m 56.0 s eP 20 h 42 m 57.9 s Dilat. eS 20 h 53 m 01.6 s
		Ch	—	1.0	eP 20 h 42 m 58.9 s Dilat.
		N	—	1.0	eP 20 h 43 m 01.6 s
					U. S. C. G. S. 0 = 20 h 30 m 45 s 49° N 155° E
108	„ 13.	Ch	—	—	e 21 h 55 m 50.0 s Dilat. Sehr schwach
		Z	—	—	ez 21 h 55 m 50.7 s Compr. Nur Vorläufer
					U. S. C. G. S. 0 = 21 h 36 m 06 s 21½° S 170½° E h = 100 km
109	„ 14.	N	—	1.0	eP 06 h 24 m 32.9 s
		Z	10900	1.0	eP? 06 h 24 m 34.2 s Schwach e 06 h 35 m 18.9 s eS 06 h 35 m 47.1 s
		B	10440	1.0	eP 06 h 24 m 38.0 s eS 06 h 35 m 43.0 s eL 06 h 50 m 00.0 s
		Ch	—	0.8	eP 06 h 24 m 41.0 s Min'Lücke Spuren von L-Wellen
					U. S. C. G. S. 0 = 06 h 11 m 18 s 20° N 107° W Küste von Colima, Mexiko
110	„ 14.	Z	—	—	eP? 17 h 34 m 50.0 s Schwach eL 18 h 18 m 47.0 s
					Japan. Stationen 0 = 17 h 21 m 57 s 36.3° N 142.1° E
111	„ 15.	Z	—	0.7	ePKP 03 h 20 m 57.4 s Nur erste Vorläufer, schwach!
					U. S. C. G. S. 0 = 03 h 01 m 05 s 21° S 169° E Loyalty-Inseln
112	„ 17.	Z	9890	1.0	ePz 08 h 19 m 25.6 s eS 08 h 30 m 09.9 s
		B	—	1.0	eP 08 h 19 m 28.5 s eL 08 h 58 m 00.0 s
					U. S. C. G. S. 0 = 08 h 06 m 31 s 22° N 122° E Formosa, verspürt in
					[Hsulien und Taitung
113	„ 19.	Z	—	0.1	eP 21 h 37 m 30.7 s Schwach
		B	—	0.1	eP 21 h 37 m 31.1 s
					U. S. C. G. S. 0 = 21 h 25 m 21 s 53½° N 166° W
114	„ 20.	Z	9020	1.0	eP 12 h 19 m 43.8 s Schwach eP 12 h 19 m 45.8 s ez 12 h 20 m 44.9 s
					[ePP 12 h 22 m 50.4 s eS 12 h 29 m 49.7 s e 12 h 30 m 52.4 s
		B	—	0.7	eP 12 h 19 m 46.0 s Dilat. e 12 h 29 m 00.0 s eL 12 h 48 m 00.0 s
		Ch	9140	1.0	eP 12 h 19 m 46.5 s eS 12 h 29 m 58.5 s
		N	9100	1.0	eP 12 h 19 m 49.1 s eS 12 h 29 m 59.0 s
					U. S. C. G. S. 0 = 12 h 07 m 25 s 51½° N 180°
115	„ 21.	Z	—	0.1	eP 11 h 03 m 01.4 s Nur erste Vorläufer!
		Ch	—	—	eP 11 h 03 m 05.7 s Dilat.
		N	—	0.1	eP 11 h 03 m 07.7 s
					U. S. C. G. S. 0 = 10 h 51 m 00 s 52° N 161½° E
116	„ 23.	Z	—	0.2	eP 22 h 25 m 48.5 s Compr. Nur erste Vorläufer!
		Ch	—	0.1	iP 22 h 25 m 49.6 s Compr.
		B	—	0.2	eP 22 h 25 m 50.2 s Compr. e 22 h 29 m 22.0 s
					U. S. C. G. S. 0 = 22 h 13 m 31.0 s 44.5° N 149° E h = 60 km Kurilen
117	„ 27.	Z	6040?	1.0	eP? 10 h 23 m 33.7 s Schwach! e 10 h 23 m 38.6 s eS 10 h 31 m 08.9 s Min'Lücke
		B	—	0.7	eP 10 h 23 m 40.1 s eP 10 h 27 m 25.0 s eL 10 h 37 m 00.0 s
		N	—	0.7	eP 10 h 23 m 41.6 s
					U. S. C. G. S. 0 = 10 h 14 m 06 s 32° N 78½° E

Tabelle III (Fortsetzung).

Nr.	Datum	Station	Epizentral-entfernung nach S–P	Ungefähre Dauer der Registr.	Phasen, Bemerkungen
	1955		km	Std.	
118	Juni 28.	B	—	0.7	eP 04 h 35 m 51.4 s
		N	—	0.7	eP 04 h 35 m 58.4 s e 04 h 42 m 19.0 s
		Z	—	—	Gestörte Registrierung
					U. S. C. G. S. 0 = 04 h 28 m 07 s 86½° N 70° E
119	Juli 3.	N	9300	0.7	eP 14 h 38 m 45.7 s eS 14 h 49 m 05.0 s
		Z	9010	0.3	eP 14 h 38 m 48.2 s Dilat. eS 14 h 48 m 54.4 s e 14 h 49 m 46.0 s
		Ch	9110	0.3	eP 14 h 38 m 50.6 s eS 14 h 49 m 02.0 s Spuren
		B	—	0.7	eP? 14 h 38 m 55.1 s Min'Lücke e 14 h 43 m 44.0 s eS? 14 h 49 m 06.0 s
					U. S. C. G. S. 0 = 14 h 26 m 32 s 52° N 178° E Ratten-Inseln
120	„ 4.	Z	9150	1.0	eP 14 h 32 m 01.5 s Compr. iz 14 h 32 m 12.0 s epP 14 h 32 m 17.4 s
					[ePP 14 h 35 m 01.5 s eS 14 h 42 m 13.9 s
		B	9020	0.7	eP 14 h 32 m 02.9 s eS 14 h 42 m 10.0 s
		Ch	—	1.0	eP 14 h 32 m 05.8 s Dilat.
		N	9030	1.0	iP 14 h 32 m 06.2 s eP 14 h 42 m 14.0 s
					U. S. C. G. S. 0 = 14 h 19 m 44 s 51° N 177° E
121	„ 6.	Z	8660	1.0	iP 02 h 06 m 18.7 s e 02 h 06 m 37.9 s eS 02 h 16 m 08.3 s
		B	8080	—	eP 02 h 06 m 19.2 s eS? 02 h 15 m 42.0 s
		Ch	—	0.7	eP 02 h 06 m 19.7 s eL 02 h 38 m Spuren
		N	8770	1.0	iP 02 h 06 m 22.3 s eS 02 h 16 m 18.0 s
					U. S. C. G. S. 0 =01 h 54 m 17 s 51° N 158° E
122	„ 6.	B	—	0.5	eP 10 h 42 m 40.3 s ez 10 h 49 m 42.0 s
					U. S. C. G. S. 0 = 10 h 29 m 40 s 54½° N 162½° W
					Nahe der Südküste von Alaska
123	„ 6.	Z	—	0.1	ePKP 15 h 19 m 10.7 s Schwach e 15 h 19 m 40.7 s Compr.
		B	—	0.2	ePKP 15 h 19 m 42.0 s
		N	—	0.2	ePKP 15 h 19 m 44.1 s
					Nur Vorläufer U. S. C. G. S. 0 = 14 h 59 m 21 s 24.5° S 177° W
124	„ 8.	B	—	0.1	ePKP 18 h 39 m 42.5 s
					U. S. C. G. S. 0 = 18 h 20 m 11 s 21° S 179½° W h = 600 km
125	„ 8.	N	—	0.2	ePKP 18 h 57 m 59.3 s
		Z	—	0.2	ePKP 18 h 58 m 05.4 s Dilat. e 18 h 58 m 21.3 s
		B	—	0.2	ePKP 18 h 58 m 07.3 s e 18 h 58 m 10.0 s e 19 h 01 m 06.0 s
					U. S. C. G. S. 0 = 18 h 39 m 11 s 20½° S 179½° W h = 600 km
					[Fiji-Inseln, verspürt in Nukalofa
126	„ 8.	Z	—	0.1	ez 19 h 19 m 56.2 s Schwach
		N	—	0.1	e 19 h 20 m 18.8 s
					Nur Vorläufer, schwach! U. S. C. G. S. 0 = 19 h 03 m 09 s
					[5° S 110° E h = 600 km
127	„ 9.	Ch	1190	0.2	eP 23 h 56 m 22.3 s eS? 23 h 58 m 21.5 s
		Z	1110	0.2	eP 23 h 56 m 32.9 s eS 23 h 58 m 25.0 s
		N	—	0.7	eP 23 h 56 m 43.9 s e 00 h 00 m 07.0 s e 00 h 59 m 18.0 s
		B	—	0.2	eP 23 h 56 m 43.9 s e 23 h 57 m 11.0 s eS 23 h 59 m 19.0 s
					B. I. 0 = 23 h 53 m 42.0 s 40.9° N 22.1° E Leichtes Schadenbeben
					[in Mazedonien
128	„ 10.	Z	—	0.2	eP 04 h 20 m 56.1 s e 04 h 22 m 11.6 s
		B	—	0.2	e 04 h 23 m 07.0 s
		N	—	0.2	e 04 h 23 m 24.4 s e 04 h 25 m 04.0 s
					Nachstoß in Mazedonien
129	„ 11.	N	—	0.7	iP 20 h 30 m 27.7 s e 20 h 36 m 30.0 s
		B	—	0.7	eP 20 h 30 m 32.8 s Compr. e 20 h 33 m 44.0 s eL 20 h 99 m 00.0 s
		Z	5840	0.7	eP 20 h 30 m 33.2 s Compr. ez 20 h 30 m 35.7 s eS 20 h 37 m 56.4 s
					U. S. C. G. S. 0 = 20 h 21 m 22 s 1° S 13½° W
130	„ 12.	B	—	0.1	e 18 h 17 m 08.8 s U. S. C. G. S. 0 = 17 h 57 m 18.0 s 14.5° S 173° W
131	„ 12.	Z	—	0.2	ez 22 h 27 m 47.3 s Schwach
132	„ 14.	Ch	—	0.1	eP 10 h 03 m 49.6 s
		Z	8970	0.3	eP 10 h 03 m 54.6 s Compr. e 10 h 04 m 31.7 s eS 10 h 13 m 58.6 s
		N	9080	1.0	eP 10 h 03 m 59.3 s eS 10 h 14 m 09.0 s
					U. S. C. G. S. 0 = 09 h 51 m 37. s 8½° N 94° E
133	„ 16.	Ch	2060	0.7	iP 07 h 10 m 51.6 s Compr. iS 07 h 14 m 14.3 s
		Z	2000	0.5	eP 07 h 11 m 09.4 s Dilat. ez 07 h 11 m 10.1 s eS 07 h 14 m 26.5 s
		B	2060	1.0	eP 07 h 11 m 18.2 s Dilat. 07 h 14 m 41.0 s
		N	2060	0.7	iP 07 h 11 m 19.4 s e 07 h 13 m 32.0 s eS 07 h 14 m 42.0 s eL 07 h 17 m 25.0 s
					B. I. 0 = 07 h 07 m 05.0 s 37° N 27½° E Schadenbeben
					[auf einigen Inseln im Ägäischen Meer

Tabelle III (Fortsetzung)

Nr.	Datum	Station	Epizentral-entfernung nach S–P	Ungefähre Dauer der Registr.	Phasen, Bemerkungen
	1955		km	Std.	
134	Juli 18.	Z	—	0.1	ePKP 01 h 14 m 21.1 s Compr. Nur Vorläufer
		B	—	0.1	ePKP 01 h 14 m 22.1 s e 01 h 16 m 05.0 s
					U. S. C. G. S. 0 = 00 h 54 m 37 s 18° S 170° E
135	„ 18.	Z	16000	0.2	ePKP 11 h 49 m 11.2 s Compr. ez 11 h 49 m 13.6 s ePP 11 h 52 m 36.4 s
					Nur Vorläufer
		Ch	16000	0.1	ePKP 11 h 49 m 12.4 s Spuren iPKP 11 h 49 m 13.5 s e 12 h 49 m 19.8 s
					[Dilat. ePP 11 h 52 m 37.6 s
		N	—	0.1	ePKP 11 h 49 m 16.5 s e 11 h 50 m 16.0 s ePP? 11 h 52 m 58.0 s
		B	—	0.1	ePKP 11 h 49 m 14.4 s Dilat. e 11 h 49 m 21.0 s
					U. S. C. G. S. 0 = 11 h 29 m 58 s 13½° S 167° E h = 150 km
136	„ 19.	N	—	0.1	eP? 08 h 55 m 07.1 s e 08 h 57 m 28.0 s
		Z	—	0.3	eP? 08 h 55 m 25.7 s Schwach
		B	—	0.1	e 08 h 57 m 29.5 s
					U. S. C. G. S. 0 = 08 h 47 m 36.0 s 40° N 68° E
137	„ 20.	Z	8430	0.2	ePz 00 h 04 m 08.6 s eS? 00 h 13 m 48.1 s
		N	—	0.5	eP 00 h 04 m 12.3 s U.S.C.G.S. (19.) 0 = 23 h 52 m 25.0 s 56.5° N 153° W
138	„ 23.	B	—	0.1	e 13 h 08 m 23.4 s U. S. C. G. S. 0 = 12 h 48 m 28.0 s 7° S 128.5° E
139	„ 24.	Z	—	0.1	ePKP 01 h 24 m 38.2 s ez 01 h 24 m 46.1 s
		N	—	0.1	ePKP 01 h 24 m 47.5 s
		B	—	0.1	ePKP 01 h 24 m 49.2 s
					U. S. C. G. S. 0 = 01 h 04 m 56 s 14° S 175° W
140	„ 24.	B	—	0.5	eP 11 h 14 m 52.1 s eS 11 h 25 m 27.0 s
					Japan. Stationen 0 = 11 h 02 m 11 s 35.7° N 140.7° E h = 80 km
141	„ 24.	Ch	—	0.1	eP 16 h 32 m 51.5 s Compr.
		Z	—	0.1	eP 16 h 32 m 52.8 s Compr.
		B	9780	1.5	eP 16 h 32 m 54.3 s Compr. eS 16 h 43 m 35.0 s eL 17 h 15 m 00.0 s
		N	—	0.1	eP 16 h 32 m 58.0 s Nur erste Vorläufer registriert
					U. S. C. G. S. 0 = 16 h 20 m 03 s 24° N 122° E
142	„ 26.	B	—	0.1	eP 04 h 16 m 04.8 s U. S. C. G. S. 0 = 04 h 04 m 18 s 56½° N 153° W
143	„ 27.	Ch	—	1.0	eP? 01 h 33 m 21.0 s Spuren
		B	9650	0.7	eP 01 h 33 m 32.0 s eS? 01 h 44 m 07.0 s eL 02 h 08 m 0 s
		Z	9340	1.0	eP 01 h 33 m 32.3 s Schwach eS? 01 h 43 m 53.4 s
		N	—	0.7	eL 02 h 08 m 40.3 s
					Japan. Stationen 0 = 01 h 20 m 49 s 33.75° N 134.3° E
144	„ 27.	B	8480	0.7	eP 18 h 30 m 55.4 s eS 18 h 40 m 37.0 s
		N	8590	1.0	eP 18 h 30 m 57.0 s eS 18 h 40 m 44.0 s
		Z	8500	1.0	eP 18 h 30 m 57.1 s eS 18 h 40 m 39.9 s
					U. S. C. G. S. 0 = 18 h 19 m 08 s 56½° N 153° W
145	„ 29.	Z	—	0.1	eP 22 h 05 m 15.2 s
		N	—	0.1	eP 22 h 05 m 24.8 s Nur erste Vorläufer, schwach
					U. S. C. G. S. 0 = 21 h 53 m 13 s 51½° N 158° E
146	Aug. 2.	Ch	—	0.1	eP 07 h 02 m 26.4 s Compr.
		Z	8600	0.2	eP 07 h 02 m 29.0 s eS 07 h 12 m 16.6 s
					U. S. C. G. S. 0 = 06 h 50 m 16 s Im Nicobaren-Gebiet
147	„ 6.	Ch	16500–17000	0.3	ePKP 08 h 50 m 29.3 s Compr. eSKKS 09 h 00 m 47.0 s
		Z	16500–17000	0.3	ePKP 08 h 50 m 39.3 s Compr. i 08 h 50 m 47.3 s Compr. epPKP08 h 52 m 05.3 s
					[eSKKS 09 h 00 m 48.2 s
		N	16500–17000	0.7	ePKP 08 h 50 m 39.6 s Compr. eSKKS 09 h 00 m 54.0 s
		B	—	0.7	ePKP 08 h 50 m 39.6 s Compr. epPKP 08 h 52 m 10.0 s eSKKS 08 h 00 m 52.0 s
					U. S. C. G. S. 0 = 08 h 31 m 25 s 21½° S 177½° W h = 350 km
148	„ 16.	Ch	—	0.7	ePKP 12 h 05 m 48.6 s epPP? 12 h 09 m 22.1 s
		Z	—	0.3	ePKP 12 h 05 m 51.9 s Compr. iz 12 h 05 m 56.9 s ePP 12 h 08 m 08.0 s
					[epPP 12 h 08 m 57.4 s Min'Lücke
		N	—	0.7	ePKP 12 h 05 m 52.1 s Min'Lücke epPP 12 h 09 m 04.0 s
		B	—	0.7	ePKP 12 h 05 m 52.5 s ePP 12 h 08 m 13.0 s epPP 12 h 09 m 03.0 s
					U. S. C. G. S. 0 = 11 h 46 m 58 s 6° S 155° E h = 200 km
149	„ 21.	Z	—	1.5	ePKP 17 h 52 m 49.7 s e 17 h 54 m 15.1 s
		N	—	1.0	ePKP 17 h 52 m 55.5 s
		B	—	1.0	ePP? 17 h 53 m 56.0 s eL 18 h 33 m 00.0 s
					U. S. C. G. S. 0 = 17 h 33 m 58 s 3° S 137½° E

Tabelle III (Fortsetzung)

Nr.	Datum	Station	Epizentral-entfernung nach S–P	Ungefähre Dauer der Registr.	Phasen, Bemerkungen
	1955		km	Std.	
150	Aug. 23.	N	—	0.2	eP 15 h 44 m 59.4 s
		Z	—	0.1	eP 15 h 45 m 01.1 s ez 15 h 45 m 07.0 s
		B	—	0 1	eP 15 h 45 m 06.3 s
					U. S. C. G. S. 0 = 15 h 32 m 40 s 43½° N 128° W
151	„ 25.	B	—	0.2	eP 22 h 24 m 56.0 s
		Z	—	0.1	eP 22 h 24 m 56.2 s Compr., nur erste Vorläufer
		N	—	0.1	eP 22 h 24 m 56.2 s
					U. S. C. G. S. 0 = 22 h 12 m 43 s 52° N 176° E h = 60 km
152	„ 27.	Z	—	0.1	ez 07 h 08 m 05.3 s Nur erste Vorläufer, schwach!
		B	—	0.1	ez 07 h 08 m 06.5 s
					U. S. C. G. S. 0 = 06 h 48 m 45 s 15° S 168° E h = 150 km
153	„ 28.	Z	1890	0.3	eP 13 h 43 m 21.3 s eS 13 h 46 m 28.2 s
		B	—	0.7	eP 13 h 43 m 27.6 s e 13 h 47 m 13.0 s eL 13 h 49 m 00.0 s
		N	—	0.7	iP 13 h 43 m 29.3 s e 13 h 47 m 07.0 s
					B. I. 0 = 13 h 39 m 12 s 36½° N 27½° E
154	„ 28.	N	—	1.0	iP 20 h 26 m 05.0 s ePP 20 h 29 m 30.0 s
		Z	9440	1.0	eP 20 h 26 m 09.5 s ePP 20 h 29 m 49.5 s eS 20 h 36 m 34.4 s
		B	—	1.0	eP 20 h 26 m 09.6 s e 20 h 27 m 36.0 s ePP 20 h 29 m 46.0 s eL 20 h 42 m 00.0 s
					U. S. C. G. S. 0 = 20 h 13 m 30 s 14° N 91° W h = 60 km
					[Verspürt in Guatemala City
155	Sept. 1.	Z	—	0.1	ez 22 h 51 m 21.5 s Schwach ez 22 h 51 m 26.2 s
		B	—	0.1	e? 22 h 51 m 25.7 s Schwache Registrierung!
					U. S. C. G. S. 0 = 22 h 40 m 15 s 52½° N 153° E h = 400 km
156	„ 3.	Z	9800?	1.0	eP? 12 h 48 m 47.4 s eS? 12 h 59 m 33.4 s
		N	—	1.0	e 12 h 49 m 07.8 s e 12 h 52 m 17.0 s e 13 h 00 m 03.0 s
		B	—	1.0	e 12 h 49 m 13.7 s e 12 h 55 m 24.0 s
					U. S. C. G. S. 0 = 12 h 36 m 20 s 14° N 91° W h = 100 km
					[In Guatemala verspürt
157	„ 3.	Z	12000	0.2	ePP? 16 h 41 m 14.5 s eSKS 16 h 47 m 10.7 s
		N	11900	0.7	ePP? 16 h 41 m 16.9 s eSKS 16 h 47 m 17.0 s
		B	—	0.5	ePP 16 h 41 m 38.7 s eSKS 16 h 47 m 02.0 s
					U. S. C. G. S. 0 = 16 h 22 m 52 s 1° N 123° E
158	„ 4.	Z	—	0.2	ePz 19 h 21 m 54.0 s
		B	—	0.2	ePz 19 h 21 m 54.4 s Nur erste Vorläufer
					Japan. Stationen 0 = 19 h 09 m 36 s 42.6° N 144.9° E h = 40 km M (C)
159	„ 4.	Z	—	0.1	ePz 22 h 21 m 39.7 s Nur erste Vorläufer
		B	—	0.2	ePz 22 h 21 m 43.7 s
					U. S. C. G. S. 0 = 22 h 12 m 45 s 1½° N 31° E
160	„ 7.	Z	—	0.3	ePz 03 h 30 m 42.4 s Nur erste Vorläufer e 03 h 40 m 54.1 s
		B	—	0.1	ePz 03 h 30 m 47.8 s
		N	—	0.1	ePz 03 h 30 m 48.0 s
					U. S. C. G. S. 0 = 03 h 19 m 21 s 2° S 68° E
161	„ 8.	B	—	0.5	e 02 h 31 m
		N	—	0.5	e 02 h 57 m 05.7 s
162	„ 8.	Z	16000	0.2	ePKPz 03 h 46 m 29.3 s ez 03 h 46 m 36.6 s ePP 03 h 49 m 44.8 s
		B	16100	0.7	ePKP 03 h 46 m 30.9 s ez 03 h 48 m 49.0 s ePP 03 h 49 m 51.0 s
		N	16200	0.5	ePKP 03 h 46 m 31.4 s ePP 03 h 49 m 56.6 s
					U. S. C. G. S. 0 = 03 h 27 m 14 s 7° S 155½° E
163	„ 9.	B	—	—	eP 09 h 55 m 29.0 s
		Z	—	—	e 09 h 55 m 39.0 s Registrierung gestört!
					U. S. C. G. S. 0 = 09 h 41 m 57 s 2° S 100° E
164	„ 12.	Z	2410	0.7	iP 06 h 14 m 17.6 s Dilat. eS 06 h 18 m 11.6 s
		B	2500	0.7	iP 06 h 14 m 24.2 s Dilat. e 06 h 14 m 26.0 s eS 06 h 18 m 27.0 s
		N	2490	0.7	iP 06 h 14 m 24.4 s e 06 h 14 m 43.0 s i 06 h 15 m 33.0 s eS 06 h 18 m 26.4 s
		Ch	—	—	Keine Minutenlücke
					B. I. 0 = 06 h 29 m 29.0 s 32.9° N 29.8° E h = 40—60 km
					Gespürt in Unterägypten und auf Cypern
165	„ 13.	Z	—	0.1	ePz 02 h 12 m 57.2 s Schwach
		B	—	0.1	eP 02 h 13 m 29.5 s Nur erste Vorläufer
					U. S. C. G. S. 0 = 02 h 00 m 43 s 52° N 176° W h = 60 km

Tabelle III (Fortsetzung)

Nr.	Datum	Station	Epizentral-entfernung nach S–P	Ungefähre Dauer der Registr.	Phasen, Bemerkungen
	1955		km	Std	
166	Sept. 17.	Z	—	0.1	ePKP 12 h 15 m 07.5 s iPKP 12 h 15 m 11.1 s Compr. ez 12 h 17 m 51.2 s Compr.
		B	—	0 1	ePKP 12 h 15 m 11.6 s Dilat. e 12 h 19 m 19.0 s
		N	—	0.2	ePKP 12 h 15 m 12.5 s
					Nur Vorläufer U. S. C. G. S. 0 = 11 h 55 m 28 s 17½° S 168° E
167	„ 17.	B	—	0.2	eP 18 h 36 m 18.5 s Compr.
		Z	—	0.1	eP 18 h 36 m 18.5 s Compr., nur Vorläufer
					U. S. C. G. S. 0 = 18 h 16 m 35 s 17½° S 168½° E
168	„ 20.	N	—	0.2	ePKP 13 h 40 m 28.5 s e 13 h 41 m 24.0 s
		Z	—	0.2	ePKP 13 h 41 m 16.8 s Nur Vorläufer
		Ch	—	—	ePKP 13 h 41 m 17.5 s
		B	—	0.7	ePKP 13 h 41 m 42.5 s e 13 h 51 m 44.0 s
					U. S. C. G. S. 0 = 13 h 20 m 19 s 32° S 178° W
169	„ 21.	Ch	—	0.2	ePKP 06 h 59 m 20.1 s i 06 h 59 m 21.6 s
		B	—	0.2	ePKP 06 h 59 m 20.7 s Dilat. e 06 h 59 m 22.0 s
		Z	—	0.2	ePKP 06 h 59 m 22.2 s Compr. e 06 h 59 m 35.1 s
		N	—	0.5	ePKP 06 h 59 m 24.4 s e 07 h 02 m 06.0 s
					Nur Vorläufer U. S. C. G. S. 0 = 06 h 39 m 38 s 17½° S 169° E
170	„ 21.	B	—	0.7	ePz 07 h 22 m 29.9 s e 07 h 22 m 42.0 s
		Z	—	0.1	ePz 07 h 22 m 32.9 s e 07 h 22 m 38.6 s
					U. S. C. G. S. 0 = 07 h 11 m 52 s 14° S 14½° W
171	„ 22.	Ch	—	—	eP 03 h 37 m 51.5 s eS 03 h 48 m 15.7 s eL 04 h 11 m
		Z	9770	1 0	eP 03 h 37 m 52.8 s ePP 03 h 41 m 19.4 s eS 03 h 48 m 31.8 s
		B	9780	1 0	eP 03 h 37 m 55.6 s eL 03 h 48 m 36.0 s eL 04 h 12 m
		N	—	1.0	eP 03 h 37 m 59.2 s
					U. S. C. G. S. 0 = 03 h 25 m 03 s 24° N 123° E Verspürt in Taipeh
172	„ 23.	Ch	—	—	eP 15 h 17 m 47.0 s Compr. eS 15 h 27 m 12.0 s eL 15 h 44 m
		B	8060	1.0	eP 15 h 17 m 52.6 s e 15 h 20 m 11.0 s eS 15 h 27 m 14.0 s eL 15 h 36 m
		N	8140	1.0	eP 15 h 17 m 57.4 s eS 15 h 27 m 23.0 s
					Zürich gestört, durch Konstantenbestimmung
					U. S. C. G. S. 0 = 15 h 06 m 19 s 27°N 101½° E Yunnan-Provinz, China
173	„ 23.	B	—	0.1	eP 19 h 37 m 08.8 s Compr.
		Z	—	0.1	ePKP 19 h 37 m 09.4 s Compr. Nur schwache Vorläufer
					U. S. C. G. S. 0 = 19 h 17 m 29.0 s
174	„ 24.	Z	—	0.1	ePKP 02 h 21 m 39.9 s Schwach e 02 h 22 m 20.1 s
					U. S. C. G. S. 0 = 02 h 00 m 45 s 32° S 178° W Kermadec
175	„ 24.	Z	—	1 0	eP 10 h 34 m 18.3 s eS 10 h 45 m 05.8 s
		B	—	1.0	eP 10 h 34 m 23.7 s e 10 h 44 m 39.0 s eS 10 h 45 m 11.0 s eL 11 h 00 m
		N	—	0.7	eS 10 h 45 m 16.3 s
					U. S. C. G. S. 0 = 10 h 21 m 29 s 22° W 122° E Gebiet von Formosa
176	„ 25.	Z	12000	0.5	eP 19 h 13 m 23.1 s Schwach eSKS 19 h 23 m 59.2 s
		Ch	—	0 5	ePKP 19 h 13 m 26.7 s eSKS 19 h 23 m 57.6 s
		B	—	0.7	ePP 19 h 17 m 43.8 s eSKS 19 h 24 m 04.0 s
		N	—	0.1	eSKS 19 h 24 m 04.3 s e 19 h 25 m 18.0 s
					U. S. C. G. S. 0 = 18 h 59 m 22 s 6° N 127½° E h = 100 km
					[Verspürt in Mindanao
177	„ 26.	N	—	0.7	iP 08 h 40 m 39.6 s ePP 08 h 44 m 01.0 s
		B	—	1.0	iP 08 h 40 m 42.8 s Compr. e 08 h 52 m 31.0 s eL 09 h 02 m
		Z	9430	0.3	eP 08 h 40 m 44.9 s iP 08 h 40 m 47.9 s epP 08 h 41 m 37.3 s
					[ePP 08 h 44 m 06.7 s eS 08 h 50 m 47.0 s eL 08 h 52 m 30.7 s
		Ch	—	—	ePz 08 h 40 m 48.6 s ePP 08 h 44 m 14.5 s
					U. S. C. G. S. 0 = 08 h 28 m 20 s 15½° N 92½° W h = 200 km
178	„ 29.	Z	—	0.1	ePz 20 h 10 m 41.3 s Dilat.
		B	—	0.5	eP 20 h 10 m 43.3 s Nur Vorläufer
					Japan. Stationen 0 = 19 h 58 m 25 s 40.1° N 141.3° E h = 90—100 km
179	Okt. 5.	Z	—	0.1	ePz 09 h 09 m 47.4 s Nur erste Vorläufer
		B	—	0.1	ePz 09 h 09 m 47.8 s Compr.
		N	—	0.1	P? 09 h 09 m 51.8 s Min'Lücke
					Schwache Registrierung U. S. C. G. S. 0 = 08 h 57 m 55 s 53½° N 161° E
180	„ 9.	Z	—	0.1	ePz 23 h 25 m 59.1 s Nur erste Vorläufer
		B	—	0.1	ePz 23 h 25 m 59.3 s

Tabelle III (Schluß)

Nr.	Datum	Station	Epizentral-entfernung nach S–P	Ungefähre Dauer der Registr.	Phasen, Bemerkungen
	1955		km	Std.	
181	Okt. 10.	Ch	—	1.0	ePKP 09 h 16 m 48.3 s Spuren eL 10 h 00 m 20.0 s
		Z	—	1 0	ePKP 09 h 16 m 54.6 s Compr. ePKP 09 h 16 m 56.0 s Dilat.
		B	—	1.0	ePKP 09 h 16 m 57.3 s ePP? 09 h 19 m 04.0 s ePS 09 h 28 m 40.0 s
		N	—	1.0	ePKP 09 h 16 m 57.3 s [eL 09 h 40 m 00.0 s
					U. S. C. G. S. 0 = 08 h 57 m 44 s 5° S 153° E
182	„ 13.	N	—	0.7	ePKP 09 h 46 m 00.7 s e 09 h 49 m 41.0 s
		Z	—	0.2	ePKP 09 h 46 m 01.8 s ePP 09 h 48 m 45.3 s
		Ch	—	0.5	eP 09 h 46 m 05.1 s e 09 h 49 m 36.8 s
		B	14000	1.0	eP? 09 h 46 m 18.8 s iPP 09 h 48 m 45.0 s eSKS 09 h 53 m 38.0 s
					U. S. C. G. S. 0 = 09 h 26 m 44 s 9½° S 161° E
183	„ 19.	Ch	—	—	ePz 10 h 06 m 43?
		Z	—	1.0	ePz 10 h 06 m 53.7 s Compr. e 10 h 07 m 09.3 s eS? 10 h 16 m 45.0 s
					[Keine L-Wellen
		B	8800	0.7	eP 10 h 06 m 54.1 s Compr. i 10 h 06 m 56.0 s e 10 h 07 m 43.0 s
		N	—	1.0	eP 10 h 06 m 58.0 s Nur erste Vorläufer [eS 10 h 16 m 55.0 s
					U. S. C. G. S. 0 = 09 h 54 m 43 s 49½° N 155° E
184	„ 21.	Ch	—	0.3	iP 04 h 44 m 37.1 s eS 04 h 54 m 52.2 s
		Z	—	0.3	eP 04 h 44 m 39.8 s eS 04 h 55 m 03.8 s
		B	—	0.1	eP 04 h 44 m 43.2 s
					U. S. C. G. S. 0 = 04 h 32 m 03 s 4° N 95° E
185	„ 21.	B	17000	0.5	ePKP 19 h 21 m 21.1 s Dilat. iPKP 19 h 21 m 30.0 s e 19 h 21 m 45.0 s
					[epPKP 19 h 23 m 52.0 s e 19 h 24 m 45.0 s
		Z	17000	0.5	ePKP 19 h 21 m 21.3 s Dilat. ePKP 19 h 21 m 30.9 s ez 19 h 21 m 42.4 s
					[epPKP 19 h 23 m 51.9 s Nur Vorläufer
		Ch	—	0.5	ePKP 19 h 21 m 22.0 s Dilat. iPKP 19 h 21 m 30.2 s Dilat. epPKP 19 h 23 m 51.9 s
		N	—	0.1	ePKP 19 h 21 m 22.6 s epPKP 19 h 23 m 53.0 s
					U. S. C. G. S. 0 = 19 h 02 m 40 s 21° S 179° W
186	„ 30.	Z	—	1.0	eP 19 h 39 m 29.8 s eL 20 h 39 m 36.4 s
		B	—	0.1	eP 19 h 39 m 36.2 s e 19 h 39 m 51.0 s
					U. S. C. G. S. 0 = 19 h 20 m 50 s 19° S 180° W h = 650 km Fiji-Inseln
187	Nov. 10.	Z	—	0.7	ePKP 02 h 03 m 40.3 s iPKP 02 h 03 m 46.2 s
		B	—	0.5	ePKP 02 h 03 m 41.9 s ePKP 02 h 03 m 46.0 s ePKP 02 h 04 m 45.0 s
		N	—	0.7	ePKP 02 h 03 m 59.2 s Nur erste Vorläufer
					U. S. C. G. S. 0 = 01 h 44 m 04 s 15° S 174° W h = 100 km Samoa-Inseln
188	„ 12.	Ch	—	0.2	eP 05 h 38 m 24.1 s ePP 05 h 38 m 42.4 s ePPP 05 h 39 m 01.0 s
		Z		0.2	eP 05 h 38 m 30.6 s ePP 05 h 39 m 59.9 s ePPP 05 h 40 m 15.1 s
		N	3500	0.5	eP 05 h 38 m 33.0 s eSS 05 h 45 m 14.0 s [eSS 05 h 44 m 53.2 s
		B	3500	0.2	eP 05 h 38 m 33.0 s eSS 05 h 45 m 17.0 s
					U. S. C. G. S. 0 = 05 h 32 m 14 s 25½° N 34½° E Nördl. Rotes Meer,
189	„ 12.	B	—	0.1	ePKP 16 h 05 m 17.3 s [verspürt in Kairo
		N	—	0.1	ePKP 16 h 05 m 19.5 s
190	„ 14.	Z	—	0.1	ePKP 03 h 28 m 20.5 s e 03 h 28 m 36.0 s pPKP 03 h 29 m 05.1 s
		N	—	0.1	ePKP 03 h 28 m 21.7 s Nur erste Vorläufer
					U. S. C. G. S. 0 = 03 h 09 m 10 s 14° S 167° E h = 200 km
191	„ 15.	B	—	0.1	eP 10 h 18 m 41.8 s e 10 h 18 m 51.0 s
		Z	—	0.1	eP 10 h 18 m 42.7 s e 10 h 18 m 52.1 s
		N	—	0.1	eP 10 h 18 m 44.3 s Nur erste Vorläufer
					U. S. C. G. S. 0 = 10 h 06 m 49 s 55½° N 155° W
192	„ 19.	B	—	0.1	ePKP 08 h 45 m 14.3 s e 08 h 56 m 49.0 s
		Z	—	0.1	ePKP 08 h 45 m 16.6 s e 08 h 45 m 45.5 s
		Ch	—	0.1	eP 08 h 46 m 13.5 s e 08 h 46 m 16.6 s e 08 h 46 m 19.9 s
					U. S. C. G. S. 0 = 08 h 25 m 32 s 17½° S 168° E
193	„ 23.	B	—	1.5	eP 06 h 41 m 29.5 s e 06 h 41 m 36.0 s eS 06 h 49 m 49.0 s
		Z	—	1.5	eP 06 h 41 m 30.1 s eS 06 h 51 m 23.3 s
		N	—	1.5	eP 06 h 41 m 33.4 s S 06 h 51 m 33.0 s
					U. S. C. G. S. 0 = 06 h 29 m 29 s 50½° N 157° E h = 60 km
194	Dez. 7.	Ch	—	—	eP 15 h 16 m 37.3 s e 15 h 16 m 51.3 s e 15 h 16 m 56.5 s
		B	—	1.5	eP 15 h 16 m 41.4 s
		Z	—	1.5	eP 15 h 16 m 42.3 s e 15 h 17 m 07.4 s ePP 15 h 20 m 31.5 s
		N	—	1.5	eP 15 h 16 m 44.7 s ePP 15 h 20 m 40.0 s
					U. S. C. G. S. 0 = 15 h 03 m 11 s 26½° N 142½° E Bonin-Inseln
195	„ 27.	B	—	0.1	eP 02 h 47 m 40.3 s
					U. S. C. G. S. 0 = 02 h 27 m 54 s 26° S 177° W h = 200 km

In der Schweiz im Jahre 1955 verspürte Erdbeben.

M.E. Zeit.

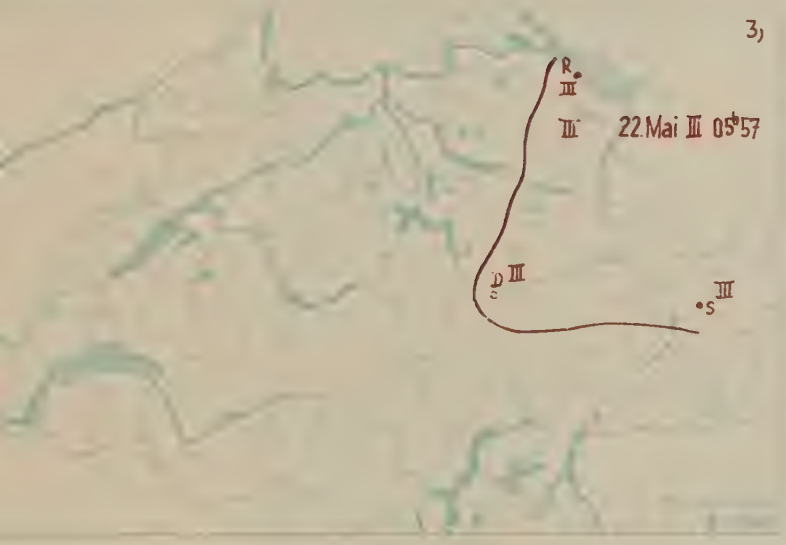

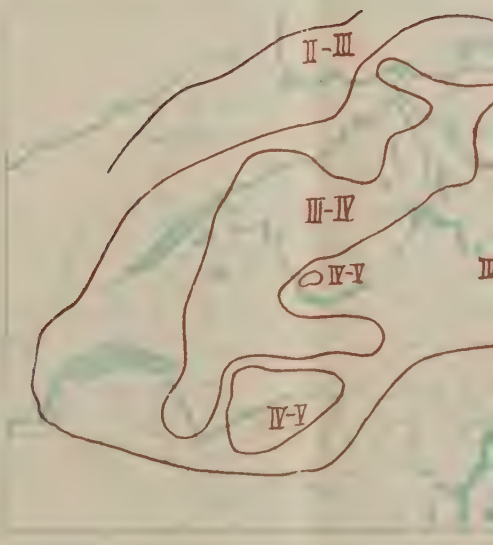

Nr. 6

Aerologische Station Payerne

Klima der freien Atmosphäre

Bearbeitung der Radiosondierungen der aerologischen Station Payerne 1955

von P. Ackermann

Bemerkung:

Die Aerologische Station Payerne (Koordinaten: $\lambda = 6° 57'$ $\beta = 46° 49'$ $H_b = 491$ m) führte die Radiosondierungen im Jahre 1955 in gleicher Weise wie im Vorjahr um 03.00 h und 15.00 h MEZ durch. Die nachfolgende Publikation der Ergebnisse dieser Sondierungen erfolgt ebenfalls in gleicher Weise nach den Beschlüssen und Empfehlungen der Aerologischen und Klimatologischen Kommissionen der OMM. Der untenstehend wiederum aufgeführte Code Aero erfuhr entsprechend den Beschlüssen der OMM 1953/54 auf den 1. Januar 1955 einige Abänderungen. Diese betreffen besonders die Sichtweite VV, die Natur der Wolken C und die Höhe der Wolkenuntergrenze $h_s h_s$.

Die Höhen der Standardflächen sind wie bisher in geopotentiellen Metern (gpm), die Temperaturen in ° C, die relativen Feuchtigkeiten in %, die Windrichtungen in 10^{er}-Graden der 360-Grad-Skala und die Windgeschwindigkeiten in Knoten angegeben (1 Knoten = 0,5148 m/sec = 1,853 km/Std.).

Inhaltsverzeichnis / Table des matières

	Page
Observations aux niveaux standards 03.00 h et 15.00 h (HEC)	4—27
Moyennes mensuelles aux niveaux standards:	
Hauteur de la surface de pression standard, température, humidité relative	28—30
Vecteur du vent moyen	31
Vitesse du vent pour les 12 secteurs principaux	32—37
Moyennes annuelles aux niveaux standards	38
Moyennes mensuelles et annuelles aux niveaux 1—14 km. température et pression	39
Fréquence des températures	40—42
Fréquence des humidités relatives	43
Fréquence des vents	44—45

Code AERO

N VVwwW $8N_sCh_sh_s$

N = Couverture totale du ciel (nébulosité), en huitièmes

N_s = Couverture du ciel par les nuages significatifs, en huitièmes

N et N_s se chiffrent comme suit:

0 = pas de nuages	0/10	6 = 6 octants = 6/8 du ciel couvert	7/10 à 8/10
1 = 1 octant = 1/8 du ciel couvert	1/10	7 = 7 octants = 7/8 du ciel couvert	9/10
2 = 2 octants = 2/8 du ciel couvert	2/10 à 3/10	8 = 8 octants = 8/8 du ciel couvert	10/10
3 = 3 octants = 3/8 du ciel couvert	4/10	9 = Ciel invisible par suite de brouillard, de chasse-neige ou d'autres phénomènes, ou observation impossible à cause de l'obscurité	
4 = 4 octants = 4/8 du ciel couvert	5/10		
5 = 5 cotants = 5/8 du ciel couvert	6/10		

VV = Visibilité horizontale

Code	Visibilité km	Code	Visibilité km	Code	Visibilité km	Code	Visibilité km	Code	Visibilité
00	< 0.1	10	1.0	20	2.0	30	3.0	40	4.0
01	0.1	11	1.1	21	2.1	31	3.1	41	4.1
02	0.2	12	1.2	22	2.2	32	3.2	42	4.2
03	0.3	13	1.3	23	2.3	33	3.3	43	4.3
04	0.4	14	1.4	24	2.4	34	3.4	44	4.4
05	0.5	15	1.5	25	2.5	35	3.5	45	4.5
06	0.6	16	1.6	26	2.6	36	3.6	46	4.6
07	0.7	17	1.7	27	2.7	37	3.7	47	4.7
08	0.8	18	1.8	28	2.8	38	3.8	48	4.8
09	0.9	19	1.9	29	2.9	39	3.9	49	4.9

Code	Visibilité km	Code	Visibilité km	Code	Visibilité km	Code	Visibilité km	*Echelle réduite*	
50	5.0	60	10	70	20	80	30	90	0— 50 m
51	ne sont pas utilisés	61	11	71	21	81	35	91	50— 200 m
52		62	12	72	22	82	40	92	200— 500 m
53		63	13	73	23	83	45	93	500—1000 m
54		64	14	74	24	84	50	94	1000—2000 m
55		65	15	75	25	85	55	95	2000—4000 m
56	6	66	16	76	26	86	60	96	4—10 km
57	7	67	17	77	27	87	65	97	10—20 km
58	8	68	18	78	28	88	70	98	20—50 km
59	9	69	19	79	29	89	< 70	99	50 km ou plus

ww = Temps au moment de l'observation ou pendant l'heure précédente

ww 00 à 19 = Pas de précipitations, ni de brouillard, ni de tempête de poussière ou de sable, ni de chasse-neige à la station (station terrestre, bateau, avion) au moment de l'observation ou pendant l'heure précédente (exception sous 09)

ww

Nuages seuls sans hydrométéores

- 00 Evolution des nuages nulle ou inconnue
- 01 Nuages en dissolution ou devenant plus minces
- 02 Etat du ciel inchangé dans l'ensemble
- 03 Nuages en formation ou en augmentation

(Changement caractéristique de l'état du ciel pendant l'heure précédente)

Brume sèche, poussière, sable ou fumées

- 04 Visibilité réduite par fumée, feu de broussailles ou de forêt, fumées industrielles ou cendres volcaniques
- 05 Brume sèche
- 06 Poussières flottant dans l'air, non entraînées par le vent, ni à la station ni dans ses environs
- 07 Poussières ou sable entraînés par le vent au moment de l'observation, à la station ou dans son voisinage, mais pas de tourbillons caractéristiques de sable ou de poussière et pas de tempête de poussière ou de sable observée
- 08 Tourbillons typique de poussière ou de sable à la station ou dans son voisinage pendant l'heure précédente, mais pas de tempête de poussière ou de sable
- 09 Tempête de poussière ou de sable en vue ou à la station, même pendant l'heure précédente

- 10 Brume
- 11 Mince couche de brouillard à la station (terrestre ou maritime), d'une épaisseur ne dépassant pas 2 m sur terre, 10 m sur mer — en bancs / plus ou moins compacte
- 12 (idem)
- 13 Eclairs de chaleur; le tonnerre n'est pas audible
- 14 Précipitations en vue, mais n'atteignant pas le sol
- 15 Précipitations en vue, atteignant le sol, mais à plus de 5 km de la station à l'estime
- 16 Précipitations en vue, atteignant le sol, à moins de 5 km de la station, mais pas à la station même
- 17 Tonnerre audible, mais pas de précipitations à la station
- 18 Averses — observées pendant l'heure précédente
- 19 Trombe(s) — observées pendant l'heure précédente

ww 20 à 29 = Précipitations, brouillard ou orage à la station pendant l'heure précédente, mais pas au moment de l'observation

ww

- 20 Bruine (ne se congelant pas) — Pas sous forme d'averses
- 21 Pluie (ne se congelant pas) — Pas sous forme d'averses
- 22 Neige — Pas sous forme d'averses
- 23 Pluie et neige mêlées — Pas sous forme d'averses
- 24 Bruine ou pluie se congelant — Pas sous forme d'averses
- 25 Averses de pluie
- 26 Averses de neige, ou de pluie et de neige [1]
- 27 Averses de grêle, ou de pluie et de grêle [2]
- 28 Brouillard
- 29 Orage (avec ou sans précipitations)

[1] également grésil ou neige roulée
[2] également averses de grésil ou de neige roulée

ww 30 à 39 = Tempête de poussière ou de sable, chasse-neige

ww

- 30 Tempête de poussière ou de sable, faible ou modérée — a diminué / sans changement / a augmenté — au cours de l'heure précédente
- 31 (idem)
- 32 (idem)
- 33 Forte tempête de poussière ou de sable — a diminué / sans changement / a augmenté — au cours de l'heure précédente
- 34 (idem)
- 35 (idem)
- 36 Chasse-neige faible ou modéré — de peu d'épaisseur (neige soufflée)
- 37 Fort chasse-neige — de peu d'épaisseur (neige soufflée)
- 38 Chasse-neige faible ou modéré — de grande épaisseur
- 39 Fort chasse-neige — de grande épaisseur

ww 40 à 49 = Brouillard au moment de l'observation

ww

- 40 Brouillard au moment de l'observation à quelque distance, mais pas à la station pendant l'heure précédente; la limite supérieure du brouillard est au-dessus de la station
- 41 Brouillard en bancs
- 42 Brouillard, ciel visible — a diminué au cours de l'heure précédente
- 43 Brouillard, ciel invisible — a diminué au cours de l'heure précédente
- 44 Brouillard, ciel visible — sans changement notable au cours de l'heure précédente
- 45 Brouillard, ciel invisible — sans changement notable au cours de l'heure précédente
- 46 Brouillard, ciel visible — est apparu ou s'est épaissi au cours de l'heure précédente
- 47 Brouillard, ciel invisible — est apparu ou s'est épaissi au cours de l'heure précédente
- 48 Brouillard avec givre, ciel visible
- 49 Brouillard avec givre, ciel invisible

ww 50 à 59 = Bruine

ww

- 50 Bruine, continue — *faible* au moment de l'observation
- 51 Bruine, intermittente — *faible* au moment de l'observation
- 52 Bruine, sans congélation, continue — *modérée* au moment de l'observation
- 53 Bruine, sans congélation, intermittente — *modérée* au moment de l'observation
- 54 Bruine, sans congélation, continue — *forte* au moment de l'observation
- 55 Bruine, sans congélation, intermittente — *forte* au moment de l'observation
- 56 Bruine congelante, faible
- 57 Bruine congelante, modérée ou forte
- 58 Bruine et pluie, faibles
- 59 Bruine et pluie, modérées ou fortes

ww 60 à 69 = Pluie

ww

- 60 Pluie, sans congélation, continue — *faible* au moment de l'observation
- 61 Pluie, sans congélation, intermittente — *faible* au moment de l'observation
- 62 Pluie, sans congélation, continue — *modérée* au moment de l'observation
- 63 Pluie, sans congélation, intermittente — *modérée* au moment de l'observation
- 64 Pluie, sans congélation, continue — *forte* au moment de l'observation
- 65 Pluie, sans congélation, intermittente — *forte* au moment de l'observation
- 66 Pluie se congelant, faible
- 67 Pluie se congelant, modérée ou forte
- 68 Pluie ou bruine et neige, faibles
- 69 Pluie ou bruine et neige, modérées ou fortes

ww 70 à 79 = Précipitations solides, non sous forme d'averses

ww			
70	Neige en flocons	intermittente	*faible* au moment de l'observation
71		continue	
72		intermittente	*modérée* au moment de l'observation
73		continue	
74		intermittente	*forte* au moment de l'observation
75		continue	
76	Aiguilles de glace (avec ou sans brouillard)		
77	Neige en grains (avec ou sans brouillard)		
78	Etoiles de neige isolées (avec ou sans brouillard)		
79	Grains de glace		

ww 80—99 = Précipitations sous forme d'averses, ou précipitations accompagnées de phénomènes orageux au moment de l'observation ou pendant l'heure précédente

ww		
80	Averses de pluie faibles	
81	Averses de pluie modérées ou fortes	
82	Averses de pluie violentes	
83	Averses de pluie et neige mêlées, faibles	
84	Averses de pluie et neige mêlées, modérés ou fortes	
85	Averses de neige faibles	
86	Averses de neige modérées ou fortes	
87	Averses de grésil ou de neige roulée avec ou sans pluie, ou pluie et neige mêlées	faibles
88		modérées ou fortes
89	Averses de grêle avec ou sans pluie, ou pluie et neige mêlées, sans tonnerre	faibles
90		modérées ou fortes
91	Pluie faible au moment de l'observation	
92	Pluie modérée ou forte au moment de l'observation	
93	Faible chute de neige, ou de pluie et de neige mêlées, ou de grêle (grésil ou neige roulée) au moment de l'observation	Orage durant l'heure précédente, mais non au moment de l'observation
94	Chute modérée ou forte de neige, ou de neige et de pluie mêlées, ou de grêle (grésil ou neige) au moment de l'observation	
95	Orage faible ou modéré, sans grêle mais avec pluie, ou pluie et neige, ou neige, au moment de l'observation	Orage au moment de l'observation
96	Orage faible ou modéré, avec grêle, grésil ou neige roulée, au moment de l'observation	
97	Orage fort, sans grêle ni grésil ou neige roulée, mais avec pluie, pluie et neige ou neige au moment de l'observation	
98	Orage avec tempête de poussière ou de sable au moment de l'observation	
99	Orage fort avec grêle, grésil ou neige roulée au moment de l'observation	

W = Temps passé

0 = Ciel à demi-couvert ou plus clair pendant toute la période
1 = Ciel par moments plus qu'à demi-couvert, par moments à demi-couvert ou plus clair
2 = Ciel plus qu'à demi-couvert pendant toute la période
3 = Chasse-neige, tempête de poussière ou de sable
4 = Brouillard ou brume épaisse
5 = Bruine
6 = Pluie
7 = Neige ou pluie et neige mêlées
8 = Averses
9 = Orage avec ou sans précipitations

C = Nature des nuages caractéristiques (échelle réduite 0 à 9)

	Symbole		Symbole
0 = Cirrus	Ci	6 = Stratocumulus	Sc
1 = Cirrocumulus	Cc	7 = Stratus	St
2 = Cirrostratus	Cs	8 = Cumulus	Cu
3 = Altocumulus	Ac	9 = Cumulonimbus	Cb
4 = Altostratus	As	X = Nuages invisibles en raison de l'obscurité, du brouillard, d'une tempête de neige ou d'autres phénomènes	
5 = Nimbostratus	Ns		

$h_s h_s$ = Hauteur de la base des nuages auxquels N_s se rapporte, au-dessus de la station

Chiffre de Code	Altitude m	Chiffre de Code	Altitude m	Chiffre de Code	Altitude m	Chiffre de Code	Altitude m	Chiffre de Code	Altitude m
00	< 30	20	600	40	1200	60	3000	80	9000
01	30	21	630	41	1230	61	3300	81	10500
02	60	22	660	42	1260	62	3600	82	12000
03	90	23	690	43	1290	63	3900	83	13500
04	120	24	720	44	1320	64	4200	84	15000
05	150	25	750	45	1350	65	4500	85	16500
06	180	26	780	46	1380	66	4800	86	18000
07	210	27	810	47	1410	67	5100	87	19500
08	240	28	840	48	1440	68	5400	88	21000
09	270	29	870	49	1470	69	5700	89	< 21000
10	300	30	900	50	1500	70	6000		Echelle réduite m
11	330	31	930	51		71	6300	90	< 50
12	360	32	960	52	Ne sont	72	6600	91	50— 100
13	390	33	990	53	pas	73	6900	92	100— 200
14	420	34	1020	54	utilisés	74	7200	93	200— 300
15	450	35	1050	55		75	7500	94	300— 600
16	480	36	1080	56	1800	76	7800	95	600—1000
17	510	37	1110	57	2100	77	8100	96	1000—1500
18	540	38	1140	58	2400	78	8400	97	1500—2000
19	570	39	1170	59	2700	79	8700	98	2000—2500
								99	> 2500 ou pas de nuages

Observations aux

Janvier 1955

Jour	Données synoptiques en surface (Code AERO)				Surface 491 m					1000 mb	850 mb					700 mb					500 mb				
	N	VVwwW	NsChshs	NsChshs	P	T	U	dd	ff	H	H	T	U	dd	ff	H	T	U	dd	ff	H	T	U	dd	ff
1	0	57020	—	—	962	–2.3	70	06	09	183	1465	–4.6	37	07	18	2965	–10.3	18	01	42	5500	–23.8	23	35	40
2	9	71022	—	—	960	–3.4	70	04	09	167	1445	–10.5	70	06	10	2915	–16.1	68	31	15	5365	–32.2	63	31	22
3	9	01383	—	—	958	–5.0	80	00	00	162	1420	–9.1	84	11	14	2915	–13.9	84	24	32	5380	–33.0	84	25	37
4	8	05022	88459	—	956	–4.0	100	00	00	146	1430	3.1	86	11	14	3000	–5.0	100	20	20	5555	–21.0	100	21	09
5	9	03454	—	—	960	–4.0	100	00	00	179	1475	4.9	60	19	05	3030	–6.0	71	21	10	5590	–21.6	54	26	20
6	8	04022	88466	—	956	–4.0	100	00	00	146	1440	3.7	53	00	00	3000	–4.5	61	17	06	5570	–20.9	90	23	20
7	3	25440	83361	—	952	–3.0	100	00	00	100	1400	2.7	71	00	00	2955	–7.3	82	16	19	5500	–21.2	87	20	22
8	9	07454	—	—	947	–3.0	100	00	00	058	1355	4.3	54	00	00	2905	–1.8	40	06	06	5465	–22.0	68	10	07
9	9	18774	—	—	953	–1.0	96	00	00	108	1405	–1.7	98	25	03	2935	–7.6	100	28	04	5465	–24.4	94	25	06
10	8	57024	88713	—	952	–0.9	90	00	00	100	1390	0.5	85	25	03	2920	–8.6	47	31	05	5460	–21.3	19	35	27
11	8	88530	—	—	949	3.0	90	24	15	066	1375	0.9	98	23	46	2925	–4.3	100	28	35	5495	–21.0	96	28	44
12	8	75602	88526	—	946	9.9	85	21	12	033	1375	5.3	100	24	28	2935	–4.1	100	27	58	5505	–21.3	100	30	44
13	8	71628	88517	—	945	8.4	88	29	12	024	1355	2.7	94	28	36	2960	–5.7	100	26	41	5455	–22.0	100	28	72
14	8	70622	88530	—	945	11.1	85	27	16	024	1370	5.2	95	25	46	2915	–5.3	100	27	54	5460	–24.9	81	27	48
15	6	72012	—	—	954	5.0	93	00	00	116	1420	–0.5	100	29	10	2950	–8.1	62	28	27	5490	–21.8	46	30	60
16	8	—	—	—	947	9.2	85	00	00	042	1385	6.2	100	23	17	2950	–3.1	100	23	50	5540	–18.8	100	25	50
17	3	71608	—	—	945	3.0	80	28	10	041	1345	–2.1	70	27	33	2855	–12.8	78	27	44	5360	–26.9	25	29	93
18	9	18727	—	—	937	–1.1	100	00	00	527	1265	–3.2	98	23	38	2810	–5.7	91	26	50	5365	–21.7	81	27	78
19	0	56020	—	—	957	–10.8	95	00	00	154	1415	–9.3	81	19	05	2890	–16.3	20	33	17	5355	–29.8	10	31	58
20	5	60030	85730	—	954	–7.5	90	00	00	130	1400	–0.6	51	20	12	2920	–7.5	100	21	18	5465	–22.6	100	28	22
21	8	18022	88710	—	961	–1.8	100	00	00	175	1465	–2.6	100	24	12	2985	–9.6	100	29	08	5505	–25.4	35	30	11
22	9	10626	—	—	953	1.0	100	00	00	108	1425	3.0	100	22	06	2965	–5.2	100	24	33	5535	–20.2	89	25	46
23	9	02454	—	—	950	1.0	100	00	00	083	1390	1.1	100	—	—	2930	–5.8	72	—	—	5490	–20.9	74	—	—
24	8	50022	88630	—	962	3.0	90	03	07	183	1485	0.8	94	07	27	3045	–2.4	38	07	21	5610	–23.0	35	05	17
25	8	56022	88619	—	966	0.5	90	00	00	215	1505	0.0	51	23	02	3065	–1.6	10	08	12	5650	–19.6	10	08	23
26	8	40022	88720	—	963	–1.0	100	00	00	191	1500	1.6	55	00	00	3045	–3.2	10	22	20	5630	–19.4	10	13	21
27	8	18022	88460	—	958	–2.0	100	00	00	150	1420	8.0	10	00	00	3040	–2.6	71	20	25	5620	–20.5	90	19	12
28	9	01474	—	—	955	–2.0	100	00	00	125	1440	7.6	39	00	00	3000	–3.2	54	10	06	5580	–21.9	61	15	08
29	9	01454	—	—	958	–2.0	100	00	00	150	1460	3.2	62	00	00	3000	–5.5	53	11	05	5555	–22.8	70	14	04
30	9	03454	—	—	958	–2.0	100	00	00	150	1460	5.6	53	21	03	3025	–2.9	38	21	12	5610	–20.7	11	24	11
31	9	03454	—	—	954	–2.0	100	00	00	116	1450	2.8	65	17	05	2985	–5.2	38	21	33	5550	–21.4	100	22	44
Moyen					954	–0.2	93	—	03	116	1417	0.9	75	—	13	2957	–6.6	68	·	21	5506	–22.8	65	—	33

Janvier 1955

1	8	57022	88714	—	962	–1.2	60	05	13	183	1473	–10.0	59	06	17	2960	–12.4	37	06	23	5440	–31.7	34	01	55
2	8	18077	88707	—	958	–4.2	80	05	10	162	1420	–11.3	100	11	02	2895	–18.5	100	22	38	5310	–34.5	70	26	53
3	8	18737	88510	—	955	–5.2	100	00	00	138	1415	–0.8	100	12	10	2945	–6.2	100	24	38	5500	–22.6	100	23	33
4	5	30404	83361	82072	958	–2.5	88	00	00	150	1440	4.5	81	12	03	2995	–4.7	78	18	05	5550	–23.0	88	18	15
5	9	18024	—	—	960	–3.0	91	00	00	167	1465	3.7	53	10	10	3010	–5.2	67	17	13	5570	–20.9	25	23	08
6	9	18454	—	—	954	–1.2	90	00	00	116	1415	3.4	58	06	03	2955	–7.4	100	18	13	5495	–24.2	100	19	18
7	9	17454	—	—	947	–2.0	95	00	00	058	1355	3.9	68	15	06	2915	–8.9	40	12	08	5470	–21.9	69	19	20
8	9	17454	—	—	950	–1.5	96	00	00	083	1375	0.6	70	31	03	2915	–6.6	59	03	07	5455	–24.6	69	08	03
9	9	19454	—	—	951	0.1	95	00	00	091	1375	–6.0	99	25	03	2885	–10.9	56	26	10	5370	–30.4	37	30	17
10	7	35022	87708	—	952	0.6	75	00	00	100	1405	2.7	21	24	22	2945	–4.1	10	28	22	5525	–19.8	10	29	22
11	8	57606	88520	—	943	5.7	100	23	20	024	1355	5.8	92	24	54	2920	–3.4	99	26	65	5495	–20.2	55	28	48
12	8	40648	88507	—	940	10.0	100	23	27	520	1325	6.8	93	25	40	2890	–1.0	100	27	72	5465	–20.6	100	27	85
13	8	65022	88526	—	949	6.2	80	00	00	074	1385	2.9	100	22	35	2935	–4.0	100	25	55	5520	–18.0	100	27	60
14	8	57636	88512	—	942	9.2	80	22	28	502	1340	4.4	82	25	50	2885	–5.7	100	27	44	5440	–23.5	90	28	60
15	8	60022	88710	—	954	4.1	80	00	00	116	1430	5.5	81	22	38	3000	–0.8	100	28	44	5610	–15.9	74	30	66
16	6	57011	86513	—	939	9.4	80	25	14	529	1325	5.3	93	23	33	2870	–4.7	91	24	40	5440	–20.5	35	22	50
17	6	70022	83657	83471	947	2.5	60	00	00	058	1410	–5.0	68	24	23	2900	–17.8	74	26	34	5390	–24.6	20	29	11
18	2	70010	82634	—	950	1.0	60	27	07	083	1370	–6.4	63	30	07	2850	–16.0	20	32	17	5330	–28.0	20	28	77
19	5	70031	85370	—	954	–5.5	60	00	00	130	1410	–3.8	22	00	00	2930	–9.2	10	25	38	5440	–26.8	16	29	34
20	8	40022	88456	—	956	–1.0	65	00	00	133	1430	0.3	68	21	11	2970	–5.4	68	22	15	5530	–21.9	32	26	06
21	8	22022	88464	—	960	1.5	80	00	00	167	1470	2.8	80	23	18	3030	–4.2	17	25	16	5600	–20.0	80	29	34
22	9	10454	—	—	949	3.0	90	00	00	074	1390	2.0	90	24	12	2920	–7.2	90	21	16	5470	–21.2	66	20	20
23	7	50022	87620	—	954	4.5	95	04	12	116	1430	2.2	95	07	44	3000	–3.0	45	07	20	5560	–22.8	41	06	10
24	8	19024	88710	—	964	1.6	95	04	06	200	1495	3.6	35	07	27	3055	–2.2	23	06	26	5620	–22.7	23	06	35
25	1	57010	81714	—	963	3.0	78	00	00	191	1555	2.5	62	26	10	3055	–2.8	15	10	07	5635	–20.0	50	09	15
26	7	18434	87705	—	960	1.0	87	00	00	167	1480	6.1	27	05	03	3030	–4.6	22	18	08	5605	–20.7	16	18	12
27	9	10454	—	—	955	–0.8	100	00	00	125	1445	9.2	17	00	00	3020	–0.9	26	17	08	5590	–21.4	92	17	30
28	9	03454	—	—	956	0.0	100	00	00	133	1445	3.9	19	00	00	3000	–5.8	63	15	04	5545	–22.1	56	12	12
29	9	03474	—	—	958	–0.5	100	00	00	150	1465	4.8	35	23	13	3020	–4.5	41	22	12	5595	–22.1	14	22	07
30	9	03454	—	—	957	0.5	97	00	00	141	1455	4.7	42	20	06	3010	–3.9	26	22	26	5595	–19.7	99	22	42
31	6	57022	86634	—	949	4.1	80	00	00	074	1380	5.3	47	17	11	2955	–5.0	66	21	16	5505	–23.4	77	21	34
Moyen					—	1.3	85	—	01	108	1417	1.7	65	—	17	2957	–6.3	59	—	25	5505	–22.9	57	—	35

niveaux standard

03.00 h

400 mb					300 mb					200 mb				150 mb				100 mb				Tropopause		
H	T	U	dd	ff	H	T	U	dd	ff	H	T	dd	ff	H	T	dd	ff	H	T	dd	ff	H	P	T
7090	–35.1	23	35	55	9025	–50.3	—	35	60	11595	–55.6	01	38	—	—	—	—	—	—	—	—	10770	228	–60.5
6910	–40.1	50	31	33	8850	–44.3	—	32	36	11555	–45.5	33	25	—	—	—	—	—	—	—	—	—	—	
6920	–41.0	84	25	56	8840	–53.8	—	26	67	11430	–53.8	25	17	—	—	—	—	—	—	—	—	10000	250	–57.0
7155	–35.0	96	23	23	9080	–53.8	—	23	33	11640	–58.6	25	24	—	—	—	—	—	—	—	—	10200	252	–61.4
7170	–36.0	75	26	17	9095	–53.2	—	27	26	11640	–59.8	27	23	—	—	—	—	—	—	—	—	10460	242	–61.4
7160	–36.8	86	24	20	9070	–57.8	—	23	25	11510	–70.2	22	24	—	—	—	—	—	—	—	—	11290	208	–72.4
7090	–35.6	76	20	30	9020	–51.2	—	20	33	11510	–64.0	21	15	—	—	—	—	—	—	—	—	10820	224	–69.6
7060	–34.0	64	09	10	9015	–52.2	—	10	24	11530	–66.0	30	07	—	—	—	—	—	—	—	—	11180	212	–66.8
7050	–37.5	92	25	14	8970	–52.0	—	26	28	11520	–59.9	32	36	—	—	—	—	—	—	—	—	10030	254	–61.3
7065	–34.6	24	31	33	8990	–51.5	—	35	44	11535	–64.0	32	45	—	—	—	—	—	—	—	—	11240	210	–64.4
7100	–32.2	93	29	72	9055	–48.0	—	30	122	11615	–67.2	—	—	—	—	—	—	—	—	—	—	11760	195	–68.0
7120	–31.5	100	30	85	9110	–42.6	—	30	126	11750	–58.8	31	71	—	—	—	—	—	—	—	—	11710	201	–58.8
7050	–34.3	93	29	58	9000	–49.5	—	29	86	11540	–65.1	29	60	—	—	—	—	—	—	—	—	11300	208	–66.0
7055	–35.3	96	26	72	8990	–50.0	—	25	112	11545	–58.8	25	80	—	—	—	—	—	—	—	—	10790	226	–62.8
7105	–31.9	78	31	108	9070	–46.8	—	32	110	11640	–65.8	31	90	—	—	—	—	—	—	—	—	11720	197	–66.2
7150	–31.6	100	24	54	9125	–46.3	—	21	55	11705	–63.8	24	38	—	—	—	—	—	—	—	—	11810	197	–64.2
6930	–37.0	24	30	120	8870	–49.5	—	32	38	11500	–50.2	30	38	—	—	—	—	—	—	—	—	9790	260	–54.2
6965	–34.4	78	27	55	8895	–51.2	—	27	94	11440	–59.0	27	82	—	—	—	—	—	—	—	—	10630	228	–62.3
6910	–39.9	10	31	77	8825	–51.6	—	30	71	11400	–57.3	30	55	—	—	—	—	—	—	—	—	10180	243	–57.8
7065	–34.1	86	29	28	9000	–49.8	—	28	33	11555	–59.5	29	27	—	—	—	—	—	—	—	—	10910	222	–64.0
7085	–34.5	23	33	22	9050	–44.3	—	31	55	11735	–48.4	33	53	—	—	—	—	—	—	—	—	9800	268	–47.2
7150	–31.3	80	26	28	9105	–48.9	—	24	33	11670	–57.2	28	28	—	—	—	—	—	—	—	—	10630	236	–61.4
7100	–34.3	72	11	15	9025	–53.5	—	11	32	11570	–55.0	14	07	—	—	—	—	—	—	—	—	10025	256	–60.2
7200	–34.7	35	06	27	9155	–47.4	—	06	34	11790	–54.1	06	35	—	—	—	—	—	—	—	—	10630	240	–53.2
7280	–32.2	10	08	38	9230	–48.0	—	07	71	11780	–70.7	07	55	—	—	—	—	—	—	—	—	—	—	
7240	–32.9	10	11	33	9210	–45.9	—	12	40	11780	–65.4	12	38	—	—	—	—	—	—	—	—	12350	182	–67.8
7220	–33.0	44	19	16	9180	–49.2	—	20	16	11755	–59.8	20	17	—	—	—	—	—	—	—	—	10630	240	–63.6
7170	–38.0	58	14	09	9065	–57.2	—	14	17	11560	–60.8	15	01	—	—	—	—	—	—	—	—	10150	252	–68.6
7160	–37.0	56	01	01	9035	–55.0	—	03	09	11600	–60.6	02	06	—	—	—	—	—	—	—	—	10510	238	–64.8
7220	–32.1	20	27	16	9185	–48.6	—	26	22	11765	–59.1	29	32	—	—	—	—	—	—	—	—	11200	219	–62.0
7150	–35.0	100	22	44	9095	–52.1	—	23	54	11535	–58.6	23	41	—	—	—	—	—	—	—	—	—	—	
7100	–35.0	62	—	41	9041	–50.3	—	—	49	11603	–59.8	—	37	—	—	—	—	—	—	—	—	—		

15.00 h

7000	–36.0	30	33	72	8920	–51.5	—	33	60	11520	–52.4	35	48	—	—	—	—	—	—	—	—	10280	243	–56.2
6860	–40.1	41	27	34	8790	–45.8	—	28	32	11480	–47.5	00	00	—	—	—	—	—	—	—	—	9000	290	–46.1
7090	–35.7	100	23	50	9025	–51.1	—	24	50	11595	–54.7	25	18	—	—	—	—	—	—	—	—	10290	246	–60.4
7135	–36.8	71	18	20	9060	–52.0	—	19	24	11590	–61.4	25	27	—	—	—	—	—	—	—	—	10980	221	–66.3
7175	–32.6	33	25	28	9120	–50.5	—	26	38	11670	–60.4	27	42	—	—	—	—	—	—	—	—	11360	210	–64.0
7075	–36.8	96	18	32	9000	–52.9	—	19	42	11520	–62.7	20	30	—	—	—	—	—	—	—	—	10660	230	–66.1
7065	–35.6	74	17	20	8995	–51.1	—	17	27	11515	–64.0	20	23	—	—	—	—	—	—	—	—	11000	218	–66.7
7030	–37.2	63	08	06	8950	–53.0	—	03	12	11470	–64.3	33	12	—	—	—	—	—	—	—	—	10820	222	–65.5
6925	–38.8	15	33	48	8850	–50.9	—	32	76	11385	–65.5	32	55	—	—	—	—	—	—	—	—	11060	211	–66.7
7135	–32.3	10	30	33	9105	–46.0	—	33	33	11700	–64.0	33	55	—	—	—	—	—	—	—	—	12500	175	–67.6
7100	–33.7	57	27	70	9045	–50.2	—	27	66	11590	–59.5	29	55	—	—	—	—	—	—	—	—	10730	230	–61.8
7065	–35.0	95	28	88	9000	–51.9	—	28	71	11555	–62.6	29	72	—	—	—	—	—	—	—	—	11140	214	–62.6
7150	–30.2	100	29	85	9120	–47.4	—	30	78	11675	–65.5	29	70	—	—	—	—	—	—	—	—	11930	192	–66.5
7020	–38.8	90	28	35	8920	–56.1	—	28	66	11455	–59.3	28	59	—	—	—	—	—	—	—	—	10870	220	–60.8
7250	–27.8	80	30	72	9235	–46.2	—	29	54	11820	–64.8	29	44	—	—	—	—	—	—	—	—	12200	188	–67.2
7055	–31.7	46	22	82	9000	–47.9	—	21	77	11650	–49.7	24	45	—	—	—	—	—	—	—	—	9750	268	–52.4
7000	–32.3	68	29	92	8970	–46.2	—	30	90	11560	–61.2	30	120	—	—	—	—	—	—	—	—	11560	200	–61.2
6880	–39.1	20	29	83	8800	–51.2	—	29	130	11400	–51.8	29	122	—	—	—	—	—	—	—	—	9530	268	–55.4
7020	–39.1	60	29	66	8930	–54.0	—	30	88	11450	–60.1	29	110	—	—	—	—	—	—	—	—	10870	220	–65.0
7130	–35.0	29	26	09	9080	–50.1	—	27	20	11630	–57.5	30	36	—	—	—	—	—	—	—	—	10500	240	–60.0
7220	–30.0	80	33	77	9220	–45.2	—	30	37	11800	–59.9	31	54	—	—	—	—	—	—	—	—	11320	216	–61.0
7065	–37.1	72	20	20	8980	–55.0	—	20	25	11520	–54.5	31	05	—	—	—	—	—	—	—	—	9700	264	–60.0
7150	–36.0	35	03	11	9070	–53.6	—	04	03	11600	–59.6	04	10	—	—	—	—	—	—	—	—	10470	240	–65.6
7220	–35.7	23	07	55	9155	–49.6	—	07	64	11690	–64.3	05	35	—	—	—	—	—	—	—	—	11100	220	–66.4
7240	–33.6	76	10	22	9200	–48.0	—	09	39	11765	–66.5	08	48	—	—	—	—	—	—	—	—	12480	178	–70.1
7205	–35.3	16	20	10	9140	–51.1	—	17	17	11670	–62.2	14	20	—	—	—	—	—	—	—	—	11140	218	–64.8
7195	–33.1	68	15	23	9140	–49.2	—	16	24	11680	–62.4	19	15	—	—	—	—	—	—	—	—	11200	216	–65.7
7135	–36.0	11	10	10	9070	–53.3	—	07	07	11575	–61.3	29	02	—	—	—	—	—	—	—	—	10770	228	–68.0
7195	–34.8	10	35	08	9140	–50.5	—	33	20	11700	–59.9	31	22	—	—	—	—	—	—	—	—	11480	207	–61.2
7210	–31.5	96	23	36	9180	–47.1	—	23	36	11770	–57.2	23	55	—	—	—	—	—	—	—	—	10960	228	–59.7
7090	–37.3	72	21	40	9000	–51.1	—	19	60	11530	–61.3	22	10	—	—	—	—	—	—	—	—	10960	219	–64.0
7100	–35.0	57	—	43	9039	–50.1	—	—	47	11598	–59.9	—	43	—	—	—	—	—	—	—	—			

Observations au

Février 1955

Jour	Données synoptiques en surface (Code AERO)				Surface 491 m					1000 mb	850 mb					700 mb					500 mb				
	N	VVwwW	NsChshs	NsChshs	P	T	U	dd	ff	H	H	T	U	dd	ff	H	T	U	dd	ff	H	T	U	dd	f
1	8	10462	—	—	947	0.0	100	00	00	058	1380	4.8	24	11	03	2935	–4.6	44	18	18	5490	–23.6	100	19	2
2	7	11444	—	—	943	–0.1	100	00	00	024	1335	4.6	57	08	03	2895	–4.8	55	18	07	5450	–22.9	84	19	1
3	8	70031	—	—	944	5.0	92	23	09	032	1345	1.8	90	22	33	2880	–8.7	81	22	46	5410	–25.4	95	24	3
4	8	71022	—	—	944	4.2	80	23	08	032	1335	–1.3	64	22	08	2860	–10.2	80	25	35	5375	–27.8	96	27	5
5	8	50636	—	—	944	6.8	92	22	18	015	1345	1.4	100	22	50	2880	–7.9	100	26	92	5425	–22.9	88	27	6
6	8	61606	88530	—	944	3.0	85	20	11	032	1335	–2.2	90	23	25	2860	–11.1	91	25	23	5385	–23.4	86	28	5
7	7	74022	87630	—	962	0.3	96	00	00	183	1475	–6.2	96	10	03	2970	–15.0	65	36	12	5450	–27.8	10	35	4
8	8	57616	88514	—	957	3.0	97	23	18	141	1455	3.2	100	27	33	3010	–5.9	100	30	55	5565	–21.8	100	31	6
9	8	50636	88523	—	957	5.0	100	00	00	141	1450	–0.7	100	29	16	2975	–4.6	100	28	44	5560	–18.5	100	29	5
10	8	60606	88512	—	951	3.8	80	23	18	091	1400	–1.1	82	26	30	2915	–10.6	92	27	38	5410	–30.7	81	30	5
11	0	74010	—	—	957	–1.0	60	00	00	141	1425	–8.3	87	31	03	2905	–16.6	44	33	16	5350	–30.3	36	30	7
12	3	70020	83073	—	954	–3.7	80	00	00	130	1405	–6.5	68	23	11	2900	–13.9	17	24	27	5375	–28.2	10	26	3
13	7	70022	87658	—	953	0.0	65	22	09	108	1390	–9.5	68	26	18	2860	–22.8	82	26	25	5250	–34.6	43	28	6
14	8	40383	88610	—	953	–3.0	100	21	07	108	1390	–9.6	100	00	00	2850	–20.0	100	00	00	5240	–38.2	100	24	1
15	0	70020	—	—	957	–7.0	90	00	00	154	1410	–9.7	86	23	27	2880	–17.6	90	27	17	5380	–27.2	90	28	5
16	3	57021	83620	—	950	–1.0	70	22	07	083	1370	–5.8	73	26	12	2870	–13.0	80	28	16	5340	–31.0	80	28	5
17	5	70022	85617	—	938	–2.0	90	00	00	519	1280	–3.7	84	24	30	2800	–9.6	71	24	28	5335	–22.1	54	25	5
18	8	20393	88610	—	932	–1.5	100	00	00	570	1225	–5.6	100	—	—	2740	–8.8	100	—	—	5285	–21.4	100	—	—
19	8	20022	88610	—	936	–9.0	100	00	00	517	1245	–6.3	85	21	05	2750	–11.7	10	21	28	5250	–29.4	10	26	2
20	0	71020	—	—	938	–2.3	72	20	08	519	1270	–7.1	88	23	15	2755	–16.9	37	25	20	5185	–35.2	68	25	3
21	4	71021	—	—	954	–5.0	80	23	09	130	1390	–11.6	95	24	15	2850	–20.0	100	30	44	5560	–37.3	89	32	7
22	8	71022	—	—	951	2.5	85	22	08	091	1380	–4.5	96	24	39	2880	–13.8	100	27	33	5335	–31.5	90	27	6
23	9	03454	—	—	951	0.0	100	00	00	091	1395	0.0	85	00	00	2925	–8.8	66	22	13	5445	–24.4	94	25	2
24	8	22602	—	—	944	0.0	100	00	00	024	1335	–1.4	100	—	—	2865	–9.8	72	—	—	5365	–27.7	76	23	2
25	9	22022	—	—	944	1.2	100	00	00	032	1325	–1.5	100	20	03	2845	–12.2	100	21	17	5320	–29.7	87	20	2
26	9	54022	—	—	946	0.2	100	00	00	049	1340	–2.8	100	27	03	2850	–12.6	100	19	04	5330	–30.2	93	23	0
27	9	18022	—	—	950	0.0	100	00	00	083	1375	–4.5	100	00	00	2875	–14.9	84	25	11	5335	–31.0	62	23	1
28	9	40022	—	—	956	–2.0	85	05	17	133	1405	–10.1	90	05	27	2900	–15.0	70	05	33	5365	–29.1	88	17	2
Moyen					948	–0.1	89	—	05	071	1365	–3.7	86	—	16	2874	–12.2	76	—	27	5377	–28.0	75	—	4

Février 1955

1	6	18022	85710	85357	943	5.5	74	00	00	024	1345	5.5	48	21	11	2900	–7.4	62	17	22	5435	–26.0	79	20	2
2	6	57022	82834	84060	943	8.5	65	00	00	007	1345	2.8	64	22	07	2890	–7.0	66	20	17	5425	–24.6	62	21	2
3	6	74802	86630	—	945	6.9	74	22	08	024	1345	–0.5	71	24	22	2865	–11.7	73	24	22	5360	–30.1	63	26	1
4	7	74022	87530	—	949	7.4	80	25	18	059	1385	–0.8	84	26	42	2900	–12.0	92	27	44	5410	–26.4	18	30	7
5	7	74022	87536	—	945	7.7	60	23	20	024	1355	1.0	78	25	38	2880	–10.4	90	26	77	5375	–29.1	72	28	8
7	8	71022	88523	—	947	1.0	95	00	00	058	1355	–3.5	100	35	20	2870	–11.9	100	36	13	5370	–27.4	87	26	2
7	8	70022	88461	—	962	2.0	65	21	05	183	1490	–1.2	42	24	07	3000	–11.0	50	24	34	5580	–19.2	90	31	8
8	8	70602	85617	83733	959	9.0	100	23	11	146	1485	4.9	100	27	34	3055	–3.6	100	28	33	5635	–18.8	100	32	5
9	7	70151	87614	—	954	6.5	68	23	14	103	1425	–0.5	83	26	20	2940	–11.6	91	29	25	5460	–23.6	10	30	5
10	6	74021	86630	—	951	3.0	60	31	09	091	1395	–6.6	93	27	07	2870	–17.4	100	28	22	5320	–33.2	19	29	7
11	3	74020	81640	82070	957	2.0	50	00	00	141	1430	–8.2	67	27	05	2910	–16.8	47	29	09	5370	–27.6	18	28	4
12	7	57022	87620	—	952	–1.0	85	00	00	100	1390	–5.7	91	24	22	2885	–14.9	61	24	38	5365	–29.7	30	27	3
13	4	74021	84656	—	951	2.0	55	26	11	091	1380	–7.0	70	23	23	2870	–19.7	90	25	25	5270	–31.0	26	27	7
14	7	59022	87724	—	957	–2.0	65	30	09	141	1415	–11.7	100	27	06	2865	–22.1	70	33	15	5275	–35.3	55	35	4
15	6	57032	86730	—	952	0.9	46	00	00	100	1390	–6.5	42	25	20	2880	–14.0	38	27	22	5375	–29.4	62	28	5
16	1	74020	81637	—	944	4.8	44	24	09	032	1330	–3.9	55	26	12	2840	–13.6	57	24	22	5350	–23.7	35	28	1
17	x	03737	—	—	932	–1.5	100	00	00	570	1215	–6.3	100	24	11	2730	–10.3	100	24	28	5270	–21.4	100	24	7
18	8	55022	88628	—	938	2.0	65	00	00	519	1275	–5.0	90	23	11	2785	–11.9	10	29	22	5275	–28.0	60	24	4
19	8	57017	88624	—	929	–1.0	85	00	00	594	1200	–3.7	100	23	27	2715	–11.6	93	22	42	5210	–28.5	75	22	3
20	3	57022	88520	—	943	–0.9	65	23	15	024	1310	–9.2	94	25	25	2775	–20.9	100	27	27	5160	–40.8	87	31	2
21	9	18737	—	—	949	0.0	100	23	10	074	1360	–7.2	100	23	50	2855	–13.2	100	28	42	5330	–31.5	86	27	8
22	6	74022	86640	—	953	6.0	55	25	12	108	1420	–0.7	75	24	35	2935	–10.3	100	25	26	5435	–27.7	70	27	4
23	8	18022	88708	—	946	2.0	90	00	00	049	1355	–0.2	88	10	03	2885	–8.1	96	23	27	5430	–22.9	94	23	3
24	5	60022	85630	—	945	3.7	80	00	00	041	1340	2.2	74	26	06	2875	–9.5	81	22	22	5365	–30.0	66	23	2
25	8	56022	88710	—	944	2.0	85	00	00	032	1330	–1.3	85	32	04	2850	–11.6	58	18	11	5315	–32.6	54	21	1
26	4	57021	81630	83070	947	6.0	70	00	00	058	1365	–2.2	80	00	00	2875	–12.4	67	17	03	5350	–32.7	40	24	1
27	8	40022	88710	—	952	0.8	92	00	00	100	1395	–3.9	97	05	12	2900	–12.6	85	07	07	5375	–29.9	73	21	1
28	8	65022	88733	—	958	–1.2	65	07	22	150	1420	–11.2	100	06	36	2915	–9.9	96	09	08	5405	–29.9	100	11	0
Moyen					948	2.9	73	—	06	063	1366	–3.2	81	—	18	2876	–12.4	78	—	25	5368	–28.3	62	—	4

niveaux standard

03.00 h

400 mb					300 mb					200 mb				150 mb				100 mb				Tropopause		
H	T	U	dd	ff	H	T	U	dd	ff	H	T	dd	ff	H	T	dd	ff	H	T	dd	ff	H	P	T
7080	–37.1	97	17	28	9000	–53.6	—	17	30	11555	–56.2	22	28	—	—	—	—	—	—	—	—	10930	221	–61.2
7050	–35.5	83	18	20	8975	–53.4	—	17	33	11555	–53.4	20	28	—	—	—	—	—	—	—	—	10280	244	–60.1
6985	–39.7	93	25	48	8890	–53.1	—	24	43	11510	–52.4	26	38	—	—	—	—	—	—	—	—	9310	281	–55.0
6935	–41.8	—	28	50	8815	–58.8	—	28	70	11365	–53.5	28	22	—	—	—	—	—	—	—	—	9770	257	–64.1
7020	–36.3	87	28	65	8950	–52.1	—	27	80	11500	–56.2	—	—	—	—	—	—	—	—	—	—	10760	225	–64.2
6975	–35.2	80	29	58	8910	–54.0	—	29	50	11475	–54.1	29	44	—	—	—	—	—	—	—	—	10280	241	–61.4
7040	–34.0	10	36	92	9000	–50.1	—	35	143	11570	–61.2	36	40	—	—	—	—	—	—	—	—	11320	208	–63.0
7180	–32.0	90	31	66	9135	–50.0	—	33	77	—	—	—	—	—	—	—	—	—	—	—	—	—	—	—
7190	–30.2	100	30	68	9175	–44.7	—	30	57	11770	–61.7	—	—	—	—	—	—	—	—	—	—	11710	202	–62.2
6980	–36.4	25	31	71	8910	–51.3	—	32	88	11520	–52.1	32	68	—	—	—	—	—	—	—	—	9580	270	–54.4
6935	–32.8	35	29	132	8895	–48.8	—	30	96	11490	–55.0	30	60	—	—	—	—	—	—	—	—	10490	234	–57.6
6955	–36.5	11	27	55	8880	–52.0	—	27	66	11475	–51.5	27	33	—	—	—	—	—	—	—	—	10000	252	–59.9
6780	–43.8	36	28	98	8700	–48.2	—	28	92	11350	–50.0	29	38	—	—	—	—	—	—	—	—	8790	296	–48.6
6770	–41.4	—	30	27	8685	–45.6	—	30	38	11370	–46.7	29	45	—	—	—	—	—	—	—	—	9380	270	–47.0
6960	–36.6	90	29	50	8890	–51.8	—	28	68	11440	–58.6	29	55	—	—	—	—	—	—	—	—	10530	232	–60.2
6890	–43.1	—	28	50	8790	–51.2	—	29	82	11410	–52.8	28	25	—	—	—	—	—	—	—	—	10630	226	–53.6
6940	–35.2	87	27	96	8890	–49.6	—	27	59	11495	–52.8	27	110	—	—	—	—	—	—	—	—	10270	242	–58.6
6990	–37.0	100	—	—	8810	–51.7	—	—	—	11395	–55.2	—	—	—	—	—	—	—	—	—	—	10190	242	–59.0
6800	–43.8	10	26	32	8670	–55.1	—	25	66	—	—	—	—	—	—	—	—	—	—	—	—	—	—	—
6695	–48.4	70	26	33	8570	–48.4	—	24	40	11240	–47.2	25	36	—	—	—	—	—	—	—	—	10500	224	–48.6
6760	–49.2	88	33	64	8600	–56.6	—	32	56	11220	–50.3	28	50	—	—	—	—	—	—	—	—	8020	329	–56.9
6865	–44.3	88	28	83	8735	–56.6	—	28	80	11250	–58.0	28	61	—	—	—	—	—	—	—	—	9780	253	–64.3
7020	–37.9	92	25	22	8935	–53.9	—	25	30	11440	–63.3	26	28	—	—	—	—	—	—	—	—	10720	225	–66.1
6920	–42.8	52	22	30	8800	–57.4	—	23	52	11355	–60.3	25	40	—	—	—	—	—	—	—	—	11110	208	–61.3
6865	–44.1	93	22	34	8735	–53.4	—	23	35	11330	–54.2	23	37	—	—	—	—	—	—	—	—	9850	252	–55.9
6870	–44.5	88	22	05	8735	–55.1	—	25	10	11345	–52.7	23	20	—	—	—	—	—	—	—	—	8550	309	–56.2
6875	–44.5	76	24	27	8740	–58.4	—	24	28	11300	–55.1	25	16	—	—	—	—	—	—	—	—	9180	280	–59.3
6915	–42.8	83	17	22	8795	–55.2	—	33	11	11410	–52.0	35	30	—	—	—	—	—	—	—	—	8900	295	–55.5
6937	–39.5	71	—	53	8843	–52.5	—	—	59	11428	–54.5	—	41	—	—	—	—	—	—	—	—	—	—	—

15.00 h

7000	–39.3	70	17	22	8905	–55.2	—	16	28	11455	–55.2	19	30	—	—	—	—	—	—	—	—	10130	247	–63.5
7000	–37.1	66	19	33	8903	–52.6	—	20	49	11540	–49.6	22	34	—	—	—	—	—	—	—	—	9960	256	–58.4
6910	–41.9	38	26	29	8830	–51.0	—	25	36	11465	–52.0	27	28	—	—	—	—	—	—	—	—	9280	280	–53.3
6985	–38.6	24	31	99	8900	–54.0	—	31	77	11490	–54.0	30	73	—	—	—	—	—	—	—	—	9830	259	–57.8
6940	–38.0	51	28	98	8875	–52.0	—	30	75	11420	–58.2	29	60	—	—	—	—	—	—	—	—	10210	243	–63.0
6935	–39.7	84	26	33	8845	–55.2	—	26	50	11435	–52.6	30	33	—	—	—	—	—	—	—	—	9290	280	–58.8
7200	–30.4	90	32	78	9180	–47.4	—	33	60	11760	–63.7	32	95	—	—	—	—	—	—	—	—	11880	196	–63.8
7270	–30.4	100	32	64	9250	–46.2	—	32	165	11860	–62.8	31	196	—	—	—	—	—	—	—	—	—	—	—
7050	–35.6	10	30	120	9000	–48.7	—	31	66	11590	–59.8	—	—	—	—	—	—	—	—	—	—	11590	200	–59.8
6890	–35.0	11	30	166	8840	–49.9	—	30	82	11440	–53.5	30	154	—	—	—	—	—	—	—	—	10270	240	–55.0
6955	–34.3	14	28	75	8910	–49.9	—	27	87	11470	–59.0	28	66	—	—	—	—	—	—	—	—	10120	248	–62.0
6905	–42.9	26	27	60	8805	–52.5	—	28	66	11405	–55.2	27	55	—	—	—	—	—	—	—	—	9690	262	–55.5
6840	–38.3	42	27	82	8760	–50.9	—	—	—	11360	–53.2	—	—	—	—	—	—	—	—	—	—	10350	234	–55.7
6810	–41.4	45	04	53	8710	–53.9	—	02	53	11305	–52.7	32	48	—	—	—	—	—	—	—	—	9110	282	–56.3
6925	–40.8	42	28	98	8825	–54.2	—	28	105	11395	–55.2	27	68	—	—	—	—	—	—	—	—	10810	219	–60.0
6945	–35.3	34	27	38	8885	–49.8	—	28	52	11465	–58.3	28	40	—	—	—	—	—	—	—	—	10980	216	–59.1
6870	–34.0	100	24	80	8815	–51.1	—	24	100	11350	–56.4	24	44	—	—	—	—	—	—	—	—	10330	236	–63.6
6840	–40.2	20	24	66	8755	–51.0	—	25	77	11385	–47.2	25	82	—	—	—	—	—	—	—	—	10120	243	–53.7
6765	–41.5	81	13	23	8670	–52.1	—	22	30	11345	–45.8	24	62	—	—	—	—	—	—	—	—	8670	300	–52.1
6645	–51.1	93	32	27	8525	–49.0	—	27	10	11180	–46.7	26	50	—	—	—	—	—	—	—	—	9930	242	–50.7
6860	–45.3	82	29	60	8705	–61.5	—	29	66	11230	–55.0	28	66	—	—	—	—	—	—	—	—	9340	271	–66.0
7000	–39.4	38	27	68	8905	–53.9	—	28	60	11425	–59.3	27	99	—	—	—	—	—	—	—	—	10900	218	–64.0
7000	–36.1	90	22	30	8945	–53.6	—	22	60	11455	–60.5	24	60	—	—	—	—	—	—	—	—	10600	230	–66.3
6915	–41.8	60	23	24	8800	–56.2	—	23	39	11360	–56.3	24	38	—	—	—	—	—	—	—	—	9450	271	–58.0
6845	–44.9	56	23	22	8720	–54.1	—	22	30	11315	–53.0	22	35	—	—	—	—	—	—	—	—	8720	311	–53.8
6880	–43.4	48	28	35	8760	–56.8	—	27	44	11350	–53.0	24	12	—	—	—	—	—	—	—	—	9160	282	–58.7
6915	–44.0	74	21	33	8780	–58.7	—	22	17	11350	–53.7	28	10	—	—	—	—	—	—	—	—	9000	289	–59.2
6950	–43.6	100	10	13	8815	–56.6	—	06	13	11420	–54.5	03	44	—	—	—	—	—	—	—	—	9050	289	–56.8
6930	–39.4	57	—	58	8844	–52.8	—	—	59	11429	–54.9	—	61	—	—	—	—	—	—	—	—	—	—	—

Mars 1955

Jour	Données synoptiques en surface (Code AERO)				Surface 491 m					1000 mb	850 mb					700 mb					500 mb				
	N	VVwwW	NsChshs	NsChshs	P	T	U	dd	ff	H	H	T	U	dd	ff	H	T	U	dd	ff	H	T	U	dd	ff
1	9	57022	—	—	960	−3.5	78	04	15	167	1440	−11.8	100	07	11	2955	−7.8	49	05	14	5470	−28.1	35	06	16
2	8	56022	—	—	958	−2.4	80	04	14	150	1430	−9.4	55	06	14	2965	−5.5	31	06	22	5500	−24.9	30	12	21
3	9	56022	—	—	965	−5.2	100	00	00	218	1480	−3.5	90	00	00	3015	−5.3	51	08	16	5590	−20.9	74	06	39
4	0	57000	—	—	968	−5.0	100	00	00	242	1525	−0.1	75	00	00	3070	−4.8	14	10	36	5615	−24.3	10	07	44
5	9	50022	—	—	961	0.5	100	00	00	175	1470	−3.7	100	28	13	2970	−13.7	97	26	22	5475	−27.0	20	30	55
6	7	70022	87656	—	946	−2.0	95	00	00	049	1330	−9.0	90	34	02	2795	−20.9	90	04	17	5195	−40.1	72	03	06
7	6	70022	86620	—	944	−5.0	100	21	06	049	1315	−8.7	100	23	08	2780	−18.9	89	26	12	5200	−39.0	78	24	07
8	8	70022	88460	—	942	−2.0	90	00	00	015	1310	−4.5	82	17	06	2805	−16.2	91	21	11	5240	−36.0	100	22	25
9	6	70022	86617	—	942	−3.0	100	19	05	015	1315	−7.5	99	20	05	2780	−18.2	100	20	17	5220	−35.7	40	19	33
10	8	40362	88617	—	947	0.0	90	03	07	058	1340	−7.1	99	06	27	2830	−13.2	100	09	24	5320	−29.6	90	11	33
11	8	70022	88717	—	953	0.0	85	06	16	108	1405	−7.2	100	06	06	2940	−8.3	60	06	08	5460	−25.2	45	09	21
12	8	70022	88720	—	956	−3.0	100	05	09	133	1420	−7.4	100	18	05	2930	−11.2	100	19	07	5430	−29.0	100	11	09
13	0	50020	—	—	960	−4.5	100	00	00	179	1455	0.6	77	20	05	2975	−11.2	69	24	08	5475	−28.3	34	26	24
14	0	57020	—	—	960	−3.0	100	00	00	167	1465	−1.7	66	04	05	2965	−11.4	20	30	21	5475	−27.0	20	26	30
15	0	56020	—	—	960	−2.3	100	00	00	191	1485	−1.7	72	07	16	3015	−5.0	10	05	25	5560	−25.1	16	04	27
16	0	59020	—	—	964	−2.5	100	00	00	200	1500	0.5	30	06	04	3025	−9.5	83	03	18	5530	−27.3	94	36	35
17	0	57020	—	—	955	0.0	95	00	00	125	1435	1.8	70	25	20	2980	−4.7	10	30	33	5540	−22.3	71	31	44
18	0	74020	—	—	957	−4.0	90	00	00	154	1425	−9.3	84	02	14	2905	−16.5	35	34	22	5375	−26.8	27	32	52
19	0	74020	—	—	956	−4.6	90	00	00	146	1420	−7.6	80	26	05	2900	−16.9	78	27	15	5390	−27.1	55	31	55
20	9	60032	—	—	951	0.0	77	00	00	091	1385	−4.7	71	24	18	2880	−15.1	88	24	34	5345	−31.6	56	29	50
21	9	57022	—	—	942	−0.5	100	00	00	015	1315	0.8	83	20	03	2855	−6.3	72	21	37	5390	−24.6	100	24	35
22	7	71022	—	—	949	7.0	97	23	10	059	1395	2.0	100	25	23	2920	−7.5	100	25	33	5460	−25.2	97	27	22
23	0	74010	—	—	962	6.0	95	20	10	172	1505	1.3	93	23	28	3035	−9.3	96	27	37	5575	−21.4	50	30	52
24	4	22461	—	—	962	4.5	100	00	00	183	1520	6.6	69	23	21	3080	−2.2	85	25	33	5660	−19.4	91	28	38
25	8	70020	—	—	962	11.9	80	19	06	172	1535	11.3	57	24	35	3120	0.7	19	28	33	5720	−17.9	57	27	40
26	2	74030	—	—	955	11.9	60	00	00	111	1470	14.0	31	22	33	3070	2.1	54	24	45	5675	−17.2	81	24	45
27	8	74022	87610	—	955	10.0	90	00	00	111	1455	6.0	91	26	28	3000	−4.6	91	25	37	5595	−20.2	88	24	44
28	8	70022	88617	—	955	9.0	100	00	00	111	1460	4.3	97	25	12	3000	−5.7	100	27	14	5570	−23.2	81	28	22
29	8	10602	88707	—	954	3.0	100	00	00	116	1420	0.1	100	24	17	2960	−7.0	100	24	25	5510	−25.5	88	25	34
30	6	56022	86650	—	957	0.0	100	05	08	141	1490	−4.0	92	06	18	3000	−10.7	67	33	07	5520	−26.0	12	28	32
31	6	70022	86633	—	954	−1.0	80	05	05	116	1400	−4.6	96	19	08	2925	−9.8	22	24	14	5445	−26.4	41	24	10
Moyen					955	0.3	93	—	01	127	1430	−2.1	82	—	13	2950	−9.5	67	—	22	5469	−26.5	60	—	32

Mars 1955

1	8	4022	88710	—	957	−2.0	75	05	19	141	1410	−12.4	75	07	22	2930	−8.1	51	08	24	5450	−26.8	40	07	25
2	7	40012	87610	—	961	−1.0	70	04	12	175	1450	−6.1	80	11	04	3000	−5.9	37	08	20	5540	−22.5	35	08	47
3	1	40101	81610	—	967	−0.5	75	00	00	225	1515	−1.5	64	00	00	3045	−7.1	37	05	03	5580	−23.1	52	02	24
4	2	40101	82074	—	966	6.0	60	00	00	175	1530	−1.1	64	26	12	3065	−5.3	23	29	09	5600	−24.8	22	34	17
5	3	70021	83630	—	954	−1.0	55	35	05	116	1400	−9.1	62	34	07	2870	−19.8	62	35	09	5265	−37.5	54	33	15
6	7	70022	87620	—	944	0.0	60	35	05	082	1315	−6.5	83	07	11	2800	−17.8	90	05	10	5230	−35.7	82	13	12
7	6	74031	82464	84070	944	2.0	55	04	07	082	1310	−6.9	61	22	03	2805	−16.8	37	22	18	5230	−36.5	55	24	33
8	8	71022	88459	—	940	3.0	50	23	07	502	1305	−0.6	57	22	06	2815	−12.7	94	22	10	5275	−32.5	100	20	38
9	5	70020	82640	83074	945	4.8	50	03	12	041	1335	−6.3	80	05	18	2820	−16.4	36	05	14	5245	−37.0	32	16	16
10	8	56772	88740	—	950	0.2	88	04	17	083	1375	−7.2	100	08	17	2880	−8.6	52	09	22	5395	−28.4	83	09	49
11	8	50022	88720	—	955	−1.1	81	04	12	125	1405	−7.7	100	14	03	2915	−12.3	86	21	08	5410	−27.6	98	08	15
12	3	57012	83628	—	959	0.0	80	01	07	158	1445	−1.7	59	05	11	2955	−12.2	52	18	16	5430	−29.6	68	14	16
13	0	70020	—	—	959	6.0	60	00	00	158	1470	0.8	43	32	05	3000	−9.0	30	27	05	5510	−27.3	20	27	27
14	0	60055	—	—	960	8.7	42	03	08	155	1475	−2.8	20	04	20	2975	−12.1	18	03	10	5480	−26.8	13	03	15
15	2	57020	82071	—	963	7.6	40	04	14	180	1505	−1.0	32	05	17	3040	−7.4	41	04	17	5565	−25.5	31	03	16
16	1	70020	81073	—	960	10.0	35	00	00	155	1490	3.8	34	28	04	3030	−6.7	20	29	12	5575	−25.2	24	34	31
17	7	57032	83640	84468	952	9.0	55	30	12	085	1405	−0.2	88	26	16	2920	−11.7	100	27	33	5430	−26.0	84	29	54
18	4	74031	84849	—	958	3.0	45	32	07	150	1440	−7.4	68	31	04	2920	−18.5	58	33	14	5370	−30.1	30	33	71
19	4	71031	82856	82077	952	5.1	36	23	12	100	1395	−6.1	56	23	17	2885	−14.2	45	26	27	5360	−30.5	43	29	50
20	5	73032	85071	—	948	7.2	60	04	09	050	1370	−3.7	90	23	08	2870	−14.2	70	24	27	5350	−28.6	60	27	41
21	8	70022	82614	86734	941	9.0	85	22	11	511	1320	1.1	90	23	45	2860	−7.4	90	24	52	5395	−25.0	90	26	49
22	7	74022	87640	—	955	12.0	65	25	18	111	1450	2.9	96	23	21	3000	−7.3	100	26	32	5540	−25.0	100	26	27
23	8	74022	88650	—	962	12.6	56	00	00	172	1520	5.2	55	23	28	3070	−5.5	100	26	28	5640	−21.0	100	26	59
24	7	74022	87750	—	960	20.2	40	23	15	143	1520	10.2	41	24	27	3100	−1.6	63	26	39	5690	−18.9	10	26	61
25	7	74022	87362	—	958	18.8	60	00	00	125	1520	14.3	25	21	17	3120	2.4	50	24	33	5710	−19.0	100	25	27
26	8	74022	84659	84461	954	19.0	18	22	13	089	1470	11.0	40	23	40	3055	−3.2	76	24	48	5640	−21.0	66	24	76
27	6	74021	86656	—	954	18.0	15	35	11	089	1470	8.1	83	26	06	3040	−4.3	100	23	11	5610	−21.3	39	27	39
28	8	57026	88505	—	956	4.6	93	03	08	133	1445	1.8	100	23	04	3000	−7.4	97	25	17	5525	−25.2	80	26	12
29	8	57022	88610	—	957	3.5	78	04	06	141	1445	−2.0	100	33	05	2965	−9.2	100	25	26	5495	−25.8	10	28	27
30	8	57022	88712	—	957	3.3	77	05	22	141	1430	−8.1	100	07	22	2930	−9.7	22	24	15	5440	−26.4	24	26	25
31	7	57022	87714	—	953	3.8	70	03	15	108	1405	−1.5	80	06	07	2935	−7.7	50	31	05	5460	−25.4	34	25	07
Moyen					955	6.2	61	—	09	115	1430	−1.3	69	—	14	2955	−9.6	61	—	20	5466	−26.9	54	—	33

niveaux standard

03.00 h

400 mb					300 mb					200 mb				150 mb				100 mb				Tropopause		
H	T	U	dd	ff	H	T	U	dd	ff	H	T	dd	ff	H	T	dd	ff	H	T	dd	ff	H	P	T
7025	–41.6	35	06	20	8925	–50.9	—	06	71	11530	–54.4	04	33	—	—	—	—	—	—	—	—	10640	230	–54.4
7070	–36.9	31	08	23	9000	–49.6	—	07	89	11585	–57.8	06	36	—	—	—	—	—	—	—	—	11040	218	–58.5
7195	–34.0	73	06	44	9140	–49.9	—	05	60	11685	–67.0	05	44	—	—	—	—	—	—	—	—	12120	186	–67.4
7195	–35.8	10	04	77	9140	–50.2	—	03	55	11680	–63.4	36	44	—	—	—	—	—	—	—	—	11330	212	–67.0
7030	–42.0	42	30	66	8905	–58.5	—	30	60	11425	–62.5	30	55	—	—	—	—	—	—	—	—	11210	207	–64.2
6680	–50.8	72	20	08	8530	–52.7	—	28	15	11065	–52.0	28	33	—	—	—	—	—	—	—	—	7320	362	–53.5
6685	–51.0	82	24	16	8570	–49.4	—	22	22	11220	–51.9	23	15	—	—	—	—	—	—	—	—	7000	382	–52.0
6750	–46.5	100	22	83	8650	–51.0	—	21	35	11270	–52.0	22	15	—	—	—	—	—	—	—	—	9320	270	–54.0
6730	–44.9	40	19	44	8625	–50.3	—	20	48	11270	–49.3	21	34	—	—	—	—	—	—	—	—	9200	275	–51.5
6870	–42.0	88	14	48	8770	–54.8	—	14	55	11380	–51.5	12	05	—	—	—	—	—	—	—	—	9310	276	–57.6
7035	–39.7	25	09	38	8960	–50.8	—	08	36	11540	–56.5	09	28	—	—	—	—	—	—	—	—	9850	262	–56.0
7000	–39.2	100	09	30	8900	–53.6	—	09	33	11500	–53.7	10	16	—	—	—	—	—	—	—	—	9420	277	–55.3
7020	43.0	34	25	30	8890	–57.4	—	25	50	11455	–56.5	09	15	—	—	—	—	—	—	—	—	9460	274	–60.5
7035	–40.2	20	28	24	8940	–53.7	—	06	46	11480	–61.1	01	10	—	—	—	—	—	—	—	—	10570	231	–61.1
7130	–37.5	21	04	32	9055	–51.5	—	03	33	11580	–64.2	02	35	—	—	—	—	—	—	—	—	10950	222	–65.0
7100	–38.9	83	36	40	9000	–55.0	—	01	43	11510	–68.0	01	36	—	—	—	—	—	—	—	—	11630	196	–68.0
7125	–37.8	65	31	38	9040	–54.1	—	31	28	11520	–71.9	31	50	—	—	—	—	—	—	—	—	10330	244	–65.3
6950	–38.3	28	32	68	8865	–52.3	—	31	80	11420	–61.1	29	46	—	—	—	—	—	—	—	—	11570	195	–61.2
6955	–39.3	55	30	77	8870	–51.9	—	31	95	11430	–62.0	31	66	—	—	—	—	—	—	—	—	11490	198	–62.2
6880	–44.2	54	29	66	8750	–56.2	—	29	78	—	—	—	—	—	—	—	—	—	—	—	—	—	—	—
6975	–37.6	100	24	46	8880	–55.1	—	24	55	11370	–67.7	26	45	—	—	—	—	—	—	—	—	11050	211	–68.7
7045	–37.0	75	27	22	8945	–55.4	—	30	11	11500	–56.3	28	38	—	—	—	—	—	—	—	—	9970	255	–59.0
7180	–31.4	79	31	77	9165	–42.6	—	31	95	11820	–46.8	30	98	—	—	—	—	—	—	—	—	10770	235	–55.3
7285	–30.1	81	28	44	9255	–45.7	—	29	82	11845	–64.5	29	104	—	—	—	—	—	—	—	—	12750	172	–69.8
7350	–29.2	58	29	45	9340	–44.4	—	29	48	11925	–65.0	28	66	—	—	—	—	—	—	—	—	12430	184	–68.4
7320	–27.2	52	24	35	9315	–44.6	—	26	50	11885	–67.8	26	47	—	—	—	—	—	—	—	—	12190	190	–69.4
7200	–34.0	67	25	71	9160	–46.7	—	25	78	11780	–59.7	24	71	—	—	—	—	—	—	—	—	12100	190	–60.0
7165	–35.9	82	27	29	9100	–51.0	—	27	45	11670	–59.0	27	72	—	—	—	—	—	—	—	—	10610	237	–59.7
7090	–37.0	70	26	74	9040	–50.5	—	27	59	11600	–56.5	27	55	—	—	—	—	—	—	—	—	10360	244	–58.4
7085	–39.0	10	27	55	9000	–52.2	—	26	49	11620	–52.3	26	56	—	—	—	—	—	—	—	—	10000	256	–55.6
7000	–40.0	15	25	11	8925	–50.8	—	25	15	11520	–53.7	25	30	—	—	—	—	—	—	—	—	10050	252	–57.5
7037	–38.8	56	—	45	8956	–51.4	—	—	52	11536	–58.9	—	43	—	—	—	—	—	—	—	—	—	—	—

15.00 h

7000	–40.0	40	07	22	8930	–48.8	—	07	66	11540	–59.5	06	37	—	—	—	—	—	—	—	—	12560	170	–59.8
7130	–36.0	36	08	44	9060	–51.5	—	08	50	11595	–66.8	08	50	—	—	—	—	—	—	—	—	11595	200	–66.8
7180	–35.0	37	01	33	9120	–49.7	—	02	70	11660	–65.2	01	77	—	—	—	—	—	—	—	—	11370	210	–66.8
7190	–37.0	38	34	23	9115	–51.8	—	01	48	11630	–67.3	35	45	—	—	—	—	—	—	—	—	11560	203	–67.7
6790	–46.3	54	30	29	8670	–50.5	—	30	38	11320	–53.0	31	37	—	—	—	—	—	—	—	—	11560	194	–53.2
6730	–47.2	80	14	12	8625	–47.0	—	20	11	11310	–46.5	25	22	—	—	—	—	—	—	—	—	7420	360	–50.0
6740	–48.1	63	23	48	8615	–50.6	—	21	60	11250	–52.3	22	16	—	—	—	—	—	—	—	—	7580	352	–51.7
6820	–41.4	90	21	60	8735	–48.2	—	21	50	11390	–48.3	20	38	—	—	—	—	—	—	—	—	9570	264	–51.2
6745	–49.3	42	18	61	8605	–52.4	—	17	66	11230	–50.6	16	22	—	—	—	—	—	—	—	—	7600	351	–53.2
6950	–39.4	63	09	60	8835	–58.3	—	10	49	11325	–62.9	10	39	—	—	—	—	—	—	—	—	10680	215	–66.3
6975	–39.0	91	08	25	8880	–54.4	—	07	23	11435	–55.5	08	13	—	—	—	—	—	—	—	—	9910	255	–59.9
6975	–42.4	51	17	11	8875	–52.4	—	13	08	11470	–54.0	12	14	—	—	—	—	—	—	—	—	10140	246	–56.4
7070	–40.0	20	26	33	8975	–54.0	—	25	50	11540	–54.7	26	05	—	—	—	—	—	—	—	—	9940	258	–61.5
7050	–38.0	15	04	30	8970	–52.1	—	05	30	11510	–62.6	05	22	—	—	—	—	—	—	—	—	11120	213	–65.0
7145	–37.3	45	03	55	9060	–53.2	—	03	35	11590	–65.6	02	33	—	—	—	—	—	—	—	—	11170	214	–66.8
7150	–37.6	34	34	33	9070	–51.6	—	34	49	11610	–66.2	34	30	—	—	—	—	—	—	—	—	11730	196	–66.6
7000	–36.7	100	30	77	8955	–52.3	—	29	77	—	—	—	—	—	—	—	—	—	—	—	—	—	—	—
6915	–42.8	44	32	71	8800	–51.2	—	32	126	11380	–58.8	32	71	—	—	—	—	—	—	—	—	10840	218	–59.8
6910	–40.6	55	29	65	8815	–53.1	—	29	65	11350	–64.9	28	65	—	—	—	—	—	—	—	—	11350	200	–64.9
6905	–40.7	68	28	50	8800	–54.6	—	28	60	11320	–60.4	27	42	—	—	—	—	—	—	—	—	10070	245	–62.7
6970	–38.0	90	29	23	8885	–53.2	—	27	28	11480	–54.8	23	20	—	—	—	—	—	—	—	—	9470	274	–54.2
7120	–36.8	60	26	32	9050	–49.0	—	27	43	11670	–51.0	28	56	—	—	—	—	—	—	—	—	9950	262	–54.0
7240	–32.6	100	28	68	9205	–47.1	—	29	67	—	—	—	—	—	—	—	—	—	—	—	—	—	—	—
7300	–31.2	40	28	56	9300	–45.9	—	28	68	11895	–63.8	—	—	—	—	—	—	—	—	—	—	12640	177	–69.0
7340	–30.8	48	25	30	9320	–44.8	—	26	49	11900	–66.6	26	38	—	—	—	—	—	—	—	—	12600	178	–70.4
7265	–29.5	72	24	94	9260	–43.9	—	24	94	11860	–62.0	25	115	—	—	—	—	—	—	—	—	11680	206	–62.8
7220	–33.2	33	26	50	9185	–45.1	—	26	66	11830	–53.2	26	76	—	—	—	—	—	—	—	—	10540	236	–59.1
7105	–38.9	83	26	23	9030	–52.2	—	25	18	11590	–56.9	26	47	—	—	—	—	—	—	—	—	9880	260	–57.5
7065	–38.8	10	27	38	8980	–53.0	—	26	66	11550	–54.0	27	66	—	—	—	—	—	—	—	—	10130	248	–57.0
7005	–40.0	35	26	38	8915	–52.7	—	30	46	11500	–54.3	21	75	—	—	—	—	—	—	—	—	—	—	—
7035	–36.4	22	25	20	8980	–49.1	—	24	34	11580	–52.1	25	25	—	—	—	—	—	—	—	—	11180	213	–56.9
7033	–38.7	58	—	42	8955	–50.7	—	—	52	11528	–58.1	—	43	—	—	—	—	—	—	—	—			

Observations au

Avril 1955

Jour	Données synoptiques en surface (Code AERO)				Surface 491 m					1000 mb	850 mb					700 mb					500 mb				
	N	VVwwW	NsChshs	NsChshs	P	T	U	dd	ff	H	H	T	U	dd	ff	H	T	U	dd	ff	H	T	U	dd	f
1	0	40100	—	—	955	–2.0	90	00	00	125	1420	–3.4	90	06	18	2940	–8.2	10	06	18	5470	–25.4	35	27	0
2	0	70020	—	—	964	1.0	95	05	07	200	1500	–2.4	82	06	20	3030	–5.3	48	07	15	5590	–23.3	16	04	3
3	2	50030	—	—	962	0.3	100	00	00	183	1495	1.1	74	25	10	3025	–6.5	16	27	22	5575	–22.5	14	32	1
4	6	71022	86658	—	964	5.2	88	00	00	200	1515	0.7	81	31	05	3035	–9.9	100	33	23	5570	–24.1	57	32	2
5	8	71022	88359	—	964	8.0	90	00	00	189	1525	2.2	73	24	06	3060	–5.8	98	33	12	5620	–20.5	47	33	3
6	2	71020	82358	—	962	4.0	100	00	00	183	1515	6.8	70	00	00	3080	–4.0	100	01	03	5650	–20.1	14	35	2
7	8	71022	74011	83364	960	9.3	84	00	00	155	1500	5.9	70	26	08	3050	–6.9	82	26	14	5590	–23.4	100	22	1
8	3	74011	83364	—	968	2.6	100	00	00	233	1540	–1.3	96	00	00	3060	–8.9	63	33	06	5600	–23.0	92	35	3
9	8	70616	88617	—	967	8.0	100	21	05	215	1540	2.1	100	33	08	3090	–4.5	100	34	17	5670	–18.9	100	34	2
10	4	74021	84620	—	966	6.8	80	00	00	206	1540	3.5	85	34	08	3080	–6.2	60	30	09	5620	–22.7	20	30	2
11	8	70602	88627	—	967	7.0	100	00	00	215	1530	–1.6	100	27	14	3055	–9.0	100	35	24	5600	–21.0	25	01	4
12	5	57022	85362	—	967	6.0	100	00	00	215	1555	–0.5	93	35	12	3085	–6.3	36	34	33	5640	–20.7	88	35	5
13	0	57020	—	—	971	2.1	100	00	00	258	1585	3.2	95	06	16	3135	–2.9	25	03	28	5715	–18.9	97	02	5
14	0	57020	—	—	967	3.0	100	00	00	225	1505	2.7	100	04	10	3105	–4.6	15	34	20	5655	–23.1	59	33	4
15	4	71021	84358	—	963	2.3	84	00	00	191	1495	–4.4	89	06	22	2990	–13.5	51	02	28	5465	–28.7	10	01	7
16	0	57020	—	—	962	–0.8	100	00	00	183	1475	–7.9	100	06	22	2970	–13.3	97	03	23	5465	–28.4	65	03	7
17	0	60021	—	—	963	0.0	100	03	08	191	1480	–5.6	100	07	35	3000	–10.6	62	09	30	5505	–25.2	89	10	4
18	0	70021	—	—	968	–2.0	90	00	00	233	1530	–2.4	60	07	23	3070	–5.8	31	07	37	5630	–23.0	29	06	2
19	0	70020	—	—	963	2.0	100	00	00	191	1500	–1.5	69	07	18	3000	–7.8	54	02	22	5570	–23.3	32	36	4
20	0	74020	—	—	959	–1.0	80	00	00	158	1415	–2.4	65	06	07	3000	–7.8	18	03	17	5535	–23.7	34	36	3
21	0	70020	—	—	959	–1.0	90	00	00	158	1470	2.6	54	00	00	3000	–5.4	50	03	05	5560	–22.7	48	03	0
22	0	70020	—	—	960	3.0	85	00	00	167	1490	2.4	76	05	14	3045	–3.8	10	29	07	5600	–23.7	19	32	2
23	0	70020	—	—	959	1.3	100	00	00	158	1475	2.7	83	26	02	3000	–5.2	10	28	16	5560	–24.9	20	31	2
24	0	57020	—	—	956	3.0	96	00	00	133	1455	4.9	72	26	06	3000	–8.3	30	27	17	5520	–25.8	57	29	2
25	3	71030	—	—	960	4.2	78	04	06	167	1475	0.1	92	06	05	3015	–5.3	33	33	22	5585	–19.3	31	33	3
26	0	71020	—	—	960	0.7	90	00	00	167	1480	4.5	76	00	00	3045	–2.1	17	25	04	5615	–20.8	18	29	1
27	8	74022	88360	—	960	9.2	77	00	00	155	1500	5.3	52	24	17	3055	–6.4	88	27	25	5600	–21.7	45	29	3
28	0	74020	—	—	961	5.9	100	00	00	175	1515	8.7	70	00	00	3090	–1.7	79	30	08	5700	–15.1	85	32	0
29	0	71020	—	—	961	9.3	93	00	00	163	1525	11.7	58	00	00	3115	–0.7	90	22	05	5725	–18.3	78	15	1
30	4	71020	—	—	962	13.2	72	00	00	172	1535	9.7	60	24	03	3110	–2.1	100	20	08	5700	–18.4	68	18	1
Moy.					963	3.7	92	–	01	185	1503	1.6	80	—	10	3045	–6.3	56	—	17	5597	–22.4	50	—	3

Avril 1955

1	1	71020	81656	—	959	8.0	40	06	16	155	1485	–2.7	49	05	23	3000	–11.0	30	04	21	5490	–27.0	51	04	2
2	0	56100	—	—	962	11.0	53	00	00	172	1500	2.7	50	24	07	3045	–4.7	25	27	08	5600	–20.5	25	29	0
3	6	57031	86657	—	962	13.2	48	00	00	172	1505	1.2	70	35	08	3030	–8.6	100	35	20	5560	–26.1	14	35	2
4	8	80021	84650	84458	963	15.0	45	00	00	180	1525	4.2	60	36	03	3070	–7.2	97	31	15	5620	–20.4	98	33	5
5	6	71022	83650	84360	963	17.6	52	00	00	169	1525	4.0	52	15	04	3070	–6.3	96	33	17	5620	–22.5	79	33	2
6	4	74020	84363	—	959	19.0	35	00	00	134	1510	9.5	35	33	03	3075	–1.9	30	33	12	5625	–24.5	96	33	1
7	8	71608	88526	—	966	10.0	96	34	06	206	1535	–0.2	100	29	04	3065	–8.3	100	25	08	5600	–24.2	100	23	1
8	8	74022	84633	84757	967	13.0	55	19	08	215	1550	0.5	92	27	09	3080	–7.0	98	35	15	5635	–22.0	66	01	3
9	7	70031	87633	—	965	15.0	50	31	10	198	1550	2.8	95	27	04	3100	–6.5	97	33	15	5660	–21.3	75	30	2
10	4	74021	82640	82364	965	13.0	45	33	05	198	1530	0.4	69	30	07	3050	–10.2	22	31	08	5580	–24.7	79	33	4
11	8	50606	88740	—	966	10.2	90	22	10	206	1550	2.7	96	31	20	3095	–6.1	100	34	23	5660	–18.2	95	34	3
12	5	71021	87647	—	970	12.3	45	06	13	240	1585	1.7	73	05	12	3110	–7.1	33	03	30	5655	–20.5	36	02	3
13	5	71030	82650	82361	970	16.0	40	01	07	240	1580	2.6	72	03	12	3130	–2.5	31	35	14	5700	–20.1	63	34	3
14	2	56020	82650	—	963	13.1	40	02	14	180	1515	0.4	55	35	10	3045	–8.8	21	35	20	5570	–24.4	26	34	3
15	6	60152	86640	—	961	8.1	65	05	14	163	1425	–3.1	80	06	20	2985	–15.3	94	03	23	5450	–28.0	32	01	6
16	6	56153	86645	—	962	4.8	55	07	16	183	1490	–5.3	52	05	18	3000	–16.0	59	05	18	5420	–35.3	44	04	2
17	6	68022	86633	—	966	6.2	61	06	21	216	1520	–4.8	94	07	22	3040	–7.5	64	09	20	5585	–22.1	74	09	2
18	1	74020	81630	—	966	12.5	45	04	12	206	1540	0.9	66	04	13	3075	–7.2	60	02	20	5605	–23.9	50	36	2
19	1	71020	81640	—	961	10.4	40	05	14	163	1485	–2.0	55	05	18	3000	–10.4	26	34	12	5505	–27.9	33	36	4
20	0	74020	—	—	959	13.0	36	00	00	146	1480	0.5	35	00	00	3010	–8.2	26	04	03	5540	–24.8	25	03	1
21	1	74020	81656	—	959	16.3	40	00	00	146	1500	4.7	40	02	05	3055	–6.5	44	34	06	5590	–23.7	37	36	0
22	0	57020	—	—	959	16.2	37	00	00	146	1495	4.0	57	33	05	3035	–6.2	15	28	10	5575	–25.0	24	31	2
23	1	57030	81857	—	957	15.3	50	34	07	129	1475	4.9	52	28	06	3025	–8.1	53	26	16	5540	–25.8	27	29	2
24	2	74020	82856	—	957	18.0	38	30	10	116	1480	5.6	34	32	10	3025	–8.7	68	26	10	5560	–22.5	30	35	2
25	0	74020	—	—	960	13.0	45	03	18	155	1495	1.8	47	05	10	3035	–5.3	22	04	12	5610	–20.6	22	35	1
26	3	74010	81858	82070	960	19.0	48	00	00	143	1525	7.7	57	25	07	3095	–1.7	75	25	17	5700	–15.8	79	29	2
27	6	71032	86175	—	957	19.1	40	25	20	116	1490	19.1	40	25	20	3050	–4.2	49	24	33	5630	–21.3	34	26	3
28	3	74020	82637	81072	960	22.8	44	00	00	143	1530	11.6	48	00	00	3110	–0.2	56	20	04	5720	–16.6	58	20	0
29	4	74021	82656	83070	961	23.3	40	00	00	152	1540	11.3	60	00	00	3125	–1.0	65	20	08	5725	–20.0	64	18	1
30	3	71020	83840	—	961	23.6	35	00	00	152	1545	11.7	44	00	00	3130	–0.5	65	22	11	5740	–16.6	28	21	1
Moy.					962	14.3	48	—	07	171	1515	2.9	61	—	09	3059	–6.8	57	—	15	5602	–22.8	52	—	3

niveaux standard

03.00 h

400 mb					300 mb					200 mb				150 mb				100 mb				Tropopause		
H	T	U	dd	ff	H	T	U	dd	ff	H	T	dd	ff	H	T	dd	ff	H	T	dd	ff	H	P	T
7040	–40.9	60	17	02	8950	–52.0	—	21	15	—	—	—	—	—	—	—	—	—	—	—	—	—	—	—
7180	–36.0	16	02	43	9130	–47.2	—	03	43	—	—	—	—	—	—	—	—	—	—	—	—	—	—	—
7180	–32.8	14	30	13	9130	–49.6	—	29	18	11670	–63.9	31	25	—	—	—	—	—	—	—	—	11150	218	–65.8
7150	–37.5	51	33	40	9070	–52.4	—	35	58	11615	–59.1	32	35	—	—	—	—	—	—	—	—	10750	230	–62.0
7225	–33.4	59	34	32	9180	–48.3	—	34	38	11755	–62.6	34	44	—	—	—	—	—	—	—	—	11340	214	–62.6
7270	–33.4	15	35	15	9210	–50.7	—	33	18	11740	–66.7	34	23	—	—	—	—	—	—	—	—	11680	202	–67.1
7165	–38.0	95	22	23	9080	–54.8	—	21	20	11590	–62.9	27	22	—	—	—	—	—	—	—	—	11170	214	–66.2
7185	–36.3	88	35	32	9120	–51.8	—	01	83	11660	–60.5	35	32	—	—	—	—	—	—	—	—	10860	228	–63.2
7290	–31.6	86	33	21	9270	–45.2	—	34	33	11880	–63.0	35	26	—	—	—	—	—	—	—	—	—	—	—
7250	–33.6	62	29	27	9195	–50.1	—	29	43	11790	–55.1	30	23	—	—	—	—	—	—	—	—	10680	238	–58.0
7200	–34.5	10	01	66	9140	–48.6	—	01	83	11720	–63.4	34	28	—	—	—	—	—	—	—	—	11900	194	–64.0
7255	–29.6	100	35	89	9250	–44.8	—	35	82	11815	–63.3	36	130	—	—	—	—	—	—	—	—	11400	214	–65.0
7330	–33.2	100	01	55	9270	–49.0	—	01	83	11835	–65.0	01	92	—	—	—	—	—	—	—	—	11680	205	–65.3
7135	–36.9	70	33	60	—	—	—	—	—	—	—	—	—	—	—	—	—	—	—	—	—	—	—	—
7025	–39.2	10	86	110	8930	–53.5	—	86	136	11525	–54.3	—	—	—	—	—	—	—	—	—	—	9230	286	–55.0
7000	–41.0	75	36	45	8940	–49.2	—	01	71	11590	–49.6	01	–77	—	—	—	—	—	—	—	—	9820	262	–50.4
7070	–38.2	85	10	50	9000	–54.0	—	10	50	11580	–51.5	03	05	—	—	—	—	—	—	—	—	9550	275	–58.4
7220	–35.8	33	06	33	9160	–49.2	—	07	38	11740	–59.8	06	28	—	—	—	—	—	—	—	—	11740	200	–59.8
7150	–37.0	31	35	77	9070	–53.3	—	35	52	—	—	—	—	—	—	—	—	—	—	—	—	—	—	—
7120	–36.6	37	35	37	9050	–51.5	—	34	36	11650	–53.9	34	45	—	—	—	—	—	—	—	—	10350	245	–56.8
7155	–35.9	62	07	03	9080	–52.0	—	03	04	11640	–58.9	32	04	—	—	—	—	—	—	—	—	10240	250	–60.4
7200	–35.7	27	29	21	9120	–51.4	—	30	27	11700	–56.0	30	21	—	—	—	—	—	—	—	—	10420	245	–58.5
7150	–37.0	14	30	20	9065	–53.2	—	30	20	11630	–58.0	30	49	—	—	—	—	—	—	—	—	10490	240	–60.0
7100	–36.3	58	29	32	9035	–50.7	—	29	33	11615	–55.6	29	27	—	—	—	—	—	—	—	—	10870	225	–57.7
7200	–32.9	49	34	33	9160	–47.6	—	34	28	11730	–63.8	33	31	—	—	—	—	—	—	—	—	11430	210	–63.8
7215	–35.9	18	28	27	9140	–51.9	—	30	30	11670	–66.8	30	30	—	—	—	—	—	—	—	—	—	—	—
7215	–32.9	37	32	40	9 165	–49.5	—	34	62	11730	–58.5	29	26	—	—	—	—	—	—	—	—	11190	218	–61.0
7340	–28.9	85	36	06	9325	–45.5	—	05	11	11905	–64.2	08	13	—	—	—	—	—	—	—	—	12380	185	–65.1
7350	–30.6	77	15	15	9330	–45.1	—	16	30	11925	–62.9	15	26	—	—	—	—	—	—	—	—	12300	188	–63.7
7320	–31.6	33	18	25	9280	–47.2	—	19	20	11870	–64.5	21	18	—	—	—	—	—	—	—	—	11870	200	–64.5
7190	–35.1	52	—	36	9133	–50.0	—	—	41	11711	–60.1	—	35	—	—	—	—	—	—	—	—			

15.00 h

7045	–39.6	46	03	36	8965	–52.6	—	02	22	11545	–54.9	34	15	—	—	—	—	—	—	—	—	10250	245	–57.4
7205	–33.8	25	32	15	9155	–49.0	—	31	20	11725	–62.3	34	28	—	—	—	—	—	—	—	—	11450	209	–62.4
7135	–38.1	20	28	21	9035	–55.5	—	25	24	11550	–60.3	31	20	—	—	—	—	—	—	—	—	10380	242	–64.4
7230	–31.3	18	34	60	9215	–45.3	—	36	66	11800	–59.9	34	52	—	—	—	—	—	—	—	—	11660	205	–60.7
7210	–34.1	62	33	36	9155	–49.7	—	33	20	11700	–65.0	32	33	—	—	—	—	—	—	—	—	11830	196	–65.2
7210	–37.7	94	32	17	9120	–53.7	—	31	15	11620	–68.9	30	16	—	—	—	—	—	—	—	—	11680	198	–69.0
7180	–37.3	90	22	27	9085	–55.4	—	22	48	11615	–60.0	31	22	—	—	—	—	—	—	—	—	10380	244	–62.2
7230	–34.3	54	01	47	9180	–49.0	—	01	79	11720	–67.0	01	33	—	—	—	—	—	—	—	—	11720	200	–67.0
7250	–33.0	100	30	26	9240	–46.7	—	27	37	11820	–65.1	28	29	—	—	—	—	—	—	—	—	12000	194	–66.0
7160	–38.0	64	35	49	9060	–55.8	—	35	66	11580	–60.0	34	50	—	—	—	—	—	—	—	—	10260	248	–62.7
7290	–31.4	86	34	49	9255	–47.4	—	35	61	11830	–63.2	01	56	—	—	—	—	—	—	—	—	11830	200	–63.2
7270	–31.5	55	02	88	9240	–46.5	—	02	153	11850	–59.0	—	—	—	—	—	—	—	—	—	—	11600	208	–59.4
7310	–32.4	84	34	52	9270	–49.8	—	34	75	11840	–60.6	34	80	—	—	—	—	—	—	—	—	11480	212	–61.8
7155	–34.6	26	34	82	9105	–48.8	—	34	107	11720	–50.5	—	—	—	—	—	—	—	—	—	—	10650	236	–54.7
7000	–38.3	23	01	98	8925	–51.2	—	36	85	11550	–54.5	36	55	—	—	—	—	—	—	—	—	11550	200	–54.5
6940	–45.2	41	03	24	8850	–47.1	—	01	28	11520	–49.2	03	16	—	—	—	—	—	—	—	—	11860	190	–50.0
7185	–34.4	72	08	38	9110	–52.4	—	09	34	11700	–53.8	07	24	—	—	—	—	—	—	—	—	10330	248	–59.0
7195	–36.5	54	36	30	9120	–50.5	—	34	33	11685	–61.2	34	35	—	—	—	—	—	—	—	—	11300	213	–62.1
7060	–39.4	27	36	48	8970	–54.9	—	35	55	11530	–56.9	35	35	—	—	—	—	—	—	—	—	10000	254	–60.0
7120	–37.1	25	06	15	9050	–51.8	—	06	20	11605	–58.5	33	25	—	—	—	—	—	—	—	—	10590	235	–60.0
7185	–35.9	32	31	09	9105	–51.9	—	00	00	11680	–58.7	00	00	—	—	—	—	—	—	—	—	10270	250	–58.1
7155	–36.5	30	30	25	9090	–50.6	—	30	23	11645	–59.3	29	25	—	—	—	—	—	—	—	—	10650	234	–61.8
7110	–38.8	26	29	17	9000	–55.3	—	29	24	11550	–56.9	30	30	—	—	—	—	—	—	—	—	10160	250	–62.2
7150	–36.7	43	34	30	9085	–49.7	—	35	34	11635	–61.4	31	27	—	—	—	—	—	—	—	—	11220	214	–63.5
7215	–32.7	22	34	33	9170	–47.9	—	32	34	11750	–64.2	32	42	—	—	—	—	—	—	—	—	11750	200	–64.2
7340	–29.0	16	32	20	9315	–47.8	—	36	28	11875	–61.7	36	33	—	—	—	—	—	—	—	—	11570	207	–65.1
7235	–31.0	49	27	38	9205	–46.8	—	28	36	11780	–63.9	28	22	—	—	—	—	—	—	—	—	11540	211	–63.0
7350	–30.0	58	16	05	9330	–46.0	—	13	10	11915	–65.1	16	20	—	—	—	—	—	—	—	—	11570	207	–65.1
7335	–33.2	60	18	26	9290	–49.2	—	18	20	11845	–65.0	18	20	—	—	—	—	—	—	—	—	11690	205	–65.6
7330	–28.8	20	21	16	9375	–43.6	—	23	20	12000	–58.9	23	13	—	—	—	—	—	—	—	—	12350	189	–60.0
7193	–35.0	49	—	36	9136	–50.1			43	11706	–60.2		30											

Observations aux

Mai 1955

Jour	Données synoptiques en surface (Code AERO)				Surface 491 m					1000 mb	850 mb					700 mb					500 mb				
	N	VvwwW	NsChshs	NsChshs	P	T	U	dd	ff	H	H	T	U	dd	ff	H	T	U	dd	ff	H	T	U	dd	ff
1	3	74020	83650	—	961	11.5	70	00	00	163	1570	10.7	47	24	11	3100	–2.4	86	21	13	5685	–19.4	46	23	18
2	4	74808	84550	—	955	15.0	65	00	00	111	1470	11.3	52	24	17	3055	–1.4	98	24	30	5640	–18.2	68	24	27
3	7	74022	87634	—	956	6.2	100	00	00	133	1465	2.4	96	29	08	3000	–9.8	97	26	18	5525	–24.0	10	29	28
4	4	74021	84064	—	955	3.8	100	00	00	150	1460	5.0	71	23	13	3020	0.0	47	25	19	5640	–15.7	70	28	17
5	7	71608	87535	—	959	11.5	100	21	05	146	1490	4.8	100	24	33	3045	–3.5	100	27	44	5635	–16.5	100	27	66
6	4	74022	85556	—	962	12.1	100	00	00	172	1520	10.0	89	23	28	3115	0.0	70	26	23	5730	–15.7	84	27	33
7	7	71022	86640	84070	961	11.0	70	23	05	163	1515	4.6	65	27	33	3065	–4.4	55	24	33	5645	–20.0	10	25	36
8	0	74020	—	—	970	3.5	100	00	00	249	1580	4.0	100	06	10	3130	–4.1	38	02	13	5710	–20.6	24	02	30
9	4	74020	84366	—	965	5.5	100	00	00	208	1540	11.5	50	24	15	3140	3.2	10	25	11	5770	–15.3	33	26	17
10	6	73031	86650	—	959	14.5	50	23	08	134	1500	10.9	70	24	32	3085	0.2	100	24	32	5700	–16.9	10	25	43
11	7	74022	87650	—	960	11.0	65	00	00	155	1505	5.1	76	26	11	3050	–5.7	100	25	29	5650	–17.0	81	26	53
12	8	74026	88616	—	963	7.0	100	00	00	180	1510	–0.7	100	05	12	3035	–6.9	22	36	16	5600	–23.0	10	35	22
13	0	74020	—	—	960	4.0	100	00	00	155	1490	6.0	74	23	15	3065	–0.7	10	25	49	5670	–18.9	10	26	23
14	3	74020	83362	—	953	14.0	50	22	10	080	1450	8.3	54	24	34	3035	–2.1	86	24	36	5610	–19.3	80	25	30
15	8	74616	88534	—	951	9.2	100	00	00	077	1410	3.0	98	24	30	2960	–5.1	100	23	44	5525	–20.3	90	25	55
16	1	78021	81614	—	959	2.0	100	00	00	158	1470	–1.4	72	24	17	2980	–14.1	100	27	24	5470	–27.0	75	30	70
17	7	74022	87647	—	953	13.3	40	22	06	094	1450	8.3	50	22	42	3025	–1.0	92	26	48	5645	–14.7	100	27	40
18	8	57636	—	—	952	9.4	100	00	00	085	1435	5.5	100	23	42	2995	–2.9	100	25	67	5585	–18.7	86	25	48
19	8	74022	—	—	963	4.6	86	22	07	180	1500	–3.0	83	26	18	2995	13.9	72	27	23	5470	–30.0	55	28	40
20	4	78022	87658	—	966	4.0	88	00	00	206	1535	–1.7	74	25	07	3045	–12.2	80	24	27	5560	–24.3	44	27	55
21	5	80020	85656	—	965	3.0	100	00	00	208	1515	–1.1	64	02	05	3020	–12.8	100	25	15	5540	–25.0	36	27	45
22	7	80022	87630	—	965	5.2	100	00	00	198	1515	–1.6	100	28	11	3030	–12.1	100	30	22	5525	–28.7	79	28	17
23	0	71020	—	—	970	0.3	100	00	00	249	1555	–1.7	85	06	16	3090	–6.4	28	35	04	5640	–20.2	66	30	33
24	0	74020	—	—	964	3.0	100	00	00	189	1540	7.5	43	24	03	3105	–2.2	33	27	09	5685	–18.7	24	29	23
25	4	78022	87658	—	966	4.0	88	00	00	206	1535	–1.7	74	25	07	3045	–12.2	80	24	27	5560	–24.3	44	27	55
26	8	71022	88640	—	957	11.8	100	00	00	129	1485	7.8	85	23	18	3040	–2.6	92	28	12	5650	–17.8	95	26	15
27	8	71022	88650	—	957	12.5	100	00	00	129	1475	6.8	100	23	27	3045	–2.1	100	25	26	5635	–14.4	87	26	27
28	2	74021	—	—	961	5.0	100	00	00	166	1500	3.2	95	26	13	3040	–4.4	70	25	26	5640	–15.0	32	30	68
29	8	70022	88650	—	962	10.0	80	00	00	169	1505	1.2	88	27	08	3040	–9.8	100	30	16	5565	–23.0	80	31	20
30	6	70022	86656	—	963	7.0	100	00	00	183	1500	3.0	92	—	—	3050	–5.0	69	—	—	5620	–22.5	63	—	—
31	3	70021	83624	—	963	6.3	100	00	00	183	1530	6.0	86	07	17	3090	–3.1	26	08	08	5665	–20.8	10	05	13
Moyen					961	7.8	89	—	01	162	1501	4.3	78	—	18	3050	–5.1	73	—	25	5619	–20.3	55	—	36

Mai 1955

1	4	71021	82845	83174	958	23.6	40	25	18	125	1510	12.1	43	23	07	3100	–1.7	72	21	22	5700	–17.0	32	23	20
2	8	70022	88636	—	952	17.0	70	25	10	071	1440	8.1	95	23	21	3000	–1.8	100	23	39	5580	–19.9	100	25	26
3	5	74021	84856	82362	956	16.0	45	00	00	120	1470	4.8	62	32	04	3000	–6.4	82	27	04	5600	–16.8	22	32	36
4	7	74152	85530	83360	956	14.0	65	22	14	120	1480	6.8	82	24	38	3040	–1.0	24	26	35	5630	–17.2	27	28	50
5	5	74022	85650	—	961	21.5	48	21	18	152	1530	9.8	64	24	20	3100	–2.8	99	26	27	5700	–16.0	60	29	48
6	6	74031	82650	82361	955	25.7	45	24	08	098	1500	13.9	72	22	23	3095	–0.7	93	22	34	5695	–18.6	46	23	52
7	5	82022	85657	—	967	14.8	45	33	07	215	1555	3.6	56	29	08	3090	–7.6	78	30	09	5630	–25.8	57	28	21
8	1	74020	81634	—	968	18.8	45	00	00	214	1580	8.0	70	02	03	3160	1.2	10	13	02	5760	–19.2	10	35	17
9	3	81011	83077	—	961	21.8	34	22	16	152	1535	12.2	21	22	33	3130	3.0	10	24	35	5755	–15.4	34	25	33
10	8	71028	84649	88364	958	17.2	64	28	10	125	1500	6.9	71	24	33	3070	–2.8	90	24	35	5645	–18.2	94	26	66
11	8	80602	82630	88361	958	13.3	70	29	07	137	1480	4.3	78	24	16	3080	–5.4	100	24	26	5600	–19.7	91	26	50
12	3	71020	82637	81070	963	14.8	50	00	00	169	1520	3.7	40	00	00	3080	–1.2	13	00	00	5665	–19.8	12	33	20
13	5	80020	81656	84072	957	21.0	35	22	16	116	1510	11.2	33	22	24	3080	–0.9	25	25	25	5680	–18.0	58	25	33
14	7	74022	84740	83620	953	15.0	60	20	14	080	1440	5.8	72	24	44	3000	–3.1	79	24	58	5600	–18.0	80	26	48
15	7	80802	87540	—	955	12.3	46	30	10	111	1440	–0.2	77	26	20	2960	–12.6	86	24	22	5475	–25.5	32	26	44
16	3	82020	82635	82070	957	15.0	40	24	08	116	1480	3.6	44	24	10	3080	–6.4	32	26	28	5585	–20.0	48	29	60
17	8	50606	88620	—	952	14.5	85	21	10	071	1430	7.7	90	21	38	3000	–1.0	100	24	40	5615	–16.6	95	24	44
18	6	74022	86640	—	958	11.2	60	24	08	137	1475	–1.0	100	25	11	2980	–13.2	100	24	36	5475	–27.8	20	24	90
19	5	80022	85643	—	965	11.3	38	27	12	198	1525	–2.5	79	23	13	3030	–14.3	92	26	18	5545	–24.3	14	27	45
20	7	80032	83656	84073	965	13.0	40	30	12	198	1535	0.9	59	27	06	3055	–10.1	60	23	24	5585	–22.1	12	27	55
21	4	74020	84658	—	963	15.0	40	00	00	169	1520	3.4	64	30	05	3055	–9.6	100	27	13	5575	–25.2	20	27	55
22	7	80020	87615	—	971	10.0	45	05	06	249	1585	–1.2	83	34	11	3090	–12.2	75	36	06	5620	–23.5	44	32	36
23	1	70020	81659	—	967	16.0	40	00	00	205	1550	3.5	25	20	03	3095	–5.4	20	33	05	5650	–20.0	27	32	34
24	2	70020	82634	—	960	20.5	40	07	07	143	1525	9.0	10	31	03	3095	–2.7	10	27	08	5670	–20.0	20	29	20
25	6	70032	83633	83360	955	23.1	44	00	00	098	1485	12.1	57	26	07	3075	0.8	22	23	18	5690	–16.1	95	27	17
26	5	72031	85940	—	955	20.5	55	29	08	098	1475	10.0	71	24	07	3045	–3.9	83	25	11	5630	–19.0	72	25	12
27	8	56616	88620	—	959	13.8	100	00	00	137	1500	7.3	100	26	17	3070	–0.9	100	25	40	5700	–15.3	100	24	60
28	8	70022	88650	—	958	17.0	60	24	16	123	1495	8.6	88	25	38	3065	–1.5	100	26	42	5670	–20.0	37	28	54
29	6	74022	88644	—	962	17.0	65	02	05	164	1520	2.1	100	03	03	3050	–8.7	100	06	03	5580	–23.0	10	02	05
30	3	74021	83630	—	963	18.0	50	06	15	166	1540	5.0	78	07	23	3095	–2.9	20	07	13	5670	–19.4	10	06	14
31	1	70030	81656	—	962	19.1	35	03	10	158	1525	7.8	52	07	12	3085	–4.9	35	06	06	5650	–20.0	30	35	17
Moyen					960	16.8	52	—	08	143	1505	6.0	66	—	16	3060	–4.5	65	—	22	5633	–19.9	45	—	38

niveaux standard

03.00 h

400 mb					300 mb					200 mb				150 mb				100 mb				Tropopause		
H	T	U	dd	ff	H	T	U	dd	ff	H	T	dd	ff	H	T	dd	ff	H	T	dd	ff	H	P	T
7305	–30.9	37	24	17	9265	–48.1	—	23	30	11830	–64.2	23	24									12080	192	–61.7
7260	–31.3	48	24	33	9250	–46.6	—	25	20	11795	–66.9	27	16									12000	193	–67.4
7110	–37.0	10	28	30	9055	–45.0	—	27	33	11725	–52.0	28	33									12960	165	–55.5
7280	–27.7	76	29	33	9285	–42.6	—	30	40	11905	–59.6	30	77									11850	202	–59.8
7275	–27.0	97	28	52	9285	–42.7	—	29	50	11890	–60.3	30	58									11710	206	–60.3
7365	–28.2	87	28	52	9365	–44.0	—	28	44	11985	–61.0	28	55									12070	197	–61.4
7255	–32.0	56	23	60	9230	–47.5	—	23	48	11840	–55.6	23	55									10550	245	–56.2
7320	–30.9	24	03	60	9350	–44.5	—	36	120	11955	–52.9	36	56									11530	214	–53.0
7420	–27.9	40	28	11	9420	–43.2	—	29	20	12000	–63.4	30	22									12460	188	–61.1
7350	–31.0	10	25	37	9315	–47.2	—	28	31	11850	–66.3	29	14									11770	203	–66.5
7280	–29.1	45	27	55	9270	–46.0	—	27	44	11880	–61.5	27	100									11880	200	–61.5
7185	–36.3	10	35	44	9100	–52.7	—	31	34	11680	–58.0	28	32									10770	231	–58.0
7290	–31.2	10	27	27	9270	–47.5	—	27	27	11835	–61.1	29	28									11480	212	–62.7
7230	–32.1	64	25	40	9215	–44.8	—	27	40	11880	–59.1	25	50									11960	196	–59.3
7140	–31.8	83	25	85	9110	–46.2	—	25	62	11710	–59.9	25	60									11710	200	–59.9
7045	–37.9	34	30	82	8975	–48.4	—	30	78	11610	–52.7	29	55									12180	183	–53.9
7295	–27.7	72	26	54	9290	–43.8	—	27	80	11875	–65.8	26	62									12030	195	–66.8
7210	–29.1	79	23	56	9215	–41.9	—	21	85	11850	–56.3	—	—									11510	211	–58.8
7020	–40.1	41	29	87	8980	–42.5	—	28	92	11700	–46.7	28	95									6930	406	–40.1
7150	–34.5	32	27	90	9110	–47.9	—	27	110	11750	–51.6	27	140									9900	266	–52.1
7120	–35.7	44	27	72	9075	–48.8	—	27	95	11700	–51.9	27	85									10850	228	–53.2
7080	–40.1	72	30	32	9020	–43.5	—	30	66	11745	–45.2	29	40									9140	295	–43.7
7255	–30.8	46	30	50	9235	–45.0	—	30	60	11850	–56.5	29	70									11570	209	–57.0
7310	–30.0	26	30	28	9285	–46.3	—	31	38	11870	–61.7	30	60									12050	194	–62.2
7150	–34.5	32	27	90	9110	–47.9	—	27	110	11750	–51.6	21	140									9900	266	–52.1
7270	–30.4	81	27	22	9240	–45.8	—	32	16	11840	–52.2	25	28									11070	226	–50.0
7260	–30.8	87	26	28	9240	–45.0	—	25	44	11865	–53.8	26	44									11140	224	–55.7
7275	–30.2	38	30	110	9235	–48.1	—	30	60	11790	–59.5	30	39									11260	218	–63.7
7150	–34.0	81	30	24	9130	–45.3	—	30	27	11750	–54.5	31	15									10690	236	–54.7
7210	–35.3	45	—	—	9140	–48.6	—	—	—	11770	–53.9	—	—									9650	278	–51.3
7260	–34.0	10	05	20	9220	–48.7	—	05	30	11800	–55.8	04	32									11040	226	–59.2
7230	–32.2	49	—	49	9203	–46.0	—	—	54	11814	–57.1	—	56											

15.00 h

7325	–30.0	50	23	22	9310	–45.1	—	23	22	11900	–62.5	23	25									12150	192	–62.8
7230	–32.0	100	23	37	9190	–47.9	—	24	42	11750	–61.0	25	37									10890	230	–62.8
7220	–31.9	24	32	38	9200	–45.4	—	31	48	11820	–56.5	29	40									11570	208	–58.8
7270	–29.2	33	28	44	9260	–40.8	—	31	60	11900	–55.4	31	72									12510	182	–56.8
7340	–26.2	30	28	66	9355	–42.6	—	28	83	11970	–60.2	29	92									12160	194	–60.8
7320	–28.9	100	24	78	9320	–43.1	—	25	66	11920	–59.6	25	99									11920	200	–59.6
7200	–36.3	39	25	49	9150	–46.6	—	25	32	—	—	—	—									—	—	—
7390	–30.0	23	35	27	9355	–47.6	—	35	38	11910	–67.0	35	49									12040	196	–67.6
7395	–29.3	53	28	25	9370	–47.7	—	25	33	11930	–65.6	26	35									11930	200	–65.6
7265	–30.3	88	26	50	9240	–47.5	—	26	50	11800	–64.4	26	58									11440	212	–64.4
7225	–29.4	90	26	60	9215	–43.0	—	26	73	11855	–52.4	27	44									11450	213	–54.6
7280	–33.1	12	33	27	9240	–48.4	—	01	25	11830	–54.1	32	27									10740	238	–58.3
7315	–29.2	34	25	33	9305	–46.1	—	27	33	11885	–61.0	27	40									11500	213	–61.0
7220	–29.7	80	25	49	9220	–45.6	—	26	71	11810	–58.0	26	23									11390	214	–58.5
7045	–39.2	46	26	66	8960	–49.0	—	24	66	11610	–50.5	25	66									10210	248	–52.0
7305	–31.3	50	28	66	9175	–47.0	—	29	60	11735	–63.8	28	50									11330	214	–63.8
7250	–27.2	87	24	46	9270	–41.5	—	25	99	11890	–57.4	—	—									11890	200	–57.4
7020	–40.4	22	24	52	8940	–53.0	—	24	50	11575	–50.3	24	50									10780	226	–50.7
7135	–32.7	26	27	66	9110	–45.8	—	27	104	11750	–49.0	27	80									10720	235	–50.5
7190	–33.6	20	27	87	9150	–46.9	—	26	72	11750	–51.6	27	140									10580	240	–58.0
7155	–36.2	28	27	77	9090	–51.0	—	27	105	11705	–52.2	27	38									10060	258	–54.8
7200	–34.9	40	32	72	9160	–48.4	—	31	72	11730	–60.5	31	42									11200	217	–62.0
7290	–32.5	30	32	39	9240	–48.1	—	32	56	11820	–60.2	29	60									11510	210	–60.2
7290	–31.0	30	29	32	9260	–47.7	—	29	37	11840	–62.7	29	67									12150	190	–63.2
7335	–26.8	87	25	27	9350	–40.8	—	24	42	12000	–56.8	25	46									12590	182	–58.7
7240	–30.9	62	26	17	9210	46.8	—	26	18	11820	–56.6	26	23									11040	226	–58.6
7355	–25.0	87	24	58	9385	–39.3	—	28	55	12040	–54.8	28	71									11620	214	–55.3
7290	–28.4	82	29	71	9300	–40.8	—	29	67	11940	–56.8	29	110									12140	194	–57.0
7180	–35.0	10	33	12	9150	–44.9	—	29	38	11805	–52.2	28	12									10950	228	–52.3
7280	–34.0	18	06	22	9240	–52.0	—	05	15	—	—	—	—									—	—	—
7265	–31.9	31	35	28	9235	–45.2	—	34	40	11850	–54.7	33	25									10860	234	–56.6
7253	–31.5	49	—	47	9224	–46.0	—	—	54	11832	–57.6	—	51											

Juin 1955

Jour	Données synoptiques en surface (Code AERO)				Surface 491 m					1000 mb	850 mb					700 mb					500 mb				
	N	VVwwW	NsChshs	NsChshs	P	T	U	dd	ff	H	H	T	U	dd	ff	H	T	U	dd	ff	H	T	U	dd	ff
1	0	70020	—	—	960	5.0	100	00	00	157	1515	7.1	53	05	03	3070	−4.3	28	29	07	5645	−19.7	10	32	17
2	7	57022	87657	—	957	9.0	100	00	00	126	1480	8.2	70	24	15	3050	−4.4	100	27	19	5625	−19.3	56	32	27
3	8	56022	88461	—	959	11.0	100	00	00	143	1500	8.6	78	26	04	3085	−1.6	76	26	12	5675	−18.3	97	30	44
4	8	40616	88710	—	955	12.0	100	00	00	108	1470	9.5	100	20	15	3055	−0.8	100	25	24	5670	−17.1	100	25	28
5	4	57012	—	—	958	12.0	100	00	00	134	1485	6.7	100	24	06	3055	−1.8	92	24	15	5665	−16.5	15	26	27
6	5	57412	82646	80377	958	13.0	100	00	00	123	1510	13.0	100	23	05	3115	3.3	95	24	23	5775	−9.8	13	28	32
7	6	71022	—	—	952	16.6	92	00	00	074	1470	16.7	41	23	20	3085	2.4	83	25	34	5725	−14.8	30	25	28
8	8	57606	88530	—	953	11.9	100	00	00	090	1535	4.6	98	26	23	2995	−3.8	100	27	30	5580	−18.8	34	23	32
9	5	71410	85359	—	949	7.6	100	00	00	055	1405	7.7	61	30	08	2975	−1.6	63	23	25	5580	−17.3	77	24	35
10	8	74026	88530	—	949	12.6	93	26	10	042	1405	6.1	96	24	46	2965	−3.8	100	25	46	5540	−21.5	85	26	58
11	8	64022	—	—	959	9.2	97	00	00	143	1485	2.2	100	02	07	3030	−1.1	100	28	10	5615	−18.9	98	23	17
12	0	70020	—	—	961	3.5	100	00	00	192	1505	0.2	86	20	06	3050	−5.1	10	30	14	5630	−18.0	79	30	33
13	8	57636	—	—	951	11.0	100	22	10	100	1450	5.0	100	23	33	3015	−3.1	100	27	44	5625	−17.1	100	27	46
14	0	70011	—	—	965	7.3	100	00	00	201	1535	2.5	90	03	03	3080	−2.8	14	33	27	5695	−15.1	11	33	53
15	0	57020	—	—	966	6.0	100	00	00	208	1550	8.7	30	03	04	3135	0.2	100	01	05	5775	−13.7	30	34	33
16	0	70020	—	—	963	10.4	100	00	00	177	1545	12.0	64	05	06	3140	2.2	63	35	06	5790	−12.6	34	29	08
17	5	60022	—	—	961	14.7	90	00	00	154	1525	13.8	79	26	06	3125	2.6	44	24	06	5760	−15.1	90	25	17
18	6	57022	—	—	960	14.5	100	00	00	145	1525	12.0	70	24	11	3115	2.0	97	25	18	5760	−12.4	77	25	15
19	8	70026	88657	—	958	17.0	100	00	00	123	1520	12.6	91	00	00	3120	1.9	100	18	17	5770	−13.5	100	21	27
20	7	70022	87633	—	960	15.0	100	00	00	145	1520	8.7	100	23	28	3100	0.2	100	21	25	5720	−16.7	57	21	20
21	8	70022	87640	—	963	14.5	95	00	00	172	1545	7.8	86	25	10	3115	−2.7	86	24	07	5700	−21.2	84	23	12
22	8	56602	88627	—	967	14.0	100	00	00	208	1580	8.4	100	27	04	3150	−1.1	100	27	02	5770	−15.8	70	30	12
23	6	40112	86630	—	969	12.0	100	00	00	230	1585	8.1	95	07	13	3170	2.3	49	03	09	5830	−12.8	38	36	17
24	0	70020	—	—	965	11.0	100	00	00	196	1570	13.4	62	09	09	3180	4.3	10	06	16	5830	−11.6	10	36	07
25	0	70020	—	—	962	14.0	95	00	00	164	1560	15.7	62	24	07	3180	3.5	85	24	07	5840	−12.5	52	23	03
26	0	57020	—	—	963	13.4	97	00	00	170	1545	13.3	78	03	03	3140	1.2	42	34	03	5750	−15.0	21	28	13
27	4	56102	—	—	962	12.2	100	00	00	166	1530	10.6	83	04	06	3115	−0.7	90	02	06	5720	−15.5	46	30	15
28	0	22402	—	—	960	10.9	100	00	00	151	1510	10.1	77	06	15	3080	0.1	77	08	08	5695	−16.2	14	28	13
29	0	56020	—	—	960	11.8	100	00	00	148	1510	10.6	74	04	10	3095	1.1	86	00	00	5730	−12.2	12	34	12
30	7	56022	—	—	959	15.6	73	00	00	135	1505	9.9	80	25	20	3080	−1.8	87	25	24	5695	−13.4	10	29	36
Moyen					960	11.6	98	—	00	146	1509	9.1	80	—	12	3089	−0.6	76	—	16	5706	−15.7	52	—	25

Juin 1955

1	6	70152	86956	—	958	18.8	50	31	12	121	1495	7.5	67	27	10	3055	−3.3	99	27	22	5625	−20.1	68	31	25
2	6	71031	82857	85074	958	21.5	33	29	10	121	1505	10.9	38	28	13	3080	−3.8	53	26	13	5660	−18.7	51	31	40
3	8	57602	88540	—	958	17.0	80	24	06	123	1495	7.1	91	21	10	3070	−0.4	100	24	13	5695	−15.5	50	26	32
4	8	23616	85523	88558	956	16.0	100	23	08	110	1475	8.0	100	27	12	3050	−1.0	100	22	23	5665	−15.3	99	24	33
5	8	74022	83646	88362	958	19.0	63	00	00	117	1505	11.7	67	24	12	3095	0.5	68	23	23	5715	−15.7	92	25	35
6	7	74022	83640	86270	955	23.2	58	00	00	087	1490	15.2	41	22	16	3100	3.6	30	24	18	5730	−16.5	23	25	27
7	8	35646	88520	—	951	15.0	100	23	18	066	1435	7.9	100	25	30	3015	−0.9	100	18	16	5650	−14.1	100	19	28
8	7	74022	87535	—	951	15.6	60	24	10	066	1435	7.6	53	23	25	3000	−5.1	84	24	28	5560	−20.7	88	24	33
9	7	70818	87526	—	946	11.0	100	12	23	029	1380	5.3	100	21	46	2940	−5.3	100	22	48	5520	−19.0	94	18	66
10	7	70022	87640	—	956	15.6	56	00	00	110	1465	4.4	85	25	14	3000	−5.5	83	28	20	5575	−23.4	62	28	27
11	8	55022	88745	—	963	11.9	55	00	00	177	1515	1.8	66	01	05	3050	−8.7	100	35	06	5595	−23.7	10	34	16
12	7	65022	87440	—	958	17.7	40	25	13	121	1490	6.9	25	23	35	3060	−0.6	65	24	42	5685	−15.8	76	27	44
13	4	70021	84658	—	960	16.5	44	29	10	145	1510	6.0	54	26	21	3050	−8.9	78	26	23	5620	−23.0	35	30	56
14	3	70030	81656	82070	965	18.0	40	04	05	185	1515	6.4	40	03	03	3130	−0.4	10	35	12	5760	−13.0	44	35	35
15	2	70020	81657	81368	963	24.5	40	00	00	161	1570	12.9	57	01	02	3180	2.0	95	34	06	5840	−12.6	72	34	17
16	2	70030	82850	—	961	25.0	50	00	00	143	1545	15.4	55	35	06	3155	2.3	62	26	11	5800	−13.3	22	29	08
17	7	70022	87640	—	960	23.0	50	00	00	133	1545	14.5	71	25	06	3160	2.2	78	25	33	5800	−14.0	57	26	12
18	5	70022	82650	83465	958	24.0	50	00	00	115	1520	13.9	60	21	02	3140	2.4	54	21	09	5770	−14.0	48	23	20
19	8	70022	88650	—	958	24.0	60	23	12	115	1520	12.9	68	24	16	3120	2.7	97	16	09	5780	−10.7	92	20	45
20	7	80152	84930	85367	961	19.5	72	00	00	146	1525	10.0	100	25	15	3115	0.6	100	23	17	5750	−13.6	60	22	22
21	6	76158	85930	84358	964	21.3	52	34	09	178	1560	8.2	80	24	08	3130	−2.4	99	23	14	5725	−18.1	83	26	08
22	6	50102	84820	85362	969	18.9	63	34	06	217	1590	7.5	100	34	03	3170	−0.6	96	00	00	5800	−14.9	53	01	20
23	3	57020	88350	—	967	23.6	43	04	08	194	1585	11.1	45	05	08	3185	2.7	45	04	14	5820	−13.7	26	35	14
24	2	65020	82830	—	963	25.8	51	34	05	158	1565	17.3	57	00	00	3190	4.7	25	14	07	5845	−11.1	40	07	05
25	5	71171	85947	—	961	27.8	44	00	00	137	1550	12.5	71	28	05	3140	0.5	80	27	04	5750	−17.3	63	27	06
26	7	60031	85947	83359	961	23.0	54	01	08	144	1545	13.3	58	30	10	3135	0.7	64	25	13	5745	−16.0	70	25	18
27	7	60032	83840	87750	960	21.2	50	01	10	139	1520	10.0	82	05	06	3095	0.1	57	34	03	5715	−15.7	50	28	15
28	3	60020	83850	—	958	22.8	45	05	07	115	1510	10.9	54	04	16	3095	0.7	55	02	07	5710	−15.1	44	34	11
29	7	60022	87730	—	958	22.4	40	00	00	121	1500	11.9	51	29	05	3080	−0.2	50	24	11	5700	−12.0	57	28	35
30	6	70022	84640	82360	959	21.0	54	28	05	131	1515	9.6	77	25	13	3095	−1.0	84	26	11	5710	−13.9	10	30	33
Moyen					959	20.2	57	—	06	131	1513	9.9	67	—	12	3096	−0.7	74	—	16	5711	−16.0	58	—	26

iveaux standard

03.00 h

400 mb					300 mb					200 mb				150 mb				100 mb				Tropopause		
H	T	U	dd	ff	H	T	U	dd	ff	H	T	dd	ff	H	T	dd	ff	H	T	dd	ff	H	P	T
7250	–31.7	16	32	33	9215	–47.0	—	31	44	11810	–55.0	31	48	—	—	—	—	—	—	—	—	11000	228	–58.8
7240	–33.0	89	32	27	9200	–58.0	—	30	32	11810	–53.0	32	24	—	—	—	—	—	—	—	—	10800	234	–57.5
7315	–27.4	92	30	50	9330	–42.0	—	29	71	11965	–58.8	29	86	—	—	—	—	—	—	—	—	11770	207	–58.8
7305	–29.9	95	26	26	9300	–45.4	—	27	37	11870	–64.9	27	38	—	—	—	—	—	—	—	—	11750	204	–65.7
7295	–29.9	19	28	23	9280	–46.3	—	29	50	11860	–60.6	29	70	—	—	—	—	—	—	—	—	11420	215	–62.9
7455	–24.0	10	28	32	9480	–40.9	—	28	52	12120	–60.2	29	82	—	—	—	—	—	—	—	—	12480	189	–62.7
7370	–26.9	54	24	38	9380	–42.7	—	24	46	11995	–62.0	24	58	—	—	—	—	—	—	—	—	—	—	—
7215	–28.2	10	25	32	9220	–43.6	—	22	38	11890	–49.3	23	38	—	—	—	—	—	—	—	—	12090	194	–49.7
7215	–29.1	66	25	50	9200	–45.3	—	25	65	11825	–52.3	24	65	—	—	—	—	—	—	—	—	10930	230	–57.1
7145	–34.8	50	26	44	9080	–51.5	—	27	40	11710	–51.1	24	44	—	—	—	—	—	—	—	—	9650	275	–54.5
7235	–32.6	97	21	24	9190	–48.3	—	21	26	11865	–46.0	27	30	—	—	—	—	—	—	—	—	9600	282	–50.4
7255	–29.8	74	31	49	9240	–46.9	—	31	60	11840	–58.3	31	44	—	—	—	—	—	—	—	—	11450	213	–59.5
7250	–28.5	100	27	70	9255	–41.8	—	26	40	11975	–47.0	—	—	—	—	—	—	—	—	—	—	11750	207	–47.0
7335	–28.2	20	33	50	9335	–43.7	—	36	44	11960	–56.6	33	66	—	—	—	—	—	—	—	—	11410	218	–57.2
7430	–25.2	32	33	36	9455	–41.9	—	34	38	12070	–62.8	35	50	—	—	—	—	—	—	—	—	12790	178	–67.0
7455	–24.0	22	32	11	9495	–39.4	—	34	16	12140	–61.4	33	16	—	—	—	—	—	—	—	—	13090	171	–68.2
7410	–25.4	27	28	34	9430	–42.2	—	28	33	12030	–64.7	28	50	—	—	—	—	—	—	—	—	12780	177	–68.1
7435	–24.0	80	25	25	9450	–41.8	—	25	16	12080	–59.8	26	27	—	—	—	—	—	—	—	—	11780	210	–60.4
7440	–26.9	96	20	15	9440	–44.4	—	19	30	12000	–62.9	21	33	—	—	—	—	—	—	—	—	11720	211	–63.0
7365	–28.9	40	20	35	9370	–43.8	—	21	60	12000	–52.9	21	56	—	—	—	—	—	—	—	—	10940	236	–58.0
7300	–34.2	85	23	16	9270	–44.3	—	25	33	11925	–52.0	24	32	—	—	—	—	—	—	—	—	11550	212	–53.0
7425	–27.6	62	34	29	9420	–43.8	—	03	30	12065	–52.2	36	12	—	—	—	—	—	—	—	—	11620	214	–58.2
7500	–25.0	41	35	17	9520	–42.9	—	35	27	12150	–59.1	35	44	—	—	—	—	—	—	—	—	12480	190	–59.8
7410	–22.0	33	01	20	9570	–37.7	52	03	20	12235	–59.0	05	30	—	—	—	—	—	—	—	—	12890	180	–63.4
7505	–24.0	66	07	03	9550	–40.0	—	32	12	12200	–59.3	34	05	—	—	—	—	—	—	—	—	12860	180	–61.2
7400	–26.0	17	26	10	9410	–40.9	13	28	20	12030	–60.0	27	30	—	—	—	—	—	—	—	—	11970	202	–60.2
7360	–28.4	68	26	12	9335	–46.9	—	23	15	11905	–58.0	26	28	—	—	—	—	—	—	—	—	11210	224	–59.5
7325	–30.1	50	24	12	9300	–45.7	—	22	22	—	—	—	—	—	—	—	—	—	—	—	—	—	—	—
7400	–22.4	26	35	28	9430	–38.9	42	35	34	12075	–57.6	35	42	—	—	—	—	—	—	—	—	12920	175	–58.3
7345	–24.0	71	29	72	9380	–37.9	77	29	106	12030	–56.7	30	115	—	—	—	—	—	—	—	—	11730	210	–58.0
7346	–27.8	54	—	31	9351	–43.5	—	—	39	11980	–57.0	—	45	—	—	—	—	—	—	—	—	—	—	—

15.00 h

7235	–32.5	66	31	35	9190	–48.4	—	33	30	11790	–53.4	31	38	—	—	—	—	—	—	—	—	10650	239	–57.1
7285	–31.0	44	31	50	9270	–44.0	—	30	77	11910	–57.2	31	78	—	—	—	—	—	—	—	—	11910	200	–57.2
7345	–25.1	44	26	48	9370	–41.3	—	27	45	12010	–59.9	27	67	—	—	—	—	—	—	—	—	12080	198	–60.6
7320	–25.7	85	24	52	9335	–42.8	—	23	56	11945	–62.6	24	80	—	—	—	—	—	—	—	—	11790	205	–63.5
7370	–25.0	60	26	44	9400	–40.7	—	26	55	12055	–59.1	26	105	—	—	—	—	—	—	—	—	12340	191	–60.7
7370	–27.0	20	31	24	9365	–44.5	—	27	48	11930	–59.8	26	18	—	—	—	—	—	—	—	—	11480	215	–67.0
7305	–25.3	97	19	48	9330	–41.2	—	20	73	11955	–61.2	20	60	—	—	—	—	—	—	—	—	12340	188	–61.5
7175	–31.1	73	24	66	9155	–44.0	—	24	53	11850	–47.1	25	55	—	—	—	—	—	—	—	—	10270	254	–48.1
7130	–30.2	91	13	22	9110	–46.4	—	18	87	11735	–53.7	19	30	—	—	—	—	—	—	—	—	10860	229	–56.2
7170	–33.8	10	27	22	9115	–50.2	—	27	27	11730	–50.0	24	27	—	—	—	—	—	—	—	—	10110	257	–57.7
7180	–35.4	10	35	17	9135	–47.5	—	35	45	11800	–46.5	30	36	—	—	—	—	—	—	—	—	10050	261	–51.2
7320	–27.8	71	28	44	9325	–42.2	—	27	50	11940	–59.4	27	55	—	—	—	—	—	—	—	—	11690	208	–61.0
7220	–32.0	33	30	77	9220	–43.0	—	31	120	11890	–51.0	—	—	—	—	—	—	—	—	—	—	11440	211	–51.7
7420	–26.2	49	35	43	9430	–43.5	—	34	44	12050	–63.0	35	82	—	—	—	—	—	—	—	—	12910	174	–64.3
7510	–24.0	25	34	30	9555	–40.3	—	34	27	12200	–60.6	35	28	—	—	—	—	—	—	—	—	12950	177	–65.3
7170	–25.0	20	26	20	9485	–41.9	—	22	22	12120	–60.6	24	34	—	—	—	—	—	—	—	—	12780	180	–64.8
7145	–24.3	60	27	20	9490	–40.6	—	29	28	12150	–60.0	27	38	—	—	—	—	—	—	—	—	12470	190	–61.2
7430	–25.8	30	24	25	9450	–41.3	—	27	35	12080	–63.0	26	34	—	—	—	—	—	—	—	—	11940	205	–63.0
7470	–22.0	92	20	38	9510	–39.6	—	20	50	12170	–58.0	23	40	—	—	—	—	—	—	—	—	12080	203	–58.0
7400	–27.3	96	22	20	9410	–42.2	—	23	31	12090	–48.5	22	33	—	—	—	—	—	—	—	—	11650	214	–50.0
7355	–29.1	56	25	12	9345	–45.3	—	25	06	11985	–51.8	24	10	—	—	—	—	—	—	—	—	11080	230	–54.0
7445	–27.9	31	02	28	9440	–45.7	—	02	32	12060	–52.8	36	25	—	—	—	—	—	—	—	—	10630	250	–55.7
7485	–23.9	22	34	15	9520	–39.4	—	02	32	12170	–59.8	02	45	—	—	—	—	—	—	—	—	12970	176	–62.3
7515	–23.8	50	05	04	9555	–40.0	—	05	07	12200	–59.5	08	24	—	—	—	—	—	—	—	—	13020	175	–65.0
7385	–29.7	45	26	11	9370	–45.8	—	28	20	11945	–65.9	28	24	—	—	—	—	—	—	—	—	12610	179	–69.9
7385	–26.5	69	24	16	9400	–42.2	—	24	35	11995	–61.1	25	25	—	—	—	—	—	—	—	—	11860	205	–62.3
7340	–28.1	82	24	22	9340	–43.8	—	25	22	11950	–52.4	24	28	—	—	—	—	—	—	—	—	11260	223	–55.7
7345	–27.9	40	33	06	9340	–44.2	—	36	11	11980	–51.7	32	14	—	—	—	—	—	—	—	—	10850	238	–52.4
7370	–22.8	56	29	35	9415	–38.9	—	30	46	12050	–59.8	31	46	—	—	—	—	—	—	—	—	12570	184	–61.3
7365	–26.0	64	30	44	9395	–39.6	—	30	99	12045	–57.0	30	82	—	—	—	—	—	—	—	—	12780	178	–59.4
7352	–27.4	58	—	31	9359	–43.0	—	—	44	11993	–56.9	—	43	—	—	—	—	—	—	—	—	—	—	—

Juillet 1955

Jour	Données synoptiques en surface (Code AERO)				Surface 491 m					1000 mb	850 mb					700 mb					500 mb				
	N	VVwwW	NsChshs	NsChshs	P	T	U	dd	ff	H	H	T	U	dd	ff	H	T	U	dd	ff	H	T	U	dd	ff
1	0	74020	—	—	960	10.8	100	00	00	155	1515	9.2	100	05	05	3095	1.8	21	32	07	5730	–13.3	18	31	25
2	7	71030	—	—	958	13.6	98	00	00	127	1510	13.4	49	—	—	3115	3.1	90	—	—	5780	–13.2	56	—	—
3	8	70995	88950	—	958	18.0	100	05	23	121	1525	15.9	54	22	11	3130	3.2	76	22	26	5785	–12.1	75	24	18
4	5	70021	85640	—	958	15.2	100	00	00	123	1515	11.9	92	24	25	3100	0.6	100	25	33	5730	–14.9	68	26	35
5	8	70616	88540	—	960	13.2	100	00	00	145	1500	5.6	100	32	06	3065	–2.8	100	25	14	5665	–17.2	42	29	27
6	7	60022	87640	—	962	11.6	90	00	00	169	1525	4.4	83	03	06	3070	–7.8	100	01	12	5665	–18.3	10	34	23
7	0	70020	—	—	964	9.5	90	00	00	186	1535	4.2	86	05	16	3095	–2.6	80	03	22	5700	–17.9	40	03	38
8	2	60021	82640	—	964	8.3	90	00	00	186	1535	6.3	87	06	32	3100	–1.1	46	05	30	5730	–15.4	42	04	23
9	3	70020	83840	—	960	12.8	90	00	00	145	1505	9.7	90	06	22	3090	0.5	75	07	14	5725	–13.7	63	03	24
10	7	40020	—	—	956	14.5	95	00	00	110	1485	12.1	84	07	06	3085	2.3	62	06	06	5740	–11.2	52	04	16
11	5	40002	85000	—	956	13.5	100	00	00	104	1480	12.2	98	25	05	3080	2.1	80	26	08	5730	–12.5	70	25	05
12	8	40021	—	—	960	15.0	100	00	00	137	1515	10.8	93	25	13	3090	1.7	99	28	07	5760	–9.8	94	28	04
13	4	70021	84657	—	962	14.0	100	00	00	164	1545	12.5	82	28	06	3145	1.8	97	29	05	5795	–14.1	88	30	15
14	4	70021	84360	—	961	14.8	100	00	00	154	1550	14.0	78	31	08	3150	2.1	87	32	07	5795	–13.5	10	32	16
15	8	70259	88647	—	960	14.0	100	00	00	145	1520	11.3	96	26	06	3110	1.6	100	30	03	5760	–13.6	97	32	10
16	0	70021	—	—	960	13.0	100	00	00	145	1525	11.6	78	07	20	3125	2.9	74	09	22	5790	–12.0	42	10	14
17	0	70020	—	—	963	14.9	100	00	00	172	1555	14.0	79	25	04	3175	5.4	59	27	04	5840	–11.2	42	08	16
18	0	70020	—	—	964	15.4	100	00	00	181	1570	17.2	63	24	17	3200	8.3	10	28	13	5900	–8.6	10	29	17
19	5	74039	85638	—	962	17.3	100	00	00	164	1550	15.7	68	22	30	3175	5.0	92	23	49	5850	–12.6	90	22	55
20	7	71022	—	—	960	17.0	96	00	00	141	1525	12.9	92	23	12	3130	26	100	21	25	5775	–13.0	100	22	40
21	0	40460	—	—	962	14.8	100	00	00	160	1540	12.1	100	24	12	3140	2.5	97	24	12	5775	–13.1	35	22	16
22	8	56606	—	—	963	16.0	100	00	00	169	1550	10.6	94	00	00	3155	0.7	100	08	03	5765	–14.0	58	20	12
23	0	35410	—	—	963	13.2	100	00	00	176	1550	10.4	73	05	12	3140	2.7	88	04	17	5790	–11.6	63	31	10
24	0	70020	—	—	961	15.0	100	00	00	154	1535	13.2	74	09	15	3150	4.3	57	08	12	5815	–10.9	10	08	08
25	0	60404	—	—	958	13.0	100	00	00	123	1505	13.6	92	28	06	3115	4.8	13	30	16	5775	–11.3	13	30	18
26	8	50608	—	—	952	15.0	100	00	00	074	1450	11.2	80	05	07	3040	0.3	95	23	20	5665	–15.5	92	25	17
27	8	55454	—	—	952	15.2	100	00	00	074	1440	10.1	100	28	05	3035	1.1	100	27	06	5665	–13.7	90	32	08
28	5	50022	86650	—	954	13.5	100	00	00	093	1465	10.3	90	26	05	3050	0.7	86	26	14	5670	–16.3	56	26	16
29	8	57606	88540	—	957	14.0	100	00	00	120	1485	6.4	100	27	08	3035	–4.6	100	31	12	5605	–20.0	95	30	21
30	0	56020	—	—	962	12.5	100	00	00	164	1535	7.7	100	03	03	3110	–2.4	100	01	16	5735	–12.0	40	01	27
31	8	60032	88630	—	960	15.5	80	00	00	145	1515	9.4	93	07	03	3100	1.5	40	29	05	5720	–15.9	10	30	22
Moyen					960	14.0	98	—	01	143	1518	11.0	85	—	11	3109	1.4	78	—	15	5749	–13.6	54	—	20

Juillet 1955

1	3	70020	82850	83070	958	25.8	35	00	00	115	1515	13.9	50	26	08	3115	3.4	10	24	16	5765	–13.0	19	28	30
2	3	70020	83850	—	959	26.5	46	30	07	119	1525	13.6	62	23	16	3125	2.4	46	25	25	5760	–13.2	26	26	27
3	8	70022	88540	—	956	21.5	60	23	16	104	1495	11.6	82	22	44	3090	1.7	95	22	55	5740	–12.5	46	22	28
4	8	80022	88649	—	958	20.5	40	24	05	121	1510	11.1	53	25	30	3100	–0.8	97	25	55	5720	–16.2	50	30	43
5	7	70022	86649	—	959	19.0	50	14	01	131	1520	9.1	68	00	00	3095	–2.2	66	30	12	5710	–16.2	20	32	28
6	3	80011	83649	—	962	18.0	40	35	10	158	1525	6.8	74	36	12	3090	–2.9	85	02	09	5675	–18.8	10	01	30
7	8	80602	88649	—	963	14.2	70	02	02	172	1530	4.1	97	01	23	3090	–3.5	82	02	16	5665	–20.4	32	01	29
8	5	70020	85649	—	962	20.0	45	03	05	158	1540	8.5	76	05	20	3110	0.5	84	06	56	5755	–13.9	49	06	51
9	3	70050	83649	—	957	22.8	45	05	05	109	1505	11.9	63	06	10	3110	3.8	39	07	05	5765	–11.4	33	08	05
10	7	70022	87649	—	956	21.0	55	00	00	101	1485	9.9	84	04	02	3075	2.4	74	00	00	5720	–13.1	74	12	03
11	7	70026	83656	84466	957	18.8	88	00	00	113	1500	11.3	72	26	15	3100	2.8	82	24	12	5730	–14.2	80	24	13
12	6	70022	86940	—	960	21.0	70	00	00	139	1530	12.2	78	29	07	3120	1.1	89	25	07	5760	–13.0	90	29	14
13	4	65022	84940	—	961	24.2	55	00	00	143	1555	13.8	62	27	05	3145	2.0	62	31	14	5790	–13.3	24	32	22
14	6	65158	85950	83370	960	22.4	61	25	08	139	1535	12.9	77	30	07	3120	1.0	76	31	11	5740	–15.9	53	31	11
15	6	60022	83840	85650	959	22.0	60	00	00	134	1540	12.9	75	07	12	3145	4.1	96	03	05	5800	–13.4	73	20	08
16	2	70011	82623	—	962	22.1	62	05	06	158	1550	12.4	64	06	03	3150	3.2	56	09	03	5800	–12.8	40	10	14
17	2	05020	82640	—	963	29.9	43	00	00	155	1580	18.4	47	00	00	3210	7.0	57	25	05	5900	–8.1	45	18	06
18	6	80030	86649	—	963	30.0	30	00	00	155	1575	18.9	22	23	15	3200	4.3	74	24	14	5850	–13.8	90	25	50
19	7	—	—	—	959	27.1	50	00	00	119	1545	11.9	70	24	20	3135	1.4	77	22	22	5775	–12.9	73	24	24
20	8	80028	88649	—	960	20.0	73	22	02	139	1520	11.4	74	23	16	3125	2.3	82	22	24	5770	–12.5	32	22	24
21	3	80020	82073	81649	961	25.5	30	00	00	143	1550	12.7	57	01	12	3155	1.8	60	21	22	5790	–13.3	43	21	16
22	7	80022	87649	—	963	20.0	70	00	00	168	1560	11.4	78	35	04	3160	0.3	92	33	06	5765	–15.3	71	30	08
23	2	40020	82650	—	962	24.0	50	03	05	152	1555	11.7	70	06	07	3150	2.2	82	06	11	5805	–11.3	50	07	05
24	1	57020	81650	—	959	25.5	50	00	00	125	1530	15.0	41	36	06	3140	4.2	33	00	00	5800	–10.9	15	32	16
25	6	40022	82630	84460	954	23.5	55	02	05	079	1470	14.3	70	25	04	3090	4.0	67	25	17	5735	–13.2	17	28	18
26	8	40602	88720	—	951	18.5	100	00	00	059	1450	11.0	100	22	04	3045	1.0	100	20	17	5700	–13.0	100	19	16
27	8	40829	88610	—	953	14.0	100	00	00	083	1460	8.8	94	35	12	3040	–1.4	100	29	22	5640	–18.2	45	27	14
28	7	70016	87656	—	956	18.0	75	00	00	104	1480	10.2	80	25	07	3070	0.5	100	33	07	5690	–15.2	94	28	17
29	7	71152	84530	83364	960	17.7	77	00	00	136	1510	8.3	79	33	07	3090	–2.1	98	34	12	5690	–16.4	88	33	16
30	3	65020	83630	—	961	22.2	40	04	09	148	1550	8.9	75	04	06	3120	2.4	48	04	05	5750	–16.2	39	32	22
31	6	60022	86645	—	960	21.0	65	00	00	139	1525	11.1	80	28	03	3120	2.7	58	23	12	5760	–13.0	37	24	11
Moyen					959	21.8	58	—	03	130	1523	11.6	70	—	11	3117	1.6	73	—	16	5752	–14.0	50	—	20

niveaux standard

03.00 h

400 mb					300 mb					200 mb				150 mb				100 mb				Tropopause		
H	T	U	dd	ff	H	T	U	dd	ff	H	T	dd	ff	H	T	dd	ff	H	T	dd	ff	H	P	T
7385	–25.1	35	31	34	9400	–40.7	—	31	58	12035	–59.4	29	85	..	—	—	—	—	—		..	12890	174	–62.6
7415	–25.5	46	—	—	9430	–42.3	—	—	—	12060	–56.3	—	—	—	—	..	—	—	—	..	..	11790	209	–57.0
7460	–24.2	79	22	18	9490	–41.0	—	24	32	12125	–57.0	26	46	—	.	—	—	—	—	-	—	11760	212	–57.3
7380	–27.2	28	27	38	9380	–44.7	20	26	42	12000	–55.0	27	66	—	—	—	—	—	—	—	—	11450	218	–58.4
7295	–29.0	40	29	40	9290	–45.6	—	29	28	11925	–52.8	28	38	-	—	—	..	—		—	..	11310	220	–58.3
7285	–30.5	10	32	22	9265	–46.1	—	35	33	11945	–47.9	34	28	—	—	—	—	.	—	—	—	9490	290	–47.3
7330	–29.6	11	01	50	9320	–45.0	—	02	50	11950	–51.0	36	90		—	—		..	—		—	10840	238	–53.7
7380	–25.3	45	05	33	9390	–42.6	—	06	61	12030	–50.7	06	46	—	.	..	–	..	..	—	—	11130	230	–57.0
7380	–26.3	52	01	16	9395	–42.0	—	33	27	12030	–57.4	35	27	—	.	-	-			—	—	11690	211	–57.4
7415	–23.8	53	05	07	9450	–39.9	—	10	05	12110	–55.0	17	08	—	—	—	—	-	—		—	12180	198	–55.0
7390	–25.0	33	25	03	9410	–42.0	—	21	05	12050	–56.1	26	03	..	-	..	—	—	.	..	—	11630	214	–56.0
7460	–18.2	80	28	07	9520	–37.6	—	29	22	12210	–53.0	28	16	—	—	—	–	—	—	—	—	12210	200	–53.0
7460	–25.0	76	30	17	9480	–40.5	—	30	22	12165	–52.0	29	39	—	—	—	–	—	—	—	—	11640	217	–52.0
7465	–24.8	10	30	15	9495	–41.2	—	29	25	12120	–58.0	29	18		.	..	—	—	—	-	—	11660	215	–58.0
7420	–24.2	69	33	16	9470	–40.5	—	31	14	12100	–56.4	31	22	—	—	—	—	—	—	—	—	11670	214	–57.6
7450	–26.0	42	10	16	9470	–40.0	—	10	26	12135	–54.4	07	42	—	—	—	–	.	—	-	–	12470	190	–54.8
7510	–21.4	57	09	14	9565	–37.7	—	10	34	12250	–56.8	10	48	—	—	—	-	—	—	—	—	13350	168	–60.8
7570	–22.7	10	26	16	9600	–43.6	—	26	15	12220	–59.9	29	38	—	—	—	—	—	—	—	—	12880	180	–61.6
7510	–23.2	88	22	49	9560	–38.7	—	20	33	12210	–57.3	22	60	—	—	—	—		—	—	—	11780	214	–58.2
7435	–25.6	99	23	34	9470	–38.3	—	27	16	12145	–51.7	20	42	..	.	-	—	—	—	—	—	11800	211	–53.1
7435	–24.8	47	24	22	9455	–42.4	—	24	28	12180	–43.6	22	38	—	—	—	-	..	—	—	—	10600	253	–45.3
7420	–26.4	35	17	15	9430	–43.1	—	13	25	12090	–49.0	22	24	—	—	—	–	-	—	—	—	10960	238	–51.1
7460	–23.4	41	07	11	9490	–40.9	—	07	24	12150	–50.2	03	07	—	—	-	-	—	—	—	—	11060	237	–52.6
7485	–23.8	10	01	08	9520	–40.0	—	02	12	12185	–53.9	04	14	—	—	—	-	—	—	—	—	11930	208	–54.2
7435	–23.2	39	30	30	9480	–38.6	—	31	46	12170	–54.0	30	60	—	.	—	—	—	—	—	—	12170	200	–54.0
7315	–26.3	92	25	20	9325	–43.8	—	28	16	11950	–54.0	26	16	—	—	—		—	—	—	—	11310	221	–57.5
7320	–26.0	84	26	11	9325	–43.3	—	25	18	11940	–59.5	27	30	—	—	—		—	—	—	—	11370	219	–59.4
7290	–30.7	58	25	23	9265	–46.0	—	24	22	11950	–46.2	26	44	—	—	—	-	-	—	—	—	10000	268	–48.6
7220	–32.7	90	29	16	9180	–47.2	—	27	30	11840	–46.9	28	39	—	—	—	..		-	—	—	10170	258	–50.6
7395	–23.8	35	36	25	9425	–42.0	—	34	27	12055	–55.1	31	38	—	.	..	—	-	—	—	—	11540	217	–56.5
7350	–27.5	28	29	44	9350	–44.0	—	29	27	12000	–50.1	28	38	—	—	—	—	—	—	—	—	10170	253	–51.6
7404	–25.5	50	—	22	9422	–42.0	—	—	27	12075	–53.6	—	37			-	—		-					-

15.00 h

7425	–24.7	18	29	22	9450	–41.2	—	28	48	12080	–60.4	27	52	—	—	—	–	—	—	—	—	11960	205	–60.4
7415	–25.5	10	27	33	9435	–42.0	—	26	33	12070	–56.8	26	38	—	—	—	—	—	—	—	—	12000	202	–56.9
7420	–20.0	40	23	26	9475	–37.9	—	00	00	12165	–53.0	25	25	—	—	—	–	—	—	—	—	11760	213	–53.0
7350	–27.3	10	28	78	9400	–38.8	—	31	71	12080	–52.8	29	56	—	—	—		—	—	—	—	11470	220	–53.0
7355	–26.1	55	32	28	9370	–42.0	—	31	25	12060	–44.1	31	25	—	—	—		—	—	—	—	10480	254	–49.4
7300	–30.8	10	02	33	9275	–46.4	—	03	33	11940	–48.1	01	48	—	—	—	-	—	—	—	—	10000	268	–51.2
7280	–32.8	58	33	21	9260	–40.1	—	34	44	12000	–45.1	36	33	—	—	—	–	—	—	—	—	8410	340	–39.8
7420	–23.8	38	04	30	9445	–41.0	—	03	37	12070	–62.2	05	44	—	—	—	—	-	—	—	—	12070	200	–62.2
7440	–24.3	18	13	07	9460	–41.6	—	12	12	12110	–55.9	13	10	—	—	—	–	—	—	—	—	11900	207	–56.2
7390	–23.0	64	12	03	9425	–39.5	—	12	12	12070	–57.1	26	08	—	—	—	–	—	—	—	—	11740	211	–57.1
7390	–24.8	84	25	07	9420	–40.6	—	33	06	12060	–56.0	26	07	—	—	—		—	—	—	—	11700	212	–56.6
7425	–24.3	84	30	17	9450	–40.8	—	29	23	12100	–55.0	28	19		—	-				—	—	11260	228	–56.8
7445	–25.0	35	31	25	9475	–40.3	—	32	15	12130	–54.2	30	18	-	—	—		..	—	—	—	11940	206	–56.6
7380	–27.7	28	31	11	9370	–44.1	—	30	16	11950	–63.3	30	10	—	—	—	—	—	—	—	—	11950	200	–63.3
7445	–27.5	55	20	03	9450	–43.1	—	25	03	12065	–57.5	27	03	—				—	—	—	—	11700	212	–58.0
7460	–24.1	26	09	17	9475	–41.2	—	09	17	12100	–60.5	09	45	—	—	—	-		-	—	—	12480	188	–61.2
7590	–20.1	35	15	12	9660	–34.8	—	14	17	12380	–56.2	14	27	—	—	—		—	—	—	—	13630	164	–60.0
7515	–23.5	28	26	36	9560	–39.3	—	25	28	12210	–57.4	25	44	—	—	—	—	—	—	—	—	13020	176	–58.8
7440	–23.1	78	21	38	9470	–41.0	—	22	35	—	—	—	—	—	—		–	-						-
7430	–24.1	10	22	22	9455	–41.0	—	23	33	12130	–49.9	23	28	-	—	..	–	..	—	—	—	11100	224	–50.1
7450	–24.1	35	21	24	9495	–39.4	—	21	33	12180	–47.5	21	50	—	—	—		—	—	—	—	11150	234	–51.4
7405	–29.1	32	30	05	9380	–45.2	—	10	33	12000	–51.4	26	11	—	—	—	–	—	—	—	—	10870	239	–54.3
7480	–24.0	55	06	11	9505	–40.2	—	07	10	12155	–55.8	08	11	—	-	-		—			—	11820	211	–57.6
7170	–28.2	15	32	16	9515	–39.4	—	32	22	12195	–52.6	30	25			—	—		-	—	—	11840	211	–52.3
7420	–23.0	44	29	36	9470	–36.6	—	28	45	12160	–53.5	27	60	—	—	—	–	—	—	—	—	12290	196	–54.0
7360	–25.0	90	19	16	9390	–40.4	—	20	27	12050	–49.4	22	15	—	—	—		—	—	—	—	11560	216	–54.0
7265	–29.3	79	26	17	9250	–45.2	—	26	44	11860	–57.2	25	54	—	—	—		—	—	—	—	11780	203	–57.7
7330	–26.6	10	28	14	9345	–39.8	—	28	12	—	—	—	—	—	—	—	—	..	..					
7325	–29.4	54	36	24	9305	–43.7	—	02	46	12000	–47.0	33	28	—	—	—	-		—	—	—	10480	252	–48.2
7360	–32.0	47	30	26	9320	–51.0	—	30	43	11910	–55.7	30	52	—	—	–			—	—	—	10420	253	–54.7
7420	–25.6	53	25	16	9430	–41.0	—	26	22	12130	–46.0	27	49	—	—	—	—		—	—	—	10920	240	–48.6
7406	–25.6	12		22	9425	–41.2	—	—	27	12083	–53.8	—	31	—	—	—								

Août 1955

Jour	Données synoptiques en surface (Code AERO)				Surface 491 m					1000 mb	850 mb					700 mb					500 mb				
	N	VVwwW	NsChshs	NsChshs	P	T	U	dd	ff	H	H	T	U	dd	ff	H	T	U	dd	ff	H	T	U	dd	ff
1	4	09441	84613	—	959	11.7	100	00	00	143	1550	10.3	83	23	05	3060	2.9	10	22	12	5690	–17.8	10	25	20
2	4	70020	84362	—	957	11.0	100	00	00	126	1490	10.8	76	25	07	3075	–2.4	70	26	15	5660	–17.6	76	26	15
3	1	70020	81656	—	958	10.3	90	00	00	138	1495	10.6	88	05	17	3080	0.2	62	05	15	5715	–12.4	76	04	23
4	8	50602	88610	—	960	15.0	100	00	00	145	1520	9.6	100	28	04	3110	0.0	100	28	11	5730	–15.2	100	28	38
5	1	70020	81650	—	962	10.5	100	00	00	170	1530	8.3	90	08	12	3110	0.9	33	34	03	5745	–15.9	36	34	17
6	0	70020	—	—	962	10.0	100	00	00	164	1535	9.9	70	06	03	3130	2.4	10	36	03	5760	–14.2	13	34	08
7	7	71032	87656	—	960	13.8	85	00	00	144	1510	8.4	90	26	05	3075	–2.7	68	25	06	5690	–15.1	63	28	20
8	8	71212	88550	—	956	11.2	100	00	00	113	1465	6.0	79	28	12	3025	–3.1	100	31	16	5605	–18.7	29	30	46
9	7	71022	87650	—	960	9.8	97	00	00	180	1500	4.3	85	28	07	3040	–4.4	68	30	16	5630	–15.9	12	32	66
10	0	57020	—	-	963	6.0	100	00	00	183	1520	4.4	71	08	08	3070	–2.2	36	36	06	5665	–17.0	67	32	32
11	0	57461	—	—	961	7.8	100	00	00	157	1515	9.0	83	18	05	3095	1.0	72	19	10	5720	–14.2	51	30	14
12	8	71616	88557	—	957	14.0	98	00	00	116	1490	11.3	79	20	08	3075	0.7	100	22	23	5705	–14.9	93	26	23
13	5	71031	—	—	956	12.2	100	00	00	120	1475	9.1	69	23	06	3050	–1.8	100	24	23	5655	–16.4	30	23	30
14	4	57021	—	-	960	13.2	100	00	00	145	1505	8.8	88	23	13	3085	–0.8	86	25	15	5700	–16.8	55	24	12
15	0	57020	—	-	963	12.4	100	00	00	177	1535	7.7	88	26	04	3100	–3.0	55	26	16	5700	–17.3	20	27	15
16	0	57020	—	—	966	11.2	100	00	00	203	1565	8.8	77	02	05	3140	–1.6	88	36	11	5760	–15.6	10	35	23
17	0	70010	—	—	963	10.5	100	00	00	177	1540	13.1	81	27	08	3145	3.9	18	36	12	5795	–13.5	10	36	20
18	0	57020	—	—	963	12.5	100	00	00	175	1550	12.4	66	33	04	3150	3.3	19	33	16	5805	–11.2	40	34	17
19	0	70010	—	-	964	13.2	90	00	00	181	1560	14.0	72	05	08	3160	3.5	75	03	03	5830	–11.9	79	02	17
20	0	57020	—	—	965	13.2	100	00	00	190	1570	13.8	70	03	05	3175	3.5	93	02	10	5825	–12.3	69	01	16
21	0	70020	—	—	964	17.0	100	00	00	181	1565	15.1	62	06	12	3180	6.8	25	06	12	5870	–10.6	51	03	23
22	0	70020	—	—	964	15.0	90	00	00	185	1555	15.2	79	00	00	3180	4.6	63	05	14	5850	–12.0	10	06	18
23	0	70020	—	—	965	16.0	95	00	00	192	1580	16.3	69	26	03	3210	4.8	57	08	05	5875	–10.4	10	09	13
24	0	—	—	—	963	15.0	100	00	00	174	—	—	—	05	06	—	—	—	36	06	—	—	—	31	16
25	4	70021	84366	—	959	13.0	90	00	00	130	1510	13.0	76	05	09	3115	2.7	17	01	02	5750	–14.5	92	01	17
26	0	70021	—	—	956	11.0	100	00	00	114	1480	11.3	72	23	10	3070	0.5	77	24	17	5690	–16.2	30	29	08
27	8	56952	88733	—	959	14.0	100	00	00	133	1510	10.3	100	21	25	3100	0.2	100	23	25	5740	–14.3	100	28	25
28	8	56622	—	—	960	13.2	100	00	00	146	1515	11.4	94	25	22	3110	–0.7	100	25	27	5725	–17.2	86	28	30
29	6	56022	—	—	960	14.6	100	00	00	149	1525	12.7	86	26	08	3125	2.1	52	27	22	5755	–13.2	36	28	27
30	5	60022	—	—	961	14.8	100	00	00	157	1540	14.1	86	25	08	3145	2.6	92	27	24	5800	–12.5	54	28	28
31	8	56616	—	—	959	15.4	100	00	00	139	1515	10.3	85	20	05	3100	0.4	90	28	28	5725	–14.7	97	27	35
Moyen					961	12.5	98	—	00	156	1524	10.7	80	—	08	3110	0.2	65	—	14	5739	–14.7	50	—	23

Août 1955

1	6	71151	86950	—	957	18.5	73	00	00	116	1510	11.8	72	25	23	3090	–0.1	74	23	21	5690	–18.2	50	23	25
2	6	71032	86840	86070	957	22.6	51	00	00	107	1500	10.8	73	01	02	3090	0.2	92	01	03	5710	–14.2	68	03	06
3	4	70031	83850	84363	959	23.0	44	00	00	125	1520	11.2	78	34	03	3105	–0.1	89	33	07	5740	–13.0	35	34	16
4	5	63022	85843	—	961	21.2	57	06	15	148	1535	8.8	80	31	06	3105	–0.4	50	31	11	5730	–15.5	22	29	11
5	3	74020	83647	—	962	21.1	45	03	08	159	1540	8.8	86	05	15	3115	0.3	17	20	03	5745	–15.0	62	36	12
6	4	70032	84840	—	960	22.0	39	00	00	143	1530	10.9	92	31	07	3120	2.4	22	31	07	5760	–12.7	27	35	10
7	6	74252	86430	86360	956	19.7	64	23	10	108	1490	8.7	85	28	14	3065	–0.7	97	29	17	5680	–15.8	20	31	22
8	3	80021	83650	—	959	15.2	42	35	10	123	1485	4.1	59	34	03	3030	–5.5	31	29	06	5595	–20.0	30	34	27
9	4	74021	84656	—	961	16.5	40	31	08	154	1510	3.3	75	32	04	3055	–5.7	68	34	13	5620	–20.7	34	32	34
10	2	74020	82650	—	961	18.5	45	02	10	148	1525	7.1	60	06	06	3090	–1.2	40	30	02	5695	–17.5	55	30	05
11	6	56022	86657	—	958	20.0	50	00	00	125	1520	12.1	68	23	10	3110	0.2	84	22	13	5725	–16.8	76	22	17
12	7	74022	87650	—	955	19.0	70	00	00	090	1475	11.0	76	22	11	3060	0.8	72	22	22	5690	–13.6	44	23	27
13	6	70022	87650	—	957	20.8	55	00	00	113	1495	10.3	58	23	16	3070	0.4	57	20	18	5690	–16.2	39	25	20
14	7	70022	83850	83656	961	19.5	60	00	00	148	1530	9.4	57	25	06	3110	–1.4	63	22	15	5700	–18.3	30	24	17
15	4	74022	82850	83657	964	20.0	56	22	03	176	1560	8.9	77	30	06	3140	–1.3	77	28	06	5750	–16.6	41	30	22
16	2	70020	82657	—	964	22.8	38	03	09	172	1570	11.8	18	04	09	3160	2.8	22	34	03	5810	–11.8	10	35	18
17	1	68020	81656	—	962	23.5	60	00	00	148	1550	14.0	60	27	12	3150	2.6	32	26	13	5800	–12.0	37	33	17
18	7	68021	82640	85462	964	24.0	50	00	00	170	1585	13.7	63	02	05	3190	3.4	56	02	02	5850	–11.0	72	36	17
19	6	69021	83650	83362	964	26.0	35	00	00	167	1570	15.0	53	01	02	3180	4.2	84	03	03	5850	–13.8	80	33	14
20	2	68020	82650	—	964	26.0	50	04	10	170	1585	15.2	68	06	09	3200	5.5	59	04	07	5880	–12.0	63	04	23
21	2	70020	82650	—	964	24.0	50	06	08	165	1570	13.0	56	00	00	3160	3.9	50	17	10	5820	–13.9	22	04	17
22	2	70020	82650	—	965	27.0	50	00	00	175	1590	15.7	55	03	05	3200	4.5	58	16	03	5870	–11.4	26	08	23
23	2	60020	82857	82072	964	26.3	45	00	00	172	1585	16.0	48	04	07	3200	2.7	60	10	02	5855	–10.9	11	01	08
24	4	70030	82857	82072	960	26.0	44	04	12	137	1547	13.5	71	07	08	3150	3.1	53	26	02	5790	–13.2	31	05	17
25	7	56606	87556	—	957	18.4	82	00	00	111	1495	11.8	87	00	00	3080	–1.3	99	01	12	5690	–15.6	100	34	12
26	7	57032	81847	87361	957	20.8	64	00	00	103	1505	13.2	77	24	22	3105	1.9	82	23	27	5735	–15.2	78	26	22
27	7	56625	84516	87547	961	15.8	100	06	12	150	1525	10.3	100	24	22	3115	0.9	82	25	30	5730	–16.0	44	25	22
28	7	56629	84517	87558	960	17.3	93	05	11	142	1520	10.8	95	24	25	3105	0.3	96	26	30	5730	–16.3	94	29	22
29	5	57031	85850	—	961	21.0	66	00	00	146	1510	14.2	70	26	06	3150	2.1	82	25	16	5790	–11.9	14	28	20
30	5	70016	83610	82365	962	20.7	68	00	00	153	1535	10.6	70	23	16	3130	2.2	66	27	16	5765	–13.9	54	29	22
31	8	72292	88949	—	957	18.8	65	00	00	104	1495	12.0	98	30	06	3095	1.6	100	30	08	5740	–12.6	88	28	08
Moyen					960	21.2	56	—	04	141	1532	11.2	70	—	09	3120	0.9	65	—	11	5749	–14.7	47	—	18

niveaux standard

03.00 h

400 mb					300 mb					200 mb				150 mb				100 mb				Tropopause		
H	T	U	dd	ff	H	T	U	dd	ff	H	T	dd	ff	H	T	dd	ff	H	T	dd	ff	H	P	T
7100	–32.6	15	27	22	9280	–42.1	—	27	71	12000	–44.2	28	28	—	—	—	—	—	—	—	—	10080	267	–44.0
7280	–31.1	47	26	18	9250	–46.0	—	26	23	11960	–46.0	26	27	—	—	—	—	—	—	—	—	10000	268	–47.2
7375	–27.5	66	03	22	9370	–46.0	—	03	50	11965	–55.1	04	28	—	—	—	—	—	—	—	—	11080	230	–57.0
7380	–28.2	100	28	38	9395	–42.1	—	27	60	12000	–56.0	27	70	—	—	—	—	—	—	—	—	11720	210	–56.7
7380	–30.0	53	34	27	9355	–48.2	—	35	33	12000	–50.8	29	33	—	—	—	—	—	—	—	—	10750	242	–53.2
7420	–25.1	10	35	10	9440	–41.1	—	01	28	12100	–53.7	36	15	—	—	—	—	—	—	—	—	11800	210	–53.7
7335	–25.7	60	27	25	9360	–40.2	—	28	28	11995	–58.8	28	34	—	—	—	—	—	—	—	—	12090	197	–59.1
7230	–29.6	22	31	72	9240	–39.6	—	35	94	11935	–46.2	32	80	—	—	—	—	—	—	—	—	11070	228	–47.9
7275	–26.0	63	33	78	9290	–41.5	—	32	122	11920	–56.9	32	95	—	—	—	—	—	—	—	—	11340	219	–58.1
7300	–29.0	82	32	42	9285	–44.3	—	30	36	11900	–60.3	31	38	—	—	—	—	—	—	—	—	12870	171	–62.5
7375	–27.2	37	30	18	9375	–44.0	—	31	20	12010	–52.1	28	25	—	—	—	—	—	—	—	—	10320	260	–52.9
7350	–25.9	80	26	28	9370	–42.1	—	27	52	12030	–50.3	27	65	—	—	—	—	—	—	—	—	11510	217	–53.3
7290	–29.3	25	23	25	9275	–44.3	—	24	28	11940	–46.6	25	32	—	—	—	—	—	—	—	—	10580	246	–52.0
7335	–30.0	71	24	27	9315	–46.2	—	23	30	11960	–49.4	24	30	—	—	—	—	—	—	—	—	10770	240	–53.2
7330	–30.3	20	27	16	9300	–48.0	—	27	27	11945	–48.0	27	33	—	—	—	—	—	—	—	—	10410	253	–53.4
7400	–27.9	10	35	40	9420	–39.8	—	34	55	12080	–34.0	34	61	—	—	—	—	—	—	—	—	12180	197	–54.2
7455	–24.3	10	35	32	9480	–39.7	—	34	20	12140	–57.7	30	22	—	—	—	—	—	—	—	—	12830	179	–60.0
7480	–23.0	62	35	27	9515	–40.8	—	36	52	12170	–55.7	35	38	—	—	—	—	—	—	—	—	11890	209	–55.7
7495	–22.9	68	34	16	9530	–41.2	—	36	17	12150	–60.8	01	50	—	—	—	—	—	—	—	—	12870	178	–61.7
7495	–23.7	82	34	18	9525	–40.9	—	34	20	12190	–53.9	35	34	—	—	—	—	—	—	—	—	12510	190	–54.5
7535	–22.9	53	03	33	9570	–40.7	—	03	30	12240	–55.9	03	38	—	—	—	—	—	—	—	—	12160	203	–56.0
7515	–24.2	22	05	38	9550	–39.4	—	05	49	—	—	—	—	—	—	—	—	—	—	—	—	—	—	—
7555	–21.8	10	06	26	9590	–38.2	—	07	32	12280	–56.4	06	32	—	—	—	—	—	—	—	—	13440	166	–63.6
—	—	—	30	18	—	—	—	28	36	—	—	30	33	—	—	—	—	—	—	—	—	—	—	—
7400	–26.8	94	35	22	9415	–42.2	—	35	33	12035	–61.0	36	33	—	—	—	—	—	—	—	—	12130	197	–61.1
7330	–29.5	32	29	09	9320	–43.9	—	29	13	12000	–48.0	27	17	—	—	—	—	—	—	—	—	14340	140	–50.2
7370	–30.0	100	29	38	9360	–46.5	—	26	45	11960	–58.1	27	88	—	—	—	—	—	—	—	—	12770	176	–59.0
7365	–26.3	23	28	40	9395	–40.6	—	27	68	12020	–54.6	29	55	—	—	—	—	—	—	—	—	11330	223	–56.7
7420	–24.0	25	29	30	9440	–41.5	—	29	40	12085	–53.5	28	52	—	—	—	—	—	—	—	—	11800	209	–54.6
7470	–22.0	64	29	34	9530	–35.8	69	29	40	12230	–59.9	28	70	—	—	—	—	—	—	—	—	13410	167	–52.0
7375	–26.0	80	27	30	9395	–41.6	—	26	33	12030	–55.3	27	55	—	—	—	—	—	—	—	—	11340	223	–56.4
7381	–26.8	50	—	30	9398	–42.3	—	—	41	12044	–53.5	—	44	—	—	—	—	—	—	—	—	—	—	—

15.00 h

7310	–32.4	90	26	36	9275	–46.2	—	27	60	11940	–47.9	27	30	—	—	—	—	—	—	—	—	10470	250	–50.2
7355	–27.4	100	02	22	9350	–46.0	—	02	20	12050	–46.1	31	08	—	—	—	—	—	—	—	—	9810	280	–47.6
7400	–25.3	66	32	22	9440	–38.9	—	33	38	12100	–56.0	32	36	—	—	—	—	—	—	—	—	12290	194	–56.4
7375	–27.5	22	29	27	9375	–43.2	—	27	38	12050	–48.7	27	38	—	—	—	—	—	—	—	—	11450	219	–49.8
7390	–27.0	61	33	17	9400	–41.6	—	35	20	12035	–54.0	30	10	—	—	—	—	—	—	—	—	11240	227	–55.5
7420	–25.0	22	33	10	9450	–40.2	—	33	11	12115	–54.6	32	18	—	—	—	—	—	—	—	—	11660	215	–54.7
7320	–27.5	33	31	22	9320	–43.0	—	33	28	11935	–55.1	30	25	—	—	—	—	—	—	—	—	11460	216	–59.3
7210	–32.2	35	34	40	9190	–42.6	—	34	66	11880	–47.0	33	77	—	—	—	—	—	—	—	—	12390	185	–48.6
7230	–31.1	37	32	52	9225	–41.6	—	32	106	11870	–53.0	32	57	—	—	—	—	—	—	—	—	11570	210	–56.1
7330	–28.8	42	31	16	9315	–44.7	—	31	36	11970	–50.4	30	24	—	—	—	—	—	—	—	—	10260	260	–51.0
7350	–29.2	67	23	22	9350	–42.8	—	22	22	12000	–52.5	26	38	—	—	—	—	—	—	—	—	11100	230	–54.0
7340	–27.5	60	25	16	9355	–41.2	—	25	50	12030	–49.6	25	40	—	—	—	—	—	—	—	—	10890	238	–50.6
7335	–26.6	27	25	21	9335	–44.9	—	24	17	11970	–49.7	24	28	—	—	—	—	—	—	—	—	10580	248	–53.0
7325	–31.6	35	24	18	9275	–48.8	—	25	28	11875	–53.8	26	47	—	—	—	—	—	—	—	—	10100	264	–55.5
7370	–29.8	71	29	17	9355	–43.9	—	30	33	12000	–49.4	31	33	—	—	—	—	—	—	—	—	10880	238	–52.4
7480	–23.3	10	34	28	9530	–35.2	—	33	49	12250	–51.6	34	48	—	—	—	—	—	—	—	—	—	—	—
7470	–24.8	41	32	26	9500	–39.0	—	32	30	12160	–57.8	31	22	—	—	—	—	—	—	—	—	12490	190	–58.0
7530	–22.7	74	34	22	9580	–38.9	—	35	23	12230	–59.0	35	60	—	—	—	—	—	—	—	—	12550	190	–59.2
7490	–26.3	71	33	13	9510	–41.0	—	34	26	—	—	—	—	—	—	—	—	—	—	—	—	—	—	—
7550	–23.0	62	03	15	9590	–39.0	—	03	20	12260	–52.2	01	30	—	—	—	—	—	—	—	—	11370	230	–52.5
7470	–25.0	25	05	23	9510	–41.3	—	05	35	12120	–59.7	04	33	—	—	—	—	—	—	—	—	11940	206	–60.6
7540	–22.2	27	07	38	9580	–39.9	—	06	50	12240	–60.3	05	43	—	—	—	—	—	—	—	—	12240	200	–60.3
7530	–23.2	42	03	10	9570	–37.7	—	02	11	12235	–59.1	01	28	—	—	—	—	—	—	—	—	12890	180	–64.3
7445	–25.9	38	05	22	9465	–40.4	—	05	32	12120	–55.4	06	18	—	—	—	—	—	—	—	—	11840	209	–56.0
7345	–25.2	99	31	18	9355	–42.9	—	29	40	12005	–50.2	31	38	—	—	—	—	—	—	—	—	10900	237	–53.2
7375	–27.5	80	26	20	9380	–43.3	—	28	22	12015	–52.2	27	32	—	—	—	—	—	—	—	—	10890	238	–54.3
7370	–26.6	79	26	23	9380	–41.9	—	27	28	—	—	—	—	—	—	—	—	—	—	—	—	—	—	—
7370	–28.0	23	28	38	9375	–42.6	—	28	46	12005	–55.2	28	36	—	—	—	—	—	—	—	—	11260	225	–55.7
7460	–23.3	10	28	22	9490	–40.0	—	29	30	12145	–55.0	28	38	—	—	—	—	—	—	—	—	11860	209	–55.9
7425	–25.2	61	28	44	9450	–41.1	—	27	43	12105	–53.1	28	40	—	—	—	—	—	—	—	—	11400	223	–55.7
7405	–23.2	85	29	12	9450	–39.5	—	28	16	12110	–55.0	28	22	—	—	—	—	—	—	—	—	12000	203	–55.2
7397	–26.6	51	—	24	9410	–41.7	—	—	35	12063	–53.2	—	34	—	—	—	—	—	—	—	—	—	—	—

Observations aux

Septembre 1955

Jour	Données synoptiques en surface (Code AERO)				Surface 491 m					1000 mb	850 mb					700 mb					500 mb				
	N	VVwwW	NsChshs	NsChshs	P	T	U	dd	ff	H	H	T	U	dd	ff	H	T	U	dd	ff	H	T	U	dd	ff
1	8	56636	88556	—	956	14.0	100	00	00	114	1480	9.2	76	30	07	3060	−0.9	98	33	10	5675	−14.9	92	32	08
2	0	65020	—	—	961	10.7	100	00	00	156	1520	10.8	76	03	10	3105	0.9	38	01	10	5750	−12.0	84	36	22
3	0	65020	—	—	959	11.8	100	00	00	141	1505	11.8	85	33	03	3110	5.4	41	33	03	5775	−9.4	14	30	20
4	0	60020	—	—	959	13.0	100	00	00	137	1520	12.6	85	07	03	3125	2.3	80	23	06	5755	−14.6	54	23	11
5	3	57021	83366	—	960	13.0	100	00	00	145	1515	12.0	89	00	00	3115	0.8	88	25	05	5740	−14.8	81	24	06
6	8	60979	88940	—	959	15.0	100	00	00	137	1515	10.0	98	28	14	3090	−2.0	100	23	14	5690	−16.5	93	26	33
7	1	70020	—	—	958	11.2	100	00	00	134	1495	10.2	68	06	16	3080	−0.2	52	24	11	5715	−14.2	48	31	33
8	4	60021	84656	—	958	11.2	100	00	00	134	1510	10.9	88	23	13	3100	0.9	90	22	28	5730	−13.0	24	25	32
9	2	70020	82656	—	962	12.0	100	00	00	169	1535	11.4	77	23	05	3130	0.6	87	23	22	5760	−14.2	10	20	20
10	8	70022	88537	—	959	14.0	100	00	00	137	1500	9.4	100	24	16	3085	−0.6	100	25	16	5695	−14.8	40	23	12
11	1	70021	81656	—	959	10.0	100	00	00	140	—	—	—	06	22	—	—	—	05	20	—	—	—	08	12
12	8	70022	88656	—	962	13.0	100	00	00	158	1520	9.1	92	07	09	3120	5.4	40	07	07	5780	−10.1	10	05	34
13	8	70032	88617	—	959	15.0	90	00	00	137	1510	8.8	95	24	14	3090	−0.6	100	25	24	5710	−12.3	55	27	34
14	8	57606	88620	—	949	10.0	100	24	12	058	1410	5.6	100	26	50	3000	−3.6	50	27	55	5540	−20.2	100	25	58
15	8	70606	88610	—	949	6.0	100	21	12	065	1390	1.1	100	28	25	2930	−8.8	100	28	25	5460	−28.0	55	30	32
16	8	56606	88610	—	956	7.0	100	21	06	121	1450	−1.0	100	26	16	3000	−9.4	100	27	16	5480	−27.8	94	26	12
17	5	70022	85658	—	965	9.0	80	00	00	198	1550	5.7	73	25	12	3100	−1.2	84	26	16	5740	−15.3	90	31	37
18	0	74020	—	—	966	8.5	98	00	00	199	1545	6.2	97	00	00	3120	0.7	19	27	10	5735	−15.0	43	29	18
19	0	40464	—	—	965	7.0	100	00	00	201	1545	6.6	94	00	00	3115	1.3	18	00	00	5745	−15.3	15	00	00
20	0	15474	—	—	966	9.4	100	00	00	204	1565	11.7	23	24	07	3150	0.1	68	15	13	5765	−15.7	10	15	25
21	0	15474	—	—	967	13.6	96	00	00	204	1570	9.3	55	00	00	3145	−1.7	68	13	13	5745	−18.2	100	26	05
22	0	18474	—	—	964	9.8	100	00	00	185	1545	10.1	60	—	—	3125	−1.5	46	—	—	5735	−16.1	19	—	—
23	0	18464	—	—	959	9.8	100	00	00	140	1495	11.0	75	23	20	3085	0.6	28	26	12	5710	−15.3	78	31	08
24	0	56464	—	—	961	10.8	100	00	00	164	1525	9.6	85	06	04	3110	−0.5	83	10	03	5720	−16.8	73	19	06
25	0	05464	—	—	967	10.2	100	00	00	213	1575	10.4	60	05	05	3165	1.0	36	03	03	5800	−14.6	34	29	02
26	3	15020	83072	—	966	13.3	100	00	00	198	1565	8.4	100	24	05	3140	0.5	46	26	10	5770	−14.4	44	26	11
27	8	70022	88640	—	964	14.0	100	00	00	181	1545	7.7	98	00	00	3125	−0.8	100	28	05	5730	−17.4	10	30	11
28	8	56022	—	—	964	9.0	100	00	00	186	1520	0.9	91	04	08	3055	−6.3	60	34	06	5635	−20.0	40	34	36
29	7	60022	87540	—	965	6.5	100	00	00	201	1525	0.0	100	06	27	3055	−8.0	34	06	25	5600	−21.5	22	05	33
30	0	58020	—	—	967	4.2	100	00	00	217	1545	3.6	64	08	10	3110	−0.2	15	07	12	5730	−14.0	12	08	22
Moyen					961	10.7	99	—	01	159	1517	8.0	83	—	11	3094	−0.9	64	—	14	5704	−16.1	50	—	20

Septembre 1955

1	3	70010	83649	—	958	21.5	45	10	05	121	1510	11.0	57	04	16	3100	0.8	45	02	20	5725	−13.3	25	01	22
2	0	70010	—	—	958	22.0	55	00	00	121	1520	13.8	45	03	07	3125	4.2	35	03	02	5795	−11.8	55	34	15
3	2	71020	82856	—	958	23.2	53	00	00	116	1530	13.5	51	35	06	3130	3.1	43	22	11	5780	−13.3	41	24	05
4	6	65171	82857	85367	959	23.0	55	00	00	120	1540	13.6	55	33	04	3140	3.0	73	31	05	5775	−14.1	44	20	15
5	3	70021	82634	81363	959	23.0	45	00	00	118	1530	14.1	73	00	00	3140	3.8	85	26	12	5800	−11.7	86	24	11
6	4	70032	84637	—	958	21.0	55	26	08	121	1510	11.3	78	25	16	3100	0.2	96	25	28	5740	−12.9	44	29	28
7	5	70022	85657	—	956	19.5	60	05	10	107	1495	10.1	80	27	03	3080	1.2	17	22	05	5720	−14.6	30	26	28
8	1	70020	81656	—	959	23.0	55	00	00	125	1530	12.3	72	24	20	3120	1.8	54	22	18	5770	−12.0	43	25	20
9	8	70026	84610	84362	961	18.0	90	00	00	150	1520	10.8	83	24	06	3130	2.9	96	24	07	5780	−13.2	90	21	24
10	8	70606	88610	—	959	14.0	100	00	00	137	1500	7.1	98	33	05	3070	−2.6	100	33	06	5660	−19.9	100	17	04
11	8	70022	88656	—	961	16.5	70	04	12	151	1520	5.4	90	06	20	3100	2.4	73	07	20	5745	−12.2	54	06	28
12	4	65020	84635	—	960	19.8	55	00	00	137	1525	12.7	69	26	03	3135	5.8	61	22	06	5825	−8.1	22	20	03
13	6	70012	85656	84068	959	15.9	42	00	00	137	1490	3.1	83	25	12	3035	−4.1	12	25	15	5615	−19.2	78	26	33
14	8	65646	88527	—	947	6.4	100	25	31	045	1370	1.2	100	26	60	2905	−8.5	100	24	44	5440	−24.3	94	24	46
15	7	74606	85532	84359	952	8.4	88	00	00	077	1410	0.7	90	25	17	2930	−10.9	74	27	26	5420	−29.9	79	29	26
16	6	74022	82647	86365	963	14.0	48	23	21	175	1525	2.4	74	25	12	3065	−4.5	19	29	10	5645	−16.1	10	33	28
17	1	74020	81362	—	964	18.2	55	00	00	180	1550	7.9	70	27	05	3125	−0.6	78	28	14	5735	−15.5	24	31	15
18	2	74020	82656	—	965	19.4	51	08	12	181	1555	7.7	62	01	06	3130	0.7	14	27	05	5750	−15.1	31	32	07
19	1	65010	81647	—	965	16.2	68	00	00	190	1555	10.0	45	00	00	3145	1.3	40	23	11	5775	−14.1	10	17	03
20	5	50022	84725	81840	966	16.0	75	00	00	198	1570	12.7	20	03	05	3160	0.3	43	22	11	5770	−17.2	58	23	16
21	3	75020	83850	—	965	21.0	50	00	00	185	1565	10.0	60	04	11	3145	−0.7	62	06	03	5755	−17.0	61	33	04
22	2	56020	81850	82557	960	19.5	60	00	00	139	1535	11.4	38	07	16	3120	3.4	19	11	03	5765	−12.1	10	33	05
23	5	75021	82850	84364	958	19.8	60	00	00	121	1510	11.8	46	24	14	3100	0.7	45	22	16	5720	−15.0	38	23	07
24	2	56020	81850	82063	966	20.0	65	00	00	193	1570	11.3	43	00	00	3155	0.7	40	00	00	5790	−13.1	22	27	06
25	3	60020	81850	83063	964	20.2	60	00	00	176	1565	11.0	54	05	08	3160	0.5	57	06	11	5780	−14.9	45	23	10
26	8	57022	84270	83461	964	20.0	50	00	00	176	1555	9.8	91	30	05	3140	05	80	27	06	5760	−15.4	92	26	17
27	8	40616	88530	—	964	11.0	94	00	00	183	1520	3.7	100	03	08	3085	−2.9	100	27	04	5680	−17.7	34	33	10
28	7	70022	85647	84364	964	12.2	50	00	00	185	1520	0.6	89	01	14	3040	−10.4	99	02	15	5560	−27.1	82	36	42
29	5	74022	85640	83365	966	12.8	53	06	31	199	1545	1.2	72	06	27	3080	−4.3	20	07	26	5665	−16.3	28	05	46
30	1	60050	81649	—	968	11.0	65	00	00	220	1555	5.8	36	07	06	3155	1.4	15	06	16	5790	−12.0	20	05	20
Moyen					961	17.6	62	—	04	149	1523	8.6	67	—	11	3101	−0.4	57	—	13	5718	−15.6	48	—	18

niveaux standard

03.00 h

400 mb					300 mb					200 mb				150 mb				100 mb				Tropopause		
H	T	U	dd	ff	H	T	U	dd	ff	H	T	dd	ff	H	T	dd	ff	H	T	dd	ff	H	P	T
7330	–25.7	75	34	07	9350	–41.6	—	31	05	12000	–52.0	33	33	—	—	—	—	—	—	—	—	11000	234	–53.3
7415	–24.6	76	36	26	9410	–40.3	—	36	38	12090	–58.8	01	38	—	—	—	—	—	—	—	—	13280	165	–66.0
7450	–22.4	10	30	10	9500	–39.0	—	31	08	12150	–59.9	29	12	—	—	—	—	—	—	—	—	13000	174	–64.5
7400	–26.1	63	24	15	9420	–40.5	—	20	12	12065	–58.3	20	40	—	—	—	—	—	—			13000	172	–60.0
7385	–27.1	55	25	10	9385	–45.1	—	24	14	11950	–63.5	25	17	—	—	—	—	—	—	—	—	11740	207	–64.0
7330	–28.8	87	27	18	9315	–44.3	—	24	33	11940	–63.5	28	48	—	—	—	—	—	—	—	—	11940	200	–63.5
7365	–27.9	45	30	30	9365	–42.5	—	29	60	12015	–55.4	29	48	—	—	—	—	—	—	—	—	11950	202	–55.4
7390	–25.8	33	26	33	9400	–42.4	—	27	44	12050	–55.4	27	60	—	—	—	—	—	—	—	—	11560	216	–54.7
7400	–27.9	13	21	18	9410	–42.8	—	24	27	12030	–56.5	25	25	—	—	—	—	—	—	—	—	11120	231	–58.0
7350	–24.0	99	21	26	9385	–39.8	—	21	44	12060	–48.4	22	12	—	—	—	—	—	—	—	—	13690	156	–50.7
—	—	—	08	20	—	—	—	11	22	—	—	04	23	—	—	—	—	—	—	—	—	—	—	—
7450	–22.0	10	05	34	9520	–36.7	10	05	54	12230	–51.3	05	71	—	—	—	—	—	—	—	—			
7380	–23.2	10	23	33	9420	–36.5	—	23	34	12170	–48.8	22	56	—	—	—	—	—	—	—	—	13780	156	–54.6
7150	–33.8	66	25	90	9110	–47.9	—	25	77	11770	–48.0	26	77	—	—	—	—	—	—	—	—	9850	268	–49.6
7000	–41.6	70	30	28	8920	–45.0	—	29	18	11680	–42.8	29	27	—	—	—	—	—	—	—	—	8300	330	–49.0
7060	–39.0	85	29	05	9000	–46.9	—	33	25	11685	–45.0	32	45	—	—	—	—	—	—	—	—	8720	312	–49.0
7380	–26.8	87	30	43	9400	–39.3	—	31	49	12070	–54.0	30	59	—	—	—	—	—	—	—	—	12680	182	–56.0
7390	–26.3	37	28	17	9410	–40.7	—	01	06	12050	–56.4	28	25	—	—	—	—	—	—	—	—	12400	189	–57.4
7395	–26.2	11	09	07	9405	–42.5	—	06	14	12015	–60.8	34	05	—	—	—	—	—	—	—	—	12600	182	–64.7
7410	–27.2	10	15	33	9400	–45.0	—	17	28	12000	–61.8	17	28	—	—	—	—	—	—	—	—	12160	195	–62.6
7370	–30.3	78	26	12	9350	–46.2	—	29	24	11970	–52.9	26	26	—	—	—	—	—	—	—	—	10930	235	–54.9
7370	–28.2	17	—	—	9350	–46.6	—	—	—	11915	–64.6	31	25	—	—	—	—	—	—	—	—	12330	187	–65.8
7355	–26.6	78	27	11	9370	–41.3	—	27	14	11985	–61.8	28	25	—	—	—	—	—	—	—	—	12870	173	–64.5
7360	–26.7	66	16	06	9360	–43.4	—	25	12	11960	–62.1	23	15	—	—	—	—	—	—	—	—	11720	208	–61.5
7450	–26.9	24	36	13	9470	–41.0	—	02	38	—	—	—	—	—	—	—	—	—	—	—	—	—	—	—
7420	–24.3	38	26	16	9450	–39.8	—	23	22	12100	–60.2	23	33	—	—	—	—	—	—	—	—	13580	157	–62.7
7355	–29.7	10	28	17	9340	–44.5	—	26	22	11950	–59.6	24	28	—	—	—	—	—	—	—	—	12740	176	–60.2
7245	–32.9	41	34	35	9200	–49.0	—	36	52	11770	–58.0	33	40	—	—	—	—	—	—	—	—	10950	228	–59.2
7215	–28.2	26	04	90	9215	–42.4	—	04	50	11820	–56.6	04	55	—	—	—	—	—	—	—	—	14550	129	–64.0
7390	–24.7	24	06	70	9415	–39.1	—	05	82	12080	–56.8	03	66	—	—	—	—	—	—	—	—	12550	186	–59.5
7343	–27.8	46		27	9347	–42.5	—	—	33	11985	–56.2		38	—	—							—	—	—

15.00 h

7380	–25.3	15	01	30	9395	–43.2	—	01	71	12040	–56.5	01	50	—	—	—	—	—	—	—	—	12200	195	–57.4
7460	–22.8	10	35	21	9505	–37.9	10	34	28	12190	–56.6	35	28	—	—	—	—	—	—	—	—	13580	160	–63.5
7445	–24.0	10	21	14	9480	–38.7	15	19	25	12155	–58.0	20	28	—	—	—	—	—	—	—	—	13310	166	–63.8
7425	–26.7	59	21	20	9435	–42.6	—	21	20	12060	–57.3	20	26	—	—	—	—	—	—	—	—	11720	211	–57.4
7470	–24.0	44	25	16	9520	–38.9	38	33	34	12195	–55.3	29	23	—	—	—	—	—	—	—	—	12195	200	–55.3
7400	–25.0	54	30	45	9420	–43.4	—	29	55	—	—	—	—	—	—	—	—	—	—	—	—			
7380	–25.8	26	26	45	9400	–41.7	—	27	68	—	—	—	—	—	—	—	—	—	—	—	—			
7440	–25.0	43	26	17	9460	–42.0	—	24	22	12120	–54.3	25	23	—	—	—	—	—	—	—	—	12940	176	–56.2
7430	–24.0	64	22	25	9470	–40.0	—	23	15	12110	–55.7	22	28	—	—	—	—	—	—	—	—	11230	230	–55.0
7280	–32.0	73	19	33	9250	–45.0	—	16	55	11940	–47.5	22	09	—	—	—	—	—	—	—	—	12300	190	–48.0
7410	–23.1	29	05	28	9445	–42.2	—	05	33	12100	–53.2	04	90	—	—	—	—	—	—	—	—	11950	205	–53.5
7515	–19.9	18	12	05	9590	–34.9	—	04	22	12325	–49.9	01	42	—	—	—	—	—	—	—	—	13680	162	–58.0
7230	–33.5	70	26	46	9180	–47.6	—	25	38	11785	–60.3	26	10	—	—	—	—	—	—	—	—	12270	185	–62.3
7030	–36.3	82	25	41	8985	–41.2	—	26	44	11730	–43.8	27	53	—	—	—	—	—	—	—	—	12860	169	–46.1
6965	–43.4	76	30	28	8850	–49.6	—	29	38	11550	–46.2	28	45	—	—	—	—	—	—	—	—	8240	330	–50.8
7295	–25.1	75	33	45	9320	–40.0	—	31	66	11975	–57.2	31	53	—	—	—	—	—	—	—	—	12300	190	–59.0
7385	–25.0	19	30	17	9400	–40.2	—	29	17	12060	–57.2	29	40	—	—	—	—	—	—	—	—	12800	178	–59.1
7380	–26.6	43	23	13	9390	–42.9	—	34	14	12005	–58.5	32	14	—	—	—	—	—	—	—	—	13320	162	–60.7
7425	–25.9	18	14	12	9440	–41.9	—	14	24	12060	–60.2	11	38	—	—	—	—	—	—	—	—	12190	196	–61.4
7395	–29.1	62	19	16	9380	–43.8	—	19	28	12010	–57.2	21	25	—	—	—	—	—	—	—	—	12310	191	–57.7
7390	–28.1	45	31	11	9380	–44.0	—	32	22	12030	–56.5	33	34	—	—	—	—	—	—	—	—	11810	207	–56.5
7435	–23.7	24	34	12	9460	–41.2	—	32	28	12090	–59.3	32	39	—	—	—	—	—	—	—	—	12820	178	–62.3
7380	–26.6	43	23	12	9390	–41.9	—	26	20	12000	–60.7	27	20	—	—	—	—	—	—	—	—	11560	215	–60.5
7455	–23.7	30	35	15	9485	–39.1	—	36	20	12150	–59.6	01	20	—	—	—	—	—	—	—	—	12690	183	–63.1
7420	–27.7	14	07	06	9425	–43.7	—	02	05	12050	–54.8	02	16	—	—	—	—	—	—	—	—	11840	207	–54.9
7415	–25.6	99	25	12	9425	–41.3	—	24	17	12070	–57.5	25	10	—	—	—	—	—	—	—	—	12560	185	–60.3
7290	–31.0	34	28	20	9260	–47.4	—	27	32	11835	–59.3	27	25	—	—	—	—	—	—	—	—	11490	212	–60.0
7130	–36.3	48	01	46	9090	–43.8	—	01	55	11770	–51.4	01	46	—	—	—	—	—	—	—	—	11900	196	–52.1
7315	–24.8	39	05	93	9350	–38.6	—	05	115	12035	–53.9	03	80	—	—	—	—	—	—	—	—	13970	147	–59.7
7445	–25.0	25	04	32	9465	–42.0	—	04	48	12100	–60.0	02	50	—	—	—	—	—	—	—	—	13950	148	–64.7
7361	–27.2	44	–	26	9368	–42.0	—		37	12019	–55.6	—	38	—	—	—	—	—	—	—	—			

Observations aux

Octobre 1955

Jour	Données synoptiques en surface (Code AERO)				Surface 491 m					1000 mb	850 mb					700 mb					500 mb				
	N	V VwwW	NsChshs	NsChshs	P	T	U	dd	ff	H	H	T	U	dd	ff	H	T	U	dd	ff	H	T	U	dd	ff
1	0	03460	—	—	967	1.8	100	00	00	222	1540	5.7	68	06	22	3125	1.9	32	03	16	5795	−11.2	45	01	22
2	8	15022	88707	—	963	5.0	100	00	00	183	1500	6.2	32	07	24	3095	1.9	20	00	00	5715	−15.3	10	06	21
3	1	30020	81649	—	959	3.0	100	00	00	149	1470	9.1	60	23	17	3070	1.8	50	22	17	5710	−11.6	10	21	09
4	0	50020	—	—	957	7.0	100	00	00	129	1480	8.9	74	22	02	3050	−1.8	94	21	06	5665	14.8	14	22	29
5	8	18616	88649	—	959	11.0	100	00	00	145	1500	5.7	100	25	22	3055	−3.5	100	25	14	5640	−18.2	92	25	23
6	5	50030	85649	—	960	9.0	90	23	05	147	1490	7.8	70	24	37	3060	−0.6	56	25	30	5680	−15.1	66	27	29
7	8	57602	88610	—	961	6.0	100	21	07	162	1490	−0.5	100	28	16	3000	−10.1	100	30	22	5530	−25.8	35	34	30
8	0	70020	—	—	965	2.5	100	00	00	207	1520	2.4	97	04	16	3070	−3.4	15	02	17	5670	−16.0	23	36	65
9	0	65020	—	—	967	4.0	100	00	00	215	1545	6.8	50	06	28	3125	2.9	28	05	28	5785	−11.4	51	02	34
10	0	57474	—	—	962	4.0	100	00	00	166	1495	3.7	86	07	12	3060	−2.7	94	02	25	5660	−15.8	10	01	44
11	0	18474	—	—	961	6.5	100	00	00	166	1495	7.8	25	07	08	3070	−1.7	70	14	04	5650	−20.4	70	13	24
12	0	18474	—	—	962	8.3	100	00	00	169	1520	6.8	65	06	07	3075	−5.1	58	03	11	5640	−21.3	14	01	22
13	8	30474	88710	—	965	8.2	100	00	00	196	1535	3.3	98	05	07	3090	−2.5	89	01	13	5695	−16.1	59	03	22
14	8	40474	88710	—	966	11.1	100	00	00	203	1540	3.4	100	06	14	3120	1.0	18	07	22	5720	−19.6	34	05	16
15	8	40474	88704	—	964	9.8	100	00	00	186	1535	8.5	80	24	05	3155	3.2	10	09	15	5780	−12.5	10	07	22
16	0	60020	—	—	959	7.3	100	00	00	143	1490	6.5	75	28	08	3055	−1.5	28	30	13	5675	−16.2	38	32	30
17	8	70022	88640	—	951	9.0	80	22	12	074	1420	2.5	87	23	27	2970	−3.1	12	23	33	5560	−18.6	10	28	35
18	8	57022	—	—	950	5.0	98	00	00	072	1395	0.0	84	25	20	2920	−9.5	100	22	33	5480	−25.8	19	25	55
19	0	60020	—	—	954	1.5	100	00	00	114	1425	0.4	97	25	16	2960	−5.7	54	27	15	5535	−21.1	41	29	32
20	3	57100	83714	—	955	2.6	100	00	00	114	1435	7.5	49	22	30	3000	−2.7	100	22	38	5620	−15.5	54	23	50
21	8	35606	88530	—	944	7.5	100	00	00	012	1370	11.4	60	20	30	2945	−2.8	100	20	66	5555	−16.1	100	22	50
22	8	70022	88530	—	951	8.0	75	21	08	074	1405	1.6	80	24	40	2940	−9.4	92	23	30	5460	−25.0	40	21	27
23	0	70020	—	—	960	3.0	100	00	00	157	1470	0.5	100	00	00	3000	−7.9	78	22	29	5560	−21.7	20	24	30
24	0	09440	—	—	962	0.0	100	00	00	181	1505	3.6	70	06	04	3055	−6.8	60	14	03	5580	−25.2	42	23	07
25	8	57022	88717	—	963	5.0	100	00	00	181	1500	−1.5	100	02	16	3030	−11.1	100	01	10	5600	−19.2	32	01	49
26	0	57021	—	—	966	0.5	100	00	00	214	1530	0.9	78	06	07	3075	−5.8	90	02	11	5670	20.3	44	36	30
27	0	57020	—	—	958	0.8	100	00	00	146	1430	8.9	10	21	11	3050	−1.2	15	26	39	5640	−17.8	10	29	44
28	8	59032	88657	—	954	11.0	70	24	10	097	1440	4.2	76	25	33	3000	−6.4	82	24	49	5570	−20.0	28	29	45
29	0	60020	—	—	959	0.0	70	00	00	151	1460	−4.5	71	02	05	3000	−12.0	35	33	11	5500	−19.7	10	31	71
30	2	60020	82650	—	956	−3.1	100	00	00	140	1435	1.6	72	23	10	2980	−3.9	31	27	18	5550	−19.6	27	27	20
31	4	40101	84070	—	953	−0.4	100	00	00	101	1415	2.8	90	25	03	2960	−4.7	48	28	03	5530	−19.7	27	27	22
Moyen					959	5.0	96	—	01	149	1477	43	74	—	16	3037	−3.7	60	—	21	5625	−18.3	35	—	33

Octobre 1955

1	5	80020	85169	—	965	14.0	50	04	10	190	1540	6.7	20	05	18	3125	2.2	45	05	22	5770	−13.2	18	33	11
2	7	57020	87449	—	961	12.3	55	00	00	154	1515	6.5	60	24	22	3100	2.9	39	22	07	5750	−11.9	10	08	05
3	1	50100	81635	—	957	12.5	81	00	00	119	1480	7.7	92	24	07	3055	0.6	78	21	20	5690	−13.5	21	21	22
4	8	18602	85730	88756	958	13.1	92	00	00	124	1485	6.1	79	22	10	3045	−3.0	100	23	17	5640	−18.5	92	22	24
5	3	75021	83650	81075	961	15.0	54	25	10	154	1545	5.5	100	23	17	3095	−3.9	24	27	22	5680	−17.3	48	31	27
6	6	80152	86656	—	958	13.8	54	24	23	132	1480	1.4	84	25	33	3015	−9.3	74	25	42	5550	−22.5	15	27	66
7	8	71152	88630	—	964	8.0	81	23	08	188	1520	−1.1	88	30	15	3045	−8.7	100	35	12	5585	−23.4	30	35	42
8	3	74010	83658	—	964	12.9	66	02	19	184	1530	4.8	47	06	20	3095	−0.2	33	02	24	5725	−15.2	32	02	48
9	1	70020	81363	—	964	12.5	55	04	10	184	1530	8.5	35	06	33	3120	3.5	16	06	28	5750	−15.8	64	06	30
10	6	42022	86629	—	959	14.5	62	04	02	137	1500	8.4	55	13	06	3080	−1.0	57	16	17	5675	−18.3	85	09	44
11	3	50020	83649	—	961	13.0	75	00	00	154	1510	10.0	59	31	08	3100	−0.1	58	32	04	5705	−17.2	62	15	03
12	9	40284	—	—	963	11.0	90	00	00	177	1530	11.0	62	34	06	3115	−2.4	58	02	11	5710	−18.0	68	02	16
13	8	35032	88730	—	965	13.6	70	03	10	190	1540	4.0	93	07	10	3115	−0.3	52	07	14	5730	−15.7	48	06	16
14	4	50020	84649	—	965	15.0	65	04	05	190	1550	6.5	55	07	33	3140	1.7	14	05	11	5755	−15.0	10	06	17
15	1	57020	81073	—	959	15.5	65	00	00	137	1505	9.3	55	26	06	3090	2.3	18	27	06	5730	−14.0	36	33	05
16	8	57022	88634	—	955	11.2	80	00	00	108	1455	3.3	98	27	10	3000	−1.5	29	24	14	5625	−16.2	26	27	27
17	8	70032	88650	—	948	10.1	70	27	08	046	1380	1.7	91	23	25	2910	−6.4	55	24	40	5505	−18.6	20	25	25
18	7	74032	87650	—	952	10.0	47	00	00	081	1425	1.7	90	00	00	2940	−12.8	100	00	00	5420	−23.5	76	22	30
19	1	65050	81080	—	954	10.1	63	00	00	100	1450	4.5	37	22	06	3010	−0.5	20	22	25	5620	−17.6	28	25	20
20	7	56102	85659	—	951	10.0	80	00	00	074	1420	10.0	64	21	10	3000	−2.0	87	22	45	5600	−18.0	61	23	45
21	8	74606	88650	—	946	11.2	70	24	10	030	1370	3.1	87	24	30	2910	−6.4	100	19	35	5480	−18.4	20	20	70
22	4	70020	85649	—	955	10.0	60	21	05	108	1450	−0.1	75	23	27	2965	−10,5	82	23	26	5500	−25.1	85	24	30
23	2	80020	82649	—	961	10.0	55	00	00	160	1500	2.0	52	20	03	3030	−8.0	58	24	04	5550	−27.4	50	22	12
24	1	50101	81647	—	961	9.5	80	00	00	160	1500	2.3	58	04	15	3040	−8.3	54	03	14	5585	−21.8	30	03	22
25	3	62021	83645	—	967	10.0	53	05	10	213	1545	−0.5	63	05	16	3070	−7.2	39	04	38	5640	−20.6	51	02	60
26	4	65021	84070	—	962	12.2	52	00	00	172	1525	7.7	49	30	08	3095	−1.4	37	29	30	5670	−21.0	44	29	42
27	6	67032	83640	86070	954	14.6	50	23	15	094	1445	3.8	100	24	25	3000	−3.1	30	23	35	5570	−20.3	22	27	38
28	7	50032	86630	83358	953	9.8	62	28	15	093	1430	1.1	88	25	28	2955	−10.7	100	25	36	5500	−20.6	26	28	72
29	0	70050	—	—	956	6.6	48	03	12	124	1440	−2.0	43	07	20	2955	−8.5	17	08	07	5505	−22.6	29	31	22
30	3	60020	81650	82070	953	7.4	55	00	00	097	1425	4.3	59	26	12	2970	−4.5	48	25	17	5545	−19.8	22	27	28
31	7	70022	87275	—	950	5.3	60	03	12	072	1385	1.6	60	06	33	2940	−3.1	21	07	09	5520	−19.7	80	28	16
Moyen					958	11.4	65	—	06	134	1481	4.5	68	—	16	3036	−3.6	53	—	20	5624	−18.7	42	—	30

niveaux standard

03.00 h

400 mb					300 mb					200 mb				150 mb				100 mb				Tropopause		
H	T	U	dd	ff	H	T	U	dd	ff	H	T	dd	ff	H	T	dd	ff	H	T	dd	ff	H	P	T
7465	–23.1	34	36	20	9490	–39.2	40	34	21	12170	–55.5	34	44	—	—	—	—	—	—	—	—	13610	159	–60.3
7355	–26.8	10	05	33	9380	–41.4	—	05	38	12000	–55.4	03	25	—	—	—	—	—	—	—	—	13110	168	–59.1
7370	–26.2	28	15	15	9370	–42.2	—	21	07	12000	–62.3	20	14	—	—	—	—	—	—	—	—	12850	174	–66.4
7310	–27.1	45	22	27	9315	–42.9	—	21	25	11950	–58.1	21	38	—	—	—	—	—	—	—	—	13350	160	–60.1
7270	–29.8	89	25	37	9250	–47.0	—	25	37	11850	–57.1	26	32	—	—	—	—	—	—	—	—	12080	194	–57.4
7320	–27.9	75	28	35	9320	–43.2	—	29	39	11940	–60.8	31	55	—	—	—	—	—	—	—	—	12460	184	–62.4
7105	–37.3	25	34	28	9040	–48.2	—	33	26	11700	–49.2	33	33	—	—	—	—	—	—	—	—	9280	290	–48.6
7330	–26.7	30	01	72	9350	–39.9	—	01	88	12000	–59.5	01	148	—	—	—	—	—	—	—	—	12660	180	–62.3
7460	–22.1	68	02	50	9510	–38.4	—	04	66	12170	–58.3	04	86	—	—	—	—	—	—	—	—	13930	150	–65.1
7300	–26.6	10	01	60	9310	–42.1	—	01	77	11940	–58.4	36	55	—	—	—	—	—	—	—	—	13220	163	–62.0
7260	–32.6	57	11	26	9210	–50.3	—	11	24	11800	–55.0	06	13	—	—	—	—	—	—	—	—	10090	262	–56.7
7230	–36.4	14	02	17	9170	–51.4	—	01	20	11730	–56.0	03	18	—	—	—	—	—	—	—	—	10740	234	–60.9
7335	–29.2	56	03	14	9315	–45.1	—	03	16	11940	–57.8	01	45	—	—	—	—	—	—	—	—	11810	204	–57.8
7330	–33.4	10	04	16	9280	–48.8	—	04	22	11850	–60.5	04	31	—	—	—	—	—	—	—	—	11210	222	–59.5
7440	–27.2	10	06	26	9430	–42.8	—	07	40	12040	–63.6	06	66	—	—	—	—	—	—	—	—	13700	152	–70.0
7325	–27.2	13	29	40	—	—	—	—	—	—	—	—	—	—	—	—	—	—	—	—	—	—	—	—
7180	–31.6	10	28	33	9160	–44.8	—	27	58	11770	–61.8	28	71	—	—	—	—	—	—	—	—	12110	189	–63.6
7040	–35.0	18	25	50	8970	–50.0	—	24	66	11540	–61.0	25	71	—	—	—	—	—	—	—	—	11630	197	–61.0
7130	–35.4	39	30	28	9050	–51.2	—	30	33	11620	–55.7	26	55	—	—	—	—	—	—	—	—	10140	253	–58.0
7270	–26.3	100	23	47	9280	–43.2	—	23	50	11890	–58.6	23	71	—	—	—	—	—	—	—	—	11530	212	–60.6
7180	–28.6	100	21	50	9118	–43.3	—	21	50	11800	–56.5	21	53	—	—	—	—	—	—	—	—	11110	223	–57.6
7040	–37.5	56	15	46	8970	–48.0	—	17	72	11670	–45.0	21	27	—	—	—	—	—	—	—	—	8830	307	–48.0
7150	–34.8	36	24	46	9100	–47.8	—	23	33	11780	–46.0	22	20	—	—	—	—	—	—	—	—	9420	286	–48.8
7170	–36.3	26	19	15	9100	–51.7	—	21	28	11700	–55.0	21	07	—	—	—	—	—	—	—	—	9700	274	–54.2
7210	–31.0	27	01	77	9200	–44.4	—	01	80	11820	–54.2	35	20	—	—	—	—	—	—	—	—	11520	210	–57.2
7260	–33.9	47	01	27	9200	–51.1	—	01	46	11740	–64.1	36	34	—	—	—	—	—	—	—	—	10670	238	–61.5
7270	–31.0	10	29	34	9220	–47.2	—	29	50	11820	–62.8	28	50	—	—	—	—	—	—	—	—	11820	200	–62.8
7175	–33.0	36	28	55	9145	–46.8	—	28	84	11760	–58.5	28	140	—	—	—	—	—	—	—	—	11920	195	–58.7
7115	–32.2	11	30	55	9085	–45.1	—	29	72	11720	–55.1	29	50	—	—	—	—	—	—	—	—	10740	233	–54.2
7170	–31.7	27	27	35	9140	–46.6	—	28	50	11720	–60.8	27	56	—	—	—	—	—	—	—	—	11340	213	–61.0
7140	–31.8	63	27	40	9110	–47.1	—	26	52	11680	–62.6	26	56	—	—	—	—	—	—	—	—	11410	209	–64.4
7249	–30.6	38	—	37	9220	–45.7	—	—	46	11837	–57.5	—	49	—	—	—	—	—	—	—	—	—	—	—

15.00 h

7430	–23.8	31	32	28	9460	–39.8	47	30	30	12115	–55.5	33	22	—	—	—	—	—	—	—	—	—	—	—
7415	–25.0	10	02	02	9430	–40.9	—	02	04	12070	–59.7	06	16	—	—	—	—	—	—	—	—	12490	187	–61.8
7335	–25.4	28	20	20	9345	–43.0	—	21	18	11960	–62.1	21	28	—	—	—	—	—	—	—	—	12470	184	–63.3
7260	–30.7	70	22	32	9220	–49.9	—	24	25	11800	–57.8	23	35	—	—	—	—	—	—	—	—	10710	238	–58.4
7300	–31.7	41	32	26	9270	–46.9	—	31	38	11870	–55.6	30	36	—	—	—	—	—	—	—	—	11430	215	–56.9
7140	–36.1	41	28	67	9080	–49.9	—	27	85	11690	–53.8	28	42	—	—	—	—	—	—	—	—	9530	280	–52.9
7200	–29.5	10	36	88	9190	–42.7	—	36	112	11840	–54.0	36	92	—	—	—	—	—	—	—	—	11170	222	–54.0
7380	–25.6	40	02	66	9385	–43.4	—	01	70	11975	–62.9	01	70	—	—	—	—	—	—	—	—	12760	176	–67.2
7390	–27.5	66	04	40	9390	–43.8	—	03	52	11980	–64.6	04	60	—	—	—	—	—	—	—	—	12960	170	–72.0
7300	–31.2	80	13	36	9270	–46.8	—	11	50	11920	–51.0	13	38	—	—	—	—	—	—	—	—	11920	200	–51.0
7340	–30.5	60	09	20	9300	–48.6	—	09	20	11870	–57.6	07	14	—	—	—	—	—	—	—	—	10800	237	–61.0
7330	–31.2	58	03	22	9280	–50.6	—	02	36	11840	–60.2	01	38	—	—	—	—	—	—	—	—	10420	251	–59.4
7375	–29.0	44	07	11	9360	–44.7	—	07	13	11970	–58.4	01	16	—	—	—	—	—	—	—	—	11710	209	–58.4
7400	–29.1	10	06	44	9380	–45.5	—	06	50	11960	–63.1	05	39	—	—	—	—	—	—	—	—	12370	187	–65.2
7390	–25.5	30	02	06	9410	–41.0	—	05	16	12050	–59.5	05	16	—	—	—	—	—	—	—	—	12700	180	–63.5
7250	–31.0	26	27	30	9230	–45.8	—	27	44	11820	–63.0	28	62	—	—	—	—	—	—	—	—	11820	200	–63.0
7115	–32.1	28	25	44	9090	–45.2	—	25	60	11690	–61.6	25	80	—	—	—	—	—	—	—	—	11690	200	–61.6
7070	–35.2	70	25	15	9020	–47.3	—	24	40	11670	–50.0	24	35	—	—	—	—	—	—	—	—	9480	280	–49.4
7250	–31.8	28	25	28	9210	–46.9	—	27	38	11800	–64.0	27	50	—	—	—	—	—	—	—	—	12270	185	–65.2
7225	–30.7	60	23	55	9210	–45.4	—	24	95	11815	–56.1	24	70	—	—	—	—	—	—	—	—	11040	226	–58.6
7100	–32.0	20	19	70	9070	–46.5	—	20	100	11725	–49.7	—	—	—	—	—	—	—	—	—	—	10690	234	–53.8
7090	–34.7	77	26	17	9050	–43.9	—	25	29	11790	–43.4	22	25	—	—	—	—	—	—	—	—	8370	332	–44.6
7140	–35.3	38	20	28	9070	–50.2	—	21	25	11700	–52.0	20	12	—	—	—	—	—	—	—	—	9440	284	–52.2
7190	–33.6	29	02	12	9160	–44.8	—	05	10	11800	–55.4	08	08	—	—	—	—	—	—	—	—	10360	250	–52.8
7250	–32.8	46	02	60	9210	–48.4	—	36	46	11770	–63.0	35	33	—	—	—	—	—	—	—	—	11210	219	–62.3
7290	–30.7	36	31	45	9260	–47.3	—	31	35	11830	–62.7	31	35	—	—	—	—	—	—	—	—	11650	206	–63.4
7175	–33.4	22	25	50	9130	–48.0	—	26	48	11690	–64.0	27	46	—	—	—	—	—	—	—	—	11450	208	–63.7
7110	–33.0	15	27	92	9070	–47.8	—	28	90	11650	–62.0	27	58	—	—	—	—	—	—	—	—	11740	197	–62.3
7105	–33.5	28	29	44	9050	–49.6	—	28	65	11620	–62.7	28	46	—	—	—	—	—	—	—	—	11530	203	–63.1
7150	–32.2	23	27	48	9120	–47.6	—	27	72	11670	–64.0	26	48	—	—	—	—	—	—	—	—	11490	206	–65.7
7140	–31.9	82	26	33	9100	–46.7	—	25	50	11660	–63.8	26	50	—	—	—	—	—	—	—	—	11190	216	–63.8
7246	–30.8	40	—	38	9220	–46.1	—	—	47	11826	–58.5	—	41	—	—	—	—	—	—	—	—	—	—	—

Novembre 1955

Jour	Données synoptiques en surface (Code AERO)				Surface 491 m					1000 mb	850 mb					700 mb					500 mb				
	N	VVwwW	NsChshs	NsChshs	P	T	U	dd	ff	H	H	T	U	dd	ff	H	T	U	dd	ff	H	T	U	dd	ff
1	8	57032	88720	—	950	1.7	75	04	08	083	1385	−0.5	100	06	05	2945	−2.3	75	06	08	5530	−19.2	68	00	00
2	8	15104	88714	—	955	1.9	100	00	00	121	1430	4.0	100	22	30	2980	−4.1	100	23	26	5560	−19.2	99	25	12
3	8	10102	81702	88710	958	3.5	100	00	00	138	1460	4.9	95	22	17	3040	0.1	30	23	18	5665	−15.4	36	25	22
4	8	10606	88635	—	954	6.2	100	00	00	103	1440	8.2	72	21	22	3025	1.8	100	24	34	5665	−12.7	100	26	25
5	9	00454	—	—	954	9.0	100	00	00	092	1450	9.2	96	22	22	3035	−0.6	100	22	38	5655	−15.6	70	23	32
6	8	00454	—	—	960	8.0	100	00	00	151	1505	9.9	76	22	05	3080	−1.0	70	21	14	5700	−16.9	10	26	16
7	9	01454	—	—	962	7.4	100	00	00	175	1520	10.7	52	19	05	3100	−0.7	50	23	35	5705	−19.0	10	24	17
8	9	00454	—	—	960	6.0	100	00	00	157	1510	7.7	83	15	07	3085	0.1	43	22	33	5700	−16.9	10	23	30
9	9	01454	—	—	954	6.5	100	00	00	107	1445	9.8	50	23	11	3030	−1.8	73	19	18	5615	−18.1	10	22	48
10	8	10454	88530	—	957	4.8	100	00	00	132	1465	3.8	100	22	13	3015	−5.0	98	22	27	5575	−21.3	10	23	36
11	8	57102	—	—	959	5.3	100	00	00	149	1470	3.1	100	09	07	3020	−4.4	35	07	06	5600	−19.6	30	02	16
12	8	57022	88730	—	958	5.2	100	00	00	140	1470	6.2	45	00	00	3035	−1.1	10	23	05	5625	−20.0	35	24	13
13	8	20444	88758	—	959	3.1	100	00	00	142	1460	4.3	40	00	00	3025	−4.0	40	21	06	5610	−19.3	91	20	08
14	8	20104	88715	—	958	4.0	100	00	00	137	1445	0.6	100	35	05	2980	−4.8	94	06	13	5550	−22.1	10	07	23
15	8	60022	88630	—	959	4.5	85	04	13	147	1460	−1.9	100	06	17	2980	−6.6	16	05	20	5530	−23.0	34	34	16
16	0	71020	—	—	966	−0.5	82	04	08	210	1500	−6.5	72	04	17	3000	−9.2	10	04	24	5535	−24.4	10	02	17
17	0	65020	—	—	967	−1.0	75	06	05	223	1520	−4.3	80	03	14	3040	−7.3	34	03	20	5585	−22.0	24	02	24
18	8	65022	88467	—	966	−0.4	85	04	10	210	1500	−1.1	45	—	—	3040	−5.9	12	—	—	5580	−24.2	56	—	—
19	0	71020	—	—	967	−2.0	70	04	13	216	1500	−6.2	70	06	29	3000	−12.0	50	07	35	5540	−24.5	28	05	66
20	8	65022	88627	—	968	−0.2	80	00	00	227	1515	−8.7	100	06	16	3025	−6.4	40	07	30	5570	−24.9	57	07	35
21	0	40100	—	—	965	−2.9	100	00	00	211	1500	−2.1	95	06	28	3015	−10.3	87	07	28	5545	−24.7	35	05	27
22	8	57022	88723	—	969	1.4	85	00	00	240	1535	−0.3	65	06	14	3080	−3.4	53	04	14	5670	−18.2	68	04	24
23	3	40101	—	—	969	−3.1	100	00	00	243	1535	−1.1	75	04	03	3080	−4.3	23	33	10	5655	−20.7	35	30	22
24	8	56022	88727	—	961	2.2	80	00	00	167	1475	−5.1	97	32	07	2980	−8.6	94	33	28	5540	−20.4	29	32	45
25	7	65707	87630	—	955	0.5	78	05	10	125	1415	−9.2	99	02	22	2885	−19.0	89	02	27	5315	−34.5	35	01	30
26	0	55100	—	—	968	−5.9	85	07	03	238	1505	−8.0	70	05	28	3020	−6.4	36	02	23	5585	−21.0	29	01	46
27	0	74010	—	—	971	−9.0	95	00	00	265	1530	−3.5	52	08	05	3060	−3.2	30	33	05	5640	−21.2	40	01	33
28	0	50020	—	—	969	−9.0	100	00	00	248	1535	5.0	30	34	05	3100	−3.0	29	30	08	5700	−19.0	20	30	14
29	8	20454	—	—	965	−4.2	100	00	00	211	1500	1.5	55	24	18	3060	−2.8	17	24	11	5635	−21.3	17	31	16
30	8	14104	88713	—	964	−3.5	100	00	00	203	1500	2.2	45	16	05	3035	−7.5	100	19	12	5585	−22.6	97	17	12
Moyen					962	1.3	93	—	02	174	1483	1.1	75	—	13	3027	−4.8	55	—	20	5599	−20.7	40	—	25

Novembre 1955

1	8	50022	88724	—	952	3.0	80	05	08	089	1395	3.0	100	23	11	2950	−4.1	100	20	16	5525	−19.3	100	19	11
2	0	56100	—	—	956	8.5	80	00	00	117	1460	5.1	80	23	12	3025	−2.8	66	24	22	5610	−19.5	40	28	11
3	8	50022	88630	—	955	9.8	90	00	00	108	1455	9.3	62	22	13	3035	0.9	30	23	26	5640	−16.8	99	26	30
4	8	58022	88458	—	952	11.0	80	00	00	081	1430	8.0	78	22	22	3015	0.9	86	22	33	5640	−15.2	84	24	23
5	7	50022	—	—	956	12.5	100	00	00	110	1475	8.3	92	22	17	3040	−1.6	100	22	32	5640	−16.8	24	24	32
6	8	04454	—	—	961	9.8	100	00	00	160	1530	10.2	54	22	16	3100	−3.0	100	22	35	5690	−19.5	63	23	25
7	9	04454	—	—	960	9.0	100	00	00	147	1515	14.5	31	22	17	3110	1.3	46	22	34	5720	−16.2	25	22	44
8	9	04454	—	—	955	10.0	100	00	00	112	1470	8.9	78	23	12	3060	1.2	64	20	17	5660	−18.0	40	23	33
9	8	20616	81707	88540	955	9.0	100	21	05	107	1445	4.2	100	25	20	3000	−4.6	100	20	22	5580	−19.0	100	23	50
10	9	03454	—	—	957	6.1	100	00	00	136	1470	4.4	78	00	00	3020	−4.8	68	23	08	5590	−21.5	63	26	11
11	8	30104	88730	—	957	6.5	95	00	00	135	1460	4.9	70	00	00	3025	−1.8	37	28	03	5630	−18.0	37	32	10
12	7	40022	84617	83656	959	5.8	85	00	00	151	1475	4.3	45	07	08	3030	−0.9	20	18	08	5725	−18.5	20	22	11
13	8	30104	88704	—	958	3.8	100	00	00	137	1480	5.3	60	00	00	3040	−2.7	56	10	12	5630	−19.3	85	12	10
14	8	50022	84725	88440	958	6.4	80	03	08	140	1460	−1.1	97	05	08	3000	−4.3	42	01	12	5570	−20.3	33	02	22
15	5	58021	85640	—	962	5.2	52	06	20	175	1485	−5.4	83	06	33	2985	−10.7	35	06	33	5500	−25.9	10	04	22
16	0	74000	—	—	967	3.5	52	05	13	217	1525	−2.1	36	02	22	3055	−7.4	56	02	13	5605	−22.0	33	02	26
17	7	50022	86626	85070	966	2.9	66	05	12	208	1515	−3.0	82	07	33	3050	−4.9	11	08	44	5605	−23.5	25	06	38
18	3	74021	83640	—	966	2.0	58	09	04	210	1505	−2.9	40	07	27	3010	−11.2	33	04	25	5525	−24.3	26	03	67
19	6	50102	86647	—	969	0.2	65	06	09	238	1525	−8.7	100	05	18	3035	−8.7	87	07	26	5555	−26.3	52	08	36
20	8	50102	86724	85363	967	1.5	67	04	05	219	1515	−6.3	99	05	17	3035	−8.4	85	04	24	5580	−22.9	36	02	33
21	1	57100	81620	—	966	3.5	65	05	08	208	1505	−3.6	59	06	17	3035	−7.2	18	06	11	5600	−20.0	45	05	33
22	8	45102	88720	—	970	1.7	70	00	00	246	1540	0.8	35	05	15	3090	−3.3	53	01	07	5680	−17.9	60	31	07
23	4	70021	84170	—	965	4.2	65	00	00	201	1505	−4.6	76	29	11	3045	−3.9	17	30	12	5625	−18.4	24	33	33
24	6	74022	81835	86640	956	5.5	55	24	08	123	1435	−4.0	87	27	12	2930	−12.8	100	34	33	5435	−26.8	56	33	46
25	3	75020	83633	—	965	−1.0	65	06	10	206	1485	−10.3	70	04	22	2955	−15.9	38	03	25	5470	−23.2	32	02	82
26	0	74010	—	—	969	−1.0	65	05	09	230	1525	−6.8	25	05	17	3035	−8.1	47	04	12	5580	−22.9	20	36	38
27	2	50101	82065	—	971	−2.0	80	00	00	255	1535	−2.6	68	24	05	3080	−2.2	22	36	12	5675	−18.3	24	01	20
28	9	15104	—	—	967	−3.0	90	00	00	227	1540	5.0	70	24	07	3100	−2.2	10	28	15	5660	−22.2	10	27	33
29	9	09454	—	—	963	−3.0	95	00	00	194	1490	1.0	85	00	00	3050	−2.1	13	21	12	5620	−21.8	33	20	14
30	5	18102	85361	—	962	1.0	60	00	00	181	1500	2.5	48	33	05	3030	−8.0	63	17	09	5575	−24.0	61	20	14
Moyen					961	4.4	79	—	04	169	1488	1.3	70	—	14	3032	−4.8	53	—	20	5601	−20.6	45	—	29

niveaux standard

03.00 h

400 mb					300 mb					200 mb				150 mb				100 mb				Tropopause		
H	T	U	dd	ff	H	T	U	dd	ff	H	T	dd	ff	H	T	dd	ff	H	T	dd	ff	H	P	T
7155	-30.1	82	24	08	9130	-16.7		24	12															
7180	-31.9	92	26	10	9110	-18.1		23	24	11730	-58.4	26	15									11390	211	-59.0
7310	-27.3	71	26	20	9310	-14.9		29	35	11870	-68.2	29	44									11870	200	-68.2
7335	-22.8	95	26	27	9370	-10.3		28	27	12000	-60.1	28	50									11600	213	-59.6
7305	-25.6	50	23	35	9310	-13.2		23	50	11920	-59.7	23	66									12280	189	-60.8
7330	-29.9	10	25	24	9300	-19.0		26	33	11850	-63.3	23	36									11400	215	-64.5
7310	-34.6	12	26	22	9250	-19.2		26	25	11810	-66.0	25	36									12750	171	-69.0
7330	-32.7	10	23	22	9270	-53.3		24	10	11750	-71.1	24	46									11500	209	-70.8
7240	-30.8	10	22	60	9220	-17.2		22	39	11780	-62.0	23	39									11880	197	-62.3
7190	-32.8	20	23	44	9140	-19.4		22	57	11700	-63.0	24	55									11350	212	-63.0
7210	-33.0	30	36	27	9160	-18.5		01	30	11740	-58.0	29	16									11680	237	-57.2
7230	-34.4	30	24	17	9170	-51.8		27	22	11670	-69.8	26	17									11670	200	-69.8
7225	-32.0	48	17	20	9190	-17.1		14	15	11750	-67.6	18	20									11750	200	-67.6
7145	-35.0	68	07	34	9080	-52.4		07	34	11610	-63.6	05	22									10690	232	-64.4
7120	-34.8	58	32	26	9060	-49.8		32	25	11640	-57.1	34	32									11400	208	-58.0
7125	-35.4	10	03	30	9070	-50.0		02	28	11650	-56.8	01	27									10450	242	-57.0
7180	-36.5	26	01	23	9115	-50.0		01	18	11700	-57.4	01	34									11110	220	-57.6
7170	-37.0	56	—	—	9100	-51.0				11700	-54.6	—	—									10330	248	-55.4
7120	-36.0	29	05	65	9050	-52.0		05	90															
7150	-36.9	54	06	52	9080	-49.8		05	55	11690	-53.7	06	34									10170	242	-55.2
7140	-34.0	33	07	85	9100	-15.5		07	93	11720	-57.3	05	86									12000	191	-58.8
7295	-31.0	66	06	20	9270	-18.3		05	30	11830	-63.7	05	42									12470	180	-65.7
7265	-32.0	33	30	25	9230	-17.8		30	14	11790	-64.1	32	15									11520	209	-64.1
7155	-32.2	36	32	54	9120	-17.8		31	53	11710	-61.3	31	46									12210	184	-64.7
6850	-41.7	22	02	68	8750	-51.7		01	62	11380	-55.4	33	53									8680	304	-52.0
7195	-31.7	40	01	58	9160	-17.2		36	70	11750	-62.2	36	60									12820	168	-64.9
7250	-33.4	40	36	44	9190	-51.6		36	50	11710	-67.5	36	60									12590	173	-70.0
7315	-31.2	22	32	16	9290	-16.2		30	31	11890	-62.3	32	33									13630	150	-67.7
7235	-32.4	17	29	28	9200	-19.2		29	38	11710	-69.8	28	39									11430	210	-69.2
7175	-36.3	100	20	16	9090	-55.8		19	20	11640	-61.7	26	17									9540	280	-57.5
7208	-32.8	42	—	34	9161	-18.8			39	11739	-62.0	—	39											

15.00 h

7140	-32.1	100	20	07	9100	-19.4		22	15	11660	-59.8	24	45									10530	240	-60.3
7240	-29.8	18	35	55	9220	-14.6		36	50	11840	-57.4	33	60									11180	222	-57.6
7290	-28.2	80	29	51	9280	-14.8		30	60	11850	-66.7	30	55									12300	186	-68.0
7280	-28.5	80	26	20	9280	-14.2		24	38	11860	-66.5	25	60									12590	177	-69.0
7280	-28.2	10	24	32	9260	-13.7		23	55	11890	-59.2	22	55									12290	188	-59.6
7320	-29.5	96	23	38	9320	-12.8		23	66	11930	-60.3	23	70									12150	193	-60.7
7360	-30.0	10	24	20	9340	-16.0		24	40	11950	-67.8	22	46									12090	194	-69.2
7290	-30.2	48	27	39	9270	-17.4		22	56	11840	-63.2	22	44									12160	190	-64.6
7190	-32.1	83	22	56	9155	-18.2	—	23	40	11725	-63.0	23	50									11550	206	-63.0
7200	-33.2	55	24	23	9165	-15.8		19	59	11770	-56.8	23	27									11350	214	-56.8
7260	-30.9	35	32	17	9220	-18.4	—	31	20	11790	-61.6	27	23									11620	206	-62.1
7245	-31.2	20	22	20	9230	-14.1		25	37	11840	-61.4	25	28									12360	184	-63.6
7250	-30.9	87	11	14	9210	-17.8	—	11	11	11800	-58.7	15	13									10400	250	-58.2
7185	-33.0	31	01	22	9140	-18.9	—	36	26	11670	-68.1	34	23									11670	200	-68.1
7070	-38.0	10	05	50	9000	-18.4	—	04	72	11620	-56.1	03	33									10160	251	-54.6
7200	-34.1	36	01	20	9160	-17.7	—	02	28	11750	-57.9	36	27									11650	204	-58.2
7190	-37.1	40	04	44	9110	-52.3	—	04	50	11670	-56.3	03	13									10450	243	-59.2
7110	-35.5	25	04	88	9050	-51.3		04	83	11650	-52.6	03	28									10390	243	-56.0
7125	-39.3	62	07	46	9035	-52.6		06	46	11625	-55.0	03	50									9670	272	-56.1
7175	-34.1	72	02	35	9130	-19.0		02	42	11710	-59.2	02	26									10560	240	-58.9
7200	-34.5	49	07	60	9140	-51.0	—	05	55	11670	-68.8	05	49									11670	200	-68.8
7305	-31.2	58	32	15	9270	-18.4	—	35	12	11840	-64.0	02	11									12660	175	-67.4
7250	-30.0	40	33	30	9230	-15.1	—	36	35	11840	-61.9	03	55									13240	159	-68.5
7000	-38.8	23	32	55	8930	-17.1		30	56	11600	-48.9	32	106									8690	311	-46.8
7030	-35.7	37	02	62	9000	-18.2	—	02	85	11600	-58.4	02	50									11170	214	-60.2
7180	-34.0	22	36	72	9120	-19.1		36	65	11700	-62.5	35	55									12430	178	-63.3
7290	-32.5	29	01	38	9260	-16.4		36	38	11830	-66.2	35	35									12300	185	-67.5
7270	-31.6	10	28	38	9230	-18.3		29	49	11820	-63.2	27	35									12460	180	-67.0
7230	-33.2	67	22	22	9185	-50.5	—	22	16	11740	-59.9	25	20									10810	232	-59.5
7150	-37.2	47	20	35	9080	-51.9		18	20	11670	-56.2	24	12									9350	288	-53.2
7212	-32.8	46		37	9171	-17.8			44	11758	-60.6	—	40											

Observations aux

Décembre 1955

Jour	Données synoptiques en surface (Code AERO)				Surface 491 m					1000 mb	850 mb					700 mb					500 mb				
	N	VVwwW	NsChshs	NsChshs	P	T	U	dd	ff	H	H	T	U	dd	ff	H	T	U	dd	ff	H	T	U	dd	ff
1	8	20434	88630	—	959	–0.5	100	00	00	155	1465	2.0	80	21	15	3000	–8.5	84	19	22	5535	–25.2	74	20	20
2	9	01454	—	—	960	0.0	100	00	00	163	1475	1.9	50	12	03	3020	–5.6	36	20	16	5595	–19.5	54	22	16
3	9	10454	—	—	971	–2.2	100	00	00	255	1580	4.3	70	18	07	3135	–4.1	78	23	14	5710	–18.4	38	26	14
4	8	57022	88361	—	971	8.5	80	00	00	250	1600	3.1	84	24	30	3140	–5.3	65	26	24	5730	–18.0	88	29	38
5	0	02464	—	—	975	–1.2	100	00	00	286	1580	–1.5	95	06	15	3120	–4.8	10	01	17	5695	–21.9	10	36	32
6	8	04444	88364	—	974	0.0	100	00	00	280	1595	7.2	15	24	05	3170	–1.2	25	01	12	5790	–12.2	92	01	28
7	7	05462	87462	—	971	–1.8	100	00	00	253	1570	9.0	10	25	07	3155	2.3	10	27	12	5800	–15.7	10	31	19
8	9	00454	—	—	964	–4.3	100	00	00	207	1520	7.1	10	26	12	3100	–1.1	10	30	20	5700	–15.0	11	30	49
9	0	20100	—	—	963	–3.0	100	00	00	193	1500	2.9	40	35	06	3050	–5.4	64	33	22	5625	–19.0	32	31	34
10	0	04100	—	—	955	–1.0	100	00	00	124	1435	4.0	10	23	25	3000	–5.0	38	26	33	5560	–21.1	100	28	39
11	7	71022	87640	—	952	5.8	75	22	12	089	1410	0.1	87	25	30	2940	–8.1	100	28	34	5495	–18.7	70	31	50
12	8	57606	88349	—	950	4.8	100	00	00	071	1400	3.9	100	26	17	2950	–4.9	98	28	20	5520	–21.9	80	29	30
13	9	01534	—	—	954	1.8	100	00	00	112	1420	2.5	100	25	05	2960	–6.6	19	28	07	5510	–20.8	40	30	12
14	8	50022	88712	—	953	2.8	100	00	00	099	1415	4.1	75	22	22	2970	–5.5	90	24	20	5530	–21.1	15	29	25
15	8	03616	83701	88535	944	3.4	100	00	00	015	1340	1.7	100	25	16	2880	–6.8	100	25	18	5435	–21.8	100	23	30
16	7	71216	87547	—	939	7.3	80	21	13	521	1315	3.6	82	24	35	2850	9.1	100	26	35	5380	–23.6	91	28	48
17	8	71022	88649	—	945	4.1	95	00	00	028	1360	5.5	100	22	28	2915	–6.0	100	24	25	5470	–22.0	100	26	42
18	8	65636	88530	—	949	6.1	85	23	22	064	1385	0.2	95	25	32	2915	–9.1	100	26	42	5425	–28.7	89	25	30
19	0	75020	—	—	953	2.0	100	00	00	105	1410	–0.7	100	00	00	2930	–9.8	92	26	11	5430	–27.8	24	27	20
20	4	55021	84722	—	950	1.0	100	00	00	079	1380	–0.6	92	24	08	2915	–8.3	73	21	06	5440	–26.3	83	22	07
21	3	75188	83633	—	947	3.0	100	22	08	046	1360	–1.6	100	26	22	2875	–12.4	76	25	20	5360	–29.0	44	25	25
22	5	71022	85650	—	952	2.5	100	00	00	089	1405	–1.4	98	23	07	2925	–11.9	98	25	20	5415	–29.3	77	29	16
23	8	56606	88540	—	958	3.2	95	00	00	140	1450	–1.3	100	21	22	3000	–5.9	100	27	20	5550	–20.2	100	30	30
24	4	50022	84730	—	959	4.8	100	00	00	149	1475	1.5	100	25	22	3010	–6.2	30	26	24	5545	–24.2	46	28	33
25	8	50022	88530	—	954	5.2	95	00	00	107	1435	0.7	98	27	16	2970	–7.0	100	23	08	5500	–23.9	84	21	15
26	6	74020	86640	—	969	4.0	95	00	00	234	1545	–2.4	96	26	03	3070	–6.0	46	02	20	5635	–20.8	65	36	39
27	8	70026	88620	—	967	5.0	85	20	12	213	1535	0.3	100	28	25	3070	–8.7	100	28	33	5620	–22.1	10	29	56
28	8	70606	88630	—	968	4.5	90	24	12	225	1550	–0.5	98	26	30	3085	–6.2	100	32	33	5680	–16.5	100	35	54
29	8	40626	88717	—	964	8.0	100	22	12	182	1515	2.9	100	25	27	3070	–3.3	100	28	39	5660	–19.0	95	29	43
30	8	60606	88617	—	941	8.0	100	22	16	518	1325	4.0	100	24	55	2890	–4.9	100	25	56	5460	–20.7	95	26	65
31	8	70026	88647	—	948	1.0	100	00	00	060	1355	–4.8	95	33	05	2860	–13.7	97	33	04	5330	–31.2	52	01	33
Moyen					957	2.7	96	—	03	137	1455	1.9	80	—	18	2998	–6.1	72	—	22	5553	–21.8	64	—	32

Décembre 1955

1	9	09434	—	—	956	3.2	90	00	00	126	1450	1.3	86	23	12	3000	–9.0	92	21	30	5520	–20.6	21	25	34
2	9	00454	—	—	966	–1.0	100	00	00	209	1530	6.4	25	25	02	3100	–3.9	66	23	08	5670	–21.2	63	24	09
3	2	15104	82361	—	971	4.3	90	00	00	249	1580	5.9	81	23	22	3130	–5.5	87	24	30	5720	–17.3	50	30	12
4	4	70012	84657	—	973	8.5	85	00	00	260	1590	1.2	84	32	09	3120	–8.3	48	32	34	5670	–23.0	10	32	33
5	6	03424	82362	86070	975	2.8	100	00	00	281	1595	2.7	23	07	04	3140	–4.8	17	35	17	5705	–20.6	70	35	35
6	7	03022	87703	—	973	1.6	90	00	00	270	1590	8.5	33	26	04	3180	2.5	33	33	20	5815	–15.0	31	36	20
7	9	00454	—	—	967	–0.4	100	00	00	223	1550	9.1	20	25	10	3130	1.4	19	28	17	5750	–16.0	49	29	33
8	9	00454	—	—	964	0.8	100	00	00	196	1505	1.2	94	00	00	3065	–1.9	16	32	22	5660	–17.8	29	32	40
9	9	00454	—	—	961	0.0	100	00	00	172	1480	5.6	16	27	03	3035	–4.8	81	31	10	5600	–21.0	100	31	42
10	8	35632	88530	—	949	4.0	90	21	23	058	1375	–0.3	92	25	40	2915	–5.6	100	27	57	5480	–21.0	95	26	82
11	8	70022	86657	85362	950	7.4	65	21	07	076	1405	2.9	65	23	27	2945	–5.9	80	29	30	5505	–19.8	46	29	52
12	3	75020	82640	81830	949	10.5	73	00	00	064	1400	2.8	77	29	05	2940	–6.8	70	26	05	5510	–20.0	20	29	16
13	7	42354	84645	—	955	3.6	95	00	00	114	1425	3.0	79	24	10	2975	–5.4	37	25	06	5525	–21.6	72	29	11
14	8	56022	88460	—	945	4.2	90	00	00	028	1345	4.4	74	23	16	2910	–3.8	88	22	27	5490	–18.9	88	24	27
15	8	55606	88530	—	936	7.0	90	22	11	550	1285	3.5	93	23	55	2840	–4.8	100	26	50	5415	–19.0	95	26	22
16	7	74022	87533	—	946	8.0	75	21	08	029	1360	1.1	90	25	30	2890	–8.4	90	26	33	5410	–27.4	73	28	32
17	6	70818	86630	63361	947	8.4	75	18	14	034	1370	1.5	97	24	35	2905	–9.1	100	26	40	5425	–26.7	99	27	38
18	6	72022	83630	86657	951	7.8	75	23	12	074	1405	–0.6	94	24	25	2930	–10.1	96	27	20	5440	–27.2	30	27	27
19	8	40104	88630	—	951	3.9	87	04	08	080	1395	–2.4	88	02	04	2920	–7.5	35	17	22	5450	–26.6	43	29	20
20	7	50052	77640	87172	946	3.2	85	00	00	037	1360	0.2	84	22	23	2885	–9.2	78	24	15	5410	–26.5	86	26	15
21	5	70032	85658	—	949	7.0	65	24	09	059	1380	–1.0	80	22	17	2900	–10.7	91	25	10	5410	–28.6	27	26	07
22	7	56022	87630	—	959	6.3	75	21	12	147	1465	–1.5	80	25	14	2980	–13.2	80	27	13	5500	–25.5	38	36	29
23	8	45606	88721	—	954	7.0	80	23	13	103	1435	5.6	100	24	33	3000	–4.2	100	27	22	5580	–17.7	100	27	48
24	8	70606	88540	—	956	7.6	95	00	00	117	1445	0.8	100	23	17	2975	–9.3	100	26	20	5500	–25.8	58	29	33
25	7	74022	87533	—	963	7.5	75	00	00	183	1510	0.1	88	30	08	3030	–11.4	84	33	14	5555	–24.9	22	36	33
26	3	74020	83164	—	969	6.2	72	00	00	234	1550	4.0	27	25	03	3100	–4.1	40	35	17	5675	–19.4	90	30	16
27	8	40606	82620	88527	970	6.2	75	23	17	238	1550	–3.4	94	26	23	3055	–11.5	100	32	30	5575	–23.7	97	33	66
28	7	40152	85630	87360	967	9.0	78	22	17	208	1550	3.0	97	25	20	3105	–3.1	55	29	22	5695	–17.7	55	31	48
29	3	71011	82637	81070	960	10.1	55	25	14	149	1480	0.4	60	22	35	3010	–8.1	30	28	44	5540	–25.6	65	29	55
30	8	60032	88715	—	939	6.4	55	24	18	522	1300	–0.8	92	22	28	2820	–9.9	100	24	46	5330	–28.9	98	26	46
31	5	70022	85644	—	958	2.0	80	00	00	148	1455	–4.8	80	01	07	2950	–15.3	52	01	15	5415	–30.0	28	01	33
Moyen					957	5.3	83	—	06	132	1455	1.9	74	—	17	2996	–6.8	70	—	24	5547	–22.4	60	—	33

niveaux standard

03.00 h

400 mb					300 mb					200 mb				150 mb				100 mb				Tropopause		
H	T	U	dd	ff	H	T	U	dd	ff	H	T	dd	ff	H	T	dd	ff	H	T	dd	ff	H	P	T
7110	–39.6	82	19	33	9000	–53.9	—	21	33	11580	–59.4	23	21	—	—	—	—	—	—	—	—	9380	283	–53.9
7220	–30.2	69	25	22	9200	–46.4	—	24	35	11810	–59.5	24	32	—	—	—	—	—	—	—	—	12090	191	–60.6
7335	–33.0	10	27	22	9310	–45.8	—	02	44	11900	–62.0	36	72	—	—	—	—	—	—	—	—	12370	185	–64.7
7355	–29.7	72	30	28	9345	–47.0	—	29	44	11910	–66.3	32	60	—	—	—	—	—	—	—	—	—	—	—
7290	–35.7	10	01	56	9230	–50.4	—	01	98	11810	–60.7	35	45	—	—	—	—	—	—	—	—	9460	290	–52.7
7460	–22.1	85	01	37	9500	–40.2	—	02	30	12140	–62.2	03	36	—	—	—	—	—	—	—	—	13880	150	–70.0
7450	–27.0	10	32	23	9440	–45.0	—	32	24	12020	–65.8	31	21	—	—	—	—	—	—	—	—	13330	162	–71.0
7350	–25.7	10	30	38	9370	–42.3	—	30	50	12000	–61.0	29	45	—	—	—	—	—	—	—	—	12930	172	–66.0
7250	–29.7	75	31	45	9220	–49.2	—	31	46	—	—	—	—	—	—	—	—	—	—	—	—	—	—	—
7170	–30.3	40	29	43	9170	–44.7	—	28	49	11760	–65.8	28	55	—	—	—	—	—	—	—	—			
7130	–27.7	77	32	80	9140	–42.3	—	31	70	11750	–62.3	31	107	—	—	—	—	—	—	—	—	12230	185	–64.7
7135	–31.4	51	27	46	9100	–46.7	—	28	48	11690	–63.5	27	60	—	—	—	—	—	—	—	—	11840	195	–65.0
7115	–33.7	26	30	13	9060	–51.6	—	30	17	11590	–60.9	29	35	—	—	—	—	—	—	—	—	11000	220	–65.1
7130	–36.0	20	28	30	9050	–55.3	—	29	40	11520	–67.9	30	38	—	—	—	—	—	—	—	—	11040	217	–69.4
7040	–33.5	99	22	40	9000	–49.0	—	21	58	11540	–61.7	25	46	—	—	—	—	—	—	—	—	10850	224	–63.1
6965	–37.7	90	27	58	8880	–49.1	—	28	70	11510	–53.4	28	70	—	—	—	—	—	—	—	—	8120	337	–49.1
7075	–32.6	100	25	78	9030	–48.6	—	26	78	11640	–57.5	27	72	—	—	—	—	—	—	—	—	9240	291	–49.5
6980	–42.1	72	27	35	8870	–50.6	—	26	60	11505	–52.3	26	70	—	—	—	—	—	—	—	—	8620	312	–51.1
7000	–41.8	40	27	32	8860	–58.5	—	26	38	11420	–54.5	26	44	—	—	—	—	—	—	—	—	9100	289	–60.4
7000	–39.0	72	26	11	8950	–46.5	—	27	18	11630	–48.3	26	30	—	—	—	—	—	—	—	—	8900	302	–46.6
6910	–42.2	55	25	18	8800	–54.8	—	25	27	11420	–50.8	25	22	—	—	—	—	—	—	—	—	9000	290	–55.4
6960	–43.1	73	30	20	8850	–51.9	—	34	33	11480	–50.8	29	30	—	—	—	—	—	—	—	—	8660	309	–51.7
7160	–32.4	100	30	30	9120	–47.5	—	32	50	11720	–57.2	32	50	—	—	—	—	—	—	—	—	10440	245	–56.0
7135	–34.4	92	28	45	9110	–44.6	—	28	70	11740	–54.7	28	53	—	—	—	—	—	—	—	—	11020	224	–54.5
7070	–35.4	70	21	20	9050	–44.2	—	20	27	11730	–48.3	29	22	—	—	—	—	—	—	—	—	9910	264	–47.2
7220	–35.3	59	01	40	9160	–52.2	—	36	60	11650	–71.8	35	55	—	—	—	—	—	—	—	—	11900	192	–72.5
7220	–36.3	40	29	58	9120	–55.0	—	29	55	11640	–64.0	28	50	—	—	—	—	—	—	—	—	10630	236	–64.0
7320	–27.5	96	34	48	9330	–43.2	—	34	45	11930	–63.6	01	54	—	—	—	—	—	—	—	—	12430	184	–67.0
7275	–32.0	91	28	48	9250	–43.1	—	30	59	11900	–58.2	30	54	—	—	—	—	—	—	—	—	12900	170	–61.8
7060	–34.0	88	25	145	9000	–50.0	—	26	92	11550	–63.0	—	—	—	—	—	—	—	—	—	—	11000	218	–64.0
6870	–43.2	53	35	28	8740	–58.0	—	33	17	11300	–56.8	28	25	—	—	—	—	—	—	—	—	8870	294	–58.7
7154	–34.0	62	—	41	9105	–48.6	—	—	48	11693	–59.5	—	47	—	—	—	—	—	—	—	—			

15.00 h

7130	–34.6	72	25	38	9085	–48.5	—	26	45	11650	–63.0	25	37	—	—	—	—	—	—	—	—	11260	213	–63.0
7270	–34.3	45	25	12	9215	–51.9	—	26	16	—	—	—	—	—	—	—	—	—	—	—	—	—	—	—
7340	–30.0	72	33	16	9330	–44.8	—	32	22	11930	–65.0	34	51	—	—	—	—	—	—	—	—	13890	144	–71.0
7260	–31.6	18	31	66	9250	–47.8	—	31	72	11820	–61.2	31	100	—	—	—	—	—	—	—	—	11520	210	–62.0
7315	–30.1	75	36	35	9305	–44.7	—	02	72	11890	–65.5	03	78	—	—	—	—	—	—	—	—	13590	150	–73.4
7465	–26.2	30	35	33	9480	–41.3	—	35	33	12120	–61.2	34	30	—	—	—	—	—	—	—	—	13100	170	–69.0
7385	–27.8	40	29	32	9390	–44.8	—	30	40	11950	–68.0	27	33	—	—	—	—	—	—	—	—	12570	180	–72.6
7285	–30.3	45	31	38	9260	–46.8	—	30	56	11820	–67.0	31	61	—	—	—	—	—	—	—	—	12000	164	–74.4
7210	–30.0	88	31	52	9200	–45.2	—	32	72	11770	–68.7	33	55	—	—	—	—	—	—	—	—	12870	166	–71.4
7085	–32.8	92	27	66	9060	–46.9	—	30	78	11630	–63.6	30	77	—	—	—	—	—	—	—	—	11450	206	–63.3
7120	–32.1	41	28	48	9080	–47.1	—	28	78	11660	–62.4	30	60	—	—	—	—	—	—	—	—	11180	216	–62.0
7110	–34.0	38	28	33	9070	–48.6	—	27	38	11610	–65.7	27	50	—	—	—	—	—	—	—	—	11430	204	–65.9
7130	–33.8	68	29	16	9080	–50.0	—	28	05	11660	–59.7	28	33	—	—	—	—	—	—	—	—	10100	256	–58.0
7110	–31.0	87	26	33	9080	–47.5	—	26	36	11610	–72.0	26	55	—	—	—	—	—	—	—	—	12320	177	–75.5
7030	–32.0	66	26	66	9000	–46.4	—	27	66	11600	–58.4	27	50	—	—	—	—	—	—	—	—	11000	220	–58.8
6980	–37.3	49	28	52	8930	–47.0	—	28	94	11530	–59.3	28	123	—	—	—	—	—	—	—	—	10620	231	–54.7
6985	–39.8	95	27	46	8900	–48.6	—	27	70	11530	–53.0	26	98	—	—	—	—	—	—	—	—	8220	333	–47.6
7000	–40.1	39	27	38	8900	–54.1	—	26	60	11510	–53.6	25	67	—	—	—	—	—	—	—	—	8900	300	–54.1
7020	–39.4	44	28	28	8910	–54.4	—	26	33	11520	–49.8	31	32	—	—	—	—	—	—	—	—	9090	292	–55.2
6980	–39.1	86	25	16	8895	–49.4	—	22	22	11560	–46.8	25	45	—	—	—	—	—	—	—	—	9710	265	–50.6
6950	–44.2	32	26	07	8810	–58.2	—	27	22	11410	–53.8	27	30	—	—	—	—	—	—	—	—	8610	310	–59.6
7070	–39.2	38	36	44	8970	–55.0	—	34	98	11440	–61.8	33	43	—	—	—	—	—	—	—	—	10270	244	–66.9
7210	–29.4	92	28	49	9190	–44.5	—	29	50	11800	–59.8	30	46	—	—	—	—	—	—	—	—	11430	212	–61.0
7065	–40.8	35	30	42	8960	–57.0	—	30	60	11450	–63.2	29	73	—	—	—	—	—	—	—	—	10930	218	–66.4
7130	–37.1	14	36	53	9070	–50.9	—	01	88	11610	–63.3	01	50	—	—	—	—	—	—	—	—	11960	189	–64.3
7300	–31.0	87	30	27	9270	–46.9	—	30	39	11850	–65.3	32	50	—	—	—	—	—	—	—	—	12550	178	–71.0
7170	–35.1	95	33	83	9120	–48.9	—	35	110	11670	–63.8	35	70	—	—	—	—	—	—	—	—	11550	204	–63.9
7335	–27.8	14	32	38	9330	–43.6	—	31	55	11960	–58.4	32	55	—	—	—	—	—	—	—	—	11760	206	–59.8
7135	–34.9	52	29	85	9060	–50.3	—	29	98	11630	–57.5	28	110	—	—	—	—	—	—	—	—	10920	224	–61.2
6880	–41.9	93	25	67	8780	–52.1	—	24	83	11350	–58.3	26	62	—	—	—	—	—	—	—	—	10500	229	–58.1
6980	–39.9	34	01	38	8900	–53.5	—	02	48	11440	–56.6	34	33	—	—	—	—	—	—	—	—	9640	266	–58.0
7143	–34.4	57	—	42	9093	–48.9	—	—	57	11666	–60.9	—	59	—	—	—	—	—	—	—	—	—	—	—

Moyennes

Janvier 1955

Surface de pression standard (mb)	Hauteur de la surface de pression standard (en gpm)								Température ° C								Humidité relative %					
	03		15		Dies		Max.	Min.	03		15		Dies		Max.	Min.	03		15		Dies	
	n	Moy	n	Moy	n	Moy			n	Moy	n	Moy	n	Moy			n	Moy	n	Moy	n	Moy
Surface	31	—	—	—	—	—	—	—	31	−0.2	31	1.3	62	0.6	11.1	−10.8	31	93	31	85	62	89
1000	31	116	31	108	62	112	215	529	—	—	—	—	—	—	—	—	—	—	—	—	—	—
850	31	1417	31	1417	62	1417	1555	1265	31	0.9	31	1.7	62	1.3	9.2	−11.3	31	75	31	65	62	70
700	31	2957	31	2957	62	2957	3065	2810	31	−6.6	31	−6.3	62	−6.5	−0.8	−18.5	31	68	31	59	62	64
500	31	5506	31	5505	62	5506	5650	5310	31	−22.8	31	−22.9	62	−22.9	−15.9	−34.5	31	65	31	57	62	61
400	31	7100	31	7100	62	7100	7280	6860	31	−35.0	31	−35.0	62	−35.0	−27.8	−41.0	31	62	31	57	62	60
300	31	9041	31	9039	62	9040	9235	8800	31	−50.3	31	−50.4	62	−50.4	−42.6	−57.8	—	—	—	—	—	—
200	31	11603	31	11598	62	11601	11820	11385	31	−59.8	31	−59.9	62	−59.9	−45.5	−70.7	—	—	—	—	—	—
150	—	—	—	—	—	—	—	—	—	—	—	—	—	—	—	—	—	—	—	—	—	—
100	—	—	—	—	—	—	—	—	—	—	—	—	—	—	—	—	—	—	—	—	—	—

Février 1955

Surface de pression standard (mb)	Hauteur de la surface de pression standard (en gpm)								Température ° C								Humidité relative %					
	03		15		Dies		Max.	Min.	03		15		Dies		Max.	Min.	03		15		Dies	
	n	Moy	n	Moy	n	Moy			n	Moy	n	Moy	n	Moy			n	Moy	n	Moy	n	Moy
Surface	—	—	—	—	—	—	—	—	28	−0.1	28	2.9	56	1.4	−9.0	−9.0	28	89	28	73	56	81
1000	28	071	28	063	56	067	183	−94	—	—	—	—	—	—	—	—	—	—	—	—	—	—
850	28	1365	28	1366	56	1366	1490	1200	28	−3.7	28	−3.2	56	−3.5	5.5	−11.7	28	86	28	81	56	84
700	28	2874	28	2876	56	2875	3010	2715	28	−12.2	28	−12.4	56	−12.3	−3.6	−22.8	28	76	28	78	56	77
500	28	5377	28	5368	56	5373	5580	5160	28	−28.0	28	−28.3	56	−28.2	−18.5	−40.8	28	75	28	62	56	69
400	28	6937	28	6930	56	6934	7270	6645	28	−39.5	28	−39.4	56	−39.5	−30.2	−51.1	28	71	28	57	56	64
300	28	8843	28	8844	56	8844	9250	8525	28	−52.5	28	−52.8	56	−52.7	−44.7	−61.5	—	—	—	—	—	—
200	26	11428	28	11429	54	11429	11860	11180	26	−54.5	28	−54.9	56	−54.7	−45.8	−63.7	—	—	—	—	—	—
150	—	—	—	—	—	—	—	—	—	—	—	—	—	—	—	—	—	—	—	—	—	—
100	—	—	—	—	—	—	—	—	—	—	—	—	—	—	—	—	—	—	—	—	—	—

Mars 1955

Surface de pression standard (mb)	Hauteur de la surface de pression standard (en gpm)								Température ° C								Humidité relative %					
	03		15		Dies		Max.	Min.	03		15		Dies		Max.	Min.	03		15		Dies	
	n	Moy	n	Moy	n	Moy			n	Moy	n	Moy	n	Moy			n	Moy	n	Moy	n	Moy
Surface	—	—	—	—	—	—	—	—	31	0.3	31	6.2	62	3.3	20.2	−5.2	31	93	31	61	62	77
1000	31	127	31	115	62	121	242	−2	—	—	—	—	—	—	—	—	—	—	—	—	—	—
850	31	1430	31	1430	62	1430	1535	1305	31	−2.1	31	−1.3	62	−1.7	14.3	−12.4	31	82	31	69	62	76
700	31	2950	31	2955	62	2953	3120	2780	31	−9.5	31	−9.6	62	−9.6	2.4	−20.9	31	67	31	61	62	64
500	31	5469	31	5466	62	5468	5720	5195	31	−26.5	31	−26.9	62	−26.7	−17.2	−40.1	31	60	31	54	62	57
400	31	7037	31	7033	62	7035	7350	6680	31	−38.8	31	−38.7	62	−38.8	−27.2	−51.0	31	56	31	53	62	55
300	31	8955	31	8956	62	8956	9340	8530	31	−51.4	31	−50.7	62	−51.1	−42.6	−58.5	—	—	—	—	—	—
200	30	11536	29	11528	59	11532	11925	11065	30	−58.9	29	−58.1	59	−58.5	−46.5	−71.9	—	—	—	—	—	—
150	—	—	—	—	—	—	—	—	—	—	—	—	—	—	—	—	—	—	—	—	—	—
100	—	—	—	—	—	—	—	—	—	—	—	—	—	—	—	—	—	—	—	—	—	—

Avril 1955

Surface de pression standard (mb)	Hauteur de la surface de pression standard (en gpm)								Température ° C								Humidité relative %					
	03		15		Dies		Max.	Min.	03		15		Dies		Max.	Min.	03		15		Dies	
	n	Moy	n	Moy	n	Moy			n	Moy	n	Moy	n	Moy			n	Moy	n	Moy	n	Moy
Surface	—	—	—	—	—	—	—	—	30	3.7	30	14.3	60	9.0	23.6	−2.0	30	92	30	48	60	70
1000	30	185	30	171	60	178	258	116	—	—	—	—	—	—	—	—	—	—	—	—	—	—
850	30	1503	30	1515	60	1509	1585	1415	30	1.6	30	2.9	60	2.3	11.7	−7.9	30	80	30	61	60	70
700	30	3045	30	3059	60	3052	3135	2940	30	−6.3	30	−6.8	60	−6.6	−0.2	−16.0	30	56	30	57	60	57
500	30	5597	30	5602	60	5600	5740	5420	30	−22.4	30	−22.8	60	−22.6	−15.1	−35.3	30	50	30	52	60	51
400	30	7190	30	7193	60	7192	7350	6940	30	−35.1	30	−35.0	60	−35.1	−29.0	−45.2	30	52	30	49	60	51
300	29	9133	30	9136	59	9135	9375	8850	29	−50.0	30	−50.1	59	−50.1	−43.6	−55.8	—	—	—	—	—	—
200	26	11717	30	11706	56	11712	12000	11520	26	−60.1	30	−60.2	56	−60.2	−49.2	−68.9	—	—	—	—	—	—
150	—	—	—	—	—	—	—	—	—	—	—	—	—	—	—	—	—	—	—	—	—	—
100	—	—	—	—	—	—	—	—	—	—	—	—	—	—	—	—	—	—	—	—	—	—

mensuelles

Mai 1955

Surface de pression standard (mb)	Hauteur de la surface de pression standard (en gpm)								Température ° C								Humidité relative %					
	03		15		Dies		Max.	Min.	03		15		Dies		Max.	Min.	03		15		Dies	
	n	Moy	n	Moy	n	Moy			n	Moy	n	Moy	n	Moy			n	Moy	n	Moy	n	Moy
Surface	—	—	—	—	—	—	—	—	31	7.8	31	16.8	62	12.3	25.7	0.3	31	89	31	52	62	71
1000	31	162	31	143	62	158	249	071	—	—	—	—	—	—	—	—	—	—	—	—	—	—
850	31	1501	31	1505	62	1503	1580	1410	31	4.3	31	6.0	62	5.2	13.9	−3.0	31	78	31	66	62	72
700	31	3050	31	3060	62	3055	3160	2960	31	−5.1	31	−4.5	62	−4.8	3.0	−14.3	31	73	31	65	62	69
500	31	5619	31	5633	62	5626	5770	5470	31	−20.3	31	−19.9	62	−20.1	−14.7	−28.7	31	55	31	45	62	50
400	31	7230	31	7253	62	7242	7420	7020	31	−32.2	31	−31.5	62	−31.9	−25.0	−40.4	31	49	31	49	62	49
300	31	9203	31	9224	62	9214	9420	8940	31	−46.0	31	−46.0	62	−46.0	−39.3	−53.0	—	—	—	—	—	—
200	31	11814	29	11832	60	11823	12040	11575	31	−57.1	29	−57.6	60	−57.4	−45.2	−66.9	—	—	—	—	—	—
150	—	—	—	—	—	—	—	—	—	—	—	—	—	—	—	—	—	—	—	—	—	—
100	—	—	—	—	—	—	—	—	—	—	—	—	—	—	—	—	—	—	—	—	—	—

Juin 1955

Surface de pression standard (mb)	Hauteur de la surface de pression standard (en gpm)								Température ° C								Humidité relative %					
	03		15		Dies		Max.	Min.	03		15		Dies		Max.	Min.	03		15		Dies	
	n	Moy	n	Moy	n	Moy			n	Moy	n	Moy	n	Moy			n	Moy	n	Moy	n	Moy
Surface	—	—	—	—	—	—	—	—	30	11.6	30	20.2	60	15.9	27.8	3.5	30	98	30	57	60	78
1000	30	146	30	131	60	138	230	029	—	—	—	—	—	—	—	—	—	—	—	—	—	—
850	30	1509	30	1513	60	1511	1590	1380	30	9.1	30	9.9	60	9.5	17.3	0.2	30	80	30	67	60	74
700	30	3089	30	3096	60	3093	3190	2940	30	−0.6	30	−0.7	60	−0.7	4.7	−8.7	30	76	30	74	60	75
500	30	5706	30	5711	60	5709	5840	5520	30	−15.7	30	−16.0	60	−15.9	−9.8	−23.7	30	52	30	58	60	55
400	30	7346	30	7352	60	7349	7515	7130	30	−27.8	30	−27.4	60	−27.6	−22.0	−35.4	30	54	30	53	60	54
300	30	9351	30	9359	60	9355	9570	9110	30	−43.5	30	−43.0	60	−43.3	−37.7	−51.5	—	—	—	—	—	—
200	29	11980	30	11993	59	11987	12200	11710	29	−57.0	30	−56.9	59	−57.0	−46.0	−64.9	—	—	—	—	—	—
150	—	—	—	—	—	—	—	—	—	—	—	—	—	—	—	—	—	—	—	—	—	—
100	—	—	—	—	—	—	—	—	—	—	—	—	—	—	—	—	—	—	—	—	—	—

Juillet 1955

Surface de pression standard (mb)	Hauteur de la surface de pression standard (en gpm)								Température ° C								Humidité relative %					
	03		15		Dies		Max.	Min.	03		15		Dies		Max.	Min.	03		15		Dies	
	n	Moy	n	Moy	n	Moy			n	Moy	n	Moy	n	Moy			n	Moy	n	Moy	n	Moy
Surface	—	—	—	—	—	—	—	—	31	14.0	31	21.8	62	17.9	30.0	8.3	31	98	31	58	62	78
1000	31	143	31	130	62	137	186	059	—	—	—	—	—	—	—	—	—	—	—	—	—	—
850	31	1518	31	1523	62	1521	1580	1440	31	11.0	31	11.6	62	11.3	18.9	4.1	31	85	31	70	62	78
700	31	3109	31	3117	62	3113	3210	3035	31	1.4	31	1.6	62	1.5	8.3	−7.8	31	78	31	73	62	76
500	31	5749	31	5752	62	5751	5900	5605	31	−13.6	31	−14.0	62	−13.8	−8.1	−20.4	31	54	31	50	62	52
400	31	7404	31	7406	62	7405	7590	7220	31	−25.5	31	−25.6	62	−25.6	−18.2	−32.8	31	50	31	42	62	46
300	31	9422	31	9425	62	9424	9660	9180	31	−42.0	31	−41.2	62	−41.6	−34.8	−51.0	—	—	—	—	—	—
200	31	12075	29	12083	60	12079	12380	11840	31	−53.6	29	−53.8	60	−53.7	−43.6	−62.2	—	—	—	—	—	—
150	—	—	—	—	—	—	—	—	—	—	—	—	—	—	—	—	—	—	—	—	—	—
100	—	—	—	—	—	—	—	—	—	—	—	—	—	—	—	—	—	—	—	—	—	—

Août 1955

Surface de pression standard (mb)	Hauteur de la surface de pression standard (en gpm)								Température ° C								Humidité relative %					
	03		15		Dies		Max.	Min.	03		15		Dies		Max.	Min.	03		15		Dies	
	n	Moy	n	Moy	n	Moy			n	Moy	n	Moy	n	Moy			n	Moy	n	Moy	n	Moy
Surface	—	—	—	—	—	—	—	—	31	12.5	31	21.2	62	16.8	27.0	6.0	31	98	31	56	62	77
1000	31	156	31	141	62	149	203	090	—	—	—	—	—	—	—	—	—	—	—	—	—	—
850	30	1524	31	1532	61	1528	1590	1465	30	10.7	31	11.2	61	11.0	16.3	3.3	30	80	31	70	61	75
700	30	3110	31	3120	61	3115	3210	3025	30	0.8	31	0.9	61	0.9	6.8	5.7	30	65	31	65	61	65
500	30	5739	31	5749	61	5744	5880	5595	30	−14.7	31	−14.7	61	−14.7	−10.4	−20.7	30	50	31	47	61	49
400	30	7381	31	7397	61	7389	7555	7100	30	−26.8	31	−26.6	61	−26.7	−21.8	−32.6	30	50	31	51	61	51
300	30	9398	31	9410	61	9404	9590	9190	30	−42.3	31	−41.7	61	−42.0	−35.2	−48.8	—	—	—	—	—	—
200	29	12044	29	12063	58	12054	12280	11870	29	−53.5	29	−53.2	58	−53.4	−44.2	−61.0	—	—	—	—	—	—
150	—	—	—	—	—	—	—	—	—	—	—	—	—	—	—	—	—	—	—	—	—	—
100	—	—	—	—	—	—	—	—	—	—	—	—	—	—	—	—	—	—	—	—	—	—

Moyennes

Septembre 1955

Surface de pression standard (mb)	Hauteur de la surface de pression standard (en gpm)								Température ° C										Humidité relative %					
	03		15		Dies		Max.	Min.	03		15		Dies		Max.	Min.	03		15		Dies	
	n	Moy	n	Moy	n	Moy			n	Moy	n	Moy	n	Moy			n	Moy	n	Moy	n	Moy
Surface	—	—	—	—	—	—	—	—	30	10.7	30	17.6	60	14.2	23.2	4.2	30	99	30	62	60	81
1000	30	159	30	149	60	154	220	045	—	—	—	—	—	—	—	—	—	—	—	—	—	—
850	29	1517	30	1523	59	1520	1575	1370	29	8.0	30	8.6	59	8.3	14.1	–1.0	29	83	30	67	59	75
700	29	3094	30	3101	59	3098	3165	2905	29	–0.9	30	–0.4	59	–0.6	5.8	–10.9	29	64	30	57	59	61
500	29	5704	30	5718	59	5711	5825	5420	29	–16.1	30	–15.6	59	–15.9	–8.1	–29.9	29	50	30	48	59	49
400	29	7343	30	7361	59	7352	7515	6965	29	–27.8	30	–27.2	59	–27.5	–19.9	–43.4	29	46	30	44	59	50
300	29	9347	30	9368	59	9358	9590	8850	29	–42.5	30	–42.0	59	–42.3	–34.9	–49.6	—	—	—	—	—	—
200	28	11985	28	12019	58	12002	12325	11550	28	–56.2	28	–55.6	58	–55.9	–42.8	–64.6	—	—	—	—	—	—
150	—	—	—	—	—	—	—	—	—	—	—	—	—	—	—	—	—	—	—	—	—	—
100	—	—	—	—	—	—	—	—	—	—	—	—	—	—	—	—	—	—	—	—	—	—

Octobre 1955

Surface de pression standard (mb)	Hauteur de la surface de pression standard (en gpm)								Température ° C										Humidité relative %					
	03		15		Dies		Max.	Min.	03		15		Dies		Max.	Min.	03		15		Dies	
	n	Moy	n	Moy	n	Moy			n	Moy	n	Moy	n	Moy			n	Moy	n	Moy	n	Moy
Surface	—	—	—	—	—	—	—	—	31	5.0	31	11.4	62	8.2	15.5	–3.1	31	96	31	65	62	81
1000	31	149	31	134	62	142	222	012	—	—	—	—	—	—	—	—	—	—	—	—	—	—
850	31	1477	31	1481	62	1479	1550	1370	31	4.3	31	4.5	62	4.4	11.0	–4.5	31	74	31	68	62	71
700	31	3037	31	3036	62	3037	3140	2910	31	–3.7	31	–3.6	62	–3.7	3.5	–12.8	31	60	31	53	62	57
500	31	5625	31	5624	62	5625	5795	5450	31	–18.3	31	–18.7	62	–18.5	–11.2	–27.4	31	35	31	42	62	39
400	31	7249	31	7246	62	7248	7460	7040	31	–30.6	31	–30.8	62	–30.7	–22.1	–37.5	31	38	31	40	62	39
300	30	9220	31	9220	61	9220	9510	8970	30	–45.7	31	–46.1	61	–45.9	–38.4	–51.7	—	—	—	—	—	—
200	30	11837	31	11826	61	11832	12170	11620	30	–57.5	31	–58.5	61	–58.0	–43.4	–64.6	—	—	—	—	—	—
150	—	—	—	—	—	—	—	—	—	—	—	—	—	—	—	—	—	—	—	—	—	—
100	—	—	—	—	—	—	—	—	—	—	—	—	—	—	—	—	—	—	—	—	—	—

Novembre 1955

Surface de pression standard (mb)	Hauteur de la surface de pression standard (en gpm)								Température ° C										Humidité relative %					
	03		15		Dies		Max.	Min.	03		15		Dies		Max.	Min.	03		15		Dies	
	n	Moy	n	Moy	n	Moy			n	Moy	n	Moy	n	Moy			n	Moy	n	Moy	n	Moy
Surface	—	—	—	—	—	—	—	—	30	1.3	30	4.4	60	2.8	12.5	–9.0	30	93	30	79	60	86
1000	30	174	30	169	60	172	265	081	—	—	—	—	—	—	—	—	—	—	—	—	—	—
850	30	1483	30	1488	60	1486	1540	1415	30	1.1	30	1.3	60	1.2	14.5	–10.3	30	75	30	70	60	73
700	30	3027	30	3032	60	3030	3110	2885	30	–4.8	30	–4.8	60	–4.8	1.8	–19.0	30	55	30	53	60	54
500	30	5599	30	5601	60	5600	5705	5315	30	–20.7	30	–20.6	60	–20.7	–12.7	–34.5	30	40	30	45	60	43
400	30	7208	30	7212	60	7210	7360	6850	30	–32.8	30	–32.8	60	–32.8	–22.8	–41.7	30	42	30	46	60	44
300	30	9164	30	9171	60	9168	9370	8750	30	–48.8	30	–47.8	60	–48.3	–40.3	–55.8	—	—	—	—	—	—
200	28	11739	30	11758	58	11749	12000	11380	28	–62.0	30	–60.6	58	–61.3	–48.9	–71.1	—	—	—	—	—	—
150	—	—	—	—	—	—	—	—	—	—	—	—	—	—	—	—	—	—	—	—	—	—
100	—	—	—	—	—	—	—	—	—	—	—	—	—	—	—	—	—	—	—	—	—	—

Décembre 1955

Surface de pression standard (mb)	Hauteur de la surface de pression standard (en gpm)								Température ° C										Humidité relative %					
	03		15		Dies		Max.	Min.	03		15		Dies		Max.	Min.	03		15		Dies	
	n	Moy	n	Moy	n	Moy			n	Moy	n	Moy	n	Moy			n	Moy	n	Moy	n	Moy
Surface	—	—	—	—	—	—	—	—	31	2.7	31	5.3	62	4.0	10.5	–4.3	31	96	31	83	62	90
1000	31	137	31	132	62	135	286	–50	—	—	—	—	—	—	—	—	—	—	—	—	—	—
850	31	1455	31	1455	62	1455	1600	1285	31	1.9	31	1.9	62	1.9	9.1	–4.8	31	80	31	74	62	77
700	31	2998	31	2996	62	2997	3180	2820	31	–6.4	31	–6.8	62	–6.6	2.5	–15.3	31	72	31	70	62	71
500	31	5553	31	5547	62	5550	5815	5330	31	–21.8	31	–22.4	62	–22.1	–12.2	–31.2	31	64	31	60	62	62
400	31	7154	31	7143	62	7149	7465	6870	31	–34.0	31	–34.4	62	–34.2	–22.1	–43.2	31	62	31	57	62	60
300	31	9105	31	9093	62	9099	9500	8740	31	–48.6	31	–48.9	62	–48.8	–40.2	–58.5	—	—	—	—	—	—
200	31	11693	30	11666	61	11680	12140	11300	31	–59.5	30	–60.9	61	–60.2	–46.8	–72.0	—	—	—	—	—	—
150	—	—	—	—	—	—	—	—	—	—	—	—	—	—	—	—	—	—	—	—	—	—
100	—	—	—	—	—	—	—	—	—	—	—	—	—	—	—	—	—	—	—	—	—	—

nensuelles

anvier 1955

urface de ression andard (mb)	Vecteur du vent moyen								
	03			15			Dies		
	n	dd	ff	n	dd	ff	n	dd	ff
Surface	31	280	01	31	238	02	62	256	01
1000	—	—	—	—	—	—	—	—	—
850	30	239	07	31	227	08	61	232	08
700	30	255	16	31	245	15	61	250	16
500	30	274	21	31	267	22	61	271	21
400	30	285	27	31	281	25	61	283	26
300	30	293	29	31	279	26	61	286	27
200	30	291	23	30	292	29	60	292	26
150	—	—	—	—	—	—	—	—	—
100	—	—	—	—	—	—	—	—	—

Février 1955

Surface de pression standard (mb)	Vecteur du vent moyen								
	03			15			Dies		
	n	dd	ff	n	dd	ff	n	dd	ff
Surface	28	222	04	28	247	04	56	235	04
1000	—	—	—	—	—	—	—	—	—
850	26	242	12	28	247	12	54	247	12
700	26	259	20	28	253	20	54	256	20
500	27	271	33	28	273	35	55	272	34
400	27	280	42	28	279	44	55	280	43
300	27	284	45	27	285	39	54	285	42
200	23	280	34	26	278	49	49	279	42
150	—	—	—	—	—	—	—	—	—
100	—	—	—	—	—	—	—	—	—

Mars 1955

Surface de pression standard (mb)	Vecteur du vent moyen								
	03			15			Dies		
	n	dd	ff	n	dd	ff	n	dd	ff
Surface	31	61	01	31	13	04	62	21	02
1000	—	—	—	—	—	—	—	—	—
850	31	237	05	31	251	04	62	243	04
700	31	257	09	31	253	10	62	265	10
500	31	285	15	31	282	17	62	283	16
400	31	283	20	31	279	20	62	281	20
300	31	298	21	31	288	23	62	293	22
200	30	292	26	28	276	20	58	286	23
150	—	—	—	—	—	—	—	—	—
100	—	—	—	—	—	—	—	—	—

Avril 1955

urface de ression andard (mb)	Vecteur du vent moyen								
	03			15			Dies		
	n	dd	ff	n	dd	ff	n	dd	ff
Surface	30	73	01	30	32	04	60	36	02
1000	—	—	—	—	—	—	—	—	—
850	30	40	05	30	20	04	60	31	05
700	30	353	11	30	341	07	60	347	09
500	30	354	22	30	344	21	60	349	21
400	30	349	26	30	341	22	60	345	24
300	29	351	30	30	347	29	59	349	30
200	25	337	26	28	330	23	53	334	25
150	—	—	—	—	—	—	—	—	—
100	—	—	—	—	—	—	—	—	—

Mai 1955

Surface de pression standard (mb)	Vecteur du vent moyen								
	03			15			Dies		
	n	dd	ff	n	dd	ff	n	dd	ff
Surface	31	220	01	31	245	05	62	239	03
1000	—	—	—	—	—	—	—	—	—
850	30	240	13	31	239	13	61	240	13
700	30	252	22	31	247	19	61	250	22
500	30	273	30	31	272	32	61	272	31
400	30	278	41	31	273	38	61	275	39
300	30	279	44	31	275	46	61	277	46
200	29	279	48	28	278	46	57	279	48
150	—	—	—	—	—	—	—	—	—
100	—	—	—	—	—	—	—	—	—

Juin 1955

Surface de pression standard (mb)	Vecteur du vent moyen								
	03			15			Dies		
	n	dd	ff	n	dd	ff	n	dd	ff
Surface	30	240	01	30	289	02	60	280	01
1000	—	—	—	—	—	—	—	—	—
850	30	245	06	30	246	09	60	245	07
700	30	255	12	30	243	12	60	249	12
500	30	279	19	30	265	17	60	272	18
400	30	284	22	30	275	21	60	280	22
300	30	281	26	30	275	29	60	278	27
200	28	285	25	29	275	29	57	279	27
150	—	—	—	—	—	—	—	—	—
100	—	—	—	—	—	—	—	—	—

Juillet 1955

Surface de pression standard (mb)	Vecteur du vent moyen								
	03			15			Dies		
	n	dd	ff	n	dd	ff	n	dd	ff
Surface	31	060	01	31	334	01	62	12	01
1000	—	—	—	—	—	—	—	—	—
850	30	319	01	31	281	04	61	287	02
700	30	276	04	31	246	07	61	258	06
500	30	297	08	31	286	09	61	291	09
400	30	294	11	31	284	11	61	288	11
300	30	302	11	31	290	12	61	298	11
200	30	290	20	29	280	16	59	285	18
150	—	—	—	—	—	—	—	—	—
100	—	—	—	—	—	—	—	—	—

Août 1955

Surface de pression standard (mb)	Vecteur du vent moyen								
	03			15			Dies		
	n	dd	ff	n	dd	ff	n	dd	ff
Surface	31	00	00	31	033	02	62	033	01
1000	—	—	—	—	—	—	—	—	—
850	31	242	02	31	265	05	62	254	03
700	31	272	07	31	258	08	62	265	07
500	31	305	15	31	308	10	62	307	13
400	31	315	20	31	309	15	62	312	18
300	31	315	28	31	311	22	62	315	26
200	30	302	32	29	307	24	59	304	29
150	—	—	—	—	—	—	—	—	—
100	—	—	—	—	—	—	—	—	—

Septembre 1955

Surface de pression standard (mb)	Vecteur du vent moyen								
	03			15			Dies		
	n	dd	ff	n	dd	ff	n	dd	ff
Surface	30	222	01	30	052	01	60	219	01
1000	—	—	—	—	—	—	—	—	—
850	29	281	03	30	312	03	59	296	03
700	29	259	06	30	254	04	59	257	05
500	29	284	10	30	296	08	59	290	09
400	29	299	09	30	306	09	59	303	09
300	29	301	11	30	314	14	59	308	12
200	29	287	19	28	329	16	57	307	17
150	—	—	—	—	—	—	—	—	—
100	—	—	—	—	—	—	—	—	—

Octobre 1955

Surface de pression standard (mb)	Vecteur du vent moyen								
	03			15			Dies		
	n	dd	ff	n	dd	ff	n	dd	ff
Surface	31	223	01	31	317	02	62	273	01
1000	—	—	—	—	—	—	—	—	—
850	31	237	05	31	263	03	62	247	04
700	31	283	08	31	238	07	62	262	07
500	31	304	16	31	280	11	62	294	13
400	31	299	14	31	289	13	62	294	14
300	30	300	20	31	279	22	61	288	20
200	30	302	25	30	291	20	60	297	22
150	—	—	—	—	—	—	—	—	—
100	—	—	—	—	—	—	—	—	—

Novembre 1955

Surface de pression standard (mb)	Vecteur du vent moyen								
	03			15			Dies		
	n	dd	ff	n	dd	ff	n	dd	ff
Surface	30	32	02	30	59	03	60	48	03
1000	—	—	—	—	—	—	—	—	—
850	29	84	03	30	67	02	59	76	03
700	29	288	01	30	218	01	59	249	01
500	29	330	08	30	339	08	59	335	08
400	29	347	11	30	346	15	59	347	13
300	29	336	13	30	337	14	59	336	14
200	27	307	17	30	308	15	57	307	16
150	—	—	—	—	—	—	—	—	—
100	—	—	—	—	—	—	—	—	—

Décembre 1955

Surface de pression standard (mb)	Vecteur du vent moyen								
	03			15			Dies		
	n	dd	ff	n	dd	ff	n	dd	ff
Surface	31	219	03	31	223	05	62	220	04
1000	—	—	—	—	—	—	—	—	—
850	31	242	15	31	238	15	62	240	15
700	31	267	17	31	276	18	62	272	18
500	31	292	25	31	296	28	62	295	26
400	31	284	30	31	295	34	62	289	32
300	31	293	36	31	302	44	62	298	39
200	29	296	37	30	296	47	59	296	42
150	—	—	—	—	—	—	—	—	—
100	—	—	—	—	—	—	—	—	—

Moyennes

Janvier 1955

Vitesse du vent (ff) m

03.00 h

Surface de pression standard (mb)	Vent ndd, (ff)m 03																							
	N		30°		60°		E		120°		150°		S		210°		240°		W		300°		330°		C
	n		n		n		n		n		n		n		n		n		n		n		n	
Surface	—	—	2	8	1	9	—	—	—	—	—	—	—	—	1	12	1	15	2	13	1	12	—	—	23
1000	—	—	—	—	—	—	—	—	—	—	—	—	—	—	—	—	—	—	—	—	—	—	—	—	—
850	—	—	—	—	3	18	—	—	2	14	—	—	3	5	3	7	9	22	2	35	1	10	—	—	7
700	1	42	—	—	2	14	2	9	1	5	1	19	1	6	7	20	3	38	8	39	3	9	1	17	—
500	2	34	—	—	1	17	2	15	1	21	2	6	1	12	3	25	6	25	6	47	6	48	—	—	—
400	2	28	—	—	1	27	2	24	2	24	1	9	1	16	2	37	5	33	5	38	8	73	2	28	—
300	2	52	1	9	2	53	1	24	2	36	1	17	—	—	2	25	6	40	6	44	5	92	3	61	—
200	1	38	1	6	2	45	—	—	1	38	2	4	—	—	3	19	5	40	3	44	8	48	4	40	—
150	—	—	—	—	—	—	—	—	—	—	—	—	—	—	—	—	—	—	—	—	—	—	—	—	—
100	—	—	—	—	—	—	—	—	—	—	—	—	—	—	—	—	—	—	—	—	—	—	—	—	—

Février 1955

Surface de pression standard (mb)	Vent ndd, (ff)m 03																							
	N		30°		60°		E		120°		150°		S		210°		240°		W		300°		330°		C
	n		n		n		n		n		n		n		n		n		n		n		n	
Surface	—	—	—	—	1	17	—	—	—	—	—	—	—	—	7	10	5	12			—	—	—	—	15
1000	—	—	—	—	—	—	—	—	—	—	—	—			—	—	—	—	—	—	—	—	—	—	—
850	—	—	—	—	1	27	2	3	1	3	—	—	—	—	5	20	7	23	5	19	2	10	—	—	3
700	1	12	—		1	33	—	—	—		—	—	3	10	4	26	6	24	7	38	2	50	1	16	1
500	1	40	—			—	—	—			—	—	3	23	1	22	8	27	9	52	4	58	1	72	—
400	1	92	—	—	—	—	—	—	—	—	—	—	3	23	3	23	3	32	9	62	7	67	1	64	—
300	1	143	—				—	—	—	—	—	—	2	32	—	—	8	38	7	74	5	65	4	58	—
200	2	35			—	—	—	—	—	—	—	—	—	—	2	28	5	30	8	46	5	48	1	68	—
150	—	—	—	—	—	—	—	—	—	—	—	—	—	—	—	—	—	—	—	—	—	—	—	—	—
100	—	—	—	—	—	—	—	—	—	—	—	—	—	—	—	—	—	—			—	—	—	—	—

Mars 1955

Surface de pression standard (mb)	Vent ndd, (ff)m 03																							
	N		30°		60°		E		120°		150°		S		210°		240°		W		300°		330°		C
	n		n		n		n		n		n		n		n		n		n		n		n	
Surface	—	—	3	12	4	10	—	—	—	—	—	—	2	06	2	8	1	10			—	—	—	—	19
1000	—	—	—	—	—	—	—	—	—	—	—	—	—	—	—	—	—	—			—	—	—	—	—
850	—	—	2	10	7	14	—	—	—	—	—	—	3	6	4	12	9	20	3	15	—	—	1	2	2
700	—	—	2	18	4	17	3	25	—	—	—	—	1	7	3	22	8	29	6	22	2	27	2	15	—
500	1	35	2	17	3	33	1	24	3	21	—	—	1	33	1	25	6	29	7	30	5	51	1	52	—
400	1	40	2	55	2	32	3	30	—	—	1	48	1	44	2	45	6	35	6	41	6	62	1	68	—
300	1	43	2	44	4	66	2	35	—	—	1	55	—	—	3	35	4	50	5	44	9	64	—	—	—
200	3	30	2	34	2	40	3	20	1	05	—	—			2	25	3	38	8	52	6	70	—	—	—
150	—	—	—	—	—	—	—	—	—	—	—	—	—	—	—	—	—	—	—	—	—	—	—	—	—
100	—	—	—	—	—	—	—	—	—	—	—	—	—	—	—	—	—	—	—	—	—	—	—	—	—

Avril 1955

Surface de pression standard (mb)	Vent ndd, (ff)m 03																							
	N		30°		60°		E		120°		150°		S		210°		240°		W		300°		330°		C
	n		n		n		n		n		n		n		n		n		n		n		n	
Surface	—	—	1	6	1	7	1	8	—	—	—	—	—	—	1	5	—	—	—	—			—	—	26
1000	—	—	—	—	—	—	—	—	—	—			—	—	—	—	—	—					—	—	—
850	1	12	1	10	11	18	—	—	—	—	—	—	—	—	—	—	4	9	1	8	1	5	2	8	6
700	2	27	6	21	3	23	1	30	—	—	—	—	—	—	2	7	1	4	5	19	3	8	7	19	—
500	7	43	4	41	1	21	1	42			1	10	1	12	1	18	—		1	3	5	23	8	25	—
400	10	53	1	43	2	18	1	50		—	1	15	2	14	1	23	—	—	1	27	5	22	6	38	—
300	8	81	2	24	2	25	1	50	—	—	1	30	1	20	2	18	—	—	—	—	6	28	6	36	—
200	5	71	1	5	1	28	1	13	—	—	1	26	—	—	1	18	—	—	1	22	7	29	7	30	—
150	—	—	—	—	—	—	—	—	—	—	—	—	—	—	—	—	—	—	—	—	—		—	—	—
100			—	—	—	—	—	—	—	—	—	—	—	—	—	—	—	—					—	—	—

mensuelles

Janvier 1955

Vitesse du vent (ff) m

15.00 h

Surface de pression standard (mb)	Vent ndd, (ff)m 15																							
	N		30°		60°		E		120°		150°		S		210°		240°		W		300°		330°		C
	n		n		n		n		n		n		n		n		n		n		n		n		n
Surface	—	—	2	9	2	12	—	—	—	—	—	—	—	—	1	28	3	20	1	7	—	—	—	—	22
1000	—	—	—	—	—	—	—	—	—	—	—	—	—	—	—	—	—	—	—	—	—	—	—	—	—
850	—	—	—	—	5	19	1	10	3	5	1	6	1	11	4	20	10	27	1	10	2	5	—	—	3
700	—	—	1	7	3	23	1	7	1	8	1	4	5	9	6	21	5	37	7	41	—	—	1	17	—
500	1	55	—	—	2	23	2	9	1	12	—	—	5	19	5	31	2	20	7	56	6	47	—	—	—
400	1	8	1	14	1	55	3	13	—	—	1	23	3	24	4	38	3	38	5	47	6	72	3	66	—
300	—	—	2	8	2	35	1	39	—	—	1	24	5	34	2	51	2	43	6	49	6	80	4	47	—
200	1	48	1	10	1	35	1	48	—	—	1	20	1	15	3	31	4	36	2	46	11	63	3	41	1
150	—	—	—	—	—	—	—	—	—	—	—	—	—	—	—	—	—	—	—	—	—	—	—	—	—
100	—	—	—	—	—	—	—	—	—	—	—	—	—	—	—	—	—	—	—	—	—	—	—	—	—

Février 1955

Surface de pression standard (mb)	Vent ndd, (ff)m 15																							
	N		30°		60°		E		120°		150°		S		210°		240°		W		300°		330°		C
	n		n		n		n		n		n		n		n		n		n		n		n		n
Surface	—	—	—	—	1	22	—	—	—	—	—	—	—	—	2	7	8	14	1	11	2	9	—	—	14
1000	—	—	—	—	—	—	—	—	—	—	—	—	—	—	—	—	—	—	—	—	—	—	—	—	—
850	1	20	—	—	2	24	1	3	—	—	—	—	—	—	2	9	12	23	8	15	—	—	1	4	1
700	1	13	—	—	1	7	1	8	—	—	—	—	3	12	3	27	8	28	7	38	3	19	1	15	—
500	1	42	—	—	—	—	—	—	1	06	—	—	—	—	5	24	5	38	10	47	5	63	1	55	—
400	—	—	1	53	—	—	1	13	1	23	—	—	2	28	2	32	4	48	10	62	4	111	3	56	—
300	—	—	1	53	1	13	—	—	—	—	1	28	—	—	5	37	4	63	8	59	5	73	2	112	—
200	—	—	1	44	—	—	—	—	—	—	—	—	1	30	2	35	6	49	9	53	5	103	2	72	—
150	—	—	—	—	—	—	—	—	—	—	—	—	—	—	—	—	—	—	—	—	—	—	—	—	—
100	—	—	—	—	—	—	—	—	—	—	—	—	—	—	—	—	—	—	—	—	—	—	—	—	—

Mars 1955

Surface de pression standard (mb)	Vent ndd, (ff)m 15																							
	N		30°		60°		E		120°		150°		S		210°		240°		W		300°		330°		C
	n		n		n		n		n		n		n		n		n		n		n		n		n
Surface	4	6	11	11	2	21	—	—	—	—	—	—	—	—	2	12	4	13	—	—	1	12	1	7	6
1000	—	—	—	—	—	—	—	—	—	—	—	—	—	—	—	—	—	—	—	—	—	—	—	—	—
850	—	—	1	20	7	15	1	17	1	4	1	3	—	—	3	9	8	24	4	9	1	4	3	6	1
700	1	9	2	14	3	9	3	22	—	—	—	—	1	16	3	12	8	29	6	27	3	8	1	14	—
500	—	—	3	18	1	25	3	37	1	12	2	16	—	—	1	38	4	36	10	38	2	52	4	33	—
400	1	33	2	43	1	22	3	43	—	—	1	12	2	36	1	60	4	48	9	43	4	48	3	42	—
300	1	48	2	53	3	40	2	50	1	8	—	—	1	66	3	40	4	49	7	54	5	58	2	88	—
200	2	61	1	33	2	30	3	34	1	14	1	22	—	—	3	43	4	45	8	49	1	37	2	50	—
150	—	—	—	—	—	—	—	—	—	—	—	—	—	—	—	—	—	—	—	—	—	—	—	—	—
100	—	—	—	—	—	—	—	—	—	—	—	—	—	—	—	—	—	—	—	—	—	—	—	—	—

Avril 1955

Surface de pression standard (mb)	Vent ndd, (ff)m 15																							
	N		30°		60°		E		120°		150°		S		210°		240°		W		300°		330°		C
	n		n		n		n		n		n		n		n		n		n		n		n		n
Surface	1	07	3	15	6	16	—	—	—	—	—	—	1	8	1	10	1	20	—	—	2	10	3	6	12
1000	—	—	—	—	—	—	—	—	—	—	—	—	—	—	—	—	—	—	—	—	—	—	—	—	—
850	3	7	3	10	7	18	—	—	—	—	1	4	—	—	—	—	3	12	3	6	3	10	3	6	4
700	4	17	6	18	1	18	1	20	—	—	—	—	—	—	3	7	3	19	4	11	2	12	6	14	—
500	8	29	4	37	—	—	1	34	—	—	—	—	1	16	2	9	1	17	1	36	5	19	7	41	—
400	4	43	3	49	1	15	1	38	—	—	1	05	1	26	2	22	—	—	2	30	4	19	10	39	—
300	9	56	2	87	1	20	1	34	1	10	—	—	1	20	1	48	2	22	2	38	4	21	5	54	1
200	5	40	1	16	1	24	—	—	—	—	1	20	1	20	—	—	1	13	2	25	6	23	9	40	1
150	—	—	—	—	—	—	—	—	—	—	—	—	—	—	—	—	—	—	—	—	—	—	—	—	—
100	—	—	—	—	—	—	—	—	—	—	—	—	—	—	—	—	—	—	—	—	—	—	—	—	—

Moyennes

Vitesse du vent (ff) m

Mai 1955 — 03.00 h

Surface de pression standard (mb)	Vent ndd, (ff)m 03																							
	N		30°		60°		E		120°		150°		S		210°		240°		W		300°		330°		C
	n		n		n		n		n		n		n		n		n		n		n		n		n
Surface	—	—	—	—	—	—	—	—	—	—	—	—	—	—	4	7	2	7	—	—	—	—	—	—	25
1000	—	—	—	—	—	—	—	—	—	—	—	—	—	—	—	—	—	—	—	—	—	—	—	—	—
850	—	—	1	5	4	14	—	—	—	—	—	—	—	—	1	42	17	21	6	16	1	8	—	—	—
700	2	10	1	13	—	—	1	8	—	—	—	—	—	—	1	13	15	31	8	26	2	19	—	—	—
500	1	22	1	30	1	13	—	—	—	—	—	—	—	—	—	—	7	37	14	36	6	40	—	—	—
400	1	44	1	60	1	20	—	—	—	—	—	—	—	—	—	—	7	47	12	49	8	56	—	—	—
300	1	120	—	—	1	30	—	—	—	—	—	—	—	—	1	85	5	41	11	64	10	47	1	16	—
200	1	56	1	32	—	—	—	—	—	—	—	—	—	—	—	—	5	43	11	73	11	46	—	—	—
150	—	—	—	—	—	—	—	—	—	—	—	—	—	—	—	—	—	—	—	—	—	—	—	—	—
100	—	—	—	—	—	—	—	—	—	—	—	—	—	—	—	—	—	—	—	—	—	—	—	—	—

Juin 1955

Surface de pression standard (mb)	Vent ndd, (ff)m 03																							
	N		30°		60°		E		120°		150°		S		210°		240°		W		300°		330°		C
	n		n		n		n		n		n		n		n		n		n		n		n		n
Surface	—	—	—	—	—	—	—	—	—	—	—	—	—	—	1	10	—	—	1	10	—	—	—	—	28
1000	—	—	—	—	—	—	—	—	—	—	—	—	—	—	—	—	—	—	—	—	—	—	—	—	—
850	—	—	6	6	4	9	1	9	—	—	—	—	—	—	3	10	11	18	4	9	—	—	—	—	1
700	2	6	2	8	1	16	1	8	—	—	—	—	1	17	1	25	11	21	6	20	2	10	2	15	1
500	2	12	—	—	—	—	—	—	—	—	—	—	—	—	2	24	9	21	6	32	6	25	5	28	—
400	3	22	—	—	1	03	—	—	—	—	—	—	—	—	3	25	6	29	8	31	3	57	6	31	—
300	3	35	2	25	—	—	—	—	—	—	—	—	1	30	4	36	5	35	6	37	6	60	3	22	—
200	4	37	—	—	1	30	—	—	—	—	—	—	—	—	2	45	5	47	6	34	4	57	4	27	—
150	—	—	—	—	—	—	—	—	—	—	—	—	—	—	—	—	—	—	—	—	—	—	—	—	—
100	—	—	—	—	—	—	—	—	—	—	—	—	—	—	—	—	—	—	—	—	—	—	—	—	—

Juillet 1955

Surface de pression standard (mb)	Vent ndd, (ff)m 03																							
	N		30°		60°		E		120°		150°		S		210°		240°		W		300°		330°		C
	n		n		n		n		n		n		n		n		n		n		n		n		n
Surface	—	—	—	—	1	23	—	—	—	—	—	—	—	—	—	—	—	—	—	—	—	—	—	—	30
1000	—	—	—	—	—	—	—	—	—	—	—	—	—	—	—	—	—	—	—	—	—	—	—	—	—
850	—	—	2	5	9	14	1	15	—	—	—	—	—	—	2	20	7	13	6	6	1	8	1	6	1
700	2	14	2	20	3	17	3	12	—	—	—	—	—	—	2	25	5	25	6	9	5	8	2	7	—
500	1	27	4	25	—	—	3	13	—	—	—	—	—	—	4	31	3	13	3	18	8	19	4	14	—
400	4	25	—	—	3	17	2	15	—	—	—	—	1	15	2	34	5	20	4	18	7	28	2	19	—
300	1	33	2	31	2	43	3	22	1	25	—	—	—	—	2	19	4	25	5	24	8	30	2	27	—
200	2	59	2	10	2	44	1	48	—	—	—	—	1	8	4	41	—	—	10	34	7	43	1	28	—
150	—	—	—	—	—	—	—	—	—	—	—	—	—	—	—	—	—	—	—	—	—	—	—	—	—
100	—	—	—	—	—	—	—	—	—	—	—	—	—	—	—	—	—	—	—	—	—	—	—	—	—

Août 1955

Surface de pression standard (mb)	Vent ndd, (ff)m 03																							
	N		30°		60°		E		120°		150°		S		210°		240°		W		300°		330°		C
	n		n		n		n		n		n		n		n		n		n		n		n		n
Surface	—	—	—	—	—	—	—	—	—	—	—	—	—	—	—	—	—	—	—	—	—	—	—	—	31
1000	—	—	—	—	—	—	—	—	—	—	—	—	—	—	—	—	—	—	—	—	—	—	—	—	—
850	—	—	2	5	6	9	2	10	—	—	—	—	1	5	2	16	7	10	9	6	—	—	1	4	1
700	6	7	2	7	3	14	1	5	—	—	—	—	1	10	2	18	6	19	6	19	2	16	2	10	—
500	4	19	3	21	1	18	1	13	—	—	—	—	—	—	—	—	3	21	10	25	4	21	5	28	—
400	5	26	2	28	2	32	—	—	—	—	—	—	—	—	—	—	2	26	8	27	7	31	5	36	—
300	6	43	2	40	2	40	—	—	—	—	—	—	—	—	—	—	2	29	10	45	5	30	4	54	—
200	5	34	2	33	1	32	—	—	—	—	—	—	—	—	—	—	2	31	12	47	5	36	3	78	—
150	—	—	—	—	—	—	—	—	—	—	—	—	—	—	—	—	—	—	—	—	—	—	—	—	—
100	—	—	—	—	—	—	—	—	—	—	—	—	—	—	—	—	—	—	—	—	—	—	—	—	—

mensuelles

Mai 1955

Vitesse du vent (ff) m — 15.00 h

Surface de pression standard (mb)	Vent ndd, (ff)m 15																							
	N		30°		60°		E		120°		150°		S		210°		240°		W		300°		330°		C
	n		n		n		n		n		n		n		n		n		n		n		n		n
Surface	—	—	2	8	3	9	—	—	—	—	—	—	—	—	6	15	6	11	2	11	4	9	1	7	7
1000	—	—	—	—	—	—	—	—	—	—	—	—	—	—	—	—	—	—	—	—	—	—	—	—	—
850	—	—	2	3	2	18	—	—	—	—	—	—	—	—	5	24	12	22	4	13	3	5	2	8	1
700	1	6	—	—	3	7	—	—	1	2	—	—	—	—	2	28	13	31	8	22	1	9	1	5	1
500	2	17	1	5	1	14	—	—	—	—	—	—	—	—	—	—	9	41	11	46	3	43	4	32	—
400	2	28	—	—	1	22	—	—	—	—	—	—	—	—	—	—	10	45	11	57	2	54	5	37	—
300	2	32	—	—	1	15	—	—	—	—	—	—	—	—	—	—	9	50	10	66	7	55	2	48	—
200	1	49	—	—	—	—	—	—	—	—	—	—	—	—	—	—	6	54	12	45	7	69	2	26	—
150	—	—	—	—	—	—	—	—	—	—	—	—	—	—	—	—	—	—	—	—	—	—	—	—	—
100	—	—	—	—	—	—	—	—	—	—	—	—	—	—	—	—	—	—	—	—	—	—	—	—	—

Juin 1955

Surface de pression standard (mb)	Vent ndd, (ff)m 15																							
	N		30°		60°		E		120°		150°		S		210°		240°		W		300°		330°		C
	n		n		n		n		n		n		n		n		n		n		n		n		n
Surface	2	9	2	7	1	7	—	—	1	23	—	—	—	—	—	—	6	11	1	05	3	11	3	7	11
1000	—	—	—	—	—	—	—	—	—	—	—	—	—	—	—	—	—	—	—	—	—	—	—	—	—
850	3	4	2	9	2	7	—	—	—	—	—	—	—	—	4	19	10	17	5	12	2	8	1	3	1
700	2	9	2	10	—	—	—	—	—	—	2	8	1	16	3	25	10	21	7	15	—	—	2	5	1
500	3	23	—	—	1	5	—	—	—	—	—	—	2	47	2	33	6	28	8	22	5	32	3	15	—
400	2	30	1	28	1	4	—	—	1	22	—	—	1	48	2	29	6	32	7	30	6	44	3	17	—
300	2	28	2	32	1	7	—	—	—	—	—	—	1	87	3	48	6	34	7	40	5	74	3	34	—
200	3	45	1	45	—	—	1	24	—	—	—	—	1	30	2	46	8	37	7	49	5	56	1	14	—
150	—	—	—	—	—	—	—	—	—	—	—	—	—	—	—	—	—	—	—	—	—	—	—	—	—
100	—	—	—	—	—	—	—	—	—	—	—	—	—	—	—	—	—	—	—	—	—	—	—	—	—

Juillet 1955

Surface de pression standard (mb)	Vent ndd, (ff)m 15																							
	N		30°		60°		E		120°		150°		S		210°		240°		W		300°		330°		C
	n		n		n		n		n		n		n		n		n		n		n		n		n
Surface	1	10	6	5	1	6	—	—	—	—	1	1	—	—	1	2	3	10	—	—	1	7	—	—	17
1000	—	—	—	—	—	—	—	—	—	—	—	—	—	—	—	—	—	—	—	—	—	—	—	—	—
850	6	12	2	4	5	10	—	—	—	—	—	—	—	—	2	24	7	15	4	8	2	7	1	7	2
700	—	—	4	9	3	24	1	3	—	—	—	—	—	—	5	28	9	18	—	—	4	15	3	8	2
500	2	30	—	—	2	28	2	10	1	03	—	—	2	11	4	19	4	24	5	21	4	19	5	21	—
400	1	24	2	32	1	11	1	17	2	5	1	12	1	16	4	22	3	16	5	36	7	20	3	22	—
300	—	—	3	38	1	10	2	25	2	12	1	17	—	—	3	32	3	21	6	34	5	35	4	22	1
200	2	40	—	—	1	44	2	28	1	10	1	27	—	—	2	33	4	38	9	27	6	31	1	28	—
150	—	—	—	—	—	—	—	—	—	—	—	—	—	—	—	—	—	—	—	—	—	—	—	—	—
100	—	—	—	—	—	—	—	—	—	—	—	—	—	—	—	—	—	—	—	—	—	—	—	—	—

Août 1955

Surface de pression standard (mb)	Vent ndd, (ff)m 15																							
	N		30°		60°		E		120°		150°		S		210°		240°		W		300°		330°		C
	n		n		n		n		n		n		n		n		n		n		n		n		n
Surface	1	10	5	10	4	11	—	—	—	—	—	—	—	—	1	8	1	10	—	—	1	8	—	—	18
1000	—	—	—	—	—	—	—	—	—	—	—	—	—	—	—	—	—	—	—	—	—	—	—	—	—
850	2	2	4	7	4	9	—	—	—	—	—	—	—	—	1	11	8	17	3	10	4	6	3	3	2
700	2	8	3	4	—	—	1	2	—	—	1	3	1	10	5	14	4	24	5	13	6	8	3	7	—
500	5	13	3	15	1	17	1	23	—	—	—	—	—	—	1	17	5	22	3	16	6	17	6	20	—
400	—	—	3	16	3	28	—	—	—	—	—	—	—	—	—	—	4	19	6	30	6	19	9	26	—
300	2	22	3	17	3	19	—	—	—	—	—	—	—	—	1	22	3	32	7	36	4	35	8	44	—
200	3	40	1	33	2	30	—	—	—	—	—	—	—	—	—	—	2	34	9	36	7	23	5	47	—
150	—	—	—	—	—	—	—	—	—	—	—	—	—	—	—	—	—	—	—	—	—	—	—	—	—
100	—	—	—	—	—	—	—	—	—	—	—	—	—	—	—	—	—	—	—	—	—	—	—	—	—

Moyennes

Vitesse du vent (ff) m

Septembre 1955 — **03.00 h**

Surface de pression standard (mb)	Vent ndd, (ff)m 03																							
	N		30°		60°		E		120°		150°		S		210°		240°		W		300°		330°		C
	n		n		n		n		n		n		n		n		n		n		n		n		n
Surface	—	—	—	—	—	—	—	—	—	—	—	—	—	—	2	9	1	12	—	—	—	—	—	—	27
1000	—	—	—	—	—	—	—	—	—	—	—	—	—	—	—	—	—	—	—	—	—	—	—	—	—
850	—	—	2	9	7	12	1	10	—	—	—	—	—	—	—	—	8	11	4	26	1	7	1	3	5
700	1	10	1	3	3	19	2	5	1	13	1	13	—	—	1	28	7	14	8	19	—	—	3	6	1
500	1	22	—	—	2	34	2	17	—	—	1	25	1	6	1	20	5	24	5	19	8	20	2	22	1
400	2	20	1	90	2	52	2	14	—	—	2	20	—	—	2	22	4	37	7	18	5	23	2	31	—
300	3	32	2	44	3	50	—	—	1	22	—	—	1	28	2	28	7	31	3	27	6	32	1	25	—
200	1	38	3	48	1	71	—	—	—	—	—	—	1	28	3	46	5	24	7	44	4	31	4	31	—
150	—	—	—	—	—	—	—	—	—	—	—	—	—	—	—	—	—	—	—	—	—	—	—	—	—
100	—	—	—	—	—	—	—	—	—	—	—	—	—	—	—	—	—	—	—	—	—	—	—	—	—

Octobre 1955

Surface de pression standard (mb)	Vent ndd, (ff)m 03																							
	N		30°		60°		E		120°		150°		S		210°		240°		W		300°		330°		C
	n		n		n		n		n		n		n		n		n		n		n		n		n
Surface	—	—	—	—	—	—	—	—	—	—	—	—	—	—	3	9	2	10	—	—	—	—	—	—	26
1000	—	—	—	—	—	—	—	—	—	—	—	—	—	—	—	—	—	—	—	—	—	—	—	—	—
850	—	—	3	12	10	13	—	—	—	—	—	—	—	—	4	18	11	21	2	12	—	—	—	—	1
700	2	12	5	16	2	25	1	15	1	4	1	3	—	—	6	32	5	31	4	19	2	18	1	11	1
500	6	39	2	28	3	20	—	—	1	24	—	—	—	—	4	29	5	33	4	27	4	48	2	30	—
400	5	51	4	26	2	30	—	—	1	26	2	30	1	15	2	38	4	45	6	39	3	43	1	28	—
300	5	62	3	35	2	39	—	—	1	24	—	—	1	72	4	27	4	46	5	56	3	52	2	24	—
200	5	60	4	40	2	40	—	—	—	—	—	—	—	—	6	26	7	71	7	66	2	53	2	39	—
150	—	—	—	—	—	—	—	—	—	—	—	—	—	—	—	—	—	—	—	—	—	—	—	—	—
100	—	—	—	—	—	—	—	—	—	—	—	—	—	—	—	—	—	—	—	—	—	—	—	—	—

Novembre 1955

Surface de pression standard (mb)	Vent ndd, (ff)m 03																							
	N		30°		60°		E		120°		150°		S		210°		240°		W		300°		330°		C
	n		n		n		n		n		n		n		n		n		n		n		n		n
Surface	—	—	6	10	2	4	—	—	—	—	—	—	—	—	—	—	—	—	—	—	—	—	—	—	22
1000	—	—	—	—	—	—	—	—	—	—	—	—	—	—	—	—	—	—	—	—	—	—	—	—	—
850	1	5	4	14	7	20	2	6	—	—	2	6	1	5	6	18	2	15	—	—	—	—	2	6	2
700	—	—	5	22	7	20	—	—	—	—	—	—	2	15	5	24	6	21	—	—	1	8	3	14	—
500	3	36	4	20	4	38	—	—	—	—	—	—	1	12	2	28	7	23	2	20	3	14	2	30	1
400	4	38	2	49	5	51	—	—	—	—	—	—	1	20	2	38	6	25	4	20	2	26	3	32	—
300	6	43	—	—	5	60	—	—	—	—	1	15	1	20	2	48	3	34	5	26	5	34	1	25	—
200	4	45	—	—	4	46	—	—	—	—	—	—	1	20	—	—	6	46	5	27	3	35	4	33	—
150	—	—	—	—	—	—	—	—	—	—	—	—	—	—	—	—	—	—	—	—	—	—	—	—	—
100	—	—	—	—	—	—	—	—	—	—	—	—	—	—	—	—	—	—	—	—	—	—	—	—	—

Décembre 1955

Surface de pression standard (mb)	Vent ndd, (ff)m 03																							
	N		30°		60°		E		120°		150°		S		210°		240°		W		300°		330°		C
	n		n		n		n		n		n		n		n		n		n		n		n		n
Surface	—	—	—	—	—	—	—	—	—	—	—	—	—	—	6	12	2	17	—	—	—	—	—	—	23
1000	—	—	—	—	—	—	—	—	—	—	—	—	—	—	—	—	—	—	—	—	—	—	—	—	—
850	1	6	—	—	1	15	—	—	1	3	—	—	1	7	4	22	14	22	7	18	—	—	1	5	1
700	2	15	1	20	—	—	—	—	—	—	—	—	1	22	2	11	8	23	13	26	1	20	3	20	—
500	5	37	—	—	—	—	—	—	—	—	—	—	—	—	4	14	3	28	7	37	12	34	—	—	—
400	4	40	—	—	—	—	—	—	—	—	—	—	1	33	2	30	4	66	9	36	8	34	3	50	—
300	2	79	2	37	—	—	—	—	—	—	—	—	—	—	3	39	2	31	9	58	8	48	5	34	—
200	4	56	1	36	—	—	—	—	—	—	—	—	—	—	—	—	4	30	10	53	8	44	2	55	—
150	—	—	—	—	—	—	—	—	—	—	—	—	—	—	—	—	—	—	—	—	—	—	—	—	—
100	—	—	—	—	—	—	—	—	—	—	—	—	—	—	—	—	—	—	—	—	—	—	—	—	—

ensuelles

eptembre 1955

Vitesse du vent (ff) m — 15.00 h

Surface de pression standard (mb)	Vent ndd, (ff)m 15																							
	N		30°		60°		E		120°		150°		S		210°		240°		W		300°		330°		C
	n		n		n		n		n		n		n		n		n		n		n		n		n
Surface	—	—	1	12	2	20	2	9	—	—	—	—	—	—	—	—	2	26	1	8	—	—	—	—	22
1000	—	—	—	—	—	—	—	—	—	—	—	—	—	—	—	—	—	—	—	—	—	—	—	—	—
850	3	9	5	9	5	15	—	—	—	—	—	—	—	—	—	—	7	14	4	18	1	5	2	5	3
700	—	—	3	12	5	15	—	—	1	3	—	—	—	—	6	11	6	19	5	11	2	8	1	6	1
500	2	32	—	—	3	31	—	—	—	—	—	—	2	4	3	14	7	16	4	21	3	23	6	12	—
400	5	23	1	32	3	42	—	—	1	5	1	12	2	25	3	20	4	21	4	32	4	25	2	29	—
300	3	48	3	25	2	74	—	—	—	—	2	40	2	27	1	20	4	30	4	41	4	44	5	25	—
200	5	37	4	66	—	—	—	—	1	38	—	—	—	—	5	23	2	32	5	36	3	39	3	29	—
150	—	—	—	—	—	—	—	—	—	—	—	—	—	—	—	—	—	—	—	—	—	—	—	—	—
100	—	—	—	—	—	—	—	—	—	—	—	—	—	—	—	—	—	—	—	—	—	—	—	—	—

ctobre 1955

Surface de pression standard (mb)	Vent ndd, (ff)m 15																							
	N		30°		60°		E		120°		150°		S		210°		240°		S		300°		330°		C
	n		n		n		n		n		n		n		n		n		n		n		n		n
Surface	—	—	8	10	1	10	—	—	—	—	—	—	—	—	1	5	5	13	2	12	—	—	—	—	14
1000	—	—	—	—	—	—	—	—	—	—	—	—	—	—	—	—	—	—	—	—	—	—	—	—	—
850	—	—	1	15	8	23	—	—	1	6	—	—	—	—	4	7	9	24	3	9	3	10	1	6	1
700	1	12	4	20	5	17	1	7	—	—	1	16	1	35	4	24	9	26	2	14	1	30	1	4	1
500	1	42	4	36	3	21	2	25	—	—	1	3	—	—	5	32	4	30	6	41	3	30	2	8	—
400	1	88	7	30	2	28	1	20	1	36	—	—	1	70	3	27	5	38	6	48	2	45	2	27	—
300	3	76	3	31	4	22	1	20	1	50	—	—	—	—	3	48	6	50	7	63	3	34	—	—	—
200	5	50	1	60	4	21	1	8	1	38	—	—	—	—	3	22	4	55	8	50	2	36	1	22	—
150	—	—	—	—	—	—	—	—	—	—	—	—	—	—	—	—	—	—	—	—	—	—	—	—	—
100	—	—	—	—	—	—	—	—	—	—	—	—	—	—	—	—	—	—	—	—	—	—	—	—	—

ovembre 1955

Surface de pression standard (mb)	Vent ndd, (ff)m 15																							
	N		30°		60°		E		120°		150°		S		210°		240°		W		300°		330°		C
	n		n		n		n		n		n		n		n		n		n		n		n		n
Surface	—	—	2	7	8	11	1	4	—	—	—	—	—	—	1	5	1	8	—	—	—	—	—	—	17
1000	—	—	—	—	—	—	—	—	—	—	—	—	—	—	—	—	—	—	—	—	—	—	—	—	—
850	—	—	2	22	10	19	—	—	—	—	—	—	—	—	5	17	6	11	1	12	1	11	1	5	4
700	3	10	5	20	3	23	3	21	—	—	—	—	1	9	8	25	3	19	2	9	1	12	1	33	—
500	2	29	6	42	2	35	1	36	1	10	—	—	1	11	4	21	5	32	4	21	1	7	3	30	—
400	5	41	4	57	3	52	—	—	1	14	—	—	—	—	5	28	4	28	3	32	1	51	4	29	—
300	6	37	6	60	2	50	—	—	1	11	—	—	2	40	3	29	6	46	—	—	4	48	—	—	—
200	3	39	8	33	1	49	—	—	—	—	1	13	—	—	3	48	7	40	3	28	1	55	3	63	—
150	—	—	—	—	—	—	—	—	—	—	—	—	—	—	—	—	—	—	—	—	—	—	—	—	—
100	—	—	—	—	—	—	—	—	—	—	—	—	—	—	—	—	—	—	—	—	—	—	—	—	—

écembre 1955

Surface de pression standard (mb)	Vent ndd, (ff)m 15																							
	N		30°		60°		E		120°		150°		S		210°		240°		W		300°		330°		C
	n		n		n		n		n		n		n		n		n		n		n		n		n
Surface	—	—	1	8	—	—	—	—	—	—	—	—	1	14	6	13	6	14	—	—	—	—	—	—	17
1000	—	—	—	—	—	—	—	—	—	—	—	—	—	—	—	—	—	—	—	—	—	—	—	—	—
850	1	7	1	4	1	4	—	—	—	—	—	—	—	—	4	26	17	22	3	10	2	7	1	9	1
700	3	16	—	—	—	—	—	—	—	—	—	—	1	22	2	29	6	19	11	29	3	21	5	24	—
500	5	30	—	—	—	—	—	—	—	—	—	—	—	—	—	—	3	40	9	35	11	31	3	46	—
400	5	41	—	—	—	—	—	—	—	—	—	—	—	—	—	—	4	33	11	42	8	45	3	46	—
300	3	77	2	60	—	—	—	—	—	—	—	—	—	—	1	22	1	83	12	47	9	61	3	64	—
200	2	60	1	78	—	—	—	—	—	—	—	—	—	—	—	—	3	50	10	64	7	64	7	45	—
150	—	—	—	—	—	—	—	—	—	—	—	—	—	—	—	—	—	—	—	—	—	—	—	—	—
100	—	—	—	—	—	—	—	—	—	—	—	—	—	—	—	—	—	—	—	—	—	—	—	—	—

Moyenne annuelle

Surface de pression standard (mb)	Hauteur de la surface en pression standard (en gpm)								Température ° C								Humidité relative %					
	03		15		Dies		Max.	Min.	03		15		Dies		Max.	Min.	03		15		Dies	
	n	Moy	n	Moy	n	Moy			n	Moy	n	Moy	n	Moy			n	Moy	n	Moy	n	Moy
Surface	—	—	—	—	—	—	—	—	365	5.8	365	12.0	730	8.9	30.0	−10.8	365	95	365	65	730	80
1000	365	144	365	132	730	138	286	−94	—	—	—	—	—	—	—	—	—	—	—	—	—	—
850	363	1475	365	1479	728	1477	1600	1200	363	3.9	365	4.6	728	4.3	18.9	−12.4	363	80	365	69	728	75
700	363	3028	365	3034	728	3031	3210	2715	363	−4.5	365	−4.5	728	−4.5	8.3	−22.8	363	68	365	64	728	66
500	363	5604	365	5606	728	5605	5900	5160	363	−20.1	365	−20.2	728	−20.2	−8.1	−40.8	363	54	365	52	728	53
400	363	7215	365	7219	728	7217	7590	6645	363	−32.2	365	−32.0	728	−32.1	−18.2	−51.1	363	53	365	50	728	52
300	361	9182	365	9186	726	9184	9660	8525	361	−47.0	365	−46.7	726	−46.9	−34.8	−61.5	—	—	—	—	—	—
200	350	11788	356	11792	706	11790	12380	11065	350	−57.5	356	−57.5	706	−57.5	−42.8	−72.0	—	—	—	—	—	—
150	—	—	—	—	—	—	—	—	—	—	—	—	—	—	—	—	—	—	—	—	—	—
100	—	—	—	—	—	—	—	—	—	—	—	—	—	—	—	—	—	—	—	—	—	—

Moyenne annuelle

Surface de pression standard (mb)	Vecteur du vent moyen								
	03			15			Dies		
	n	dd	ff	n	dd	ff	n	dd	ff
Surface	365	226	01	365	300	01	730	270	01
1000	—	—	—	—	—	—	—	—	—
850	358	245	05	365	252	06	723	248	05
700	358	266	10	365	257	10	723	261	10
500	359	291	17	365	287	16	724	289	17
400	359	295	21	365	291	21	724	293	21
300	357	300	24	364	295	25	721	297	24
200	340	294	27	345	292	27	685	293	27
150	—	—	—	—	—	—	—	—	—
100	—	—	—	—	—	—	—	—	—

Moyenne annuelle

Vitesse du vent (ff) m

Surface de pression standard (mb)	Vent ndd, (ff) m 03																							
	N		30°		60°		E		120°		150°		S		210°		240°		W		300°		330°		C
	n		n		n		n		n		n		n		n		n		n		n		n	
Surface	—	—	12	10	10	10	1	8	—	—	—	—	2	6	27	10	14	12	3	12	1	12	—	—	295
1000	—	—	—	—	—	—	—	—	—	—	—	—	—	—	—	—	—	—	—	—	—	—	—	—	—
850	3	7	23	9	70	15	12	8	4	9	2	6	9	5	34	17	106	18	52	14	7	8	9	5	30
700	21	13	27	17	29	18	15	14	3	7	3	12	10	12	36	23	81	25	77	24	25	16	27	14	4
500	34	34	20	26	16	28	10	18	5	22	4	12	8	18	23	24	62	26	74	33	71	33	30	27	2
400	42	42	13	43	21	33	11	23	3	25	7	24	11	22	21	31	52	36	79	37	69	45	32	36	—
300	39	58	18	34	23	50	7	30	5	28	4	29	7	33	25	33	50	37	72	49	76	48	32	39	—
200	37	48	17	32	16	43	6	25	2	22	3	11	3	16	23	32	47	42	88	49	70	45	32	39	—
150	—	—	—	—	—	—	—	—	—	—	—	—	—	—	—	—	—	—	—	—	—	—	—	—	—
100	—	—	—	—	—	—	—	—	—	—	—	—	—	—	—	—	—	—	—	—	—	—	—	—	—

Surface de pression standard (mb)	Vent ndd, (ff) m 15																							
	N		30°		60°		E		120°		150°		S		210°		240°		W		300°		330°		C
	n		n		n		n		n		n		n		n		n		n		n		n	
Surface	9	8	43	9	31	13	3	7	1	23	1	1	2	11	22	12	46	14	8	10	14	10	8	7	177
1000	—	—	—	—	—	—	—	—	—	—	—	—	—	—	—	—	—	—	—	—	—	—	—	—	—
850	19	9	23	9	58	17	3	10	5	5	3	4	1	11	34	18	109	20	43	12	24	7	19	6	24
700	18	12	30	14	27	16	12	15	3	4	5	8	14	14	50	21	84	25	64	24	26	13	26	14	6
500	32	27	21	31	16	24	12	24	5	8	3	12	13	19	32	25	55	30	78	35	54	33	44	27	—
400	27	36	25	36	17	32	10	26	7	15	5	13	13	32	26	29	51	35	79	44	54	44	50	36	—
300	31	49	28	44	21	31	7	35	6	17	5	30	12	40	26	38	50	43	76	50	63	53	38	48	2
200	32	45	20	42	12	30	8	30	4	25	5	20	4	24	23	34	51	43	84	44	61	52	39	43	2
150	—	—	—	—	—	—	—	—	—	—	—	—	—	—	—	—	—	—	—	—	—	—	—	—	—
100	—	—	—	—	—	—	—	—	—	—	—	—	—	—	—	—	—	—	—	—	—	—	—	—	—

Moyennes mensuelles et annuelles aux niveaux 1—14 km

Température C

03.00 h HEC

Mois	1	2	3	4	5	6	7	8	9	10	11	12	13	14 km
I	0.3	—1.4	—6.8	—13.1	—19.3	—26.4	—34.0	—42.1	—49.9	—57.2	—60.0	—58.4	—55.4	
II	—1.8	—6.9	—13.0	—19.0	—25.6	—32.4	—40.0	—47.1	—52.8	—56.0	—55.6	—53.7	—55.0	
III	—0.8	—4.2	—9.8	—15.8	—23.1	—30.8	—38.2	—45.0	—51.2	—55.7	—58.3	—58.3	—60.8	
IV	4.9	—1.0	—6.0	—11.8	—18.2	—25.4	—33.4	—41.7	—48.9	—55.5	—59.4	—59.5	—56.6	
V	8.1	1.5	—4.5	—10.4	—16.3	—22.9	—30.4	—37.4	—44.4	—50.8	—56.0	—57.5	—55.2	—53.6
VI	12.0	5.9	0.0	—5.7	—11.3	—17.9	—25.0	—32.9	—40.9	—48.2	—54.0	—56.7	—56.4	—56.7
VII	13.8	8.3	2.1	—3.3	—8.9	—15.4	—22.5	—30.2	—38.5	—46.0	—51.6	—53.5	—53.2	—54.0
VIII	13.4	7.6	1.4	—3.9	—9.9	—16.4	—23.8	—31.4	—39.1	—46.4	—51.5	—53.4	—53.4	—54.1
IX	10.7	5.1	—0.6	—5.9	—11.9	—18.2	—25.3	—32.9	—39.8	—46.5	—52.9	—56.1	—57.6	—58.6
X	5.4	2.0	—3.5	—8.6	—14.3	—21.1	—28.8	—36.5	—44.0	—50.5	—55.2	—57.4	—58.8	—58.9
XI	1.7	—0.1	—4.6	—9.7	—16.3	—23.6	—31.1	—39.5	—47.4	—54.2	—59.5	—62.4	—62.1	—62.7
XII	3.0	—1.0	—6.5	—12.2	—18.3	—25.1	—32.9	—40.6	—47.5	—52.7	—57.4	—59.8	—60.5	—61.4
nnée	5.9	1.3	—4.3	—10.0	—16.1	—23.0	—30.5	7.2	1.6	—4.3	—10.0	—16.2	—23.1	—30.4

15.00 h HEC

Mois	1	2	3	4	5	6	7	8	9	10	11	12	13	14 km
I	1.2	—0.8	—6.5	—12.7	—19.3	—26.4	—34.1	—42.1	—50.0	—57.1	—60.6	—59.1	—58.9	
II	—1.0	—7.1	—13.1	—19.1	—25.7	—32.8	—39.9	—46.9	—53.4	—56.3	—55.5	—53.8	—51.5	
III	0.6	—3.9	—9.9	—16.5	—23.4	—31.2	—38.5	—45.0	—50.6	—55.5	—57.8	—57.5	—58.7	
IV	7.7	—0.5	—6.4	—12.6	—18.7	—25.9	—33.5	—41.2	—48.9	—55.4	—59.4	—59.3	—56.2	
V	10.3	2.2	—4.2	—9.8	—15.8	—22.4	—29.7	—37.1	—44.2	—51.2	—56.4	—57.3	—55.4	—54.0
VI	14.1	6.4	—0.2	—6.0	—11.8	—18.0	—24.9	—32.2	—40.1	—47.8	—53.7	—56.6	—56.8	—55.1
VII	13.8	8.3	2.1	—3.3	—8.9	—15.4	—22.5	—30.2	—38.5	—46.0	—51.6	—53.5	—53.2	—54.0
VIII	15.6	7.9	1.6	—4.0	—9.9	—16.4	—23.7	—31.1	—38.6	—45.9	—51.3	—53.0	—52.7	—53.2
IX	12.3	5.5	0.2	—5.2	—11.2	—17.6	—24.5	—32.0	—39.1	—45.4	—51.4	—55.5	—57.4	—58.0
X	6.4	1.9	—3.3	—8.5	—14.6	—21.5	—28.9	—36.8	—44.4	—51.2	—56.3	—58.3	—58.8	—59.5
XI	2.1	—0.1	—4.6	—10.2	—16.4	—23.6	—31.1	—38.9	—46.4	—53.5	—58.3	—60.8	—61.2	—59.5
XII	3.4	—0.9	—6.9	—12.6	—18.9	—25.6	—33.3	—40.9	—48.0	—54.0	—58.6	—61.1	—62.0	—63.6
nnée	—38.1	—45.4	—51.6	—56.0	—57.2	—57.1	—57.5	—37.9	—45.2	—51.6	—55.9	—57.2	—56.9	—57.1

Pression mb

03.00 h HEC

Mois	1	2	3	4	5	6	7	8	9	10	11	12	13	14 km
I	895	790	696	612	535	467	406	351	302	259	220	188	161	
II	890	784	689	603	526	457	396	341	293	251	214	183	156	
III	897	791	695	610	533	464	402	347	298	255	218	186	159	
IV	905	799	704	619	542	473	411	356	306	262	224	191	163	
V	903	799	705	620	543	475	413	358	309	266	228	194	166	143
VI	903	801	708	624	548	481	420	365	316	272	233	200	170	146
VII	904	802	710	626	551	484	422	368	319	275	236	202	173	149
VIII	905	803	710	626	551	483	422	367	318	274	236	201	172	148
IX	905	801	708	624	548	481	419	365	316	272	233	200	171	145
X	901	797	703	619	543	475	414	359	311	267	228	194	166	143
XI	903	797	702	618	542	473	412	358	307	264	225	192	163	140
XII	899	794	700	614	539	470	409	354	305	261	223	190	162	139
nnée	901	797	703	618	542	474	412	357	308	265	227	193	165	144

15.00 h HEC

Mois	1	2	3	4	5	6	7	8	9	10	11	12	13	14 km
I	895	790	696	611	535	467	406	351	302	258	220	187	160	
II	890	784	689	603	526	457	396	342	293	250	214	183	155	
III	897	791	696	610	533	464	402	347	298	255	218	186	159	
IV	905	800	705	619	542	473	411	356	306	262	224	191	163	
V	903	800	705	620	544	476	414	359	310	267	228	195	166	143
VI	904	801	708	624	549	481	420	365	316	272	234	200	171	146
VII	904	802	710	626	551	484	422	368	319	275	236	202	173	149
VIII	905	803	710	626	551	483	423	368	318	275	236	202	173	148
IX	905	802	709	625	549	481	420	366	317	273	234	201	171	145
X	901	797	703	619	543	475	414	359	310	266	228	195	166	142
XI	903	798	703	618	542	474	412	357	308	265	226	192	164	139
XII	899	794	700	615	538	470	408	353	304	261	223	189	161	139
nnée	901	797	703	618	542	474	412	358	308	265	227	194	165	144

Fréquence des

03.00 h HEC — 850 mb

C° Mois	I	II	III	IV	V	VI	VII	VIII	IX	X	XI	XII
17	—	—	—	—	—	—	1	—	—	—	—	—
16	—	—	—	—	—	1	—	1	—	—	—	—
15	—	—	—	—	—	1	2	2	—	—	—	—
14	—	—	1	—	—	—	2	2	—	—	—	—
13	—	—	—	—	—	4	3	3	—	—	—	—
12	—	—	—	—	—	3	5	2	2	—	—	—
11	—	—	1	1	2	—	4	2	4	1	—	—
10	—	—	—	—	3	3	5	6	6	—	1	—
9	—	—	—	1	—	2	3	4	5	1	3	1
8	1	—	—	1	2	6	—	4	2	3	1	—
7	1	—	—	—	2	3	1	1	1	3	1	2
6	1	—	2	1	3	2	2	1	2	4	1	—
5	3	—	—	2	3	1	1	—	2	2	1	1
4	2	2	1	2	3	1	2	2	—	1	3	4
3	4	—	—	2	3	—	—	—	1	4	2	4
2	3	—	1	6	1	2	—	—	—	3	1	3
1	4	2	3	2	1	—	—	—	2	3	2	4
0	2	1	4	2	—	1	—	—	1	4	1	4
—1	3	5	2	3	7	—	—	—	1	1	4	6
—2	2	2	—	3	—	—	—	—	—	—	1	1
—3	1	2	2	1	1	—	—	—	—	—	1	—
—4	1	2	4	1	—	—	—	—	—	1	1	1
—5	—	2	—	1	—	—	—	—	—	—	1	—
—6	—	3	—	—	—	—	—	—	—	—	2	—
—7	—	1	5	1	—	—	—	—	—	—	—	—
—8	—	1	1	—	—	—	—	—	—	—	2	—
—9	2	3	3	—	—	—	—	—	—	—	1	—
—10	1	1	—	—	—	—	—	—	—	—	—	—
—11	—	1	1	—	—	—	—	—	—	—	—	—
Total	31	28	31	30	31	30	31	30	29	31	30	31

15.00 h HEC — 850 mb

C° Mois	I	II	III	IV	V	VI	VII	VIII	IX	X	XI	XII
18	—	—	—	—	—	—	2	—	—	—	—	—
17	—	—	—	—	—	1	—	—	—	—	—	—
16	—	—	—	—	—	—	—	1	—	—	—	—
15	—	—	—	—	—	2	1	3	—	—	—	—
14	—	—	1	—	—	1	1	2	1	—	1	—
13	—	—	—	—	1	2	3	4	3	—	—	—
12	—	—	—	—	3	3	5	2	3	—	—	—
11	—	—	1	3	1	3	10	5	6	1	—	—
10	—	—	1	—	1	4	1	6	4	2	1	—
9	1	—	—	1	2	1	2	1	1	1	1	—
8	—	—	1	1	3	2	4	4	—	2	3	—
7	—	—	—	1	3	5	—	1	3	2	—	—
6	2	—	—	—	2	3	1	—	—	4	—	—
5	4	1	1	1	2	1	—	—	2	1	3	—
4	4	1	—	5	2	1	1	1	—	4	4	—
3	5	—	1	—	5	—	—	1	2	3	1	—
2	6	2	1	4	1	—	—	—	1	2	1	—
1	1	1	3	4	1	1	—	—	3	5	2	—
0	1	3	1	5	1	—	—	—	1	2	—	—
—1	1	4	6	—	2	—	—	—	—	1	1	—
—2	—	1	2	2	1	—	—	—	—	1	3	—
—3	1	4	1	1	—	—	—	—	—	—	2	—
—4	—	—	—	1	—	—	—	—	—	—	2	—
—5	1	2	—	1	—	—	—	—	—	—	1	—
—6	2	3	5	—	—	—	—	—	—	—	2	—
—7	—	2	3	—	—	—	—	—	—	—	—	—
—8	—	1	1	—	—	—	—	—	—	—	1	—
—9	—	1	1	—	—	—	—	—	—	—	—	—
—10	1	—	—	—	—	—	—	—	—	—	1	—
—11	1	2	—	—	—	—	—	—	—	—	—	—
—12	—	—	1	—	—	—	—	—	—	—	—	—
Total	31	28	31	30	31	30	31	31	30	31	30	—

03.00 h HEC — 700 mb

C° Mois	I	II	III	IV	V	VI	VII	VIII	IX	X	XI	XII
8	—	—	—	—	—	—	1	—	—	—	—	—
7	—	—	—	—	—	—	—	—	—	—	—	—
6	—	—	—	—	—	—	—	1	—	—	—	—
5	—	—	—	—	—	—	2	—	2	—	—	—
4	—	—	—	—	—	1	2	2	—	—	—	—
3	—	—	—	—	1	2	2	4	—	1	—	—
2	—	—	1	—	—	5	7	5	1	1	—	1
1	—	—	1	—	—	3	8	3	8	4	1	—
0	—	—	—	—	3	3	3	5	5	—	2	—
—1	1	—	—	2	3	7	1	4	7	5	5	2
—2	3	—	1	3	6	2	3	3	1	4	2	—
—3	3	—	—	1	2	3	—	2	1	4	3	1
—4	4	3	3	3	3	3	1	1	—	1	5	4
—5	8	1	4	6	3	1	—	—	—	3	2	6
—6	1	—	1	5	2	—	—	—	1	2	3	6
—7	3	1	3	2	—	—	1	—	—	1	2	1
—8	2	3	1	3	—	—	—	—	2	—	1	4
—9	1	2	3	2	2	—	—	—	1	2	1	3
—10	1	2	1	1	—	—	—	—	—	1	1	—
—11	—	2	3	—	—	—	—	—	—	1	—	1
—12	1	2	—	—	4	—	—	—	—	1	1	1
—13	1	3	2	2	1	—	—	—	—	—	—	1
—14	—	1	—	—	1	—	—	—	—	—	—	—
—15	—	2	1	—	—	—	—	—	—	—	—	—
—16	2	2	3	—	—	—	—	—	—	—	—	—
—17	—	1	—	—	—	—	—	—	—	—	—	—
—18	—	—	2	—	—	—	—	—	—	—	—	—
—19	—	—	—	—	—	—	—	—	—	—	1	—
—20	—	2	1	—	—	—	—	—	—	—	—	—
—21	—	—	—	—	—	—	—	—	—	—	—	—
—22	—	1	—	—	—	—	—	—	—	—	—	—
Total	31	28	31	30	31	30	31	30	29	31	30	31

15.00 h HEC — 700 m

C° Mois	I	II	III	IV	V	VI	VII	VIII	IX	X	XI	X
7	—	—	—	—	—	—	1	—	—	—	—	
6	—	—	—	—	—	—	—	—	—	—	—	
5	—	—	—	—	—	—	—	1	1	—	—	
4	—	—	—	—	—	1	4	2	1	—	—	
3	—	—	—	—	1	1	3	3	4	—	—	
2	—	—	1	—	—	6	8	6	1	3	—	
1	—	—	—	—	2	4	6	4	8	2	4	
0	—	—	—	2	—	6	3	8	4	4	—	
—1	2	—	1	3	9	4	2	5	2	3	3	
—2	2	—	—	1	4	1	3	—	3	2	5	
—3	4	1	1	—	2	2	1	—	—	5	3	
—4	8	—	1	2	1	—	—	—	3	1	5	
—5	5	—	3	1	2	3	—	2	—	—	—	
—6	2	—	1	5	2	—	—	—	—	2	—	
—7	2	2	6	5	1	—	—	—	—	1	2	
—8	—	1	2	6	1	2	—	—	1	4	4	
—9	1	2	3	—	1	—	—	—	—	1	—	
—10	1	3	—	2	1	—	—	—	2	2	1	
—11	—	7	1	1	—	—	—	—	—	—	1	
—12	1	3	4	—	2	—	—	—	—	1	1	
—13	—	2	—	—	1	—	—	—	—	—	—	
—14	—	2	2	—	1	—	—	—	—	—	—	
—15	—	—	—	1	—	—	—	—	—	—	1	
—16	1	1	2	1	—	—	—	—	—	—	—	
—17	1	1	1	—	—	—	—	—	—	—	—	
—18	1	—	1	—	—	—	—	—	—	—	—	
—19	—	1	1	—	—	—	—	—	—	—	—	
—20	—	1	—	—	—	—	—	—	—	—	—	
—21	—	—	—	—	—	—	—	—	—	—	—	
—22	—	1	—	—	—	—	—	—	—	—	—	
Total	31	28	31	30	31	30	31	31	30	31	30	

empératures

.00 h HEC — 500 mb

° Mois	I	II	III	IV	V	VI	VII	VIII	IX	X	XI	XII
–8	—	—	—	—	—	—	1	—	—	—	—	—
–9	—	—	—	—	—	1	1	—	1	—	—	—
10	—	—	—	—	—	—	1	2	1	—	—	—
11	—	—	—	—	—	1	4	2	—	3	—	—
12	—	—	—	—	—	5	5	4	2	1	1	1
13	—	—	—	—	—	3	8	2	1	—	—	—
14	—	—	—	—	1	1	3	6	9	1	—	—
15	—	—	—	1	4	5	3	5	5	4	2	2
16	—	—	—	—	2	3	1	3	3	4	2	1
17	—	—	2	—	3	3	2	5	1	1	—	—
18	1	1	—	4	4	4	1	1	1	2	2	3
19	2	—	1	1	2	2	—	—	—	5	6	3
20	5	—	2	4	5	—	1	—	2	3	3	4
21	10	2	1	2	—	2	—	—	1	3	4	5
22	4	3	1	3	1	—	—	—	—	—	3	2
23	2	2	1	8	2	—	—	—	—	—	1	2
24	2	1	3	2	3	—	—	—	—	—	5	1
25	1	1	4	3	1	—	—	—	—	4	—	1
26	1	—	3	—	—	—	—	—	—	—	—	1
27	—	4	4	—	1	—	—	—	1	—	—	1
28	—	1	2	2	1	—	—	—	1	—	—	1
29	1	3	2	—	—	—	—	—	—	—	—	2
30	—	3	—	—	1	—	—	—	—	—	—	—
31	—	3	1	—	—	—	—	—	—	—	—	1
32	1	—	—	—	—	—	—	—	—	—	—	—
33	1	—	—	—	—	—	—	—	—	—	—	—
34	—	1	—	—	—	—	—	—	—	1	—	—
35	—	1	1	—	—	—	—	—	—	—	—	—
36	—	—	1	—	—	—	—	—	—	—	—	—
37	—	1	—	—	—	—	—	—	—	—	—	—
38	—	1	—	—	—	—	—	—	—	—	—	—
39	—	—	1	—	—	—	—	—	—	—	—	—
40	—	—	1	—	—	—	—	—	—	—	—	—
otal	31	28	31	30	31	30	31	30	29	31	30	31

15.00 h HEC — 500 mb

C° Mois	I	II	III	IV	V	VI	VII	VIII	IX	X	XI	XII
–8	—	—	—	—	—	—	1	—	1	—	—	—
–9	—	—	—	—	—	—	—	—	—	—	—	—
–10	—	—	—	—	—	1	1	1	—	—	—	—
–11	—	—	—	—	—	1	2	4	2	1	—	—
–12	—	—	—	—	—	2	4	4	5	—	—	—
–13	—	—	—	—	—	5	12	6	4	2	—	—
–14	—	—	—	—	—	4	1	1	4	1	—	—
–15	1	—	1	1	2	6	3	5	4	4	1	1
–16	—	—	2	2	4	2	4	5	2	1	3	1
–17	—	—	—	—	2	1	—	1	3	3	1	4
–18	1	1	1	1	4	2	2	2	—	6	5	1
–19	2	1	—	—	6	1	—	—	2	2	5	3
–20	7	—	6	6	5	2	1	2	—	4	2	3
–21	4	1	2	2	—	—	—	—	—	1	2	4
–22	5	1	4	4	1	—	—	—	—	2	4	—
–23	3	2	2	2	2	3	—	—	—	2	2	2
–24	3	1	5	5	1	—	—	—	1	—	2	1
–25	—	—	2	2	3	—	—	—	—	1	1	3
–26	1	2	1	1	—	—	—	—	—	—	2	3
–27	—	3	2	2	1	—	—	—	1	1	—	2
–28	1	2	1	1	—	—	—	—	—	—	—	2
–29	—	5	—	—	—	—	—	—	1	—	—	—
–30	1	2	—	—	—	—	—	—	—	—	—	1
–31	1	2	—	—	—	—	—	—	—	—	—	—
–32	—	2	—	—	—	—	—	—	—	—	—	—
–33	—	1	—	—	—	—	—	—	—	—	—	—
–34	1	—	—	—	—	—	—	—	—	—	—	—
–35	—	1	1	1	—	—	—	—	—	—	—	—
–36	—	—	—	—	—	—	—	—	—	—	—	—
–37	—	—	—	—	—	—	—	—	—	—	—	—
–38	—	—	—	—	—	—	—	—	—	—	—	—
–39	—	—	—	—	—	—	—	—	—	—	—	—
–40	—	1	—	—	—	—	—	—	—	—	—	—
Total	31	28	30	30	31	30	31	31	30	31	30	31

.00 h HEC — 400 mb

° Mois	I	II	III	IV	V	VI	VII	VIII	IX	X	XI	XII
18	—	—	—	—	—	—	1	—	—	—	—	—
19	—	—	—	—	—	—	—	—	—	—	—	—
20	—	—	—	—	—	—	—	—	—	—	—	—
21	—	—	—	—	—	—	1	1	—	—	—	—
22	—	—	—	—	—	2	1	3	2	1	—	1
23	—	—	—	—	—	—	6	2	1	1	1	—
24	—	—	—	—	—	5	4	3	4	—	—	—
25	—	—	—	—	—	3	6	3	2	—	1	1
26	—	—	—	—	—	3	5	4	7	5	—	—
27	—	—	1	—	4	2	2	3	4	4	1	3
28	—	—	—	1	1	5	—	1	3	1	—	—
29	—	—	1	1	2	4	2	4	1	2	1	2
30	—	1	1	1	7	1	2	4	1	—	2	2
31	4	—	1	2	4	1	—	1	—	5	4	1
32	4	2	—	3	2	1	1	1	1	2	6	3
33	1	—	—	4	—	1	—	—	1	3	2	3
34	8	1	2	1	4	2	—	—	—	1	4	2
35	5	3	2	4	2	—	—	—	—	2	2	3
36	2	4	1	5	1	—	—	—	—	2	4	2
37	3	3	5	3	2	—	—	—	—	2	1	1
38	1	—	2	2	—	—	—	—	—	—	—	—
39	1	1	4	1	—	—	—	—	1	—	—	2
40	1	—	2	1	2	—	—	—	—	—	—	—
41	1	2	1	1	—	—	—	—	1	—	1	1
42	—	2	2	—	—	—	—	—	—	—	—	2
43	—	3	1	—	—	—	—	—	—	—	—	2
44	—	4	2	—	—	—	—	—	—	—	—	—
45	—	—	—	—	—	—	—	—	—	—	—	—
46	—	—	1	—	—	—	—	—	—	—	—	—
47	—	—	—	—	—	—	—	—	—	—	—	—
48	—	1	—	—	—	—	—	—	—	—	—	—
49	—	1	—	—	—	—	—	—	—	—	—	—
50	—	—	1	—	—	—	—	—	—	—	—	—
51	—	—	1	—	—	—	—	—	—	—	—	—
otal	31	28	31	30	31	30	31	30	29	31	30	31

15.00 h HEC — 400 mb

C° Mois	I	II	III	IV	V	VI	VII	VIII	IX	X	XI	XII
–19	—	—	—	—	—	—	—	—	1	—	—	—
–20	—	—	—	—	—	—	2	—	—	—	—	—
–21	—	—	—	—	—	—	—	—	—	—	—	—
–22	—	—	—	—	—	2	—	2	1	—	—	—
–23	—	—	—	—	—	2	6	5	3	1	—	—
–24	—	—	—	—	—	2	8	1	4	—	—	—
–25	—	—	—	—	1	6	4	6	9	4	—	—
–26	—	—	—	—	2	3	2	3	2	—	—	1
–27	1	—	—	—	1	5	3	6	2	1	—	2
–28	—	—	—	1	2	1	—	2	1	—	3	—
–29	—	—	1	1	5	2	3	2	1	3	2	1
–30	2	2	1	1	4	1	1	—	—	4	5	4
–31	2	—	1	4	4	2	—	2	1	6	3	3
–32	3	—	1	2	3	2	2	2	1	4	3	3
–33	3	—	1	3	2	1	—	—	1	4	3	1
–34	1	2	—	4	2	—	—	—	—	1	1	4
–35	6	3	1	1	1	1	—	—	—	2	2	1
–36	5	1	4	3	2	—	—	—	2	1	—	—
–37	3	1	3	3	—	—	—	—	—	—	2	2
–38	2	3	4	4	—	—	—	—	—	—	2	—
–39	2	3	2	2	1	—	—	—	—	—	1	5
–40	1	2	5	—	1	—	—	—	—	—	—	2
–41	—	4	1	—	—	—	—	—	—	—	—	1
–42	—	1	2	—	—	—	—	—	—	—	—	—
–43	—	2	—	—	—	—	—	—	1	—	—	—
–44	—	2	—	—	—	—	—	—	—	—	—	1
–45	—	1	—	1	—	—	—	—	—	—	—	—
–46	—	—	1	—	—	—	—	—	—	—	—	—
–47	—	—	1	—	—	—	—	—	—	—	—	—
–48	—	—	1	—	—	—	—	—	—	—	—	—
–49	—	—	1	—	—	—	—	—	—	—	—	—
–50	—	—	—	—	—	—	—	—	—	—	—	—
–51	—	1	—	—	—	—	—	—	—	—	—	—
Total	31	28	31	30	31	30	31	31	30	31	30	31

Fréquence des températures

03.00 h HEC — 300 mb

C° Mois	I	II	III	IV	V	VI	VII	VIII	IX	X	XI	XII
—35	—	—	—	—	—	—	—	1	—	—	—	—
—36	—	—	—	—	—	—	—	—	2	—	—	—
—37	—	—	—	—	—	2	2	—	—	—	—	—
—38	—	—	—	—	—	1	3	1	—	1	—	—
—39	—	—	—	—	—	1	1	4	5	2	—	—
—40	—	—	—	—	—	3	6	5	3	—	1	1
—41	—	—	—	—	1	3	2	5	3	1	—	—
—42	1	—	1	—	3	4	6	4	5	4	—	2
—43	—	—	—	—	3	4	4	1	1	3	1	2
—44	2	1	2	1	3	2	2	3	2	2	1	3
—45	1	1	1	3	5	3	2	—	3	2	1	2
—46	2	—	1	—	4	3	2	4	3	2	2	3
—47	1	—	—	3	5	1	1	—	1	4	5	2
—48	4	3	—	2	6	2	—	2	—	3	3	1
—49	4	1	3	5	—	—	—	—	1	—	6	3
—50	2	2	6	3	—	—	—	—	—	2	2	3
—51	3	4	4	4	—	1	—	—	—	4	4	2
—52	3	2	3	3	1	—	—	—	—	—	2	1
—53	4	5	2	3	—	—	—	—	—	—	1	1
—54	1	1	2	2	—	—	—	—	—	—	—	1
—55	1	3	3	—	—	—	—	—	—	—	1	2
—56	—	2	1	—	—	—	—	—	—	—	—	—
—57	2	1	1	—	—	—	—	—	—	—	—	—
—58	—	2	1	—	—	—	—	—	—	—	—	2
Total	31	28	31	29	31	30	31	30	29	30	30	31

15.00 h HEC — 300 mb

C° Mois	I	II	III	IV	V	VI	VII	VIII	IX	X	XI	XII
—34	—	—	—	—	—	—	1	—	—	—	—	—
—35	—	—	—	—	—	—	—	1	—	—	—	—
—36	—	—	—	—	—	—	1	—	2	—	—	—
—37	—	—	—	—	—	—	1	—	—	—	—	—
—38	—	—	—	—	—	1	1	1	—	1	—	—
—39	—	—	—	—	1	3	5	4	5	2	—	—
—40	—	—	—	—	3	4	6	5	3	—	1	—
—41	—	—	—	—	1	4	7	5	3	1	—	1
—42	—	—	—	—	1	4	2	4	5	4	—	—
—43	—	—	1	1	2	3	2	1	1	3	1	1
—44	—	—	1	—	1	4	1	3	2	2	1	4
—45	2	—	2	1	5	3	2	—	3	2	1	1
—46	3	1	—	4	4	1	1	4	3	2	2	4
—47	3	1	2	4	6	1	—	—	1	4	5	4
—48	1	1	2	1	3	1	—	2	—	3	3	4
—49	2	4	3	6	1	—	—	—	1	—	6	1
—50	5	1	2	2	—	1	—	—	—	2	2	3
—51	6	3	4	3	1	—	1	—	—	4	4	1
—52	2	4	6	2	1	—	—	—	—	—	2	1
—53	3	3	4	1	1	—	—	—	—	—	1	1
—54	2	3	3	1	—	—	—	—	—	—	—	2
—55	1	2	—	4	—	—	—	—	—	—	1	1
—56	1	3	—	—	—	—	—	—	—	—	—	—
—57	—	—	—	—	—	—	—	—	—	—	—	1
—58	—	1	1	—	—	—	—	—	—	—	—	1
—59	—	—	—	—	—	—	—	—	—	—	—	—
—60	—	—	—	—	—	—	—	—	—	—	—	—
—61	—	1	—	—	—	—	—	—	—	—	—	—
Total	31	28	31	30	31	30	31	30	29	30	30	31

03.00 h HEC — 200 mb

C° Mois	I	II	III	IV	V	VI	VII	VIII	IX	X	XI	XII
—42	—	—	—	—	—	—	—	—	1	—	—	—
—43	—	—	—	—	—	—	1	—	—	—	—	—
—44	—	—	—	—	—	—	—	1	—	—	—	—
—45	1	—	—	—	1	—	—	—	1	1	—	—
—46	—	1	1	—	1	1	2	3	—	1	—	—
—47	—	1	—	—	—	1	1	—	—	—	—	—
—48	1	—	—	—	—	—	—	2	3	—	—	2
—49	—	—	1	1	—	1	1	1	—	1	—	—
—50	1	2	—	—	—	—	3	3	—	—	—	2
—51	—	1	2	1	3	1	2	—	1	—	—	—
—52	—	6	3	—	4	4	2	1	2	—	—	1
—53	1	2	2	1	2	1	2	3	—	—	1	1
—54	1	2	1	1	1	—	3	2	1	1	1	2
—55	2	3	—	2	2	1	3	4	2	6	1	—
—56	—	2	4	1	2	2	4	3	4	2	1	1
—57	2	—	1	—	—	1	3	1	—	2	3	2
—58	4	2	—	3	1	4	1	2	3	5	2	1
—59	6	—	2	2	4	3	3	—	2	1	1	2
—60	2	1	—	1	1	3	—	2	2	3	1	2
—61	—	2	2	—	4	1	—	1	2	2	2	2
—62	—	—	2	3	—	3	—	—	1	3	3	3
—63	1	1	1	5	1	—	—	—	2	1	4	3
—64	2	—	2	2	—	2	—	—	1	1	1	1
—65	3	—	1	1	1	—	—	—	—	—	—	2
—66	1	—	—	2	2	—	—	—	—	—	1	1
—67	1	—	3	—	—	—	—	—	—	—	2	1
—68	—	—	1	—	—	—	—	—	—	—	1	—
—69	—	—	—	—	—	—	—	—	—	—	2	—
—70	2	—	—	—	—	—	—	—	—	—	—	—
—71	—	—	1	—	—	—	—	—	—	—	1	1
Total	31	26	30	26	31	29	31	29	28	30	28	30

15.00 h HEC — 200 mb

C° Mois	I	II	III	IV	V	VI	VII	VIII	IX	X	XI	XII
—43	—	—	—	—	—	—	—	—	1	1	—	—
—44	—	—	—	—	—	—	1	—	—	—	—	—
—45	—	1	—	—	—	—	1	—	—	—	—	—
—46	—	1	1	—	—	1	1	1	1	—	—	1
—47	1	1	—	—	—	1	2	2	1	—	—	—
—48	—	—	1	—	—	1	1	1	—	—	1	—
—49	1	1	—	1	1	—	2	3	1	1	—	1
—50	—	—	1	1	2	1	—	2	—	1	—	—
—51	1	—	1	—	—	3	1	1	1	1	—	—
—52	1	3	2	—	4	2	2	3	—	1	1	—
—53	—	5	2	1	—	2	2	3	2	1	—	3
—54	2	2	5	2	3	—	1	2	2	1	—	—
—55	—	4	1	—	—	—	4	5	2	3	1	—
—56	—	2	1	2	4	—	3	1	3	1	4	1
—57	2	—	—	—	1	2	4	1	5	2	2	1
—58	—	2	1	3	1	—	—	—	2	1	2	3
—59	5	3	1	3	1	7	—	3	3	2	4	3
—60	2	1	1	4	3	3	2	1	4	1	1	—
—61	4	—	—	3	2	2	—	—	—	1	3	3
—62	4	1	3	1	2	1	1	—	—	5	1	1
—63	—	1	1	2	1	2	1	—	—	4	3	5
—64	5	—	1	1	1	—	—	—	—	4	1	—
—65	2	—	2	4	1	1	—	—	—	—	—	4
—66	1	—	3	—	—	—	—	—	—	—	3	—
—67	—	—	1	1	1	—	—	—	—	—	1	1
—68	—	—	—	1	—	—	—	—	—	—	2	2
—69	—	—	—	—	—	—	—	—	—	—	—	—
—70	—	—	—	—	—	—	—	—	—	—	—	—
—71	—	—	—	—	—	—	—	—	—	—	—	—
—72	—	—	—	—	—	—	—	—	—	—	—	1
Total	31	28	29	30	28	29	29	29	28	31	30	30

Humidité relative en %

850 mb

ois		100		95—99		90—94		80—89		70—79		50—69		30—49		< 30		Nombre de mesures	
		03	15	03	15	03	15	03	15	03	15	03	15	03	15	03	15	03	15
I		6	3	4	2	2	4	4	4	3	1	9	8	2	4	1	5	31	31
II		9	7	3	1	3	4	7	5	1	5	4	3	—	3	1	—	28	28
III		7	5	4	1	5	2	4	6	5	1	4	9	2	5	—	2	31	31
IV		5	1	2	2	3	2	5	1	8	3	7	12	—	9	—	—	30	30
V		6	3	3	1	1	1	6	3	7	9	6	7	2	4	—	3	31	31
VI		7	5	3	—	2	1	4	3	7	3	5	13	2	4	—	1	30	30
VII		6	1	2	1	8	1	6	4	5	13	3	8	1	2	—	1	31	31
VIII		2	1	—	2	3	1	10	4	11	10	4	11	—	1	—	1	30	31
IX		6	2	4	1	3	3	5	4	5	6	5	7	—	6	1	1	29	30
X		5	2	3	1	1	4	5	4	8	2	5	12	2	5	2	1	31	31
XI		7	3	5	2	—	1	2	5	6	7	5	5	5	6	—	1	30	30
XII		11	2	7	2	1	7	4	9	2	3	1	2	1	1	4	5	31	31
otal	03	77		40		32		62		68		58		17		9		363	
	15		35		16		31		52		63		97		50		21		365

700 mb

ois		100		95—99		90—94		80—89		70—79		50—69		30—49		< 30		Nombre de mesures	
		03	15	03	15	03	15	03	15	03	15	03	15	03	15	03	15	03	15
I		10	7	—	1	1	2	2	—	4	2	5	6	5	4	4	9	31	31
II		9	7	—	2	3	5	5	2	3	2	3	7	3	2	2	1	28	28
III		6	5	2	1	3	3	4	1	2	2	5	8	3	7	6	4	31	31
IV		5	3	2	4	1	1	2	—	1	1	6	8	5	6	8	7	30	30
V		10	8	2	1	2	3	4	3	3	4	2	1	3	2	5	9	31	31
VI		10	6	2	5	2	—	5	4	2	2	2	9	3	2	4	2	30	30
VII		9	3	4	4	2	1	5	7	3	4	3	7	2	4	3	1	31	31
VIII		6	1	—	3	3	1	2	6	4	3	7	11	2	3	6	3	30	31
IX		6	3	1	3	1	—	5	2	—	4	5	4	7	7	4	7	29	30
X		6	5	—	—	4	—	2	2	2	2	5	7	4	7	8	8	31	31
XI		4	5	1	—	2	—	2	3	3	—	3	7	8	8	7	7	30	30
XII		11	7	3	1	2	3	1	6	3	2	2	3	4	6	5	3	31	31
otal	03	92		17		26		39		30		48		49		62		363	
	15		60		25		19		36		28		78		58		61		365

500 mb

ois		100		95—99		90—94		80—89		70—79		50—69		30—49		< 30		Nombre de mesures	
		03	15	03	15	03	15	03	15	03	15	03	15	03	15	03	15	03	15
I		6	4	1	1	3	2	5	2	2	3	4	6	3	5	7	8	31	31
II		5	3	2	—	4	2	8	3	1	5	3	7	2	3	3	5	28	28
III		3	4	1	1	3	1	4	4	4	—	4	6	6	8	6	7	31	31
IV		2	1	1	3	1	—	3	—	1	5	5	6	7	7	10	8	30	30
V		2	2	1	2	1	2	6	1	3	1	4	3	6	8	8	12	31	31
VI		3	1	2	1	1	3	2	2	4	3	3	10	6	5	9	5	30	30
VII		1	1	2	—	4	3	1	2	2	4	7	3	7	11	7	7	31	31
VIII		2	1	1	—	2	1	1	2	3	3	7	6	5	10	9	8	30	31
IX		2	1	—	—	4	3	2	2	2	2	3	4	6	9	10	9	29	30
X		1	—	—	—	1	1	—	3	1	1	4	6	9	7	15	13	31	31
XI		1	2	2	1	1	—	—	2	1	—	4	6	8	9	13	10	30	30
XII		5	2	2	5	2	1	5	2	3	3	3	5	4	6	6	7	31	31
otal	03	33		15		27		37		27		51		69		103		363	
	15		22		14		19		25		30		68		88		99		365

400 mb

ois		100		95—99		90—94		80—89		70—79		50—69		30—49		< 30		Nombre de mesures	
		03	15	03	15	03	15	03	15	03	15	03	15	03	15	03	15	03	15
I		3	2	2	3	3	1	4	2	5	5	4	5	2	6	8	7	31	31
II		2	3	1	—	5	3	8	3	2	2	1	4	2	7	4	6	25	28
III		3	2	—	—	—	3	5	2	5	1	6	7	5	12	7	4	31	31
IV		2	1	1	—	—	2	4	2	3	2	6	7	6	6	8	10	30	30
V		—	2	1	—	—	1	5	6	4	—	2	4	12	9	7	9	31	31
VI		1	—	3	2	1	2	3	2	2	2	7	8	4	8	9	6	30	30
VII		—	—	1	—	2	1	3	2	2	2	5	7	12	7	6	11	31	31
VIII		2	1	—	1	1	1	4	2	1	4	8	6	3	7	11	8	30	31
IX		—	—	1	1	—	—	3	1	5	4	4	4	5	10	11	10	29	30
X		—	—	—	—	—	—	2	2	3	3	4	4	9	9	13	13	31	31
XI		1	1	1	1	1	—	1	4	1	1	6	4	8	9	11	10	30	30
XII		2	—	2	2	3	3	3	4	7	3	5	3	3	13	6	3	31	31
otal	03	16		13		16		45		40		58		71		101		360	
	15		12		10		17		32		29		63		103		97		365

Fréquence

Vitesse du vent en nœuds

850 mb

Direction des vents	0		1–5		6–10		11–20		21–30		31–40		41–50		51–70		71–90		91–110		>110		Total		%	
	03	15	03	15	03	15	03	15	03	15	03	15	03	15	03	15	03	15	03	15	03	15	03	15	03	15
N	—	—	1	6	1	7	1	4	—	1	—	—	—	—	—	—	—	—	—	—	—	—	3	18	0.8	4.9
30	—	—	10	9	7	5	5	7	1	2	—	—	—	—	—	—	—	—	—	—	—	—	23	23	6.4	6.3
60	—	—	11	4	16	14	25	25	15	8	2	6	—	1	—	—	—	—	—	—	—	—	69	58	19.3	15.9
E	—	—	3	1	4	1	3	1	—	—	—	—	—	—	—	—	—	—	—	—	—	—	10	3	2.8	0.8
120	—	—	1	3	—	2	2	—	—	—	—	—	—	—	—	—	—	—	—	—	—	—	3	5	0.8	1.4
150	—	—	1	2	1	1	—	—	—	—	—	—	—	—	—	—	—	—	—	—	—	—	2	3	0.6	0.8
S	—	—	7	—	3	—	—	1	—	—	—	—	—	—	—	—	—	—	—	—	—	—	10	1	2.8	0.3
210	—	—	8	5	5	7	7	10	10	5	2	5	2	2	—	—	—	—	—	—	—	—	34	34	9.5	9.3
240	—	—	15	6	17	17	37	38	20	28	12	14	4	4	1	3	—	—	—	—	—	—	106	110	29.6	30.1
W	—	—	13	11	12	14	15	13	7	2	4	1	1	1	—	1	—	—	—	—	—	—	52	43	14.5	11.8
300	—	—	2	8	4	13	1	3	—	—	—	—	—	—	—	—	—	—	—	—	—	—	7	24	2.0	6.6
330	—	—	5	13	4	5	—	2	—	—	—	—	—	—	—	—	—	—	—	—	—	—	9	20	2.5	5.5
Calmes	30	23	—	—	—	—	—	—	—	—	—	—	—	—	—	—	—	—	—	—	—	—	30	23	8.4	6.3
Total 03	30		77		74		96		53		20		7		1		—		—		—		358			
Total 15		23		68		86		104		46		26		8		4		—		—		—		365		
% 03	8.4		21.5		20.6		26.8		14.8		5.6		2.0		0.3										100	
% 15		6.3		18.6		23.6		28.5		12.6		7.1		2.2		1.1										100

Vitesse du vent en nœuds

700 mb

Direction des vents	0		1–5		6–10		11–20		21–30		31–40		41–50		51–70		71–90		91–110		>110		Total		%	
	03	15	03	15	03	15	03	15	03	15	03	15	03	15	03	15	03	15	03	15	03	15	03	15	03	15
N	—	—	5	1	5	4	9	13	1	—	1	—	1	—	—	—	—	—	—	—	—	—	22	18	6.1	4.9
30	—	—	3	6	4	5	10	9	10	7	—	1	—	—	—	—	—	—	—	—	—	—	27	28	7.5	7.7
60	—	—	1	4	5	4	11	11	7	6	4	1	1	—	—	1	—	—	—	—	—	—	29	27	8.1	7.4
E	—	—	3	2	3	4	3	3	3	2	—	—	—	1	—	—	—	—	—	—	—	—	12	12	3.3	3.3
120	—	—	1	2	1	1	1	—	1	—	1	—	—	—	—	—	—	—	—	—	—	—	5	3	1.4	0.8
150	—	—	2	2	—	2	2	1	—	—	—	—	—	—	—	—	—	—	—	—	—	—	4	5	1.1	1.4
S	—	—	1	2	3	4	4	5	1	2	1	1	—	—	—	—	—	—	—	—	—	—	10	14	2.8	3.8
210	—	—	1	3	5	6	11	19	10	12	5	6	1	3	1	1	—	—	—	—	—	—	34	50	9.5	13.7
240	—	—	3	2	8	7	23	25	22	23	13	17	8	6	2	4	—	—	—	—	—	—	79	84	22.0	23.0
W	—	—	5	8	8	9	23	16	18	14	12	8	8	7	3	2	—	2	1	—	—	—	78	66	21.7	18.2
300	—	—	4	3	6	8	8	8	2	6	—	—	5	—	4	—	—	—	—	—	—	—	29	25	8.1	6.8
330	—	—	5	4	6	6	7	11	5	3	2	2	—	1	1	—	—	—	—	—	—	—	26	27	7.3	7.4
Calmes	4	6	—	—	—	—	—	—	—	—	—	—	—	—	—	—	—	—	—	—	—	—	4	6	1.1	1.6
Total 03	4		34		54		112		80		39		24		11		—		1		—		359			
Total 15		6		39		60		121		75		36		18		8		2		—		—		365		
% 03	1.1		9.5		15.0		31.2		22.3		10.8		6.7		3.1		—		0.3		—				100	
% 15		1.6		10.7		16.4		33.2		20.6		9.9		4.9		2.2		0.5		—		—				100

Vitesse du vent en nœuds

500 mb

Direction des vents	0		1–5		6–10		11–20		21–30		31–40		41–50		51–70		71–90		91–110		>110		Total		%	
	03	15	03	15	03	15	03	15	03	15	03	15	03	15	03	15	03	15	03	15	03	15	03	15	03	15
N	—	—	—	—	2	4	5	10	9	5	6	4	5	3	2	2	1	—	—	—	—	—	30	28	8.4	7.7
30	—	—	—	2	2	1	4	5	9	7	3	1	—	1	1	2	1	2	—	—	—	—	20	21	5.6	5.8
60	—	—	—	3	—	1	7	5	5	4	4	3	—	1	1	1	—	—	—	—	—	—	17	18	4.7	5.0
E	—	—	—	3	2	—	3	3	3	1	—	2	1	1	—	—	—	—	—	—	—	—	9	10	2.5	2.8
120	—	—	1	1	1	2	—	2	3	—	1	—	—	—	—	—	—	—	—	—	—	—	6	5	1.7	1.4
150	—	—	1	1	2	—	—	2	1	—	—	—	—	—	—	—	—	—	—	—	—	—	4	3	1.1	0.8
S	—	—	—	2	2	1	4	7	2	2	1	—	—	—	—	1	—	—	—	—	—	—	9	13	2.5	3.6
210	—	—	—	2	3	2	5	12	11	12	2	3	3	4	1	1	—	—	—	—	—	—	25	36	7.0	9.9
240	—	—	5	3	8	7	20	18	17	17	14	12	5	6	4	3	—	3	—	—	—	—	73	69	20.3	19.1
W	—	—	4	2	—	5	18	14	20	13	12	8	6	11	11	11	2	6	1	—	—	—	74	70	20.6	19.3
300	—	—	2	3	4	4	16	9	8	14	8	4	9	4	8	5	2	3	1	—	—	1	58	47	16.2	13.0
330	—	—	—	3	6	4	7	15	6	5	5	8	3	2	3	2	1	2	—	—	—	—	31	41	8.6	11.3
Calmes	3	1	—	—	—	—	—	—	—	—	—	—	—	—	—	—	—	—	—	—	—	—	3	1	0.8	0.3
Total 03	3		13		32		89		94		56		32		31		7		2		—		359			
Total 15		1		25		31		102		80		45		33		28		16		—		1		362		
% 03	0.8		3.6		8.9		24.8		26.2		15.7		8.9		8.6		1.9		0.6		—				100	
% 15		0.3		6.9		8.6		28.2		22.1		12.4		9.1		7.7		4.4		—		0.3				100

les vents

Vitesse du vent en nœuds

400 mb

irection / es vents	0		1–5		6–10		11–20		21–30		31–40		41–50		51–70		71–90		91–110		>110		Total		%	
	03	15	03	15	03	15	03	15	03	15	03	15	03	15	03	15	03	15	03	15	03	15	03	15	03	15
	—	—	2	—	3	1	6	3	9	7	7	5	4	6	6	3	4	2	2	1	—	—	43	28	11.9	7.7
				1	—	2	3	3	2	6	2	5	2	1	2	4	2	2	—	—	—	—	13	24	3.6	6.6
	—	—	2	1	1	—	4	3	3	5	6	1	1	3	3	2	1	—	—	1	—	—	21	16	5.8	4.4
	—	—	—	—	2	3	3	3	2	2	2	1	1	1	—	1	—	—	—	—	—	—	10	11	2.8	3.0
0	—	—	1	1	—	1	1	1	1	2	1	1	—	—	—	—	—	—	—	—	—	—	4	6	1.1	1.7
0	—	—	—	1	1	—	3	3	—	1	1	—	2	—	—	—	—	—	—	—	—	—	7	5	1.9	1.4
			1	—	—	—	5	5	3	2	1	3	1	1	—	2	—	—	—	—	—	—	11	13	3.1	3.6
0	—	—	1	1	1	2	5	7	6	7	4	5	3	—	1	2	1	1	—	—	—	—	22	25	6.2	6.9
0	—	—	1	—	2	1	11	13	12	13	8	7	7	8	4	7	4	2	—	1	1	—	50	52	13.9	14.3
	—	—	—	—	3	2	16	11	19	9	11	19	7	14	11	14	6	6	2	3	—	—	75	78	20.8	21.5
0	—	—	1	2	2	1	9	10	14	12	14	8	9	6	8	6	9	7	2	2	2	2	70	56	19.4	15.4
0	—	—	—	—	1	2	6	11	8	14	11	7	2	3	4	5	2	7	—	—	—	—	34	49	9.5	13.5
almes	—	—	—	—	·		—		-		—				—	—	—				—	-	—	-	—	—
otal 03	—		9		16		72		79		68		39		39		29		6		3		360			
otal 15		—		7		15		73		80		62		43		46		27		8		2		363		
% 03	—		2.6		4.4		20.0		21.9		18.9		10.8		10.8		8.1		1.7		0.8				100	
% 15		—		1.9		4.1		20.1		22.1		17.1		11.8		12.7		7.4		2.2		0.6				100

Vitesse du vent en nœuds

300 mb

irection / es vents	0		1–5		6–10		11–20		21–30		31–40		41–50		51–70		71–90		91–110		>110		Total		%	
	03	15	03	15	03	15	03	15	03	15	03	15	03	15	03	15	03	15	03	15	03	15	03	15	03	15
			—		1	—	3	4	4	5	6	5	4	4	7	7	8	4	2	1	3	1	38	31	10.7	8.6
	—	—	1	3	—	—	3	4	5	3	2	6	5	5	2	3	—	4	—	—	—	1	18	29	5.1	7.9
	—	—	—	—	—	4	3	5	3	2	5	3	2	3	4	3	4	—	1	—	—	1	22	21	6.2	5.9
	-		1	—	1	—	—	2	2	—	3	3	1	2	—	—	—	—	—	—	—	—	8	7	2.2	1.9
0		-	—	—	—	3	—	3	4	—	—	—	—	1	—	—	—	—	—	—	—	—	4	7	1.1	1.9
0	—	—	1	—	1	—	1	1	—	3	—	—	—	—	1	1	—	—	—	—	—	—	4	5	1.1	1.4
							3	3	3	4	1	—	—	1	—	3	1	1	—	—	—	—	8	12	2.3	3.4
0	—	—	1	—	2	—	3	7	8	8	5	2	3	4	3	3	1	2	—	1	—	—	26	27	7.3	7.4
0	—	—	—	—	2	1	11	6	10	8	11	15	9	8	6	7	2	2	—	4	—	—	51	51	14.4	14.0
	—	—	—	1	—	1	9	6	8	6	12	13	14	17	14	17	8	10	2	3	—	1	67	75	18.9	20.6
0	—	—	1	—	1	—	11	5	12	7	14	12	14	6	14	15	6	12	6	2	—	2	79	61	22.2	16.8
0	—	—	—	—	—	1	8	5	9	8	7	5	2	4	3	4	—	5	—	3	1	2	30	37	8.5	10.2
almes	—	2	—	—	—	—	—	—	—	—	—	—	—	—	—	—	—	—	—	—	—	—	—	2	—	0.5
otal 03	—		5		8		55		68		66		54		54		30		11		4		355			
otal 15		2		4		10		51		54		64		55		63		40		14		8		365		
% 03	—		1.4		2.3		15.5		19.2		18.5		15.2		15.2		8.5		3.1		1.1				100	
% 15		0.5		1.1		2.7		14.0		14.8		17.5		15.1		17.3		11.0		3.8		2.2				100

Vitesse du vent en nœuds

200 mb

irection / es vents	0		1–5		6–10		11–20		21–30		31–40		41–50		51–70		71–90		91–110		>110		Total		%	
	03	15	03	15	03	15	03	15	03	15	03	15	03	15	03	15	03	15	03	15	03	15	03	15	03	15
	—	—	—	—	1	—	3	2	4	6	10	7	7	5	6	6	3	2	1	1	2	—	37	29	11.0	8.6
	—	—	1	—	2	1	2	3	3	2	6	3	—	4	2	2	1	3	—	—	—	—	17	18	5.0	5.4
	—	—	—	—	—	—	1	4	2	2	4	3	5	3	2	—	2	—	—	—	—	—	16	12	4.7	3.5
		—	—	—	—	1	3	2	1	1	—	1	—	3	—	—	—	—	—	—	—	—	4	8	1.2	2.3
0	—	—	1	—	—	1	—	1	—	—	1	2	—	—	—	—	—	—	—	—	—	—	2	4	0.6	1.2
0	—	—	1	—	1	—	—	3	1	2	—	—	—	—	—	—	—	—	—	—	—	—	3	5	0.9	1.5
	—	—	1	1	1	—	1	2	1	2	—	—	—	—	—	—	—	—	—	—	—	—	4	5	1.2	1.5
0	—	—	—	—	1	1	6	3	5	8	5	5	1	3	4	2	—	1	—	—	—	—	22	23	6.6	6.8
0	—	—	—	—	—	1	8	7	7	12	12	9	5	8	7	10	4	3	—	1	—	1	43	52	12.8	15.3
	—	—	1	2	1	3	6	7	20	9	13	18	11	17	18	18	8	3	3	4	3	1	84	82	24.9	24.1
0	—	—	—	2	1	3	7	3	14	11	14	12	13	4	15	12	6	7	3	4	1	4	74	62	21.9	18.3
0	—	—	3	—	—	—	1	7	5	7	8	6	5	6	7	8	1	3	1	2	—	—	31	39	9.2	11.5
almes		2					—	—	—	—	—	—	—	—	—									2	-	0.6
otal 03	—		8		8		38		63		73		47		61		25		8		6		337			
otal 15		2		5		11		44		62		66		53		58		22		12		6		341		
% 03	—		2.4		2.4		11.3		18.7		21.6		13.9		18.1		7.4		2.4		1.8				100	
% 15		0.6		1.5		3.2		12.9		18.2		19.4		15.5		17.0		6.4		3.5		1.8				100

Les anomalies du réseau aérologique européen

par

Jean Lugeon et Paul Ackermann (Zurich, Payerne)

A) Introduction

Les anomalies constatées dans le réseau aérologique, rovenant en grande partie de l'emploi de divers mo-èles de radiosondes, ont incité l'Organisation Météoro-ogique Mondiale à étudier d'urgence ce problème. En 950 furent comparés à Payerne (Suisse) 6 modèles de adiosondes différentes [1, 2, 3, 4, 6, 7], et 14 en 1956 5].

Une étude statistique (Rés. 7 CAé-I), s'étendant sur ouze mois consécutifs (octobre-mars et avril-septembre) n 1953 et 1954, fit l'objet d'une Note Technique de OMM [8, 9]. Celle-ci contient le calcul des valeurs noyennes mensuelles de l'épaisseur H_r des couches 50—500 mb et 500—300 mb observées dans les stations uropéennes à 03.00 h et à 15.00 h TMG, qui ont été por-ées sur des cartes. Sur un autre jeu de cartes figure la aleur moyenne mensuelle σ^2 de la variance pour 12 eures et 24 heures des mêmes stations.

Le présent mémoire est un bref commentaire intéres-ant la Note Technique qui, en raison des principes ad-is, ne pouvait guère contenir que des valeurs numé-iques.

Nous pensons qu'il est bon de rappeler sommaire-ent ici les principales erreurs instrumentales qui af-ectent les valeurs aérologiques moyennes que nous avons tilisées. Disons toutefois qu'il y aurait encore beaucoup 'autres erreurs secondaires à énumérer, notamment elles provoquées par les manipulations au lâcher, la néthode d'étalonnage, la précision des graphiques de épouillement, les vibrations dues au transport des ap-areils étalonnés d'avance, la durée de la période de epos entre le «massage» des éléments et l'ascension, etc.

B) Sources principales d'erreurs de mesure

La qualité d'un réseau aérologique peut être définie ar l'exactitude des altitudes calculées pour les niveaux tandards. Ce calcul est surtout affecté par la précision es mesures de température et de pression, décrite dans otre bréviaire [10] et signalée par plusieurs autres au-eurs.

1. Erreurs de température

a) *Sondages de nuit*

Pendant les sondages de nuit, le réchauffement de la adiosonde par le soleil n'existe pas; l'erreur est alors ue principalement à l'effet du traînage thermique [11, 2, 13, 14, 15, 16, 17, 18].

Le gradient vertical moyen de température dans la roposphère est de 6° C/km. Une radiosonde qui monte énéralement à la vitesse ascensionnelle de 300 m/min. evrait ainsi se refroidir à raison d'environ 1,8° C/min. e thermomètre de la radiosonde possède une certaine inertie qui est généralement négligeable jusqu'à un niveau de 200 mb. Mais la grande masse calorifique des autres organes de l'appareil, concentrée dans un boîtier, les bielles de transmission, etc., accusent une inertie thermique beaucoup plus grande, de sorte que l'ensemble se refroidit plus lentement. La température de cet ensemble peut rester quelques dizaines de degrés au-dessus de celle de l'air ambiant pendant l'ascension.

Si la construction de la radiosonde n'est pas bien étudiée, ce grand réservoir de chaleur écoule ses calories vers la partie sensible du thermomètre, qui indique conséquemment une température trop élevée. Il en est d'ailleurs de même du parasoleil entourant le thermomètre, dont le refroidissement est plus lent et qui, si la ventilation est insuffisante, communique sa chaleur au thermomètre par convection ou rayonnement, faussant la mesure. Dans de telles conditions, la radiosonde indique des altitudes trop élevées.

Nous pensons que, dans beaucoup de cas, c'est le traînage thermique qui est à l'origine de l'hétérogénéité du réseau aérologique.

Rappelons qu'une erreur constante de température de 1° C fausse l'épaisseur de la couche comprise entre 850 et 500 mb de 16 mètres, celle de 500 à 300 mb de 15 mètres et donne finalement une erreur de 31 mètres pour la couche entre 850 et 300 mb [10].

b) *Sondages de jour*

De jour, le rayonnement solaire s'ajoute à l'effet du traînage thermique pur. Ce rayonnement chauffe le parasoleil, les divers organes de la radiosonde et augmente ainsi la chaleur parasitaire, atteignant par conduction et convection le thermomètre. Ces actions diurnes font que les écarts de température et d'altitude sont plus importants de jour que de nuit.

A cela s'ajoute le fait que la ventilation diminue avec l'altitude en proportion inverse de la racine carrée de la densité de l'air. Comme l'intensité du rayonnement augmente avec l'altitude, en revanche, l'erreur de mesure grossit au fur et à mesure que le ballon s'élève.

2. Erreurs de pression

Les capsules barométriques utilisées sur les radiosondes sont soumises à un effet thermique. A pression constante, mais à des températures variables, elle n'indiquent pas exactement les mêmes valeurs. Pendant l'ascension, cet effet est encore amplifié par certaines dilatations thermiques complexes du châssis portant la capsule. Dans la plupart des radiosondes, les compensations thermomécaniques utilisées pour supprimer ces effets sont insuffisantes.

On peut réduire partiellement ces inconvénients en étalonnant en atmosphère standard ventilée, selon la

méthode que l'on avait imaginée lors de la création du Poste de Payerne en 1940 [11].

Un autre procédé consiste à étalonner en paliers à température constante, en appliquant un facteur de correction pendant l'ascension, mais cela n'est pas sans danger. Nous avons constaté que certaines capsules se comportent normalement à température constante et pression variable, puis irrégulièrement en atmosphère standard.

Parmi les autres phénomènes faussant la précision des mesures, nous pensons que le facteur constitué par la période séparant l'étalonnage de l'ascension est un des plus importants. Certains de nos contrôles journaliers de différentes capsules suisses et étrangères pendant une longue période nous ont surpris. Il y eut parfois des écarts de 10 mb par rapport au baromètre de précision, après quelques jours de repos.

Rappelons qu'une erreur constante de 10 mb fausse l'épaisseur de la couche de 850 à 500 mb de 12 mètres et celle de la couche comprise entre 500 et 300 mb de 18 mètres, soit une erreur totale de 30 mètres. Cette erreur peut augmenter ou compenser l'erreur due à la température. Les comparaisons de radiosondes de Payerne en 1950 ont démontré des cas typiques de ce genre [4].

C) Analyse sommaire des cartes d'épaisseur

La liste des stations et leurs coordonnées géographiques figure dans la Note Technique publiée par les auteurs à l'OMM. On les retrouve dans la *figure 1*. Les symboles suivants désignent les divers types de radiosondes. Il sont pointés sur toutes les cartes.

Provenance:	Symbole:
Allemagne orientale	○
Allemagne occidentale	□
USA	×
Angleterre	△
Finlande	●
Canada	⊏
France	▲
URSS	⊔
Suisse	+

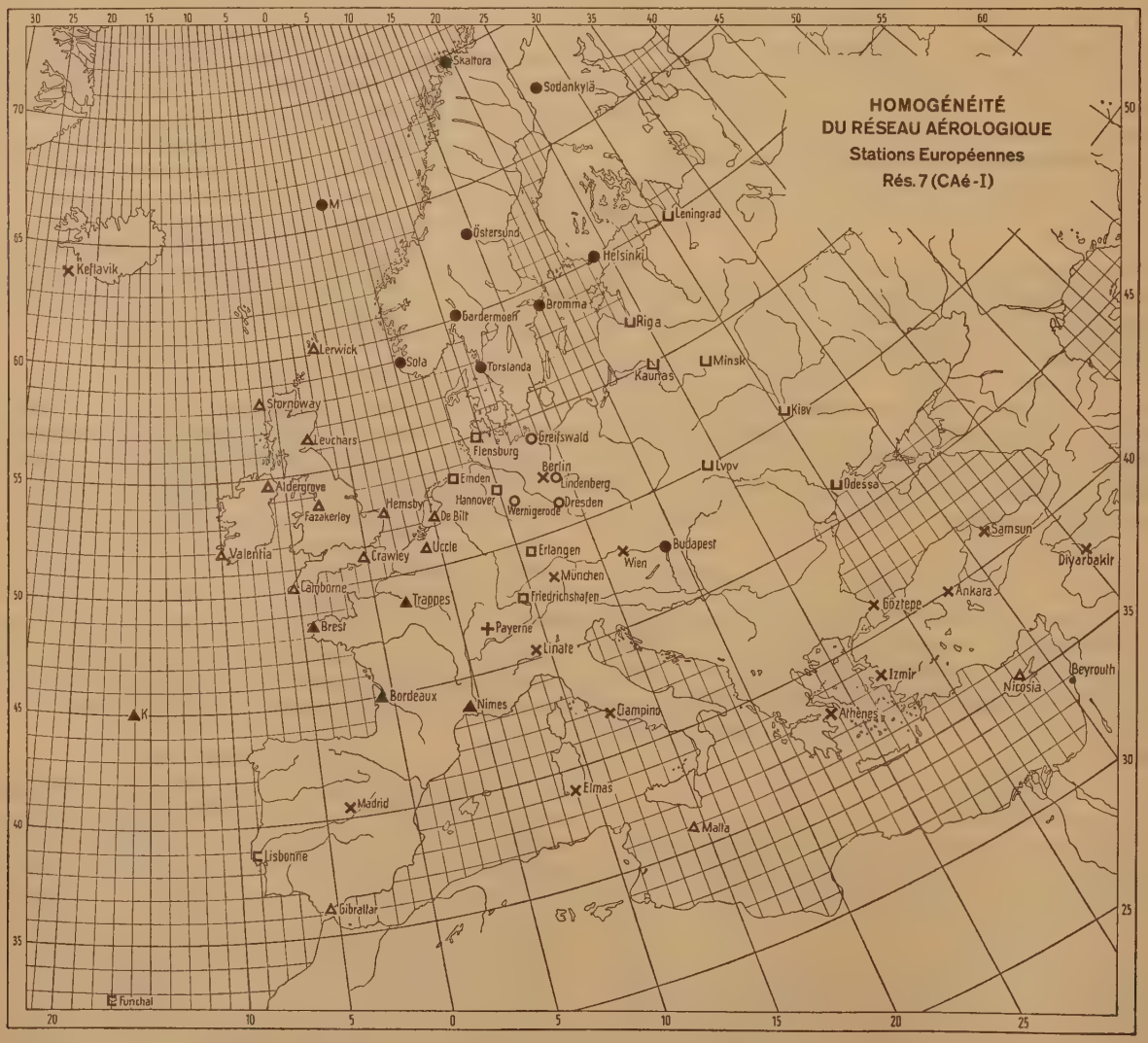

Fig. 1

Partant des cartes établies en exécution de la Rés. 7 CAé-I, nous avons essayé de dessiner les courbes de même épaisseur, *figures 2A, 2B, 2C, 2D* et *3A, 3B, 3C* et *3D*.

Les *figures 2* intéressent la période d'hiver et les *figures 3* la période d'été.

Rappelons que si le réseau aérologique européen était parfaitement homogène, les isohypses moyennes de nos cartes devraient être régulières et respecter un certain degré de parallélisme. Vu la différence climatique des températures entre les basses et hautes latitudes de la région explorée, il est évident que le champ général de la famille des isolignes est incliné, les épaisseurs moyennes les plus hautes se trouvant sur le sud du continent, et les plus basses sur la zone septentrionale. Ce dessin se retrouve bien entendu sur les cartes nocturnes de 03.00 heures et sur celles diurnes de 15.00 heures, tant en période hiémale (octobre-mars) qu'estivale (avril-septembre).

Nous allons essayer d'interpréter les causes de certaines circonvolutions des isolignes formant des méandres, des crêtes compliquées, des sortes de trous, à l'image des dépressions ou anticyclones de cartes isobariques.

Il est clair que cette description ne saurait traduire l'ensemble de ces blessures du champ. Au premier coup d'œil, celles-ci montrent l'hétérogénéité du réseau européen, dont les radiosondages eux-mêmes ne sont d'ailleurs pas entièrement responsables. En effet, certains effets orographiques, particulièrement sur le continent, réagissent sur les hautes couches atmosphériques. Ils ont donc leur part de responsabilité dans les anomalies, comme, évidemment, le déplacement des perturbations. C'est là de la météorologie dynamique étendue à l'aérologie pure.

Afin de faire mieux ressortir les anomalies, nous avons tracé quelques profils en travers du champ, qui illustrent plus intensément encore, par des creux et des bosses, l'irrégularité du réseau aérologique européen.

Voici comment sont conçus ces profils, fig. 8.

Le méridien sert d'abscisse rectiligne. Il est gradué en degrés de latitude φ. En ordonnée, sont portées les valeurs des épaisseurs H en mètres, prises aux points de recoupement du méridien avec les isolignes. On obtient de la sorte une ligne brisée inclinée par rapport aux coordonnées cartésiennes φ, H.

Puis, on trace arbitrairement sur cette ligne brisée une ligne de référence qui est sensiblement égale à la pente générale du champ des isolignes $\frac{dH}{\varphi}$. Par des lignes de rappel, on reporte sur cette ligne de référence à la fois les abscisses H, qui sont les épaisseurs, et les ordonnées φ, qui sont les latitudes. Ensuite, pour mieux faire ressortir les anomalies, on rabat cette ligne de référence à l'horizontale. Il en résulte que la ligne sinueuse qui la surcharge donne en chacun de ses points la différence en mètres dH, entre l'isoligne H qui concerne ce point, et la pente moyenne du champ des isolignes $\frac{dH}{\varphi}$. Cette différence d'épaisseur est alors positive ou négative, ce qui importe peu; on la lit en valeur absolue.

La ligne sinueuse fait immédiatement ressortir les anomalies du réseau. Par exemple, s'il n'y avait pas d'anomalie, la ligne brisée serait une droite confondue ou parallèle à la ligne de référence. L'angle d'inclinaison des segments de la ligne brisée par rapport à la ligne de référence exprime l'intensité des anomalies des latitudes comprises sous le segment considéré.

Nous ne reproduisons ici que quelques profils en travers des cartes d'épaisseur. Les légendes de ces figures contiennent des renseignements géographiques sur la position des principales anomalies. *Fig. 9* à *16*. Les figures se trouvent sous les cartes, *fig. 2* et *fig. 3*.

1. Sondages nocturnes

Les sondages nocturnes, soustraits à l'action du rayonnement solaire, devraient diminuer l'hétérogénéité du réseau, si l'effet du traînage et l'imprécision des capsules barométriques n'existaient pas.

a) *Epaisseur de la couche 850—500 mb*

Il est aisé de se faire une image des anomalies en reliant les points de même épaisseur *(fig. 2A* et *3A)*. On constate une nette discordance entre le fonctionnement des radiosondes anglaise, finlandaise, soviétique et d'Allemagne orientale, d'une part, et les radiosondes américaine, française, suisse et d'Allemagne occidentale, d'autre part.

Le cas des deux stations voisines de Berlin (sonde américaine) et de Lindenberg (sonde Lang), si divergentes, est très frappant. W. Hering l'a également signalé [19].

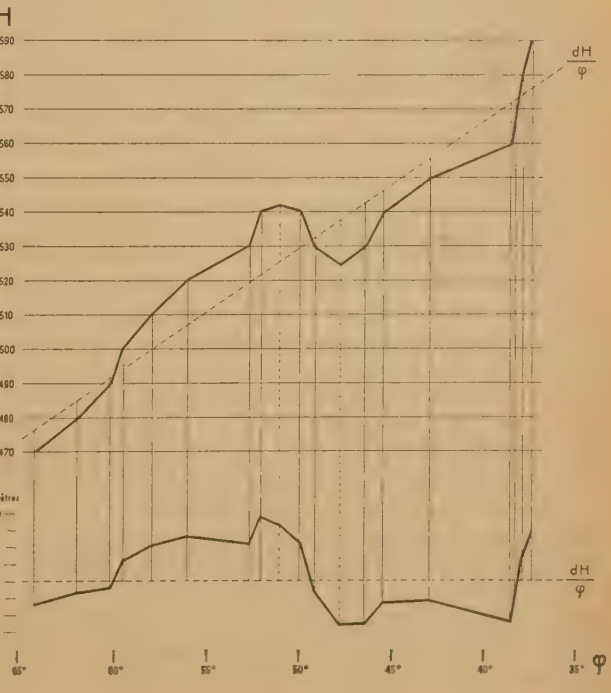

Fig. 8

Il semble, en l'occurrence, que la sonde Lang soit soumise au traînage thermique. En effet, les valeurs mentionnées par W. Hering correspondent à celles du traînage que nous avions obtenues au début de nos re-

cherches en caisson polytrope, où nous fîmes d'ailleurs de nombreuses mesures avec la plupart des radiosondes et d'anciens météorographes à disposition avant et pendant la guerre [14, 15, 16, 17, 18].

Les discordances du deuxième groupe signalé ci-avant, concernant le modèle anglais, ressortent clairement de la comparaison des stations de Brest, Trappes, Emden et Hanovre, avec celles de Camborne, Crawley, De Bilt et Uccle.

La forte anomalie séparant Linate de Ciampino *(fig. 3A)*, qui utilisent la même radiosonde, est difficile à expliquer; elle ne se révèle d'ailleurs pas dans la première période d'octobre 1953 à mars 1954 *(fig. 2A)*.

Une longue confrontation statistique des températures notées dans les montagnes suisses au cours des ascensions de Payerne, a montré qu'il y a bonne concordance entre ces mesures, jusqu'à l'altitude du Jungfraujoch (3578 m), situé dans la couche de 850 à 500 mb [20, 21]. Le dépouillement des données européennes montre aussi la concordance entre la sonde suisse et les modèles américains et Graw (Allemagne), vraisemblablement non soumis au traînage thermique. Il semble donc bien que c'est à ce phénomène, de nuit au moins, que doivent être attribuées les anomalies des autres appareils, figurant sur nos cartes.

b) *Epaisseur de la couche 500—300 mb*

Les *fig. 2C* et *3C*, intéressant la couche supérieure de 500 à 300 mb, révèlent des méandres encore plus prononcés que pour la couche inférieure. Tel est le cas, par exemple, pour Berlin et Lindenberg. Il n'y a réellement plus aucun parallélisme sur l'Europe centrale pendant la période hiémale.

Sur la France et l'Allemagne, les isohypses se dirigent même du nord au sud, puis du sud au nord, pour former plus loin, sur l'Autriche et la Hongrie, un véritable entonnoir. Et ces tortuosités concernent pourtant des mailles du réseau utilisant les mêmes types de radiosondes, telles: Trappes-Nîmes, Flensburg-Erlangen-Friedrichshafen, Berlin-Munich.

Nous avons tenté de comparer ces résultats à ceux obtenus lors de la première comparaison des radiosondes à Payerne en 1950. Il y a accord en principe; le chaos n'a pas disparu depuis cette date. Toutefois, en 1950, les différences, dans les calculs d'altitudes des six types de sondes comparés, étaient plus petites pour la couche 500 à 300 mb, ce qui pourrait affaiblir notre argument sur l'action du traînage, puisque celui-ci doit augmenter avec l'altitude. Mais n'oublions pas que les erreurs afférentes aux altitudes calculées sont une combinaison de celles de la température et de la pression. En traitant séparément les erreurs de ces deux variables instrumentales, quant aux épaisseurs obtenues en 1950, on constate qu'elles se compensent largement pour certains types de radiosondes européennes. Si ces circonstances hasardeuses sont favorables à la météorologie, c'est bien, mais elles ne sauraient satisfaire les constructeurs de radiosondes.

2. Sondages diurnes

a) *Epaisseur de la couche 850—500 mb*

Pour la période hiémale *(fig. 2B)*, on constate sur l'ouest du continent, comme sur la carte décrite précédemment, un changement de direction des isolignes. Il y a rotation dans le sens nord-sud, puis sud-nord, ce qui pourrait donc correspondre à un phénomène réel. Toutefois, pour la période estivale *(fig. 3B)*, ces incurvations ont de nouveau disparu et une autre et forte irrégularité apparaît, s'étendant du Benelux à la Suisse. Elle dévoile les différences importantes qui existent entre les radiosondes anglaises utilisées à De Bilt et à Uccle, d'une part, et les radiosondes américaine (Graw) et française, d'autre part.

b) *Epaisseur de la couche 500—300 mb*

Les singularités des cartes 850—500 mb se retrouvent dans celles de la couche supérieure de 500 à 300 mb, mais le désaccord entre les radiosondes est amplifié par l'effet du rayonnement *(fig. 2D* et *3D)*. Ici, les différences entre les épaisseurs calculées des sondes anglaises de De Bilt et d'Uccle et celles des sondes américaine, Graw et française, atteignent leur maximum. L'exemple de Berlin-Lindenberg saute aux yeux. On voit aussi que la sonde finlandaise à Budapest donne des températures représentatives plus élevées que la sonde américaine à Vienne *(fig. 3D)*. Dans des proportions moindres, cela ressort aussi des autres cartes, en confirmation des comparaisons de 1950 et de nos essais en caisson polytrope [15, 18].

3. Remarques sur les différences entre les sondages diurnes et nocturnes

a) *Effet du rayonnement*

La *table 1* donne les différences entre les épaisseurs moyennes des sondages diurnes et nocturnes pour chaque station. Nous pensons que ces différences doivent être imputées aux erreurs de température dues à l'impact du rayonnement solaire sur les organes de protection et à l'influence indirecte de l'effet du traînage.

Table 1

Différences d'épaisseur entre les sondages diurnes et nocturnes en mètres géopotentiels

Station	1re période 850—500 mb	2e période 850—500 mb	1re période 500—300 mb	2e période 500—300 mb
Lerwick	1	14	6	20
Stornoway	2	13	5	21
Aldergrove	5	14	10	18
Leuchars	4	12	8	21
Fazakerley	4	13	11	21
Hemsby	4	12	9	19
Crawley	4	16	9	20
Camborne	10	16	12	20
Valentia	10	20	16	23
Malta	6	12	8	19
Nicosia	6	11	8	13
De Bilt	8	9	14	16
Uccle	11	16	14	25
Trappes	11	6	13	10
Brest	9	10	12	20
K	2	12	11	19
Bordeaux	9	2	12	10
Nîmes	1	4	8	9
Sodankylä*	2	11	2	9
Helsinki*	2	13	−2	9
Skattora	3	13	4	16
M	−1	—	−2	—
Sola	5	13	18	19

Table 1 (Suite)

Station	1re période 850—500 mb	2e période 850—500 mb	1re période 500—300 mb	2e période 500—300 mb
Oestersund	5	10	8	14
Gardermoen	6	15	12	19
Bromma	–2	9	–3	5
Torslanda	2	11	9	19
Budapest	5	23	6	27
Greifswald	5	9	5	11
Lindenberg	5	8	3	11
Dresden	8	6	7	10
Wernigerode	4	9	3	15
Emden	5	11	4	18
Erlangen	0	3	2	4
Flensburg	5	12	3	13
Hannover	3	9	5	14
München	3	11	7	9
Wien	0	5	2	5
Berlin	4	6	2	6
Keflavik	3	3	6	9
Linate	4	5	5	8
Elmas	20	15	28	14
Lisbonne	10	19	25	32
Leningrad	3	—	6	—
Kaunas	10	—	10	—
Kiev	8	—	7	—
Lvov	17	—	26	—
Odessa	9	—	38	—
Riga	6	—	5	—

Les raisons suivantes semblent étayer cette hypothèse:

A Payerne, pendant la période d'octobre 1953 à mars 1954, la différence entre les épaisseurs moyennes de jour et de nuit pour la couche 850—500 mb est de 3 mètres, et pour celle de 500—300 mb de 8 mètres; elle monte respectivement à 3 et 13 mètres pour les mois d'avril et juin 1954, pour les susdites couches.

Nous éliminâmes totalement ces différences par la suite, lorsque nous eûmes entouré à nouveau la corbeille contenant notre radiosonde d'un large parasoleil en feuille d'aluminium — tel que nous l'utilisions sur notre ancienne sonde pendant la guerre [11]. La *table 2* résume clairement cette expérience pour les mois de juillet à septembre 1954. Depuis lors, d'ailleurs, nous avons conservé dans tous nos radiosondages diurnes cette protection, à notre avis indispensable.

Table 2

Différences moyennes d'épaisseur entre les sondages diurnes et nocturnes pour différents types de radiosondes, en mètres géopotentiels

Type de radiosonde	850—500 mb	500—300 mb
France	7	14
DBR	9	12
Finlande corrigé*	10	14
Finlande	20	23
Angleterre	14	20
Payerne		
Avril—juin (1954)	3	13
Juillet—septembre (1954)	1	–1

* Les valeurs pour les 2 stations de Finlande sont corrigées pour éliminer l'effet de radiation, tandis que les autres pays utilisant la sonde finlandaise ont communiqué les mesures brutes.

La *table 3*, concernant les températures moyennes mensuelles des niveaux standards de la radiosonde protégée — ainsi que la *table 4*, tirée des sondages de janvier à septembre 1955 —, viennent étayer notre supposition, à savoir que notre technique actuelle semble soustraite à toute action du rayonnement solaire direct, en tout cas dans les niveaux troposphériques jusqu'à 200 mb.

On en tire la conclusion qu'à l'appui des expériences faites avec le grand parasoleil, les différences systématiques entre les épaisseurs moyennes diurnes et nocturnes doivent être recherchées, pour les stations voisines de la latitude et du nord de Payerne, dans l'insuffisance des organes de protection contre le rayonnement solaire direct.

Table 3

Températures moyennes des niveaux standards pour les sondages diurnes et nocturnes à Payerne en 1954

	850 mb		700 mb		500 mb		300 mb		200 mb	
	03	15	03	15	03	15	03	15	03	15
uillet	7.8	9.3	–1.4	–1.3	–15.1	–14.7	–41.1	–40.6	–52.6	–51.3
oût	8.9	9.9	–0.5	–0.4	–15.5	–15.8	–42.0	–42.0	–51.9	–51.5
eptembre	8.5	9.3	–0.8	–0.7	–15.3	–15.3	–41.9	–41.6	–56.5	–56.6
ctobre	5.6	6.8	–1.9	–1.1	–16.7	–16.1	–43.3	–42.3	–57.8	–57.5
ovembre	2.2	2.8	–4.6	–4.8	–20.0	–20.1	–47.7	–47.9	–61.0	–61.6
écembre	0.9	0.9	–6.3	–6.3	21.8	21.9	–48.7	48.8	–59.5	59.8
oyenne	5.6	6.5	–2.6	–2.4	–17.4	–17.3	–44.0	–43.9	–56.5	–56.4

Table 4

Températures moyennes des niveaux standards pour les sondages diurnes et nocturnes à Payerne en 1955

	850 mb		700 mb		500 mb		300 mb		200 mb	
	03	15	03	15	03	15	03	15	03	15
anvier	0.9	1.7	6.6	6.3	–22.8	–22.9	–50.3	–50.4	–59.8	–59.9
évrier	–3.7	–3.2	12.2	–12.4	–28.0	–28.3	–52.5	–52.8	–54.5	–54.9
nars	–2.1	–1.3	–9.5	–9.6	–26.5	–26.9	–51.4	–50.7	–58.9	–58.1
vril	1.6	2.9	–6.3	–6.8	–22.4	–22.8	–50.0	–50.1	–60.1	–60.2
ai	4.3	6.0	5.1	–4.5	–20.3	–19.9	–46.0	–46.0	–57.1	–57.6
uin	9.1	9.9	–0.6	–0.7	–15.7	–16.0	–43.5	–43.0	–57.0	–56.9
uillet	11.0	11.6	1.4	1.6	–13.6	–14.0	–42.0	–41.2	–53.6	–53.8
oût	10.7	11.2	0.8	0.9	–14.7	–14.7	–42.3	–41.7	–53.5	–53.2
eptembre	8.0	8.6	–0.9	–0.4	–16.1	–15.6	–42.5	–42.0	–56.2	–55.6
oyenne	7.5	8.4	1.8	–1.7	–17.1	–17.2	–44.4	–44.0	–56.2	–56.2

La *table 5* renseigne sur ces défaillances pour chaque modèle de radiosonde. Par exemple, pour la couche de 500 à 300 mb, la sonde anglaise est faussée en moyenne de 1,4° C pendant les mois d'avril à septembre, et d'environ 0,7° C pendant les mois d'octobre à mars.

Rappelons à ce sujet que A. P. Taylor, ayant comparé certains sondages anglais faits avant, pendant et après une éclipse de soleil, trouva une différence moyenne de 67 mètres pour l'épaisseur comprise entre 300 et 100 mb [22], ce qui correspond à une erreur de température d'environ 2° C pour cette couche, et confirme notre hypothèse.

Table 5

Erreurs moyennes de température en C° correspondant aux erreurs d'épaisseur de la table 6, provenant du rayonnement solaire

Radiosonde	1re période 850—500 mb	2e période 850—500 mb	1re période 500—300 mb	2e période 500—300 mb
Angleterre	0.4	0.9	0.7	1.4
France	0.4	0.4	0.7	0.9
Finlande	0.2	0.8	0.5	1.0
DDR	0.4	0.5	0.3	0.8
DBR	0.2	0.6	0.3	0.8
Canada	0.6	1.2	1.7	2.2
URSS	0.6	—	1.0	—

Table 6

Erreurs moyennes d'épaisseur en mètres géopotentiels provenant du rayonnement solaire

Radiosonde	1re période 850—500 mb	2e période 850—500 mb	1re période 500—300 mb	2e période 500—300 mb
Angleterre	6	14	10	20
France	6	7	11	14
Finlande	3	12	8	15
DDR	6	8	5	12
DBR	3	9	4	12
Canada	10	19	25	32
URSS	9	—	15	—

L'erreur moyenne d'épaisseur en mètres pour chaque type de radiosonde est contenue dans la *table 6*, l'erreur correspondante de température se lisant dans la *table 5*. Il faut toutefois remarquer que ces erreurs n'intéressent que la latitude du pays d'origine de la radiosonde. On constate, par exemple, que les écarts, pour la sonde finlandaise, sont considérablement plus grands à Budapest qu'en pays nordiques. Il est à prévoir que les fortes anomalies de la radiosonde canadienne utilisée à Lisbonne diminueront dans les hautes altitudes. Autrement dit, certains types de radiosondes ne sont pas toujours adaptés aux conditions climatiques du lieu où ils seront exportés. Si nous n'avons pas porté les valeurs des radiosondes américaines dans les *tables 5 et 6*, c'est qu'il en existe plusieurs types dans le réseau européen, qui ont des propriétés différentes. L'analyse, pour être correcte, n'autorise pas le mélange des divers modèles utilisés dans les mêmes stations. Nous pensons qu'aujourd'hui les nouveaux modèles américains, où le thermomètre à thermistor se trouve au-dessus et hors du boîtier, donnent des résultats bien meilleurs que ceux ayant fait l'objet du présent mémoire.

D) Variances

Les cartes de variances *(fig. 4A, 4B, 4C, 4D; 5A, 5B, 5C, 5D; 6A, 6B, 6C, 6D; 7A, 7B, 7C, 7D)* présentent certaines difficultés d'interprétation. La variance paraît naturellement conditionnée par le passage de fronts, de réactions orographiques à haute altitude, etc. Elle diffère considérablement d'un endroit ou d'une saison à l'autre. Il semble qu'on n'ait le droit de comparer entre eux que les groupes de stations de radiosondages très voisins, soustraits aux effets orographiques.

La sonde anglaise, entre autres, révèle un cas typique: ses variances sont très grandes en Grande-Bretagne, mais en revanche très petites en Méditerranée. Il est donc à prévoir que la variance sera plus grande en montagne ou dans les régions marginales engendrant des ondes de relief, que sur la plaine ou la mer.

Pour tirer le meilleur profit des cartes de variances, il faudrait en éliminer les journées synoptiquement perturbées. Cette discrimination n'est guère possible en l'occurrence.

Rappelons que les variances, lors des expériences de Payerne en 1950, ont été du même ordre de grandeur pour tous les modèles de radiosondes entrant en considération dans notre travail.

Les variances de la radiosonde suisse pour la couche 500—300 mb ne semblent pas être à elles seules dues à l'influence des Alpes ou du Jura. Il se pourrait que ce soit aussi une question d'étalonnage. Notre thermomètre a une très faible inertie; il suit fidèlement les plus petites variations de température; son calibrage demande conséquemment de grandes précautions. Il est difficile de maintenir une température absolument constante dans notre caisson actuel. Notre méthode d'étalonnage en atmosphère standard à basses températures et à basse pression, n'est pas sans quelques inconvénients. Répétons que le contrôle P, T, U au sol, avant le lâcher, pose de plus des problèmes assez délicats. En bref, ce sont pour une grande part ces causes purement instrumentales qu'on peut invoquer pour expliquer certaines anomalies des courbes de variances.

Hormis Payerne, il y a d'autres stations dont la variance semble suspecte pour certaines périodes, par exemple: à Trappes, *fig. 5D, 6C, 7A, 7C;* à Elmas, *fig. 5B, 4C;* à Linate, *fig. 5B;* à Vienne et Lvov, *fig. 5C;* à Budapest, *fig. 6C, 7C,* et à Uccle, *fig. 7D.*

Nous pensons qu'une autre formule de la variance, séparant nettement les valeurs P, T et Φ, apporterait plus de clarté dans la recherche des causes instrumentales et naturelles de l'hétérogénéité actuelle du réseau européen.

D'ailleurs, l'Association Régionale Européenne de l'OMM (AR VI—II), dans sa seconde session de Dubrownik, mars 1956, a discuté l'ensemble du problème et a proposé qu'une nouvelle étude sur l'homogénéité du réseau européen de radiosondages soit entreprise après la Comparaison Mondiale des radiosondes, à Payerne, en 1956. Celle-ci doit apporter des directives plus précises, basées sur des radiosondes améliorées. De 1953 à ce jour, certains progrès techniques ont été obtenus par la plupart des constructeurs et opérateurs.

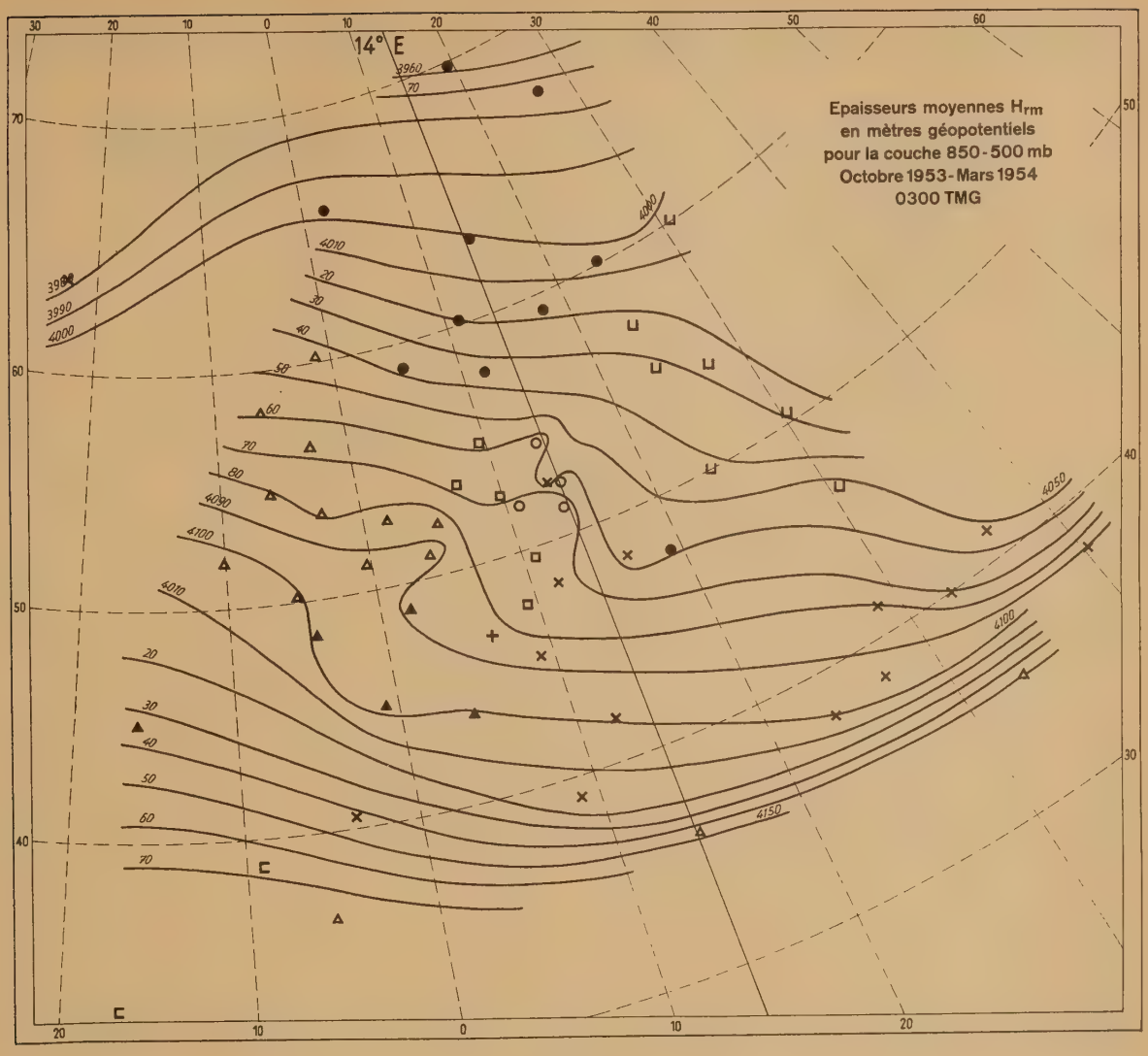

Fig. 2 A

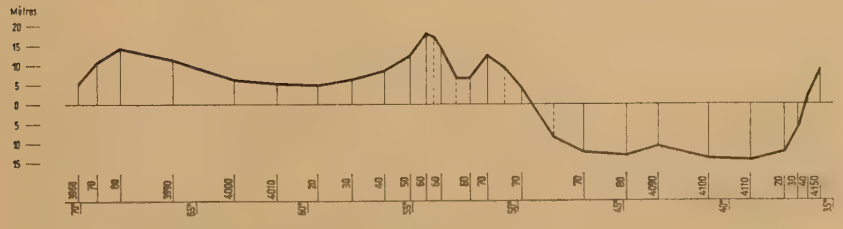

Fig. 9

se rapportant à la carte 2A. (850—500 mb; nuit; hiver.)

Ce profil met en évidence la forte anomalie du réseau aérologique entre les latitudes de 55° et 50°, à peu près à la frontière de l'Allemagne occidentale et de l'Allemagne orientale. Les deux longs minima couvrant la Scandinavie et le bassin méditerranéen central, où sont utilisés les mêmes types de radiosondes, ne sont peut-être pas étrangers à la trajectoire des centres dépressionnaires qui traversent ces zones. Le désaccord manifeste entre les stations de Ciampino (sonde USA) et de Malte (sonde UK) ne semble pas être entièrement d'ordre instrumental.

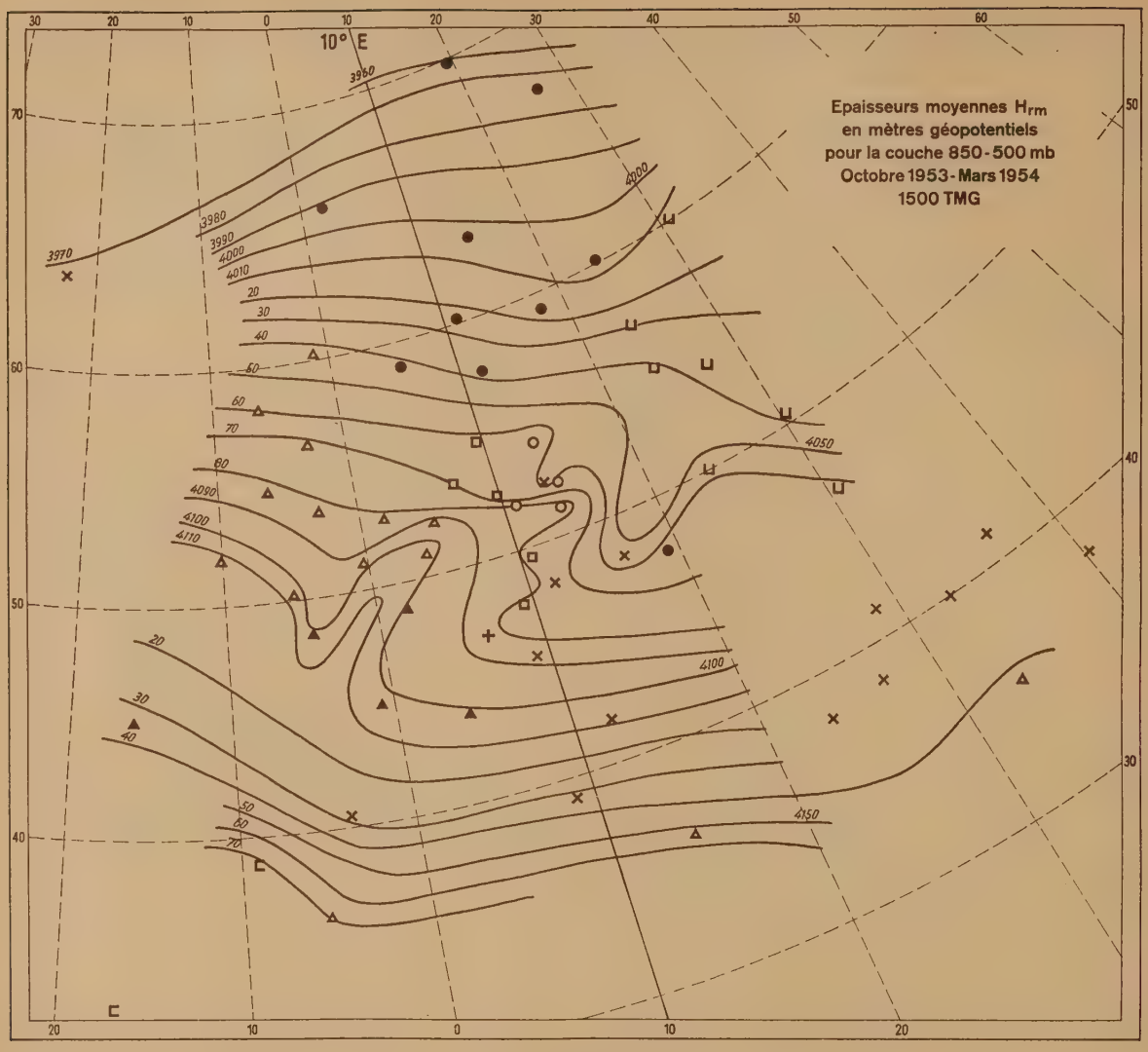

Fig. 2 B

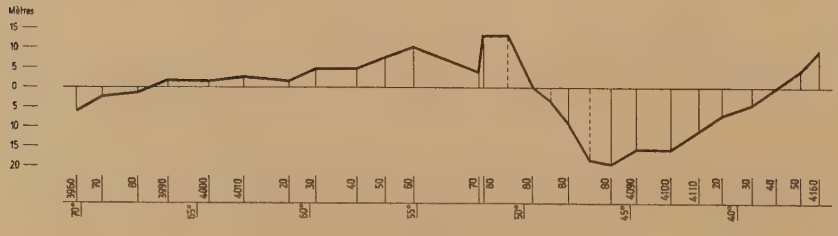

Fig. 10

se rapportant à la carte 2B. (850—500 mb; jour; hiver.)

Dans ses grandes lignes, ce profil se rapproche de celui tiré par 14° de longitude de la carte nocturne, fig. 9. L'anomalie allemande est un peu moins prononcée. Par contre, le profond minimum par 45° de latitude, centré sur le nord de l'Italie, pourrait trouver une explication dans la fréquence des centres dépressionnaires du Golfe de Gênes. Si cette interprétation est sujette à caution, il n'en est pas moins vrai que la chaîne des Alpes sépare ici nettement l'Europe en deux parties.

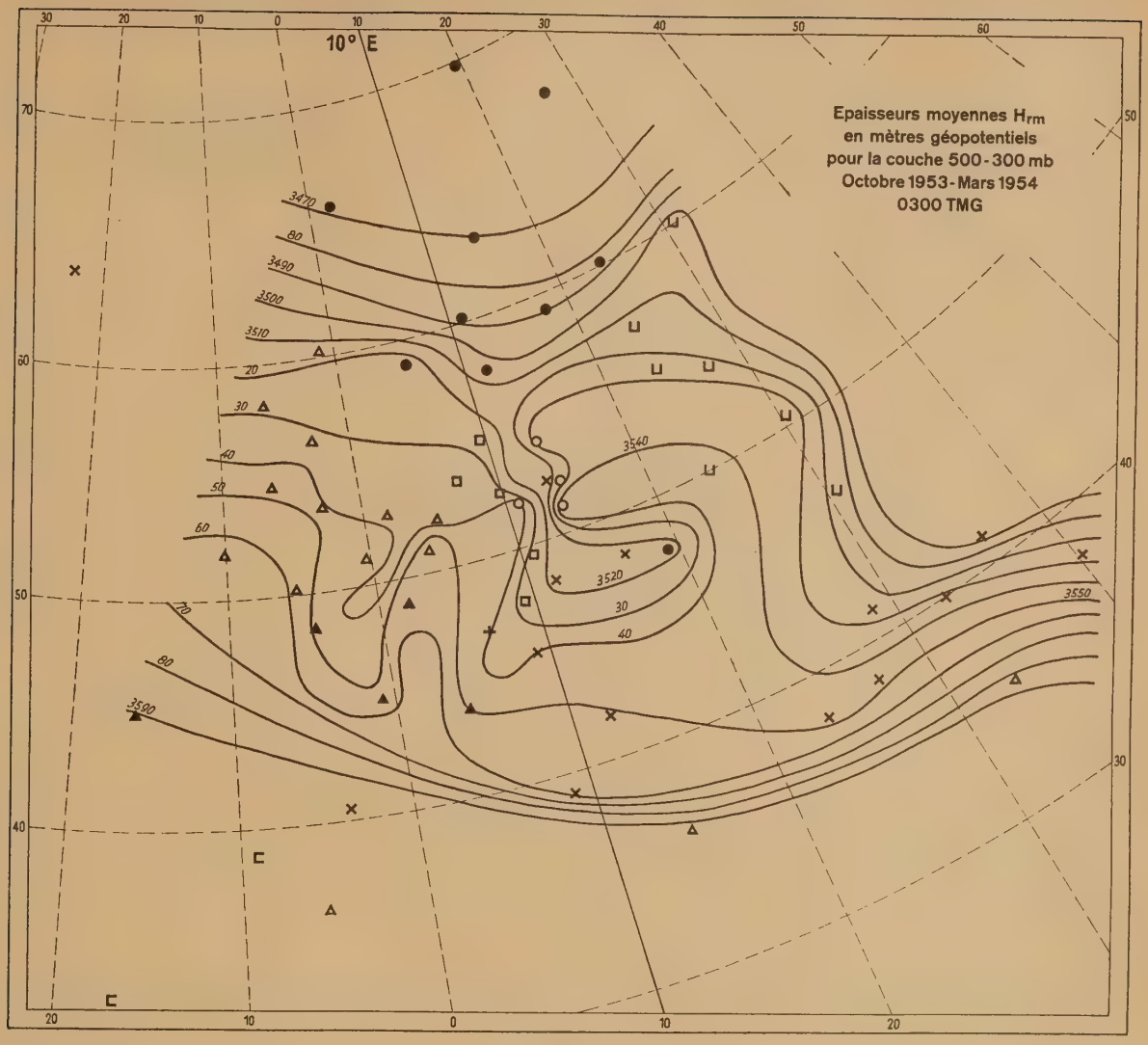

Fig. 2 C

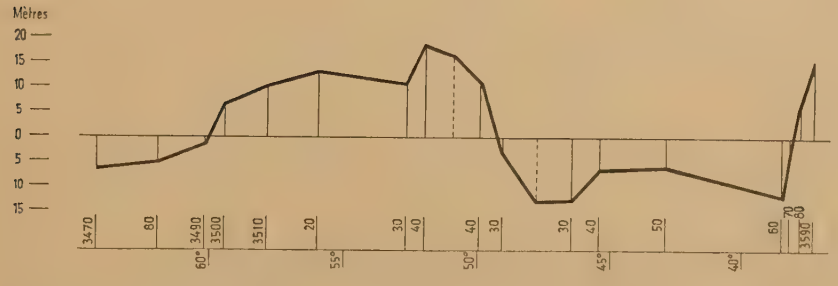

Fig. 11

se rapportant à la carte 2C. (500—300 mb; nuit; hiver.)

La profonde enclave de 3520 m (carte 2C) du sud de l'Allemagne et des pays limitrophes de l'est est accusée par la forte chute du profil entre 51° et 47° de latitude. Il est difficile, ici, d'invoquer les causes météorologiques pour son explication.

Le grand minimum italien subsiste comme dans les cas précédents (fig. 9 et 10) et la différence instrumentale séparant la Sardaigne de Malte est particulièrement prononcée.

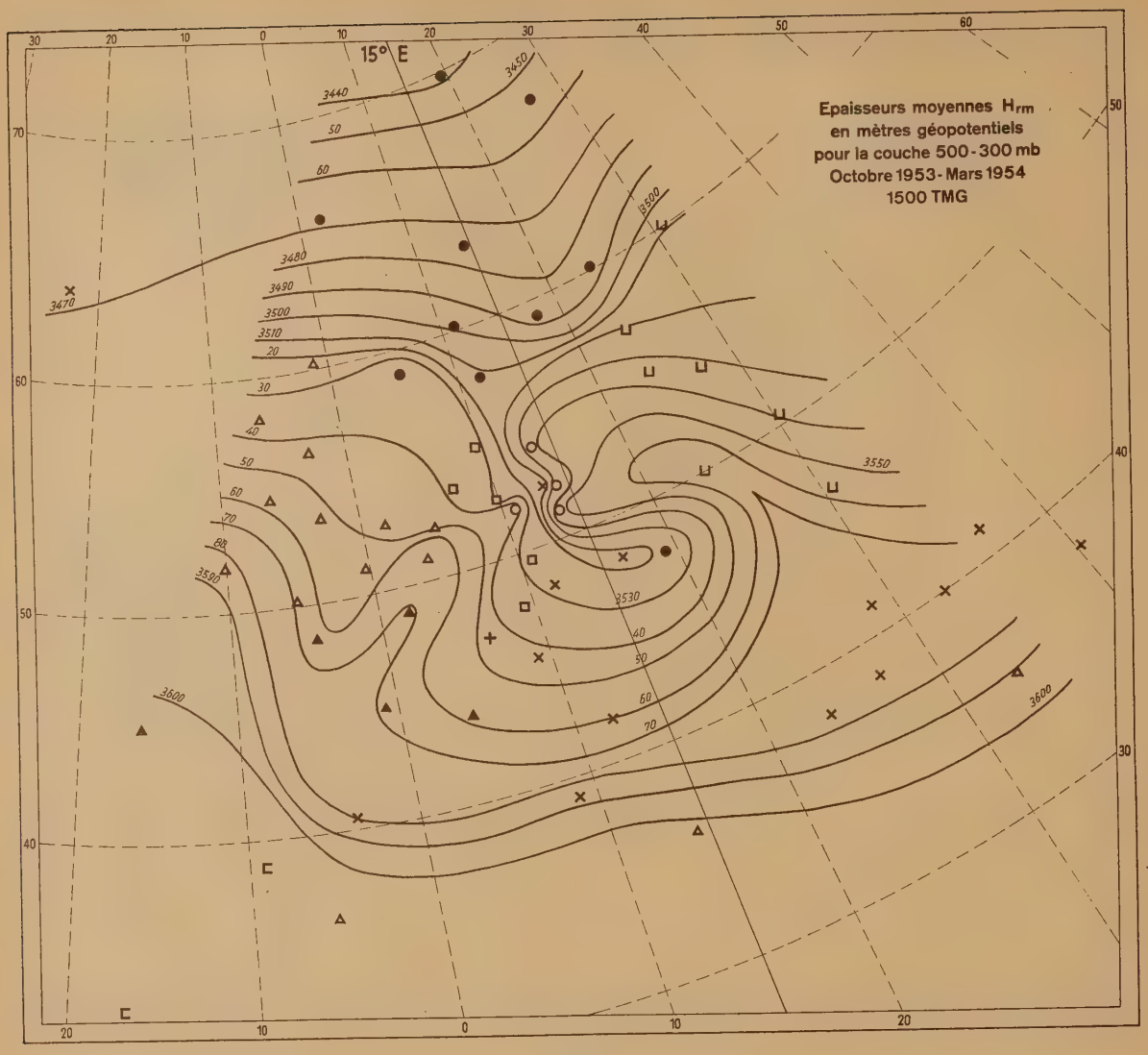

Fig. 2 D

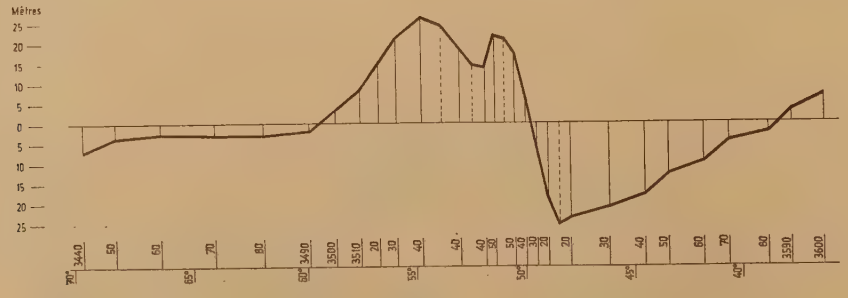

Fig. 12

se rapportant à la carte 2D. (500—300 mb; jour; hiver.)

Comme dans les coupes précédentes (fig. 9, 10 et 11), on retrouve ici l'anomalie habituelle de Berlin-Lindenberg, mais la grande langue de 3520 m, fig. 2D, qui s'étire de la basse Scandinavie à l'Autriche, provoque une très forte différence d'épaisseur moyenne entre 50° et 47°.

Par contre, l'anomalie méditerranéenne par 15° Est a pratiquement disparu. C'est donc, comme dans les périodes précédentes, vers les latitudes de l'Europe centrale que l'on remarque les plus fortes anomalies, là d'ailleurs où sont utilisées le plus grand nombre de radiosondes différentes.

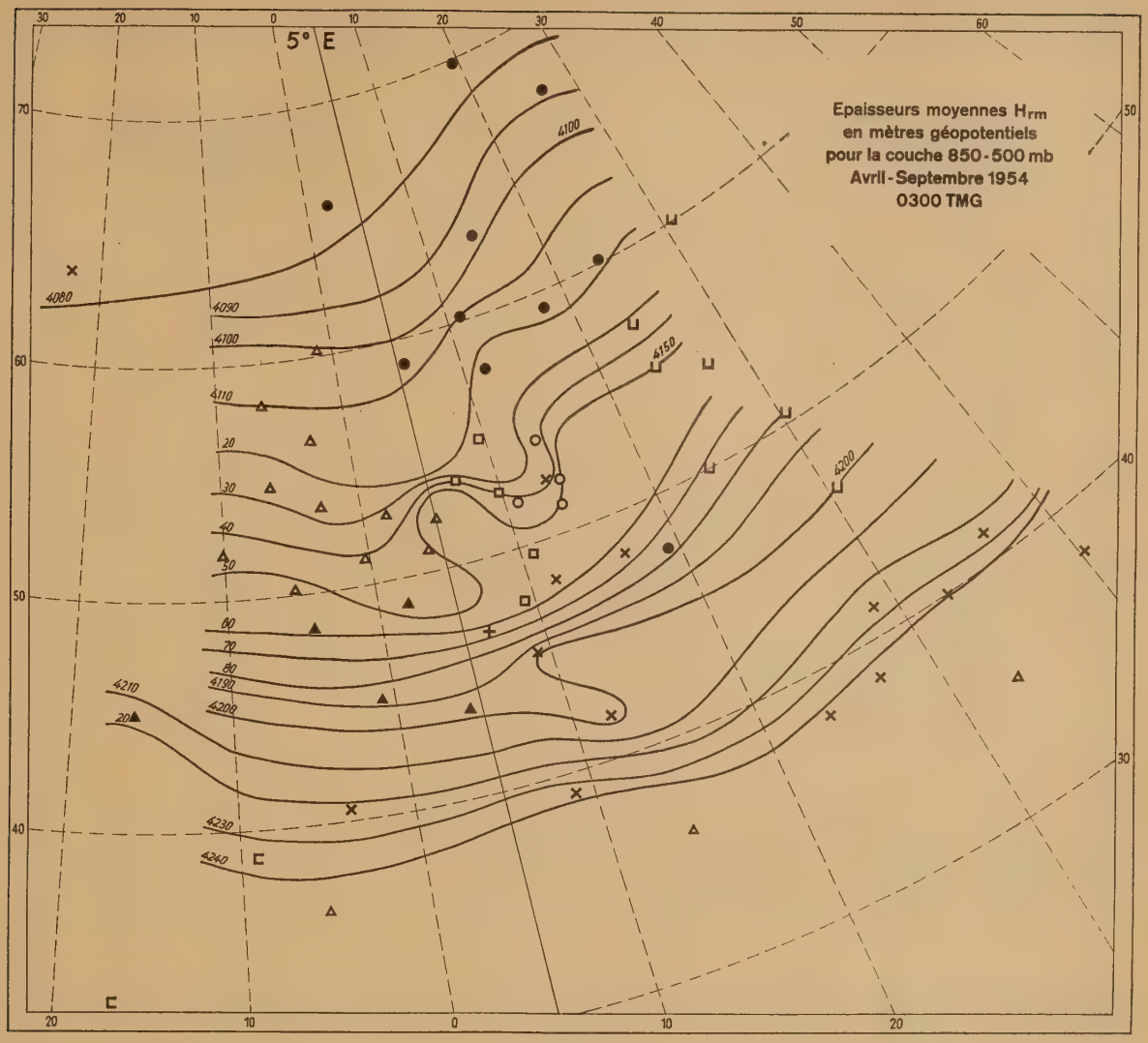

Fig. 3 A

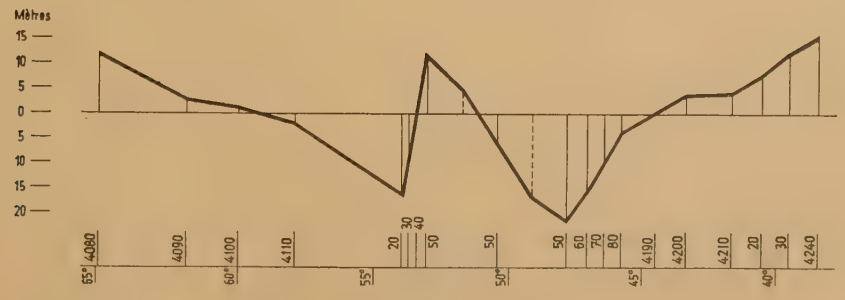

Fig. 13

se rapportant à la carte 3A. (850—500 mb; nuit; été.)

Bien que ce profil nocturne — où les effets du rayonnement solaire sont inexistants — dût en principe donner une répartition douce des isolignes, il fait ressortir une puissante irrégularité entre 50° de latitude (Benelux et contrées voisines) et la latitude de Payerne. L'amplitude totale entre la pointe localisée au nord des Pays-Bas et la Suisse donne, par rapport à la pente moyenne du champ des isolignes, une différence d'épaisseur d'environ 67 m. Il y a là quelque chose d'anormal qu'on ne saurait imputer à des causes météorologiques. Rappelons que l'isoligne de 4150 m coupe précisément le champ général à angle droit et passe entre Uccle et De Bilt, puis, se retournant, passe entre De Bilt et Hanovre.

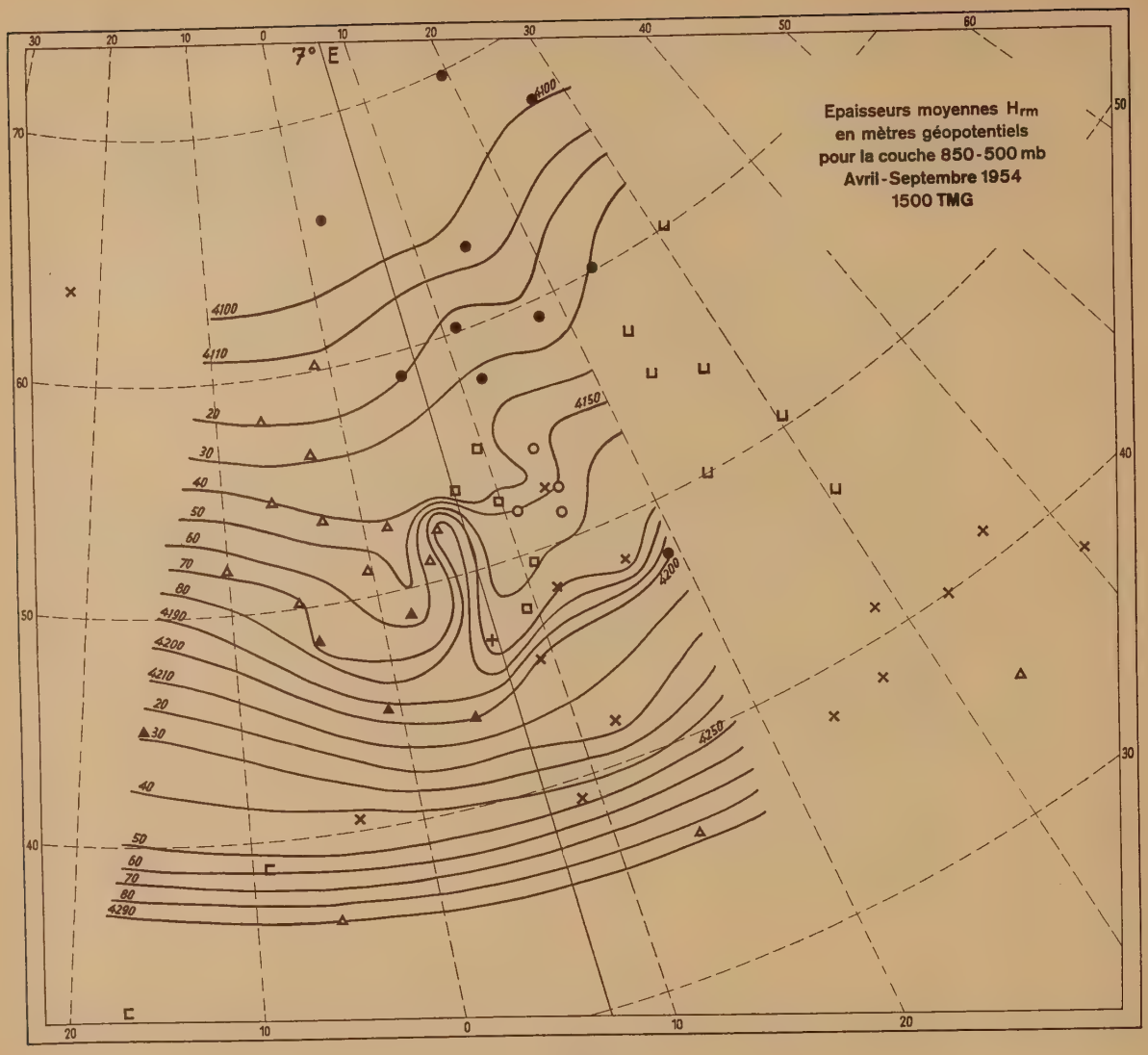

Fig. 3 B

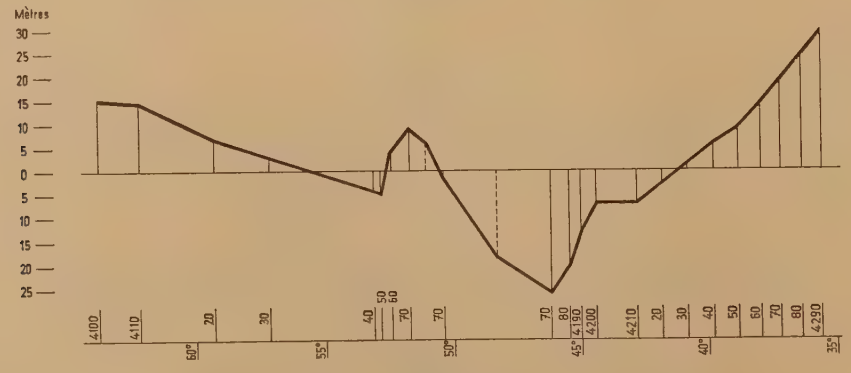

Fig. 14

se rapportant à la carte 3B. (850—500 mb; nuit; été.)

L'ensemble du réseau européen serait apparemment homogène, de par son champ d'isolignes pratiquement parallèles entre les basses et les hautes latitudes allant de 4100 à 4200 m d'épaisseur, si, dans la vallée du Rhin, par 7° de longitude Est, n'apparaissait pas une profonde blessure que le profil en travers met en relief avec netteté. Il y a manifestement désaccord instrumental ici entre les radiosondes anglaise et allemande, sans négliger l'importante divergence entre Payerne (radiosonde suisse) et Linate (radiosonde américaine). Le creux maximum de l'anomalie est à nouveau centré sur la chaîne des Alpes. Par rapport à l'inclinaison moyenne du champ, nous remarquons un écart de ± 25 m sur l'épaisseur. L'effet du rayonnement solaire pourrait ici jouer un certain rôle, sans qu'on puisse l'affirmer péremptoirement.

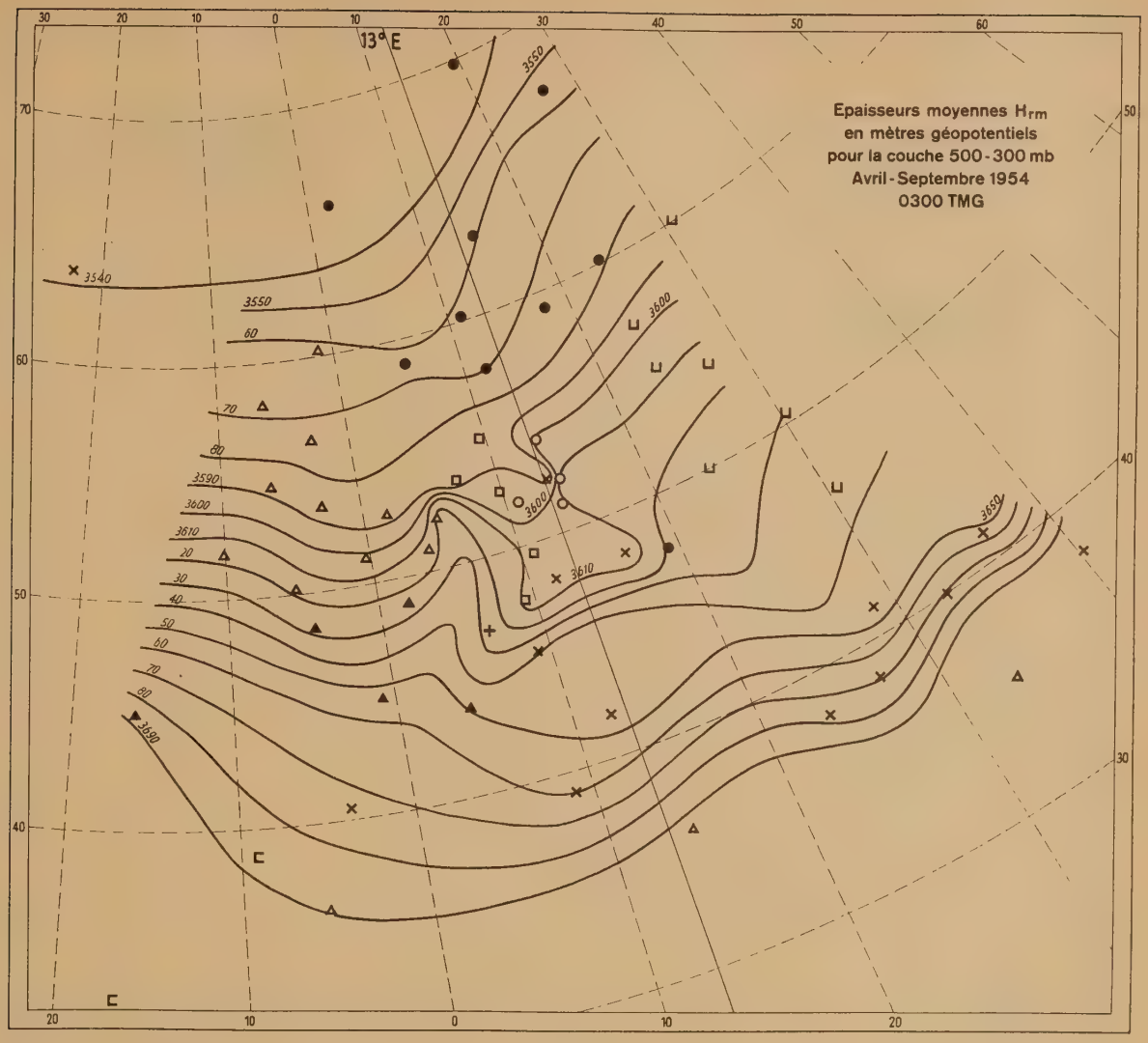

Fig. 3 C

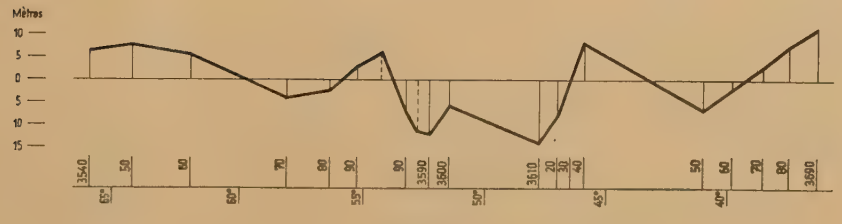

Fig. 15

se rapportant à la carte 3C. (500—300 mb; nuit; été.)

La ligne brisée de ce profil, joignant la Suède et la Sicile par l'Allemagne orientale et l'Autriche, illustre en quelque sorte les irrégularités multiples du réseau européen. Les sauts d'une station à l'autre sont de l'ordre de ± 10 à ± 15 m en valeur moyenne, ce qui ne semble pas plus tolérable, pour les besoins du synopticien, que dans les cas précédemment décrits.

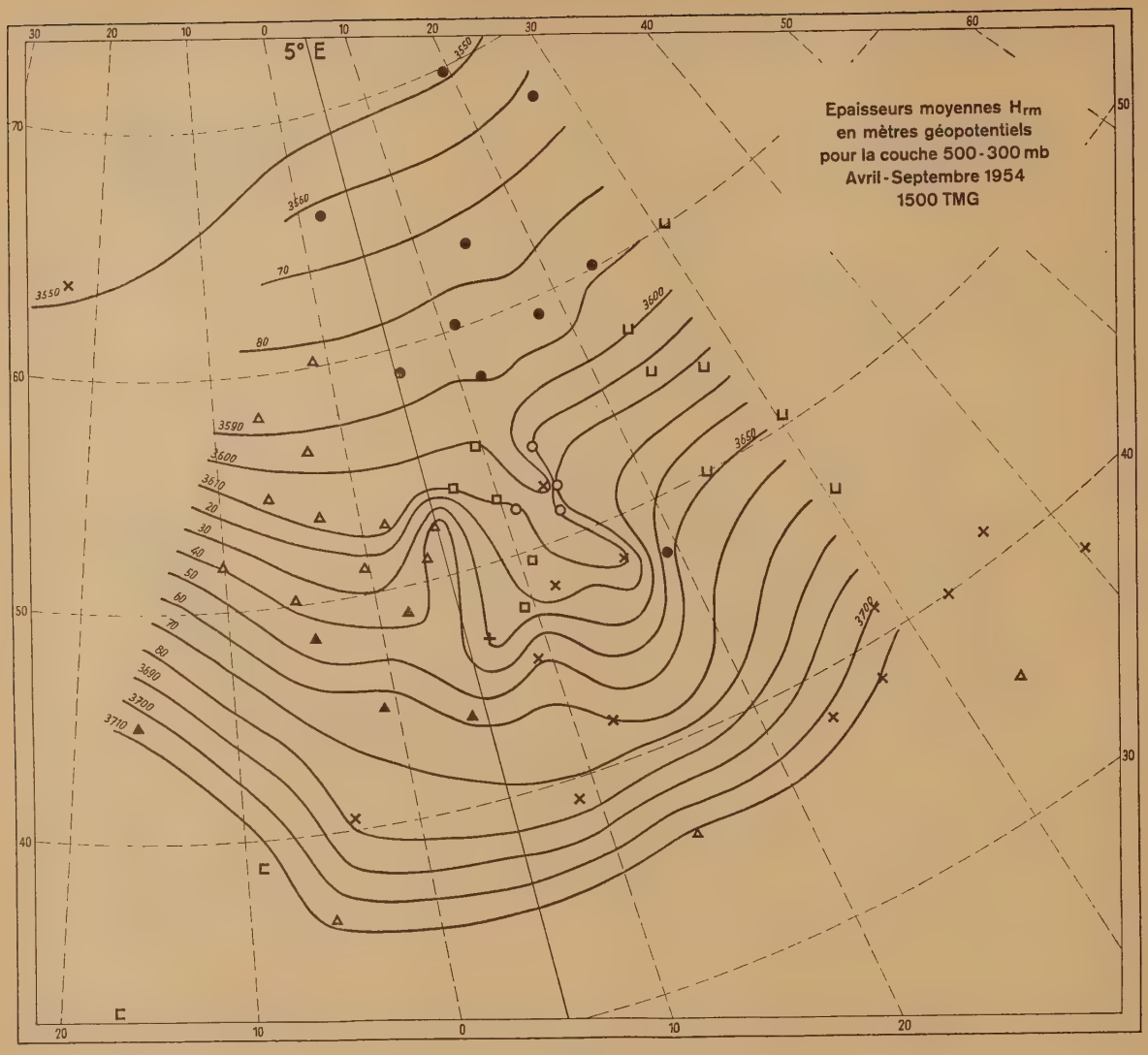

Fig. 3 D

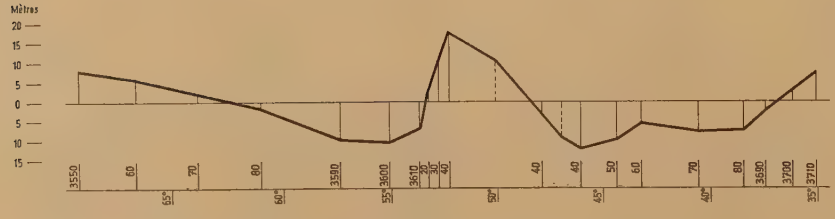

Fig. 16

se rapportant à la carte 3D. (500—300 mb; jour; été.)

L'anomalie entre 53° et 46° de latitude se trouve aussi accusée ici que dans nos descriptions précédentes. Les causes en paraissent les mêmes et démontrent l'hétérogénéité prononcée en Europe centrale. Elle n'est d'ailleurs pas seule dans la période en considération: un autre promontoire linguiforme, dont la pente est d'ailleurs renversée par rapport à celle-là aux mêmes latitudes, couvre le méridien de 15° Est.

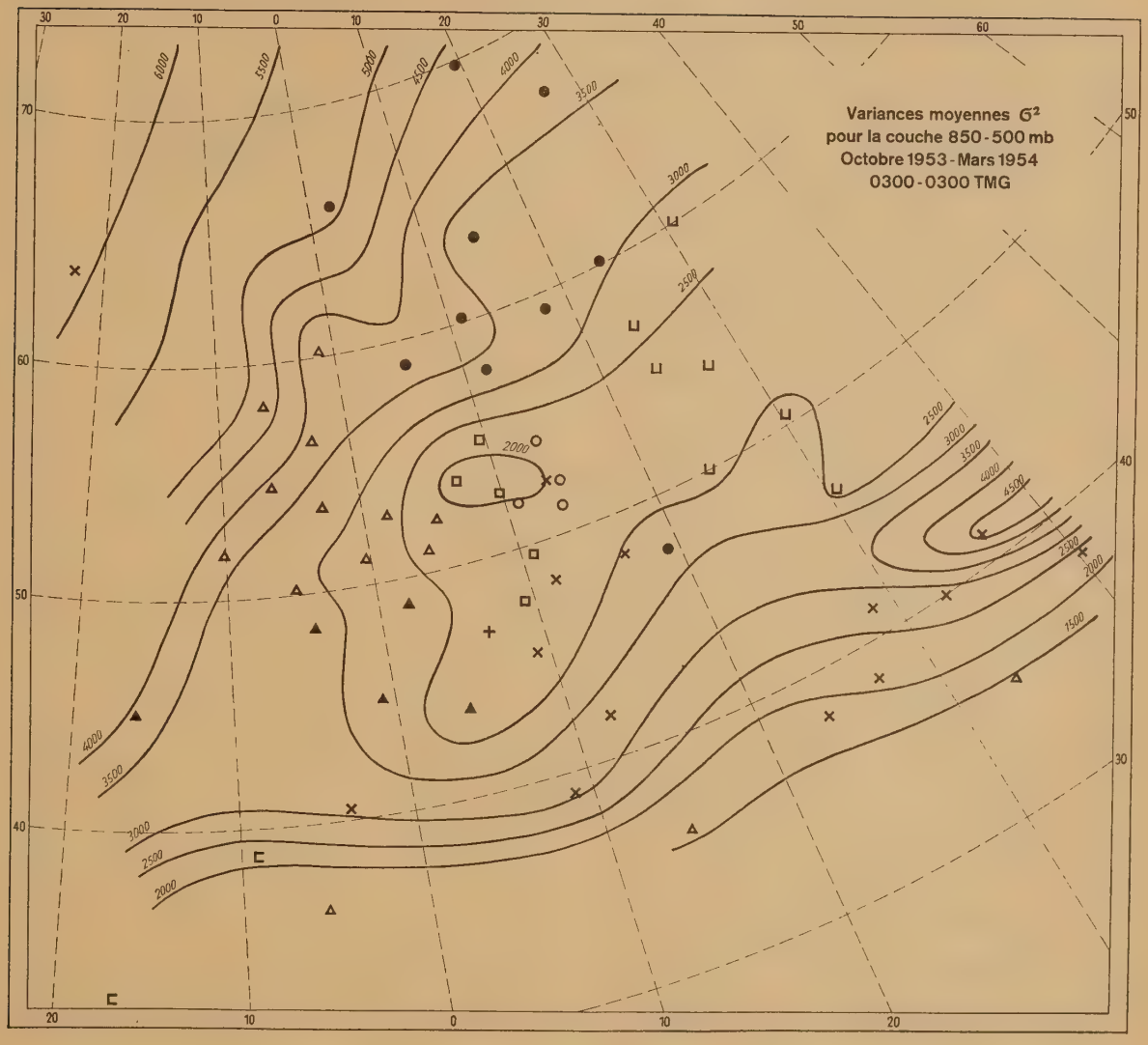
Variances moyennes σ^2
pour la couche 850-500 mb
Octobre 1953 - Mars 1954
0300 - 0300 TMG

Fig. 4 A

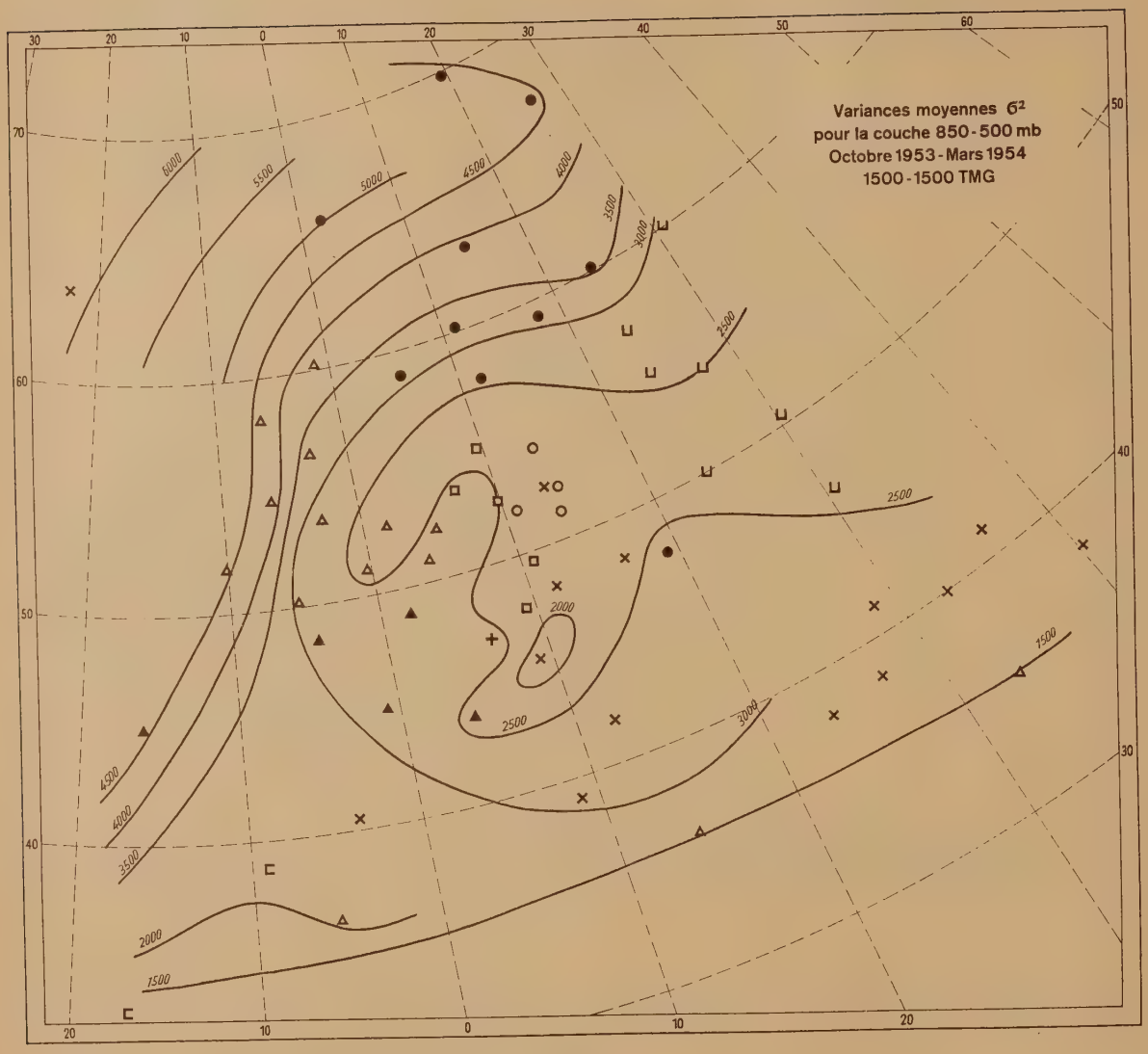
Variances moyennes σ^2
pour la couche 850-500 mb
Octobre 1953 - Mars 1954
1500-1500 TMG
6000
5500
5000
4500
4000
3500
3000
2500
2000
1500
30
20
10
0
10
20
30
40
50
60
70
60
50
40
30
20
10
0
10
20

Fig. 4 B

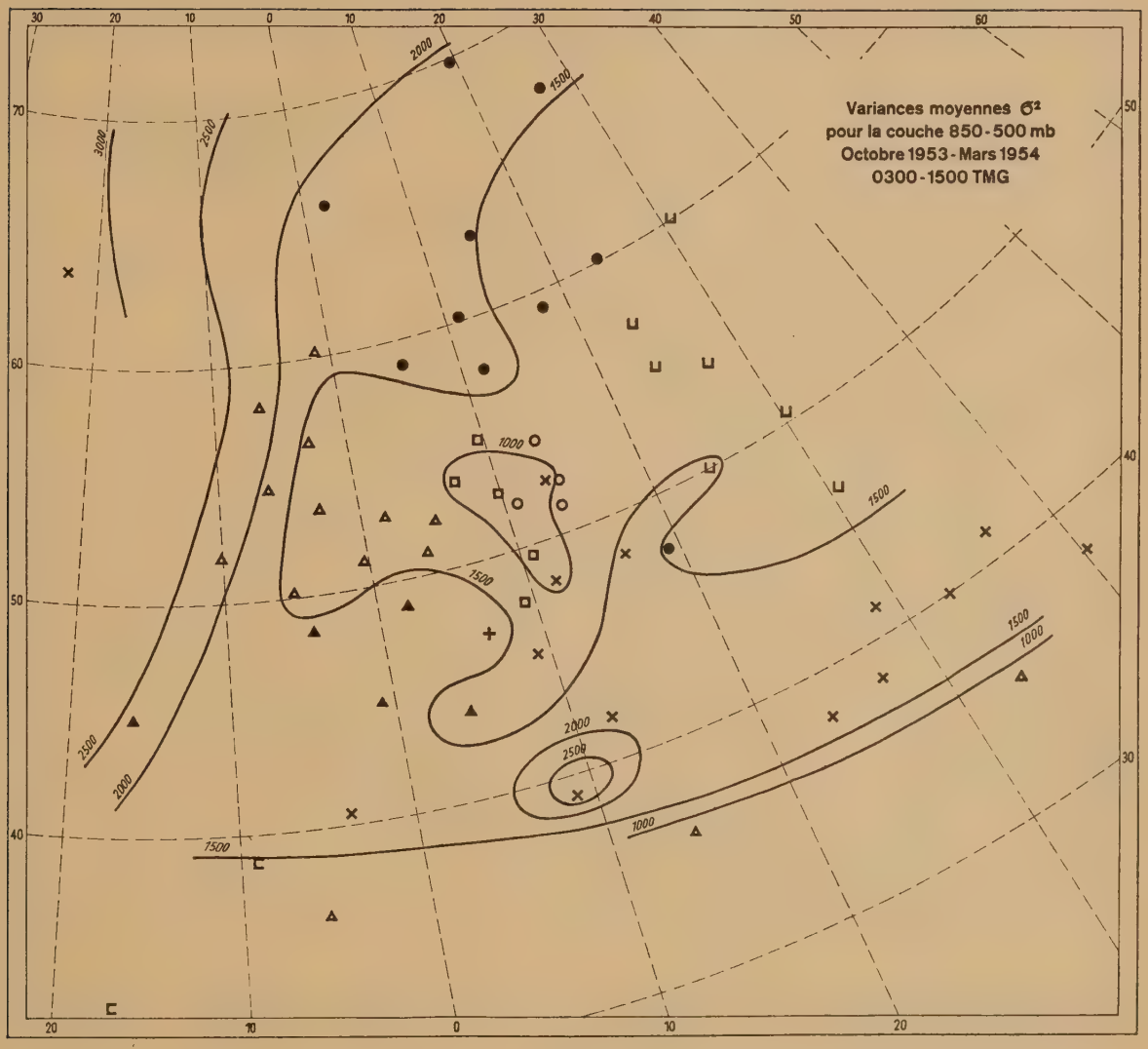
Variances moyennes σ²
pour la couche 850-500 mb
Octobre 1953 - Mars 1954
0300 - 1500 TMG
30
20
10
0
10
20
30
40
50
60
70
50
60
40
50
30
40
20
10
0
10
20
3000
2500
2000
1500
1000
1500
1500
2000
2500
2000
1500
1500
1000
1000

Fig. 4 C

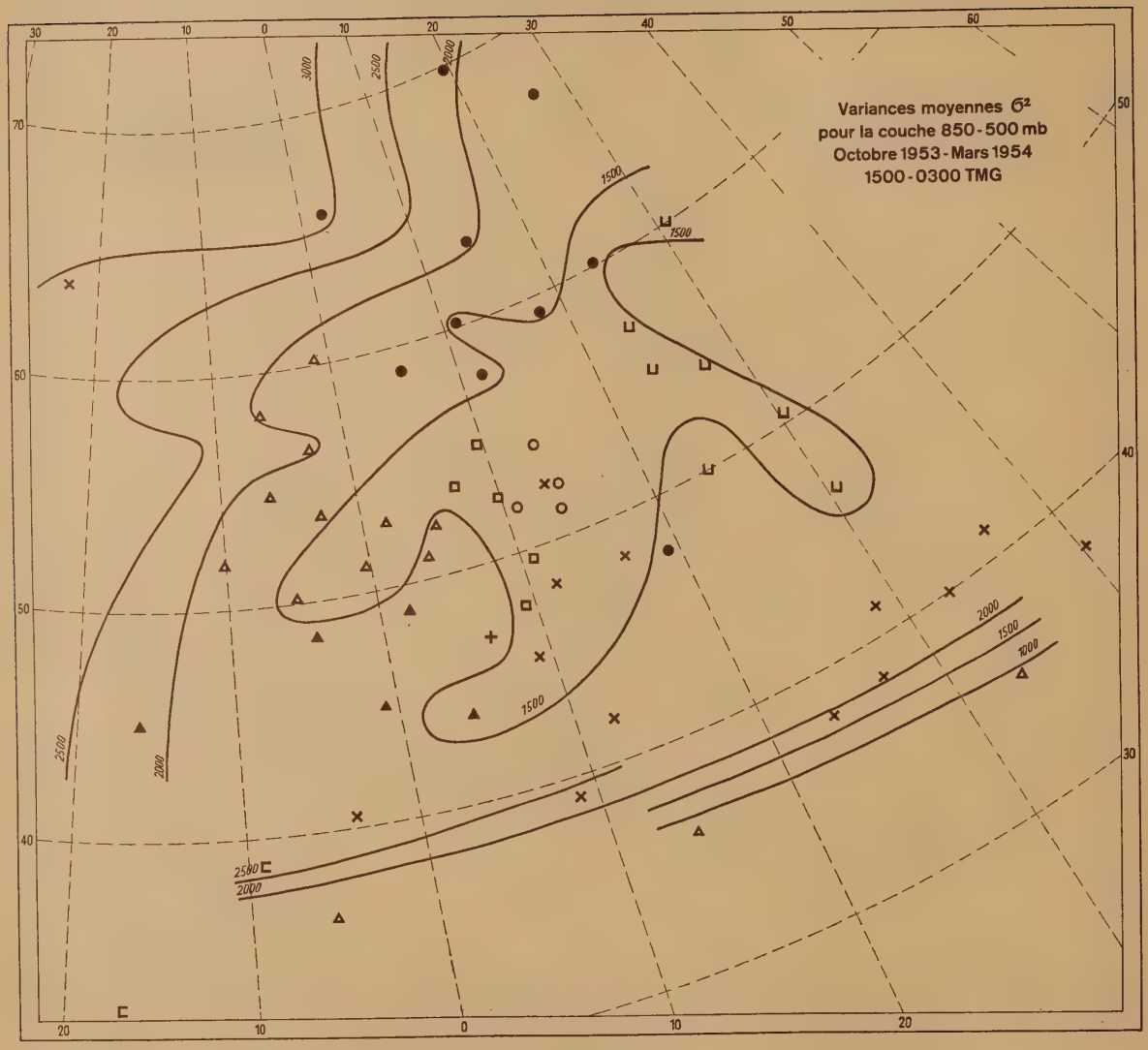
Variances moyennes σ^2
pour la couche 850-500 mb
Octobre 1953 - Mars 1954
1500-0300 TMG
30
20
10
0
10
20
30
40
50
60
70
60
50
40
50
40
30
20
10
0
10
20
3000
2500
2000
1500
1000

Fig. 4 D

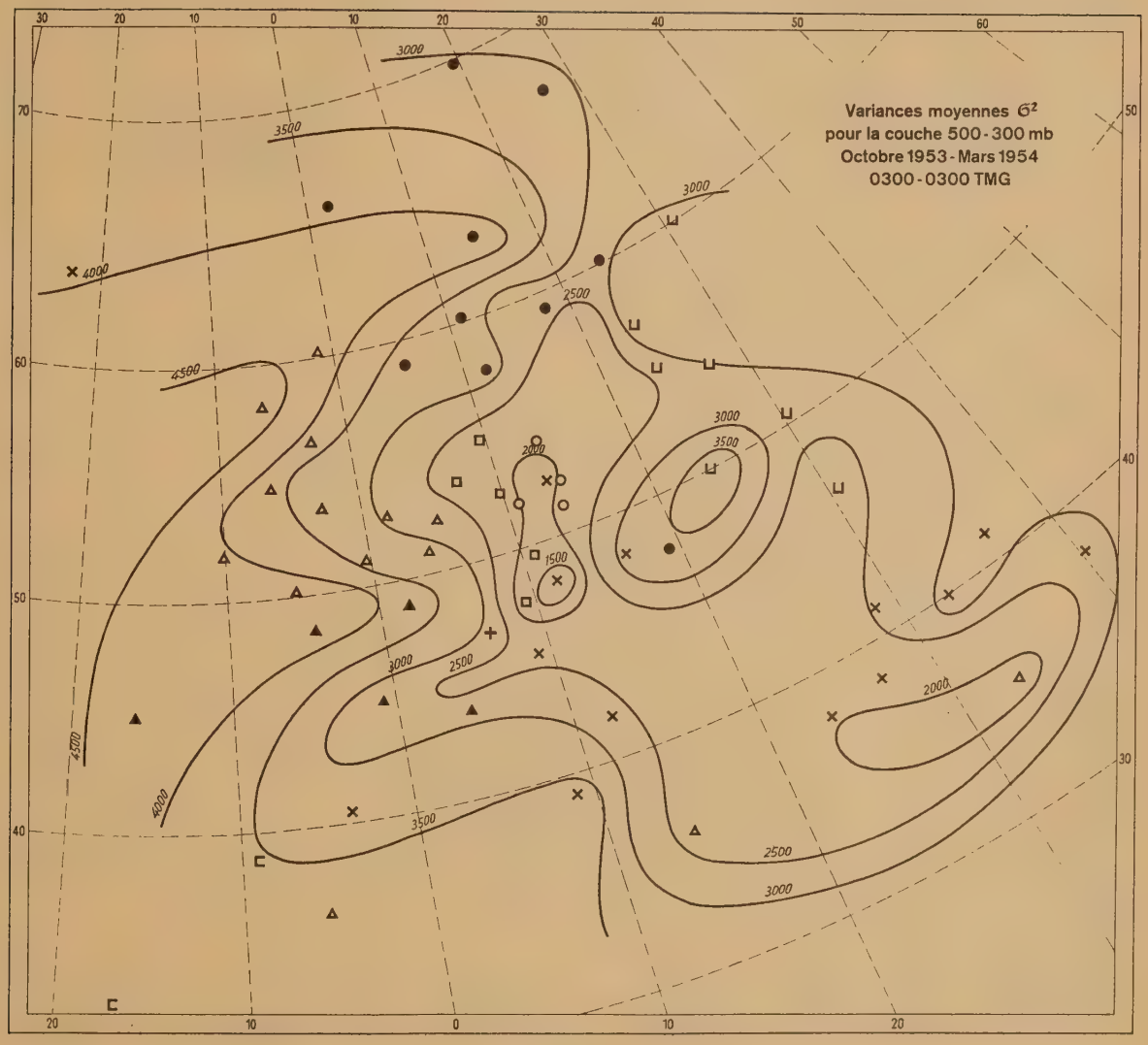
Variances moyennes σ^2
pour la couche 500-300 mb
Octobre 1953 - Mars 1954
0300 - 0300 TMG
3000
3500
4000
4500
2500
2000
1500
30 20 10 0 10 20 30 40 50 60
70
60
50
40
30
20 10 0 10 20

Fig. 5 A

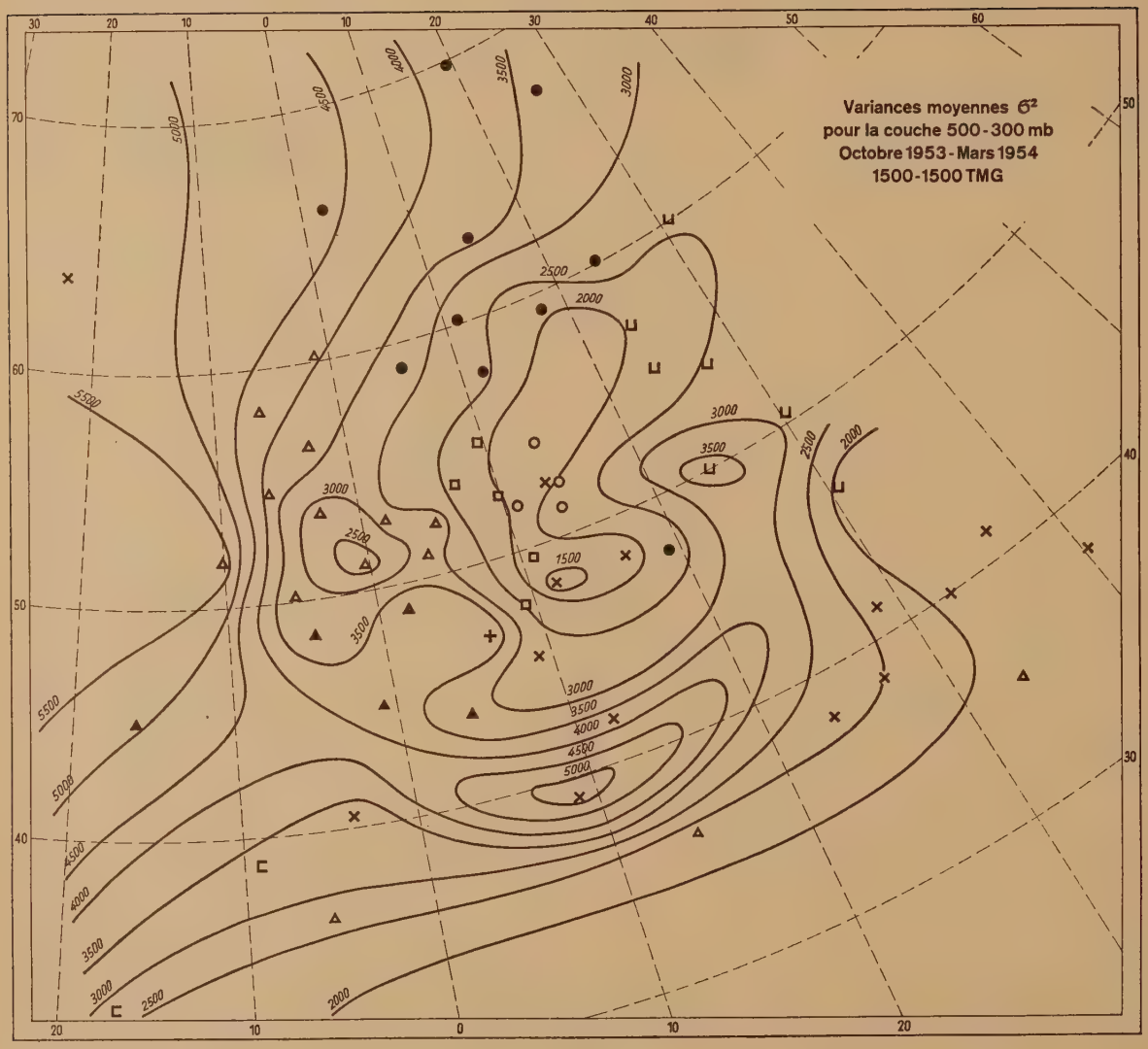
Variances moyennes σ²
pour la couche 500-300 mb
Octobre 1953-Mars 1954
1500-1500 TMG

Fig. 5 B

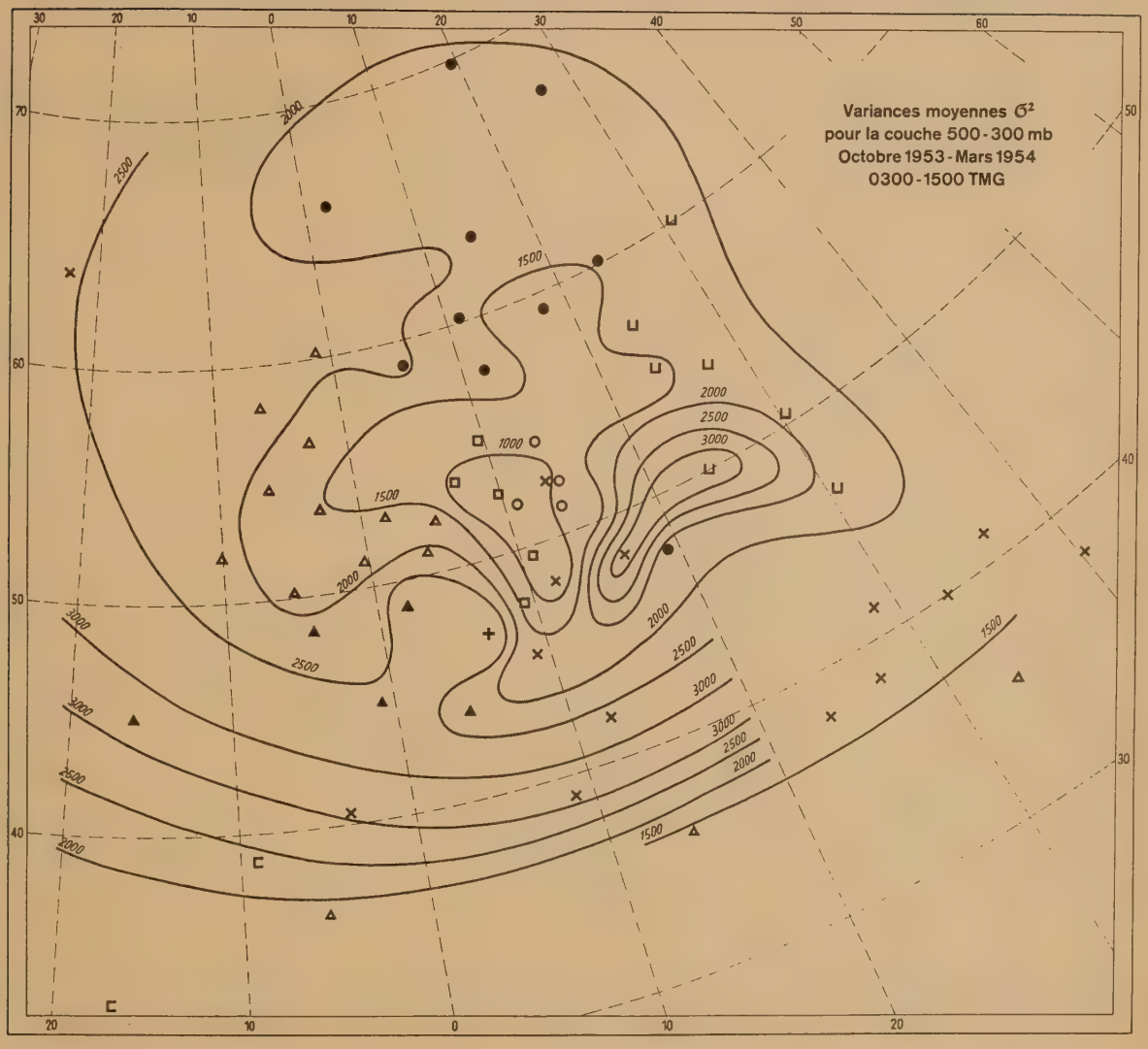
Variances moyennes σ^2
pour la couche 500 - 300 mb
Octobre 1953 - Mars 1954
0300 - 1500 TMG

Fig. 5 C

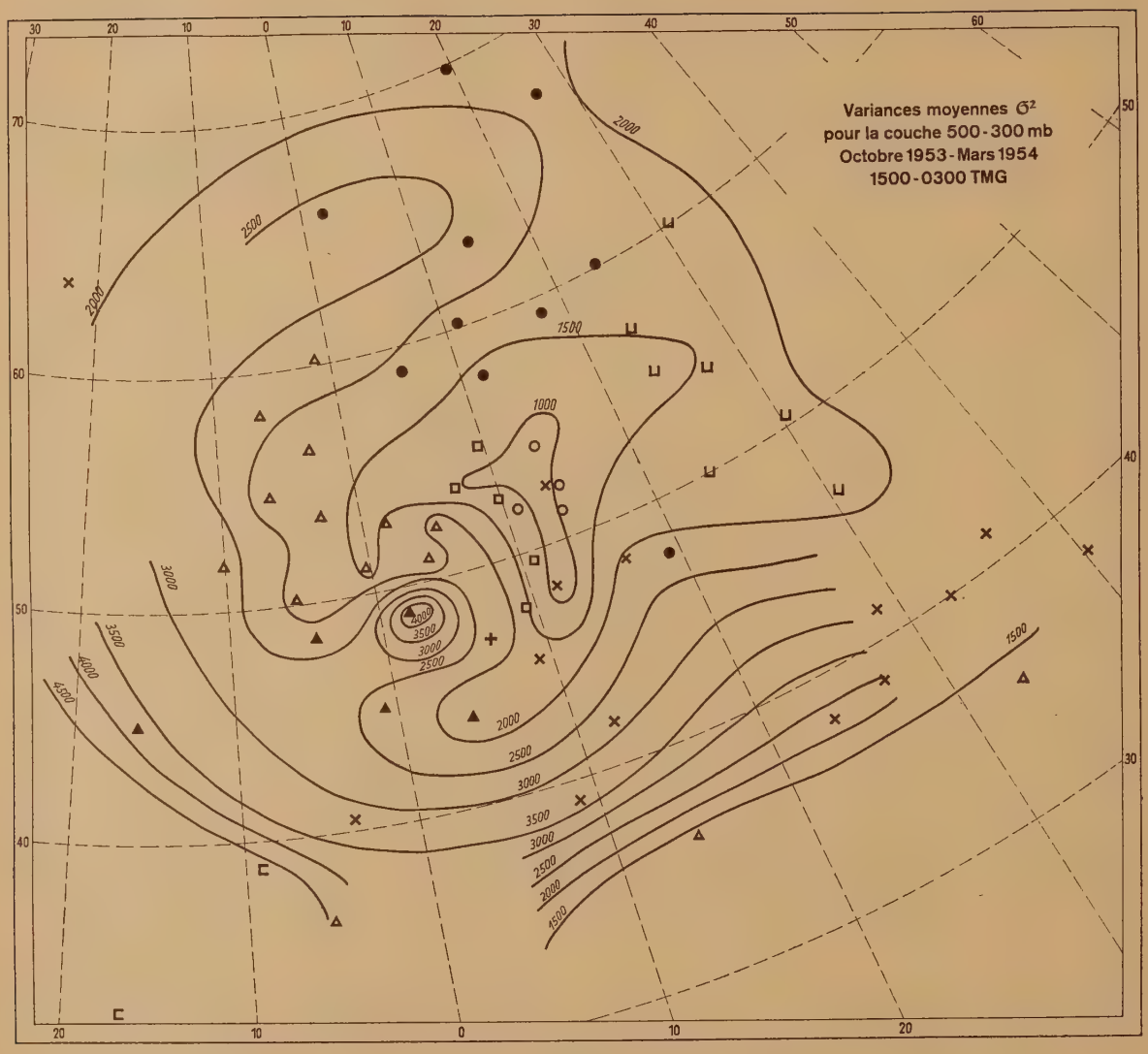
Variances moyennes σ^2
pour la couche 500-300 mb
Octobre 1953-Mars 1954
1500-0300 TMG

Fig. 5 D

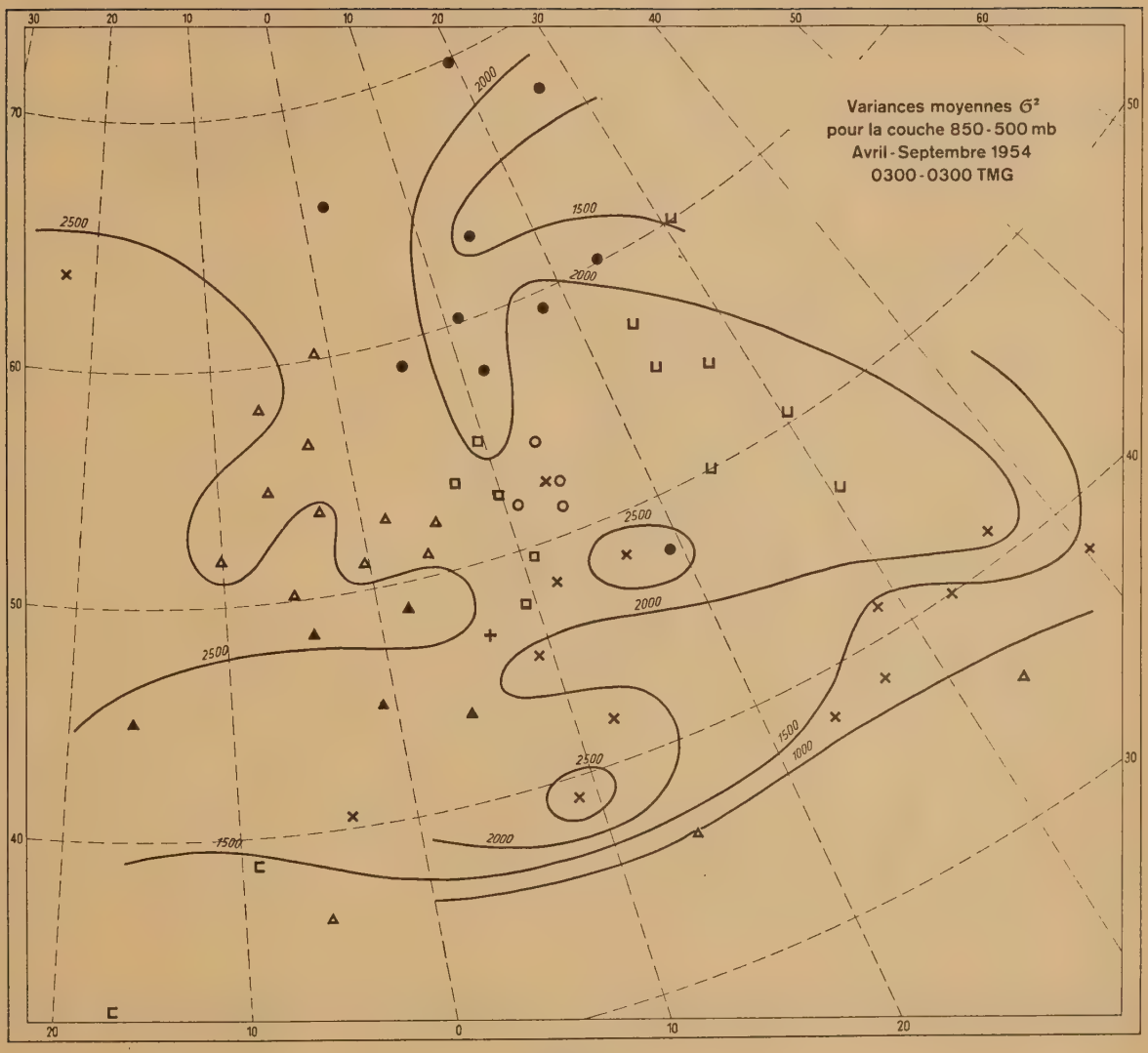
Variances moyennes G²
pour la couche 850 - 500 mb
Avril - Septembre 1954
0300 - 0300 TMG
2000
1500
2500
2000
2500
2000
2500
1500
1000
2500
2000
1500
30 20 10 0 10 20 30 40 50 60
70
60
50
40
30
20 10 0 10 20

Fig. 6 A

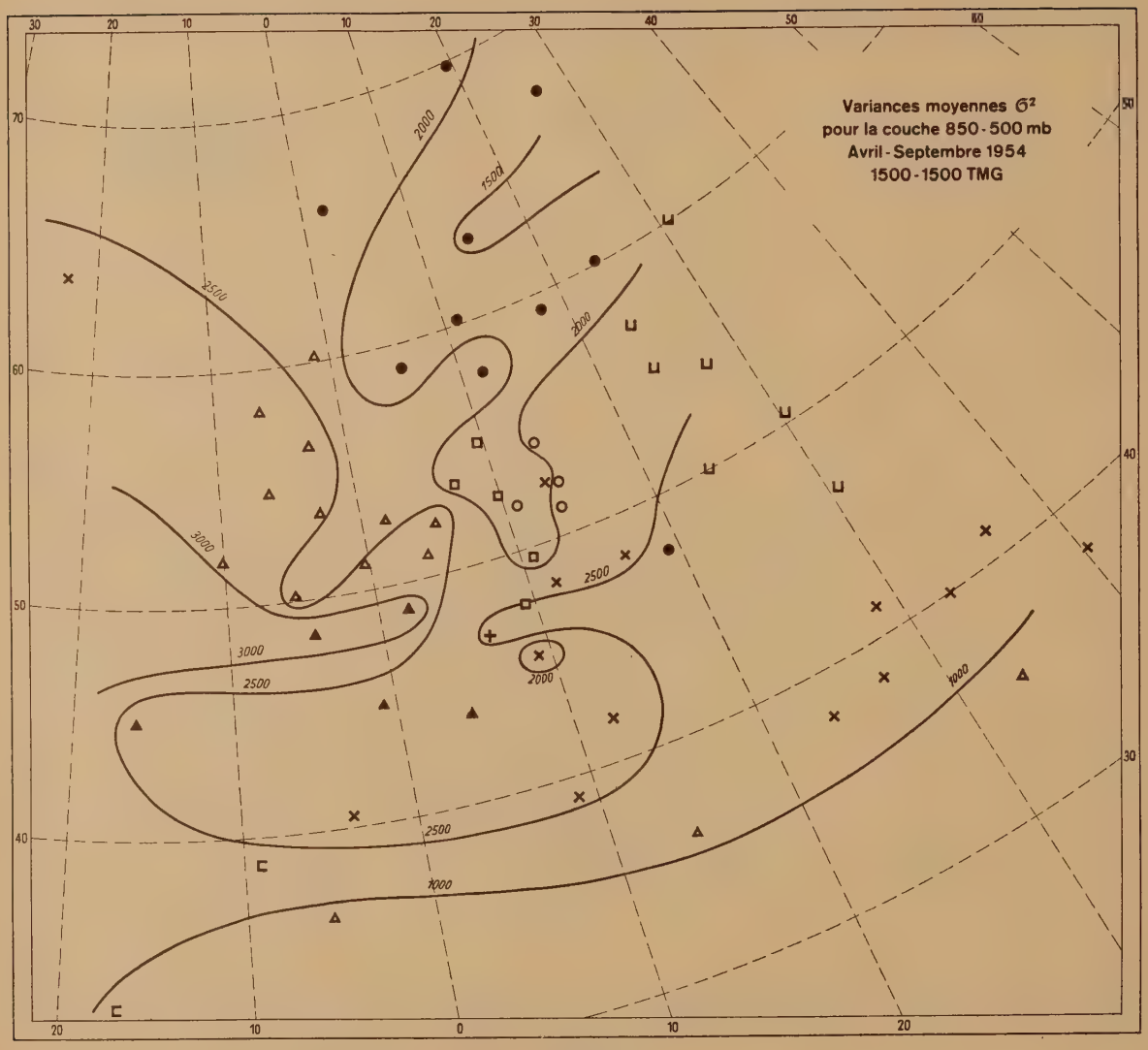
Variances moyennes σ²
pour la couche 850-500 mb
Avril-Septembre 1954
1500-1500 TMG
2000
1500
2500
2000
3000
3000
2500
2000
2500
1000
1000

Fig. 6 B

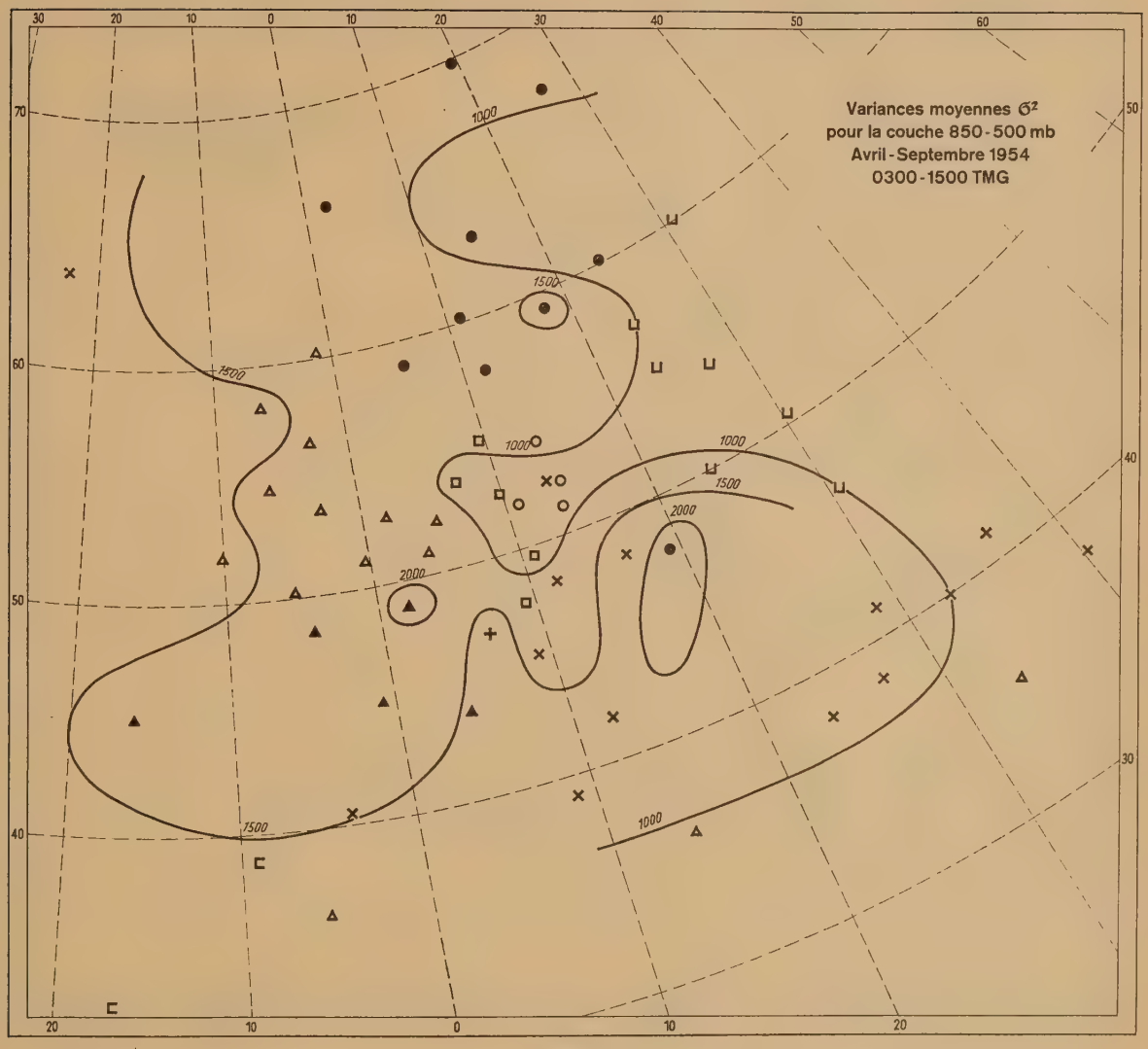
Variances moyennes σ²
pour la couche 850-500 mb
Avril-Septembre 1954
0300-1500 TMG
1000
1500
2000

Fig. 6 C

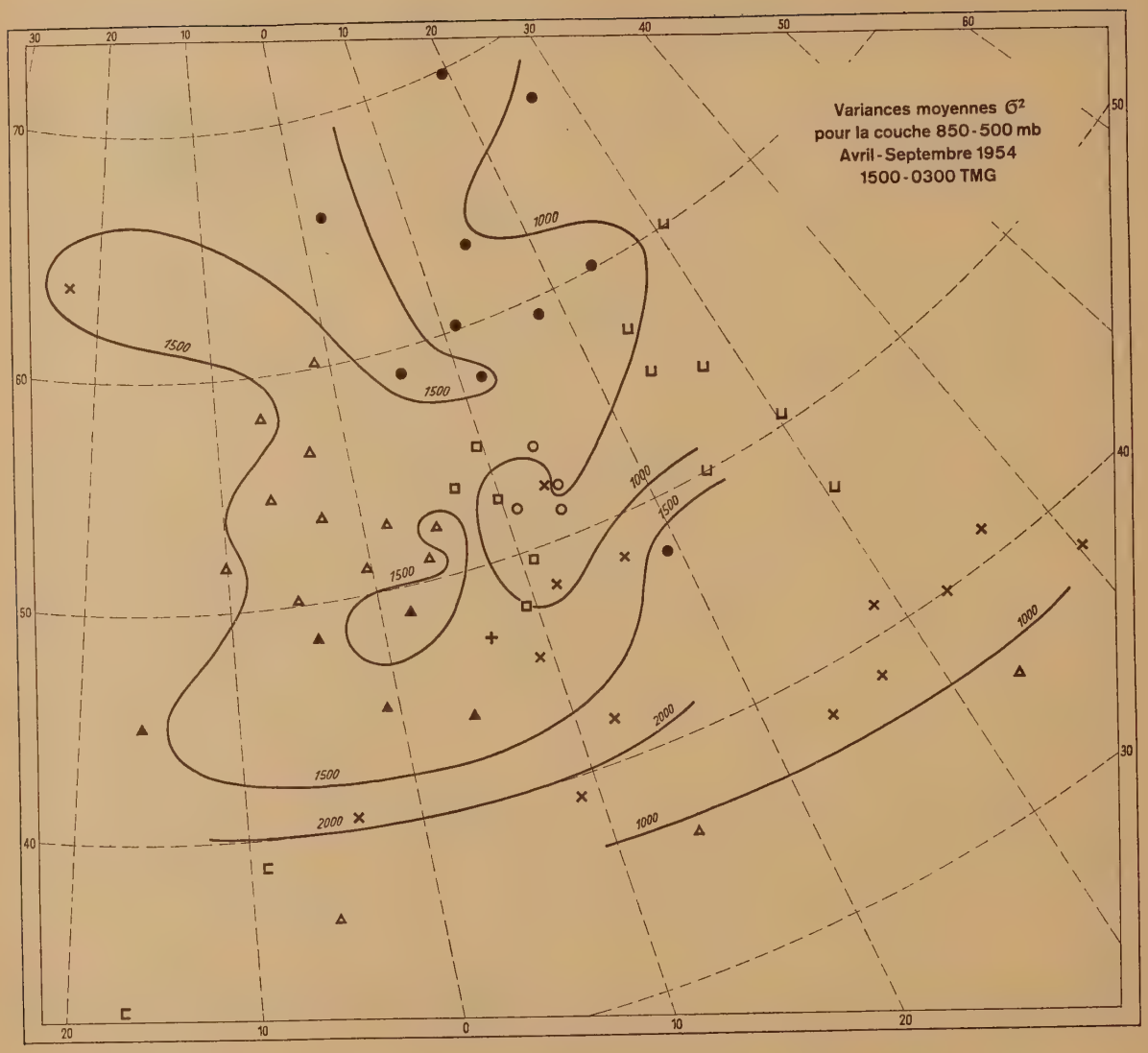
Variances moyennes σ^2
pour la couche 850-500 mb
Avril-Septembre 1954
1500-0300 TMG
1000
1500
2000
30
20
10
0
10
20
30
40
50
60
70
50
40
30
20
10
0
10
20

Fig. 6 D

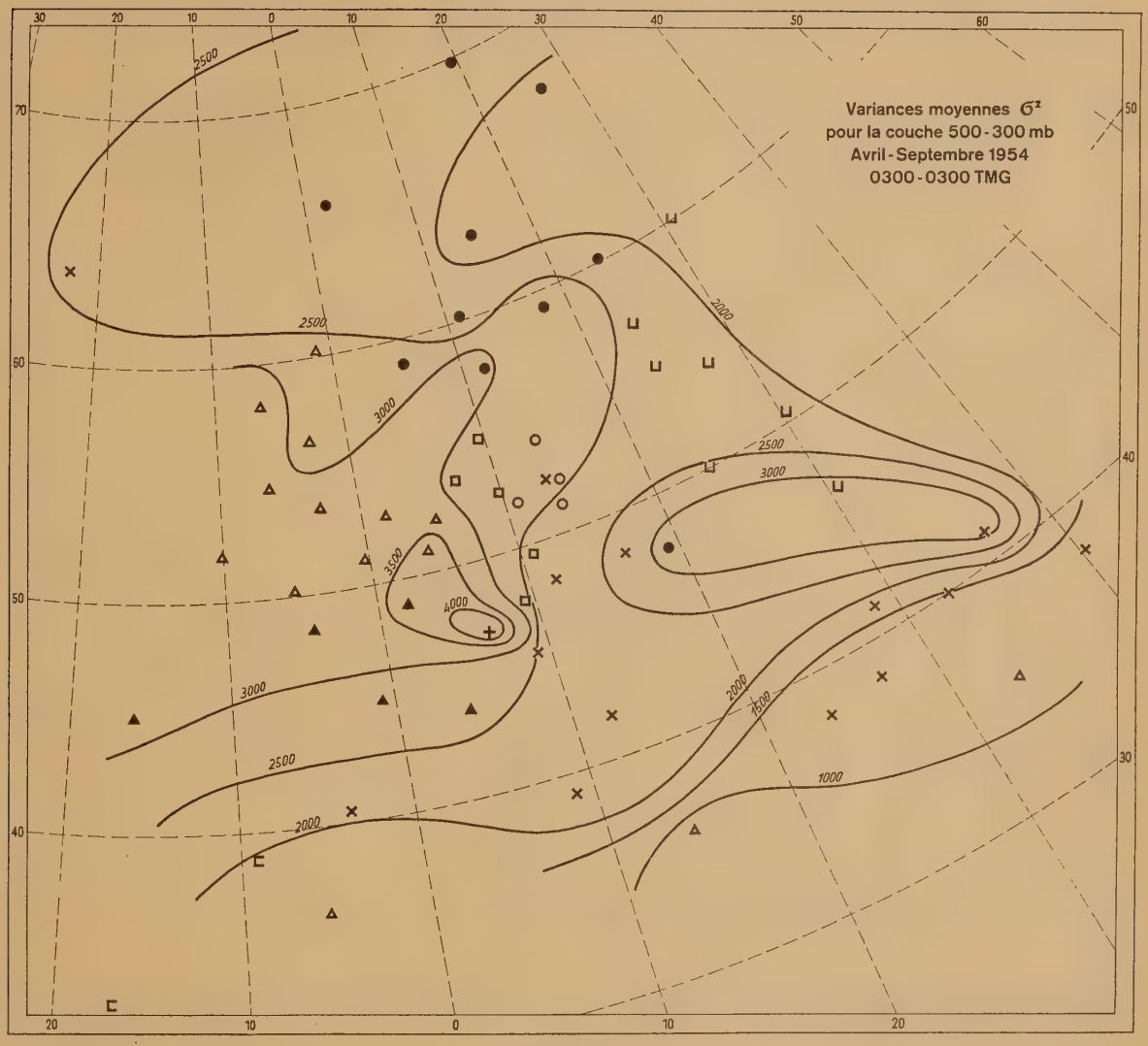
Variances moyennes σ^2
pour la couche 500-300 mb
Avril-Septembre 1954
0300-0300 TMG
2500
2000
3000
2500
3000
3500
4000
3000
2500
2000
2000
1500
1000
30
20
10
0
10
20
30
40
50
60
70
50
40
30
20
10
0
10
20

Fig. 7 A

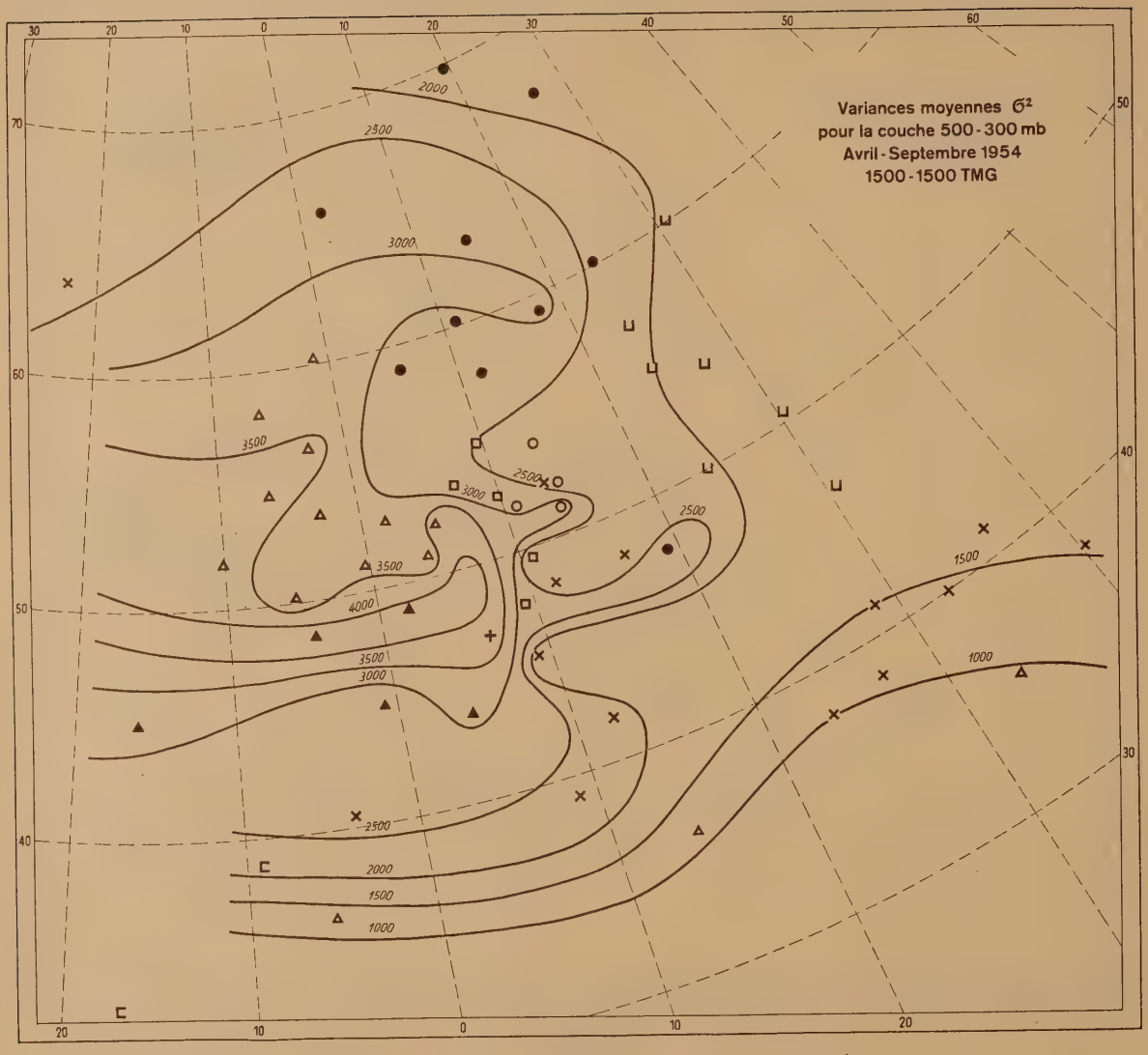
Variances moyennes σ^2
pour la couche 500 - 300 mb
Avril - Septembre 1954
1500 - 1500 TMG
2000
2500
3000
3500
4000
1500
1000
30
20
10
0
10
20
30
40
50
60
70
50
40
30
20
10
0
10
20

Fig. 7 B

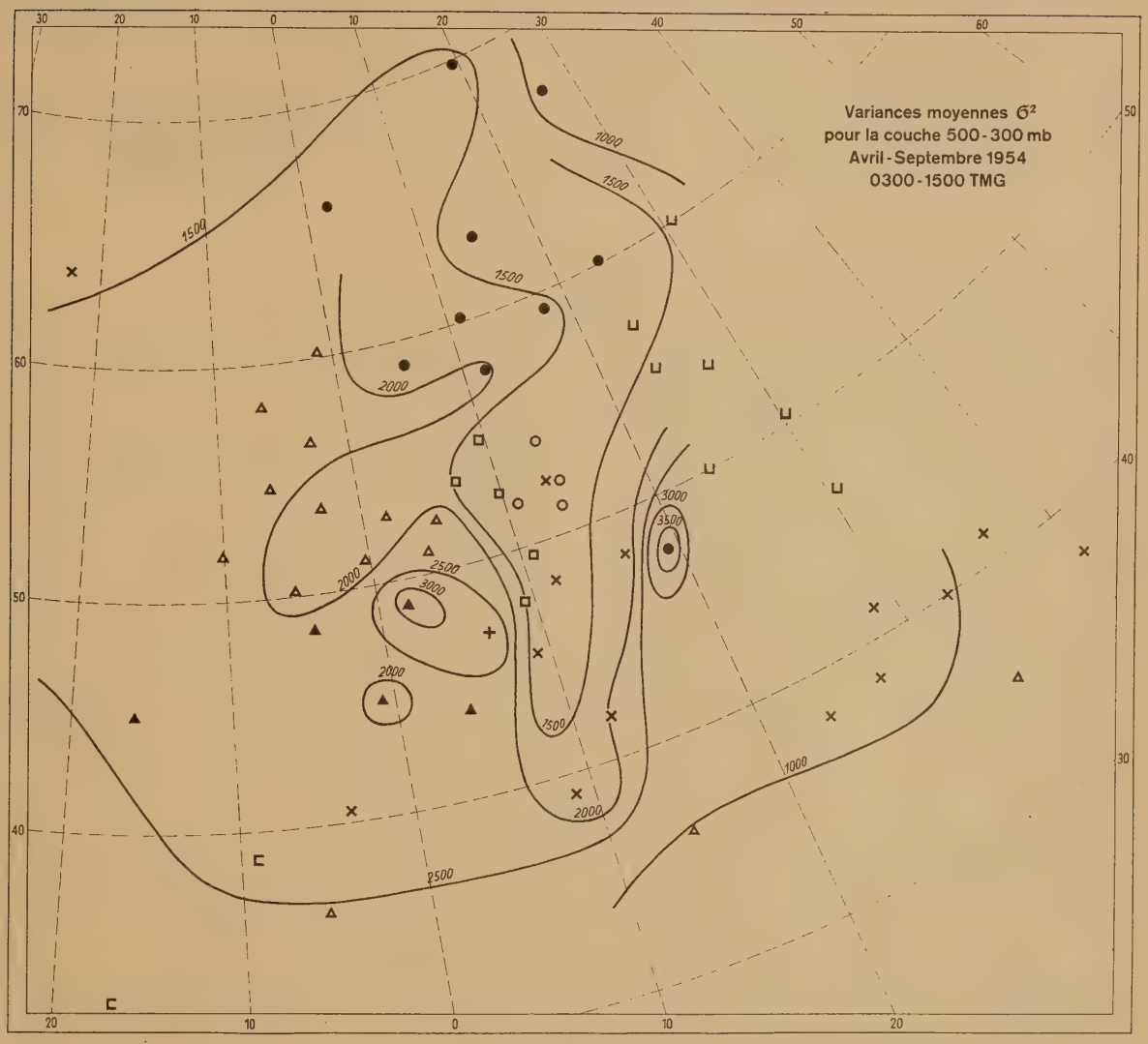
Variances moyennes σ^2
pour la couche 500-300 mb
Avril-Septembre 1954
0300-1500 TMG
1000
1500
2000
2500
3000
3500

Fig. 7 C

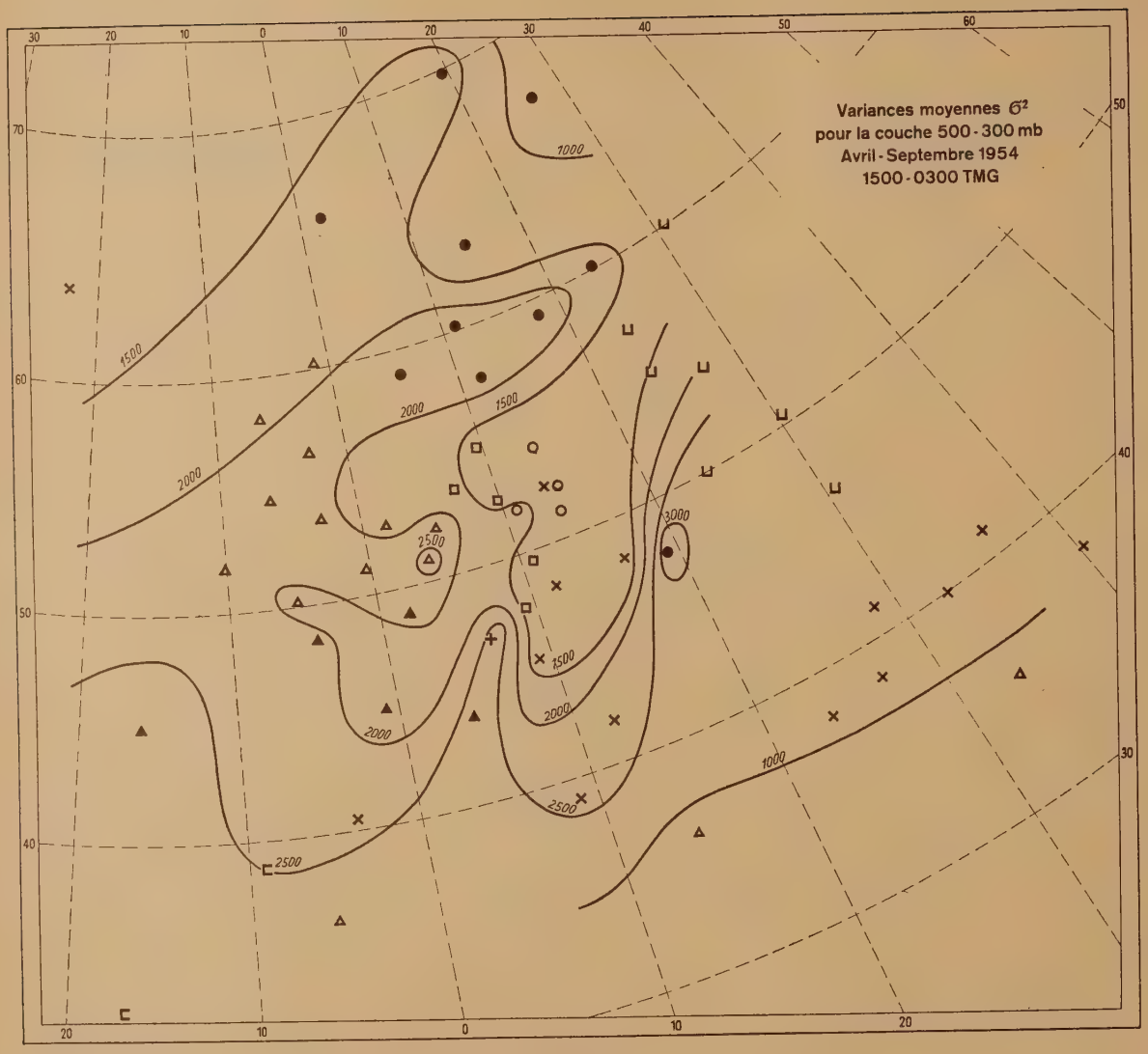
Variances moyennes σ^2
pour la couche 500 - 300 mb
Avril - Septembre 1954
1500 - 0300 TMG
1000
1500
2000
2500
3000

Fig. 7 D

Conclusion

L'exposé qui précède donne une idée du manque homogénéité du réseau européen de radiosondages our la période 1953-1954 où il était fait emploi de 9 pes différents de radiosondes. L'étude ne s'étend qu'à eux couches de la troposphère, jusqu'à une altitude environ 9000 mètres. Entreprise à la demande de l'OMM, ous la considérons néanmoins bien incomplète. Il eût llu entrer dans beaucoup plus de détails à la fois ordre instrumental, de météorologie synoptique et climatologie dynamique de l'atmosphère libre, et ne s se limiter aux seules valeurs moyennes à long terme notre disposition.

Sans sous-estimer ces résultats provisoires, intéressant une période d'évolution technique, on peut attribuer les imprécisions aux causes essentielles suivantes:

a) Effet du traînage thermique.

b) Insuffisance des moyens de protection contre le rayonnement solaire direct.

c) Corrections insuffisantes du rayonnement en général.

d) Manipulations (transport et repos prolongé), contrôle, ajustage et choc au moment du lâcher.

L'expérience et la routine journalière permettront facilement de corriger ces défauts, pour arriver rapidement à une homogénéité suffisante, indispensable au tracé des cartes d'altitude.

Bibliographie

. OMI (OMM) — Sous-Commission mixte d'aérologie expérimentale (JSAé). Information du président Jean Lugeon; Recueil des Travaux, vol. 1, vol. 2A, vol. 2B, Payerne, Zurich, juin 1950.

. OMI (OMM) — Comparaison Mondiale des Radiosondes, Payerne, mai 1950. Acte Final, vol. I destiné aux aérologistes, vol. II destiné aux météorologistes synopticiens. Rapport du président Jean Lugeon. Tableaux comparatifs calculés par Paul Ackermann, Payerne, Zurich, janvier 1951.

. OMI (OMM) — Acte Final de la réunion de Zurich, novembre 1951, de la Sous-Commission mixte d'Aérologie expérimentale, président Jean Lugeon, Zurich, novembre 1951.

. OMI (OMM) — Comparaison Mondiale des Radiosondes, Payerne, mai 1950. Acte Final, vol. III, Rapports nationaux, conclusions. Préface du président Jean Lugeon, Zurich, mars 1952.

. OMM (CIMO) — Rapport final du Groupe de travail pour la Comparaison Mondiale des radiosondes, Payerne, mai-juin 1956, préambule du président Jean Lugeon, Payerne et Zurich, juillet 1956.

. Jean Lugeon. — *L'espéranto de la stratosphère*, Actes SHSN, session de Davos, 1950.

. Jean Lugeon et Paul Ackermann. — *L'acte final de la première comparaison des radiosondes à Payerne 1950*, Actes SHSN, Session de Berne, 1952.

. OMM (Commission d'Aérologie). — Rapport Final abrégé de la première Session, Toronto, 10 août—5 septembre 1953.

. Jean Lugeon et Paul Ackermann. — *Homogénéité du réseau européen de radiosondages.* OMM, Note Technique N° 14, Genève, 1955.

. Jean Lugeon et Paul Ackermann. — *Bréviaire des erreurs de radiosondage.* Annalen der Schweizerischen Meteorologischen Zentralanstalt, Zürich, 1948.

. Jean Lugeon. — *Le poste aérologique de la Station centrale suisse de météorologie à Payerne et les nouvelles méthodes suisses de radiosondage.* Annalen der Schweiz. Meteorologischen Zentralanstalt, Zürich, 1941.

12. Jean Lugeon. — *Quelques innovations aux méthodes suisses de radiosondage;* IV, *La correction de température des radiosondages.* Annalen der Schweiz. Meteorologischen Zentralanstalt, Zürich, 1942.

13. Jean Lugeon. — *Un nouveau phénomène de réchauffement des thermomètres de radiosondes dans la stratosphère; le traînage thermique.* Actes SHSN, Session Sils 1944.

14. Paul Ackermann. — *Verfälschung der Temperaturangaben von Radiosonden durch den Strahlenschutz.* Annalen der Schweiz. Meteorologischen Zentralanstalt, Zürich, 1942.

15. Jean Lugeon et Paul Ackermann. — *Le rôle du support des thermomètres dans les mesures stratosphériques ou le traînage thermique.* Annalen der Schweiz. Meteorologischen Zentralanstalt, Zürich, 1943.

16. Jean Lugeon et Paul Ackermann. — *Le traînage thermique dans la stratosphère.* Annalen der Schweiz. Meteorologischen Zentralanstalt, Zürich, 1944.

17. Jean Lugeon et Paul Ackermann. — *L'invraisemblable stratosphère d'après nos mesures du traînage thermique de nombreux météorographes.* Actes SHSN, Fribourg, 1945.

18. Jean Lugeon et Paul Ackermann. — *Bestimmung der Temperaturfalschmessungen von Radiosondenaufstiegen infolge des Trainageeffektes.* Archiv für Meteorologie, Geophysik und Bioklimatologie, Serie A, Bd. IV, 1951.

19. W. Hering. — *Vergleich der Radiosonden-Aufstiege in Lindenberg, Berlin-Wuhlheide und Berlin-Tempelhof vom 19. September 1954.*

20. Jean Lugeon. — *Comparaison des températures des radiosondages suisses avec les postes météorologiques de montagne.* Annalen der Schweiz. Meteorologischen Zentralanstalt, Zürich, 1943.

21. Paul Ackermann. — *Vergleich der Temperaturen der freien Atmosphäre mit denjenigen des schweizerischen klimatologischen Netzes.* Annalen der Schweiz. Meteorologischen Zentralanstalt, Zürich, 1954.

22. A. P. Taylor. — *Radiosonde Ascents during the Solar Eclipse June 30, 1954.* The Meteorological Magazine, Nov. 1954.

Zurich et Payerne, août 1956.

Agrarmeteorologische Beobachtungen

ürich — Verdunstung in Millimeter Wasserhöhe (Wildsche Waage in offener Hütte) — **Château d'Oex**

1955	I	II	III	IV	V	VI	VII	VIII	IX	X	XI	XII	I	II	III	IV	V	VI	VII	VIII	IX	X	XI	XII
1	1.0	1.1	1.7	2.1	5.6	4.9	3.8	2.1	1.3	1.3	0.5	0.1	0.5	1.8	0.9	4.0	3.8	2.6	3.8	1.5	0.7	0.7	1.0	0.5
2	0.6	1.0	0.8	3.2	3.1	3.1	4.2	1.5	2.9	1.1	0.7	0.1	0.0	2.5	0.5	4.0	2.8	4.9	3.9	1.0	1.4	0.6	1.7	0.7
3	0.8	0.4	1.1	2.3	1.9	3.0	0.9	2.2	3.0	1.0	0.4	0.1	0.2	1.5	0.7	3.0	3.6	1.5	2.3	1.2	2.0	0.7	1.4	0.7
4	0.3	2.0	0.9	2.3	3.3	0.3	2.0	0.6	2.0	0.9	0.6	0.7	0.3	2.0	1.0	4.0	3.0	0.5	2.4	0.6	1.0	0.6	1.7	0.6
5	0.1	2.2	1.5	1.3	4.6	2.9	2.3	2.9	1.8	1.4	0.9	0.6	0.2	1.8	0.9	6.5	3.8	1.8	1.2	2.0	0.8	0.5	2.4	0.5
6	0.1	0.4	0.9	3.7	5.1	2.2	1.6	3.8	1.1	1.6	0.5	0.4	0.2	0.7	0.5	3.7	5.0	3.2	1.5	2.8	0.4	0.8	1.6	1.2
7	0.2	1.2	1.9	0.7	3.5	3.8	0.6	1.4	1.5	0.7	0.7	0.5	0.3	0.9	1.0	1.9	3.8	1.2	0.8	1.5	1.2	0.8	1.3	1.5
8	0.0	1.8	1.3	1.3	3.9	2.6	0.8	2.8	2.3	1.4	0.5	0.4	0.3	1.4	1.0	4.7	3.5	1.4	3.0	1.6	1.5	0.7	1.3	1.3
9	0.2	1.0	1.4	1.5	6.0	3.5	2.2	2.4	1.3	2.1	0.6	0.3	0.3	0.8	0.9	4.9	5.5	1.3	4.2	2.0	0.4	0.9	0.6	1.2
10	0.3	0.6	1.1	3.0	2.2	1.7	2.0	2.5	0.3	1.2	0.2	2.2	0.5	0.5	1.0	4.2	3.2	0.6	3.3	1.9	0.3	0.5	0.3	1.0
11	0.7	1.1	0.7	0.8	0.6	0.6	1.7	2.1	1.1	0.8	0.3	0.9	0.4	1.0	0.3	0.9	0.8	0.3	1.5	2.0	0.9	0.5	1.2	1.8
12	1.5	0.5	0.9	2.1	2.4	3.0	2.5	1.5	1.6	0.4	0.5	0.3	1.0	0.2	0.3	1.4	3.0	2.8	2.6	0.4	1.6	0.5	0.6	0.5
13	0.8	1.0	0.5	2.2	5.3	3.1	1.2	1.9	1.2	1.1	0.2	0.1	1.5	0.9	1.0	5.0	4.0	1.4	5.0	1.0	0.7	0.4	0.8	1.5
14	1.5	1.7	0.6	2.7	2.2	2.9	1.0	2.1	1.8	1.0	0.7	0.1	0.6	0.5	0.6	4.3	0.6	2.8	2.0	1.4	0.3	0.9	0.0	0.5
15	0.7	1.4	2.1	1.0	1.0	3.8	2.5	1.7	1.8	1.6	1.3	2.2	0.5	0.4	0.7	2.2	0.8	3.0	0.5	1.5	0.3	1.8	1.7	0.7
16	0.6	0.4	1.5	1.0	3.2	4.0	2.6	2.8	2.4	0.4	1.0	1.1	2.6	0.6	1.0	3.0	3.8	3.2	2.4	2.0	1.1	1.5	1.0	0.0
17	1.2	0.2	1.0	1.3	1.6	2.6	3.5	2.8	2.2	1.2	1.1	1.4	0.5	0.0	1.2	1.8	0.8	1.5	3.8	2.3	1.6	0.7	1.0	0.4
18	1.0	0.3	1.5	2.8	1.5	3.4	4.7	3.4	1.3	1.2	1.4	0.6	0.2	0.3	1.2	3.0	0.5	2.0	4.8	2.6	1.2	0.3	0.3	0.8
19	0.9	0.9	2.1	3.8	2.4	2.7	2.9	3.4	1.7	1.3	0.9	2.2	0.3	1.0	1.5	3.5	2.6	1.9	2.8	3.2	1.0	0.8	0.4	0.5
20	0.5	0.8	2.0	3.6	2.8	1.5	2.0	2.8	1.8	1.5	0.4	2.5	0.1	0.2	1.0	3.0	2.6	1.0	0.6	2.0	1.3	1.8	0.3	0.2
21	0.0	0.2	2.0	4.2	3.6	2.4	2.6	3.1	1.9	1.5	0.4	1.6	0.0	0.2	2.0	4.0	2.8	1.2	1.8	2.0	0.6	0.8	0.5	0.5
22	0.2	0.1	2.5	3.6	1.9	1.0	0.9	2.9	2.2	0.9	0.7	2.5	0.3	2.8	2.0	3.3	1.2	0.5	0.8	2.0	1.4	1.8	0.3	0.4
23	0.0	0.2	1.8	4.0	3.5	3.0	2.0	3.1	1.8	0.8	0.9	1.0	1.0	2.0	1.5	5.0	2.6	2.4	2.0	2.6	0.8	0.6	0.3	0.5
24	0.2	0.5	6.0	4.9	4.2	4.1	2.9	3.9	1.4	0.7	0.7	0.4	1.0	2.1	3.0	3.4	3.6	2.8	3.0	2.0	1.4	1.2	0.0	0.5
25	0.5	0.7	3.6	4.4	4.1	3.4	3.1	2.2	0.6	1.1	0.8	0.5	0.8	1.0	4.3	4.0	3.1	3.2	2.5	0.8	1.2	2.0	0.3	0.2
26	0.3	0.5	2.3	4.4	3.9	3.4	1.7	2.6	1.4	1.5	0.5	0.7	1.2	1.0	2.6	5.0	3.0	2.2	1.0	0.9	0.8	0.6	0.3	0.5
27	0.1	0.4	1.9	2.3	1.2	1.3	0.8	0.8	0.4	2.2	0.4	1.4	0.4	0.4	3.2	5.0	0.3	0.5	1.0	0.3	0.0	1.8	0.2	0.4
28	0.1	1.1	0.4	4.5	1.6	2.8	1.4	1.8	0.4	1.0	0.0	1.8	1.0	0.6	1.0	4.2	2.2	1.7	0.4	0.6	0.2	1.0	0.3	0.8
29	0.0	—	0.4	5.1	1.6	3.1	0.9	2.7	1.4	1.3	0.0	1.4	1.7	—	1.3	6.0	1.4	2.5	0.3	0.8	1.8	1.7	0.4	1.8
30	0.0	—	1.8	4.8	4.2	3.2	1.8	1.5	0.6	0.6	0.1	1.5	1.0	—	0.7	4.0	3.0	2.0	1.5	0.7	0.9	1.0	0.7	1.2
31	0.0	—	1.1	—	4.7	—	1.8	2.0	—	1.3	—	1.0	1.0	—	2.0	—	3.0	—	1.6	0.3	—	1.0	—	0.0
Summe	14.4	23.7	48.3	84.9	96.7	82.3	64.9	73.3	46.5	36.1	17.9	30.6	19.9	29.1	40.8	112.9	83.7	57.9	68.3	47.5	28.8	29.5	23.9	22.9

Jahressumme: 619.6 mm — Jahressumme: 565.2 mm

Pregassona

	I	II	III	IV	V	VI	VII	VIII	IX	X	XI	XII
1	0.5	0.2	1.2	2.2	5.9	4.0	3.9	2.2	7.3	1.7	0.1	0.3
2	0.3	0.2	1.3	3.1	4.6	4.5	3.4	2.4	3.3	1.6	0.6	0.3
3	0.1	0.1	1.5	3.2	8.0	1.8	0.6	4.5	3.2	1.3	1.0	0.8
4	0.0	1.1	1.2	6.8	2.0	0.5	2.7	4.9	2.4	1.1	1.2	7.2
5	0.3	2.6	3.1	4.5	4.2	2.1	8.4	3.7	3.3	1.1	1.2	1.6
6	0.7	6.2	0.9	4.9	2.8	2.7	9.4	3.1	1.9	3.0	1.2	0.9
7	0.7	3.9	1.8	2.9	7.5	3.6	3.7	1.8	1.0	10.5	1.0	0.9
8	0.8	2.4	1.6	3.5	4.8	3.9	6.7	5.2	1.1	5.8	0.5	0.4
9	0.6	3.9	1.5	4.3	5.1	2.1	3.3	7.6	1.1	2.4	0.2	0.6
10	0.9	2.5	1.4	7.3	2.9	5.0	2.9	5.0	1.3	0.6	0.2	0.5
11	1.0	3.2	0.5	7.4	4.1	3.7	0.9	2.6	1.2	1.6	1.1	1.1
12	1.1	2.2	0.5	5.4	5.2	2.6	2.7	0.3	2.6	1.5	0.9	0.3
13	2.2	4.0	1.9	5.2	3.2	5.9	4.0	2.2	2.9	1.8	0.5	0.4
14	1.6	5.8	3.5	9.3	1.5	6.3	4.7	2.7	2.2	2.0	0.9	0.5
15	1.9	2.0	2.3	11.8	5.0	4.4	3.3	3.7	2.9	1.7	0.8	0.0
16	0.2	1.5	1.4	8.0	4.9	5.7	3.6	4.2	3.3	1.0	1.1	1.2
17	4.5	0.4	3.6	5.7	2.2	3.4	3.4	3.4	3.0	0.3	1.2	2.2
18	4.7	0.6	9.8	6.5	3.0	2.9	3.6	3.3	2.2	1.6	0.8	0.7
19	1.4	0.5	2.2	3.8	5.6	1.4	2.2	3.3	1.5	1.4	1.5	0.4
20	2.1	4.3	2.0	3.9	4.1	1.3	1.1	2.6	3.2	0.0	1.3	0.6
21	2.7	2.0	0.0	4.1	4.4	3.3	1.9	3.3	0.8	1.2	1.1	0.8
22	1.4	1.0	1.7	4.8	9.0	2.8	3.7	4.7	2.0	0.7	1.9	1.0
23	1.3	0.4	2.7	4.1	5.6	5.0	4.9	4.3	1.8	0.5	5.4	1.0
24	1.2	0.3	1.6	7.0	3.0	4.9	3.7	2.7	1.8	8.1	6.7	0.7
25	1.2	0.2	1.2	6.7	3.5	3.8	2.7	0.5	2.0	6.2	5.7	1.3
26	1.6	1.3	1.2	2.7	3.2	3.2	0.2	1.6	1.8	2.0	1.7	1.6
27	1.5	0.6	0.8	3.9	1.5	2.8	1.7	2.7	2.6	1.0	1.8	4.1
28	2.0	0.7	1.8	3.9	5.1	2.2	3.3	1.7	5.8	2.7	1.1	1.2
29	1.6	—	0.5	5.7	9.0	3.6	5.4	1.8	2.5	2.1	1.4	0.9
30	0.9	—	0.6	7.7	2.7	4.1	5.5	0.5	2.1	0.8	0.2	0.1
31	0.2	—	2.2	—	4.6	—	2.1	2.5	—	0.4	—	5.3
Summe	41.2	54.1	57.5	160.3	138.2	103.5	109.6	95.0	74.1	67.7	44.3	38.9

Jahressumme: 984.4 mm

Bodentemperaturen

Zürich 1955 (Mittel aus 8 Stundenwerten)

	I	II	III	IV	V	VI	VII	VIII	IX	X	XI	XII	I	II	III	IV	V	VI	VII	VIII	IX	X	XI	XII
	2 cm Tiefe												10 cm Tiefe											
1	0.4	2.7	–0.2	4.3	16.8	16.2	20.2	18.6	18.5	11.0	4.9	1.1	0.7	2.8	–0.0	3.9	16.6	16.2	20.4	18.7	18.9	11.5	5.0	1.1
2	–0.2	3.3	–0.3	5.7	15.6	16.5	21.2	17.7	18.5	11.4	6.1	1.4	0.1	3.5	–0.1	5.3	15.8	16.4	21.4	17.8	18.0	11.8	6.2	1.4
3	–0.6	3.1	–0.4	6.6	13.3	16.5	19.5	19.0	18.9	11.9	6.4	2.8	–0.4	3.5	–0.2	6.5	13.6	16.5	19.8	18.9	18.4	12.2	6.4	2.8
4	–0.6	2.8	–0.4	7.7	12.4	14.6	18.1	18.0	19.3	12.4	7.8	4.4	–0.4	3.0	–0.2	7.8	12.5	14.7	18.3	18.0	19.0	12.3	7.8	4.4
5	–0.6	3.5	–0.2	8.4	14.6	17.0	17.1	18.3	19.3	12.5	9.1	3.4	–0.4	3.6	0.3	8.6	14.4	16.9	17.3	18.1	19.3	12.8	9.1	3.4
6	–0.6	2.4	–0.3	9.4	16.5	19.3	15.8	18.4	18.0	11.1	9.3	3.2	–0.4	2.6	0.0	9.1	16.2	19.2	15.9	18.4	18.2	11.4	9.5	3.2
7	–0.6	2.3	–0.1	9.0	14.7	18.8	14.5	17.6	17.6	9.9	9.0	2.6	–0.4	2.4	0.6	9.1	14.9	19.0	14.7	17.7	17.5	10.6	9.1	2.5
8	–0.7	4.1	–0.3	8.6	15.1	17.1	15.1	16.8	18.7	10.3	8.6	2.5	–0.5	4.1	0.2	8.8	14.7	17.2	15.3	16.9	18.5	10.7	8.6	2.4
9	–0.6	4.1	–0.2	9.3	15.5	17.2	18.2	16.3	18.0	10.3	8.2	3.2	–0.4	4.3	0.4	9.5	15.2	17.3	17.8	16.4	18.2	10.7	8.4	3.2
10	–0.6	2.5	–0.1	9.7	14.7	14.7	18.8	16.1	16.6	10.5	8.5	3.1	–0.4	2.8	0.3	9.8	14.9	15.1	18.8	16.1	16.7	10.7	8.5	3.1
11	–0.5	1.5	–0.1	8.0	12.6	13.1	18.5	17.0	16.3	10.8	8.4	4.0	–0.4	1.9	0.2	8.2	12.9	13.4	18.5	16.8	16.5	10.8	8.5	4.1
12	3.4	0.1	–0.2	8.4	13.6	14.7	20.3	17.5	16.8	10.8	8.1	3.7	2.7	0.5	0.3	8.4	13.6	14.7	20.2	17.6	16.9	10.9	8.2	3.7
13	3.3	0.8	–0.1	8.4	14.8	14.2	19.4	18.4	15.4	11.6	7.2	2.9	3.4	1.0	0.7	8.6	14.6	14.8	19.5	18.1	15.7	11.8	7.2	2.9
14	4.3	0.7	0.2	8.9	13.5	15.1	18.9	18.7	13.0	12.1	7.2	3.1	4.3	1.0	1.2	9.0	13.8	15.2	19.2	18.5	13.3	12.3	7.2	3.1
15	3.4	0.1	1.2	7.7	11.0	17.1	19.8	18.0	11.3	12.2	6.2	3.9	3.7	0.3	1.8	7.9	11.5	17.0	19.8	18.0	11.6	12.6	8.2	3.9
16	4.7	0.3	3.4	7.2	12.0	19.1	19.8	18.9	12.0	11.0	4.8	4.7	4.7	0.6	2.6	6.8	12.1	19.0	19.9	18.5	12.2	11.1	4.8	4.7
17	2.9	0.0	1.8	5.6	12.4	19.5	22.1	19.2	13.3	10.2	4.3	4.5	3.1	0.6	2.3	5.8	12.6	19.5	21.9	18.7	13.5	10.4	4.3	4.4
18	2.0	0.5	1.1	6.7	10.8	20.1	23.5	20.0	14.2	9.4	3.6	4.5	2.1	0.6	2.0	6.5	11.3	20.1	23.5	19.7	14.4	9.6	3.6	4.5
19	1.6	0.6	0.9	7.6	11.2	20.5	23.5	20.5	13.8	8.9	2.9	4.2	1.7	0.7	1.3	7.1	11.4	21.1	23.6	20.2	14.0	9.1	2.9	4.2
20	1.4	0.6	2.2	8.1	11.8	18.7	21.9	21.0	14.1	9.0	3.2	3.7	1.4	0.7	2.6	7.5	12.0	19.1	22.2	20.8	14.4	9.2	3.2	3.7
21	1.3	0.7	3.4	9.2	12.4	19.2	22.2	20.8	15.2	9.7	3.1	3.8	1.3	0.8	3.7	8.7	12.2	19.4	22.4	20.4	15.4	9.9	3.2	3.8
22	1.0	0.5	6.1	9.7	11.7	18.2	19.7	20.8	15.5	9.6	3.5	3.7	1.1	0.7	6.3	9.4	12.0	18.5	20.1	20.4	15.7	9.9	3.5	3.7
23	1.5	0.4	6.7	10.1	13.1	19.6	20.5	21.2	15.5	8.7	3.2	3.7	1.6	0.6	6.8	9.7	12.9	19.4	20.7	20.9	15.7	8.9	3.2	3.7
24	1.4	0.4	8.2	10.5	14.7	20.6	21.2	21.5	15.8	8.4	3.6	4.8	1.5	0.6	8.1	10.3	14.3	20.6	21.4	21.1	15.9	8.5	3.7	4.9
25	1.2	0.5	9.2	10.3	15.6	20.9	21.3	20.2	15.6	8.9	3.1	4.8	1.3	0.8	9.3	9.8	15.4	21.0	21.6	20.3	15.9	8.9	3.1	4.9
26	1.1	0.5	9.2	10.5	17.4	20.4	20.0	19.6	15.8	8.8	1.9	4.8	1.1	0.6	9.4	10.3	17.3	20.6	20.3	19.6	16.1	8.9	1.8	4.8
27	1.1	0.5	10.1	11.5	14.4	19.0	18.5	17.4	14.3	8.6	1.2	4.4	1.2	0.6	10.2	11.6	14.8	19.2	18.8	17.7	14.4	8.8	1.2	4.5
28	0.6	0.1	7.7	13.2	13.5	19.3	17.9	18.2	12.4	8.5	0.6	5.1	0.7	0.2	8.0	12.9	13.7	19.4	18.1	18.4	12.6	8.7	0.6	5.1
29	1.0	—	4.8	14.7	14.0	19.3	17.3	19.4	11.4	6.3	0.6	8.1	1.1	—	5.0	14.3	14.2	19.4	17.6	19.4	11.7	6.4	0.7	6.1
30	1.1	—	4.0	15.9	14.8	19.2	18.2	18.7	10.9	5.6	0.8	5.0	1.3	—	4.1	15.7	14.9	19.5	18.3	18.9	11.2	5.7	0.8	5.1
31	1.5	—	3.4	—	15.7	—	18.1	19.1	—	5.6	—	3.7	1.7	—	3.5	—	15.5	—	18.3	19.4	—	5.6	—	3.6
Mittel	1.1	1.4	2.6	9.0	13.9	17.9	19.4	18.8	15.5	9.9	5.2	3.8	1.2	1.6	2.9	8.9	13.9	18.0	19.5	18.7	15.7	10.1	5.2	3.8
	20 cm Tiefe												50 cm Tiefe											
1	1.2	2.6	0.1	3.9	15.7	15.6	19.6	18.3	18.7	11.4	5.1	1.1	4.0	2.8	1.7	5.0	12.3	13.7	17.6	17.7	18.2	13.1	8.2	3.6
2	0.5	2.9	0.0	5.1	15.2	15.9	20.6	17.6	17.9	11.7	6.1	1.5	3.5	3.2	1.6	5.1	12.9	14.1	17.8	17.7	18.0	12.9	7.9	3.7
3	0.1	3.3	–0.1	6.1	13.4	15.9	19.8	18.4	18.1	12.1	6.4	2.6	3.0	3.5	1.6	5.6	12.7	14.2	18.2	17.5	18.0	12.9	8.0	3.7
4	–0.1	2.9	–0.1	7.3	12.2	14.6	18.2	18.0	18.7	12.4	7.6	4.2	2.6	3.6	1.5	5.9	12.1	14.3	17.9	17.6	18.1	13.1	8.2	4.3
5	–0.3	3.5	0.1	8.0	13.6	16.2	17.3	17.8	19.0	12.7	8.9	3.4	2.4	3.7	1.5	6.7	11.9	14.0	17.4	17.4	18.3	13.2	8.6	4.7
6	–0.3	2.7	0.0	8.4	15.3	18.1	16.1	18.1	18.2	11.4	9.2	3.2	2.3	3.7	1.5	7.1	12.4	14.9	17.0	17.5	18.3	13.1	9.2	4.6
7	–0.3	2.4	0.3	8.9	14.5	18.4	15.0	17.8	17.4	10.3	8.9	2.6	2.1	3.6	1.5	7.8	13.0	15.6	16.3	17.7	17.9	12.5	9.3	4.5
8	–0.3	3.6	0.1	8.3	14.2	16.8	14.9	16.8	18.1	10.5	8.6	2.5	2.0	3.6	1.5	8.0	12.8	15.8	15.6	17.3	17.7	12.1	9.4	4.3
9	–0.3	4.1	0.3	9.0	14.8	16.7	17.1	16.3	18.0	10.6	8.2	3.2	2.0	4.1	1.5	7.9	12.9	15.5	15.6	16.9	17.9	12.0	9.3	4.3
10	–0.3	2.9	0.3	9.3	14.5	15.0	18.1	15.9	16.9	10.7	8.4	3.1	1.9	4.1	1.5	7.9	13.2	14.7	16.3	16.5	17.7	11.9	9.3	4.5
11	–0.3	2.0	0.2	8.2	13.0	13.7	18.1	16.5	16.4	10.8	8.4	3.9	1.8	3.6	1.6	8.1	13.0	14.7	16.8	16.3	17.2	11.9	9.3	4.5
12	2.0	0.9	0.2	8.1	13.1	14.1	19.3	17.2	16.7	10.9	8.2	3.7	1.7	3.3	1.5	7.9	12.4	13.9	16.9	16.5	16.9	11.9	9.2	4.7
13	3.4	0.9	0.4	8.1	13.9	14.2	19.2	17.8	15.8	11.5	7.2	2.9	2.9	2.7	1.5	7.9	12.5	14.1	17.6	16.7	16.9	11.9	9.0	4.7
14	3.7	1.1	0.7	8.6	13.6	14.7	18.6	17.1	13.7	11.9	7.2	3.1	3.2	2.6	1.6	8.1	12.8	13.8	17.6	17.1	16.2	12.2	8.7	4.5
15	3.5	0.5	1.2	7.8	11.6	16.2	19.2	17.8	11.8	12.2	6.5	3.8	3.9	2.4	1.7	8.1	12.3	14.1	17.6	17.3	14.9	12.3	8.5	4.5
16	4.2	0.6	2.2	6.8	11.6	17.9	19.3	18.1	12.0	11.2	5.1	4.6	4.1	2.3	2.3	7.8	11.6	14.9	17.9	17.2	14.0	12.4	8.0	4.8
17	3.2	0.7	2.2	6.0	12.3	18.8	20.9	18.4	13.2	10.4	4.6	4.4	4.3	2.2	2.7	7.4	11.6	15.7	18.3	17.5	13.9	12.1	7.8	5.0
18	2.2	0.7	2.0	6.2	11.4	19.2	22.6	19.1	14.1	9.8	3.9	4.4	3.8	2.1	2.8	6.9	11.6	16.3	19.3	17.8	14.2	11.6	6.9	5.2
19	1.8	0.8	1.3	7.0	11.1	19.8	22.8	19.7	13.8	9.2	3.2	4.2	3.5	2.1	2.6	7.1	11.2	16.8	19.9	18.2	14.4	11.1	6.4	5.2
20	1.4	0.8	2.1	7.3	11.5	18.8	21.8	20.4	14.2	9.2	3.4	3.7	3.1	2.1	2.6	7.3	11.2	17.2	20.1	18.4	14.5	10.8	6.0	5.1
21	1.3	0.9	3.1	8.2	11.8	18.7	21.5	20.1	14.9	9.7	3.2	3.4	2.9	2.1	3.0	7.6	11.2	17.0	19.8	18.7	14.7	10.7	5.7	5.0
22	1.1	0.8	5.5	9.0	11.8	18.2	20.0	20.1	15.3	9.6	3.6	3.8	2.7	2.1	3.7	8.1	11.4	17.1	19.8	18.9	15.1	10.7	5.6	4.9
23	1.5	0.6	6.3	9.2	12.3	18.9	20.4	20.5	15.4	8.9	3.3	3.8	2.5	1.9	4.4	8.4	11.4	16.8	19.2	19.0	15.2	10.7	5.5	4.8
24	1.6	0.7	7.4	9.9	13.8	19.8	20.8	20.8	15.6	8.6	3.7	4.9	2.6	1.8	5.3	8.8	11.8	17.3	19.3	19.2	15.4	10.2	5.5	4.9
25	1.3	0.7	8.5	9.6	14.7	20.2	21.1	20.1	15.5	8.9	3.2	4.8	2.6	1.8	6.2	9.0	12.4	17.7	19.4	19.1	15.5	10.1	5.5	5.2
26	1.3	0.7	8.8	9.9	16.3	20.2	20.1	19.3	15.8	8.9	2.1	4.8	2.6	1.9	6.9	9.1	13.2	17.9	19.4	19.0	15.5	10.1	5.2	5.4
27	1.2	0.6	9.5	11.0	14.8	18.8	18.8	17.9	14.3	8.8	1.5	4.5	2.5	1.9	7.5	9.5	13.8	17.9	19.0	18.7	15.5	10.0	4.6	5.3
28	0.8	0.3	8.0	12.1	13.4	18.9	18.0	17.9	12.8	8.8	1.1	4.8	2.5	1.9	7.9	9.7	13.3	17.7	18.4	18.0	14.8	10.0	4.2	5.3
29	1.1	—	5.4	13.5	13.8	18.9	17.5	18.9	11.9	6.8	0.9	5.9	2.4	—	7.1	10.5	13.1	17.7	18.2	18.1	14.0	9.6	3.9	5.6
30	1.2	—	4.4	14.8	14.4	18.9	18.0	18.7	11.3	5.9	0.9	5.1	2.5	—	6.1	11.4	13.1	17.7	17.6	18.2	13.5	8.9	3.8	5.8
31	1.7	—	3.6	—	14.8	—	18.1	18.9	—	5.9	—	3.9	2.5	—	5.4	—	13.2	—	17.6	18.2	—	8.5	—	5.6
Mittel	1.3	1.6	2.7	8.5	13.5	17.4	19.1	18.5	15.5	10.1	5.3	3.8	2.8	2.7	3.2	7.9	12.4	15.8	18.0	17.8	16.1	11.4	7.2	4.8

Bodentemperaturen

regassona (Lugano) 1955 (Mittel aus 2 Ablesungen)

	I	II	III	IV	V	VI	VII	VIII	IX	X	XI	XII	I	II	III	IV	V	VI	VII	VIII	IX	X	XI	XII
	2 cm Tiefe												10 cm Tiefe											
1	2.6	5.8	4.5	8.7	16.2	17.5	22.3	20.2	19.9	14.6	9.3	4.9	3.2	5.6	4.3	9.0	16.3	17.2	21.8	20.1	20.3	15.3	10.0	5.2
2	2.0	5.6	4.9	8.7	14.3	18.1	23.2	20.4	19.3	14.6	9.7	6.0	2.8	5.7	4.7	8.9	15.6	17.7	22.5	20.2	19.7	15.3	10.2	6.0
3	2.0	6.2	5.0	10.0	14.4	18.0	19.8	20.7	20.0	14.6	9.3	6.6	2.6	6.0	5.0	9.5	15.7	17.8	20.2	20.3	20.1	15.1	10.0	6.6
4	2.3	6.1	4.2	9.8	14.6	16.4	21.0	20.5	20.0	14.9	9.9	7.0	2.7	6.2	4.6	9.8	14.6	16.7	20.9	20.4	20.3	15.3	10.0	7.2
5	2.9	5.4	3.4	10.4	15.1	17.5	20.1	20.4	20.4	15.4	11.0	5.9	2.9	5.7	3.6	10.9	15.1	17.1	20.5	20.3	20.6	15.7	11.1	6.8
6	3.6	4.9	3.0	10.8	15.8	19.0	19.7	20.5	20.6	14.6	11.8	5.8	3.6	5.2	3.7	10.6	15.6	18.2	19.7	20.3	20.6	15.2	11.7	6.2
7	3.9	4.8	3.4	11.8	16.1	18.8	18.3	20.0	19.7	13.1	11.1	4.9	3.8	5.1	4.0	11.2	16.0	18.6	19.1	20.2	20.1	14.2	11.5	5.4
8	5.2	5.4	2.9	11.2	15.5	16.7	17.9	18.9	18.9	13.2	10.9	5.0	4.9	5.7	3.2	11.4	15.7	17.8	18.4	19.8	19.0	13.8	11.2	5.3
9	4.4	6.8	3.8	12.1	15.7	16.1	19.6	18.6	19.3	12.5	11.2	5.4	4.7	6.6	3.9	11.8	15.8	16.6	19.5	19.0	19.4	13.9	11.4	5.8
10	4.2	5.7	4.4	12.7	15.8	17.0	19.8	18.5	18.8	13.2	11.1	5.3	4.4	5.9	4.4	12.4	15.8	17.3	19.9	18.7	19.0	14.0	11.3	5.7
11	3.9	4.6	4.7	12.7	15.8	16.8	19.9	19.3	18.1	14.3	11.3	4.6	4.0	4.8	4.8	12.3	15.8	17.1	19.8	19.5	18.3	14.5	11.4	5.3
12	3.9	3.5	4.5	11.8	14.9	15.5	20.7	18.4	19.0	14.7	11.3	4.7	4.2	4.1	4.7	12.6	15.3	16.2	20.2	18.8	19.0	14.7	11.5	5.3
13	4.3	2.6	5.1	10.2	16.2	18.0	20.9	18.6	19.5	14.4	10.3	5.3	4.4	3.5	5.3	11.3	16.1	17.7	20.7	19.2	19.5	15.0	10.9	5.7
14	5.1	2.4	5.8	10.9	15.4	17.6	21.7	21.1	18.0	14.4	10.5	5.4	5.1	3.1	5.9	11.5	15.5	17.8	21.5	20.1	18.7	14.8	10.8	5.8
15	5.4	2.2	6.2	10.8	15.1	19.0	21.5	20.4	15.8	14.5	10.0	5.2	5.2	2.7	6.2	10.8	15.1	18.7	21.6	20.3	17.0	14.8	10.6	5.5
16	5.3	2.5	6.5	9.5	13.6	19.2	22.0	20.7	15.3	14.6	7.8	5.6	5.4	2.8	6.3	10.2	13.9	19.7	21.8	20.3	16.4	14.8	9.0	5.7
17	4.5	1.7	6.2	10.3	14.1	20.3	23.1	20.6	15.8	14.3	6.8	5.5	4.9	2.2	6.2	9.9	14.3	20.0	22.5	20.5	16.5	14.6	8.0	5.6
18	4.7	2.9	4.7	9.5	13.1	20.6	23.5	20.8	16.5	14.2	5.9	4.5	4.9	2.8	5.5	10.1	13.5	20.3	23.0	20.8	16.9	14.5	7.1	5.1
19	2.5	1.7	4.1	10.5	13.7	19.6	23.2	21.6	17.3	13.0	5.2	4.8	3.4	2.2	4.9	10.9	13.5	19.9	23.1	21.4	17.4	13.7	6.5	5.2
20	2.5	1.4	5.3	11.2	14.0	19.4	20.3	22.0	17.2	13.0	4.7	5.1	3.0	1.9	5.5	11.2	14.2	19.2	20.9	21.9	17.8	13.4	5.9	5.2
21	2.8	1.1	4.7	11.1	14.3	20.4	19.8	21.5	18.0	11.5	5.1	4.8	3.2	1.6	5.1	11.3	14.7	20.2	20.7	21.1	18.1	12.0	5.4	5.2
22	2.9	1.9	6.9	11.4	13.9	21.0	20.9	21.6	17.8	11.3	5.4	4.1	3.3	1.9	6.4	11.6	14.8	20.6	20.8	21.7	18.0	11.9	5.7	4.9
23	3.2	2.1	8.6	12.4	14.1	20.9	21.5	21.7	17.9	11.5	5.5	3.9	3.4	2.1	7.9	12.5	14.4	20.7	20.8	21.5	18.0	11.6	6.1	4.5
24	2.8	2.5	9.1	12.8	15.7	21.6	22.4	21.3	17.9	10.5	5.9	3.2	3.2	2.3	8.7	12.8	15.5	21.2	21.8	21.4	17.8	11.3	6.4	4.3
25	2.7	2.7	9.5	13.3	15.9	22.4	21.3	19.2	18.7	10.5	4.7	3.7	3.0	2.8	9.2	13.0	15.8	21.8	22.0	19.6	18.4	11.2	5.8	4.1
26	2.7	3.8	9.6	13.2	16.6	22.2	19.9	18.8	19.0	10.2	3.7	3.6	3.0	3.8	9.2	13.3	16.2	22.1	20.5	19.3	18.8	11.0	4.8	4.1
27	3.3	4.2	10.2	13.3	15.9	20.4	20.1	19.3	17.0	10.0	3.2	3.9	3.4	4.1	9.8	13.1	16.1	20.5	20.3	19.7	17.6	11.1	4.3	4.2
28	4.9	3.5	10.1	14.5	16.1	22.1	20.6	20.3	15.2	11.6	3.4	4.2	4.4	3.7	9.9	14.0	15.9	21.5	20.5	20.2	16.3	11.7	4.2	4.4
29	4.9	—	10.4	15.1	16.2	20.8	19.8	20.3	14.6	10.2	4.2	4.3	4.7	—	10.2	14.6	16.4	20.5	20.2	20.4	15.5	11.1	4.6	4.5
30	4.7	—	8.6	16.0	16.3	22.4	20.9	20.0	14.6	10.6	4.5	4.4	4.8	—	9.2	15.2	16.3	21.8	20.7	20.2	15.4	11.1	4.8	4.7
31	5.9	—	8.7	—	17.3	—	20.1	19.9	—	9.3	—	3.6	5.6	—	8.9	—	16.3	—	20.3	19.9	—	10.4	—	4.2
ttel	3.7	3.7	6.1	11.6	15.2	19.2	20.8	20.2	18.0	12.9	7.8	4.9	3.9	3.9	6.2	11.6	15.4	19.1	20.8	20.2	18.4	13.5	8.1	5.3
	20 cm Tiefe												50 cm Tiefe											
1	3.8	5.5	3.9	8.7	14.8	16.5	21.0	19.8	20.2	15.6	10.6	5.6	5.1	5.5	4.1	8.5	13.1	15.4	20.1	19.6	19.8	16.5	12.0	7.1
2	3.5	5.5	4.3	8.8	15.0	16.8	21.6	19.9	19.8	15.5	10.5	6.1	5.0	5.5	4.3	8.6	13.4	15.7	20.2	19.5	19.7	16.4	11.7	7.1
3	3.3	5.9	4.7	8.9	14.9	17.3	20.5	20.0	19.9	15.4	10.3	6.6	4.8	5.8	4.6	8.6	13.6	16.0	20.1	19.5	19.7	16.3	11.7	7.3
4	3.2	5.9	4.6	9.4	14.3	16.7	20.4	20.1	20.0	15.3	10.6	7.0	4.7	5.9	4.6	8.8	13.7	16.1	20.1	19.5	19.7	16.1	11.5	7.5
5	3.3	5.9	4.3	9.8	14.4	16.5	20.5	20.3	20.4	15.7	11.0	7.1	4.6	6.0	4.7	9.1	13.4	15.9	20.0	19.5	19.9	16.1	11.6	7.8
6	3.5	5.4	4.0	10.2	14.9	17.4	19.7	20.0	20.4	15.4	11.5	6.8	4.6	6.0	4.6	9.2	13.6	16.2	19.6	19.4	20.0	16.0	11.8	7.7
7	4.1	5.2	4.0	10.6	15.5	18.0	19.2	19.9	20.2	14.9	11.5	6.0	4.8	5.9	4.4	9.6	13.9	16.6	19.4	19.5	20.1	15.9	12.0	7.5
8	4.7	5.5	3.7	10.9	15.0	17.1	18.6	19.1	19.2	14.3	11.4	5.8	4.9	5.8	4.5	9.9	14.1	16.8	19.0	19.4	19.6	15.4	12.0	7.2
9	4.8	6.2	3.9	11.0	15.2	16.9	19.0	18.7	19.3	14.1	11.4	6.0	5.2	6.0	4.5	10.1	14.1	16.8	18.7	19.1	19.4	15.3	12.1	7.2
10	4.6	5.9	4.3	11.8	15.3	16.9	19.4	18.6	19.0	14.2	11.4	6.1	5.3	6.1	4.6	10.5	14.2	16.5	18.9	19.0	19.2	15.2	12.1	7.2
11	4.3	5.2	4.7	11.8	15.4	17.4	19.5	18.8	18.5	14.5	11.4	5.9	5.3	5.9	4.8	10.7	14.3	16.5	19.1	18.6	19.0	15.1	12.1	7.1
12	4.3	4.6	4.8	11.2	14.8	16.4	19.8	18.9	18.7	15.0	11.5	5.7	5.2	5.6	5.0	10.8	14.2	16.4	19.2	18.8	18.9	15.2	12.1	7.1
13	4.4	4.1	5.2	11.1	15.4	17.1	20.5	18.8	19.3	15.1	11.2	5.8	5.2	5.3	5.0	10.8	14.4	16.5	19.3	18.7	19.1	15.3	12.0	7.0
14	5.0	3.7	5.6	11.2	15.3	16.2	20.8	19.4	19.0	15.0	11.0	6.0	5.3	5.1	5.2	10.7	14.5	16.6	19.7	18.9	19.0	15.3	11.9	7.0
15	5.1	3.2	5.8	10.9	15.2	18.1	21.0	19.7	17.7	14.9	10.8	5.9	5.5	4.8	5.5	10.7	14.6	16.9	19.8	19.1	18.4	15.3	11.7	7.0
16	5.4	3.2	6.0	10.3	14.4	18.7	21.1	19.9	17.0	14.7	9.9	5.9	5.6	4.6	5.8	10.4	14.2	17.2	19.8	19.3	18.1	15.3	11.3	7.0
17	5.2	3.0	6.0	9.9	14.4	19.3	21.6	20.0	16.9	14.8	9.0	5.9	5.6	4.5	6.0	10.4	14.2	17.7	20.1	19.4	17.6	15.2	10.8	6.9
18	5.0	3.1	5.7	10.1	13.6	19.6	22.0	20.3	17.1	14.7	8.3	5.6	5.6	4.3	5.9	10.2	14.0	17.9	20.5	19.6	17.5	15.1	10.3	6.8
19	4.1	2.8	5.1	10.7	13.3	19.6	22.5	20.9	17.3	14.2	7.4	5.5	5.4	4.2	5.7	10.2	13.6	18.2	20.6	19.8	17.1	15.0	9.7	6.7
20	3.5	2.5	5.3	10.9	13.8	19.1	21.6	21.2	17.7	13.7	7.0	5.6	5.0	3.9	5.6	10.4	13.5	18.3	20.5	20.0	17.6	14.7	9.3	6.7
21	3.5	2.3	5.4	11.0	14.4	19.4	20.0	21.1	18.0	12.7	6.8	5.5	4.9	3.8	5.8	10.5	13.8	18.2	20.1	20.2	17.8	14.1	8.9	6.6
22	3.6	2.2	5.8	11.3	14.5	19.7	20.6	21.2	17.9	12.4	6.8	5.4	4.8	3.7	5.6	10.7	13.8	18.4	20.3	20.2	17.9	13.7	8.6	6.6
23	3.7	2.3	7.1	12.0	14.1	20.0	20.7	21.1	18.0	12.0	6.7	5.1	4.7	3.5	6.3	11.0	13.8	18.7	20.3	20.4	17.9	13.3	8.4	6.4
24	3.5	2.5	8.0	12.4	14.8	20.5	21.3	21.0	18.0	11.9	6.9	4.8	4.7	3.4	6.9	11.1	14.0	18.9	20.4	20.5	17.9	13.1	8.4	6.2
25	3.3	2.9	8.5	12.4	15.2	21.0	21.6	20.2	18.3	11.8	6.7	4.6	4.6	3.4	7.3	11.3	14.2	19.2	20.5	20.3	18.0	13.0	8.2	6.1
26	3.3	3.4	8.6	12.7	15.6	21.2	20.7	19.3	18.5	11.6	5.9	4.6	4.5	3.5	7.7	11.7	14.5	19.5	20.5	19.7	18.1	12.9	8.0	5.9
27	3.5	3.6	9.1	12.7	15.6	19.9	20.1	19.6	18.0	11.5	5.3	4.5	4.5	3.7	7.9	11.8	14.7	20.0	20.1	19.6	17.9	12.7	7.6	5.7
28	4.2	3.8	9.3	13.2	15.5	20.8	20.2	19.8	16.8	11.8	5.0	4.7	4.5	4.1	8.2	12.1	14.7	19.9	19.9	19.8	17.6	12.6	7.2	5.7
29	4.6	—	9.6	14.1	15.7	20.2	20.0	20.3	16.1	11.5	5.3	4.7	4.8	—	8.5	12.4	14.8	19.7	19.9	19.9	17.2	12.5	7.1	5.7
30	4.7	—	9.3	14.3	15.7	20.9	20.1	20.2	15.9	11.4	5.5	5.0	5.0	—	8.7	12.7	14.9	19.8	19.8	19.9	16.9	12.4	7.1	5.7
31	5.3	—	8.5	—	16.3	—	20.0	19.8	—	11.1	—	4.7	5.3	—	8.6	—	15.1	—	19.8	19.7	—	12.2	—	5.6
ttel	4.1	4.1	6.0	11.1	14.9	18.5	20.5	19.9	18.4	13.8	9.0	5.6	5.0	4.9	5.8	10.8	14.1	18.6	19.9	19.6	18.6	14.6	10.3	6.7

Cinq ans d'observations phénologiques systématiques en Suisse

par B. Primault, Dr sc. tech.,

chargé des Travaux de Météorologie agricole

En 1950, voulant donner plus d'efficacité à l'aide que la météorologie peut apporter à l'agriculture de notre pays, la Direction de la SCSM nous a chargé de procéder à des recherches spécialisées dans ce domaine.

Il nous a paru dès l'abord indispensable de pouvoir disposer de renseignements aussi nombreux que possible sur l'évolution de la végétation dans toutes les régions de notre pays. Nous avons donc examiné de façon approfondie les différents ouvrages publiés en Suisse et consacrés en tout ou partie de ce problème. Cette étude préliminaire nous a montré que de nombreuses observations phénologiques furent effectuées déjà dans notre pays, et cela depuis fort longtemps. Nous disposons ainsi de séries parfois fort longues. Il ne s'agit pourtant, en général que de phénomènes isolés ne concernant qu'un seul endroit et, le plus souvent, qu'une seule phase végétative. Ainsi, on note chaque année, soigneusement la date de l'éclosion de la première feuille de marronnier sur la Treille à Genève (depuis 1818), le jour de la floraison d'un cerisier déterminé près de Liestal (depuis 1894) [cf. Bider 1953], pour ne citer que les deux exemples les plus frappants et probablement les plus anciens. Dans certains Instituts, des observations sont faites sur un grand nombre de plantes situées sur une aire très réduite et cela à Bâle aux environs de l'Observatoire et à Zurich au jardin botanique [cf. Däniker 1947] par exemple. D'autres auteurs, tels Gensler [1946], ont procédé à des relevés étendus mais ne se rapportant qu'à une ou tout au plus à quelques années seulement.

Tous ces relevés sont autant de jalons très précieux, voire indispensables, dans les recherches que nous nous proposions, et il existe certainement soit dans les archives de divers Instituts, soit auprès de particuliers intéressés, nous pensons ici avant tout à des agriculteurs, arboriculteurs ou apiculteurs, des séries d'observations du même genre mais qui n'ont pas encore été rendues publiques. Pourtant, toutes ces observations ne nous apportent que des renseignements locaux ou sporadiques. Il était nécessaire de posséder des indications concernant un certain nombre de phases végétatives reparties sur toute l'année et provenant, si faire se pouvait, du pays entier.

Comme les crédits mis à notre disposition étaient plus que limités, nous avons été contraints de rechercher la collaboration d'observateurs bénévoles. C'est uniquement pour cette raison que le réseau, tel que nous le présenterons plus loin, présente de nombreuses lacunes tant dans la répartition des postes d'observation que dans le nombre des phases relevées.

Nous avons préféré réduire le nombre des phases observées au strict minimum supportable, afin de ne pas surcharger nos observateurs, tous volontaires, et vu que nous ne disposerions, dans un avenir assez prolongé, que d'un personnel très réduit pour le dépouillement des questionnaires et l'élaboration des études scientifiques s'y rapportant. Pour établir la liste des plantes et des phases à observer, nous nous sommes basés sur les listes similaires utilisées par les services météorologiques étrangers, en particulier d'Allemagne, d'Autriche, des Pays-Bas, du Danemark et de Yougoslavie. Tous ces services ont à leur disposition un personnel nombreux et des réseaux d'observations très denses et établis de longue date. Malgré ces deux facteurs favorables, qui ne se retrouvaient pas chez nous, ils n'arrivent pas à tirer parti de tout le matériel rassemblé. Aussi avons-nous pu tirer profit de leur expérience et réduire notre questionnaire tout d'abord à 30 phases végétatives de plante sauvage + 1 concernant les gelées d'automne auxquelles sont venu s'ajouter 4 nouvelles phases dès 1953. Mais l'observation des plantes sauvages seulement ne pouvait satisfaire qu'à des buts de recherche pure et le résultat que nous escomptions était avant tout pratique. Nous avons donc adjoint quelques phases typiques de plantes cultivées ou d'activités paysannes déterminées par l'évolution des saisons. Les bases étaient ainsi jetées pour l'établissement de parallèles entre l'évolution des plantes naturelles et celle des cultures. On peut ainsi espérer arriver à diriger les secondes par l'observation des premières.

Lors de l'établissement de la liste des plantes et des phases à observer (voir Tab. 2) nous avons toujours pensé aux difficultés qui résulteraient, lors du dépouillement, de la diversité de l'exposition, du sol, des races, voire même des différences d'appréciation des observateurs eux-mêmes. C'est la raison pour laquelle nous avons choisi, autant que faire se pouvait, des phases dont l'apparition est nette et dont la durée séparant les premiers signes de l'éclosion complète n'est que de quelques jours. Les risques de dispersion furent ainsi réduits à une proportion acceptable.

Pour la réalisation pratique de cette collection de données phénologiques nous nous sommes adressé avant tout aux agents forestiers qui, par leurs obligations professionnelles, sont appelés à parcourir presque journellement les champs et les bois. Ces agents procèdent souvent d'eux-mêmes à des observations de ce genre. Il n'est donc pas surprenant que, parmi nos observateurs, les forestiers soient en majorité, qu'il s'agisse d'inspecteurs communaux ou d'arrondissement ou de gardes de triages.

La répartition des postes d'observation (voir figure) est très irrégulière et laisse encore passablement à désirer. D'autre part, on peut déduire de l'examen de la figure que les postes ayant observé durant toute la période, c'est-à-dire chaque année de 1951 à 1955, sont assez rares. Cela provient d'une part du fait que nous nous efforçons toujours davantage d'obtenir la collaboration de nou-

veaux observateurs et d'autre part qu'une certaine lassitude se fait assez vite sentir parmi eux en particulier du fait que beaucoup ne comprennent pas l'utilité des relevés que nous leur demandons.

Il résulte cependant d'une étude préliminaire se rapportant au seul Canton de Neuchâtel que les données d'un poste peuvent être complétées, par extrapolation des relevés des postes voisins, à condition que leur situation géographique et leurs conditions climatiques soient très bien connues. Ainsi, en partant de postes dont les relevés sont complets, il est possible, en s'appuyant sur d'autres dont les observations sont lacunaires, de tracer des cartes de l'évolution de la végétation soit pour une année déterminée, soit pour la moyenne d'une période.

Nous avons, au cours de ces 5 premières années d'existence du réseau phénologique suisse, reçu des relevés plus ou moins complets de 164 points du territoire. Leur répartition est reproduite sur la figure. Nous avons en outre fait le décompte des postes selon les différentes années et la durée de leur collaboration (cf. Tab. 1).

Tableau 1 **Répartition des postes d'observation**

	Nombre	%		Nombre	%
1951	96	58	1 année	51	31
1952	104	63	2 ans	20	12
1953	96	58	3 ans	28	17
1954	93	56	4 ans	30	18
1955	83	50	5 ans	35	22

On remarque que l'année ayant rapporté le plus de données est 1952 soit la seconde et que le nombre de collaborateurs n'a cessé de diminuer depuis. L'autre partie du tableau permet par contre de faire une constatation réjouissante. A part ceux d'entre nos collaborateurs dont le zèle fut refroidi après une seule campagne déjà (31 %), ceux qui ont fourni un travail régulier durant les 5 années d'existence du réseau sont en plus grand nombre (22 %). Il en est certes beaucoup, parmi ceux qui ne comptent que 2, 3 ou 4 campagnes à leur actif, qui ne se sont joints que plus tard à notre réseau et qui, depuis leur adhésion, ont retourné fidèlement leurs questionnaires.

Vu la diversité des climats et, partant, des cultures ou des essences naturelles, il était normal que tous les observateurs ne pourraient pas observer toutes les phases mentionnées dans le questionnaire. Afin que l'on puisse se rendre compte du matériel statistique reçu, nous reproduisons au tableau 2 le nombre d'observations transmises chaque année et pour chacune des phases du questionnaire.

Il est impossible de mettre en valeur un tel matériel dans un temps très court, aussi se passera-t-il bien des années avant que tous les chiffres recueillis puissent être publiés. Ils sont cependant à la disposition de tous ceux qui voudraient s'en servir pour une recherche scientifique ou pratique.

Comme nous l'avons vu plus haut, tous nos observateurs sont bénévoles, d'autre part il ne nous a pas été possible de leur donner des instructions verbales sauf à un nombre très réduit d'entre eux. Il est donc parfaitement possible que des différences d'appréciation se soient glissées dans leurs observations. Un contrôle de celles-ci par comparaison avec celles des postes proches est cependant très dangereux car, dans un pays coupé comme le nôtre, de petites différences géographiques peuvent avoir une importance fondamentale dans le développement de la végétation. Il a d'autre part été abondamment prouvé (cf. entre autres Engler [1905]) que nous n'avons pas à faire à une seule race par essence. Chaque race a ses particularités et celles-ci se remarquent plus spécialement dans le développement de la plante. Même dans un seul peuplement aux origines connues et uniformes, nous trouvons des différences phénologiques dues à la lumière reçue d'une part, aux particularités du sol d'autre part (Engler [1911], Leibundgut [1956]). Non seulement le contrôle des observations est plus difficile de ce fait, mais leur utilisation pratique réclame de celui qui entreprend un tel travail une connaissance parfaite des lieux. Nous ne nous étendrons pas davantage ici sur les possibilités qu'offre la phénologie, nous contentant de renvoyer le lecteur soit aux mémoires existants soit à ceux qui paraîtront à l'avenir.

Bibliographie

Bider M. Die Aufblühdaten eines Kirschbaumes während sechs Dezennien. Bericht über das internationale agrarmeteorologische Kolloquium in Freiburg i. Br. am 23. März 1953.

Däniker A. U. Phänologische Beobachtungen im botanischen Garten Zürich in den Jahren 1931—1940. Vierteljahrsschrift der naturforschenden Gesellschaft in Zürich. Jahrgang 92, 30. Juni 1947.

Engler A. Einfluß der Provenienz des Samens auf die Eigenschaften der forstlichen Holzgewächse. Mitteilungen der schweizerischen Centralanstalt für das forstliche Versuchswesen. Band VIII. Zürich 1905.

— Untersuchung über den Blattausbruch und das sonstige Verhalten von Schatten- und Lichtpflanzen der Buche und einiger anderer Laubhölzer. Mitteilungen der schweizerischen Centralanstalt für das forstliche Versuchswesen. Band X. 2. Heft. Zürich 1911.

Gensler G. A. Der Begriff der Vegetationszeit. Dissertation an der Universität Zürich. Engadin Press, Samedan und St. Moritz, 1946.

Leibundgut H. Beitrag zur Rassenfrage bei der Esche. Journal forestier suisse. 107e année. No 3. Mars 1956.

Tableau 2 **Récapitulation des observations reçues**

A Plantes sauvages

Plante	Phase*	1951	1952	1953	1954	1955
Perce-neige *Galanthus nivalis*	B	43	87	82	75	73
Pas d'âne *Tussilago farfara*	B	47	78	74	76	69
Noisetier *Corylus avellana*	C	68	86	78	75	68
Anémone sylvie *Anemone nemorosa*	B	44	73	65	62	54
Hépatique *Anemone hepatica*	B	36	64	54	56	53
Marronnier *Aesculus hippocastanus*	C	60	73	67	67	61
Marronnier *Aesculus hippocastanus*	B	63	79	70	67	58
Orme *Ulmus montana*	B	41	45	46	52	45
Dent de Lion *Taraxacum officinale*	B	75	97	87	85	73
Hêtre *Fagus sylvatica*	C	68	89	78	69	69
Mélèze *Larix decidua*	D	62	81	75	72	71
Lilas *Syringa vulgaris*	B	72	93	81	74	69
Renoncule ficaire *Ranunculus ficaria*	B	34	55	48	51	49
Peuplier tremble *Populus tremula*	C	55	70	54	60	51
Cardamine des prés *Cardamine pratensis*	B	39	63	54	58	50
Grande marguerite *Chrysanthemum leucantemum*	B	72	87	73	72	63
Sapin rouge *Picea excelsa*	D	74	80	68	72	68
Epine noire *Prunus spinosa*	B	66	75	69	67	54
Tilleul à grandes feuilles *Tilia grandifolia*	B	66	70	60	55	54
Sureau rouge *Sambucus racemosa*	B	55	65	52	47	51
Sureau noir *Sambucus nigra*	B	71	84	71	66	62
Genêt à balais *Sarothamnus scoparius*	B	28	23	22	24	23
Tilleul à petites feuilles *Tilia parvifolia*	B	58	58	46	45	47
Bruyère *Erica carnea*	B	18	24	26	23	22
Marronnier *Aesculus hippocastanus*	E	61	68	47	51	44
Marronnier *Aesculus hippocastanus*	F	58	66	53	56	53
Marronnier *Aesculus hippocastanus*	G	57	68	53	48	47
Hêtre *Fagus sylvatica*	F	69	76	61	60	60
Frêne *Fraxinus excelsior*	G	70	74	63	61	55
Hêtre *Fagus sylvatica*	G	64	73	62	59	51
Première gelée blanche		73	78	59	69	54
Noisetier *Corylus avellana*	T	1	2	75	73	64
Orme *Ulmus montana*	U	—	—	37	45	39
Sorbier des oiseleurs *Sorbus aucuparia*	E	—	—	45	46	51
Colchique *Colchicum autumnalis*	B	—	—	44	44	42

B Plantes cultivées

Culture	Phase*	1951	1952	1953	1954	1955
Cerisier **	B	88	128	103	111	97
	E	85	90	69	79	73
Pommier **	B	80	132	105	117	92
	E	61	105	85	113	85
Poirier **	B	76	114	88	93	87
	E	51	88	65	77	71
Pomme de terre	H	69	81	64	66	53
	I	57	70	62	61	48
	B	54	60	51	50	39
	J	57	63	55	56	46
Vigne	K	15	31	24	19	24
	B	18	26	19	16	23
	L	19	24	21	21	20
Fenaisons	M	76	81	71	74	57
	N	70	78	66	73	56
Blé	O	33	50	31	38	30
	P	34	50	31	35	30
Seigle	O	40	61	35	38	32
	P	41	61	38	33	30
Orge	O	43	59	34	38	27
	P	44	59	33	35	28
Maïs	O	10	11	11	9	8
	P	11	8	10	7	7
Avoine	O	36	45	28	32	24
	P	38	48	33	36	26
Betterave à sucre	J	21	21	19	18	18
	H	23	23	18	21	20
	A	17	19	18	17	18

C Oiseaux migrateurs

	Phase*	1951	1952	1953	1954	1955
Hirondelle	R	51	75	62	61	63
	S	45	59	46	53	40
Martinet	R	22	34	28	33	34
	S	20	26	22	24	20
Etourneau	R	24	56	38	41	40
	S	24	32	26	27	27

Phase * A Germination
B Pleine Floraison
C Déploiement des feuilles
D Aiguilles nouvelles
E Fruits mûrs
F Coloration des feuilles
G Chute des feuilles
H Début de plantation
I Fin de plantation
J Fin de récolte
K La vigne pleure
L Vendanges
M Début
N Fin
O Formation des épis
P Moissons
R Arrivée
S Départ
T Châtons dégageant de la poussière
U Chute des fruits

** Total des différentes sortes

Réseau phénologique suisse.

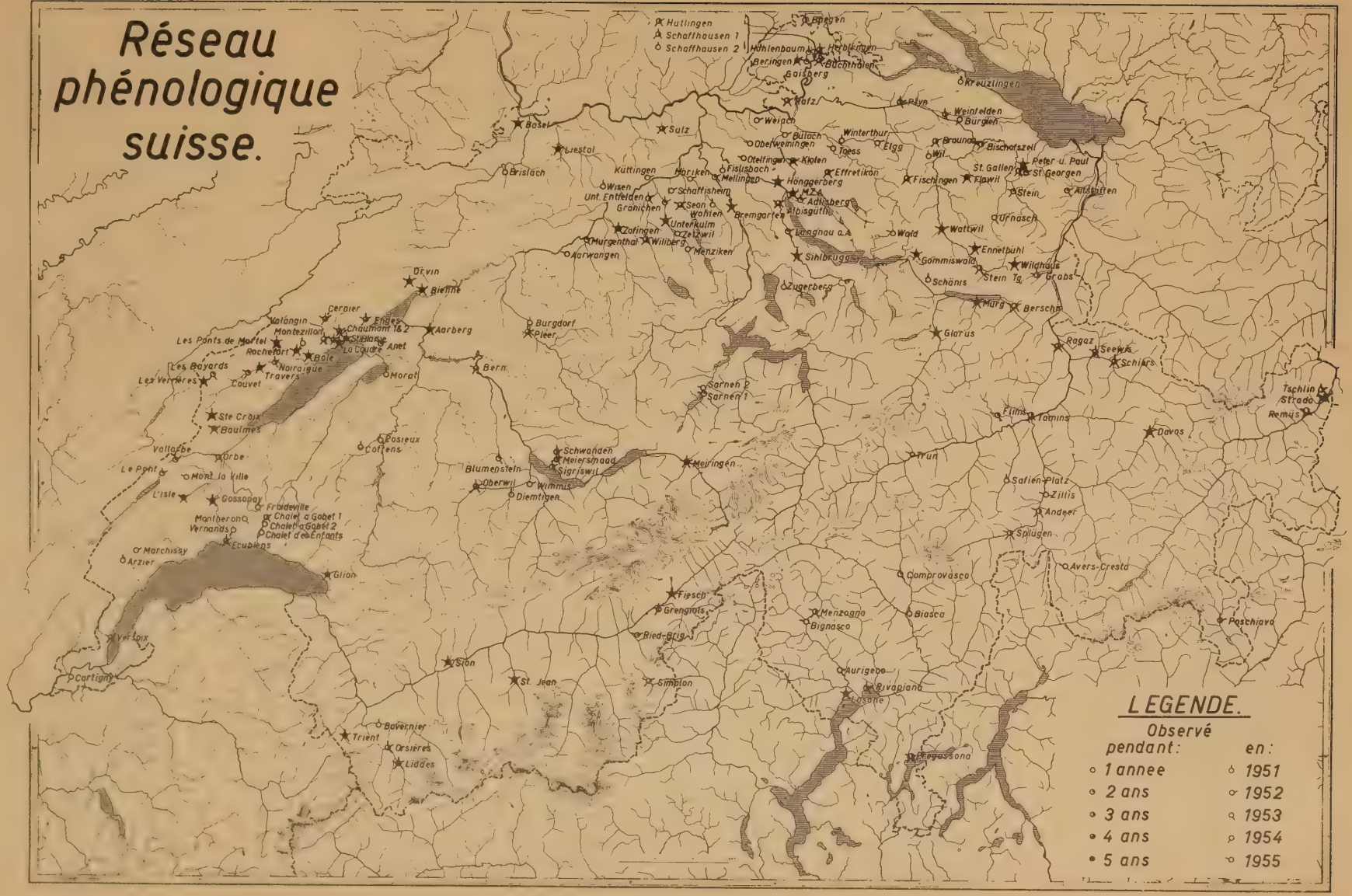

LEGENDE.

Observé pendant:

- ○ 1 annee
- ○ 2 ans
- ○ 3 ans
- ● 4 ans
- ● 5 ans

en:

- ○ 1951
- ○ 1952
- ○ 1953
- ○ 1954
- ○ 1955

Nr. 8

La relation entre la nébulosité et la durée d'insolation et ses conséquences pour la climatologie appliquée de la Suisse*

par

Erich Nagel

Observatoire physico-météorologique de Davos

I. Le Problème

Il existe une relation entre la nébulosité et la durée d'insolation d'un lieu, car si l'on admet que la nébulosité montre en moyenne une distribution uniforme sur toute la surface du ciel, on pourra également admettre que le long de la trajectoire journalière du soleil, la durée d'insolation dépendra directement du degré de nébulosité. Cette relation joue aussi bien pour les valeurs mensuelles et annuelles que pour celles de chaque jour ainsi qu'une étude de G. Perl (27) le démontre pour Zurich, Davos et Lugano.

Il est clair que si l'on veut exprimer ce rapport d'une façon définie, il faut représenter les deux grandeurs, c'est-à-dire la nébulosité et la durée d'insolation dans les mêmes unités. La nébulosité s'exprimant partout dans les stations climatologiques de Suisse en dixièmes de la surface du ciel qu'elle recouvre, il est aisé d'exprimer les moyennes en pour-cents. D'autre part, si l'on représente la durée d'insolation au moyen de l'insolation relative, qui exprime en pour-cents le rapport entre la durée d'insolation effective et la durée possible de celle-ci, cette grandeur sera représentée de façon analogue.

Ainsi on pourrait s'attendre à voir confirmée une règle bien simple et déjà souvent mentionnée (Hann [10], Conrad [4], König [16]) qui établirait que la somme de la durée d'insolation relative (S) et du degré de nébulosité (N) serait égale à 100 % d'après la formule $S + N = 100\,\%$, attendu qu'une de ces grandeurs devrait être le complément de l'autre. Pourtant l'expérience montre que les calculs ne vérifient pas cette relation, bien plus, la somme S + N s'écarte systématiquement du résultat attendu de 100 %, si bien que nous avons

$$S + N \neq 100\,\%$$
$$S + N = 100 + \Delta$$

Cette somme est supérieure en été, par contre plutôt égale ou inférieure à 100 % en hiver, c'est-à-dire que Δ peut être négatif et positif selon la saison. Son amplitude au cours de l'année est de 10 % en moyenne.

Cette variation a déjà été étudiée par plusieurs auteurs (Hann [10], Conrad [4], Lunelund [18], Wagner [34], etc.) et sa répartition saisonnière semble être générale, si bien qu'une nouvelle étude de cette question ne saurait profiter utilement aux connaissances déjà acquises sur ce sujet.

Si dans ce travail on examine malgré tout la somme S + N et ses écarts par rapport à 100 %, pour diverses stations de la Suisse, où l'insolation et la nébulosité ont été enregistrée et observée simultanément pendant de nombreuses années, c'est que nous poursuivons un but défini, où cette somme ne jouera qu'un rôle purement pratique.

En 1951, selon les Annales de la Station Centrale Suisse de Météorologie, le nombre des stations observant la nébulosité à raison de 3 fois par jour était de 116, c'est-à-dire plus du triple des 34 stations enregistrant la durée d'insolation. Nous possédons ainsi les résultats de l'observation de la nébulosité pour un grand nombre de stations sans avoir de données assez précises sur leur durée d'insolation. S'il était possible d'établir que la variation de la somme S + N est identique dans plusieurs stations d'une même région climatique, pour lesquelles nous aurions des données assez longues tant sur la durée d'insolation que sur la nébulosité, il nous serait possible de calculer, à partir des résultats de l'observation de la nébulosité, des moyennes approximatives de la durée d'insolation relative pour les stations où elle n'est pas enregistrée.

Si l'on a déterminé la durée possible d'insolation des lieux en question, il sera facile d'en déduire également la durée moyenne effective de l'insolation. Pour déterminer la durée possible, on peut se servir d'un théodolite transformé à cet effet (théodolite-héliochronomètre, Tagbogenmesser)[1] pour mesurer les trajectoires solaires de chaque jour de l'année. Cette méthode de détermination de l'insolation effective aurait l'avantage de faire connaître, en très peu de temps, une moyenne approchée de la durée d'insolation d'un lieu, alors qu'avec un héliographe, des résultats probants ne seraient obtenus qu'après quelques années au moins d'enregistrements continus.

[1] L'héliochronomètre est un instrument qui permet de suivre un astre pendant sa course journalière. Il s'agit soit d'instruments généraux utilisés dans la marine (Mercanton [23]), soit de théodolites ordinaires ou de ballons-pilotes munis d'un dispositif auxiliaire (Wierzejewski voir Thams [32 et 33], Schüepp [29]), soit enfin d'appareils conçus et exécutés spécialement dans le but de mesurer la durée d'insolation géographique possible (Schmidt [28], Brückmann).

* Cette étude a été présentée comme thèse de doctorat à la Faculté des Sciences de l'Université de Neuchâtel.

Il est évident que les résultats ainsi obtenus ne sauraient rivaliser d'exactitude avec les données d'un héliographe, malgré tous les défauts de cet appareil. Mais peut-être sera-t-il tout de même possible d'obtenir, dans de nombreux cas, des moyennes suffisamment exactes et propres à fournir des renseignements utiles à la connaissance du climat radiatif de diverses stations dont on ne connaît que les moyennes de la nébulosité. Il ne s'agit donc pas de vouloir esquisser une étude systématique du climat solaire de toute la Suisse mais plutôt de préciser celui de lieux déterminés, dont il n'existe que des résultats de l'observation de la nébulosité, mais pas d'enregistrements de la durée d'insolation.

L'étude des valeurs mensuelles et annuelles de la somme S + N permettra encore d'obtenir un résultat important quoique secondaire; elle pourra fournir une preuve de la valeur des observations de la nébulosité de stations disposant d'un héliographe ainsi que des résultats des enregistrements de la durée d'insolation. L'homogénéité de ceux-ci pourra également être contrôlée, en comparant diverses stations entre elles et en étudiant les valeurs de Δ au cours des années. De cette façon diverses erreurs et leurs sources pourront parfois être très facilement décelées et expliquées, comme cela est le cas pour certaines stations examinées de cette étude.

II. Les éléments de la méthode

A. La somme des moyennes de la durée d'insolation relative et de la nébolusité en Suisse

Les calculs des moyennes de S et de N ont été faits à partir des données publiées dans les Annales de la Station Centrale Suisse de Météorologie.

S représente la durée d'insolation relative moyenne, c'est-à-dire la durée d'insolation effective exprimée en pour-cents de la durée possible.

Pour déterminer la durée d'insolation relative, nous avons utilisé comme durée d'insolation possible les éléments obtenus en retenant les enregistrements de chaque héliographe pendant les jours sereins (durée «effectivement possible» selon Conrad [5]). Ces calculs ont été faits à l'Observatoire physico-météorologique de Davos.

N exprime la moyenne de la nébulosité en pour-cents de la surface du ciel.

Le Tableau 1 représente les sommes S + N pour quelques stations de la Suisse et pour des périodes pendant lesquelles les éléments S et N ont été enregistrés et observés simultanément.

Tableau 1

Valeurs mensuelles et variation annuelle de la somme S + N.

	Davos 1886–1950	Berne 1887–1950	Zurich 1886–1950	Neuchâtel 1904–1950	Lugano 1886–1950	Sæntis 1921–1950
Janvier	101	99	99	99	96	100
Février	104	101	100	101	100	102
Mars	106	102	100	104	101	104
Avril	107	106	104	108	102	104
Mai	108	107	106	111	105	104
Juin	110	110	108	111	106	103
Juillet	111	109	108	111	106	105
Août	110	109	107	109	105	105
Septembre	108	107	104	105	103	106
Octobre	107	105	102	101	101	105
Novembre	103	102	100	99	98	102
Décembre	98	99	99	97	95	101
Année	106	107	108	108	102	103
Amplitude	13	11	9	14	11	6

La variation annuelle de la somme S + N est typique et semblable pour chaque station. Δ, l'écart de la somme S + N par rapport à 100 %, croît depuis décembre et atteint son maximum en été (juin ou juillet); il diminue ensuite de nouveau jusqu'à son point minimum en décembre. Les six exemples ne sont pas les seuls, ils pourraient être remplacés, à une exception près (Sæntis), par toutes les stations disposant de séries prolongées d'enregistrements de la durée d'insolation et d'observations de la nébulosité.

Cette variation caractéristique a un rythme saisonnier régulier qui fut déjà mentionné par de nombreux auteurs (Goldberg [7], Conrad [4], Wagner [34], Brooks [3], Perl [26 et 27], etc.). Pourtant on peut brièvement noter que sur les hauts sommets (Sæntis!) l'enregistrement de la durée d'insolation n'est, en général, pas soumis au même rythme qu'aux stations plus basses. La convection journalière (nuages de beau temps) interrompt très souvent, au début de l'été surtout, l'enregistrement vers le milieu de la journée. Ce fait semble, comme on le verra plus loin, justifier le fait particulier que le maximum de Δ se situe en septembre, au moment où cet effet de convection cesse d'être important sur les sommets.

Il sera utile de s'arrêter brièvement aux raisons qui président à ce rythme caractéristique de Δ en se référant surtout aux publications de Linke (17) et de Perl (26). Les écarts par rapport à la valeur idéale S + N = 100 % sont dus tant au rayonnement du soleil à travers une couche de nuages fins et transparents, qu'aux propriétés mêmes de l'héliographe à boule de Campbell-Stokes.

On peut généralement admettre que la présence de nuages transparents change, au profit de S, l'équilibre idéal qui devrait exister entre S et N, car le ciel peut être recouvert de nuages transparents sans que l'irradiation du soleil soit interrompue pour autant, et sans que l'enregistrement de la durée d'insolation ne subisse d'interruption (C. E. P. Brooks [3]), tandis que, suivant les prescriptions internationales, ces nuages doivent être estimés par l'observateur au même titre que des nuages denses. Il est donc possible d'observer un cirrostratus transparent recouvrant tout le ciel et de noter N = 100 % sans que la durée d'insolation enregistrée soit diminuée. Une telle situation existe surtout lorsque des nuages du niveau élevé (cirrus, cirrostratus), bien plus rarement du niveau moyen recouvrent une grande partie du ciel, notamment celle où se trouve le soleil. Si ces nuages étaient seuls à provoquer la variation de Δ, il serait aisé d'en déduire un rythme annuel de la présence et de la fréquence de ces types de nuages, notamment des cirrus. Un travail de G. Perl (26) à ce sujet,

ui étudie une période de cinq années pendant lesquelles Davos, les cirrus d'une part, la nébulosité des autres iveaux d'autre part, furent estimés séparément (Tableau 2), démontre qu'il y a à cette altitude jusqu'à eux fois plus de cirrus en hiver qu'en été. C'est exactement le contraire de ce que l'on aurait pu attendre du rthme annuel de Δ.

ableau 2

aleurs mensuelles de la somme S + N à Davos (octobre 1936—ptembre 1941) d'après G. Perl (26).

	en tenant compte des nuages du niveau élevé (cirrus)	sans tenir compte des nuages du type cirrus
	a) S + N	b) S + N
nvier	108	96
évrier	113	99
ars	112	103
vril	114	105
ai	111	104
in	113	106
illet	115	108
oût	115	108
ptembre	113	105
ctobre	111	102
ovembre	109	98
écembre	108	98
nnée	112	103
mplitude	7	12

La part de N dans la somme S + N augmente ou diminue évidemment si l'on tient compte ou non des uages du type cirrus, et son amplitude diminue quelque eu dans le second cas, mais en somme la variation annuelle reste la même. D'autre part, Δ n'est pas différent u'il s'agisse d'une station de montagne ou d'une station u Moyen-Pays[2] par exemple. En hiver surtout, il faudrait nous attendre à des différences sensibles, attendu ue le Moyen-Pays peut être recouvert pendant des semaines par une couche dense de stratus, tandis que les gions élevées jouissent du plus beau soleil. Seules les ations de montagne peuvent alors observer des cirrus en même temps enregistrer l'insolation. La différence Δ est minime et pas toujours caractéristique, car, aussi en dans ces stations que dans les autres, le minimum Δ se situe en décembre. La variation annuelle de Δ peut donc pas être attribuée uniquement à la présence s nuages du niveau élevé. Ceux-ci, il est vrai, augmentent la part de N dans la somme S + N et sont sûrement à l'origine des sommes parfois plus élevées dans s stations de haute montagne en hiver, mais n'influencent pas le rythme général de Δ au cours de nnée (cf. les valeurs de Zurich, Berne, Davos, Arosa).

On sait depuis longtemps déjà (voir Maurer [20], agner [34], Linke [17], Bider [1] que l'héliographe Campbell-Stokes n'enregistre plus l'insolation quand soleil se trouve à moins de 4 à 5° au-dessus de l'horizon (à Bâle jusqu'à plus de 7° à certains mois; l'appareil service depuis 1929 semble d'ailleurs être moins sensible que le précédent) et que l'intensité de son rayonnement est inférieure à 0,3 g cal/cm² min environ (Bider]). D'autre part il enregistre une trop longue durée insolation lorsque le rayonnement du soleil est interittent, c'est-à-dire dès qu'insolation et nébulosité se suivent rapidement, ce qui se produit souvent par nuages de convection. Dans ces situations, les moments pendant lesquels le soleil brille sont mis davantage en évidence sur le papier enregistreur que ceux où il reste caché par les nuages; très souvent, ils ne peuvent même plus être constatés (voir Goldberg [7]). Cet effet est plus efficace à mesure que le soleil s'élève au-dessus de l'horizon: ainsi il est plus remarquable en été lorsque la nébulosité convective est plus forte qu'aux autres saisons. De cette façon Δ reflète en été un effet de surcalcination du papier enregistreur, augmentant avec la déclinaison du soleil et le caractère saisonnier de la nébulosité.

En revanche, la nébulosité stratifiée domine en hiver lorsque la hauteur du soleil est faible, ce qui accentue encore un effet de coulisse dû aux nuages proches de l'horizon donc du soleil, qui peuvent de cette façon diminuer la durée d'insolation par rapport à ce que le degré de nébulosité laisserait supposer.

Les mêmes constatations que nous venons de faire pour l'espace d'une année, peuvent se répéter au cours d'un seul jour: le matin et le soir à faible hauteur, le rayonnement du soleil ne laisse pas de trace sur le papier enregistreur, et l'effet de coulisse précité se fait sentir le plus fortement, en plaine surtout; en montagne par contre, l'horizon visible plus élevé atténue ces effets ou peut, à la rigueur, les supprimer. A midi, l'effet de surcalcination se fait sentir, car le soleil est plus élevé au-dessus de l'horizon et il est maximum en été, au moment où la déclinaison du soleil est la plus grande. Il s'y ajoute encore la nébulosité convective qui se forme justement vers le milieu de la journée, en montagne surtout, excepté sur les hauts sommets où le brouillard de beau temps, provoqué par la dite convection, empêche souvent le soleil d'y briller.

Les constatations qui viennent d'être faites rendent plus explicites la variation annuelle de Δ, mais montrent en même temps combien il est difficile de déterminer exactement la véritable durée d'insolation à partir des enregistrements de l'héliographe de Campbell-Stokes.

La variation saisonnière de Δ, telle que l'illustrent les 6 stations du tableau 1, n'est pas toujours aussi régulière pour toutes les autres stations. La plupart du temps, les irrégularités dans la courbe que celle-ci décrit au cours de l'année sont petites et proviennent de ce que les moyennes de S et de N ne se rapportent pas toujours à un nombre suffisant d'années d'observations et d'enregistrements. En une même station, Δ peut varier très fortement d'une année à l'autre par exemple. Il est donc préférable de n'utiliser que des stations disposant d'une série d'observations et d'enregistrements assez longue. Si la courbe annuelle moyenne de Δ montre de fortes irrégularités, malgré une moyenne portant sur une longue série de résultats, il faut en rechercher la cause[3], soit dans

[2] Moyen-Pays ou Plateau Suisse (Mittelland) est la désignation ographique de la région située entre les Alpes et le Jura d'une rt, le lac Léman et le Bodan de l'autre.

[3] A Braunwald par exemple la courbe de Δ montrait une baisse inattendue au cours de l'été, quoique les moyennes de S et de N comprissent 15 années de résultats continus. Il s'avéra, après examen des enregistrements et un contrôle de la durée d'insolation possible, que des arbres proches de l'emplacement de l'héliographe, restreignaient celle-ci chaque année un peu plus, si bien qu'après 15 ans, la durée d'insolation possible avait diminué à certains moments de l'été de plus d'une heure par jour. Des résultats pareils ne sont évidemment pas probants et pour ainsi dire inutilisables.

un défaut prononcé de l'héliographe, soit dans une estimation défectueuse de la nébulosité.

Outre ces irrégularités de principe, Δ, tout en ayant une variation annuelle régulière, peut montrer des différences importantes d'une station à l'autre. D'habitude, pendant le maximum de l'été la somme S + N dépasse 100 %, en revanche pendant le minimum de l'hiver elle est inférieure ou égale, rarement supérieure à cette somme. Ceci correspondrait à nos prévisions si l'on tenait compte des remarques faites plus haut au sujet de l'enregistrement de la durée d'insolation. Tout ceci laisserait supposer que Δ n'est pas une grandeur variable d'une station à l'autre et que, dans les grandes lignes, elle devrait être à peu près la même partout, notamment là où règne le même climat, où des héliographes de qualités comparables sont utilisés. Le caractère de la nébulosité peut varier qu'il s'agisse d'une station de plaine ou de montagne, mais les différences de Δ sont parfois trop grandes même entre des stations de la même région climatique pour que cette explication suffise. Deux sources d'erreurs peuvent alors s'être glissées dans les résultats de S ou de N. D'une part, un héliographe peut être moins sensible qu'un autre, soit à la suite d'une altération, soit par défaut ou différence de fabrication; d'autre part, l'estimation du degré de nébulosité peut être défectueuse. Les deux éléments peuvent même s'additionner. Dans le Tableau 3 suivent quelques exemples assez frappants.

Tableau 3

Valeurs mensuelles de la somme S + N à Genève, Leysin, Montreux-Clarens, Berne, Mt-Soleil et Locarno.

	Genève 1911–1950	Leysin 1931–1950	Montreux-Clarens 1911–1950	Berne 1911–1950	Mt-Soleil 1918–1950	Locarno 1937–1950
Janvier	101	96	94	99	97	103
Février	102	97	96	101	99	107
Mars	103	99	96	102	102	106
Avril	107	100	98	106	103	108
Mai	108	102	98	107	103	108
Juin	109	103	100	110	105	112
Juillet	108	103	100	109	105	112
Août	107	102	99	109	104	109
Septembre	105	101	97	107	103	108
Octobre	103	99	97	105	102	108
Novembre	101	96	95	102	99	105
Décembre	100	93	94	99	96	102
Année	108	100	99	107	103	108
Amplitude	8	10	6	11	9	10

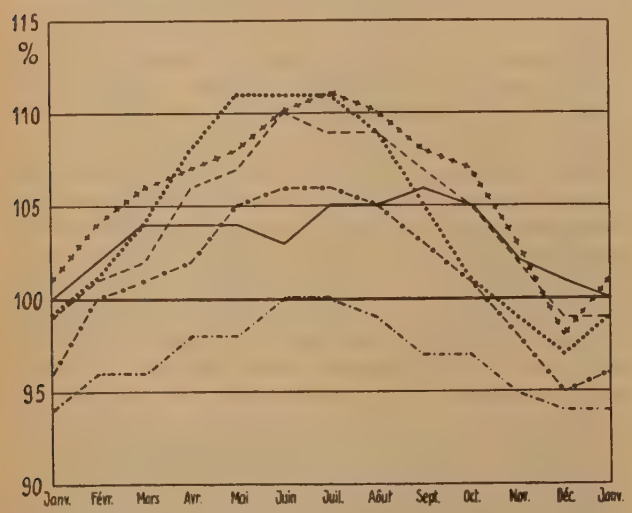

Fig. 1: Variation annuelle de la somme de la durée d'insolation relative et de la nébulosité (S + N)

Berne ——— Clarens -·-·-·- Lugano —•—•—•—
Neuchâtel ····· Davos + + + + Sæntis ———

Tableau 4

Valeurs annuelles de la somme S + N pour quelques stations représentatives.

	Davos	Berne	Zurich	Neuchâtel	Lugano	La Chaux-de-Fonds
1886	100	—	104	—	106	—
87	100	107	105	—	108	—
88	98	104	106	—	106	—
89	99	103	105*	—	106	—
1890	102	105	107	—	104	—
1891	102	103	102	—	105	—
92	106	106	103	—	106	—
93	109	110	104	—	104	—
94	106	106	102	—	104	—
1895	101	106	104	—	102	—
1896	109	109	103	—	103	—
97	107	111	103	—	101	—
98	107	111	103	—	104	—
99	104	112	103	—	106	—
1900	104	111	103	—	106	—
1901	101	111	103	—	105	—
02	106	110	101	—	99	101
03	105	106	101	—	99	97
04	107	109	103	105	99	99
1905	109	110	104	107	101*	101
1906	108	112	104	108	103	103
07	108	109	103	104	107	99
08	109	111	107	105	106	99
09	106	110	106	106	108	101
1910	105	110	106	108	109	106
1911	107	111	108	108	105*	104
12	105	105	103	108	100	99
13	103	104	100	107	97	99
14	103	105	101	109	100	102
1915	106	108	102	111	97	104
1916	105	109	103	108	96	104
17	105	108	103	111	96	104
18	100	107	102	111	95	104
19	104	110	104	114	97	107
1920	101	102	102	111	96	103*
1921	104	104	104	113	96	101
22	105	107	104	112	95	102
23	108	106	108	112	100	106
24	106	106	(108)	111	101	104
1925	108	107	(110)	112	99	103*
1926	108	104	(108)	111	98	97
27	109	108	114	112	100	100
28	108	104	110	113	97	97
29	107	102	108	111	97	93
1930	106	103	110*	108	100	95
1931	109	103	110	110	102*	96
32	107	103	109	109	101	98
33	108	104	109	106**	105	100
34	107	105	110	105	102	99
1935	107	106	111	103	104	103*
1936	106	107	109	104	101	98
37	104	105	105	103	102	97
38	106	106	108	103	99	98
39	111	105	108	105	102	98
1940	109	110	107	105	103	97
1941	113	107	109	104	107	97
42	111	109	111	105	105	98
43	108	109	109	105	108	97
44	110	110	109	106	108	98
1945	107	110	114	106	106	100
1946	107	108	111	106	104	96
47	110	109	110	106	106	99
48	113	108	110	105	106	98
49	112	107	108	106	103	99
1950	112	109	109	107	106	100

* changement d'observateur

** changement dans le personnel dépouillant les cartes

Entre parenthèses: valeurs corrigées

Aucune station du tableau n'a des résultats pareils à l'autre. Toutefois, deux d'entre elles frappent par leurs résultats très bas, Leysin et Montreux-Clarens. A cette dernière ils sont pour ainsi dire toujours au-dessous de 100 % ce qui ne peut correspondre à la réalité; il doit se trouver une source d'erreur, soit dans l'enregistrement de S, soit dans l'estimation de N, question que nous examinerons encore plus tard.

Si l'on pouvait déjà exiger que Δ reste pour le moins très semblable dans toutes les stations d'une même région climatique, on pourrait également s'attendre à trouver des valeurs semblables, en comparant entre elles diverses périodes d'une même station. Mais ici on se trouve aussi en présence d'une quantité de cas où Δ varie de période en période. Quelques exemples (voir Tableaux 4 et 5) et les raisons qui provoquèrent les fluctuations peuvent illustrer ces constatations.

Tableau 5

Moyennes mensuelles de différentes périodes des stations du tableau 4.

	Davos			Lugano		Berne	
	1886—90	1921—30	1941 50	1921—30	1941—50	1921—30	1941—50
Janvier	95	101	105	91	101	98	101
Février	98	104	108	97	105	98	102
Mars	98	107	111	96	105	100	103
Avril	103	107	109	96	106	102	108
Mai	104	108	112	102	108	106	109
Juin	100	111	114	102	109	109	113
Juillet	105	114	114	102	110	107	109
Août	105	111	113	101	107	106	110
Septembre	103	108	111	100	104	106	107
Octobre	104	106	111	98	105	102	106
Novembre	95	104	108	93	101	100	102
Décembre	93	97	101	92	100	97	100
Année	100	107	110	98	106	105	109
Amplitude	12	17	13	11	10	12	13

	Zurich		Neuchâtel		La Chaux-de-Fonds	
	1911 20	1931—40	1921 30	1941—50	1911—20	1941 50
Janvier	98	101	102	97	97	92
Février	98	104	105	97	99	93
Mars	98	104	109	101	103	94
Avril	102	107	112	105	103	100
Mai	103	109	115	107	104	96
Juin	106	112	113	110	104	100
Juillet	104	111	116	107	104	100
Août	104	109	113	107	102	100
Septembre	100	107	113	103	102	99
Octobre	99	105	105	100	104	97
Novembre	96	103	101	99	100	95
Décembre	97	101	99	96	99	92
Année	103	109	111	106	103	98
Amplitude	10	11	17	14	7	8

Davos. La courbe annuelle des valeurs de Δ et de la somme S + N durant les différentes périodes varie sensiblement; la moyenne de 1886—90 est inférieure à celle de 1941—50; 1901—10, 1921—30 et 1931—40 se rapprochent beaucoup de la moyenne de 1886—1950. Si nous comparons les valeurs moyennes de chaque année entre elles on distingue facilement les grands écarts qui peuvent exister d'une année à l'autre, mais constatons aussi l'existence de périodes où des valeurs élevées de Δ prédominent et vice-versa. Depuis 1936, par exemple, les valeurs augmentent très fortement jusqu'à atteindre 13, ce qui ne peut s'expliquer que par le changement des observateurs de la nébulosité (1936, 1945, 1947), tandis que l'héliographe a gardé la même sensibilité.

Berne. L'aspect des valeurs au cours des années est un peu plus régulier qu'à Davos, mais la moyenne générale est à peu près la même aux deux stations (+ 6,5 à Davos et + 7,0 à Berne). La dépression un peu prolongée des valeurs de Δ autour des années 1928 à 1935 est pourtant frappante! Peut-être y a-t-il eu un changement d'observateur. Les mouvements du personnel de la station ne sont pas indiqués dans les Annales.

Zurich. Ici on distingue clairement deux périodes. La première se situe avant 1923, la seconde depuis 1927, date à laquelle un nouvel héliographe fut mis en service, qui se trouve être plus sensible que le premier (cf. N et S). Pourtant les valeurs de N ont aussi augmenté et même davantage que celles de S. Il semble que des nouvelles instructions d'observation, mises en pratique vers 1923, ont provoqué ce changement, car il n'y a pas eu de changement de personnel à cette époque. D'autre part il est à remarquer que pendant le lustre 1886—90, Δ est plus élevé que pendant les décennies qui suivent jusqu'en 1920, ce qui ne peut s'expliquer que par un changement d'observateur ou de la manière de dépouiller les papiers enregistreurs (les Annales ne donnent pas d'indications à ce sujet).

Neuchâtel. La station est aussi entre les mains d'un institut scientifique comme les deux précédentes et on ne peut pas non plus constater les changements de personnel dans les Annales, mais les variations de la courbe annuelle de Δ sont tout de même frappantes et permettent des suppositions dans ce sens[4]. Ainsi de 1915 à 1930 les valeurs annuelles de Δ sont très élevées (jusqu'à + 14), de même pendant les décénnies de 1911 à 1920 et de 1921 à 1930. Elles retombent jusqu'à + 3 en 1937 et 1938. L'héliographe est le même depuis 1902 et sa sensibilité ne semble pas avoir changé. Il est à remarquer que l'amplitude de Δ au cours de l'année est généralement très grande (13), plus grande qu'ailleurs dans le Moyen-Pays où sa moyenne est 9.

Lugano est un cas typique; on constate une baisse subite de Δ correspondant à l'entrée en fonction d'un nouvel observateur en 1911/1912. Jusqu'en 1930 les valeurs annuelles de S + N restent au-dessous de 100 (Δ négatif) et la courbe annuelle de celles-ci pendant les décennies de cette époque restent au-dessous de celles qui suivent cette date. Depuis 1931 nous avons des valeurs plus élevées de Δ qui correspondent à l'entrée en fonction d'un nouvel observateur. Le changement d'emplacement de la station en 1905 est également à remarquer.

La Chaux-de-Fonds. Un changement d'observateur en 1925 ramène Δ à des valeurs négatives. Un nouveau changement en 1935 n'améliore pas les résultats.

Des cas semblables aux deux derniers ont été reconnus au Mont-Soleil et à Montreux-Clarens.

Il semble, qu'à moins d'un emploi exceptionnelle-

[4] M. le Prof. Guyot nous a signalé qu'un changement de personnel a eu lieu en mars 1933. La personne qui dépouille les cartes d'enregistrement depuis cette année opère différemment que son prédécesseur.

ment mauvais et inexact d'un bon héliographe, de pareilles variations de Δ ne peuvent être imputées à l'enregistrement de la durée d'insolation. Partout où furent constatés des changements dans le fonctionnement d'un héliographe, ceux-ci avaient un caractère différent (Braunwald, Jungfraujoch) et ils ne variaient pas d'une année à l'autre en augmentant (ce qui est impossible à moins d'un changement de l'appareil, d'une partie de celui-ci ou de son emplacement) et diminuant tour à tour sa sensibilité. En général, ce sont des diminutions de la sensibilité qui entrent en ligne de compte, ou bien ce sont la croissance des arbres, ou une bâtisse érigée trop près de l'appareil, qui provoquent une diminution de la durée d'insolation possible et également de S, si on ne constate ou ne tient pas compte de ces faits assez tôt. Strub (31) a fait remarquer en 1910 que le papier enregistreur par son impression et sa qualité pouvait également provoquer de grandes différences d'enregistrement d'une période à l'autre. Il est donc très important d'examiner attentivement le comportement des résultats de l'estimation de la nébulosité et celui des enregistrements de la durée d'insolation si nous voulons avoir à notre disposition un matériel de base homogène.

Les erreurs de N, dues uniquement aux observateurs, peuvent se compenser à la rigueur et ne plus influencer les moyennes de séries assez longues (Lugano, Berne), tandis que celles d'un héliographe restent en général constantes et faussent les résultats même ceux de longues séries (Bâle 1886—1907, Braunwald 1935—50).

Les résultats mensuels de chaque année de la somme S + N accusent donc une assez forte dispersion par rapport à la moyenne de plusieurs années. La moyenne de cette dispersion permet d'évaluer les erreurs probables auxquelles pourront être sujets les résultats du calcul de S à partir des moyennes de Δ d'une station. En réunissant un groupe de stations et en formant une moyenne régionale, on arrive à atténuer les possibilités d'erreur et cela d'autant plus que l'on réunit davantage de stations (voir Tableau 6). Vu l'importance de la dispersion des valeurs mensuelles, il faudra s'attendre à une dispersion plus grande encore des valeurs journalières; ainsi, si l'on voulait, à l'aide de la même méthode, calculer la durée d'insolation moyenne pour chaque jour, les possibilités d'erreur augmenteraient beaucoup. La dispersion des valeurs annuelles est, comme on pouvait s'y attendre, plus petite que pour les valeurs de chaque mois de sorte que le calcul des moyennes de chaque année aurait les plus petites possibilités d'erreur. Ce dernier pourtant n'est pas suffisamment intéressant pour être considéré à lui seul, tandis que la variation annuelle de la durée d'insolation sur la base des données moyennes de chaque mois est plus apte à fournir des indications précieuses sur le climat radiatif d'un lieu.

Tableau 6

Dispersion de quelques valeurs mensuelles et annuelles de la somme S + N par rapport à la moyenne de 1921—1950.

Berne	Mars	Juin	Septembre	Décembre	Année
Moyenne	101	109	106	98	106
Dispersion moy.	3,2	3,2	2,9	2,7	2,0
Maximum	109(+8)	121(+12)	113(+7)	104(+ 6)	110(+4)
Minimum	93(—8)	103(— 6)	98(—8)	86(—12)	102(—4)
Davos					
Moyenne	109	112	109	99	108
Dispersion moy.	3,2	3,7	2,8	3,9	1,9
Maximum	114(+5)	119(+ 7)	117(+8)	112(+13)	113(+5)
Minimum	102(—7)	102(—10)	102(—7)	91(— 8)	104(—4)
Lugano					
Moyenne	100	105	102	96	102
Dispersion moy.	4,4	3,5	2,8	4,4	2,9
Maximum	114(+14)	113(+8)	111(+9)	105(+9)	108(+6)
Minimum	87(—13)	98(—7)	97(—5)	87(—9)	95(—7)
Moyen-Pays					
Moy. de 6 stat.	103	110	106	100	107
Dispersion moy.	1,6	2,0	2,5	1,4	0,8
Maximum	107(+4)	116(+6)	113(+7)	105(+5)	110(+3)
Minimum	100(—3)	105(—5)	100(—6)	97(—3)	105(—2)

B. L'enregistrement de la durée d'insolation en Suisse

Dans le chapitre précédent on a déjà anticipé, en considérant de quelle façon la durée d'insolation est enregistrée par l'héliographe à boule de Campbell-Stokes, en usage en Suisse, pour expliquer la courbe annuelle de Δ. On examinera maintenant de plus près l'instrument lui-même, ses défauts les plus caractéristiques et les moyens d'y remédier.

L'héliographe de Campbell-Stokes consiste en une boule de verre massive, transparente et (à l'origine) incolore, de 9—10 cm de diamètre suivant les modèles, exposée à l'air libre. Elle agit de tous les côtés comme une lentille. Dans son foyer l'image du soleil se déplace sur une bande de carton bleu, en y laissant une trace brûlée ou brunie. Ce papier enregistreur, sur lequel sont imprimées les heures du temps solaire vrai, est fixé sur un support spécialement conçu et placé à cet effet à la distance focale nécessaire de la boule. On change le papier chaque soir. L'appareil est très simple à manier et convient très bien aux stations les plus diverses et n'employant pas de personnel spécialisé, d'où son emploi très répandu dans le monde. Malgré sa construction aisée et pratique, cet instrument possède certains défauts de principe qui ont été spécialement examinés par Maurer (20, 21, 22), Strub (31), Wagner (34), Kleinschmidt (14 et 15). Ces auteurs sont d'accord d'attribuer la principale source d'erreur à la non-concordance très facilement possible de la répartition des heures sur le papier enregistreur et du rayon de la trace calcinée inscrite par le soleil. Le papier doit se trouver exactement à la distance focale du centre de la boule sinon on enregistrera trop ou trop peu d'insolation par rapport au partage du papier. Il se trouve qu'en Suisse, on emploie pour tous les appareils de même modèle, mais d'âge différent, des papiers identiques ce qui explique que pour beaucoup d'héliographes ladite concordance fasse parfois défaut. Si par exemple on compare, pour Davos, l'insolation possible mesurée à l'aide de l'héliochronomètre avec celle calculée, comme il est de règle en Suisse si l'on veut obtenir des valeurs de S climatologiquement comparables entre elles, à partir des enregistrements de l'héliographe par jours sans nuages, on obtient les différences du tableau 7. Celles-ci ne peuvent pas être provoquées par une hauteur trop basse du soleil au-dessus de l'horizon pour que le papier brunisse; à Davos, l'intensité

Tableau 7

La durée d'insolation possible à Davos
a) mesurée à l'aide de l'héliochronomètre,
b) selon les enregistrements de l'héliographe,
c) différence entre a) et b):

	a) en heures	b) en heures	c) en heures et %	
Janvier	173	187	14	8
Février	189	203	14	7
Mars	278	292	14	5
Avril	322	335	13	4
Mai	368	377	9	2
Juin	369	374	5	1
Juillet	376	382	6	2
Août	351	361	10	3
Septembre	296	307	11	1
Octobre	235	249	14	6
Novembre	180	194	14	8
Décembre	163	175	12	7
Année	3300	3436	136	4

du rayonnement solaire est suffisante dès le lever et jusqu'au coucher du soleil, car l'horizon visible de la vallée est passablement élevé.

Chaque fois que la différence entre les deux valeurs change notablement, c'est au moment où l'on utilise un autre modèle du papier enregistreur, car, sous nos latitudes, on emploie, suivant les saisons, des papiers différents quant à leur forme: En été, ils sont assez longs et sont placés au bas du support parce que le soleil atteint alors sa hauteur maxima; en hiver c'est une bande courte fixée au haut du support, tandis qu'en automne et au printemps, c'est-à-dire du 1er mars au 13 avril et du 1er septembre au 13 octobre, le papier est placé dans le plan de l'équateur.

Cet exemple nous montre à quel point les valeurs de la durée d'insolation effective peuvent être faussées, car un autre héliographe aura peut-être une différence contraire à celle de l'appareil de Davos, si bien qu'en comparant les résultats de deux stations publiés dans les Annales, on risque sans le savoir, de travailler avec des erreurs mensuelles appréciables allant jusqu'à quelques pour-cents. Il est donc très important de n'employer pour le calcul de S que les valeurs de l'insolation possible établies d'après les enregistrements des héliographes respectifs lors des jours sans nuages et de ne jamais se fonder uniquement sur une mesure de l'horizon ou des trajectoires solaires, qui, certes, sont plus exactes, mais ne comprennent pas l'erreur initiale possible d'un héliographe; car, pour calculer des valeurs exactes de ladite insolation relative (S), il est absolument nécessaire de se baser sur des données (numérateurs et dénominateurs) qui comprennent les mêmes erreurs.

Durant les premières décénnies pendant lesquels l'héliographe de Campbell-Stokes fut utilisé, les résultats obtenus dans les différentes stations étaient très inégaux. Maurer (21), dans une étude spéciale, fait mention du mauvais état des choses à Genève, Lausanne, Bâle, et peut-être à Hallau, stations où un certain modèle d'héliographe (premier modèle «Usteri») défectueux était en service. Strub (31), en particulier, traita la question en détail pour Bâle où il s'avéra que non seulement la construction de l'appareil mais aussi la qualité des cartes d'enregistrement laissaient à désirer. Depuis que Bâle (1908), Genève et Lausanne (1909) ont mis en service les héliographes d'un autre type (Negretti & Zambra), leurs enregistrements sont de nouveau plus homogènes et mieux comparables à ceux des autres stations (excepté à Lausanne de 1925 à 1930, où furent en usage des papiers défectueux (division horaire trop étroite), une erreur qui peut être facilement réduite). Mais jusque là, il n'était pas possible d'employer les données fournies par les vieux appareils et il n'est pas possible d'en corriger les résultats de façon convaincante.

Un autre défaut peut être la diminution, parfois rapide, de la sensibilité de l'héliographe. On remarquera que bien souvent d'anciennes boules de verre de divers appareils se teignent plus ou moins légèrement en vert, jaune ou brunâtre. Ceci n'est pas nécessairement l'origine d'une diminution de la sensibilité de l'héliographe par rapport à la lumière du soleil. Il existe des appareils qui malgré une teinte brunâtre prononcée, n'ont pas changé leur sensibilité. Malgré tout, sans qu'on sache la cause, certains appareils ont commencé à fournir des résultats relatifs nettement inférieurs aux précédents, ce qui a motivé leur éloignement et leur remplacement. Ce fut le cas à Zurich, où, de 1924 à 1927, la diminution de la sensibilité de l'appareil comportant quelques pour-cents et s'accentuant chaque année, ne nous permet pas de tenir compte des résultats de cette période, à moins d'une réduction. Au Beatenberg, l'appareil n'eut semble-t-il jamais une sensibilité suffisante, ce qui explique les résultats extrêmement bas de cette station; ces appareils ont évidemment été mis hors de service et remplacés.

Dans ses grandes lignes, l'homogénéité des diverses stations entre elles a été contrôlée pour cette étude et, outre les exemples sus-mentionnés, des divergences notoires n'ont été trouvées qu'à Bâle, depuis 1929, et à la station du Sæntis à certaines époques. A Bâle, à ladite date, un nouvel appareil mis en service s'est révélé être moins sensible. Sur le Sæntis ce sont probablement les dépouillements des divers observateurs (notamment de 1923 à 1930) d'une part et une baisse de la sensibilité de l'héliographe entre 1941 et 1947 environ, d'autre part, qui sont à l'origine des écarts observés. En 1947 l'ancienne sphère de verre fut remplacée et en 1950 un nouvel appareil (Negretti & Zambra) apparamment encore bien plus sensible a été pris en service, ce qui a évidemment changé l'aspect des valeurs au cours des dernières années.

Après toutes ces constations, il n'est que trop justifié de se demander comment il serait possible de corriger en partie les défauts sus-mentionnés, afin d'avoir à disposition des données homogènes de tous les appareils. Les diminutions de sensibilité ne peuvent être réellement corrigées, le mieux serait de s'en apercevoir rapidement et de changer l'appareil défectueux. Quant à la non-concordance de la répartition des heures sur le papier enregistreur, le mieux serait, comme le mentionne J. C. Thams (33), d'étalonner les divers héliographes; de cette façon l'erreur serait connue après un simple contrôle horaire de chaque modèle de cartes d'enregistrement[5], et on pourrait en tenir compte lors du dépouillement. Mais il serait malgré tout très désirable

[5] A Davos on n'a pas pu constater de différence notoire entre les diverses cartes d'enregistrement utilisées depuis 1931 (modèle Negretti-Zambra).

que les cartes et leur division horaire ne changent pas trop au cours des années, ou ce qui serait encore préférable, s'améliorent une fois pour toute, car il est difficile de travailler avec un matériel parfois peu digne de confiance.

Théoriquement on pourrait prétendre qu'un simple calcul permettrait d'écarter cette source d'erreur. Comme il a été dit plus haut, il suffirait de corriger la durée d'insolation relative, établie à partir de la durée possible d'après les enregistrements de l'héliographe lors des jours sans nuages, en tenant compte de la durée possible calculée d'après les mesures faites avec l'héliochronomètre. Ceci n'est possible que dans les cas où les résultats d'enregistrement sont trop élevés. On est alors en droit de réduire ces données, car elles sont sûrement fausses, les mesures du théodolite étant probantes (Davos, Lugano par exemple).

Le cas est moins sûr lorsqu'il s'agit de résultats plus petits que les mesures du théodolite. Ici, comme nous le verrons encore plus loin, une correction faite comme la précédente, risque parfois de fausser les résultats, l'insolation relative ayant une marche diurne particulière dont il faut absolument tenir compte et qui ne reste pas la même au cours de la journée (effet de coulisse des nuages proches de l'horizon, augmentation de la nébulosité le soir et le matin par rapport au milieu de la journée, moins grande sensibilité de l'héliographe lorsque le soleil est très bas). Une rectification partielle est permise, semble-t-il, lorsqu'il s'agit de rétablir l'équilibre entre les enregistrements des trois sortes de cartes d'enregistrement donnant des résultats différents, dus uniquement au partage défectueux d'un des papiers par rapport aux deux autres (Sæntis, Berne), mais sans ramener toutes les valeurs à la durée d'insolation possible établie au théodolite. De cette façon l'homogénéité complète ne pourra pas toujours être atteinte, mais les erreurs les plus grossières seront tout de même atténuées.

Il y a encore une source d'erreur qui peut prendre une grande importance et à laquelle V. Conrad (6) a déjà souvent fait mention. Il s'agit du givrage et parfois de l'enneigement des sphères de verre des héliographes. On peut être certain qu'en hiver, en montagne surtout, la marche journalière de la durée d'insolation peut s'en ressentir. C'est peut-être l'origine des sommes souvent très basses de S + N à cette saison et à certaines stations. Par front froid par exemple, la neige tombe souvent de façon intermittente et le soleil brille entre deux; dans ces cas il faudrait souvent nettoyer l'appareil. Si le matin on découvre l'héliographe trop tôt, c'est-à-dire avant le lever du soleil, on peut être presque certain que la boule se givrera ou pour le moins se couvrira de buée, ce qui, à la rigueur, interrompra l'enregistrement de la durée d'insolation pour un certain temps pouvant aller d'une demie-heure à plus d'une heure. Le seul remède à ce défaut est une attention particulière des observateurs, ou l'installation d'un dispositif chauffant dans le socle de l'appareil par exemple, comme le propose V. Conrad (6). En considérant les valeurs de S par région climatique, comme cela est fait dans ce travail, l'erreur due au givrage et à l'enneigement a des chances d'être «homogène» un peu partout (Davos, Arosa entre autres exceptés) et de n'avoir qu'une importance absolue, dans ce sens qu'elle sera comprise aussi bien dans les résultats obtenus par la méthode que dans ceux qui ont été enregistrés et publiés.

On ne doit pas oublier non plus qu'en altitude l'air est plus pur (en hiver surtout), ce qui permet à l'héliographe d'enregistrer en montagne une insolation encore moins intense qu'en plaine lorsque la hauteur du soleil au-dessus de l'horizon est identique aux deux endroits. Ce fait pourrait expliquer parfois les valeurs basses de S + N à certains mois d'hiver dans des stations de plaine (Neuchâtel).

C. Les résultats de l'observation du degré de nébulosité en Suisse

Les enregistrements de l'héliographe restent les données les plus exactes que nous ayons pour juger la durée d'insolation d'un lieu. Mais cet appareil n'est en usage que dans le tiers environ des stations suisses; toutes les autres ne peuvent donner de renseignement au sujet de leur climat solaire qu'au moyen des résultats de l'observation de la nébulosité. Le climat solaire d'un lieu a été reconnu comme étant particulièrement important et intéressant; il y aura donc avantage à connaître la qualité des observations de N, car seules de bonnes estimations de N pourront être prises en considération, notamment si nous les utilisons pour calculer aussi exactement que possible la durée d'insolation effective moyenne d'un lieu. C'est pourquoi, après avoir discuté quelques généralités concernant l'observation de la nébulosité, nous comparerons les résultats de plusieurs stations entre elles.

Tandis qu'un héliographe enregistre la durée d'insolation toute la journée durant, la nébulosité, elle, n'est estimée que trois fois en 24 heures en dixièmes de la surface visible du ciel. Si l'on se rappelle que malgré cette différence essentielle entre l'enregistrement de la durée d'insolation et l'estimation de la nébulosité, qui souvent a lieu quand le soleil n'est même pas visible, on saura apprécier la réciprocité étonnante qui existe entre S et N et qui fut déjà remarquée très tôt.

De plus, on ne peut nier que lors des observations nocturnes, des nuages du niveau élevé ne sauraient toujours être reconnus ou estimés proprement, notamment quand la lune ne brille pas. L'observation qui a lieu chez nous à 21.30 se fait souvent dans de telles conditions et parfois c'est aussi le cas certains matins à 7.30 pendant les mois de décembre et de janvier, surtout lorsque le sol n'est pas recouvert de neige. Il est évident que beaucoup dépend du soin avec lequel les observations sont faites (Hann [12]); cependant, les possibilités d'erreurs sont grandes.

Les prescriptions d'après lesquelles s'effectuent les estimations de la nébulosité correspondent à celles qui ont été adoptées en 1873 lors du premier congrès météorologique international à Vienne. Celles-ci sont différentes des directives précédentes en ce que la densité

es nuages ne doit plus être prise en considération, c'est-dire qu'un ciel uniformément recouvert d'un cirro-ratus transparent et homogène sera jugé de la même anière que s'il était recouvert de nuages denses et paques.

Autrefois il était courant de parler d'un degré de né-ulosité de $^3/_{10}$ par exemple quand un cirrostratus homo-ène mais transparent recouvrait neuf à dix dixièmes u ciel. Il a fallu un certain nombre d'années jusqu'à que tous les observateurs se soient conformés aux ouvelles prescriptions. C'est pourquoi dans différentes ations et après un certain temps, se produisirent sou-ent des «changements climatiques» brusques dus uni-uement au changement de la méthode d'estimation de nébulosité (Conrad [4], Maurer [19]). Aujourd'hui ncore nous sommes étonnés de voir que beaucoup d'ob-rvateurs négligent les nuages du niveau élevé dans urs estimations et on est en droit de prétendre que tte négligence est bien souvent à l'origine des écarts attendus constatés dans les résultats de N entre des ations voisines. Une trop haute estimation est certes ussi répandue, car souvent l'observateur donne trop accent aux nuages proches de l'horizon, notamment ans les stations des vallées des Alpes. L'effet de cou-sse de ces nuages contribue aussi à cette erreur.

Il sera toujours difficile de prouver la justesse de estimation du degré de nébulosité à moins d'avoir un éliographe à sa disposition et de la contrôler au moyen la somme $S + N = 100 + \Delta$. D'autre part, il est pos-ble, aux stations voisines d'un héliographe et situées ns la même région climatique, de comparer leurs ré-ltats aux enregistrements de celui-ci si la configura-on des horizons respectifs est semblable. Ces compa-isons sont très utiles, elles permettent de découvrir de mbreuses erreurs, et plusieurs stations ont déjà été mmées où un nouvel observateur estimant différem-ent de son prédécesseur avait provoqué un changement table des valeurs de N. De cette façon il est possible de ger la qualité de ces résultats.

On a souvent prétendu (Conrad [4]) qu'en Suisse, ns quelques stations principales, les valeurs du degré nébulosité étaient restées les mêmes qu'autrefois, rce que les prescriptions du congrès de 1873 n'y aient pas trouvé d'écho. D'après les résultats de di-rses stations, il nous semble qu'elles ont toujours été égales. Différents observateurs des principales stations t toujours produit des valeurs relativement élevées r rapport à l'étranger, et cela se constate depuis qu'on registre la durée d'insolation, c'est-à-dire depuis 1885 viron (voir Tableau 8).

bleau 8

grré annuel moyen de la nébulosité et de la somme S + N à di-rses stations entre 1886 et 1915, en %.

	1886—90		1891—1900		1901—10		1911—15	
	N	S+N	N	S+N	N	S+N	N	S+N
enne	59	100	59	101	63	104	70	109
rne	64*	105*	65	108	67	110	67	106
rich	65	105	61	103	64	104	64	104
le	62	106**	62	107**	67	110**	64	107
vos	48	100	53	106	55	106	56	104
gano	50	104	46	104	46	103	46	100

1887—90. ** Valeurs réduites.

Le tableau précédent prouve bien ce que nous avons dit plus haut et il semble que l'estimation de la nébulosité n'est pas du tout restée au-dessous de celle des stations étrangères; bien plus, il semble qu'elle ait été plus élevée qu'à l'étranger, à Vienne en particulier.

Le cas de Bâle, spécialement cité, où, à partir de 1896 un grand écart se fait sentir et qui serait dû aux nouvelles méthodes de 1873 appliquées à ce moment, ne prouve en somme pas grand-chose. Nous ne pouvons pas nous baser sur la somme S + N, car à ce moment l'héliographe de Bâle était défectueux. En revanche, il existait alors une très bonne station assez proche de cette ville, dans le village de Buus dans le canton de Bâle-Campagne et qui possédait un bon héliographe. La somme de S + N à Buus était semblable à ce que nous trouvons dans le Moyen-Pays aujourd'hui, et puisque l'observateur resta le même de 1893 à 1912, nous pouvons sans autre comparer les valeurs de N à Bâle et Buus et constater de brusques changements de part et d'autre (voir Tableau 9).

Tableau 9

Valeurs annuelles de N à Buus et à Bâle de 1892 à 1912.

	1892	1893	1894	1895	1896	1897	1898	1899	1900	1901	1902
Bâle:	60	52	60	56	70	68	66	61	68	68	72
	1903	1904	1905	1906	1907	1908	1909	1910	1911	1912	
	67	68	68	63	67	63	63	68	59	64	
	1892	1893	1894	1895	1896	1897	1898	1899	1900	1901	1902
Buus:	61	53	60	55	68	64	61	54	63	61	63
	1903	1904	1905	1906	1907	1908	1909	1910	1911	1912	
	60	61	66	60	61	62	62	68	58	63	

Nous voyons que l'écart principal commence en 1896 et qu'en 1910 les résultats sont de nouveau les mêmes aux deux stations. L'explication en est qu'en 1896 et 1910 eurent lieu des changements d'observateurs à Bâle. Vu d'autre part la proximité des stations qui, de par leur situation géographique (Buus est dans l'arrière-pays et non dans la vallée du Rhin), laisserait attendre quelques différences saisonnières mais pas des valeurs annuelles de N, on peut prétendre qu'avant 1896 déjà, on obtenait à Bâle des valeurs plus élevées de N qu'à Vienne par exemple.

a) *Les résultats de l'estimation du degré de nébulosité dans le Moyen-Pays et le pied nord du Jura*

Dans le Moyen-Pays on dispose du plus grand nombre de stations observant la nébulosité et enregistrant la durée d'insolation, de telle sorte qu'il est facile d'examiner la qualité des résultats de l'estimation de N dans les stations privées d'héliographes. Leur homogénéité est d'autant mieux contrôlée si on forme de petits groupes régionaux qui permettent de s'apercevoir si l'application de la méthode pour déterminer la durée moyenne d'insolation d'un lieu a quelques chances de succès. Dans les autres régions climatiques qui ne disposent pas d'un si grand nombre d'héliographes, on se bornera à l'examen de quelques stations types.

En tout, nous considérons 24 stations du Moyen-Pays, dont neuf sont pourvues d'un héliographe, et qui se

répartissent sur toute l'étendue de la région. La période de 30 années, allant de 1921 à 1950, a été choisie autant que possible comme période de base pour tous les calculs ultérieurs. Elle permettra de considérer un nombre suffisant de stations ayant des séries homogènes et fut en outre recommandée par la Commission de Climatologie de l'Organisation Météorologique mondiale en 1953.

Premier groupe: NE du Moyen-Pays (Tableau 10)

Tableau 10

Moyennes mensuelles de la nébulosité dans le NE du Moyen-Pays, 1921—1950, en %; entre parenthèses les valeurs de S.

	Zurich	Winterthour	Frauenfeld	Schaffhouse	Hallau	Rorschach	St-Gall
Janvier	82 (19)	83	85	80	79 (18)	83	77
Février	71 (32)	71	74	68	69 (29)	73	68
Mars	62 (42)	61	62	55	57 (41)	60	61
Avril	65 (42)	64	65	58	61 (41)	64	64
Mai	64 (46)	61	63	54	59 (45)	60	63
Juin	60 (52)	58	59	50	54 (50)	59	60
Juillet	56 (55)	56	56	46	50 (53)	55	55
Août	56 (53)	56	58	47	51 (52)	55	55
Septembre	60 (47)	59	61	52	55 (46)	57	57
Octobre	70 (34)	71	73	66	67 (32)	72	66
Novembre	82 (21)	83	84	79	80 (18)	82	76
Décembre	87 (14)	86	88	85	84 (14)	85	80
Année	68 (40)	68	69	62	64 (39)	67	65

Zurich, Winterthur, Frauenfeld et Rorschach ont des courbes semblables qui ne cadrent pas du tout avec celles de Schaffhouse et Baden ainsi que de St-Gall en hiver. Une explication n'est possible que pour St-Gall, qui située à 679 m, c'est-à-dire à plus de 200 m au-dessus de Rorschach, se trouve souvent au-dessus des stratus qui recouvrent si fréquememnt le Moyen-Pays en hiver. En été en revanche, les valeurs sont pratiquement les mêmes que dans les stations inférieures. A Schaffhouse par contre, l'explication ne peut être fournie qu'en supposant l'estimation de la nébulosité trop basse. Deux raisons semblent confirmer cela; d'une part Hallau, la station héliographique la plus proche de Schaffhouse, enregistre une durée d'insolation presque égale à celle de Zurich, mais sa somme S + N est inférieure. L'estimation de la nébulosité y est donc plus basse qu'à Zurich et malgré cela elle dépasse encore celle de Schaffhouse. D'autre part, le nouvel observateur à Schaffhouse, en service depuis 1944, obtient des résultats plus élevés que Hallau et plus analogues à ceux des autres stations voisines (Frauenfeld, Rorschach, Zurich, Winterthur). De cette façon, puisque aucune particularité dans la situation géographique de Schaffhouse ne laisse croire qu'il y existe un climat différent de celui de son voisinage, on peut admettre que depuis 1944 seulement les résultats de N sont comparables au reste du pays.

Il est assez instructif de remarquer que les écarts que nous venons de citer ne sont pas aussi grands en hiver, saison pendant laquelle les stratus et même le brouillard dominent et recouvrent souvent tout le ciel; ceci facilite beaucoup les estimations, les cirrus n'étant pas visibles, et rend de cette façon plus homogènes les résultats des différentes stations d'une même région.

Second groupe: Le centre-nord du Moyen-Pays (T
bleau 11)

Les stations de Soleure, Böttstein-Beznau et Mu
semblent homogènes et ne diffèrent pas sensiblement d
Berne (voir Tableau 12), de Zurich (voir Tableau 10
En revanche, les valeurs d'Aarau et d'Olten ne corre
pondent pas à celles des autres stations, entre lesquell
ces localités sont situées et encore moins entre elles. I
première a des valeurs trop basses, la seconde si élevé

Tableau 11

Moyennes mensuelles de la nébulosité dans le centre nord d
Moyen-Pays, 1921—1950, en %; entre parenthèses 1946—1950.

	Muri	Baden	Böttstein-Beznau	Aarau	Olten	Soleure
Janvier	80	80 (78)	82 (79)	78 (79)	86	81 (7
Février	73	68 (71)	73 (74)	65 (71)	74	67 (6
Mars	60	57 (55)	61 (55)	55 (54)	64	58 (5
Avril	64	61 (53)	63 (51)	57 (52)	69	62 (5
Mai	61	60 (62)	61 (60)	56 (61)	66	61 (6
Juin	58	53 (50)	56 (49)	51 (50)	67	56 (5
Juillet	54	51 (48)	53 (46)	48 (47)	59	54 (4
Août	55	53 (51)	55 (50)	50 (50)	61	53 (4
Septembre	59	59 (52)	59 (50)	55 (54)	66	58 (5
Octobre	68	71 (66)	72 (66)	67 (65)	76	69 (6
Novembre	81	81 (84)	85 (82)	80 (82)	87	82 (8
Décembre	86	85 (89)	87 (88)	82 (89)	90	85 (8
Année	67	65 (63)	67 (63)	62 (63)	72	65 (6

que la différence entre les deux stations, à environ 12 k
de distance l'une de l'autre et dans une situation an
logue, est de 8 % en hiver et de 20 % en été, ce qui n
correspond en aucun cas à la réalité. Tandis que le no
vel observateur, à Aarau, obtient dès 1944 des résulta
semblables à ceux de Beznau et même de Soleure, o
peut admettre qu'avant cette date les estimations étaie
trop basses surtout en été. A Olten il n'y a pas eu d
changement dans ce sens, mais nous devons admettre qu
les valeurs de N y sont semblables à celles de Soleure
d'Aarau d'après ses récents résultats. Baden montre d
écarts surtout au printemps et en été. Ceux-ci sont dus au
résultats inégaux obtenus par les nombreux observateu
qui se succédèrent jusqu'en 1928. A partir de là et su
tout depuis 1935 (nouvel observateur) la station a d
moyennes très semblables à celles de Beznau et de Mu

Troisième groupe: Centre et ouest du Moyen-Pay

Tableau 12

Moyennes mensuelles de la nébulosité dans le centre et l'ouest d
Moyen-Pays, 1921—1950, en %; entre parenthèses 1931—1945.

	Neuchâtel	Berne	Fribourg	Langnau i. E.	Lucerne
Janvier	82	76 (78)	77 (77)	72	82
Février	70	66 (67)	69 (69)	68	71
Mars	61	59 (59)	63 (61)	64	62
Avril	63	63 (62)	67 (64)	70	64
Mai	61	62 (61)	66 (63)	70	66
Juin	55	57 (58)	61 (59)	64	62
Juillet	52	52 (55)	55 (55)	60	57
Août	52	52 (53)	54 (53)	58	59
Septembre	57	56 (59)	58 (60)	61	61
Octobre	70	66 (69)	67 (68)	66	71
Novembre	82	78 (79)	78 (78)	75	81
Décembre	85	81 (81)	81 (79)	76	86
Année	66	64 (65)	66 (66)	67	68

A Berne et à Neuchâtel, dont nous connaissons égale-ent la durée d'insolation et dont l'estimation de la né-ulosité n'est pas trop basse, au printemps et en été du oins, les résultats de N sont très différents, pendant ces isons, de ceux de Fribourg et de Langnau dans l'Em-ental; mais nous ne pouvons admettre une différence sensible notamment entre Fribourg et Berne. Les ré-ltats de N ne sont d'ailleurs pas uniformes à Fribourg cours de la période de 1921 à 1950; de 1921 à 1926 sont nettement trop élevés par rapport à Berne notam-ent, tandis qu'après le changement d'observateur en 27, ils sont pratiquement pareils aux deux stations; s 1946, sans qu'il y ait eu de changement d'observateur, résultats sont de nouveau très élevés à Fribourg, ême par rapport à ceux de Berne, où, d'après Δ (voir ableau 4), ils sont déjà bien élevés. A Langnau les ré-ltats se sont abaissés depuis 1940, date à laquelle un ouvel observateur est entré en fonction. Auparavant, est-à-dire depuis 1923, les estimations étaient sûrement op élevées, ce qui se reflète encore dans les moyennes tableau 12. Evidemment la situation géographique de tte localité à 685 m d'altitude au pied du Napf et près s premières chaînes des Préalpes laisse supposer da-ntage de nébulosité que dans le Moyen-Pays propre-ent dit, excepté en hiver. Le village est en outre assez caissé ce qui peut également influencer les estima-ons de la nébulosité. Au point de vue climatologique, angnau n'appartient plus au Moyen-Pays.

Quatrième groupe: Sud-ouest du Moyen-Pays (Ta-eau 13)

bleau 13

oyennes mensuelles de la nébulosité dans le SW du Moyen-Pays, 21—1950, en %; entre parenthèses les valeurs de S.

	Romont	Montreux-Clarens	Lausanne	Genève
nvier	68	63 (30)	70 (28)	76 (25)
vrier	60	55 (41)	58 (42)	63 (39)
rs	54	50 (46)	50 (47)	55 (48)
ril	58	54 (45)	53 (48)	55 (52)
i	56	53 (47)	52 (51)	54 (54)
in	52	47 (54)	46 (58)	46 (63)
illet	47	42 (59)	42 (62)	41 (67)
ût	47	43 (57)	43 (60)	42 (65)
ptembre	50	46 (53)	46 (54)	48 (57)
tobre	59	54 (44)	56 (42)	61 (43)
vembre	69	64 (31)	70 (29)	76 (26)
cembre	72	67 (28)	72 (25)	81 (20)
née	58	53 (46)	55 (48)	57,5 (50)

Ce groupe est disparate: de Lausanne et de Montreux rtout nous savons par les enregistrements de leurs liographes, que l'estimation de la nébulosité y est trop sse, notamment à Montreux, tandis qu'à Genève N se vèle homogène et comparable au reste du Moyen-Pays. Romont, les valeurs sont probablement trop basses en , notamment quand on les compare à celles de Fri-urg et de Berne, attendu que cette station ne jouit rement pas d'un climat plus privilégié; en hiver, par ntre, la fréquence moins grande de brouillard, due à ltitude de la station peut expliquer ces valeurs plus sses de N. Il est heureux qu'il nous soit possible de uvoir contrôler les résultats de N de cette région au moyen des enregistrements de trois héliographes. Ceci nous montre encore une fois que par des observations de la nébulosité seule, il n'est pas toujours possible de définir le climat solaire d'un lieu. Dans le cas de ce groupe, on serait tenté de croire à un climat particulière-ment privilégié des bords du Léman et d'une partie du Moyen-Pays (Romont), par rapport au reste de cette ré-gion. Certes, les bords du Léman sont ensoleillés mais pas autant que l'examen des moyennes des observations de la nébulosité le laisserait supposer.

En admettant que ni à Lausanne, ni à Montreux on n'ait enregistré la durée d'insolation, les résultats de la nébulosité auraient paru d'autant plus probants que la similitude des valeurs de N pour ces deux stations et même pour Genève semblait être, excepté en hiver, vrai-ment remarquable. Si l'on analyse les résultats de la nébulosité à Montreux, on constate qu'après 1945, avec le nouvel observateur, les valeurs de N ainsi que de Δ dans la somme S + N augmentent jusqu'à devenir par-faitement comparables à celles de Genève, Berne et Neu-châtel (Tableau 14).

Tableau 14

Moyenne mensuelles de la somme S + N à Montreux-Clarens et dans le Moyen-Pays.

	Montreux-Clarens 1946—1950	Moyen Pays (moyenne de 6 stations) 1921—1950
Janvier	101	100
Février	102	102
Mars	103	103
Avril	107	107
Mai	109	108
Juin	111	110
Juillet	109	109
Août	110	109
Septembre	108	106
Octobre	108	104
Novembre	104	102
Décembre	101	100
Année	109	107,5
Amplitude	10	10

Cinquième groupe: Pied nord du Jura (Tableau 15)

Tableau 15

Moyennes mensuelles de la nébulosité à Bâle et à Rheinfelden, 1921—1950, en %; entre parenthèses valeurs de 1946—1950.

	Bâle	Rheinfelden
Janvier	75 (71)	75 (71)
Février	69 (69)	69 (72)
Mars	63 (57)	58 (54)
Avril	66 (56)	62 (55)
Mai	65 (66)	60 (63)
Juin	59 (53)	54 (52)
Juillet	55 (48)	51 (50)
Août	55 (51)	52 (51)
Septembre	59 (50)	56 (51)
Octobre	70 (58)	66 (55)
Novembre	78 (77)	76 (76)
Décembre	80 (80)	80 (82)
Année	66 (61)	63 (61)

Ce groupe comprend trois stations: Bâle, Rheinfelden et Hallau dont deux, la première et la dernière disposent d'un héliographe. Bâle et Rheinfelden sont facilement comparables étant très proches l'une de l'autre, tandis que Hallau, par son climat, serait plutôt à rapprocher du premier groupe que nous avons constitué (bien plus de brouillard et de nébulosité en hiver qu'à Bâle par exemple).

A Bâle les résultats de la nébulosité sont bons par rapport à l'insolation relative. En revanche, à Rheinfelden les valeurs de N sont, excepté en hiver, plus basses qu'à Bâle, en particulier de 1921 à 1943. Depuis 1944 (nouvel observateur) elles ont augmenté et sont très proches sinon égales à celles de la station voisine, où, en revanche, elles semblent avoir un peu baissé d'après Δ par rapport à 1921—43. La similitude des deux stations telle que la reflète les résultats de 1946—50, est justifiée par la proximité des deux localités et leur situation géographique analogue.

En résumé, des 24 stations examinées, 15, soit à peu près les deux tiers, ont des moyennes homogènes pour N. Les neuf autres, dont trois possèdent des héliographes, ont des résultats trop élevés ou trop bas pour être compris dans la limite de tolérance des moyennes de leur voisinage immédiat. Mais l'analyse des résultats de la plupart d'entre elles permet de distinguer de plus courtes périodes, pendant lesquelles à la suite d'un changement d'observateur, les estimations de N ont donné des moyennes comparables et homogènes à celles de leur voisinage (Schaffhouse, Baden, Aarau, Langnau/E., Montreux, Rheinfelden). Ce résultat prouve combien il est nécessaire de considérer d'assez près les moyennes de la nébulosité, dont l'estimation est si souvent sujette à des variations d'origine subjective. En revanche, elles sont d'habitude suffisamment bonnes pour permettre l'application de la méthode à proposer, même s'il est nécessaire parfois de réduire certains résultats de N à certaines stations.

b) *Résultats de l'estimation de la nébulosité dans quelques régions de la Suisse*

1. *Jura occidental.* Outre que dans le Jura les stations sont clairsemées, leurs résultats de N sont fort peu semblables à ceux du Moyen-Pays. Evidemment le climat y est aussi différent. Si nous comparons les moyennes de la durée d'insolation relative de Neuchâtel et de La Chaux-de-Fonds, nous constatons un déficit à cette dernière station allant de mars à septembre; d'octobre à février en revanche, c'est la montagne qui est favorisée. Son altitude la place très souvent au-dessus des stratus hivernaux du Plateau (voir Tableau 16).

Tableau 16

Moyennes mensuelles de la nébulosité (N) et de l'insolation relative (S) dans le Jura occidental et à Neuchâtel, 1921—1950, en %. (S + N voir Tableau 33.)

	Mont Soleil		La Chaux-de-Fonds		Neuchâtel	
	S	N	S	N	S	N
Janvier	30	67	31	63	16	82
Février	35	64	35	60	31	69
Mars	41	60	41	55	43	61
Avril	39	65	38	61	45	63
Mai	39	63	39	59	48	61
Juin	47	58	47	54	56	55
Juillet	50	55	49	51	58	52
Août	51	53	50	49	57	52
Septembre	48	55	48	51	49	57
Octobre	41	61	41	57	32	70
Novembre	32	67	33	63	17	82
Décembre	27	69	29	65	12	85
Année	41	61	41	57	42	66

Si nous ne comparions que les résultats de l'estimation de la nébulosité, La Chaux-de-Fonds jouirait d'un climat beaucoup plus ensoleillé que Neuchâtel et cela pendant toute l'année. L'erreur devient flagrante si l'on compare les sommes S + N des deux stations. Il est clair que de pareils résultats pourraient facilement prêter à confusion, d'autant plus que La Brévine par exemple, située dans une région similaire, et le Mont Soleil à une altitude un peu différente, mais à 15 km seulement de La Chaux-de-Fonds, ont des moyennes de N plus élevées que cette dernière. La durée d'insolation relative en revanche est pratiquement la même au Mont Soleil et à La Chaux-de-Fonds. Ainsi, seul le personnel desservant la station est responsable de pareils écarts, comme nous l'avons déjà indiqué dans le premier chapitre. Au Mont Soleil et à La Brévine, les résultats de N ne sont pas non plus satisfaisants: l'estimation de la nébulosité semble inégale, en particulier à la suite de changements du personnel. Notre méthode aura, certes, des difficultés à fournir une valeur de l'insolation en de telles stations, il sera préférable de se référer uniquement aux indications des héliographes.

2. *Les Grisons* (Tableau 17)

Tableau 17

Moyennes mensuelles de la nébulosité dans les Grisons, en %; entre parenthèses les valeurs de S à St. Moritz et à Schuls. Les moyennes sont établies d'après la période 1921—1950, sauf à Schuls et à St. Moritz où elles se rapportent à 1932—1950.

	Arosa	Davos	Schiers	Coire	Seewis*	Platta (Medels)	Schuls	St. Moritz
Janvier	57	57	61	61	62	59	52 (48)	45 (48)
Février	56	54	59	58	60	57	52 (52)	45 (53)
Mars	59	57	57	57	60	59	52 (54)	45 (54)
Avril	65	64	64	63	65	68	56 (51)	51 (52)
Mai	67	65	63	63	63	69	62 (45)	57 (44)
Juin	66	64	60	59	62	61	56 (51)	50 (51)
Juillet	61	60	56	55	59	60	52 (57)	46 (56)
Août	59	58	54	55	55	58	52 (55)	48 (56)
Septembre	58	57	55	55	56	59	51 (55)	48 (54)
Octobre	56	55	57	56	57	59	53 (52)	48 (52)
Novembre	58	58	63	63	62	62	56 (45)	48 (45)
Décembre	56	55	62	63	63	59	52 (45)	46 (46)
Année	60	59	59	59	60	61	54 (51)	48 (51)

* Valeurs homogénéisées

Les quatre stations disposant d'un héliographe dans les hautes vallées des Grisons sont Davos et Arosa dans le Nord, St. Moritz et Schuls en Engadine. Les deux premières ont des moyennes de nébulosité élevées, ce qui se traduit également par une valeur élevée de Δ. Une observation plus soignée des différentes sortes de nuages est probablement le fruit de l'instruction plus poussée du personnel des deux observatoires (Lichtklimatisches Observatorium à Arosa, Observatoire physico-météorologique à Davos). Mais nous pouvons supposer, après examen, qu'à peu de chose près les résultats d'autres stations grisonnes ou du voisinage telles que Coire, Ragaz, Schiers, Seewis (1921—35) et Platta dans le Val Medel

fournissent des résultats de N comparables à ceux d'Arosa et de Davos malgré leur situation géographique parfois différente.

Malheureusement les stations de l'Engadine sont moins bien comparables. A Schuls et à ses résultats corrects, quoique inférieurs à ceux des deux stations précédentes, s'opposent St. Moritz et ses moyennes beaucoup trop basses depuis la mise en service de la nouvelle station en 1922. Puisque les moyennes de la durée d'insolation relative sont à peu de chose près égales aux deux stations, il est facile de dépister l'erreur. Les stations de Bever, Sils-Maria, Sta Maria ont des résultats inégaux, ceux de Bever étant les meilleurs. Dans cette partie des Grisons, il est préférable de se baser sur les indications fournies par les héliographes qui permettent une estimation assez sûre des valeurs de l'insolation.

3. *Valais et vallée du Rhône* (Tableau 18)

Tableau 18

Moyennes mensuelles de la nébulosité dans la vallée du Rhône, 1931—1950, en %; entre parenthèses les valeurs S.

	Sion	Montana	Leukerbad	Zermatt	Leysin
Janvier	54	52 (46)	50	42	55 (41)
Février	51	49 (50)	50	40	53 (44)
Mars	48	48 (53)	50	41	51 (48)
Avril	51	51 (52)	53	45	54 (46)
Mai	55	55 (48)	56	53	58 (44)
Juin	49	49 (56)	49	45	53 (49)
Juillet	44	45 (61)	44	40	48 (55)
Août	45	45 (60)	45	41	48 (54)
Septembre	45	46 (57)	46	42	50 (51)
Octobre	47	47 (55)	47	44	53 (46)
Novembre	54	51 (47)	52	44	57 (39)
Décembre	51	48 (46)	48	41	51 (42)
Année	49	49 (53)	49	43	53 (47)

En Valais, il n'y a que deux héliographes; l'un, à Montana, est en fonction depuis 1928, l'autre, à Sion, depuis 1941 seulement. On peut y joindre encore Leysin et discuter ainsi toute la vallée du Rhône. Tandis qu'à Sion les résultats de la nébulosité semblent corrects et bien observés, ils le sont moins à Leysin et à Montana où on a tendance à négliger les nuages fins du niveau élevé; en tout cas, la somme de S + N nous indique que l'estimation de la nébulosité est nettement trop basse à Leysin. Il semble aussi que les nombreux changements d'observateurs qui se sont succédé ont contribué à l'inégalité des résultats. Dans la moyenne 1931—50, c'est Leysin qui a la nébulosité relativement la plus basse tandis qu'à Montana les moyennes ne baissent que périodiquement jusqu'à donner au cours des dernières années des sommes annuelles de S + N inférieures à 100 %. En outre les résultats ne sont pas bien meilleurs et très irréguliers au cours des années dans plusieurs autres stations valaisannes (Leukerbad, Grächen). Il faudra beaucoup de comparaisons minutieuses et bien des réductions pour rendre tout le matériel homogène.

On ne représentera dans le tableau 18 que la période allant de 1931 à 1950; c'est la période la plus acceptable pour les stations de Sion, Leukerbad, Montana, Zermatt et Saas-Fee.

4. *Versant sud des Alpes* (Tableau 19)

Tableau 19

Moyennes mensuelles de la nébulosité au Tessin, 1921—1950, en %; entre parenthèses les valeurs de S.

	Lugano	Mte-Bré	Bellinzone	Grono	Comprovasco	Airolo
Janvier	46 (51)	43 (53)	48	43	44	44
Février	44 (57)	42 (59)	46	41	44	43
Mars	48 (52)	48 (53)	49	46	49	48
Avril	52 (50)	51 (50)	54	52	55	54
Mai	57 (47)	55 (47)	60	59	59	58
Juin	44 (61)	42 (61)	48	49	49	47
Juillet	38 (67)	37 (67)	43	43	45	45
Août	39 (65)	39 (65)	44	43	46	43
Septembre	45 (57)	45 (58)	48	48	49	46
Octobre	51 (50)	50 (52)	51	50	50	48
Novembre	53 (46)	50 (48)	53	50	50	49
Décembre	47 (49)	46 (51)	48	44	46	45
Année	47 (55)	46 (56)	49	47	49	47

NB: La station de Locarno-Monti ne fut mise en service qu'en 1935.

Nous avons déjà parlé des irrégularités des moyennes de N à Lugano qui sont dues à des changements d'observateurs. On le remarque en comparant les résultats généraux de 1921—50 à ceux d'autres stations. Mais étant donné les résultats élevés de la station tessinoise officielle de Locarno-Monti qui sont dus à une observation plus minutieuse d'un personnel spécialisé, il est possible, même en joignant à ces deux stations les moyennes assez basses du Monte Brè, de trouver des sommes moyennes de S + N adéquates et assez sûres pour calculer le degré d'insolation de différentes stations dont N semble bon, comme Bellinzone et Comprovasco et peut-être Airolo et Grono (trop bas).

5. *Hautes-Alpes* (Tableau 20)

Tableau 20

Moyennes mensuelles de la nébulosité sur le Sæntis et le Pilate, 1921—1950, en %; entre parenthèses les valeurs de S.

	Säntis	Pilate
Janvier	64 (36)	57
Février	61 (41)	54
Mars	62 (42)	56
Avril	72 (31)	66
Mai	73 (32)	68
Juin	73 (30)	69
Juillet	70 (35)	66
Août	67 (38)	63
Septembre	64 (42)	57
Octobre	60 (45)	53
Novembre	62 (40)	54
Décembre	62 (39)	55
Année	66 (37)	60

Il aurait été intéressant d'avoir pour la même période de 1921 à 1950 des moyennes de quelques stations des Hautes-Alpes également dotées d'un héliographe. Seuls les résultats de N du Sæntis sont continus et contrôlables, tandis qu'aux Rochers-de-Naye et au Rigi ils sont inégaux ou bien les observations y ont été interrompues à plusieurs reprises. Au Pilate, l'estimation de la nébulosité est sûrement trop basse si l'on tient compte de l'altitude, de sa situation dominante et exposée ainsi que des résultats du Sæntis et de Lucerne. Sur le Jungfraujoch les observations n'ont commencé qu'en 1938 et l'héliographe mis en service en même temps, ne semble pas fournir des résultats homogènes; il n'y a donc pas grand-chose à chercher de ce côté-là non plus, ce qui exclut la formation d'un groupe pour la région des sommets.

III. Méthode pour calculer la durée d'insolation moyenne à partir des observations de la nébulosité

A. Déduction de la méthode

Après avoir étudié les éléments nécessaires, il est maintenant possible de développer une méthode de détermination de la durée d'insolation pour des stations ne disposant que des résultats de l'estimation de la nébulosité et des données de la durée d'insolation possible, établies à l'aide de l'héliochronomètre.

En connaissant la durée d'insolation relative S et la nébulosité N, les deux exprimées en pour-cents, de quelques stations d'une même région climatique (Moyen-Pays, Valais, par exemple), nous pouvons établir des moyennes régionales mensuelles de la somme S + N, donc aussi de Δ, d'après les formules déjà énoncées plus haut:

$$S + N = 100\ \%$$
$$S + N = 100 + \Delta$$

Si dans une station de la même région on connaît N, on peut calculer S d'après:

$$S = (100 + \Delta) - N,$$

où $(100 + \Delta)$ se rapporte ici à une valeur moyenne régionale. Si l'on veut connaître les valeurs moyennes de la durée d'insolation effective représentée ici par E, il faut au préalable connaître les valeurs de la durée d'insolation possible, représentées par P. On aura alors:

$$E = \frac{S \cdot P}{100}$$

Dans ces formules S et N sont indiquées en pour-cents, E et P le sont en heures.

Cette méthode sera sans doute fort pratique si l'homogénéité des résultats de l'estimation de la nébulosité est réalisée. Comme on vient de le voir, cette dernière condition n'est pas remplie partout. D'autre part, dans un pays montagneux comme la Suisse, d'autres difficultés se présentent qui proviennent tout d'abord de la quantité des régions climatiques différentes, ne disposant pas toutes d'héliographes, et des différences causées par la configuration de l'horizon visible d'un lieu. Dans le premier cas, on peut dire qu'en somme presque toutes les grandes régions du pays sont représentées par des moyennes de Δ. Ainsi, dans le Moyen-Pays et au pied nord du Jura fonctionnent une quantité d'héliographes près desquels on observe simultanément la nébulosité. Dans le Jura, il y a bien moins de stations et les observations de la nébulosité n'y sont pas bien plus nombreuses et parfois sujettes à caution. Le pied sud des Alpes a trois héliographes répartis sur trois stations observant également la nébulosité. Dans les Alpes elles-mêmes, il y a une quantité de stations héliographiques surtout dans les hautes vallées grisonnes, tandis que dans les Préalpes, c'est-à-dire sur le versant proprement nord des Alpes, toutes les stations ont des résultats défectueux (Braunwald, Walenstadtberg et Beatenberg). C'est malheureusement une lacune, car cette région est très vaste et très intéressante et on peut espérer qu'à l'avenir ces stations fourniront des résultats dignes de confiance, puisqu'il a été en grande partie possible d'écarter les sources d'erreurs. En Valais et dans la vallée du Rhône en général, il y a 3 stations qui ne sont pas toutes à même de fournir les résultats nécessaires pour former un groupe de stations homogènes dans cette région. Les hauts sommets n'ont qu'une station, le Sæntis, qui, à elle seule, ne peut pas être représentative pour tous les sommets alpins, mais reste neanmoins un type caractéristique. Dans les tableaux 21 à 27 et dans les commentaires qui suivent, on expose avec plus de détails les données essentielles pour l'application de la méthode, c'est-à-dire les valeurs mensuelles de S + N pour chaque station, en les soumettant, s'il y a lieu, à une courte étude critique.

a) *Moyen-Pays et pied nord du Jura* (Tableau 21)

Dans cette région, il y a le plus grand nombre de stations qui enregistrent S et observent N et il sera plus aisé d'y appliquer la méthode. Ce groupe comprend les stations de Bâle, Hallau, Zurich, Lucerne, Berne, Neuchâtel, Lausanne et Genève. Il est représenté dans le tableau par les deux périodes de 1921—1950 et de 1911 à 1950, cette dernière comprend presque le plus grand nombre d'années possibles pendant lesquelles des valeurs homogènes de Δ sont disponibles pour toutes ces stations. La station de Montreux-Clarens est un cas limite

Tableau 21

Moyennes mensuelles de la somme S + N des stations du Moyen-Pays et du pied nord du Jura, 1921—1950. Entre parenthèses les valeurs de S + N pour la période 1911—1950.

	Bâle	Hallau	Zurich	Lucerne	Berne	Neuchâtel	Lausanne	Genève
Janvier	101 (101)	97 (97)	101 (100)	99 (99)	99 (99)	98 (99)	98	101 (101)
Février	102 (103)	98 (98)	103 (101)	101 (100)	100 (101)	101 (101)	100	102 (102)
Mars	104 (104)	98 (99)	104 (102)	102 (102)	101 (102)	104 (104)	97	103 (103)
Avril	107 (107)	102 (102)	108 (105)	106 (105)	105 (105)	108 (108)	101	107 (107)
Mai	109 (109)	104 (104)	110 (108)	107 (107)	106 (107)	110 (111)	103	108 (108)
Juin	110 (111)	104 (104)	112 (110)	108 (108)	109 (109)	110 (111)	104	108 (109)
Juillet	109 (109)	103 (104)	111 (109)	108 (108)	108 (108)	110 (111)	104	108 (108)
Août	107 (107)	103 (103)	110 (108)	107 (107)	107 (108)	108 (109)	102	107 (107)
Septembre	106 (106)	101 (101)	107 (104)	104 (104)	106 (106)	106 (106)	100	106 (105)
Octobre	106 (106)	99 (99)	105 (103)	103 (102)	103 (104)	101 (101)	99	104 (103)
Novembre	103 (103)	99 (98)	103 (101)	101 (101)	102 (102)	99 (99)	99	102 (101)
Décembre	101 (101)	98 (97)	101 (100)	100 (100)	98 (98)	97 (97)	97	101 (100)
Année	107 (108)	103 (103)	108 (108)	107 (106)	106 (106)	107,5 (108)	103	107,5 (108)
Amplitude	9 (10)	6 (7)	11 (10)	9 (9)	11 (11)	13 (14)	7	7 (9)

que l'on peut aussi bien rattacher au Moyen-Pays (région du Lac Léman) qu'à la vallée du Rhône et c'est pourquoi elle n'est pas incluse dans la moyenne régionale du Moyen-Pays.

En considérant le tableau 21, on s'aperçoit rapidement que les résultats de S + N ne sont pas identiques pour toutes les stations, Lausanne et Hallau en particulier, frappant par les grandes différences qui caractérisent leurs moyennes mensuelles comparées à celles des six autres stations dont les résultats ne sont généralement pas très différents entre eux.

On peut se demander s'il faut vraiment considérer toutes les stations représentées dans le tableau 21 ou si l'on peut éliminer celles qui par leurs résultats diffèrent nettement des moyennes générales. Il semble préférable lors du contrôle de la méthode de ne pas tenir compte tout d'abord des deux stations de Lausanne et de Hallau dont l'estimation de la nébulosité est trop basse par rapport aux autres stations. Or, puisqu'il faudra de toute façon corriger les estimations de la nébulosité où cela est possible et nécessaire en vue d'appliquer sans autre la méthode en question, il semble permis d'opérer de la même manière lorsqu'il s'agit de calculer une moyenne régionale homogène de Δ.

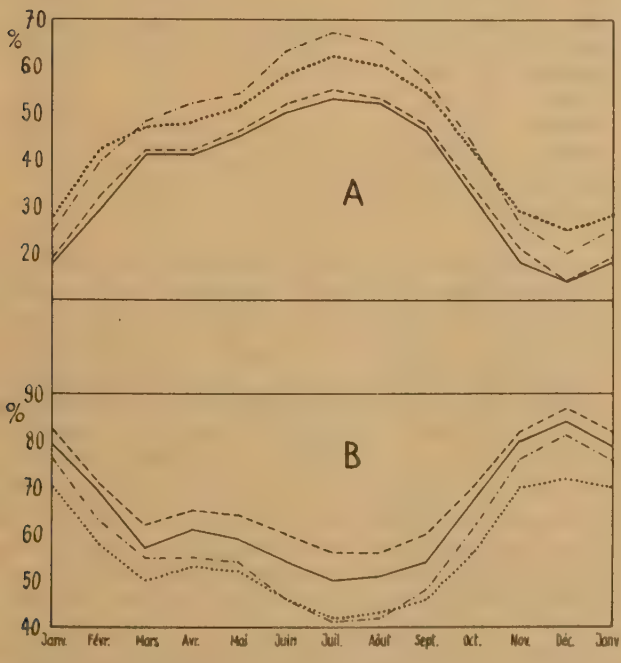

Fig. 2: Variation annuelle de la durée d'insolation (A) et de la nébulosité (B)

Hallau ———— Lausanne ••••••••••••
Zurich - - - - - - - Genève - · - · - · -

Un coup d'œil sur la figure 2 permet d'apprécier les différences considérables qui existent entre les valeurs de la durée d'insolation relative de Zurich et de Hallau d'une part, de Genève et de Lausanne de l'autre, et de celles de la nébulosité qui, pour Lausanne et Hallau, diffèrent sensiblement des mêmes stations de comparaison citées auparavant et dont les résultats sont homogènes.

b) *Jura occidental* (Tableau 22)

Les deux stations que nous avons à notre disposition, La Chaux-de-Fonds et le Mont Soleil, sont pourvues d'autographes fournissant des résultats analogues. La distance qui les sépare est minime (moins de 15 km) et elles sont également situées à 1000 m d'altitude environ dans un cadre semblable. Tandis que S est pratiquement le même aux deux endroits, N et Δ son fort différents (voir Tableau 16).

Tant que les autres stations observant la nébulosité dans cette région ont des résultats de N trop bas, rien ne s'oppose à l'application de la méthode. Les stations qui observent la nébulosité sont très clairsemées: La Bré-

Tableau 22

Moyennes mensuelles de la somme S + N dans le Jura occidental. 1921—1950. Entre parenthèses les valeurs de 1921—1930 sur le Mt-Soleil.

	La Chaux-de-Fonds	Mont Soleil
Janvier	94	97 (99)
Février	95	99 (102)
Mars	96	100 (102)
Avril	99	103 (105)
Mai	97	103 (106)
Juin	101	105 (110)
Juillet	101	105 (108)
Août	99	104 (108)
Septembre	99	103 (105)
Octobre	98	102 (104)
Novembre	96	99 (99)
Décembre	93	96 (99)
Année	99	102 (105)
Amplitude	8	9 (11)

vine, dont les résultats sont semblables à ceux du Mont Soleil, et Chaumont avec ses résultats inégaux et en général trop bas satisfont à cette condition. Il serait cependant bien préférable que les résultats de Δ s'améliorent et se rapprochent d'une moyenne qui ressemble à celle du Moyen-Pays dans ses grandes lignes, comme c'est déjà le cas au Mont Soleil pour la courte période de 1921 à 1930, avant que les moyennes de N n'empirent trois ans après l'entrée en service d'un nouvel observateur en 1934.

c) *Vallée du Rhône* (Tableau 23)

Dans cette vallée et dans les autres groupes qui suivent, il n'a pas été possible de s'en tenir à la période de base allant de 1921 à 1950, car en désirant ne comparer

Tableau 23

Moyennes mensuelles de la somme S + N dans la vallée du Rhône, 1931—1950 (Sion 1941—1950).

	Leysin	Montana	(Sion)	Moyenne 1931—1950 (sans Sion)
Janvier	96	98	96	97
Février	97	100	101	98,5
Mars	99	101	104	100
Avril	100	103	107	101,5
Mai	102	103	110	102,5
Juin	103	106	111	104,5
Juillet	103	106	110	104,5
Août	102	105	107	103,5
Septembre	100	103	104	101,5
Octobre	99	101	103	100
Novembre	96	98	98	97
Décembre	93	95	90	94
Année	100	102	105	101
Amplitude	10	11	21	10

ici que des groupes homogènes, disposant de séries d'observations et d'enregistrements semblables, on a été obligé de raccourcir les périodes afin de pouvoir insérer dans nos moyennes le plus de stations possibles. Ainsi, dans ce groupe Montana et Leysin ne disposant d'enregistrements homogènes de S que depuis 1928 et 1930, on a choisi la période allant de 1931 à 1950. On fera abstraction de Sion, dont les résultats s'étendent sur dix années seulement, résultats qui sont encore hypothéqués par un changement d'emplacement de l'héliographe en 1947.

A première vue, ce sont les résultats de Leysin qui frappent par leurs valeurs très basses. Ils sont dus, il en a déjà été question, aux valeurs de N trop basses notamment par rapport à Montana. L'amplitude à Leysin et à Montana est semblable à celle du Moyen-Pays, c'est peut-être une preuve du trop peu d'attention porté à l'observation des cirrus. Mais il est aussi possible que le givrage des boules de verre réduise les valeurs de S en hiver surtout.

En comparant Leysin et Montana avec Sion (période 1941—50 uniquement), on constate qu'en cette dernière station les valeurs de Δ ne sont à l'exception de celles de décembre, pas pareilles à celles des deux premières, mais semblables à celles du Moyen-Pays. Mais l'amplitude annuelle y a une valeur double. Il n'est guère concevable qu'on observe N différemment en été et en hiver. D'autre part, les valeurs de l'insolation possible mesurées à l'héliochronomètre, sont pratiquement les mêmes qui sont enregistrées par l'héliographe lors des jours sans nuages. Il semble qu'ici le givrage de la boule de verre joue un rôle qu'il serait bon d'examiner.

d) *Les Grisons* (Tableau 24)

Tableau 24

Moyennes mensuelles de la somme S + N dans les hautes vallées grisonnes, 1931—1950; entre parenthèses valeurs de 1921—1950.

	Arosa	Davos	Schuls	St. Moritz	Moyenne avec St. Moritz	Moyenne sans St. Moritz
Janvier	107 (106)	104 (102)	101	93	101	104
Février	109 (108)	106 (106)	104	98	104	106
Mars	110 (110)	109 (109)	105	100	106	108
Avril	112 (111)	110 (109)	106	102	107	109
Mai	112 (111)	110 (109)	107	101	108	110
Juin	113 (113)	112 (112)	107	101	108	111
Juillet	113 (113)	113 (113)	108	101	109	111
Août	112 (111)	111 (111)	107	103	108	110
Septembre	111 (111)	110 (109)	106	101	107	109
Octobre	111 (111)	110 (109)	105	100	106	109
Novembre	107 (107)	107 (106)	101	93	102	105
Décembre	105 (105)	100 (99)	98	91	99	101
Année	110 (109)	109 (108)	105	101	106	108
Amplitude	7 (8)	13 (14)	10	12	10	10

Dans les hautes vallées des Grisons, les stations se répartissent sur trois vallées: Engadine, Schanfigg, vallée de la Landwasser. On a dû choisir la période de 1931 à 1950 parce qu'à Schuls l'héliographe n'a été mis en service qu'en 1930. Les valeurs de Δ sont assez différentes suivant les stations. A Arosa et à Davos, elles sont plus élevées qu'à Schuls et surtout qu'à St. Moritz, où les enregistrements de l'insolation sont pourtant bons. A St. Moritz, les résultats de l'observation de la nébulosité sont en revanche sûrement beaucoup trop bas (voir chapitre II C). Nous ne doutons pas que les deux instituts scientifiques d'Arosa et de Davos et leur personnel spécialisé prêtent davantage d'attention aux nuages élevés et en tous cas contrôlent mieux leurs héliographes en hiver (givrage). En moyenne, les valeurs de Δ, à l'exclusion de celles de St. Moritz où N ne peut être pris en considération, sont assez semblables à celles du Moyen-Pays, quoique passablement plus élevées en hiver; ceci s'explique facilement par la plus grande quantité de nuages élevés et transparents observables en montagne à cette époque et par la plus grande pureté de l'air, qui permet à l'héliographe d'enregistrer dès que les premiers rayons du soleil apparaissent au-dessus de l'horizon.

e) *Pied sur des Alpes* (Tableau 25)

Tableau 25

Moyennes mensuelles de la somme S + N au Tessin, 1937—1950; entre parenthèses valeurs de 1921—1950.

	Lugano	Mte-Bré	Locarno	Moyenne
Janvier	100 (97)	98	103	100
Février	105 (101)	104	107	105
Mars	104 (100)	104	106	105
Avril	105 (102)	103	108	105
Mai	106 (104)	104	108	106
Juin	107 (105)	105	112	108
Juillet	108 (106)	108	112	109
Août	107 (104)	107	109	108
Septembre	103 (102)	104	108	105
Octobre	103 (101)	103	107	105
Novembre	101 (98)	99	105	102
Décembre	98 (96)	97	102	99
Année	105 (102)	104	108	106
Amplitude	10 (10)	11	10	10

Il se pose ici une question semblable à celle du paragraphe précédent: Une station spécialisée, l'observatoire tessinois à Locarno-Monti, obtient des valeurs de Δ plus élevées que les observateurs à Lugano et au Monte Brè; ceci est probablement causé par une appréciation plus exacte des nuages élevés et translucides. A part cela, les moyennes régionales sont à peu de chose près pareilles à celles du Moyen-Pays. Elles ne se rapportent qu'à 14 années, car les enregistrements de la durée d'insolation n'ont commencé qu'en 1937 à Locarno, au Monte Brè ils ne sont utilisables que depuis 1934. Mais, puisque Δ est une relation, donc une grandeur théoriquement invariable, il semble permis de comparer ces valeurs de 1937 à 1950 à celles du Moyen-Pays de 1921—50 aussi bien qu'à celles de 1931—50 des vallées grisonnes. Remarquons aussi, que les valeurs élevées de l'hiver à Locarno par rapport au Moyen-Pays sont sûrement dues au manque de brouillard élevé ou non qui permet une meilleure observation des cirrus. Les amplitudes annuelles sont pour ainsi dire identiques aux trois stations.

f) *Les moyennes régionales*

Si l'on excepte les moyennes insuffisantes du Jura et de la vallée du Rhône, les moyennes mensuelles des autres régions montrent certaines divergences assez intéressantes notamment en hiver, où les valeurs du Moyen-Pays restent inférieures à celles des hautes vallées à la

Tableau 26

Moyennes mensuelles régionales de la somme S + N.

	Moyen-Pays + pied nord du Jura 1921—1950		Jura occidental 1921—1950	Vallée du Rhône 1931—1950	Htes. vallées grisonnes 1931—1950	Tessin 1937—1950
	a	b				
Janvier	99	100	95,5	97	104	100
Février	101	101,5	97	98,5	107	105
Mars	102	103	98	100	108	105
Avril	105,5	107	101	101,5	109	105
Mai	107	108,5	100	102,5	110	106
Juin	108	110	103	104,5	111	108
Juillet	108	109,5	103	104,5	111	109
Août	106	109	101,5	103,5	110	108
Septembre	104,5	106	101	101,5	109	105
Octobre	102,5	104	100	100	109	105
Novembre	101	102	97,5	97	105	102
Décembre	99	100	94,5	94	102	99
Année	106	107,5	101,5	101	108	106
Amplitude	9	10	8,5	10	11	10

a) Toutes les stations; b) sans Lausanne, ni Hallau.

suite du plafond de brouillard qui empêche l'observation des nuages supérieurs; d'autre part la concordance des amplitudes de la marche annuelle est remarquable.

Grâce à une récente publication de F. Steinhauser (30) qui se base d'ailleurs sur une courte communication de Mörikofer et Nagel (24), il est possible de comparer les données suisses des sommes moyennes mensuelles de S + N avec celles de l'Autriche, un pays qui, au point de vue géographique, ressemble beaucoup à la Suisse (Tableau 27).

Tableau 27

Moyennes mensuelles de la somme S + N en Autriche.

	Stations de basse altitude					
	Versant nord		Versant sud des Alpes		Stations de montagne	
	Autriche	Suisse	Autriche	Suisse	Autriche	Suisse
Janvier	98	99	98	100	102	104
Février	102	101	102	105	105	107
Mars	103	102	104	105	107	108
Avril	106	105,5	106	105	109	109
Mai	108	107	107	106	109	110
Juin	109	108	110	108	111	111
Juillet	109	108	109	109	111	111
Août	108	106	107	108	109	110
Septembre	105	104,5	107	105	108	109
Octobre	102	102,5	104	105	107	109
Novembre	100	101	100	102	103	105
Décembre	99	99	97	99	101	102
Année	106	107,5	106	106	107	108
Amplitude	10	10	13	10	10	11

On peut prétendre que la concordance des résultats autrichiens avec ceux de la Suisse est bonne, même si parfois quelques écarts se produisent, en hiver par exemple entre le Moyen-Pays et les régions correspondantes d'Autriche, ainsi qu'entre le Tessin et le pied sud des Alpes autrichiennes. L'amplitude annuelle n'est différente que dans le groupe des stations de basse altitude du pied sud des Alpes (Klagenfurt, Graz, etc.), qui, strictement parlé, ne sont pas identiques, quant à leur situation, aux stations tessinoises.

Au début de ce chapitre on a mentionné une autre difficulté d'application de notre méthode de détermination de l'insolation moyenne d'un lieu, causée par les différences de configuration de l'horizon des divers points des Alpes surtout. On a reconnu depuis longtemps déjà que le rythme journalier de la durée d'insolation relative accuse un minimum le matin et le soir ou plutôt une croissance très rapide des valeurs pendant les premières heures de la journée et une décroissance toujours plus rapide vers le soir.

Il semble que trois effets particuliers se combinent ici, dont deux nous sont déjà connus: 1. l'effet de coulisse des nuages proches de l'horizon, 2. la diminution de l'intensité du rayonnement sous la limite de sensibilité de l'héliographe lorsque le soleil est bas et 3. l'augmentation du degré de nébulosité le matin et le soir par rapport au milieu de la journée, d'où résulte une forte accentuation du premier effet.

Dans un pays de montagnes où l'horizon est fortement découpé, il est juste d'admettre qu'en un lieu où la trajectoire du soleil n'est visible qu'au milieu de la journée les deux premiers effets disparaissent pour faire place à une durée d'insolation relative plus grande qu'à un autre endroit où l'horizon est très découvert. Il est certain que de telles différences sont possibles dans une région restreinte comme dans une vallée des Alpes par exemple et gagnent en importance lorsqu'il s'agit de déterminer la durée d'insolation de divers points à partir des trajectoires solaires et de la durée d'insolation relative d'une seule station de la même vallée, comme l'a fait J. C. Thams (32 et 33) pour la plaine de Magadino avec les données de l'héliographe de Locarno. A ce moment, comme J. C. Thams le fait remarquer à la suite d'une suggestion de H. Uttinger, des erreurs dues aux différentes configurations des horizons respectifs peuvent atteindre des valeurs allant jusqu'à quelques pour-cents dans des cas extrêmes. Par ailleurs, nous avons remarqué que, ce qui est d'importance pour différents points d'une petite unité géographique, n'est plus valable d'une région à l'autre. Ainsi par exemple, en voulant calculer la durée d'insolation relative à Arosa à partir de la marche journalière de celle de Davos, situé dans une région climatique fort semblable, mais dans une situation topographique différente, on obtient des valeurs beaucoup trop basses. En comparant encore la marche journalière de la durée d'insolation en d'autres stations (Zurich, Davos, St. Moritz, Lausanne, Montreux et Sierre), on constate que ce rythme diurne semble être indépendant de la configuration de l'horizon. Il semble plutôt que la nébulosité du matin et du soir persiste sur l'horizon, que celui-ci soit élevé ou très bas, et, qu'en montagne, dans une station de vallée, on constatera en moyenne plus longtemps des nuages sur les crêtes qui forment l'horizon car le soleil s'y lève relativement tard et s'y couche plus tôt que dans une station avec un horizon dégagé; en ces dernières, en revanche, on remarque surtout des nuages éloignés, donc plus proches de l'horizon astronomique et qui produisent un effet de coulisse plus tôt et plus tard dans la journée que dans les stations de vallée. En principe, le résultat est le même pour les deux situations, mais il se rapporte à des moments différents. Deux stations différemment placées ne devront donc pas nécessairement observer une durée d'insolation relative différente, parce que la configuration de leurs horizons respectifs est différente. Ainsi, Arosa, situé plus haut sur les flancs de la montagne et Davos, qui est presque au fond d'une vallée, ont des configurations d'horizon différentes qui se traduisent fort bien dans le tableau 28 où sont juxta-

posées les valeurs des durées d'insolation possibles et relatives des deux stations.

Tableau 28

Valeurs mensuelles de la durée d'insolation possible et moyennes (1921—1950) de la durée d'insolation relative à Davos et à Arosa.

	Davos heures	Arosa heures	Davos %	Arosa %
Janvier	173	203	46	49
Février	189	216	49	50
Mars	278	305	51	51
Avril	322	344	48	48
Mai	368	406	43	43
Juin	369	412	48	48
Juillet	376	417	53	52
Août	351	377	51	51
Septembre	296	317	53	53
Octobre	235	260	52	54
Novembre	180	210	47	48
Décembre	163	184	45	49
Année	3300	3651	49	49

A Davos, en décembre et en janvier, le soleil se lève jusqu'à 1 heure par jour plus tard qu'à Arosa et se couche une vingtaine de minutes plus tôt; malgré les 20 à 30 heures d'insolation possible supplémentaires et malgré le climat semblable des deux localités, l'insolation relative est plus grande à Arosa qu'à Davos, donc le contraire de ce qu'on était en droit de supposer. De septembre à octobre et de février à juin, les valeurs sont pratiquement identiques malgré l'horizon plus dégagé d'Arosa, et le petit déficit de cette dernière station pendant l'été provient certainement de sa situation plus élevée sur le flanc de la montagne (nuages, brouillard). Pourtant, il est très probable qu'à l'intérieur des vallées respectives de Davos et d'Arosa, on peut trouver des divergences dans les valeurs de la durée d'insolation relative par rapport à la situation actuelle, causées par des différences de configuration de l'horizon sur de petites distances.

Des objets rapprochés (constructions, arbres, etc.) peuvent masquer l'horizon visible jusqu'à des hauteurs suffisantes pour provoquer une légère augmentation de la durée d'insolation relative totale par rapport à celle d'un emplacement dégagé où les effets précités se font sentir; car dans ce cas les premières ou les dernières heures d'insolation de la journée sont en somme artificiellement écartées. Pourtant aucune des déductions qui viennent d'avoir été énoncées n'ont encore été prouvées par l'expérience et il serait très intéressant de faire des mesures héliographiques adéquates afin de les confirmer. De toute façon, les différences qui pourraient survenir (Thams [33]) restent généralement faibles et d'ordre local. Il ne semble d'ailleurs pas que la relation entre S et N et par la suite notre méthode s'en ressentent sérieusement, d'autant plus qu'en groupant, comme cela a été fait, dans ce travail, les stations par régions climatiques, qui, chez nous, sont aussi dictées par les conditions topographiques, on atténuera dans la plupart des cas les différences les plus grossières qui peuvent exister d'une région à l'autre.

B. Contrôle de la méthode

Afin de prouver la valeur et l'efficacité de la méthode qui vient d'avoir été développée, il est nécessaire de vérifier les résultats qu'elle fournit. A cet effet, on peut procéder de deux manières différentes. Tout d'abord, il est possible d'examiner les erreurs des éléments de base, d'une part pour les stations qui nous servent de point de départ et de comparaison: les résultats de l'observation de la nébulosité, la durée de l'insolation possible, relative et effective, ainsi que la somme S + N, d'autre part pour la station qu'on veut examiner: les résultats de l'observation de la nébulosité et la durée d'insolation possible. Ce procédé est assez compliqué, vu qu'il faut tenir compte de toutes les possibilités d'erreur particulières à chacune des composantes énoncées plus haut et cela pour chaque station. D'ailleurs, ce procédé ne mène pas à un problème de physique pure, où il est possible d'évaluer à partir des différentes sources d'erreurs, l'erreur totale; car dans notre cas, il faut tenir compte, non seulement des erreurs particulières de chaque héliographe et de la qualité de ses cartes d'enregistrement, souvent très différentes, mais encore de la subjectivité des différents observateurs dans l'estimation de la nébulosité, dont les conséquences se voient surtout lors de changements d'observateurs. Dans la somme S + N plusieurs de ces sources d'erreur se superposent, mais ce sont tout de même les valeurs de N qui influencent le plus l'erreur probable (voir II A et Steinhauser [30]).

Pour cette raison, il nous a semblé préférable de procéder de la seconde manière pour contrôler les résultats obtenus au moyen de la méthode exposée, c'est-à-dire de les comparer empiriquement avec des résultats connus. De cette façon, on obtient des valeurs numériques assez précises pour juger la qualité des résultats obtenus, ce qui ne serait pas aussi facile avec le premier procédé. On a opéré de la façon suivante: On forme les moyennes régionales mensuelles de S + N, à partir de toutes les stations de la région qui enregistrent la durée d'insolation et observent la nébulosité, à l'exception d'une seule station utilisée pour le contrôle. A l'aide de ces moyennes d'une part, et des résultats de N et de P (établis à l'aide de l'héliochronomètre) de la station de contrôle d'autre part, on calcule sa durée d'insolation effective. La comparaison de ces résultats avec les valeurs connues nous procure des indications précieuses sur la valeur de la nouvelle méthode. Pour donner à ces comparaisons une validité générale, on procède de même et à tour de rôle, pour chaque station de chaque région. Dans le tableau 29 on représente pour la station de Zurich les différentes étapes du procédé que nous avons décrit.

En admettant que les résultats de l'observation de la nébulosité ont été obtenus à toutes les stations d'une région avec les mêmes erreurs et que N est de cette façon homogène, les valeurs calculées et enregistrées de la durée d'insolation seront semblables pour chaque station. Mais étant donné les différences parfois considérables qui peuvent se faire valoir d'une station à l'autre, notamment en ce qui concerne les résultats de l'observation de la nébulosité, on pourra s'attendre à trouver, pour

Tableau 29

Calcul de contrôle de la durée d'insolation à Zurich à partir de la moyenne régionale de la somme S + N de 5 stations du Moyen-Pays, sans Zurich, 1921—1950.

S = Durée d'insolation relative.
N = Degré de nébulosité.
P = Durée d'insolation possible.
E = Durée d'insolation effective.
Diff. E = Durée d'insolation effective calculée, moins durée d'insolation enregistrée.
hs = heures.

	a) S + N Moy. région. Moyen-Pays	b) N Zurich	c) S calculé (c = a—b)	d) S enreg.	e) P mesuré héliochr.	f) E calculé (f = c • e)	g) E enreg.	h) Diff. E (h = f—g)	
	%	%	%	%	hs	hs	hs	hs	%
Janvier	100	82	18	19	249	45	46	— 1	— 2
Février	101	71	30	32	264	79	83	— 4	— 5
Mars	103	62	41	42	343	141	145	— 4	— 2
Avril	107	65	42	42	387	163	163	0	0
Mai	108	64	44	46	441	194	201	— 7	— 3
Juin	109	60	49	52	445	218	230	— 12	— 5
Juillet	109	56	53	55	451	239	247	— 8	— 3
Août	108	56	52	53	420	218	222	— 4	— 2
Septembre	106	60	46	47	356	164	167	— 3	— 2
Octobre	103	70	33	34	315	104	108	— 4	— 4
Novembre	102	82	20	21	256	51	53	— 2	— 4
Décembre	99,5	87	12	14	238	29	32	— 3	— 9
Année	107	68	39	40	4164	1645	1697	— 52	— 3

certaines stations, d'assez grandes différences entre les valeurs calculées et enregistrées. Afin d'obtenir des résultats utilisables, il sera par conséquent judicieux d'écarter, comme base de calcul, des stations où N ne concorde pas avec les résultats des autres stations de la région, comme par exemple Lausanne et Hallau dans le Moyen-Pays, ou St. Moritz dans les Grisons.

Suit une discussion des résultats de ce contrôle obtenus dans différentes régions climatiques de la Suisse.

a) *Moyen-Pays et pied nord du Jura* (Tableau 30 et 31)

Tableau 30

Résultats du calcul de contrôle de la durée d'insolation pour les 6 meilleures stations du Moyen-Pays, 1921—1950.

1. Zurich

	S calculé	S enregistré	E calculé	E enregistré	Diff. E calc. -E enregistré	
	%	%	hs	hs	hs	%
Janvier	18	19	45	46	— 1	— 2
Février	30	32	79	83	— 4	— 5
Mars	41	42	141	145	— 4	— 2
Avril	42	42	163	163	0	0
Mai	44	46	194	201	— 7	— 3
Juin	49	52	218	230	— 12	— 5
Juillet	53	55	239	247	— 8	— 3
Août	52	53	218	222	— 4	— 2
Septembre	46	47	164	167	— 3	— 2
Octobre	33	34	104	108	— 4	— 4
Novembre	20	21	51	53	— 2	— 4
Décembre	12	14	29	32	— 3	— 9
Année	39	40	1645	1697	— 52	— 3

2. Bâle

Janvier	25	26	65	65	0	0
Février	32	33	87	86	+ 1	+ 1
Mars	40	42	141	140	+ 1	+ 1
Avril	41	41	161	158	+ 3	+ 2
Mai	43	44	196	195	+ 1	0
Juin	50	51	232	228	+ 4	+ 2
Juillet	54	54	253	245	+ 8	+ 3
Août	53	52	226	219	+ 7	+ 3
Septembre	47	47	171	165	+ 6	+ 3
Octobre	33	35	106	109	— 3	— 3
Novembre	23	25	61	63	— 2	— 3
Décembre	19	21	46	50	— 4	— 8
Année	41	41	1745	1723	+ 22	+ 1

3. Lucerne

	S calculé	S enregistré	E calculé	E enregistré	Diff. E calc. -E enregistré	
	%	%	hs	hs	hs	%
Janvier	18	18	42	42	0	0
Février	31	30	80	79	+ 1	+ 1
Mars	41	41	140	139	+ 1	+ 1
Avril	43	41	164	158	+ 6	+ 4
Mai	43	42	193	187	+ 6	+ 3
Juin	48	46	219	208	+ 11	+ 5
Juillet	52	51	240	235	+ 5	+ 2
Août	49	49	204	205	— 1	0
Septembre	45	43	159	153	+ 6	+ 4
Octobre	33	32	103	99	+ 4	+ 4
Novembre	21	20	51	50	+ 1	+ 2
Décembre	14	14	31	32	— 1	— 3
Année	39	38	1626	1587	+ 39	+ 2

4. Berne

Janvier	24	23	63	58	+ 5	+ 9
Février	36	35	99	93	+ 6	+ 6
Mars	44	42	157	145	+ 12	+ 8
Avril	44	43	174	164	+ 10	+ 6
Mai	47	44	212	196	+ 16	+ 8
Juin	53	53	243	234	+ 9	+ 4
Juillet	57	56	264	252	+ 12	+ 5
Août	56	55	240	230	+ 10	+ 4
Septembre	50	50	184	179	+ 5	+ 3
Octobre	38	37	124	118	+ 6	+ 5
Novembre	24	24	64	62	+ 2	+ 3
Décembre	19	17	46	42	+ 4	+ 9
Année	43	42	1870	1773	+ 97	+ 5

5. Genève

Janvier	24	25	58	59	— 1	— 2
Février	38	39	100	103	— 3	— 3
Mars	48	48	167	168	— 1	— 1
Avril	52	52	199	199	0	0
Mai	54	54	238	239	— 1	0
Juin	64	63	284	279	+ 5	+ 2
Juillet	68	67	307	302	+ 5	+ 2
Août	66	65	275	273	+ 2	+ 1
Septembre	58	57	206	205	+ 1	0
Octobre	43	43	135	134	+ 1	+ 1
Novembre	26	26	65	65	0	0
Décembre	18	20	41	45	— 4	— 9
Année	50	50	2075	2071	+ 4	0

6. Neuchâtel

	S calculé %	S enregistré %	E calculé hs	E enregistré hs	Diff. E calc. -E enregistré hs	%
Janvier	18	16	46	41	+ 5	+ 12
Février	32	31	87	84	+ 3	+ 4
Mars	42	43	147	151	— 4	— 3
Avril	44	45	169	172	— 3	— 2
Mai	47	48	204	208	— 4	— 2
Juin	54	56	237	241	— 4	— 2
Juillet	57	58	253	257	— 4	— 2
Août	56	57	231	233	— 2	— 1
Septembre	49	49	176	175	+ 1	+ 1
Octobre	34	32	109	102	+ 7	+ 7
Novembre	20	17	52	46	+ 6	+ 13
Décembre	15	12	37	30	+ 7	+ 23
Année	41	42	1748	1740	+ 8	+0,5

1. Zurich: La moyenne régionale de S + N à partir de laquelle on a calculé la durée d'insolation comprend Bâle, Berne, Neuchâtel, Genève et Lucerne.

Les résultats de E qu'on a obtenus par le calcul sont, sauf pour le mois d'avril, inférieurs aux valeurs enregistrées. Une différence maxima de 12 heures au mois de juin correspond au 5 % du nombre d'heures moyen enregistré pendant ce mois, tandis qu'une différence d'une heure seulement au mois de janvier correspond déjà à 2 %. Ceci provient du fait que dans le Moyen-Pays le nombre d'heures d'insolation est très réduit en hiver, si bien que de très petites différences absolues sont déjà de l'ordre de quelques pour-cents. Pour juger les résultats de la méthode, il sera donc préférable de considérer les différences exprimées en heures et non celles données en pour-cents. Vu les résultats plus bas du calcul, on peut conclure également que les observations de la nébulosité doivent avoir fourni à cette station des résultats plus élevés en moyenne que dans le Moyen-Pays en général et qu'ils sont probablement dus à une observation plus poussée des nuages fins du niveau supérieur.

Cet exemple démontre que la méthode peut fournir des résultats satisfaisants à condition que l'observation de la nébulosité aux stations de référence soit basée sur les mêmes principes qu'à la station de contrôle.

2. Bâle: Tandis qu'à Zurich les résultats du calcul étaient pour ainsi dire uniformément inférieurs à la moyenne des valeurs enregistrées, ceux de Bâle montrent une divergence entre les mois du semestre d'hiver et ceux du semestre d'été: ils sont inférieurs ou égaux aux moyennes enregistrées d'octobre à janvier, mais supérieurs aux moyennes de février à septembre. Le fait peut être expliqué climatologiquement, car au pied nord du Jura, on observe généralement, en automne et en hiver, moins de brouillard élevé ou non et par là davantage de nuages élevés et translucides que dans le Moyen-Pays; ceci peut fort bien provoquer l'augmentation des valeurs de N pendant cette période.

Mais les écarts sont petits et varient jusqu'à 8 heures (juillet) pour chaque mois. Les résultats du contrôle montrent que la méthode pourrait être appliquée sans autre à une station comme Bâle.

3. Lucerne: Ici, les résultats du calcul de la durée d'insolation sont en général supérieurs aux valeurs enregistrées et la différence atteint 11 heures (= 5 %) au maximum en juin. Durant les autres mois, les écarts sont très faibles (0 à 6 heures) et deux seulement sont inférieurs aux valeurs enregistrées (1 heure en août et en décembre). Les résultats de Lucerne semblent indiquer que l'observation de la nébulosité y est généralement moins poussée, probablement pour les nuages du niveau supérieur.

4. Berne: Les résultats du calcul sont relativement élevés par rapport aux valeurs enregistrées. Ainsi, au mois de mai, l'écart et de 16 heures, ce qui équivaut à 8 %. Il semble donc à première vue que les résultats de l'observation de la nébulosité sont relativement trop bas; pourtant, en comparant les données de la durée possible d'insolation établies à l'aide de l'héliochronomètre à celles qui ont été calculées à partir des enregistrements de l'héliographe par jours sans nuages, on s'aperçoit que ces dernières sont nettement plus basses que les premières (2 à 3 % en moyenne durant toute l'année). Cette différence peut être attribuée soit à un mauvais partage horaire des cartes d'enregistrement, soit à la sensibilité relativement réduite de l'héliographe de cette station, l'appareil ne donnant peut-être plus d'indication quand le soleil est bas (voir chap. II B)). Cet héliographe ayant été remplacé en 1955, il n'est plus possible de vérifier nos suppositions. Il est donc certain que le calcul de la durée d'insolation effective provoque en partie la hausse des résultats obtenus. Malgré cela, les valeurs mensuelles de N semblent être relativement trop basses par rapport au Moyen-Pays.

Les résultats du calcul pour Berne sont donc moins bons qu'aux stations précédentes pour les mois de mars à juillet, tandis que pour les autres mois de l'année ils sont satisfaisants.

5. Genève: Les résultats du calcul sont égaux ou inférieurs aux valeurs enregistrées depuis le mois de novembre jusqu'au mois de mai, tandis que de juin à octobre ils sont légèrement supérieurs à celles-ci. Les écarts restent petits (maximum de 5 heures pour les mois d'été de juin et de juillet) et les résultats peuvent être considérés comme bons. Le contrôle pour Genève montre les très bons résultats que la methode peut fournir.

6. Neuchâtel: Les résultats du calcul pour cette station montrent que l'amplitude annuelle des valeurs moyennes de la somme S + N est plus grande que pour les autres stations de la région (voir Tableau 21). Il en résulte que les résultats obtenus à l'aide du calcul sont inférieurs aux valeurs enregistrées au printemps et en été, en revanche, supérieures à celles-ci en automne et en hiver. Les valeurs de la somme S + N étant élevées d'avril à septembre et basses pendant le reste de l'année, les écarts des mois de novembre à janvier (période du solstice d'hiver) sont trop grands pour être acceptables; ils atteignent 5, 6 et 7 heures pour des totaux mensuels de 41, 46 et 30 heures. Pour les autres mois de l'année en revanche, ils restent dans des limites satisfaisantes. Il semble qu'ici, comme à Berne, la limite de sensibilité réduite de l'héliographe joue un certain rôle dans la variation annuelle de la somme S + N, notamment en

hiver, lorsque, la brume étant souvent assez conséquente (Neuchâtel note davantage de jours de brouillard que Berne par exemple), l'intensité du rayonnement solaire n'est plus suffisante pour permettre à l'héliographe d'indiquer l'insolation aux heures où le soleil est très bas; il est difficile d'admettre que l'observateur estime le degré de nébulosité différemment suivant la saison.

Appendice. Si, à partir des moyennes mensuelles de la somme S + N de toutes les stations du Moyen-Pays et du pied nord du Jura, y compris Lausanne et Hallau, on calcule E, mais sans au préalable retrancher les valeurs de S + N de la station que l'on contrôle, on obtient les résultats représentés dans le tableau 31. La moyenne de S + N ayant légèrement baissé à cause des valeurs plus basses de Lausanne et de Hallau, les résultats de la durée d'insolation calculée s'en ressentent. A Neuchâtel, ils se sont améliorés en automne et en hiver, tandis qu'ils montrent une plus grande divergence au printemps et en été; ils sont devenus nettement meilleurs pour Berne, tandis que les écarts ont augmenté pour Zurich.

Pour Lausanne et pour Hallau, les résultats du calcul sont trop élevés par rapport à ceux des enregistrements et dépassent souvent la limite admissible; ainsi, certains résultats indiquent 20 et davantage d'heures d'écart par rapport aux valeurs enregistrées, une différence qui est évidemment trop grande, même pour un mois d'été; de même, des écarts de 12 (Hallau) et 17 heures (Lausanne) pour le mois de mars, et de 18 heures pour les mois d'avril et de mai (Lausanne) ne peuvent pas être considérés comme satisfaisants.

Ces derniers exemples montrent nettement quelle importance il faut attacher au contrôle des observations de la nébulosité, si l'ont veut obtenir de bons résultats en appliquant la méthode exposée. D'autre part, on constate qu'à l'aide de cette méthode, on peut vérifier, pour les stations disposant d'un héliographe, la qualité des résultats de l'observation de la nébulosité, sinon d'une manière absolue du moins de façon relative, un avantage indirect de la méthode développée.

Tableau 31

Résultats du calcul de la durée d'insolation dans le Moyen-Pays. Moyennes régionales de la somme S + N de toutes les 8 stations et sans retrancher celles de la station de contrôle, 1921—1950.

	1. Zurich				2. Bâle			
	S	E	Diff. E		S	E	Diff. E	
	%	hs	hs	%	%	hs	hs	%
Janvier	17	42	— 4	— 8	24	62	— 3	— 5
Février	30	79	— 4	— 5	32	87	+ 1	+ 1
Mars	40	137	— 8	— 6	39	138	— 2	— 1
Avril	41	158	— 5	— 3	40	156	— 2	— 1
Mai	43	190	— 11	— 5	42	191	— 4	— 2
Juin	48	214	— 16	— 7	49	228	0	0
Juillet	52	235	— 12	— 5	53	248	+ 3	+ 1
Août	50	210	— 12	— 5	51	218	— 1	0
Septembre	45	159	— 8	— 5	46	166	+ 1	+ 1
Octobre	32	102	— 6	— 6	32	104	— 5	— 5
Novembre	19	49	— 4	— 8	23	61	— 2	— 3
Décembre	12	29	— 3	— 9	19	46	— 4	— 8
Année	38	1604	— 92	— 5	40	1705	— 18	— 1

	3. Lucerne				4. Berne			
	S	E	Diff. E		S	E	Diff. E	
	%	hs	hs	%	%	hs	hs	%
Janvier	17	40	— 2	— 5	23	60	+ 2	+ 3
Février	30	78	— 1	— 1	35	97	+ 4	+ 4
Mars	40	136	— 3	— 2	43	153	+ 8	+ 6
Avril	42	159	+ 1	+ 1	43	169	+ 5	+ 3
Mai	41	184	— 3	— 2	45	203	+ 7	+ 3
Juin	46	210	+ 2	+ 1	51	234	0	0
Juillet	51	236	+ 1	0	56	260	+ 8	+ 3
Août	47	196	— 9	— 5	54	231	+ 1	0
Septembre	44	154	+ 1	+ 1	49	179	0	0
Octobre	31	98	— 1	— 1	36	119	+ 1	+ 1
Novembre	20	49	— 1	— 2	23	62	0	0
Décembre	13	29	— 3	— 9	18	45	+ 3	+ 7
Année	38	1569	— 18	— 1	42	1812	+ 39	+ 2

	5. Genève				6. Neuchâtel			
	S	E	Diff. E		S	E	Diff. E	
	%	hs	hs	%	%	hs	hs	%
Janvier	23	55	+ 4	+ 7	17	44	+ 3	+ 7
Février	38	100	+ 3	+ 3	31	84	0	0
Mars	47	163	+ 5	+ 3	41	143	— 8	— 5
Avril	51	194	+ 5	+ 3	43	163	— 9	— 5
Mai	53	233	+ 6	+ 3	46	200	— 8	— 4
Juin	62	275	+ 4	+ 1	53	233	— 8	— 3
Juillet	67	302	0	0	56	249	— 8	— 3
Août	64	267	+ 6	+ 2	54	223	— 10	— 4
Septembre	57	201	+ 4	+ 2	48	171	— 4	— 2
Octobre	41	130	+ 4	+ 3	32	104	+ 2	+ 2
Novembre	25	63	+ 2	+ 3	19	50	+ 4	+ 9
Décembre	18	41	+ 4	+ 9	14	34	+ 4	+ 13
Année	48	2024	+ 47	+ 2	40	1698	— 42	— 2

	7. Hallau				8. Lausanne			
	S	E	Diff. E		S	E	Diff. E	
	%	hs	hs	%	%	hs	hs	%
Janvier	20	50	+ 5	+ 11	29	72	+ 2	+ 3
Février	32	87	+ 8	+ 10	43	115	+ 3	+ 3
Mars	45	158	+ 12	+ 8	52	181	+ 17	+ 10
Avril	44	167	+ 11	+ 7	52	200	+ 18	+ 10
Mai	48	205	+ 14	+ 7	55	237	+ 18	+ 8
Juin	54	228	+ 15	+ 7	62	274	+ 20	+ 8
Juillet	58	252	+ 21	+ 9	66	293	+ 19	+ 7
Août	55	223	+ 10	+ 5	63	257	+ 11	+ 4
Septembre	50	176	+ 12	+ 7	58	209	+ 16	+ 8
Octobre	35	104	+ 3	+ 3	46	148	+ 12	+ 9
Novembre	21	54	+ 6	+ 12	31	78	+ 6	+ 8
Décembre	15	36	+ 3	+ 9	27	65	+ 5	+ 8
Année	42	1740	+ 120	+ 7	51	2129	+ 147	+ 7

b) *Jura occidental*

Alors que dans le Moyen-Pays, il était possible de s'appuyer sur une moyenne de la somme S + N portant sur 5 stations au moins, pour vérifier la valeur des résultats de la méthode, cela n'est plus guère possible pour les autres régions. Ces dernières sont moins bien pourvues en héliographes et les stations disposant de résultats homogènes de la nébulosité ne sont pas très nombreuses. Il sera donc plus difficile d'obtenir des résultats calculés satisfaisants que dans le Moyen-Pays. Ainsi, dans le Jura occidental, où il n'y a que deux stations observant et enregistrant simultanément la nébulosité et la durée d'insolation, le contrôle des résultats obtenus ne peut être concluant, car pour contrôler les résultats pour La Chaux-de-Fonds ou pour le Mont Soleil, on n'a à disposition que les moyennes mensuelles de la somme S + N de l'autre des deux stations; c'est trop peu, surtout lorsque les moyennes de S + N sont assez différentes (voir Tableau 22).

La moyenne des deux est déjà préférable puisqu'elle réduit les erreurs. Ainsi, dans le tableau 32 les résultats obtenus par le calcul sont beaucoup plus élevés que ceux des enregistrements; il est évident que les valeurs trop basses des résultats de la nébulosité à La Chaux-de-Fonds sont à l'origine de ces grands écarts (voir II A et C).

Tableau 32

Résultats du calcul de la durée d'insolation à La Chaux-de-Fonds à partir des moyennes de la somme S + N au Mont Soleil, 1921—1950.

	S calculé	S enregistré	E calculé	E enregistré	Diff. E	
	%	%	hs	hs	hs	%
Janvier	34	31	84	76	+ 8	+ 10
Février	39	35	100	91	+ 9	+ 10
Mars	45	41	149	136	+ 13	+ 10
Avril	42	38	156	141	+ 15	+ 11
Mai	44	39	188	166	+ 22	+ 13
Juin	51	47	223	200	+ 23	+ 11
Juillet	54	49	238	218	+ 20	+ 9
Août	55	50	220	204	+ 16	+ 8
Septembre	52	48	177	164	+ 13	+ 8
Octobre	45	41	136	126	+ 10	+ 8
Novembre	36	33	90	84	+ 6	+ 7
Décembre	31	29	72	66	+ 6	+ 9
Année	45	41	1833	1672	+ 161	+ 10

Les erreurs seraient du même ordre de grandeur si l'on opérait de la même manière pour contrôler les résultats du Mont Soleil, mais elles seraient négatives du fait que les résultats de N sont plus élevés qu'à La Chaux-de-Fonds. La moyenne des valeurs de la somme S + N des deux stations fournit, semble-t-il, des résultats acceptables pour une région, où la nébulosité est sujette à une estimation relativement trop basse (voir II C).

Mais il vaut encore mieux se fier uniquement aux valeurs des enregistrements des deux stations héliographiques et attendre que les résultats de l'observation de la nébulosité soient devenus homogènes pour toutes les stations de la région et comparables à celles du Moyen-Pays.

c) *La vallée du Rhône*

Le même problème se pose pour la vallée du Rhône comme pour le Jura occidental. Les deux stations de Montana et de Leysin ont également des moyennes de S + N assez différentes et les difficultés seraient les mêmes que pour la région précédente, si l'on voulait contrôler les résultats obtenus par le calcul. Pour cela il faut attendre de connaître S + N d'une troisième station, Sion par exemple, dont malheureusement les enregistrements de la durée d'insolation ne sont homogènes que depuis 1947. On pourrait alors écarter Leysin comme base de calcul, station dont les résultats de l'observation de la nébulosité sont relativement trop bas (voir II C), et ne soumettre au contrôle que la région bien définie du Valais.

d) *Hautes vallées des Grisons* (Tableau 33)

Le contrôle repose ici sur trois stations dont S + N sont connus, à savoir Arosa, Davos et Schuls, tandis que les valeurs de St. Moritz ne s'y prêtent pas aussi bien, vu l'estimation trop basse de la nébulosité. On peut essayer de contrôler les résultats de chacune à partir des moyennes de S + N des deux autres stations. Mais on constate que, suivant la qualité des résultats de N des différentes stations, le résultat du calcul n'est pas toujours concluant.

Tableau 33

Résultats du calcul de la durée d'insolation dans les hautes vallées des Grisons, 1931—1950.

	S calculé	S enregistré	E calculé	E enregistré	Diff. E	
	%	%	hs	hs	hs	%
1. Davos						
Janvier	46	46	80	80	0	0
Février	48	49	91	94	— 3	— 3
Mars	50	51	139	143	— 4	— 3
Avril	47	48	151	156	— 5	— 3
Mai	43	43	158	158	0	0
Juin	46	48	170	178	— 8	— 4
Juillet	51	53	192	199	— 7	— 4
Août	50	51	176	182	— 6	— 3
Décembre	51	53	151	156	— 5	— 3
Novembre	50	52	117	124	— 7	— 6
Octobre	44	47	79	85	— 6	— 7
Septembre	46	45	74	74	0	0
Année	48	49	1578	1629	— 51	— 3
2. Arosa						
Janvier	44	48	90	99	— 9	— 9
Février	46	50	100	110	— 10	— 9
Mars	48	51	147	159	— 12	— 8
Avril	44	48	151	168	— 17	— 10
Mai	40	43	162	179	— 17	— 9
Juin	44	48	182	200	— 18	— 9
Juillet	49	52	204	222	— 18	— 8
Août	48	51	181	197	— 16	— 8
Décembre	51	53	162	173	— 11	— 6
Novembre	50	54	130	144	— 14	— 10
Octobre	45	48	95	103	— 8	— 8
Septembre	43	49	79	92	— 13	— 14
Année	46	49	1683	1846	— 163	— 9

1. Davos: Les résultats obtenus par le calcul sont tous inférieurs ou égaux aux valeurs enregistrées, ce qui semble dû au fait que la moyenne des résultats de l'observation de la nébulosité des deux stations d'Arosa et de Schuls est trop basse par rapport à celle de Davos. Les écarts entre les valeurs calculées et enregistrées à Davos restent pourtant dans des limites acceptables et atteignent au maximum 8 heures en juin (sur un total 178 heures). Les 6 heures d'écart en novembre sont les seules valeurs relativement élevées (= 7 %).

2. Arosa: Les résultats calculés sont moins satisfaisants que ceux de Davos et restent pour tous les mois inférieurs aux valeurs enregistrées. Il faut en rechercher la cause dans le fait que les moyennes régionales de S + N à partir desquelles on a calculé les valeurs de la durée d'insolation d'Arosa ont été établies avec les données de Davos et de Schuls; ces dernières donnent pour l'observation de la nébulosité des résultats relativement plus bas que ceux d'Arosa (voir le tableau 24).

De cette façon, les écarts entre les valeurs calculées et enregistrées pour Arosa atteignent et dépassent souvent la limite de tolérance; les déficits mensuels atteignent des valeurs relatives très élevées en hiver et des écarts absolus encore plus importants en été. L'explication de ce fait repose sur la constatation que la méthode d'estimation de la nébulosité à Arosa donne des résultats relativement plus élevés qu'à la plupart des stations;

ce fait est sans doute provoqué par une observation très poussée des nuages fins du niveau supérieur, tandis qu'à Schuls l'estimation de la nébulosité donne des résultats nettement plus bas.

3. Schuls: Il est évident que si l'on pouvait calculer la durée d'insolation pour Schuls, à l'aide des moyennes de S + N de Davos et d'Arosa, on obtiendrait les mêmes écarts que pour Arosa, mais avec des signes contraires puisqu'en cette station les valeurs de N sont nettement trop basses comparées à celles de Davos et d'Arosa. Il est impossible de faire le calcul de contrôle pour Schuls parce que la mesure de la durée possible d'insolation n'a pu être faite sur l'emplacement occupé par l'héliographe jusqu'en 1950; celui-ci a été déplacé récemment et son ancien emplacement ne se prête pas à une mesure héliochronométrique.

La grande différence entre les deux stations spécialisées de Davos et d'Arosa et la station ordinaire de Schuls concernant la qualité des observations de la nébulosité est la seule raison qui nous empêche d'obtenir des résultats de contrôle convenables de la durée d'insolation en opérant de la manière comme expliqué ci-dessus. Si l'on ne considérait que les moyennes régionales de la somme S + N des trois stations, sans retrancher les données de la station que l'on veut contrôler, les résultats du calcul seraient bien meilleurs et deviendraient en grande partie satisfaisants même pour Arosa. C'est d'ailleurs cette moyenne qu'il faudrait employer en cas d'application de la méthode pour déterminer la durée d'insolation en des stations voisines ne disposant pas d'un héliographe. D'autre part, les possibilités de cette méthode seront plus assurées dès que l'on sera en mesure de prendre en considération les résultats de l'observation de la nébulosité à St. Moritz qui sont malheureusement insuffisants et beaucoup trop bas depuis 1924.

e) *Pied sud des Alpes* (Tableau 34)

Comme pour les hautes vallées grisonnes, les valeurs de la nébulosité montrent d'assez grandes différences d'une station à l'autre. Elles sont causées par des divergences d'estimation, car d'une part, on a les résultats de l'observatoire tessinois de Locarno-Monti et, d'autre part, ceux des stations climatologiques ordinaires de Lugano et du Monte Brè. Ceci a pour effet de rendre assez inégaux les résultats des valeurs calculées de la durée d'insolation; car, suivant la station que l'on examine, on n'emploie pour calculer les moyennes régionales de la somme S + N que les données des deux autres stations. S'il était possible d'utiliser les moyennes régionales des trois stations, les résultats seraient meilleurs (Tableau 25).

1. Locarno-Monti: Les résultats de la durée d'insolation obtenus par le calcul et représentés dans le tableau 34, ne sont pas satisfaisants pour tous les mois de l'année: Ainsi, ils sont nettement trop bas pour tous les mois, particulièrement d'avril à juillet et en automne. Il en résulte, comme nous l'avons déjà vu (voir chapitre II C), que les sommes mensuelles de S + N sont plus élevées

Tableau 34

Résultats du calcul de la durée d'insolation à Locarno et à Lugano, 1937—1950.

	S calculé %	S enregistré %	E calculé hs	E enregistré hs	Diff. E hs	Diff. E %
1. Locarno-Monti						
Janvier	51	55	115	124	— 9	— 7
Février	61	64	151	158	— 7	— 4
Mars	59	61	196	202	— 6	— 3
Avril	55	59	203	218	— 15	— 7
Mai	45	48	182	194	— 12	— 6
Juin	60	66	243	267	— 24	— 9
Juillet	66	70	272	288	— 16	— 6
Août	63	65	247	256	— 9	— 4
Septembre	55	58	191	202	— 11	— 5
Octobre	46	51	137	151	— 14	— 9
Novembre	50	55	117	129	— 12	— 9
Décembre	49	53	104	112	— 8	— 7
Année	56	59	2158	2301	— 143	— 6
2. Lugano						
Janvier	48	49	107	108	— 1	— 1
Février	61	59	150	145	+ 5	+ 3
Mars	57	56	188	185	+ 3	+ 2
Avril	56	55	199	195	+ 4	+ 2
Mai	44	45	170	172	— 2	— 1
Juin	63	62	246	244	+ 2	+ 1
Juillet	69	67	272	264	+ 8	+ 3
Août	64	63	241	236	+ 5	+ 2
Septembre	58	55	196	186	+ 10	+ 5
Octobre	47	45	141	134	+ 7	+ 5
Novembre	51	50	118	116	+ 2	+ 2
Décembre	48	47	101	99	+ 2	+ 2
Année	56	55	2129	2084	+ 45	+ 2

à Locarno-Monti, parce que des observateurs spécialisés portent probablement davantage d'attention à l'estimation des nuages fins du niveau supérieur.

2. Lugano: Les résultats calculés sont satisfaisants, quoiqu'ils soient, sauf pour les mois de janvier et de mai, supérieurs aux valeurs enregistrées; la raison en est que les sommes S + N de Lugano sont en général inférieures à la moyenne de celles des deux autres stations. Ceci provient, comme on l'a vu, de l'estimation différente des résultats de la nébulosité à l'observatoire de Locarno-Monti.

3. Monte Brè: On n'a pas pu calculer les moyennes de la durée d'insolation de cette station parce qu'on ne dispose pas encore de mesures héliochronométriques suffisantes de la durée possible d'insolation. Il ne semble pourtant pas que les résultats d'un tel calcul seraient insuffisants, attendu que pour bien des mois les valeurs de la somme S + N sont très semblables voire identiques à celles de Lugano; d'avril à juin et de novembre à janvier seulement, les résultats de la durée d'insolation calculée seraient encore plus élevés que les valeurs enregistrées, parce que l'estimation de la nébulosité est relativement trop basse pendant ces mois.

En général, on peut prétendre que les résultats obtenus dans cette région sont satisfaisants pour la plupart, malgré la différence de qualité des résultats de l'observation de la nébulosité dans les différentes stations, et il est possible d'y envisager l'application de la nouvelle méthode.

IV. Conclusions

Au cours de cette étude, on a pu illustrer à nouveau par de nombreux exemples la relation entre la durée d'insolation et la nébulosité et, il s'est avéré que la marche annuelle de la somme de la durée d'insolation relative S et de la nébulosité N a partout la même allure. En revanche, on a constaté que les sommes S + N des diverses stations d'une même région climatique ne sont pas toujours identiques ou pour le moins très semblables. Les différences de S + N entre deux stations situées dans des régions climatiques différentes sont normales, tandis qu'elles ne devraient pas exister entre deux stations de la même région.

En comparant séparément les données de la durée d'insolation et de la nébulosité, on a démontré que les résultats de cette dernière provoquaient dans la grande majorité des cas, les écarts de Δ d'une station à l'autre, tandis que les valeurs de la durée d'insolation relative sont homogènes, toutes les stations suisses employant le même type d'héliographe (Campbell-Stokes). La surcalcination des cartes d'enregistrement provoque certes une surestimation de la durée d'insolation pour les grandes hauteurs du soleil au-dessus de l'horizon et par nébulosité de convection (été). Ce défaut provient de la construction de l'appareil et est très sensiblement le même pour tous nos héliographes. Les changements du personnel s'occupant du dépouillement des cartes n'ont provoqué de variations décelables des valeurs qu'à Neuchâtel et au Sæntis où les cartes sont analysées sur place et non à la Station Centrale de Zurich qui dépouille les cartes d'enregistrement de la grande majorité des autres stations. Il serait évidemment très recommandable que les enregistrements de toutes les stations soient analysés par une même personne sinon dans un même bureau où tout le personnel travaille selon des directives identiques, l'homogénéité des résultats n'en serait que mieux garantie. La limite de sensibilité n'est pas la même pour tous les héliographes, mais elle ne se constate que si l'on compare les divers appareils entre eux; il est donc judicieux, avant de changer un héliographe, de comparer l'ancien au nouvel appareil et d'en déterminer la correction, s'il y a lieu (Zurich 1927, Bâle 1929). Les différences sont d'ailleurs petites si les appareils ne sont pas défectueux (0 à 2 %). Un étalonnage des héliographes serait aussi très utile pour déceler l'erreur de partage des cartes d'enregistrement, bien que ce défaut n'influence pas le calcul de la durée d'insolation relative.

Les erreurs causées par une observation défectueuse de la nébulosité sont souvent bien plus importantes que celles provoquées par les héliographes; la cause est assez simple à expliquer: Ce sont les observateurs et leur manière parfois différente d'apprécier le degré de nébulosité qui sont à l'origine des différences dans les résultats. Bien que ce défaut puisse parfois restreindre l'application de la relation $S + N = 100\,\% + \Delta$ en climatologie, c'est-à-dire dans le calcul de la durée d'insolation pour des stations qui ne disposent que des résultats de l'observation de la nébulosité et d'une mesure de la durée d'insolation possible à l'aide d'un héliochronomètre, cette méthode permet tout de même d'obtenir des valeurs qui, dans la plupart des cas, restent dans des limites d'erreur acceptables. Les résultats mensuels moyens de la nébulosité permettent donc de supposer que dans la majorité des stations il serait possible d'obtenir des résultats approchés de la durée d'insolation réelle.

Toutefois, dans certains cas, il est judicieux et même nécessaire d'homogénéiser auparavant les résultats les plus inégaux des observations de la nébulosité. Ceci est facilement possible, dans la plupart des cas, car dans les séries de résultats de 30 ans que l'on considère généralement dans ce travail, il se trouve presque toujours une période dont les résultats sont suffisamment homogènes par rapport à ceux des stations voisines pour permettre une réduction assez sûre des moyennes défectueuses. Ainsi, il suffit d'appliquer le procédé des différences entre les valeurs homogènes d'une période de la station en question et celles de une ou de deux stations situées dans la même région et se rapportant à la même période d'observation; leur différence servira alors de correction. On obtiendra des valeurs homogènes de la station peu sûre, en corrigeant, à l'aide de la différence calculée, les moyennes de 30 années des stations de comparaison qui ont fourni pendant toute la période des résultats probants. De cette manière, on calcule par exemple, les différences mensuelles entre les valeurs de Berne et de Fribourg (moyennes 1921 à 1950 peu sûres) pour la période allant de 1928 à 1945 pendant laquelle les valeurs de Fribourg et de Berne semblent être les plus homogènes; ensuite, on corrigera les valeurs moyennes de Berne pour la période allant de 1921 à 1950 avec les différences qui ont été calculées précédemment et l'on obtiendra des données homogènes pour Fribourg.

L'application de la méthode fournit les meilleurs résultats dans le Moyen-Pays; dans les hautes vallées des Grisons et dans le canton du Tessin, ils sont encore satisfaisants, bien que les données de base (résultats de l'estimation de la nébulosité) ne soient pas homogènes pour toutes les stations.

Si l'on veut obtenir de bons résultats, il est important qu'un groupe de stations, devant fournir des moyennes mensuelles régionales de la somme S + N, comprenne de préférence plus de deux stations. Plus celles-ci sont nombreuses dans une région climatique, plus les chances sont grandes d'obtenir des valeurs utiles, tandis que dans le cas contraire, à moins d'avoir dans les deux stations des résultats homogènes ou du moins opposés et susceptibles de fournir une bonne moyenne, les chances seront plus faibles (Jura occidental, vallée du Rhône).

Les erreurs qui pourraient se glisser dans les résultats finaux à la suite de différences orographiques de l'horizon entre les diverses stations, ne semble avoir de conséquences appréciables que dans des unités géographiques restreintes ayant un horizon très découpé.

Dès que l'homogénéité des résultats de l'estimation de la nébulosité sera garantie dans la plus grande majorité des stations climatologiques où on l'observe, l'application de la méthode pourra se généraliser. Il faut toute

ois se rendre compte qu'en calculant la durée d'insola-
ion à partir de moyennes régionales de la somme S + N
ui ne sont pas homogènes, on risque d'obtenir des résul-
ats peu satisfaisants pour des stations où l'on estime
orrectement la nébulosité, parce que le calcul est basé
ur des données moins correctes. On a ainsi pu constater
ue parfois des stations, où l'observation de la nébulosité
n général et des nuages fins du niveau supérieur en par-
iculier était la plus poussée et la plus attentive, se prê-
aient le moins à l'application de la méthode (Locarno-
Monti, Arosa) ; cette source d'erreur peut être évitée s'il
st possible de disposer de résultats de l'observation de
a nébulosité obtenus à partir de méthodes d'estimation
emblables sinon identiques. Par là, la somme S + N
era également homogène partout où l'on enregistre la
urée d'insolation et où l'on observe la nébulosité simul-
anément. Par curiosité, on peut remarquer que notre
néthode de détermination de la durée d'insolation exige
vant tout l'homogénéité des observations de la nébulo-
ité pour toutes les stations en cause, même si elles sont
e résultat d'une méthode d'estimation incorrecte. Cette
onstatation ne devra pourtant pas nous empêcher de
aire notre possible pour exiger des résultats de l'obser-
ation de la nébulosité qui correspondent aux méthodes
'estimation recommandées par les conventions inter-
ationales.

La relation entre la durée d'insolation et la nébu-
osité est soumise à une dispersion assez forte, si bien
ue les moyennes mensuelles de la somme S + N de-
vront toujours être calculées à partir de données portant sur un certain nombre d'années. D'autre part, il ne sera pas indiqué de calculer à l'aide de notre méthode des valeurs journalières de la durée d'insolation. Le mois est la plus petite unité de temps pour laquelle il est encore possible de calculer des sommes moyennes satisfaisantes de la durée d'insolation, connaissant le degré de nébulosité moyen d'un lieu et sa durée d'insolation possible mesurée avec un héliochronomètre.

Au cours de cette étude, il n'a pas été possible d'aboutir à un résultat entièrement positif, mais on connaît du moins les causes essentielles qui nous ont empêché de l'atteindre et qui sont dues surtout à la qualité des observations de la nébulosité. Ce résultat secondaire est tout de même intéressant et sa connaissance pourra peut-être conduire un jour à améliorer les observations de la nébulosité.

Qu'il nous soit permis, pour terminer, de remercier tout particulièrement M. W. Mörikofer, Docteur ès Sciences, Docent honoraire de l'Université de Bâle et directeur de l'Observatoire Physico-Météorologique de Davos, de son aide et de la grande attention qu'il a portée à l'exécution de ce travail. Nous remercions également M. M. Schüepp, Docteur ès Sciences, et M. H. Uttinger de la Station Centrale Suisse de Météorologie de tous les conseils et les renseignements qu'ils ont eus la bonté de nous communiquer, ainsi que M. le Professeur E. Guyot de l'Université de Neuchâtel qui a eu l'obligeance de revoir avec nous le texte de ce travail.

Bibliographie

1. Bider, M. — Vergleich der Registrierungen des Maurerschen Heliographen und des Campbell-Stokesschen Autographen. Actes Soc. Hélv. Sc. Nat. Coire, p. 135 (1938).
2. Brazier, C.E. — Etudes actinométriques d'après les documents recueillis à l'observatoire du Parc Saint-Maur (2e partie). Ann. Inst. Phys. Globe, Paris, *19*, p. 79 (1941).
3. Brooks, C.E.P. — The relation between the duration of bright sunshine registered by a Campbell-Stokes sunshine recorder and the estimated amount of cloud. Meteor. Off. Prof. Notes, no. *53*, London (1929).
4. Conrad, V. — Handbuch der Klimatologie von W. Köppen und R. Geiger, I B, p. 449.
5. Conrad, V. — Ermittlung der effektiv möglichen Sonnenscheindauer bei Horizontüberhöhungen. Gerl. Beitr. Geoph. *21*, p. 366 (1929).
6. Conrad, V. — Zur Darstellung der Sonnenscheinverhältnisse eines Gebirgslandes. Gerl. Beitr. Geoph. *50*, p. 455 (1937).
7. Goldberg, J. — Sonnenscheindauer, Bewölkungsgrad und Zahl der Sonnenscheinstunden. Meteor. Z. *50*, p. 109 (1933).
8. Guyot, E. — Variations séculaires des éléments météorologiques à Neuchâtel. Bull. Soc. Nat. Neuchâtel, *57*, p. 36 (1932).
9. Hann, J. v. und Knoch, K. — Handbuch der Klimatologie, 4. Aufl., p. 266.
10. Hann, J. v. — Schlechte Mittel der Bewölkung als Folge eines mangelhaften Beschlusses der Meteorologen-Kongresse. Meteor. Z. *33*, p. 131 (1916)).
11. Hann, J. v. — Über die scheinbare Zunahme der Bewölkung in Wien. Meteor. Z. *34*, p. 369 (1917).
12. Hann, J. v. — Schätzung der Bewölkung und Bewölkungsmittel. Meteor. Z. *36*, p. 276 (1919).
13. Johansson, O. — Die internationale Vorschrift für die Schätzung der Bewölkung. Meteor. Z. *36*, p. 58 (1919).
14. Kleinschmidt, E. — Handbuch der meteorologischen Instrumente. Berlin (1935).
15. Kleinschmidt, E. — Bemerkungen zur Messung der Sonnenscheindauer. Gerl. Beitr. Geoph. *17*, p. 395 (1927).
16. König, H. — Dauer des Sonnenscheins in Europa. Abh. Leop. Carol. Deutsch. Akademie Halle, *67*, Nr. 3 (1896).
17. Linke, E. — Über die Bestimmung der relativen Sonnenscheindauer an Gebirgsstationen. Meteor. Z. Biokl. Beibl. 3, p. 179 (1936).
18. Lunelund, H. — Über die Sonnenscheindauer in Finnland. Soc. Sc. Fenn. Comment. Phys. Math. XI. 8. (1942).
19. Maurer, J. — Verschlechterung der Bewölkungsziffern in den letzten Dezennien. Meteor. Z. *33*, p. 276 (1916).
20. Maurer, J. — Über die Mängel unserer Glaskugel-Sonnenschein-Autographen. Meteor. Z. *26*, p. 461 (1909).
21. Maurer, J. — Aus fünfundzwanzigjährigen Aufzeichnungen der Sonnenscheindauer in der Schweiz. Meteor. Z. *28*, p. 193 (1911).
22. Maurer, J. — Einige Resultate des Sonnenschein-Chronographen, verglichen mit dem Glaskugel-Heliographen. Meteor. Z. *37*, p. 88 (1920).
23. Mercanton, P. L. — Zur Frage der Messung der möglichen Sonnenscheindauer eines Ortes. Meteor. Z. *51*, p. 62 (1934).
24. Mörikofer, W. und Nagel, E. — Über die Beziehung zwischen Sonnenscheindauer und Bewölkung. Actes Soc. Helv. Sc. Nat. Berne, p. 112 (1952).
25. Mörikofer, W. und Perl, G. — On the necessity of estimating cloudiness with and without high clouds. Circ. CIMO Toronto 1947. Doc. 34.
26. Perl, G. — Über Bewölkungsschätzung mit und ohne Berücksichtigung der hohen Wolken. Meteor. Z. *61*, p. 235 (1944).
27. Perl, G. — Über die Beziehung zwischen Tagesmitteln der Bewölkung und relativen Sonnenscheindauer in drei verschiedenen Klimagebieten der Schweiz. Arch. Met. Geoph. Biokl. Serie B. *1*, p. 75 (1949).
28. Schmidt, W. — Der Tagbogenmesser. Meteor. Z. *50*, p. 328 (1933).
29. Schüepp, M. — Bestimmung der möglichen Sonnenscheindauer mit dem Wild-Theodoliten T_{12}. Annalen Schw. Meteor. Zentralanst. Anhang (1951).
30. Steinhauser, F. — Über die Beziehungen zwischen Sonnenscheinregistrierungen und Bewölkungsschätzungen. Wetter und Leben, *6*, p. 139 (1954).
31. Strub, W. — Über die Mängel der Campbell-Stokesschen Sonnenscheinautographen. Meteor. Z. *28*, p. 175 (1911).
32. Thams, J.C. und Zenone, E. — Über Sonnenscheindauer und Globalstrahlung auf der Magadinoebene. Landwirtsch. Jahrb. Schweiz, *66*, p. 119 (1952).
33. Thams, J. C. — Zur Bestimmung der Sonnenscheindauer in einem stark kupierten Gelände. Arch. Met. Geoph. Biokl. Serie B, *6*, p. 417 (1955).
34. Wagner, A. — Beziehungen zwischen Sonnenscheindauer und Bewölkung in Wien. Meteor. Z. *44*, p. 161 (1927).

Table des Matières

		Pages
I.	Le problème	1— 2
II.	Les éléments de la méthode	2—13
A.	La somme des moyennes de la durée d'insolation relative et de la nébulosité en Suisse	2— 6
B.	L'enregistrement de la durée d'insolation en Suisse . . .	6 - 8
C.	Les résultats de l'observation du degré de nébulosité en Suisse	8—13
III.	Méthode pour calculer la durée d'insolation moyenne à partir des observations de la nébulosité	14—23
A.	Déduction de la méthode	14 - 18
B.	Contrôle de la méthode	18—23
IV.	Conclusions	24—25
	Bibliographie	26